





95
1905-1909
1905-09

REPERTORIUM

NH
zum

Neuen Jahrbuch für Mineralogie Geologie und Paläontologie

für die

Jahrgänge 1905—1909, das Centralblatt für Mineralogie,
Geologie und Paläontologie Jahrgänge 1905—1909 und
die Beilage-Bände XXI—XXVIII.

Ein Personen-, Sach- und Orts-Verzeichnis

für die darin enthaltenen Originalabhandlungen und Referate.



270491.

Stuttgart.

E. Schweizerbart'sche Verlagsbuchhandlung

Nägele & Dr. Sproesser.

1911.



Inhalt.

I. Personenverzeichnis	Seite 1
II. Sach- und Ortsverzeichnis	197

Das Ortsverzeichnis ist mit dem Sachverzeichnis vereinigt.

Die Seitenzahlen der Originalabhandlungen und -Mitteilungen sind durchweg cursiv, die der Referate mit gewöhnlichen Lettern gedruckt. Im Personenverzeichnis sind außerdem die Titel der Originalabhandlungen und -Mitteilungen durch cursive Schrift hervorgehoben.

I. Personenverzeichnis.

BB bedeutet Beilageband. — CBI Centralblatt. — Die Abhandlungen und brieflichen Mitteilungen sind durch *cursive* Schrift hervorgehoben.

A.

	Jahrg.	Bd.	Seite
Aars, L. A.: Ueber die analytische Bestimmung von Beryllium und den sogenannten seltenen Erden nebst Analysen von Phenakit, Monazit, Euxenit, Hellandit und Uwarowit . . .	CBI	1907	247
Abel, O.: <i>Die Milchmolaren der Sirenen</i>	1906	II	50
— Die Sirenen der mediterranen Tertiärbildungen Oesterreichs	05	I	504
— Studien in den Tertiärbildungen des Tullner Beckens	1905	II	292
— Wirbeltierfährten aus dem Flysch der Ostalpen	05	II	434
— Die geologische Beschaffenheit des Bodens von Wien . . .	05	II	434
— Ueber einen Fund von <i>Sivatherium giganteum</i> bei Adrianopel	05	II	470
— Die phylogenetische Entwicklung des Cetaceengebisses und die systematische Stellung der Physeteriden	06	II	294
— Eine Stammtypen der Delphiniden aus dem Miocän der Halbinsel Taman	06	II	296
— Ueber <i>Halitherium bellunense</i> , eine Uebergangsform zur Gattung <i>Metaxytherium</i>	06	II	448
— Les <i>Odontocètes</i> du <i>Boldérien</i> (<i>Miocène supérieur</i>) d'Anvers	07	I	130
— Die Stammesgeschichte der Meersäugetiere	09	I	438
— Ueber die Bedeutung der neuen Fossilfunde im Alttertiär Aegyptens für die Geschichte der Säugetiere.	09	I	438
— Die Morphologie der Hüftbeinrudimente der Cetaceen . . .	09	II	113
— Cetaceenstudien. I. Mitteilung. Das Skelett von <i>Eurhiodelphis</i> aus dem Obermiocän von Antwerpen	09	II	117
— Cetaceenstudien. II. Mitteilung. Der Schädel von <i>Saurodelphis argentinus</i> aus dem Pliocän Argentiniens	09	II	118
— <i>Ueber den als Beckengürtel von Zeuglodon beschriebenen Schultergürtel eines Vogels aus dem Eocän von Alabama</i> .	CBI	1906	450
— <i>Der Anpassungstypus von <i>Metriorhynchus</i></i>	CBI	1907	225
— siehe Fuchs, Th.			
Abel, O. und J. Dreger: Exkursion nach Heiligenstadt, Nußdorf und auf den Kahlenberg	1905	II	115

Achiardi, G. D': Alcune osservazioni sopra i quarzi di Palombajo (Elba)	1905	I	20
— Analisi di alcuni minerali bauxitici italiani	05	I	22
— Forme cristalline del beryllo elbano	05	II	23
— Di alcuni minerali dei filoni tormaliniferi nel granito di S. Piero in Campo (Elba)	05	II	34
— Notizie sul giacimento cinabrifero di Kara-Barun nell' Asia Minore	06	I	331
— Zeolite probabilmente nuovo dell' Isola d'Elba	06	I	344
— Metamorfismo sul contatto fra calcare e granito al Posto dei Cavoli presso S. Piero in Campo (Elba)	06	I	373
— Cenni su di una anfibolite orneblendica nel granito di S. Piero in Campo (Elba)	06	I	375
— I minerali dei marmi di Carrara. Karbonate	06	II	175
— I minerali dei marmi di Carrara. Aggiunte alle parti 1 a e 2 a	06	II	176
— I minerali dei marmi di Carrara (Parte terza). Epidote. Miche. Anfiboli. Albite. Scapolite	06	II	176
— I minerali dei marmi di Carrara (parte seconda). (Zolfo, Realgar, Oripimento, Pyrite, Arsenicopirite, Galena, Calcosina, Tetraedrite, Rutilo, Oligisto, Limonite, Fluorina, Magnetite)	07	I	214
— Le cave di Tormalina dell' Isola d'Elba	08	II	32
— Zeoliti del filone della Speranza presso S. Piero in Campo (Elba)	08	II	33
Achtner, V.: Untersuchung verschiedener Mineralien auf Radioaktivität mittels der elektrischen und photographischen Methode	05	II	341
Adams, E. P.: On the absence of Helium from Carnotite	07	I	9
Adams, F. D.: On a New Nepheline Rock from the Province of Ontario, Canada	05	II	394
— Report of the special committee for the Lake Superior Region	07	I	107
— siehe Report etc.			
Adams, F. D. and E. G. Coker: An Investigation into the Elastic Constants of Rocks, more especially, with Reference to Cubic Compressibility	1907 I 263	08	I 239
Adams, F. D. and O. E. Leroy: The Artesian and other deep wells of the Island of Montreal		09	II 379
Adams, G., E. Haworth and W. R. Crane: Economic Geology of the Jola Quadrangle, Kansas		08	II 376
Adams, G. J. and others: Gypsum deposits in the United States		05	I 207
Adams, G. J., A. H. Purdue and E. F. Burchard: Zinc and Lead Deposits of Northern Arkansas, with a Section on the Determination and Correlation of Formations by E. O. ULRICH		05	II 36
Adams, J.: Geology and water resources of the Patrick and Goshen Holo quadrangles, Wyoming-Nebraska		06	I 267
Aeberhardt: Etude sur les alluvions anciennes des environs de Genève		07	II 129
Agamennone, G.: Sismoscopio a doppio pendolo orizzontale per terremoti lontani		07	I 219
Ahlburg, J.: Die nutzbaren Mineralien Spaniens und Portugals		09	II 79
— Die Tektonik der östlichen Lahnmulde		09	II 85
Ahnert, E. v.: Ueber ein im Biotitgneis des Seja-Gebietes entdecktes Fossil		07	II 158

Ahrens, B.: Der rote Kaolin von Kreisau in Schlesien . . .	1905	II	23
Aigner, A.: Ueber die Therme von Mitterndorf im steirischen Salzkammergut	05	II	398
Aimonezzi, C.: Determinazioni di gravità relativa in Pie- monte eseguite coll' apparato pendolare di Sterneck . . .	05	I	224
Airaghi, C.: Inocerami del Veneto	05	I	357
— Un nuovo genere della sottofamiglia delle Echinocorynae	09	II	482
Alessandri, G. de: Sopra alcuni odontoliti pseudomiocenici dell' Istmo di Suez	05	II	138
— Note d'ittologia fossile	05	II	139
— Sopra alcuni avanzi di cervidi pliocenici del Piemonte . .	06	II	132
Alimănescianu, C., L. Mrazec und V. Brătianu: Arbeiten der mit dem Studium der Petroleumregionen (Rumäniens) betrauten Kommission	06	II	390
Alister, D. A. Mc, siehe Mc Alister, D. A.			
Allachverdjeff, D. G.: <i>Vorläufige Mitteilung über den ersten Fund von Silur in Bulgarien</i>	CBl	1905	679
Allen, E. T., siehe Day, A. L. etc.			
Allen, E. T. and J. K. Clement: The rôle of water in Tre- molite and certain other minerals	09	II	17
Allen, E. T. and W. P. White: On Wollastonite and Pseudo- Wollastonite, polymorphic forms of Calcium Metasilicate; with optical study by FRED. EUGENE WRIGHT	07	I	29
Allen, E. T., F. E. Wright and J. K. Clement: Minerals of the composition Mg Si O ₃ , a case of tetramorphism . . .	08	I	18
Allen, J. A.: A fossil Porcupine from Arizona	07	I	305
Allen, L. E., siehe Hulett, S. A.			
Almera, D. J. et Bofili y Poch: Consideraciones sobre los restos fosiles cuaternarios de la caverna de Gracia, Barcelona	06	I	143
Aloisi, P.: Albite nel calcare nummulitico di Ortola (Massa)	07	II	21
— Rocce a spinello dell' Isola d'Elba	08	II	211
— Adamina di Monte Valerio (Campiglia marittima)	08	II	318
— Contributo allo studio petrografico delle Alpi Apuane. (Rocce granitiche, eufotitiche, diaboliche e serpentinosi.)	08	II	214
Ambrohn, H.: Ueber Umkristallisation und Gelbbildung beim Erhärten des Zements	09	II	85
Ameghino, F.: Cuadro sinoptico de las formaciones sedimen- tarias, terciarias y cretáceas de la Argentina en la relacion con el desarrollo y descendencia de los mamíferos	05	I	132
— L'âge des formations sédimentaires de Patagonie	05	I	136
— Sur la géologie de Patagonie	05	I	143
— Los Diprotodontes de l'orden de los Plagiaulacoideos y el origen de los Rodedores y de los Polymastodontes	05	I	157
— Notices préliminaires sur des Ongulés nouveaux des terrains cretacés de Patagonie	05	I	167
— Recherches de Morphologie phylogénétique sur les molaires supérieures des Ongulés	05	II	454
— Palaeontologia Argentina	06	II	124
— Les Édentés fossiles de France et d'Allemagne	07	I	462
— La perforación astragaliana en los mamíferos no es un caracter originariamente primitivo	07	I	466
— Presencia de la perforación astragaliana en el tejón (Meles taxus Bodd.)	07	I	466
— La perforación astragaliana en el Orycteropus y el origen de los Orycteropidae	07	I	467

Ameghino, F.: La perforación astragaliana en Priodontes, Canis (Chrysoeyon) y Typotherium	1907	I	467
— La perforation astragalienne sur quelques mammifères du Miocène moyen de France	07	I	467
— La faceta articular inferior unica del Astragalo de algunos mamíferos no es un carácter primitivo	07	I	475
— Les formations sédimentaires du crétacé supérieur et du tertiaire de Patagonie	1907	II	108, 272
Ami, H. M.: Knoydart formation of Nova Scotia	05	I	289
— Notes bearing on the Devonian-Carboniferous Problem in Nova Scotia and New Brunswick	05	I	289
— Notes on a collection of silurian fossils from Cape George, Antigonish Co., N. S., with description of four new species	05	I	314
— Preliminary lists of the organic remains occurring in the various geological formations comprised in the south-west quarter-sheet map of the eastern townships of the province of Quebec	05	I	314
— Preliminary lists of the organic remains occurring in the various geological formations comprised in the map of the Ottawa district, including portions of the provinces of Quebec and Ontario, along the Ottawa river	05	I	314
— Description of tracks from the fine-grained siliceous mudstones of the Knoydart formation (Eodevonian) of Antigonish County, Nova Scotia	05	I	340
Ammon, F.: Beiträge zur Kenntnis der Speckstein- und Pseudophitbildung	05	II	214
Ammon, L. v.: Die Steinkohlenformation in der bayrischen Rheinpfalz	06	I	109
Ampferer, O.: Die Mündung des Vomperbaches	06	I	293
— Ueber Wandbildung im Karwendelgebirge	06	I	406
— Die Triasinsel des Gaisberges bei Kirchberg in Tirol	09	I	97
— Grundzüge der Geologie des Mieminger Gebirges	09	I	411
— Geologische Beschreibung des Seefelder, Mieminger und südlichen Wettersteingebirges	09	I	411
— Bericht über die Neuaufnahme des Karwendelgebirges	09	I	412
— Geologische Beschreibung des nördlichen Teiles des Karwendelgebirges	09	I	412
— Einige allgemeine Ergebnisse der Hochgebirgsaufnahme zwischen Achensee und Fernpaß	09	I	413
Ampoulange, siehe Capitán.			
Amthor, R.: Reste tertiärer Ablagerungen nördlich von Gotha	07	II	458
— Eiszeitreste bei Ballstädt nördlich von Gotha	07	II	459
Anderlini, F., siehe Nasini, R.			
Anderson, C.: An association of Natrolite and Datolite at Pokolbin, New South Wales	06	I	342
— Mineralogical notes: No. 1. Topaz, Beryl, Vesuvianite, Tourmaline, and Wolframite	06	I	359
Anderson, F. M.: Cretaceous deposits of the Pacific Coast	06	I	287
Anderson, G. E.: Studies in the development of certain palaeozoic corals	09	I	293
Anderson, N. C.: A Preliminary List of fossil Mastodon and Mammoth Remains in Illinois and Iowa	07	I	305
Anderson, T.: Characteristic of recent volcanic eruptions	05	I	404
Anderson, W.: The Upper Cretaceous rocks of Natal and Zululand	07	II	289
Andersson, J. G.: Solifluction, a component of subaërial denudation	08	II	344

	Jahrg.	Bd.	Seite
Andersson, J. G.: On the Geology of Grahamland . . .	1909	II	100
Andrä, E.: Eruptivgesteine im Nordwesten Kleinasiens . .	07	II	70
Andrae, A.: Dritter Beitrag zur Kenntnis des Miocäns von Oppeln i. Schl.	05	II	453
Andrée, A.: Mineralogisches aus der Solfatara bei Neapel .	07	II	198
Andrée, K.: Ueber das Vorkommen eines Nautilus in der Culmgrauwacke des Oberharzes bei Wildemann	08	I	145
— Der Teutoburger Wald bei Iburg	06	II	419
— Ueber den Erhaltungszustand eines Goniatiten und einiger anderer Versteinerungen aus dem Banderz des Rammels- berger Kieslagers	09	II	242
— Ueber stetige und ununterbrochene Meeressedimentation, ihre Ursachen, sowie über deren Bedeutung für die Stratigraphie	BB XXV		366
— Nautilus in der Culm-Gräuwacke des Oberharzes	CBI 1908		293
— Schwerspat mit Lamellen vom Rosenhof bei Clauenthal	CBI 1908		230
— Neue Funde von Arthropleura armata JORDAN	CBI 1909		753
Andrejew, I.: Die Wachstums- und Auflösungs- geschwindig- keit der Kristalle	08	II	150
Andrews, C. W.: Notes on an Expedition to the Fayüm, Egypt, with Descriptions of some New Mammals	05	I	156
— Extinct vertebrates from Egypt. Part II.	06	I	152
— Further Notes on the Mammals of the Eocene of Egypte	06	I	446
— Note on the Barypoda, a new Order of Ungulate Mammals	06	II	135
— Note on some recently discovered Remains of the Musk Ox (Ovibos moschatus ZIMM.) from the Pleistocene Beds of Southern England	07	I	301
— Note on the Species of Palaeomastodon	07	I	459
— A descriptive Catalogue of the Tertiary Vertebrata of the Fayüm, Egypt, based on the Collection of the Egyptian Museum, Cairo, and on the Collection in the British Museum (Natural History) London	07	II	307
— Note on a Model of the Skull and Mandible of Prozeuglodon atrox ANDREWS	09	I	439
Andrews, E. C.: A preliminary Note on the Structure of Mount Lindsay	07	I	402
— The Geology of the New England Plateau, with special reference to the Granites of Northern New England	07	I	402
— Some interesting facts concerning the glaciation of south- western New Zealand	07	II	298
— The ice-flood hypothesis of the New Zealand sound basins	08	II	340
Andrussow, N.: Spuren „Levantinischer“ Ablagerungen in Südrußland	CBI 1906		413
Angelis d'Ossat, G. de: La resistenza specifica elettrica delle rocce e dei terreni agrari	05	I	223
— Sulle condizioni sfavorevoli per i pozzi artesiani tra Roma ed i Colli Laziali	06	II	79
— Coralli triasici in quel di Forni di Sopra (Carnia)	07	I	486
— Zootari miocenici dell' Hérault (Francia meridionale)	07	I	487
Angermann, E.: El fierro meteorico de Bacubirito (Est. de Sinaloa)	05	I	217
Ans, J. d': Ueber Ammoniumsungenit	08	I	37
— siehe Hoff, J. H. van't.			
Antenen, F.: Beitrag zur Kenntnis der Alluvialbildungen am unteren Ende des Bieler Sees	09	I	436
Antipow, J.: Ueber einige Mineralien aus russischen Lager- stätten	09	II	37

- Antula, D. J.: Les gisements de cuivre dans les environs de Bor et de Krivelj 1906 I 231
- La Serbie à l'exposition universelle de 1905 à Liège. VIII. L'industrie minière 07 I 251
- Aradi, V. jun.: *Der Jura des Ofener Gebirges und allgemeine Betrachtung über die tektonischen Verhältnisse desselben* . CBI 1908 391
- siehe auch Lörenthey, J. v.
- Arbenz, P.: Ueber die Fortsetzung der Ueberfaltungsdecken westlich des Urnersees (Vierwaldstättersee) 06 II 395
- Diploporen aus dem Schrattenkalk im Säntisgebiet. 09 I 154
- Geologische Untersuchung des Frohnalpstockgebietes (Kanton Schwyz) 09 I 401
- Arber, E. A. N.: On some new species of Lagenostoma, a Type of pteridospermous Seed from the Coal-Measures 07 I 164
- Catalogue of the fossil plants of the Glossopteris-Flora in the departement of geology 08 I 152
- On Triassic Species of the Genera Zamites and Pterophyllum: Types of Fronds belonging to the Cycadophyta 08 II 448
- Bibliography of Literature of Palaeozoic Fossil Plants, including some of the more important memoirs published between 1870—1905 09 I 144
- On the Affinities of the Triassic Plant *Yuccites vogesiacus* SCHIMP. et MOUG. 09 I 151
- On the fossil Plants of the Waldershare and Fredville Series of the Kent Coalfield 09 I 302
- siehe Scott, D. H.
- Arber, E. A. N. and H. H. Thomas: On the structure of *Sigillaria scutellata* BRONGN. and other Eusigillarian stems, in comparison with those of other palaeozoic Lycopods. 09 I 145
- Archangelsky, A. D.: Paläocänablagerungen an der Wolga im Gouvernement Saratow und ihre Fauna 05 II 120
- Sur quelques Ostrea du Paléocène et du Cretacé supérieur de la Russie 08 I 446
- Arctowski, H. et J. Thoulet: Expédition antarctique Belge. Résultats du voyage S. Y. Belgica 1897—1899. Rapport sur les densités de l'eau de mer 06 II 97
- Arendt, R.: Grundzüge der Chemie und Mineralogie. CBI 1905 59
- Argand, E.: Sur la tectonique du massif de la Dent-Blanche 09 II 88
- Sur la tectonique de la zone d'Ivrée et de la zone du Strona 09 II 88
- Contribution à l'histoire du géosynclinal piémontais. 09 II 90
- siehe Lugeon, M. et Argand, E.
- Arlt, Th.: *Die Größe der alten Kontinente* 07 I 32
- Armand, V.: Une station solutréenne, nouvelle grotte et abri sous-roche de Lacave (Lot) 06 I 445
- Arnold, R.: Dome structure in conglomerate 09 II 64
- siehe Haehel, H. L.
- Arnold, R. and A. M. Strong: Some Crystalline rocks of the San Gabriel Mountains, California 07 II 222
- Arnold-Bemrose, H. H.: On some Quartzite-Dykes in Mountain-Limestone near Snelston (Derbyshire) 05 II 388
- Arnold-Bemrose, H. H. and Ed. T. Newton: On an Ossiferous Cavern of Pleistocene Age at Hoc Grange Quarry Longcliffe near Brassington (Derbyshire) 1907 I 448. 453
- Arrhenius, S.: Die physikalischen Grundlagen der Kohlen-säuretheorie der Klimaveränderungen CBI 1909 481
- siehe auch Kayser, E., sowie Köken, E.

Arsandaux, H.: I. De la variabilité de la composition chimique du magma fondu d'une éruption pendant le cours de celle-ci. II. Interprétation de la composition chimique d'un tel magma	1905	I	246
— Contribution à l'étude des roches sodiques de l'Est-Africain	05	I	247
— Contribution à l'étude des roches basaltiques de l'Est-Africain	05	I	248
— Sur les gîtes aurifères du massif du Khakhadian (Soudan occidental)	06	I	9
— Sur un trachyte à noséane du Soudan français	06	I	391
— Sur l'extension des roches alcalines dans le bassin de l'Aouache	07	II	415
Artemjew, D.: Baryt aus dem Gouvernement Kostroma	07	II	376
Arthaber, G. v.: Die alpine Trias des Mediterrangebietes. (Lethaea geognostica. II. Teil. 1. Band: Trias.)	06	I	416
— Beiträge zur Kenntnis der Organisation und der Anpassungserscheinungen des Genus <i>Metriorhynchus</i>	08	II	439
— Ueber die Entdeckung von Untertrias in Albanien und ihre faunistische Bewertung	08	II	399
— <i>Ueber den Anpassungstypus von Metriorhynchus</i>	CBI 1907		385
— <i>Ueber die Hinterextremität von Metriorhynchus</i>	CBI 1907		502
Aschan, O.: Die Bedeutung der wasserlöslichen Humusstoffe (Humussole) für die Bildung der See- und Sumpferze	09	I	77
Atkin, A. J. R.: The Genesis of the Gold-Deposits of Barkerville (British Columbia) and the Vicinity	06	I	75
— Some Notes on the Gold Occurrences on Lightning Creek, B. C.	07	I	407
— An Occurrence of Scheelite, near Barkerville, B. C.	07	II	32
Atterberg, A.: Sandslagens klassifikation och terminologi	06	I	205
— Die rationelle Klassifikation der Sande und Kiese	06	I	205
— Analysen dreier Laterite aus Brasilien	CBI 1909		361
Atwood, W. W.: Red Mountain, Arizona: a dissected volcanic cone	09	I	45
Auer, E.: Ueber einige Krokodile der Juraformation	09	I	450
— <i>Die Extremitäten von Metriorhynchus</i>	CBI 1907		536
— <i>Weitere Beiträge zur Kenntnis des Genus Metriorhynchus</i>	CBI 1907		353
Auerbach, A.: Die Heimat erratischer Geschiebe aus der Umgegend von Gera	07	II	462
Auerbach, F.: Der Zustand des Schwefelwasserstoffs in Mineralquellen	06	I	327
Autenrieth, W.: <i>Eine einfache Methode der Bestimmung des Kaliums in Silikaten</i>	CBI 1908		513
Avebury, L.: An Experiment in Mountain-Building: Part II	06	I	405

B.

Bach, F.: Zur Kenntnis der Oberkieferbezaehnung obermiocäner Rhinocerotiden	09	II	121
— Mastodon-Reste aus der Steiermark (II. Mitteilung)	09	II	122
— <i>Listriodon splendens</i> H. v. M. aus Steiermark	08	II	430
— <i>Das Alter des „Belvedereschotters“</i>	CBI 1908		386
Bächler, E.: Die prähistorische Kulturstätte in der Wildkirchli-Ebenalpböhle (Säntisgebirge, 1477—1500 m ü. M.)	08	I	106
Bäckström, H.: Ekströmsbergs och Mertainens jernmalmfältis geologi	06	I	231
— Ein Kugelgranit von Spitzbergen	06	II	363
Bagg, R. M.: Foraminifera	07	II	158
— Miocene Foraminifera from the Monterey Shale of California with a few species from the Tejon formation	08	II	283

Bagg jr., R. M.: Some Copper Deposits in the Sangre de Christo Range, Colorado	1909	II	400
Bain, H. F.: The Fluorspar deposits of Southern Illinois	06	II	180
— Zinc and Lead Deposits of North-western Illinois	06	II	180
— Sedigenetic and Igneogenetic Ores	07	I	406
— Some Relations of Palaeogeography to Ore-deposition in the Mississippi Valley	08	II	218
Bakalov, P.: <i>Stromatorhiza, eine Stromatoporide aus dem oberen Rauracien des Schweizer Jura</i>	06	I	13
— <i>Vorläufige Mitteilung über die Fauna der Trias und des Jura von Kotel (Bulgarien)</i>	CBl 1905		481
Baklund, H.: Einige Daten zur Kenntnis der gesteinsbildenden Pyroxene	09	II	17
— Rhombischer Pyroxen aus einem „Hypersthengneis“	09	II	16
— Ueber einige Diabase aus arktischem Gebiet	09	II	394
Balbiano, L.: <i>Ricerche sui petroli italiani</i>	05	I	443
Balbiano, L. e P. Zeppa: <i>Ricerche sui petroli italiani</i>	05	I	443
Ball, S. H.: Pre-Cambrian Rocks of the Georgetown Quadrangle, Colorado	08	I	238
Ballore, F. de, Montessus de, siehe Montessus de Ballore, F. de.			
Baltzer, A.: <i>Nachlese zur Geologie des Aarmassivs</i>	05	I	427
— <i>Notiz zum geologischen Kärtchen der Umgebungen des Isees und zu den Ueberschiebungen zwischen Camonica und Chiesetal</i>	CBl 1909		135
Bancroft, J. A., siehe Norton Evans, N. and Bancroft, J. A.			
Bang, O. Hofman, O., siehe Hofman-Bang, O.			
Baratta, M.: <i>Il grande terremoto Calabrio dell' 8 settembre 1905</i>	08	I	220
Barbier, Ph.: <i>Sur un caractère chimique différentiel des orthoses et des microclines</i>	09	I	185
— <i>Sur un nouveau mica du groupe paragonite</i>	09	I	190
Barbour, E. H.: <i>A new Miocene Artiodactyl</i>	07	II	485
Bardet, G.: <i>Essai de mesure de l'activité photographique de certaines minéraux</i>	06	I	4
— <i>Inclusions de cristaux de quartz, de rutile et de sidérose dans un quartz de l'Uruguay</i>	08	II	143
Bardon, L. et A. Bouyssonie: <i>Monographie de la grotte de Noailles (Corrèze)</i>	07	I	453
Bardon, L., siehe Bouyssonie, A. et Bardon, L.			
Baren, J. van: <i>De morphologische Bouw van het Diluvium ten Westen van den Ijsel</i>	08	II	252
— siehe Lorie, J.			
Barker, T. V.: <i>On some crystals of Quartz from De Aar (Cape Colony) and other localities</i>	05	I	21
— <i>On the regular growth of soluble salts on each other</i>	09	I	161
— <i>Untersuchungen über regelmäßige Verwachsungen</i>	09	I	321
— <i>Contributions to the theory of isomorphism based on experiments on the regular growths of crystals of one substance on those of another</i>	09	I	322
— <i>The question of a relation between the Parallel Growths of Crystals and Isomorphous Miscibility, and the bearing of Parallel Growths on questions of Isomorphism. — Communications from the Oxford Mineralogical Laboratory No. XI</i>	09	I	324

Barker, siehe W y r o u b o f f, G.			
Barlow, A. E.: Report on the origin, geological relations and composition of the Nickel and Copper deposits of the Sudbury Mining District	1906	II	181
— On the Origin and Relations of the Nickel and Copper Deposits of Sudbury, Ontario, Canada.	08	I	81
Barnett, V. H.: Notice on the Discovery of a New Dike at Ithaca, N. Y.	07	II	223
Barré, O.: L'architecture du sol de la France. Essai de géographie tectonique	CB1	1905	439
Barrell, J.: Geology of the Marysville mining district, Montana; a study of igneous intrusion and contact metamorph	09	I	74
Barrett-Hamilton, G. E. H.: Traces of post glacial action in the Orange River Colony South Africa.	09	I	111
Barrois, Ch.: Sur le kersanton de la rade de Brest	05	I	427
Barron, T.: On the Age of the Gebel Ahmar Sands and Sandstone, the Petrified Forest and the Associated Lavas between Cairo and Suez	07	I	393
— Rock Cavities in Granite in Madagascar	07	I	393
— Lower Miocene Beds between Cairo and Suez	09	I	100
— Age of the Petrified Forest etc. between Cairo and Suez	09	I	100
— The Topography and Geology of the district between Cairo and Suez	09	I	100
Barrow, G.: On the Moine Gneisses of the East-Central Highlands and their Position in the Highland Sequence	05	II	390
Barrow, G. and H. H. Thomas: On the occurrence of metamorphic minerals in calcareous rocks in the Bodmin and Camelford areas, Cornwall	09	II	205
Barschall, H., siehe Hoff, J. H. van't.			
Bärtling, R.: Zur Frage der Entwässerung lockerer Gebirgsschichten als Ursache von Bodensenkungen, besonders im rheinisch-westfälischen Steinkohlenbezirk	09	I	77
Barus, C.: Note on Volcanic Activity	09	I	82
Barviř, H. L.: Ueber die Verhältnisse zwischen dem Brechungs-exponenten und der Dichte bei einigen Mineralien	05	II	169
— Ueber die Verhältnisse zwischen dem Atomgewicht und der Dichte bei einigen Elementen	05	II	170
— Weitere Bemerkungen über die Verhältnisse zwischen dem Atomgewicht und der Dichte bei einigen Elementen	05	II	170
— Geologische und bergbaugeschichtliche Notizen über die einst goldführende Umgebung von Neu-Knín und Stěchovic in Böhmen	06	II	379
— Zur Frage nach der Entstehung der Graphitlagerstätten bei Schwarzbach in Südböhmen	07	I	81
— Ueber die Möglichkeit der Aufsuchung nutzbarer Erzlagerstätten mittels einer photographischen Aufnahme ihrer elektrischen Ausstrahlung	08	I	78
— Zur Lichtbrechung des Goldes, Silbers, Kupfers und Platins	08	I	170
— Ueber die Lage einiger Kuttenberger Gruben	08	I	401
— Weitere Bemerkungen zu den Kuttenberger Fragen	08	I	401
— Spuren von Goldführung in carbonischen und permischen Schichten Böhmens	08	I	402
— Notizen über den Goldbergbau bei Eule.	08	I	402
Baschieri, E.: Sulla costituzione dell' ilvaite	08	II	310
— Nuove considerazioni sulla costituzione dell' Ilvaite.	08	II	311

	Jahrg. Bd. Seite
Baschieri, E.: Studio sulla costituzione delle zeoliti	1908 II 314
— Nuovo contributo allo studio della costituzione chimica delle zeoliti	09 II 193
Bascom, F.: Piedmont district of Pennsylvania	07 II 220
Bascom, F. und V. Goldschmidt: Anhydritzwilling von Aussee	08 II 320
Basedow, H.: Kritische Bemerkungen zu Dr. Noelling's Erklärungsversuch der Warrnambol-Spuren	CBI 1909 495
Baskerville, Ch. and G. F. Kunz: Kunzite and its unique properties	05 II 22
Baskerville, Ch. and L. B. Lockhart: The action of Radium emanations on minerals and gems	07 I 8
Baskerville, Ch., siehe Kunz, G. F.	
Bassani, F.: Il Notidanus griseus CUVIER nel Pliocene della Basilicata e di altre regioni italiane e straniere	05 II 315
Bassani, F. e A. Goldieri: Notizie sull' attuale eruzione del Vesuvio (Aprile 1906)	07 I 44
— — Sui vetri forati di Ottajano nella eruzione dell' Aprile 1906	08 I 45
Bassler, R. S.: Cement Materials of Western Virginia	09 II 246
— siehe Ulrich, E. O.	
Bassoli, G. G.: Otolithi fossili terziarii dell' Emilia	06 II 297
Bastin, E. S.: Note on baked clays and natural slags in eastern Wyoming	07 I 244
— Some unusual rocks from Maine	08 II 372
Bate, D. M. A.: Four and a half Months in Crete in search of Pleistocene Mammalian Remains	07 I 298
Bather, F. A.: Echinoderma 1905 II 147	07 II 153
— Sympterya Minveri n. g. et sp.: A devonian Ophiurid from Cornwall	08 I 135
— Australian Palaeontologists on silurian Ophiurids	08 I 138
— The discovery in west Cornwall of a silurian erinoid characteristic of Bohemia	09 I 134
— siehe Fox, H., sowie Koehler, R.	
Bauer, F.: Petrographische Untersuchung des Duppauer Theralithvorkommens	05 II 55
Bauer, L.: Das Goldvorkommen von Tangkogae in Korea	07 I 258
Bauer, M.: Weitere Mitteilungen über den Jadeit von Ober-Birma	CBI 1906 97
— Wurfslacken und Lava der Vesuv-Eruption von 1906	CBI 1906 327
— Edelsteinkunde	CBI 1909 443
— Beitrag zur Kenntnis des Laterits, insbesondere dessen von Madagaskar	Festband 33
Baum, F.: Ein Beitrag zur Kenntnis der Stufe des Ammonites (Stephanoceras) Blagdeni	CBI 1909 733
Baumberger, E.: Fauna der unteren Kreide im westschweizerischen Jura. I. Stratigraphische Einleitung	05 I 155
— Fauna der unteren Kreide im westschweizerischen Jura. II. III. Die Ammonitiden der unteren Kreide im westschweizerischen Jura 1906 II 143	07 I 483
Baumberger, E. und A. Heim: Paläontologisch-stratigraphische Untersuchung zweier Fossilhorizonte an der Valangien—Hauterivien-Grenze im Churfürsten—Mattstockgebiet. Mit einigen Bemerkungen über die Stratigraphie der analogen Schichten der Zentralschweiz von AUG. BUXTORF	08 I 425

- Baumgärtel, B.: Der Erzberg bei Hüttenberg in Kärnten 1905 II 80
- Das Nebengestein der Chromeisenerzlagertstätten bei Dubočica in Bosnien und das Auftreten von sekundär gebildetem Chromit in demselben 05 II 383
- Beitrag zur Kenntnis der Kieslagerstätten zwischen Klingenthal und Graslitz im westlichen Erzgebirge 07 II 81
- Bemerkungen zur Arbeit „Zur Kenntnis der Kieslagerstätten zwischen Klingental und Graslitz im westlichen Erzgebirge“ von Dr. OTTO MANN in Dresden 08 I 84
- *Blau-e Kainitkristalle vom Kalisalzwerk Asse bei Wolfenbüttel* CBI 1905 449
- Oberharzer Gangbilder CBI 1907 550
- *Ueber Quarzinjektionen in der Umgebung der vogtländisch-westerzgebirgischen Granitmassive* CBI 1907 716
- Ueber Sphärosiderite in unmittelbarer Nachbarschaft des Rammelsberger Kieslagers CBI 1909 577
- Baumhauer, H.: Untersuchungen über die Entwicklung der Kristallflächen im Zonenverbande 05 I 1
- Ueber die Aufeinanderfolge und die gegenseitigen Beziehungen der Kristallformen in flächenreichen Zonen 05 II 332
- Die Mineralien des Binnentals 06 II 27
- Ueber die regelmäßige Verwachsung von Rutil und Eisenglanz 07 I 196
- Ueber das Gesetz der regelmäßigen Verwachsung von Rutil und Eisenglanz 08 I 175
- *Ueber die Winkelverhältnisse des Benitoit* CBI 1909 592
- Die neuere Entwicklung der Kristallographie. CBI 1905 598
- Baumhauer, H. und C. O. Trechmann: Neuere Beobachtungen am Baryt des Binnentales 09 I 345
- Baur, E.: Systeme aus Kieselsäure und Flußsäure 1905 II 4 06 I 6
- Chemische Kosmograpie CBI 1905 91
- Bazarewski, St. v.: Beiträge zur Kenntnis der Nitrifikation und Denitrifikation im Boden 08 II 186
- Beck, H.: Geologische Mitteilungen aus den Kleinen Karpathen 05 I 446
- Lias bei Vareš in Bosnien 05 I 465
- Beck, R.: Die Nickelerzlagertstätte von Sohland a. d. Spree und ihre Gesteine 05 I 94
- Ueber die Erzlager der Umgebung von Schwarzenberg im Erzgebirge 06 I 76
- Ueber einige Eruptivgneise des sächsischen Erzgebirges 06 I 366
- Ueber einige Kieslagerstätten im sächsischen Erzgebirge. 07 II 80
- Ueber die Beziehungen zwischen Erzgängen und Pegmatiten 08 I 80
- Einige Bemerkungen über afrikanische Erzlagertstätten 08 I 396
- Untersuchungen über einige südafrikanische Diamantlagertstätten 09 II 237
- Ueber ein kürzlich aufgeschlossenes Wolframerzgangfeld und einige andere neue Aufschlüsse in sächsischen Wolframerzgruben 09 II 242
- Beck, R., siehe Dieseldorff, A.
- Becke, F.: Ueber Mineralbestand und Struktur der kristallinen Schiefer. 1905 I 59. 75
- Die Eruptivgesteine des böhmischen Mittelgebirges und der amerikanischen Andes. Atlantische und pazifische Sippe der Eruptivgesteine 05 II 52
- Optische Untersuchungsmethoden 05 II 333
- Bestimmung der Dispersion der Doppelbrechung 05 II 333
- Die optischen Eigenschaften der Plagioklasse 07 I 351

	Jahrg.	Bd.	Seite
Becke, F.: Ueber die vulkanischen Laven	1907	I	53
— Messung des Winkels der optischen Achsen aus der Hyperbelkrümmung	07	II	165
— Die Skiodromen. Ein Hilfsmittel bei der Ableitung der Interferenzbilder	07	II	165
— Whewellit von Brüx.	09	I	15
— Bemerkungen über krumme Kristallflächen	09	I	17
— Ueber Kristallisationsschieferung und Piezokristallisation	09	I	375
— Ueber Myrmekeit	09	II	180
— Die MALLARD'sche Konstante des Mikrokonoskops	09	II	327
— Zur Unterscheidung ein- und zweiachsiger Kristalle im Konoskop	09	II	328
— Gipszwillinge von Bochnia	09	II	362
— siehe Penck, A., sowie Stěp, J.			
Beckenkamp, J.: Bemerkungen zu der Abhandlung von P. P. Koch	05	II	333
— Ueber einen Fund von gediegenem Eisen	06	I	10
— Ueber die Massenverteilung beim Quarz	07	II	181
— Ueber die Magnetisierung der dem THOMSON'schen Gesetz nicht folgenden Mineralien	07	II	352
— Ueber neuere Aufgaben der Mineralogie	08	I	1
— Ueber Chalkopyrit von Arakawa, Provinz Ugo in Japan, und über die Struktur des Chalkopyrits im allgemeinen	08	I	173
— Ueber die Dioxyde der Elemente der vierten Gruppe des periodischen Systems	08	I	329
— Ueber die Monoxyde und Monosulfide der Elemente der zweiten Gruppe und über einige Oxyde und Sulfide von Elementen anderer Gruppen des periodischen Systems	08	II	148
Becker, E.: Der Roßbergbasalt bei Darmstadt und seine Zersetzungsprodukte	06	I	367
— Der Wartenberg bei Geisingen in Baden.	07	II	403
— Die Basalte des Wartenbergs bei Geisingen in Baden	09	II	67
— Chemische Beziehungen einiger melilithhaltiger Basalte. Ein neuer Beitrag zur Petrographie des Basaltes von Wartenberg bei Geisingen	09	II	67
Becker, G. F.: Experiments on schistosity and slaty cleavage	05	II	408
— Current Theories of Slaty Cleavage	09	I	53
Becquerel, J.: Sur les variations des bandes d'absorption d'un cristal dans un champ magnétique	07	II	29
Beeby, T.: The use of a geological datum	06	I	43
Beecher, Ch. E.: Note on a New Permian Xiphosuran from Kansas	06	II	298
— Observations on the genus Romingeria	07	I	486
Beekman, E. H. M.: Geschiedenis der systematischen Mineralogie.	CBI	1907	246
Behlen, H.: Das Alter und die Lagerung des Westerwälder Bimssandes und sein rheinischer Ursprung.	05	II	430
— Eine neue Nachgrabung vor der Steedener Höhle Wildscheuer nebst einem Exkurs über die diluvialen Höhlenablagerungen im allgemeinen	07	I	292
— Das Alter und die Lagerung des Westerwälder Bimssandes und sein rheinischer Ursprung	07	II	61
Behr, H., siehe Hoff, J. H. van't.			
Behrend, F.: Ueber einige Carbonfarne aus der Familie der Sphenopteriden	09	I	150

- Beierle, K.*: Kristallisierter Schwefel aus dem oberen Muschelkalk bei Bruchsal CBI 1906 202
- Bell, J. M.*: The Salient Features of the Economic Geology of New Zealand. 1908 I 399
- The possible granitization of acidic Lower Huronian schists on the north shore of Lake Superior 08 II 374
- Bell, R. etc.*: Report of the special committee for the Lake Superior Region 07 I 107
- Bellingier*: Bemerkungen über das Mangan- und Eisenerzvorkommen bei Niedertiefenbach im Lahntal 05 I 99
- Bellini, R.*: Spuren von Selen auf der Vesuvlava von 1906 CBI 1907 611
- Ueber das Vorkommen des Pelagosit auf der Insel Capri . CBI 1909 667
- Bellmer, A.*: Untersuchungen an Seen und Söllen Neuvo-pommerns und Rügens 08 I 98
- Belloc, G.*: Osmose au travers des tubes en silice. 07 I 20
- Belowsky, M.*: Beiträge zur Petrographie des westlichen Nord-Grönlands. 07 I 244
- Ueber den angeblichen, als Leucituranolith bezeichneten Meteoriten von Schafstädt bei Merseburg CBI 1909 289
- Bemmelen, J. M. v.*: Beiträge zur Kenntnis der Verwitterungsprodukte der Silikate in Ton-, vulkanischen und Lateritböden 06 I 23
- Bemrose, Arnold, H. H.*, siehe Arnold-Bemrose, H. H.
- Benecke, E. W.*: Die Versteinerungen der Eisenerzformation von Deutsch-Lothringen und Luxemburg 06 I 303
- Zur Gliederung des Buntsandsteins im Haardtgebirge (Nordvogesen) CBI 1905 380
- Ueber *Mytilus edulisformis* Schl. sp. CBI 1905 705
- Die Stellung der pflanzenführenden Schichten von Neuwelt bei Basel CBI 1906 1
- Benecke, E. W. und Werveke, L. van*: Malm im Unter-Elsaß CBI 1908 609
- Benedicks, C.*: Umwandlung des Feldspats in Sericit (Kali-glimmer) 08 I 186
- Yttriumhaltiger Mangangranat 08 I 187
- Benson*: *Telangium Scotti*, a new species of *Telangium* (*Calymmatotheca*) showing structure 07 I 164
- The fructification of *Lyginodendron Oldhamium* 07 I 163
- Berg, G.*: Die Magneteisenerzlager von Schmiedeberg im Riesengebirge 05 I 258
- Gesteine von Angola, São Thomé und St. Helena 05 II 76
- Ueber die petrographische Entwicklung des niederschlesischen Miocäns 06 II 430
- Schneller Nachweis eines Anhydritgehaltes in Gesteinen und künstliche Bildung mikroskopischer Anhydritkriställchen . CBI 1907 688
- Bergeat, A.*: Die STÜBEL'sche Vulkantheorie 05 I 223
- Der Granodiorit von *Concepción del Oro* im Staate *Zacatecas* (Mexiko) und seine Kontaktbildungen BB XXVIII 421
- Nontronit, gebildet durch die Einwirkung von Eisensulfat-lösung auf Wollastonit CBI 1909 161
- Staukuppen Festband 310
- siehe Stelzner-Bergeat, resp. Harbort, E.
- Bergeron, J.*: Sur l'origine de la serpentine de la série cristallophyllienne de l'Aveyron et du Gard 08 I 70
- Bergt, W.*: Aschenstruktur in vogtländischen Diabastuffen . 05 II 212

	Jahrg. Bd. Seite
Bergt, W.: Stauchungen im Liegenden des Diluviums in Dresden	1906 I 297
— Das Gabbromassiv im bayrisch-böhmischen Grenzgebirge.	
2. Der böhmische Teil des Gabbromassivs	08 I 60
— <i>Die Phyllitformation am Südostflügel des sächsischen Granulitgebirges ist nicht azoisch</i>	CBI 1905 109
— <i>Radiolarienführende Kieselchiefer im „Cambrium“ von Tharandt in Sachsen</i>	CBI 1905 411
— <i>Zur Einteilung und Benennung der Gabbrogesteine</i>	CBI 1906 10
— <i>Zur Geologie der colombianischen Mittelkordillere. Erwiderung</i>	CBI 1907 720
Bernard, A.: Mineralien der Umgebung von Tabor	09 II 366
Bernard, Ch., siehe Potonié, H.	
Berry, E. W.: The cretaceous exposure near Cliffwood, N. J.	05 I 303
— New species of plants from the Matawan formation	07 I 494
— The Flora of the Matawan Formation (Crosswicks Clays)	07 I 494
Berthelot: Sur l'état du carbone vaporisé	05 I 16
— Sur la transformation du diamant en carbone noir (charbon) pendant son oxydation, et sur les changements isomériques des corps simples pendant les décompositions et combinaisons	05 I 15
— Synthèse du quartz améthyste: recherches sur la structure naturelle ou artificielle de quelques pierres précieuses sous les influences radioactives	08 II 170
Bertrand, C.: La specification des Cardiocarpus de la collection B. RENAULT	09 I 461
Bertrand, L.: Le rôle des grands mouvements horizontaux dans la formation des chaînes de montagnes	08 II 231
Bertrand, M.: 1. Le bassin houiller du Gard et les phénomènes de charriage. 2. Essai d'une théorie mécanique de la formation des montagnes. Déplacement progressif de l'axe terrestre. 3. Déformation tétraédrique de la Terre et déplacement du pôle	09 I 366
— siehe Schar dt, H., sowie Wil ckens, O.	
Berwerth, F.: Der Meteoreisenzwilling von Mukerop, Bezirk Gibeon, Deutsch-Südwestafrika	05 I 217
— Der meteorische Eukrit von Peramiho	05 I 218
— Ueber die Metabolite, eine neue Gruppe der Meteoreisen	05 I 394
— Andesitauswürfling des Mont Pelée	06 I 229
— Künstlicher Metabolit	07 I 360
— Ein neuer Eukrit von Peramiho	07 I 361
— Das Meteoreisen von Kodaikanal und seine Silikatausscheidungen	07 II 204
— Welche Farbe soll man als Hintergrund für Mineralschaustellungen wählen?	08 I 1
— Zwei neue Magnetkiesvorkommen aus Tirol, Oesterreich	08 II 295
— Die Tracht der Meteoriten. Vortrag gehalten im wissenschaftlichen Klub in Wien am 21. März 1907	09 I 352
— Etwas über die Gestalt und Oberfläche der Meteoriten	09 I 352
— Steel and Meteoric Iron	09 I 352
— Kristallinische Gesteinsgerölle im eocänen Flysch des Wienerwaldes	09 II 223
Beutler, K.: <i>Ueber Foraminiferen aus dem jungtertiären Globigerinenmergel von Bahna im Distrikt Mehediuti (rumanische Karpathen)</i>	09 II 140
Bever, S. W.: Mineral production in Iowa for 1902.	07 I 251
Beyer, S. W., G. W. Bissell, J. A. Williams, J. B. Weems, A. Marston: Clays and clay industries of Iowa	06 I 240

- Beyschlag, F.: Diskussions-Bemerkung zu den „Mitteilungen über die Erzlagerstätten Oberschlesiens“ 1906 II 74
- Beyschlag, F. und R. Michael: Ueber die Grundwasser-
verhältnisse der Stadt Breslau 09 II 371
- Beyschlag, F., siehe Michael, R., sowie Monke, H.
- Biernacki, V.: Ueber einen Halbschattenanalysator 07 I 188
- Bilharz, O.: Das Vorkommen von Graphit in Böhmen, ins-
besondere am Ostrande des südlichen Böhmerwaldes 05 II 177
- Biltz, W.: Einige Versuche über ultramikroskopische Löslich-
keitsbestimmung 08 II 5
- Notizen über Schmelzen und Sublimieren einiger Sulfide 09 II 182
- Biltz, W. und E. Marcus: Ueber das Vorkommen von
Ammoniak und Nitrat in den Kalisalzlagerstätten 09 II 156
- Biquard, R., siehe Moureu, Ch.
- Birkinbine, J.: The Production of Manganese ores in 1902 05 I 209
- Bishop, H. R.: Investigations and studies in Jade CBI 1906 249
- siehe Kunz, G. F.
- Bissel, G. W., siehe Beyer, S. W.
- Bittner: Grenze zwischen der Flyschzone und den Kalkalpen
bei Wien 09 I 416
- Blaas, J.: Ueber Grundwasserverhältnisse in der Umgebung
von Bregenz am Bodensee 08 I 370
- Blake, G. S. and G. F. H. Smith: Baddeleyite from Ceylon 09 I 179
- siehe Dunstan, W. R.
- Blake, J. F.: Note on the species „Ammonites plicatilis“ and
„Amm. bplex“ of SOWERBY 05 I 348
- On the Original Form of Sedimentary Deposits 05 I 419
- On the Order of Succession of the Manx Slates in their
Northern Half, and its Bearing on the Origin of the
Schistose Breccia associated therewith 06 II 210
- Blake, W. P.: Jodobromit in Arizona 06 II 15
- Tourmaline of Crown Point, Essex Co., N. Y. 09 I 192
- Blanck, E.: Untersuchungen über die Schwarzerden des
Rittergutes Legien. Kreis Rössel, Ostpreußen 06 I 207
- Blanckenhorn, M.: Ergebnisse der Reise J. THOMSON's
bezüglich der Geologie Südmarokkos 06 II 423
- Das relative Alter der norddeutschen Eolithenlager 07 I 291
- Ueber die Steinzeit und die Feuersteinartefakte in Syrien
und Palästina. 07 I 291
- Ueber die Aufnahmen auf Blatt Ostheim v. d. Rhön (Bay-
rischem Anteil) im Jahre 1902 07 I 421
- Ueber die Geologie der näheren Umgebung von Jeru-
salem 07 I 422
- Oberpliocän mit Mastodon arvernensis auf Blatt Ostheim
v. d. Rhön 07 II 291
- siehe Semper.
- Blasdale, W. C., siehe Hoff, J. H. van't.
- Blaxland, B. W.: A gigantic Cirripede from New Zea-
land 05 II 317
- Bleek, A. W. G.: Die Jadeitlagerstätten in Upper Burma 09 I 185
- Die Kupferkiesgänge von Mitterberg in Salzburg 09 II 396
- Bleibtreu, K.: Ueber metamorphosierte Einschlüsse im Bas-
alt des Petersberges im Siebengebirge 09 II 379
- Bleininger, A. V.: The Manufacture of Hydraulic Cements 06 II 72
- Bloch, C. und M. Hoffmann: Beiträge zum Werte der
heutigen Bodenanalyse. 08 II 186

- Block, J.: Ueber einige Reisen in Griechenland mit Berücksichtigung der geologischen Verhältnisse sowie der Baumaterialien, insbesondere der Marmorarten Griechenlands im Vergleiche mit denjenigen Deutschlands und einiger anderer Länder 1905 II 267 1908 II 217
- Blumer, S.: Zur Entstehung der Glarnerischen Alpenseen 05 I 407
 — Ueber Pliocän und Diluvium im südlichen Tessin 08 I 267
- Bock, H.: Zur Tektonik der Brünner Gegend 05 II 410
- Bode, A.: Die Höhenzüge zwischen Lutter am Barenberge und Lichtenberg in Braunschweig 05 II 260
 — Die Moränenlandschaft im Odertale bei St. Andreasberg 06 I 298
- Bodenbender, W.: Bleiglanz-, Vanadin- und Molybdänerzgang in der Provinz St. Luis, Argentinien, Südamerika. — Contribucion al conocimiento de la precordillera de San Juan, de Mendoza y de las sierras centrales de la Republica Argentina 05 II 259
 — La Sierra de Cordoba. Constitución geológica y productos minerales de aplicación 07 II 198
- Böcker, E. und Kämmerner, P.: *Kristallographische Bestimmungen an den eine neue Art von optischer Isomerie darbietenden Modifikationen des Benzoylmethylhexanoxims* CBI 1905 178
- Böckh, H.: Beiträge zur Geologie des Kodru-Gebirges 06 II 94
 — Die geologischen Verhältnisse des Vashegy, des Hradek und der Umgebung dieser (Komitat Gömör) 07 I 253
 — *Einige Bemerkungen zu der Mittheilung des Herrn H. v. Stapff: „Zur Stratigraphie und Tektonik der ungarischen Mittelgebirge. I. Gerecse-Gebirge“* CBI 1905 555
- Boeggild, O. B.: The deposits of the sea-bottom (The Danish Ingolf Expedition to Iceland and Greenland) 05 I 421
 — On some Minerals from the Nephelite-Syenite at Julianehaab, Greenland (Erikite and Schizolite) 1905 II 185. 190
 — The minerals from the Basalt of East-Greenland 06 II 182
 — Vulkansk Aske i Moleret 07 I 220
 — Mineralogia Groenlandica CBI 1908 338. 375. 403
- Boehm, G.: Beiträge zur Geologie von Niederländisch-Indien. I. Die Südküsten der Sulainseln Taliabu und Mangoli. 1. Abschnitt: Grenzschichten zwischen Jura und Kreide 05 I 151
 — Ein Strudelkessel im Renggeri-Tone von Kandern 07 I 223
 — Beiträge zur Geologie von Niederländisch-Indien. I. Die Südküsten der Sula-Inseln Taliabu und Mangoli. 2. und 3. Abschnitt 07 II 447
 — *Geologische Mittheilungen aus dem Indo-Australischen Archipel* BB XXII 385. 686 BB XXIV 133. 460 BB XXV 293
 — *Zur Stellung von Lithiotis* CBI 1906 161
 — *Apicalhöhlung bei Ostrea und Lage des Muskeleindrucks bei Lithiotis* CBI 1906 458
 — *Zur Geologie des Indo-australischen Archipels. Nachträge I.* CBI 1908 503
 — *Zur Geologie des Indo-australischen Archipels. Nachträge II. Ueber Macrocephalites und die Längen seiner letzten Wohnkammer* CBI 1909 174
 — *Zur Geologie des Indo-australischen Archipels. Nachträge III. Ueber „Absoluti“ und ihre paläogeographische Verwendbarkeit* CBI 1909 563
- Böhm, J.: Ueber die obertriadische Fauna der Bäreninsel 05 II 110
 — Ueber cretaceische und eocäne Versteinerungen aus Fergana 05 II 283
 — Ueber einen Furchenstein und Tertiär in Dahome 1906 II 117. 430
 — *Zu Brachylepas cretacea H. Woodward* CBI 1906 449

Boeke, H. E.: Ueber das Verhalten von Baryum- und von Calciumcarbonat bei hohen Temperaturen	1908	I	16
— <i>Das Rinneitvorkommen von Wolkranshausen am Südharz. Ein Beitrag zur Salzpetrographie</i>	09	II	19
— <i>Isotrimorphismus von Carnallit und Bromcarnallit</i>	CBl	1908	710
— <i>Rinneit, ein neugefundenes eisenchlorürhaltiges Salzmineral</i> .	CBl	1909	72
— siehe Rinne, F. und Boeke, H. E.			
Böse, E.: La fauna de moluscos del Senoniano de Cárdenas, San Luis Potosi	08	I	102
— <i>Zur Frage der Entstehung des sogenannten mexikanischen Zentralplateaus</i>	08	II	114
— <i>Ueber eine durch vulkanischen Druck entstandene Faltungszone im Tal von Mexiko</i>	09	I	28
— <i>Ein verbesserter Apparat zur photographischen Reproduktion von Ammonitensuren und Ambulakren von Seeigeln</i> . .	CBl	1907	422
Böse, E. und V. v. Vigier: <i>Ueber die Anwendung von Aetzkali beim Präparieren von Versteinerungen</i>	CBl	1907	305
Boettger, O.: Die Odontostomien des mitteloligocänen Meeressandes von Waldböckelheim bei Kreuznach . . .	07	II	335
Bofily Poch, siehe Almera, D. J.			
Bogatscheff: Les sables miocènes du Gouvernement de Stavropol comme l'équivalent du calcaire de Tchokrak .	05	I	469
— <i>Nouvelles espèces de mollusques des dépôts miocènes aux environs de Novotcheskalk</i>	07	I	114
Bogojawlensky, A. und N. Winogradow: Ueber das Verhalten von Schmelz- und Klärungskurven flüssiger Kristalle und ihrer Mischungen	09	I	331
Bogoljubow, N. N.: Zur geologischen Geschichte des Gouvernements Kaluga in der Glazialperiode	07	I	446
— <i>Ueber die Phasen der interglazialen Epoche im Gouvernement Moskau</i>	08	I	275
Bogoslawsky, N. A.: Materialien zur Kenntnis der untercretaceischen Ammonitenfauna von Zentral- und Nordrußland	05	I	350
Bois, G. C. du, siehe Du Bois, G. C.			
Bolton, H.: On the Occurrence of Boulders of Strontia in the Upper Triassic Marls of Abbots Leigh, near Bristol	09	II	230
Boltwood, B. B.: On the Radio-active Properties of the Waters of the Springs on the Hot Springs Reservation, Hot Springs Ark.	07	I	250
— siehe Rutherford, E.			
Bonard, A., siehe Roessinger, G.			
Bonney, T. G.: Notes on Specimens collected by Professor COLLIE in the Canadian Rocky Mountains.	05	II	76
— <i>Some eroded rocks in Corsica</i>	06	I	45
— <i>Notes on some Rocks from Ararat</i>	07	I	391
Bonney, T. G. and C. Raisin: The microscopic structure of minerals forming Serpentine, and their Relation to its History	06	II	56
Bordas, F.: Contribution à la synthèse des pierres precieuses de la famille de aluminides	09	I	178
Borgström, L. H.: Die Meteoriten von Hvittis und Marjalahti	05	I	393
— <i>Ueber Kassiterit von Pitkäranta</i>	06	I	22
Borgström, L. H. und V. Goldschmidt: Kristallberechnung im triklinen System illustriert am Anorthit . . .	07	I	2

- Borissjak, A.: Geologische Skizze des Kreises Isjum und der angrenzenden Teile der Kreise Pawlograd und Zmiew. Das nordwestliche Grenzgebiet des Donetzrückens . . . 1907 I 283
- Sur les restes de Crustacés dans les dépôts du crétacé inférieur de la Crimée 08 I 443
- Sur les Aucelles du crétacé inférieur de la Crimée 08 I 445
- Borissow, P.: Ueber „kubischen“ Quarz von Schunga . . . 09 II 335
- Borne, G. v. d.: Untersuchung über die Abhängigkeit der Radioaktivität der Bodenluft von geologischen Faktoren . . . 07 II 55
- *Die Wirkung von Gesteinen auf die photographische Platte als Mittel zu ihrer Untersuchung auf Radioaktivität* . . . CBI 1905 58
- Borodowsky, W.: Ueber die Abhängigkeit der Kristallisationsgeschwindigkeit von der Temperatur bei Stoffen, die eine geringe Kristallisationsgeschwindigkeit haben . . . 05 I 363
- Bortolotti, C.: Denti di Proboscidi, di Rinoceronte e di Ippopotamo dell' antica collezione CANALI in Perugia . . . 06 I 143
- Boschheidgen, H.: Urstromtäler am Niederrhein. Ostwesttalbildungen von Düsseldorf bis Cleve 05 I 482
- Bosco, C.: Il Castoro quaternario del Maspino 05 II 126
- Botez, N., siehe Reinhard, M.
- Boubée, E.: Sur un nouveau gisement uranifère français . . . 07 I 32
- Boudouard, O.: Sur les silicates d'alumine et de chaux . . . 08 II 152
- Boulanger, G. A.: Further Remarks on the carboniferous Ganoid *Benedius deneensis* TRAQUAIR 05 II 481
- Boule, M.: L'Élan préhistorique en Angleterre 05 I 323
- Sur les terrains pliocènes et quaternaires du bassin sous-pyrénéen 05 I 312
- L'origine des éolithes 06 II 269
- Les grottes des Baoussés Roussés 07 I 449
- Les grands Chats des Cavernes 07 II 317
- Les grottes de Grimaldi, résumés et conclusions des études géologiques 08 I 109
- Observations sur un silex taillé du Jura et sur la chronologie de M. PENCK 08 II 424
- L'homme fossile de la Chapelle-aux-Saints (Corrèze) . . . 09 I 125
- Boule, M., P. Lemoine et A. Thévenin: Céphalopodes crétacés des environs de Diego-Suarez 07 II 333
- Boule, M. et A. Thévenin: Notes sur la géologie et la paléontologie de Madagascar 06 I 100
- — Paléontologie de Madagascar. I. Fossiles de la Côte orientale 06 II 113
- Boulenger, G. A.: On the Characters and affinities of the Triassic Reptile *Telerpeton elginense* 07 I 139
- Boulton, W. S.: On the igneous rocks at Spring Cove, near Weston-super-Mare 05 II 388
- The Igneous rocks of Pontesford Hill (Shropshire) 05 II 391
- Bouquet, E., siehe Dienert, F. et Bouquet, E.
- Bourgeat: Trois coupes géologiques à travers le massif de La Serre (Jura) 05 I 283
- Bourrinet, siehe Capitan.
- Boussac, J.: Sur le parallélisme des couches éocènes supérieures de Biarritz et du Vicentin 06 I 431
- Première note sur les Cérithes; révision du groupe de *Potamides tricarinatus* LAM. 06 II 452
- Le tertiaire nummulitique des Alpes méridionales 07 I 441
- Une grande Nummulite de Biarritz 07 II 297

- Boussac, J.: Sur le terrain nummulitique à Biarritz et dans le Vicentin 1907 II 298
- Eocène moyen et Eocène supérieur 07 II 450
- Observations sur l'Éocène et l'Oligocène de Hampshire 07 II 452
- Développement et Morphologie de quelques foraminifères de Priabona 08 I 138
- Sur la formation du réseau des Nummulites réticulées 08 I 139
- Le Terrain nummulitique des Alpes méridionales 08 I 433
- Sur le Terrain nummulitique à Biarritz et dans le Vicentin 08 I 434
- Observations sur la faune des couches supérieures de Bracklesham à Nummulites variolarius 08 II 91
- Sur la distribution des niveaux et des facies du Mésonnummulitique dans les Alpes 09 I 108
- La transgression du Ludien dans le bassin de Paris 08 II 91
- La limite de l'Éocène et de l'Oligocène 08 II 92
- Sur la succession des faunes nummulitiques à Biarritz 08 II 405
- Du caractère périodique de la mutabilité chez les Cérithes mésonnummulitiques du bassin de Paris 09 II 465
- Valeur stratigraphique de Nummulites laevigatus 1908 II 91 09 II 485
- Bouyssonie, A. et J. et L. Bardon: Découverte d'un squelette moustérien à la Bouffia de la Chapelle-aux-Saints (Corrèze) 09 I 124
- Bouyssonie, A., siehe Bardon, L.
- Bowman, H. L.: Note on some rare Twins of Calcite from Somerset 05 I 23
- Note on the Refractive Indices of Pyromorphite, Mimetite and Vanadinite 05 I 39
- On Hamlinite from the Binnental, Switzerland 09 I 194
- Bownocker, J. A.: The occurrence and exploitation of petroleum and natural gas in Ohio 06 II 386
- Salt Deposits and the Salt Industry in Ohio 08 I 247
- Braecht, E.: Bericht über eine Reise nach den Fundstellen der Eolithen in West-Flandern 05 I 320
- Bradfer, R.: Le tuf humique ou Ortstein, aux points de vue géologique et forestière 05 I 426
- Branca, W.: Die fraglichen fossilen menschlichen Fußspuren im Sandstein von Warnambool, Victoria, und andere angebliche Spuren des fossilen Menschen in Australien 06 II 269
- Ueber H. Höfer's Erklärungsversuch der hohen Wärmezunahme im Bohrloche zu Neuffen 06 II 47
- Die Anwendung von Röntgenstrahlen in der Paläontologie 07 II 467
- Fossile Flugtiere und Erwerb des Flugvermögens 08 II 108
- Vorläufiger Bericht über die Ergebnisse der Trinil-Expedition der Akademischen Jubiläums-Stiftung der Stadt Berlin 09 I 111
- Sind alle im Innern von Ichthyosaren liegenden Jungen ausnahmslos Embryonen? 09 I 448
- Nachtrag zur Embryonen-Frage bei Ichthyosaurus 09 I 448
- Widerlegung mehrfacher Einwürfe gegen die von mir vertretene Auffassung in der Spaltenfrage der Vulkane . CBl 1909 97. 129
(siehe hierüber auch Hibs, J. E., sowie Lenk, H.)
- Brandão, siehe Souza-Brandão, V. de 05 I 398
- Brandes, G.: Zwei Hallesche Meteoritenfälle 05 I 398
- Brandes, Th.: Gibt es Hippuritiden, welche durch Knospung Kolonien bilden? 09 I 93

	Jahrg.	Bd.	Seite
Branner, J. C.: Geology of the northeast coast of Brazil	1909	I	103
Branson, E. B.: Structure and Relationships of American Labyrinthodontidae	09	II	128
Bratianu, V., siehe Alimanestianu, C.			
Braun, F.: Ueber metallische Gitterpolarisation, insbe- sondere ihre Anwendung zur Deutung mikroskopischer Präparate	06	I	323
— Optische Doppelbrechung in isotropen, geschichteten Medien	07	I	19
Braun, G.: Ostpreußens Seen. Geographische Studie	05	I	471
— Zur Morphologie des Volterrano	06	II	349
— Ueber ein Vorkommen verkieselter Baumstämme an der Ost- küste von Island	CBl	1908	66
Bräunlich, F., siehe Donath, Ed.			
Brauns, R.: Saphir von Ceylon und von Australien	06	I	41
— Lichtschein bei Granat, Zirkon und Saphir	07	I	13
— Die zur Diabasgruppe gehörenden Gesteine des Rheinischen Schiefergebirges	07	I	53
— Sanidin vom Leitenkopf bei Niederlützingen	09	I	43
— Der oberdevonische Deckdiabas, Diabasbomben, Schalstein und Eisenerz	BB	XXI	302
— Ueber Eisenkiesel von Warstein i. W.	BB	XXI	447
— Beiträge zur Kenntnis der chemischen Zusammensetzung der devonischen Eruptivgesteine im Gebiete der Lahn und Dill	BB	XXVII	261
— Beiträge zur Kenntnis der chemischen Zusammensetzung der devonischen Eruptivgesteine im Gebiete der Lahn und Dill. II. Teil	BB	XXVIII	379
— Das Mineralreich	CBl	1905	187
— Mineralogie	CBl	1905	281
— Erklärung betr. B. Schmid, Lehrbuch der Mineralogie	CBl	1905	343
— Entwicklung des mineralogischen Unterrichts an der Uni- versität Gießen	CBl	1905	557
— Zirkon aus Tasmanien	CBl	1905	483
— Saphir aus Australien. Ungewöhnlich großer Kristall von Saphir und Rubin	CBl	1905	588
— Ungewöhnlich lange Beständigkeit des monoklinen prisma- tischen Schwefels	CBl	1905	678
— Ueber Neubildung von Schwefelkies	CBl	1905	714
— Vesuvasche an der Ostsee. Gips in der in Italien gefallenen Vesuvasche. Salzkruste auf frischer Vesuvlava	CBl	1906	321
— Graphit und Molybdänglanz in Einschlüssen niederrheinischer Basalte	CBl	1908	97
— Gediegenes Kupfer und Kupferverbindungen in und aus Ein- schlüssen niederrheinischer Basalte	CBl	1908	705
— Ueber Pyromorphit, insbesondere aus der Umgebung von Rhein- breitbach a. Rh.	CBl	1909	257
— Die Brechungsexponenten einiger künstlicher Edelsteine	CBl	1909	673
— Der Einfluß von Radiumstrahlen auf die Färbung von Sanidin, Zirkon und Quarz. Kristallform des Zirkons aus Sanidin vom Laacher See	CBl	1909	721
Brauns, H.: Ueber neue Funde versteinertes Gliedmaßenknorpel von Selachiern	05	II	313
Bravais, siehe Friedel, G.			
Bravo, J. J.: Apuntes sobre la paleontologia de Yauli	08	I	437
Bredig, G. und G. v. Schukowsky: Prüfung der Natur der flüssigen Kristalle mittels elektrischer Kata- phorese	05	I	5

Brendler, W.: Mineraliensammlungen, ein Hand- und Hilfsbuch für Anlage und Instandhaltung mineralogischer Sammlungen	CBI 1909	380
Bréon, R.: Galets et sables du Pas-de-Calais 1908 II 57	1909	I 200
Breuil, H., siehe Capitan, sowie Cartailhac, E.		
Brezina, A.: The Arrangement of Collections of Meteorites	05	I 211
— Ueber Tektite von beobachtetem Fall	05	I 399
— Meteoriten in moderner Reproduktionstechnik	07	I 361
— Meteoritenstudien. III. Zur Frage der Bildungsweise eutroptischer Gemenge	07	I 358
— Ueber dodekaedrische Lamellen in Oktaedriten	07	I 357
Brezina, A. und E. Cohen: Ueber Meteoreisen von De Sotoville	05	I 397
— — Die Struktur und Zusammensetzung der Meteoreisen, erläutert durch photographische Abbildungen geätzter Schnittflächen	06	I 188
Briesen, siehe Schulz-Briesen.		
Brill, O.: Ueber die Dissoziation der Erdalkalien und des Magnesiumcarbonats	07	I 13
Briquet, A.: Sur l'origine des collines de Flandre	07	II 296
— Les gisements d'oolithe silicifiée de la région de la Meuse	08	I 268
— Note préliminaire sur quelques points de l'histoire plio-pliocène de la région gallo-belge	08	I 270
— Sur les relations des sables à lignites du Rhin et les terrains tertiaires marins	08	II 92
— La vallée de la Meuse en aval de Liège	08	II 409
— Extension de la plage soulevée de Saugatte	08	II 411
Britton, E. G. and A. Hollick: American fossil Mosses with description of a new species from Florissant, Colorado	09	II 154
Brives, A.: Les terrains crétacés dans le Maroc occidental	06	I 293
Brockmeier, H.: Ein neuer Tertiäraufschluß und eigenartige diluviale Bildungen von M.-Gladbach	09	I 274
Brögger, W. C.: Ueber den Hellandit, ein neues Mineral	05	I 381
— Ueber die chemische Zusammensetzung des Xenotim	05	I 384
— Eine Sammlung der wichtigsten Typen der Eruptivgesteine des Kristiania-Gebietes nach ihren geologischen Verwandtschaftsbeziehungen geordnet	06	II 196
— Hellandit von Lindvikskollen bei Kragerö	08	I 193
— Die Mineralien der südnorwegischen Granitpegmatitgänge. I. Niobate, Tantalate, Titanate und Titanoniobate	08	I 336
Broek, E. van den: Les grès erratiques du Sud de Démer et dans la Région de la Herck	05	I 467
— Quelques mots à propos des nouvelles fouilles exécutées dans la grotte de Remonchamps et de la découverte d'un collier préhistorique en coquilles d'origine étrangère	05	I 322
Broili, F.: Beobachtungen an Cochleosaurus bohemicus FRITSCH	07	I 146
— Permische Stegocephalen und Reptilien aus Texas	07	I 147
— Pelycosaurierreste von Texas	07	I 313
— Stammreptilien	07	I 313
— Ein <i>Dicynodontierrest</i> aus der Karooformation	08	I 1
— Ein montiertes Skelett von <i>Labidosaurus hamatus</i> COPE, einem <i>Cotylosaurier</i> aus dem Perm von Texas	08	II 266
— Ueber <i>Scleurocephalus</i> aus der Gaskohle von Nürschan und das Alter dieser Ablagerungen	08	II 266
— Systematische und biologische Bemerkungen zu der permischen Gattung <i>Lysorophus</i>	09	II 125

Broili, F.: Ueber die rhachitomen Wirbel der Stegocephalen	1909	II	138
— <i>Ichthyosaurierreste aus der Kreide</i>	BB	XXV	422
— <i>Ein Stegocephalenrest aus den bayrischen Alpen</i>	CBl	1906	568
— <i>Ueber die Reste eines Nothosauriden aus den Kössener Schichten</i>	CBl	1907	337
— siehe Read, Alston.			
Brongniart, M.: Note sur une barytine de Patagonie	06	I	346
Brooks, A. H.: Geological reconnaissances in Southeastern			
Alaska	06	I	95
— Recent Publications on Alaska and Yukon Territory	08	I	397
Brooks, A. H. and others: Report on Progress of Investigations			
of Mineral Resources of Alaska in 1904 und 1905	08	II	376
— — Mineral Resources of Alaska	09	II	80
Broom, R.: On the Lower Jaw of a Small Mammal from			
the Karoo Beds of Ariwal North, South Africa	05	II	306
— On the structure of the Theriodont Mandible and its mode			
of articulation with the skull	07	I	140
— On the use of the term Anomodontia	07	I	141
— On an almost perfect skeleton of Pareiasaurus serridens OWEN	07	I	141
— On the structure of the shoulder girdle in Lystrosaurus	07	I	142
— On some new primitive Theriodonts in the South Afric.			
Museum	07	I	142
— On an almost perfect skull of a new primitive Theriodont			
(Lycosuchus Vanderrieti)	07	I	144
— On a new Reptile (Proterosuchus Fergusi) from the Karoo			
beds of Tarkastad, S. A.	07	I	144
— On two new Therocephalian Reptiles (Glanosuchus macrops			
and Pristerognathus Baini)	07	I	145
— On a new Stegocephalian (Batrachosuchus Browni) from the			
Karoo beds of Aliwal North, South Africa	07	I	313
— On a new South African Labyrinthodont (Cyclotosaurus			
Albertyni)	07	I	316
— Observations on the structure of Mesosaurus	07	I	316
— On some points in the Anatomy of the Theriodont Reptile			
Diademodon	07	I	316
— On the affinities of Tritylodon	07	I	317
— On the structure and affinities of the endothiodont Reptiles	07	I	317
— On evidence of a new species of Titanosuchus (T. Cloetei)	07	I	318
— On the presence of a pair of distinct prevomers in Titano-			
suchus	07	I	318
— On the classification of the Theriodonts and their allies . .	07	I	478
— Reptilian remains from Natal. II. On some reptilian re-			
mains from the Cretaceous beds at the mouth of the Um-			
penzati River, Natal	07	II	304
— On a new african triassic Rhynchocephalian	08	I	441
— On the early development of the appendicular skeleton of			
the Ostrich, with remarks on the origin of birds	08	I	441
— On the South African Dinosaur (Hortalotarsus)	08	I	442
— The South African Diapsosaurian Reptile Howesia	08	II	438
— On the Remains of Erythrosuchus africanus BROOM	09	I	131
— On some new Therocephalian Reptiles	09	II	126
— On the Pareiasaurian genus Propappus	09	II	126
— On the Inter-relationships of the known Therocephalian			
genera	09	II	127
— Note on the species of Mesosaurus	09	II	128
— On a New Labyrinthodont Rhinesuchus Whaitsi from the			
Permian beds of South Africa	09	II	137

	Jahrg.	Bd.	Seite
<i>Broß, H.</i> : Die Grundmasse des Dossenheimer Quarzporphyrs	CBl	1908	8
— Glaziale Spuren in Pavaná, Brasilien	CBl	1909	558
<i>Brown, B.</i> : A New Species of Fossil Edentate from the Santa Cruz Formation of Patagonia	1905	II	126
— A new genus of ground Sloth from the Pleistocene of Nebraska	05	II	471
— The Hell Creek beds of the Upper Cretaceous of Montana, their relation to contiguous, with faunal and floral lists and a discussion of their correlation	08	I	431
— New notes on the osteology of Triceratops	08	I	442
— The osteology of Champosaurus COPE	09	I	132
— The Ancylosauridae, a new Family of armored Dinosaurs from the upper cretaceous	09	I	440
<i>Brown, Th. C.</i> : Developmental stages in <i>Streptelasma rectum</i> HALL	09	II	140
<i>Browne, A. J.</i> Jukes, siehe Jukes-Browne, A. J.			
<i>Browne, D. H.</i> : Notes on the Origin of the Sudbury Ores	08	I	82
<i>Bruckmoser, J.</i> , siehe Focke, F.			
<i>Brückmann, R.</i> : Die Foraminiferen des litauisch-kurischen Jura	06	I	471
<i>Brückner, E.</i> , siehe Penck, A.			
<i>Brues, Ch. T.</i> : New Phytophagous Hymenoptera from the Tertiary of Florissant, Colorado	08	II	112
<i>Brugnatelli, L.</i> : Ueber den Titanolivin der Umgebung von Chiesa im Val Malenco; ein Beitrag zur Kenntnis des Titanolivins	05	II	25
<i>Bruhns, W.</i> : Ueber Meteoriten	05	I	211
— Mitteilung aus dem Gneisgebiet des oberen Weilertals	05	II	51
— Ueber vulkanische Bomben von Schweppenhausen bei Stromberg am Soonwald	09	I	58
— Ueber den sogen. „Leesbergit“	1909	II	212. 342
— Die nutzbaren Mineralien und Gebirgsarten im Deutschen Reiche auf Grundlage des gleichnamigen v. DECHEN'schen Werkes neu bearbeitet unter Mitwirkung von H. BÜCKING	CBl	1907	245
<i>Bruhns, W.</i> und <i>F. Klockmann</i> : Ueber die Bildung des Magnetseisens	05	II	405
<i>Brun, A.</i> : Péridotite et Gabbros du Matterhorn	05	I	243
— Glaciers du Spitzberg pendant l'été 1902	05	II	48
— Etude sur le point de fusion des minéraux	06	II	10
— Quelques recherches sur le volcanisme	07	II	391
— Quelques recherches sur le volcanisme. II.	07	II	392
— Quelques recherches sur le volcanisme au Pico de Teyde et au Timanfaya. (III. partie.) Avec la collaboration pour le travail sur le terrain de H. F. MONTAGNIER	09	I	363
— Sur la cristallisation de l'obsidienne de Lipari	09	I	366
— siehe <i>Le Royer</i> , sowie <i>Sapper, K.</i>			
<i>Brun, P. de</i> : Les gisements de serpentine du canton de Belle-Isle-en-Terre	08	I	26
<i>Brunhes, B.</i> : Sur la direction de l'aimantation permanente dans une argile métamorphique de Pontfavein (Cantal)	07	II	389
<i>Brunhes, B.</i> et <i>J. Brunhes</i> : Les analogies des tourbillons atmosphériques et des tourbillons des cours d'eau et la question de la déviation des rivières vers la droite	07	I	382
<i>Brunhes, B.</i> et <i>P. David</i> : Sur la direction de l'aimantation permanente dans diverses roches volcaniques	06	I	37

	Jahrg.	Bd.	Seite
Brunhes, J.: Le travail des eaux courantes: La tactique des tourbillons	1905	I	409
— Sur les contradictions de l'érosion glaciaire	08	I	51
— Sur une explication nouvelle du surcreusement glaciaire	08	I	51
— Sur les relations entre l'érosion glaciaire et l'érosion fluviale siehe auch Brunhes, B.	09	I	201
Brunhuber, A.: Beobachtungen über die Vesuveruption im April 1906	07	II	390
Bruni, G.: Sulla distinzione fra polimorfismo ed isomeria chimica	05	I	11
— siehe Hoff, J. H. van't.			
Brunné, R.: <i>Polarisations-Mikroskoppolymeter</i>	CBl	1905	593
Brusina, S.: Ueber Vivipara diluviana (KUNTH)	07	I	445
— Eine subtropische Oasis in Ungarn	07	II	152
Bryant, D. L.: Beiträge zur Petrographie Spitzbergens	08	II	369
Buchrucker, L.: Neubildungen von Gips	06	I	347
Buckman, S. S.: The Toarcian of Bredon Hill and a Comparison with Deposits elsewhere	05	II	283
— Two Toarcian Ammonites	05	II	321
— On the Correlation of the Bath Douling Strata with those of Dorset	08	II	86
— Brachiopod Morphology: Cineta, Eudesia, and the Development of Ribs	08	II	113
Bücking, H.: Ueber einige merkwürdige Vorkommen von Zechstein und Muschelkalk in der Rhön	09	I	424
— <i>Euklas im Granit vom Epprechtstein im Fichtelgebirge</i>	CBl	1908	425
— <i>Ueber ein neues Vorkommen von Herderit</i>	CBl	1908	294
Bühner, C.: Beiträge zur Kenntnis der kristallinen Flüssigkeiten	06	II	150
Buisson, H.: Sur les variations des quelques propriétés du quartz	07	II	20
Bukowski, G. v.: Exkursionen in Süddalmatien	05	II	93
— Geologische Detailkarte von Süddalmatien, Blatt Budna. Zone 36, Kol. XX. SW.	07	I	93
— Ueber die jurassischen und cretaceischen Ablagerungen von Spizza in Süddalmatien	08	II	400
Bukowsky, A.: Mineralien des Kuttenger Serpentin (mit mikroskopischen und optischen Daten von V. Rosický)	08	I	38
Bulman, G. W.: The Geological Chronometer	05	I	224
Bumüller, C.: <i>Ueber Kalkspatkrystalle von Oberscheld (Kreis Dillenburg)</i>	BB	XXVIII	233
Bumstead, H. A. and L. P. Wheeler: Note on a Radioactive Gas in Surface Water	05	I	418
Burchard, E. F., siehe Adams, F. D.			
Burckhardt, C.: Géologie de la Sierra de Mazapil et Santa Rosa	07	I	279
— La Faune jurassique de Mazapil avec un appendice sur les Fossiles du crétacique inférieur	07	II	469
Burckhardt, R.: Das Problem des antarktischen Schöpfungs-zentrums vom Standpunkte der Ornithologie	05	I	338
Burnet, A.: The Upper Chalk of North Lincolnshire	06	II	106
Burrard, S. G.: Intensity and direction of the force of gravity in India	07	II	388
Burrows, H. W.: Note on a Bryozoan attached to Neptunea found in one of the Mekran Nodules	06	I	117
Busch, B.: Etwas über die Expansivkraft des Salzes	09	II	245

<i>Bütschli, O.: Ueber die Skelettnadeln der Kalkschwämme</i>	CBI 1906	12
<i>Busz, K.: Essexit von der Löwenburg im Siebengebirge a. Rh.</i>	1907	II 62
— <i>Apatit und Milarit von Gletsch am Rhonegletscher in der Schweiz</i>	CBI 1906	753
— <i>Ueber Kainit von Staßfurt und Carnallit von Beienrode</i>	Festband	115
<i>Butler, F. H.: Kaolinization and other changes in West of England rocks</i>	09	II 191
<i>Buttel-Reepen, H. v.: Apistica. Beiträge zur Systematik, Biologie, sowie zur geschichtlichen und geographischen Verbreitung der Honigbiene (Apis mellifica L.), ihrer Varietäten und der übrigen Apis-Arten</i>	07	I 320
<i>Buttgenbach, H.: Note sur des cristaux de smithsonite</i>	08	I 333
<i>Butts, Ch.: Economic geology of the Kittanning and Rural Valley quadrangles, Pennsylvania</i>	09	II 407
<i>Buxton, B. H. und O. O. Teague: Ueber Auflockerung von Kolloiden</i>	08	II 151
<i>Buxtorf, A., siehe Schmidt, C.</i>		
<i>Bygdén, A.: Analysen einiger Mineralien vom Gellivaraerzberg (Desmin, Chabasit, Pseudomorphose nach Skapolith, Magnesiatonerdesilikat)</i>	06	I 349

C.

<i>Cacciamali, G. B.: Sulla speleologia bresciana</i>	05	II 123
— <i>Bradisismi e terremoti nella regione benacense</i>	05	II 373
<i>Cadell, H. M.: On the geology of the oil shale fields of the Lothians</i>	05	I 442
— <i>The occurrence of Plant Remains in Olivine-Basalt in the Bo'ness Coalfield</i>	09	II 393
<i>Caffery, Mac, S., siehe Young, M. B.</i>		
<i>Cairnes, D. D.: Report on a Portion of Conrad and White horse Mining Districts, Yukon</i>	09	II 81
<i>Calker, F. J. P. van: Beiträge zur Geologie der Provinz Groningen. Grundbohrungen</i>	08	II 102
— <i>Mitteilungen aus dem Mineralogisch-geologischen Institut der Reichsuniversität zu Groningen aus den Gebieten der Kristallographie, Mineralogie, Petrographie, Geologie und Paläontologie</i>	CBI 1906	49
— <i>Mikroskopische Bilder Schonenscher Basalte</i>	CBI 1906	117
— <i>Basaltgeschiebe aus den Provinzen Groningen, Friesland, Drenthe</i>	CBI 1906	118
— <i>Das mineralogisch-geologische Institut der Universität zu Groningen</i>	CBI 1906	120
— <i>Facettengeschiebe und Kantengeschiebe im niederländischen Diluvium und deren Beziehung zueinander</i>	CBI 1906	425
<i>Calkins, F. C.: A contribution to the petrography of the John Day Basin</i>	05	II 232
— <i>siehe Ransome, F. L. and Calkins, F. C.</i>		
<i>Callaway, C.: The Occurrence of Glacial Clay on the Cotteswold Plateau</i>	07	I 442
<i>Campagna, D. Del: Contributo allo studio del Trias superiore del Montenegro</i>	06	I 108
— <i>Faunula del Giura superiore di Colealto di Solagna (Bassano)</i>	06	I 316
<i>Campbell, M. R.: Hypothesis to Account for the Transformation of Vegetable Matter into the Different Varieties of Coal</i>	08	I 86
— <i>Fractured Boulders in Conglomerate</i>	08	I 241

	Jahrg.	Bd.	Seite
Campbell, M. R.: Natural Mounds	1908	II	349
— Rock folds due to weathering	08	II	349
Campbell, W.: The Microscopic Examination of opaque Minerals	07	II	351
Campbell, W. and C. W. Knight: A Microscopic Examination of the Cobalt-Nickel Arsenides and Silver Deposits of Temiskaming	09	I	79
— On the Microstructure of Nickeliferous Pyrrhotites	09	I	79
Camsell, Ch.: Preliminary Report on a Part of the Similkameen District, British Columbia	09	II	81
Canaval, R.: Das Eisensteinvorkommen zu Kohlbach an der Stubalpe	06	I	230
— Ueber zwei Magnesitvorkommen in Kärnten	07	I	200
Caneva, G.: Ueber die Bellerophonkalkfauna. Zur Frage der Perm-Triasgrenzen	06	I	52
Canfield, F. A.: Mineralogical notes	08	II	12. 28
Cantrill, T. C. and H. H. Thomas: On the Igneous and Associated Sedimentary Rocks of Llangynog (Caermarthenshire)	08	I	225
Canu, F.: Les Bryozoaires du Patagonien. Echelle des Bryozoaires pour les terrains tertiaires	05	II	141
— Étude des Bryozoaires tertiaires recueillis en 1885 et 1886 par M. PH. THOMAS dans la région sud de la Tunisie	05	II	142
— Essai sur une échelle de Bryozoaires pour établissement des synchronismes à grande distance	05	II	143
— Contributions à l'étude des Bryozoaires fossiles	05	II	145
— Note sur la constance de la faune de la craie de Villedieu	05	II	145
— Bryozoaires fossiles d'Égypte. Première contribution	05	II	484
Capeder, G.: Le colonne scalariformi e le pozze a scaglioni nella grotta di Nettuno al Capo Caccia (Sardegna)	06	I	376
— Fibularidi del miocene medio di S. Gavino a mare (Porto-torres) Sardegna	09	II	483
Capitan, Breuil et Ampoulange: Une nouvelle grotte préhistorique à parois gravées	07	I	453
Capitan, Breuil et Peyrony: Une nouvelle grotte à parois gravées. La Calvitie (Dordogne)	07	I	453
Capitan, Breuil, Bourrinet et Peyrony: L'abri Mège, une station magdalénienne à Teyjat (Dordogne)	07	II	476
Capps, S. R.: The girdles and hind limb of <i>Holosaurus abruptus</i> MARSH	08	II	441
Caralp: Sur les roches éruptives de la Bellongue et de la vallée du Geer (Pyrénées centrales)	05	I	428
Card, G. W.: An Eclogite-bearing Breccia from the Bingera Diamond Field	07	I	395
— Nepheline-Basalt from the Capertee Valley	07	I	396
— On the Occurrence of Nepheline in Post-Triassic Basalts of the Hawkesbury Sandstone Area	07	I	401
Card, G. W. and J. B. Jaquet: The Geology of the Cambewana Range, N. S. Wales, with especial reference to the Volcanic Rocks	07	I	398
Card, G. W., J. C. H. Mingaye, H. P. White: Analcite-Basalt, from near Sydney	07	I	397
Carey, E. P. and W. J. Miller: The crystalline rocks of the Oak Hill area near San José, California	09	II	386
Carez, L.: Observations	05	I	429
— Observations sur la classification du Tertiaire inférieur de l'Ariège et de la Haute-Garonne	1907	II	296. 452

	Jahrg.	Bd.	Seite
Carles, P.: Le fluor dans les eaux minérales	1909	I	205
Carruthers, R. G.: A Revision of some carboniferous corals	09	I	292
— The primary septal plan of the Rugosa	09	II	140
Cartailhac, E.: Les stations de Bruniquel, Tarn. Sur les bords de l'Aveyron	05	I	321
Cartailhac, E. et H. Breuil: Les peintures et gravures murales des cavernes pyrénéennes. I. Altamira	06	I	132
— — Les peintures et gravures murales des cavernes pyrénéennes	07	I	451
Cartaud, G., siehe Osmond, F.			
Case, E. C.: New or little-known Vertebrates from the Permian of Texas	07	I	138
— The osteology of Embolophorus Dollovisianus COPE, with an attempted Restoration	07	I	139
— The osteology of the Diadectidae and their relations to the Chelydosauria	07	I	314
— The morphology of the skull of the Pelycosauria genus Dimetrodon	07	I	314
— The Vertebrates from the Permian bone bed of Vermilion County, Illinois	07	I	315
— On the skull of Edaphosaurus Pagonias	07	I	477
— The character of the Wichita and Clear Fork Divisions of the Permian red beds of Texas	08	I	256
— Description of the skull of Bolosaurus striatus COPE	08	I	286
— Additional Description of the Genus Zatrachis COPE	08	I	287
— Revision of the Pelycosauria of North America	08	I	288
— Description of Vertebrate Fossils from the Vicinity of Pittsburgh, Pennsylvania	08	II	268
— Restoration of Diadectes	08	II	269
— Notes on the Skull of Lysorophus tricarinatus COPE	08	II	269
— A peculiar formation of shore ice	08	II	341
Caspary, R.: Die Flora des Bernsteins und anderer fossiler Harze des ostpreussischen Tertiärs. Nach dem Nachlasse des Verstorbenen bearbeitet von R. KLEBS. Bd. I. (I. Thallophyten. II. Bryophyten. III. Pteridophyten. IV. Gymnospermen)	09	I	307
Castelnau, P.: Observations sur des phénomènes de glaciation en Corse	05	I	55
Castorina, G. T.: Studio sulla radioattività di prodotti vulcanici etnei	1907	I	11. 227
— Sulla radioattività delle rocce dell' Etna	1907	I	11. 227
Cathrein, A.: Mineralogie und Petrographie des Pitztals	08	I	205
Cayeux, L.: Sur la présence de cristaux macroscopiques d'albite dans les dolomies du Trias de la Crète	05	I	245
— Existence du Jurassique supérieur et de l'Infracrétacé en Argolide (Grèce)	05	I	298
— Sur la présence des cristaux macroscopiques d'albite dans les dolomies du Trias de la Crète	05	II	21
— Existence d'une faune saumâtre dans les sables de l'argile plastique d'Issy (Seine)	06	I	116
— Sur l'état de composition des minéraux de la terre arable	07	I	16
— Sur l'état de conservation des minéraux de la terre arable	07	II	401
— La dissolution directe des silicates de la terre arable et les expériences de DAUBRÉE	07	II	401
— Les minéraux des eaux de sources de Paris	07	II	427

	Jahrg.	Bd.	Seite
Cayeux, L.: Structure et origine des Grès du Tertiaire parisien	1907	II	296
— Structure et origine probable du minerai de fer magnétique de Diélette (Manche)	1907	II	19
— Genèse d'un minerai de fer par décomposition de la glauconie	1907	II	24
Caziot, E. et E. Maury: Nouveaux gisements pliocènes et postpliocènes marins et complément des faunes déjà publiées des gîtes marins de ces étages, sur la côte des Alpes-Maritimes	09	I	393
— siehe Depéret, Ch.	09	I	394
Cesàro, G.: Plasticité du nitrate sodique	07	II	451
— Sur un caractère spécifique des minéraux opaques	05	I	24
— Angle des axes optiques déduit des biréfringences de deux lames normales aux bisectrices	07	I	11
— Contributions à l'étude de quelques minéraux	07	I	188
1907 I 194. 195. 199. 201. 202. 207. 208. 210			
— Reproduction de la crocoise et de la mélinose cristallisées par l'action de l'anhydride carbonique de l'air sur les dissolutions alcalines des sels de plomb correspondants	07	I	208
— Formes nouvelles dans la Linarite et dans la Melinose	I	208.	209
— Sur les lignes incolores, que présentent les lames cristallines en lumière convergente	08	I	3
— Étude de la rotation imprimée au plan de polarisation du faisceau lumineux venant du polarisateur, par les lentilles du microscope à lumière convergente	08	I	3
— Sur les lignes incolores, que présentent les lames cristallines en lumière convergente (2e communication)	08	I	4
— Contribution à l'étude optique des cristaux en lumière convergente	08	I	4
— Détermination du signe optique d'une substance	08	II	141
— Sur une nouvelle méthode de détermination des indices de réfraction. Emploi du goniomètre de WOLLASTON sans adjonction d'aucun appareil spécial, pour la mesure des indices	08	II	142
Chalmers, Munier, siehe Munier-Chalmers.			
Chamberlin, T. C.: On a possible reversal of deep-sea circulation and its influence on geologic climates	08	II	345
Chapman, F.: On some Foraminifera and Ostracoda from Jurassic (Lower Oolite) strata, near Geraldton, western Australia	05	II	151
— Foraminifera and Ostracoda from the Cretaceous of East Pondoland, South Africa	05	II	152
— The Foraminifera. An introduction to the Study of the Protozoa	05	II	327
— On some Cainozoic foraminifera from Brown's Creek, Otway coast	06	I	471
— On some Foraminifera and Ostracoda obtained of Great Barrier Island, New Zealand	07	I	328
— Report on Pleistocene Microzoa from a Boring in the Bed of the Buffalo River, East London	08	I	305
— Tertiary foraminifera of Victoria, Australia. The Balcombian deposits of Port Phillip. Part I.	08	I	305
— New or little-known Victorian Fossils in the National Museum	08	I	446
— On Dimorphism in the Recent Foraminifer <i>Alveolina bosicii</i> DEF. sp.	09	I	135
— Recent Foraminifera of Victoria: Some Littoral Gatherings	09	I	144

- Chapman, F. and W. Howchin: A Monograph of the Foraminifera of the Permo-carboniferous limestones of New South Wales 1906 II 454
- Charcot, siehe Gourdon, S.
- Charitschkoff, K.: Ueber die Notwendigkeit der Ausscheidung der Kohlenstoffminerale in einen besonderen Forschungszweig 09 II 36
- Chatelier, siehe Le Chatelier, H.
- Chautard, J.: Sur les roches volcaniques de la presqu'île du Cap-Vert (Sénégal) 08 I 228
- Chautard, J. et P. Lemoine: Sur la genèse de certains minerais d'alumine et de fer. Décomposition latéritique 09 I 339
- Chauveau, A. B.: Sur la déperdition de l'électricité dans l'air au voisinage de sources thermales 07 II 53
- Checchia-Rispoli, G.: Osservazioni sull' apparecchio apicale di alcuni Echinidi 05 II 146
- I foraminiferi eocenici del gruppo del M. Judica e dei dintorni di Catenanuova in Provincia di Catania 05 II 488
- Sopra alcune Alveoline eoceniche della Sicilia 06 I 471
- Osservazioni sulle Orbitoidi 06 II 455
- Un nuovo rinvenimento di *Lepidocyclus* nell' Eocene della Sicilia 06 II 455
- Di alcune *Lepidocyclina* eoceniche della Sicilia 06 II 456
- Sull' eocene di Capo S. Andrea presso Taormina 07 I 290
- Sulla diffusione geologica delle *Lepidocyclina* 07 I 328
- Nota preventiva sulla serie nummulitica dei dintorni di Bagheria e di Termini-Imerese in provincia di Palermo 07 II 496
- Sulla provenienza di alcune *Lepidocyclina* dei dintorni di Termini-Imerese (Palermo) 07 II 497
- La serie nummulitica dei dintorni di Termini-Imerese. I. II Vallone Tre Pietre 09 I 295
- La serie nummulitica dei dintorni di Termini-Imerese. II. La Regione Casasacco 09 II 144
- Checchia-Rispoli, G. e M. Gemmellaro: Prima nota sulle Orbitoidi del Sistema Cretaceo della Sicilia 07 II 339
- Chelius, C.: Die Industrie der Steine und Erden im Großherzogtum Hessen 05 I 438
- Eisen und Mangan im Großherzogtum Hessen und deren wirtschaftliche Bedeutung 06 II 225
- Der Zechstein von Rabertshausen im Vogelsberg und seine tektonische Bedeutung 07 I 266
- Geologischer Führer durch den Vogelsberg, seine Bäder und Mineralquellen CBI 1906 121
- *Petrographische Untersuchungen im Odenwald* CBI 1906 689, 737, 771
CBI 1907 65, 116
- Chevalier, A.: Leitfaden für kristallographische Uebungen CBI 1906 554
- Courants marins profonds dans l'Atlantique Nord 08 I 52
- siehe Thoulet, J.
- Choffat, P.: Les tremblements de terre de 1903 en Portugal 05 I 53
- Sur les séismes ressentis en Portugal en 1903 06 I 40
- Espèces nouvelles ou peu connues du Mésozoïque portugais 06 I 320
- Contributions à la connaissance géologiques des colonies portugaises d'Afrique. II. Nouvelles données sur la zone littorale d'Angola 06 II 111
- Espèces nouvelles ou peu connues du Mésozoïque portugais. II. Espèces du Crétacique 07 I 448

Choffat, P.: Contribution à la connaissance du Lias et du Dogger de la région de Thomar	1909	II	104
— siehe Schlumberger, Ch.			
Christen, T.: Die Geschiebeführung der Flußläufe. Ein Beitrag zur Dynamik der Sinkstoffe	08	I	221
Chudeau, R.: Sur les roches alcalines de l'Afrique centrale	09	II	235
Ciofalo, M.: Sulla posizione delle rocce a Lepidocicline . .	07	II	497
Cirkel, F.: Asbestos, its occurrence, exploitation and uses	07	II	23
— Mica, its occurrence, exploitation and uses	07	II	23
Clapp, C. H.: The Clays of North Dakota	09	II	244
Clapp, F. G.: Limestones of south western Pennsylvania .	07	II	84
Clar, O. und A. Sigmund: Exkursion in das Eruptivgebiet von Gleichenberg	06	I	408
Clark, W. B.: The Matawan formation of Maryland, Delaware and New Jersey, and its relations to overlying and underlying formations	05	I	303
Clarke, F. W.: Analyses of Rocks from the Laboratory of the United States geological Survey 1880—1903	05	I	410
— Ueber basische Substitutionen in den Zeolithen	06	II	336
— The composition of the red clay	09	II	209
Clarke, J. M.: Naples Fauna in Western New York	05	I	148
— Evidences of a Coblenzian invasion in the Devonian of Eastern America	08	I	413
— Some new devonian fossils	08	I	413
— Early devonian history of New York and eastern North America	08	I	414
Clarke, J. M. and D. D. Luther: Stratigraphic and palaeontologic map of Canadaigua and Naples Quadrangles .	05	I	289
Cleland, H. F.: The Formation of Natural Bridges	07	I	224
Clement, J. K., siehe Allen, E. T. and Clement, J. K.			
Clerc, M.: Etude monographique des fossiles du Dogger de quelques gisements classiques du Jura Neuchâtelois et Vaudois	06	I	307
Clerici, E.: Sulla stratigrafia del Vulcano Laziale	06	I	375
— Sopra una trivellazione eseguita presso Roma sulla via Cassilina	07	I	64
— Osservazioni sui sedimenti del Monte Mario anteriori alla formazione del tufo granulare	07	I	65
— Apparecchio per la separazione meccanica dei minerali . .	07	I	227
— Preparazione di liquidi per la separazione dei minerali . .	08	II	2
Clessin, S.: Die Konchylien des Lösses des mittleren Donautales	05	II	449
— Eine altalluviale Konchylienfauna bei Pürklgut	06	I	123
— Die Konchylien des „Löß“ der Umgebung Regensburgs . .	06	I	123
— Die Konchylienfauna eines pleistocänen Tufflagers im Tale der Schwarzen Laaber bei Regensburg	06	II	431
— Eine interglaziale Konchylienfauna aus der Umgebung Münchens	06	II	434
— Konchylien aus dem Löß der Umgegend von Wien	07	II	460
Clotten, F. E.: Die Zinn- und Wolframvorkommen von Nord-Queensland	06	II	26
Clough, C. T.: Disappearance of Limestones in High Teesdale — siehe Harker, A.	05	I	420
Coblentz, W. W.: Konstitutions- und Kristallwasser	07	I	12
Cocco, L.: I radiolari fossili del tripole di Condò (Sicilia)	08	II	140

- Cockerell, T. D. A.: Fossil Hymenoptera from Florissant,
Colorado 1907 I 321
— A new fossil Ant. 07 I 322
— Some old-world types of Insects in the Miocene of Colorado 08 II 110
— Description of Tertiary Insects. I. II. III. 08 II 111
— Fossil Insects from Florissant Colorado 08 II 111
— Some fossil Arthropods from Florissant, Colorado 08 II 111
— A fossil Honey-Bee 08 II 112
— A fossil leaf-cutting Bee 08 II 112
- Codazzi, R. L.: Minerales alcalinos y terrosos de Columbia 06 I 34
— Mineralizadores y minerales metalicos de Colombia CBI 1908 182
- Cohen, E.: Verzeichnis der Meteoriten in der Greifswalder
Sammlung am 1. Mai 1904 05 I 212
— Die Meteoriten von Nenntmannsdorf und Persimmon-Creek;
Unterscheidung von Cohenit und Schreibersit 05 I 216
— Das Meteoriten von Millers Run bei Pittsburg und Nickel-
smaragd auf Rostrinde von Werchne Dnieprowsk 05 I 398
— On the Meteoric stone, which fall at the Mission station of
St. Mark's, Transkei on January 3. 1903. Revised and
annotated after the author's death by C. KLEIN 07 I 369
— Meteoritenkunde CBI 1906 519
— siehe Brezina, A.
- Coker, E. G., siehe Adams, F. D.
- Coleman, A. P.: Rock basins of Helen mine, Michipicoten,
Canada 1905 I 230
— Iroquois beach in Ontario 07 I 377
— The Helen Iron Mine Michipicoten 09 I 390
— The Sudbury laccolithic sheet 09 II 387
- Collen, M.: Copper Deposits in the Belt Formation in Montana 09 II 398
- Collet, L. W.: Sur quelques espèces de l'Albien inférieur de
Vöhrum (Hanovre) 08 I 278
— Note sur la tectonique du massif du Haut Giffre 08 II 390
— Étude géologique de la Chaîne Tour Saillière—Pic de Tanne-
verge 09 I 83
— siehe Le Royer.
— siehe Lugeon, M.
— siehe Roessinger, G.
— siehe Sarasin, Ch.
- Collet, L. W. et G. W. Lee: Sur la composition chimique de
la glauconie 1907 I 353 09 I 394
— 05 II 179
- Collier, A. J.: The tin deposits of the York Region, Alaska 05 II 179
— A reconnaissance of the northwestern portion of Seward
Peninsula, Alaska 05 II 271
— The Coal resources of the Yukon, Alaska 06 I 237
— Geology and Coal Resources of the Cape Lisburne Region,
Alaska 08 II 378
- Collins, H. F.: Notes on the Wollastonite rock-mass, and
its associated minerals, of the Santa Fé-Mine, State of
Chiapas, Mexico. 05 I 42
- Colloz, L.: Pliocène et Quaternaire de la région du Bas-Rhône
— Diffusion du baryum et du strontium dans les terrains
sédimentaires; épigénies; druses d'apparence organique
1907 I 209 07 II 400
- Columba, L.: Ancora poche parole di risposta al ing. FRANCHI 05 I 378
— Rodonite cristallizzata di S. Marcel (Valle d'Aosta) 06 I 24
— Cenni preliminari sui minerali del Lansetto (Valli del Gesso) 1906 I 232. 349

	Jahrg.	Bd.	Seite
C o l o m b a, L.: La leucite del tufo di Pompei	1906	I	377
— Osservazioni petrografiche e mineralogiche sulla Rocca di Cavour	06	I	377
— Sulla scheelite di Traversella	07	I	36
— Baritina di Traversella e di Brosso	08	I	35
— Osservazioni cristallografiche su alcuni minerali di Brosso e Traversella	08	I	39
— Apofillite di Traversella	08	II	316
— Osservazioni mineralogiche sui giacimenti auriferi di Brusson (valle d'Aosta)	08	II	330
— Aloisiite, nuovo idrosilicato dei tufi du Fort Portal (Uganda)	09	II	192
— Note mineralogiche sulla valle del Chisone (cave del Pomaretto)	09	II	204
C o l o n n a, E.: Composizione chimica di una cenere del Monte Pelée (Martinica)	05	I	227
C o m b e s f i l s, P.: La découverte dans les sables dits d'Auteuil, à Passy, d'une faune franchement marine	06	II	115
— Sur les concrétions calcaires à la base du Sparnacien	06	II	116
— Les foraminifères de la Craie de Meudon	07	I	330
— Sur l'âge des quelques gisements de l'Orléanais	08	II	407
— Contribution à l'étude stratigraphique de l'Orléanais	09	II	468
C o m m e n d a, H.: Uebersicht der Mineralien Oberösterreichs	05	I	40
C o m m o n t, M. V.: Les industries de l'ancien Saint-Acheul	09	I	283
C o m p t e r, G.: Das Diluvium in der Umgegend von Apolda	09	I	278
C o n d o n, Th.: A new fossil Pinniped (<i>Dermatophoca oregonensis</i>) from the miocene of the Oregon coast	09	I	440
C o n n e l l, siehe M c C o n n e l l, R. G.			
C o n r a d, C.: Ueber Pseudomorphosenbildung durch Um- und Wechselzersetzung und die Beschaffenheit der die Bildung vermittelnden Flüssigkeit	09	II	182
C o n z e, A.: Wie ist dem Abbröckeln der Insel Helgoland Einhalt zu gebieten?	05	II	375
C o o k, C. W., siehe K r a u s, E. H.			
C o o l, H.: <i>Der Serapis-Tempel bei Pozzuoli</i>	CBI 1906		218
C o o m á r a s w á m y, A. K.: Contributions to Ceylon Geology. Occurrence of Corundum in situ near Kandy, Ceylon	05	II	13
— Report on Thorianite and thorite	05	II	355
— Mineralogical notes. 1. Thorianite	05	II	355
— Contributions to the Geology of Ceylon. II. Silicification of Crystalline Limestones	05	II	392
— Uraninite	06	I	165
— Report on the occurrence of Cassiterite (oxide of tin) in Ceylon	06	I	166
— Mineral Resources. (Graphite, Mica, Iron ores, Manganese, Gems.)	06	I	178
— Mineralogical Notes	06	I	179
— The rocks and minerals of Ceylon	06	I	181
— Intrusive Pyroxenites, Mica-Pyroxenites, and Mica-Rocks in the Charnockite-Series or Granulites in Ceylon	07	I	392
C o o m á r a s w á m y, A. K. and J. P a r s o n s: Mineralogical survey (Ceylon)	06	I	186
C o p a u x, H.: Sur deux cas particuliers d'isomorphisme	07	I	333
— Sur le polymorphisme du chlorate de soude et sur la structure de sa forme cubique douée de pouvoir rotatoire	09	I	162
— Sur la structure de la forme cubique du chlorate de soude douée du pouvoir rotatoire	09	I	162

Cope, T. H. and J. Lomas: On the igneous rocks of the Berwyns	1905	II	386
Cornet, J.: Les eaux salées du terrain houiller	05	I	457
— Documents sur l'extension souterraine du Maestrichtien et du Montien dans la vallée de la Haine	05	I	468
— Sur l'âge des sables blancs de Leval-Trahegnies 1908 I 269	08	II	93
Cornu, F.: Ueber Zeophyllit von Radzein im böhmischen Mittelgebirge	06	II	18
— Zur Kenntnis des Schlaggenwalder Mineralvorkommens	07	II	32
— Versuche über die saure und alkalische Reaktion von Mineralien, insbesondere der Silikate	08	I	5
— Versuche über die saure und alkalische Reaktion von Mineralien. Zweite Mitteilung	08	I	6
— <i>Mineralogische und mineralogenetische Beobachtungen</i>	08	I	22
— Analyse des Granats aus dem Granulit von Etmannsdorf (Niederösterreich)	08	I	25
— Neues Kontaktmineral „Hibschit“	08	I	29
— Beiträge zur Petrographie des böhmischen Mittelgebirges. I. Hibschit, ein neues Kontaktmineral 1908	I	29.	374
— Enallogene Einschlüsse aus dem Nephelinbasalt von Jakuben in Böhmen	08	I	58
— Ueber den Pleochroismus mit basischen Teerfarben angefarbter Silikate	08	I	161
— Fluorit als Bildung der Teplitzer Thermen	08	I	172
— Hyalit in Erdbrandgesteinen des böhmischen Mittelgebirges	08	I	175
— Nephelinausscheidung in den Tinguaitporphyrgängen von Skritin	08	I	187
— Kontraktionsfiguren und regelmäßige Kontraktionsrisse beim Behandeln von Zeolithen mit Säuren	08	I	335
— Zur Unterscheidung der Minerale der Glimmerzeolithgruppe	08	II	36
— Cupritkristalle in alter FEHLING'scher Lösung	08	II	295
— Körniger Kalkstein aus dem Steinbachtal bei Schlaggenwald	08	II	330
— Mineralvorkommen der Insel Ormuz	08	II	336
— Zur Frage der Färbung des blauen Steinsalzes	09	II	188
— Beiträge zur Petrographie des Böhmisches Mittelgebirges. II. Ueber einen Kontakt zwischen Phonolith und oberturonem Kreidemergel am Mädstein bei Neschwitz an der Elbe	09	II	219
— Ueber das Vorkommen von gediegenem Kupfer in den Trappbasalten der Färöerinseln	09	II	396
— <i>Karpholithführende Quarzgerölle aus den Diluvialablagerungen des Herzogtums Anhalt und der Provinz Sachsen</i> CBl 1906 77			
— — <i>Vorläufige Mitteilung über Untersuchungen an den Mineralen der Apophyllitgruppe (Apophyllit, Gyrolith, Okenit)</i> CBl 1906 79			
— <i>Eine neue Reaktion zur Unterscheidung von Dolomit und Calcit</i> CBl 1906 550			
— <i>Ueber Pleochroismus, erzeugt durch orientierten Druck am blauen Steinsalz und Sylvin</i> CBl 1907 166			
— <i>Ueber einen eigentümlichen Fall von Mandelbildung</i> CBl 1907 209			
— <i>Verschiedenheit in der Angreifbarkeit der einzelnen Flächen von Apophyllitkristallen durch Salzsäure</i> CBl 1907 210			
— <i>Bemerkungen über den Apophyllit als „gesteinsbildendes Mineral“ und zur Physiographie desselben</i> CBl 1907 239			
— <i>Tschermigit von Schellenken bei Dux in Böhmen</i> CBl 1907 467			
— <i>Pleochroismus an thermalem Baryt von Teplitz</i> CBl 1907 468			

- Cornu, F.*: Ueber die mineralogische Zusammensetzung künstlicher Magnesitsteine, insbesondere über ihren Gehalt an Periklas CBI 1908 305
- Nachtrag zu meiner Notiz: Pleochroismus an thermalem Baryt von Teplitz CBI 1908 393
- Ueber den A. v. Lasaulx'schen Versuch, Dichroismus durch Druck (Piezopleochroismus) an den Silberhaloiden betr. CBI 1908 393
- Kristallisiertes Roheisen von Teschen CBI 1908 545
- Bemerkung zu Herrn R. Nacken's Notiz: „Ueber die umkehrbare Umwandlung des Kryoliths“ CBI 1908 546
- Der dritte Fund von Zeophyllit im böhmischen Mittelgebirge (Krebshöhe bei Schönpriesen). Mit kristallographischen Bestimmungen von A. Himmelbauer CBI 1909 324
- Ueber die Verbreitung gelartiger Körper im Mineralreich, ihre chemisch-geologische Bedeutung und ihre systematische Stellung CBI 1909 324
- Cornu, F. und R. Görges*: Zur Geologie der Färöer CBI 1908 675
- Cornu, F. und A. Himmelbauer*: Mineralogische Notizen. Valentinit von Procchio (Insel Elba) 1906 II 158
- — Mineralogische Notizen. Kupfererz aus dem Valle Sacca bei Kimpolung (Bukowina) 06 II 164
- — Mineralogische Notizen. Anthophyllit aus dem Biotit-Granit von Fonte del Prete (Elba) 06 II 169
- — Mineralogische Notizen. Datolith von Pareu Cailor bei Pozoritta (Bukowina) 06 II 170
- — Mineralogische Notizen. Die Minerale der Graphitlagerstätte von Regens bei Iglau (Graphit, Wavellit, Variscit, Kaolin, Chloropal) 06 II 173
- Cornu, F. und M. Lazarevič*: Zur Paragenesis der Kupfererze von Bor in Serbien 09 II 401
- Cornu, F. und K. A. Redlich*: Notizen über einige Mineralvorkommen der Ostalpen CBI 1908 277
- Cornu, F. und C. Schuster*: Zur Kenntnis der Verwitterung des Natrolith in Phonolithen 08 II 316
- Corstorphine, G. S.*: The volcanic series underlying the Black Reef 06 I 100
- The geological relation of the old granite to the Witwatersrand series 06 I 269
- Note on the age of the Central South African Coalfield 07 II 122
- The occurrence of garnet-pyroxene nodules carrying diamonds 08 II 154
- Reply to the discussion on the paper „The occurrence in Kimberlite of Garnet-Pyroxene nodules“ 08 II 154
- siehe *Hatch, F. H.*
- Cossmann, M.*: Catalogue illustré des Coquilles fossiles de l'Éocène des environs de Paris. Appendice 3 05 I 484
- Mollusques éocéniques de la Loire inférieure. III. 06 I 154
- Observations sur quelques coquilles crétaciques recueillies en France. 3 article. La faunule d'Orgon (Bouches-du-Rhône) 06 I 318
- Observations sur quelques coquilles crétaciques recueillies en France. 5 article 06 I 318
- Observations sur quelques coquilles crétaciques recueillies en France. 6 article 06 I 319
- Mollusques éocéniques de la Loire inférieure. III. 2 06 I 467
- Mollusques éocéniques de la Loire inférieure. III. 3 07 II 302

- Cossmann, M.: Catalogue illustré des coquilles fossiles de l'Éocène des environs de Paris. Appendice 4 1907 II 302
 — Troisième note sur le Bathonien de St. Gaultier (Indre) 08 I 261
 — siehe Thiéry, P.
- Costanzi, G.: Abbozzo di una carta delle Isanomale della gravità nell' Europa centrale e nel Giappone meridionale 08 II 43
- Couffon, O.: Contribution à l'étude des faluns de l'Anjou. I. Étage Redonien, Gisement de Saint-Clément-de-la-Place 09 I 276
 — Contribution à l'étude des faluns de l'Anjou. II. Étage Pontilevien, Gisement de Haguineau 09 I 276
 — Contribution à l'étude des faluns de l'Anjou. III. Miocène supérieur. Gisement des Pierres Blanches près Chalonnnes 09 I 276
 — Le Miocène en Anjou 09 I 276
 — Le Miocène en Anjou (Supplément) 09 I 277
 — Le Bartonien supérieur (Marinésien) en Anjou 09 I 277
 — Sur quelques crustacés des faluns de la Touraine et d'Anjou 09 I 277
- Courtet, H.: Les sels de la région du Tchad. 07 I 41
- Couyat: Sur la célestite du Mokattam (Le Caire) 09 I 347
- Cowper Reed, F. R.: Sedgwick Museum Notes. New Fossils from the Haverfordwest District. I. 05 I 174
 — Sedgwick Museum Notes. New Fossils from the Haverfordwest District. II. 05 I 175
 — Woodwardian Museum notes. Some Wenlock Species of Lichas 05 II 316
 — Brachiopoda from the Bokkeveld beds 05 II 323
 — Notes on Ocean Island (Banaba) 05 II 424
 — Mollusca from the Bokkeveld beds 06 II 120
 — Sedgwick Museum Notes. New fossils from the Haverfordwest District. III. 06 II 138
 — The Classification of the Phacopidae 06 II 139
 — Sedgwick Museum Notes. New fossils from the Haverfordwest District. IV. 06 II 140
 — Sedgwick Museum Notes. New Fossils from the Haverfordwest District. V. 06 II 307
- Cozzaglio, A.: Contribuzione alla ricerche sulla topografia preglaciale e neozoica del Lago di Garda 05 II 100
- Cragin, F. W.: Paleontology of the Malone Jurassic Formation of Texas 07 I 285
- Craig, Cunningham, E. H., siehe Cunningham-Craig, E. H.
- Crammer, H.: Ueber Gletscherbewegung und Moränen 05 II 33
- Crandall, K.: The cretaceous stratigraphy of the Santa Clara Valley in California 08 I 432
- Crane, W. R., siehe Adams, G.
- Credner, H.: Der vogtländische Erdbebenschwarm vom 13. Februar bis zum 18. Mai 1903 und seine Registrierung durch das WIECHERT'sche Pendelseismometer in Leipzig 05 I 50
 — Die Genesis des sächsischen Granulitgebirges 08 I 56
 — Geologische Uebersichtskarte des Königreichs Sachsen im Maßstab 1 : 250 000 der natürlichen Größe. Im Auftrage des k. sächsischen Finanzministeriums nach den Ergebnissen der k. sächsischen geologischen Landesanstalt bearbeitet 09 I 400
 — Die Genesis des sächsischen Granulitgebirges CBl 1907 513

<i>Credner, H. und Danzig, E.: Das kontaktmetamorphische Paläozoicum an der südöstlichen Flanke des sächsischen Granulitgebirges</i>	CBl 1905	257
<i>Cremer, L.: Neuere geologische Aufschlüsse des niederrheinisch-westfälischen Steinkohlenbergbaues</i>	1907	I 414
<i>Crick, G. C.: Note on two Cephalopods obtained by Lieut.-Col. SKINNER from the Valley of the Tochi River on the Northwest frontier of India</i>	05	I 349
— <i>Note on a remarkable Belemnoid from the Chalk of Flamborough Head</i>	05	I 356
— <i>On Ammonites robustus (R. STRACHEY M. S.) H. J. BLANFORD from the Himalayas</i>	05	II 319
— <i>Jurassic Ammonites from India</i>	05	II 320
— <i>Notes on the Cephalopoda in the Strachey Collection from the Himalaya</i>	05	II 320
— <i>Note on Actinocamax MILLER; its identity with Atractilites LINK.</i>	06	I 466
— <i>On a dibranchiate Cephalopod, Styracoteuthis orientalis n. g. et n. sp., from the Eocene of Arabia</i>	07	I 324
— <i>On a New Form of Carboniferous Nautiloid (Amphoreopsis paucicamerata) from the Isle of Man</i>	07	I 482
— <i>Cretaceous fossils of Natal. Part III. The Cephalopoda from the deposit at the North and of False Bay, Zululand. — The Cephalopoda from the tributaries of the Manuan Creek, Zululand. — Note on a cretaceous ammonite from the mouth of the Umpenyati River, Natal</i>	07	II 304
— <i>The Arms of Belemnites</i>	07	II 493
— <i>siehe Fox, H.</i>		
<i>Crider, A. F.: Geology and Mineral Resources of Mississippi</i>	08	II 378
<i>Crook, A. R.: Molybdenite at Crown Point, Washington.</i>	06	I 164
<i>Crook, T.: Titaniferous Volcanic Rocks.</i>	09	II 226
<i>Crook, T. and B. M. Jones: Geikielite and the ferromagnesian Titanates</i>	07	II 18
<i>Crookes, W.: A New Formation of Diamond</i>	06	II 320
<i>Cross, W.: A new devonian formation in Colorado</i>	06	II 263
— <i>An occurrence of trachyte on the island of Hawaii</i>	06	II 221
— <i>Prowersose (syenitic lamprophyre) from Two Buttes, Colorado</i>	08	II 371
— <i>siehe Howe, E.</i>		
<i>Cross, W., J. P. Iddings, L. V. Pirsson, H. S. Washington: The texture of igneous rocks</i>	08	II 350
<i>Cummings, E. R.: Development of some paleozoic Bryozoa — Morphogenesis of Platystrophia. A Study of the evolution of a palaeozoic Brachiopod.</i>	05	II 324
<i>Cunningham-Craig, E. H.: Metamorphism in the Loch-Lomond District</i>	05	II 225
<i>Currie, J.: Note on some new localities for Gyrolite and Tobermorite</i>	06	II 343
— <i>The mineralogy of the Faeröes arranged topographically</i>	09	I 27
<i>Cushman, A. D. and P. Hubbard: The Decomposition of the Feldspars</i>	08	II 19
<i>Cuvellier, E. et L. Dubuisson: Note préliminaire concernant le puits artésien de la nouvelle école militaire</i>	05	I 305

D.

	Jahrg.	Bd.	Seite
D a c q u é, E.: Beiträge zur Geologie des Somalilandes. I. Untere Kreide. II. Oberer Jura	1906	I	280
— <i>Zur systematischen Speziesbestimmung</i>	BB XXII		639
D a c q u é, E. und E. K r e n k e l: <i>Jura und Kreide in Ostafrika</i> BB XXVIII 150			
D a h m s, P.: Mineralogische Untersuchungen über Bernstein. VIII. Ueber den Brechungsquotienten des Succinit und einige Erscheinungen, die sich bei der künstlichen Behandlung dieses Bernsteins zeigen	07	I	211
— Mineralogische Untersuchungen über Bernstein. IX. Ueber Rumänit und Succinit	08	II	326
D a i n e l l i, G.: Sull' attuale ritiro dei ghiacciai del versante italiano del Monte Rosa	05	I	56
— Contemporaneità dei depositi vulcanici e glaciali in provincia di Roma	08	II	46
D a k y n s, J. R. and E. G r e e n l y: On the probable Pelean Origin of the Felsitic Slates of Snowdon, and their Metamorphism	07	I	390
D a l P i a z, G., siehe P i a z, G. D a l.			
D a l e, T. N.: Structural details in the Green Mountain Region and in Eastern New York	05	II	413
— The Geology of the North End of the Taconic Range	05	II	413
— Slate Deposits and Slate Industry of the United States	08	II	377
— The Granites of Maine with an introduction by G. O. S M I T H	09	II	392
D a l l, W. H.: On the Synonymic History of the genera Clava MARTYN and Cerithium BRUGUIÈRE	08	I	444
D a l m e r, K.: Wo könnte in Sachsen noch auf Steinkohlen gebohrt werden?	06	I	235
— <i>Ueber die chemische Konstitution der Biotite</i>	CBl 1907		51
— <i>Ueber ein neues Unterscheidungsmerkmal zwischen Granit und Gneis</i>	CBl 1907		613
— <i>Ueber die Temperaturen, bei welchen das Wasser der Chlorite und Biotite entweicht</i>	CBl 1908		518
D a l y, R. A.: The accordance of summit levels among alpine Mountains	07	I	46
— The classification of igneous intrusiv bodies	07	I	51
— The Differentiation of secondary Magma through Gravitative Adjustment	07	II	214
— The Secondary Origin of Certain Granites	07	II	225
— Abyssal Igneous Injection as a Causal Condition and as an Effect of Mountain-building	08	I	213
— The Limeless Ocean of Pre-Cambrian Time	09	I	50
— Okanagen composite batholith of the Cascade Mountain system	09	I	68
D a m m e r, B.: Ueber das Auftreten zweier ungleichalteriger Lösses zwischen Weißenfels und Zeitz	1908 II		251
— Ueber einige neue Fundpunkte interglazialer Ablagerungen in der Lüneburger Heide	08	II	99
D a n e š, J.: Das Flußgebiet der unteren Narenta	06	II	195
D a n i e l, K.: Ueber die Einwirkung des Fluorwasserstoffes auf Quarz und amorphe Kieselsäure	05	I	20
— Ueber die Konstitution des Topases	05	I	37
D a n n e, J.: Sur un nouveau minéral radifère	07	I	10

- D a n n e n b e r g , A.: Beiträge zur Petrographie der Kaukasusländer II. (Schluß) 1906 I 389
 — *Der Vulkanberg Mte. Ferru in Sardinien* BB XXI I
 — *Die Vulkanberge von Colombia, ein Rückblick auf die Arbeiten und Beschreibungen von Alphons Stübel auf dem Gebiete der theoretischen Vulkanologie* CBl 1906 429
- D a n z i g , E., siehe Credner, H.
- D a r t o n , N. H.: The Zuni Salt Lake 07 I 48
 — The hot springs at Thermopolis, Wyoming 08 II 349
- D a u t z e n b e r g , Ph., siehe Dollfus, G. F.
- D a v i d , P.: Sur la stabilité de la direction d'aimantation dans quelques roches volcaniques 06 I 38
 — siehe Bruhnes, R.
- D a v i d , T. W. Edgworth, siehe Davis, B. F.
- D a v i e s , A. M.: The Kimeridge Clay and Corallian Rocks of the Neighbourhood of Brill (Buckinghamshire) 08 II 88
- D a v i e s , H. N.: The Discovery of human remains under the Stalagmite floor of Goughcavern, Cheddar. 1906 I 133 06 II 280
- D a v i s , B. F.: Occurrence of Gadolinite in West Australia. With notes by W. G. WOOLNOUGH and T. W. EDGORTH DAVID 08 I 25
- D a v i s , R. O. E.: Analysis of Kunzite 05 II 183
- D a v i s , W. M.: The Development of River Meanders 05 I 231
 — The Terraces of the Westfield River, Mass. 05 I 410
 — The relations of the earthsciences in view of their progress in the nineteenth Century 06 II 45
 — The geographical cycle in an arid climate 07 I 49
 — The Bearing of Physiography upon SUESS' Theories 07 I 224
 — An excursion to the plateau province of Utah and Arizona 09 I 422
- D a v i s o n , C.: The Caernarvon Earthquake of June 19th 1903 and its Accessory Shocks 05 II 371
 — The Derby Earthquakes of March 24th and May 3rd 1903 05 II 371
 — The Penzance earthquake of March 3. 1904 06 I 42
 — The Leicester Earthquakes of August 4th, 1893 and June 21st, 1904 06 I 361
 — The Derby Earthquakes of July 3rd, 1904 06 I 362
 — Twin-Earthquakes 06 I 363
 — The Doncaster Earthquake of April 23rd, 1905 07 I 45
 — On Earth-Shakes in Mining Districts 07 I 377
- D a w i s o n , J. M., siehe Howard, O. S. and Dawison, J. M.
- D a y , A. L. and E. T. Allen: The isomorphism and thermal properties of the feldspars 06 I 333
- D a y , A. L., E. T. Allen, E. S. Shepherd, W. P. White und F. E. Wright: Die Kalkkieselreihe der Mineralien. Zusammengestellt nach neuen Untersuchungen des geophysikalischen Laboratoriums, Carnegie Institution in Washington. 09 I 180
- D a y , A. L. and E. S. Shepherd: The Lime-Silica Series of Minerals, with optical study by FRED E. WRIGHT 08 I 180
- D e a n , B.: Historical Evidence as to the Origin of the paired Limbs of Vertebrates 05 II 313
 — The Preservation of Muscle-Fibres in Sharks of Cleveland Shale 08 II 478
- D e e c k e , W.: Die Oderbank nördlich von Swinemünde 1905 II 293 07 II 50
 — Die Beziehungen der vorpommerschen Städte zur Topographie und Geologie ihrer Umgebung 05 II 441

Deecke, W.: Ueber Wealdengeschiebe aus Pommern	1905	II	443
— Säugetiere aus dem Diluvium und Alluvium der Provinz Pommern	06	I	140
— Das skandinavische Erdbeben vom 23. Oktober 1904 und seine Wirkungen in den südbaltischen Ländern	06	I	200
— Betrachtungen zum Problem des Inlandeises in Norddeutschland und speziell in Pommern	07	I	114
— Interglazialer Torf in Vorpommern	07	II	462
— Geologie und Prähistorie	07	II	471
— Notizen über Brandgruben in Neuvorpommern. Kleine Beobachtungen in dem Gebiete des Darss	07	II	477
— Die alten vorpommerschen Verkehrswege in ihrer Abhängigkeit vom Terrain	07	II	477
— <i>Ein Grundgesetz der Gebirgsbildung? Erster Artikel</i>	08	I	119
— <i>Ein Grundgesetz der Gebirgsbildung? Zweiter Artikel</i>	08	II	32
— <i>Ein Grundgesetz der Gebirgsbildung? Dritter Artikel. Der Alpenbogen</i>	08	II	55
— Einige neue Aufschlüsse im Flözgebirge Vorpommerns und allgemeine Charakterisierung der pommerschen Kreideformation	08	I	428
— <i>Die südbaltischen Sedimente in ihrem genetischen Zusammenhange mit dem skandinavischen Schilde</i>	CBI 1905		97
— <i>Nekrolog Emil Cohen</i>	CBI 1905		513
— <i>Konglomeratgneis als Diluvialgeschiebe</i>	CBI 1906		625
— <i>Einige Beobachtungen am Sandstrande</i>	CBI 1906		721
— <i>Erdmagnetismus und Schwere in ihrem Zusammenhange mit dem geologischen Bau von Pommern und dessen Nachbargebieten</i>	BB XXII	I	4
— <i>Der geologische Bau der Apenninenhalbinsel und die Schwere-messungen</i>	Festband		129
Deeley, R. M.: The Structure of Glacier Ice	09	II	209
Delage, A. et H. Lagatu: Sur la constitution de la terre arable	1906	I	207
— — Sur les espèces minérales de la terre arable 1906	07	II	60
— — Sur les résultats obtenus par l'observation des terres arables en plaques mines	07	II	61
DeLamothe, siehe Lamothe, de.			
DeLaunay, L., siehe Launay, L. de.			
Delebecque, A.: Sur les lacs de la haute Engadin	06	I	44
— Sur les lacs du Grimsel et du massif du St. Gothard	07	II	52
Delheid, E.: Quelques fossiles bruxelliens de la région de Waterloo	09	I	275
Delkeskamp, R.: Die Bedeutung der Konzentrationsprozesse für die Lagerstättenlehre und die Lithogenesis	06	I	72
— Die Bedeutung der Geologie für die Balneologie	06	I	403
— Beiträge zur Kenntnis der Westufer des Mainzer Tertiärbeckens. I. Der Kreuznacher mitteloligocäne Meeressand und seine Fauna	07	I	111
— Vadose und juvenile Kohlensäure	07	II	61
— Fortschritte auf dem Gebiete der Erforschung der Mineralquellen. (Geologie und Genesis. Chemie und Physik. Systematik. Erschließung und Fassung. Quellenschutz. Physiologische Wirkung. Kur- und Badewesen.)	09	II	372
— Das Kupferkiesvorkommen zu Riparbella (Cecina) in der Toscana. Genesis der Kupferkieslagerstätten der eocänen basischen Eruptivgesteine der Toscana, Liguria, Emilia etc. vom Typus des Monte Catini	09	II	397

De Lorenzo, siehe Lorenzo, de.		
Demel, W.: Chemische Analysen schlesischer Minerale . . .	1905	I 199
Denckmann, A.: Blätter Kellerwald, Gilserberg, Rosenthal	07	II 90
— Ueber eine Exkursion in das Devon- und Culmgebiet nördlich von Letmathe	09	I 241
— Die Ueberschiebung des alten Unterdevon zwischen Siegburg an der Sieg und Bilstein im Kreis Olpe	09	I 272
— Mitteilungen über eine Gliederung in den Siegener Schichten	09	I 272
Denckmann, A. und O. v. Linstow: Blatt Frankenau	07	II 90
Deninger, K.: Die Gastropoden der sächsischen Kreideformation	06	I 317
— <i>Einige neue Tabulaten und Hydrozoen aus mesozoischen Ablagerungen</i>	06	II 61
— <i>Die mesozoischen Formationen auf Sardinien</i>	BB	XXIII 435
Denison, R. B., siehe Hoff, J. H. van't.		
Depéret, Ch.: Sur les caractères et les affinités du genre Chasmothorium RÜTIMEYER	06	II 280
— Die Umbildung der Tierwelt. Eine Einführung in die Entwicklungsgeschichte auf paläontologischer Grundlage. Ins Deutsche übertragen von R. N. WEGNER	09	II 311
— Sur quelques gisements à Lophiodon de la région de Carcassonne	09	II 469
Depéret, Ch. et Caziot: Note sur les gisements pliocènes et quaternaires marins des environs de Nice	05	II 289
Depéret, Ch. et A. Guebbard: Sur l'âge des labradorites de Biot	06	I 115
Depéret, Ch. et F. Roman: Monographie des Pectinidés néogènes de l'Europe et des régions voisines. 1 Partie: Genre Pecten. (Supplément)	06	I 467
Deprat, G.: Les volcans du Logudoro et du Campo d'Ozieri (Sardaigne)	09	I 47
Deprat, J.: Les roches éruptives de l'île d'Eubée	05	I 245
— Note sur une diabase ophitique d'Epidaure (Péloponnèse)	06	II 212
— Sur la présence de noumëite à l'état détritique dans l'Éocène néo-calédonien	07	I 32
— Les dépôts éocènes néo-calédoniens; leur analogie avec ceux de la région de la Sonde. Description de deux espèces nouvelles d'Orbitoides	07	I 114
— L'origine de la protogine de Corse	07	II 404
— Sur la présence de trachytes et d'andésites à l'hypersthène dans le Carbonifère de Corse	07	II 405
— Les roches alcalines des environs d'Evisa (Corse)	08	I 69
— Sur l'existence en Corse de porphyres quartzifères alcalins et sur un remarquable gisement d'orthose	08	I 69
— Sur l'identité absolue de Nummulina pristina BRADY et de Nummulites variolaris LAMK. et sur son existence dans les dépôts tertiaires néo-calédoniens	08	I 140
— Le Nummulitique de la Pta. del Fornello (Corse)	09	I 275
— Les éruptions posthelvétiques antérieures aux volcans récents dans le nord-ouest de la Sardaigne	09	II 227
— Les formations néovolcaniques antérieures au Miocène dans le nord-ouest de la Sardaigne	09	II 227
— Les produits du volcan Monte Ferru (Sardaigne)	09	II 227
— Sur un cas de dédoublement du thalweg d'une vallée par l'intervention d'une coulée volcanique (Sardaigne)	09	II 228
Derby, O. A.: The Geology of the Diamond and Carbonado Washings of Bahia, Brazil	07	II 84

Derwies, V. de: Recherches géologiques et petrographiques sur les laccolithes des environs de Piatigorsk (Caucase du Nord)	1907	I	233
Destine z, P.: Chonetes comoides dans la dolomie viséenne de la vallée du Bocq	05	I	457
— Ctenacanthus tenuistriatus Ag. dans le calcaire carbonifère de Visé	05	I	457
— Faune du petit-granite (T ₂ b) de Belgique	05	I	456
— Comparaison de la faune des sables de Boncelles avec celle de l'Oligocène supérieur de Westphalie	09	I	275
Dewalque, G.: Catalogue des météorites conservées dans les collections belges	07	I	361
— Le météorite d'Amama et la nouvelle communication de M. le professeur HENRICHS	07	I	363
— L'origine du fer météorique de la hacienda de Moenvalle	07	I	363
Dibley, G. E.: The discovery of Marsupites in the Chalk of the Croydon area	06	II	107
Dick, A. B.: Supplementary notes on the mineral Kaolinite	09	II	191
Dickson, C. W.: Die Erzlagerstätten von Sudbury, Ontario	05	II	406
Diener, C.: Permian Fossils of the Central Himalayas . . .	05	II	278
— Fauna of the Tropites-Limestone of Byans	08	II	235
— The fauna of the Himalayan Muschelkalk	08	II	240
— Die Faunen der tibetanischen Klippen von Malla Johar (Zentral-Himalaya)	08	II	412
— Uppertriassic and liassic Faunae of the exotic blocks of Malla Johar in the Blot Mahals of Kumaon	08	II	412
— Ueber die stratigraphische Stellung der Otoceras beds des Himalaya	CBI 1905	I.	36
— Das Alter der Olenekschichten Sibiriens	CBI 1908		233
— Die Stammesgeschichte der Ammoniten im Lichte der Abstammungslehre STEINMANN'S	CBI 1908		577
— Zur Frage der Rassenpersistenz bei Ammoniten. Eine Erwiderung	CBI 1909		417
— siehe Uhlig, V.			
Diener, C., R. Hörnes, Fr. E. Suess, V. Uhlig: Bau und Bild Oesterreichs	06	II	233
Dienert, F.: De la minéralisation des eaux souterraines et des causes de sa variation	08	I	363
— Sur le degré de minéralisation des eaux souterraines . . .	08	I	363
Dienert, F. et E. Bouquet: Relation, entre la radioactivité des eaux souterraines et leur hydrologie	09	II	211
Dieseldorff, A.: Berichtigung einiger Angaben des Herrn R. Beck über: „Die Nickelerzlagerstätte von Sohland a. d. Spree und ihre Gesteine“	05	I	98
— Neue Manganerzvorkommen in Britisch Nord-Borneo . . .	09	I	80
Dietzel, H.: Quellenstudien aus der Umgebung von Marburg	08	II	346
Di Franco, S., siehe Franco, S. di.			
Diller, J. S.: Klamath Mountain Section, California	05	II	105
— Topographic development of the Klamath Mountains . .	05	II	411
Diller, J. S. and H. B. Patton: The geology and petrography of Crater Lake National Park	1905	I	251
Di-Stefano, G.: Sull' esistenza dell' eocene nella penisola Salentina	06	II	116
Ditte, A.: Sur la formation dans la nature des minerais de vanadium	06	I	327

- Dittler, E.: Umwandlungspseudomorphose von Dolomit nach Calcit aus Schemnitz, Ungarn CBl 1909 555
- Der Orthoklas und die basischen Endglieder der Plagioklasreihe. Vorläufige Mitteilung CBl 1909 663
- Dittrich, M.: Anleitung zur Gesteinsanalyse CBl 1905 93
- Chemisches Praktikum für Studierende der Naturwissenschaften. Qualitative Analyse CBl 1906 616
- Dittrich, M. und R. Pohl: Zur Bestimmung von Zirkon neben Titan, insbesondere in Gesteinen 1906 I 5
- — Chemisch-geologische Untersuchungen über „Absorptionserscheinungen“ bei zersetzten Gesteinen. II. 06 I 51
- Doby, G. und G. Melzer: Ueber das Achsenverhältnis und die chemische Zusammensetzung einiger Titaneisen. — Zirkon aus dem Ilmengebirge 06 I 17
06 I 22
- Döll, Ed.: Ueber neue Pseudomorphosen: Quarz nach Pyrrhotin, Markasit nach Rutil, Limonit nach Quarz 05 I 13
- Doelter, C.: Die Silikatschmelzen. I. und II. Mitteilung 06 II 4
- Die Silikatschmelzen. III. Mitteilung 06 II 5
- Die Silikatschmelzen. IV. Mitteilung 07 II 5
- Die Untersuchungsmethoden bei Silikatschmelzen 07 II 7
- Die Theorie der Silikatschmelzen und ihre Anwendung auf die Gesteine 1907 II 8 08 I 86
- Die Reaktionsgeschwindigkeit in Silikatschmelzen 07 II 9
- Minerogenese und Stabilitätsfelder der Minerale 1907 II 10. 162
- Ueber die Schmelzpunkte der Silikate 07 II 171
- Ueber die Frage der Ausdehnung der Silikate beim Erstarren 1909 I 51 09 II 329
- Die Anwendung der physikalischen Chemie auf Mineralogie und Geologie 09 II 182
- Ueber Silikatschmelzen und Silikatgläser 09 II 184
- Ueber die Dissoziation der Silikatschmelzen (II. Mitteilung) 1909 II 184. 329
- Ueber die Silikatschmelzlösungen CBl 1905 144
- Physikalisch-chemische Mineralogie CBl 1905 629
- Ueber den Einfluß der Viskosität bei Silikatschmelzen CBl 1906 193
- Die Untersuchungsmethoden der Silikatschmelzen CBl 1907 1
- Petrogenese CBl 1907 216
- Ueber die Stabilität der durch Radium erhaltenen Farben der Mineralien CBl 1909 232
- Heizmikroskop mit elektrischer Heizung CBl 1909 567
- siehe R o m b e r g, J.
- Doeltz, F. O. und Wl. Mostowitsch: Versuche über das Verhalten des Schwerspats bei höheren Temperaturen 08 II 321
- Doerinckel, F.: Ueber einige Platinlegierungen 08 II 157
- Dollfus, G. F.: Sur les effondrements de la plaine de Sevrans — Les Calcaires et Sables tertiaires du Bassin de la Loire 05 I 54
05 I 319
- Critique de la classification de l'Éocène inférieure 06 II 115
- Révision des faunes de Mollusques terrestres et fluviatiles du tertiaire des bassins de la Seine et de la Loire 07 I 441
- Classification des couches de l'Éocène supérieur au nord de Paris 07 II 450
- Découverte à Darvault (Seine et Marne) d'un calcaire lacustre inséré dans la partie moyenne des Sables de Fontainebleau 09 I 107
- Sur quelques polypiers fossiles des Indes Néerlandaises. Aus: R. D. M. VERBEEK, Rapport sur les Moluques 09 II 141
- Étude critique sur quelques coquilles fossiles du Bordelais 09 II 466

Dollfus, G. F.: Excursion to Paris of the Geologists Association in April 1908	1909	II	466
— On the Correlation of the Beds of the Paris Basin	09	II	466
Dollfus, G. F. et Ph. Dautzenberg: Conchyliologie du Miocène moyen du bassin de la Loire, Suite. I. Partie: Pélécy-podes	06	II	454
Dollfus, G. F. et G. Ramond: Présentation d'une note sur la géologie des environs de St.-Michel-Monthléry (Seine-et-Oise)	05	II	119
Dollo, L.: Les Mosasauriens de la Belgique	05	II	308
— L'origine des Mosasauriens	05	II	308
— Un nouvelle opercule tympanique de Plioplatecarpus, Mosasaurien plongeur	05	II	308
— Les allures des Iguanodons d'après les empreintes des pieds et de la queue	05	II	310
— Eochelone brabantica, tortue marine nouvelle du Bruxellien (Éocène moyen) de la Belgique et l'évolution des chéloniens marines	05	II	473
— Les Dinosauriens adaptés à la vie quadrupède secondaire	06	II	137
— Le pied de l'Amphiproviverra et l'origine arboricole des Marsupiaux	07	II	491
— L'audition chez les Ichthyosauriens	08	I	440
— Nouvelle note sur les Reptiles de l'Éocène inférieur de la Belgique et des régions voisines	08	I	443
Donath, Ed. und F. Bräunlich: Zur Kenntnis der fossilen Kohlen	06	I	235
Donau, J.: Ueber den Nachweis von Gold, Silber und den Platinmetallen durch die Phosphorsalzperle	08	II	156
Doncieux, L.: L'Éocène inférieur et moyen des Corbières septentrionales 1906 II 429	07	I	441
Dorr, R.: Mikroskopische Faltungsformen, ein physikalisches Experiment	CBI	1905	90
Dorvan, S. S.: Notes on the Ancient Volcanoes of Basutoland	09	II	234
Doss, B.: Merkwürdige Bodenbewegungen bei Neu-Laitzen in Livland	07	II	50
— Ueber einen artesischen Naturbrunnen bei Schlock in Livland	07	II	50
— Beobachtungen über das skandinavische Erdbeben vom 23. Oktober 1904 im Bereiche der russischen Ostseeprovinzen	CBI	1905	65
Doudon, E.: Nouvelles explorations dans les cavernes d'Engihoul	05	I	322
Douglas, E.: A Cretaceous and Lower Tertiary Section in South Central Montana	06	II	423
Doumont, J.: Sur l'analyse minéralogique des terres arables	07	II	400
Douvillé, H.: Études sur le terrain nummulitique du Sud-Ouest	05	I	131
— Observations de M. Boussac faite à Biarritz	05	II	118
— Essai d'une revision des Orbitolites	05	II	154
— Le terrain nummulitique du Bassin de l'Adour	05	II	288
— Failles et plis	06	I	43
— Sur la comparaison des divers bassins nummulitiques	06	I	114
— Sur les fossiles silicifiées de Frayssinet-Le-Gélat (Lot)	06	I	290
— Observation	06	II	201
— Limite du crétacé et de l'éocène dans l'Aquitaine	07	I	112
— Evolution des Nummulites dans les différents bassins de l'Europe occidentale 1907 I 159	07	II	158

	Jahrg.	Bd.	Seite
Douville, H.: Sur la structure des Orbitolines	1907	I	159
— Les foraminifères dans le tertiaire de Bornéo	07	I	161
— Stratigraphie des couches de Gaas	07	II	297
— Sur la structure du test dans les Fusulines	08	I	140
— Observations à propos des „Lépidocyclines“ éocènes de quelques paléontologistes italiens	08	I	141
— Sur quelques gisements nummulitiques de Madagascar	08	I	141
— Evolution et enchainements des Foraminifères	08	I	305
— Sur des Lépidocyclines nouvelles	08	I	308
— Les calcaires à Fusulines de l'Indo-Chine	08	I	417
— Les Ralligstöcke et le Gerihorn	08	II	382
— Observations géologiques dans les environs d'Interlaken	09	I	88
— Les couches à Lépidocyclines dans l'Aquitaine et la Vénétie	09	I	135
— Lépidocyclines du Sausset (B. du Rhone)	09	I	136
— Sur des Lépidocyclines d'un calcaire de l'île Grand-Kei	09	II	145
— Rectifications à la nomenclature de quelques Nummulites	09	II	486
— Sur quelques gisements à Nummulites de l'Est de l'Europe	09	II	486
— siehe Sch l u m b e r g e r, Ch.			
Douville, R.: A propos des Lépidocyclines éocènes des quelques paléontologistes italiens	07	I	159
— Sur le „Argiles écailleuses“ des environs de Palerme, sur le Tertiaire de la côte d'Otrante et sur celui de Malte	08	II	283
— Sur la variation chez les foraminifères du genre Lepidocyclina	08	II	284
— Position stratigraphique des gisements à Lepidocyclines dans le Miocène de Provence	09	I	297
— Observations à propos de la note de M. ROVERETO „sur le Stampien des environs de Varazze“	09	II	486
— Sur des Foraminifères oligocènes et miocènes de Madagascar	09	II	487
— siehe L e m o i n e, P.			
Douville, R. et H. Jourdy: Le Jurassique du Sud Tunisien	06	I	283
Douville, R. et Prever: Communication sur la succession des faunes à Lépidocyclines dans le „bassin du Piémont“	07	II	159
Douxami, H.: La formation des Alpes	07	II	103
Douxami, H. et P. Marty: Végétaux fossiles de la Molasse de Bonneville (Haute-Savoie)	09	I	467
Dravert, P.: Cölestin aus den permischen Ablagerungen des Gouvernements Kasan	05	II	191
— Bericht über eine Exkursion nach dem mittleren Ural im Jahre 1900	09	II	41
— siehe P o l j e n o w, B.			
Dreger, F.: Ueber die Kristallisationsgeschwindigkeit binärer Schmelzen	06	I	7
Dreger, J., siehe A b e l, O.			
Dresser, J. A.: On the Geology of Brome Mountain, one of the Monteregeian Hills	07	I	239
— Copper Deposits of the Eastern Townships of Quebec	08	I	81
— Igneous rocks of the Eastern Townships of Quebec	09	I	67
Drevermann, F.: Die Fauna der Siegener Schichten von Seifen unweit Dierdorf (Westerwald)	05	I	315
— <i>Bemerkungen über John M. Clarke's Beschreibung der Naples-Fauna, II. Teil</i>	CBI 1905		385
Dreyer, F.: Ueber die Kristallisationsgeschwindigkeit binärer Schmelzen	05	II	174
Dreyer, G., siehe S a l o m o n s e n, C. J.			

Drzewina, A.: Bologovskaia stoianka kamennaho vieka. Die Steinzeit der Station Bologoie	1906	I	133
Dublin, L.: Arboreal Adaptations	06	I	136
Dubois, A., siehe Scharadt, H.			
Dubois, E.: Over en equivalent van het Cromer Forest bed in Nederlad	06	I	141
— Das geologische Alter der Kendeng- oder Trinil-Fauna . .	09	I	114
— Ueber Facettengeschiebe im niederländischen Diluvium . . .	CBI 1906		15
— siehe Elbert, J.			
Du Bois, G. C.: Beitrag zur Kenntniss der surinamischen Laterit- und Schutzrindenbildungen	05	II	69
Dubuisson, L., siehe Cuvellier, E.			
Duerden, J. E.: The morphology of the Madreporaria III: The primary septa of the Rugosa	09	II	140
Dufet, H.: Sur le calcul cristallographique (nouvelle méthode) — Recherches expérimentales sur l'existence de la polarisation rotatoire dans les cristaux biaxes	05	II	335
Düll, E.: Ergebnisse petrographischer Studien an Eruptivgesteinen und kontaktmetamorphen Sedimenten aus dem rheinpfälzischen Gebiete zwischen Glan und Lauter . .	09	I	54
— Ueber die Eklogite des Münchberger Gneisgebietes. Ein Beitrag zur Kenntniss ihrer genetischen Verhältnisse . .	09	I	377
— siehe Nies, A.			
Dürr, L.: Die Mineralien der Markircher Erzgänge	09	I	21
— Ueber ein neues Vorkommen von Lautit	09	I	8
Dürrfeld, V.: Herderit vom Epprechtstein	CBI 1909		552
— Whewellit von der Grube St. Sylvester bei Urbeis im Weuertal (Vogesen)	CBI 1909		553
Dumanski, A.: Ultramikroskopische Untersuchungen des Eisenhydroxydhydrosols	08	II	171
Dumont, J.: Sur la répartition de la potasse dans la terre arable — Sur l'analyse minéralogique des terre arables	06	I	48
— Sur l'absorption des carbonates alcalins par les composants minéraux du sol	06	I	208
— Les composés phospho-humiques du sol	08	I	362
— Les composés phospho-humiques du sol	08	II	188
Dun, W. S.: I. Notes on some large Chonetine Shells from the Carboniferous of New South Wales. II. Carboniferous Brachiopods from Clarence Town, New South Wales . .	05	II	324
— Description of a New Species of Productus from the Carboniferous System of New South Wales	05	II	325
— Notes on Palaeozoic Brachiopoda and Pelecypoda from N. S. Wales	08	I	279
Dunstan, W. R.: Report on the occurrence of Thorium-bearing Minerals from Ceylon	05	II	355
— Report on Cassiterite from Ceylon	06	I	166
Dunstan, W. R. und G. S. Blake: Thorianite, a new Mineral from Ceylon	05	II	353
Dunstan, W. R. and M. Jones: A variety of Thorianite from Galle, Ceylon	07	I	198
Duparc, L.: Sur une nouvelle variété d'orthose	05	I	24
— Sur quelques roches filoniennes qui traversent la dunite massive du Koswinsky (Oural du Nord)	05	I	75
— L'âge du granit alpin	08	I	69
— Sur l'ouralitisiation du pyroxène	1909	I	342
Duparc, L. et Th. Hornung: Sur une nouvelle théorie de l'ouralitisiation	06	I	339

Duparc, L. et L. Loup: Sur des Euphotides à chloritoïde, trouvées dans l'erratique des environs de Genève	05	I	244
Duparc, L. et L. Mrazec: Sur le minerai de fer de Troïtsk (Oural du Nord)	1905	I	259
— — Le minerai de fer de Troïtsk	06	II	223
Duparc, L. et F. Pearce: Sur la sorérite, une amphibole nouvelle du groupe des hornblendes communes	1905	I	30
— — Recherches géologiques et petrographiques sur l'Oural du Nord dans la Rastesskaya et Kizélowsskaya-Datcha (gouvernement de Perm). Deuxième mémoire	06	I	386
— — Ueber die Auslöschungswinkel der Flächen einer Zone	07	II	3
— — Sur la gladaïte, nouvelle roche filonienne dans la dunite	07	II	410
— — Sur la tschernichéwite, une nouvelle amphibole	08	II	176
Durandière, de la: Sur une production de cuivre chloruré dans le sous-sol du IX ^e arrondissement de Paris	05	I	369
DuToit, A. L.: Geological Survey of Aliwal North, Herschel, Barkley East and Part of Wodehouse	07	II	114
Dutton, C. E.: Volcanos and radioactivity	09	I	47

E.

Eakle, A. S.: Notes on Lawsonite, Columbite, Beryl, Barite and Calcite	1908	II	15. 27. 29. 38. 39
Eastman, C. R.: Description of Bolca fishes	05	I	341
— On Campyloprion, a new Form of Edestus like Dentition	05	II	132
— Some carboniferous Cestraciant and Acanthodian Sharks	05	II	133
— Some unpublished Observations of ORESTES ST. JOHN on palaeozoic Fishes	05	II	133
— On the genus Peripristis ST. JOHN	05	II	137
— Notice of interesting new forms of carboniferous fish-remains	05	II	138
— A peculiar modification amongst permian Dipnoans	05	II	477
— Sharks teeth and Cetacean Bones from the red clay of the tropical Pacific	05	II	477
— Vesuvius during the early middle ages	07	II	390
— „A brief general account of fossil fishes“ and „The triassic fishes of New Jersey“	08	II	442
— Devonian fishes of the New York-Formations	08	II	443
Easton, siehe Wing Easton, N.			
Eaton, G. F.: The characters of Pteranodon	05	I	517
Eberhardt: Zur Geologie von Eßlingen und Umgebung. Ein Beitrag zur Heimatkunde	07	II	256
Eckardt, W. R.: Das Klimaproblem der geologischen Vergangenheit und historischen Gegenwart	09	II	43
Eckel, E. C.: On a California roofing slate of igneous origin	06	II	215
— On the chemical composition of american shales and roofing slates	06	II	215
— Cement Materials and Industry of the United States	08	II	376
— siehe Emmons, S. F.			
Edgworth, D., D. W., siehe Davis, B. F.			
Edlinger, W.: Beiträge zur Geologie und Petrographie Deutsch-Adamaus	09	II	384
Egger, J. G.: Mikrofauna der Kreideschichten des westlichen Bayrischen Waldes und des Gebietes um Regensburg	08	II	284
Egoroff, N.: Sur le dichroïsme produit par le radium dans le quartz incolore et sur un phénomène thermo-électrique observé dans le quartz enfermé en stries	06	II	158

Eichhorn, G.: Die paläolithischen Funde von Taubach in den Museen zu Jena und Weimar	1909	I	285
Eichleiter, C. F.: Chemische Untersuchung der Arsen-Eisenquelle von S. Orsola bei Pergine in Südtirol	09	II	373
Eichstädt, Fr.: En egendomlig af rent glas bestående meteorit funnen i Skåne	09	I	354
Eichwald, E.: Neuere Untersuchungen über die flüssigen Kristalle	05	II	171
Einecke, G.: Die südwestliche Fortsetzung des Holzappeler Gangzuges zwischen der Lahn und der Mosel 1908 I 241	09	I	242
Eisele, H.: Das Uebergangsgebirge bei Baden-Baden, Ebersteinburg, Gaggenau und Sulzbach und seine Kontaktmetamorphose durch das Nordschwarzwälder Granitmassiv 1908 I 91	09	II	65
— <i>Ueber den Kontakthof des Granit von Baden-Baden</i>	CBI 1905		342
Elbert, J.: Ueber die Altersbestimmung menschlicher Reste aus der Ebene des westfälischen Beckens	05	I	475
— Das untere Angoumien in den Osningsbergketten des Teutoburger Waldes	06	II	102
— Die Landverluste an den Küsten Rügens und Hiddensöes, ihre Ursachen und ihre Verhinderung	1906	II	196
— Ueber die Standfestigkeit des Leuchtturms auf Hiddensöe 1906 II 196	08	I	97
— Die Entwicklung des Bodenreliefs von Vorpommern und Rügen sowie den angrenzenden Gebieten der Uckermark und Mecklenburgs während der letzten diluvialen Vereisung. II. Teil.	1907	I	117
— <i>Ueber das Alter der Kendeng-Schichten mit Pithecanthropus erectus Dubois</i>	BB XXV		648
— <i>DUBOIS' Altersbestimmung der Kendengschichten</i>	CBI 1909		513
Elbert, J. und H. Klose: Kreide und Paleocän auf der Greifswalder Oie	07	II	99
Elles, G. L.: Some Graptolite Zones in the Arenig Rocks of Wales	06	II	263
Elsdén, J. V.: On the origin of certain Pegmatite Veins	05	II	386
— On the Age of the Llyn-Padarn Dykes	05	II	389
— On the Igneous Rocks occurring between St. David's Head and Strumble Head (Pembrokeshire)	06	II	210
Emerson, B. K.: Note on Corundum and a Graphitic Essonite from Barkhamsted, Connecticut	05	II	393
— Note on a Calcite-Prehnite Cement Rock in the Tuff of the Holyoke Range	05	II	397
— Plumose Diabas and Palagonite from the Holyoke trapsheet	07	I	242
Emerson, B. K. and J. H. Perry: The Green Schists and associated Granites and Porphyries of Rhode Island	09	II	391
Emilio, L. d', siehe Piutti, A.			
Eminger, W.: Die Magnetitbogenlampe	08	II	13
Emmons, S. F.: Los Pilares Mine, Nacozari, Mexico	07	II	418
— Theories of ore deposition historically considered	CBI 1907		89
Emmons, S. F. and E. C. Eckel: Contributions to Economic Geology 1905	08	II	376
Emmons, S. F. and C. W. Hayes: Contributions to Economic Geology 1902	05	I	440
— — Contributions to Economic Geology 1904	08	II	376
Emmons, S. F., C. W. Hayes and others: Contributions to Economic Geology	05	I	207
— siehe Irving, J. D.			

	Jahrg. Bd. Seite
Emmons, W. H.: A Genetic Classification of Minerals . . .	1909 II 330
Emszt, K.: Mitteilungen aus dem chemischen Laboratorium der agrogeologischen Aufnahmsabteilung der k. unga- rischen geologischen Anstalt	05 II 122
Endriß, K.: Die Donauversinkung. Der Begriff „Donau- versinkung“ und der Weg zur Hebung der Wasserwirt- schaft an der oberen Donau und an der Aach.	08 I 93
— Zwei Aktenstücke über die Donauversinkung	08 I 94
— Für Wirtembergs Scholle CBl 1907 185	08 I 95
Engel, Th.: Geognostischer Wegweiser durch Württemberg	08 II 233
Engelhardt, H.: Tertiäre Pflanzenreste aus den Fajüm .	09 I 308
Engler, C.: Die Bildung des Erdöls	08 II 327
Ennes de Souza, siehe Smith-Woodward.	
Eno, F. H.: The Uses of Hydraulic Cements	06 II 73
Erdmann, E.: Ein neuer schwedischer Fundort von Pyro- phyllit	06 I 340
Erdmannsdörffer, O. H.: Die devonischen Eruptiv- gesteine und Tuffe bei Harzburg und ihre Umwandlung im Kontakthof des Brockenmassivs	06 I 209
— Ueber die Umwandlung von Diabasfeldspaten in Kontakt- höfen von Tiefengesteinen	06 I 209
— Ueber Bau und Bildungsweise des Brockenmassivs	07 I 382
— Petrographische Mitteilungen aus dem Harz. III. Ueber Resorptionsercheinungen an Einschlüssen von Ton- schieferhornfels im Granit des Brockenmassivs	09 I 55
— Ueber Vertreter der Essexit-Theralithreihe unter den diabas- artigen Gesteinen der deutschen Mittelgebirge	09 I 56
— Ueber die systematische Stellung der Harzer Keratophyre = Ueber Hornfelsstruktur und kristalloblastische Reihen . . .	CBl 1909 501
Erlanger, v. (Neumann-v. Erlanger), siehe We- ber, M.	
Ermisch, K.: Die Knollengrube bei Lauterberg am Harz	05 II 398
— Neue Untersuchungen B. Lotri's auf Elba: silberhaltige Blei- erze bei Rosseto	07 I 254
— Die gangförmigen Erzlagerstätten der Umgegend von Massa Marittima in Toskana auf Grund der Lotri'schen Unter- suchungen	07 I 255
Ertborn, O. van: A propos de la carte géologique de la province d'Anvers et de la partie du Limbourg située au Nord du Démer	05 I 468
— Sondages houillers en Campine	05 I 468
— Contribution à l'étude du Quaternaire de la Belgique . . .	05 I 478
— Quelques mots au sujet des terrains quaternaires	05 I 480
— Allure générale du Crétacique dans le Nord de la Belgique	06 I 289
— Le forage de Wavre-Notre-Dame. Résultat important ob- tenu par les grands diagrammes	07 I 442
— Tableau comparé de l'Échelle française et générale du groupe tertiaire avec la Légende officielle de Belgique et de la légende libre de l'auteur	07 II 296
Eschen, Fr. Waitz von, siehe Waitz von Eschen, Fr.	
Etheridge jr., R.: A monograph of the cretaceous inverte- brate fauna of New South Wales	05 I 318
— Cretaceous fossils of Natal. I. The Umkwelane Hill deposit, Zululand	06 I 307
— An australian sauropterygian (Cimoliosaurus), converted into precious opal	07 I 145

Etheridge jr., R.: On a precaudal vertebra of <i>Ichthyosaurus australis</i> Mc Coy	1907	I	145
— A new permo-carboniferous genus (<i>Keenia</i>) of <i>Pleurotomariidae</i> and a <i>Straparollus</i> in New South Wales	07	I	154
— Additions to the middle devonian and carboniferous corals in the Australian Museum	07	I	155
— Aperture of <i>Conularia</i>	07	I	155
— New or little known lower palaeozoic Gasteropoda in the collection of the Australian Museum	07	I	155
— On the occurrence of the genus <i>Columnaria</i> in the upper silurian rocks of New South Wales	07	I	155
— <i>Halysites</i> in New South Wales	07	I	156
— An <i>Actinoceras</i> from Northwest Australia	07	I	324
— The discovery of Bones at Cunningham Creek, near Harden, N. S. Wales	07	I	458
— Little-known and undescribed permo-carboniferous <i>Pelecypoda</i> in the Australian Museum	07	I	484
— <i>Ctenostreon pectiniforme</i> SCHLOTHEIM an australian fossil 1907 I 484	07	II	339
— <i>Lingula</i> associated with <i>Lepidodendron</i>	07	I	485
— Two undescribed <i>Pelecypoda</i> from the lower Cretaceous of Queensland in the collection of the Australian Museum 1907 I 485	07	II	289
— On the occurrence of a starfish in the upper silurian series of Bowning, N. S. Wales	07	II	157
— Cretaceous fossils of Natal. Part II. The Umsinene River deposit, Zululand	07	II	304
— <i>Palaeontologia Novae Cambriae Meridionalis</i> . — Occasional Descriptions of New South Wales Fossils	08	I	278
E t z o l d, Fr.: Bericht über die von WIECHERT's astatischem Pendelseismometer in Leipzig vom 1. Januar bis 30. Juni 1903 registrierten Fernbeben und Pulsationen	05	I	52
— Die in Leipzig vom 1. Juli 1903 bis 30. April 1904 von WIECHERT's Pendelseismometer registrierten Erdbeben und Pulsationen	05	I	52
— Fünfter Bericht der Erdbebenstation Leipzig. I. Die in Leipzig vom 1. Mai bis 31. Oktober 1904 registrierten Erdbeben und Pulsationen. II. Ueber die Aufzeichnung der infolge des Läutens der Kirchenglocken zu Leipzig erzeugten Bodenschwingungen	05	II	370
— Sechster Bericht der Erdbebenstation Leipzig	07	I	45
— Säugetierreste aus den pleistocänen Tuffen von Punin, Ecuador	08	I	103
E u r y, Grand', siehe Grand' Eury.			
E v a n s, J.: Some recent discoveries of palaeolithic implements	09	I	123
E v a n s, J. W.: On some new forms of Quartz-wedge and their uses	06	II	32
— Gnomonic Projections on two planes	07	II	1
— Determination of the optic axial angle of biaxial crystals in parallel polarized light	07	II	2
— The identity of the Amiantos or Karystian stone of the Ancients with Chrysotile	07	II	22
— The Rocks of the Cataracts of the River Madeira and the Ajodining Portions of the Beni and Mamoré	08	I	384
— Anotation of the thirty-two classes of symmetry	09	I	155
— Notes on skiodyroms and isogyres	09	I	156
E v a n s, N. N., siehe Norton Evans, N.			

Evans, O. H.: Notes on the Raised Beaches of Taltal (Northern Chile)	1909	I	200
Everding, H.: Zur Geologie der deutschen Zechsteinsalze. Mit einer „allgemeinen geologischen Einführung“ von F. BEYSCHLAG und einem Verzeichnis der „Literatur über die Geologie der deutschen Salzablagerungen“ von E. ZIMMERMANN	09	II	304
Eyerman, J.: Contributions to Mineralogy	06	I	352
Eymar, K. Mayer, siehe Mayer-Eymar, K.			
Eypert, O.: Der Golderzbergbau am Roudny in Böhmen	06	II	380

F.

Faas, A.: Materialien zur Geologie der Tertiärablagerungen im Rayon von Kriwoi Rog	05	II	119
Fabiani, R.: Studio geo-paleontologico dei Colli Berici	07	II	159
— Paleontologia dei Colli Berici	08	II	285
— Nuovi giacimenti a <i>Lepidocyclina elephantina</i> nel Vicentino e osservazioni sui cosiddetti Strati di Schio	09	II	487
Fairchild, H. L.: Geology under the planetesimal hypothesis of earth-origin	07	I	372
Falconer, siehe Teall.			
Fantappié, L.: Studio cristallografico del Peridoto di Montefiascone	06	II	17
Farrington, O. C.: Catalogue of the Collection of Meteorites. May 1, 1903	1905	I	214. 389
— Observations on the Geology and Geography of Western Mexico, including an account of the Cerro Mercado	05	II	201
— The Rodeo Meteorite	07	I	362
— The Shelburne and South Bend Meteorites	07	I	365
— Zoisite from lower California	08	II	31
— Meteorite Studies. II.	09	I	41
— Analysis of „Iron Shale“ from Coon Mountain, Arizona.	09	I	42
— Analyses of Iron Meteorites compiled and classified	09	I	353
Farup, F., siehe Hoff, J. H. van't und Mitarbeiter.			
Favre, F.: Die Ammoniten der unteren Kreide Patagoniens BB XXV			601
Favreau: Eine diluviale Feuerstätte in der Einhornhöhle bei Scharzfeldt	05	I	321
Fedorow, E. v.: Allgemeinste Kristallisationsgesetze und die darauf fußende eindeutige Aufstellung der Kristalle	05	I	2
— Eines von den allgemeinsten Gesetzen der Kristallographie	05	II	167
— Einfluß verdrängender Beimischungen auf die Kristallisation	05	II	167
— Optische Vorrichtungen, die auf der Anwendung von Glasplättchenpaketen beruhen	05	II	168
— Optische Bestimmungen oder chemische Analyse?	05	II	169
— Beschreibung einiger interessanter Kristalle	05	II	192
— Notiz, betreffend ein Minimumproblem in der Gestaltenlehre	06	I	321
— Das Syngonieellipsoid ist das Trägheitsellipsoid der kristallinen Substanzen	07	I	1
— Einige Folgerungen aus dem Syngonieellipsoidgesetz	07	I	1
— Kristallisation des Quercit und des Calcit	07	I	22
— Zur Beziehung zwischen Kristallographie und Zahlenlehre	07	I	181
— Der einfachste Beweis des zur Bestimmung der Hauptstrukturarten dienenden Satzes	07	I	182
— Spezielle Erprobung des kristallographischen Limitgesetzes	07	I	183

- Fedorow, E. v.: Theorie der Kristallstruktur. 3. Teil:
 Ueber die Hauptstrukturarten der Kristalle des kubischen
 Typus und speziell über die des Zirkon 1907 I 183
- Die Wichtigkeit der Anwendung des stereographischen
 Lineals 07 II 163
- Oehrnit und Yttrocalcit, neue Mineralspezies 1907 II 175. 183
- Kritische Revision der Kristallformen des Mineralreichs 07 II 347
- Syngonielehre 07 II 349
- Die kristallinischen Umwandlungen und das Wachstum im
 festen Mittel 07 II 350
- Wie lassen sich die Fehler der Exzentrizität bei billigen Uni-
 versalgoniometern vermeiden? 07 II 350
- Der Einfluß des Kapillar-, Wärme- und elektrischen Stromes
 auf die Genesis der Kristalle 07 II 352
- Versuch einer künstlichen Epidotisierung des Granats 07 II 369
- Poliargyt und Poliargytisierung 07 II 370
- Erprobung des Limitgesetzes an Mursinskit 08 II 141
- Das Sphärotrigonometer (ein Instrument zur genauen Lösung
 von Aufgaben der Kristallographie und sphärischen Tri-
 gonometrie auf graphischem Wege) 09 II 7
- Die Kristallisation des Lansfordit, Disthen, Neptunit und
 Titanit 09 II 24
- Fedorow, E. v. und W. Kolatschewsky: Puschkinit-
 kristalle von der Werch-Isetzkaja Datscha 07 II 368
- Fedorow, E. v., siehe Haag, F.
- Feit, W. und K. Przibylla: Ueber die Erden des Monazit
 Feliciani, C.: Radioattività dei fangi di diversi sorgenti
 minerali del Lazio 07 I 228
- Felix, J.: Beiträge zur Kenntnis der Fauna des mährischen
 Devon 06 I 302
- Ueber die Gattung Amphipora 06 I 302
- Ueber einige norddeutsche Geschiebe, ihre Natur, Heimat
 und Transportart 06 II 118
- Korallen aus portugiesischem Senon 07 I 487
- Ueber eine Korallenfauna aus der Kreideformation Ost-
 galiziens 09 I 294
- Studien über die Schichten der oberen Kreideformation in
 den Alpen und den Mediterrangebieten. II. Die Kreide-
 schichten bei Gosau 1909 I 427 09 II 141
- Beiträge zur Kenntnis der Korallenfauna des syrischen
 Cenoman 09 II 484
- Ueber eine untertertiäre Korallenfauna aus der Gegend von
 Barcelona 09 II 485
- *Ueber Hippuritenhorizonte in den Gosauschichten der nord-
 östlichen Alpen* CBI 1905 77
- *Ueber Hippuritenhorizonte in den Gosauschichten der nord-
 östlichen Alpen. (2. Mitteilung.)* CBI 1907 417
- Fennemann, N. M.: The Arapahoe Glacier in 1902 05 I 56
- Effect of cliff erosion on form of contact surfaces 07 I 379
- Oil Fields of the Texas-Louisiana Gulf Coastal Plain 08 II 378
- Fenton, J.: Untersuchungen über Diluvium am Niederrhein
 Ferguson, H. G.: Tertiary and recent glaciation of an Ice-
 landic valley 08 II 341
- Fermor, L. L.: Notes on some Indian Aerolites 09 I 38
- Note on the Meteoric Shower of the 22. October 1903 at
 Dókachi and Neighbourhood, Dacca-District, Bengalen 09 I 39

	Jahrg.	Bd.	Seite
Fernekes, G.: Precipitation of Copper from Chloride Solutions by means of Ferrous Chloride	1909	II	398
Ferro, A.: L'aqua nell' heulandite di Montecchio Maggiore	06	II	341
Fersmann, A.: Ueber Stolpenit aus der Rhön	09	II	23
— Ueber die Palygorskitgruppe	09	II	347
— Materialien zur Untersuchung der Palygorskitgruppe	09	II	347
— Baryt aus der Umgegend von Simferopol	09	II	360
— Zur Mineralogie des Kreises Simferopol	09	II	367
— Ueber Gmelinit in Rußland	CBI	1906	573
Ficker, G.: Grundlinien der Mineralogie und Geologie für die fünfte Klasse der österreichischen Gymnasien	CBI	1905	557
— Leitfaden der Mineralogie für die dritte Klasse der (österreichischen) Gymnasien	CBI	1906	246
Fild, H.: Die tektonischen Verhältnisse der Ehrenbürg bei Forchheim	07	II	100
Finckh, L.: Die Rhombenporphyre des Kilimandscharo	07	II	411
— Ueber einen am 6. Januar 1908 in Norddeutschland beobachteten Staubfall	09	I	55
— Ergebnisse seiner Untersuchungen von ostturingischen (vogtländischen) Diabasen	09	I	58
Findlay, A.: Einführung in die Phasenlehre und ihre Anwendungen	CBI	1907	691
Fink, W.: Zur Flyschpetroleumfrage in Bayern	1907	I	84
— Der Flysch im Tegernseer Gebiet mit spezieller Berücksichtigung des Erdölvorkommens	07	II	127
Finkelstein, A.: Dissoziation des Baryumcarbonats	08	I	17
Finlay, G. F.: On an occurrence of corundum and dumortierite in pegmatite in Colorado	09	II	386
Finsterwalder et E. Muret: Les variations périodiques des glaciers	07	I	381
Firecks, F. Freih.: Ueber einige Erzlagerstätten der Provinz Almeria in Spanien	08	I	243
Fischer, F.: Ueber Aspidiaria	05	I	539
— Zur Nomenklatur von Lepidodendron und zur Artkritik dieser Gattung	08	I	156
Fischer, H.: Die Quecksilberlagerstätten am Avala-Berge in Serbien	08	I	246
Fischer, K.: Neue Aufschlüsse im Weichbild der Stadt Frankfurt am Main	05	I	311
— Bergstürze und Felsschlipfe im Gefolge der Eiszeiten	08	II	339
Fischer, O.: Ueber einige Intrusivgesteine der Schieferzone am Nordrand des zentralen Granites aus der Umgebung der Sustenhörner (mittleres Aarmassiv)	06	II	62
Fischer, P.: Sedimentbildung am heutigen Meeresboden, dargestellt auf Grund der neueren Tiefseeforschungen	05	I	424
Fisher, O.: Vergleichung der Dichtigkeit der Erdkruste unter den Kontinenten und den Ozeanen	07	I	374
— A Suggested Cause of Changes of Level in the Earth's Crust	08	I	214
Fisher, Osmond: On the Occurrence of Elephas meridionalis at Dewlish (Dorset) and Human Agency suggested	07	I	460
Fitting, H.: Sporen im Buntsandstein — die Makrosporen von Pleuromeia?	09	I	461
Flamand, G. B. M.: Observations sur les nitrates du Sahara à propos d'un échantillon de salpêtre naturel provenant de l'archipel touatien	05	I	444

Flegel, K.: Heuscheuer und Adersbach-Weckelsdorf. Eine Studie über die obere Kreide im böhmisch-schlesischen Gebirge	1906	I	288
Fleischer, A.: Untersuchungen zum Beweise der Ausdehnung des Basalts beim langsamen Erstarren	09	I	51
— Zur Frage der Ausdehnung von Silikaten beim Erstarren	09	I	51
Fleischmann, O.: Untersuchungen von Gesteinen aus dem nordöstlichen China (Provinz Chi-li)	07	II	73
Fletcher, L.: An Introduction to the Study of Meteorites, with a List of the Meteorites represented in the Collection on January 1, 1904	05	I	211
— On the meteoric stones which fell near Zomba, British Central Africa, on January 25, 1899; with notes on the chemical analysis of such bodies	05	I	219
— On various masses of meteoric iron reported to have been found in Great Namaqualand and the adjacent region	05	I	392
— Historical note relative to the meteoric fragments labelled „Cape of Good Hope“ and „Great Fish River“	05	I	392
— Note relative to the history of the mass of meteoric iron brought by Dr. F. P. MORENO from Caperr, Patagonia	05	I	392
— Fall of meteoric stone near Crumlin, Antrim Co., September 13.	05	I	398
— On the possible existence of a nickel-iron constituent (Fe_3Ni_3) in both the meteoric iron of Younegin and the meteoric stone of Zomba	09	II	185
Fletcher, M.: Note on cobaltiferous Mispickel from Sulitjelma, Norway	06	I	14
Flett, J. S.: The Somabula Diamond Field	08	I	324
Fleury, E.: Une nouvelle poche fossilifère sidérolitique à la „Verrerie de Roche“ (Jura bernois)	09	I	432
Fliche, P. et R. Zeiller: Note sur une florule portlandienne des environs de Boulogne-sur-Mer	09	I	459
Fliegel, G.: Ueber einen Bergsturz bei Godesberg am Rhein	07	I	225
— Pliocäne Quarzschotter in der niederrheinischen Bucht	07	II	292
Flink, G.: Apophyllit von einigen schwedischen Fundorten	07	II	371
Flores, E.: L'Elephas primigenius nell' Italia meridionale continentale	06	I	146
Flusin, G., siehe Jacob, Ch.			
Focke, F. und J. Bruckmoser: Ein Beitrag zur Kenntnis des blau gefärbten Steinsalzes	08	I	10
Foerste, A. F.: The ordovician-silurian contact in the Ripley Island Area of southern Indiana, with notes on the age of the Cincinnati geanticline	06	II	262
Förster, B.: Weißer Jura unter dem Tertiär des Sundgaues im Oberelsaß	05	II	409
— Die Basaltgesteine der Kosel bei Böhmisches-Leipa	07	I	62
Försterling, C.: Die optischen Konstanten von Eisenglanz BB XXV 344			
Foggy, D.: Serpentin, Meerscham und Gymnit	07	I	347
Follmann, O.: Hystricrinus Schwerdtii FÖLLM. Eine neue Crinoidenart aus den oberen Coblenzschichten	05	I	181
Ford, O., siehe Seward, A. C.			
Ford, W. E.: Some interesting Beryl crystals and their associations	07	II	182
— Chalcopyrite Crystals from Arakawa, Japan	08	II	168
— Stephanite crystals from Arizpe, Sonora, Mexico	09	I	170
— siehe Penfield, S. L.			

Ford, W. E. and E. W. Tillotson jr.: On Orthoklase twins of unusual habit	1909	II	16
Forel, F. A.: Poussière éolienne	05	II	370
Forir, H.: Prévisions relatives à l'épaisseur et à la nature des morts-terrains en Campine	05	I	450
— Sur un puits artésien creusé en 1846 à la station du Nord, place des Nations à Bruxelles	06	II	429
— Les lignites du Rhin dans le Limbourg néerlandais	07	II	127
— siehe Fourmarier, P., sowie Lohest, M.			
Fornasini, C.: Distribuzione delle Testilarine negli strati preneogenici d'Italia	05	II	157
— Distribuzione delle Testilarine negli strati miocenici d'Italia	05	II	157
— Illustrazione di specie orbignyane di Miliolidi istituite nel 1826	1905	II	489;
— Sulle Spiroloculine italiane fossili e recenti	06	I	472
— Intorno ad alcune spezie di „Polymorphina“ istituite da D'ORBIGNY nel 1826	06	I	472
— Le otto pretese specie di „Amphistegina“ istituite da D'ORBIGNY nel 1826	06	II	309
— Le pretese „faujasine“ di O. G. COSTA	06	II	310
— Sinossi metodica dei foraminiferi sin qui rinvenuti nella sabbia del Lido di Rimini	06	II	310
— Sopra alcune specie di „Globigerina“ istituite da D'ORBIGNY nel 1826	06	II	310
— Illustrazione di specie orbignyane di „Nummulitidae“ istituite nel 1826	06	II	311
— Illustrazione di specie d'Orbignyane di Foraminiferi istituite nel 1826	06	II	457
— Illustrazione di specie d'Orbignyane di Rotalidi istituite nel 1826	06	II	458
— Indice critico delle Biloculine fossili d'Italia	07	II	340
— Illustrazione di specie orbignyane di Nodosaridi, di Rotalidi e d'altri foraminiferi istituite nel 1826	08	I	309
Forsyth-Major, siehe Major.			
Fouqué, F.: Les analyses en bloc et leur interprétation	05	II	209
Foureaux, F. et L. Gentil: Sur les roches rapportées par la mission saharienne	07	II	410
Fourmarier, P.: Echantillons remarquables du houiller de la Campine	05	I	455
— Etude stratigraphique du massif calcaire de Visé	05	I	456
Fourmarier, P., M. Lohest et H. Forir: Observations sur le limon de la Hesbaye	05	I	480
Fournier, E.: Etudes sur les projets de l'alimentation le captage, la recherche et la protection des eaux potables	05	II	407
Fourtau, R.: Contribution à l'étude de la faune crétacique d'Égypte	05	II	284
— Observations sur les fossiles silicifiées du crétacé supérieur	06	I	291
— Sur le Turonien d'Abou-Roash (Égypte)	06	I	294
— La cataracte d'Assouan	07	I	424
Fourtau, R. et N. Georgiodès: Sur la source de Hammam Moussa près de Tor (Sinaï)	07	II	426
Fox, F.: The boring of the Simplon Tunnel and the distribution of Temperature that was encountered	07	I	219
Fox, H., H. Woodward, G. C. Crick, F. A. Bather: Devonian fossils from St. Minver, North Cornwall	06	I	301

- Fraas, E.: Neue Zeuglodon-Arten aus dem unteren Mittel-
eocän von Mokattam bei Kairo 1905 I 486
- *Säge von Propristis Schweinfurthi* DAMES aus dem oberen
Eocän von Aegypten 07 I 1
- Pleistocäne Fauna aus den Diamantseifen von Südafrika 08 I 103
- *Aëtosaurus crassicauda* n. sp. nebst Beobachtungen über
das Becken der *Aëtosaurier* 08 II 436
- Dinosaurierfunde in Ostafrika 09 I 448
- Funde von Dinosauriern in Deutsch-Ostafrika 09 I 448
- Ostafrikanische Dinosaurier 09 I 448
- Fraas, E. und Dacqué, E.: Beobachtungen über den ost-
afrikanischen Jura CBI 1908 641
- Fraipont, J.: Contributions à l'étude de la faune du cal-
caire carbonifère de Belgique. I. Échinodermes du marbre
noir de Dinant 05 II 147
- Franchi, S.: Sul rinvenimento di nuovi giacimenti di rocce
giadettiche nelle Alpi occidentali e nell'Appennino ligure 05 II 67
- Franchi, siehe Colomba, L.
- Franchk, *Verlagsbuchhandlung: Berichtigung* CBI 1905 661
- Franco, S. Di: La Gmelinite di Aci Castello 05 II 27
- Le inclusioni nel basalte dell' isola dei ciclopi (Nota preventiva) 07 I 389
- Franzenau, A.: Ueber den Calcit von „Kis Strázsashegy“
bei Esztergom 08 II 303
- Frech, F.: Ueber die Zukunft des Eisens 06 II 222
- *Ueber das Klima der geologischen Perioden* 08 II 74
- Die tektonische Entwicklung der Ostalpen 09 II 254
- In welcher Tiefe liegen die Flöze der inneren niederschlesisch-
böhmischen Steinkohlenmulde? 09 II 301
- Ueber den Gebirgsbau der Tiroler Zentralalpen mit beson-
derer Rücksicht auf den Brenner 09 II 420
- Zur Bestimmung der Korallen 09 II 484
- *Ueber das Hinaufgehen von Posidonia Becheri in das pro-
duktive Karbon* CBI 1905 193
- *Zur Stellung von Lithiotis* CBI 1905 470
- *Bemerkungen zu G. Boehm's Artikel „Zur Stellung der Lithio-
tiden“* CBI 1906 208
- *Ueber die Ammoniten des von Herrn Dr. Renz bei Epidaurus
entdeckten unteren alpinen Muschelkalkes (Zone des Cera-
tites trinodosus)* CBI 1906 271
- *Die Hallstädter Kalke bei Epidaurus (Argolis) und ihre Ce-
phalopoden* Festband 1
- siehe Kayser, E.
- siehe Renz, C. u. Frech, F.
- Frech, F. et C. Renz: Etude sur les terrains triasiques et
jurassiques de la Grèce 09 II 432
- — Sur la répartition du Trias à facies océanique en Grèce 09 II 432
- — *Neue Triasfunde auf Hydra und in der Argolis* BB XXV 443
- Freis, R.: *Experimentaluntersuchungen über die Ausscheidungs-
folge von Silikaten bei 2 und 3 Komponenten* BB XXIII 43
- Freise, F.: Zur Entwicklungsgeschichte des Erzbergbaues in
den deutschen Rheinlanden von der Wiederaufnahme des
Bergbaues nach der Völkerwanderung bis zum 30jährigen
Kriege 08 II 219
- Die Tone des Hohen Westerwaldes 09 II 244
- Freitag, B. und M. Kästner: Ueber nichtglaziale Schram-
mungen bei Altenhain i. Sa. CBI 1909 521

Frémont, Ch., siehe Osmond, F.			
Fresenius, H.: Die chemische Zusammensetzung der Emser Mineralquellen	1905	I	444
Freundenberg, W.: Eine diluviale Rheintalspalte bei Weinheim a. d. Bergstraße		06	II 431
— Die Fauna von Hundsheim in Niederösterreich		08	II 106
— Geologie und Petrographie des Katzenbuckels im Odenwald		08	II 350
— Die Rheintalspalten bei Weinheim an der Bergstraße aus tertiärer und diluvialer Zeit			CBl 1906 698
— Bemerkungen zu meinem Aufsatz „Die Rheintalspalten bei Weinheim an der Bergstraße aus tertiärer und diluvialer Zeit“			CBl 1909 659
Freyn, R.: Ueber einige neue Mineralfunde und Fundorte in Steiermark		08	I 38
Friedberg, W.: Das mioäne Becken von Rzeszów		05	II 436
— Die Foraminiferen der Inoceramschichten aus der Umgebung von Rzeszów und Debica		06	II 264
Friedel, G.: Sur un aluminat de calcium		05	I 13
— Etude sur les groupements cristallins		05	II 161
— Sur la loi de BRAVAIS considérée comme loi d'observation		05	II 161
— Sur la loi de BRAVAIS et l'hypothèse réticulaire		05	II 161
— Sur la structure du milieu cristallin		05	II 161
— Sur les macles		05	II 161
— Sur les bases expérimentales de l'hypothèse réticulaire		06	II 1
— Sur la loi de BRAVAIS et la loi des macles dans HAÛY		06	II 148
— Contribution à l'étude de la boléite et de ses congénères		07	I 339
— Réponse à M. MÜGGE au sujet des axes ternaires irrationnels		08	II 139
— Observations relatives aux cristaux fluides		09	I 6
— Sur un nouveau gisement de pilotite (lassalite)		09	I 192
— Études sur la loi de BRAVAIS		09	I 313
Friedrich, P.: Die Grundmoräne und die jungglazialen Süßwasserablagerungen der Umgegend von Lübeck		05	II 440
— Ueber neue Bohrungen in der Umgegend von Oldesloe in Holstein (Interglazial, Miocän und Eocän)		08	II 97
— Der geologische Aufbau der Stadt Lübeck und ihrer Umgebung		09	II 106
Friedrich, P. und H. Heiden: Die Lübeckischen Litorinabildungen		06	I 119
Frischauf, J.: Das Minimum der Ablenkung eines Lichtstrahles beim Durchgang durch ein Prisma		07	II 164
Fritel, P. H.: Note sur trois Nymphéacées nouvelles du Sparnacien des environs de Paris		09	II 156
Friz, W.: Die nutzbaren Lagerstätten im Gebiete der mittleren sibirischen Eisenbahnlinie		07	I 255
Fromme, J.: Das Analeimvorkommen im Liaston bei Lehre		05	I 38
Frosch, J.: Die fossile Fauna des Bayreuther Muschelkalkes		09	I 131
Früh, J.: Neue Drumlinslandschaft innerhalb des diluvialen Rheingletschers		06	I 436
— Inselberge im Rheintal		09	I 400
— Zur Etymologie von „Flysch“ (n.), „Fliesse“ (f.) und „Flins“ (m.)		09	I 432
Fuchs, A.: Die Stratigraphie des Hunsrückschiefers und der Unterkoblenzschichten am Mittelrhein, nebst einer Uebersicht über die spezielle Gliederung des Unterdevon mittelrheinischer Fazies und die Faziesgebiete innerhalb des rheinischen Unterdevon		09	I 272

Fuchs, C. W. C.: Anleitung zum Bestimmen der Mineralien	CBI 1907	762
Fuchs, K., siehe Lehmann, O.		
Fuchs, Th.: Ueber die Natur der Edestiden mit besonderer Rücksicht auf die Gattung <i>Helicoprion</i>	1905 II	132
— Ein weiterer Nachtrag zur Kenntnis der Tertiärbildungen Eggenburgs	05 II	436
— Ueber Pteropoden- und Globigerinenschlamm in Lagunen von Koralleninseln	07 II	218
— Ueber die Natur von <i>Xanthidium Ehrenberg</i>	CBI 1905	340
— Ueber <i>Parapsonema cryptophysa Clarke</i> und deren Stellung im System	CBI 1905	357
Fuchs, Th. und O. Abel: Exkursion nach Eggenburg	05 II	115
Fuchs, Th. und F. Schaffer: Exkursion in die Ziegeleien der Wienerberger Ziegelfabrik und Baugesellschaft bei Inzersdorf am Wiener Berg	05 II	114
— — Exkursion in die Umgebung von Atzgersdorf, Baden und Vöslau	05 II	115
Fucini, A.: Cefalopodi liassici del Monte di Cetona. Parte II	05 I	175
— Cefalopodi liassici del Monte di Cetona. Parte III—V	06 II	142
— Lamellibranchi di Lias inferiore e medio dell' Appennino centrale	06 II	144
— Sopra gli scisti lionati del Lias inferiore dei dintorni di Spezia	07 I	282
— Sopra un'Ammonite emscheriana del Gargano	08 I	132
— Ancora sopra ai marni gialli di Siena e sopra ai calcari caver- nosi ed agli scisti varicolori della Toscana	09 II	105
— Ammoniti medoliane dell' Appennino	09 II	139
Fugger: Blünbachtal	09 I	414
— Die Gaisberggruppe	09 I	414
— Die Salzburger Ebene und der Untersberg	09 I	415
— Die Gruppe des Gollinger schwarzen Berges	09 I	417
Fukuchi, N.: A Crystallized Gold from Yamagano, Kyūshū	07 I	192
— Crystals of Columbite from Yamano and Ishikawayama	07 I	208
— Mineral prageneses in the contactmetamorphic ore-deposits, found in Japan	09 I	32
— Occurrences of Sulphur in Japan	09 I	163
Fulda, E.: Die Oberflächengestaltung in der Umgebung des Kyffhäusers als Folge der Auslaugung der Zechsteinsalze	09 II	427
Fuller, M. L.: Underground Water Investigations in the Uni- ted States	08 I	371
— Notes on the Jamaica earthquake	09 II	208
Fuller, M. L., E. F. Lines and A. C. Veatch: Record of deep well drilling for 1904	09 II	378
Furlong, E. L.: Preptoceras, a new Ungulate from the Sam- wel Cave, California	07 I	458
— siehe Sinclair, W. J.		
Futterer, K.: Durch Asien. Erfahrungen, Forschungen und Sammlungen während der von Amtmann Dr. HOLDERER unternommenen Reise. Bd. II	1906 I 97	09 II 260

G.

Gäbert, C.: Der artesische Brunnen von Großzössen bei Borna, Bezirk Leipzig	06 I	403
— Die Gneise des Erzgebirges und ihre Kontakterschei- nungen	09 I	212
Gagarin, Fürst G.: Sur la Molybdite des monts d'Ilmen	09 II	15

- G a g e l, C.: Einige Bemerkungen über die obere Grundmoräne in Lauenburg 1905 I 472
- Ueber einige Bohrergergebnisse und ein neues, pflanzenführendes Interglazial aus der Gegend von Elmshorn 05 II 441
- Ueber die Lagerungsverhältnisse des Miocän am Morsumkliff auf Sylt 06 I 429
- Briefliche Mitteilung betr. die Lagerungsverhältnisse des Miocän am Morsumkliff auf Sylt 06 I 430
- Ueber das Alter und die Lagerungsverhältnisse des Schwarzenbecker Tertiärs 07 II 293
- Ueber das Vorkommen des Untereocäns (Londonton) in der Uckermark und in Vorpommern 07 II 293
- Ueber die untereocänen Tuffschichten und die paleocäne Transgression in Norddeutschland 07 II 453
- Das Grundgebirge von La Palma 09 II 47
- Die Caldera von La Palma 09 II 47
- Zur Frage des Interglazials CBl 1905 673
- Ueber die Entstehung und Beschaffenheit der Parchimer Interglazialschichten CBl 1906 66
- Ueber das Vorkommen von Schichten mit *Inoceramus labiatus* und *Belemnites ultimus*, sowie des ältesten Tertiärs in Dithmarschen und über die tektonischen Verhältnisse dieses Gebietes CBl 1906 275
- Ueber das Vorkommen von Facettengeschieben im Dänischen Diluvium CBl 1906 593
- Ueber die Bedeutung und Herkunft der westbaltischen, untereocänen Tuff- (Asche-) Schichten CBl 1907 680
- Ueber den angeblichen Gault bei Lüneburg und die weitere Verbreitung des Gaults nach Norden und Osten CBl 1909 759
- G a g e l, C. und H. Stremme: Ueber einen Fall von Kaolinbildung im Granit durch einen kalten Sauerling CBl 1909 427. 467
- G a h r e n, A., siehe Vorländer, D. u. Gahren, A.
- G a i s e r, E.: Basalte und Basalttuffe der Schwäbischen Alb 06 II 205
- G a l d i e r i, A.: Osservazioni sui terreni sedimentarii di Zannone
- La malacofauna triasica di Giffoni nel Salernitano 06 I 108
- Osservazioni geologiche sui Monti Picentini nel Salernitano
- siehe B a s s a n i, F.
- G a n s, R.: Zeolithe und ähnliche Verbindungen, ihre Konstitution und Bedeutung für Technik und Landwirtschaft
- Verbesserung von Trinkwasser und Gebrauchswasser für häusliche und gewerbliche Zwecke durch Aluminatsilikate oder künstliche Zeolithe 09 II 371
- G a r r e y, G. H., siehe Spurr, J. E. and Garrey, G. H.
- G a r r i g o u, F.: Nature du principe sulfuré de l'eau de la source Baven a Bagnères-de-Luchon 05 I 263
- G a r w o o d, E. J.: The Tarns of the Canton Ticino (Switzerland) 08 II 51
- G a s c u e l, L.: Gisements stannifères au Laos français 07 II 425
- L'or à Madagascar 08 II 219
- G a s s e r, G.: Die Mineralien Tirols (einschließlich Vorarlbergs) CBl 1905 218
- G a u b, F.: Die jurassischen Oolithe der Schwäbischen Alb. Vorläufige Mitteilung 08 II 87
- Ueber oolithbildende Ophthalmidien im Dogger der Schwäbischen Alb. CBl 1908 584 09 I 297
- G a u b e r t, P.: Sur quelques propriétés de la heulandite 05 I 38
- Sur les anomalies de forme des cristaux 05 II 333

	Jahrg.	Bd.	Seite
Gaubert, P.: Sur la cristobalite de Mayen	1905	II	356
— Produits de deshydratations de quelques phosphates et orientation du chlorure de baryum sur les minéraux du groupe de l'autunite	05	II	368
— Contribution à l'étude des faces cristallines	06	I	1
— Sur les cristaux de vivianite produite aux dépens d'ossements	06	I	30
— Sur les minéraux des enclaves homoeogènes de Mayen	06	I	347
— Sur la syncrystallisation des deux substances différentes	06	II	3
— Sur les états cristallins du soufre	06	II	13
— Sur la coloration artificielle des cristaux d'acide phthalique	07	I	6
— Sur l'allanite de Jersey	07	I	353
— Sur la pyromorphite d'Issy-l'Évêque (Saône-et-Loire)	07	I	356
— Sur l'état des matières colorantes dans les cristaux colorés artificiellement	07	II	4
— Sur les figures de corrosion	08	I	315
— Sur les indices de réfractions de quelques minéraux	08	II	143
— Sur la coloration artificielle des minéraux	08	II	144
— Sur les cristaux isomorphes de nitrate de baryte et de plomb	08	II	171
— Sur l'emploi de matières étrangères modifiant les formes d'un cristal en voie d'accroissement pour déterminer la symétrie cristalline	09	I	329
— Sur les cristaux liquides de deux composés nouveaux de la cholestérine	09	I	332
— Sur la double réfraction accidentelle de la bromyrite	09	I	334
— Sur la reproduction artificielle de la barytine, de la célestine, de l'anglésite et sur les mélanges isomorphes de ces substances	09	I	348
Gaudry, A.: Observations paléontologiques dans l'Alaska	06	I	96
— Fossiles de Patagonie. Dentition de quelques mammifères	06	I	450
— Fossiles de Patagonie. Les attitudes de quelques animaux	07	II	136
— Fossiles de Patagonie. Étude sur une portion du monde antarctique	07	II	141
— Fossiles de Patagonie. De l'économie dans la nature	09	I	439
Gauthier, V.: Note sur quelques échinides siliceux recueillis à Frayssinet-Le-Gélat (Lot)	05	II	149
— Contribution à l'étude des échinides fossiles. VII.	06	I	156
Gautier, A.: Action de l'oxyde de carbon, au rouge, sur le vapeur d'eau, et de l'hydrogène sur l'acide carbonique. Application de ces réactions à l'étude de phénomènes volcaniques	08	I	212
— Action de l'hydrogène sulfuré sur quelques oxydes métalliques et métalloïdiques. — Applications aux phénomènes volcaniques et aux eaux thermales	08	I	212
— La genèse des eaux thermales et ses rapports avec le volcanisme	08	II	69
Geier, G.: Umgebung von Hollenstein	09	I	416
— Zur Tektonik des Bleiberger Tales in Kärnten	09	I	416
Geiger, A.: Künstliche Darstellung des Krugit	05	I	192
Geikie, A.: Continental Elevation and Subsidence	05	I	222
Geinitz, E.: Die Einwirkung der Silvestersturmflut 1904 auf die mecklenburgische Küste	06	II	196
— Brunnenbohrungen in Mecklenburg	07	II	51
— Die Eiszeit	07	II	454
— Die Aufschlüsse des Salzbergwerks Friedrich Franz zu Lüththeen	09	II	187

	Jahrg.	Bd.	Seite
<i>Geinitz, E.</i> : Das Quartär von Syll		BB XXI	196
— Zum Pärchimer „Interglazial“		CBl 1905	737
— Bemerkungen zu der Auffassung des Quartärs von Syll		CBl 1906	631
— Erwiderung		CBl 1908	196
— Bemerkungen zur Braunkohlenformation in Mecklenburg		CBl 1908	261
— Einige Bemerkungen zum Wesen der Eiszeit		CBl 1909	449
— Paleocän im Untergrund von Rostock		CBl 1909	618
— siehe Nettekoven, A.			
— siehe S a B, C.			
<i>Gemmellaro, G.</i> : I cefalopodi del Trias superiore della regione occidentale della Sicilia	1905	I	342
<i>Gemellaro, M.</i> , siehe <i>Checchia-Rispoli, G.</i>			
<i>Gentil, L.</i> , siehe <i>Foureaux, F.</i>			
— siehe <i>Kilian, W.</i>			
<i>Gentil, L. et P. Lemoine</i> : Sur le Jurassique du Maroc occidental	07	I	434
<i>Georgiodes, N.</i> , siehe <i>Fourtau, R.</i>			
<i>Gerber, E.</i> : Vorläufige Mitteilung über das Eocän des Kientals	09	I	431
<i>Gerhart, H.</i> : Ueber die Veränderungen der Kristalltracht von Doppelsulfaten durch den Einfluß von Lösungsgenossen	07	I	184
<i>Gerlache de Gomery, A. de</i> : Expédition antarctique Belge, S. Y. Belgica 1897—1899	06	II	97
<i>Gernez, D.</i> : Sur la lumière émise par les cristaux d'anhydride arsénieux	07	I	19
— Sur la triboluminescence du sulfate de potassium	07	I	32
<i>Gerth, H.</i> : Beiträge zur Phylogenie der Tubocorallier	09	II	142
— <i>Timorella permica n. g. n. sp.</i> , eine neue Lithistide aus dem Perm von Timor			CBl 1909 695
<i>Gesell, A.</i> : Montangeologische Aufnahme auf dem von der Dobsinaer südöstlichen Stadtgrenze südlich gelegenen Gebiete	06	I	73
— Geologische und Gangverhältnisse des Dobsinaer Bergbaugebietes	07	I	252
<i>Geyer, G.</i> : Zur Geologie der Lienzer Dolomiten	05	I	287
<i>Gibb Maitland, A.</i> : Notes on the country between Edjudina and Yundamindera, North Coolgardie goldfield	05	II	400
— Preliminary report on the geological features and mineral resources of the Pilbara goldfield	09	I	237
<i>Gibson, G.</i> : Lemmonville, Mount Magnet and Boogardia, Murchison goldfield	05	II	399
— The geological features and mineral resources of Mulline, Ularring, Mulwarrie and Davyhurst, North Coolgardie Goldfield	05	II	401
<i>Gidley, J. W.</i> : The Fresh Water Tertiary of Northwestern Texas. American Museum Expeditions of 1899—1901	05	II	438
— A New Three toed Horse	05	II	468
— Proper generic Names of Miocene Horses	05	II	468
— On two Species of <i>Platygonus</i> from the Pliocene of Texas	05	II	469
— A fossil Racoon from a Californian pleistocene Cave deposit	07	II	317
— siehe <i>Matthew, W. D.</i>			
<i>Gilbert, G. K.</i> : Domes and dome structure of the high Sierra	06	II	214
— Crescentic gouges on glaciated surfaces	08	II	343
— Moulin work under glaciers	08	II	344
— Gravitational assemblage in granite	09	I	66
<i>Giles, W. B.</i> : Bakerite (a new borosilicate of calcium) and Howlite from California	05	I	36

	Jahrg.	Bd.	Seite
Gilmore, C. W.: Osteology of Baptonodon	1906 I	311	1909 I 447
— Notes on the Osteology of Baptonodon with a description of a new species	1906 II	136	09 I 447
— The mounted skeleton of Triceratops prorsus	1906 II	136	09 I 131
— The type of the jurassic Reptile Morosaurus agilis redescribed, with a note on Camptosaurus			08 II 437
— A new Species of Baptonodon from the Jurassic of Wyoming	08	II	441
— Notes on some recent additions to the exhibition series of vertebrate fossils	09	I	131
Ginsberg, A.: Ueber den Isomorphismus der Bisilikate von Calcium und Mangan	09	II	343
— Ueber Schmelzversuche der Bisilikate von Calcium und Mangan	09	II	343
Girasoli, D.: Analisi delle ceneri emesse nell' eruzione vesuviana dell' aprile 1906	09	I	46
Glangeaud, Ph.: L'Allier miocène, un gisement de vertèbres miocènes, près de Moulins	08	I	267
— Continuité des phénomènes orogéniques dans une partie du Massif Central aux époques oligocène et miocène, leurs relations avec les phénomènes volcaniques et hydrologiques	08	II	93
— Les éruptions volcaniques de la Limagne	08	II	93
— Des divers modes de l'activité volcanique dans la chaîne des Puys	09	I	46
Glasenapp, M.: Ueber Aenderungen des Kleingefüges der Tone durch Einwirkung hoher Hitzegrade	08	II	30
Glasser, E.: Les richesses minérales de la Nouvelle-Calédonie. Rapport au ministre des colonies	07	II	249
— Sur une espèce minérale nouvelle, la néponite, silicate hydraté de nickel et de magnésie	08	II	313
Glenn, L. C.: Notes on a New Meteorite from Hendersonville, N. C. and on additional pieces of the Smithville, Tenn. Fall	07	I	366
Glück, H.: Eine fossile Fichte aus dem Neckartal	06	II	434
Gmelin-Kraut: Handbuch der anorganischen Chemie	CBI	1906	748
Goddard, M.: Fish remains from the marine lower Triassic of Aspen Ridge, Idaho	08	II	446
Goebel, F.: <i>Protocalamariaceae Potonié 1899</i>	CBI	1906	241
— <i>Ueber Flächengesteine</i>	CBI	1907	340
— <i>Flächner oder Kanter?</i>	CBI	1908	17
Göbel, W.: Geologisch-bergmännische Karten mit Profilen von Raibl nebst Bildern von den Blei- und Zinklagerstätten in Raibl	05	I	259
Görgy, R.: Pleochroitischer Anhydrit von Staßfurt	08	II	320
— Ueber Skolezit von Suderö	CBI	1908	525
— Eine neue Apatitvarietät aus Elba	CBI	1909	337
— siehe Cornu, F.			
Götze: Eine paläolithische Fundstelle bei Pößneck	05	I	320
Goldieri, A., siehe Bassani, F.			
Goldschmidt, V.: Ueber einige Fortschritte, Hilfsmittel und Ziele der Kristallographie	05	I	1
— Zur Mechanik des Lösungsprozesses	05	I	10
— Ueber Aetzfiguren, deren Entstehen und Eigenart	05	I	10
— Realgar von Alchar in Makedonien	05	I	369
— <i>Glühverlust als mineralogisches Kennzeichen</i>	06	I	16
— Aus dem kristallographisch-chemischen Grenzgebiet	06	I	322
— Flächen oder Zonen als Ausgang der Formenentwicklung	06	I	322
— Formensystem aus Akzessorien, abgeleitet am Topas	06	I	341

	Jahrg.	Bd.	Seite
Goldschmidt, V.: Quarzwilling nach $r = 10$	1906	II	327
— Ueber die Zwillingsgesetze des Quarz	06	II	328
— Berechnung der Positionswinkel φ , ϱ für veränderte Aufstellung	07	II	163
— Ueber influenzierte, induzierte und vikariierende Formen	08	II	140
— Ueber Heterozwillinge und einachsige Verwachsungen	08	II	140
— Ueber Composite, Composit-Zwillinge und -Viellinge	08	II	140
— siehe Bascom, F.			
— siehe Borgström, L.			
— siehe Kolbeck, F.			
— siehe Nies, A.			
<i>Goldschmidt, V. und P. Hermann: Glühverlust der Zeolithe als deren mineralogisches Kennzeichen</i>	06	I	20
Goldschmidt, V. und B. Mauritz: Ueber Kalomel	09	I	335
Goldschmidt, V. und R. Schröder: Ueber Salmiak von Grube Hänichen bei Burgk unweit Dresden	09	II	11
— — Salmiak vom Vesuv	09	II	12
— — Ueber Hauerit	09	II	13
Goldschmidt, V. M.: Radioaktivität als Hilfsmittel bei mineralogischen Untersuchungen. I. und II.	09	I	157
— <i>Ueber Mineralien der Kontaktmetamorphose im Kristiania-Gebiet</i>	CBI 1909		405
Goldthwait, J. W.: Correlation of the raised beaches on the west side of lake Michigan	08	II	346
Golfier, J.: Esquisse d'un système orthogonal	05	II	202
Gonnard, F.: Minéralogie des départements du Rhône et de la Loire	07	I	40
— Sur un gisement de zéolithes de Serbie	08	I	197
— Observations sur le quartz du Dauphiné	08	II	13
— Nouvelle contribution à l'étude cristallographique du quartz des géodes des marnes oxfordiennes de Meylan (Isère)	08	II	13
— Observations à propos de la herschélite et des zéolithes qui l'accompagnent dans les roches de Palagonia, Val di Noto (Sicile)	08	II	35
— Addition à l'étude cristallographique de la bournonite des mines de Pontgibaud (Puy-de-Dôme)	08	II	314
Goodchild, J. G.: The Scottish Ores of Copper in their Geological Relations	05	I	99
— The Scottish ores of iron	05	I	440
Goodrich, E. S.: On the pelvic Girdle and Fin of Eusthenopteron	05	II	311
Gordon, C. E.: Studies on early stages in palaeozoic corals	09	II	140
— The primary septa in rugose corals	09	II	140
Gordon, C. H.: On the pyroxenites of the Greenville series in Ottawa County, Canada	06	II	217
Gorjanović-Kramberger, K.: Zur Altersfrage der diluvialen Lagerstätte von Krapina in Kroatien	06	II	272
— Der paläolithische Mensch und seine Zeitgenossen aus dem Diluvium von Krapina in Kroatien. II. und III. Nachtrag	06	II	272
— Die Variationen am Skelette der altdiluvialen Menschen	06	II	273
— Homo primigenius von Krapina in Kroatien und dessen Industrie	06	II	273
— Der diluviale Mensch von Krapina und sein Verhältnis zum Menschen von Neandertal und Spy	06	II	273
— Der diluviale Mensch von Krapina in Kroatien	07	II	474

Gortani, M.: Sul rinvenimento del calcare a Fusuline presso Forni Avoltri nell' alta Carnia occidentale	1905	II	91
— Nuovi fossili raibliani della Carnia	06	I	424
— Studi sulle rocce eruttive delle Alpi Carniche	08	II	212
— Sui metodi di determinazione delle Fusuline	09	II	488
Gossner, B.: Kaliumsulfat, Glaserit	05	II	29
— $\text{SO}_4\text{KH} - \text{SO}_4(\text{NH}_4)\text{H}$, ein isotrimorphes Salzpaar	05	II	31
— Kristallographische Untersuchung organischer Halogenverbindungen	06	I	8
— Beitrag zur Kristallographie der Salze von NH_4 , K, Rb, Cs	06	I	8
— Beiträge zur Kenntnis der Isomorphie	09	II	8
— Das spezifische Gewicht bei isomorphen Reihen	09	II	11
Gothan, W.: Zur Entstehung des Gagats	09	II	365
— Weiteres über floristische Differenzen (Lokalfärbungen) in der europäischen Carbonflora. (Vorläufige Mitteilung.)	09	II	491
— Die fossilen Hölzer von König-Karls-Land	09	I	301
— Ueber einige in Deutsch-Südwestafrika gesammelte fossile Hölzer	09	I	309
Gough, G. C.: A Case of Metamorphism of Chalk	09	II	230
Gourdon, E.: Les roches éruptives grenues de la Terre de Graham recueillies par l'expédition antarctique du Dr. CHARCOT	07	II	416
— Les roches microlithiques de la Terre de Graham recueillies par l'expédition antarctique du Dr. CHARCOT	08	I	77
— Sur un microgranulite alcalin recueilli sur la terre de Graham par l'expédition antarctique du Dr. CHARCOT	08	I	77
— Sur un microgranite alcalin recueilli sur la terre de Graham par l'expédition antarctique du Dr. CHARCOT	09	I	225
Gouyat: Sur quelques minéraux des mines de Laprugne (Allier)	08	II	38
Grabau, A. W.: Guide to the geology and palaeontology of Niagara Falls and vicinity	06	I	265
— Guide to the geology and palaeontology of the Schoharie valley in Eastern New York	07	I	108
— Studies of Gastropoda. II. Fulgur and Sycotypus	07	II	335
Graber, H. V.: Geologisch-petrographische Mitteilungen aus dem Gebiete des Kartenblattes Böhmisch-Leipa und Dauba, Zone 3, Col. XI der österreichischen Spezialkarte	08	II	62
— Eisenreiche Kernkonkretionen aus dem Quadersandstein der nordböhmischen Kreideplatte	BB XXV		467
— Eine Bleidose für die mikrochemische Silikatanalyse	CBI 1905		247
Gränzer, J.: Einige Diabase des Jeschkengebirges und ihre Kontaktgesteine	08	I	371
Graham, R. P. D.: Note on two interesting pseudomorphs in the Mc Gill University mineral collection	07	II	12
Graichen, W.: Das Kupfergoldlager von Globe, Arizona	07	I	259
Grand'Eury: Sur les graines des Névoptéridées	07	I	164
— Sur les graines de Sphenopteris, sur l'attribution des Codonospermum et sur l'extrême variété des „graines des fougères“	07	I	164
— Sur les graines trouvées attachées au Pecopteris Pluckeneti SCHLOTH	07	I	164
Grandidier, G.: Recherches sur les Lémuriens disparus et en particulier sur ceux qui vivaient à Madagascar	06	II	443
Granig, B.: Geologische und petrographische Untersuchungen im Ober-Mölltal in Kärnten	08	II	358

	Jahrg.	Bd.	Seite
Grant, M.: Echinoderma	1907	II	153
Grant, U. S., Junction of Lake Superior Sandstone and Keeweenaw Traps in Wisconsin	1905	I	231
— Zinc and Lead Deposits of South-western Wisconsin	06	I	93
— Structural Relations of the Wisconsin Zinc and Lead Deposits	06	II	180
Grant, U. S. and M. J. Perdue: Milbrig Sheet of the Lead and Zinc District of northwestern Illinois	09	I	79
Grant, U. S. and M. J. Perdue: Milbrig Sheet of the Lead and Zinc District of northwestern Illinois	09	II	241
Grassi, U., siehe Hoff, J. H. van't u. Mitarbeiter.			
Graton, L. C.: Reconnaissance of some Gold and Tin Deposits of the Southern Appalachians. With Notes on the Dahnloga Mines by W. LINDGREN	09	I	234
Graton, L. C. and W. T. Schaller: Purpurite, a new mineral	06	II	172
Graux, L.: Proportionalité directe entre le point cryoscopique d'une eau minérale de la classe des bicarbonates et la composition de cette eau exprimée en sels anhydres et en monocarbonates	08	I	361
— siehe Maillard, L. C.			
Green, U.: On the discovery of silurian fossils of Ludlow age in Cornwall	05	II	106
— Note on the correlation of some cornish beds with the Geddinnian of continental Europe	05	II	107
Greenly, E.: The Diffusion of Granite into Crystalline	05	I	419
— siehe Dakyns, J. R.			
Gregor, siehe McGregor, J. H.			
Gregory, J. W.: Rhodesian diamonds	08	I	324
Gregory, W. K.: Adaptive Significance of the Shortening of the Elephant's Skull	05	II	471
Greiner, E.: Ueber die Abhängigkeit der Viskosität in Silikatschmelzen von ihrer chemischen Zusammensetzung	08	II	152
Grenander, S.: Les variations annuelles de la température dans les lacs suédois	06	II	49
Greppin, E.: Zur Kenntnis des geologischen Profils am Hörnli bei Grenzach	06	II	260
Griesbach, C. L.: On the exotic blocks of the Himalayas	05	II	417
Gröber, P.: Ueber die Faunen des untercarbonischen Transgressionsmeeres des zentralen Tian-schan, die in der Umgebung des Sart-dschol-Passes gefunden worden sind	BB	XXVI	213
Grönwall, K. A.: Geschiebestudien, Beitrag zur Kenntnis der ältesten baltischen Tertiärablagerungen	06	I	112
Grönwall, K. A. og P. Harder: Paleocæn ved Rugaard i Jylland og dets Fauna	08	II	103
Grosch, P.: Phylogenetische Korallenstudien. (Die Axophyliden.)	09	II	142
Groschuff, E., siehe Mylius, F.			
Grosser, P.: Vulkanologische Streifzüge im Maoriland	07	I	220
Grossouvre, A. de: Sur la classification du Tertiaire 1905	II	119.	431
— Feuille de Bourges	05	II	432
— Sur la distribution verticale des Orbitoides	07	I	159
— Sur les couches de Gosau considérées dans leurs rapports avec la théorie du charriage	07	I	271
— Sur la variabilité de l'espèce chez les Ammonites	07	II	493
— Sur la Mollasse du Gâtinais	09	II	467
Groth, P.: Einleitung in die chemische Kristallographie	05	II	174

- Grubenmann, U.: Ueber einige Gesteine aus dem Stollen des
Elektrizitätswerkes Schuls im Unterengadin 1905 II 384
- Ueber Pneumatolyse und Pegmatite, mit einem Anhang
über den Turmalinpegmatit vom Piz Cotschen im Unter-
engadin 05 II 384
- Ueber einige schweizerische Glaukophangesteine 08 I 67
- Die kristallinen Schiefer. I. Allgemeiner Teil CBl 1905 430
- Grünhut: Die Entstehung der Mineralquellen des mittel-
rheinischen Schiefergebirges 08 I 368
- Grünling, F.: Ueber den Hessenbergit (Sideroxen) 05 II 23
- Grupe, O.: Die geologischen Verhältnisse des Elfas, des Hom-
burgwaldes, des Voglers und ihres südlichen Vorlandes
— Zur Entstehung des Wesertales zwischen Holzminden und
Hameln 06 I 121
- Der untere Keuper im südlichen Hannover 08 II 82
- Beiträge zur Kenntnis des Wellenkalks im südlichen Han-
nover und Braunschweig 08 II 84
- Ueber glaziale und präglaziale Bildungen im nordwestlichen
Vorlande des Harzes 08 II 98
- Präoligocäne und jungmiocäne Dislokationen und tertiäre
Transgressionen im Solling und seinem nördlichen Vor-
lande 09 I 407
- Die Zechsteinvorkommen im mittleren Weser-Leine-Gebiet
und ihre Beziehungen zum südhannoverschen Zechstein-
salzlager 09 I 426
- Ueber die Zechsteinformation und ihre Salzlager im Unter-
grunde des hannoverschen Eichsfeldes und angrenzenden
Leinegebietes nach den neueren Bohrergebnissen 09 II 424
- siehe Koenen, A. v.
- Grzybowski, J.: Geologische Skizze der Umgebung von
Schodnica bei Drohobycz in den Ostkarpathen Galiziens 05 II 118
- Guehard, A.: Sur une expérience du Prof. TITO MARTINI
reproduisant expérimentalement certains phénomènes érup-
tifs du volcanisme 05 I 444
- A propos de l'enquête sur les anciens rivages du Pliocène
— siehe Depéret, Ch.
- siehe Kilian, W.
- Guédra, M.: Sur la présence de l'étain dans le département
de la Lozère 06 I 332
- Sur le filon de barytine dit de „la Chandelette“ près Ville-
fort 06 I 346
- Sur le sulfate de baryte de la Lozère 06 I 346
- Günther, Ch. G.: The Gold Deposits of Plomo, San Luis Park,
Colorado 07 I 407
- Günther, S.: Bemerkungen zum Erdbeben von Lissabon
— Erdpyramiden und Büsserschnee als gleichartige Erosions-
gebilde 07 I 379
- Gürich, G.: Der Schneckenmergel von Ingramsdorf und
andere Quartärfunde in Schlesien 06 I 123
- Mitteilungen über die Erzlagerstätten des ober-schlesischen
Muschelkalkes 06 II 74
- Granit und Gneis. Ein Beitrag zur Lehre von der Entstehung
der Gesteine 06 II 198
- *Spongiostromidae* — eine neue Familie krustenbildender Or-
ganismen aus dem Kohlenkalk von Belgien 07 I 131
- Versuch einer Neueinteilung der Trilobiten CBl 1907 129

Gürich, G.: Ein neuer Fundpunkt von Mittelcambrium im Polnischen Mittelgebirge	CBI 1909	509
Guertler, W.: Ueber Entglasung	1906	I 6
Guertler, W. und G. Tamman: Ueber die Legierungen des Nickels und Kobalts mit Eisen	06	II 157
Gugenhan, M.: Die Vergletscherung der Erde von Pol zu Pol	CBI 1907	473
Guild, F. N.: Petrography of the Tucson Mountains, Pima Co., Arizona	07	II 230
— Notes on Some Eruptive Rocks in Mexiko	08	I 239
— The composition of Molybdite from Arizona	08	II 300
Guinchant: Sur la triboluminescence de l'acide arsénieux	07	I 18
Gulliver, F. P.: Nantucket shorelines. II	07	I 378
Guppy, R. J.: Observations on some of the foraminifera of the Oceanic Rocks of Trinidad	05	II 489
Gustafsson, J. P.: Om stranden vid några småländska sjöar	05	I 312
Gwynna-Vaughan, D. F., siehe Kidston, R.		

H.

Haaek, W.: Der Teutoburger Wald südlich von Osnabrück	09	II 247
Haag, F.: Notiz zu dem Aufsatz von C. LIPPITSCH, Stereometrie der einfachen isoaxialen Formen des regulären Systems	05	II 331
— Zu E. v. FEDOROW's Notiz, betreffend ein Minimumproblem in der Gestaltenlehre	06	I 322
— Notiz zu dem Aufsatz von K. LIPPITSCH, Stereometrie hemiedrischer Formen des regulären Systems	07	I 181
— Die den Vielfachen des regulären Kristallsystems dualistisch entsprechenden Vielecke	07	II 1
— <i>Diluviale Terrassen im Neckar-Museltal</i>	CBI 1907	461
Harmann, E.: Die Eisenerze des Hügels bei Osnabrück	09	II 250
— Die geologischen Verhältnisse des Piesberg-Sattels bei Osnabrück	09	II 251
— Ueber den Piesberg-Sattel bei Osnabrück	09	II 253
Haas, F.: Ein neuer fossiler Unio	09	I 279
Haas, H.: Art und Ziel des Unterrichts in Mineralogie und Geologie an technischen Hochschulen und Universitäten	06	II 148
— <i>Ueber die Solfatara von Pozzuoli</i>	07	II 65
Hase, E.: Ueber ein neues Vorkommen von Sericit und Talk	05	I 380
— Kann der Porphyre von Schwertz als die Urform der hallischen Porphyre betrachtet werden?	06	II 60
— <i>Beiträge zur Kenntnis der Quarzporphyre mit kleinen Kristalleinschlüssen aus der Gegend nördlich von Halle a. S.</i>	BB XXVIII	50
Habermann, J.: Ueber die Bildung des Schwefelwasserstoffes und das Vorkommen des gediegenen Schwefels in der Natur	05	I 14
Habets, A.: Raccordement du bassin houiller de la Campine avec celui de la Westfalie	05	I 456
— L'industrie minérale en Bosnie-Herzégovine	06	I 73
Hacker, V.: Tiefsee-Radiolarien	09	I 298
Häberle, D.: Zur Messung der Fortschritte der Erosion und Denudation	07	I 7
Haebl, H. L. and R. Arnold: The miocene Diabase of the Santa Cruz Mountains in San Mateo County, California	06	II 372

	Jahrg.	Bd.	Seite
Hagedorn, M.: Borkenkäfer des baltischen Bernsteins . . .	1908	II	112
— Kopalborkenkäfer	08	II	112
— Fossile Borkenkäfer	08	II	112
Hahné, H. und Wüst, E.: Die paläolithischen Fundschichten und Funde der Gegend von Weimar	CBI 1908		197
Haid, M.: Die Schwerkraft im badischen Oberlande	07	II	45
Halaváts, J.: Geologische Verhältnisse der Umgebung von Kitid—Ruß—Alsó Telek (Komitat Hunyad)	06	I	262
— Geologische Verhältnisse der Umgebung von Szászváros .	07	I	274
Halbfaß, W.: Ueber Einsturzbecken am Südrand des Harzes. Vorläufige Bemerkungen	05	II	376
— Ueber Einsturzbecken am Südrand des Harzes	05	II	376
Halet, F.: Coupe du puits artésien de la caserne d'artillerie à Malines	07	I	442
Hall, A. L.: Ueber einige neue Diamantlagerstätten Trans- vaals	05	II	177
Halle, Th. G.: Zur Kenntnis der mesozoischen Equisetales Schwedens	09	I	150
Hamburger, A.: Mineralogische Studien. 24. Die Selbständig- keit des Ganophyllit als Mineralspezies	05	II	184
— Mineralogische Studien. 20. Ueber einen regulären Antigorit von Persberg in Wermland	05	II	184
— Mineralogische Studien. 21. Ein pseudoregulärer Antigorit von der Ko-Grube bei Nordmarken	05	II	185
— Mineralogische Studien. 23. Turmalin aus dem Westerbyer Feldspatbruch im Kirchspiel Hammer, Regierungsbezirk Oerebro	05	II	189
— Mineralogische Studien. 22. Ein Vorkommen von Triplit und ungewöhnlich großen Turmalinen bei Skrupetorp im Kirchspiel Godegård in Oestergötland	05	II	189
— Zur Technik der Gletscheruntersuchungen	05	II	373
— Zur Frage des Verhaltens der Lichtabsorption bei Manganophyll.	06	I	27
— Einfache Methode der Messung mikroskopischer Kristalle	07	I	187
Hambloch, A.: Statistisches über den rheinischen Basalt	09	II	379
Hamilton, A.: Notes on a Small Collection of Fossils from Wharekuri, on the Waitaki River, North Otago	09	I	104
— Note on Remains of some of the Extinct Birds of New Zealand found near Ngapara	09	I	130
Hamilton, S. A.: Cuban minerals	05	I	389
†— siehe Barrett-Hamilton, G. E. H.			
Hammer, E.: Einwägung von Festpunkten an der Linie Böblingen—Lustnau, Sommer 1902	08	I	215
Hammer, W.: Geologische Aufnahme des Blattes Bormio— Tonale. Zone 20, Kol. 3	08	II	65
— Vorläufige Mitteilung über die Neuaufnahme der Ortler Gruppe	09	I	379
— Geologische Beschreibung der Laaser Gruppe	09	I	380
Hampel, J.: Ueber die chemische Konstitution des Augits aus der Paschkopale bei Boreslau	09	I	341
Handlirsch, A.: Ueber einige Insektenreste aus der Perm- formation Rußlands	05	I	522
— Les insects houillers de la Belgique	05	I	523
— Die fossilen Insekten und die Phylogenie der rezenten Formen. Ein Handbuch für Paläontologen und Zoologen	07	I	151
— Revision of American palaeozoic Insects	07	I	322

Handlirsch, A.: A new Blattoid from the cretaceous formation of North America	1907	I	322
— Die fossilen Insekten und die Phylogenie der rezenten Formen. Liefg. 5—9 (Schluß)	08	II	278
Handmann, R.: Das Vorkommen von Cordierit und Cordieritgesteinen bei Linz und ein Vergleich mit den diesbezüglichen Vorkommen im Bayrischen Wald, nebst einer Erklärung ihrer Entstehungsweise	05	I	30
— Zur Kenntnis der Congerienfauna von Leobersdorf und Umgebung	06	I	113
Harbort, E.: Die Fauna der Schaumburg-Lippe'schen Kreidemulde	06	I	441
— Ueber die stratigraphischen Ergebnisse von zwei Tiefbohrungen durch die untere Kreide bei Stederdorf und Horst im Kreise Peine	06	II	104
— Ein geologisches Querprofil durch die Kreide-, Jura- und Transformation des Bentheim—Isterberger Sattels	09	I	410
— Probleme der Erzlagerstättegeologie nach STELZNER-BERGAT	09	II	77
Harder, P., siehe Grönwall, K. A.			
Harker, A.: The Geological Structure of the Sgurr of Eigg	08	I	222
— Notes on the Rocks of the „Beagle“ Collection	09	II	394
Harker, A. and C. T. Clough: The tertiary igneous rocks of Skye	06	II	64
Harker, J. A.: On a new type of electric furnace, with a determination of the melting-point of Platina	06	II	321
Harlé, E.: Faune quaternaire de la Province de Santander (Espagne)	09	I	129
Harpe, Ph. de la, siehe Silvestri, A.			
Harre, R. W.: Ueber Eisenglanz und Anatas vom Binnental	08	I	14. 15
Harrington, B. J.: On an interesting variety of fetid Calcite and the cause of its odor	07	I	21
— Isomorphism as illustrated by certain varieties of Magnetite	08	II	169
Hartley, H.: A new device for separating minerals by means of heavy liquids	06	I	160
Hasebrink, A.: Die Kreidebildungen im Teutoburger Wald bei Lengerich in Westfalen	09	II	253
Hasse, P.: Kontakterscheinungen am Granite der Luisenburg bei Wunsiedel	07	II	62
Hablinger, R. und J. Wolf: Ueber die Entstehung von Diamanten aus Silikatschmelzen	05	I	16
Hatch, F. H.: Notes on the Witwatersrand Beds, Transvaal	05	II	392
— The extension of the Witwatersrand beds eastwards under the dolomite and the Ecca Series of the Southern Transvaal	06	I	269
— The oldest sedimentary rocks of the Transvaal	06	I	269
— A Description of the Big Diamond recently found in the Premier Mine, Transvaal	07	II	13
Hatch, F. H. and G. S. Corstorphine: The Cullinan Diamond	05	II	345
— — The petrography of the Witwatersrand conglomerates with special reference to the origin of the gold	06	I	70
— — The Geology of the Bezuïdenhout Valley and the district East of Johannesburg	07	II	118
Hatcher, J. B.: Relative age of the Lance Creek (Ceratops-) beds of Converse County, Wyoming, to Judith River beds of Montana and the Belly River beds of Canada	05	II	429

- Hatcher, J. B.: A correction of Professor OSBORN'S note entitled „New Vertebrates of the Mid-Cretaceous“ . . . 1907 I 439
- Two new Ceratopsia from the Laramie of Converse County, Wyoming. Edited by R. S. LULL 09 I 132
- siehe Stanton, T. W.
- Hatcher †, Marsh †, Lull: The Ceratopsia 09 I 449
- Hatzeg, V. Popovici, siehe Popovici-Hatzeg, V.
- Hatzfeld, C.: Die Roteisensteinlager bei Fachingen an der Lahn 09 I 389
- Haug, E.: Les régions dites exotiques du versant nord des Alpes suisses. Réponse au Dr. SCHARDT 06 I 82
- Sur les racines de quelques nappes de charriage des Alpes occidentales 06 II 254
- Les grands charriages de l'Embrunais et de l'Ubaye 07 I 269
- Sur les racines des nappes de charriage dans la chaîne des Alpes 08 II 396
- Sur le pli couché des Diablerets 09 I 88
- Sur les relations tectoniques et stratigraphiques de la Sicile et de la Tunisie 09 II 95
- Haug, E. et M. Lugeon: Sur l'existence, dans le Salzkammergut, de quatre nappes de charriage superposées 06 II 259
- siehe Schardt, H.
- Haupt, O.: Beiträge zur Fauna des oberen Malm und der unteren Kreide in der argentinischen Cordillere BB XXIII 187
- Hauser, O.: Ueber den sogen. Dysanalyt von Vogtsburg im Kaiserstuhl 09 I 344
- Hausmann, C.: Die erdmagnetischen Elemente von Württemberg und Hohenzollern 07 I 375
- Hauthal: Die Bedeutung der Funde in der Grypotherium-Höhle bei Ultima Esperanza, Südwestpatagonien, in anthropologischer Beziehung 06 I 130
- Haworth, E., siehe Adams, G.
- siehe Schrader, Fr. C. and Haworth, E.
- Hay, O. P.: Bibliography and Catalogue of the Fossil Vertebrata of North America 05 II 298
- The chronological Distribution of the Elasmobranches 05 II 477
- On a collection of upper cretaceous fishes from Mount Lebanon, Syria, with descriptions of four new genera and nineteen new species 05 II 481
- Some remarks on the fossil fishes of Mount Lebanon, Syria 05 II 482
- On the habits and the pose of the sauropodous Dinosaurs, especially of Diplodocus 09 I 442
- On certain genera an species of carnivorous dinosaurs, with special reference to Ceratosaurus nasicornis MARSH 09 I 443
- Dr. W. J. HOLLAND on the skull of Diplodocus 09 I 447
- Description of five species of North American fossil turtles four of which are new 09 I 450
- The fossil turtles of North America 09 I 451
- Haycock, E.: The geological history of the Gaspereau Valley, Nova Scotia 05 II 104
- Hayes, C. W. etc.: Report of the special committee for the Lake Superior Region etc. 07 I 107
- siehe Emmons, S. F.
- siehe Report etc.
- Hayes, C. W. and W. Kennedy: Oil fields of the Texas-Louisiana Gulf Coastal Plain 06 II 383

Headden, W. P.: The Doughty Springs, a Group of Radium-bearing Springs, Delta County, Colorado	1907	II	237
— Some phosphorescent Calcites from Fort Collins, Col., and Joplin, Mo.	07	I	343
Healey, M.: Notes on upper Jurassic Ammonites, with special reference to Specimens in the University Museum, Oxford. No. 1	05	I	348
Hecker, O.: Seismometrische Beobachtungen in Potsdam in der Zeit vom 1. I. bis 31. XII. 1905	07	II	48
Hecker, P.: Beiträge zur Frage nach der Entstehung der Harzer Ruscheln	05	II	398
Hedström, H.: Om konstgjord framställning af vindnötta stenar	06	I	405
Heen, P. de: Bemerkung über die Arten des Wasseraufsaugens von Gesteinen	07	I	377
Heiden, H., siehe Friedrich, P.			
Heierli, J.: Das Keßlerloch bei Thainingen	08	II	261
Heilprin, A.: The tower of Pelée. New studies of the great volcano of Martinique	06	I	38
Heim, Albert: Ueber die geologische Voraussicht beim Simplon-Tunnel. Antwort auf die Angriffe des Nationalrat Herrn Ed. SULZER-ZIEGLER	06	II	93
— Neuseeland	06	II	424
— Ueber die nordöstlichen Lappen des Tessiner Massivs. Geologische Nachlese No. 17	07	II	259
— Der Bau der Schweizer Alpen	08	II	231
— Ein Profil am Südrande der Alpen, der Pliocänfjord der Breggiaschlucht	09	I	93
— Die vermeintliche „Gewölbeumbiegung des Nordflügels der Glarner Doppelfalte“ südlich vom Klausenpaß, eine Selbstkorrektur. (Geologische Nachlese No. 18.)	09	II	256
Heim, Arnold: Zur Kenntnis der Glarner Ueberfaltungsdecken	06	II	392
— <i>Ueber rezente und fossile subaquatische Rutschungen und deren lithologische Bedeutung</i>	08	II	136
— Die Erscheinungen der Längszerreißung und Abquetschung am nordschweizerischen Alpenrande	08	II	396
— Die Brandung der Alpen am Nagelfluhgebirge	08	II	397
— Ueber den Berglitenstein und die Grabser Klippe	09	I	86
— Zur Frage der exotischen Blöcke im Flysch, mit einigen Bemerkungen über die subalpine Nagelfluh	09	I	86
— <i>Ueber die Gesteinsverketnungen bei Iberg</i>	CBI 1909		631
— siehe Baumberger, E. und A. Heim.			
Hein, H.: <i>Untersuchung über faserige Kieselsäuren und deren Verhältnis zu Opal und Quarz</i>	BB	XXV	132
Heinecke, E.: Die Ganoiden und Teleostier des lithographischen Schiefers von Nusplingen	09	I	452
Heinich, R.: <i>Die geologisch-petrographischen Verhältnisse der Umgegend von Rothau im böhmischen Erzgebirge</i>	BB	XXIII	474
Heller, W.: Beiträge zur Theorie des Eisenhochofenprozesses und Untersuchungen über die gegenseitigen Beziehungen der verschiedenen Kohlenstoffmodifikationen	06	II	320
— siehe Schenck, R.			
Henderson, J.: Arapahoe glacier in 1903	06	II	189
Henglein, M.: Ueber Eisenspat von Cornwall	08	II	305
— <i>Topas vom Greifenstein, vom Epprechtstein und von Pobershau</i> CBI 1908			367

	Jahrg. Bd. Seite
<i>Henglein, M.</i> : Aragonit von Plauen im Vogtland	CBl 1908 372
— <i>Ein Herderitzwilling vom Epprechtstein</i>	CBl 1909 121
— siehe Kolbeck, F.	
<i>Henke, W.</i> : Zur Stratigraphie des südwestlichen Teiles der Attendorf-Elsper Doppelmulde	1909 I 241
<i>Henkel, L.</i> : Die Gegend von Kösen	08 II 97
<i>Hennig, A.</i> : Finnes en lucka emellan senon och danien i Danmark?	08 I 430
<i>Hennig, E.</i> : Ueber einige Pyknodonten vom Libanon	CBl 1907 360
— <i>Macropetalichthys pelmensis n. sp.</i>	CBl 1907 584
— <i>Saurichthys-Funde von Rüdersdorf</i>	CBl 1909 54
<i>Henning, F.</i> , siehe Holborn, L.	
<i>Henrich, F.</i> : Theorie der kohlenäureführenden Quellen, be- gründet durch Versuche	05 I 265
— Ueber die Temperaturverhältnisse in dem Bohrloch Paru- schowitz V	05 II 203
— Ueber das Vorkommen von erdiger Braunkohle in den Tertiärschichten Wiesbadens	07 II 86
— Beitrag zur Kenntnis der fossilfreien Taunusgesteine	09 II 219
<i>Henrotin, L.</i> : Note sur les terrains sédimentaires anciens du district d'Iglesias (Sardaigne)	05 II 406
<i>Herbette, J.</i> : Sur une nouvelle forme du tartrate de thallium et sur les mélanges isomorphes des tartrates de thallium et de potassium	07 I 4
— Sur l'isomorphisme du chlorate et du nitrate de potassium . .	08 I 317
— Contribution à l'étude de l'isomorphisme	08 I 318
<i>Heritsch, Fr.</i> : Ueber einige Einschlüsse und vulkanische Bomben von Kapfenstein in Oststeiermark	CBl 1908 297
<i>Hermann, P.</i> : Ueber Anglesit von Monteponi (Sardinien)	05 II 360
— Schmelzversuche mit Orthosilikaten	08 II 379
— siehe Goldschmidt, V.	
<i>Hermann, R.</i> : <i>Pliosaurus sp. aus dem Ornatenton des fränki- schen Jura</i>	CBl 1907 667
<i>Hernando y Monge, B.</i> : Estudios sobre des arrollo de maclas	06 II 3
<i>Herschkwitsch, M.</i> : Ueber die Umwandlung des Berg- kristalls in den amorphen Zustand	05 II 14
<i>Hershey, O. H.</i> : The Quaternary of Southern California	05 I 145
<i>Heß, Fr. L.</i> , siehe Prindle, L. M. and Heß, Fr. L.	
<i>Heß, H.</i> : Die Gletscher	CBl 1905 567
<i>Hettner, A.</i> : Grundbegriffe und Grundsätze der physischen Geographie	05 I 401
— <i>Zur Geologie der columbianischen Zentralkordillere</i> CBl 1907. 545 CBl 1908 195	
<i>Hezner, L.</i> : Ein Beitrag zur Kenntnis der Eklogite und Am- phibolite, mit besonderer Berücksichtigung der Vorkomm- nisse des mittleren Oetztals	05 II 58
— <i>Zur topischen Zahl</i>	CBl 1907 438
— <i>Petrographische Untersuchung der kristallinen Schiefer auf der Südseite des St. Gotthard (Tremolaserie)</i>	BB XXVII 157
<i>Hibsch, J. E.</i> : Geologische Karte des böhmischen Mittel- gebirges:	
Blatt IV: Aussig nebst Erläuterungen	05 I 268
Blatt V: Großpriesen nebst Erläuterungen	05 I 272
Blatt XI: Kostenblatt—Milleschau nebst Erläuterungen	06 II 81
— Das geologische Alter des Sandsteines der Salesiushöhe bei Ossegg in Nordböhmen	05 II 438

	Jahrg. Bd. Seite
Hibsch, J. E.: Geologischer Aufbau des böhmischen Mittelgebirges	1907 I 102
— Die salischen Gesteine der Ganggefölschaft des Essexit im böhmischen Mittelgebirge	08 I 59
— Ueber tertiäre Fluoritgänge im Bereiche der Erzgebirgsbruchzone und des Teplitzer Quarzporphyrs in Nordböhmen. Beiträge zur Geologie des böhmischen Mittelgebirges. V.	08 II 293
— <i>Bemerkungen zur Frage der Abhängigkeit vulkanischer Ausbrüche von vorhandenen Spalten</i>	CBl 1909 526
Hidden, W. E.: Some results of late mineral research in Llano County, Texas	07 I 42
Hidden, W. E. and C. H. Warren: On Yttrocrasite, a new Yttrium-Thorium-Uranium Titanate	08 I 197
Hilber, V.: Pironaea slavonica n. sp.	05 I 358
— Ein Rengeweiß aus Oberlaibach in Krain	07 II 476
— <i>Basalt-Lakkolith bei Weitendorf, Steiermark</i>	CBl 1905 397
Hildebrand, O.: Petrographische Untersuchung einiger Steinwerkzeuge aus Westpreußen	06 II 202
Hilgard, E. W.: Some Peculiarities of Rock-Weathering and Soil Formation in the Arid and Humid Regions	08 II 188
Hill, E.: The Permanence of River Valleys	05 I 231
— Stevns klint	05 II 294
Hill, R. T.: Pelé and the evolution of the Windward archipelago	07 I 376
Hill, W.: Note on the Upper Chalk of Lincolnshire	06 II 106
Hillebrand, S.: Serpentin und Heulandit. (Vierte Mitteilung über die Darstellung der Kieselsäuren)	07 I 344
— Ueber Porphyrite und diesen entsprechende Gesteine in der Umgebung von Bruneck	09 II 220
— Aktinolith als sekundäre Bildung	09 II 345
Hillebrand, W. F.: Emmonsite (?) from a new locality — Red Beryl from Utah	06 I 165
— The vanadium sulfide, Patronite, and its mineral associates from Minasagra, Peru	09 I 167
— The Analysis of Silicate and Carbonate Rocks	CBl 1908 48
— siehe Lindgreen, W.	
— siehe Schaller, W. T.	
Hillebrand, W. F. and W. T. Schaller: The mercury minerals from Terlingua, Texas; Kleinite, Terlinguaite, Eglestonite, Montroydite, Calomel, Mercury	09 I 173
Hilton, H.: Notiz über den Satz von VIOLA	05 II 331
— The Gnomonic Net	06 I 159
— Some applications of the gnomonic projection to crystallography	06 II 314
— The construction of the crystallographic Projections	06 II 314
— Eine Analyse der auf die Kristallographie anwendbaren 32 endlichen Bewegungsgruppen	07 I 2
— Notiz über Projektion	07 I 182
— Ueber die dunklen Büschel von Dünnschliffen im konvergenten Lichte	07 I 333
— Note on the thirty-two classes of symmetry	09 I 155
— <i>Ueber C. Viola's Ableitung des Grundgesetzes der Kristalle</i>	CBl 1905 553
Hilzheimer: Ueber einige Tigerschädel aus der Straßburger zoologischen Sammlung	07 I 301
Himmelbauer, A.: Ueber Lievrit und die Datolithgruppe	07 I 347

	Jahrg. Bd. Seite
<i>Himmelbauer, A.: Bemerkungen über das Phenylsulfid</i>	CBI 1909 396
— <i>Neue Mineralvorkommen aus Niederösterreich</i>	CBI 1909 397
— siehe <i>Cornu, F.</i>	
<i>Himstedt, F.: Ueber die radioaktive Imanation von Wasser- und Oelquellen</i>	1905 II 343
<i>Hinde, G. J.: On the zone of Marsupites in the Chalk at Bed- dington, near Croydon, Surrey</i>	06 II 107
— <i>Radiolaria from Triassic and other rocks of the Dutch East Indian Archipelago</i>	09 II 146
<i>Hinden, F.: Neue Reaktionen zur Unterscheidung von Calcit und Dolomit</i>	05 I 23
— siehe <i>Schmidt, C. und Hinden, Fr.</i>	
<i>Hinrichs, G. B.: Sur les météorites d'Amama 1907 I 363.</i>	07 II 200
— <i>Sur l'uniformité de composition des météorites d'Amama 1907 I 363.</i>	07 II 200
<i>Hinterlechner, K.: Ueber die petrographische Beschaffen- heit einiger Gesteine des westböhmisches Cambriums und des benachbarten Gebietes</i>	05 II 56
— <i>Vorlage des Kartenblattes „Deutschbrod“</i>	08 II 63
— <i>Beiträge zur Kenntnis der geologischen Verhältnisse Ost- böhmens. II. Das kristalline Gebiet bei Reichenau a. d. Kn. Blatt Reichenau und Tynist Zone 5. Kol. XIX</i>	08 II 63
<i>Hinton, M. A. C.: Note on the discovery of a bone of a mon- key in the Norfolk „Forest bed“</i>	08 II 426
— <i>Note on Gazella Daviesii HINTON, an Antelope from the Norwich Crag</i>	08 II 430
<i>Hintze, A.: Beiträge zur Petrographie der älteren Gesteine des Deutschen Schutzgebietes Kamerun</i>	09 II 73
<i>Hinxman, L. W.: Note on specimens of spherulitic felsite from Glen Feshie</i>	05 I 431
<i>Hirsch, V. H.: Zur Geologie und Geographie von Portugiesisch- Timor</i>	BB XXIV 460
— <i>Berichtigung zu den Taf. XXXVI und XXXVII von Beil- Bd. XXIV</i>	BB XXV 260
<i>Hirtz: Reproduction expérimentale de plissements lithosphé- riques</i>	08 I 248
<i>His, H., siehe Nußberger, G.</i>	
<i>Hise, C. R. van: The iron-ore deposits of the Lake Superior region</i>	05 I 75
— <i>The problems of Geology</i>	06 II 45
— <i>Report of the special committee for the Lake Superior Region</i>	07 I 107
— <i>A treatise on Metamorphism</i>	CBI 1906 605
— siehe <i>Report etc.</i>	
<i>Hlawatsch, C.: Bestimmung der Doppelbrechung für ver- schiedene Farben an einigen Mineralien</i>	06 II 316
— <i>Ueber den Amphibol von Cevadaes (Portugal)</i>	08 I 24
— <i>Kristallmessungen. Neue Messungen am Raspit von Brocken- hill (N.-S.-Wales)</i>	08 II 38
— <i>Kristallmessungen. 2. Eine triklone, rhodonitähnliche Schlacke</i>	08 II 21. 308
— <i>Der Raspit von Sumidouro, Minas Geraës (Brasilien)</i>	CBI 1905 422
— <i>Die Kristallform des Benoitit</i>	CBI 1909 293
— <i>Berichtigungen zu dem Aufsätze: Die Kristallform des Benoitit</i>	CBI 1909 410
<i>Hobbs, W. H.: Still rivers of western Connecticut 1905 I 228</i>	06 I 94
— <i>Meteorite from Algoma, Wisconsin</i>	05 I 391

- Hobbs, W. H.: The geological structure of the southwestern New England region 1905 II 105
- Former extent of the Newark system 06 I 268
- Lineaments of the atlantic border region 07 I 378
- On two new occurrences of the „Cortlandt Series“ of rocks within the State of Connecticut 08 I 72
- The grand eruption of Vesuvius in 1906 09 I 45
- Some Topographic Features Formed ad the Time of Earthquakes and the Origin of Mounds in the Gulf Plain 09 I 49
- Iron Ores of the Salisbury District of Connecticut, New York and Massachusetts 09 I 395
- The Charleston Earthquake of August 21st, 1886, in a New Light 09 II 208
- The recent advance in seismology 09 II 208
- Hochschild, Ph.: Studien an Zinkblende* BB XXVI 151
- Höcker, F.: Nachtrag zum Verzeichnis der in der diluvialen Sand- und Tuffablagerung von Brühlheim bei Gotha vorkommenden Konchylien 07 II 459
- Höfer, H.: Das Braunkohlenvorkommen in Hart bei Gloggnitz in Niederösterreich 05 I 262
- Underground Temperatures, especially in Coal-mines 05 II 205
- Der Sandstein der Salesiushöhe bei Ossegg (Böhmen) 05 II 438
- Gipskriställchen akzessorisch im dolomitischen Kalk von Wietze (Hannover) 06 I 31
- Das Erdöl auf den malaiischen Inseln 07 I 84
- Das Erdöl und seine Verwandten CBI 1907 217
- siehe Branca, W.
- Höfle, J. und G. Vervuert: Ueber Kaliumquecksilberjodid CBI 1909 554
- Högboom, A. G.: Om s. k. „jäslera“ och om villkoren för dess bildning 06 II 350
- Zur Petrographie der Kleinen Antillen 06 II 376
- Höek, H.: Das zentrale Plessurgebirge. Geologische Untersuchungen 08 II 230
- *Ueber den Deckenbau der Iberger Klippen* CBI 1906 461
- Hörnnes, M.: Der diluviale Mensch in Europa. Die Kulturstufen der älteren Steinzeit 06 I 127
- Hörnnes, R.: Exkursion nach Voitsberg 05 II 113
- Belvederefauna und Arsenalterrasse 05 II 437
- siehe Diener, C.
- Hörnnes, R. und A. Holler: Exkursion nach Oisnitz 05 II 114
- Hoeven, L. J. van der: Over de betrekking van het bekken der anthropoiden tot dat van den mensch CBI 1906 312
- Hoff, J. H. van't: Zur Bildung der ozeanischen Salzablagerungen. Die Calciumvorkommnisse bis 25^o 06 II 321
- Zur Bildung der ozeanischen Salzablagerungen CBI 1905 750
- siehe Meyerhoffer, M.
- Hoff, J. H. van't und H. Behr: Die gegenseitige Verwandlung der Calciummonoborate 08 II 163
- Hoff, J. H. van't und G. Just: Der hydraulische oder sogen. Estrichgips 05 I 191
- Hoff, J. H. van't und Mitarbeiter: Untersuchungen über die Bildungsverhältnisse der ozeanischen Salzablagerungen, insbesondere des Staßfurter Salzlagere.
- XXVII. Die künstliche Darstellung von Pinnoit. Von J. H. VAN'T HOFF und G. BRUNI.

- XXVIII. Die künstliche Darstellung von Kaliborit. Von J. H. VAN'T HOFF.
- XXIX. Die Temperatur der Hartsalzbildung. Von J. H. VAN'T HOFF und W. MEYERHOFFER.
- XXX. Die isomorphen Mischungen: Glaserit, Arkanit, Aphtalose und Natronkalisimonyit. Von J. H. VAN'T HOFF und H. BARSCHALL.
- XXXI. Die untere Temperaturgrenze der Bildung von Vanthoffit bei 46°. Von J. H. VAN'T HOFF und G. JUST.
- XXXII. Die obere Existenzgrenze von Schönit, Magnesium-sulfathepta- und -hexahydrat, Astrakanit, Leonit und Kainit bei Anwesenheit von Steinsalz. Von J. H. VAN'T HOFF und W. MEYERHOFFER.
- XXXIII. Das Auftreten der Kalksalze Anhydrit, Glauberit, Syngenit und Polyhalit bei 25°. Von J. H. VAN'T HOFF und F. FARUP.
- XXXIV. Die Maximaltension der konstanten Lösungen bei 83°. Von J. H. VAN'T HOFF, U. GRASSI und R. B. DENISON.
- XXXV. Die Zusammensetzung der konstanten Lösungen bei 83°. Von J. H. VAN'T HOFF, H. SACHS und O. BLOCH.
- XXXVI. Die Mineralkombinationen (Paragenesen) von 25—83°. Von J. H. VAN'T HOFF und W. MEYERHOFFER 1905 I 192. 193
- XXXVII. Kaliumpentacalciumsulfat und eine dem Kaliborit verwandte Doppelverbindung. Von J. H. VAN'T HOFF.
- XXXVIII. Die Identität von Mamanit und Polyhalit. Von J. H. VAN'T HOFF und G. L. VOERMANN.
- XXXIX. Bildungstemperaturen unterhalb 25°. Von J. H. VAN'T HOFF und W. MEYERHOFFER.
- XL. Existenzgrenze von Tachhydrit. Von J. H. VAN'T HOFF und L. LICHTENSTEIN.
- XLI. Die Bildungstemperatur des Kaliumpentacalciumsulfats. Von J. H. VAN'T HOFF, G. L. VOERMANN und W. BLASDALE.
- XLII. Die Bildung von Glauberit. Von J. H. VAN'T HOFF 1906 I 161. 162
- XLIII. Der Calciumgehalt der konstanten Lösungen bei 25°. Von J. H. VAN'T HOFF und W. C. BLASDALE.
- XLIV. Existenzgrenze von Tachhydrit bei 83°. Von J. H. VAN'T HOFF und J. D'ANS.
- XLV. Das Auftreten von Tinkal und oktaedrischem Borax. Von J. H. VAN'T HOFF und W. C. BLASDALE.
- XLVI. Anhydrit, Syngenit, Glauberit und Pentasalz bei 83° und das Entstehen von Chlorcalcium und Tachhydrit. Von J. H. VAN'T HOFF, P. FARUP und J. D'ANS.
- XLVII. Polyhalit und Krugit bei 83°. Von J. H. VAN'T HOFF und J. D'ANS. 08 II 159

- XLVIII. Existenzgebiet und Spaltung von Boronatrocalcit, Tricalciumpentaborat und die künstliche Darstellung von Pandemit. Von J. H. VAN'T HOFF.
- XLIX. Künstliche Darstellung von Colemanit. Von J. H. VAN'T HOFF.
- L. Franklandit und eine neue, dem Boronatrocalcit verwandte Verbindung. Von J. H. VAN'T HOFF.
- LI. Borocalcit und die künstliche Darstellung von Ascharit. Von J. H. VAN'T HOFF 1908 II 163
- Hoff, K. E. A. v., siehe Reich, O.
- Hoffmann, G.: *Asterolepus Rhenanus* CBI 1909 491
- Hoffmann, G. Chr.: Souesite, a native iron-nickel alloy occurring in the auriferous gravels of the Fraser, province of British Columbia 06 II 155
- Hoffmann, J.: Radium in Schlaggenwald 05 I 6
- Uranvorkommen von Schlaggenwald 05 I 7
- Hoffmann, M., siehe Bloch, C.
- Hofmann, A.: Säugetiere von Wies 07 I 300
- Hofman, A. und A. Z d a r s k y: Beitrag zur Säugetierfauna von Leoben 05 II 305
- Hofmann, Ad.: Scheelit von Příbram 08 I 37
- Neues über das Příbramer Erzvorkommen 08 I 401
- Hofmann, K. und L. v. L ó c z y: Ueber die Entstehung der Budaer Bitterwasserquellen 06 I 404
- Hofmann, R.: Dr. GEORG AGRICOLA. Ein Gelehrtenleben aus dem Zeitalter der Reformation CBI 1905 558
- Hofman-Bang, O.: Studien über schwedische Fluß- und Quellwasser 06 II 351
- Holborn, L. und F. Henning: Ueber Zerstäubung und die Rekristallisation der Platinmetalle 05 I 17
- Holland, R.: Note on Nummulites in the Turkish Rocks described by Col. ENGLISH 05 II 489
- siehe Newton, R. B.
- Holland, T. H.: On the Constitution, Origin and Dehydration of Laterite 05 I 374
- General report of the geological survey of India for the period april 1903 to december 1904. Laterite 06 II 330
- The occurrence of Bauxite in India 06 II 330
- Exhibition of a remarkable form of Sodalite from Rajputana 08 I 18
- Holland, W. J.: The Osteology of *Diplodocus* MARSH 09 I 446
- siehe Hay, O. P.
- Hollande, M.: La zone subalpine aux environs de Chambéry 08 II 390
- Holler, A., siehe Hörnes, R.
- Hollick, A.: The cretaceous clay marl exposure at Cliffwood, N. J. 05 I 302
- Additions to the Palaeobotany of the Cretaceous Formation on Long Island. II 07 I 495
- The Cretaceous Flora of Southern New York and New England 08 I 454
- siehe Britton, E. G. and Hollick, A.
- Hollick, A. and E. C. Jeffrey: Affinities of certain cretaceous plant remains commonly referred to the genera *Dammara* and *Brachyphyllum* 09 II 153
- Hollmann, R.: Ueber die Maxima und Minima der Spaltungskurven wasserhaltiger Mischkristalle 05 I 13

	Jahrg.	Bd.	Seite
Hollmann, R.: Ueber die Spaltung wasserhaltiger Mischkristalle	1906	I	7
Holm, G. und H. Muntze: Kinnekulle, dess geologi och den tekniska användningen af dess bergarter	06	I	271
Holmes, J. A.: Preliminary Report on the Operations of the Fuel-Testing Plant of the United States Geological Survey at St. Louis, Mo., 1905	08	II	379
Holmquist: Stelningsstrukturer och metamorfiska bergartsstrukturer	06	I	379
Holobek, J.: Die geologischen Verhältnisse der Erdwachs- und Erdöllagerstätten in Boryslaw	06	I	407
Holst, O.: Relations of the „writing chalk“ of Scania to the drift deposits	05	II	294
Holway, R. S.: Eclogites in California	06	II	218
Holzappel, E.: Beobachtungen im Diluvium der Gegend von Aachen	05	I	482
— Blatt St. Goarshausen	07	II	88
— Steinsalz und Kohle im Niederrheintal	07	II	283
— Sur l'âge des Lignites du Rhin	08	II	406
— Ueber die neueren Beobachtungen in den metamorphischen Gebieten der Ardennen	09	I	108
— Die Faziesverhältnisse des rheinischen Devon	09	I	271
Holzappel, E. und A. Leppla: Blätter Algenroth, Caub	07	II	88
Home, H.: On a transported mass of Amptill Clay in the boulderclay at Biggleswade	05	II	295
Honda, K. und T. Terada: Ueber den Geysir in Atama	07	I	377
Hoppe, H.: Ueber Andesite der Vulkane Sago, Merapi, Manindjau und Kaba auf Sumatra	06	I	218
Hoppe, O.: Ueber die mechanischen Vorgänge im Innern und an der Oberfläche der Erde mit Berücksichtigung der sogen. „faulen Ruscheln“ am Harz	09	I	77
Horn, F. R. van: A new occurrence of Proustite and Argentite	09	II	335
Horn, W.: Ueber das Vorkommen von Tetracha carolina L. im preußischen Bernstein und die Phylogenie der Cicindela-Arten	07	I	323
Hornstein, F. F.: Ueber einen Fund von makroskopischem gediegenen Eisen in einem Basalt aus der Gegend von Kassel	07	II	13
— Neues vom Kasseler Tertiär	07	II	291
— Mitteilung über das Vorkommen von makroskopischen Einschlüssen gediegenen Eisens in Basalt aus der Gegend von Kassel	CBl 1907		276
Hornung, Th., siehe Duparc, L.			
Horusitzky, H.: Ueber die Feuchtigkeit der Sandhügel längs des Vág-Flusses	05	II	378
— Agrogeologische Verhältnisse der Umgebung von Nagy-Surány	06	I	263
— Agrogeologische Verhältnisse der Umgebung von Komját und Tótmegyer	07	I	276
Hovey, E. O.: The Geology of the Guaynopita District Chihuahua. A contribution to the knowledge of the structure of the Western Sierra Madre of Mexico	08	I	74
— The Chester, New York, Mastodon	09	I	129
— siehe Whitfield, R. T.			
Howard, K. S.: Preliminary Notice of a New Meteorite from Texas	07	II	201
— The Elm Creek Aerolite	08	II	183

	Jahrg. Bd. Seite
Howard, K. S. and J. M. Davison: The Estacado Aerolite	1909 I 39
Howchin, W.: Foraminifera from a Calcareous Marlestone, Gingin	09 I 299
— siehe Chapman, F.	
Howe, E.: An occurrence of Greenstone schists in the San Juan Mountains, Colorado	06 II 219
— Isthmian Geology and the Panama Canal	09 II 393
Howe, E. and Wh. Cross: Glacial phenomena of the San Juan Mountains, Colorado	08 II 343
Howell, E. E.: Description of the Williamstown Meteorite — The Ainsworth Meteorite	09 I 359 09 I 359
Hubbard, P., siehe Cushman, A. D.	
Huber, A.: Beiträge zur Kenntnis der Glazialerscheinungen im südöstlichen Schwarzwald	BB XXI 397
Hubert, H.: Sur un massif de granite alcalin au Dahomey	09 II 235
Hubrecht, P. F.: Ueber Cerussitviellinge von Sardinien .	08 I 333
Huddleston, W. H., siehe McMahon, C. A.	
Huene, F. v.: Ueber das Hinterhaupt von <i>Megalosaurus Buck-</i> <i>landi</i> aus Stonesfield	06 I 1
— Die Dinosaurier der europäischen Triasformation mit Berück- sichtigung der außereuropäischen Vorkommnisse	09 I 286
— Ueber die Nomenklatur von <i>Zanclodon</i>	CBI 1905 10
— Ueber die Foramina der <i>Carotis interna</i> und des <i>Hypoglossus</i> bei einigen Reptilien	CBI 1906 336
— Eine Zusammenstellung über die englische Trias und das Alter ihrer Fossilien	CBI 1908 9
— Neue und verkannte <i>Pelycosaurier</i> -Reste aus Europa	CBI 1908 431
— Bemerkungen über <i>Callibrachion</i>	CBI 1908 532
— Skizze zu einer Systematik und Stammesgeschichte der <i>Dino-</i> <i>saurier</i>	CBI 1909 12
— Vorläufige Mitteilung über einen neuen <i>Phytosaurus</i> -Schädel aus dem schwäbischen Keuper	CBI 1909 583
Huene, F. v. und R. S. Lull: Neubeschreibung des Originals von <i>Nanosaurus agilis</i> Marsh.	08 I 134
Hüttner, K.: Ueber die in Mineralien gelösten Gase	06 I 161
Hugo, O.: Kristallographische Vergleichung verschiedener Metall- rhodanide mit den entsprechenden Metallhaloiden der or- ganischen Basen Chinolin und Pyridin	CBI 1905 289, 321
Hulett, G. A.: Gesättigte Gipslösungen als Basis für Leit- fähigkeit	05 I 364
— Löslichkeit und Korngröße	06 I 6
Hulett, G. A. and L. E. Allen: Solubility of Gypsum	05 II 31
Hume, W. F.: Miocene rocks in eastern Sinai	07 I 424
Humfrey, J. C. W.: Effects of Strain on the crystalline Structure of Lead	05 II 348
Humphrey, W. A.: Ueber einige Erzlagerstätten in der Um- gebung der Stangalpe	09 II 401
Hundeshagen, F.: Ueber die Anwendung organischer Farb- stoffe zur diagnostischen Färbung mineralischer Substrate	BB XXVIII 335
Hunt, A. R.: Vein Quartz and Sands	05 I 420
Hunt, W. F., siehe Kraus, E. H.	
Huntington, E.: Pangong: a glacial lake in the Tibetan plateau	08 II 342
Hussak, E.: Ueber einen Meteorsteinfall westlich von Uberaba im Staate Minas	05 I 219
— Ueber das Vorkommen von Palladium und Platin in Bra- silien	1905 II 346

	Jahrg.	Bd.	Seite
Hussak, E.: Mineralogische Notizen aus Brasilien	1906	I	25, 27
— Ueber die sogenannten „Phosphat-Favas“ der diamant- führenden Sande Brasiliens	08	I	32
— Ueber die Diamantlager im Westen des Staates Minas Geraës und der angrenzenden Staaten São Paulo und Goyaz, Brasilien	08	I	169
— Ueber die Manganerzlager Brasiliens. Berichtigung der in in der Zeitschr. f. prakt. Geol. Bd. 12. 1904. 414—416 von W. FRIZ veröffentlichten Mitteilung	09	I	81
— Ueber Atopit aus den Manganerzgruben von Miguel Burnier, Minas Geraës, Brasilien	CBI 1905		240
— Ueber Gyrolith und andere Zeolithe aus dem Diabas von Mogy- guassú, Staat São Paulo, Brasilien	CBI 1906		330
— Ueber die chemische Zusammensetzung des Chalmersit	CBI 1906		332
— Ueber das Vorkommen von gediegen Kupfer in den Diabasen von São Paulo	CBI 1906		333
— Ueber Hussakit	CBI 1907		533
— Ein neues Vorkommen von Phenakit in Brasilien	CBI 1909		268
Hutchinson, A.: On the Diathermancy of Antimonite	05	I	18
— Mineralogical chemistry	07	II	172
— The optical characters of Antimonite	09	I	167
— The chemical composition of Lengenbachite	09	I	172
Hyatt, A.: Pseudoceratites of the Cretaceous	07	II	147
Hyatt, A. and J. P. Smith: The triassic Cephalopod Genera of America	06	II	298

I.

Icke, H. und K. Martin: Die Silatgruppe, Brack- und Süß- wasserbildungen der oberen Kreide von Borneo	07	I	437
Iddings, J. P.: A fracture valley system	06	II	188
— Quartz-Feldspar-Porphry (Granophyro-Liparose-Alaskose) from Llano, Texas	06	II	216
— Chemical composition of igneous rocks expressed by means of diagrams, with reference to rock classification on a quantitative chemico-mineralogical basis	CBI 1905		249
— Rock Minerals, their Chemical and Physical Characters and their Determination in Thin Sections	CBI 1907		729
— siehe Cross, W.			
Ihering, H. v.: Historia de las Ostras Argentinas	05	I	358
— Description de la Ostrea guaranítica	06	I	155
— Les Brachiopodes tertiaires de Patagonie	09	II	321
— Archhelenis und Archinotis	CBI 1908		184
Ilovaisky, D.: L'Oxfordien et le Séquanien des gouverne- ments de Moscou et de Riazan	05	I	130
— Le Mésozoïque du pays de Soswa	07	II	449
Inostranzeff, A.: Ein Goldklumpen aus der Seife des Flusses Petrowka, Jegorjewsky-Grube, Altai-Bezirk	09	I	334
— Gediegen Roheisen von der Rusky- (Russischen) Insel bei Wladiwostok	09	II	184
Irmeler, A.: Die neue Goldgrube „Brtevnik“ bei Bražná	08	I	402
— Der Goldbergbau im Roudný unter dem Blaník	08	I	403
Irving, J. D.: Economic Resources of the Northern Black Hills, with contributions by S. F. EMMONS and T. A. JAG- GAR jr.	05	II	32

Isaac, E. und G. Tammann: Ueber die Legierungen des Eisens mit Platin	1908	II	157
Isaac, F.: The Temperatures of Spontaneous Crystallisation of Mixed Solutions and their Determination by Means of the Index of Refraction. Mixtures of Solutions of Sodium Nitrate and Lead Nitrate	09	I	326
— siehe Miers, H. A. and Isaac, F.			
Isküll, W.: Ueber den Rhodosit vom Flusse Asskys; Beiträge zur Kenntnis seiner chemischen Struktur und seiner Verwitterung	09	II	19
Ibler, A.: Beiträge zur Stratigraphie und Mikrofauna des Lias in Schwaben	09	II	320
Iterson jun., G. van: Mathematische und mikroskopisch-anatomische Studien über Blattstellungen nebst Betrachtungen über den Schalenbau der Miliolinen	08	I	141
Iwanoff, I. L.: Ein wasserhaltiges Calciumcarbonat aus der Umgebung von Novo-Alexandria, Gouv. Lublin	07	II	358
— Talk von Kossoi-Brod im Ural	09	II	345
— siehe Kristafo witsch, N.			
Iwasaki, C.: Graphite of Kataura, Satsuma Province	07	I	191
Iwtschenko, A.: La Denudation de la Steppe. I—III	CBl	1908	763
— La région périphérique du paysage des déserts dans la partie N. de la steppe des Kirghiz	CBl	1908	765
— La stratification dans les dépôts éoliens. I. II	CBl	1908	764

J.

Jaccard, F.: La région de la brèche de la Hornfluh (Préalpes bernoises)	07	I	99
— La théorie de MARCEL BERTRAND, ou quelques réflexions sur la note de M. STEINMANN, intitulée: Die SCHARDTsche Ueberfaltungstheorie und die geologische Bedeutung der Tiefseeabsätze und der ophiolithischen Massengesteine	07	II	442
— Les blocs exotiques de la Hornfluh	08	II	381
— Présence de Gyroporelles dans le Trias du Rubly	08	II	400
— siehe Schar dt, H.			
Jackson, C. F. V.: Geology and auriferous deposits of Leonora (Mount Margaret goldfield)	05	II	402
Jackson, J. W.: Carboniferous fish-remains in North-Derbyshire	08	II	447
Jacob, Ch.: Étude sur les ammonites et sur l'horizon stratigraphique du gisement de Clansayes	06	I	312
— Note sur la tectonique du massif crétacé situé au nord du Giffre (Haute-Savoie)	08	II	389
Jacob, Ch. et G. Flusin: La crue glaciaire de la fin du XIXe siècle et les différents facteurs qui ont déterminé les anomalies de cette crue dans le massif du Pelvoux	07	II	52
Jacob, Ch. et A. Tobler: Étude stratigraphique et paléontologique du Gault de la vallée de la Engelberger Aa.	07	I	288
Jaczewsky, L.: Kaolin und Hydrargillit von Kriwoj-Rog	07	II	191
— Granat und Magnetit aus Daschkesan im Kaukasus	07	II	380
— Ueber das Nickeleisen vom Flusse Onot	09	I	353
Jaeger, F.: Ueber Oberflächengestaltung im Odenwald	09	I	199
Jaeger, H.: Die bakteriologische Wasseruntersuchung durch den Geologen	08	I	371

	Jahrg.	Bd.	Seite
Jaekel, O.: Feuersteineolithe von Freyenstein in der Mark	1905	I	321
— Ueber jurassische Zähne und Eier von Chimaeriden . . .	05	II	134
— Ueber einen Pentaerinen der deutschen Kreide . . .	07	II	154
— Placochelys placodonta aus der Obertrias des Bakony . . .	07	II	329
— Asteriden und Ophiuriden aus dem Silur Böhmens . . .	08	I	134
— <i>Zu Gustav Steinmann's Geologischen Grundlagen der Abstammungslehre</i>			CBI 1908 461
— <i>Entgegnung an Herrn G. Steinmann</i>			CBI 1909 706
— <i>Ueber die Körperform der Holopoceriniten</i>			Festband 272
Jänecké, E.: Ueber eine neue Darstellungsform der wässerigen Lösungen zweier und dreier gleichioniger Salze und der VAN'T HOFF'schen Untersuchungen über ozeanische Salz- ablagerungen	08	II	167
Jaggard, T. A. jr., siehe Irving, J. D.			
Jahn, J. J.: Einige neue Fossilienfundorte in der ostböhmischem Kreideformation	05	I	301
— Ueber die Etage H im mittelböhmischem Devon	06	I	272
— Vorläufiger Bericht über die Klippenfazies im böhmischen Cenoman	06	II	427
— Ueber das Vorkommen von Bonebed im Turon des östlichen Böhmens	06	II	428
— Beitrag zur Kenntnis der Entstehung loser vulkanischer Auswürflinge	07	II	394
— Ueber die erloschenen Vulkane bei Freudental in Schlesien	07	II	394
— Eine eigene Art wellenförmiger Furchen (ripplemarks) . . .	08	II	56
— siehe Petrascheck, W.			
— siehe Potonié, H.			
Jakowleff, S. A.: <i>Ueber die Ostgrenze des präcambrischen Systems in Finland</i>			CBI 1906 600
Jamieson, G. J.: Ueber Awaruit, eine natürliche Eisen- Nickellegierung	06	I	330
— On the natural iron-nickel alloy, Awaruite	06	II	155
— siehe Penfield, S. L.			
Janensch, W.: Bemerkungen über den Skelettbau der Glypto- dontiden	06	I	146
— Pterospheus Schweinfurthi (ANDREWS) und die Entwicklung der Paläophiden	08	II	440
— <i>Ueber die Jugendentwicklung von Rhabdoceras Suessi v. Hauer</i>			CBI 1906 710
Janet, L.: Sur la position stratigraphique des gypses de Vitry (Seine)	05	I	304
Jannasch, P.: Analyse des Lorandit von Alchar	05	I	371
Jansen, H.: Rechtschreibung der wissenschaftlichen und tech- nischen Fremdwörter			CBI 1907 692
Japha, A.: Ueber subfossile und rezente Walknochenfunde aus Ost- und Westpreußen	09	I	437
— Weiteres über ostpreußische Walknochenfunde	09	I	437
Jaquet, J. B.: Notes upon the occurrence of Gold in volcanic glass at Grassy Gully, Yalwal District, N. S. Wales . . .	07	I	411
— siehe Card, G. W.			
Jaroš, Z.: Beitrag zur Morphologie des böhmischen Antimonits	08	II	10
Jeannot, A.: La nappe rhétique dans les Alpes Vaudoises	09	II	92
Jecker, L.: Sur quelques minéraux du Djebel-Ressas (Tunisie)	07	I	41
Jeffrey, E. C., siehe Hollick, A. and Jeffrey, E. C.			
Jegorow, K.: Arbeiten zur Ausbeute von Leuchtenbergit in der Grube auf dem Berge Schischi im Sommer 1905	09	II	23
Jenkins, J. H. B.: Analysis of London Clay	08	II	406

Jenny, Fr.: Fossilreiche Oligocänablagerungen vom Südhang des Blauen (Juragebirge)	1906	I	112
Jensen, A. S.: On fish-otoliths in the bottom-deposits of the sea. 1. Otoliths of the Gadus-species deposited in the Polar deep	07	I	320
Jentzsch, A.: Der jüngere baltische Eisstrom in Posen, West- und Ostpreußen	05	I	473
— Verbreitung der bernsteinführenden „blauen Erde“	05	II	287
— Die erste Yoldia aus Posen	06	I	298
— Ueber die Theorie der artesischen Quellen und einige damit zusammenhängende Erscheinungen	06	II	193
— Geologische Bemerkungen zu einigen westpreußischen Bodenanalysen	06	II	202
— Ueber umgestaltende Vorgänge in Binnenseen	07	I	116
— Der erste Untersenon-Aufschluß Westpreußens	07	I	435
Jeremina, E. und F. Loewinson-Lessing: Beiträge zur Petrographie der Mugodjaren. Ergebnisse der Expedition von 1889 in die Mugodjaren. Lief. 2.	07	I	72
Jevons, H. S.: Scratches on Minerals in Thin Sections	05	I	233
— Note on the Keratophyes of the Breidden and Berwyn Hills	05	II	385
Ježek, B.: I. Beitrag zur Morphologie des Whewellit	09	I	196
— II. Weiterer Beitrag zur Morphologie des Whewellit	09	I	196
— Ueber den Braunit von Minas Geraes	09	I	338
— Ueber den Hamilit von Brasilien	09	I	344
Jimbo, K.: A Complex Twin of Chalcopyrite from Arakawa, Ugo Province	07	I	195
— Crystallization of Calcite from Mizusawa and Furokura	07	I	199
— Datolite of Yamaura, Hyūga Province	07	I	206
— Some Pseudomorphs of Cordierite found in Japan	07	I	206
— Linarite of Arakawa, Ugo Province	07	I	210
— General note on Japanese Meteorites	07	I	367
— Some Korean and Sakhalin minerals	08	II	333
— Crystal form of the enargite from Kinkwaseki, Taiwan Island (Formosa)	09	I	173
— Sorobandama-ishi	09	I	179
— Cordierite in Copper Ore-Deposit, found in the Hitachi mine, Hitachi province	09	I	191
— On some zeolites found in Japan	09	I	192
Jochim, H.: Ueber Interferenzerscheinungen an aktiven Kristallplatten im polarisierten Licht	BB XXI		540
— Versuche über den Einfluß innerer Reflexionen auf die Interferenzerscheinungen an dünnen doppeltbrechenden Platten, insbesondere an Spaltungsplatten von Muscovit	CBl 1907		577
Johannsen, A.: A key for the determination of rockforming minerals in thin sections	CBl 1909		711
John, C. v.: Ueber die chemische Beschaffenheit der Asphalt-schiefer der Bara-Bai (Buru)	BB XXII		691
— siehe Kossmat, F.			
John, C. v. und F. E. Sueß: Die Gauverwandtschaft der Gesteine der Brüner Eruptivmasse	09	II	382
Johnsen, A.: Die Entwicklung der Petrographie	05	I	233
— Bryozoen aus dem karnischen Fusulinenkalk	06	II	135
— Kristallographische Untersuchung einiger organischer Verbindungen	07	I	89
— Ueber das mikroskopische Verhalten gesteinsbildender Glimmer	07	II	129

- Johnsen, A.: Beiträge zur Kenntnis natürlicher und künstlicher Gläser 1907 II 216
 — *Vesuviasche vom April 1906* CBl 1906 385
 — *Tschermak's Zwillingstheorie und das Gesetz der Glimmerzwillinge* CBl 1907 400
 — *Sekundäre Zwillinglamellen im Zinnstein* CBl 1908 426
 — *Ueber radialstrahlig gruppierte Muscovitkristalle* CBl 1908 504
 — *Ueber einige durch ungewöhnliche Achsenwinkel ausgezeichnete Glimmer* CBl 1908 618
 — *Zur Symmetrie des Wulfenit* CBl 1908 712
 — *Beiträge zur Kenntnis der Salzlager. I. Regelmäßige Verwachsung von Carnallit und Eisenglanz* CBl 1909 168
 — *Ueber dichteste Kugelpackung in Erbsen- und Rogensteinen und die Entstehung des „dodekaedrischen“ Kalkes* CBl 1909 302
 — *Untersuchungen über Kristallzwillinge und deren Zusammenhang mit anderen Erscheinungen* BB XXIII 237
 — *Die Thüringer Porphyroide* BB XXVII 326
- Johnsen, A. und Mügge, O.: *Verbesserungen am Haradaschen Trennungsapparat* CBl 1905 152
- Johnson, Ch. W.: Annotated List of the Types of Invertebrate Cretaceous fossils in the Collection of the Academy of Natural Sciences, Philadelphia 06 II 439
- Johnson, D. W.: The Scope of Applied Geology and its Place in the Technical School 08 I 78
 — *The Geology of the Cerrillos Hills, New Mexico. Part II: Palaeontology* 08 I 436
- Johnson, J. E.: Origin of the Oriskany Limonites 05 II 403
- Johnston-Lavis, H. J.: Another New Vesuvian Mineral
 Johnston-Lavis, H. J. and L. J. Spencer: On Chloromanganokalite, a new Vesuvian mineral; with notes on some of the associated minerals 09 II 331
- Joleaud, L.: L'Aquitaniens dans la Vaucluse, le Gard et les Bouches-du-Rhône 08 II 407
- Joly, H.: Notes paléontologiques. I. Note sur deux Coeloceras du Toarcien: C. subarmatum D'ORB. 1842 et C. Desplacei D'ORB. 1842 06 I 313
 — *The Distribution of Radium in the Rocks of the Simplon Tunnel* 09 II 211
- Jones, B. M., siehe Crook, T.
 Jones, M., siehe Dunstan, W. R.
 Jones, T. R.: Isochilinae from Canada and elsewhere in North America 05 II 317
 — *Note on a palaeozoic Cypridina from Canada* 06 II 139
- Jonker, H. G.: Contributions to the knowledge of the Sedimentary Boulders in the Netherlands. 1. 2. 05 II 445
- Jordan, D. S.: The fossil fishes of California, with supplementary notes on other species of extinct fishes 08 II 443
- Jordis, E.: Zur Chemie der Silikate 07 I 343
 — siehe Kauter, E. H.
- Jourdy, H., siehe Douvillé, R.
- Jowanowitsch, J. U.: Bergbau und Bergbaupolitik in Serbien 06 I 74
- Jüptner, H. v.: Neuere Ergebnisse der metallurgischen Forschung 06 I 241
- Jukes-Browne, A. J.: The Valley of the Teign 05 II 378

Jukes-Browne, A. J.: The occurrence of Marsupites in Flints on the Haldon Hills	1906	II	107
— The devonian limestone of Lummaton Hill near Torquay	06	II	263
— The Depth and Succession of the Bovey-Deposits (Devon). (Abstract)	09	II	465
— The Bovey Deposits	09	II	469
Jukes-Browne, A. J. and J. Scanes: On the Upper Greensand and Chloritic marl of Mere and Maiden Bradley in Wiltshire	06	II	107
— — The Cretaceous rocks of Britain. Vol. 1: The Gault and Upper Greensand of England. With contributions by WILLIAM HILL	06	II	108
— — The Cretaceous rocks of Britain. Vol. 2: The Lower and Middle Chalk of England. With contributions by W. HILL	06	II	108
— — The Cretaceous rocks of Britain. Vol. 3: The Upper Chalk of England. With contributions by WILLIAM HILL	06	II	108
Julien, A. A.: Genesis of the amphibol schists and serpentines of Manhattan island, New York	06	I	227
— Einige Fragen aus der Chemie des Eisens	08	I	9
Juillerat, E., siehe Rollier, L.			
Jung: Die Schotterlager in Arnstadts Umgebung	08	II	96
Just, G., siehe Hoff, J. H. van't.			

K.

Kadič, O.: Die geologischen Verhältnisse des Hügellandes am rechten Ufer der Bega in der Umgebung von Bálincz, Facset und Dubesty	05	II	99
— Mesocetus hungaricus KADIČ. Eine neue Balenopteridenart aus dem Miocän von Borbolva in Ungarn	09	I	438
Kaech, M.: Geologisch-petrographische Untersuchung des Porphyrgbietes zwischen Lago Maggiore und Valsesia — siehe Strübin, K.	05	II	64
Kämmerer, P., siehe Böcker, E.			
Kästner, M., siehe Freitag, B. und Kästner, M.			
Kaiser, E.: Beiträge zur Petrographie und Geologie der Deutschen Südsee-Inseln	05	II	71
— Alte Gesteine von den Karolinen	05	II	71
— Die hydrologischen Verhältnisse am Nordostabhang des Hainich im nordwestlichen Thüringen	05	II	448
— Bauxit- und lateritartige Zersetzungsprodukte	06	II	53
— Ueber Verwitterungserscheinungen an Bausteinen. I.	07	II	42
— Pliocäne Quarzschotter im Rheingebiet zwischen Mosel und Niederrheinischer Bucht	07	II	292
— Das akademische Gut Dikopshof, Gutswirtschaft der königlichen landwirtschaftlichen Akademie Bonn-Poppelsdorf	07	II	456
— Das Steinsalzvorkommen von Cardona in Catalonien	09	I	14
— Die Entstehung des Rheintals	09	I	239
— Die Kristallform des Magnetkies	CBI	1906	261
— Ein verbesserter Trennungsapparat für schwere Lösungen	CBI	1906	475
— Ueber Diamanten aus Deutsch-Südwestafrika	CBI	1909	235
— siehe Koert, W.			
Kaiser, E. und E. Naumann: Zur Kenntnis der Trias und des Diluviums im nordwestlichen Thüringen	05	II	447
Kaiser, E. und L. Siegert: Beiträge zur Stratigraphie des Perms und zur Tektonik am westlichen Harzrande	09	I	409

Kaleczinsky, A. v.: Die Mineralkohlen der Länder der ungarischen Krone mit besonderer Rücksicht auf ihre chemische Zusammensetzung und praktische Wichtigkeit	1906	I	236
Kalischer, S.: Ueber die kristallinische Struktur der Metalle	05	I	18
Kalickij: Das Naphthagebiet von Groznyj	07	I	113
Kalkowsky, E.: Die Markasit-Patina der Pfahlbau-Nephrite	06	II	334
— Der Nephrit des Bodensees	08	I	188
— Geologie des Nephrites im südlichen Ligurien 1908 I 189	08	II	204
— Ueber Oolith und Stromatolith im norddeutschen Buntsandstein	08	II	114
— <i>Geologische Deutung des Nephrites von Gulbasha</i>	Festband 159		
Kanter, E. H., siehe Tordis, E.			
Karakasch, N. J.: Sur quelques ammonites remarquables de la Crimée	06	I	315
— Sur l'âge des calcaires jurassiques du Yaila en Crimée	07	II	445
— Fortschritte im Studium der Kreideablagerungen Rußlands (im Jahre 1898—1902). Literaturübersicht mit kritischen Bemerkungen	08	I	430
Karandéeff, B.: <i>Thermische Analyse des Systems K_2SO_4—KF</i> CBI 1909 728			
Karpinsky, A.: Ueber Chalcedone vom Schwarzmeerdistrikt des Kaukasus	07	II	181
— Ueber ein Vorkommen von Brucit bei Lysogorsk im Gouvernement Jelisawetpol	07	II	182
— Ueber ein Vorkommen von Pyromorphit im Beresit des westlichen Urals	07	II	188
— Die Trochiliken	08	I	450
Kasarnowski, H., siehe Wöhler, L.			
Kasparowitsch, G.: Pyrrargyrit aus der Perwoblagodatnij Grube im Ural	09	II	14
Katterfeld, G.: Ueber Platin in einem uralischen Schwefelkies	07	II	354
Katzer, F.: Mineralquellen und Erzlagerstätten aus dem unteren Amazonasgebiete	05	I	263
— Exkursion durch Bosnien und die Herzegowina	05	II	117
— Geologischer Führer durch Bosnien und die Herzegowina	05	II	264
— Zur näheren Kenntniss des Budweiser Binnenlandtertiärs	06	II	113
— Die geologische Entwicklung der Braunkohlenablagerung von Zenica in Bosnien	06	II	114
— Ueber einen Brasil-Monazitsand aus Bahia	06	II	343
— Die Schwefelkies- und Kupferkieslagerstätten Bosniens und der Herzegowina	06	II	381
— Die geologischen Verhältnisse des Manganerzgebietes von Čevljanovič in Bosnien	09	II	403
— Die Fahlerz- und Quecksilberlagerstätten Bosniens und der Herzegowina	09	II	405
— <i>Ueber die Quarzporphyre der Vratnica planina in Bosnien und über einen Fund von Rillensteinen in einem alten Bergbau am Westfuße desselben Gebirges</i>	CBI 1905 366		
Kaunhoben, F.: Beobachtungen über Diluvium, Tertär und Kreide in Ostpreußen	07	II	463
— Geologische Untersuchungen in dem Gebiete längs der Bahn Lötzen—Arvs—Johannesburg, Ostpreußen	07	II	464
— Das geologische Profil längs der Berliner Untergrundbahn und die Stellung des Berliner Diluviums	07	II	465
Kaunhoben, F. und P. G. Krause: Beobachtungen an diluvialen Terrassen und Seebecken im östlichen Norddeutschland und ihre Beziehungen zur glazialen Hydrographie	05	I	481

Kauter, E. H. und E. Jordis: Beiträge zur Kenntnis der Silikate	1905	II	17
Kavčič, J.: Der Braunkohlenbergbau von Hrastovetz	07	I	83
Kayser, E.: Lehrbuch der Geologie. II. Teil: Geologische Formationskunde	08	I	410
— Zur Arrhenius-Frech'schen Kohlensäure-Hypothese	CBl	1908	553
— Entgegnung an Herrn Arrhenius	CBl	1909	660
— siehe auch Arrhenius, S.			
Kee, Mc, siehe Mc Kee.			
Keidel, H.: Ein Beitrag zur Kenntnis der Lagerungsverhältnisse in den Freiburger Alpen	06	I	255
— Geologische Untersuchungen im südlichen Tian-Schan nebst Beschreibung einer obercarbonischen Brachiopodenfauna aus dem Kukurtuk-Tal	BB	XXII	266
— Einige Berichtigungen zu meinen Arbeiten über den Tian-Schan	CBl	1907	271
Keilhack, K.: Die große baltische Endmoräne und das Thorn-Eberswalder Haupttal. Eine Antwort an Herrn G. MAAS	06	II	435
— Grundwasserstudien	09	II	373
Keller, K.: Die Atmosphäre, ein elektro-pneumatischer Motor	05	I	57
Kellogg, L. O.: Sketch of the Geology and Ore Deposits of the Cochise Mining District, Cochise County, Arizona	07	II	418
Kemna, A.: Les caractères structuraux de la coquille des Foraminifères flottants. Caractère naturel de la division des Foraminifères en Perforés et Imperforés	07	I	156
— Compte rendu des travaux recents sur les Foraminifères fossiles et sur le Dimorphisme des Nummulites	07	I	329
Kemp, J. F.: The Role of the Igneous Rocks in the Formation of Veins	05	I	256
— Die Lagerstätten titanhaltigen Eisenerzes in Laramie Range, Wyoming, Vereinigte Staaten	07	I	76
— Secondary Enrichment in Ore-Deposits of Copper	07	II	419
— The Problem of the Metalliferous Veins	08	I	78
— Ore deposits at the Contacts of Intrusive Rocks and Limestones; and their Significance as Regards the General Formation of Veins	08	I	80
Kemp, J. F. and W. Knight: Leucite Hills of Wyoming	06	I	225
Kennard, A. S. and H. Warren: On a Section of the Tames Alluvium in Bermondsey	05	I	481
Kennard, A. S. and B. B. Woodward: On the specific identity of Vivipara diluviana KUNTH and Vivipara clactonensis S. V. Wood	05	I	309
— — The Extinct Postpliocene non-marine Mollusca of the South of England	05	II	449
Kennedy, W., siehe Hayes, C. W.			
Kerforne, F.: Gisements de Mispickel aux buttes de Couasme près Rennes	05	I	372
— Découverte d'un gisement d'Étain et de Wolfram dans l'Ille-et-Vilain	05	II	369
Kern, F.: Ueber den Gneis von Schentowitz (Bachergebirge)	CBl	1909	149
— Ueber ein Vorkommen des Disthens im Granatglimmerschiefer des Lauffenberges bei Radenthein	CBl	1909	215
Kerner, F. v.: Geologie der Südseite des Mosor bei Spalato	05	I	451
— Die geologischen Verhältnisse der Poljen von Blaca und Konjesko bei Spalato	05	I	452
— Exkursionen in Norddalmatien	05	II	114

Kerner, F. v.: Die Fenster in der Ueberschiebung am Nord- fuße des Mosor	1906	I	257
— Reiseberichte aus dem östlichen Mosorgebiete	06	I	257
— Geologische Spezialkarte des Blattes Sebenico—Trau. Zone 31, Kol. XIV	07	I	89
— Diabas bei Sinj	08	I	65
Kerner, F. v. und R. Schubert: Kritische Bemerkungen zu Herrn A. MARTELLI's Arbeiten über die Geologie von Spalato	06	I	258
Keßler, P.: <i>Lytoceras taeniatum</i> POMP. und <i>L. Wrighti</i> BUCKM.	09	I	134
— <i>Ueber einen mit Wohnkammer erhaltenen Macrocephalites</i> .	CBI 1908		40
— <i>Zum geologischen Aufbau der bithynischen Halbinsel</i>	CBI 1909		653
Keyes, C. R.: Unconformity of the Cretaceous on Older Rocks in Central New Mexico	05	I	302
— Devonian interval in Missouri	06	I	273
— The Dakotan Series of Northern New Mexico	07	I	438
Keyserling, H. Graf: Der Gloggnitzer Forellenstein, ein feinkörniger Ortho-Riebeckitgneis	05	II	51
— Geologisch-petrographische Studien im Gebiete der Melaphyre und Augitporphyre Südtirols	05	II	63
Kiaer, J.: Kalstad Kalken	06	I	271
Kidston, R.: (I.) On the occurrence of <i>Sphenopteris communis</i> LESQX. in Britain	06	II	458
— (II.) On <i>Sigillaria Brardii</i> BRONGN., and its variations	06	II	458
— (III.) Additional Records and Notes on the fossil flora of the Potteries Coal Field, North Staffordshire	06	II	458
— (IV.) On <i>Cryptoxylon forfarensis</i> , a new species of fossil plant from the Old Red Sandstone	06	II	458
— (V.) The Carboniferous fossil plants of the Clyde Basin	06	II	458
— (VI.) The flora of the Carboniferous Period	06	II	458
— (VII.) Notes on some fossil plants from the Arigna Mines	06	II	458
— (VIII.) The fossil plants from the Canonbie Coal Field	06	II	458
— (IX.) The fossil plants of the Carboniferous Rocks of Canonbie, Dumfriesshire, and of parts of Cumberland and Northum- berland	06	II	458
— On the fructification of <i>Neuropteris heterophylla</i> BRONGN.	07	I	163
— Preliminary Note on the Occurrence of <i>Microspungia</i> in Organic Connection with the Foliage of <i>Lyginodendron</i>	07	I	164
— On the Microsporangia of the Pteridospermeae, with remarks on their Relationship to existing Groups	07	I	165
Kidston, R. and D. T. Gwynne-Vaughan: On the Fossil Osmundaceae	08	I	157
Kilian, W.: Note sur le „surcreusement“ („Uebertiefung“) des vallées alpines	05	I	228
— Note sur quelques points du Royans, du Vercors et des Mon- tagnes de Lans	05	I	277
— Sur divers points intéressants de la montagne de Lure	05	I	277
— Sur les chaînes subalpines des environs de Grenoble	05	I	278
— Explorations sur les feuilles de Briançon, Gap, Digne et Larche, Grenoble et Vizille (revision), feuille de Lion au 320 000 ^e	05	I	278
— Grenoble. Alpes du Dauphiné et de la Savoie	05	I	282
— Note relative aux chaînes alpines	05	I	446
— Sur quelques fossiles remarquables de l'Hauterivien de la région d'Escragnoles	05	II	321

Kilian, W.: Présence de nombreuses Orthophragmina de grande taille dans les calcaires éocènes de Montricheren-Maurienne	1906 I 115	1909 I	299
— Note sur le Jurassique moyen dans les Alpes françaises	06 I	424	
— Sur les phases de plissement des zones intraalpines françaises	06 II	353	
— Sur les relations de structure des Alpes françaises avec les Alpes suisses	06 II	254	
— Sur le rôle des charriages dans les Alpes delphino-provençales et sur la structure en éventail des Alpes briançonnais	06 II	256	
— Explorations géologiques exécutées dans le Sud-Est de la France pendant l'année 1900	07 II	104	
— Sur l'origine de la structure en éventail des Alpes françaises	07 II	260	
— Les phénomènes de charriage dans les Alpes delphine-provençales	07 II	261	
— Sur l'âge des schistes lustrés	07 II	440	
— Sur l'âge du groupe de Voltri	07 II	441	
— Lethaea geognostica. II. Das Mesozoicum. 3. Band: Kreide. Erste Abteilung: Unterkreide (Palaeocretacicum). Erste Lieferung: Allgemeines über Palaeocretacicum, Unterkreide im südöstlichen Frankreich, Einleitung	08 II	402	
— Notes sur la tectonique des Alpes françaises	09 I	87	
— Sur la „fenêtre“ du Plan de Nette et sur la géologie de la Haute-Tarentaise	09 II	87	
Kilian, W. et L. Gentil: Sur les terrains crétacés de l'Atlas occidental marocain	08 I	265	
— — Sur l'Aptien, le Gault et le Cénomaniien et sur les caractères généraux du Crétacé inf. et moyen de l'Atlas occidental marocain	08 I	266	
Kilian, W. et A. Guébbard: Étude paléontologique et stratigraphique du Système Jurassique dans les Préalpes maritimes	06 I	108	
Kilian, W. et P. Lory: Sur l'existence de brèches calcaires et polygéniques dans les montagnes situées au sud-est du Mont Blanc	09 II	88	
Kilian, W. et M. Pirouette: Sur les fossiles éocretaciques de la Nouvelle Calédonie	06 I	294	
Kilian, W., P. Termier et Ch. Lory: Nouvelles observations dans les Alpes occidentales	07 II	441	
Kindle, E. M.: The Niagara Domes of Northern Indiana 1905	II 104.	415	
Kinkel, F.: Verzeichnis der Säugetierreste aus dem Oligocän und Untermiocän des Mainzer Beckens	06 II	131	
Kip, H. Z.: A new method for the determination of the hardness of minerals	09 I	155	
Kišpatič, M.: Manganfayalit aus dem Agramer Gebirge	08 II	28	
— Vesuviasche aus Kotor (Cattaro) in Dalmatien	08 II	204	
Kiöbling, R., siehe Wolff, W.			
Kitchin, F. L.: The Jurassic Fauna of Cutch. Lamellibranchiata, Genus Trigonina	05 I	178	
— The Brachiopoda	05 I	180	
Kittl, E.: Geologie der Umgebung von Sarajevo	05 I	101	
— Salzkammergut	05 I	284	
— Beiträge zur Kenntnis der Triasbildungen der nordöstlichen Dobrudscha	08 I	418	
— Lunzer Schichten zwischen Göstling und Wildalpen	09 I	415	
Kjellmark, K.: Om några jämtländska kalktuff och blekeförekomster	05 I	313	

- Klaatsch, H.: Zur Deutung von Helicoprion KARP. 1905 II 132
 — Fossile Knochen aus der Heinrichshöhle bei Sundwig . . . 06 I 129
 — siehe Lissauer.
- Klarfeldt, H., siehe Zaloziecki, R.
- Klebs, R., siehe Caspary, R. und Klebs, R.
- Klein, C.: Ueber einen Zusammenhang zwischen optischen Eigenschaften und chemischer Zusammensetzung beim Vesuvian 05 I 35
 — Die Meteoritensammlung der Königlichen Friedrich Wilhelms-Universität zu Berlin am 21. Januar 1904 05 I 212
 — Mitteilung über Meteoriten 05 I 395
 — Ueber das Meteoreisen von Persimmon Creek bei Hot House, Cherokee Co., Nord-Karolina 05 I 395
 — Ueber Theodolithgoniometer 06 I 159
 — Studien über Meteoriten, vorgenommen auf Grund des Materials der Sammlung der Universität Berlin. 07 II 385
 — siehe Cohen, E.
 — siehe Wolff, F. v.
- Klein, G.: Die deutsche Braunkohlenindustrie. Handbuch für den deutschen Braunkohlenbergbau CBI 1908 152
- Kleinfeldt, E.: Studien am Eisenglanz von Dognacska . BB XXIV 325
 — Aetzfiguren am Eisenglanz und verwandte Erscheinungen BB XXVIII 661
- Kleinschmidt, A. und H. Limbrock: Die Gesteine des Profils durch das südliche Musarttal im zentralen Tian-Schan 09 I 224
- Klemm, G.: Bericht über Untersuchungen an sogen. „Gneisen“ und den metamorphen Schiefergesteinen der Tessiner Alpen
 — Ueber einen Einschluß im Marmor von Auerbach a. d. Bergstraße 05 II 48
 — Ueber einen bemerkenswerten Aufschluß im Melaphyr bei Messel 05 II 49
 — Ueber einige typische Fälle von granitischen Injektionen in Schiefergesteinen 06 II 58
 — Bericht über Untersuchungen an den sogen. „Gneisen“ und den metamorphen Schiefergesteinen der Tessiner Alpen. II. Ueber Blaszüge aus dem Melaphyr 06 II 208
 — Die Trachyte des nördlichsten Odenwaldes . 1907 I 57 08 I 194
 — Bericht über die Untersuchungen an den sogen. „Gneisen“ und den metamorphen Schiefergesteinen der Tessiner Alpen. III 08 II 198
 — Bericht über Untersuchungen an den sogen. „Gneisen“ und den metamorphen Schiefen der Tessiner Alpen. IV 08 II 200
 — Ueber das Schmirgelvorkommen vom Frankenstein bei Darmstadt und seine Beziehungen zu den dortigen Olivin-gabbros“ 09 I 178
 — Beobachtungen über die genetischen Beziehungen der Odenwälder Gabbros und Diorite 09 I 375
 — Ueber einige Basalte und basaltähnliche Gesteine des nördlichsten Odenwaldes 09 II 380
 — Ueber ein Vorkommen dünner, zur Justierung der Nicol'schen Prismen der Polarisationsmikroskope geeigneter Quarznädelchen CBI 1907 275
- Kloekmann, F.: Ueber kontaktmetamorphe Magnetitlagerstätten, ihre Bildung und systematische Stellung. 05 II 404
 — Ueber den Einfluß der Metamorphose auf die mineralische Zusammensetzung der Kieslagerstätten 05 II 406

	Jahrg. Bd. Seite
Klockmann, F.: Lehrbuch der Mineralogie	CBI 1907 216
— siehe Bruhns, W.	
Kloos, J. H.: Ueber einen neuen Aufschluß in den Brunsvicensis-Tonen östlich von Braunschweig	1906 I 284
— Ueber das Unterseno von Groß- und Klein-Biewende	06 I 285
— Die durch die neuesten Tiefbohrungen auf Kalisalz aufgedeckten Ueberschiebungen	06 II 416
— Die tektonischen Verhältnisse des Norddeutschen Schollengebirges auf Grund der neuesten Tiefbohrungen im Leinetal und bei Hannover sowie die Gliederung des Salzgebirges daselbst	06 II 416
— Ueber die neuesten Ergebnisse der Kalisalzbohrungen und die Schachtaufschlüsse in der Provinz Hannover	06 II 416
Klose, H.: Die alten Stromtäler Vorpommerns, ihre Entstehung, ursprüngliche Gestalt und hydrographische Entwicklung im Zusammenhange mit der Litorina-Senkung	1905 I 473
— siehe Elbert, J.	06 II 434
Knebel, W. v.: Basaltmaare im Taunus	07 I 228
— Vergleichende Studien über die vulkanischen Phänomene im Gebiete des Tafeljura	07 I 375
— Ueber die Lavavulkane auf Island	08 I 216
— <i>Vorläufige Mitteilung über die Lagerungsverhältnisse glazialer Bildungen auf Island und deren Bedeutung zur Kenntnis der diluvialen Vergletscherungen</i>	CBI 1905 535
— <i>Der Nachweis verschiedener Eiszeiten in den Hochflächen des inneren Islands. (Vorläufige Mitteilung).</i>	CBI 1905 546
— <i>Zur Frage der diluvialen Vergletscherungen auf der Insel Island</i>	CBI 1906 232
Knett, J.: Vorläufiger Bericht über das erzgebirgische Schwarmbeben 1903 vom 13. Februar bis 25. März, mit einem Anhang über die Nacherschütterungen bis Anfang Mai	05 I 50
— Das Erdbeben am österreichischen Pfahl am 26. November 1902	05 I 50
— Ueber ein Schwefelkieslager bei Jasztrabje in Ungarn	05 I 100
— Von den Erdbränden bei Karlsbad	05 I 256
— Indirekter Nachweis von Radium in den Karlsbader Thermen	05 II 343
— Kritische Bemerkungen über den Wert eines physikalisch-chemischen Zentrallaboratoriums, bzw. solcher Untersuchungen namentlich für geologisch-hydrologische Fragen	06 I 402
Knies, J.: Ein neuer Fund des diluvialen Menschen bei Mladeč in Mähren	07 I 452
— Spuren des diluvialen Menschen und fossile Fauna der Höhlen von Ludmirow	07 I 452
Knight, C. W.: A new occurrence of Pseudo-Leucite	1907 I 202
— siehe Campbell, W. and Knight, C. W.	08 I 236
— siehe Kemp, J. F.	
— siehe Read, T. T.	
Knight, N.: The Dolomites of Eastern Iowa	05 II 393
— Notiz über die Bestimmung von Ferroisen	09 I 7
Knod, R.: <i>Devonische Faunen Boliviens</i>	BB XXV 493
Knopf, A. and W. T. Schaller: Two new boron minerals of contactmetamorphic origin	09 II 342
Knowlton, F. H., siehe Stanton, T. W.	
Ko, S.: Crystallisation of the Pyrite from Sagi (Izumo province)	09 I 169

- K o b e l l, F. v.: Tafeln zur Bestimmung der Mineralien mittels einfacher chemischer Versuche auf trockenem und nassem Wege. 15. Aufl. von K. OEBEKKE CBI 1908 47
- K o b y, M. F.: Sur les polypiers jurassiques des environs de St.-Vallier-de-Thiery (A.-M.) 1907 I 486
- Polypiers bathoniens de St. Gaultier (Département de l'Indre) 09 I 293
- K o c h, A.: Neuer Beitrag zur früheren Verbreitung des Mufflons
- Basaltlakkolith im Várhegy von Ajnácskö 05 I 323
- Tarnócz im Komitat Nógrád, als neuer, reicher Fundort fossiler Haifischzähne 05 II 479
- Ergänzung zur Haifischfauna des untermediterranen Sandsteines von Tarnócz. *Notidanus diffusidens* n. fr. 05 II 479
- Fossile Haifischzähne und Säugetierreste von Felsőesztergály im Komitate Nógrád 06 I 125
- Kleinere paläontologische Mitteilungen 06 I 153
- Die geologischen Verhältnisse des Bergzuges von Rudobánya—Szt. András 06 II 78
- Neuere Beiträge zu den geo-paläontologischen Verhältnissen des Bevčiner Zementmergels 07 II 128
- K o c h, K. R.: Relative Schweremessungen in Württemberg. II. Mit einem Anhang: Ein Hypsometer mit elektrischer Temperaturmessung 06 II 46
- Relative Schweremessungen in Württemberg III. Mit einem Anhang: Versuche, dem Magazinthermometer und dem Pendel gegen Temperaturänderungen die gleiche Trägheit zu geben 06 II 46
- Relative Schweremessungen in Württemberg IV 06 II 46
- K o c h, M.: Mitteilung über Olivindiabase aus dem Oberharze
- K o c h, P. P.: Ueber eine neue Methode zur Untersuchung auf Pyroelektrizität 05 II 333
- siehe B e c k e n k a m p, J.
- K o c h, V. v.: Ueber die Molluskenfauna aus dem Löß des Gipsbruches von Thiede bei Wolfenbüttel 05 I 309
- K o c k, A. C. de: Ueber Bildung und Umwandlung von fließenden Mischkristallen 05 II 173
- K ö b r i c h: Magnetische Erscheinungen an Gesteinen des Vogelsberges, insbesondere an Bauxiten 07 I 43
- K ö c h l i n, R.: Analyse von Dognacskaít 06 II 15
- Cölestin von Häring in Tirol 06 II 23
- Ueber den österreichischen Euklas 07 II 25
- Ueber Pyrit von Rudobánya 09 I 168
- K ö h l e r, G.: Die „Rücken“ in Mansfeld und in Thüringen, sowie ihre Beziehungen zur Erzführung des Kupferschieferflözes CBI 1906 243
- K o e h l e r, R. et A. B a t h e r: *Gephyrocrinus Grimaldii*, crinoïde nouveau provenant des campagnes de la Princesse Alice 07 II 155
- K o e h n, W. und F. C. S c h u l z: *Ueber die Basaltvorkommnisse bei Heiligenstadt in Oberfranken nebst Bemerkungen über die Tektonik im nördlichen Frankenjura* CBI 1906 390
- K o e h n e, W.: Sigillarienstämme, Unterscheidungsmerkmale, Arten, geologische Verbreitung, besonders mit Rücksicht auf die preußischen Steinkohlenreviere 08 I 157
- K o e n e n, A. v.: Ueber die untere Kreide Helgolands und ihre Ammonitiden 05 I 466

- Ko en en, A. v.: Ueber die Lagerung der Schichten im Leinetal in der Gegend von Alfeld 1906 II 416
- Nochmals die Lagerung der Schichten im Leinetale 06 II 416
- Ueber Wirkungen des Gebirgsdruckes im Untergrunde in tiefen Salzbergwerken 1907 I 87. 416
- Ueber den Buntsandstein des Solling. Bericht über die wissenschaftlichen Ergebnisse der Aufnahmen 1901—1902 07 I 431
- Ueber das Auftreten der Gattungen und Gruppen von Ammonitiden in den einzelnen Zonen der unteren Kreide Norddeutschlands 08 I 265
- Ueber scheinbare und wirkliche Transgressionen 08 II 78
- Ueber das Verhalten und das Alter der Störungen in der Umgebung der Sackberge und des Leinetales bei Alfeld und Elze 08 II 80
- Ueber Kalksteinkonkretionen und fossilführende Kalke an der Basis des Röt. 08 II 85
- Zur Entstehung der Salzlager Nordwestdeutschlands 09 I 423
- *Ueber Posidonia Becheri im produktiven Carbon und die Stellung von Anthracosia* CBI 1905 308
- *Ueber Anthracosia und Palaeonodonta. Berichtigung* CBI 1908 65
- *Bemerkungen zur Gliederung der unteren Kreide* CBI 1908 289
- Ko en en, A. v. und O. Grupe: Blatt Hardegsen 07 II 93
- Ko en en, A. v., O. Grupe und M. Schmidt: Blätter Dassel, Lauenberg 07 II 93
- Ko en en, A. v., G. Müller und O. Grupe: Blatt Alfeld 07 II 93
- Ko en en, K.: Die Zeitstellung der beiden Neandertaler Menschen 05 II 301
- K ö n i g, G. A.: Ueber die künstliche Darstellung von Kristallen des Mohawkits, des Domeykits, des Argentodomeykits, des Stibiodomeykits, des Keweenawits und anderer Arsenide 05 II 5
- K ö n i g s, E.: Die Eiszeit und ihre Spuren in der Nachbarschaft von Krefeld 05 I 482
- K ö n i g s b e r g e r, J.: Ueber den Temperaturgradienten der Erde bei Annahme radioaktiver und chemischer Prozesse 07 II 399
- Ueber die Beeinflussung der geothermischen Tiefenstufe durch Berge und Täler, Schichtstellung, durch fließendes Wasser und durch Wärme erzeugende Einlagerungen 08 I 211
- *Geologische Beobachtungen am Pizzo Forno (Schweiz, Kanton Tessin) und Beschreibung der Minerallagerstätten des Tessinermassivs* BB XXVI 488
- *Danburit aus dem Syenit des Piz Giuf.* CBI 1905 377
- *Ueber die Methoden zur Bestimmung der Wärmeleitfähigkeit von Gesteinen und den Einfluß verschiedener Wärmeleitfähigkeit auf die Geoisothermen* CBI 1907 200
- *Normale und anormale Werte der geothermischen Tiefenstufe* CBI 1907 673
- *Ueber einen Apparat zur Erkennung und Messung optischer Anisotropie undurchsichtiger Substanzen und dessen Verwendung* CBI 1908 565. 597
- *Vorrichtung zur Erkennung und Messung geringster Doppelbrechung* CBI 1908 729
- *Methoden zur Erkennung und Messung optischer Anisotropie undurchsichtiger Substanzen. (2. Mitteilung.)* CBI 1909 245
- *Nachtrag zu „Vorrichtung zur Erkennung und Messung geringster Doppelbrechung“* CBI 1909 746
- K ö n i g s b e r g e r, J. und W. J. Müller: *Ueber die Flüssigkeitseinschlüsse im Quarz alpiner Mineralklüfte* CBI 1906 72

- Königsberger, J. und W. J. Müller: *Versuche über die Bildung von Quarz und Silikaten. (Erste Mitteilung.)* CBI 1906 339. 353
- Königsberger, J. und O. Reichenheim: *Ueber die Elektrizitätsleitung einiger natürlich kristallisierter Oxyde und Sulfide und des Graphits. Nebst Anhang: Ueber einige polymorphe Modifikationen* 1906 II 20
- — *Ueber das Verhalten einiger kristallisierter natürlicher Metallsulfide und -oxyde gegen elektrische Strömung und gegen Strahlung* CBI 1905 454
- Körbs, A.: *Ueber die abweichende Lösungsgeschwindigkeit verschiedenartiger Kristallflächen im Wasser* 08 II 151
- *Beobachtungen über Variationen der Kristalltracht des Chlornatriums* 08 II 158
- Koert, W.: *Notiz über die Auffindung von Kelloway bei Tanga (Deutsch-Ostafrika)* 06 I 283
- *Ueber lateritische Verwitterung in der Umgegend von Amani (Ostusambara)* 06 II 55
- *Geologisch-agronomische Untersuchung der Umgegend von Amani in Ost-Usumbara. Mit einer geologisch-agronomischen Uebersichtskarte.* 06 II 421
- Kohler, E.: *Die Amberger Lagerstätten* 05 I 258
- Kohlmann, H.: *Beiträge zur Kenntnis des brasilianischen Berylls* BB XXV 135
- Kohnen, W. V.: *Der Lyngsberg bei Mehlem* 08 II 197
- Koken, E.: *Helicoprion im Productus-Kalke der Salt Range* 05 II 132
- *Geologische Beiträge aus Südtirol* 06 II 1
- *Die diluvialen Tiere vom Sirgenstein* 08 I 104
- *Die steinzeitlichen Funde bei Niedernau* 08 I 104
- *Ueber Hybodius* 09 I 456
- *Das Diluvium von Gafsa (Südtunesien) und seine prähistorischen Einschlüsse* 09 II 1
- *Diluvialstudien* 09 II 57
- *Neue Plesiosaurierreste aus dem norddeutschen Wealden* CBI 1905 631
- *Productus Purdoni im Perm von Kaschmir* CBI 1906 129
- *Indisches Perm und die permische Eiszeit. Nachträge* CBI 1908 449
- *Neue Anordnung der Sammlungen des geologischen Instituts in Tübingen* CBI 1909 123
- *Nachwort (zu Walther, J.: Ueber das Zitieren von Abbildungen)* CBI 1909 538
- *Vorläufige Entgegnung an Herrn Arrhenius* CBI 1909 539
- *Moderne Zitate* CBI 1909 353
- *Indisches Perm und die permische Eiszeit* Festband 446
- siehe Noetling, F.
- Koken, E. und F. Noetling: *Das Erdbeben im Kangra-Tal (Himalaja) vom 4. April 1905* CBI 1905 332
- Kolatschewsky, W., siehe Fedorow, E.
- Kolbeck, F., (siehe auch Plattner, C. F.)
- *Ueber ein zweites altes Freiburger Vorkommen von Argyrodit (Plusinglanz)* CBI 1908 331
- *Das erste deutsche Childrenitvorkommen aus dem Granit des Greifensteins bei Ehrenfriedersdorf im sächsischen Erzgebirge* CBI 1908 333
- *Ueber ein Vorkommen von Brookit in Trümmern des Freiburger Gneises* CBI 1908 547
- Kolbeck, F. und Goldschmidt, V.: *Whewellit mit neuen Formen und neuem Zwillingengesetz* CBI 1908 659

- Kolbeck, F. und M. Henglein: Ueber ein neues Vorkommen von Euklas aus dem Pegmatite von Döbschütz bei Görlitz in Schlesien.* CBI 1908 365
- — *Ein neues Vorkommen von Phenakit aus den Zinnerzgängen von Ehrenfriedersdorf im Erzgebirge.* CBI 1908 365
- — *Zwei neue Phenakitvorkommen in Schlesien.* CBI 1908 549
- Kolderup, C. F.: Jordskjaelv i Norge 1903.* 1905 I 53
- *Jordskjaelvet den 23. oktober 1904.* 06 I 201
- *Jordskjaelv i Norge 1904.* 06 I 202
- *Jordskjaelv i Norge i 1905. Anhang: Registrierungen an der seismischen Station zu Bergen im Jahre 1905.* 07 I 219
- Koleneč, F.: Ueber einige leukokrate Ganggesteine vom Monzoni und Predazzo.* 05 II 218
- Kolesch, K.: Ueber die Verbreitung der Gervillia Murchisoni GEIN. in Ostthüringen.* CBI 1909 12
- Koniouchevsky, L. et P. Kovalew: Les gisements de fer de la région minière de Bakal.* 06 II 222
- Kormos, Th.: Die pleistocäne Mollusken-Fauna im Ostabschnitte des Gebietes jenseits der Donau.* 07 I 445
- *Ueber die diluvialen Neritinen der Umgebung des Balatonsees.* 07 I 446
- *Vorläufiger Bericht über eine interessante pleistocäne Molluskenfauna in Südungarn.* 07 II 460
- Korn, J.: Ueber Oser bei Schönlanke.* 09 I 108
- Koroniewicz, P.: Der Jura von Wielun in Polen.* 08 I 261
- Korsuchin, J.: Die Tschuktschenhalbinsel, Ostasien.* 08 I 409
- Kossmat, F.: Das Gebirge zwischen dem Bača-Tale und der Wocheiner Save.* 05 I 448
- *Umgebung von Raibl (Kärnten).* 07 I 273
- *Ueber die Lagerungsverhältnisse der kohlenführenden Raibler Schichten von Oberlaibach.* 07 II 122
- *Das Gebiet zwischen dem Karst und dem Zuge der Julischen Alpen.* 09 I 416
- *Bemerkungen über die Ammoniten aus den Asphaltstiefen der Bara-Bai (Buru).* BB XXII 686
- Kossmat, F. und C. v. John: Das Mangan-Eisenerzlager von Macskamező in Ungarn.* 07 I 78
- Kovalew, P., siehe Koniouchevsky, L.*
- Krämer, R.: Kleinasiatische Smirgelvorkommnisse.* 08 II 297
- Krahmann, M.: Ueber Lagerstätten-Schätzungen, im Anschluß an eine Beurteilung der Nachhaltigkeit des Eisenerzbergbaues an der Lahn.* 07 I 250
- *Das Erz- und Flußspatvorkommen am Rabenstein im Sarnthal (Südtirol).* 08 I 242
- Kramberger, Gorjanovic, K., siehe Gorjanovic-Kramberger, K.*
- Kranz, W.: Geologie des Strangenbergs bei Rujach (Oberelsaß).* BB XXVI 44
- *Hebung oder Senkung des Meeresspiegels?* BB XXVIII 574
- *Ein Vorkommen von seitlichem Zusammenschub im Buntsandstein der Vogesenvorberge von Sulzmatt; Hebungen oder Senkungen in Massengebirgen?* CBI 1907 489
- *Bemerkungen zur 7. Auflage der geologischen Uebersichtskarte von Württemberg, Baden, Elsaß usw. nebst Erläuterungen von C. Regelmann.* CBI 1908 556. 589. 610. 651
- Krasser, F.: Kritische Bemerkungen und Uebersicht über die bisher zutage geförderte fossile Flora des unteren Lias der österreichischen Voralpen.* 08 II 448

- Krasser, F.: Fossile Pflanzen aus Transbaikalien, der Mongolei und Mandchurei 1909 I 463
- Die Diagnosen der von DIONYSIUS STUR in der obertriadischen Flora der Lunzer Schichten als Marattiaceenarten unterschiedenen Farne 09 I 464
- Zur Kenntnis der fossilen Flora der Lunzer Schichten 09 II 156
- Kraus, E. H.: The occurrence of Celestite near Syracuse, N. Y., and its relation to the vermicular limestones of the Salina Epoch 1905 II 192 07 II 223
- Occurrence and distribution of Celestite-bearing rocks 1906 II 345 07 II 223
- Interpretation of the chemical composition of the mineral Benitoite 08 II 303
- Essentials of crystallography CBI 1907 154
- Kraus, E. H. and C. W. Cook: Datolite from Westfield, Massachusetts 07 II 24
- Kraus, E. H. and W. F. Hunt: Das Vorkommen von Schwefel und Cölestin bei Maybee, Michigan 1906 II 345 07 I 33
- Die Beziehungen von cölestinführenden Gesteinen zur Bildung von Schwefel und Schwefelwasserstoff 06 II 345
- Krause, P. G.: Ueber das Vorkommen von Kimmeridge in Ostpreußen 05 I 129
- Ueber Endmoränen im westlichen Samlande 06 I 119
- siehe Kaunhoven, F.
- Kraut, siehe Gmelin-Kraut.
- Krebs, W.: Geophysikalische Gesichtspunkte bei Beurteilung des Wassereintruchs in die Mansfelder Kupferschiefergruben vom Oktober 1907 09 II 372
- Krecke, F.: Sind die Roteisensteinlager des nassauischen Devon primäre oder sekundäre Bildungen? 06 II 225
- Krejčí, A.: Das Gold aus der Otava bei Písek und die vergesellschafteten Mineralien 05 I 365
- Fluorit von Topělec bei Písek 05 II 178
- Zirkon und Monazit von Písek 08 I 332
- „Havirky“, Píseker Goldbergbau 08 I 403
- Das Gold vom Otavafusse 09 I 334
- Krenkel, E., siehe Daqué, E. und E. Krenkel.
- Krenner, J.: Manganspinelle in der Hochofenschlacke von Menyháza 08 II 168
- Die Kristallform und optischen Eigenschaften des SCHULLERschen Arsensulfids. Ueber den Dimorphin der Solfatara in den Phlegräischen Feldern 08 II 294
- Kretschmer, F.: Die nutzbaren Minerallagerstätten der archaischen und devonischen Inseln Westmährens 05 II 234
- Neues Vorkommen von Manganerz bei Sternberg in Mähren 1906 I 332 07 I 78
- *Neue Mineralien vom Eisenerzbergbau Gobitschau nächst Sternberg (Mähren)* CBI 1905 195
- *Die Zeolithe am Fellberge in Petersdorf nächst Zöptau (Mähren)* CBI 1905 609
- *Die Leptochlorite der mähr.-schles. Schalssteinformation* CBI 1906 293
- *Mineralien, Eisenerze und Kontaktgebilde auf dem Schalssteinzuge Sternberg—Bennisch* CBI 1907 289. 321
- Kreutz, St.: Ueber die Ausbildung der Kristallform bei Calcitzwillingen 08 I 176
- Kalkspatzwilling von Brevig 09 II 190
- Ueber Zwillingskristalle des Calcites von Guanajuato (Mexiko) 09 II 190

- Kristafowitsch, N.: Bibliographische Notiz zu dem Artikel von Herrn L. Iwanoff: „Ein wasserhaltiges Calciumcarbonat aus der Umgebung von Nowo-Alexandria, Gouv. Lublin“ 1907 II 358
- Krogh, A.: Tension de l'acide carbonique dans la mer et influence réciproque de l'acide carbonique de la mer et de celui de l'atmosphère 07 II 54
- Krumbeck, L.: Die Brachiopoden- und Molluskenfauna des Glandarienkalkes 06 I 278
- *Kurze vorläufige Mitteilung über eine neue obertriadische Fauna aus den Molukken* CBl 1908 562
- Krusch, P.: Die Zusammensetzung der westfälischen Spaltenwässer und ihre Beziehungen zur rezenten Schwespatbildung 06 II 73
- Das Goldvorkommen von Roudny in Böhmen 06 II 380
- Inwieweit lassen sich die Erze als Leiterze benutzen? 08 I 400
- Die Einteilung der Erze mit besonderer Berücksichtigung der Leiterze sekundärer und primärer Teufen 09 I 76
- Die Untersuchung und Bewertung von Erzlagerstätten CBl 1908 46
- Kruse, J.: *Das Vorkommen und die Eigenschaften des Anglesites aus dem Siegerlande* BB XXVII 541
- Kryžanowsky, W.: Asbest, seine Lagerstätten, Ausbeute, Bearbeitung und die begleitenden Mineralien 09 II 346
- Lagerstätte von Serpentinasbest auf den Datschen Bereosowskaja, Kamenskaja und Monetnaja im Ural 09 II 346
- Ktenas, K. A.: Die Einlagerungen im kristallinen Gebirge der Kykladen auf Syra und Siphnos 09 II 223
- *Ueber die eruptiven Bildungen des Parnesgebirges in Attika* CBl 1909 557
- Küppers, E.: *Bemerkungen zu „Franz Treubert, Die Sonne als Ursache der hohen Temperatur in den Tiefen der Erde, der Aufrichtung der Gebirge und der vulkanischen Erscheinungen. München 1904“* CBl 1905 82
- Küster, F. W.: Lehrbuch der allgemeinen physikalischen und theoretischen Chemie CBl 1906 748
- Küster, H.: Zur Morphographie und Siedelungskunde des oberen Nahegebiets 09 I 199
- Kuntz, J.: Kupfererzvorkommen in Südwestafrika 06 I 233
- Kunz, G. F.: Native Bismuth and Bismite from Pala, California
- HEBER REGINALD BISHOP and his Jade Collection 05 I 29
- The HEBER R. BISHOP collection of Jade and other hard stones 05 I 29
- Californite (Vesuvianite) 05 I 34
- The production of precious stones in 1903 06 I 356
- The production of precious stones in 1904 07 II 41
- Gems, Jewelers' Materials and Ornamental Stones of California 07 II 41
- HENRI MOISSAN 09 I 1
- The Diamond and Moissanite, Natural, Meteoric and Artificial 09 I 7
- Diamond in Arkansas 09 I 164
- siehe Baskerville, Ch.
- Kunz, G. F. and Ch. Baskerville: The Action of Radium, Roentgen Rays and Ultra-Violet Light of Minerals and Gems 05 I 8
- Kunz, G. F. and H. S. Washington: Note on the forms of Arkansas diamonds 09 I 164
- Kunz, J.: *Ueber die magnetischen Eigenschaften des Hämatits* 07 I 62

Küppert, H.: Chemische Unterrichtsversuche: 1. Reduktion des Calciumcarbonats. 2. Glühen des Kalkspats	1908	I	178
Kurnakow, N. S. und S. F. Zemczuznyi: Isomorphismus der Kalium- und Natriumverbindungen	08	II	149
Kusakabe, S.: Modulus of Rigidity of Rocks and Hysteresis Function	06	I	199
— Modulus of Elasticity of Rocks and Velocities of seismic Waves with a Hint to the Frequency of After-Shocks	08	I	47
Kynaston, H.: Notes on contact metamorphism round the Cheviot granite	05	I	430
— On some tufts associated with the andesitic lavas of Lorne	05	I	431

L.

Laar, J. J. van: Ueber den Verlauf der Schmelzkurven bei festen Lösungen (oder isomorphen Gemischen) in einem speziellen Fall	07	II	22
Labrie, J.: Les dépôts aquitaniens et les limites des mers aquitaniennes en Entre-deux-mers	05	II	433
Laby, T. H., siehe Mawson, D.			
Lackner, Ant.: Die Schwefelkiesgrube in Kazanesd, Komitat Hunyad	06	I	234
Lacroix, A.: Sur une nouvelle espèce minérale	05	I	33
— Les éruptions de la Martinique	05	I	224
— Sur les granites à aegyryne et riebeckite de Madagascar et sur leurs phénomènes de contact	05	I	248
— Sur quelques faits d'endomorphisme observés dans les ruines de St. Pierre (Martinique)	05	I	255
— La cordiérite dans les produits éruptifs de la Montagne Pelée et de la Soufrière de Saint-Vincent	05	I	255
— Les enclaves basiques des volcans de la Martinique et de Saint-Vincent	05	I	255
— Sur une pseudomorphose d'insecte en nouméite	05	I	365
— Observations sur la cristallisation du zinc par recuit, faites dans les ruines incendiées de Saint-Pierre (Martinique)	05	I	368
— A propos de la plumasite, roche à corindon	05	I	372
— Sur le gisement de la calcédoine et des bois silicifiés de la Martinique	05	I	373
— Matériaux pour la minéralogie de Madagascar. Les roches alcalines caractérisant la province pétrographique d'Ampasindava	05	I	434
— Note sur la minéralogie de Tahiti	06	I	71
— Sur un nouveau minéral, la giorgiosite	06	II	13
— Sur un cas curieux de cristallisation du chlorure de sodium au cours de l'éruption de la Montagne Pelée	06	II	157
— Observation faites à la Montagne Pelée sur les conditions président à la production de la tridymite dans les roches volcaniques	06	II	160
— Sur un gisement de redontite à la Martinique	06	II	171
— Sur la grandidiérite	06	II	171
— Le sulfate de soude des fumerolles secondaires à haute température de la Montagne Pelée	07	I	32
— Matériaux sur les météorites pierreuses	07	I	357
— Sur un nouveau type pétrographique représentant la forme de profondeur de certains leucotéphrites de la Somma.	07	II	403

Lacroix, A.: Conclusions à tirer de l'étude des enclaves homoeogènes pour la connaissance d'une province pétrographique. — Santorin	1907	II	406
— Les carbonates basiques de magnésie de l'éruption de Santorin en 1866	07	II	406
— Sur quelques roches ijolitiques du Kilima-Ndjaru	07	II	412
— Sur les microgranites alcalins du territoire de Zinder	07	II	413
— Les roches éruptives basiques de la Guinée française	07	II	414
— Les syénites néphéliniques des îles de Los (Guinée française)	07	II	414
— Les conglomérats des explosions vulcaniennes du Vésuve, leurs minéraux, leur comparaison avec les conglomérats trachytiques du Mont-Dore	08	I	42
— Les avalanches sèches et les torrents boueux de l'éruption récente du Vésuve	08	I	43
— Sur l'éruption du Vésuve et en particulier sur les phénomènes explosifs	08	I	43
— Sur la constitution minéralogique du dôme récent de la Montagne Pelée	08	I	46
— Sur les facies de variation de certaines syénites néphéliniques des îles de Los	08	I	226
— Sur la transformation de roches volcaniques en phosphate d'alumine sous l'influence de produits d'origine physiologique	08	I	227
— Les cristaux de sylvite des blocs rejetés par la récente éruption du Vésuve	08	I	326
— Sur une espèce nouvelle des fumerolles à haute température de la récente éruption du Vésuve	08	I	327
— Sur quelques produits des fumerolles de la récente éruption de Vésuve et en particulier sur les minéraux arsénifères et plombifères	08	I	328
— La météorite de Saint-Christophe-la Chartreuse près Rocheservière (Vendée), 5 Novembre 1841	08	II	178
— Les produits laviques de la récente éruption du Vésuve	08	II	211
— Note sur la minéralogie du pays Mahafaly (Madagascar)	09	I	71
— Sur la constitution minéralogique du dôme récent de la Montagne Pelée	09	I	71
— Sur l'existence du fluorure de sodium cristallisé comme élément des syénites néphéliniques des îles de Los	09	I	164
— Sur les minéraux des fumerolles de la récente éruption de l'Etna et sur l'existence de l'acide borique dans les fumerolles actuelles du Vésuve	09	I	165
— Sur une nouvelle espèce minérale provenant du Congo français	09	I	191
— Sur deux gisements nouveaux de métavoltite	09	I	194
— Sur la constitution pétrographique du massif volcanique du Vésuve et de la Somma	09	I	221
— Les phénomènes de contact du trachyte phonolitique du Griounot (Cantal)	09	II	228
— La Montagne Pelée et ses éruptions	CBI 1906		81
Lagatu, H., siehe Delage, A.			
Lagerheim, G.: Untersuchungen über fossile Algen. I.—II.	05	II	330
— Om lämningar af Rhizopoder, Heliozoer och Tintinnider i Sveriges och Finlands lakustrina kvartäraflagingar	09	I	280
— Om <i>Quadrula subglobosa</i> LAG.	09	I	280
Lake, J. V.: The Deposition of Alluvial Gold	05	I	257
Lake, P.: The Circular Form of Mountain Chains	05	I	231
— Atmospheric erosion in Corsica	06	I	45

	Jahrg.	Bd.	Seite
L a m b e, L. M.: The lower jaw of <i>Dryptosaurus incrassatus</i> COPE	1905	II	131
— On <i>Dryptosaurus incrassatus</i> COPE, from the Edmonton series of the North West Territory	05	II	131
— Description of new species of <i>Testudo</i> and <i>Baena</i> with remarks on some cretaceous forms	06	II	137
— On a new Crocodylian genus and species from the Judith River formation of Alberta	09	I	450
— siehe O s b o r n, H. F.			
L a m b e r t, J.: Échinides in Note sur l'Infralias de la Vendée et des deux Sèvres	05	II	147
— Note sur un <i>Codiopsis</i> nouveau de la craie de Touraine	05	II	149
— Note sur quelques nouveaux échinides crétaées de Madagascar	05	II	149
— Description des échinides crétaées de la Belgique. I. Étude monographique sur le genre <i>Echinocorys</i>	06	I	155
— Souvenirs géologiques sur le Sénonais	06	I	290
— Échinides du sud de la Tunisie (environs de Tatahouine)	07	II	156
— Notes sur quelques échinides éocéniques de l'Aude et de l'Hérault	07	II	156
— Étude sur les échinides de la Molasse de Veuce	07	II	156
— Les formes inférieures de la vie dans les faluns de Touraine	09	II	480
— Recherches sur le genre <i>Amphiope</i>	09	II	481
— Sur un oursin de Timor	09	II	482
— Sur un <i>Plesiolampas</i> de l'Afrique centrale	09	II	482
L a m b e r t, J. et L. H. S a v i n: Note sur deux échinides nouveaux de la molasse burdigalienne dite de Veuce (Alpes maritimes)	07	II	155
— — Notes sur deux échinides nouveaux des Alpes maritimes	1907	II	155
	09	II	481
L a m b e r t, J. et P. Thiéry: Revision des échinides jurassiques du département de la Haute-Marne	09	II	480
L a m b e r t, P. et P. L e m o i n e: Sur deux oursins nouveaux du jurassique inférieur de Madagascar	09	II	482
L a m o t h e, de: Les anciennes lignes de rivage du Sahel d'Alger	1907	II	50. 396
— Les terrasses de la vallée du Rhône en aval de Lyon	08	I	221
L a m y, E.: Liste des Arches conservées avec étiquettes de LAMARCK dans les collections du Musée de Paris	05	I	358
L a n d a u e r, J.: Die Lötöhranalyse	CBI	1908	183
L a n d i n, J.: Radium in Schweden	06	I	326
L a n e, A. C.: The role of possible eutectics in rock magmas	06	II	197
— Die Korngröße der Auvergnosen	07	II	215
— Studies of the Grain of Igneous Intrusives	07	II	416
— Porphyritic Appearance of Rocks	07	II	416
— The geologic day	08	II	339
— The chemical evolution of the ocean	08	II	345
— Mine Waters	09	II	78
L a n g, J.: Beitrag zur Kenntnis der Erzlagertstätte am Schauinsland	05	II	78
L a n g, R.: Ueber die Lagerung und Entstehung des mittleren Keupers im südlichen Württemberg	CBI	1909	41
— Ueber Kaolinit in Sandsteinen des schwäbischen mittleren Keupers	CBI	1909	596
L a n g, W. D.: The zone of <i>Hoplites interruptus</i> (BRUGIÈRE) at Black Ven, Charmouth	06	II	264

L a n g e , A.: Ueber das Verhalten von kohlenurem Kalk zu Kobaltsalzen	1905	II	358
L a n g e n h a n , A.: Schädel eines Höhlenwolfs im Kitzelberg bei Kauffung im Katzbachtal	05	I	504
— Funde fossiler Tierreste am Kitzelberg bei Kauffung im Katzbachtal	05	I	504
L a n g e r f e l d , H.: Beiträge zur Kenntnis der strukturellen und mineralogischen Eigentümlichkeiten der granitischen Gesteine der Zinnerzlagerstätten in Cornwall	BB	XXVIII	1
L a n g g u t h , E.: Leucit, ein Rohstoff für Kali- und Aluminiumdarstellung	07	I	262
L a n g l e y , P. S.: The greatest flying creature. (Introducing a paper by F. A. LUCAS)	05	I	516
L a p p a r e n t , A. de: Sur la signification géologique des anomalies de la gravité	05	I	45
— A propos des couches rouges du Limbourg	05	I	455
— Les roches rouges du bassin campinois	05	I	455
— Note sur les Calcaires à Productus du Salt Range	05	II	282
— Importantes découvertes paléontologiques dans le Soudan français	07	II	264
L a p p a r e n t , J. de: Sur deux modes d'individualisation de l'albite dans le massif de microgranite de Genis (Corrèze)	09	II	229
L a s a u l x , A. v., siehe C o r n u , F.			
L á s k a , W.: Ziele und Resultate der modernen Erdforschung. IV. Das Erdinnere	05	I	222
L a ß w i t z , K.: Die Kreide-Ammoniten von Texas (Collectio F. ROEMER)	06	I	313
L a u b e , G. C.: Die böhmischen Bitterwässer	06	II	191
L a u b y : Sur le niveau diatomifère du ravin des Egravats près le Mont Dore	05	II	432
L a u n a y , F. et E. M a i l l e t : Sur le débit probable des sources dans les bassins de la Seine pendant le second semestre de 1905	07	II	426
L a u n a y , L. de: Sur la réduction d'oligiste en magnétite par les hydrocarbures	05	I	258
— Sur l'association géologique du fer et du phosphore et la déphosphoration des minerais de fer en métallurgie naturelle	06	I	48
— Sur le rôle du phosphore dans les gites minéraux	06	I	49
— Sur la répartition des éléments chimiques dans la terre et sa relation possible avec leurs poids atomiques	06	I	50
— La formation charbonneuse supracrétacée des Balkans. Annexe I. H. DOUVILLÉ: Sur quelques fossiles de la région à charbon des Balkans. Annexe II. R. ZEILLER: Sur quelques empreintes végétales de la formation charbonneuse supracrétacée des Balkans	06	I	428
— Notes sur la théorie des gites minéraux. I. La géologie du graphite. II. Le rôle du titane en géologie. III. Observations sur les kaolins de Saint-Yrieix	07	II	240
— L'origine et les caractères des gisements de fer scandinaves, Taberg, Routivara, Svappavara, Gellivara, Grängesberg, Norberg, Dannemora, Dunderslandsdal etc.	07	II	243
— Observations géologiques sur quelques sources thermales	08	II	68
— L'hydrologie souterraine de la Dobroudja bulgare	08	II	223
— Sur la rencontre du granite dans la cheminée diamantifère de Beers	09	II	236

- Launay, L. de: L'or dans le monde. Géologie, extraction, économie politique. CBI 1907 696
- Laur, F.: Le terrain houiller en Lorraine française 1907 II 283
- Laurent, L.: Les progrès de la paléobotanique angiospermique dans la dernière décade 09 I 144
- Laus, H.: Die mineralogisch-geologische und prähistorische Literatur Mährens und Oesterr.-Schlesiens von 1897—1904 06 I 348
- Lavard, N. F.: Further excavations on a palaeolithic site in Ipswich 07 I 295
- Laville, A.: Les Pseudo-Éolithes du Sénonien et de l'Éocène inférieur 08 I 282
- Sur le dernier sol paléolithique aux environs de Paris 08 I 285
- Le Pliocène à *Elephas meridionalis* NESTI dans le département de la Seine 08 I 435
- Gisement Chelléo-Moustiérien d'Arcueil 08 I 437
- Laville et Rollain: Sur la présence du *Spermophilus superciliosus* KP. dans ses terriers de la fin du quaternaire aux Hautes-Bruyères (Seine) 08 I 285
- Lavis, H. J. Johnston, siehe Johnston-Lavis, H. J.
- Lawson, A. C.: The Geomorphogeny of the Upper Kern Basin 05 II 101
- The eparchaean Interval. A criticism of the use of the term Algonkian 05 II 229
- Plumasite, an oligoclas-corundum rock near Spanish Peak, California 07 II 76
- The orbicular gabbro at Dehesa, San Diego Co., California 07 II 77
- Lazarevič, M.: Kristallisierter Chromit aus Südserbien 09 II 335
- siehe Cornu, F. und Lazarevič, M.
- Leardi, Z.: Foraminiferi eocenici di S. Gensio (Collina di Torino). 07 I 328
- Il *Conulites aegyptiensis* CHAPMAN e la *Baculogypsina sphaerulata* (PARKER e JONES) di S. Gensio 07 I 328
- Il genere *Rupertia* 07 I 328
- Le Chatelier, H. et S. Wologdine: Note sur la densité du graphite. 09 I 333
- Leclère, A., siehe Termier, P.
- Lecoïnte, G.: Expédition antarctique Belge S. Y. Belgique 1897—1899. Travaux hydrographiques et instructions nautiques 09 II 97
- Ledebur, A.: Ueber die Bedeutung der Freiburger Bergakademie für die Wissenschaft des 18. und 19. Jahrhunderts 07 I 371
- Leduc, A.: Sur le diamagnetisme du bismuth 06 II 154
- Lee, G. W.: Contribution à l'étude stratigraphique et paléontologique de la chaîne de la Faucille 06 I 438
- siehe Collet, L. W.
- Leeds, E. T.: Notes on *Metriorhynchus superciliosus* DESL. 08 II 459
- On *Metriorhynchus brachyrhynchus* (DESL.) from the Oxford Clay near Petersborough 09 I 442
- Leenhardt, Ch.: Sur la vitesse de cristallisation des solutions sursaturées 07 I 3
- Lees, J. H.: The skull of *Palaeorhinus*. 08 II 440
- Legendre, R.: Sur la teneur en acide carbonique de l'air marin 08 I 53
- Lehder, J.: Die Phosphoritkonkretionen des Untersten Culms in Ostthüringen und dem Vogtlande BB XXII 48

	Jahrg.	Bd.	Seite
Lehmann, O.: Näherungsweise Bestimmung der Doppelbrechung fester und flüssiger Kristalle	1906	II	149
— Drehung der Polarisationssebene und der Absorptionsrichtung bei flüssigen Kristallen	06	II	149
— Die Gleichgewichtsform fester und flüssiger Kristalle	06	II	150
— Fließend-kristallinische Trichiten, deren Kraftwirkungen und Bewegungserscheinungen	06	II	151
— Homöotropie und Zwillingsbildung bei fließend-weichen Kristallen	06	II	151
— Scheinbar lebende weiche Kristalle	06	II	151
— Bericht über die Demonstration der flüssigen Kristalle	06	II	153
— Fließende Kristalle und Organismen	08	I	320
— Die Struktur der scheinbar lebenden Kristalle	08	I	321
— Dampf- und Lösungstension an krummen Flächen	08	I	321
— Die Farbenercheinungen bei fließenden Kristallen	08	I	322
— Die Kontinuität der Aggregatzustände u. die flüssigen Kristalle	08	I	322
— Stoffe mit drei flüssigen Zuständen, einem isotrop- und zwei kristallinisch-flüssigen	08	I	323
— Erweiterung des Existenzbereiches flüssiger Kristalle durch Beimischungen	08	I	323
— Die Gestaltungskraft fließender Kristalle. Vortrag von der 78. Naturforscherversammlung zu Stuttgart	08	I	323
— Flüssige und scheinbar lebende Kristalle	08	I	323
— Die Bedeutung der flüssigen und scheinbar lebenden Kristalle für die Theorie der Molekularkräfte	08	I	323
— Molekulare Drehmomente bei enantiotroper Umwandlung	08	I	324
— Scheinbar lebende flüssige Kristalle	09	I	4
— Flüssige Kristalle und ihre Analogien zu den niedrigsten Lebewesen	09	I	4
— Die scheinbar lebenden Kristalle. Anleitung zur Demonstration ihrer Eigenschaften sowie ihrer Beziehungen zu anderen flüssigen und zu den festen Kristallen in Form eines Dreigesprächs	09	I	4
— Ueber flüssige Kristalle. Erwiderung auf die Aeußerungen der Herren E. RIECKE, B. WEINBERG, W. NERNST und K. FUCHS	09	I	5
— Flüssige Kristalle und mechanische Technologie	09	I	5
— Bemerkung zu den Abhandlungen von D. VORLÄNDER und ADA PRINS über flüssige Kristalle	09	I	332
— Zur Geschichte der flüssigen Kristalle	09	I	332
— Flüssige Kristalle sowie Plastizität von Kristallen im allgemeinen, molekulare Umlagerungen und Aggregatzustandsänderungen	CBI 1905		207
Lehmann, P.: Wanderungen und Studien in Deutschlands größtem binnenländischem Dünengebiet	08	I	98
Lehner, V., siehe Weidman, S.			
Leiß, C.: Ueber ein neues und einfaches Refraktometer	05	I	5
— Neues Mikroskopmodell Ia für mineralogische und petrographische Studien	08	II	146
— Neues kleines Kristallrefraktometer (Modell III)	09	II	159
— Neue verbesserte Goniometerlampe	09	II	160
Leith, C. K.: Rock cleavage	06	II	56
— Genesis of the Lake Superior Iron Ores	09	I	390
— Iron Ore Reserves	09	I	390
— The Geology of the Cuyuna Iron Range, Minnesota	09	I	394
— The metamorphic cycle	09	II	63

- Leitmeier, H.*: Der Basalt von Weitendorf in Steiermark und die Mineralien seiner Hohlräume BB XXVII 219
 — Calcitkristalle in einem marmorisierten Kalkeinschlusse des Basaltes von Weitendorf in Steiermark CBI 1908 257
 — Beiträge zur Kenntnis des Verhältnisses zwischen Quarz, Chalcedon und Opal CBI 1908 632
 — Eine Opalbreccie von Gleichenberg in Steiermark CBI 1908 716
 — Berichtigung zu Leitmeier: Eine Opalbreccie aus Gleichenberg in Steiermark CBI 1909 76
- Lelean, P. S.*: Eocene outcrop in Central Africa 1907 II 265
- Lemoine, P.*: Sur la présence de l'Oligocène à Madagascar 06 I 101
 — Le Jurassique d'Analalava (Madagascar) d'après les envois de M. COLCANAP 06 I 284
 — Études géologiques dans le Nord de Madagascar 07 I 427
 — Quelques observations sur le bord nord du massif de la Vanoise 09 II 87
 — siehe Boule, M.
 — siehe Chautard, J. et Lemoine, P.
 — siehe Gentil, L.
 — siehe Lambert, J. et Lemoine, P.
- Lemoine, P. et R. Douvillé*: Sur le genre *Lepidocyclina* GÜMBEL 05 II 489
 — Remarques à propos d'une note de M. PREYER sur les Orbitoïdes 07 I 157
- Lenk, H.*: Bemerkungen zu W. Branca's „Widerlegung“ CBI 1909 321
- Lenz, R.*: Chemische Untersuchung über Laterit 09 II 347
- Leonhard*, siehe Schumann.
- Leppla, A.*: Blatt Preßberg—Rüdesheim 07 II 88
 — Die Bildsamkeit (Plastizität) des Tones 08 II 217
 — siehe Holzappel, E.
- Leprince-Ringuet, F.*: Mesures géothermiques effectuées dans le bassin du Pas-de-Calais 09 I 44
- Lepsius, R.*: Geologie von Deutschland. II. Teil. Das östliche und nördliche Deutschland 05 II 255
- Leriche, M.*: Le Pteraspis de Lievin (Pas-de-Calais) 05 I 340
 — Sur l'âge des sables à Unios et Térédines des environs d'Épernay et sur la signification du terme Sparnacien 05 II 119
 — Sur un fossile nouveau (*Tortisipho Huftieri*) du Lutétien de l'Avesnois 05 II 119
 — Observations sur la Géologie de l'île de Wight 05 II 431
 — Le Lutétien de l'Avesnois 05 II 432
 — Revision de la Faune ichthyologique des terrains crétaeés du Nord de la France 05 II 482
 — Sur la signification des termes Landénien et Thanétien 06 I 116
 — Observations sur *Ostrea heteroclitia* DEFRANCE 06 I 155
 — Sur le synchronisme des assises éocènes dans le Bassin anglo-franco-belge 06 I 431
 — Observations sur la classification des assises paléocènes et éocènes du bassin de Paris 06 II 115
 — Sur des corps vermiformes provenant de l'argile de Boom (Rupélien) et attribuables à des Annélides 08 I 134
 — Observations sur les terrains tertiaires des environs de Reims et d'Épernay 08 II 91
 — Note sur *Archimylacris Desaillyi* n. sp. le premier insecte trouvé dans le Bassin Houiller du Nord et du Pas de Calais 08 II 110

- Leroy, O. E., siehe Adams, Fr. D. and Leroy, O. E.
- Le Royer, A. Brun et Collet: Synthèse du périclase 1906 I 331
- Lespineux, G.: Mine de witherite de Settlingstone (Northumberland) 08 I 180
- Lessing, F. Loewinson, siehe Loewinson-Lessing, F.
- Letalle: Transparence et couleur de l'eau de mer dans la Manche 09 II 209
- Leteur, F.: Traité élémentaire de minéralogie pratique . . CBI 1907 761
- Leuchs, Dr. K.: Ueber einige Invertebraten aus dem Perm von Texas CBI 1908 684
- Leuthardt, F.: Die Keuperflora von Neuwelt bei Basel. I. Teil: Phanerogamen. II. Teil: Kryptogamen 07 I 492
- Beiträge zur Kenntnis der Hupperablagerungen im Basler Jura 09 I 388
- Die Crinoidenbänke im Dogger der Umgebung von Liestal 05 I 298
- Leutz, H.: Die süddeutschen Erdbeben im Frühjahr 1903 09 I 49
- Levat, E. D.: Richesses minérales des possessions russes en Asie Centrale 07 II 247
- Levi, C.: Una nuova località per *Ancistrodon splendens* DE KONINCK sp. 05 II 482
- Levy, M. G., siehe Nasini, R.
- Levy, Michel, A., siehe Michel-Levy, A.
- Lewinski, J.: Les dépôts jurassiques de la Chaîne de Sulejów 08 I 262
- Utwory jurajskie koto stacyi Chęciny i ich fauna. — Les dépôts jurassiques près la station Chęciny et leur faune 08 II 89
- Lewis, J. V.: Copper Deposits in the New Jersey Triassic — An Ontario Lead Deposit 09 II 397
08 I 247
- Lewis, W. J.: On some twins of calcite; and on a simple method of drawing crystals of calcite and other rhombohedral crystals, and of deducing the relations of their symbols 09 I 179
- Lichtenstein, L., siehe Hoff, J. H. van't.
- Liebisch, Th., A. Schönflies und O. Mügge, Kristallographie CBI 1906 552
- Liebus, A.: Ueber die Foraminiferenfauna der Tertiärschichten von Biarritz 06 II 311
- Lienenklaus, E.: Ueber das Alter der Sandsteinschichten des Hügels 06 II 420
- Die Ostracoden des Mainzer Tertiärbeckens 06 II 138
- Liesle, T. N., siehe Seward, A. C.
- Liffa, A.: Bericht über die agrogeologische Aufnahme im Jahre 1901 07 I 276
- Limbrock, H., siehe Kleinschmidt, A. und Limbrock, H.
- Lincio, G.: Del Rutilo dell' Alpe Veglia 06 I 20
- Sul berillo di Vall' Antoliva e di Cosasca 07 I 204
- Das neue Leitz'sche Mikroskopmodell A BB XXIII 163
- Beitrag zur Kenntnis alpiner Molybdänitvorkommnisse . . CBI 1905 12
- Ueber einen Mineralgang im Gneis CBI 1905 15
- Linck, G.: Orthoklas aus dem Dolomit vom Campolongo . . . 07 I 21
- Ueber die heteromorphen Modifikationen der Phosphor-Arsengruppe 08 II 155
- Tabellen zur Gesteinskunde für Geologen, Mineralogen, Bergleute, Chemiker, Landwirte und Techniker CBI 1905 59 CBI 1907 91

- Linck, G.: Petrographische Tabellen (russ. Uebersetzung) . . . CBI 1906 249
 — GOETHE's Verhältnis zur Mineralogie und Geognosie . . . CBI 1906 586
 — *Ueber die äußere Form und den inneren Bau der Vulkane, mit einem Anhang über die Dünen* Festband 91
- Lincoln, F. Ch.: Magmatic Emanations 1908 II 219
- Lindemann, B.: *Petrographische Studien in der Umgebung von Sterzing in Tirol* BB XXII 454
- Lindgren, W.: A Geological Reconnaissance across the Bitterroot Range and Clearwater mountains in Montana and Idaho 05 II 200
 — Ore-Deposition and Deep Mining 07 I 405
 — Occurrence of Albite in the Bendigo Veins 07 II 22
 — The genesis of the copper-deposits of Clifton-Morenci, Arizona 07 II 419
 — Metasomatic Processes in the Gold Deposits of Western Australian 08 I 405
 — The Relation of Ore-deposition to Physical Conditions 08 II 375
 — Some Gold and Tungsten Deposits of Boulder County, Colorado 09 I 234
 — Present Tendencies in the Study of Ore-deposits. 09 II 78
 — siehe Graton, L. C.
- Lindgren, W. and W. F. Hillebrand: Minerals from the Clifton-Morenci District, Arizona 06 I 172
- Lindgren, W. and F. L. Ransome: Report of Progress in the Geological Resurvey of the Cripple Creek District, Colorado 09 I 233
- Lindsey, C. R.: Note on the occurrence of Brookite in the Cleveland ironstone 06 II 329
- Lindström, G.: Ueber das sogen. Tellurwismut von Riddarhyttan 07 II 356
- Lines, E. F., siehe Fuller, M. L. etc.
- Linstow, O. v.: Die Tertiärablagerungen im Reinhardswalde bei Kassel 05 II 286
 — Ueber Verbreitung und Transgression des Septarientons (Rupeltons) im Gebiet der mittleren Elbe 05 II 287
 — Neuere Beobachtungen aus dem Fläming und seinem südwestlich gelegenen Vorlande 05 II 443
 — Ueber die Ausdehnung der letzten Vereisung in Mitteldeutschland. 07 I 116
 — Die Grundwasserverhältnisse zwischen Mulde und Elbe südlich Dessau und die praktische Bedeutung derartiger Untersuchungen 07 I 262
 — Löß und Schwarzerde in der Gegend von Köthen 1909 I 109
 — Ueber Kiesströme vielleicht interglazialen Alters auf dem Gräfenhainichen-Schmiedeberger Plateau und in Anhalt 1909 I 110
 — Beiträge zur Geologie von Anhalt. 1. 09 II 108
 — Ueber Ockerkalke in der Nähe von Kemberg bei Wittenberg 09 I 429
 — Das Kupferschieferlager in Anhalt 09 II 107
 — *Anstehendes Silur in der Mark Erandenburg und in der Provinz Sachsen* CBI 1907 193
 — siehe Denckmann, A.
- Lippitsch, K.: Stereometrie hemiedrischer Formen des regulären Systems 07 I 181
- Lippmann, G.: Sur l'inscription des mouvements seismiques — Mesure de la vitesse de propagation des tremblements de terre 07 II 46

- Lissajous, M.: Sur la forme de l'ouverture d'Oecoptychius
refractus HAAN 1906 I 315
- Échinides jurassiques des environs de Macon 07 II 156
- Lissauer: Die Sammlung der „Tertiär-Silex“ des Herrn
KLAATSCH 06 I 130
- Lister, J. J.: On the Dimorphism of the English Species of
Nummulites, and the Size of the Megalosphere in Relation
to that of the Microspheric and Megalospheric Tests in
this Genus 07 I 329
- Liversidge, A.: Meteoric Dusts, New South Wales 05 I 220
- The Boogaldi, Baratta No. 2 und 3, Gilgoin No. 1 und 2,
and Eli Elwah or Hay Meteorites, New South Wales 05 I 395
- Lloyd Morgan, C. and S. H. Reynolds: The Igneous
Rocks associated with the Carboniferous Limestone of
the Bristol District 05 II 388
- Lockhart, L. B., siehe Baskerville, Ch.
- Lockyer, W.: Mont Pelée eruption and dust falls 05 I 404
- Loczka, J.: Chemische Analyse des Lorandit von Alchar in
Makedonien und des Claudetit von Szomolnok in Ungarn 1905 I 371. 372
- Chemische Analyse eines in der Hochofenschlacke von Meny-
háza gebildeten Manganspinells 08 II 168
- Lodin, A.: Observation sur le mode de formation des amas
blendeux encaissés dans les terrains stratifiés 08 I 79
- Löffler, R.: Ueber optische Anomalien des gesteinsbildenden
Apatits CBI 1909 666
- Löfstrand, G.: Slättbergs och Kuso nickelgrufvor 05 I 98
- Loehr, v.: Mitteilungen über die Fundorte von Seiser Zeo-
lithen 07 II 28
- Lönberg, E.: On some fossil remains of a Condor from Bo-
livia 08 II 435
- Lörenthey, E.: Ueber das Alter des Schotters am Sashalom
bei Rákosszentmihály 1905 I 470
- Neuere Beiträge zur tertiären Decapodenfauna Ungarns 05 II 317
- Pteropodenmergel in den alttertiären Bildungen von Budapest 05 II 433
- Einige Bemerkungen über Orygoceras Fuchsi KITTL sp. 05 II 434
- Massenhaftes Vorkommen von Pyrgulifera im Eocän von
Lábatlan 05 II 434
- Ein klassischer Fundort der die sarmatischen und panno-
nischen Bildungen überbrückenden Schichten in Ungarn 05 II 435
- Lörenthey, I. v.: Zur Richtigstellung der in dem Artikel
V. Aradi's, betitelt: „Der Jura des Ofener Gebirges und
allgemeine Betrachtung über die tektonischen Verhältnisse
desselben“ enthaltenen literarischen Mystifikation CBI 1909 182
- Loewinson-Lessing, F.: Notiz über die Umformung von
Kristallen unter Druck 1906 II 80
- Eine petrographische Exkursion auf den Tagil 07 I 71
- Petrographische Untersuchungen im zentralen Kaukasus (Di-
gorien und Balkalien) 07 I 71
- Ueber die Magnetisenerzlagstätte der Wyssokaja im Ural 09 I 392
- Zur Frage der Kristallzwillinge 09 II 6
- Leitfaden der optischen Untersuchung der Kristalle unter
dem Mikroskop 09 II 7
- Ueber Klassifikation und Nomenklatur der zur Formation
der kristallinen Schiefer gehörigen Amphibolgesteine CBI 1905 407
- Ueber das Auftreten von Untercarbon in den Guberlinskischen
Bergen (südl. Ural) CBI 1906 131

- Loewinson-Lessing, F.: Optische Untersuchung der Mineralien unter dem Mikroskope. CBl 1906 246
 — Petrographische Tabellen. CBl 1906 248
 — *Ueber eine mögliche Beziehung zwischen Viskositätskurven und Molekularvolumina bei Silikaten*. CBl 1906 289
 — siehe Jeremina, E.
 — siehe Zemčuznyj, S.
- Loewinson-Lessing, F. und Zemčuznyj: Porphyrtartige Struktur und Eutetik. 1907 II 212
- Logenjak, R.: The Lancelot Freehold Tin and Copper Mines, Ltd. Abstract of a report of October 1906. 08 I 244
- Lohest, M.: La Houille en Campine. 05 I 456
 — siehe Fourmarier, P.
- Lohest, M. et H. Forir: Particularités remarquables du Carboniferien de la partie centrale du Condroz. 05 I 457
- Lohmann, H.: Untersuchungen über die Tier- und Pflanzenwelt, sowie über die Bodensedimente des Nordatlantischen Ozeans zwischen dem 38. und 50. Grade nördlicher Breite. 05 I 424
- Lomas, J.: Quartz Dykes near Foxdale, Isle of Man. 05 I 434
 — siehe Cope, T. H.
- Lomnicki, M.: Geologische Skizze der Umgegend von Lemberg. 05 II 95
- Longhi, P.: Contribuzione alla conoscenza della fauna del calcare cretaceo di Calloneghe presso il Lago di S. Croce nelle Alpi venete. II. 05 I 317
 — Di una varietà di *Caprina schiosensis* G. Böhm. 05 I 359
- Loomis, F. B.: Hyposodidae of the Wasatch and Wind River Basins. 07 II 133
 — A new horse from the lower Miocene. 08 II 429
 — Rhinocerotidae of the lower Miocene. 08 II 431
- Lorenzo, G. de: The History of Volcanic Action in the Phlegraean Fields. 05 II 206
 — Lo scoglio di Revigliano. 06 I 86
 — L'attività vulcanica nei Campi Flegrei. 06 I 198
 — The Eruption of Vesuvius in April 1906. 07 I 44
 — La basi dei vulcani Vulture ed Etna. 08 I 46
 — Il Neck subetneo di Motta S. Anastasia. 08 II 45
 — Azzurite e Malachite dei dintorni di Lagonegro in Basilicata. 08 II 307
- Lorié, J.: Beschrijving van eenige nieuwe Grondboringen. VI. — Mes observations sur le système Moséen de M. MOURLON. — De geologische Bouw der Geldersche Vallei, benevens Beschrijving van eenige nieuwe Grondboringen. 07 I 442
 — De voorgestelde Eenheid van het Ljstijdvak. II. 07 I 443
 — De Terrassen langs den rechter Rijnsoever beneden het Zevengebergte. 08 II 100
 — Het Interglacialisme in Nederland. III. 08 II 100
 — La stratigraphie des argiles de la Campine belge et du Limbourg néerlandais. 08 II 101
 — A propos de l'étude critique de M. J. VAN BAREN sur la flore et l'âge géol. des argiles du Limbourg néerlandais. 08 II 101
- Loriol, P. de: Notes pour servir à l'étude des échinodermes
- Lory, M. P.: Plis marginaux de la partie méridionale de Belle-donne. 05 I 283
 — Feuilles de Gap, Vizille et Grenoble. 05 I 281
 — Epigénie glacière sur le cours moyen du Drac. II 208. 296
 — Recherches sur le Jurassique moyen entre Grenoble et Gap. 05 II 427

	Jahrg.	Bd.	Seite
L o r y, M. P.: Sur l'existence dans le bord subalpin, au nord du Grenoble, de lentilles zoogènes vers la limite du jurassique et du crétacé	1907	I	281
— Observations stratigraphiques dans le nord du massif du Vercors	07	II	105
— Quelques observations dans la partie méridionale de la chaîne de Belledonne (Alpes Dauphinoises)	07	II	263
— Sur les couches à <i>Phylloceras Loryi</i> des Alpes occidentales	07	II	286
— siehe K i l i a n, W. et L o r y, P.			
L o s a n i t s c h, S. M.: Die radioaktiven Cinnabaryte	05	I	5
L o t t i, B.: A proposito di una recente scoperta di minerali plumboargentiferi all' isola d'Elba	06	I	232
— Kieselgur und Farberden in dem trachytischen Gebiet vom Monte Amiata	06	I	235
L o t z, H.: Ueber das Asphaltvorkommen von Ragusa (Sizilien) und seine wirtschaftliche Bedeutung	05	I	261
— Beitrag zur Kenntnis vom Alter der Siegerländer Erzgänge	09	II	78
— Das Vorkommen der Diamanten in Deutsch-Südwestafrika	CBI 1909		251
L o u d e r b a c k, G. D.: Basin Range structure of the Humboldt-Region	06	II	95
— Benitoite, a new californian gem mineral	08	II	301
— The relation of radioactivity to vulcanism	09	I	48
L o u p, L.: Sur les roches erratiques des environs de Genève	06	II	61
— siehe D u p a r c, L.			
L o v i s a t o, D.: Vanadinite, Descloizite, Mimetite e Stolzite della miniera cuprifera di Bena(d)e Padru presso Ozieri (Sassari)	05	II	367
— La Centrolite nel giacimento cuprifero di Bena(d)e Padru presso Ozieri (Sassari)	06	II	336
— Giacimento di minerali di tungsteno a Genna Gurese ai limite fra Nurri ed Orroli (Cagliari)	08	II	319
L o w a g, J.: Die Diorite des Altvatergebirges mit Bezug auf die goldführenden Quarzgänge des Unterdevons	05	I	257
L o z i n s k i, W. v.: Aus der quartären Vergangenheit Bosniens und der Herzegowina	05	II	295
L u b l i n, M.: Beiträge zur Kenntnis der Feldspate im Granit vom Epprechtstein (Fichtelgebirge)	08	II	173
L u c a s, A.: A Report on the soil and water of the Wadi Tumulat Lands under reclamation	07	I	426
L u c a s, F. A.: The greatest flying creature, the great pterodactyl <i>Ornithostoma</i>	05	I	516
L u c a s, R.: Zur Kenntnis der physikalischen Eigenschaften der Tone	CBI 1906		33
L u e z i n s k y, Wl.: Ueber die Dispersion der optischen Achsen bei den rhombischen Pyroxenen	08	I	22
— Optische Orientierung des Labradors von Labrador	08	I	334
— Der Granit von Köseim im Fichtelgebirge und seine Einflüsse	08	II	191
L u d w i g, A.: Ueber glaziale Erosion und über die Ursachen der Eiszeit	CBI 1906		380
L u d w i g, E., Th. P a n z e r und E. Z d a r e k: Ueber die Vöslauer Therme	08	I	368
L ü b s t o r f: Mitteloligocäner Septarienton auf dem Gute Tessenow bei Parchim	06	I	430
L ü h e, M.: Säugetierhaare im Bernstein	07	II	485
L u g e o n, M.: Les grandes dislocations et la naissance des Alpes suisses	05	II	85

- Lugeon, M.: Les grandes dislocations et la naissance des Alpes suisses. Avec observations de M. SCHARDT . . . 1905 II 86
- Anciens thalwegs de l'Aar dans le Kirchet près Meiringen . . . 05 I 228
- Première communication préliminaire sur la géologie de la région comprise entre le Sanetsch et la Kander (Valais-Berne) 05 I 276
- Sur la découverte d'une racine des Préalpes suisses 05 I 277
- Les grandes nappes de recouvrement des Alpes du Chablais et de la Suisse 06 I 243
- Sur la coupe géologique du massif du Simplon 06 II 260
- Notice à propos du travail de SARASIN et COLLET sur la zone des cols dans la région de la Lenk et Adelboden 08 II 387
- Les dislocations des Bauges (Savoie) 08 II 390
- Bélemnites et radiolaires de la brèche du Chablais 09 I 401
- Deuxième communication préliminaire sur la géologie de la région entre le Sanetsch et la Kander (Valais-Berne) 09 I 405
- Analogie entre les Carpathes et les Alpes 09 I 418
- Les nappes de recouvrement de la Tatra et l'origine des Klippes des Carpathes 09 I 419
- A propos de la note de MM. CH. SARASIN et L. COLLET sur „la Zone des Cols dans la région de la Lenk et Adelboden“ 09 II 91
- La Zone des Cols et la géologie du Chamosaire 09 II 91
- Tectonique des Préalpes internes 09 II 92
- Les fenêtres d'Ardon 09 II 258
- siehe Haug, E.
- siehe Renevier, E.
- Lugeon, M. et E. Argand: Sur les grandes nappes de recouvrement de la zone du Piémont 06 II 256
- — Sur les homologues dans les nappes de recouvrement de la zone du Piémont 06 II 258
- — La racine de la nappe sicilienne et l'arc de charriage de la Calabre 09 II 94
- Sur des grands phénomènes de charriage en Sicile 09 II 94
- Sur la grande nappe de recouvrement de la Sicile 09 II 94
- Lugeon, M. et G. Rössinger: Géologie de la Haute Vallée de Lauenen (Préalpes et Hautes-Alpes Bernoises) 1905 I 276 08 II 380
- Lull, R. S.: Cursorial Adaptations 06 I 138
- Volant adaptation in vertebrates 09 I 122
- The cranial musculature and the origin of the frill in the Ceratopsian Dinosaurs 09 I 450
- siehe Hatcher, J. B.
- siehe Huene, F. v.
- Luquer, L. McJ.: Bedford Cyrtolite 05 I 374
- Lury, J. S. de: Cobaltite occurring in northern Ontario, Canada 07 I 195
- Luther, D. D., siehe Clarke, F. W.

M.

- Maas, G.: Sogenannter Posener Flammenton in Schlesien 05 II 287
- Maas, O.: Ueber eine neue Medusengattung aus dem lithographischen Schiefer 06 II 90
- MacAlister, D. A.: Geological Aspect of the Lodes of Cornwall 09 II 81
- Mac siehe auch Mc.

	Jahrg.	Bd.	Seite
M a c c o, A.: Südafrikanische Diamanten	1905	II	345
— Die Eisenerzlagertstätten am Lake Superior	06	II	227
— Die Blue Ground-Vorkommen in Südafrika	09	II	236
M a c h a č e k, F.: Die Alpen	09	II	95
M a c k i e, W.: The saltness of the sea in relation to the geo- logical age of the earth	05	I	402
— Seventy chemical analyses of rocks (chiefly from the Moray area), with deductions	05	I	414
— Note on the occurrence of traces of the heavy metals in the Sandstones of the Moray Firth Basin	05	I	417
— On differences in chemical composition between the central and marginal zones of granite veins with further evidence of exchanges between such veins and contact rocks	05	I	431
— A rapid and easy method of estimating specific gravities	06	I	46
M a d s e n, V.: Diluviale Foraminiferen aus Boizenburg in Mecklenburg	07	I	163
M a h o n, C. A. M c, siehe M c M a h o n, C. A.			
M a h o n y, D. J.: Zwei Abänderungen des Quarzkeils	08	I	162
M a i e r, E.: Die Goldseifen des Amgun-Gebietes (Ostsibirische Küstenprovinz)	08	I	404
M a i e r, H. N.: Beiträge zur Altersbestimmung der Fische. I. Allgemeines. Die Altersbestimmung nach den Oto- lithen bei Scholle und Kabeljau	08	I	130
M a i l l a r d, L. C. et L. G r a u x: Sur l'existence des bicarbo- nates dans les eaux minérales et sur les prétendues ano- malies de leur pression osmotique	08	I	362
M a i t l a n d, G.: The geological features and mineral resources of Northampton	05	I	442
M a i t l a n d, A. G i b b, siehe auch G i b b M a i t l a n d, A.			
M a j o r, F. C. J.: New Carnivora from the Middle Miocene of La Grive St. Alban, Isère, France	05	II	303
— Additional minute Cheek tooth in the mandible of a Ter- tiary Shrew, <i>Sorex pusillus</i> MEX. var. <i>grivensis</i> DEP.	07	I	301
— Rodents from the Pleistocene of the Western Mediterranean Region	07	I	458
M a k o w s k i, C.: Der Ursprung der Worte Gneis und Quarz	05	II	179
M a l a i s e, C.: Decouverte d'une porphyroïde fossilifère à Grand Menil	05	II	106
M a l l e t, J. W.: A Stony Meteorite from Coon Butte, Arizona	07	II	386
M a n a s s e, E.: Zolfo del marmo di Carrara	06	I	9
— Di alcune leucotefriti di S. Maria del Pianto nei Campi Flegrei	07	I	66
— Sopra alcune rocce eruttive della Tripolitania	07	I	66
— Cenni sul macigno di Calafuria e suoi minerali 1906 I 168	07	I	67
— Contribuzioni alla mineralogia della Toscana	07	II	37
— Tetraedrite del Frigido (varietà Frigidite) e minerali che l'accompagnano	07	II	176
— Sopra le zeoliti di alcune rocce basaltiche della Colonia Eritrea	08	II	33
— I minerali della cava di solfo di Poggio Orlando presso Lornano in provincia di Siena	08	II	334
— Melanteria e fibroferrite delle Cetine (Siena)	09	II	363
M a n n, O.: Beiträge zur Kenntnis verschiedener Mineralien. I. Ueber den Thorerdegehalt des Monazits	05	I	189
— II. Kakoxen	05	I	190
— III. Pissophan	05	I	191

	Jahrg.	Bd.	Seite
Mann, O.: IV. Ueber einen Seifenstein von Kutahia	1905	I	188
— V. Zur Kenntnis einiger Mineralien von Campolongo	05	I	201
— siehe Baumgärtel, Br.			
Maquenne, L.: Observations sur la note précédente de J. Dumont (Sur l'absorption des carbonates alcalins par les composants minéraux du sol)	08	I	363
Marc, R.: Zerlegung von Monazitendfraktionen in die Kom- ponenten und Darstellung reinen Gadoliniumoxyds	05	I	39
— Ueber das Verhalten des Selens gegen Licht und Temperatur. II. Mitteilung. Die allotropen Formen des Selens	08	I	8
— III. Einfluß von Beimengungen auf die Leitfähigkeit des Selens und die Einstellung des Gleichgewichts $Se_A - Se_B$	08	I	8
— Notiz zur Kenntnis der allotropen Formen des Selens	08	I	8
— Ueber das Verhalten des Selens gegen Licht und Temperatur (Ergänzung)	08	II	156
Marckwald, W.: Ueber Uranminerale aus Deutsch-Ostafrika — Ueber Uranerze aus Deutsch-Ostafrika	08	II	13
			<i>CBI 1906 761</i>
Marcus, E., siehe Biltz, W. und Marcus, E.			
Mariani, M.: Sopra alcuni avanzi di mammiferi quaternari trovati nell'alta valle del Potenza	1906	I	133
— Su alcuni fossili del Trias medio dei dintorni di Porti Val- travaglia e sulla fauna della dolomia del Mte. San Sal- vatore presso Lugano	06	II	132
Marr, J. E.: The Classification of the Sedimentary Rocks	06	I	47
— The Influence of the Geological Structure of English Lake- land upon its present Features. — A Study in Physio- graphy	08	II	53
Marsh, siehe Hatcher.			
Marshall, P.: Dust Storms in New Zealand	05	I	406
— Trachydolerites near Dunedin	07	II	78
— Some rocks from Macquarrie Island	07	II	79
— The Geology of Dunedin (New Zealand)	08	I	229
— Boulders in Triassic Conglomerate, Nelson	09	I	104
Marsters, V. F.: Petrography of the amphibolite, serpen- tine, and associated asbestos deposits of Belvidere Moun- tain, Vermont	07	II	218
Marstow, A., siehe Beyer, S. W.			
Martel, E. A.: Sur l'enfouissement des eaux souterraines et la disparition des sources	05	I	55
— Sur la grotte de Font-de-Gaume (Dordogne) et l'âge du creusement des cavernes	05	I	55
— Sur le gouffre, tunnel d'Oupliz—Tsike (Transcaucasie)	06	I	44
— Sur le gouffre du Trou-de-Souci (Côte-d'Or)	07	II	51
— Sur la résurgence de Wells (Angleterre) et la chronométrie de l'érosion souterraine	07	II	51
— Sur la formation de la grotte de Rochefort (Belgique) et sur la théorie des effondrements	07	II	397
— Sur une nouvelle exploration du gouffre du Trou-de-Souci (Côte-d'Or)	07	II	397
— Sur le grand cañon du Verdon (Basses-Alpes), son âge et sa formation	08	I	220
— Sur la rapidité de l'érosion torrentielle	08	I	220
— Sur les gouffres de la mer et le volcanisme	09	I	204
— Sur les clues de Provence et sur les irrégularités des cour- bes d'équilibre des cours d'eau	09	I	205
— siehe Yermoloff, A.			

	Jahrg.	Bd.	Seite
Martel, E. M.: Sur le défaut d'étanchéité des zones imperméables dans les sous-sols calcaires	1908	I	221
Martelli, A.: Il livello di Wengen nel Montenegro meridionale	05	II	108
— Cefalopodi triasici di Boljevici presso Vir nel Montenegro	05	II	139
— Brachiopodi del Dogger montenegrino	07	I	433
— Contributo al Muschelkalk superiore del Montenegro	07	I	431
— siehe Kerner, F. v.			
Martin, D.: Impressions produites par des bulles d'air sur de la vase	06	II	200
Martin, G. C.: Radiolaria	07	II	161
— The petroleum fields of the pacific coast of Alaska with an account of the Bering River coal deposits	09	I	395
— siehe Stanton, T. W.			
Martin, J.: Das Studium der erratischen Gesteine im Dienste der Glazialforschung	06	II	435
— Beitrag zur Frage der säkularen Senkung der Nordseeküste	09	I	109
— Beitrag zur Kenntnis der erratischen Basalte	09	II	64
Martin, K.: Reisen in den Mollukken, in Ambon, den Uliassern, Seran (Ceram) und Buru. Geologischer Teil	05	I	106
— <i>Mesozoisches Land und Meer im Indischen Archipel</i>	07	I	107
— <i>Systematische Uebersicht über die Gastropoden aus tertiären und jüngeren Ablagerungen von Java</i>	07	II	151
— Eine altmiocäne Gastropodenfauna von Rembang, nebst Bemerkungen über den stratigraphischen Wert der Nummuliniden	07	II	498
— Das Alter der Schichten von Sondé und Trinil auf Java	09	I	113
— siehe Icke, H.			
Martin, L., siehe Tarr, R. S.			
Martin, R.: Die untere Süßwassermolasse in der Umgebung von Aarwangen	08	I	433
Martinelli, G. ed A. Sella: Radioattività delle pozzolane dei pressi di Roma	05	I	418
Martini, J.: <i>Beiträge zur Kenntnis des Quarzes</i>	05	II	43
Martonne, E. de: Remarques sur le climat de la période glaciaire dans les Karpates méridionales	05	I	407
Marty, P.: Sur l'âge des basaltes des environs de Massiac (Cantal)	08	II	406
— L'If miocène de Joursac (Cantal). Sur un cas d'intervention des caractères histologiques de leur épiderme dans la détermination des feuilles fossiles	09	I	466
— Un nouvel horizon paléontologique du Cantal	09	I	466
— Végétaux fossiles de Cinérites pliocènes de Las Clausades (Cantal)	09	I	466
— Études sur les végétaux fossiles du Trieu de Leval (Hainaut)	09	II	490
— siehe Douxami, H. et Marty, P.			
Martz, P.: L'Oligocène du Puech d'Alzon, près de Borouls (Aveyron)	06	I	432
Maška, K. J.: Mastodon-Rest bei Telč in Mähren	05	II	471
— Bemerkungen zu den diluvialen Funden in Höhlen von Mladeč und zu den glazialen Spuren in Nordost-Mähren	07	I	452
Maslen, A. J., siehe Scott, D. H.			
Mathews, E. B.: The structure of the Piedmont Plateau as shown in Maryland	05	II	414
— Correlation of Maryland and Pennsylvania Piedmont formations	07	II	221

	Jahrg.	Bd.	Seite
Mathews, E. B. and W. J. Miller: Cocksylvia-Marmor	1907	II	222
Mathieu, E.: Renseignements sur la roche cristalline de Grand-Coo	07	II	69
— Note complémentaire sur la roche cristalline de Grand-Coo	07	II	69
— Le k�ratophyre de Grand-Coo	07	II	69
Matson, G. C.: Peridotite dikes near Ithaca, N. Y.	07	I	242
Matte, H.: Documents pour servir � la description g�ologique des Alpes delphino-savoisiennes. Compte rendu d'une excursion g�ologique dans les Alpes du Dauphin� et de la Savoie, faite du 1er au 7 ao�t 1901, par les �l�ves des diverses Facult�s des Sciences de France, sous la direction de M. W. KILLIAN	07	II	104
Matteucci, R. V.: Se al sollevamento endogeno di una cupola lavica al Vesuvio possa aver contribuito la solidificazione del magma	05	I	46
Matthew, G. F.: New genera of Batrachian footprints of the carboniferous system in Eastern Canada	05	I	339
— An attempt to classify Palaeozoic Batrachian Footprints	05	I	339
— On Batrachian and other footprints from the Coal Measures of Joggins N. S.	05	I	340
Matthew, W. D.: A fossil Hedgehog from the American Oligocene	05	II	472
— The arboreal ancestry of the Mammalia	06	I	139
— The Collection of fossil Vertebrates (American Museum of Natural History)	06	II	442
— The fossil Carnivora Marsupials and Small Mammals in the American Museum of Natural History	06	II	442
— Notes on the Osteology of Sinopa, a primitiv Member of the Hyaeodontidae	07	I	127
— Notice of two new genera of Mammals from the Oligocene of South-Dakota	07	I	299
— Notice of two new Oligocene Camels	07	I	301
— A four-horned Pelycosaurian from the Permian of Texas	08	I	285
Matthew, W. D. and J. W. Gidley: New or Little Known Mammals from the Miocene of South Dakota. American Museum Expedition of 1903 1905 I 127	08	I	129
Maucher, W.: Die Erzlagerst�tte von Tsumeb im Otavi-Bezirk im Norden Deutsch-S�dwestafrikas	09	II	400
Mauritz, B.: Neuere Beitr�ge zur Kenntnis des Pyrits von Porkura	05	II	9
— Beitr�ge zur kristallographischen Kenntnis der ungarischen Kupferkiese	06	II	325
— Ueber den Pyrargyrit von Hiendelaencina	09	I	336
— siehe Goldschmidt, V. und Mauritz, B.			
Maury, E., siehe Caziot, E.			
Mawson, D.: Preliminary note on the geology of the New Hebrides	07	II	271
Mawson, D. und T. H. Labby: Vorl�ufige Beobachtungen �ber Radioaktivit�t und das Vorkommen von Radium in australischen Mineralien	07	I	10
Mayer-Eymar, K.: Nummulitische Dentaliden, Fissurelliden, Capuliden und Hipponiciden Aegyptens aus der geologischen Sammlung in Z�rich	05	II	322
— Liste der nummulitischen Turritelliden Aegyptens auf der geologischen Sammlung in Z�rich	06	II	453
Mayr, F., siehe Simmersbach, B.			

	Jahrg.	Bd.	Seite
Mc Alister, D. A.: Tin and Tourmaline.	1905	I	101
Mc Caffery, S., siehe Yung, M. B.			
Mc Callie, S. W.: Stretched pebbles from Ocoee conglomerate — Some notes on schist-conglomerate occurring in Georgia	08 09	II II	370 385
Mc Connell, R. G.: Report on gold values in the Klondike high level gravels	09	I	235
Mc Gregor, J. H.: On Mesosaurus brasiliensis n. sp. from the Permian of Brazil	09	I	444
— The Phytosauria with especial reference to <i>Mystriosuchus</i> and <i>Rhytidodon</i>	09	I	445
Mc Kee: Prismatic Crystals of Hematite	05	I	373
Mc Mahon, C. A.: Additional Note on the Correlation of the Rocks associated with the Devonian Limestones of the Hindu Koosh	05	II	415
Mc Mahon, C. A. and W. H. Huddleston: Fossils from the Hindu Koosh	05	II	415
— siehe auch Mac.			
Me ad, W. J.: The Relation of Density, Porosity and Moisture to the specific Volume of Ores	09	I	389
— Redistribution of elements in the formation of sedimentary rocks	09	II	62
Me igen, W.: Beiträge zur Kenntnis des kohlsauren Kalks. II. — Beiträge zur Kenntnis des kohlsauren Kalks. III. (Das Verhalten des kohlsauren Kalks zu Kobaltsalzen.)	05 05	II II	356 358
— Ueber die angebliche Bildung von Dolomit im Neckar bei Cannstatt	05	II	360
Me ister, A. K.: Geologische Karte des goldführenden Ge- bietes am Jenissej. Beschreibung des Blattes L—9	05	II	247
— Die Mineralien des Süd-Jenisseisk'schen Bergbezirks	07	II	189
Me lcz er, G.: Daten zur Symmetrie des Aragonits	05	II	16
— Ueber Libethenit	05	II	28
— Daten zur genaueren Kenntnis des Albit	06	II	332
— siehe Doby, G.			
Me llor, E. T.: Glacial (Dwyka) Conglomerate of South Africa	07	II	122
Me nden hall, E. and F. C. Schra der: Mineral Resources of the Mount Wrangell District, Alaska	05	II	399
Me nnell, F. P.: The Minerals of some South African Gra- nites	05	II	38
— The average composition of igneous rocks	06	I	46
— The Somabula Diamond field of Rhodesia	08	I	324
Me nte ath, P. W. S. t. u. a. r. t., siehe S. t. u. a. r. t. - M. e. n. t. e. a. t. h., P. W.			
Me nzel, P.: Beiträge zur Kenntnis der Quartärbildungen im südlichen Hannover. I. Die Interglazialschichten von Wallensen in der Hilsmulde. Mit einem Anhang: Zwei neue Arten von <i>Valvata</i> MÜLLER (Gruppe <i>Cincinnati</i> HÜBNER)	05	I	144
— Ueber das Vorkommen von <i>Cyclostoma elegans</i> MÜLLER in Deutschland seit der Diluvialzeit	05	I	310
— Beiträge zur Kenntnis der Quartärbildungen im südlichen Hannover. II. Eine jungdiluviale Konchylienfauna aus Kiesablagerungen des mittleren Leinetales	05	I	310
— Beiträge zur Kenntnis der Quartärbildungen im südlichen Hannover. III. Das Kalktufflager von Alfeld an der Leine	06	II	432
— Galgenberg und Vorholz bei Hildesheim	07	I	419

- Menzel, P.: Tertiär und Tektonik im Norden von Hildesheim 1907 II 290
- Ueber die Gliederung und Ausbildung der jungtertiären und quartären Bildungen im südlichen Hannover und Braunschweig 07 II 457
- Ueber die Flora der Senftenberger Braunkohlenablagerungen 08 I 449
- Ueber die erste (älteste) Vereisung bei Rüdersdorf und Hamburg und die Altersstellung der Paludinschichten der Berliner Gegend CBl 1906 181
- Ueber die Quartärfaunen im nördlichen Vorlande des Harzes und die Nehring'sche Steppenhypothese CBl 1909 87
- siehe Wolle mann, A.
- Mercalli, G.: Ancora intorno al modo di formazione di una cupola lavica vesuviana 05 I 46
- Sulla forma di alcune prodotti delle esplosioni vesuviane recenti 05 I 46
- Notizie vesuviane (Luglio—Dicembre 1903) 05 I 47
- Notizie vesuviane (Gennaio—Giugno 1903) 05 I 48
- Intorno alla successione dei fenomeni eruttivi del Vesuvio
- Per lo studio dei lenti movimenti del suolo presso il Serapeo di Pozzuoli 06 I 202
- La grande eruzione vesuviana dell' Aprile 1906 08 I 42
- Sullo stato attuale della Solfatara di Pozzuoli 08 II 44
- Mercanton, P. L.: Forages glaciaires 08 II 340
- Merciaï, G.: Lamellibranchi liassici del calcare cristallino della montagna del Casale presso Busambra in prov. di Palermo 06 I 319
- Merensky, H.: Neue Zinnerzvorkommen in Transvaal 06 II 228
- Die goldführenden Erzvorkommen der Murchison Range im nordöstlichen Transvaal 07 I 256
- Merriam, J. C.: Triassic Ichthyopterygia from California and Nevada 06 I 147
- New Ichthyosauria from the upper Triassic of Arizona 06 I 150
- A new marine reptile from the Triassic of California 06 I 150
- Recent Literature on triassic Ichthyosauria 06 I 150
- A primitive Ichthyosaurian limb from the Middle Triassic of Nevada 06 I 151
- Triassic Ichthyosauria with special reference to the american forms 09 I 445
- Notes on the Osteology of the Thalattosaurian genus Nectosaurus 09 I 448
- Merrill, G. P.: On the origin of veins in asbestiform serpentine 1906 II 170
- On a New Stony Meteorite from Modoc, Scott Co., Kansas 07 II 200
- On a newly found Meteorite from Selma, Dallas County, Alabama 08 II 181
- Notes on the composition and structure of the Hendersonville, North Carolina, Meteorite 08 II 181
- The Meteoric Crater of Canyon Diablo, Arizona, its History, Origin and associated Meteoric Irons 09 I 357
- Merrill, G. P. and W. Tassin: Contributions to the study of the Canyon Diablo Meteorites 09 I 354
- Meschinelli, L.: Contribuzione alla palaeontologia vicentina. Un nuovo Chiroterro fossile (*Archaeopteropus transiens* MESH.) 05 II 472

Meslin, G.: Ueber das gleichzeitige Vorhandensein von Paramagnetismus und Diamagnetismus in demselben Kristall	1907	II	15
Mestwerdt, A.: Der Teutoburger Wald zwischen Borgholzhausen und Hilter	06	II	417
— Ueber Störungen am Falkenhagener Liasgraben	08	II	80
— siehe Stille, H.			
Metzmacher, A.: Miocäner Glimmerton von Wendisch-Wehningen bei Dömitz	06	I	430
Meunier, F.: Una nueva Cicada del Kimeridgense en el Montsech, Provincia de Lérida (Cataluña)	05	I	524
— Nuevas contribuciones á la fauna de los Himenopteros fósiles	05	I	525
Meunier, St.: Sur un cas remarquable de cristallisation spontanée du gypse	05	I	40
— Examen du fer météorique de Guatémala	05	I	217
— Origine de l'opale farineuse sédimentaire	05	I	445
— Sur la puissance de la formation nummulitique à Saint-Louis du Sénégal	05	II	288
— Contribution à la connaissance des formations lutétiens au Sénégal	05	II	289
— Sur des concrétions quartzseuses renfermées dans la Craie blanche de Margny (Oise)	06	II	201
— Remarquables pseudomorphoses rencontrées dans le sol de la place de la République, à Paris	06	II	347
— Sur l'origine véruvienne du brouillard sec observé à Paris dans la matinée du mercredi 11 Avril 1906	08	I	43
— Origine et mode de formation des minerais de fer oolithique	09	I	393
Meyer, A. B.: Neue Mitteilungen über Nephrit	05	I	27
Meyer, E.: Der Teutoburger Wald (Osning) zwischen Bielefeld und Werther	05	II	258
Meyer, R.: Künstliche Pseudomorphosen	05	II	4
Meyer, W.: <i>Die Porphyré des westfälischen Diluviums</i> CBI 1907 143. 168			
Meyerhoffer, W.: Die chemisch-physikalische Beschaffenheit der Heilquellen	05	I	264
— Ueber Reifkurven	06	I	6
— Ueber kongruente und inkongruente Schmelzen bei Doppelsalzen	06	I	7
— Ueber Schmelzintervalle	06	II	4
Meyerhoffer, W. und J. H. van't Hoff: Kristallisierte Calciumborate	08	II	162
— siehe Hoff, J. H. van't.			
Michael, P.: Beiträge zur Kenntnis der eiszeitlichen Ablagerungen in der Umgebung von Weimar	08	II	96
Michael, R.: Ueber das Alter der subsudetischen Braunkohlenformation	06	I	112
— Beobachtungen während des Vesuv-Ausbruches im April 1906	08	I	218
— Ueber die Altersfrage der oberschlesischen Tertiärablagerungen	07	II	126
— siehe Beyschlag, F. und Michael, R.			
Michael, R. und F. Beyschlag: Die oberschlesischen Erzlagerstätten	06	II	74
Mikhailowsky, G.: Note sur l'âge des argiles schisteuses inférieures foncées de la péninsule de Kertch, du calcaire de Tchokrak et des couches à Spaniodon	05	I	469
Michel, L.: Sur la reproduction de l'aragonite	06	I	24
— Sur les mines de la Lucette (Mayenne)	06	I	34
— Sur le gisement de chrysolithe de l'île Saint Jean (mer Rouge)	08	I	196

- Michel-Lévy, A.: Étude sur la détermination des feldspats dans les plaques minces. Troisième fascicule. La zone de symétrie de la macle de l'Albite dans les plagioklases 1905 I 26
- Examen pétrographique de quelques roches volcaniques des îles Tuamotou et de l'île Pitcairn 07 II 416
- Sur l'existence de paramètres capables de caractériser les magmas d'une famille de roches éruptives 08 II 184
- Middelschulte: Ueber die Deckgebirgsschichten des Ruhrkohlenbeckens und deren Wasserführung 07 I 414
- Middleton, F. E.: On the Wash-outs in the Middle Coal-Measures of South Yorkshire 06 II 362
- Mie, C.: Die optischen Eigenschaften kolloidaler Goldlösungen 08 II 152
- Mieg, M., siehe Vogt, J. et Mieg, M.
- Miers, H. A.: Note on Mica (Fuchsite) as a decorative stone used by the ancients 05 I 33
- Untersuchung über die Variation der an Kristallen beobachteten Winkel, speziell von Kalium- und Ammoniumalaun 05 I 363
- Note on the crystallization of potassiumbichromate. Communications from the Oxford mineralogical laboratory No. X 09 I 328
- Miers, H. A. and F. Isaac: The refractive indices of crystallising solutions, with especial reference to the passage from the metastable to the labile condition 09 I 157
- The Spontaneous Crystallisation of Substances which form a Continuous Series of Mixed Crystals. Mixtures of Naphthalene and β -Naphthol 09 I 327
- — On the temperature at which water freezes in sealed tubes 09 I 329
- Miethe, A.: Ueber die Färbung von Edelsteinen durch Radium — Ueber das Spektrum des Rubins 07 II 170
08 II 296
- Milch, L.: Ueber magmatische Resorption und porphyrische Struktur 05 I 1
- GOETHE und die Geologie 06 II 42
- Ueber die Ganggesteine des Riesengebirgs-Granites 06 II 57
- Ueber die chemische Zusammensetzung eines Limburgits, eines phonolithischen Gesteines und einiger Sandsteine aus Paraguay (nach Analysen von A. LINDNER) 06 II 376
- Ueber Spaltungsvorgänge in granitischen Magmen, nach Beobachtungen im Granit des Riesengebirges 07 II 212
- Ueber Zunahme der Plastizität bei Kristallen durch Erhöhung der Temperatur. Erste Mitteilung: Beobachtungen an Steinsalz 09 I 60
- Ueber den Kaolinit von der National Belle Mine bei Silverton, Colorado CBI 1908 1
- Ueber Eiskristalle CBI 1909 532
- Die Beziehungen K. C. v. Leonhard's zu Goethe Festband 169
- Ueber Glaukophan und Glaukophangesteine vom Elek-Dagh (nördliches Kleinasien) mit Beiträgen zur Kenntnis der chemischen Beziehungen basischer Glaukophangesteine Festband 181
- Miller, K.: Altteriäre Land- und Süßwasserschnecken der Ulmer Gegend 08 II 103
- Miller, W.: Instrumentenkunde für Forschungsreisende, unter Mitwirkung von C. SEIDEL bearbeitet CBI 1906 479
- Miller, Willet G.: Minerals and How they Occur CBI 1907 473

Miller, W. J., siehe Carey, E. P. and Miller, W. J.			
— siehe Mathews, E. B.			
Millet, F. W.: Report on the Recent Foraminifera of the Malay Archipelago collected by Mr. DURRAND	1905	II	155
— The recent Foraminifera of Galway	08	I	309
Millosevich, F.: Danburite di S. Barthélemy in Val d'Aosta	05	I	380
— Osservazioni mineralogiche sulle rocce metamorfiche dei dintorni di Tolfa	06	I	375
— Nuove forme e nuovo tipo cristallino dell' anatasio della Binnental	06	II	15
— Appunti di mineralogia sarda. Bournonite del Sarrabus	07	II	16
— Sopra alcuni minerali di Val d'Aosta	07	II	35
— Appunti di mineralogia sarda. Il giacimento di azzurrite del Castello di Bonvei, presso Mara, con alcune osservazioni sulla formazione dei carbonati di rame naturali	08	II	16
— Appunti di mineralogia sarda. Ematite di Padria	08	II	295
— Ulteriori osservazioni intorno alle condizioni di formazione dei carbonati di rame naturali	08	II	305
— Appunti di mineralogia sarda. Il giacimento di zeoliti presso Montresta	09	II	195
Milne, J.: The recent volcanic eruptions in the West Indies	05	I	406
— West Indian volcanic eruptions	05	I	406
— World-shaking earthquakes	05	II	206
— Earthquake observations in Galicia	05	II	208
— Recent earthquakes	05	II	208
— Seismological notes	05	II	208
— Modern progress in Seismologie	08	I	48
Mingaye, J. C. H.: Notes from the Chemical Laboratory, Departement of Mines	07	I	411
— Notes on the occurrence of Monazite in the Beach Sands of the Richmond River, N. S. Wales	07	I	411
— siehe Card, G. W.			
Mingaye, J. C. H. and H. P. White: Notes and Analyses of Olivine-Basalt Rocks from the Sydney District (No. 1)	07	I	400
— — Analyses of Leucite Basalts, and Olivin-Basalts from New South Wales	07	I	403
Minszen, H.: Ueber ein Vorkommen ungewöhnlich großer Mengen von pflanzenschädlichen Schwefelverbindungen im Moore	06	I	327
Mitscherlich, E. A.: Eine chemische Bodenanalyse für pflanzenphysiologische Forschungen	08	II	187
— Bodenkunde für Land- und Forstwirte	CBl	1906	587
Moberg, J. C.: Om röd färgade lager inom Sveriges kambrosilur	05	II	223
Moderni, P.: Alcune osservazioni geologiche sul Vulcano Laziale e specialmente sul Monte Cavo	08	I	46
Möller, H.: Bidrag till Bornholms fossila Flora. Pteridophyter	08	I	451
— Bidrag till Bornholms fossila Flora (Rhät och Lias). Gymnospermer	08	I	452
Mönkemeyer, K.: Ueber die Bildung von Mischkristallen der Blei-, Silber-, Thallo- und Cuprohalogene aus Schmelzfluß	BB	XXII	I
Moffit, F. H.: Gold Fields of the Turnagain Arm Region	08	II	377
Moissan, H.: Nouvelles recherches sur la météorite de Cañon Diablo	06	II	187

- Moissan, H.: Sur quelques expériences nouvelles relatives à la préparation du diamant 1906 II 153
- Sur l'augmentation de volume de la fonte liquide saturée de carbone au four électrique, au moment de la solidification 06 II 154
- Étude du siliciure de carbone de la météorite de Cañon Diablo 1907 I 364 07 II 202
- Sur la distillation du titane et sur la température du soleil 08 I 211
- siehe Kunz, G. F.
- Moissan, H. et F. Osmond: Étude micrographique de la météorite de Cañon Diablo 1907 I 364 07 II 201
- Molengraaff, G. A. F.: Notes on our present knowledge of the occurrence of nepheline syenite and allied rocks in the Transvaal 06 I 68
- The Vredefort Mountain-Land 06 I 99
- Preliminary note on a hitherto unrecognised formation underlying the Black Reef Series 06 I 99
- Note on the Geology of a portion of the Klerksdorp district, with special reference to the development of the Lower Witwatersrand beds and the Vaal River System 07 I 111
- Note on some rock specimens exhibited at the meeting of the Geological Society of South Africa in February 1905 07 I 235
- Molynoux, J. C.: The sedimentary deposits of Southern Rhodesia 05 II 268
- Monaco, E.: Sulla giobertite del Val della Torre (Torino) — Sull'impiego delle rocce leucitiche nella concimazione 06 I 333
- Sull'impiego delle rocce leucitiche nella concimazione. III. 08 II 212
- Monge, siehe Hernando y Monge, B.
- Monke, H. und F. Beyschlag: Ueber das Vorkommen des Erdöls 07 II 86
- Montagnier, H. F., siehe Brun, A. et Montagnier, H. F.
- Montessus de Ballore, F. de: Sur les tremblements de terre des Andes méridionales 06 I 41
- Sur les tremblements de terre de la Roumanie et de la Bessarabie 06 I 42
- Sur la coïncidence entre les géosynclinaux et les grands cercles de sismicité maxima 07 II 46
- Sur les prétendues lois de répartition mensuelle des tremblements de terre 08 I 50
- Modie, R. L.: The Sacrum of the Lacertilia 09 I 441
- Reptilian Epiphyses 09 I 442
- The relationship of the Turtles and Plesiosaurs 09 I 442
- Contribution to a monograph of the extinct Amphibia of North America. New forms from the Carboniferous 09 II 132
- The lateral line system in extinct Amphibia 09 II 135
- The ancestry of the caudate Amphibia 09 II 136
- The clasping organs of extinct and recent Amphibia 09 II 137
- Mordziol, C.: Ueber den Zusammenhang des Pliocäns des Mainzer Beckens mit dem am Niederrhein 08 I 268
- Ueber das jüngere Tertiär und das Diluvium des rechtsrheinischen Teiles des Neuwieder Beckens 09 I 239
- Beitrag zur Gliederung und zur Kenntnis der Entstehungsweise des Tertiärs im Rheinischen Schiefergebirge 09 I 240
- Ueber *Agnostus pisiformis* L. CBl 1908 535

- Morellet, L.: Deux Algues siphonnées verticillées du Thanétien de Boncourt (Oise) 1908 II 406
- Contribution à l'étude stratigraphique des Sables moyens de la vallée de la Marne entre Meaux et Chateau-Thierry 09 II 468
- Morgan, C. Lloyd, siehe Lloyd Morgan, C.
- Morgan, J. de: Mission scientifique en Perse. 3. Band: Études géologiques. Partie 4: Paléontologie. Mollusques fossiles par H. DOUVILLÉ 06 I 442
- Morin, M.: Sur la géologie de la vallée de la Marne entre Lagny et Chalifert (Seine et Marne) 09 II 468
- Sur l'Étage stampien et la présence des Grès de Romainville à Thorigny-Dampmard (Seine et Marne) 09 II 468
- Morozewicz, J.: Ueber Beckelith, ein Cero-Lanthano-Didymosilikat von Calcium 06 I 341
- Die Eisenerzlagertstätten des Magnetberges im südlichen Ural und ihre Genesis 06 I 380
- Ueber die chemische Zusammensetzung des Nephelins 09 I 9
- Beiträge zur Kenntnis des kohlensauren Calciums 09 II 341
- Ueber gewisse Unzulässigkeiten in der Experimentalmethodik CBl 1905 148
- Morris, H. C.: Hydrothermal activity in the veins at Wedekind, Nevada 05 I 426
- Morrison, M.: Notes on some of the Dykes and Volcanic Necks of the Sydney District with Observations on the Columnar Sandstone 07 I 402
- Moser, L. K.: Manganerzvorkommen von Kroglje bei Dolina in Istrien 05 I 99
- Bericht über die Ausgrabung in der Höhle am roten Felde oder auch Podkalem (Pokala) genannt 06 I 132
- Moses, A. J.: The crystallization of Molybdenite 05 II 8
- The crystallization of Luzonite; and other crystallographic notes 06 II 157
- Moses, A. J. und A. F. Rogers: Nachtrag zu dem Aufsätze „Formeln und graphische Methoden zur Bestimmung von Kristallen“ usw. 05 II 331
- Mostowich, Wl., siehe Doeltz, F. O.
- Moulin, F.: L'abri du Bau de l'Aubesier (Vaucluse) 06 I 134
- Le dépôt moustérien de la caverne de Chateaudouble, Var. 06 I 134
- Mouret, G.: Note sur Frayssinet-Le-Gélat (Lot) 06 I 290
- Moureu, Ch.: Sur la composition chimique des mélanges gazeux radioactifs qui se dégagent de l'eau de quelques sources thermales. Présence de l'hélium 07 II 53
- Sur les gaz des sources thermales. Détermination des gaz rares; présence général de l'argon et de l'hélium 08 I 364
- Moureu, Ch. et R. Biquard: Sur la présence du néon parmi les gaz de quelques sources thermales 08 I 365
- Sur le fractionnement des gaz rares des eaux minérales. Proportions d'hélium 08 I 365
- Mourlon, M.: L'extension probable du faciès marin du Tongrien supérieur aux environs de Bruxelles 05 II 431
- Compte rendu de l'Excursion géologique aux environs de Bruxelles dans la région faillée de Forest-Uccle 06 II 429
- Le Bruxellien des environs de Bruxelles 06 II 429
- Compte rendu de l'excursion géologique aux environs de Bruxelles, à l'occasion des grands déblais effectués à Forest pour la création de nouvelles avenues 08 II 93
- siehe Lorie, J.

- M r a z e c, L.: Distribuirea geologică a zonelor petrolifere în România 1906 II 390
 — siehe Alimanestianu, C.
 — siehe Duparc, L.
- M ü g g e, O.: Ueber die Kristallform und Deformationen des Bischofit und der verwandten Chlorüre von Kobalt und Nickel 06 I 91
 — Die Zersetzungsgeschwindigkeit des Quarzes gegenüber Flußsäure 07 II 178
 — Zur Hemiedrie des Sylvins CBl 1906 259
 — Radioaktivität als Ursache der pleochroitischen Höfe des Cor-dierit CBl 1907 397
 — Sandstein mit Flußspatzement CBl 1908 33
 — Ueber einige Demonstrationsversuche an Leucit, Kryolith, Perowskit, Gadolinit, Quarz und Quarzglas mit dem Lehmann'schen Erhitzungsmikroskop CBl 1908 34
 — Bemerkungen und Versuche zu Tschermak's Methode der Darstellung von Kieselsäuren durch Zersetzung der natürlichen Silikate CBl 1908 129
 — Zur Tschermak'schen Methode der Darstellung der Kieselsäuren CBl 1908 325
 — Radioaktivität und pleochroitische Höfe CBl 1909 65. 113. 142
 — Trigonale Hemiedrie CBl 1909 636
 — Ueber die Zustandsänderung des Quarzes bei 570° Festband 181
 — siehe Johnson, A.
- M ü h l b e r g, F.: Geologische Karte des unteren Aare-, Reuß- und Limmat-Tales in 1:25 000. Mit Erläuterungen 08 I 408
 — Geologische Karte der Lägernkette in 1:25 000. Mit Erläuterungen 08 I 408
 — Beobachtungen bei der Neufassung der Limmatquelle (zu Baden) und über die dortigen Thermen im allgemeinen 09 I 83
 — Einige Ergebnisse der staatlichen Kontrollbohrung auf Steinsalz bei Koblenz im Jahre 1903 09 I 105
 — Erläuterungen zu den geologischen Karten des Grenzgebietes zwischen dem Ketten- und dem Tafeljura im Maßstab 1:25 000. II. Teil. Geologische Karte des unteren Aare-, Reuß- und Limmattales 09 I 434
 — Ueber Härtebestimmung 07 I 190
- M ü l l e r, E.: Ueber die neueren Aufschlüsse im westlichen Gebiete des rheinisch-westfälischen Steinkohlenbeckens 07 I 412
 — Zur Kenntnis der Dyas- und Triasablagerungen im Ruhrkohlenrevier 07 I 412
 — Die Dyas und Trias an der holländischen Grenze 07 I 412
 — Lias und Rhät am Niederrhein 07 I 414
 — Die Lagerungsverhältnisse der unteren Kreide westlich der Ems und die Transgression des Wealden 07 I 434
 — siehe Koenen, A. v.
- M ü l l e r, G. und A. Wolle mann: Die Molluskenfauna des Unteren von Braunschweig und Ilsede. II. Die Cephalopoden 07 I 482
- M ü l l e r, H.: Esserit und verwandte Gesteine der Löwenburg im Siebengebirge am Rhein BB XXIII 406
- M ü l l e r, W.: Notiz über die Kugelgranite des Riesengebirges CBl 1908 137
- M ü l l e r, Wolf. J., siehe Königsberger, J.
- M ü n s t e r, H.: Die Brauneisenerzlagerstätten des Seen- und Ohmtals am Nordrand des Vogelsgebirges 07 I 77
- M u n c k, E. de: Découverte d'Éolithes sous le sable tertiaire (Om) de Rocourt-lez-Liège 09 I 107

Munier-Chalmas: Note sur la Zone d'Anvers (Bartonien inférieur)	1907	II	297
Munroe, Ch. E.: Artificial Hematite Crystals	09	I	8
Munthe, H., siehe Holm, G.			
Muret, E., siehe Finsterwalder			
— siehe Ried, H. F.			
Murgoci, G. M.: On the Genesis of Riebeckite and Riebeckite Rocks	07	II	224
— Gisement du succin de Roumanie avec un aperçu sur les résines-fossiles: succinite, romanite, schraufite, siméite, birmite etc., et une nouvelle résine-fossile d'Olănești	08	I	357
Mylius, F. und E. Groschuff: <i>a-</i> und <i>b-</i> Kieselsäure in Lösung	07	I	22

N.

Nacken, R.: Ueber Langbeinit und Vanthoffit ($K_2SO_4 \cdot 2MgSO_4$ und $3Na_2SO_4 \cdot MgSO_4$)	08	II	167
— Ueber die Bildung und Umwandlung von Mischkristallen und Doppelsalzen in den binären Systemen der dimorphen Sulfate von Lithium, Natrium, Kalium und Silber	BB	XXIV	1
— Ueber die gegenseitige Mischbarkeit der Kadmiumhalogene	CBI	1907	301
— Ueber den Verlauf der Erstarrungskurve eines binären Systems an einer Stelle, die dem Auftreten einer Verbindung entspricht	CBI	1907	329
— Ueber die umkehrbare Umwandlung des Kryoliths	CBI	1908	38
— siehe Cornu, F.			
Nägele, E.: Das „Neue Jahrbuch“ von 1807—1907	Festband	VII	
Nakamura, S.: Ueber einen Quarzhalbschattenapparat	CBI	1905	267
Nakamura, S. et Y. Yoshida: Etudes des Seiches au Japon; les Seiches des Lacs Biwa et Hakone	07	I	381
Napoli, F.: Contribuzione allo studio dei foraminiferi fossili dello strato di sabbie grigie alla Farnesina presso Roma	07	II	161
Nasini, R., F. Anderlini e M. G. Levi: Sulla radioattività dei soffioni boraciferi della Toscana e sulla quantità di emanazione in essi contenuta	05	II	344
Nasini, R. e M. G. Levi: Sulla radioattività della sorgente di Fiuggi presso Anticoli	08	II	53
Nathorst, A. C.: Bemerkungen über Clathropteris meniscioides BRONGNIART und Rhizopteris cruciata NATHORST	08	I	143
— Ueber Dictyophyllum und Camptopteris spiralis	08	I	144
— Paläobotanische Mitteilungen 1 und 2	08	I	145
— Ueber Trias- und Jurapflanzungen von der Insel Kotelny	08	I	146
— Ueber Thaumopteris Schenki NATH.	08	I	147
— Om några Ginkgoväxter fran kolgrufvorna vid Stabbarb i Skåne	08	I	147
— Paläobotanische Mitteilungen 3 und 4—6	09	I	152
— On the upper Jurassic Flora of Hope Bay, Graham Land	09	II	154
— Ueber die Gattung Nilssonia BRONGN. Mit besonderer Berücksichtigung schwedischer Arten	09	II	154
Naumann, E.: Aufnahmeergebnisse im SW. des Hainichs. Bericht über die Aufnahme der Blätter Henningsleben, Mihla und Treffurt in den Jahren 1903 und 1904	06	II	230
— Ueber eine präglaziale Fauna und über die Aequivalente der Ablagerungen des jüngeren Eises im Saaletale bei Jena	1908	II	97
— siehe Kaiser, E.			

- Naumann, E. und E. Picard: Ueber Ablagerungen der Ilm und Saale vor der ersten Vereisung Thüringens 1907 II 461 1908 I 434
- — Weitere Mitteilungen über das diluviale Flußnetz in Thüringen 08 II 248
- Négris, Ph.: Erwiderung an Herrn C. RENZ CBI 1909 605
- Nehring, A.: Ueber die Molluskenfauna aus dem Löß des Gipsbruches von Thiede bei Wolfenbüttel 05 I 309
- Neue Funde diluvialer Tierreste vom Seweckenberge bei Quedlinburg 06 I 140
- siehe Menzel, H.
- siehe Wolle mann, A.
- Nelson Dale, T., siehe Dale, T. Nelson.
- Nenadkewitsch, K.: Materialien zur Kenntnis der chemischen Zusammensetzung russischer Mineralien. I. Ueber Tetradymit aus russischen Goldlagerstätten 09 II 332
- II. Molybdänglanze 09 II 333
- Nernst, W., siehe Lehmann, O.
- Nernst, W. und H. v. Wartenberg: Ueber den Schmelzpunkt des Platins und Palladiums 08 I 9
- Nettekoven, A. und E. Geinitz: Die Salzlagerstätte von Jessenitz in Mecklenburg 07 I 87
- Neuberg, C.: Die Entstehung des Erdöls (künstliche Darstellung von optisch aktivem Petroleum) 08 II 41
- Neugebauer, Fr.: Ueber eine neue chemische Untersuchung des Dognacskaits 07 II 16
- Die Kristalltracht von einfachen und Karlsbader Zwillingen des Orthoklases 08 I 17
- Neumann, J.: Die Oxfordfauna von Cetechowitz 07 II 443
- Neumann, R.: Beiträge zur Kenntnis der Kreideformation in Mittel-Peru BB XXIV 69
- Eine Jura-Versenkung im unteren Wehratal CBI 1906 40
- Neumann-v. Erlanger, siehe Weber, M.
- Neumayer, L.: Ueber das Gehirn von *Adapis parisiensis* Cuv. 06 II 100
- Die Koproolithen des Perms von Texas 07 I 319
- Neumayr, M., siehe Uhlig, V.
- Neuwirth, V.: Der Albit von Zöptau in Mähren 05 I 186
- Der Epidot von Zöptau in Mähren 05 I 187
- Ueber einige interessante Epidotkristalle von Zöptau 05 I 187
- Die Zeolithe aus dem Amphibolitgebiet von Zöptau 06 I 343
- Die paragenetischen Verhältnisse der Minerale im Amphibolitgebiet von Zöptau 08 I 202
- Neviani, A.: Schizotheca serratumargo Hincks sp. Rettificazione di nomenclatura 05 II 143
- Briozoi fossili di Carrubare (Calabria) 05 II 144
- Newest, Th.: Einige Weltprobleme. Die Gravitationslehre — ein Irrtum CBI 1905 439
- Einige Weltprobleme. II. Teil. Gegen die Wahnvorstellung vom heißen Erdinnern CBI 1906 51
- Newland, D. H.: Occurrence of Unusually Large Calcite Crystals in New York State 08 II 16
- Newson, J. F.: A Natural Gas Explosion near Waldron, Indiana 05 I 57
- Clastic Dikes 06 I 224
- Newton, Edw. T., siehe Arnold-Bemrose, H. H. A.

Newton, R. B.: An Account of some Marine Fossils contained in Limestone Nodules found on the Mekran Beach, off the Ormara Headland Baluchistan	1906	I	117
— Notice of some Fossils from Singapore discovered by JOHN SCRIVENOR, Geologist to the Federated Malay States	07	I	287
— The Tertiary Fossils of Somaliland, as represented in the British Museum (Natural History)	07	II	303
Newton, R. B. and R. Holland: On some fossils from the Islands of Formosa and Riu-Kiu (Loo Choo)	06	II	9
Nichols, H. W.: New forms of concretions	08	II	6
Nicolaou, Th.: Der Aragonit von Sarul Dornei	07	II	356
Nicou, P.: Les calcaires asphaltiques du Gard	08	II	222
Niedźwiedzki, J.: Geologische Skizze des Salzgebirges von Wieliczka	05	II	117
— Zur mineralogischen Terminologie	CBl	1909	661
Nies, A. and E. Düll: Lehrbuch der Mineralogie und Geologie	CBl	1905	728
Nies, A. und V. Goldschmidt, Ueber Korund	08	II	97
Niethammer, G.: Die Klippen von Giswyl am Brünig	CBl	1907	481
Nodon, A.: Recherches sur les variations du potentiel terrestre	09	I	362
Noel, E.: Sur l'orientation que prend un corps allongé pouvant rouler sur les fonds dans un courant liquide	07	II	398
Nörregaard, E. M.: Bernstein und Retinit von dänischen Tertiärlagerungen	06	I	347
— Dolomitforekomsten ved Faxø	07	I	221
— Ueber sogenannten Aragonit und Strahlkies in dänischen Ablagerungen	08	I	201
Noetling, F.: Ueber die Ontogenie von <i>Indoceras baluchistanense</i> Noetling	05	I	1
— Die asiatische Trias. Lethaea geognostica. II. Teil: Das Mesozoicum. Bd. I: Trias. 2. Liefg.	06	I	410
— Weitere Mitteilungen über craquelierte Archäolithen aus Tasmanien	09	I	73
— Die Glazialschichten bei Wynyard in Nordwest-Tasmanien	09	II	163
— Vorläufige Mitteilung über die Entwicklung und die Gliederung der Tertiärformation im westlichen Sind (Indien)	CBl	1905	129. 161
— Bemerkungen über die angebliche Menschenspur im Sandstein von Warrambool (Victoria) Australien	CBl	1907	498
— Der Abdruck der Hinterfüße des rezenten Känguruhs	CBl	1908	725
— Sind die „craquelierten Feuersteine“ aus dem Oligocän von Thenay als Artefakte aufzufassen?	CBl	1908	748
— Entwurf einer Gliederung der jungtertiären und diluvialen Schichten Tasmaniens	CBl	1909	4
— siehe Basedow, H.			
— siehe Koken, E.			
Nold, A.: Grundlagen einer neuen Theorie der Kristallstruktur	1906	II	315. 316
Nopcsa, F. v.: Zur Kenntnis des Genus <i>Streptospondylus</i>	08	II	437
— Ideas on the origin of flight	09	I	282
— Zur Kenntnis der fossilen Eidechsen	09	I	447
— Neues aus Nordalbanien	CBl	1906	65
— Zur systematischen Stellung von <i>Palacrodon</i>	CBl	1907	526
Nordenskjöld, A. E.: Einige Bemerkungen zu der brieflichen Mitteilung des Herrn Professors CLEMENS WINKLER über die Zusammensetzung des Eisens von Ovifak etc.	05	I	367
— Ueber die Säugetierfossilien des Tertiärs, Südamerika. I. <i>Mastodon andium</i> Cuv.	05	I	336

Nordenskjöld, O.: Petrographische Untersuchungen aus dem westantarktischen Gebiete	1906	II	71
Nordmann, V.: Danmarks Pattedyr i Fortiden	06	I	445
Norton Evans, N.: Chrysoberyl from Canada	07	I	19
Norton Evans, N. and J. A. Bancroft: On the occurrence of Gedrite in Canada	09	II	344
Novarese, V.: Nuovi giacimenti piemontesi di giadeititi e rocce giadeitoidi	05	II	67
— La grafite nelle Alpi piemontese	06	I	329
— A proposito di un Trattato di petrografia di E. WEINSCHEK e sul preteso rapporto fra le rocce della zona d'Ivrea e le pietre verti della zona dei calcescisti	07	I	228
Nowomejsky, M. A.: Das Vorkommen von Glaubersalz (Mirabilit) und Solquellen am Jenissei-Flusse in Sibirien	09	II	246
— siehe Salomon, W.			
Nuesch, J.: Das Keflerloch bei Thayingen, Kanton Schaffhausen	07	I	294
Nußberger, G.: Die chemische Untersuchung der Mineralquelle Chasellas bei Campfer (Oberengadin)	07	II	87
Nußberger, G. und H. His: Die chemische Untersuchung einiger Mineralquellen des Unterengadins	07	II	87

O.

Oberdorfer, R.: Die vulkanischen Tuffe des Ries bei Nördlingen	06	II	203
Obermaier, H.: La station paléolithique de Krapina	06	II	277
— Les restes humains quaternaires dans l'Europe centrale	07	I	120
Ochoa, N. G.: Recursos Minerales de la Provincia de Huánuco	05	I	388
Ochsenius, C.: Ueber junge Hebungen in den Anden	05	I	232
— Ueber den Untergrund von Venedig	05	II	123
— Salpeterablagerung in Chile	06	I	238
— Die Abtrennung voller Seebecken vom Meere infolge von Hebungen	06	II	194
— Hebungen und Verhinderung des Versalzens abflußloser Becken	06	II	194
— Uebereinstimmung der geologischen und chemischen Bildungsverhältnisse in unseren Kalilagern	07	I	88
Ohlshausen: Ueber einen Ausflug nach den diluvialen Fundstätten bei Schönebeck a. E.	06	I	130
Ohnesorge, Th.: Die vorderen Kuchetaier Berge (Hochedergruppe)	08	II	66
— Ueber Vesuviaschenfälle im nordöstlichen Adriagebiete im April 1906	09	I	362
— Ueber Silur und Devon in den Kitzbühler Alpen	09	I	415
Olbricht, K.: Ueber das Klima der Postwürmzeit und die Bedeutung der Terrassen des Imenautales (Lüneb. Heide) für die Erkenntnis desselben	CBl	1909	599
— Ueber einige ältere Verwitterungserscheinungen in der Lüneburger Heide	CBl	1909	690
Oldham, R. D.: A Note on the Sandhills of Clifton near Karachi	05	II	417
— The rate of transmission of the Guatemala earthquake, April 19, 1902	07	II	47
— The Constitution of the Interior of the Earth, as revealed by Earthquakes	07	II	207

	Jahrg. Bd. Seite
Oliver, F. W.: Lyginodendron	1907 I 163
— The Ovules of the older Gymnosperms	07 I 163
— On Physostoma elegans WILLIAMSON. An Archaic Type of Seed from the Palaeozoic Rocks	09 I 309
Oliver, F. W. and D. H. Scott: On Lagenostoma Lomaxi, the Seed of Lyginodendron	07 I 163
— — On the structure of the Palaeozoic Seed Lagenostoma Lomaxi, with a statement of the evidence upon which it is referred to Lyginodendron.	07 I 163
Olszewski, St.: Ueber die Rohöl führenden miocänen resp. oberoligocänen Schichten des Tales Putilla in der Bukowina	06 I 237
Oort, E. D. van: Notiz über <i>Halitherium</i>	CBI 1905 21
Oppenheim, P.: Revision der tertiären Echiniden Venetiens und des Trentino, unter Mitteilung neuer Formen	05 II 149
— Ueber Tertiärfossilien, wahrscheinlich eocänen Alters, von Kamerun. ESCH: Beiträge zur Geologie von Kamerun	06 II 122
— Ueber die Fossilien der Blättermergel von Theben.	06 II 122
— Ueber einige Fossilien des Côte des Basques bei Biarritz	06 II 439
— Ueber das Miocän in Oberschlesien	07 II 294
— Ueber eine Eocänfauna von Ostbosnien und einige Eocänfossilien der Herzegowina	09 I 292
— Ueber von Herrn A. v. Le Coq gesammelte Heterastridien vom Karakorumpasse (Kleintibet)	CBI 1907 722
— Noch einmal über <i>Kerunia cornuta</i> May.-Eymar aus dem Eocän Aegyptens	CBI 1907 751
— Ueber die Gattung <i>Campanile</i> Bayle und über eine Anzahl von <i>Cerithien</i> , zumal des älteren Tertiär	CBI 1909 203
Oppenheimer, J.: Der Malm der Schwedenschanze bei Brünn	08 I 421
Ordóñez, E.: A brief Review of the Mining Industry of Mexico	09 II 82
Ortmann, A. E.: Patagonian Geology	1905 I 132. 144
— The geographical distribution of freshwater Decapodes and its bearing upon ancient geography	05 II 318
Ossann, A.: Beiträge zur chemischen Petrographie. I. Teil: Molekularquotienten zur Berechnung von Gesteinsanalysen	05 I 57
— Notes on archæan rocks of the Ottawa Valley.	05 I 248
— Versuch einer chemischen Klassifikation der Eruptivgesteine. IV. u. Schluß	05 I 412
— Beiträge zur chemischen Petrographie. II. Teil. Analysen der Eruptivgesteine aus den Jahren 1884—1900. Mit einem Anhang: Analysen isolierter Gemengteile	06 I 203
— Ueber einen nephelinreichen Gneis von Cevadaes, Portugal	07 II 109
— Ueber einige Alkaligesteine aus Spanien	07 II 407
— Ueber einen Enstatitaugit führenden Diabas von Tasmanien	CBI 1907 705
Osborn, H. F.: An Armadillo from the Middle Eocene (Bridger) of North America	05 II 125
— Ornitholestes Hermanni, a new compsognathoid Dinosaur from the Upper Jurassic	06 I 152
— New Miocene Rhinoceroses with Revision of known Species	06 II 133
— Recent vertebrate Paleontology	07 I 126
— The vertebrates of the Mid-Cretaceous	07 I 439
— Ten years progress in the Mammalian Palaeontology of North America	07 I 454
— A mounted skeleton of Naosaurus, a Pelycosaur from the Permian of Texas	07 II 329

Osborn, H. F.: Tyrannosaurus and other cretaceous carnivorous Dinosaurs	1907	II	492
— New fossil mammals from the Fayum, Oligocene, Egypt.	08	II	427
Osborn, H. F. and L. M. Lamb: On Vertebrata of the Mid-Cretaceous of the North West Territory. 1. OSBORN: Distinctive characters of the Mid-Cretaceous fauna. 2. LAMB: New genera and species from the Belly river series (Mid-Cretaceous)	07	I	439
Osburn, R. C.: Adaptation to aquatic, arboreal, fossorial and cursorial habits of Mammals	06	I	134
Osimio, G.: Il genere „Siderolithes“ LAMK.	08	II	285
— Di alcuni foraminiferi dell' Eocene superiore di Celebes	08	II	285
Osmond, F., siehe Moissan, H.			
Osmond, F. et G. Cartaud: Sur les fers météoriques	05	I	215
— — Sur le polissage et les phénomènes scientifiques connexes	06	I	8
— — Les figures de pression ou de percussion sur les métaux plastiques cristallisés	07	I	189
— — Sur la cristallographie du fer	1908	I	171. 172
Osmond, F. et Ch. Frémont: Les propriétés mécaniques du fer en cristaux isolés	07	I	17
Ossat, G. Angelis d', siehe Angelis d'Ossat, G. de.			
Ostermayer, A.: Beiträge zur Kenntnis der Basalte des Haßgaues	08	II	368
Ozegow, P.: Ueber die Zersetzung des Eisenkieses durch Wasserstoffsuperoxyd	05	II	11

P.

Palache, Ch.: On Octahedrite, Brookite and Titanite from Somerville, Massachusetts, U. S. A.	07	II	381
— Occurrence of Olivine in the Serpentine of Chester and Middlefield, Mass.	09	I	15
— Mineralogical notes	09	I	20
Palache, Ch. and C. H. Warren: Kröhnkite, Natrochalcite (a new mineral) and other Sulphates from Chile	09	II	203
Palache, Ch. and H. O. Wood: A cristallographic Study of Millerite	1906	I	12
Pálffy, M. v.: Die oberen Kreideschichten in der Umgebung von Alvincz	05	I	301
— Die linke Seite des Aranyos-Tales zwischen Tepánfalva und Offenbanya	06	I	260
— Ueber die geologischen und hydrologischen Verhältnisse von Borszékfördö und Gyergyóbelbor	06	II	94
— Beiträge zur genaueren Kenntnis des Gesteins vom Kirnik bei Verespatak	07	I	64
— Geologische Notizen aus dem Tale des Aranyos-Flusses	07	I	106
— Einige Bemerkungen zu Bergassessor SEMPER's Beiträgen zur Kenntnis der Goldlagerstätten des Siebenbürgischen Erzgebirges	07	I	252
— Zwei neue Inoceramus-Arten aus den oberen Kreideschichten der siebenbürgischen Landesteile	07	I	485
— Das Goldvorkommen im Siebenbürgischen Erzgebirge und sein Verhältnis zum Nebengestein der Gänge	09	I	231
Palloux, A.: Contributi alla mineralogia della Sardegna. II. Sopra alcuni cristalli di idocrasio del Sarrabus e dell'Iglesiente	09	II	25

	Jahrg.	Bd.	Seite
Pampaloni, L.: Microflora e microfauna fossile nel disodile di Melilli in Sicilia	1905	II	152
— I resti organici nel disodile di Melilli in Sicilia	05	II	152
Panebianco, R.: Encore sur les paramètres d'équivalence, ou sur l'ingénieuse théorie de BARLOW et de POPE	09	II	328
Panichi, U.: Sulla variazione dei fenomeni ottici dei minerali al variare della temperatura	08	I	163
Pannekoek, J. J.: Geologische Aufnahme der Umgebung von Seelisberg	09	I	84
Pantaneli, D.: Sur les puits artésiens	05	I	54
— Peso specifico e indice di refrazione del quarzo fuso	05	II	14
— Di un pozzo artesiano nella pianura fra Viareggio e Pietrasanta	06	II	79
— Su gli otolithi fossili	06	II	297
Panzer, Th., siehe Ludwig, E.			
Paolo, P.: Contributo allo studio dei Radiolari miocenici italiani	09	II	490
Papius, K. v.: Das Radium und die radioaktiven Stoffe. Gemeinverständliche Darstellung nach dem gegenwärtigen Stande der Forschung mit Einflechtung von experimentellen Versuchen und unter besonderer Berücksichtigung der photographischen Beziehungen	05	II	336
Papp, K. v.: Vorläufige Mitteilung über den miocänen Balaenopteriden von Borbolya	05	II	305
— Heterodelphis leiodontus n. f. aus den miocänen Schichten des Komitates Sopron in Ungarn	06	II	449
— Die geologischen Verhältnisse in der Umgebung von Petris	07	I	273
— Die Goldgruben von Karács-Czebe in Ungarn	08	I	403
— Beschreibung der während der Forschungsreisen M. v. DECHYS im Kaukasus gesammelten Versteinerungen	08	II	81
Papperitz, E.: Die Gebäude und Einrichtungen der Königlich Sächsischen Bergakademie zu Freiberg nach der Vollendung des Um- und Erweiterungsbaues im Oktober 1906	07	I	371
— Ueber die Entwicklung der Freiburger Bergakademie seit ihrer Begründung im Jahre 1765	07	I	371
— CLEMENS WINKLER	07	I	371
— ADOLF LEDEBUR	07	I	371
Paquier, V.: Feuilles de Privas et Vizille	05	I	281
— Explorations géologiques exécutées dans le Dauphiné pendant l'année 1900	07	II	124
Parisch, C.: Di alcune Nummuliti e Orbitoidi dell' Apennino ligure-piemontese	08	II	286
Park, J.: On the jurassic Age of the Maitai Series	05	II	275
— On the Age and Relations of the New Zealand Coalfields	05	II	277
— On the subdivision of the Lower Mesozoic rocks of New Zealand	05	II	418
— On the geology of North Head, Waikouaiti, and its relation to the geological history of Dunedin	05	II	421
— On the discovery of permo-carboniferous rocks at Mount Mary, North Otago	05	II	423
— On the marine tertiaires of Otago and Canterbury, with special reference to the relations existing between the Pareora and Oamaru series	06	I	433
— Description of a new species of Pecten from the Oamaru series	06	I	467
— On the fixing of datum-marks on the coastline for the measurement of the secular movements of the land	07	II	45

	Jahrg.	Bd.	Seite
Parkinson, J.: The Rocks of Northern Guernsey	1909	II	229
Parks, W. A.: A remarkable Parasite from the Devonian rocks of the Hudson bay slope	07	I	156
Parnell, P. F.: Beiträge zur petrographischen Kenntnis einiger foyaitisch-thermalitische Gesteine aus Tasmanien	08	I	388
Parsons, J.: Additional report on an occurrence of Cassiterite	06	I	166
— siehe Coomaraswamy, A. K.			
Pasquale, M.: Revisione dei Selaciani fossili dell' Italia meridionale	05	II	479
Patten, W.: On the Origin of Vertebrates. With special Reference to the structure of Ostracodermes	05	II	133
Patton, H. B., siehe Diller, J. S.			
Paulcke, W.: Geologische Beobachtungen im Antirhätikon	08	I	251
Pauly, A.: Ein neues Mineral der Zeolithgruppe	08	I	32
— Zur mikroskopischen Charakterisierung des Sarkolith	CBI 1906		266
Pavlović, P. S.: Beitrag zur Kenntnis der Foraminiferen aus den II. Mediterranschichten in Serbien	09	II	147
Pavlow, A. W.: Sur la distribution des dépôts jurassiques dans la Russie sudorientale	07	I	283
Pavlow, M.: Selenodontes posttertiaires de la Russie. IX. Études sur l'histoire des Ongulés	07	II	299
— Description des mammifères fossiles, recueillis durant l'expédition polaire Russe en 1900—1903. Resultats scientifiques de l'Expedition Russe en 1900—1903 sous la direction du Baron E. TOLL	07	II	301
— Rhinoceros Schleiermacheri KAUP des environs d'Ananjew	07	II	478
— Dinotherium giganteum KAUP des environs de Tiraspol	07	II	479
Pavlow, P.: Thermodynamische Kristalleigenschaften	05	II	169
— Ueber einige Eigenschaften der Kristalle vom Standpunkte der Thermodynamik	07	I	183
— Ueber die Abhängigkeit zwischen der Kristallform und dem Zustande der Lösung	07	I	184
— Ueber die Bedingungen der Bildung von Kristallen verschiedener Form in einem flüssigen Medium	07	II	11
Pavlow, P. (Pawloff, P.), siehe Pockels, F.			
Pawloff, P.: Die thermodynamische Theorie der Kristalle	CBI 1907		711
Pax, F.: Einige fossile Insekten aus den Karpathen	08	II	113
Pearce, F.: Ueber die optischen Eigenschaften der Kristalle im konvergenten polarisierten Lichte	07	I	187
— siehe Duparc, L.			
Pearce, R.: Cassiteritpseudomorphs from Bolivia	08	II	300
Peck, F. B.: Geology of the Cement Belt in Lehigh and Northampton Counties, Penna., with a Brief History of the Origin and Growth of the Industry and a Description of the Methods of Manufacture	09	II	244
Pélabon, H.: Sur la fusibilité des mélanges de protosulfure de bismuth et de sulfure d'argent, de protosulfure de bismuth et de sulfure d'antimoine	05	I	12
Pelacani, L.: Studio chimico delle zeoliti di Montresta (Sardegna)	09	II	26
Pelikan, A.: Cordierithornfels aus dem Kontakthofe von Rican, südöstlich von Prag	08	I	58
— Ueber zwei Gesteine mit primärem Analcim nebst Bemerkungen über die Entstehung der Zeolithe	08	I	376
Pellat, E.: Note sur le Toxaster amplus DESOR	05	II	149

- Pelloux, A.: Contributi alla mineralogia della Sardegna. I. Atacamite, valentinite, leadhillite, caledonite, linarite e altri minerali dell' Argentiera della Nurra (Portotorres) 1906 I 31
- Penck, A.: Die alpinen Eiszeitbildungen und der prähistorische Mensch. 06 II 270
- Die Entstehung der Alpen 09 II 45
- Penck, A. und F. Becke: Das Durchbruchthal der Wachau und die Lößlandschaft von Krems 05 II 295
- Penck, A. und E. Brückner: Die Alpen im Eiszeitalter 05 II 39
- Penck, siehe Boule, M.
- Penecke, A.: Ueber eine neue Korallengattung aus der Permformation von Timor. Aus: R. D. M. VERBEEK, Rapport sur les Moluques 09 II 141
- Penfield, G. L.: Tables of Minerals including Uses of Minerals and Statistics of the Domestic Production CBI 1908 90
- Penfield, S. L. and W. E. Ford: On Stibiotantalite. 07 II 185
- Penfield, S. L. and G. S. Jamieson: On Tychite, a new mineral from Borax Lake, California, and on its artificial production and its relation to Northupite 06 II 162
- Penfield, S. L. and F. C. Stanley: On the chemical composition of Amphibole 08 II 22
- Penrose jr., R. A. F.: Die Zimmerzylinderstätten der malayischen Halbinsel, insbesondere die des Kinta-Distriktes 05 I 100
- Penther, A., siehe Seemann, Fr.
- Perdue, M. J., siehe Grant, U. S. and Perdue, M. J.
- Peron, A.: Note stratigraphique sur l'étage Aptien dans l'est du Bassin Parisien 06 I 291
- Etudes paléontologiques sur les terrains du département de l'Yonne. II. Les Néréidés des terrains jurassiques 06 I 317
- Perry, J. H.: Geology of Monadnock Mountain, New Hampshire 06 II 215
- siehe Emerson, B. K. and Perry, J. H.
- Peruzzi, L.: Sui calcare a brucite di Teulada e sulla composizione mineralogica della predazzite 06 II 329
- Pervinchière, L.: Le Jurassique du Sud Tunesien 06 I 283
- Petersen, J.: Ergebnisse der petrographischen Untersuchung der im zentralen Tien-schan und Dsungarischen Ala-tau während der SAPOSCHNIKOW'schen Expedition im Sommer 1902 von Dr. MAX FRIEDERICHSEN gesammelten kristallinen Gesteine 05 II 68
- Peterson, O. A.: Osteology of Oxydactylus, a new genus of camels from the Loup Fork of Nebraska, with descriptions of two new series 06 I 144
- New Suilline Remains from the Miocene of Nebraska 07 I 302
- Description of new Rodents and Discussion of the Origin of Daemonelex 07 I 460
- The Agate Spring Fossil Quarry 07 II 485
- The Miocene beds of Western Nebraska and Eastern Wyoming and their Vertebrate Faunae 07 II 486
- Pethö, J.: Die Kreide-(Hypersenon-)Fauna des Peterwardeiner (Péterváradu) Gebirges (Fruska Gora) 06 II 266
- Petitclerc, P.: Le Callovien de Baume-les-Dames (Doubs), sa faune 07 I 282
- Petrascheck, W.: Die Ammoniten der sächsischen Kreideformation 05 I 353
- Ueber Inoceramen aus der Kreide Böhmens und Sachsens 05 I 356

	Jahrg. Bd. Seite
Petrascheck, W.: Ueber Gesteine der Brixener Masse und ihrer Randbildungen	1905 II 379
— Bericht über einige Exkursionen in die ostböhmisches Kreide	06 I 285
— Zur Geologie des Heuscheuergebirges	06 I 286
— Ueber die jüngsten Schichten der Kreide Sachsens	06 I 283
— Die Kreideablagerungen bei Opočno und Neustadt im östlichen Böhmen	06 I 287
— Ueber das Vorhandensein von Malnitzer Schichten in der Gegend von Choteboř in Ostböhmen	06 I 289
— Ergänzungen zu J. J. JAHN's Aufsatz über ein Bonebed aus der böhmischen Kreide	06 II 428
— Welche Aussichten haben Bohrungen auf Steinkohle in der Nähe des Schwadowitzer Carbons?	07 I 82
— Geologisches über die Radioaktivität der Quellen, insbesondere derer von St. Joachimsthal	09 II 373
Peyrony, siehe Capitän.	
Pfaff, F. W.: Ueber Schwereänderungen und Bodenbewegungen in München	09 I 198
— <i>Ueber Dolomit und seine Entstehung</i>	BB XXIII 529
Pfizenmayer, E.: Beitrag zur Morphologie des Elephas primigenius BLUM. und Erklärung meines Rekonstruktionsversuches	07 II 477
Phalen, W. C.: Origin and Occurrence of Certain Iron Ores of Northeastern Kentucky	09 I 391
Philipp, H.: Beobachtungen über die Vesuv-Eruption März—April 1906	07 I 44
— Resorptions- und Injektionserscheinungen im südlichen Schwarzwald	09 I 55
— <i>Vorläufige Mitteilungen über Resorptions- und Injektionserscheinungen im südlichen Schwarzwald</i>	CBl 1907 76
Philippi, E.: Lethaea geognostica. II. Teil. Das Mesozoicum. 1. Heft. Trias. 1. Lieferung: Einleitung des Mesozoicum und der Trias vom Herausgeber, Kontinentale Trias von E. PHILIPPI, mit Beiträgen von J. WYSOGÓRSKI	05 I 290
— <i>Ueber Facettengeschiebe aus norddeutschem Diluvium</i>	06 I 71
— Die Geologie des von der deutschen Südpolar-Expedition besuchten antarktischen Gebietes	06 II 51
— Moorbildungen auf Kerguelen	06 II 51
— Windwirkungen, beobachtet auf der deutschen Südpolar-expedition	06 II 352
— Einige Bemerkungen über seine Beobachtungen am Vesuv im April 1906	08 I 218
— Geologischer und chemischer Bericht (Deutsche Südpolar-expedition)	09 I 201
— <i>Vorläufige Mitteilung über den Fund von Facettengeschieben im norddeutschen Diluvium</i>	CBl 1905 655
— <i>Ueber junge Intrusionen in Mexiko und ihre Beziehungen zur Tektonik der durchbrochenen Schichtgesteine, nach den Forschungen von E. Böse und C. Burckhardt</i>	CBl 1907 449
— <i>Ueber die permische Eiszeit</i>	CBl 1908 353
— <i>Ueber Dolomitbildung und chemische Abscheidung von Kalk in heutigen Meeren</i>	Festband 397
Philips, W. B.: The Quicksilver Deposits of Brewster County, Texas	07 II 80
Phillips, A. H.: Radium in American Ore	05 I 10

Piaz, G. Dal: Su alcune impronte vegetali nei micascisti del Trentino	1905	II	90
— Sugli avanzi di <i>Cyrtodelphis sulcatus</i> del arenaria di Belluno	06	I	147
— <i>Neosqualodon</i> , nuovo genere della familia degli <i>Squalodonti</i>	07	I	138
— Sulla fauna liasica delle Tranze di Sospirolo. Parte I	08	I	423
— Ueber das Alter der Korallenkalkformation von Monte Zovo bei Mori (Trient)	CBI	1908	104
Picard, E.: Zur Kenntnis der obersten Saaleterrasse auf Blatt Naumburg a. S.	06	II	431
— <i>Erwiderung gegen E. Wüst</i>	CBI	1907	59
— siehe Naumann, E.			
Pickering, W. H.: The place origin of the moon — the volcanic problem	09	II	46
Pieszczyk, E.: Zur Natur der farbigen Steinsalze	07	II	174
— Zur Natur des blauen Steinsalzes	07	II	174
Piette, Ed.: Classification des sédiments formés dans les cavernes pendant l'âge du renne	06	I	130
Pilipenko, P.: Ueber den Apophyllit von der Unteren Tersja, einem rechten Nebenflusse des Tomj	09	II	27
— Materialien zur Mineralogie Sibiriens	1909	II	357, 368
Pilz, R.: Die Bleiglantzlagerstätten von Mazarrón in Spanien	07	II	82
— Die Erzlagerstätten von Cartagena in Spanien	09	II	82
Piolti, G.: Gabbro orneblendico e Saussurite di Val della Torre (Piemonte)	05	II	224
— Sull' apfite di Cesana Torinese	06	I	376
— Sull' alterazione della Lherzolithe di Val della Torre (Piemonte)	07	I	68
— Sulla breunerite di Avigliana	08	I	16
Piroutet, M.: Préhistorique de la Franche Comté	05	I	323
— Note préliminaire sur la géologie d'une partie de la Nouvelle Calédonie	05	II	273
— Note sommaire sur le Trias de la Nouvelle Calédonie	09	I	105
Pirsson, L. V.: Petrography and Geology of the igneous rocks of the Highwood Mountains, Montana	06	II	373
— The Petrographic Province of Central Montana	07	II	231
— Contributions to the Geology of New Hampshire. No. III. On Red Hill, Moultonboro. With analyses by H. S. WASHINGTON	09	II	357
— Rocks and rock minerals, a manuel of the elements of petrology without the use of the microscope for the geologist, ingeneer, miner, architect etc. and for instruction in colleges and schools	CBI	1909	411
— siehe Cross, W.			
Pirsson, L. V. and H. S. Washington: Contributions to the Geology of New Hampshire. No. I. Geology of the Belknap Mountains	07	II	236
— — Contributions to the Geology of New Hampshire: No. II, Petrography of the Belknap Mountains	08	I	379
Pisani, F.: Examen de plusieurs minéraux au point de vue de leur radioactivité	06	I	3
Pittman, E. F.: The Auriferous Deposits of Lucknow	07	I	409
— The Auriferous Ore-beds of the Lyndhurst Goldfield	07	I	410
Piutti, A. e L. d'Emilio: Analisi dell' acqua Apollo delle Sorgenti di Agnano	06	II	79
Piwowar, A.: Ueber Maximalböschungen trockener Schuttkegel und Schutthalden	07	I	380

- Pjetursson, H.: On a Shelly boulderclay in the so-called Palagonite Formation of Iceland 1905 II 294
- The Crag of Iceland — an Intercalation in the Basalt-formation 07 I 113
- *Das Pleistocän Islands* CBl 1905 740
- *Zur Forschungsgeschichte Islands* CBl 1906 566
- Plagemann, A.: Der Chilesalpeter 07 I 88
- Platzmann, J.: Weltentod. Kosmologische Betrachtungen CBl 1906 51
- Platania, G.: Aci Castello. Ricerche geologiche e vulcanologiche 05 I 48
- Sur les anomalies de la gravité et les bradysismes dans la région orientale de l'Étna 05 I 48
- Sulla velocità dei microsismi vulcanici 06 II 188
- Su un moto differenziale della spiaggia orientale dell' Etna 06 II 349
- Origine della „Timpa“ della scala. Contributo allo studio dei burroni vulcanici 07 I 220
- Platania, G. et G. Platania: Effets magnétiques de la foudre sur les roches volcaniques 07 II 389
- Platen, P.: Untersuchungen fossiler Hölzer aus dem Westen der Vereinigten Staaten von Nordamerika 09 I 149
- Plattner, C. F.: Probierkunst mit dem Lötrohr CBl 1908 48
- Plieninger, F.: *Notizen über Flugsaurier aus dem Lias Schwabens* CBl 1906 290
- *Ueber die Hand der Pterosaurier* CBl 1906 399
- Plzák, F. und V. Rosický: Ueber den Fichtelit von Borkovic in Böhmen 1908 II 39. 328
- Poch, Bofily, siehe Almera, D. J. et Bofily Poch.
- Pockels, F.: Bemerkung zur Abhandlung des Herrn C. VIOLA über „Theorie und Anwendung der symmetrischen Minimalablenkung durch anisotrope Prismen“ 08 II 142
- *Bemerkungen zu den theoretischen Arbeiten von P. Pawlow (= Pawloff od. Pawlow) über das Wachstum und die Auflösung der Kristalle* CBl 1906 466
- Lehrbuch der Kristalloptik CBl 1906 681
- *Bemerkungen zu Herrn Pawlow's „thermodynamischer Theorie der Kristalle“*. Erwidernng CBl 1907 737
- siehe Pawlow, P.
- Počta, Ph.: Weitere Umgebung Prags 07 II 105
- *Ueber die Anfangskammer von Orthoceras* CBl 1907 527
- Počta, Ph., A. Slavík und J. N. Woldřich: Exkursion in die Kreide Böhmens 05 II 113
- Pöschl, V.: Experimentelle Untersuchungen an isomorphen Silikaten 1909 II 163 CBl 1906 571
- Pohl, O.: Basaltische Ergußgesteine vom Tepler Hochland 1906 II 355 09 II 221
- Pohl, R., siehe Dittrich, M.
- Pohlig, H.: Die Eiszeit in den Rheinlanden 05 II 447
- Entdeckung der Dinotheriensande am Niederrhein 07 II 451
- Zur Lakkolithenfrage 09 I 53
- Poljnow, B.: Ueber die Bildung von Chlornatriumhydrat in der Kependjaischen Salzquelle im Jakutskischen Gebiete (nach Beobachtungen von P. DRAWERT) 09 II 12
- Polkinghorne, B. C., siehe Wright, W.
- Pompeckj, J. F.: Mastodon-Reste aus dem interandinen Hochland von Bolivia 07 I 128

- Pompeckj, J. F.: Eine durch vulkanische Tuffbreccie ausgefüllte Spalte im Urach-Kirchheimer Vulkangebiet der Schwäbischen Alb. 1907 II 394
- Notes sur les Oxynoticeras du Sinémurien supérieur du Portugal et remarques sur le genre Oxynoticeras. 07 II 494
- *Barchane in Süd-Peru* CBl 1906 373
- Popescu-Voitesti, T.: Abnormale Erscheinungen bei Nummuliten 09 I 136
- Popoff, B.: Eine neue Untersuchungsweise sphärolithischer Bildungen 06 I 204
- Zur Frage von der Entstehung terrassenähnlicher Abstufungen an moränenbedeckten Gebirgsabhängen unter Inlandeis gewesener Gebiete 07 I 88
- Popoff, S.: Kristallinische Phosphate von der Küste der Straße von Kertsch 09 II 30
- Materialien zur Mineralogie der Krim 1909 II 361. 367
- *Ueber zwei neue phosphorhaltige Mineralien von den Ufern der Straße von Kertsch* CBl 1906 112
- Popovici-Hatzeg, V.: Les Céphalopodes du Jurassique moyen du Mont Strunga (Massif de Bucegi, Roumanie) 06 II 120
- Poppius, B., siehe Ramsay, W.
- Porter, siehe Teall.
- Portis, A.: Un interessante fossile dei Peperini 06 I 144
- Ancora delle specie Elephantine fossili in Italia 06 I 146
- Posewitz, Th.: Das Talabor-Tal zwischen den Ortschaften Szinevér und Kövesliget 06 I 259
- Das Nagyág-Tal in der Umgebung von Berezna und Vueskmezö 07 I 105
- Potonié, H.: Abbildungen und Beschreibungen fossiler Pflanzenreste der paläozoischen und mesozoischen Formationen 1906 I 157
- Ueber die Flora der Etage H. In J. J. JAHN: Ueber die Etage H im mittelböhmischen Devon 06 II 145
- Ueber rezenten Pyropissit 06 II 347
- Potonié, H. et Ch. Bernard: Flore Dévonienne de l'étage H DE BARRANDE. Avec 156 fig. dans le texte. (Suite de l'ouvrage: Système silurienne du centre de la Bohême par JOACHIM BARRANDE, édité aux frais du fonds BARRANDE.) 06 II 145
- Prandtl, W.: Ueber den Ardennit 06 I 340
- Prather, J. K.: Glauconite 07 I 31
- Pratt, J. H.: The Production of Abrasive Materials in 1902 05 I 208
- The Production of Barytes in 1902, with a Note on Strontium 05 I 208
- The Production of Chromite or Chromic Iron Ore 05 I 208
- The Production of Fluorspar and Cryolite in 1902 05 I 209
- The Production of Asbestos in 1902 05 I 209
- The Production of Asbestos in 1903 05 II 22
- The Production of Talc and Soapstone in 1903 05 II 22
- The Production of Monazite and Zircon in 1903 05 II 29
- The Occurrence of Sulphur and Pyrite and their Production in 1903 06 I 328
- The production of steel hardening metals 06 I 355
- siehe Struthers, J.
- Prehlik, A.: Morphologie der böhmischen Baryte. I. 08 I 35
- Preiswerk, H.: Anhydritkristalle aus dem Simplontunnel 05 I 33
- Der Serpentin am Geißpfad (Oberwallis) 05 II 220

- Preiswerk, H.: Ueber Dunitserpentin am Geißpfadpaß im Oberwallis 1905 II 220
- Die metamorphen Peridotite und Gabbrogesteine in den Bündner Schiefen zwischen Visp und Brig, Wallis 05 II 221
- Diopsid aus dem Eozoonkalk von Côte St. Pierre (Canada) 06 II 168
- Die Kieslagerstätten von Aznalcollar (Provinz Sevilla) 08 I 85
- Malchite und Vintlite im „Strona-“ und „Sesiagneis“ (Piemont) 08 II 215
- Die Grünschiefer in Jura und Trias des Simplongebietes. Erster Teil der Geologischen Beschreibung der Lepontinischen Alpen 09 I 59
- *Sodalithtrachyt vom Pico de Teyde (Teneriffa)* CBl 1909 393
- siehe Schmidt, C.
- Preller, C. S. Riche, siehe Riche Preller, C. S.
- Prendel, R.: Einige Worte über eine eigentümliche Zwillingungsverwachsung bei Bergkristallen vom Berge Kasbek 07 II 356
- Prescott, B.: Ilvaite from Shasta Co., California 09 II 346
- Preumont, G. F. J.: Notes on the Geological Aspect of some of the North-Eastern Territories of the Congo Free State with Petrological Notes by J. A. HOWE 07 I 237
- Preuner, G.: Die Isotherme der Schwefeldissoziation bei 448° 05 I 365
- Preuße, C.: Das Gebiet von El Oro und Talpujahu 07 I 256
- Prever, P. L.: Considerazioni sullo studio delle Nummuliti
- Ueber einige Nummuliten und Orbitoiden von österreichischen Fundorten 05 II 156
- Osservazioni sopra alcune nuove Orbitoides 05 II 156
- La Paronaea curvispira (MNGH.) 05 II 159
- Le Nummuliti della Forca di Presta nell' Appennino centrale e dei dintorni di Potenza nell' Appennino meridionale 05 II 326
- Sulla fauna nummulitica della Scaglia nell' Appennino centrale 06 I 156
- Le Nummuliti e le Orthophragmine di due località dell' Appennino Pavese 06 I 156
- Ricerche sulla fauna di alcuni calcari nummulitici dell' Italia centrale e meridionale 07 I 162
- I terreni nummulitici di Gassino e di Biarritz 07 II 161
- Su alcuni terreni a Nummuliti e ad Orbitoidi dell' alta valle dell' Aniene 08 II 287
- Aperçu géologique sur la colline de Turin 08 II 288
- siehe Douvillé, R.
- Prever, P. L. et A. Silvestri: Contributo allo studio dell' Orbitolininae 05 II 158
- Priem, F.: Sur les poissons fossiles des phosphates d'Algérie et de Tunisie 05 II 479
- Sur les Pycnodontes tertiaires du Département de l'Aude 05 II 483
- Sur les Otolithes des Poissons éocènes du Bassin parisien 08 I 131
- Sur des Vertébrés de l'Éocène d'Égypte et de Tunisie 09 I 440
- Prindle, L. M. and Fr. L. Heß: The Rampart Gold Placer Region Alaska 09 I 223
- Prins, Ada, siehe Lehmann, O.
- Prinz, G.: Die Fauna der älteren Jurabildungen im nordöstlichen Bakony 05 II 426
- Ueber die Kielbildung in der Familie der Phylloceratae 05 II 483
- Neue Beiträge zur Kenntnis der Gattung Frechiella 06 II 141
- Die Nautiliden in der unteren Juraperiode 07 I 324
- *Zur Kenntnis der Fauna der Liasablagerungen von Gallberg* CBl 1906 113

- Prinz, G.*: Ueber die systematische Darstellung der gekielten *Phylloceratiden* CBI 1906 237
 — siehe Uhlig, V.
- Prinz, W.*: Sur la Monazite et le Xénotime de Nil-Saint-Vincent (Brabant) 1906 I 345
 — Observations sur le Sel gemme blanc et bleu 09 II 187
- Prior, G. T.*: Note on a Pillow-lava apparently forming a continuous horizon from Mullion Island to Gorran Haven in Cornwall 05 II 387
 — On Teallite, a new sulphostannite of lead from Bolivia; and its relations to Franckeite and Cyndrite 06 I 14
 — Dundasite from North Wales 07 II 357
 — Report on the rock-specimens collected by the „Southern Cross“ antarctic expedition 09 II 75
- Prior, G. T. and F. Zambonini*: On Strüverite and its relation to Ilmenorutile 09 I 175
- Proboscht, H.*: Zur Petrographie des Fassatales CBI 1905 46
 — siehe Romberg, J.
- Provale, J.*: Di alcune Nummulitine e Orbitoidine dell' Isola di Borneo 08 II 288
 — Di alcune Nummulitine e Orbitoidine dell' Isola di Borneo. Parte seconda 09 II 489
- Przibram, H.*: Formregeneration verletzter Kristalle 05 II 332
- Przibylla, K.*, siehe Feit, W.
- Pupke, F.*: Die optischen Anomalien bei Apatit 09 II 29
- Purdue, A. H.*: A New Discovery of Peridotite in Arkansas 09 II 393
 — siehe Adams, G. J.
- Purinton, Ch. W.*: Ore Horizons in the Veins of the San Juan Mountains, Colorado 07 I 406
 — Methods and Costs of Gravel and Placer Mining in Alaska 09 I 233
- Purkyně, Cyr. Ritter v. und V. Spitzner*: Rätselhafte Quarzit- und Konglomeratblöcke in der Gegend von Pilsen in Böhmen und auf dem Plateau von Drahaný in Mähren 06 II 353
- Pusch, A.*: Die Mineralien der Eifel und der angrenzenden Gebiete CBI 1907 471

Q.

- Quaas, A.*: Beitrag zur Kenntnis der Fauna der obersten Kreidebildungen in der Libyschen Wüste (Overwegi-Schichten und Blättertone) 06 I 319
 — Ueber eine obermiocäne Fauna aus der Tiefbohrung Lorendorf bei Kujan (Oberschlesien) und über die Frage des geologischen Alters der subsudetischen Braunkohlenformation in Oberschlesien 1907 I 113. 289 07 II 294
 — Ueber eine obermiocäne Fauna aus der Tiefbohrung von Przeciszow östlich Oswiecim (Westgalizien) 1907 I 113. 290 07 II 295
 — Berichtigung und Ergänzung zu meiner Arbeit: Beitrag zur Kenntnis der obersten Kreidebildungen in der libyschen Wüste (Overwegi-Schichten und Blättertone) 07 I 437
- Quensel, P. D.*: Ueber das gegenseitige Verhältnis zwischen Quarz und Tridymit 08 I 176
 — Untersuchungen an Aschen, Bomben und Laven des Ausbruches des Vesuv 1906 CBI 1906 497
 — Ueber die Bildung von Quarz in Silikatschmelzen CBI 1906 657
 — Zur Bildung von Quarz und Tridymit in Silikatschmelzen CBI 1906 728
- Quincke, G.*: Ueber Eisbildung und Gletscherkorn 06 II 326

R.

	Jahrg.	Bd.	Seite
Rabowski, F.: Sur l'extension de la nappe rhétique dans les Préalpes bernoises et fribourgeoises	1909	II	92
Raisin, C., siehe Bonney, T. G.			
Rakusin, M. A.: Die Untersuchung des Erdöls und seiner Produkte	CBI 1907		219
Ramann, E.: Einteilung und Benennung der Schlammablagerungen	08	II	185
— Bodenkunde	CBI 1905		596
Ramond, G., siehe Dollfus, G.			
Ramsay, W.: Beiträge zur Geologie der rezenten und pleistocänen Bildungen der Halbinsel Kanin	06	II	117
— Beiträge zur Geologie der präcambrischen Bildungen im Gouvernement Olonez: 1. Einleitung. 2. Das Sandstein-Diabas-Gebiet westlich vom See Onega	09	I	218
— Ueber die präcambrischen Systeme im östlichen Teile von Fennoskandia	CBI 1907		33
Ramsay, W. und B. Poppus: Bericht über eine Reise nach der Halbinsel Kanin im Sommer 1903	06	I	410
Rand, R. F.: Some Transvaal Eruptives	07	I	394
Ransome, F. L.: The Geology and Copper-deposits of Bisbee, Arizona	05	I	41
— Geology of the Globe Copper District, Arizona	1905	I	205. 442
— The geology and ore-deposits of the Bisbee Quadrangle, Arizona	06	I	175
— The Present Standing of Applied Geology	07	I	405
— The Directions of Movement and the Nomenclature of Faults — siehe Lindgreen, W. and Ransome, F. L.	08	I	222
Ransome, F. L. and F. C. Calkins: The geology and ore deposits of the Coeur d'Alene District, Idaho	09	II	408
Rastall, R. H.: On Basic Patches in the Mount Sorrel Granite — On Boulders from the Cambridge Drift, collected by the Sedgwick Club	05	II	387
— Notes on some Rocks from New Zealand	06	I	121
— The Buttermere and Ennerdale Granophyre	07	I	395
— The Buttermere and Ennerdale Granophyre	08	I	224
Rau, K.: Die Brachiopoden des mittleren Lias Schwabens mit Ausschluß der Spiriferinen	06	I	468
Rau, W.: Edelsteinkunde für Mineralogen, Juweliere und Steinhändler	CBI 1909		712
Rauff, H.: Ueber die Neandertalfrage	05	II	302
— Ueber die Altersbestimmung des Neandertaler Menschen und die geologischen Grundlagen dafür	05	II	302
Rautenberg, M.: Ueber Pseudolestodon hexaspondylus	07	II	479
Ravagli, M.: Calcari nummulitici dei dintorni di Firenze	09	I	137
Ravn, J. P. J.: Molluskerne i Danmarks kridtaffejringer. II. Scaphopoder, Gastropoder og Cephalopoder	06	I	309
— Molluskerne i Danmarks kridtaffejringer. III. Stratigrafiske Undersøgelse	06	I	309
— Molluskfaunaen i Iyllands Tertiaer affejringer en palaeontologisk-stratigrafisk Undersøgelse	07	II	452
— Vorläufige Mitteilung über eine Lakune oder Diskordanz zwischen Senon und Danien in Dänemark	08	I	430
— Bemærkningar om lagerserien i Stevns klint samt om Cyathidium Holopus STEENSTR.	08	I	430

- Ravn, J. P. J.*: Einige Bemerkungen über die oligocänen und miocänen Ablagerungen Jütlands CBI 1906 465
 — Ueber das Alter der sogenannten plastischen Tone Dänemarks CBI 1907 58
- Raymond, P. E.*: The development changes in some common devonian brachiopoda 1905 I 359
 — The Fauna of the Chazy limestone 06 I 300
- Read, A.*, mitgeteilt durch *Broili, F.*: Die Gastropoden der Pachycardien-Tuffe CBI 1905 176
- Read, T. T.*: The Phase-Rule and Conceptions of Igneous Magmas, with their Bearing on Ore-deposition 07 II 56
- Read, T. T.* and *C. W. Knight*: The reformation of Soda-Leucite 1907 I 203 08 I 237
- Reade, T. M.*: Postglacial beds at Great Crosby, as disclosed by the new outfall Sewer 09 I 281
- Reagan, A. B.*: Die Fossilien des Höhern Red-Wall-Kalksteins mit denjenigen der Kansas-Kohlenformation verglichen CBI 1907 609
- Reboul, M. P.*: Catalogue des Types paléontologiques contenus dans les collections de Grenoble 05 I 148
- Reche, O.*: Ueber eine neue Equidenart aus der Pampasformation 07 II 481
- Redlich, K. A.*: Die Kupferschürfe des Herrn HERAEUS in der Veitsch 1905 I 100 06 I 234
 — Ueber das Alter und die Flözidentifizierung der Kohle von Radeldorf und Stranitzen (Untersteiermark) 05 II 436
 — Die Walchen bei Oeblarn. Ein Kiesbergbau im Ennstal 06 I 234
 — Eine Kupferkieslagerstätte im Hartlegraben bei Kaisersberg 06 I 234
 — Contribution à la connaissance des gîtes métallifères des Alpes orientales 07 I 254
 — Der Kupferbergbau Radmer an der Hasel die Fortsetzung des steirischen Erzberges 07 II 82
 — Die Geologie des Gurk- und Görttschitztales 09 I 413
 — Kritische Bemerkungen zu Herrn *A. Sigmund*: Die Minerale Niederösterreichs CBI 1908 742
 — Letztes Wort zu *A. Sigmund's* „Minerale Niederösterreichs“ CBI 1909 689
 — siehe *Cornu, F.*
- Reed, F. R. Cowper*, siehe *Cowper Reed, F. R.*
- Reepen, H. v. Buttell*-, siehe *Buttel-Reepen, H. v.*
- Regalia, E.*, siehe *Stasi, P. E.*
- Regelmann, C.*: Geologische Uebersichtskarte von Württemberg und Baden, dem Elsaß, der Pfalz und den weiterhin angrenzenden Gebieten 06 II 84
 — Gegen das „Vindelizische“ Gebirge CBI 1909 53
 — siehe *Kranz, W.*
- Regny, Vinassa de, P.*, siehe *Vinassa de Regny, P.*
- Rehbinder, B. v.*: A propos de la question de l'âge des grès crétacés du Baskountschak 07 II 124
- Reich, O.*: KARL ERNST ADOLF v. HOFF, der Bahnbrecher moderner Geologie CBI 1905 438
- Reichardt, A.*: Abriß der Geländegestaltung und geologischen Verhältnisse der Umgebung Erfurts 08 II 96
- Reichenau, W. v.*: Ueber eine neue fossile Bärenart, *Ursus Denningeri mihi*, aus den fluviatilen Sanden von Mosbach 05 I 504
 — Ueber einen Unterkiefer von *Equus Stenonis Cocchi* aus dem Postpliocän von Mosbach 05 II 126
 — Beiträge zur näheren Kenntnis der Carnivoren aus den Sanden von Mauer und Mosbach 07 II 483

- Reichenheim, O.: Ueber die Elektrizitätsleitung einiger natürlich-kristallisierter Oxyde und des Graphits 1907 II 5
- siehe Königsberger, J.
- Reid, C.: The geology and the country around Southampton 06 I 264
- Reid, H. F.: The variation of glaciers. IX. 06 II 190
- The variations of glaciers. XI. 08 II 342
- Reid, J. A.: The igneous Rocks near Pajaro 05 II 231
- A Sketch of the Geology and Ore-Deposits of the Cherry Creek District, Arizona 08 I 396
- The Ore-Deposits of Copperopolis, California 09 II 398
- Reimann, G.: Beiträge zur Kenntnis des Turmalins BB XXIII 91
- Reinach, v.: Ueber die zur Wassergewinnung im mittleren und östlichen Taunus angelegten Stollen 06 I 404
- Preis für Palaeontologie CBI 1905 694
- Reinhard, R.: Absonderung bei einem Mergel 06 II 202
- Reinisch, M.: Petrographisches Praktikum. II. Teil: Gesteine 05 I 58
- Petrographische Beschreibung der Gaußberg-Gesteine 08 I 75
- Salbandbildung an einem Nephelinbasaltgange 08 II 190
- Petrographisches Praktikum. I. Teil: Gesteinsbildende Mineralien. 2. verbesserte und ergänzte Auflage CBI 1909 380
- siehe Zirkel, F.
- Reinsch, P. F.: Die Palinosphären, ein mikroskopischer vegetabler Organismus in der Mucronatenkreide CBI 1905 402
- Reis, O. M.: Ueber die Muskelleiste bei Zweischalern CBI 1906 168
- Bemerkungen zu G. Böhm's „Zur Stellung der Lithiotiden“ CBI 1906 209
- Ueber Stylolithen, einem Mergel und Landschaftenkalk 06 II 201
- Reiss, W.: Ueber den Zweck der Naturerscheinungen CBI 1906 189
- Reiter, H. H.: Experimentelle Studien an Silikatschmelzen BB XXII 183
- Rekstad, J.: Fra Jostedalsbraeen 07 I 221
- Remes, M.: Rhynchonella peregrina bei Freiberg in Mähren 1905 I 181 06 I 428
- Miscellaneen aus dem mährischen Tithon 07 II 286
- Die oberen Kreideschichten in Klogsdorf bei Freiberg in Mähren 07 II 288
- Renault, B., siehe Bertrand, C.
- Renevier, E.: Sur la brèche cristalline des Ormonts 09 I 401
- Renevier, E. et M. Lugeon, Les alpes du Chablais d'après la carte géologique française 06 II 83
- Renner, O.: Teichosperma, eine Monokotylenfrucht aus dem Tertiär Aegyptens 09 I 308
- Renz, C.: Ueber Halobien und Daonellen aus Griechenland nebst asiatischen Vergleichsstücken 06 I 27
- Die Entwicklung des Dogger im westlichen Griechenland 07 II 446
- Le Jurassique en Albanie méridionale et en Argolide 09 II 105
- Trias und Jura in der Argolis 09 II 427
- Der Nachweis von Lias in der Argolis 09 II 429
- Sur les preuves de l'existence du Carbonifère et du Trias dans l'Attique 09 II 430
- Ueber die mesozoische Formationsgruppe der südwestlichen Balkanhalbinsel BB XXI 213
- Ueber die Verbreitung des Lias auf Leukas und in Akarnanien CBI 1905 259
- Ueber neue Trias-Vorkommen in Argolis CBI 1906 270
- Zur Kreide- und Eocän-Entwicklung Griechenlands CBI 1906 541
- Zur Entdeckung der Trias in der Argolis CBI 1909 79

- Renz, C.: Der Nachweis von Carbon und Trias in Attika. (Vorläufige Mitteilung.)* CBI 1909 84
- *Die Trias von Rotti und Timor im ostindischen Archipel* CBI 1909 355
- *Neue Carbonvorkommen in Griechenland* CBI 1909 755
- siehe Frech, F. et Renz, C.
- siehe Negris, Ph.
- Renz, C. und F. Frech: Der Nachweis von Obertrias im Parnaßgebiet* 1909 II 429
- Repelin, J.: Observations sur les dépôts aquitaniens en Entre-deux-Mers* 07 I 441
- *Description des faunes et des gisements du Cénomaniens saumâtre ou d'eau douce du Midi de France* 07 II 131
- *Sur l'âge des terrains oligocènes des environs de Sainte-Croix-du-Munt* 07 II 452
- Repossi, E.: Appunti mineralogici sulla Pegmatite di Olgiasca (Lago di Como)* 1905 I 203
- *Su alcuni minerali del granito di S. Fedelino (Lago di Como)* 07 II 34
- Reuning, E.: Diabasgesteine an der Westerwaldbahn Herborn—Driedorf* BB XXIV 390
- *Ueber ein Vorkommen von Magnesiumpektolith aus dem grobkörnigen hornblende- und glimmerführenden Diabas zu Burg bei Herborn* CBI 1907 739
- Reuter, L.: Doggerprofile aus dem Gebiet von Neumarkt in der Oberpfalz (Frankenjura)* 05 I 60
- Reutowsky, W.: Die nutzbaren Mineralien Sibiriens. Grundlagen zur Aufsuchung und Schürfung von Erzlagerstätten* 09 II 41
- Revutzky, E.: Notiz über den Calamin der Grube Perwoblagodatny im Ural* 06 I 27
- *Notiz über Calamin vom Zartum Polen* 09 II 346
- Reynolds, S. H.: A monograph of the British pleistocene Mamalia. 2. Part I. The Cave Hyaena* 06 II 442
- *A monograph of the British pleistocene Mamalia* 08 I 438
- siehe Lloyd Morgan, C.
- Rheinhard, M. und N. Botez: Beitrag zur Polarimetrie des Erdöls. 1. N. Botez: Drehungsvermögen einiger rumänischer Erdöle. 2. M. Rheinhard und N. Botez: Erscheinungen inhomogener Körper im Polarimeter und das „TYNDALL'sche Phänomen“* 09 II 365
- Riabinin, A.: Les restes des Dauphins du Pliocène de l'Île Céleken dans la Mer Caspienne* 09 II 118
- Riccó, A.: Anomalia della gravità e del magnetismo terrestre in Calabria e Sicilia* 08 II 44
- *Sur l'activité de l'Etna* 1908 I 44
- *Attività dello Stromboli* 08 II 44
- *Les paroxysmes du Stromboli* 1908 II 44
- 09 I 363
- Rich, J. L.: Local glaciation in the Catskill Mountains* 08 II 341
- Richard, A.: Sur les cristaux de bournonite d'Ally (Haute-Loire)* 05 II 349
- Richards, R. W.: A new habit for chalcopyrite* 1905 I 18
- *Synopsis of Mineral Characters, alphabetically arranged for laboratory and field use* CBI 1907 474
- Richardson, G. B.: Report of a Reconnaissance in Trans-Pecos, Texas, north of the Texas and Pacific Railway* 06 II 178
- Richardson, L.: The inferior Oolite and contiguous deposits of the Bath-Doubling District* 08 II 85
- *On new species of Amberleya and of Spirorbis* 08 II 87

- Richardson, L.: The Inferior Oolite and contiguous deposits of the district between the Rissingtons and Burford 1908 II 87
- Richardson, L. and J. F. Walker: Remarks on the Brachiopoda from the Fuller's Earth 08 II 87
- Richardz, P. St.: Die Neokombildungen bei Kaltenleutgeben 05 II 429
- Richardt, E.: Sur l'émission des rayons N et N₁ par les corps cristallisés 06 I 325
- Riche, A.: Étude stratigraphique et paléontologique sur la Zone à Lioceras concavum du Mont d'Or Lyonnais 05 I 462
- Riche Preller, C. S. du: Phenomena bearing upon the Age of the Lake of Geneva 05 II 376
- Richter, K.: Der körnige Kalk des Kalkberges bei Raspenau in Böhmen 06 I 54
- Richter, P. B.: Beiträge zur Flora der oberen Kreide Quedlinburgs und seiner Umgebung. Teil I: Die Gattung Credneria und einige seltenere Pflanzenreste 07 I 493
- Beiträge zur Flora der unteren Kreide Quedlinburgs. Teil I: Die Gattung Hausmannia DUNKER und einige seltenere Pflanzenreste 07 II 343
- Richtshofen, F. v.: Geomorphologische Studien aus Ostasien 05 I 114
- Ueber Gestalt und Gliederung einer Grundlinie in der Morphologie Ostasiens 05 I 114
- Geomorphologische Studien aus Ostasien. III. Die morphologische Stellung von Formosa und den Riukiu-Inseln 05 I 114
- Geomorphologische Studien aus Ostasien. IV. Ueber Gebirgskettungen in Ostasien, mit Ausschluss von Japan. V. Gebirgskettungen im japanischen Bogen 05 I 114
- Das Meer und die Kunde vom Meer 07 I 223
- Rickard, T. A.: The Formation of Bonanzas in the Upper Portions of Gold Veins 05 I 257
- Riecke, E., siehe Lehmann, O.
- Ried, H. F. et E. Muret: Les variations périodiques des glaciers 05 II 47
- Ries, H.: The Clays of the United States east of the Mississippi River 06 I 239
- Riggs, E. S.: Structure and relationships of opisthocoelian Dinosaurs. P. II. The Brachiosauridae 05 II 131
- Rimann, E.: Beitrag zur Kenntnis der Diabase des Fichtelgebirges, im besonderen des Leukophyrs Gumbels BB XXIII 1
- Ueber ein neues Vorkommen von Kugelgranit im Granit des Riesengebirges CBl 1905 236
- Ueber calcitführenden Granit im Riesengebirge CBl 1907 203
- Ueber Flußspat im Natrolithphonolith von Außig i. B. CBl 1908 673
- Der kalkspatführende Granit von Schmiedeberg im Riesengebirge CBl 1909 767
- Rimatori, C.: Analisi ponderale e spettroscopia di nuove blende sarde 06 II 321
- Ringuet, siehe Leprince-Ringuet, L.
- Rinne, F.: Physikalisch-chemische Bemerkungen über technisches und meteorisches Eisen 05 I 122
- Ein 1831 bei Magdeburg gefundenes Eisen 06 II 61
- Art und Ziel des Unterrichts in Mineralogie und Geologie an den technischen Hochschulen 06 II 147
- Beitrag zur Gesteinskunde des Kiautschou-Schutzgebietes 06 II 364

- Rinne, F.*: Vergleichende Untersuchungen über die Methoden zur Bestimmung der Druckfestigkeit von Gesteinen 1907 I 45
- Ueber die Umformung von Carnallit unter allseitigem Druck in Vergleich mit Steinsalz, Sylvin und Kalkspat 09 I 165
- Vergleichende Untersuchungen über die Methoden zur Bestimmung der Druckfestigkeit von Gesteinen. (Zweiter Bericht.) 09 II 121
- Durch Entgasung bewirkte Kristallisationen in Schmelzflüssen 09 II 129
- Praktische Gesteinskunde für Bauingenieure, Architekten und Bergingenieure, Studierende der Naturwissenschaft, der Forstkunde und Landwirtschaft. 2. Aufl. CBI 1906 115
- Dasselbe. 3. Aufl. CBI 1909 443
- Rinne, F.* und *H. E. Boeke*: Die Modifikationsänderung des Schwefeleisens. 08 II 168
- — Ueber Thermometamorphose und Sammelkristallisation 09 II 160
- — *El Inca, ein neues Meteorstein.* Festband 227
- Rispoli*, siehe *Cecchia-Rispoli, G.*
- Rittener, Th.*: Étude géologique de la Côte aux Fées et des environs de Ste. Croix et Baulmes 05 II 252
- Ritter, E. A.*: Les bassins lignitifères et houillers des Montagnes Rocheuses 08 II 221
- Rizzo, G. B.*: Sopra il calcolo della profondità degli ipocentri nei movimenti sismici 07 II 47
- Roberts, M.*: Note on the Action of Frost on Soil 05 I 56
- Robson, H.*: Abyssal deposits 05 I 425
- Roccati, A.*: Ricerche petrografiche sulle valli del Gesso (Valle del Sabbione). 05 II 66
- Ricerche petrografiche sulle valli del Gesso (Valle della Meris e Rocca Val Miana) 05 II 66
- Rodonite di Chiaves e di altre località delle Valli di Lanzo 07 II 359
- Microgranite con inclusi di gneiss del Colle Brocan (Valle del Gesso delle Rovine) 08 II 214
- Rösch, A.*: Der Kontakt zwischen dem Flysch und der Molasse im Algäu 08 I 409
- Rösler, H.*: Ueber Kaolinbildung, einige Worte zur neuesten Literatur 09 II 245
- Roessinger, G.*: La zone des cols dans la vallée de Lauenen (Alpes bernoises) 08 II 382
- Notice à propos du travail de SARASIN et COLLET sur la zone des cols dans la région de la Lenk et Adelboden 08 II 386
- Bélemnites de la brèche du Chablais (brèche de la Hornfluh) 09 I 401
- Les couches rouges de Leysin et leur faune 09 I 429
- siehe *Lugeon, M.*
- Roessinger, G.* et *A. Bonard*: Les blocs cristallins de la Hornfluh (Préalpes bernoises) 06 I 256
- Roger, O.*: Wirbeltierreste aus dem Obermiocän der bayrisch-schwäbischen Hochebene 06 I 124
- Rogers, A. F.*: Ein neuer Transporteur zur Bestimmung der Indizes der Kristallflächen 05 I 4
- Aegirite and riebeckite rocks from Oklahoma 09 II 384
- siehe *Moses, A. J.*
- Rogers, A. W.*: The glacial conglomerate in the Table Mountain series near Clanwilliam 06 I 274
- Geological Survey of the North-Western Part of Van Rhyndorp 07 II 116

Rohland, P.: Eine Zusammenstellung der Stoffe im Kolloid- und Kristalloidzustand	1908	II	5
— Die Tone als semipermeable Wände und Mittel zur Klärung von Fabrik- und Abwässern	08	II	177
Rollain, siehe Laville.			
Rollier, L.: Ueber Diskordanzen im schwäbischen Tertiär	05	I	304
— Carte tectonique des environs de Moutier (Jura bernois) 1:25 000	05	II	247
— Carte tectonique des environs de Bellelay (Jura bernois) 1:25 000	05	II	247
— Beweis, daß die Nattheim-Wettinger Schichten (Weiß-Jura ϵ = Ober-Kimmeridge) auch auf der Basler Tafellandschaft etc. ursprünglich vorhanden waren	05	II	428
— Sur le tunnel du Weißenstein	08	I	255
— Gisement de Dysodile à Oberdorf près Soleure	08	I	269
— Sur la seconde édition de la Carte géologique du Jura bernois	09	I	400
— Provenance des sédiments de la Molasse et du Calcaire grossier du Randen	09	I	432
Rollier, L. et E. Juillerat: Sur une nouvelle poche sidérolithique à fossiles albiens	08	II	407
Roman, F.: Contribution à l'étude des bassins lacustres de l'Eocène et de l'Oligocène du Languedoc	05	I	305
— siehe Depéret, Ch.			
— siehe S a y n, G.			
Romberg, J.: Ueber die chemische Zusammensetzung der Eruptivgesteine in den Gebieten von Predazzo und Monzoni	06	I	57
— Zur Würdigung der gegen meine Veröffentlichungen von C. DOELTER und K. WENT gerichteten Angriffe	06	I	68
<i>Romberg, J.: Berichtigung zu Proboscht</i>	CBI 1905		185
Romeu, A. de: Sur une enclave énallogène de l'andésite supérieure du Léoran (Cantal)	06	I	379
Rosati, A.: Studio microscopico di alcune rocce della Liguria occidentale	08	II	214
Rosenbusch, H.: Studien im Gneisgebirge des Schwarzwaldes. II. Die Kalksilikatfelse im Rench- und Kinzigitgneis. III. Die Kalksilikatfelse von der Fehren bei Neustadt i. Schw.	07	II	67
— Mikroskopische Physiographie der Mineralien und Gesteine. Bd. I. Erste Hälfte. 4. Aufl. Allgemeiner Teil	CBI 1905		119
— Mikroskopische Physiographie der Mineralien und Gesteine. Bd. I. Zweite Hälfte: Die petrographisch wichtigen Mineralien. Spezieller Teil	CBI 1905		486
— Festschrift, gewidmet von seinen Schülern zum siebenzigsten Geburtstag 24. Juni 1906	CBI 1906		478
— Mikroskopische Physiologie der Mineralien und Gesteine. Ein Hilfsbuch bei mikroskopischen Gesteinsstudien. Bd. II. Mikroskopische Physiographie der massigen Gesteine, Erste Hälfte: Tiefengesteine, Ganggesteine	CBI 1907		551. 592
— Mikroskopische Physiographie der massigen Gesteine. Zweite Hälfte: Ergußgesteine. Vierte, neu bearbeitete Auflage CBI 1909	338. 367		
Rosenkranz, E.: Uebersicht der Mineralien des Bayrischen Waldes und des Oberpfälzer Waldgebirges	08	II	330
Rosický, V.: Betrachtungen über die Entstehung der Kupfererze an der böhmischen Seite des Riesengebirges	07	II	423
— Ueber Wachstumserscheinungen an Kristallen von Kaliumjodid und Kaliumbromid	09	I	160

	Jahrg.	Bd.	Seite
R o s i c k ý, V.: Kristallographische Mitteilungen. 6.	1909	I	337
— Kristallographische Mitteilungen. 4.	09	I	339
— Kristallographische Mitteilungen. 7.	09	I	345
— Kristallographische Mitteilungen. 2.	09	I	346
— Kristallographische Mitteilungen. 5.	09	I	350
— Beiträge zur Morphologie der Glaubersalzreihe	09	II	201
— Kristallographische Mitteilungen	09	II	358
— siehe P l z á k, F.			
R o s i w a l, A.: Franzensbad, Marienbad, Karlsbad	05	II	95
— Kontaktmineralien aus der Umgebung von Friedeberg in Schlesien	07	II	33
R o s s e l, A.: Une cause possible des éruptions volcaniques	05	II	205
R o t h, S.: Los Ungulados Südamericanos	05	I	172
— Noticias preliminares sobre nuevos mamíferos fósiles de cretaceo superior y terciario inferior de la Patagonia	05	I	497
— <i>Beitrag zur Gliederung der Sedimentablagerungen in Patagonien und der Pampasregion</i>			BB XXVI 92
R o t h v. T e l e g d, L.: Die Aranyosgruppe des siebenbürgischen Erzgebirges in der Umgebung von Torockó-Szt.-György, Nyirmezó, Remete und Ponor	06	I	260
— Der Ostrand des siebenbürgischen Erzgebirges in der Um- gebung von Havasgyógy, Felgyógy und Nagy-Enyed . .	07	I	105
R o t h p l e t z, A.: Ueber die Möglichkeit, den Gegensatz zwischen der Kontraktions- und Expansionsstheorie auf- zuheben	05	I	401
— Die fossilen oberoligocänen Wellenfurchen des Peißenbergs und ihre Bedeutung für den dortigen Bergbau	05	II	431
— Ueber Algen und Hydrozoen im Silur von Gotland und Oesel.	09	I	153
— siehe S t e i n m a n n, G.			
R o u s s e l, J. C.: Glacier Cornices	05	I	56
— Notes sur les granulites tertiaires de Reynés et de Latour	05	I	429
— Le gneiss dans les Pyrénées et son mode de formation .	06	II	213
— L'auréole calcaire des massifs granitiques des Pyrénées .	06	II	214
R o u x, C.: Contribution à l'étude des porphyres mikrogranuli- tiques des Monts Tararais et Lyonnais et du plateau central en général	07	I	389
R o u x, W.: Die angebliche künstliche Erzeugung von Lebe- wesen	08	I	321
R o v e r e t o, G.: Sull' età degli scisti cristallini della Corsica	07	II	405
— Sur le Stampien à Lepidocyclines des environs de Varazze	09	II	483
— siehe D o u v i l l é, R.			
— siehe S i l v e s t r i, A.			
R o w e, J. P.: Pseudomorphs and crystal cavities	05	II	181
R o y e r, L e, siehe L e R o y e r.			
R ü h l m a n n, H.: Petrographische Untersuchungen an jung- vulkanischen Eruptivgesteinen in der Gegend zwischen Böhmisch-Kamnitz und Kreibitz	06	II	357
R u é r, R.: Ueber die Legierungen des Palladiums mit Gold	08	II	157
R u f f, O.: Ueber die färbende Substanz im roten Carnallit	08	II	9
R u m p f, J.: Einiges von den Mineralquellen in und bei Radein	08	I	365
R u s s e l, A.: On the occurrence of Linarite and Caledonite in County Wicklow	08	II	321
— Note on the mines and minerals of the Silver mines district, Co. Tipperary.	08	II	336

Russel, J. C.: Criteria relating to Massive-Solid Volcanic Eruptions	1905	II	396
— Geology and water resources of the Snake River Plains of Idaho	06	I	86
— The Portland cement industry in Michigan	06	I	238
— Physiographic problems of today	06	II	44
Rutherford, E. and B. B. Boltwood: The relative proportion of Radium and Uranium in radio-active minerals 1907 I 8	07	II	30
Rutot, A.: Sur les Relations existant entre les cailloutis quaternaires et les couches, entre les quelles ils sont compris	05	I	477
— Nouvelles observations sur le Quaternaire de la Belgique	05	I	478
— Quelques découvertes paléontologiques nouvelles	05	I	484
— Nouvelles trouvailles dans le Montien supérieur	06	I	116
— Le facies sparnacien du Landénien supérieur aux sablières de la Courte, à Leval-Trahegnies	06	I	117
— Nouveau type de roche granitique dans la région de la Helle (frontière belgo-prussienne)	07	II	69
— Le cannibalisme à l'époque des cavernes en Belgique	08	I	119
— Un grave problème. Une industrie humaine datant de l'époque oligocène. Comparaison des outils avec ceux des Tasmaniens actuels	08	I	279
— Causeries sur les industries de la pierre avec démonstration scientifique et pratique de l'existence de l'industrie éolithique	08	I	280
— Sur la signification du gisement sous-marin de la plage du Havre	08	I	282
— Le Strépyen et son extension en France	08	I	283
— Sur l'âge du gisement de la Micoque (Vézère)	08	I	284
— Un terrible secret	08	I	438
— Sur l'âge des cavernes de Grimaldi dites Grottes de Mentone	08	II	422
— Moustérien et Aurignacien	09	I	126
— Sur l'âge des dépôts connus sous les noms de sable de Moll, d'argile de la Campine, de cailloux de quartz blanc, d'argile d'Andenne et de sable à facies marin noté Om dans la légende de la carte géologique de la Belgique au 40 000e	09	I	274
Ryba, F.: Zur Verbreitung der Kreideformation auf dem Blatte „Caslau und Chrudim“	06	II	111
Rzehak, A.: Spuren des Lias und Dogger im Klippenjura der karpatischen Sandsteinzone Mährens	05	I	295
— Neue Fossilien aus dem Lias von Freistadt in Mähren	05	I	295
— Das Liasvorkommen in Freistadt in Mähren	05	I	295
— Exkursion nach Pausram-Auerschitz (karpatisches Alttertiär)	05	II	116
— Rhynchonella polymorpha MASS. im karpatischen Eocän Mährens	05	II	436
— Kalkstein der Eocänformation von Stražowitz in Mähren	05	II	436
— Petroleumvorkommen im mährisch-ungarischen Grenzgebirge	07	I	84
— Ueber das Vorkommen von Foraminiferen in den Ablagerungen der pannonischen Stufe in Mähren	07	I	157
— Die Zinnoberlagerstätte von Vallalta-Sagron	07	I	259
— Bergschläge und verwandte Erscheinungen	08	II	57
— Beiträge zur Kenntnis der Bergschläge	09	II	211
— Die angeblichen Glasmeteoriten von Kuttenberg	CBI 1909		452

S.

	Jahrg. Bd. Seite
Sabatini, V.: La pirossenite melilitica di Coppaeli	1905 II 224
Sacco, F.: Sur la valeur stratigraphique des Lepidocyclina et des Miogypsina	07 II 160
— Osservazioni geologiche comparative sui Pirenei	07 II 264
— Fenomeni di corrugamento negli schisti cristallini delle Alpi	08 II 214
Sachs, A.: Die Erze, ihre Lagerstätten und hüttentechnische Verwertung	05 II 199
— Der Kleinit, ein hexagonales Quecksilberoxychlorid von Ter- lingua in Texas	07 I 194
— Ueber Zinkoxydkristalle von der Falzhütte in Oberschlesien	CBI 1905 54
— Die Kristallform der Nickelblüte	CBI 1906 198
— Notiz zu der chemischen Zusammensetzung des Kleinits	CBI 1906 200
— Zinnoberkristalle aus Sonoma County in Kalifornien; Gips- und Kalkspatkristalle von Terlingua in Texas	CBI 1907 17
— Ueber ein neues Tschermigütvorkommen von Brüx in Böhmen, nebst Bemerkungen über die optischen Verhältnisse der Alaune	CBI 1907 465
— Das erstbekannte schlesische Topasvorkommen	CBI 1909 438
— Die Erzlagerstätten Oberschlesiens	06 II 74
— Die Bodenschätze Schlesiens. Erze, Kohlen, nutzbare Ge- steine	CBI 1907 91
Sachs, H., siehe Hoff, J. H. van't.	
Sachse, J. H.: Ueber die physikalische Beschaffenheit nord- westdeutscher Erdöle	06 II 390
Safford, J. M.: Horizons of Phosphate Rock in Tennessee	05 I 260
Salensky, W.: Ueber die Hauptresultate der Erforschung des im Jahre 1901 am Ufer der Beresowka entdeckten männlichen Mammutkadavers	06 I 145
Salfeld, H.: Beitrag zur Kenntnis des <i>Peltoceras Toucasi</i> <i>d'Orb. und Peltoceras transversarium Qu.</i>	06 I 81
— Ueber das Vorkommen von <i>Zamites Buchianus</i> ETTINGH. im Wealden Nordwestdeutschlands	08 I 151
— Fossile Landpflanzen der Rhät- und Juraformation Süd- westdeutschlands	08 I 151
— Beiträge zur Kenntnis jurassischer Pflanzenreste aus Nord- deutschland	09 I 462
— <i>Ein neues fossiles Farnkraut aus dem Solnhofer lithographischen</i> <i>Schiefer.</i>	CBI 1908 385
Salisbury, R. D.: The mineral matter of the sea, with some speculations as to the changes which have been involved in its production	07 I 46
Salmoiraghi, F.: L'avallamento di Tavernola sul Lago d'Iseo	08 II 58
Salomon, W.: Ueber junge Dislokationen (?) in der Schweiz — Die Entstehung der Sericitschiefer in der Val Camonica (Lombardei)	05 I 232
Salomon, W. und M. Nowomejsky: Die Lagerungsform des Amphibolperidotites und Diorites von Schriesheim im Odenwald	05 I 240
Salomonsen C. J. et G. Dreyer: Des colorations produites par les rayons de BEQUEREL (application à la cristallographie; détermination de la radioactivité)	06 I 5
Samojloff, J.: Ueber die Beziehung zwischen Spaltbarkeit und Habitus der Kristalle	05 II 168

- S a m o j l o f f, J.: Die Mineralogie der Ganglagerstätten des Nagolnij Krjasch (Donetz-Bassin) 1907 II 191
 — Einleitung in die Kristallographie 07 II 345
 — Ueber Abreißungsfiguren 07 II 351
 — Ueber Goldkristalle aus der Goldwäsche Wernyi (Lenaer Goldrayon) 07 II 353
 — Orientierung der Aetzfiguren auf Baryt, Cölestin und Anglesit 09 I 348
 — Ueber den Barytocölestin 09 II 360
 — Ueber Cölestinkristalle von einem Vorkommen in Tunis CBI 1905 33
 — Die Pseudomorphosen nach der Spaltbarkeit CBI 1908 6
- S a n d b e r g, C. G. S.: Études géologiques sur le Massif de La Pierre à Voir, Bas-Valais 08 II 393
 — L'âge du Granit alpin 08 II 394
 — Sur l'âge du granite des Alpes occidentales et l'origine des blocs exotiques cristallins des Klippes 07 II 406
- S a n d e r, Br.: Geologische Beschreibung des Brixener Granits 09 I 385
- S a n g i o r g i, D., siehe Viola, C.
- S a n t o l a l l a, F. M.: El Asiento mineral de Hualgáyoc 05 II 37
- S a p p e r, K.: Die catalonischen Vulkane 06 II 50
 — Ueber einige isländische Lavavulkane 09 I 47
 — Ueber einige isländische Vulkanspalten und Vulkanreihen BB XXVI 1
 — Ein neuer Vulkanausbruch in Mittelamerika CBI 1905 172
 — In den Vulkangebieten Mittelamerikas und Westindiens; Reiseschilderungen und Studien über die Vulkanausbrüche der Jahre 1902 bis 1903, ihre geologischen, wirtschaftlichen und sozialen Folgen CBI 1906 243
 — Erdbebenserie von Masaya (Nicaragua) 1. bis 5. Januar 1906 CBI 1906 257
 — Einige Bemerkungen zu Karl Schneider's Schrift „Zur Geschichte und Theorie des Vulkanismus“ CBI 1908 526
 — Bemerkungen über einige javanische Vulkane und über A. Brun's Untersuchungen derselben CBI 1909 609
- S a r a s i n, Ch.: Quelques observations sur la région des Vergys, des Annes et des Aravis 05 II 250
 — Programme des excursions de la Société géologique suisse après la Réunion annuelle de la Société Helvétique des sciences naturelles à Genève. 11.—14. Sept. 1902 05 II 250
 — Compléments sur la tectonique du massif des Annes (Haute-Savoie) 05 II 251
 — Revue géologique suisse de 1902—1906 1908 II 232. 233
 — La chaîne du Simplon au point de vue géologique 09 I 87
 — siehe L u g e o n, M.
 — siehe R o e s s i n g e r, G.
- S a r a s i n, Ch. et L. C o l l e t: La zone des cols dans la région de la Lenk et Adalboden 08 II 384
 — — Notice complémentaire sur la zone des cols dans la région de la Lenk 08 II 387
 — — La zone des cols et la géologie du Chamossaire 08 II 388
 — — Tectonique des Préalpes internes 09 II 92
- S a r a s i n, P. und F. S a r a s i n: Ergebnisse naturwissenschaftlicher Forschungen auf Ceylon. IV. Band. Die Steinzeit auf Ceylon 08 II 255
- S a r d e s o n, F. W.: The folding of subjacent strata by glacial action 08 II 341
- S a r r a u w: Découverte en Scandinavie d'une station Tourassienne ou Azylienne 07 I 452

Sass, C. und E. Geinitz: Brunnenbohrungen in Mecklenburg. Die Schwankungen des Grundwassers in Mecklenburg. II.	1906 II 195	1907 II	51
Sauer, A.: Das alte Grundgebirge Deutschlands mit besonderer Berücksichtigung des Erzgebirges, Schwarzwaldes, der Vogesen, des Bayrischen Waldes und Fichtelgebirges . .	05 I		235
— Ueber die Erstfeldergrneise am Nordrande des Aarmassives	07 II		69
— Petrographische Wandtafeln. Mikroskopische Strukturbilder wichtiger Gesteinstypen in 12 Tafeln		CBI 1906	747
Sauvage, H. E., siehe Thiéry, P.			
Savin, M. L.: Catalogue raisonné des échinides fossiles du département de la Savoie	05 II		325
— Note sur quelques échinides du Dauphiné et autres régions	05 II		326
— siehe Lambert, J. et Savin, L. H.			
Sayn, G. et F. Roman: L'Hauterivien et le Barrémien de la rive droite du Rhône et du Bas-Languedoc	06 I		110
Schafarzik, F.: Ueber die geologischen Verhältnisse der Umgebung von Romángradna	05 II		99
— Ueber einen Mastodon-Fund in Temerest (Komitat Krassó-Szörény)	05 II		470
— Die geologischen Verhältnisse der westlichen Ausläufer der Pojána-Ruszka	06 I		262
— Ueber die geologischen Verhältnisse der Umgebung von Furdia und Nemet-Gladna, sowie der Gegend westlich von Nadrág	07 I		274
Schaffer, F. X.: <i>Der Erdbebengürtel der Erde</i>	09 I		102
Schaffer, F., siehe Fuchs, Th.			
Schaller, W. T.: Notes on some California Minerals . . .	05 I		204
— Crystallography of Lepidolite	06 II		18
— Ueber Dumortierit	06 II		19
— Siderite and Barite from Maryland	1907 II		20. 30
— The chemical composition of Molybdic Ocher	08 II		301
— Mineralogical notes	09 I		18
— Notes on Powellite and Molybdite	09 I		194
— siehe Graton, L. C.			
— siehe Hillebrand, W. F. and Schaller, W. T.			
— siehe Knopf, A. and Schaller, W. T.			
Schaller, W. T. and W. F. Hillebrand: Crystallographical and chemical notes on Lawsonite	05 I		186
Schardt, H.: Avalanche du glacier du Roßboden (Simplon)	05 II		48
— Un pli-faille à la Vue des Alpes	05 II		255
— Dépôts glaciaires et tectonique du vallon des Verrières	05 II		296
— Dislocation singulière à La Chaux-de-Fonds	05 II		409
— Brèche énigmatique aux Brenets	05 II		452
— Les Préalpes Romandes (Zone du Stockhorn-Chablais). Un problème de géologie alpine	06 I		81
— Encore les régions exotiques. — Réplique aux attaques de M. EMILE HAUG	06 I		84
— Der Parallelismus der Stufen des Doggers im zentralen und im südlichen Juragebirge	06 I		277
— Geologische Karte der Schweiz (Genf-Lausanne, 2. Aufl.)	06 II		83
— Note sur le profil géologique et la tectonique du massif du Simplon	06 II		261
— Die wissenschaftlichen Ergebnisse des Simplondurchstichs	07 II		100
— Die modernen Anschauungen über den Bau und die Entstehung des Alpengebirges	07 II		429

	Jahrg.	Bd.	Seite
Schar dt, H.: Les eaux souterraines du tunnel du Simplon	1907	II	440
— Excursion destinée à étudier la structure du Jura, du Plateau et des Alpes	08	II	232
— L'éboulement du Grugny près Chamoson, Valais	08	II	232
— Les sources issues de terrains calcaires et leurs qualités comme eau d'alimentation	08	II	347
— Note sur l'origine des sources vauclusiennes de la Doux (source de l'Areuse) et de la Noiraigue, canton de Neuchâtel (Suisse)	08	II	348
— Les blocs exotiques de la Hornfluh	08	II	381
— Les vues modernes sur la tectonique et l'origine de la chaîne des Alpes	09	I	87
— Remarques rectificatives concernant la communication de Mr. JACCARD „La théorie de MARCEL BERTRAND“	09	II	95
— siehe L u g e o n, M.			
— siehe S t e i n m a n n, G.			
Schar dt, H. et A. D u b o i s: Géologie des Gorges de l'Areuse	05	II	87
Schar iz er, R.: Beiträge zur Kenntnis der chemischen Konstitution und der Genese der natürlichen Eisensulfate. V.	07	I	34
— Beiträge zur Kenntnis der chemischen Konstitution und der Genese der natürlichen Eisensulfate. VI.	08	II	324
Schaub, L.: Ueber den Quarzporit von Penmaenmawr in Wales und seine Schlierenbildungen	05	I	93
Sch auf, W.: Die Exkursion nach der Steinheimer Anamesitdecke	07	I	229
Schei, P.: On some New Occurrences of Titanite from Kragerö	05	II	182
— Notes on Norwegian Minerals 1—6 (Fergusonit, Uraninit, Albit, Laumontit, Desmin, Monazit)	06	I	351
— The Second Norwegian Polar Expedition in the Fram 1898—1902. Summary of Geological Results	06	II	96
Scheibe, R.: Der Blue ground des deutschen Südwestafrika im Vergleich mit dem des englischen Südafrika	08	I	70
Schellwien, E.: Paläozoische und triadische Fossilien aus Ostasien	05	II	298
— Monographie der Fusulinen. Teil I. Die Fusulinen des russisch-arktischen Meeresgebietes	09	I	137
Schenck, R.: Kristallinische Flüssigkeiten und flüssige Kristalle	05	II	172
— Ueber die Natur der kristallinischen Flüssigkeiten und der flüssigen Kristalle	06	II	153
Schenck, R. und W. Heller: Ueber die gegenseitigen Beziehungen der verschiedenen Kohlenstoffmodifikationen	06	II	320
Schepotieff, A.: Ueber die Stellung der Graptolithen im zoologischen System	05	II	79
Schick, Th.: Beiträge zur Kenntnis der Mikrofauna des schwäbischen Lias	05	II	151
Schierl, A.: Mitteilungen aus dem chemischen Laboratorium	08	I	378
Schiller, J.: Ueber den Gabbro aus dem Flysch bei Višegrad in Bosnien und die Verteilung von Fe und Mg in Olivin und rhombischen Pyroxen enthaltenden Gesteinen	08	I	63
Schiller, W.: Geologische Untersuchungen im östlichen Unterengadin. I. Lischannagruppe	07	I	96
— Geologische Untersuchungen im östlichen Unterengadin. II. Piz Lad-Gruppe	08	II	228
— Geologische Untersuchungen bei Puente del Inca (Aconagua) BB XXIV			716

Schindehütte, G.: Die Tertiärflora des Basalttuffes vom Eichelskopf bei Homberg (Bez. Kassel)	1909	I	147
Schlechtendal, D. v.: Haben die paläozoischen Blattiden im Hinterflügel ein Präcostalfeld?	07	I	321
Schleimer, H.: <i>Synthetische Studien</i>	08	II	I
Schloesing, Th.: Sur l'analyse mécanique des sols	05	I	59
— Contribution à l'étude chimique des eaux marines	08	I	360
Schlosser, M.: <i>Ueber Säugetiere und Süßwassergastropoden aus Pliocänablagerungen Spaniens und über die natürliche Grenze von Miocän und Pliocän</i>	07	II	I
— Beiträge zur Kenntnis der Säugetierreste aus den süddeutschen Bohnerzen	08	I	122
— <i>Beitrag zur Osteologie und systematischen Stellung von Necrolemur, sowie zur Stammesgeschichte der Primaten überhaupt</i>			Festband 197
Schlumberger, Ch.: Première note sur les Orbitoïdes	05	II	152
— Deuxième note sur les Orbitoïdes	05	II	153
— Troisième note sur les Orbitoïdes	05	II	153
— Quatrième note sur les Orbitoïdes	05	II	153
— Note sur le genre Choffatella n. g.	05	II	488
— Deuxième note sur les Miliolidées trématophorées	07	I	158
Schlumberger, Ch. et P. Choffat: Note sur la genre Spirocyclus MUN.-CHALM. et quelques autres genres du même auteur	05	II	153
Schlumberger, Ch. et H. Douvillé: Sur deux foraminifères éocènes Dietyoconus egyptiensis CHAPM. et Littonella Roberti n. g. n. sp.	07	I	326
Schmeißer, C.: Bodenschätze und Bergbau Kleinasien	08	I	395
— Ueber geologische Untersuchungen und die Entwicklung des Bergbaues in den deutschen Schutzgebieten	08	I	396
Schmid, B.: Lehrbuch der Mineralogie und Geologie für höhere Lehranstalten	CBI	1905	216
— <i>Erwiderung (gegen R. Brauns) betr. Lehrbuch der Mineralogie</i>	CBI	1905	599. 732
— siehe Brauns, R.			
Schmidle: <i>Ueber den Rückzug des Würmgletschers im nordwestlichen Bodenseegebiet</i>	CBI	1907	257
Schmidt, A.: Die Leba und ihr Ost-West-Tal, geographisch-geologisch geschildert	08	I	98
Schmidt, August: Bericht der Erdbebenkommission über die vom 1. März 1901 bis 1. März 1902 in Württemberg und Hohenzollern beobachteten Erdbeben	06	II	187
— Bericht der Erdbebenkommission über die vom 1. März 1902 bis 1. März 1903 in Württemberg und Hohenzollern beobachteten Erdbeben	06	II	187
— Bericht der Erdbebenkommission über die vom 1. März 1903 bis 1. März 1904 in Württemberg und Hohenzollern beobachteten Erdbeben	06	II	187
Schmidt, Axel: <i>Die Zweischaler des niederschlesischen und böhmischen Rotliegenden</i>	05	I	44
— Obercarbonische und permische Zweischaler aus dem Gebiet der Saar und Nahe	08	I	133
— <i>Ueber Anthracosia und Palaeomonta</i>	CBI	1908	239
— <i>Natürliche Bausteine</i>	CBI	1908	762
Schmidt, C.: Geologische Reiseskizzen und Universalhypothesen. Akademischer Vortrag, gehalten in Basel im Frühjahr 1904	07	I	372

Schmidt, C.: Vivianit in den Diluvialtonen von Noranco bei Lugano	1907	II	189
— Ueber das Alter des Bündner Schiefers im nordöstlichen Graubünden	08	I	253
— Ueber die Geologie des Tunnelgebietes Solothurn—Gänsbrunnen	08	I	254
— Ueber die Geologie des Weißensteintunnels im schweizerischen Jura	08	I	254
— Bild und Bau der Schweizer Alpen	08	II	224
Schmidt, C., A. Buxtorf, H. Preiswerk: Führer zu den Exkursionen der Deutschen geologischen Gesellschaft im südlichen Schwarzwald, im Jura und in den Schweizer Alpen, August 1907	07	II	431
Schmidt, C. und Fr. Hinden: Geologische und chemische Untersuchung der Tonlager bei Altkirch im Oberelsaß und bei Allschwyl im Baselland	09	II	244
Schmidt, C. und H. Preiswerk: Die Erzlagerstätten von Cala, Castillo de las Guardas und Aznalcollar in der Sierra Morena (Prov. Huelva und Sevilla)	06	I	229
Schmidt, F.: <i>J. Tolmatschow's Expedition in das Chatanga-Gebiet</i>	CBI 1905		353
— <i>Weitere Nachrichten über die Tolmatschow'sche Expedition in das Chatanga-Gebiet</i>	CBI 1905		615
Schmidt, M.: Ueber Oberen Jura in Pommern. Beiträge zur Stratigraphie und Paläontologie	06	II	100
— siehe Koenen, A. v.			
Schmidt, Margaret: <i>Ueber das Verhalten der Mischungen von Oligoklas mit Enstatit und Augit im Schmelzflusse BB</i>	XXVII		604
Schmidt, Martin: Ueber Glazialbildungen auf Blatt Freudenstadt	08	II	94
— <i>Ceratites antecedens und die Abstammung der Nodosen</i>	CBI 1907		528
Schmidt, O.: Der Portlandzement auf Grund chemischer und petrographischer Forschung nebst einigen neuen Versuchen	08	I	248
Schmidt, P.: Beiträge zur Kenntnis der basaltischen Gesteine der Gegend von Roth am Ostabhang der Rhön	05	II	212
Schmidt, R. R.: Die prähistorische Stellung des paläolithischen Fundes bei Niedernau	08	I	104
Schmidt, W. E.: Die Fauna der Siegener Schichten des Siegerlandes, wesentlich nach den Aufsammlungen in den Sommern 1905 und 1906	09	I	272
Schmut, J.: Oberzeiring, ein Beitrag zur Berg- und Münzgeschichte Steiermarks	06	I	73
Schneider, K., siehe Sapper, K.			
Schneider, L.: Bericht aus Simiritz in Böhmen	06	I	132
Schneider, O.: Ueber den inneren Bau des Gollenberges bei Köslin	05	II	121
— Das Gestein des Seebachfelsens bei Friedrichroda im Thüringer Wald	06	I	208
— <i>Vorläufige Notiz über einige sekundäre Mineralien von Otavi (Deutsch Süd-West-Afrika), darunter ein neues Cadmium-Mineral</i>	CBI 1906		338
— <i>Zur Kristallform des Rinneits</i>	CBI 1909		503
Schneider, O. und F. Soenderop: Marines Mitteloligozän und ? Alt-Tertiär bei Belgard in Pommern	07	II	294
Schöndorf, Fr.: Die Grottoer Mühle, ein lehrreiches Profil des unteren Tertiärs des Mainzer Beckens	06	II	113

	Jahrg.	Bd.	Seite
Schöndorf, Fr.: Das Genus <i>Sphaeraster</i> und seine Beziehungen zu rezenten Seesternen	1908	I	136
— Die Organisation und systematische Stellung der Sphäriten	08	I	137
— Ueber einen fossilen Seestern <i>Spaniaster laticutatus</i> SANDBERGER sp. aus dem Naturhistorischen Museum zu Wiesbaden	08	I	138
— <i>Aspidosoma</i> Schmidt n. sp. Der erste Seestern aus den Siegener Schichten	09	I	134
— Paläozoische Seesterne Deutschlands. I. Teil. Die echten Asteriden der rheinischen Grauwacke	09	II	322
— Ueber <i>Sphaeraster molassicus</i> E. Schülze	CBI 1907		313
— Ueber <i>Archaeasterias rhenana</i> Joh. Müller und die Porenstellung paläozoischer Seesterne	CBI 1907		741
Schoetensack, O.: Ueber die Gleichzeitigkeit der Station Munzingen bei Freiburg mit den paläolithischen Schichten von Thayingen und Schweizersbild	06	I	131
— Beiträge zur Kenntnis der neolithischen Fauna Mitteleuropas mit besonderer Berücksichtigung der Funde am Mittelrhein	06	II	440
— Ueber die Gleichzeitigkeit der menschlichen Niederlassung im Löß von Munzingen unweit Freiburg i. B. und der dem Magdalénien zugehörigen Schicht von Thayingen und Schweizersbild bei Schaffhausen	07	II	471
— Der Unterkiefer des <i>Homo heidelbergensis</i> aus den Sanden von Mauer. Ein Beitrag zur Paläontologie des Menschen	08	II	415
Schokalsky, J. de: Sur la formation de la glace de fond	08	II	168
Schoorl, N.: Beiträge zur mikrochemischen Analyse	08	II	5
Schopp, H.: Geologische Mitteilungen über Neu-Bamberg in Rhein Hessen	07	I	266
Schopp, H. und W. Schottler: Einige Beweise für die effusive Natur rheinhessischer Melaphyre	06	II	59
Schottler, W.: Die Eruptivgesteine der Blätter Gießen und Allendorf a. d. Lumda. (Vorläufige Mitteilung)	05	II	50
— Geologische Beobachtungen beim Bau der Bahnlinie Grebenhain—Gedern	06	II	59
— Zur Gliederung der Basalte am Westrande des Vogelsberges	07	I	230
— Ueber einige Bohrlöcher im Tertiär bei Lich in Oberhessen	07	II	291
— siehe Schopp, R.			
Schrader, F. C.: Geological section of the Rocky Mountains in Northern Alaska	06	I	91
— siehe Mendenhall, E.			
Schrader, F. C. and E. Haworth: Economic geology of the Independence quadrangle, Kansas	09	II	408
Schröder, H.: Die Wirbeltierfauna des Mosbacher Sandes. I. Die Gattung <i>Rhinoceros</i>	05	I	485
— <i>Hyaena</i> aus märkischem Diluvium	1905	II	443. 472
— <i>Datheosaurus macrourus</i> n. g. n. sp. aus dem Rotliegenden von Neurode	06	I	151
Schröder, H. und J. Stoller: Marine und Süßwasser-Ablagerungen im Diluvium von Uetersen—Schulau	06	I	120
— — Diluviale marine und Süßwasserschichten bei Uetersen-Schulau	08	I	100
Schröder, O.: Eine gestielte <i>Acanthometride</i>	08	II	321
Schröder, R., siehe Goldschmidt, V. und Schröder, R.			

- Schröder vander Kolk, J. L. C.: Tabellen zur mikroskopischen Bestimmung der Mineralien nach ihrem Brechungsindex CBI 1906 551
- Schubert, R. J.: Zur Geologie des Kartenblattbereiches Benkovac—Novigrad (29, XIII). I. Die vier küstennächsten Falten 1905 I 454
- Die Fischotolithen des österreichisch-ungarischen Tertiärs.
I. Die Scyaeniden 05 II 138
- Mitteleocäner Globigerinenmergel von Albona (Istrien) 05 II 159
- Ueber den „Schlier“ von Dolnja-Tuzla in Bosnien 1905 II 290. 490
- Die Ergebnisse der mikroskopischen Untersuchung der bei der ärarischen Tiefbohrung zu Wels durchteuften Schichten 1905 II 290. 490
- Mitteleocäne Foraminiferen aus Dalmatien 05 II 491
- Ueber Cyclamina Uhligi SCHUB. und C. draga LIEB. et SCHUB 05 II 491
- Zur Geologie des Kartenblattbereiches Benkovac—Novigrad (29, XIII). II. Das Gebiet zwischen Zemonico und Benkovac 06 I 258
- Geologische Spezialkarte des Blattes Zaravecchia—Stretto. Zone 30, Kol. XIII 07 I 90
- Das Verbreitungsgebiet der Prominaschichten im Kartenblatte Novigrad—Benkovac (Norddalmatien) 07 I 103
- Zur Entstehung des Klippenzuges von Korlat—Smilčić 07 I 105
- Die Fischotolithen des österreichisch-ungarischen Tertiärs.
II. Macruriden und Beryciden 07 I 480
- Vorläufige Mitteilung über Foraminiferen und Kalkalgen aus dem dalmatinischen Carbon 07 II 339
- Ueber Fischotolithen aus dem sardinischen Miocän 08 II 277
- Weitere Fischotolithen aus dem sardinischen Miocän und aus dem Pliocän von Bologna 08 II 277
- Die Fischotolithen des Pausramer Mergels 08 II 277
- Zur Geologie des österreichischen Velebit. (Nebst paläontologischem Anhang.) 08 II 289
- Die nutzbaren Minerallagerstätten Dalmatiens 09 II 82
- Beiträge zu einer natürlicheren Systematik der Foraminiferen BB XXV 232
- *Heteroclypeus*, eine Uebergangsform zwischen *Heterostegina* und *Cycloclypeus* CBI 1906 640
- *Ueber Ellipsoidina und einige verwandte Formen* CBI 1906 641
- Schubert, R., siehe Kerner, F. v.
- Schubert, R. und L. Waagen: Die untersilurischen Phyllopodengattungen *Ribeiria* SHARPE und *Ribeirella* n. g. 05 II 316
- Schucht, F.: Das Kehdinger Moor 05 II 121
- Das Wasser und seine Sedimente im Flutgebiete der Elbe 05 II 444
- Geologische Beobachtungen im Hümmling 08 I 98
- Die interglazialen Ablagerungen von Godenstadt bei Zeven 08 II 408
- Der Lauenburger Ton als leitender Horizont für die Gliederung und Altersbestimmung des nordwestdeutschen Diluviums 09 II 309
- Schütte, H.: Neuzeitliche Senkungserscheinungen an unserer Nordseeküste 08 II 99
- Schütze, E.: Ueber alttertiäre Land- und Süßwasserkonchylien aus dem Ries 07 II 451
- Beiträge zur Kenntnis der triassischen Koniferengattungen: *Pagiophyllum*, *Voltzia* und *Widdringtonitis* 08 I 150
- Alttertiäre Land- und Süßwasserfossilien aus der Bunten Breccie von Weilheim im Ries 08 I 432

- Schütze, E.: Der geologische Aufbau der Schwäbischen Alb mit besonderer Berücksichtigung der daselbst vorkommenden nutzbaren Gesteine 1908 II 217
- *Nerita costellata* Münst., eine Schnecke der schwäbischen Meeresmolasse CBl 1905 720
- Die Gattung *Pinna* im schwäbischen Muschelkalk CBl 1906 114
- Schukowsky, G. v., siehe Bredig, G.
- Schuller, A.: Destillation in luftleeren Quarzgefäßen 05 I 17
- Schulten, A. de: Sur un procédé de cristallisation de corps peu solubles 05 II 4
- Sur une propriété particulière à quelques sels hydratés 05 II 4
- Production artificielle de haidingérites de baryum et de strontium 06 I 28
- Production artificielle de la Hopéite 06 I 29
- Production artificielle de la huréaulite et de la huréaulite de cadmium 06 I 29
- Production artificielle de monétites de baryum, de plomb et de strontium et de monétites arséniées de plomb et de strontium 06 I 29
- Production artificielle par voie humide des chromates anhydres de baryum, de plomb et de strontium 06 I 30
- Sur la fiedlerite 07 I 18
- Sur l'isomorphisme de la northupite avec la tychite 08 II 172
- Schulz, F. C., siehe Koehne, W.
- Schulz-Briesen: Das Deckgebirge des rheinisch-westfälischen Carbons 06 II 105
- Schumann und Leonhard: Das Kreidelager bei Grimme 07 II 123
- Schuster, C., siehe Cornu, F.
- Schuster, J.: Ueber ein pliocänes Eichenholz aus Idaho 08 II 49
- Zur Kenntnis der Flora der Saarbrücker Schichten und des pfälzischen Oberrotliegenden 09 I 303
- Paläobotanische Notizen aus Bayern. I. 09 I 467
- Schwabe, G.: Die Vorgeschichte des Menschen 05 II 300
- Schwantke, A.: Ueber die Basalte der Gegend von Marburg, insbesondere das Vorkommen von Amöneburg 05 I 234
- Ueber die Tuffe der Basalte der Gegend von Marburg 05 I 234
- Ueber den protogenen Augit der Basalte 07 II 59
- Ueber Verwachsungen von monoklinem Augit mit Olivin 07 II 59
- Weitere Beobachtungen an dem protogenen basaltischen Augit und über den Bastit 07 II 59
- Die Basalte des westlichen Nordgrönlands und das Eisen von Uifak 08 I 235
- Isomorphie und kristallochemisches Gleichgewicht 09 II 177
- Entmischung labiler isomorpher Mischungen in der Feldspatgruppe 09 II 181
- Zur Nomenklatur isomorpher Körper 09 II 179
- Die Mandelausfüllung im zeolithführenden Anamesit von Ober-Widdersheim CBl 1905 142
- Ueber eine Pseudomorphose von Osteolith nach Kalkspat und über kristallisierten Staffelit CBl 1905 641
- Die Brechungskoeffizienten des Moldawit CBl 1909 26
- Elementarer Beweis des Zonengesetzes als Übungsbeispiel zur Zonenrechnung CBl 1909 27
- Die Beimischung von Ca im Kalifeldspat u. die Myrmekitbildung CBl 1909 311
- Schwarz, E. H. L.: Gold at Knysna and Prince Albert, Cape Colony 07 I 408

	Jahrg.	Bd.	Seite
Schwarz, E. H. L.: Geological Survey of the Long Kloof	1907	II	118
— The rocks of Tristan d'Acunha, brought by H. M. S. „Odin“ 1904, with their bearing on the question of the permanence of Ocean basins	07	II	119
— The Coast-Ledges in the South-West of the Cape-Colony	08	II	46
Schwarz, H.: Ueber die Auswürflinge von kristallinen Schiefern und Tiefengesteinen in den Vulkanembryonen der Schwäbischen Alb	07	I	387
— Ueber die Wirbelsäule und die Rippen holospondyler Stego- cephalen (Lepospondyli ZITT.)	08	II	269
— Ueber die Morphogenie der Wirbelsäule der Tetrapoda	09	II	110
Schwarzmann, M.: <i>Sammlungsmikroskope für Mineralien- sammlungen</i>	CBl 1907		615
— Kristalltafeln	CBl 1908		90
Schweinfurth, G.: Pseudoeolithen im nordischen Ge- schiebemergel	08	I	281
Schwiétring, Fr.: <i>Beiträge zur Kenntnis der partiellen und der totalen Reflexion des Lichtes an durchsichtigen inaktiven Kristallen</i>	BB	XXVI	296
Scott, D. H.: On the structure and affinities of Fossil Plants from the Palaeozoic Rocks. III. On <i>Medullosa anglica</i> , a new Representative of the Cycadofilices	07	I	163
— Studies in Fossil Botany	07	I	163
— The origin of Seed-bearing Plants	07	I	163
— Germinating spores in a fossil Fern-Sporangium	07	I	164
— The early History of Seed-bearing Plants, as recorded in the Carboniferous Flora	07	I	164
— The Fern-like Seed-plants of the Carboniferous Flora	07	I	164
— What were the Carboniferous Ferns?	07	I	164
— The Present Position of Palaeozoic Botany	09	I	144
— Studies in Fossil Botany. Vol. I. Pteridophyta. Second Edition	09	II	325
— siehe Oliver, F. W.			
— siehe Williamson, W. C.			
Scott, D. H. and E. A. N. Arber: On some new Lageno- stoma	07	I	164
Scott, D. H. and A. J. Maslen: Note on the structure of <i>Trigonocarpon olivaeforme</i>	07	I	165
Scott, W. B.: Mammalia of the Santa Cruz beds. Part I: Edentata. 1. Dasypoda	05	I	498
— Mammalia of the Santa Cruz beds. Part I: Edentata. 2. Glyptodontia and Gravigrada	06	I	453
— Report of the Princeton University Expeditions to Pata- gonia 1896—1899. Bd. 5. Palaeontology. Part II: In- sectivora. Part. III: Glires	07	II	320
Scupin, H.: Ueber vulkanische Bomben aus dem Katzbach- gebirge	05	I	233
— <i>Die stratigraphischen Beziehungen der obersten Kreideschichten in Sachsen, Schlesien und Böhmen</i>	BB	XXIV	676
Sederholm, J. J.: Ueber den gegenwärtigen Stand unserer Kenntnis der kristallinischen Schiefer von Finnland	07	I	235
See, T. J. J.: Die physikalische Ursache der Starrheit der Erde — Untersuchungen über die inneren Dichtigkeiten, Druck- und Trägheitsmomente der Hauptkörper des Planetensystems	07	I	373
Seebach, M.: Chemische und mineralogische Studien am Granat	CBl 1906		774

- Seeley, H. G.: On a pneumatic type of vertebra from the Lower Karroo Rocks of Cape Colony (Tamboeria Maraisi) 1906 I 310
- Evidences of a mandible of a new Labyrinthodont from the Upper Karroo beds of Cape Colony (Ptychosphenodon BROWNII) 08 II 276
- Seemann, Fr.: Petrographischer Teil von: „Ergebnisse einer naturwissenschaftlichen Reise zum Erdschias Dagh (Klein-Asien); ausgeführt von A. PENTHER und E. ZEDERBAUER“ 09 II 231
- Segeberger, K. O.: De Anomura och Brachyura Dekapoderna inom Skandinavien — Yngre Krita 06 II 141
- Seguenza, L.: I. Vertebrati fossili della Provincia di Messina. Parte II: Mammiferi e geologia del piano pontico 06 I 141
- I Vertebrati fossili della Provincia de Messina. Parte III: Mammiferi pliocenici e quaternari 06 I 142
- Séguin: Note sur un cas de monstruosité chez le *Pyrina ovulum*. 05 II 148
- Note sur le développement de l'*Acropeltis aequituberculata* Ag. 05 II 148
- Seidel, C., siehe Miller, W.
- Seidlitz, W. v.: Geologische Untersuchungen im östlichen Rätikon 09 I 88
- Seipp, H.: Die abgekürzte Wetterbeständigkeitsprobe der natürlichen Bausteine mit besonderer Berücksichtigung der Sandsteine, namentlich der Wesersandsteine 08 II 218
- Sella, A., siehe Martinelli, G.
- Sellards, E. H.: A Study of the structure of palaeozoic Cockroaches, with descriptions of new forms from the Coal-Measures 05 I 524
- Semper, M.: Die Grundlagen paläogeographischer Untersuchungen CBI 1908 434
- Semper und Blanckenhorn: Salpeterablagerung in Chile und Aegypten 05 I 262
- Seninski, K.: Neogenablagerungen im Distrikt Suchum des südwestlichen Kaukasus 06 I 432
- Senouque, A.: Sur la diminution de l'intensité du champ magnétique terrestre en fonction de l'altitude, dans le massif du Mont Blanc 09 I 44
- Sernander, R.: Flytjord i svenska fjälltrakter. En botanisk-geologisk undersökning 06 II 350
- Serra, A.: Studio litologicochimico delle rocce del Coluru (Sardegna Sett.) 08 II 45
- Intorno alla tormalina dell' Asinara (Sardegna) 08 II 312
- Sestini, F.: Materiali per una carta chimico-agronomica. Dei terreni della pianura pisana ed in special modo di quelli dei dintorno di Pisa 05 I 146
- Sevastos, R.: Sur la faune pleistocène de la Roumanie 05 I 320
- Seward, A. C.: The Jurassic Flora. I. The Yorkshire Coast — The Jurassic Flora. II. Liassic and Oolitic Floras of England 07 I 488
- La flore wealdienne de Bernissart 07 I 491
- On the Occurrence of Dictyozamites in England, with Remarks on European and Eastern Mesozoic Floras 08 I 148
- Fossil Floras of Cape Colony 08 I 148
- Fossil Plants from South Africa 1908 I 149. 454
- Fossil Plants from Egypt. 08 I 149
- On a Collection of Jurassic Plants from Victoria 08 I 149

- Seward, A. C.: On a Collection of Permo-Carboniferous Plants from St. Lucia (Sonkele) Coal-Field, Zululand, and from the Newcastle District, Natal. 1908 I 149
- Permo-Carboniferous Plants from Kashmir 08 I 453
- Jurassic Plants from Caucasia and Turkestan 09 I 147
- Seward, A. C. and Sibille O. Ford: The Araucariae, recent and extinct. 08 I 158
- Seward, A. C. and T. N. Liesle: Permo-Carboniferous Plants from Vereeniging 08 I 453
- Seward, A. C. and A. S. Woodward: Permo-Carboniferous Plants and Vertebrates from Kashmir 08 I 416
- Shand, J.: Ueber Borolanit und die Gesteine des Cnoc-na-Sroine-Massivs in Nord-Schottland. BB XXII 413
- Shattuck, G. B.: The mollusca of the Buda limestone, with an appendix on the corals of the Buda limestone, by TH. W. VAUGHAN 06 I 308
- Shelton, H. S.: Ueber den Molekularzustand des Borax in Lösung. 05 II 16
- Shepard, E. M.: The New Madrid earthquake 07 I 45
- Shepherd, S. E., siehe Day, A. L. etc.
- Shimer, H. W.: Fossorial Adaptation 06 I 137
- Shrubsole, O. A.: Triassic pebbles of South Devon and the Midlands 05 II 424
- Sichtermann, P.: Diabasgänge im Flußgebiet der unteren Lenne und Volme. 1907 I 55 09 I 407
- Sidorenko, M.: Magnetkies aus Gruschewka-Anthrazit und die Produkte seiner Metamorphose (gediegenes Eisen und Limonit) 06 I 13
- Beschreibung einiger Mineralien und Gesteine aus den Gipslagerstätten des Chotinschen Kreises im Gouvernement Bessarabien. 07 II 377
- Siebenthal, C. E.: Structural Features of the Joplin District 07 II 52
- Sieber: Fossile Süßwasser-Ostracoden aus Württemberg . . 06 II 138
- Siebert, W., siehe Stock, A.
- Siedentopf, H.: Ultramikroskopische Untersuchungen über Steinsalzfärbungen 07 II 14
- Ueber künstlichen Dichroismus von blauem Steinsalz. . . 08 II 157
- Mikroskop-Okular mit Quarzkeil-Kompensator CBI 1906 745
- Siedentopf, H. und E. Sommerfeldt: Ueber die Anfertigung kinematographischer Mikrophotographien der Kristallisationserscheinungen 08 II 145
- Siegert, L., siehe Kaiser, E. und Siegert, L.
- Siegert und Weißermel: Ueber die Gliederung des Diluviums zwischen Halle und Weißenfels 06 II 432
- Sigmund, A.: Ein neues Vorkommen von Basalttuff in der Oststeiermark 08 I 61
- Ueber den Amphibolgranit bei Winden in Niederösterreich 08 I 63
- Siemiradzki, J. v.: Die obere Kreide in Polen. 06 II 110
- Sigmund, A.: Ueber einige seltene Minerale in Niederösterreich 06 II 174
- Graphit im Granulit von Pöchlarn 08 I 62
- *Eitügebung auf Herrn K. A. Redlich's „Kritische Bemerkungen zu den Mineralien Niederösterreichs“ von A. Sigmund“ in diesem „Centralblatt“ 1908, No. 24 CBI 1909 439*
- *Ueber ein Nephritgeschiebe von außergewöhnlicher Größe aus dem Murschotter bei Graz CBI 1909 686*

<i>Sigmund, A.</i> : Die Minerale Niederösterreichs.	CBl 1909 710		
— siehe Clar, O.			
— siehe Redlich, K. A.			
<i>Silvestri, A.</i> : Intorno ad una varietà della Virgulina Schreiberiana Cžrk.	1905 II	155	
— La forma megalosferica della Cyclammina cancellata . . .	05 II	157	
— La forma microsferica della Cyclammina cancellata . . .	05 II	157	
— Alcune osservazioni sui Protozoi fossili Piemontesi . . .	05 II	157	
— Località toscana del genere Chapmania SILV. et PREV. . .	05 II	158	
— Lepidocyclinae ed altri fossili del territorio d'Anghiari . .	05 II	487	
— Sul Dictyoconus aegyptiensis (CHAPMAN)	05 II	487	
— Osservazione critiche sul genere Baculogypsina SACCO . .	05 II	488	
— Ricerche strutturali su alcune forme dei trubi di Bonfornello (Palermo)	06 I	472	
— La Chapmania gassinensis SILV.	06 I	473	
— Notizie sommarie su tre faunule del Lazio	06 I	473	
— Sulla „Orbitoides Gumbelii“ SEG.	06 I	473	
— Forme notevoli di Rizopodi tirrenici	06 II	308	
— Forme nuove e poco conosciute di Protozoi miocenici piemontesi	06 II	308	
— Lageninae del Mar Tirreno	06 II	309	
— La Sagrina nodosa del Pliocene senese	06 II	309	
— Sulla Lepidocyclina marginata (MICHELOTTI)	06 II	457	
— Nuova forma della Triloculina rotunda D'ORB.	07 I	330	
— Sul dimorfismo della „Textularia gibbosa“ D'ORB.	07 I	330	
— Sull' età geologica delle Lepidocycline	07 II	339	
— Forma italiana della „Lingulina impressa“ TERQUEM. . . .	07 II	340	
— Fossili dordoniani nei dintorni di Termini-Imerese (Palermo)	07 II	341	
— La questione delle Lepidocycline nell' Umbria	07 II	498	
— Il genere Glandulonodosaria SILV.	07 II	499	
— Considerazioni paleontologiche e morfologiche sui generi Operculina, Heterostegina, Cycloclypeus	08 I	447	
— L'Omphalocyclus macropora (LAMCK.) a Termini—Imerese (Palermo)	08 I	448	
— Sulla „Orbitoides“ socialis LEYMERIE	08 II	289	
— Sulla „Orbitulites complanata“ MARTELLI	08 II	290	
— Probabile origine d'alcune Orbitoidinae	08 II	291	
— PHILIPPE DE LA HARPE nella questione delle Lepidocycline	09 I	139	
— Miliolidi trematoforate nell' Eocene della Terra d'Otranto	09 I	140	
— Osservazioni ad uno scritto di G. ROVERETO „Sur le Stampien à Lepidocyclines des environs de Varazze“	09 II	148	
— Fossili cretacei della Contrada Calcasacco presso Termini-Imerese (Palermo)	09 II	149	
— siehe Prever, P. L.			
<i>Simionescu, J.</i> : Ueber die Verbreitung und Beschaffenheit der sarmatischen Schichten der Moldau (Rumänien)	1905 I 469	06 I	295
— Vorläufige Mitteilung über eine oligocäne Fischfauna aus den rumänischen Karpathen	06 I	153	
— Contributions à la géologie de la Moldavie	06 I	406	
— Sur la présence du Verrucano dans les Carpathes Moldaves	06 I	407	
— Das Alter der Klaus-Schichten in den Südkarpathen . . .	06 II	120	
— Les Ammonites jurassiques de Bucegi	06 II	120	
— Note sur l'âge et le facies des calcaires de Hârsova-Topal (Dobrogea)	07 II	445	
— Ueber das Vorkommen der Werfener Schichten in der Dobrogea (Rumänien)	08 II	399	

Simmer, H.: Der aktive Vulkanismus auf dem afrikanischen Festlande und den afrikanischen Inseln	1907	II	395
Simmersbach, B.: Das Steinkohlenbecken von Heraklea in Kleinasien	05	I	261
Simmersbach, B. und F. Mayr: Die chilensische Salpeterindustrie	06	I	238
Simons, G.: Note préliminaire sur l'allure probable des couches houillères dans le Nord de la Belgique	05	I	127
— Un exemple de transgression marine secondaire au sein d'un cycle sédimentaire type	06	II	428
Simon, K.: Beiträge zur Kenntnis der Mineralfarben	BB	XXVI	249
Simons, G.: A propos des roches rouges du bassin houiller de la Campine	05	I	455
Simpson, E. S.: Notes on a meteorite from the Nuleri District of Western Australia	09	I	360
Simpson, J. F.: The Relation of copper to Pyrite in the Lear Copper Ores of Butte, Montana	09	II	399
Sinclair, W. J.: The exploration of the Potter Creek Cave — New Mammalia from the Quaternary Caves of California	06	I	125
— New or imperfectly known Rodents and Ungulates from the John Day Series	07	I	303
— The Marsupial Fauna of the Santa Cruz Beds	07	I	306
— Some Edentate-like remains from the Mascall Beds of Oregon	07	II	491
Sinclair, W. J. and E. L. Furlong: Eucraterium, a new Ungulate from the Quaternary Caves of California	05	II	469
Sinzow, J.: Ueber einige evolute Ammonitenformen aus dem oberen Neocom Rußlands	06	I	465
— Beschreibung einiger Douvilléceras-Arten aus dem oberen Neocom Rußlands	06	II	141
Sitzenberger, J.: Couches fossilifères entamées par le chemin de fer du Bregenzerwald	06	I	427
Sjögren: Om våra järnmalmers bildningssätt	09	I	391
Sjögren, Hj.: Einschlüsse in einem Gangquarz von Salangen in Norwegen	06	I	165
— Ueber kristallisierten Pyrochroit von Långban	06	I	166
— Ueber A. E. NORDENSKJÖLD's Untersuchungen der Radioaktivität bei gewissen schwedischen und norwegischen Mineralen	06	I	325
— Ueber Darstellung von Radium aus Kolm von Westgotland und Nerike und über Destillationsprodukte bituminöser Alaunschiefer	06	I	326
— Inneslutningar i en gångkvartz från Salangen i Norge	06	II	363
— Thalenit aus dem Quarzbruch von Askagen in Värmland	07	II	26
— Barysit von Långban	07	II	27
— Edingtonit von Böhlet in Westergötland und von Kilpatrik in Schottland	07	II	184
— Ueber IGELSTRÖM's Chondroarsenit von Pajsberg	07	II	375
Sjuts, H.: Ueber die Bedeutung der Verwitterung für die Umgestaltung der Erdoberfläche	08	II	58
Skanes, J., siehe Inkes-Brown, A. J.			
Skeats, E. W.: On the Chemical and Mineralogical Evidence as to the Origin of the Dolomites of Southern Tyrol	06	II	206
— The Chemical Composition of Limestones from Upraised Corals Islands, with Notes on their Microscopical Structure	07	II	217

Skeats, E. W.: Notes on the geology of Moorooduc in the Mornington peninsula	1909-	I	230
— Notes on the geology of the You Yangs, Victoria	09	I	231
Skinner, S.: Note on the Slipperiness of Ice	05	I	20
Skouphos, Th.: Ueber die paläontologischen Ausgrabungen in Griechenland in Beziehung auf das Vorhandensein des Menschen.	08	I	120
Slatowratsky, N. und G. Tamman: Erweichende Kristalle in der Nähe ihres Schmelzpunktes?	06	II	10
Slaviček, J.: Aelteres Tertiär in der Umgebung von Neutitschein	07	II	295
Slavík, F.: Mineralogische Notizen. II. Titanit von Skaatö bei Kragerö	05	I	188
— Mineralogische Notizen. III. Krokoitkristall von Dundas	05	I	191
— Mineralogische Notizen. I. Zur Kenntnis der Mineralien von Schlaggenwald	05	I	198
— Mineralogische Mitteilungen aus Westmähren. II. 1905	176.	179.	188
— Die Alaun- und Pyritschiefer Westböhmens	06	I	51
— Ueber den Baryt und Anglesit von Mies. Studien über den Mieser Erzdistrikt und einige seiner Mineralien. II. Teil	06	II	24
— Bemerkungen zu demselben Aufsätze	06	II	353
— Zwei Kontakte von mittelböhmischem Granit mit Kalkstein	06	II	360
— Studien über den Mieser Erzdistrikt und einige seiner Mineralien	06	II	362
— Vesuvischer Salmiak von 1906	08	I	326
— Ueber die Mineralien von Kostajnik in Serbien	09	I	166
— Whewellit von Schlan	09	I	195
— Phenakit von Brasilien	CBl 1909 264		
Slavík, F., siehe Počta, Ph.			
Slavík, Marie: Gabbrodiorit von Ober-Brezany	06	II	361
Smirnoff, W.: Notiz über Glaukonit aus der Umgebung von Grodno.	07	II	370
— Ueber ein kristallinisches Verwitterungsprodukt des Augits 1908	09	II	344
— Grammatit von Slatoust	09	II	17
Smith, G. E.: The Brain of the Archaeoceti	06	I	147
Smith, G. F. H.: On the advantages of the Gnomonic Projection and its use in the Drawing of Crystals	05	II	1
— The construction and use of the Moriogram	06	I	1
— An improved form of Three-Circle Goniometer	06	I	159
— An improved form of Refractometer	06	II	32
— On the method of minimum deviation for the determination of refraction indices	07	II	163
— Paratacamite, a new oxychloride of copper	07	II	355
— Ueber eine neue Form des dreikreisigen Goniometers	08	I	2
— Konstruktion und Anwendung des Moriogramms	08	I	2
— Ueber eine verbesserte Form des Refraktometers.	08	I	2
— A new model of Refractometer	08	II	146
— Red silver minerals from the Binnental Switzerland	09	I	171
— Ilmenite from Jacupiranga, Brazil	09	I	175
— siehe Blake, G. S. and Smith, G. F. H.			
Smith, G. O., siehe Dale, F. N.			
Smith, J. P.: The carboniferous Ammonoids of America	05	I	525
— The comparative stratigraphy of the Marine Trias of Western America	06	II	98
— The stratigraphy of the Western American Trias 1907	08	I	259

- Smith, J. P.: The paragenesis of minerals in the glaucophane-bearing rocks in California 1909 I 71
 — siehe Hyatt, A.
 Smith, St. T., siehe Ulrich, E. O.
 Smith, W. D.: The development of Scaphites 08 I 132
 — Orbitoides from the Binangonan Limestone 09 II 150
 Smith, W. S. T.: Some aspects of erosion in relation to the theory of the peneplain 05 II 375
 Smith-Woodward, A. S.: The fossil fishes of the English Chalk. Part I 05 I 136
 — On two Skulls of the Ornithosaurian Rhamphorhynchus. I. Rhamphorhynchus Gemmingi MEYER. II. Rhamphorhynchus longiceps n. sp. 05 I 521
 — Catalogue of fossil fishes in the British Museum (natural History). Part IV. Containing the Actinopterygian Teleostomi of the suborders Isoospondyli (in part), Ostariophysii, Apodes, Percesoces, Hemibranchii, Acanthopterygii and Anacanthini 05 II 135
 — On some extinct reptiles from Patagonia of the genera Miolania, Dinilysia and Genyodectes 05 II 307
 — Preliminary Note on a carboniferous Fish-Fauna from Victoria, Australia 05 II 480
 — On two new Labyrinthodont skulls of the Genera Capitosauros and Aphaneramma 07 I 150
 — Fossil fish remains from Natal. I. Notes on Cretaceous fish teeth from the mouth of the Umpenyati River, Natal 07 II 304
 — On Rhynchosauros articeps (OWEN). 08 II 441
 — On some fossil fishes discovered by Prof. ENNES DE SOUZA in the cretaceous formation at Ilhéos (State of Bahia), Brazil 08 II 447
 — On a Megalosaurian tibia from the lower Lias from Wilmcote, Warwickshire 09 I 441
 — On a new dinosaurian reptile (Seleromochlus Taylori n. g. n. sp.) from the Trias of Lossiemouth, Elgin 09 I 443
 — On some fossil reptilian bones from the State of Rio Grande do Sul 09 I 444
 — Fossil reptilian bones from Brazil 09 I 444
 — siehe Seward, A. C.
 Smolař, G.: Die Berechnung der Zwillinge in den schiefwinkligen Systemen 1908 I 2
 — Mathematische Grundlage zur Berechnung von Zwillingen 1908 I 2. 14
 — Die Messung der Kantenwinkel mittels eines Vertikaliluminators am Reflexionsgoniometer 09 I 313
 Smolénski, G.: Das Untersenon von Bonarka. I. Cephalopoden und Inoceramen 08 I 431
 Smýčka, F.: Bericht über die Devonfauna der Čelechovicr Bildungen in Mähren 05 I 126
 — Novější nálezy v čelechovském devonu 05 I 126
 — Beitrag zur Kenntnis der Devonfauna bei Čelechovic für das Jahr 1905 07 II 283
 — Ueber Miocänablagerungen auf Devonkalksteinen bei „Čelechovská kaple“ (Rittberg) unweit Proßnitz (Mähren) 07 II 296
 Smyth, C. H.: Replacement of Quartz by Pyrite and corrosion of Quartz pebbles 06 I 331
 — The abstraction of oxygen from the atmosphere by iron 07 I 49
 Smyth, H. L.: Magnetic Observations in Geological and Economic Work. I. II. 09 I 389

	Jahrg.	Bd.	Seite
Snethlage, E.: Ueber die Gattung <i>Joufia</i> G. BOEHM . . .	1908	I	445
Sobolew, D.: Zur Stratigraphie des oberen Mitteldevons im polnischen Mittelgebirge	05	I	127
— Devonische Ablagerungen des Profils Grzegorzewice—Skaly— Wlochi	05	II	106
Sodoffsky, G.: Die Gipslager in den Gouvernements Livland und Pleskau	06	II	229
Soellner, J.: Ueber Rhönit, ein neues ämigmatitähnliches Mine- ral und über das Vorkommen und die Verbreitung desselben in basaltischen Gesteinen	BB	XXIV	475
— Ueber das Vorkommen und die Verbreitung von Aemigmatit in basaltischen Gesteinen	CBl	1906	206
Soenderop, F., siehe Schneider, O.			
Sokol, R.: Ueber Erosion und Denudation eines Baches . . .	CBl	1907	429
Sokolow, N.: Die Molluskenfauna von Mandrikowka. I. Pe- lecypoda. Prionodesmacea (Nuculidae, Ledidae, Limopsi- dae, Arcidae, Vulsellidae, Ostreidae, Pectinidae, Spon- dyliidae, Dimyidae, Limidae, Anomüidae)	06	I	468
Sokolow, W.: Ueber die Veränderung der Quarzsubstanz unter dem Einfluß hoher Temperatur	09	II	14
Solger, F.: Die Ammonitenfauna der Mungo-Kalke in Kame- run und das geologische Alter der letzteren	05	I	153
— Die Fossilien der Mungo-Kreide in Kamerun und ihre geo- logische Bedeutung	05	I	153
— Ueber die Jugendentwicklung von <i>Sphenodiscus lenticularis</i> Ow. und seine Beziehungen zur Gruppe der Tissotien	05	I	177
Sollas, W. J.: Recumbent Folds produced as a Result of Flow . . .	09	I	82
Solly, R. H.: Sulpharsenites of lead from the Binnenthal. Part IV. Seligmannite, with a supplementary note on Baumhauerite	05	I	19
— On various minerals (Anatase etc.) from the Binnental	06	I	167
— Some new minerals from the Binnental, Switzerland	06	II	30
— Notes on some Binnental minerals (Ilmenite, Seligmannite, Marrite etc.)	08	I	204
Solórzano, M. M.: Plant Remains in Basalt, Mexico	09	II	393
Sommer, K.: Die Fauna des Culms von Königsberg bei Gießen BB	XXVIII		611
Sommerfeldt, E.: Ein für mineralogische Untersuchungen bei hohen Temperaturen geeignetes Mikroskop	06	I	2
— Einige Anwendungen der stereographischen Projektion	07	I	2
— Zur Frage nach der Isomorphie des Calciumsulfats mit Baryt und Cölestin	07	I	139
— Die mikroskopische Achsenwinkelbestimmung bei sehr kleinen Kristallpräparaten	1907	I	187
— Eine Verbesserung am Kondensator	07	II	164
— Ueber die Struktur der optisch-aktiven monoklin-hemi- edrischen Kristalle	07	II	351
— Ein Beispiel für optisches Drehungsvermögen bei nichtenantio- morphen Kristallen: der Mesityloxydooxalsäuremethyl ester	08	I	58
— Ueber die Beziehungen der Kristallpolyeder zu den regelmäßigen Körpern	08	I	113
— Eine einfache Methode zur Justierung der Nicols am minera- logischen Mikroskop	08	II	145
— Ueber den Ursprung des Ammoniaks der Laven	1909	I	7. 52
— Ueber flüssige und scheinbar lebende Kristalle	09	II	329
— Eine Erweiterung der Komplikationsregel	CBl	1905	427
— Diagramme der regelmäßigen Punktsysteme. (Erster Teil) CBl	1906	437. 468	

- Sommerfeldt, E.: Eine Grundfrage der chemischen Petrographie CBI 1907 2
 — Anomale Aetzfiguren und ihre Erklärung durch die Strukturtheorie CBI 1907 111
 — Bemerkungen zu den graphischen Methoden der Petrographie CBI 1907 134
 — Notiz über den Periklas CBI 1907 212
 — Geometrische Kristallographie CBI 1907 182
 — Physikalische Kristallographie vom Standpunkt der Strukturtheorie CBI 1907 472
 — Fluorhaltiges Zement in Sandsteinen CBI 1908 161
 — Nachtrag zu meiner Publikation über kristallisiertes Calciumsulfat CBI 1909 25
 — Zu dem „Nachtrag zu meiner Publikation über kristallisiertes Calciumsulfat“ CBI 1909 189
 — siehe Siedentopf, H.
 Somervail, A.: On the Base of the Keuper in South Devon 1905 II 425
 Souza, siehe Ennes de Souza.
 Souza Brandão, V. de: Sur un gisement remarquable de Riebeckite et le Zircon qui l'accompagne 1905 I 373. 378
 — Ueber ein Mikroskopgoniometer 05 II 2
 — Gefäß-Totalreflektometer und Achsenwinkelapparat, in Verbindung mit dem BABINET'schen Goniometer und weitere Verbesserungen an dem letzteren 09 I 156
 — Ueber eine Dispersionsformel der Doppelbrechung im Quarz und deren Verwendung beim Babinet'schen Kompensator . CBI 1905 23
 Spandell, E.: Der Rupelton des Mainzer Beckens, seine Abteilungen und deren Foraminiferenfauna, sowie einige weitere geologisch-paläontologische Mitteilungen über das Mainzer Becken 1909 I 433 09 II 323
 Speight, R.: Note on a Dyke at Nugget Point 09 II 75
 — Notes on some Rocks from Campbell Island 09 II 75
 Spencer, A. C.: The Copper Deposits of the Encampment District, Wyoming 05 II 35
 Spencer, J. W.: Recession of the Niagara Falls 09 II 210
 Spencer, L. J.: A (third) list of new mineral names 05 I 1
 — Irregularly developed crystals of Zircon (sp. gr. 4.0) from Ceylon 06 I 21
 — Phenacite and other minerals from German East Africa . 07 II 384
 — Notes on some Bolivian minerals (Jamesonite, Andorite, Cassiterite, Tourmaline etc.). With chemical analyses by T. PRIOR 08 II 336
 — A (fourth) list of new mineral names 09 I 155
 — Note on Feather-ore: identity of Domingite (= „Warrenite“) with Jamesonite 09 I 170
 — On hopeite and other zinc phosphates and associated minerals from the Broken Hill mines, North-Western Rhodesia . 09 II 31
 — siehe Johnston-Lavis, H. J. and Spencer, L. J.
 Sperouski, A.: Ueber den Dampfdruck der festen Lösungen 05 I 364
 Spethmann, H.: Ancyclus-See und Litorina-Meer im südwestlichen Ostseebecken von der dänischen Grenze bis zur Odermündung 07 I 118
 — Glaziale Stillstandslagen im Gebiet der mittleren Weser . . . 09 I 109
 — Vulkanologische Forschungen im östlichen Zentralisland BB XXVI 381
 — Die Lübecker Mulde und ihre Terrassen CBI 1907 97
 — „Härting“ für monadnock. — „Nachrumpf“ und „Vorrumpf“ CBI 1908 746
 — Aeolische Aufschüttungsringe an Firnstücken CBI 1909 180
 — Der Aufbau der Insel Island CBI 1909 622. 646

- Spezia, G.: Contribuzioni di geologica chimica. La pressione è chimicamente inattiva nella solubilità e re costituzione del quarzo 1905 II 246
- Note mineralogiche sopra alcuni materiali dell' isola del Principe Rodolfo 06 I 35
- Il Dinamometamorfismo e la Minerogenesi 06 I 47
- Contribuzioni sperimentali alla cristallogenesi del Quarzo 1906 II 80. 159
- Sulle inclusioni di anidride carbonica liquida nella anidrite associata al quarzo trovata nel Traforo del Sempione 08 I 34
- La pressione anche unità al tempo non produce reazioni chimiche 08 I 168
- Sulle inclusione di anidride carbonica liquida nella calcite di Traversella 08 I 179
- Azione chimica del chlorato potassico sulla pirite e sull' hauerite 09 I 334
- *Ueber das metallische Natrium als die angebliche Ursache der natürlichen blauen Farbe des Steinsalzes* CBl 1909 398
- Spiller, J.: Recent Coast Erosion in Suffolk: Dunwich to Covehithe 06 I 46
- Spitaler, R.: Periodische Verschiebungen des Schwerpunktes der Erde 07 I 374
- Spitzenberger, J.: Gisements fossilifères dans le Molasse aux environs de Stockach 08 I 269
- Spitzner, V.: Foraminifery z miocénových jilu u Čech blize Prostějova 07 I 162
- Geologische Verhältnisse der Bezirke Proßnitz und Plumenau — siehe Purkyně, Cyr. Ritter v. 09 I 98
- Spring, R.: Zur Kenntnis der Erzlagerstätten von Smejningorsk (Schlangenber) und Umgebung im Altai 07 I 255
- Einige Beobachtungen in den Platinwäschereien von Nischnji Tagil 07 I 260
- Spring, W.: Quelques expériences sur la perméabilité de l'argile 05 I 265
- Recherches expérimentales sur la filtration et la pénétration de l'eau dans le sable et le limon 05 I 266
- Sur les conditions, dans lesquelles certains corps prennent la texture schisteuse 05 I 266
- Quelques expériences sur l'imbibition du sable par les liquides et les gaz, ainsi que sont tassement 05 I 267
- Sur la décomposition de quelques sulfates acides à la suite d'une déformation mécanique 05 I 267
- Ueber die Verminderung der Dichte, welche gewisse Körper infolge starker Kompression zeigen, und über die wahrscheinliche Ursache dieser Erscheinung 05 II 408
- Springer, F.: Cleiocrinus 05 II 145
- Spurr, J. E.: The ore-deposits of Tonopah, Nevada 05 I 206
- The Southern Klondike District, Esmeralda County, Nevada. A Study in Metalliferous Quartz Veins of Magmatic Origin 08 I 398
- A Theory of Ore-deposition 09 II 78
- Spurr, J. E. and G. H. Garrey: Ore-Deposits of the Verdeña District, Mexico 09 II 82
- Squinabol, S.: Le Radiolarie dei noduli selciosi nella Scaglia degli Euganei. Contr. I 06 I 474
- Radiolarie cretacee degli Euganei 06 I 474
- Sroslik, J.: Der Bergbau auf Eisenerz bei Konic 06 II 381

- Stache, G.: Aeltere und neue Beobachtungen über die Gattung *Bradya* STACHE in bezug auf ihr Verhältnis zu den Gattungen *Porosphaera* STEINMANN und *Keramosphaera* BRADY und auf ihre Verbreitung in den Karstgebieten des österreichischen Küstenlandes und Dalmatiens 1905 II 486
- Staff, H. v.: Zur Entwicklung der Fusuliniden 09 I 141
- Ueber Schalenverschmelzung und Dimorphismus bei Fusulinen 09 I 299
- *Beiträge zur Kenntnis der Fusuliniden* BB XXVII 461
- *Zur Stratigraphie und Tektonik der ungarischen Mittelgebirge. I. Gerecse-Gebirge* CBI 1905 391
- *Zur Entwicklung der Fusuliniden* CBI 1908 691
- siehe Böckh, H.
- Stahl, A. F.: Einige Bemerkungen zum Artikel Prof. H. Potonié's: Zur Frage nach den Urmaterialien der Petrolea 08 II 41
- Stainier, X.: Age des roches rouges du Limbourg belge 05 I 455
- Un gisement de troncs d'arbres debouts au Charbonnage de Falisolle 05 I 458
- Stanley, F. C., siehe Penfield, S. L.
- Stanton, T. W.: Morrison formation and its relations with the Comanche series and the Dakota formation 1907 I 286 07 II 125
- Stanton, T. W. and J. B. Hatcher: Geology and Palaeontology of the Judith river beds. With a chapter on the fossil plants, by F. H. Knowlton 07 I 439
- Stanton, T. W. and G. C. Martin: Mesozoic Section on Cook Inlet and Alaska Peninsula 07 I 277
- Stappenbeck, R.: Die osthannöversche Kiesmoränenlandschaft 05 II 442
- Ueber *Stephanospondylus* n. g. und *Phanerosaurus* H. v. MEYER 07 I 311
- Stark, M.: Die Euganeen 07 I 220
- Zusammenhang des Brechungsexponenten natürlicher Gläser mit ihrem Chermismus 08 I 54
- Gauverwandtschaft der Euganeengesteine 08 II 202
- Die Gesteine Usticas und die Beziehungen derselben zu den Gesteinen der Liparischen Inseln 09 II 68
- Grünschiefer aus dem Groß-Arl- und Gasteintal 09 II 222
- Stasi, P. E. e E. Regalia: Grotta Romanelli Castro, Terra d'Otranto. Stazione con fauna interglaciale, calda e di steppa 06 I 131
- — Grotta Romanelli, stazione con fauna interglaciale calda e di steppa. Nach einem Referat von WOLDRICH 07 I 295
- Staudinger, W.: *Praeovibos priscus* nov. gen. et nov. sp., ein Vertreter einer *Ovibos* nahestehenden Gattung aus dem Pleistocän Thüringens CBI 1908 481
- Stecher, E.: Orthoklaskristalle aus dem Quarzporphyr des „Roten Steins“ bei Euba 08 II 172
- Orthoklaskristalle aus dem Quarzporphyr des „Roten Steins“ CBI 1908 670
- Stechow, E.: Neue Funde von *Iguanodon*-Fährten CBI 1909 700
- Stefani, C. de: Le acque termali di Torrite in Garfagnana 05 I 53
- I proietti di Leucotefriti nei Campi Flegrei 07 I 66
- Stefanini, G.: Conoclypeidi e Cassidulidi conoclypeiformi 09 II 484
- Stefano, G. di: Sull' esistenza dell' Eocene nelle Penisola Salentina 08 I 448
- Poche altre parole sull' Eocene della Terra d'Otranto 08 II 291
- Stegmann, H.: Die jungen Ergußgesteine der Batakländer (Sumatra) BB XXVII 401

- Stehlin, H. G.: Die Säugetiere des schweizerischen Eocän. Kritischer Katalog der Materialien. I. Teil: Die Fundorte, die Sammlungen. — Chasmothierium—Lophiodon . . . 1905 I 492
- Sur les mammifères des sables bartoniens du Castrais . . . 05 II 302
- Une faune à Hipparion à Perrier . . . 06 I 143
- Die Säugetiere des schweizerischen Eocäns. Kritischer Katalog der Materialien. II. Teil. Palaeotherium, Plagiolophus, Propalaeotherium. III. Teil. Lophiotherium, Anchilophus, Pachynolophus . . . 06 II 282
- Steidtmann, E.: A Graphic Comparison of the Alteration of Rocks by Weathering with their Alteration by Hot Solutions . . . 09 II 60
- Stein, G.: Ueber die Darstellung einiger Silikate. Mineralogisch-chemische Mitteilungen aus dem Institut f. anorg. Chemie der Universität Göttingen: II. . . 09 I 182
- Steiner, C.: Ueber australische und afrikanische Azurite und ägyptische Chrysolithe . . . 1908 I 197 08 II 17
- Steinhauß, J.: Der Goldbergbau Nagyág . . . 06 I 74
- Steinmann, G.: Geologische Beobachtungen in den Alpen. II. Die SCHARDT'sche Ueberfaltungstheorie und die geologische Bedeutung der Tiefseeabsätze und der ophiolithischen Massengesteine . . . 06 II 88
- Ueber eine stockbildende Nubecularia aus der sarmatischen Stufe (*N. caespitosa* n. f.) . . . 06 II 311
- Observaciones geológicas efectuadas desde Lima hasta Chanchamayo . . . 07 II 265
- Die Entstehung der Kupfererzlagerstätte von Corocoro und verwandter Vorkommnisse in Bolivia . . . 07 II 421
- Geologische Probleme des Alpengebirges. Eine Einführung in das Verständnis des Gebirgsbaus der Alpen . . . 07 II 427
- Ueber das Diluvium am Rodderberge . . . 07 II 455
- Die paläolithische Renntierstation von Munzingen am Tuniberge bei Freiburg i. B. 07 II 471
- Ueber die Beziehungen zwischen der niederrheinischen Braunkohlenformation und dem Tertiär des Mainzer Beckens . . . 08 I 268
- Die Entstehung des Nephrits in Ligurien und die Schwelungsmetamorphose . . . 09 I 188
- Die Zinnerzlagerstätten Bolivias . . . 09 II 242
- Alpen und Apennin . . . 09 II 258
- ROTHPLETZ, Ueber Algen und Hydrozoen im Silur von Gotland und Oesel . . . 09 II 326
- Die geologischen Grundlagen der Abstammungslehre . . . 09 II 470
- *Beiträge zur Geologie und Paläontologie von Südamerika*
BB XXIII 187; XXIV 69; XXV 493
- Das Alter der Schieferformation im Feuerlande . . . CBI 1908 193
- Keine marine Trias in Südamerika . . . CBI 1909 1
- Rassenpersistenz bei Ammoniten. Eine Erwiderung CBI 1909 193. 225
- Ueber marine Trias in Peru . . . CBI 1909 616
- Die Abstammung der „Gattung *Oppelia*“ Waag. . . . CBI 1909 641
- Ueber Gesteinsverknüpfungen . . . Festband 330
- siehe Diener, C. und Jaekel, O.
- Stella, A.: A proposito della diffusione delle rocce a giadeite nelle Alpi occidentali . . . 05 II 67
- Sulla geologia della regione Ossolana contigua al Sempione . . . 05 II 223
- Stelzner-Bergeat: Die Erzlagerstätten . . 1905 II 193 CBI 1907 625
- siehe Harbort, E.

Stěp, J.: Das Vorkommen des Uranpecherzes zu St. Joachimstal	1905	I	8
Stěp, J. und F. Becke: Das Vorkommen des Uranpecherzes zu St. Joachimstal	05	II	350
Sterba, J.: Studium der Radioaktivität der Niederschläge von den Teplitz-Schönaauer Quellen	09	I	347
— siehe Zambonini, F.			
Šterrett, D. B.: Tourmaline from San Diego County, California	05	II	26
— A new type of calcite from the Joplin Mining District	05	II	182
— The Production of Precious Stones in 1906	09	I	30
Sterzel, J. T.: Ueber einige neue Fossilreste	1905	I	522. 540
— Die pflanzlichen Reste des Rotliegenden von Sektion Hohenstein—Limbach	05	I	539
— Pflanzliche Reste aus den Plattendolomiten des Zechsteins von Sektion Frohburg—Köhren	05	I	539
— Ein verkieselter Riesenbaum aus dem Rotliegenden von Chemnitz	08	I	311
— Mitteilungen aus der Naturwissenschaftlichen Sammlung der Stadt Chemnitz	08	I	311
— Paläontologischer Charakter des Carbons und des Rotliegenden von Flöha	08	I	313
— Ueber Megaphytum cf. insigne LESQ. et Didymogramma GRAND'ÉURY aus der Grube Reden bei Saarbrücken und Psaronius infarctus UNGER, forma octangulus STERZEL mit Ptychopteris-Blattnarben aus dem Rotliegenden von Chemnitz-Hilbersdorf	08	I	314
— Die Carbon- und Rotliegendefloren im Großherzogtum Baden	08	I	457
Steuer, A.: Ueber ein Asphaltvorkommen bei Mettenheim in Rheinhessen	07	I	83
— Ueber das Vorkommen von Radiolarienhornsteinen in den Diluvialterrassen des Rheintals	07	II	458
— Ueber Cerithienschichten und Cyrenenmergel bei Großkarben	09	II	465
— Untersuchung eines Rupeltonvorkommens in Weinheim an der Bergstraße	09	II	465
Stevanović, S.: Auripigment von Allchar in Makedonien	05	I	370
— Covellin (Kupferindig) und Enargit von Bor in Serbien	09	I	336
— Eine Kupferglanzpseudomorphose	09	II	13
Stevenson, J.: The chemical and geological History of the Atmosphere	08	I	210
Stewart, J. L.: Ore-deposits and Industrial Supremacy	08	I	78
Stibing, L.: Mischkristalle von K_2SO_4 und K_2CrO_4	07	I	209
Stille, H.: Actinocamax plenus BLAINV. aus norddeutschem Cenoman	06	I	316
— Muschelkalkgerölle im Serpulit des nördlichen Teutoburger Waldes	06	II	86
— Ueber präcretaceische Schichtenverschiebungen im älteren Mesozoicum des Egge-Gebirges	06	II	86
— Zur Kenntnis der Dislokationen, Schichtenabtragungen und Transgressionen im jüngsten Jura und in der Kreide Westfalens	06	II	86
— Ueber die Verteilung der Fazies in den Scaphitenschichten der südöstlichen westfälischen Kreidemulde nebst Bemerkungen zu ihrer Fauna	06	II	105
— Ueber den Gebirgsbau und die Quellenverhältnisse bei Bad Nenndorf am Deister	06	II	412
— Geologisch-hydrologische Verhältnisse im Ursprungsgebiete der Paderquellen zu Paderborn	06	II	414

- Stille, H.: Ueber Strandverschiebungen im hannoverschen Oberen Jura 1907 I 281
- Ueber Steinkohlen im mittleren Keuper am Teutoburger Walde bei Neuenheerse 07 I 417
- Blätter Altenbecken, Lichtenau, Kleinenberg, Etteln 07 II 97
- Geologische Uebersichtskarte der Kreidebildungen zwischen Paderborn und dem südlichen Egge-Gebirge 07 II 97
- Ueber Kreidegräben in der Trias östlich des Egge-Gebirges 08 I 407
- Spätjurassische und tertiäre Dislokationen in Westfalen 08 I 407
- *Das Alter der deutschen Mittelgebirge* CBI 1909 270
- Stille, H. und A. Mestwerdt: Die Gliederung des Kohlenkeupers im östlichen Westfalen 08 II 82
- Stiny, J.: „Das Muhrenphänomen“ CBI 1908 46
- Ueber die Entstehung einer neuen Bocca in der Solfatara bei Pozzuoli CBI 1908 762
- Epidot-Amphibolit an dem Ederbache bei Oetz (Oetztal) CBI 1908 763
- Ueber einige wenig bekannte Gletschertöpfe in der Umgegend von Nago in Südtirol CBI 1908 763
- Stirling, J.: Monograph on the geology and mining features of Silver Valley, Herberton, North Queensland, Australia 08 I 244
- Monograph of the rocks of Silver Valley, Herberton, N. Q., Australia 08 I 244
- Stock, A. und W. Siebert: Die Modifikationen des Antimons 07 I 17
- Stöckl, K.: Das FEDOROW'sche Universalgoniometer in der Konstruktion von FUESS und die Anwendung dieses Instrumentes zur mechanischen Auflösung sphärischer Dreiecke 05 I 4
- Stokes, H. N.: Experiments on the solution, transportation and deposition of copper, silver and gold 1908 I 248
- Experiments on the action of various solutions on pyrite and marcasite 09 II 247
- Stoklasa, J.: Ueber die Menge und den Ursprung des Ammoniaks in den Produkten der Vesuveruption im April 1906 08 I 12
- *Ueber den Ursprung des Ammoniaks in den Produkten der Vesuveruption im April 1906* CBI 1907 161
- Stoller, J.: Beiträge zur Kenntnis der diluvialen Flora (besonders Phanerogamen) Norddeutschlands. I. Motzen, Werlte, Ohlsdorf-Hamburg 09 II 157
- Ueber die Zeit des Aussterbens der *Brasenia purpurea* MICH. in Europa, speziell Mitteleuropa 09 II 157
- siehe Schröder, H.
- siehe Wolff.
- Stolley, E.: *Das Alter des nordfriesischen „Tuuls“* 05 I 15
- Ueber einige Cephalopoden aus der unteren Kreide der Umgegend Braunschweigs 05 I 176
- *Sonneratia Daubréei* DE GROSS., ein Ammonit der Pyrenäenkreide, aus dem Eisensteinlager von Groß-Bülten bei Ilsede 05 I 176
- Ueber eine neue Ammonitengattung aus dem oberen alpinen und mitteleuropäischen Lias 05 I 177
- Das Diluvium Schleswig-Holsteins und die J. GEIKIE'sche Klassifikation der europäischen Glazialbildungen 05 II 293
- Ueber zwei neue Faunen des norddeutschen Gaults 06 II 425
- Zur Kenntnis der nordwestdeutschen oberen Kreide 06 II 426

- Stolley, E.: Ueber alte und neue Aufschlüsse und Profile
in der unteren Kreide Braunschweigs und Hannovers . . . 1907 I 287
- *Quartär und Tertiär auf Syll* BB XXII 139
- *Ueber den oberen Lias und den unteren Dogger Norddeutsch-*
lands BB XXVIII 286
- *Das Miocänprofil des Morsumkliffs auf der Insel Syll* . . . CBl 1905 577
- *Ueber ein norddeutsches Aequivalent der Clansayes-Fauna Süd-*
frankreichs und der Schweiz CBl 1907 266
- *Die Gliederung der norddeutschen unteren Kreide*
CBl 1908 107. 140. 162. 211. 242
- *Zur Kenntnis der kaukasischen Unterkreide* CBl 1908 321
- *Zur Kenntnis der unteren Kreide Norddeutschlands* CBl 1908 753
- *Ueber Spuren von oberem Gault bei Lüneburg* CBl 1909 619
- Stolpe, P.: Beobachtungen in Upsala bei dem Erdbeben am
23. Oktober 1904 06 II 188
- Stoltz, K.: *Beiträge zur Kenntnis des Septarientones von Wons-*
heim in Rheinhessen CBl 1905 656
- Stolyhwo, K.: *Homo primigenius appartient-il à une espèce*
distincte de Homo sapiens? 08 II 422
- Stone, R. W.: *Coal Fields of the Kachemak Bay Region* 08 II 377
- Stopes, M. C.: *The Flora of the Inferior Oolite of Brora*
(Sutherland) 07 II 507
- Storms, R.: *Un Carcharodon du Terrain bruxellien* 05 II 315
- Stortenbecker, W.: *Ueber Lücken in der Mischungsreihe*
bei isomorphen Substanzen 05 I 364
- Strahan, A.: *Abnormal section of chloritic marl at Mupe*
Bay, Dorset 06 II 264
- Strandmark, J. E.: *Beitrag zur Kenntnis des Celsians und*
anderer Baryumfeldspäte. Fortsetzung 05 II 17
- Stranetzky, K.: *Die optischen Eigenschaften des Simonyit*
von Hallstadt 08 II 322
- Strasser, R.: *Ueber Scheinkristalle aus dem Buntsand-*
stein bei Heidelberg 08 II 304
- Stremme, H.: *Zur Frage der Eigenwärme bituminöser Ge-*
steine 06 II 48
- *Ueber die Beziehungen einiger Kaolinlager zur Braunkohle* . . . 09 II 91
- *Ueber Kaolinbildung* 09 II 245
- *Das polymerisierende Erdöl als Wärmequelle im Erdboden* CBl 1908 271
- *Ueber Fällungen der gemengten Gels von Tonerde und Kiesel-*
säure und deren Beziehungen zu Allophan, Halloysit und
Montmorillonit CBl 1908 622. 661
- siehe Gagel, C. und Stremme, H.
- Stromer, E.: *Zeuglodon-Reste aus dem oberen Mitteleocän des*
Fayum 05 I 486
- *Bericht über die Sammlungergebnisse einer paläontologisch-*
geologischen Forschungsreise nach Aegypten 06 II 422
- *Geographische und geologische Beobachtungen im Uadi Na-*
trün und Fâregh in Aegypten 06 II 422
- *Bemerkungen über Protozoen* 1906 II 455 CBl 1906 225
- *Fossile Wirbeltierreste aus dem Uadi Fâregh und Uadi*
Natrün in Aegypten 07 I 296
- *Die Archaeoceti des ägyptischen Eocäns* 09 II 119
- *Die Urwale (Archaeoceti)* 09 II 119
- *Beobachtungen über den nubischen Sandstein in Oberägypten* CBl 1905 115
- *Nachtrag zu den „Beobachtungen über den nubischen Sand-*
stein“ CBl 1905 359

- Stromer, E.*: Bemerkungen über die Struktur des Hautskelettes einiger Cystoideen CBI 1907 236
- Strong, A. M.*: siehe Arnold, R.
- Struck, A.*: Makedonische Fahrten. I. Chalkidike CBI 1906 554
- Struck, R.*: Neue Beobachtungspunkte tertiärer und fossilführender diluvialer Schichten in Schleswig-Holstein und Lauenburg 1907 II 463
- Uebersicht der geologischen Verhältnisse Schleswig-Holsteins 09 II 107
- Strübin, K.*: Eine Harpoceras-Art aus dem unteren Dogger (Zone des Sphaeroceras Sauzei) 05 I 176
- Glaziale Ablagerungen in der Umgebung von Liestal 05 I 311
- Bericht über die Verbreitung erratischer Blöcke im Basler Jura 05 I 311
- Ueber das Vorkommen eines Mammutbackenzahnes in der Hochterrasse oberhalb Liestal 05 I 311
- Strübin, K. und M. Kaech*: Die Verbreitung der erratischen Blöcke im Basler Jura 05 I 311
- Struthers, J. and J. H. Pratt*: The Production of Tin in 1903 06 II 160
- Strutt, R. J.*: On the Radio-active Minerals 05 II 337
- Note Supplementary to a Paper: On the Radio-active Minerals 1905 II 337 07 I 7
- On the Distribution of Radium in the Earth's Crust and on the Earth's Internal Heat 07 II 398
- Stuart-Menteth, P. W.*: The age of Pyrenean Granite 05 II 385
- Stuchlik, H.*: Die Faziesentwicklung der südbayerischen Oligocänmolasse (Autoreferat) CBI 1906 576
- Studer, M.*: Étude sur un nouveau chien préhistorique de la Russie 07 I 454
- Studer, Th.*: Die Knochenreste aus der Höhle zum Keßlerloch bei Thayngen 05 II 124
- Die Verbreitung des Rhinoceros im Diluvium der Schweiz 07 II 478
- Stübel*, siehe *Bergeat, A.*
- Sturm, F.*: Der Sandstein von Kieslingswalde in der Grafschaft Glatz und seine Fauna 05 I 300
- Stutzer, O.*: Die „Weiße Erdenzeche St. Andreas“ bei Aue, ein Beitrag zur Frage nach der Genesis der Kaolinlagerstätten 06 II 202
- Turmalinführende Kobalterzgänge 09 I 79
- Die Eisenerzlagerstätte „Gellivare“ in Nordschweden 09 I 392
- Die Eisenerzlagerstätten bei Kiruna (Kiirunavaara, Luossavaara und Tuollavaara) 09 I 392
- Versuche über das Eindringen schmelzflüssiger Metallsulfide in Silikatgesteine 09 II 83
- Alte und neue geologische Beobachtungen an den Kieslagerstätten Sulitelma Roeros-Klingental 09 II 240
- Das Antimonitvorkommen von Martigné in der Bretagne 09 II 241
- Magmatische Ausscheidungen von Bornit 09 II 397
- *Geologie und Genesis der lappländischen Eisenerzlagerstätten* BB XXIV 548
- *Anorganische Graphitvorkommen in Lappland* CBI 1907 433
- Suess, E.*: Ueber heiße Quellen 05 I 263
- Farewell Lecture (by Prof. E. SUSS on resigning his professorship) 06 II 42
- Sur la nature des charriages 07 II 49
- Ueber das Inntal bei Nauders 08 I 255

	Jahrg. Bd. Seite
Suess, F. E.: Exkursion nach Segengottes bei Brünn . . .	1905 II 97
— Ueber Perthitfeldspate aus kristallinen Schiefergesteinen . . .	05 II 361
— Das Grundgebirge im Kartenblatte St. Poelten	08 II 59
— Mylonite und Hornfelsgneise in der Brüner Eruptivmasse . . .	09 I 378
— <i>Notizen über Tektite</i>	CBI 1909 462
— siehe Diener, C.	
— siehe John, C. v. und Suess, F. E.	
Sullivan, E. C.: The Chemistry of Ore-Deposition-Precipitation of Copper by Natural Silicates	07 II 421
— Experiments on the Separation of the Constituents of a Solution by Filtration through a Mineral Filter	09 II 84
Sulzer-Ziegler, E.: Der Bau des Simplontunnels	09 I 87
— siehe Heim, Albert und Schardt.	
Sundell, J. G.: On the Cancrinite-Syenite from Kuolajärvi and a related dike rock	07 I 69
Surgunoff, N.: Cölestin aus dem Gouvernement Saratow	07 II 377
— Baryt aus den Tschiaturischen Mangangruben	09 II 360
Sury, J. v.: Ueber die Radioaktivität einiger schweizerischer Mineralquellen	08 I 167
Sustschinsky, P.: Notiz über die Insel Pargas (in Finnland)	07 I 68
— Ueber einen Fall von künstlicher Sillimanit- und Magnetitbildung	07 II 371
— Historische Notiz, betreffend die Frage der „topischen Achsen“	08 II 146
— Ueber den Cölestin von der Halbinsel Mangischlak (Transkaspigebiet)	09 II 361
Svedmark, E.: Meddelanden om jordstötär i Sverige 13	05 I 52
Szádeczky, J. v.: Die Aluminiumerze des Bihargebirges	07 I 260
Szajnocha, L.: Einige Worte über den geologischen Bau des Gebietes von Krakau	05 II 98
— Geologische Skizze der Umgebung von Czortkóv, Zaleszczyki und Kasperowce in Podolien	05 II 99
— Das Pruththal zwischen Delatyn und Worochta in den ostgalizischen Karpathen	05 II 116
Szilárd, B.: Sur l'action de quelques corps sur l'iodure de potassium	09 I 330
— Sur la formation de la thorianite et de l'uranite	09 I 338
Szontagh, Th. v.: Geologisches Studium des Fertö-Sees	05 II 122

T.

Taber, St.: Some local effects of the San Francisco earthquake	09 I 49
Tacconi, E.: Note mineralogiche sul giacimento cuprifero di Boccheggiano	05 I 387
— Ulteriori osservazioni sopra i minerali del granito di Montorfano (Parisite, Ottaedrite, Zircono etc.)	07 I 39
— Datolite di Buffaure (Val di Fassa)	07 I 205
— Di un silicato di alluminio e bario dei calcifiri di Candoglia in Valle del Toce	08 II 174
— <i>Ueber Taramellit, ein neues Mineral</i>	CBI 1908 506
Täger, H.: <i>Zur Stratigraphie und Tektonik der ungarischen Mittelgebirge. II. Ueber das Alttertiär im Vértesgebirge</i>	CBI 1905 417
Taffanel, J.: Le gisement de fer spathique de l'Erzberg, près Eisenerz, en Styrie	07 II 242
Takimoto, T.: The Siliceous Oolite of Sankyö, Ugo province	07 I 197

- Tammann, G.: Ueber die Ermittlung der Zusammensetzung chemischer Verbindungen ohne Hilfe der Analyse . . . 1905 I 11
- Ueber den Einfluß des Druckes auf die Umwandlungstemperatur des Eisens 05 I 17
- Ueber den Isomorphismus der Elemente 08 II 148
- siehe Guertler, W.
- siehe Isaac, E.
- siehe Slatowratsky, N.
- siehe Treitsche, W.
- Tanatar, J. J.: Beitrag zur Kenntnis der Rubinlagerstätte von Nanya-zeik 08 II 296
- Tabellen zur Bestimmung der Mineralien nach äußeren Kennzeichen, mit Hilfe des Lötrohres und Mikroskops . . . 09 II 1
- Tannhäuser, F.: Die jüngeren Gesteine der ecuatoriatischen Ost-Cordillere von Cordillera de Pillaro bis zum Sangay, sowie des Azuay und eines Teiles der Cuenca-Mulde 05 II 76
- Vorstudien zu einer petrographisch-geologischen Untersuchung des Neuroder Gabbrozuges in der Grafschaft Glatz . . . 08 II 189
- Der Neuroder Gabbrozug in der Grafschaft Glatz 1909 I 58 *BB XXVI 433*
- *Petrographische Untersuchungen an jungvulkanischen Gesteinen aus der argentinischen Republik* *BB XXVII 555*
- Tarassenko, W.: Ueber einen Amphibol der Cumingtonitreihe aus der Timaschewaja-Balka südlich von Kriwoj-Rog . . . 07 II 360
- Tarnuzzer, Chr.: Geologische Verhältnisse des Albulatunnels 05 II 89
- Uebersicht der Marmorvorkommnisse in Graubünden . . . 07 II 69
- Stratigraphie und Tektonik zwischen Val d'Assa und Piz Lad im Unter-Engadin. — Vorläufige Mitteilungen, mit Bewilligung der geologischen Kommission gedruckt . . . 09 I 404
- Tarr, R. S.: Postglacial and Interglacial (?) Changes of Level at Cape Ann, Massachusetts. With a Note on the Elevated Beaches by J. B. WOODBURN 07 II 130
- Glacial erosion in the Finger Lake region of Central New York 08 II 340
- Tarr, R. S. and L. Martin: Recent changes of level in the Yakutat bay region, Alaska 08 II 342
- Tassin, W.: The Persimmon Creek Meteorite 05 I 215
- The Mount Vernon Meteorite 07 II 203
- On Meteoric Chromites 09 I 360
- On the occurrence of Calcium Sulphide (Oldhamite) in the Allegan Meteorite 09 I 361
- Note on a occurrence of graphitic iron in a meteorite 1908 II 9. 183
- siehe Merrill, G. P. and Tassin, W.
- Tate, R.: On the occurrence of marine fossiliferous rocks at Kerguelen Island 07 II 128
- Taubert, E.: Beitrag zur Kenntnis polymorpher Körper — *Das Achsenverhältnis des Sillimanit* *Cbl 1906 372*
- Teague, O. O., siehe Buxton, B. H.
- Teall, Porter and Falconer: Volcanic dust from the West Indies 05 I 405
- Telegd, L. Roth v., siehe Roth v. Telegd, L.
- Terada, T., siehe Honda, K.
- Termier, P.: Sur les roches granitiques et les terrains cristallophylliens du massif des Beni-Toufout entre El-Milia et Collo (Algérie) 05 I 246

	Jahrg.	Bd.	Seite
Termier, P.: Le Massif du Pelvoux et le Briançonnais . . .	1905	I	281
— Roches à lawsonite et à glaukophane, et roches à riebeckite de Saint-Véran (Hautes-Alpes)	06	I	379
— Les brèches de friction dans le granite et dans le calcaire cristallin à Moine-Mendia, près Hélette (Basses-Pyrénées) et leur signification tectonique	06	II	212
— Sur la structure des Hohe Tauern (Alpes du Tyrol)	07	I	267
— Sur quelques analogies de faciès géologiques entre la zone centrale des Alpes orientales et la zone interne des Alpes occidentales	07	I	267
— Sur la synthèse géologique des Alpes orientales	07	I	268
— La synthèse géologique des Alpes	07	II	102
— Quatre coupes à travers les Alpes franco-italiennes	07	II	258
— Sur les nappes de la région de l'Ortler	1907	II	262. 436
— Sur la fenêtre de la Basse-Engadin	1907	II	262. 436
— Nouvelles observations géologiques sur les nappes de la région du Brenner	1907	II	263. 435
— Les nappes des Alpes orientales et la synthèse des Alpes	07	II	431
— Sur la continuité des phénomènes tectoniques entre l'Ortler et les Hohe Tauern	07	II	437
— Sur la structure générale des Alpes du Tyrol à l'ouest de la voie ferrée du Brenner	07	II	438
— Observations au sujet d'une note de M. C. DIENER intitulée „Nomadisierende Schubmassen in den Ostalpen“	08	II	395
— Observations sur la tectonique des Alpes françaises	08	II	395
— Sur la nécessité d'une nouvelle interprétation de la tectonique des Alpes franco-italiennes	09	I	95
— Rapports tectoniques de l'Appenin, des Alpes et des Dinarides	09	II	260
— Les Alpes entre le Brenner et le Valteline	09	II	420
— siehe Kilian, W.			
Termier, P. et A. Leclère: Sur la composition chimique des assises cristallophylliennes de la chaîne de Belledonne (Alpes occidentales)	06	I	378
Terpigoreff, A.: Brauneisenerzlagerstätte des Hüttenwerkes „Sulinsky Sawod“	07	I	77
— Magneteisenerzlager von Daschkessan im Kaukasus	07	I	78
Tertsch, H.: Zur Frage der Bestimmbarkeit von Brechungs-exponenten	06	I	160
— Zur Dispersionsbestimmung	07	II	166
— Mineralogische Bemerkungen zum Vesuviaschenfall, niedergegangen in Triest am 19. April 1906	08	I	44
Thevenin, A.: Fossiles d'âge albien provenant du NO. de Madagascar	06	I	294
— Amphibiens et reptiles du terrain houiller de France	07	I	310
— Paléontologie de Madagascar. IV. Dinosauriens	08	II	439
— Sur les Dinosauriens du Jurassique de Madagascar	08	II	439
— siehe Boule, M.			
Thiëne, H.: Ueber Apatit und Beryll von Tonkerhoek (Deutsch-SW.-Afrika)	09	I	97
— Temperatur und Zustand des Erdinnern	CBI 1908		43
Thiéry, P., H. E. Sauvage et M. Cossmann: Note sur l'Infralias de Provençhères-sur-Meuse. THIÉRY: Stratigraphie. SAUVAGE: Vertébrés. COSSMANN: Gastropodes et Pélécy-podes	08	II	438
Thiéry, P., siehe Lambert, J. et Thiéry, P.			

	Jahrg. Bd. Seite
Thomas, H. H.: On an Epidote from Inverness-shire . . .	1907 I 31
— Note sur un gisement de Lophiodon à Sergy au Sud-Est de Fère en Tardenois (Aisne)	07 II 450
— siehe Arber, E. A. N. und Thomas, H. H.	
— siehe Barrow, G. and Thomas, H. H.	
— siehe Cantrill, T. C.	
Thomas, I.: Neue Beiträge zur Kenntnis der devonischen Fauna Argentinens	06 I 302
Thomson, J. A.: Inclusions in some Volcanic Rocks . . .	09 II 59
Thorpe, T. E.: „Red Rain“ and the Dust Storm of February 22	05 I 406
Thoulet, J.: Méthode physique et chimique de reconnaissance et de mesure des courants sous-marins profonds	06 I 43
— Expédition antarctique Belge S. Y. Belgica 1897—1899. Détermination de la densité de l'eau de mer	06 II 97
— Sur la lithologie océanographique des mers anciennes 1908 I 53	09 I 204
— Le calcaire et l'argile dans les fonds marins	08 I 361
— Sur la marche des sables le long des rivages 1908 II 57	09 I 200
— Fonds sous-marins entre Madagascar, la Réunion et l'île Maurice	09 I 201
— Sur la présence supposée de diamants microscopiques dans un fond marin et dans un échantillon de terre végétale	09 I 333
— Étude d'un fond marin côtier provenant de la Manche	09 II 210
— siehe Arctowski, H.	
Thoulet, J. et A. Chevallier: Sur la circulation océanique	08 I 52
Thugutt, St. J.: Ueber den Ursprung des Sodaliths der Syenite	CBI 1905 86
— Fritz Hinden's „Neue Reaktionen zur Unterscheidung von Calcit und Dolomit“	CBI 1905 265
— Fehlerquellen bei der Bestimmung des Wassergehaltes der Zeolithe	CBI 1909 677
Tietze, E.: Die geognostischen Verhältnisse der Gegend von Landskron und Gewitsch	05 II 261
Tietze, O.: Die Phosphatlagerstätten von Algier und Tunis	09 II 243
— Die Phosphatlagerstätten Frankreichs	09 II 243
Tight, W. G.: Drainage Modifications in Southeastern Ohio and adjacent Parts of West Virginia and Kentucky . .	05 I 407
Till, A.: Die Cephalopodengebisse aus dem schlesischen Neo- com. Versuch einer Monographie der Rhyncholithen	08 I 301
— Die fossilen Cephalopodengebisse	08 I 303
Tillotson jr., E. W., siehe Ford, W. E. and Tillot- son jr., E. W.	
Timkó, E.: Agrogeologische Verhältnisse der Gemarkung von Udvard, Perbete, Bagota, Imely, Naszvad, Bajes (Komi- tat Komárom) und der Umgebung der Stadt Érsekújvár (Komitat Nyitra)	06 I 264
— Agrogeologische Verhältnisse der Gemarkung von Szimő, Kamocsa, Guta und Szent-Péter (Komitat Komárom) .	07 I 276
Tischler, E.: Ueber Kalksilikate, Magnesiumsilikate und Kalkaluminiumsilikate	06 I 326
Tobler, A.: Ueber das Vorkommen von Kreide- und Carbon- schichten in Südwest-Djambi (Sumatra) . . . CBI 1907 484	07 II 449
— Einige Notizen zur Geologie von Sumatra	05 II 417
— siehe Jacob, Ch.	
Toborffy, Z.: Der Kupferkies von Pulacayo	05 II 11
— Beiträge zur Kenntnis der ungarischen Calcite und Gipse 1908	II 304. 322
— Epidot aus dem Val di Viù	08 II 311
— Ueber den Janosit	08 II 323

Toborffy, Z.: Mineralogische Notizen. 2. Blende und Kalkspat aus Bojeza	1909	I	336
— Mineralogische Notizen. 3. Kalkspat von Salgótarján. 4. Kalkspat aus dem „Kühlen Tale“ bei Budapest	09	I	340
— Mineralogische Notizen. 1. Anglesit von Broken Hill	09	I	348
Todd, J. E.: Hydrographic History of South Dakota 1905 I 229	06	I	267
— Concretions and their geological effects	06	I	226
Törnebohm, A. E.: Om Torneträsk-profilens tydning	05	II	100
— Om den skandinaviska fjällkedjans sydvästade	05	II	100
Toit, A. L. du, siehe Du Toit, A. L.			
Toniolo, R. A.: Tracce glaciali in Fadalto ed in Valmareno	07	I	222
Tordis, E. und E. H. Kanter: Beiträge zur Kenntnis der Silikate. VI. Reaktion zwischen Quarz und Alkalilaugen	06	II	12
Tornau, F.: Die nutzbaren Mineralvorkommen, insbesondere die Goldlagerstätten Deutsch-Ostafrikas	09	I	231
Tornquist, A.: Die Gliederung und Fossilführung der außer-alpinen Trias auf Sardinien	05	I	128
— Ueber Gesteinsarten aus den Resten des römischen Amphitheaters zu Metz	05	II	77
— Ueber eine eocäne Fauna der Westküste von Madagaskar	07	II	128
— Die Algäu-Vorarlberger Flyschzone und ihre Beziehung zu den ostalpinen Deckenschüben	08	I	63
— Ausbildung und Ausdehnung der deutschen Kalisalzlager	08	I	242
— Vorläufige Mitteilung über die Algäu-Vorarlberger Flyschzone	09	I	97
— Der Gebirgsbau Sardiniens	09	I	99
Toucas, A.: Etudes sur la classification et l'évolution des Hippurites. II.	06	II	453
Toula, F.: Ueber den Rest eines männlichen Schafschädels — Ovis Mannhardi n. f. — aus der Gegend von Eggenburg in Niederösterreich	05	I	324
— Abrasionsflächen am Rande des Kahlengebirges, am rechten Ufer der Donau bei Wien	05	I	451
— Ueber eine neue Krabbe (<i>Cancer Bittneri</i> n. sp.) aus dem miocänen Sandstein von Kalksburg bei Wien	06	II	138
— Das Gebiß und Reste der Nasenbeine von <i>Rhinoceros</i> (<i>Ceratohinus OSBORN</i>) hundsheimensis	07	II	482
— Die <i>Acanthicus</i> -Schichten im Randgebirge der Wiener Bucht bei Gießhübl	08	I	263
— <i>Rhinoceros Mercki</i> JÄGER in Oesterreich	08	II	104
— Hydrostatische Schnellwage 1908 II 141	09	II	327
— Ein Mammutfund von Wilsdorf bei Bodenbach in Böhmen	09	I	128
— Geologische Exkursionen im Gebiet des Liesing und Mödlingbaches	09	I	414
Tournouer, A.: Note sur la géologie et paléontologie de Patagonie	05	I	307
Traina, E.: Sull' Anglesite dei giacimenti metalliferi della Provincia di Messina	06	I	96
— Su alcune celestine di Sicilia	09	II	199
Traquair, R. H.: Notes on <i>Drepanaspis gemündenensis</i> SCHLÜTER	05	II	314
— Additional Note on <i>Drepanaspis gemündenensis</i> SCHLÜTER	05	II	314
— The Ganoid fishes of the British carboniferous formations. Part I: Palaeoniscidae	05	II	480
Travis, Ch.: Pyrite from Cornwall, Lebanon County, Pennsylvania	08	II	11

Trechmann, C. O.: Crystallography of Sartorite from Binnental	1909	I	172
— siehe Baumhauer, H. und Trechmann, C. O.			
Treitsche, W. und G. Tammann: Ueber das Zustandsdiagramm von Eisen und Schwefel	08	II	167
Treitz, P.: Ueber die agrogeologische Detailaufnahme im Jahre 1900	06	I	263
— Bericht der agrogeologischen Detailaufnahme im Jahre 1901	07	I	275
Trener, G. B.: Ueber die Gliederung der Quarzporphyrtafel im Lagorai-Gebirge	05	II	382
— Bemerkungen zur Diffusion fester Metalle in feste kristallinische Gesteine	08	I	54
— Geologische Aufnahme im nördlichen Abhang der Presanella-gruppe	08	II	361
Trenkle, W.: Ueber Lumineszenzerscheinungen. I. Lumineszenzerscheinungen an einer Varietät der Zinkblende	07	II	169
— Ueber Lumineszenzerscheinungen. II. Thermolumineszenz durch Radiumstrahlen beim Marmor und Apatit	07	II	170
Treubert, F., siehe Küppers, E.			
True, F. W.: The first discovery of fossil seals in America	07	II	485
— Diagnosis of a new genus and species of fossil sealion from the Miocene of Oregon	07	II	485
— Description of a new genus and species of fossil seal from the Miocene of Maryland	09	I	439
Tschermak, G.: Ueber die chemische Konstitution der Feldspate	05	I	24
— Einheitliche Ableitung der Kristallisations- und Zwillingsgesetze	05	II	332
— Darstellung von Kieselsäuren durch Zersetzung der natürlichen Silikate	07	I	23, 24
— Metasilikate und Trisilikate	07	I	25
— Ueber das Eintreffen gleichartiger Meteorite	09	I	350
— Ueber die Darstellung der Kieselsäuren	CBI 1908		225
— siehe Mügge, O.			
Tschernik, G.: Ueber die Natur und chemische Zusammensetzung eines neuen, dem Aneylit ähnlichen Ceritminerals	05	I	375
— Einige Worte über eine Varietät des Yttergranats	05	I	380
— Ueber die chemische Zusammensetzung eines skandinavischen Pyrochlors und der ihn begleitenden Mineralien	05	I	383
— Ueber die Natur und chemische Zusammensetzung eines im Kaukasus gefundenen Monazitsandes	05	I	385
— Resultate der Bestimmung der chemischen Zusammensetzung einer amerikanischen Varietät von Gadolinin und seiner Einschlüsse	05	I	482
— Analysenresultate einer amerikanischen Varietät des Yttrocerits und eines mit ihm zusammen auftretenden Topases	07	II	354
— Resultate der Analyse zweier Varietäten von Gadolinin und eines in letzterem vorgefundenen Einschlusses	07	II	361
— Resultate der Untersuchung der chemischen Zusammensetzung einiger Stufen von skandinavischen Gadolininen	07	II	361
— Ueber die chemische Zusammensetzung von gemeinsam vorkommendem Monazit und Xenotim	07	II	374
— Die Resultate der Untersuchung der chemischen Zusammensetzung eines Parisits und eines mit ihm zusammen gefundenen Malakons	09	II	336

- Tschernik, G.: Resultate der Untersuchung der chemischen Zusammensetzung zweier Varietäten von Orthit 1909 II 353
- Resultate der chemischen Untersuchung eines mit Gadolinit zusammen gefundenen Ytrotantalits und Orthits 09 II 355
- Ueber die chemische Zusammensetzung einer amerikanischen Graphitstufe und des in ihr auftretenden Korunds und Xenotims 09 II 369
- Tschernyschew, Th.: Die oberkarbonischen Brachiopoden des Urals und des Timan 05 I 531
- Ueber die Entdeckung von oberer Trias im nördlichen Kaukasus 07 II 284
- Tschirwinsky, P.: Ueber Anapaït und andere Mineralien aus den Erzschieften der Halbinseln Kertsch und Taman 05 II 199
- Künstliche Darstellung der Mineralien im 19. Jahrhundert 07 II 173
- *Traité de chimie minérale MOISSAN'S vom mineralogischen Standpunkte* 09 II 2
- Untersuchungen einiger Gesteine und Mineralien des Minussinskschen Kreises des Gouvernements Jenisseisk 09 II 21
- Die künstlichen und natürlichen Calciumhydrocarbonate 09 II 340
- Eine neue Lagerstätte von Doppelspat in der Krim auf dem Kara-Dag 09 II 340
- *Krokydolith aus dem Bezirk Minussinsk in Sibirien* CBI 1907 435
- Tschirwinsky, W.: Chemische und mikroskopische Untersuchung der Podolischen Phosphorite 09 II 357
- *Ueber Podolit, ein neues Mineral* CBI 1907 279
- Tsujimoto, K.: Covellite from the Kosaka mine, Rikuchu province 09 I 167
- Tucan, Fr.: *Mikrochemische Reaktionen des Gipses und Anhydrites* CBI 1908 134
- *Kurze Notiz über Dolomit* CBI 1909 506
- Tuckett, F. F.: Remarkable Examples of Atmospheric Erosion of Rocks in Corsica 06 I 45
- Turnau, V.: Beiträge zur Geologie der Berner Alpen. I. Der prähistorische Bergsturz von Kandersteg. 2. Neue Beobachtungen am Gasteren-Lakkolith 07 II 439
- Turner, H. W.: The copper deposits of the Sierra Oscura, New Mexico 05 I 205
- The Terlingua Quicksilver Deposits 08 I 247
- The Ore-deposits at Mineral, Idaho 09 II 81
- Tuttle, G. W.: Recent Changes in the Elevation of Land and Sea in the Vicinity of New York City 07 I 51
- Tutton, A. E. H.: Das normale schwefelsaure Ammonium und die Stellung des Ammoniums in der Alkalireihe 05 I 184
- Das Elasmometer, ein neuer Interferenz-Elastizitätsapparat 05 II 2
- Ueber topische Achsen und über die topischen Parameter der Alkalisulfate und Selenate 07 I 5
- Die Stellung des Ammoniums in der Alkalireihe. Eine Untersuchung des schwefelsauren und des selensauren Ammonium-Magnesiums und Ammonium-Zinks 07 I 13
- Allgemeine Erklärung des Phänomens der Dispersion in gekreuzten Achsenebenen 08 I 162
- Twelvetrees, W. H.: Note on some axial lines of eruption in Tasmania 07 II 79
- Tyrrrell, J. B.: Crystospheres or buried sheets of ice in the tundra of northern America 06 II 190
- Concentration of Gold in the Klondike 09 I 78

U.

	Jahrg.	Bd.	Seite
Udden, J. A.: On the Proboscidian fossils of the Pleistocene Deposits of Illinois and Iowa	1907	I	306
Ugolini, R.: Talus di franamento del Monte di Avane . . .	05	I	57
Uhlig, C.: Vom Kilimandscharo zum Meru	07	I	423
Uhlig, J.: Die Gruppe des Flasergabbros im sächsischen Mittelgebirge 1908 II 196	09	II	212
Uhlig, V.: Zur Umdeutung der tatrischen Tektonik durch M. LUGEON	05	I	448
— Exkursionen in die pieninische Klippenzone und in das Tatra-Gebirge	05	II	91
— Bau und Bild der Karpathen	06	II	395
— Die Geologie des Tatragebirges. II. Tektonik des Tatragebirges. III. Geologische Geschichte des Tatragebirges. IV. Beiträge zur Oberflächengeologie	09	I	418
— <i>Einige Worte zu dem Aufsätze des Herrn Gyula Prinz „Ueber die systematische Darstellung der gekielten Phylloceratiden“</i>	CBl	1906	417
— siehe Diener, C.			
Uhlig, V. und Diener, C.: <i>Ein Wort zu Neumayr's Stellung in der Paläontologie</i>	CBl	1907	464
Uličný, J.: Mineralogische Nachlese in Westmähren . . .	06	II	174
Ulrich, E. O. and R. S. Babler: A Revision of the Paleozoic Bryozoa. Part I: Ctenostomata	05	II	485
Ulrich, E. O. and W. St. T. Smith: The Lead, Zinc, and Fluorspar Deposits of Western Kentucky	06	II	180
Ungemach: Les gites métallifères du Val de Villé (Alsace)	08	I	198
Urbain, G.: Recherche des éléments qui produisent la phosphorescence dans les minéraux	08	II	144
Urbas, M.: <i>Neue experimentelle Beiträge zur Kenntnis der Silikatschmelzen</i>	BB	XXV	261
Ussing, N. V.: Kryolithionit, ein neues Mineral	06	I	10
— List of the meteorites represented in the collection . . .	07	I	362

V.

Vadász, M. E.: Ueber eine oberliassische Lytoceras-Art mit aufgelöster Wohnkammer	09	II	138
— Die unterliassische Fauna von Alsórákos im Komitat Nagyküküllö	09	II	138
Vaglioni, C.: Di alcuni micascisti tormaliniferi del Monte Ornato presso Seravezza (Alpi Apuane)	07	I	65
Vaillant, L.: Sur la présence du tissu osseux chez certains poissons des terrains paléozoïques de Canyon City (Colorado)	05	II	137
— La disposition du revêtement écailleux chez le Mesosaurus tenuidens PAUL GERVAIS	08	II	269
Valette, A.: Note sur quelques stellérides de la craie sénonienne du département de l'Yonne	06	I	320
Vállindas, K.: Der geologische Bau und die Erzlagerstätten von Sérifos	08	II	76
van't Hoff, J. H., siehe Hoff, J. H. van't.			
Vasovic, R.: Die Eiszeitspuren in Serbien	09	I	110

Vasseur, G.: Sur les fossiles de la tuilerie de Soumailles, commune de Pardailhan	1908	I	266
— Découverte de vertébrés dans les molasses oligocènes du Fronsadais (bassin de la Gironde)	08	I	267
Vater, H.: Auf dem Trockenem gebildeter Rohhumus und seine Bekämpfung	05	II	78
— Die Bodenanalyse und ihre Anwendung in der Forstwirtschaft	09	II	60
Vaughan, D. T. Gwynne, siehe Gwynne-Vaughan, D. F.			
Vaughan, Th. W., siehe Shattuk, G. B.			
Veatch, A. C.: On the origin and definition of the geologic term Laramie	08	I	432
Veatch, O.: The Kaolins of the Dry-Branch Region, Georgia — siehe Fuller, M. L. etc.	09	II	244
Velge, G.: Les affleurements du terrain tertiaire dans le Limbourg	06	I	116
— La géologie des Mines de Louvain	06	II	430
— L'antiquité de l'homme et les éolithes à Roncelles	08	I	280
Venturi, A.: Nuove determinazioni di gravità relativa in Sicilia	07	I	43
— Terza campagna gravimetrica in Sicilia nel 1905	08	II	43
Verbeek, R. D. M.: Molukken-Verslag. Geologische verkenningstochten in het oostelyke gedeelte van den Nederlandsch Oostindischen Archipel	09	I	242
— siehe Dollfus, G.			
— siehe Penecke, H.			
Vernadsky, W.: Ueber die Anwendung der Phasenlehre auf die Kristallographie	07	II	172
— Grundriß der Kristallographie. Teil I. Liefg. 1	07	II	345
— Versuch einer beschreibenden Mineralogie. Bd. I. Geodiogene Elemente	09	II	2
— Ueber die Kombinationsstreifung der Kristallflächen	09	II	3
— Zur physikalischen Theorie der Kristallzwillinge	09	II	5
— Ueber den Worobieffit und die chemische Zusammensetzung der Berylle	09	II	21
— Zur Frage über die Verbreitung des Skandiums	09	II	328
— Ueber Funde von Tetradymit in Rußland	09	II	332
Verneau, R.: Les grottes de Grimaldi, résumé et conclusions des études anthropologiques	08	I	115
Verneuil, A.: Mémoire sur la reproduction artificielle du rubis par fusion	06	I	15
Vervuert, G., siehe Höfle, J. und G. Vervuert.			
Vesterberg, Alb.: Chemische Studien über Dolomit und Magnesit. II. Einwirkung von kohlensäuregesättigtem Wasser auf magnesiareiche Kalkalgen	06	I	333
Vetters, H.: Vorläufiger Bericht über Untersuchungen in den Kleinen Karpathen	05	I	447
— Die Fauna der Juraklippen zwischen Donau und Thaya. I. Die Tithonklippen von Niederfellabrunn	06	I	439
Vidal, L. M.: Sur la présence de l'étage Kiméridgien au Montsech (Province de Lérida, Espagne) et découverte d'un Batracien dans ses assises	07	II	287
Viebig, W.: Die Silber-Wismutgänge von Johannegeorgenstadt	07	I	259
Vigier, V. v., siehe Böse, E.			

Villarello, J. D.: Analisis y clasificacion de un granate procedente del mineral de Pihuamo, Jalisco	1906	I	27
— Estudio de una muestra de mineral asbestiforme procedente del Rancho del Ahuacatillo, distrito de Zinapécuaro, Michioacan	06	I	342
Vinassa de Regny, P.: Sull' origine della „Terra Rossa“ — Osservazioni geologiche sul Montenegro orientale e meridionale	05	I	244
— La ferrovia transbalcanica	07	II	107
— La ferrovia transbalcanica	07	II	108
Vincent, E.: Description d'une espèce de céphalopode tetrabranchial nouvelle du Landenien de Belgique. <i>Aturia lincientensis</i> VIN.	08	I	304
Vinchon, A.: Note sur le gisement landénien de Cugny (Aisne)	07	I	290
Viola, C.: Ueber einen Satz aus der Zonenlehre	06	I	321
— Zwei Sätze aus der Zonenlehre	06	I	321
— Physikalische Chemie und Kristallographie	06	II	313
— Die Aufgabe der Transformation der Coordinaten in der Kristallographie	07	I	182
— Theorie und Anwendung der symmetrischen Minimalablenkung durch anisotrope Prismen	08	I	162
— Erwiderung auf die vorhergehende Notiz des Herrn F. Pockels	08	II	142
— Der Albit aus der Nurra (Sardinien)	08	II	176
— Sopra un esemplare di ematite con rutilo di provenienza dubbia	09	II	188
— Sull' associazione del rutilo con l'ematite	09	II	188
— Appunti su minerali italiani. I. La baritina di Boccheggiano in provincia di Grosseto	09	II	359
— Gesso delle Cetine di Cortoniano (Chiusdino) in provincia di Siena	09	II	362
— Ueber das Grundgesetz der Kristalle	CBl 1905		225
— Grundzüge der Kristallographie	CBl 1905		559
— siehe Hilton, H.			
— siehe Pockels, F.			
Viola, C. e D. Sangiorgi: Sopra i supposti giacimenti garantiti dell' Apennino Parmense	08	II	215
Vire, A.: Grotte préhistorique de Lacave (Lot). Epoque de Solutré	07	I	450
Voermann, G. L., siehe Hoff, J. H. van't.			
Vogel, O.: Das gediegene Eisen von Kirburg und einige andere natürliche Eisen	09	I	353
Vogt, J. et M. Mieg: Note sur la découverte des sels de potassium en Haute-Alsace	09	I	107
Vogt, J. H. L.: Om Andöens Jurafelt, navnlig om landets langsomme nedsynken under juratiden og den senere hoevning samt gravforkastning	06	I	425
— Die Theorie der Silikatschmelzlösungen	06	II	8
— Die Silikatschmelzlösungen mit besonderer Rücksicht auf die Mineralbildung und die Schmelzpunkterniedrigung. II. Ueber die Schmelzpunkterniedrigung der Silikatschmelzlösungen	06	II	10
— Die Silikatschmelzlösungen mit besonderer Rücksicht auf die Mineralbildung und die Schmelzpunkterniedrigung. I. Ueber die Mineralbildung in Silikatschmelzlösungen	06	II	12
— Ueber anchi-eutektische und anchi-monomineralische Eruptivgesteine	07	II	56

- Vogt, J. H. L.: Om relationen mellem störrelsen af eruptivfelterne og störrelsen af de i eller ved samme optraedende malmudsondringer 1908 I 79
- Ueber Manganwiesenerz und über das Verhältnis zwischen Eisen und Mangan in den See- und Wiesenerzen. Ein Beitrag zur Kenntniss der Bildung der Manganerzlagertstätten 09 I 80
- Physikalisch-chemische Gesetze der Kristallisationsfolge in Eruptivgesteinen 1909 I 367 09 II 51, 55
- Ueber magmatische Ausscheidungen von Eisenerz im Granit 09 I 389
- Ueber die Erzgänge zu Traag in Bamle, Norwegen 09 II 79
- Vogt, Th.: Schwerspat aus norwegischen Vorkommen 09 II 106
- Vogt, M.: Die basischen Eruptivgesteinsgänge des Lausitzer Granitgebietes 08 I 56
- Vogt, W.: Zur Theorie des Lichtes für optisch aktive Kristalle 06 I 3
- Ueber spezifische optische Eigenschaften hemimorpher Kristalle 06 I 3
- Bestimmung der Elastizitätskonstanten von Eisenglanz 08 II 14
- Voit, F. W.: Beiträge zur Geologie der Kupfererzgebiete in Deutsch-Südwest-Afrika 07 I 74
- Ueber das Vorkommen von Kimberlit in Gängen und Vulkanembryonen 1908 I 70 09 II 239
- Uebersicht über die nutzbaren Lagerstätten Südafrikas 09 II 83
- Voitesti, siehe Popescu-Voitesti, T.
- Volkmann, P.: Ein Geysiermodell 07 I 89
- Volkow: Magdalenske maisterstvo na Ukraine (L'art magdalénienne en Ukraine) 05 I 322
- Volz, W.: Zur Geologie von Sumatra. Anhang II. Einige neue Foraminiferen und Korallen sowie Hydrokorallen aus dem Obercarbon Sumatras 1907 I 327, 487
- Ueber das geologische Alter des *Pithecanthropus erectus* 09 I 111
- *Battaklande und Toba-See in Sumatra* CBl 1906 43
- *Das geologische Alter der Pithecanthropus-Schichten bei Trinil, Ost-Java* Festband 256
- Vorländer, D.: Ueber kristallinisch-flüssige Substanzen 08 I 3
- Neue Erscheinungen beim Schmelzen und Kristallisieren 09 I 1
- Substanzen mit mehreren festen und mehreren flüssigen Phasen 09 I 2
- Einfluß der molekularen Gestalt auf den kristallinisch-flüssigen Zustand 09 I 3
- Ueber durchsichtig klare, kristallinische Flüssigkeiten 09 I 330
- Systembestimmung und Achsenbildung flüssiger Kristalle 09 II 330
- Ueber Polymorphie der Flüssigkeiten 09 II 330
- Kristallinisch-flüssige Substanzen CBl 1908 311
- siehe Lehmann, O.
- Vorländer, D. und A. Gahren: Entstehung kristallinischer Flüssigkeiten durch Mischung von Substanzen 09 I 3
- Vorweg, O.: Ueber Steinkessel 05 II 294
- *Zur Kantengeschlebefrage* CBl 1907 105
- *Flächner oder Kanter?* CBl 1907 547
- *Maare* CBl 1908 238
- Vrba, K.: Meteoritensammlung des Museums des Königreichs Böhmen in Prag, Ende Juni 1904 05 I 214
- Beitrag zur Morphologie des Sylvanits 09 I 169
- Darstellung der Symmetrie der Kristalle durch Spiegelung 09 II 159

Vredenburg, E.: Nummulites Douvilléi, an undescribed species from Kachh with Remarks on the Zonal Distribution of Indian Nummulites	1908	II	291
— Note on the Distribution of the Genera Orthophragmina and Lepidocyclus in the Nummulitic Series of the Indian Empire	09	I	141
— Otoliths from the Miocene of Burma, erroneously described as a new Genus Twingonia PASCOE	09	I	142
— Nummulites Vredenburgi PREVER, nom. mut	09	I	142
— The Cretaceous Orbitoides of India	09	I	142
Vucnik, M.: Versuche über Ausscheidung aus Silikatschmelzen	CBl	1906	132
Vukits, Berta: Entgegnung auf den Aufsatz von J. Morozewicz	CBl	1905	361

W.

Waagen, L.: Brachiopoden in den Pachycardientuffen der Seiser Alpe	05	I	179
— Die systematische Stellung und Reduktion des Schlosses von Aetheria nebst Bemerkungen über Clessinella Sturanyi n. subg. n. sp.	06	I	154
— Ein Beitrag zur Geologie der Insel Veglia. IV. Die Umgebung des Besca-Tales	06	I	259
— Geologische Spezialkarte des Blattes Veglia und Novi. Zone 25. Kol. XI	07	I	91
— Die Lamellibranchiaten der Pachycardientuffe der Seiser Alpe, nebst vergleichend paläontologischen und phylogenetischen Studien	07	II	335
— siehe Schubert, R.			
Wada, T.: Ueber Naëgit, ein neues Mineral aus Japan	05	I	189
— Minerals of Japan	05	I	210
— Die Schmuck- und Edelsteine bei den Chinesen	05	II	5
— Enargite of Kinkwaseki, the Island of Taiwan	07	I	196
— On Naëgite	07	I	199
— The Natural Etching of a Topaz Crystal from Tanokamiyama	07	I	207
— Chemical Analyses of some Japanese Minerals	07	I	218
— Beiträge zur Mineralogie von Japan	CBl	1905	280
Wade, A.: The Chemical Composition of Igneous Rocks: A New Method of obtaining it	09	II	58
Wagner, G.: Observations on Platygonus compressus LE CONTE	06	I	147
Wagner, P.: Illustrierter Führer durch das Museum für Länderkunde	CBl	1905	281
— Lehrbuch der Geologie und Mineralogie für höhere Schulen, insbesondere für Realanstalten und Seminare	CBl	1909	713
— Dasselbe. Große Ausgabe für Realgymnasien und Oberrealschulen	CBl	1909	713
Wagner, Percy: Ueber skelettförmigen Apatit aus dem Kimberlit der De Beers-Grube, Kimberley, Südafrika, und die Anwendung einer Kochsalzschmelze zum Nachweis desselben.	CBl	1909	550
Wagner, R.: Das ältere Diluvium im mittleren Saale-Tale	05	II	445
Wahl, W.: Ueber einen Magnesiumdiopsid führenden Diabas von Källsholm, Skårgård von Föglö, Ålandsinseln	07	II	409
— Beiträge zur Geologie der präcambrischen Bildungen im Gouvernement Olonez. 3. Die Gesteine der Westküste des Omega-Sees	09	I	218

Wahl, W.: Die Enstatitaugite. Eine Untersuchung über monokline Pyroxene mit kleinem Winkel der optischen Achsen und niedrigem Kalkgehalt	1909	II	163
— Analogien zwischen Gliedern der Pyroxen- und Feldspatgruppen und über die Perthitstrukturen	09	II	170
Wahnschaffe, F.: Neuere Theorien über Gebirgsbildung — Bericht über gemeinsame Begehungen der diluvialen Ablagerungen im außeralpinen Rheingebiete im April 1907	07	I	43
Waindziok, P.: Petrographische Untersuchungen an Gneisen des St. Gotthard	08	II	95
Wainerowsky, J. F. Wajner, siehe Wajner-Wainerowsky, J. F.	08	I	65
Waitz v. Eschen, Fr.: Die Basalte östlich der Linie Wabern—Gensungen	07	II	403
Wajner-Wainerowsky, J. F.: v. KRALIC's Ablagerung und Verbreitung der Stein- bzw. Kalisalze sowie ihre Verwendung	CBl 1905		310
Walcott, Ch. D.: Cambrian brachiopods with descriptions of new genera and species	06	II	307
Waldschmidt, E.: Dolinen im mitteldevonischen Kalk bei Elberfeld	06	I	202
Walker, E. E.: Notes on the Garnet-bearing and Associated Rocks of the Borrowdale Volcanic Series	05	II	227
— Die Spassky-Kupfergruben in Südwestsibirien	07	II	422
Walker, J. F., siehe Richardson, L.			
Walker, T. L.: A review of the minerals Tungstite and Meymacite	09	II	335
Wallace, Th.: Additional notes an the geology of Streatsdearn and adjoining districts of the Aviemore Railway	05	I	312
Wallenström, A.: Ein neuer Typus von Neptunitkristallen	06	I	167
Waller, G. A.: Notes on the geological structure of the west coast of Tasmania	07	II	270
— Notes on recently observed evidences of glaciation on the west coast of Tasmania	07	II	299
Wallerant, F.: Sur le polymorphisme des nitrates	05	I	12
— Sur le polymorphisme et l'isomorphisme des azotates alcalins	06	II	164
— Sur les azotates de potasse et d'ammoniaque, et sur la loi de BRAVAIS	06	II	318
— Sur l'isodimorphisme	1906	II	318. 319
— Sur la constitution des corps cristallisés	07	I	3
— Sur un nouveau cas de mériédrie à symétrie restreinte, et sur les macles octaédriques	07	I	182
— Sur les enroulements hélicoïdaux dans les corps cristallisés	1908	I	315. 316
— Sur l'origine des enroulements hélicoïdaux dans les corps cristallisés	08	I	316
— Sur les cristaux liquides de propionate de cholestéryle . .	09	I	5
— Sur les cristaux liquides d'oléate d'ammonium	09	I	6
— Sur les transformations polymorphiques des mélanges isomorphes de trois corps	09	I	163
Walter, K.: Ueber Apatit vom Epprechtstein in Bayern und von Luxullian in Cornwall	BB	XXIII	581
Walther, J.: Die Fauna der Solnhofener Plattenkalke	05	I	458
— Vorschule der Geologie	CBl 1905		730
— Ueber das Zitieren von Abbildungen	CBl 1909		536
Walther, K.: Petrographische Untersuchung einiger klastischer Gesteine aus dem Palaeozoicum des Rheinischen Schiefergebirges	09	II	216

- Walther, K.: Geologie der Umgebung von Bad Steben im Frankenwalde 1909 II 218
- *Geologische Beobachtungen in der Gegend von Jena in Thüringen. I. Das Tertiär zwischen Bürgel und Kamburg. II. Bemerkungen zur Tektonik der weiteren Umgebung von Jena* BB XXI 63
- *Beiträge zur Geologie und Paläontologie des älteren Paläozoicums in Ostthüringen. 1. Das Mitteldevon und untere Oberdevon. 2. Fossilreste im tiefen Silur (sogen. Cambrium)* BB XXIV 221
- Wanderer, K.: Rhamphorhynchus Gemmingi H. v. MEYER. Ein Exemplar mit teilweise erhaltener Flughaut aus dem K. Mineralogisch-Geologischen Museum zu Dresden. 09 I 132
- *Die Jura-Ablagerungen am Westrande des Bayrischen Waldes zwischen Regenstauf und der Bodenwöhrerbucht* BB XXI 468
- Wankel, A.: Chemische Untersuchung dolomitischer Gesteine aus der Umgebung von Regensburg 07 II 65
- Wanner, J.: *Zur Geologie und Geographie von West-Buru* BB XXIV 133
- *Triaspetrejakten der Molukken und des Timorarchipels* BB XXIV 161
- Ward, H. A.: Catalogue of the WARD-COONLEY Collection of Meteorites 05 I 214
- Values of Meteorites: relative and individual 05 I 391
- The Billings Meteorite. A new Iron Meteorite from Southern Missouri 07 I 366
- The Canyon City Meteorite from Trinity Co., California 07 I 366
- Columbian Meteorite Localities: Santa Rosa, Rasgata, Tocavita 09 I 40
- Ward, L. F.: Statues of the mesozoic floras of the United States. First Paper: The older Mesozoic 1907 II 499. 502
- Waring, G. A.: Quartz from San Diego County, California 07 I 19
- Warren, C. H., siehe Hidden, W. E.
- siehe Kennard, A. S.
- siehe Palache, Ch.
- Wartenberg, H. v., siehe Nernst, W.
- Warth, H.: Weathered Dolerite of Rowley Regis (South Staffordshire) compared with the Laterite of the Western Ghâts near Bombay. 07 I 391
- Warth, H. and F. J. Warth: The Composition of Indian Laterite 05 II 15
- Washington, H. S.: The Plauenal Monzonose (Syenite) of the Plauenscher Grund 08 II 189
- The Titaniferous Basalts of the Western Mediterranean. A preliminary Notice 09 I 64
- The Catalan Volcanoes and their Rocks. 09 I 222
- On Kaersutite from Linosa and Greenland; with optical studies by FRED. EUGENE WRIGHT 09 I 342
- The formation of leucite in igneous rocks 09 II 61
- Manual of the chemical Analysis of Rocks CBI 1905 94
- Chemical Analyses of Igneous Rocks published from 1884 to 1900, with a critical discussion of the character and use of analyses CBI 1905 210
- siehe Cross, W.
- siehe Kunz, G. F.
- siehe Pirsson, L. V.
- Watitsch, N.: Lublinit, eine neue Mineralart des Kalkspats. Bibliographische Notiz 09 II 340

Watson, T. L.: A preliminary report on the Beauxite deposits of Georgia	1906	II	161
— The Leopardite (Quarz-Porphyr) on North Carolina	06	II	216
— Orbicular Gabbro-Diorite from Davie-County, North Carolina	06	II	217
— Granites of North Carolina	06	II	219
— Die Eisenockerlagerstätten von Cartersville in Georgia	06	II	225
— Occurrence of Unakite in a New Locality in Virginia	08	I	240
— Occurrence of Rutile in Virginia	08	II	13
— Lithological characters of the Virginiagranites	09	I	66
— Dike of Diabase in the Potsdam Sandstone in the Valley of Virginia	09	II	391
— siehe Weed, W. H.			
Watts, W. W.: The functions of geology in education and practical life	06	I	37
Weber, C. A.: Die Moostorfschichten im Steiluter der Kurischen Nehrung zwischen Sarkau und Cranz	08	II	408
— Die wichtigsten Humus- und Torfarten und ihre Beteiligung an dem Aufbau norddeutscher Moore	08	II	409
Weber, F.: Ueber den Kalisyenit des Piz Giuf und Umgebung (östliches Aarmassiv) und seine Ganggefölgenschaft	06	I	371
Weber, J.: Beiträge zur Kenntnis einiger polymorpher Körper	08	II	146
Weber, L.: Ueber die Brechungsexponenten des Apatit von der Knappenwand	CBl	1909	594
Weber, M.: Ueber tertiäre Rhinocerotiden von der Insel Samos	06	II	450
— Die petrographische Ausbeute der Expeditionen O. NEUMANN-V. ERLANGER nach Ostafrika und Abessynien 1900—1901	09	I	225
— Ueber Zinkoxyd	CBl	1905	205
— Nachtrag zu den Rhinocerotiden von Samos	CBl	1907	29
Wedekind, R.: Die Cephalopodenfauna des höheren Oberdevon am Enkeberge	BB	XXVI	565
Weed, W. H. and T. L. Watson: The Virginia Copper Deposits	08	I	83
Weems, J. B., siehe Beyer, S. W.			
Wegner, R. N.: Uebersicht der bisher bekannten Astieria-Formen der Ammonitengattung <i>Holcostephanus</i> nebst Beschreibung zweier neuer Arten	09	I	77
Wegner, R. U.: Zur Kenntnis der Säugetierfauna des Obermiocäns bei Oppeln (Oberschlesien)	08	II	425
Wegner, Th.: Die Granulatenkreide des westlichen Münsterlandes I.	08	I	42
— Profil durch den Teutoburger Wald	09	II	254
— Exkursion am Heidhorn, Hüggel und Silberberg	09	II	429
— Beobachtungen über den Ausbruch des Vesuv im April 1906	CBl	1906	506, 529
— Der Stromboli im Mai 1906	CBl	1906	561
— Ueber das Vorkommen des Salmiaks bei vulkanischen Eruptionen	CBl	1907	662
— Beitrag zur Kenntnis des Alters des Teutoburger Waldes und des Wesergebirges	CBl	1909	76
Weiberg, S.: Ueber die Einwirkung von Chlor- und Bromcalcium auf Kaolin bei hoher Temperatur	05	I	377
— Ueber chromsauren Sodalith	05	I	377
— Ueber Baryum- und Strontiumnephelin	05	I	377
— Ueber die Einwirkung von Lithiumchlorid und Lithiumsulfat auf Kaolin bei hoher Temperatur	05	I	377

	Jahrg.	Bd.	Seite
Weiberg, S.: Ueber einige Kalialuminiumsilikate	1905	I	377
— Ueber einige in basischen Schmelzen alkalischer Salze erhaltene Kalialuminiumsilikate	05	I	377
— siehe Weyberg, Z.			
Weidman, S.: Wide spread occurrence of fayalite in certain igneous rocks of Central Wisconsin	06	II	220
— Irvingite, a new variety of Lithia-mica	09	I	190
— The Geology of North Central Wisconsin	09	I	226
Weidman, S. und V. Lehner: Marignacite, a new variety of Pyrochlore from Wausau, Wisconsin	08	II	177
Weigel, O.: Ueber das Verhalten von Schwermetallsulfiden in wässriger Lösung	08	I	168
— Die Löslichkeit von Schwermetallsulfiden in reinem Wasser	1908	II	10
— <i>Beiträge zur Kenntnis fester unipolarer Leiter</i>	BB	XXI	325
Weimarn, P. P. v.: Ueber die Möglichkeit der Erweiterung der ultramikroskopischen Sichtbarkeitsgrenze	08	II	145
Weinschenk, E.: Weitere Beobachtungen über die Bildung des Graphites, speziell mit Bezug auf den Metamorphismus der alpinen Graphitlagerstätten	05	I	261
— Die Nickelmagnetkieslagerstätten im Bezirk St. Blasien im südlichen Schwarzwald	09	I	80
— Ueber Mineralbestand und Struktur der kristallinen Schiefer	09	I	207
— <i>Ueber die Skeletteile der Kalkschwämme</i>	CBl	1905	581
— Grundzüge der Gesteinskunde. II. Teil: Spezielle Gesteinskunde mit besonderer Berücksichtigung der geologischen Verhältnisse	CBl	1905	617
— Anleitung zum Gebrauch des Polarisationsmikroskops	CBl	1906	522
— Die gesteinsbildenden Mineralien	CBl	1907	470
— Grundzüge der Gesteinskunde. I. Teil. Allgemeine Gesteinskunde als Grundlage der Geologie	CBl	1908	20
— Petrographisches Vademekum	CBl	1908	20
— <i>Die kosmische Natur der Moldawite und verwandter Gläser</i>	CBl	1908	737
— <i>Zum Streit über die „Echtheit“ der Moldawite</i>	CBl	1909	545
— siehe Novarese, V.			
Weisbach, A.: Tabellen zur Bestimmung der Mineralien mittels äußerer Kennzeichen	CBl	1906	480
Weiß, A.: Beiträge zur pleistocänen, alluvialen und rezenten Konchylienfauna der Umgebung von Gera (Reuß)	07	II	461
Weiß, E.: Zur Relegation des Eises	08	II	12
Weiß, P.: Bemerkung zu der Mitteilung von Erich Kaiser über die Kristallform des Magnetkies	CBl	1906	338
Weißermel, siehe Siegert.			
Weithofer, K. A.: Geologische Skizze des Kladno-Rakonitzer Kohlenbeckens	06	I	275
Weller, St.: The classification of the Upper Cretaceous formation and faunas of New Jersey	07	II	125
— The fauna of the Cliffwood (N. J.) Clays	07	II	132
— A fossil starfish from the Cretaceous of Wyoming	07	II	157
Welter, O. A.: <i>Vorläufige Mitteilung über Stratigraphie und Bau der Alpen zwischen Hinterrhein und Safiental</i>	CBl	1908	723
Welzel, Ch.: Eingewachsene Feldspatkristalle aus dem Fichtelgebirge. Ein kristallographischer Versuch	09	I	340
Wemple, E. M.: New Cestracient teeth from westamerican Triassic	08	II	446

- Went, K., siehe Romberg, J.
- Wepfer, E.: *Die nördliche Flyschzone im Bregenzer Wald* BB XXVII 1
- Werner, E.: Beiträge zur Kenntnis des kohlen-sauren Kalks 1905 II 356
- Werth, E.: Das Diluvium des Hirschberger Kessels 1907 I 443 07 II 462
- Werveke, L. van: Versuche zur Erweiterung der Wasserversorgung von Mülhausen im Elsaß 09 I 205
- Die geologische Landesuntersuchung von Elsaß-Lothringen 09 II 207
- siehe Benecke, E. W.
- Wessely, C. und M.: Ueber ein Vorkommen von Andalusit in Steiermark 05 II 363
- Westergård, A. H.: Pyrit von Sestri levante 07 II 175
- Ueber Klinozoisit von der Goßlerwand bei Prägraten 08 I 27
- Ueber Turmaline von Minas Geraes in Brasilien 08 I 28
- Wetzel, W.: Lias und Dogger des Teutoburger Waldes südlich von Bielefeld CBl 1909 137
- Wetzig, Br.: Beiträge zur Kenntnis der Huelvaner Kieslagerstätten 08 I 85
- Weyberg, Z.: Sur les cristaux de la classe du bisphénoïde tétragonal 08 I 161
- Ueber die Wirkung von Baryumchlorid und Strontiumchlorid auf Kaolin bei hoher Temperatur CBl 1905 138
- Ueber einige Lithiumalumosilikate CBl 1905 646
- Einige Worte über das Silikat $\text{Na}_2\text{Fe}_2\text{Si}_4\text{O}_{12}$ CBl 1905 717
- Ueber einige spinellartige Verbindungen CBl 1906 645
- Ueber das Alumosilikat $\text{K}_2\text{Al}_2\text{Si}_6\text{O}_{20}$ CBl 1908 326
- Ueber das Alumosilikat $\text{K}_2\text{Al}_2\text{Si}_2\text{O}_8$ CBl 1908 395
- Ueber die Natriumchromsilikate CBl 1908 519
- Regelmäßige Verwachsung des Graphits mit Disthen CBl 1908 523
- siehe Weiberg, S.
- Wheeler, L. P., siehe Bumstead, H. A.
- Wherry, E. T.: The Newark Copper Deposits of Southeastern Pennsylvania 09 II 400
- White, D.: Fossil Plants of the Group Cycadofilices 07 I 164
- The seeds of Aneimites 07 I 164
- A remarkable fossil Tree Trunk from the middle Devonian of New York 08 II 449
- White, H. P.: Chemical Notes on Glaucophane Schists, from Australia and New Caledonia 07 I 399
- siehe Card, G. W.
- siehe Mingaye, J. C.
- White, J. C.: Geological horizon of the Kanahwa black flint 06 I 277
- White, W. P., siehe Allen, E. T.
- siehe Day, A. L. etc.
- Whiteaves, J. F.: Uintacrinus and Hemiaster in the Vancouver Cretaceous 07 II 288
- Whitfield, R. P.: Note on a very fine example of *Helicoceras* *Stevensoni* preserving the outer chamber 05 I 355
- Observations on an emended description of *Heteroceras simplicostatum* 05 I 355
- Description of a new *Teredo*-like shell from the Laramie group 05 I 359
- Notice of a new genus of marine algae, fossil in the Niagara shale 05 II 329
- Notice of an American species of the genus *Hoploparia* Mc Coy, from the Cretaceous of Montana 08 I 443
- Notice of six new species of *Unios* of the Laramie group 08 I 445

- Whitfield, R. P.: Remarks on and descriptions of new fossil Unionidae from the Laramie clays of Montana . . . 1908 I 445
- Whitfield, R. T. und E. O. Hovey: Remarks on and Descriptions of Jurassic fossils of the Black Hills . . . 08 I 264
- Whitlock, H. P.: Some new cristallographic combinations of Calcite from West Paterson, N. J. 09 I 9
- Wichmann, A.: Ueber den Vulkanausbruch auf Java im Jahre 1593 05 I 224
- Ueber die Vulkane von Nord-Sumatra 06 II 49
- Over Ardenngesteenten in het Nederlandsche Diluvium benoorden den Rijn 06 II 118
- Ein verschollener Meteorit aus dem Jahre 1809 08 II 183
- Wiegand, H.: *Petrographische Untersuchung der Basalte des Schwäbmerlandes bis an den Vogelsberg*. BB XXIII 345
- *Die Verwitterungserscheinungen des basaltischen Olivins, insbesondere das rote Mineral und einige Verwachsungen von rhombischem mit monoklinem Augit* CBl 1907 372
- Wiegand, F.: Diluviale Flußschotter aus der Gegend von Neuholdensleben 06 I 122
- Ueber Glazialschrammen auf der Kulmgrauwacke bei Flechtingen 06 I 297
- Die natürliche Entstehung der Eolithen im norddeutschen Diluvium 07 I 126
- Neue Beiträge zur Geologie der Altmark. 1. Das Tertiär im Kreise Gardelegen und einige Bemerkungen über das Diluvium 1907 II 450
- 08 I 434
- Wieland, G. R.: Gastroliths 08 II 441
- Wiik, F. J.: Om en ny anti-aktualistisk teori för de kristalliniska bergformation 07 I 391
- Wilckens, O.: Ein neues Vorkommnis von Nephelinbasalt im badischen Oberlande 06 II 60
- Radiolarit im Culm der Attendorn-Elsper Doppelmulde (Rheinisches Schiefergebirge) 09 I 242
- Die neue geologische Landesanstalt von Neuseeland 09 II 207
- Die geologische, paläontologische und petrographische Literatur über Neuseeland bis zum Jahr 1907. 1909 II 265. 433
- *Die Meeresablagerungen der Kreide- und Tertiärformation in Patagonien* BB XXI 98
- *Zur Geologie der Südpolarländer*. CBl 1906 173
- *Ueber den Bau des nordöstlichen Adulagebirges* CBl 1907 341
- *Ueber die Verbreitung der Basaltgänge in der Umgebung von Freiburg im Breisgau* CBl 1908 261
- *Zur Erinnerung an Marcel Bertrand*. CBl 1909 499
- Wild, G.: On Trigonocarbon olivaeforme WILLIAMSON 07 I 163
- Wild, H.: Deutsche Edelsteine, hergestellt von der Deutschen Edelsteingesellschaft in Idar bei Oberstein. CBl 1908 179
- Willcox, O. W.: The so-called alkali spots of the younger driftsheets 07 I 243
- The iron concretions of the Redbank sands 08 II 375
- Williams, J. A., siehe Beyer, S. W.
- Williamson, W. C. and D. H. Scott: Further observations on the organization of Fossil Plants of the Coal-Measures. Part III. Lyginodendron and Heterangium 07 I 163
- Willis, B.: Stratigraphy and structure, Lewis and Livingston Ranges, Montana 06 I 88
- The Mineral Resources of China 09 II 79

Williston, S. W.: On the skeleton of <i>Nyctodaetylus</i> with restoration	1905	I	518
— On the skull of <i>Nyctodaetylus</i> , an upper cretaceous <i>Pterodaetyl</i>	05	I	518
— On the osteology of <i>Nyctosaurus</i> (<i>Nyctodaetylus</i>) with notes on american <i>Pterosaurs</i>	05	I	518
— The fingers of <i>Pterodaetyl</i>	05	I	520
— Some Fish Teeth from the Kansas Cretaceous	05	II	131
— The Laramie Cretaceous of Wyoming	07	I	439
— North american <i>Plesiosaurs</i> . <i>Trinacromerum</i>	09	I	441
— The <i>Cotylosauria</i>	09	II	122
— The oldest known Reptile— <i>Isodectes punctulatus</i> COPE	09	II	123
— <i>Lysorophus</i> , a Permian Urodele	09	II	124
Willmott, A. B.: The contact of the archæan and post-archæan in the region of the great lakes	07	I	74
Wilschowitz, H.: Beitrag zur Kenntnis der Kreideablagerungen von Budigsdorf und Umgebung	07	II	123
Wilson, T. St.: On a convenient and simple method of making geological modells	06	I	37
Wiman, G.: Studien über das nordbaltische Silurgebiet. I.	06	I	102
Wiman, K.: Paläontologische Notizen 3—6	06	II	298
Wimperis, H. E.: The Temperature of Meteorites	07	II	199
Winchell, A. N.: The Oxidation of Pyrite	09	II	246
Winchell, H. V.: Synthesis of Chalcocite and its genesis at Butte Montana	06	I	240
Winchell, N. H.: The Cuyuna Iron Range	09	I	395
Windhager, F.: Quarzbostonit aus der Umgebung von Rézbánya	07	I	64
Windhausen, A.: Die geologischen Verhältnisse der Bergzüge westlich und südwestlich von Hildesheim	08	II	79
Wing Easton, N.: Geologie eines Teiles von West-Borneo nebst einer kritischen Uebersicht des dortigen Erzvorkommens	09	II	96
Winge, H.: Jordfundne og nulevende Hovdyr (<i>Ungulata</i>) fra Lagoa Santa, Minas Geraes, Brasilien	07	II	134
Winkler, Cl.: Zur Zusammensetzung des Eisens von Ovikaf in Grönland und der bituminösen Kohle (des Kolms) aus der kambrischen Formation Westergötlands	05	I	366
(Siehe auch Nordenskiöld.)			
Winogradow, N., siehe Bogojawlensky, A. und Winogradow, N.			
Winter, F. W.: Foraminifera (<i>Testacea reticulosa</i>) für 1896—1900	09	II	151
— Zur Kenntnis der Thalamophoren. I. Untersuchung über <i>Peneroplis pertusus</i>	09	II	151
Wislicenus, E.: Ueber die faserähnlich gewachsene Tonerde (Fasertonerde) und ihre Oberflächenwirkung	08	II	170
Wiśniowski, Th.: <i>Scaphites constrictus</i> Sow. sp. aus den Istebner Schichten	05	I	355
— Ueber das Alter der Inoceramenschichten in den Karpathen	07	II	435
— Ueber die Fauna der Spasser Schiefer und das Alter des massigen Sandsteins in den Ostkarpathen Galiziens	07	II	436
— Ueber die obersenone Flyschfauna von Leszczyny	08	I	429
Wittenburg, P. v.: Einige neue Fossilien aus den Werfener Schichten Südtirols	08	I	16
— Notiz über Trias und Jura bei Wladiwostok und Umgebung	09	I	1

- Wittenburg, P. v.: Einige Lamellibranchiata der Salt-Range, mit Berücksichtigung der Lamellibranchiata des Süd-Ussuri-Gebiets 1909 I 6
- Geologische Studien an der ostasiatischen Küste im Golfe Peters des Großen BB XXVII 509
- Neue Beiträge zur Geologie und Paläontologie der Werfener Schichten Südtirols, mit besonderer Berücksichtigung der Schichten von Wladivostok CBl 1908 67
- Wittich, E.: Mitteloligocäner Meeressand bei Vilbel in Oberhessen. (Vorläufige Mitteilung) CBl 1905 531
- Wöhler, L. und H. Kasarnowski: Beitrag zur diluten Färbung der Alkali- und Erdalkalihalogenuide 06 I 324
- Woeikof, A.: Les lacs du type polaire et les conditions de leur existence 05 I 408
- Wohnig, K.: Trachytische und andesitische Ergußgesteine vom Tepler Hochland 06 II 353
- Wójcik, M. K.: Die unteroligocäne Fauna von Krübel Maly bei Przemysl. Die Claviculina Szaboi-Schichten. I. Teil: Die Foraminiferen und Mollusken 1905 I 319 1905 II 434
- Woldrich, J. N., siehe Počta, Ph.
- Wolf, J., siehe Hablinger, R. v.
- Wolff und Stoller: Ueber einen vorgeschichtlichen Bohlweg in Wittmoor (Holstein) und seine Altersbeziehungen zum Moorprofil 06 I 119
- Wolff, F. v.: Die älteren Gesteine der ecuatorianischen Ostkordillere, sowie die des Azuay und eines Teiles der Cuenza-Mulde 06 I 392
- Ueber das Alter der kristallinen Ostkordillere in Ecuador 06 I 392
- Bericht über die Ergebnisse der petrographisch-geologischen Untersuchungen des Quarzporphyrs der Umgegend von Bozen 07 I 230
- Ueber das physikalische Verhalten des vulkanischen Magmas 08 I 219
- Beiträge zur Petrographie und Geologie des „Bozener Quarzporphyrs“. I. Die Gliederung und petrographische Beschaffenheit des Quarzporphyrsystems der Umgegend von Bozen (Südtirol) BB XXVII 72
- Nekrolog von Carl Klein CBl 1907 641
- Notiz über das Kristallsystem des „Hittorfschen Phosphors“ CBl 1908 296
- Wolff, K.: Ueber eine alte Mündung der Ilm in die Saale 08 II 252
- Wolff, W.: Der geologische Bau der Bremer Gegend 07 II 464
- Wolff, W. und R. Kibling: Eine Tiefbohrung auf dem Gelände der Petroleumraffinerie zu Bremen. WOLFF: Das geologische Profil. KISSLING: Chemische Untersuchung des erbohrten Wassers 06 I 297
- Wollemann, A.: Die Fauna des mittleren Gaults von Algermissen 05 I 317
- Ein Aufschluß im Mueronatensenen bei Rotenkamp, nordwestlich von Königslutter 06 I 285
- Belemnites ultimus D'ORB. und andere Versteinerungen aus der Kreideformation von Misburg bei Hannover 06 I 316
- Einige Bemerkungen über die Fauna des Lüneburger Miocäns 06 I 431
- Alte und neue Aufschlüsse im Flammenmergel, Varianspläner und Turon in der Umgegend von Braunschweig 06 II 428
- Die Fossilien der Kalktuffe des Elms und Lappwaldes 07 II 461
- Die Bivalven und Gastropoden des norddeutschen Gault (Aptien und Albien) 07 II 468

- Wollemann, A.: Fossile Knochen und Gastropodengehäuse aus dem diluvialen Kalktuff und Lehm von Osterode am Fallstein 1908 II 251
- Fossile Pflanzen aus dem diluvialen Kalktuff des Fallsteins 08 II 251
- *Puzosia Mülleri Grossouvre aus dem Scaphitenpläner von Nettlingen* CBI 1905 452
- *Mortoniceras pseudotexanum Grossouvre aus dem Emscher Lüneburgs* CBI 1906 379
- *Erwiderung auf Menzel's Mitteilung über die Quartärfaunen im nördlichen Vorlande des Harzes und die Nehring'sche Steppenhypothese* CBI 1909 317
- siehe Müller, G.
- Wologdine, S., siehe Le Chatelier, H. et Wologdine, S.
- Wood, H. O., siehe Palache, Ch.
- Woodburn, J. B., siehe Tarr, R. S.
- Woods, H.: A monograph of the Cretaceous Lamellibranchia of England. Bd. 2. Parts 1. 2. 06 I 466
- The cretaceous fauna of Pondoland 07 II 306
- A monograph of the Cretaceous Lamellibranchia of England Bd. 2. Parts 3. 4. 1908 I 133. 444
- Woodward, A. Smith, siehe Smith-Woodward, A.
- Woodward, B. B., siehe Kennard, A. S.
- Woodward, H.: Fossil prawns from the Osborne beds, Isle of Wight 05 I 304
- Devonian Trilobites of Cornwall 05 II 316
- On some fossil prawns from the Osborn Beds of the Isle of Wight 05 II 317
- Note on a Fossil Crab and a Group of Balani discovered in Concretions on the beach at Ormara Headland Mekran coast. 1906 I 117 06 II 139
- On a Collection of Trilobites from the upper cambrian of Shantung, North China 06 II 139
- Further Note on *Cyclus Johnsoni*, from the coalmeasures near Dudley 06 II 140
- On „*Pyrgoma cretacea*“, a cirripede, from the Upper Chalk of Norwich and Margate 06 II 140
- On some crustacea collected by Miss CAROLINE BIBLEY and Miss L. COPLAND from the Upper Cretaceous of Faxe, Denmark 06 II 141
- siehe Fox, H.
- Woolacott, D.: The Superficial Deposits and Pre-Glacial Valleys of the Northumberland and Durham Coalfield 05 II 450
- Woolnough, W. G., siehe Davis, B. F.
- Woolsey, L. H.: Economic geology of the Beaver quadrangle, Pennsylvania 09 II 407
- Worobieff, V.: Ueber ein neues Exemplar von *Euklas* aus den Goldseifen des südlichen Urals 05 II 183
- Ueber einen neuen Fundort von Prehmit in der Mongolei 05 II 183
- Ueber Quarz und Feldspäte vom Berge Mokruscha, sowie über Uwarowit von der Bilimbajewskij-Datsche im Ural 09 II 40
- Wortman, J. L.: Studies of Eocene Mammalia in the Marsh Collection, Peabody Museum. Part II: Primates 05 I 324
- Wright, C. W.: The Porcupine Placer District, Alaska 06 I 354
- The Copper Deposits of Kasaan Peninsula, Alaska 09 II 399

Wright, C. W. and B. C. Polkinghorne: The discovery of Marsupites in the Chalk of the Croydon area	1906	II	107
Wright, F. E.: Kristallographische Untersuchungen	05	II	5
— The determination of the optical character of birefracting minerals	06	II	148
— Two Microscopic-Petrographical Methods	07	I	226
— Schistosity by crystallisation. A qualitative proof	07	I	334
— The determination of the feldspars by means of their refractive indices	07	I	350
— A modification of the LASAULX Method for observation interference figures under the microscope	07	II	3
— The measurement of the optic axial angle of minerals in the thin sections	09	I	156
— Die Justierung des ABBE-PULFRICH-schen Kristallrefraktometers	09	II	159
— On the measurement of extinction angles in the thin section	09	II	161
— Ueber Enstatit und Klinoenstatit	09	II	176
— siehe Allen, E. T.			
— siehe Day, A. L. etc.			
— siehe Washington, H. S.			
Wright, J.: Foraminifera from the Gravel Pit, Longhurst, Dunmurry, and other Localities in the vicinity of Belfast, with a Reference to the Malone Sands	09	I	300
Wülfing, E. A.: Einiges über Mineralpigmente	07	II	166
— <i>Berichtigung und Nachtrag zur „Mikroskopischen Physiographie der petrographisch wichtigen Mineralien“</i>	CBI 1905		745
Wüst, E.: Weitere Beobachtungen über fossilführende pleistocäne Flußablagerungen im unteren Unstrutgebiet	05	I	473
— Fossilführende pleistocäne Holtemme-Schotter bei Halberstadt im nördlichen Harzvorlande	07	I	444
— Ueber Helix (Vallonia) saxoniaca STERKI	07	I	444
— Ein fossilführender pleistocäner Mergel im Weidatal zwischen Stedten und Schraplau	07	I	445
— Der Konchylienbestand der Kiese im Liegenden der Travertine von Weimar	07	II	459
— Die Schnecken der Fundschicht des Rhinoceros hundsheimensis TOULA bei Hundshem in Niederösterreich	07	II	460
— Die Entstehung der Kaolinerden der Gegend von Halle a. S.	08	II	190
— <i>Erklärung zu Edmund Picard's Aufsatz „Zur Kenntnis der obersten Saaleterrasse auf Blatt Naumburg a. S.“</i>	CBI 1906		678
— <i>Studien über Diskordanzen im östlichen Harzvorlande. (Vorläufige Mitteilung.)</i>	CBI 1907		81
— <i>Erklärung zu Edmund Picard's „Erwiderung“</i>	CBI 1907		214
— <i>Das Vorkommen von Rhinoceros Merckii Jäg. in den oberen Travertinen von Ehringsdorf bei Weimar und seine Bedeutung für die Beurteilung der Klimaschwankungen des Eiszeitalters</i>	CBI 1909		23
— <i>Die Gliederung und die Altersbestimmung der Lößablagerungen Thüringens und des östlichen Harzvorlandes</i>	CBI 1909		385
Wuestner, H.: Pisolitic Barite	07	II	31
Wulff, G.: Untersuchungen über die Genauigkeitsgrenzen der Gesetze der geometrischen Kristallographie	05	II	1
— Ueber die Genauigkeit der Gesetze der geometrischen Kristallographie	05	II	167
— Ueber die Kristallisation des Kaliumjodids auf dem Glimmer	09	I	160
Wulff, S.: Untersuchungen im Gebiete der optischen Eigenschaften isomorpher Kristalle. 2. Abh.	08	II	150

Wunstorff, W.: Die geologischen Verhältnisse des Kleinen Deisters, Nesselberges und Osterwaldes	1907	I	418
— Transgression im oberen Jura am östlichen Deister	06	I	277
Wyrouboff, G.: Nouvelles recherches sur les silicotungstates	07	I	4
— Sur les propriétés optiques des sels doubles ammoniacaux des terres cériques	08	II	1
— Recherches sur le polymorphisme et la pseudosymétrie	08	II	3
— Quelques remarques sur un Mémoire de M. BARKER	08	II	3
— Sur les propriétés optiques des mélanges isomorphes	08	II	149
Wysockorsky, J., siehe Lethaea geognostica.			

Y.

Yabe, H.: Cretaceous Cephalopoda from the Hokkaido. Part I: Lytoceras, Gaudryceras and Tetragonites. Part II: Turritites, Helicoceras, Heteroceras, Nipponites, Oleostephanus, Desmoceras, Hauericeras and an undetermined Genus	05	I	529
— On a Fusulina-Limestone with Helicoprion in Japan	07	I	330
— A Contribution to the Genus Fusulina, with Notes on a Fusulina-Limestone from Korea	07	I	331
— On a mesozoic Stromatopora	07	I	488
— Mesozoic Plants from Korea	07	II	343
— On the Occurrence of the Genus Gigantopteris in Korea	08	II	449
— Jurassic Plants from T'ao-chia-T'un, China	09	II	156
Yale, Ch. G.: California Mines and Minerals.	07	II	41
Yermoloff, A. et E. A. Martel: Sur la géologie et Phydrologie souterraine du Caucase occidental.	05	I	55
Yokoyama, M.: On some Jurassic Fossils from Rikuzen	05	I	464
— Mesozoic Plants from Nagato and Bistchu	07	II	341
— Mesozoic Plants from China	07	II	342
— Palaeozoic Plants from China	08	I	452
Yoshida, Y., siehe Nakamura, S.			
Young, A. P.: On a Serpentine-rock from the Mass of the Tarntaler Köpfe, Tirol.	08	II	309
Yung, M. B. und S. McCaffery: Die Erzlagerstätten des San Pedro-Distrikts (Neu-Mexiko)	05	I	99

Z.

Zahálka, B.: Ueber einige Eruptivgesteine aus der Umgebung von Mělník und Měno	07	I	58
Zalesky, M.: Sur quelques Sigillaires recueillis dans le terrain houiller du Donetz	05	I	537
— Végétaux fossiles du terrain carbonifère du bassin du Donetz	05	I	537
— Beiträge zur Kenntnis der fossilen Flora des Steinkohlenreviers von Dombrowa	09	I	146
— Végétaux fossiles du Terrain Carbonifère du Bassin du Donetz. II. Étude sur la structure anatomique d'un Lepidostrobis	09	I	459
— Mitteilung über das Vorkommen von Mixoneura neuropteroides GÖPFERT sp. in den obercarbonischen Ablagerungen des Donetzbeckens	09	I	460
Zaloziecki, R. und H. Klarfeldt: Ueber die optische Aktivität der Erdöle im Zusammenhange mit der Frage nach ihrem Ursprunge	08	II	40

Zambonini, F.: Su alcuni notevoli cristalli di celestite di Boratella (Romagna)	1905	I	40
— Ueber einige Mineralien von Canale Monterano in der Provinz Rom	06	I	170
— Analisi di lawsoniti italiane	06	I	340
— Ueber die Drusenmineralien des Syenits der Gegend von Biella	06	II	33
— Ueber den metamorphosierten Gabbro des Rocca Bianca im Susa-Tale	06	II	105
— Ricerche su alcune zeoliti	06	II	337
— Beiträge zur kristallographischen Kenntnis einiger unorganischer Verbindungen. 3. Die Wolframate von Calcium, Strontium und Baryum	06	II	344
— Einige Beobachtungen über die optischen Eigenschaften des Melanophlogit	07	I	20
— Ueber eine kristallisierte Schlacke der Seigerhütte bei Hettstedt, nebst Bemerkungen über die chemische Zusammensetzung des Melilith	07	I	28
— Appunti sulla scheelite di Traversella	07	I	38
— Sulla costituzione della titanite	07	II	28
— Sull' epidoto dei dintorni di Chiavrié, presso Condove, valle di Susa	08	I	27
— Sulla galena formatasi nell' ultima eruzione vesuviana dell' aprile 1906	1908	I	45. 173
— Notizie mineralogiche sull' eruzione vesuviana dell' aprile 1906	08	I	206
— Sur la présence de la galène parmi les minéraux produits par les fumerolles de la dernière éruption du Vésuve	08	I	329
— Strüverite, un nuovo minerale	08	II	14
— Ulteriori ricerche sulle zeoliti	08	II	32
— Sulla radioattività della cotunite vesuviana	08	II	293
— Notizia cristallografica sull' azzurrite del Timpone Rosso presso Lagonegro	08	II	306
— Su alcuni minerali della Grotta dello Zolfo a Miseno	08	II	332
— Sulla disanalite del Monte Somma	09	I	345
— Su alcuni minerali non osservati finora al Vesuvio	09	I	349
— Ueber Delorenzit, ein neues Mineral. Mit Analysen von J. STERBA in Prag	09	II	15
— Ueber ein Idokrasvorkommen aus dem Susatale	09	II	24
— Die morphotropischen Beziehungen zwischen Enstatit, Diopsid, Hedenbergit, Aegirin und Spodumen	09	II	171
— Ueber Enstatit und Klinoenstatit	09	II	176
— siehe Prior, G. T. and Zambonini, F.			
Zang, R.: Coleoptera longicornia aus der BERENDT'schen Bernsteinsammlung	07	I	323
Zatloukal, V.: Die Eruptivgesteine der nordwestlichen Beskidenausläufer	08	I	379
Záviška, F.: Verifikation der FRESNEL'schen Doppelbrechungsgesetze bei zweiachsigen Kristallen	05	I	183
— Ueber die Polarisation der Grenzkurven der Totalreflexion	05	I	184
Zaryieff, D.: Sur la dissociation du carbonate de chaux	09	I	339
Zdarek, E., siehe Ludwig, E.			
Zdarsky, A., siehe Hofmann, A.			
Zederbauer, E., siehe Seemann, Fr.			
Zeiller, R.: Observations au sujet du mode de fructification des Cycadofilicinées	07	I	164

- Zeiller, R.: Une nouvelle classe de Gymnospermées: les Ptéridospermées 1907 I 164
- Flore fossile des gîtes de charbon du Tonkin 08 I 309
- Les progrès de la paléobotanique de l'ère des Gymnospermes 09 I 144
- Sobre algunas impresiones vegetales del Kimeridgense de Santa Maria de Meva 09 I 458
- Observations sur le *Lepidostrobus Brownii* BRONGN. sp. 09 I 459
- siehe Fliche, P. et Zeiller, R.
- Zeise, O.: *Nachtrag zu meiner Mitteilung „Ueber die miocäne Spongienfauna Algeriens“* CBl 1907 317
- Zeitlin, A. G.: Die Erzlagerstätten des Berges Dzyschra in Abchasien 06 I 230
- Zeleny, V.: Der Erzbergbau zu Böhmisches-Katharinaberg im Erzgebirge 07 I 251
- Zelizko, J. V.: Ueber eine neue untersilurische Fauna bei Lhotka 06 I 300
- Ueber das erste Vorkommen von *Conularia* in den Krušná Hora-Schichten (D—d_{1a}) in Böhmen 07 II 282
- Das Untersilur in der Umgebung von Radotin und Groß-Kuchel 07 II 282
- Die Tertiärablagerungen bei Wolin in Südböhmen 07 II 295
- *Zur Frage über die Stellung der Hyolithen in der Paläontologie* CBl 1908 362
- Zeller, Fr.: *Beiträge zur Kenntnis der Lettenkohle und des Keupers in Schwaben* BB XXV 1 CBl 1907 19. 42
- Zemczuzny, S. und F. Loewinson-Lessing: Porphyrtartige Struktur und Eutektik 06 II 197
- Zemčuznyj, S., siehe Loewinson-Lessing, F.
- Zemczuznyi, S., siehe Kurnakow, N. S.
- Zemiatsenski, P.: Ueber Orthoklas- und Mikroklinkristalle im Brauneisenstein und Hydrogoethit aus der Umgegend der Stadt Lipezk 05 II 21
- Hydrogoethit — ein neues Glied in der Reihe der natürlichen Eisenoxydhydrate 05 II 181
- Ueber Orthoklas- und Mikroklinkristalle in Brauneisenerz und Hydrogoethit aus der Umgegend der Stadt Lipezk 05 II 183
- Silicomagnesiumfluorid, ein neues Mineral von Luppiko in Finnland 1908 I 28. 29
- Zeppa, P., siehe Balbiano, L.
- Ziegler, siehe Sulzer-Ziegler, E.
- Zimányi, K.: Ueber den Pyrit von Kotterbach im Komitat Szepes 05 II 10
- Ueber den grünen Apatit von Malmberget in Schweden 05 II 363
- Ueber die Lichtbrechung des Fluorapatits von Pisek 06 II 22
- Beitrag zur Mineralogie der Komitate Gömör und Abauj-Torna 07 I 217
- Ueber zwei Baryte vom Komitate Gömör 08 II 320
- *Eisenglanz vom Kakuk-Berge in Ungarn* CBl 1908 3
- Zimmermann, E.: Geologie des Herzogtums Sachsen-Meiningen 06 II 409
- Die ersten Versteinerungen aus Tiefbohrungen in der Kali-region des norddeutschen Zechsteins 09 I 422
- Ueber den „Pegmatitanhydrit“ und den mit ihm verbundenen „Roten Salzton“ im jüngeren Steinsalz des Zechsteins vom Staßfurter Typus und über Pseudomorphosen nach Gips in diesem Salzton 09 I 424
- siehe Everding, H.

	Jahrg. Bd. Seite
Zimmermann, R.: Ein neues Zeophyllit-Vorkommen zu Radzein in Böhmen	CBl 1905 245
Zinkendraht, H.: Ueber die Oberflächenspannung des geschmolzenen Schwefels	1908 I 169
Zinndorf, J.: Die Tiefbohrung im städtischen Schlachthofe zu Offenbach a. M.	09 I 432
Zirkel, F.: Ueber die gegenseitigen Beziehungen zwischen der Petrographie und angrenzenden Wissenschaften . . .	06 II 52
— Zur Literatur über die Ursachen der abweichenden Kristalltracht	07 I 186
— Weitere Beiträge zur Kenntnis der Urausscheidungen im Basalt vom Finkenberg bei Bonn	CBl 1908 417
Zirkel, F. und R. Reinisch: Untersuchung des vor Enderby-Land gedredhten Gesteinsmateriales	06 II 370
Zöllner, A.: Zur Frage der chemischen und physikalischen Natur des Porzellans	09 II 84
Zoeppritz, K.: Geologische Untersuchungen im Oberengadin zwischen Albulapaß und Livigno	08 II 225
Zsigmondy, R.: Ueber mikroskopische Goldkeime	08 I 170
— Ueber Kolloid-Chemie	CBl 1907 471
Zuber, R.: Neue Karpathenstudien	05 II 410
— Die geologischen Verhältnisse der Erdölzone Opaka—Schodnica—Urycz in Ostgalizien	06 I 236
— Die geologischen Verhältnisse von Boryslaw in Ostgalizien	06 I 409

II. Sachverzeichnis.

Die Seitenzahlen der Abhandlungen und Briefe sind *kursiv* gedruckt.

A.				
Aar, alter Lauf b. Meiringen	1905	I	228	Abrutschungsgebiet sub-aquat. Rutschungen, unterzähl. Schichtung 1908 II 154
Aareschlucht, Meiringen, Strudellöcher	05	I	409	Abruzzan, Nummulitenfauna d. Scaglia
Aarmassiv				06 I 156
— Geologie u. Mineralien	05	I	427	Absatz von Au, Ag und Cu aus Lösungen
— Intrusivgesteine im Schiefer d. Sustenhörner	06	II	62	08 II 8
Abbildungen, Zitieren solcher	CBI			Absonderung, prisma-tische, durch Torsion, Dambovitza
Abderitinae, Santacruzeno, Patagonien	07	I	309	06 II 202
Abessinien u. Ostafrika, Petrographie	09	I	225	Absorption v. Alkalien im Ackerboden . 1908 I 362. 363
Abflußbedingungen, Eis als Faktor derselben, Kentucky u. Virginia	05	I	407	Absorptionserscheinungen bei zersetzten Gesteinen
Abies linearis u. Schuckeri, Bernstein, Ostpreußen	09	I	308	06 I 51
Abietites Glückii, obere Kreide, Quedlinburg	07	I	493	Absorptionsvermögen für Gase bei Mineralien
— marylandicus	07	II	506	06 I 161
Abkühlungsgeschwindigkeit, Einfluß auf Ausscheidungsfolge in Schmelzflüssen	08	II	26	Abstammungslehre, geolog. Grundlagen 1909 II 470 CBI 1908 461
Abrasion				Acaciaephyllum ellipticum u. pachyphyllum 07 II 505
— durch Brandungswellen	BB	XXV	387	Acanthicus-Schichten, Randgebirge d. Wiener Beckens b. Gießhübl 08 I 263
— marine, Rocky Mountains	07	I	379	Acanthinites Hogarti, Tropites-limestone, Byans 08 II 237
Abrasionsfläche, Rand d. Kahlengebirgs b. Wien	05	I	451	Acanthocardia Malvensis u. Vasseuri, Cenoman, Südfrankreich
Abreißfiguren	07	II	351	07 II 131
				Acanthoceras compressum, Kreide, Kalifornien
				06 I 288
				— cornigerum, crassior-natum, expansum, flexuosum, laticostatum, latum, munitum, nitidum, paucinoda-

- tum, quadratum u. robustum, Kreide, Zulu-land 1907 II 305
- Acanthoceras* Eschi, Mungokalke, Kamerun 05 I 153
- *hoplitoides*, Turon, Texas 06 I 314
- *Lyelli*, Albien, Peru BB XXIV 92
- *palaestinense*, Cenoman, Jerusalem 07 I 422
- *praenodosoides* u. *subvicinale*, Kreide, Diego Suarez 07 II 334
- Acanthocircus coronatus*, *dendroacanthus*, *horridus*, *irregularis* u. *rarus*, Scaglia, Euganeen 06 I 475
- Acanthocorys cretacea*, Kreide, Euganeen 06 I 474
- Acanthodes*, Carbon, Nordamerika 05 II 133
- Acanthodiscus pseudo-radiatus*, *radiatus*, u. *Wallrathi*, unt. Kreide, schweizer Jura 07 I 484
- Acanthopterygii* d. brit. Museums 05 II 135
- Acanthosphaera parvipora*, *tenuispina* u. *Wisniowskyi*, Scaglia, Euganeen 06 I 475
- Acanthothyris Doultingensis* u. *Midfordensis*, Fuller's Earth, England 08 II 87
- *multistriata*, Jura, Kutsch 05 I 181
- Acaremyinae*, Tertiär, Patagonien 07 II 323
- Acaremys major*, Tertiär, Patagonien 07 II 323
- Acaste acutilobata* und *convexa*, Devon, Bolivia BB XXV 497
- *perplana*, Devon, Argentinien BB XXV 570
- Accipenser albertensis*, Belly river series, Red Dear river, Nordamerika 07 I 439
- Aceratherium egrerius* u. *Stigeri*, Untermiocän, Nebraska 08 II 434
- *persiae*, Samos und Maragha in Persien . CBI 1907 30
- Aceratherium samium* u. *Schlosseri*, Tertiär, Samos 1906 II 451
- *tetradactylum*, Obermiocän, Oberkieferbe-zahnung 09 II 121
- *tetradactylum*, See-graben b. Leoben 05 II 305
- Achat
- Färbungsvermögen BB XXV 225
- Brasilien und Uru-guay BB XXV 221
- Nordamerika, Schmuck-stein 06 I 358
- Schlottwitz BB XXV 206
- Achatbol, Quittein, West-mähren, Eisenerzlager-stätte 05 II 243
- Achiardit, siehe Dachiar-dit.
- Achsen
- dreizählige irrationale 08 II 139
- topische, historisch . 08 II 146
- Achsenwinkel, optischer
- bestimmt aus der Dop-pelbrechung zweier zu den Mittellinien senk-rechter Platten 07 I 188
- — Bestimmung im parallelen Licht
- 1907 II 2 CBI 1905 751
- — Messung in Dünn-schliffen 09 I 156
- — in einer sich ab-kühlenden Flüssigkeit 08 I 166
- Achsenwinkelapparat in Verbindung mit BA-BINET'schem Goniometer 09 I 156
- Achsenwinkelbestimmung
- mikroskopische bei sehr kleinen Kristallen 07 II 164
- mittels d. Hyperbelkrümmung 07 II 165
- Achsenwinkelmessung an sehr kleinen Kristallen 07 I 187
- Aci Castello, Geologie 05 I 48
- Hebung des Landes 06 II 349
- Acidaspis myops*, Devon, Ostthüringen BB XXIV 307
- *sladensis* u. *Turnbulli*, Untersilur, Haverford-west District 06 II 138
- Acidität, relative, der Eruptivgesteine 08 II 184
- Aci Reale, Küstenhebung 07 I 219

Ackerböden					
— Absorption von Alkalien	1908 I	362.	363		
— Behandlung mit alkal. Lösungen	08 II	188			
— Feinerde	06 I	207			
— Kaligehalt	06 I	48			
— mineralog. Analyse	06 I	208			
— Zusammensetzung	1907 II	60.	61		
Ackererden					
— Gehalt an zersetzten Mineralien	07 I	16			
— Untersuchung	07 II	400			
— Mineralien	07 II	401			
— siehe auch Boden, Böden u. Ackerböden.					
Acmaea cerillosensis, Fort Benton-Schichten, Los Cerillos (Neu-Mexiko)	08 I	436			
Acme diluviana	07 II	459			
Acoelodidae, Acoelodus, Kreide, Patagonien	1905 I	167			
Acoelohyrax, Kreide, Patagonien	05 I	167			
Acompsoceras, Kreide	07 II	149			
Aconcagua (Puente del Inca), Geologie	BB XXIV	716			
— kein Vulkan	BB XXIV	734			
Aconeceras, Kreide	07 II	149			
Acrocidaris bistriata, ?Bathonien, Algerien	06 I	156			
— granulosa, Jura, Macon	07 II	156			
Acrodelphidae, Boldérien, Antwerpen	1907 I	132.	136.	137	
Acrodelphis, Boldérien, Antwerpen	07 I	132			
— macrospondylus, Miocän, Antwerpen	07 I	137			
Acrodus alexandrae u. oreodontus, Trias, Nordamerika	08 II	446			
— wempliae, Kalifornien	08 II	443			
Acrognathus, Chalk, England	05 II	137			
— Dodgei, Kreide, Libanon	05 II	481			
Acropeltis aequituberculata, Corallien, Valfin, Entwicklung	05 II	148			
Aerosalenia Chartroni, Infrafas, Vendée	05 II	147			
— Guebhardi, Bathonien, Seealpen	07 II	155			
— — Bathonien, Saint-Cézaire, Alpes maritimes	09 II	481			
Aerosalenia Lemoinei, unt. Jura, Madagaskar	1909 II	482			
— Roberti, ? Bathonien, Algerien	06 I	156			
Aerosphaera mirabilis, Kreide, Euganeen	06 I	474			
Acrostichites brevipennis, coniopteroides, fructifer	07 II	500			
Actaeon andinus, Neocom—Aptien, argent. Cordillere	BB XXIII	206			
— camerunensis, ? Eocän, Kamerun	06 II	123			
— difficilis, Palaeocän, Saratow	05 II	121			
— granum, Eocän, Paris	07 II	303			
— multilineatus, Kreide, Schaumburg-Lippesche Mulde	06 I	442			
— remotisulcatus, Eocän, Loire inférieure	07 II	302			
Actaeonella inflata, Hyper- senon, Peterwardeiner Gebirge	06 II	268			
— Salomonis u. voluta	BB XXII	684			
Actaeonidea pourcyensis, Eocän, Paris	07 II	308			
Actaeonina, Keuper, Gansingen	BB XXV	111			
— Atherstonei var. umkwelanensis, Kreide, Umkwelane Hill, Zululand	06 I	308			
— (Ovactaeonina) corbaricensis, unt. Santonien, Frankreich	06 I	318			
— gipsata, Grenz dolomit, Schwaben	BB XXV	109			
Actinacis cymatoclysta, Kreide, Ostgalizien	09 I	294			
Actinocamax-Atractilites	06 I	466			
— im Cenoman, Nordwestdeutschland	06 II	426			
— granulatus, verkrüppelt, Chalk, Flam- borough Head	05 I	356			
— plenus, Cenoman, Paderborner Pläner	06 I	316			
Actinoceras Hardmani, Carbon, Lennard River, Westaustralien	07 I	324			
Actinopteria Eschwegii u. Ulrichi, Devon, Bolivia	BB XXV	533			
Actinopterygii d. engl. Chalk	05 II	136			

Actophormis obesa, Scaglia, Euganeen	1906	I	475	Aegirin			
Adamaua, Deutsch-, Geologie	09	II	384	— Asoday, Zentralafrika, im Liparit	1909	II	235
Adamellit, Belknap Mountains, New Hampshire	08	I	379	— Spodumen, Enstatit, Diopsid und Hedenbergit, Morphotropie	09	II	171
Adamello-Tonalit, Geologie	06	II	237	— siehe auch Akmit.			
Adamin				Aegirinaugit, Canale Monterano (Rom) im Tuff	06	I	171
— Campiglia marittima (Monte Valerio)	08	II	318	Aegirinfelsit, Cnoc-na-Droighinn, Inchnadamff, Nord-Schottland	BB XXII		449
— Thasos-Insel, Krist.	09	II	358	Aegiringesteine			
Adapidae, amerik. Eocän	05	I	329	— Evisa, Korsika	08	I	69
Adapis, Bartonien, Castrais	05	II	304	— Oklahoma	09	II	384
— Beschreibung	06	II	443	Aegiringranit, Madagaskar	05	I	248
— parisiensis, Eocän, Quercy, Gehirn	06	II	100	Aegirin-Riebeckit-Granit, Zinder, Afrika	07	II	413
Adelphomys, Tertiär, Patagonien	07	II	326	Aegirinsyenit, Loyne, Nord-Schottland	BB XXII		448
Adeona Fourtaui, Mittel-eocän, Mokatam	05	II	485	Aegoceras adnethicum var. involuta u. simplex, Unterlias, Alosrakovos	09	II	139
Adeorbis Bonneti, Eocän, Paris	07	II	303	— subtumidum, Jura, Black Hills	08	I	264
Adherentina rhenana, Ruppelton, Mainzer Becken	09	II	324	— (Deroceras) Landui, Jura, Batu Berketak	BB XXV		326
Adiantidae, Kreide, Patagonien	1905	I	167	Aegypten			
Adiantites parvifolius	07	II	506	— Blättermergel v. Theben, obere Kreide	06	II	122
— Sewardi, Jura, Korea	07	II	343	— eocäne Säugetiere	06	I	446
— Lindsayoides, Trias—Jura, Victoria (Australien)	08	I	150	— Turritelliden	06	II	453
Adiastemus, Santa Cruz beds, Patagonien	06	I	463	— foss. Bryozoen	05	II	484
Adigrat-Sandstein, Ostafrika, Lias ?	BB XXVIII		152	— Geologie	07	I	424 ff.
Adinothierium, Zahnsystem	05	II	454	— zwischen Kairo u. Suez	09	I	100
? Admetopsis elevata, Kreide, Los Cerillos (Neu-Mexiko)	08	I	436	— Uadi Natrûn u. Fâregh	1906	II	422
Adocus lacer, Nordamerika	09	I	452	— Kreide, Abu-Roasch	06	I	294
Adpithecus, Kreide, Argentinien	05	I	167	— Kreideversteinerungen nubischer Sandstein in Ober-	CBI 1905		115
Adriosaurus Suessi	09	I	447	— nummulitische Dentaliden, Fissurelliden, Capuliden u. Hepponiciden des Paläogen	05	II	322
Adulagebirge, Bau d. nordöstlichen	CBI 1907		341	— Propristis Schweinfurthi, Säge, Ober-eocän	07	I	1
Adular, Gletsch am Rhône-gletscher, Krist.	CBI 1906		753	— Salpeter	05	I	262
Aegirin				— Tertiär	06	II	422
— Kristallform	09	II	176	— tertiäre Säugetiere des Fayum	07	II	307
— zusammengesetzten mit Labradorit u. Elaeolith	CBI 1906		144				

- Aegypten
 — untermioc. Wirbeltiere, Uadi Fâregh u. Natrûn 1907 I 296
 — Wirbeltiere 06 I 152
 — Zeuglodonten des Eocän 05 I 487
 Aelurocyon brevifacies 07 II 490
 Aelurodon brachygnathus, compressus, Haydeni, hyaenoides, saevus, taxoides, ursinus und wheelerianus, Miocän, Süd-Dakota 05 II 128
 Aelurosauridae, Systematik 07 I 479
 Aenderung der Aggregatzustände CBI 1904 51
 Aenigmatit, Verbreitung in basalt. Gesteinen CBI 1906 206
 Aenigmatitähnl. Mineral (Rhönit) in Basalt BB XXIV 475
 Aenigmatitbasalt CBI 1906 207
 Aeolische Aufschüttungsringe an Firnflecken, Island CBI 1909 180
 Aeolische Bildungen, Turkestan, Stratifikation CBI 1908 764
 Aeolische Inseln, Staukuppen Festband 325
 Aepyornis, Madagaskar 06 II 444
 Aequator, mediterraner, der Erde 05 II 202
 Aequipecten Kossmati, Kreide, Pondoland 07 II 306
 Aeschna grandis, quartär, Tatra 08 II 113
 Aethalion Knorrii, lith. Kalk, Nusplingen 09 I 455
 Aetheria (semilunata und heteromorpha), Schloßbau und Stellung 06 I 154
 Aethylester des Camphorylhydroxylamins, aktiv 07 I 91
 Aetna
 — Basis 08 I 46
 — 138 Eruptionen 09 I 363
 — Fortpflanzungsgeschwindigkeit der Erdbebenwellen 06 II 188
 — Fumarolenminerale 09 I 165
 — Geschichte der Eruptionen 1908 II 44. 45
 — Hebung des Untergrunds b. Aci Castello 06 II 349
 Aetnagesteine, Radioaktivität 1907 I 11
 Aetnaprodukte, Radioaktivität 07 I 227
 Aëtobatis Prosti, Phosphate, Algier u. Tunis 05 II 479
 Aëtosaurierbecken 08 II 436
 Aëtosaurus crassicauda, Keuper, Heilbronn 08 II 436
 Aetzen von Calcitkugeln 05 I 10
 Aetzfiguren
 — anomale, Erklärung durch Strukturtheorie CBI 1907 111
 — Entstehung u. Eigenart 05 I 10
 — Beryll, Tonkerhoek, Deutsch-S.W.-Afrika 09 I 98
 — Eisenglanz, auch verwandte Erscheinungen BB XXVIII 661
 — Phtalsäure 08 I 315
 — Quarz 05 II 48
 — Sapphir, Australien u. Ceylon 06 I 41
 — Topas, Japan, natürliche 07 I 207
 — Zinkblende BB XXVI 178
 Aetzkali, Anwendung beim Präparieren von Versteinerungen CBI 1907 305
 Affenknochen, Forest bed 08 II 426
 Afghanistan, Trias 06 I 411
 Afrika
 — Alkaligesteine des zentralen 09 II 235
 — Durchschnittszusammensetzung der Eruptivgesteine im südl. 06 I 46
 — Jura und Kreide von Ost- BB XXVIII 150
 — Kreide im südlichen 07 II 304
 — nutzbar. Mineralien des südlichen 09 II 83
 — Vulkanismus, tätiger 07 II 395
 — Brit. Zentral-, Gesteine 07 I 236
 — Deutsch-Ost-, Mineralien 07 II 385
 — Deutsch-Südwest-, Kupfererze 1906 I 233 07 I 74
 — — siehe Deutsch-Südwestafrika.
 — Sandstein, Ostafrika BB XXVIII 153
 Agalmaster grandis, intermedius u. Miellensis, rhein. Grauwacke 09 II 322

- Agalmatolith CBI 1909 332
- Aganides discoidalis, Carbon, Nordamerika . . 1905 I 528
- lentiformis? u. sulcatus, ob. Oberdevon, Enkeberg BB XXVI 589
- Agaracites Conwentzi, westl. Verein. Staaten 09 I 149
- AgateSpringFossilQuarry 07 II 485
- Agathiceras ciscoense, Carbon, Nordamerika 05 I 528
- Agenia saxigena, Miocän, Florissant, Col. . . . 08 II 111
- Aggregatzustände Kontinuität u. flüssige Kristalle 08 I 322
- Agnano, Apollowasser, Analyse 06 II 79
- Agnostus pisiformis, richtige Abbildung . . . CBI 1908 535
- AGRICOLA, GEORG, ein Gelehrtenleben . . . CBI 1905 558
- Agrion telluris, Miocän, Florissant, Col. . . . 08 II 111
- Aha-Mettmatal u. Seitentäler, Schwarzwald Glacialerscheinungen. BB XXI 433
- Aikinit siehe Nadelerz.
- Aipichthys, Chalk, England 05 II 137
- formosus, Kreide, Libanon 05 II 481
- Airolepis Molyneuxi, Matobola-Schichten des Sengwe-Kohlenfelds, Rhodesia 05 II 269
- AIRY'sche Spiralen an einer einzigen Kristallplatte, die auf einer optischen Achse senkrecht steht BB XXI 648
- Aistopoden, Wirbel und Rippen 08 II 273
- Akarnanien, Jura BB XXI 241 CBI 1905 263
- Lias CBI 1905 263
- Akidocheilus ambiguus, Chomeracensis, irregularis, laevigatus, provincialis, regularis, Tauricus u. transicus, Oxford-Neocom . . . 08 I 304
- Akkretionen 06 I 227
- Akmit, zusammenschmolzen mit Leucit und Olivin . . . CBI 1906 140. 144
- siehe auch Aegirin.
- Akratherme, Mitterndorf, siehe Therme.
- Aktinolith, siehe Strahlstein.
- Aktive opt. Kristalle . . 07 I 98
- Interferenzerscheinungen im polarisierten Licht BB XXI 540
- Lichttheorie 1906 I 3
- Struktur monoklin-hemiädrischer 07 II 351
- siehe auch Aethylester.
- Aktivität, photogr., von Gesteinen CBI 1905 58
- Akzessorien, Ableitung d. Formensystems v. Kristallen (Topas) 06 I 341
- Alabamornis gigantea, Beckengürtel, Eocän, Alabama CBI 1906 450
- Alamosemys substricta, Nordamerika 09 I 452
- Åland-Porphyr geschiebe, Diluvium, Westfalen CBI 1907 149
- Alaria (?) Baylei, Kreide, Umkwelane Hill, Zululand 06 I 308
- cf. Glaucus, Malm, argent. Cordillere . . BB XXIII 205
- Alaska
- Erzlagerstätten . . . 08 I 397
- Geologie des nördlichen 06 I 91
- — d. südöstlichen . . 06 I 95
- Gold und Kohlen . . . 08 II 377
- Goldseifen 1909 I 233. 235
- Gold- u. Kupferlagerstätten im Alt-Wrangell-Distrikt 05 II 399
- Hebungen in der Gegend der Yakutat-Bai 08 II 342
- Kohle u. Petroleum 09 I 395
- Mesozoicum 07 I 277
- nutzbare Mineralien 09 II 80
- Querschnitt d. Rocky Mountains im nördlichen 06 I 91
- Säugetierfauna (Mammut etc.) 06 I 97
- Seward-Peninsula . . 05 II 271
- Alaskit, Kiautschou (Tsingtau) 06 II 364
- Ala-tau, dsungarischer, Gesteine 05 II 68
- Alaun, Kristallisation des Kali- CBI 1905 751

- Alaun
— Neu-Mexiko 1909 II 364
— Solfatara bei Neapel 07 II 198
— Vesuv, Kali- 09 I 349
— opt. Verhältnisse CBI 1907 465
- Alaunschiefer
— Destillationsprodukte der bituminösen 06 I 326
— Westböhmen 06 I 51
- Alb, schwäbische
— Basalte und Tuffe 06 II 205
— Donauabbruch, Einwendungen CBI 1909 54
— Vulkane, Alter etc. CBI 1908 615
— siehe schwäb. Alb und Tafeljura.
- Albaner Gebirge
— Bau 08 I 46
— Vulkane 06 I 375
- Albanien
— Geologie u. Tektonik des nördlichen CBI 1906 65
— Jura BB XXI 237
— und Montenegro, Obertrias 06 I 108
- Albertogaudrya, unteres Tert., Cañadón Blanco, Patagonien 05 I 497
— Zahnsystem, Beziehg. zu Coryphodon und Pantolambda 05 II 461
— und Albertogaudryidae, Kreide, Patagonien 1905 I 168 05 II 466
- Albertogaudryidae, Patagonien 1905 I 168 05 II 466
- Albertosaurus sarcophagus 07 II 492
- Albien
— Norddeutschland, Gliederung CBI 1908 211
— Ostafrika BB XXVIII 202
- Albinisierung von Apophyllit, Zeophyllit u. Okenit CBI 1906 80
- Albit
— Darstellung, Isomorphismus, Schmelzpunkt, therm. Eigenschaften 06 I 336
— Karlsbader Zwillinge CBI 1905 751
— zusammengescholzen mit Anorthit, Schmelzkurven 07 II 22
— — mit Magnetit und Augit BB XXII 194
- Albit
— zusammengescholzen mit Olivin BB XXV 264
— und Olivin, zusammengescholzen mit Eläolith BB XXV 267
— — Magnetit BB XXV 265
— Afrika, Deutsch-Ost- 1907 II 385
— Altai, Sokolny-Grube 09 II 369
— Bendigo, Austr., in Goldgängen 07 II 22
— Biella, Piemont, Drusen im Syenit 06 II 38
— Binnental, Kristall 06 I 168
— Carrara, im Marmor 06 II 177
— Genis (Corrèze), im Mikrogranit 09 II 229
— Kreta, im Trias-Dolomit 1905 I 245 05 II 21
— Landvaerk, Evje, Saetersdalen, Norwegen, pseudom. n. Laumontit 06 I 351
— Montorfano (Baveno) 07 I 40
— Morro Velho, Brasilien, chem. Konstitution 05 I 25
— Nadabula, Kristallographie 06 II 333
— Ölgiasca, Comer See, im Pegmatit 06 I 376
— Ortole (Massa) im Nunmulitenkalk 07 II 21
— Piona (Comer See), Oligoklasalbit im Pegmatit 05 I 203
— Sardinien (Nurra), optisch. 08 II 178
— Susa-Tal, im Prosinit d. Rocca Bianca 06 II 105 ff.
— Ural, Mokruschaberg 09 II 40
— Zöptau, Mähren 05 I 186
- Albitzwillinge zur Bestimmung d. Feldspathe in Dünnschliffen 05 I 26
- Albtal und Seitentäler, Schwarzwald, Glazialerscheinungen BB XXI 423
- Albvulkane, Alter etc. CBI 1908 615
- Alchar, Auripigment, Lorandit und Realgar 05 I 369 ff.
- Alectryonia Greppini, Zone d. Lioc. concavum, Couzon-au-Mont-d'Or bei Lyon 05 I 464
- Aletodus ferrugineus 05 II 134
- Alexandrit, sog., künstlich CBI 1908 179

Alexandrit, sog., synthetisch, Brechungskoeffizienten.	CBI 1909 674	Allgäu, Kontakt zwischen Flysch u. Molasse.	1908	I	409
Alfeld a. Leine, Geologie nach Bohrungen	1906	Allgäu-Vorarlberg, Flyschzone	09	I	97
Algaricites Conwentzi, westl. Verein. Staaten	09	Allomeryx planiceps, John Day series	07	I	304
Algen		Allonema, paläozoisch	05	II	486
— fossile	1905	— botelloides, ? minimum, moniliforme-aggregatum u. waldronense	05	II	486
— Silur, Gotland und Oesel	1909	Allophan	CBI 1909	328. 332. 333	
Algenroth, Geologie	07	— Beziehung zu Gemenge von Tonerde- u. Kieselsäuregel etc.	CBI 1908	622. 662	
Algerien		— Böhmen, Alaun- und Pyritschiefer d. westlichen	06	I	53
— alte Stromlinien	07	— Quittein, Westmähren, Eisenerzlagerstätten	05	II	243
— Fische d. tert. Phosphate	05	— siehe Kupferallophan.			
— Granit u. krist. Schiefer	05	Allotheria, Kreide, Patagonien	05	I	169
— Schwankungen des Meeresspiegels an den Küsten	07	Alluvialgold, Entstehung	05	I	257
Algermissen, mittl. Gault	05	Alluvium, Genf, altes.	07	II	129
Algonkian, Bedeutung	05	Almandin, Ceylon u. Indien, Analyse.	CBI 1906	776	
Alit im Portlandzement	08	Almet-Aufferand-Kette, Savoyer Alpen, Geologie	05	II	251
Alkaliflecken im Geschiebelehm, Nordamerika	07	Aloisit, Uganda (Fort Portal)	09	II	192
Alkaligehalt der Gesteine	05	Alopecodon priscus und rugosus, unt. Karoo beds, Südafrika	09	II	126
Alkaligesteine		Alpen			
— Aouache, Ostafrika	07	— Alter des Granits	08	II	394
— Madagaskar, Provinz Ampasindaya	05	— Analogie m. Apennin	1909	II	258. 260
— Spanien	07	— — mit Karpathen	09	I	418
Alkalihalogenide, Isomorphismus	06	— Cordieritlagerstätten	08	II	67
Alkalihaloide, isomorphe Fortwachsungen	CBI 1907	— im Eiszeitalter	05	II	39
Alkalilaugen, Reaktion auf Quarz	06	— Entstehung	1907	II	102. 103
Alkalinitrate, Isomorphismus u. Polymorphismus	06	— Faltenbildung in krist. Schiefen	08	II	214
Alkalische u. saure Reaktion d. Mineralien, bes. Silikate	08	— Flüssigkeitseinschl. d. Quarze auf Mineralklüften	CBI 1906	72	
Alkalisulfate u. -selenate, Dichte, Kristallisation, topische Achsen und Parameter	07	— Gebirgsbau	1907	II	427. 429
Alkalitartrate, Isomorphismus	08	— Geologie 1905 I 276 ff.	1905	II	250 ff.
Allanit		— Grenzlinien z. d. Dinariden	1907	II	435. 437
— Jersey	07	— Mensch und Eiszeitbildungen	06	II	270
— Llano County, Texas	07	— Molybdänit	CBI 1905	12	
— siehe auch Orthit.		— Nummulitenschichten	09	I	108
Allendorf a. Lumda, Erup-tivgesteine	05				

Alpen

— Strudellöcher, versch. Orte	1905	I	409
— Ueberfaltungstheorie, Tiefseeabsätze u. ophiolithische Massengesteine	06	II	86
— Ueberschiebungen	07	I	270
— Ursache der Eiszeit CBI	1906		380
— vergl. mit Apennin	1909	II	258. 260
— vergl. mit Karpathen	09	I	418
— Allgäu — Vorarlberg, Flyschzone	1908	I	409
— apuanische, Eruptivgesteine	08	II	214
— bayrische, Tektonik	06	I	252
— französische	09	II	87 ff.
— — Entstehung der Fächerstruktur	07	II	260
— — Geologie	05	I	446
— — Jura	06	I	424
— — mittl. Jura zw. Grenoble u. Gap	05	II	427
— — Kreide	05	I	277
— — Nummulitenschichten der Süd-	08	I	433
— — Tektonik 1907 II 261 1908 II 395	09	I	87
— — vergl. m. Schweizer Briançonnais, Bau 1906 II 256	09	I	95
— — Chablais u. Schweizer, Tektonik 1906 I 243	06	II	83
— — — Geol. d. südl. Belledonne-Kette	07	II	263
— — — und Savoyen	07	II	104
— — Dauphiné, Gletscher	07	II	52
— — delphino-provençalische, Bau	1906	II	253. 256
— — Embrunais und Ubaye, Bau	07	I	269
— — Seealpen, Phiocän a. d. Küste	07	II	451
— französisch-italienische, Profile	07	II	258
— — Tektonik	09	I	95
— — italienische	09	II	88
— — Brescianer, Höhlen	05	II	123
— — Friaul, Geologie	06	II	246
— — Ligurien und Piemont, Glanzschiefer	1907	II	440. 441
— — Piemont, Bau	1906	II	256. 258
— — Venetien und Südtirol, Revision d. tert. Echiniden	05	II	149

Alpen

— julische, Geologie	1906	II	247
— — und Karst, Geol.	09	I	416
— Kärnten, Bleiberger Tal	09	I	416
— — Bryozoen d. Fusulinenkalks	06	II	135
— — Eruptivgesteine	08	II	212
— — Karawanken, Geol.	06	II	241
— Karst, siehe dort.			
— Krain, Fusulina-Kalke — zw. Bacatal und Wocheiner Save, Geol.	05	II	91
— — nordöstliche, Hippuritenhorizonte der Gosauschichten	CBI	1907	417
— Oesterreich	1906	II	233
— — Hollenstein, Geol.	09	I	416
— Ostalpen, Erzlagerstätten	07	I	254
— — kristallinische Gesteine der Zentralkette	05	I	59
— — nomadisierende Schubmassen	08	II	395
— — Tektonik 1906 II 233. 252 1907 I 268 1907 II 438	09	II	254
— — u. Westalpen, Vergleichung	07	I	267
— — Salzburg, Blünbachtal	09	I	414
— — Gaisberggruppe	09	I	414
— — Gollinger schwarzer Berg	09	I	417
— — hohe Tauern, Geologie 1907 I 267 1907 II 433.	09	II	437
— — Untersberg u. Salzburger Ebene	09	I	415
— — Salzkammergut, Bau	06	II	259
— — Gosau-Kreide	09	I	427
— — Savoyen, Geologie	05	I	282
— — Pflanzen der Molasse	09	I	467
— — Almet - Aufferand- Kette, Geologie	05	II	251
— — Bauges	08	II	390
— — Chambery	08	II	390
— — Giffre	08	II	389
— Schweiz	09	I	400 ff.
— — Bau	08	II	231
— — Bild und Bau	08	II	224
— — Brandung am Nagelfluhgebirge	1908	II	397
— — errat. Blöcke im Flysch u. Nagelfluhe	09	I	86
— — große Dislokationen (Ueberschiebungen)	05	II	86

Alpen			Alpen		
— Schweiz, Längszerreißung u. Abquetschung am nördl. Rand . . .	1908	II	396	— Schweiz, Genf—Lausanne—Chablais . . .	1906 II 83
— — Profile	07	II	431	— — Giswyl am Brünig, Klippen	CBI 1907 481
— — Wurzeln d. Decken	08	II	396	— — Glarner Doppelfalte, Tektonik	09 II 256
— — Aarmassiv, Sustenhörner, Gestein	06	II	62	— — u. Urner, Tektonik	06 II 395
— — siehe Aar.				— — Graubünden, Bündener Schiefer	08 I 253
— — Adulagebirge, nordöstliches	CBI 1907		341	— — Iberger Klippen, Deckenbau	CBI 1906 461
— — Albula-Tunnel, Geologie	05	II	89	— — siehe Engadin.	
— — Antirhätikon	08	I	251	— — zw. Hinterrhein u. Saffiental	CBI 1908 723
— — Balmhornmassiv	09	I	406	— — Lauenental	08 II 380
— — Berglitenstein und Grabser Klippe	09	I	86	— — Niesenflysch	1909 II 91. 92
— — Berner, Geol.	07	II	439	— — Niesenkette, Alter Nordrand, exot. Gebiete	09 I 401
— — Gasterenlakolith	07	II	439	— — Längszerreißung u. Abquetschung der Kreideketten	1906 I 82. 84
— — Alpen, Interlaken	09	I	88	— — Plessurgebirge	09 I 400
— — Kandersteg, Bergsturz	07	II	439	— — Presanellagruppe, Geologie des nördl. Abhangs	08 II 230
— — oberes Lauenental	05	I	276	— — Ralligenstöcke und Gerihorn	08 II 382
— — Oberland, Kiental, Eocän	09	I	431	— — Rhätikon, östl.	09 I 88
— — Lenk u. Adelsboden 1908 II 384. 386	09	II	91	— — Rublymassiv, Gyroporellen i. d. Trias	08 II 400
— — Voralpen, Hornfluh, Geologie	07	I	99	— — Säntis, Diploporen des Schrattekalks	09 I 154
— — Hornfluhbreccie, Berner Voralpen, exot. Blöcke	08	II	381	— — zw. Sanetsch und Kander	09 I 405
— — Berner, Freiburger u. Waadtländer, Rhätdecke	09	II	92	— — Seelisberg	09 I 85
— — Berner u. Freiburger Voralpen	09	II	92	— — Stockhorn—Chablais-Zone, Geologie	06 I 81
— — Breggiaschlucht, Profil am Südrand	09	I	93	— — Tessin	06 II 208
— — zw. Camonica- und Chiesetal, Ueberschiebungen	CBI 1909		135	— — Gneise (Granite) u. krist. Schiefer	1908 II 197. 200
— — Chamossaire	08	II	388	— — krist. Schiefer	05 I 242
— — Churfürsten—Mattstockgebiet, Valangien				— — Minerallagerstätten am Pizzo Forno	BB XXVI 488
— — Hauterivien-Grenze	08	I	425	— — — Pliocän u. Diluvium b. Chiasso	08 I 267
— — Engadin, oberes	08	II	225	— — Voralpen	1909 II 91. 92
— — — unteres				— — Torrenthornmassiv	09 I 406
— — — — 1907 II 436	08	II	228	— — Wallis	08 II 232
— — — — Fenster	07	II	262	— — La Pierre à Voir b. Martigny	08 II 393
— — Freiburger, Tektonik	06	I	255	— — Lisernetal, Fenster von Ardon	09 II 258
— — Frohnalpstock (Schwyz), Alter	09	I	401		

Alpen

— Schweiz u. Chablais, Tektonik	1906	I	243
— Seevorpalpen, Jura	06	I	108
— Simplon, Geologie 1906 II 260 1907 II 100	1909	I	59. 87
— — Wassereinbruch im S.-Tunnel	07	II	440
— Steiermark, Gurk- u. Görttschitztal	09	I	413
— Tessiner Massiv	07	II	259
— Tirol 1906 II	I.		206. 246
— — zw. Achensee und Fernpaß	09	I	413
— — Brenner, Geologie	07	II	435
— — — Tektonik	07	II	263
— — Brixen, Granitgebiet	09	I	385
— — Zentral- u. Brenner, Tektonik	09	II	420
— — Gaisberg bei Kirchberg, Triasinsel	09	I	97
— — Inntal b. Nauders	08	I	255
— — Karwendelgebirge	09	I	412
— — Kitzbühl, Silur u. Devon	09	I	415
— — Orterl, Tektonik 1907 II	262.		436
— — Seefelder-, Miesinger- und Wettersteingebirge	09	I	411
— — südliches u. Venetien, Revision d. tert. Echiniden	05	II	149
— — Tribulaun, Geol.	07	II	435
— — Zillertaler, Geol.	07	II	432
— — Trient, Pflanzen im carb. Glimmerschiefer	05	II	90
— Vorarlberg, Flyschzone u. Beziehung zu den ostalpinen Deckenschüben	08	I	63
— Vorarlberg—Allgäu, Flyschzone	09	I	97
— Westalpen, Amphibolit, Entstehung	07	I	228
— — Bau	07	II	406
— — Decken und Deckfalten	07	II	428
— — Diploporenkalke	07	II	442
— — Geologie	07	II	441
— — Grünschiefer, Serpentin etc., Entstehg.	07	I	228
— — Jura 1907	II		286. 441
— — Klippen 1907	II		427. 429
— — ophiolith. Massengesteine	07	II	442

Alpen

— Westalpen, Ueber-schiebungsdecken	1906	II	254
— — Valli del Gesso, Gesteine	05	II	66
— — Zone d. Phylloceras Loryi	07	II	286
— — u. Ostalpen, Vergleichung	07	I	267
— Wettersteingebirge	09	I	411
— Wien, Entstehung der Kalkalpen	09	I	416
Alpenbogen, Tektonik	08	II	55
Alpengeologie, moderne Anschauungen	08	II	231
Alpenseen, Glarus, Entstehung	05	I	407
Alpentäler, Uebertiefung (Stauungsbogen)	05	I	119
Alpine Decken, Mechanismus der großen	06	I	253
— Trias im Mediterrangebiet 1906	I		416. 423
Altai, Erzlagerstätten, Schlangenberg	07	I	255
Alter d. Erde, Beziehung zum Salzgehalt des Meeres	05	I	402
Alter-Pedroso, Portugal, Riebeckit	05	I	378
Aluminat von Calcium, künstlich	05	I	13
Aluminatsilikate zur Verbesserung d. Brauchwassers	09	II	371
Aluminium-Baryum-Phosphate, Diamantsand, Brasilien	08	I	32
Aluminiumerze, Biharergebirge, Ungarn	07	I	260
Aluminiumphosphat aus vulkanischen Gesteinen umgewandelt	08	I	227
Aluminiumsilikat $K_2 Al_2 Si O_6$	CBI	1908	326
Alumosilikate, Kalium-, chemische	1905	I	377 CBI 1908 326. 395
— $K_2 Al_2 Si_2 O_8$	CBI	1908	395
— Lithium-, künstlich	CBI	1905	646
Alunit, Schlaggenwald	05	I	198
Alunogen			
— Miseno (Schwefelgrotte)	08	II	333
— siehe Keramohalit.			

- Alveolina Canavarii, Ciofaloi, Cremae, Di-Stefanoi u. Schwageri, Eocän, Sizilien 1906 I 471
- gigantea, Vallone Tre Pietre 09 I 295
- Violae, Tertiär, Friaul 06 I 471
- Alveolina-Arten, Eocän, Prov. Catania 05 II 488
- Alveolinella, Fusulinenkalk, Indo-China 08 I 417
- Alveopora, cretacea, Senon, Portugal 07 I 487
- Alvincz, Ungarn, obere Kreide 05 I 302
- Alvit, Kristiania, im Aplit CBI 1909 405
- Amalgam, Nagolnij Krjasch, Donetz-Becken 07 II 192
- Amaltheus cordiformis, Jura, Black Hills 08 I 264
- Amani, Ost-Usambara, geolog.-agronom. Untersuchung 06 II 421
- Amauopsis fruscagorensis, Hypersenon, Peterwardeiner Gebirge (Fruska Gora) 06 II 267
- cf. subcanaliculata, Senon, Mittel-Peru BB XXIV 120
- transsylvanica, obere Kreide, Alvincz 05 I 302
- Amberg, Entstehung der Erzlagerstätten 05 I 258
- Amberleya Cureti, Kreide, Orgon (Bouches-du-Rhône) 06 I 318
- Hudlestoni, Upper coral bed, Midford, Somerset 08 II 87
- subelongata, Zone d. Lioc. concavum, Couzon-au-Mont-d'Or b. Lyon 05 I 464
- Amblygonit, Pala, San Diego Co., Cal. 05 I 204
- Amblypeza entellus, Nordamerika 09 I 452
- Amblypoda, Kreide, Patagonien 05 I 186
- Amblypristis cheops, Säge, Obereocän, Aegypten 07 I 1
- Amblypterus kaschmirensis u. symmetricus, Permocarbon, Kaschmir 08 I 416
- Amblysodon 09 II 443
- Ambocoelia umbonata, Devon, Bolivia BB XXV 551
- Ambon, Geologie 1905 I 106
- Ambulakren von Seiegeln, fotogr. Reproduktion CBI 1907 422
- Ambypoden, Patagonien 05 II 467
- Amelanchier Whitei, Kreide, New York 08 I 456
- Amerika
- Triascephalopoden 06 II 298
- siehe auch Mittelamerika.
- Amethyst
- Entfärbung u. Neufärbung 08 II 170
- Farbe u. deren Aenderung BB XXVI 269
- Afrika, Deutsch-Ost 07 II 385
- Brasilien u. Uruguay, krist. u. opt. 05 II 72
- Korea, Parallelverwachsung m. Rauchquarz 08 II 333
- Nordamerika, Edelstein 06 I 358
- Amianth der Alten ist Chrysotil 07 II 22
- Amiantos = Chrysotil CBI 1905 492
- Amiata, Mte., Kieselgur und Farberden 06 I 235
- Amilnedwardsia, Kreide, Patagonien 05 I 168
- Ammodiscus incertus var. macilenta, kainozoisch, BROWN'S Creek, Otway coast, Victoria 06 I 471
- indiformis, lithauisch-kurischer Jura 06 I 472
- Ammonella quadrata, Solenhofener Plattenkalke 05 I 459
- Ammoniak
- Bildung in Vulkanen 07 II 391
- der Laven, Ursprung 1909 I 7. 52
- in Vesuvprodukten 1906, Ursprung 1908 I 12. 326 CBI 1907 161. 662
- im Oelschiefer, Lothian (Schottl.) 05 I 443
- Ammoniakgehalt d. Kalisalzlagerstätten 09 II 186
- Ammoniten
- Rassenpersistenz CBI 1909 193. 225. 417
- Stammesgeschichte im Lichte d. Abstammungslehre STEINMANN'S CBI 1908 577

- Ammoniten
 — Variabilität 1907 II 493
 — Bara-Bai (Buru) Mollukken, im Asphalt-schiefer BB XXII 686
 — Mexiko 07 II 469
 — Patagonien, unt. Kreide BB XXV 601
 Ammonitenformen, evolute, des russ. Neocoms 06 I 465
 Ammonitensuturen, photogr. Reproduktion CBI 1907 422
 Ammonites bplex 05 I 348
 — (Stephanoceras) Blagdeni, Stufe, Elsaß CBI 1909 733
 — brunsvicensis u. kammerkarensis, Lias, Braunschweig 05 I 177
 — cordiformis und sub-tumidum, Jura, Black Hills 08 I 264
 — Kerenskianus, Gault, Zentral-Rußland 05 I 350
 — Kotoi, Kreide, Hokkaido 05 I 531
 — nepalensis, tenuistriata u. Wallichii, Himalaya 05 II 320
 — Pickeringi, Neocom, S. Lorenzo, Peru BB XXIV 90
 — Pioti, Cenoman, Aegypten 05 II 285
 — plicatilis 05 I 348
 — robustus, Jura, Himalaya 05 II 319
 — subradiatus, Formenreihe CBI 1909 645
 Ammonitiden, Carbon u. Perm, Nordamerika 05 I 525
 Ammonium, siehe auch Ammoniak.
 Ammonium, Stellung in der Alkalreihe 05 I 185
 Ammonium-Magnesium- (resp. -Zink-)Sulfate u. -Selenate, krist., phys. etc. 07 I 13
 Ammoniumnitrat
 — Konstitution der Kristalle 07 I 3
 — Polymorphismus 05 I 12
 — siehe Salpeter.
 Ammoniumsulfat, Eigenschaften 05 I 184
 Ammoniumsyngenit, künstlich 08 I 37
 Amphiphila antiquella, Tertiär, Florissant, Col. Repertorium 1905—1909.
 Ammotherium, Santa Cruz beds, Patagonien 1906 I 464
 Amnigenia boliviensis, Devon, Bolivia BB XXV 532
 Amonotis Rothpletzi, Trias, Niederl. Indien BB XXIV 193
 Amorphe Mineralien CBI 1909 324
 Ampasindava (Madagaskar), alkal. Gesteine 05 I 434
 Ampelopsis denticulatus, Braunkohle, Senftenberg 08 I 449
 Amphibamus grandiceps, Carbon, Nordamerika, Rekonstruktion 09 II 134
 Amphibien
 — Abstammung der geschwänzten 09 II 136
 — Haftorgane u. Kammplatteln 09 II 137
 — Seitenlinien 09 II 135
 — Nordamerika 09 II 132
 Amphibol
 — künstlich 08 I 20
 — Zusammensetzung 08 II 22
 — Biella, Piemont, Drusen im Syenit 06 II 36
 — Carrara, im Marmor 06 II 177
 — Cevadaes (Portugal), Osannit 08 I 24
 — Chiesonetal (Piemont), Pomaretto (Bergzucker) 09 II 205
 — Montorfano (Baveno) 07 I 40
 — Susatal, im Prosinid d. Rocca Bianca 06 II 105 ff.
 — Timaschewaja-Balka, Bez. Krivoj-Rog, cummingtonitähnlich 07 II 360
 — Vesuv 1906 1908 I 44. 208
 — siehe Hornblende
 — Kaersutit, Pargasit etc.
 Amphibole, top. Zahl, in Eruptivgesteinen CBI 1907 13
 Amphibolgabbro CBI 1905 408
 — Zentr.-Kaukasus 07 I 71
 Amphibolgabbroschiefer CBI 1905 407
 Amphibolgesteine
 — der krist. Schiefer, Klassifikation und Nomenklatur CBI 1905 407
 — Sterzing, Tirol BB XX 536
 Amphibolit CBI 1905 410
 — Belvidere Mountain, Vermont 07 II 218
 — Bozen, Porphyrygebiet BB XXVII 80
 — Ecuador, Ostkordillere 06 I 394

Amphibolit					
— Ederbach, Oetzal, Epidot-	CBI 1908	763			
— Elba, Einschluß im Granit v. S. Piero in Campo	1906	I	375		
— Enderby-Land, gedredsch	06	II	371		
— Grönland, westl. Nord-	07	I	247		
— Karolinen	05	II	72		
— Luisenburg bei Wunsiedel, im Granitkontakt	07	II	64		
— Ober-Mölltal, Kärnten	08	II	358		
— Oetzal	05	II	58		
— Presanellagruppe, nördl. Abhang	08	II	364		
— Prinzenberg b. Eberstadt	06	II	58		
— Raspenau, Böhmen, im körn. Kalk d. Kalkbergs	06	I	56		
— St. Gotthard (Südseite)	BB XXVII		176		
— Schwarzwald	07	II	67		
— Resorption an Blöcken im Granit des südlichen	CBI 1907		76		
— Sustenhörner, Aarmassiv, intrusiv	06	II	62		
— Syra, Granat-	09	II	226		
— zw. Visp und Brig, in Bündner Schiefen	05	II	222		
— Westalpen, Entstehg.	07	I	228		
— Zöptau, Mineralien	08	I	203		
— siehe auch Amphibolschiefer.					
Amphibolklinozoisitschiefer, zw. Visp u. Brig, in den Bündner Schiefen	05	II	222		
Amphibolmikrogabbro, Zentr.-Kaukasus	07	I	71		
Amphibolparagabbro	CBI 1905		408		
Amphibolperidotit, Schriesheim, Lagerungsweise	05	I	240		
Amphibolschiefer					
— Manhattan Island, New York, Entstehg.	06	I	227		
— Sächs. Mittelgebirge	09	II	214		
— siehe auch Peridotit.					
Amphiclinodonta Bittneri, Pachycardientuffe der Seiser Alp	05	I	180		
Amphicyon praeursor, Oligocän, Veringen, süd-deutsche Bohnerze 1908	I 123.		128		
Amphicyon superbus	1907	II	489		
Amphidolops, Kreide, Patagonien	05	I	169		
Amphiope, Gattung	09	II	481		
— Baquiei, Helvétien, St. Chrystol (Hérault)	09	II	481		
Amphiope neuparthi, Tertiar, Afrika	07	II	154		
Amphiperas Lhommei, Eocän, Paris	07	II	303		
Amphipora ramosa, Strin-gocephalenkalk, Machocha, Mähren	06	I	302		
Amphiproviverra, Fußskelett	07	II	491		
— Santacruzino, Patagonien	07	I	307		
Amphisphaera biporata u. Vinassai, Miocän, Italien	09	II	490		
Amphisphyra Moloti, Eocän, Paris	07	II	303		
Amphistegina d'ORBIGNY 1826	06	II	310		
Amphistylus elegans und Pantanelii, Miocän, Italien	09	II	490		
Amphoreopsis paucicamerata, Kohlenkalk, Insel Man	07	I	482		
Amplexus pulcher, Devon, Ostthüringen	BB XXIV		275		
Ampullina altilirata, Senon, Cardenas, Mexiko	08	I	102		
— Cureti, Cenoman, Südfrankreich	1907	II	131. 132		
— Pistati, Eocän, Paris	07	II	303		
Ampullopsis Faujasi, Cenoman, Südfrankreich	07	II	131		
Amyda aequa, crassa, egregia, exquisita, franciscae, mira u. salebrosa, Nordamerika	09	I	452		
Anacanthini d. britischen Museums	05	II	136		
Anacardioxylon magniporosum, westl. Verein. Staaten	09	I	149		
Anagymnites Torrensi, Muschelkalk, Himalaya	08	II	245		
Anaktoovuk series, Anaktoovuk-Plateau, Alaska	06	I	92		
Analeim, Bildung und Stabilitätsfeld	07	II	162		

Analcim				Anamorphismus (VAN HISE) CBI 1906 606. 608			
—	Kristallflächen	1906	I 1	Ananorites monticola,	Muschelkalk, Himalaya	08	II 245
—	Belfast	CBI 1908	176	Anapait, Kertsch u. Tama-	man	05	II 199
—	Böhmen (Schönfeld u. Kubatschkaberg), primär im Phonolith	08	I 376	Anaphryxis = Kontaktmetamorphose		06	II 200
—	Färöer	09	I 28	Anaptomorphidae, amerik. Eocän		05	I 333
—	Fassatal, Glühverlust	0	I 21	Anaptomorphinae, amerik. Eocän		05	I 335
—	Grönland, Ost-, im Basalt	06	II 184	Anaptomorphus aemulus u. homunculus, amerik. Eocän		05	I 335
—	Katzenbuckel, pseudomorph nach Nephelin	08	II 353	Anaschisma brachygnatha u. Browni, Amerika		09	II 129
—	Krebshöhe bei Schön-priesen, böhm. Mittelgebirge	CBI 1909	159	Anasirentes etc.		05	I 345
—	Lehre, im Liaston	05	I 38	— Greeni, Tropites-limestone, Byans		08	II 238
—	Maze, Japan	09	I 192	— Grimmi u. Hörnesi, ob. Trias, Sizilien		05	I 346
—	Palagonia, Begleiter	08	II 35	Anatas			
—	Sachalin	08	II 334	— Binnental		08	I 15
—	Seiser Alp, chem. Konstitution n. TSCHERMAK	09	II 194	— — Brechungsindizes		06	II 317
—	u. Substitutionsderivate (Silberanalcim etc.)	06	II 336	— — Krist. 1906 I 167		06	II 15
Analcimbasalt				— Montorfano (Baveno)		07	I 39
—	Beagle-Expedition	09	II 394	— Ottawa b. Pisek, im Goldsand		05	I 366
—	Highwood Mountains, Montana	06	II 374	— Somerville, Mass.		07	II 381
—	Neu-Süd-Wales, Sydney	1907	I 397. 400	Anatasreihe, Mineralien der, Norwegen, Granitpegmatitgänge d. südl. Anathese		08	I 352
—	Analcimphonolith, Böhmen	08	I 376	Anatibetites Hobsoni, Tropites-limestone, Byans		08	II 237
—	Analcimorphus, Santa Cruz beds, Patagonien	06	I 462	Anatina austinensis und texana, Boda limestone, Kreide, Nordamerika		06	I 308
—	Analcitherium, Santa Cruz beds, Patagonien	06	I 464	— cymbula, Hypersenon, Peterwardeiner Gebirge		06	II 268
—	Analysator, Halbschatten-Analyse	07	I 188	Anatomites Abertii, Archimedis, Arethusae, Arthaberi, Baldaceii, Bassanii, bifrons, Benekel, Böhmi, Bukowskii, Calcarai, Charondae, consanguineus, Curionii, Diodori, Distefanoi, Ducetii, elegans, formosus, Gelonis, Gioenii, inflatus, Klipsteini, Loezyi, Mariani, Ogilviei, Polyphemus, Pro-			
—	chemische oder opt. Bestimmung v. Mineralien	05	II 169				
—	mikrochemische	08	II 5				
—	qualitative, Anleitung	CBI 1906	616				
—	d. Silikate u. Carbonate	CBI 1908	48				
Analysen							
—	v. Eruptivgesteinen d. U. S. Geol. Survey 1884—1900	CBI 1905	210				
—	— — Diagramme v. IDDINGS	CBI 1905	249				
—	Gesteine der Verein. Staaten 1880—1903	05	I 410				
Anamesit							
—	Gießen und Allendorf a. Lumda	05	II 50				
—	Steinheim	07	I 229				

- serpinae, pulcher, Quinquinaensis, Rothpletzi, Sthesicorni und Timaei, ob. Trias, Sizilien 1905 I 346
- Anatomites expansus, Jura, Himalaya 05 II 320
- subintermittens, Subbullatus - Schichten, Amerika 06 II 300
- Anatropites margaritiformis u. nihalensis, Tropites-limestone, Byans 08 II 238
- Pilgrimii, tibetanische Klippen des Zentral-Himalaya 08 II 414
- Anauxit BREITHAUPT CBI 1909 332
- Bilin, aus Augit 08 II 307
- Anchi-eutektische und anchi-monominerale Eruptivgesteine 07 II 56
- Anchilophus, Bartonien, Castrais 05 II 302
- Eocän, Schweiz 06 II 289
- Anchistrum, Kreide, Patagonien 05 I 167
- Anchura condoniana, Kreide, Kalifornien 06 I 288
- Ancilla Milthersi, Oberesenon, Dänemark 06 I 309
- Ancistrodon splendens, Senon, Pederobba 05 II 482
- u. Pycnodus 05 II 483
- Ancodon parvus, Tertiär, Fayum 07 II 313
- Ancylitähnliche Ceritmineralien, westl. Rußland 05 I 375
- Ancyloceras Brancoi und Deecke, unt. Kreide, Helgoland 05 I 467
- Krekeleri, Granulatenkreide, westl. Münsterland 08 I 428
- Ancyloceras-Formen, russ. Neocom 06 I 465
- Ancylopoda
- Patagonien 05 II 467
- — Kreide 05 I 168
- Ancylosauridae (Ancylosaurus magniventris), ob. Kreide, Montana 09 I 440
- Ancylus deperditus, Mio-cän, Randeck CBI 1908 561
- Ancylus-See und Litorina-Meer, westl. Ostseebecken 07 I 118
- Andalusit
- Einwirkung von Radiumbromid CBI 1909 71
- Alpen, Lagerstätten 1908 II 67
- Brasilien, Brechungsindizes 06 II 317
- niederösterreich. Waldviertel, Pseudom. v. Sillimanit nach A. CBI 1908 251
- Steiermark, Koralpe 05 II 363
- Andalusit-Fibrolith-Schiefer, Monadnock Mountain, New Hampshire 06 II 215
- Andalusitführende Kontaktgesteine, Baden-Baden, am Granit CBI 1905 342
- Anden
- Argentinien, ob. Malm u. unt. Kreide BB XXIII 187
- Erdbeben im Westflügel d. südlichen 06 I 41
- siehe auch Kordillere u. Vor- und Zentral-kordillere, Vulkane etc.
- Andengesteine, Argentinien BB XXII 605
- Andesit
- Aranyostal, Ungarn 07 I 106
- Ararat, Pyroxen- u. Hypersthen- 07 I 391
- Argentinien BB XXII 582 ff.
- Basutoland 09 II 235
- Batakländer (Sumatra) BB XXVII 407 439
- Cambewana Range, N.S. Wales, basaltischer 07 I 398
- Crater Lake, Nat.-Park 05 I 253
- Ecuador 05 II 76
- Erdschias Dagh, Kleinasien 09 II 231
- Euganeen 08 II 203
- Grahamsland, Hornblende- 08 I 77
- Highwood Mountains, Montana 06 II 374
- John Day Basin, Hald's Cañon, Hypersthen- 05 II 234
- Karolinen, Hypersthen- 05 II 74
- Kaukasus, Augit-, u. Tuffe 06 I 389
- Korsika, Osani, Hypersthen- 07 II 405
- Lorne (Argyleshire) mit Tuffen, Old red 05 I 431
- Marianen, Augit- 05 II 74
- Mexiko, Tal von 08 I 239

Andesit				Anguillayus bathshebae			
— Montagne Pelée, Martinique, Auswürfling	1906	I	229	u. quadripinnis, Kreide, Libanon	1905	II	482
— — — Hypersthen-	CBI 1906		89	Angustella angulata, Pachycardientuffe, Seiser Alp	07	II	337
— Neuseeland, Nordinsel, Pyroxen-	07	I	395	Anhydrit			
— — Otago-Halbinsel	08	I	234	— Beziehung zu Schwerspat u. Cölestin	07	I	139
— Panamakanal	09	II	393	— Einwirkung von Radiumbromid	CBI 1909		71
— Puente del Inca, Aconcagua	BB XXIV		724	— künstl. Bildung			
— São Thomé, Hornblende-	05	II	76	CBI 1907 688 CBI 1909 25. 189			
— Senegal (Kap Vert)	08	I	228	— mikrochem. Reaktion CBI 1908			134
— Skye	06	II	64	— in ozean. Steinsalzlagerstätten bei 25°	05	I	192
— Sumatra, Vulkane	06	I	208	— — — — bei 83°	08	II	159
— Tepler Hochland				— Aussee, Zwilling	08	II	320
1906 II 353. 357	09	II	222	— Bessarabien, Chotinscher Kreis, im Gips	07	II	379
— Tripolis	07	I	67	— Eichsfeld, pegmatitischer, im Zechstein	09	II	425
Andesittuff, Lornedistrikt, Argyleshire, Old Red	05	I	431	— Ormuzinsel	08	II	336
Andorit, Bolivia, Oruro, Krist. etc.	08	II	337	— Simplotunnel, Krist.	05	I	33
Andradit, Dognacska, Anal.	CBI 1906		776	— — mit Einschlüssen von flüssiger CO ₂	08	I	34
Andrena ? clavula und sepulta, Tertiär, Florissant Col.	07	I	321	— Staßfurt, pleochroitisch	08	II	320
Androstrobus Seotti, Schweden	09	I	152	— Sudheim bei Northeim, Druckfestigkeit u. Mohr'sche Linien	09	II	121
Angiospermen, Entwicklung der Kenntnisse	09	I	145	Anhydritgehalt in Gesteinen, rascher Nachweis	CBI 1907		688
Angleisit				Anisactinella quadrilepta var. bicostata und Venetiana var. Broilii, Pachycardientuffe d. Seiser Alp	05	I	179
— Herstellung künstl. Kristalle	05	II	4	Anisolambda, Kreide, Patagonien	05	I	168
— Synthese und Aetzfiguren	09	I	348	— nodulosa, unt. Tert., Cañadón Blanco, Patagonien	05	I	498
— Altai, Sugatow'sche Grube	09	II	368	Anisorhizus, Kreide, Patagonien	05	I	168
— Broken Hill, Krist.	09	I	348	Anisotemnus, Kreide, Patagonien	05	I	168
— Mies, Krist.	06	II	24	Anisotrope Prismen			
— Monteponi (Sardinien), Krist.	05	II	360	— Minimalablenkung	08	II	142
— Nagolnij Krjasch, Donetzbecken	07	II	197	— — symmetr. Minimalablenkung	08	I	162
— Sardinien, Argentiera della Nurra, Portоторres	06	I	33	Anisotropie undurchsichtiger Substanzen, Erkennung, Messung u. Verwendung			
— Vesuv, von 1906, kristallisiert	08	I	207	CBI 1908 565. 597 CBI 1909 245			
Angola							
— Gesteine	05	II	76				
— Kreide der Küstenzone	06	II	111				
Angoumien, Teutoburger Wald, in den Osnig-Bergketten, unteres	06	II	102				

- Ankerit
 — Giglio-Insel b. Elba . 1907 II 37
 — Nagolnij Krjasch, Donetzbecken 07 II 195
 — Nagolnygebirge, Pseudom. v. Limonit nach der Spaltbarkeit des Ankerits CBI 1908 7
 — Ostalpen, Genesis . . CBI 1909 714
 — siehe Parankerit.
 Ankylosauridae 09 I 290
 Ännerödrit, Granitpegmatitgänge des südl. Norwegen 08 I 356
 Annularia axillaris, Saarbrücker Schichten . . 09 I 304
 — pseudostellata, Carbon, Vorkommen . . 09 II 492
 Annulariopsis inopinata, Carbon, Tonkin 08 I 310
 Anomale Aetzfiguren, Erklärung durch Strukturtheorie CBI 1907 111
 Anomale Kristallformen (d. Pikrinsäure) 05 II 333
 Anomalien, optische, regulärer Kristalle 07 I 182
 Anomalina ariminensis = Faujasina contraria, Ischia 06 II 310
 — spinimargo, Rupelton, Mainzer Becken 09 II 325
 Anomia Peroni, Cenoman, Südfrankreich 07 II 131
 Anomodontia, Systematik 1907 I 41. 480
 — Südafrika 07 I 318
 Anomodontier (Tamboeria Maraisi), pneumatisierter Wirbel, unt. Karruformation, Kapkolonie 06 I 310
 Anomosaurus Strunzi, deutscher Muschelkalk . . 08 I 292
 Anomozamites egyptiacus . . 07 II 500
 Anopaea Verbeeki und Windhouweri, Suluinseln 05 I 151
 Anoplonassa, Boldérien, Antwerpen 07 I 132
 Anoplophora asciaeformis, donacina, gregaria, lettica, montis fluvii u. postera, Schwaben . . BB XXV 83
 — lettica etc., Lettenkohle, Württemberg . CBI 1907 42
 Anoplothea (?) australis, Oakey Creek, Neu-Süd-Wales 1908 I 279
 Anorthit
 — Darstellung, Isomorphismus, Schmelzpunkt, therm. Eigenschaften 06 I 334
 — Kristallberechnung f. 2-kreis. Goniometer . . 07 I 2
 — künstlich durch Kristallisationschieferung . . 07 I 334
 — — durch Zusammenschmelzen 09 I 183
 — zusammengeschmolzen mit Albit, Schmelzkurven 07 II 22
 — — mit Diopsid BB XXIII 48
 — — — Schmelzkunkt 07 II 7
 — — — u. Magneteisen . . BB XXIII 54
 — — — und Olivin BB XXIII 58
 — — mit Elaolith 08 II 5
 — — mit Fayalit CBI 1906 150
 — — mit Hedenbergit u. Olivin CBI 1906 134
 — — mit Olivin CBI 1906 151
 — — mit Orthoklas und Olivin BB XXV 277
 — Vesuv, chem. Konstitution 05 I 25
 Anorthoklas, Analysen 09 I 372
 Anorthosit
 — Definition 05 I 413
 — Brome Mountain, Monte region Hills, Quebec 07 I 240
 — Laramie Range, Wyoming, mit Titanmagnet-eisen 07 I 76
 Anorthosität d. Kristalle 05 I 3
 Anpassungstypen, wichtigste, schwimmender Wirbeltiere CBI 1907 225
 Anpassungstypus von Metriorhynchus CBI 1907 225. 385
 Anreicherung d. ob. Teile d. Goldgänge 05 I 257
 Antalo-Kalk, Jura, Ostafrika BB XXVIII 159
 Antarecticum
 — Expedition der Belgica 06 II 97
 — Geologie durch deutsche Südpolarexpedition 06 II 51
 — Gesteine 09 II 75
 — — d. westlichen 06 II 71

- Antaretis, Windwirkungen 1906 II 352
- Antarkt. Schöpfungszentrum u. Ornithologie 05 I 338
- Antepithecus, Kreide, Argentinien 05 I 167
- Anthenea Schlumbergeri, Santonien, Aegypten 07 II 154
- Anthidium echumatum u. Scudderi, Florissant, Col. 07 I 321
- Antholites chinensis, Jura, China 07 II 342
- Antholithus Zeileri, Schweden 09 I 153
- Anthonya cantiana, Kreide, England 08 I 133
- Anthophyllit
— Fonte del Prete (Elba), im Biotit-Granitit 06 II 169
— Tabor 09 II 366
- Anthophyllitschiefer, Ebersteinburg b. Baden-Baden 09 II 66
- Anthracentomon latipenne, Carbon, Belgien 05 I 523
- Anthracit
— Ecuador, Penipe bei Penicuehu 06 I 396
— Kiautschou 06 II 370
- Anthracolithisches System, Perm, Zentral-Himalaya, Fossilien 05 II 281
- Anthracomartus palatinus, flözarme Abtgl. d. Steinkohlegeb., Breitenbach, Rheinpfalz 06 I 106
- Anthracomastax furcifer, Carbon, Belgien 05 I 523
- Anthracopalara falcipennis, Carbon, Belgien 05 I 523
- Anthracosia, Stellung CBl 1905 308
— Saar und Nahe, siehe Carbonicola.
— Fritschii u. thuringensis, Rotliegendes, Niederschlesien u. Böhmen 05 I 47
— und Palaeonodonta CBl 1908 65. 239
- Anthrotheriidae, Tertiär, Fayum 07 II 313
- Anthrophyopsis, Jura, Yorkshire-Küste 07 I 489
- Anthropodus Brancoi, Unterpliocän, Salmendingen u. Melchingen, Bohnerze 1908 I 125. 126
- Anthropoidea
— amerikan. Eocän 1905 I 328
— Systematik Festband 223
- Anthropoidenbecken, verglichen mit menschlichem CBl 1906 312
- Antigorit
— Struktur u. Entstehg. 06 II 57
— Ko-Grube, Nordmarken, pseudoregulär 05 II 185
— Ober-Mölltal, Kärnten 08 II 360
— Persberg in Werm-land, regulärer 05 II 184
— siehe auch Blätter-serpentin.
- Antiklinaltheorie für die Oelfelder
— Amerika 06 II 384
— Rumänien 06 II 392
- Antillen, kleine, Petro-graphie 06 II 376
- Antilope, Pliocän, Cueva Rubbia, Spanien 07 II 11
— cristata, Seegraben b. Leoben 05 II 305
- Antimon, heteromorphe Modifikationen
1907 I 17 08 II 155
- Antimonglanz
— Diathermansie u. Kristallisation 05 I 18
— Kristallisation 07 I 195
— opt. Eigenschaften 09 I 167
— Böhmen, krist. 08 II 10
— Calafuria sdl. Livorno, im Macigno 06 I 169
— Eichbergkogel a. Semmering, im Magnesit CBl 1908 281
— Kostajnik, Serbien, Umwandlg. in Stiblich und Schwefel 09 I 166
— Maltern u. Hochneukirchen (Niederösterreich) CBl 1908 282
— Martigné, Bretagne 09 II 241
— Shikoku, Japan, elektrisches Verhalten CBl 1905 465
— Antimonocker CBl 1909 330
— Procchio (Elba) = Valentinit 06 II 158
— Antimonsäuregele CBl 1909 330
— Antimonsilber, Markirch 09 I 24
— Antiperthit, kristalline Schiefer 05 II 362
— Antirhätikon, Geologie 08 I 251

- Aonoides-Schichten, Epidaurus (Argolis), Cephalopoden Festband 15
- Aostatal, Piemont, Mineralien 1907 II 35
- Apateodus, Chalk, England 05 II 137
- Apatit 09 I 318
- Nachweis durch Kochsalzschmelze CBI 1909 550
- opt. Anomalien etc. 09 II 29
- — des gesteinsbildenden CBI 1909 666
- Biella, Piemont, Drusen im Syenit 06 II 35
- Campaglia bei Varzo (Piemont) CBI 1905 19
- Cerro Mercado, Mexiko, im Eisenerz 05 II 201
- Elba, in den turmalinführ. Gängen im Granit v. San Piero in Campo 05 II 34
- — Grube Speranza CBI 1909 337
- Epprechtstein, Fichtelgeb., im Granit, Krist. etc. BB XXIII 581
- Finkenberg b. Bonn, im Basalt CBI 1908 420
- Gletsch am Rhône-gletscher, Krist. etc. CBI 1906 755
- Jumilla, Muttergestein 07 II 408
- Kimberley, De Beer's Grube, skelettförmig im Kimberlit CBI 1909 550
- Knappenwand, Brechungskoeffizienten CBI 1909 594
- Kragerö (Lindvikskollen), Krist. 08 I 193
- Lappland, Erzlagerstätten BB XXIV 548
- Luxullian, Cornwall, im Granit, Krist. etc. BB XXIII 581
- Malmberget, Schweden, krist. u. opt. 05 II 363
- Mayen, in Einschlüssen in der Lava 06 I 347
- Mt.-Apatite, Maine 09 I 19
- Ottawa, Canada 05 I 249
- Pisek, Böhmen, Lichtbrechung 06 II 23
- Priziac, Brechungskoeffizienten 08 II 143
- Schmiedeberg (Riesengeb.), im Granit CBI 1909 771
- Südafrika, im Granit 05 II 38
- Apatit
- Tonkerhoek, Deutsch-S.W.-Afrika 1909 I 97
- Vesuv von 1906 08 I 44
- (Osteolith u. Staffelit), Wesen CBI 1905 641
- siehe auch Phosphorit, Phosphate etc.
- Apennin
- Nummuliten, Einteilung 05 II 327
- vergl. mit Alpen 1909 II 258. 260
- salernitaner, Triasmellusken von Giffoni 06 I 108
- Apenninhalbinsel, geologischer Bau und Schweremessungen Festband 129
- Aphaneramma, Trias, Sticky Keep, Spitzbergen 07 I 150
- Aphelops, Miocän, Nordamerika 06 II 134
- Aphlebia dissoluta 08 I 155
- sub-Germari, Carbon, Hohengeroldseck bei Lahr 08 I 458
- Aphrosiderit, Toskana (Calci u. Verruca) 07 II 38
- Aphrostroma tenerum, Kohlenkalk, Namur 07 I 133
- Aphthalose
- in ozean. Steinsalzlager 05 I 192
- siehe auch Glaserit u. Arkanit.
- Apidium phiomense, Oligocän, Fayum 08 II 428
- Apis dormitans, Oligocän, Rott 08 II 112
- meliponoides, balt. Bernstein 07 I 320
- Aplit
- Belknap Mountains, New Hampshire 08 I 379
- Böhmen, Pyroxen- 06 II 361
- Cesana, Susatal, Piemont, Gang 06 I 376
- Cornwall, Zinnerz-lagerstätten BB XXVIII 6. 16
- Enderby-Land, gedredsch 06 II 371
- Kiautschou 06 II 366
- Koswinsky Kamen, Ural (Plagiaplit) 05 I 75
- Mieselen (Lauteraargletscher), Randfacies d. Protogyns 05 I 427

- Aplit
 — Neurode, Ganggestein d. Gabbro BB XXVI 482
 — Piz Giuf, östl. Aarmassiv 1906 I 372
 — Red Hill, Moultonboro, N. H. 09 II 389
 — Sustenhörner, Aarmassiv 06 II 62
 — Tuxer Kamm b. Sterzing BB XXII 494
 — siehe auch Granodioritaplit.
- Aplodontia major, Knochenhöhle Potter Creek Cave, Kalifornien 06 I 126
 — — fossilis, Kalifornien, Höhlendiluvium 07 I 299
 Apodes d. brit. Museums
 — engl. Chalk 05 II 135
 05 II 137
- Apophyllit
 — Albinisierung CBI 1906 80
 — Angreifbarkeit versch. Flächen durch HCl verschieden CBI 1907 210
 — gesteinsbildend und Physiographie CBI 1907 239
 — Kieselsäure n. TSCHERMAK (Seiser Alp) 09 II 194
 — Kontraktionsfiguren bei Behandlung mit Säuren 08 I 336
 — Typen, chemisch CBI 1906 79
 — Wassergehalt CBI 1909 681
 — Andreasberg, Fassatal, Guanajuato und Lake Superior, Glühverlust 06 I 27
 — Belfast CBI 1908 176
 — Erythraea 08 II 36
 — Färöer 09 I 28
 — Grönland, Ost-, im Basalt 06 II 184
 — Krehshöhe bei Schönriesen, Böhmisches Mittelgebirge CBI 1909 157
 — Maze, Japan 09 I 193
 — Mogy-guassu, São Paulo, Brasilien, im Diabas CBI 1906 331
 — Schweden, verschiedene Fundorte 07 II 371
 — Seiser Alp, chem. Konstitution nach TSCHERMAK 09 II 194
 — Sibirien, unt. Tersja 09 II 27
- Apophyllit
 — Fort Point, San Francisco, Cal., Quarzseudom. n. A. 1905 I 205
 — Traversella 08 II 316
 — Zöptau, Mähren 06 I 344
- Apophyllitgruppe, Mineralien der CBI 1906 79
- Aporrhais bicarinata, mittl. Gault, Algermissen 05 I 317
 — crepidatus, machaerophorus und minutus, Hyperesenon, Peterwardeiner Gebirge 06 II 268
 — hirundo, Kreide, Kieslingswalde 05 I 300
 — Koeneni, Palaeocän, Rugard, Kattegat 08 II 103
- Apparat zur Trennung v. Mineralien nach dem spezifischen Gewicht 06 I 160
- Apsendesia patagonica, Tertiär, Patagonien 05 II 141
- Apsidocrinus Remesi, Definition und Körperform Festband 304
- Aptien
 — Delagoa-Bay BB XXVIII 201
 — Norddeutschland, Gliederung CBI 1908 211
- Aptychus crassissimus, cf. exsculptus u. laevis-brevis, Malm—Tithon, argent. Cordillere BB XXIII 202
- Apulien, Lepidocyclinen von Otranto, Alter 08 II 283
- Aquitanien-Stufe
 — Entre-deux-mers 05 II 433
 — Frankreich 08 II 407
- Aragonit
 — Brechungsexponenten 08 I 183
 — Kristallsystem 05 II 16
 — künstl. Darstellung 06 I 24
 — Skelette der Kalkschwämme CBI 1905 582
 — Umwandlung in Kalkspat 08 I 17
 — Umwandlung in Kalkspat, paläoz. Korallen, Ostthüringen BB XXIV 252
 — Verhalten zu gew. Lösungen (Alkalicarbonate, Kobaltlösungen etc.) 05 II 356

Aragonit					
— Bessarabien, Chotinscher Kreis, im Gips	1907 II	378.	379		
— Dänemark, faseriger, ist Kalkspat	1908 I		201		
— Grönland, östliches, im Basalt	06 II		183		
— Kertsch u. Taman	05 II		200		
— Krebshöhe b. Schönpriesen, Böhmisches Mittelgebirge	CBI 1909		158		
— Markirch	09 I		23		
— Nagolnij Krjásch, Donetz-Becken	07 II		196		
— Plauen i. Vogtlande	CBI 1908		372		
— Poggio Orlando (Siena), Schwefelgruben	08 II		336		
— Sachalin	08 II		334		
— Sarul Dornei, Rumänien	07 II		357		
— Weitendorf (Steiermark), auf Hohlräumen im Basalt	BB XXVII		251		
— und Kalkspat, Vergleich der Lichtbrechung	06 II		307		
Aralia brittoniana u. matawanensis, Matawan-Formation, New Jersey	07 I		495		
— veronensis	07 II		505		
Aralinium excellens, Lindgreni, multiradiatum u. parenchymaticum, westl. Verein. Staaten	09 I		149		
Aranyos-Gruppe, siebenbürg. Erzgebirge, Geologie	1906 I	262.	263		
Aranyos-Tal, Ungarn, Geologie	07 I		106		
Arapahoe-Gletscher, Colorado	05 I		56		
Ararat, Andesite etc.	07 I		391		
Araucanische Formation, Patagonien	05 I		142		
Araucaria, fossil u. rezent	08 I		158		
Araucarioxylon obscurum	07 II		501		
Araucarites arizonaeum, monilifer u. shinarumpensis	07 II		502		
— pennsylvanicus und yorkensis	07 II		500		
Aravis-Kette, savoy. Alpen, Geologie	05 II		250		
Arca, von LAMARCK etikettierte Arten des Musée de Paris	1905 I		358		
— algermissensis, mittl. Gault, Algermissen	05 I		317		
— aviculoides, Spasser Schiefer, Kreide, Ostkarpathen	07 I		436		
— Balli, Campanien, Aegypten	05 II		285		
— Blanfordi, Tertiär, Ormara-Kap, Mekran-küste, Beludschistan	06 I		118		
— Dumasi u. namnetensis, Eocän, Loire inférieure	06 I		154		
— Jekaterinoslavica, Tertiär, Mandrikowka	06 I		468		
— Mareso-Teutobochus, Senon, Mittel-Peru	BB XXIV		109		
— mimula u. paralactea, ? Eocän, Kamerun	06 II		123		
— mixta, parallelogramma, praerudis, proxima, subbarbatula u. subsinuata, Eocän, Loire inférieure	06 I		155		
— Morgani, Senon, Südpersien	06 I		445		
— symica, Hypersenon, Peterwardeiner Gebirge	06 II		268		
— tenuicrenata, Bathonien, St. Gaultier (Indre)	08 I		262		
— (Palaearea) Turnbulli, Haverfordwest District	06 II		307		
Arcestes Andersoni, Pseudomonotis beds, Humboldt Range	06 II		301		
— (Proarcestes) ausseanus u. Gaytani, Aonoides-Schichten, Epidaurus (Argolis)	Festband		20		
— (Pararcestes) petrosensis, subdimidiatus und trilabiatus, ladin. Stufe, Dobrudscha	08 I		420		
Arcestiden, Rassenpersistenz	CBI 1909		194		
Archaeasterias rhenana u. Porenstellung paläoz. Seesterne	CBI 1907		741		
Archaische Bildungen, Fennoskandia, östl.	CBI 1907		37		
Archaeobelus vellicatus, Perm, Illinois	08 I		292		

- Archaeoceti (Urwale), Gehirn 1906 I 147
 — Eocän, Aegypten 09 II 119
- Archaeocidarid Regio-
 montana, Culm, Kö-
 nigsberg b. Gießen BB XXVIII 653
- Archaeocylus, Kreide,
 Calcasacco (Termini-
 Imerese) 09 II 150
- Archaeohyracidae, Pata-
 gonien 05 II 466
- Archaeohyrax, Kreide,
 Patagonien 05 I 167
 — gracilis, unt. Tert.,
 Cañadón Blanco, Pata-
 gonien 05 I 498
- Archaeolemur Majori,
 Madagaskar 06 II 446
- Archaeolepas decora, Krei-
 de, Schaumburg-Lip-
 pesche Mulde 06 I 441
- Archaeolithen, craquelier-
 te, Tasmanien 09 I 73
 — mit Feuereinwirkung,
 Thenay u. Tasmanien CBI 1908 748
- Archaeologische Abschnit-
 te, verglichen mit geo-
 logischen des Quartär 08 II 424
- Archaeopithecidae, Ar-
 chaeopithecus, Kreide,
 Patagonien 05 I 167
- Archaeopteropos trans-
 siens, Aquitanien,
 Mte. Viale, Vicentin 05 II 472
- Archaeorycteropus Gal-
 liae, Eocän, Mouillae 07 I 464
- Archaeosigillaria, Mittel-
 devon, New York 08 II 450
- Archaeozonites angulosus
 u. deplanatus, Alt-
 tertiär, Ulm 08 II 104
 — carinatus u. eocaenicus,
 Alttertiär, Giengen b.
 Ulm 08 II 104
 — costatus, Tertiär, Rand-
 eck CBI 1908 589
- Archaeutatus, Kreide, Pata-
 gonien 05 I 170
- Archaicum
 — Finnland u. benach-
 bartes Rußland CBI 1906 600
 — Gereese-Gebirge, Un-
 garn CBI 1905 391
 — Grönland, westliches
 Nord- 07 I 244
 — Lake Superior-Gegend 05 I 75
- Archaicum
 — Lexen-Braune, West-
 mähren 1905 II 234
 — Pontesford, Shropshire 05 II 391
 — Skandinavien, Eisen-
 erze 09 I 391
 — Unterengadin, Lischen-
 nagruppe 07 I 96
 — u. Postarchaicum, Seen-
 region, Nordamerika 07 I 74
 Archegosaurus, Bau 09 II 131
 — ornatus, Permo-Car-
 bon, Kaschmir 08 I 416
 Archhelenis CBI 1908 184
- Archicapsa euganea und
 micropora, Scaglia,
 Euganeen 06 I 475
- Archicorys fossilis u. mi-
 nima, Kreide, Euga-
 neen 06 I 474
- Archimylaeris belgica u.
 carbonis, Carbon, Bel-
 gien 05 I 523
 — Desaillyi, Carbon,
 Nordfrankreich 08 II 110
- Archinotis CBI 1908 184
- Archipel
 — indischer, mesozoisches
 Land u. Meer 07 I 107
 — indo-australischer, Geo-
 logie . BB XXII 385 CBI 1909 563
- Archoblattina = Megablat-
 tina 05 I 524
- Arcopagia heronnatensis,
 Eocän, Paris 07 II 302
 — namnetensis, Eocän,
 Loire inférieure 07 II 302
- Arcoptera Schlosseri, St.
 Cassian 07 II 337
- Aretopithecini, amerik.
 Eocän 05 I 329
- Ardennen, metamorph.
 Gebiete 09 I 110
- Ardennit, chem. Konsti-
 tution 06 I 340
- Ardon-Fenster, Liserne-
 Tal, Wallis 09 II 258
- Arenberger Schichten, Ter-
 tiär, Rhein 09 I 241
- Argentiera della Nurra,
 Portоторres, Sardinien,
 Mineralien 06 I 31
- Argentinien
 — Andengesteine . . BB XXII 605
 — Cordillere, ob. Malm
 u. unt. Kreide . . BB XXIII 187

- Argentinien
 — devon. Fauna, Jachal 1906 I 302
 — Erzlagerstätten d. Provinz S. Luis 05 I 259
 — foss. Austern 05 I 358
 — Geologie d. Vorcordillere 05 II 269
 — jungvulkan. Gesteine BB XX 555
 — Meteorit von El Perdito CBI 1906 716
 — Mineralien d. Sierra de Cordoba 07 II 198
 — Paläontologie d. Wirbeltiere 06 II 124
 — Säugetiere 1905 I 157, 167
 — Kreide u. Tertiär 05 I 132
 — Tertiär CBI 1908 185
 — Tiefengesteine BB XXII 605, 624
 Argentit, siehe Silberglanz.
 Argentodomeykit, künstl. 05 II 5
 Argolis, Trias BB XXI 220 BB XXV 443
 CBI 1906 270
 Argon in Thermen 08 I 364
 Argyrocinetae, Argyrocineta, Boldérien, Antwerpen 07 I 136
 Argyrodit
 — Freiberg i. S. (Bescherer Glück) CBI 1908 331
 — Potosi 08 II 12
 Argyrolestes, Kreide, Patagonien 05 I 169
 Arides Klima, geograph. Zyklus, westl. Unionstaaten u. Westasien 07 I 48
 Arietites altesulcatus var. involuta, carinatus var. antiqua, obtusus var. vulgaris, pseudospiralis, raricostatoides, spiratissimus var. simplex, subrejeatus u. ultraspiratus var. costosa, Unterlias, Al-sorakos, Ungarn 09 II 139
 — himalayanus, Lias, tibetan. Klippen des Zentral-Himalaya 08 II 414
 Arikaree-Formation, Tertiär, Wyoming-Nebraska 06 I 268
 Arionellus balticus, Silur, Upsala 06 I 102
 Aristolochiaephyllum cellulare 07 II 505
- Arizona
 — Erzlagerstätten und Geologie des Cherry Creek District 1908 I 396
 — Geologie 09 I 422
 — Kupfererzlagerstätten 07 II 419
 — Petrographie der Tucson Mountains, Pimalo 07 II 230
 Arkanit, Konstitution BB XXIV 1
 — in ozean. Steinsalzlagerstätten 05 I 192
 — siehe auch Aphthalose.
 Arkose, Rhein. Schiefergebirge, Carbon 09 II 217
 Arktische Gebiete, Expedition der Fram 1898—1902 06 II 96
 Arktische Provinz, Trias 06 I 414
 Armadill, Bridger Eocän, Nordamerika 05 II 125
 Arminiheringia u. Arminiheringiidae, Kreide, Patagonien 05 I 169
 Arnaudiella Grossouvrei 08 I 307
 Arnioceras abjectum, anomaliferum, carenatum, crassiplicatum, dissimile, elegans, fallax, insigne, insolitum, italicum, mendax, munitum, pluriplicatum, rejeatum, simile, speciosum, spirale, Lias, Monte di Cetona 05 I 175
 Arpadites (Clionites) Catharinae, Cassianer Schichten, Epidauros (Argolis) Festband 13
 — Ferdinandi, Aonoides-Schichten, Epidauros (Argolis) Festband 26
 — Gabbi, Subbullatus-Schichten, Kalifornien 06 II 305
 — (Dittmarites) Redlichi, ladin. Stufe, Dobrudscha 08 I 419
 ARRHENIUS' Kohlensäuretheorie der Eiszeit
 CBI 1909 481, 539, 660
 Arsen, Markkirch 09 I 25
 Arsenselotter, Tertiär, Oesterreich 05 II 437
 Arsenatgele CBI 1909 330
 Arsenblüte, Markkirch 09 I 25

Arseneisenquelle, S. Orsola b. Pergine, Südtirol	1909 II 373		
Arseneisensinter	CBI 1909	330	
Arsenige Säure			
— Lichtentwicklung b. Kristallisieren	07 I	19	
— Tribolumineszenz	07 I	18	
Arsen kies			
— Brosso u. Traversella	08 I	41	
— Couasme-Hügel bei Rennes	05 I	372	
— Elba, turmalinführende Gänge im Granit von San Piero in Campo	05 II	34	
— Markirch	09 I	26	
— Nagolnij Krjasch, Donetz-Becken	07 II	194	
— Schmiedeberg (Riesengeb.), im Granit	CBI 1909	772	
— Sulitjelma, Norwegen, Co-haltig	06 I	14	
Arsenolamprit, Markirch	09 I	25	
Arsen-Phosphor-Gruppe, heteromorphe Modifikationen	08 II	155	
Arsensulfid, SCHULLER-sches = Dimorphin	08 II	294	
Arsinoitherium, Bedeutung für Geschichte der Säugetiere	09 I	438	
— Eocän, Aegypten	06 I	448	
— Aegypten, Fayum 1905	II 306.	308	
Artbestimmung, systematische	BB XXII	639	
Artefakten	07 I	449 ff.	
— Belgien	08 I	438	
— — Rocourt lez-Liège, Eolithen im Tertiärsand	09 I	107	
— Couliège (Jura)	08 II	424	
— England	09 I	123	
— Holland, Diluvium	10 I	454	
— Mte Amiata, von Feuerstein im Kieselerde-lager	06 I	235	
— St. Acheul	09 I	283	
— Thenay u. Tasmanien, craquelierte Feuersteine im Oligocän	CBI 1908	748	
— siehe auch Archaeolithen, Eolithen, Mensch, etc.			
Artesische Brunnen			
— Theorie	06 II	192	
— Italien, Modena	05 I	54	
Artesische Brunnen			
— Italien, zw. Rom und den Mti. Laziali	1906 II	79	
— — zw. Viareggio und Pietrasanta	06 II	79	
— Großzössen b. Borna (Leipzig)	06 I	403	
— Montreal	09 II	379	
Artesischer Naturbrunnen, Schlock, Livland	07 II	50	
Arthraster senonensis, Senon, Yonne-Département	06 I	320	
Arthropleura armata, Carbon, Saarbrücken	CBI 1909	753	
Artinsk-Horizont, Obercarbon, Ural u. Timan	05 I	536	
Arvicola (Tyrrhenicola) Henseli, Quartär, westliches Mittelmeergebirge	07 I	459	
Asaphinella gouetensis, Eocän, Loire inf.	07 II	302	
Åsar			
— Norddeutschland	06 II	435	
— Pommern u. Rügen	07 I	117	
— Schönlanke (Posen)	09 I	108	
Asbest			
— Färbung durch organ. Farbstoffe	XXVIII	371	
— Vorkommen und Gewinnung	07 II	23	
— Belvidere Mountain, Vermout	07 II	218	
— Canada, Entstehung der Adern im Serpentin	07 I	405	
— Easton, New Jersey, Anal. d. weißen	06 I	354	
— Nordamerika, Chrysotil-	05 I	209	
— — Produktion 1902	05 I	209	
— — — 1903	05 II	22	
— Ural, Lagerstätten 1909	II 41.	346	
— — — Schtschutsché-See b. Jekaterinburg	09 II	41	
— — Pseudomorphose nach Magnet Eisen	09 II	346	
— siehe auch Amianth, Chrysotil etc.			
Asbestähnliches Mineral, Mexiko, Rancho del Ahuacatillo, Michoacan	06 I	342	
Ascharit, künstl. Darstellung	08 II	163	

- Asche vulkanische
 — Norddeutschland als
 Staubfall 6. I. 08 . . . 1909 I 55
 — Mt. Pelée, Martinique
 1902 05 I 405
 — Vesuv, Eruption 1906
 1908 I 43 1909 I 46 CBI 1906 497
 — 1906, mineralog.
 Zusammensetzung . . . 08 I 44
 — Westindien 1905 I 404. 405
 — siehe auch Vesuv.
 Aschenlagen, Beweis für
 Gleichaltrigkeit der
 Schichten 08 II 339
 Ascheschichten, westbal-
 tische, eocäne . . . CBI 1907 680
 Aschenstruktur, vogtländ.
 Diabase 05 II 212
 Aschen- (und Tuff-)
 Schichten, westbal-
 tische eocäne CBI 1907 680
 Ascodictyon floreale, par-
 vulum und sparsum . . . 05 II 486
 Asien
 — Geologie n. FUTTERER . . . 09 II 360
 — — zwischen dem Alai-
 Gebirge und Sutchou . . . 06 I 97
 — nutzbare Mineralien
 von Zentral- 07 II 247
 — Trias in der Lethaea
 geognostica 06 I 410
 Asinische Stufe (NEGRIS)
 Argolis CBI 1909 81
 Askja, Island, vulkan.
 Erscheinungen . . . BB XXVI 381
 Asmanit und Quarz in
 feuerfesten Ziegeln . . . 09 II 14
 Asmithwoodwardia, Krei-
 de, Patagonien 05 I 168
 Asmodeus, Patagonien,
 Extremitäten 07 II 138
 Aspendesia patagonica,
 Tertiär, Patagonien . . . 05 II 141
 Aspenites acutus, Meeko-
 ceras beds, Amerika . . . 06 II 302
 Asperipes avipes, Carbon,
 Ost-Canada 05 I 339
 Asperolith CBI 1909 331
 Asphalt
 — Bahrein-Insel, pers.
 Golf 07 I 85
 — Jjebu-Distr., Lagos,
 Anal. 07 I 87
 — Mettenheim, Rhein-
 pfalz 07 I 83
 — Ragusa (Sizilien) . . . 05 I 261
 Asphalt, Trinidad, sogen.
 Manjak 1907 I 86
 Asphaltkalk, Frankreich
 (Gard etc.) 08 II 222
 — siehe Bergpech etc.
 Asphaltstiefer, Bara-Bai
 (Buru), Molukken,
 chem. Zusammensetzg.
 und Ammoniten BB XXII 686. 691
 Aspideretes austerus, el-
 lipticus, fontanus,
 grangeri, ? nassau,
 puercensis, sagatus,
 singularis, splendidus
 u. vorax, Nordamerika . . . 09 I 452
 — granifer, Nordamerika . . . 09 I 450
 Aspidiaria 05 I 539
 Aspidites Hooveri, Meeko-
 ceras beds, Kalifornien . . . 06 II 305
 Aspidoceras andium,
 euomphalum, rogoz-
 nizense u. Steinmanni,
 Kimmeridge — Titon,
 argent. Cordillere . . . BB XXIII 189
 — Argobbal, irregulare,
 somalicum u. supra-
 spinosum, ob. Jura,
 Somaliland 06 I 281
 — cajense, fallax, phos-
 phoriticum u. zaca-
 tecanum 07 II 470
 — cf. Lemani, Jura, See-
 voralpen 06 I 110
 — longispinum-orthocera,
 Acanthicus-Schichten,
 Giebhübl 08 I 264
 — mazapilense 07 II 469
 — ovale u. Vetteri 07 II 443
 — robustum, unt. Krei-
 de, Helgoland 05 I 466
 Aspidosaurus chilon,
 Perm, Texas 07 I 148
 Aspidosoma Schmidtii,
 Siegener Schichten . . . 09 I 134
 Aspidostoma giganteum
 = Ortmanni, hexago-
 nalis u. porifera, Ter-
 tiär, Patagonien 05 II 141
 Asplenites cladophleboides,
 Rhät, Bornholm 08 I 451
 Asplenium Gerassinovi,
 Jura, Ost-Transbaik-
 alien 09 I 463
 Assilina, Priabona 08 I 139
 — Di-Stefanoi, Vallone
 Tre Pietre 09 I 296

Assilina Formai u. sub- Formai var. granulata, mamillata var. picena, Paronai u. pulchra, Tertiär, Apennin	1905	II	327	Asteroconites savuticus, Trias, Savu, niederl. Indien	BB XXIV 213
— madaraszii var. orbitoidea, Borneo	08	II	288	Asterolepis Rhenanus = Pterichthys Rhenanus	CBI 1909 491
Assimineae elatior, Eocän, Paris	07	II	303	Asteromys, Kreide, Patagonien	1905 I 169
Assuan				Asterophyllites axillaris, Saarbrücker Schichten	09 I 304
— Nilkatarakte, Geologie	07	I	424	Asterostemma, Santa Cruz beds, Patagonien	06 I 456
— — Strudellöcher	05	I	409	Asterotheca Cottoni, Carbon, Tonkin	08 I 309
Astacus (Potamobius) antiquus, Kreide, Schaumburg-Lippesche Mulde	06	I	441	Astieria Guebhardi, Unterkreide, Escragnolles	05 II 322
Astarte cantabrigiensis, claxbiensis, Omalioides, senecta u. upwarensis, Kreide, England	08	I	133	— Klaatschi u. irregularis, Hauterivien, Frankreich	09 I 90
— couzonensis, Doncieuxi, Grangei u. subdepressa, Zone d. Lioc. concavum, Couzon-aumont-d'Or b. Lyon	05	I	464	Astieria-Formen von Holcostephanus	09 I 77
— dacotensis, Jura, Black Hills	08	I	264	Astochitgneis, Grönland, westl. Nord-	07 I 246
— excavatoides u. levilimbata, Jura, Moskau etc.	05	I	131	Astraeomorpha Zlatarskii, Trias, Kotel, Bulgarien	CBI 1905 482
— Griesbachi, Kreide, Pondoland	07	II	306	Astraeopora hexaphylla u. octophylla, Kreide, Ostgalizien	09 I 294
— hemiornata (Eriphyla), ob. Kreide, Alvincz	05	I	302	Astragalus, Gelenkflächen bei Säugetieren	07 I 475
— Lefebvrei, Turon, Aegypten	05	II	285	Astragalus-Perforation b. Säugetieren	07 I 466
— lotharingica u. Nicklesi, Eisenerzformation, Lothringen u. Luxemburg	06	I	305	Astrakanit	
— Scrivenori, Jura, Singapore	07	I	287	— Bildung unter 25° in ozean. Salzlager	06 I 163
— subplanissima (Eriphyla), Hyperesenon, Peterwardeiner Gebirge	06	II	268	— ob. Existenzgrenze	05 I 192
— sylvensis	07	II	453	— Chile	09 II 204
Astegotherium, Kreide, Patagonien	05	I	170	Astralium densiporcatum, Hofmanni u. undatocoronatum, Hyperesenon, Peterwardeiner Gebirge	06 II 267
Asteriden, siehe Seesterne.				Astraponotus, Kreide, Patagonien	05 I 168
Asterina Perrieri, rezent, Südamerika	07	II	154	Astraponotus-Schichten, Kreide, Patagonien	05 I 170
Asteroceras ceratiticum, exiguum, permutatum, Reynesi, varians, venustum u. volubile, Lias, Monte de Cetona	1905	I	175	Astrapothericulus Iheringi, Zahnsystem	05 II 454
	06	II	142	Astrapothericulus-Schichten, Tertiär, Patagonien	BB XXI 174
				Astrapotheriidae u. Astrapotheroidea, Patagonien	1905 I 168. 497
				Astrapotheroidea, Zahnsystem	05 II 462

- Astrapotherium, Patagonien, Extremitäten . 1907 II 136
- Astrocoenia bulgarica u. fuscina, Trias, Kotel, Bulgarien CBI 1905 482
- Guebhardti, Jura, Frankreich 07 I 487
- hexaphylloides, Kreide, Ostgalizien 09 I 294
- pygmaea, Senon, Portugal 07 I 487
- Astropecten Wilkensi, Kreide, Patagonien . 07 II 154
- Astrorhizidae, System d. leb. u. foss. 05 II 328
- Atakamit, Argentiera della Nurra, Portotorres, Sardinien . . 06 I 31
- Ataphrus Hudlestoni, Zone d. Lioc. concavum, Couzon-au-Mont-d'Or b. Lyon 05 I 464
- reductus, Kreide, Oregon (Bouches-du-Rhône) 06 I 318
- Ataxaster pygmaeus, Untersilur, Böhmen . . 08 I 135
- Atherina austriaca, Oolithen, Tertiär, Oesterreich 07 I 481
- Athyris aliena, Siegener Schichten, Seifen b. Driedorf 05 I 316
- ambonensis, vorjurassisch, Ambon BB XXV 301
- concentrica, Devon, Ostthüringen BB XXIV 291
- expansa, untercarbon. Transgressionsmeer, Tian Schan BB XXVI 239
- — planosulcata, Roysii u. squamosa, Culm, Königsberg b. Gießen BB XXVIII 628 ff.
- cf. Roysii, untercarb. Transgressionsmeer, Tian Schan BB XXVI 222
- Atlant. Küstenregion, Nordamerika, Strukturlinien 07 I 378
- Atlant. Ozean, Sedimente, Tier- u. Pflanzenwelt d. nördlichen 05 I 424
- Atlant. Sippe d. Eruptivgesteine 05 II 52
- Atlantosauridae 09 I 289
- Atmosphäre, chem. und geol. Geschichte . . 1908 I 210
- ein elektro-pneumat. Motor 05 I 57
- Atomgewicht, Verhältnis zur Dichte bei Elementen 05 II 170
- Atopit, Miguel Burnier-Grube, Minas Geraës, Brasilien CBI 1905 240
- Atopodonta namnetensis, Eocän, Loire inf. . . . 07 II 302
- Atractites = Actinocamax Atractites paliformis, Trias, Dobrudscha 08 I 419
- Philippii, Subbullatus-Schichten, Amerika . . 06 II 307
- Smithii, Muschelkalk, Himalaya 08 II 241
- Vinassai, Muschelkalk, Montenegro . . . 05 II 141
- Atrypa reticularis, Devon, Ostthüringen BB XXIV 287
- Attendorn-Elsper Doppelpmulde, Stratigraphie . 09 I 241
- Aturia lincientensis, Landenien, Lincen, Belgien 08 I 304
- praeziczac, Blättermergel von Theben (Aegypten) 06 II 122
- Atys paucistriatus 07 II 453
- Aucella Strongi, Fort Benton-Schichten, Los Cerillos (Neu-Mexiko) . . 08 I 436
- Aucellen, Kreide, Balaclava (Krim) 08 I 445
- Auflösung
- und Wachstum der Kristalle CBI 1906 664
- der Zwillinge BB XXIII 323
- Auflösungs- und Wachstumsgeschwindigkeit d. Kristalle 1908 II 150, 151
- Aufnahmen, geologische, siehe geologische Aufnahmen etc.
- Aufrechte Stämme, Carbon, Belgien 05 I 458
- Aufschüttungsgebiet subaquat. Rutschungen, überzählige Schichtung 08 II 154
- Aufschüttungsringe, aeolische, an Firnflecken, Island CBI 1909 180

- Augelit, Bolivia, Oruro u.
Tatasi 1908 II 337
- Augit
— Ausscheidung aus
Schmelzflüssen 1908 II 15. 23
— krist. Verwitterungs-
produkt 09 II 344
— protogener, im Basalt
u. Verwachsung mit
Olivin 07 II 59
— in Silikatschmelzen
BB XXII 198. 207. 245
— zusammengesmolzen
mit Albit u. Magnetit BB XXII 194
— mit Eläolith und
Magnetit BB XXII 202
— — mit Enstatit und
Oligoklas BB XXVII 604
— — mit Labrador und
Magnetit 08 II 16
— — mit Olivin u. La-
brador 08 II 8
— — — und Magnetit
BB XXII 211. 219
— Bilin, Umwandlung in
Anauxit und Cimolite 08 II 307
— Canale Monterano
(Rom) im Tuff 06 I 170
— Hessen, Verwachsung
rhomb. u. monokl. im
Basalt CBI 1907 372
— Ottawa Co., Kanada,
im Pyroxenit, Analyse
— Paschkopale b. Bores-
lau, chemisch 09 I 341
— siehe auch Pyroxen,
Diopsid etc.
- Augitaggregate, Finken-
berg b. Bonn, im Bas-
alt CBI 1908 418
- Augitandesit, Molukken 05 I 109
- Augit-Arten, zusammen-
geschmolzen CBI 1906 571
- Augit, Böhmen, zwischen
Böhm.-Kamnitz und
Kreibitz 06 II 359
- Augitorthophyr
— Wilhelmsblick b. Harz-
burg, im Kontakthof
des Brockens, u. Tuffe 06 I 215
— Tirol, südliches 05 II 63
- Augitporphyrit
— Altenplateau, Bozen
BB XXVII 145
— Kiautschou 06 II 369
— Ort, Fassatal CBI 1905 54
- Augitsodalithsyenit, Led-
more, Nordschottland BB XXII 445
- Augitsyenit, Tasmanien,
quarzarmer 1908 I 388
- Aulacocidaris Lamberti,
Ptérocérieren, Savoyen 05 II 326
— Micheleti, Neocom,
Basses-Alpes 07 II 154
- Aulacostephanus zacate-
canus, Jura, Mexiko
1907 I 279 07 II 469
- Aurichalcit
— Cornwall CBI 1905 191
— Otavi, S.-W.-Afrika . CBI 1906 388
- Auricula anversiensis, Eo-
cän, Paris 07 II 303
- Aurignacien u. Moustérien 09 I 126
- Auripigment
— Alchar, Krist. 05 I 370
— Carrara, im Marmor 07 I 215
— Stanz im Müritzal
(Steiermark) CBI 1908 281
- Ausbrüche, vulkanische,
Abhängigkeit von Spal-
ten . . CBI 1909 97. 129. 321. 526
- Ausdehnung der Silikat-
schmelzen beim Er-
starren 09 II 329
- Ausflockung d. Kolloide 08 II 151
- Ausgleichsströmungen, Ein-
fluß auf Sedimentation BB XXV 367
- Auslöschungsschiefe
— Messung CBI 1905 276
— — in Dünnschliffen . 09 II 161
- Auslöschungswinkel der
Flächen einer Zone . 07 II 3
- Ausscheidung
— aus Silikatschmelzen
CBI 1905 361 CBI 1906 132
— aus dem Basalt, Fin-
kenberg b. Bonn CBI 1908 422. 711
- Ausscheidungsfolge
— in Eruptivgesteinen,
phys.-chem. Gesetze . 09 I 367
— der Mineralien aus Si-
likatschmelzen 06 II 5
1908 II 1 BB XXII 234. 256
BB XXIII 43 CBI 1906 195
— — — — — Einfluß
der Viskosität . . . CBI 1906 195
— von Silikaten aus
Schmelzen bei 2 und 3
Komponenten . . BB XXIII 43
- Austenit
— im künstl. Eisen . . . 06 I 243
— Verhalten 08 I 237

- Austern, Argentinien . . . 1905 I 358
 Austernbank am Panderkliff, Quartär, Syll
 BB XXI 205 BB XXII 173
 Australasien, Trias . . . 06 I 415
 Australien
 — Geologie und Gesteine 1907 I 395 ff.
 — Menschenspur im Sandstein von War-rambool (Victoria) . CBl 1907 498
 — Mitteldevon u. Carbon, Korallen 07 I 155
 — paläoz. Korallen . . . 07 I 155
 — prähistor. Mensch . . . 06 II 269
 — radioaktive Mineralien 07 I 11
 Australisch-indischer Archipel, Geologie . . . BB XXII 385
 CBl 1908 503 CBl 1909 563
 Australit, kosmischer Ursprung CBl 1908 737
 Auswürflinge, vulkanische, Ries 06 II 203
 Autunit, Entwässerung etc. 05 II 369
 Auvergne, Interpretation von Gesteinsanalysen 05 II 210
 Auvergnosen, Korngröße 07 II 215
 Avalonia Sanfordi zu Gresslyosaurus ingens 09 I 287
 Avicula Arnaudi, Cenoman, Südfrankreich . 07 II 131
 — arthonensis, Eocän, Loire inférieure . . . 06 I 154
 — gansingensis, Schwaben BB XXV 76
 — hirundo (Leiopteria), Culm, Königsberg b. Gießen BB XXVIII 635
 — kieslingswaldensis, Kreide, Kieslingswalde 05 I 301
 — Moloti, Eocän, Paris 07 II 303
 — ? pernoides u. pusilla, Devon, Ostthüringen BB XXIV 292
 — subaizyensis, Palaeocen, Saratow 05 II 121
 — vulgaris, Kreide, Schaumburg-Lippesche Mulde 06 I 441
 — Wähneri (Oxytoma), Bellerophonschichten, Bosnien 05 I 105
 — und Gervillia, Lettenkohle, Württemberg . CBl 1907 27
 Aviculopecten impressus u. subfimbriatus, Culm, Königsberg b. Gießen BB XXVIII 634
 Awaruit
 — Josephine-Bezirk, Oregon, chemisch 1906 I 330
 — Josephine Co., Oregon u. South Fork, Smith River, Del Norte Co., Kalifornien 06 II 155
 Axinaea fimbriata, Eocän, Loire inférieure . . . 06 I 155
 — gouetensis, Eocän, Loire inférieure . . . 06 I 154
 Axinit
 — Biella, Piemont, Drusen im Syenit 06 II 39
 — Cornwall, kontaktmetamorphisch im Kalk 09 II 205
 — Kalifornien 07 II 42
 — Kristiania, Kontaktbildung CBl 1909 406
 — Nordamerika, Edelstein 07 II 42
 — Obira, Japan 09 I 33
 Axinus regularis, Paläocän, Rugaard, Kattegat 08 II 103
 — volskensis, Paläocen, Saratow 05 II 121
 Azuay, Vulkan, Ecuador, Gesteine 06 I 392
- ## B.
- BABINET'scher Kompensator, Dispersionsformel d. Doppelbrechg. im Quarz CBl 1905 23
 Bača-Tal u. Wocheiner Save, Geol. 05 I 448
 Bacherosion, Vrchlicebach b. Kuttenberg, Böhmen CBl 1907 429
 Baetrites carbonarius, Untercarbon, Nordamerika 05 I 526
 Bactryllien, Lettenkohle, Schwaben BB XXV 116
 Baculites asperoanceps, Senon, Texas 06 I 314
 — Bailyi u. capensis, Kreide, Pondoland . . . 07 II 306
 — brevicosta, Kreide, Bregenzer Wald . BB XXVII 19
 — Fairbanksi, Kreide, Kalifornien 06 I 288
 Baculogypsina 08 I 308

- Baculogypsina Bonarellii,
Eocän, Celebes 1908 II 286
— Meneghinii 05 II 488
Baddeleyit, Ceylon, Krist.
1909 I 179 CBI 1907 410
Baden, geolog. Ueber-
sichtskarte 1906 II 84
CBI 1908 556. 589. 610. 651
Baden-Baden, Uebergangs-
gebirge 09 II 65
Badiolites (Buchites) Ald-
drovandii, Trias, H.
Andreas BB XXV 462
Baëna antiqua, Belly ri-
ver beds, Red Deer
river, Nordamerika 07 I 439
— clara, emiliae, escava-
da, riparia u. sima,
Nordamerika 09 I 452
— pulchra, Bell River
beds, Alberta, Canada 06 II 137
Bär, neolith. Fauna, Mit-
telrhein 06 II 441
Bären, Pleistocän. Eng-
land 08 I 438
Bäreninsel, obertriadische
Fauna 05 II 110
BAER'sches Gesetz der
Abweichung d. Flüsse 07 I 382
Baiera delicatula, Trias-
Jura, Victoria (Austra-
lien) 08 I 150
— Guilhaumati, Carbon,
Tonkin 08 I 310
— moltenensis, Rhät,
Südafrika 08 I 454
— Wiesneri, Lias, österr.
Voralpen 08 II 448
Baikalsee, polarer Seen-
typus 05 I 408
Bairdia dentata u. ro-
strata, Lias, Schwaben 09 II 320
Bairdien, Lettenkohle u.
Keuper, Schwaben BB XXV 114
Bakerit, Kalifornien 05 I 36
Bakony, älterer Jura d.
nordöstl. b. Csernye 05 II 426
Balaena Svedenborgii
zweifelhaft 09 I 437
— Tannenbergi = B. my-
sticus 09 I 437
Balaenopteriden, Borbo-
lya, Kom. Sopron, im
ob. Mediterran 05 II 305
Balangoda-Gruppe, Cey-
lon 06 I 182
Balatonites shoshonensis,
mittl. Trias, Nevada 1906 II 305
Balchasch-See, Süßwasser 06 II 194
Balkanhalbinsel, meso-
zoische Formationen
der südwestlichen BB XXI 213
Balneologie, Beziehung z.
Geologie 06 I 403
Balticum, Silur des nörd-
lichen (Upsala) 06 I 102
Baltische Endmoräne, Be-
ziehg. zum Thorn—
Eberswalder Haupttal 06 II 435
Baltische eocäne Tuff-
(Asche-) Schichten,
Westbalticum CBI 1907 680
Baltische Länder, süd-
liche, Wirkung des
skandinav. Erdbebens,
23. Okt. 1904 06 I 200
Baltische Sedimente, siehe
südbaltische Sedimente CBI 1905 97
Baltischer Eisstrom, Pos-
sen, jüngerer 05 I 473
Bambanagites Kraffti,
Tropites-limestone,
Byans 08 II 239
Banaba, siehe Ozean Is-
land 05 II 424
Bandai-Bogen, Ostasien 05 I 126
Banded jasper, Hospital
Hill, Johannesburg CBI 1906 772
Baptanodon, Jura, Osteo-
logie 1906 I 311
— Reedi, Jura, Wyoming 08 II 441
— robustus, Osteologie
1906 II 136 09 I 447
Baptemys fluviatilis und
tricarinata, Nordame-
rika 09 I 452
Bara-Bai (Buru), Mo-
lukken, Ammoniten d.
Asphaltschiefers BB XXII 686
Barbatia meridiana, Krei-
de, Pondoland 07 II 306
Barchane, Clifton b. Ka-
rachi, Indien 05 II 417
— Südperu CBI 1906 373
Barillopus unguifer, Car-
bon, Ostanada 05 I 339
Barkevikit, Bodenmais,
optisch 05 II 193
Baropezia sydnensis, Car-
bon, Ostanada 05 I 339
Baropus unguifer, Car-
bon, Joggins, N. S. 05 I 340

Barranca de San Pablo, Mexiko	1908 II 115	Basalt	
Barrämien, Norddeutsch- land, Gliederung	CBI 1908 162	— mit Rhönit	BB XXIV 475
Barroisiceras . Brancoi, Mungokalk, Kamerun	05 I 153	— Vanadiumgehalt	1907 I 411
— Haueri, Kreide	07 II 149	— Beagle-Expedition	09 II 394
— Hyatti, Buda lime- stone, Kreide, Nord- amerika	06 I 309	— Ajnäskö, Kom. Gö- mör, Burgberg, Lak- kolith	05 II 383
Barypoda, neue Ungu- latenordnung	06 II 135	— Antarticum, Gaus- Berg, Leucit	1906 II 51 08 I 75
Barysit, Långban	07 II 27	— Antarktis	09 II 76
Baryt, siehe Schwerspat.		— Aouache, Ostafrika	07 II 415
Barytfeldspat	05 II 18	— Argentinien	BB XXII 602
— Candoglia, im Calci- phyr (Paracelsian)	08 II 174	— Baden, Freiburg i. Br., Gänge d. Umgegend	CBI 1908 261
— siehe Celsian u. Para- celsian.		— bad. Oberland, Nephel- lin-	06 II 60
Barytheriidae, Tertiär, Fayum	07 II 313	— — Wartenberg bei Geisingen 1907 II 403	09 II 67
Barytocölestin		— Basutoland	09 II 235
— ist Schwerspat	09 II 360	— Böhmen, zw. Böhm.- Kamnitz u. Kreibitz	06 II 358
— Binmental	1909 I 345. 346	— — Böhml.-Leipa und Dauba	08 II 62
Baryum und Strontium, Verbreitung in Erd- kruste	1906 II 73 07 II 400	— — Jakuben, Nephel- lin-, Einschlüsse	08 I 58
Baryum-Aluminium-Phos- phate, Diamantsand, Brasilien	08 I 32	— — Kosel bei Böhm.- Leipa	07 I 62
Baryumcarbonat bei höherer Temperatur	08 I 16	— — Melnik	07 I 59
Baryumchlorid, orientier- te Auflagerung auf Uranocireit	05 II 368	— — Tepler Hochland, u. andere basalt. Erguß- gesteine 1906 II 355	09 II 221
Baryumchlorür u. -bro- mür, Isomorphismus	08 I 319	— böhm. Erzgebirge, Rothau, u. Einschlüsse	BB XXIII 485
Baryumchromat, künstl. Kristalle	06 I 30	— böhm. Mittelgeb. (Groß- priesen)	05 I 272
Baryumgehalt d. Spalten- wässer u. Schwerspat- bildung, Westfalen	06 II 73	— — Kostenblatt— Milleschau	06 II 82
Baryumkalifeldspate, Zu- sammensetzung etc.	05 II 18	— Bühl b. Kassel, eisen- haltig	1907 II 13 CBI 1907 276
Baryumnitrat, Isomorphie mit Bleinitrat	08 II 171	— Buru, West-, ind.- austral. Archipel, Mel- lith-	BB XXIV 149
Baryumquecksilberbromid zur Trennung von Mi- neralien	08 II 2	— Cassel, am Bühl, mit Eisen	1907 II 13 CBI 1907 276
Basalt		— Ecuador	05 II 76
— Ausdehnung beim Er- starren	09 I 51	— Erdschias Dagh, Klein- asien	09 II 234
— Einschlüsse (Xenoli- the)	09 II 59	— Färöer CBI 1908 675	CBI 1909 778
— kokkolithischer Zer- fall	CBI 1909 371	— — mit ged. Kupfer	09 II 396
		— — mit Zeolithen	09 I 27
		— Finkenbergr. b. Bonn, Urausscheidungen	CBI 1908 417
		— Franz-Josephs-Land	09 II 396
		— Gerona u. Olot, Katalo- nien	09 I 222

Basalt

— Grahamsland	1908	I	77
— Grönland, Mineralien	CBI 1908		344
— — — im östlichen	06	II	182
— — — Uifak, Disko, eisenhaltig	09	II	167
— — — westl. Nord-	07	I	250
— — — u. Eisen v.			
— Uifak	08	I	235
— Haßgau	08	II	368
— Hebriden, Beziehung zu Dolerit	08	I	222
— Heiligenstadt in Oberfranken, u. Tektonik d. Frankenjura	CBI 1906		390
— Hessen, Verwitterung d. Olivin u. Verwachsung d. rhomb. u. monokl. Augits	CBI 1907		372
— — Bühl b. Cassel, ged. Eisen 1907 II 13	CBI 1907		276
— — Gießau u. Alledorf	05	II	50
— — Oberwiddersheim, Mandelauströmung im Anamesit	CBI 1905		142
— — östl. d. Linie Wabern—Gensungen	07	II	403
— — Reinhardswald b. Cassel, Lagerung	05	II	287
— — Roßberg b. Darmstadt	06	I	367
— — Schwälmer Land	BB XXIII		345
— — Steinheim, Anamesit	07	I	229
— — Vogelsberg, Bahn Grebenhain—Gedern	06	II	59
— — — Westrand	07	I	230
— — — und Wetterau, technisch	05	I	438
— — Holland, Diluvialgeschiebe, bes. Groningen	CBI 1906		118
— — Irland, Einschlüsse	09	II	59
— — Island, u. Tuffe	CBI 1909		622
— — Italien, Aci Castello-Gegend	05	I	48
— — Aetna, Radioaktivität	07	I	11
— — Coppaeli, Bolsener Gebiet, mellithfüh.	05	II	224
— — Cyclopheninseln, Einschlüsse	07	I	389
— — Euganeen	08	II	204
— — Sardinien, Coloru, im nördl.	08	II	45
— — — Monte Ferru	08	II	227

Basalt

— Italien, Ustica	1909	II	71
— Kairo u. Suez, Beziehung zum versteinerten Wald	07	I	393
— Kapkolonie, Tuffröhren	07	II	114
— Karolinen, Nephelin-Katzenbuckel	05	II	74
— — —	08	II	350
— — — Kaukasus	06	I	389
— — — Kiautschou, Feldspat-Mährisch-Ostrau, Anal.	06	II	369
— — — Massiac (Cantal), Alter	08	I	378
— — — Mexiko, Pflanzeneinschlüsse u. Schlacke	08	II	406
— — — Mexiko-Tal	09	II	393
— — — Mittelmeergebiet, westliches, titanreich	08	I	239
— — —	1909	I	64
— — — Mullion, Irland, Cornwall, Feldspat-, Struktur u. Hornsteingehalt	09	II	226
— — — Neuseeland, Otago-Halbinsel	05	II	387
— — — Neu-Süd-Wales, Analcim-, Sydney	08	I	234
— — — Leucit- u. Olivin	1907	I	397. 400
— — — Nephelin-	07	I	403
— — — Capertee-Tal	07	I	401
— — — Olivin-, Sydney, chemisch	07	I	396
— — — Cambewana Range	07	I	400 ff.
— — — Niederrhein, Einschlüsse von Graphit u. Molybdänglanz	07	I	398
— — — mit Kupfer und Kupferverbindungen	CBI 1908		97
— — — siehe auch Rhein.	CBI 1908		705
— — — Nordamerika, Arizona, Tucson Mountains, Pima Co.	07	II	230
— — — Crater Lake, National Park	05	I	253
— — — Highwood Mountains, Montana	06	II	373
— — — John Day Basin, Cherry Creek, Quarz	05	II	234
— — — Santa Cruz Mountains, San Mateo Co., Cal.	06	II	372
— — — Norddeutschland, erratisch, im Diluvium	09	II	64
— — — Odenwald, Gänge im inneren	CBI 1907		69
— — — Mitlechtern, Hornblende	CBI 1907		69

Basalt				Basalteisenstein, Vogels-		
— Odenwald, nördlicher	1909	II	380	berg, Nordrand	1907	I 77
— Ottendorf, Schlesien,				Basalthütte, Mte Ferru,		
Anal. d. Verwitterungs-				Sardinien	BB XXI	38
produkte	05	I	200	Basaltische Gesteine, Ver-		
— Panamakanal	09	II	393	breitung d. Aenigmatit	CBI 1906	206
— Rhein, Statistisches . .	09	II	379	Basaltmaare, Taunus . . .	07	I 228
— — Kuckstein b. Ober-				Basaltschlacken GOETHE'S,		
kassel u. Solling, la-				Karlsbad	05	I 256
teritähn. Umwandlg.	06	II	53	Basaltstrom, Ploaghe,		
— — Petersberg (Sieben-				Sardinien	09	II 228
gebirge), metamorpho-				Basalttuff		
sierte Einschlüsse . . .	09	II	379	— Oststeiermark	08	I 61
— siehe auch Nieder-				— Schwäb. Alb, Aus-		
rhein.				würfl. krist. Schiefer		
— Rowley Regis (Staf-				u. Tiefengesteine . . .	07	I 387
fordshire), Verwitterg.,				Basanit		
vergl. mit Lateritbil-				— Böhmen, zw. Böhm.-		
dung bei Bombay . . .	07	I	391	Kamnitz u. Kreibitz	06	II 359
— Roth a. d. Rhön	05	II	212	— — Tepler Hochland	06	II 355
— Sankt Helena, Feld-				— Vesuv, Eruption 1906	CBI 1906	497
spat- u. Tuff	05	II	76	Basel, Keuperflora der		
— Sawaii, Feldspat- . . .	05	II	75	Neuen Welt	07	I 492
— Schonen, mikroskop.				Basische Gänge, Caer-		
Strukturbilder	CBI 1906		117	narvonshire	05	II 389
— Schwäb. Alb, u. Tuffe	06	II	205	Basische Schlieren im Gra-		
— Senegal (Cap Vert) . .	08	I	228	nit, Schlesien	06	II 198
— Skye	06	II	64	Basler Jura, Glazial . . .	05	I 311
— Somaliland, Feldspat-	05	I	248	Basophile Färbung von		
— Steiermark, Gleichen-				Mineralien durch or-		
berg	06	I	408	gan. Farbstoffe	BB XXVIII	342
— — Kapfenstein, Bom-				Basterotia acuta, Eocän,		
ben u. Einschlüsse . . .	CBI 1908		297	Paris	07	II 303
— — Weitendorf u. Mi-				Bastit, Beziehung zu Au-		
neralien der Hohlräume				git im Basalt	07	II 59
				Basutoland, alte Vulkane	09	II 234
				Batakländer (Sumatra),		
				Ergußgesteine	BB XXVII	401
				Batholith		
				— Cascade Mountain Cal.,		
				Okanagen	09	I 68
				— Marysville-Distrikt,		
				Montana	09	I 74
				Bathropyramis rara, Scag-		
				lia, Euganeen	06	I 475
				Bathygnathus borealis,		
				Perm. Prince Edward		
				Island, Canada	08	I 297
				Batrachierfährten,		
				— Carbon, Joggins N. S.	05	I 340
				— — Oscanada	05	I 339
				Batrachosuchus Browni,		
				Karru-Schichten, Ali-		
				wal North, Südafrika	07	I 313
				Baumaterialien, Deutsch-		
				land u. Griechenland	08	II 217

Baumhauerit, Binnental, Krist.	1905	I	19	Beerbachit, Odenwald	CBI 1907	123
Baumstamm				Behringstraße, Tektonik	1908	I 409
— Belgien, Carbon, aufrecht	05	I	458	Belbites disodilis, mitteloocän. Dysodil, Melilli, Sizilien	05	II 152
— Chemnitz, verkieselter, Rotliegendes	08	I	311	Belemniten		
— New York, Mitteldevon	08	II	449	— Arme	07	II 493
Baumstämme, verkieselte, Island, Ostküste	CBI 1908		66	— in der Chablais-Breccie	09	I 401
Bauschanalysen von Gesteinen, Interpretation	05	II	209	Belemnites im Cenoman, Nordwestdeutschland	06	II 426
Bausteine				— Abeli, fellabrunnensis u. minaretoides, Tithonklippen, Niederfellabrunn	06	I 440
— abgekürzte Wetterbeständigkeitsprobe	08	II	218	— absoluti, indo-austral. Archipel	CBI 1909	563
— natürliche	CBI 1908		762	— africanus, dicoelus u. Gerardi	CBI 1909	563
— Verwitterung a. Kölner Dom	07	II	42	— alfuricus, galoi, talia-buticus, sularum, mollucanus	07	II 447
Bauxit	CBI 1909		326	— Lacombei, Kreide, nördl. Madagaskar	07	I 429
— Vanadiumgehalt	07	I	411	— miatchkoviensis	05	I 131
— Bihar Gebirge, Ungarn, Lagerstätten	07	I	260	— obtusus, Jura, Black Hills	08	I 264
— Georgia	06	II	161	— patagoniensis, untere Kreide, Patagonien	BB XXV	640
— Indien, Entstehung	06	II	330	— ultimus, Varians-Pläner, Misburg b. Hannover	06	I 316
— Italien	05	I	22	— ultimus-Schichten, Dithmarschen	CBI 1906	275
— vom Kuckstein b. Oberkassel u. Solling	06	II	53	Belemnoid, Chalk, Flamborough Head	05	I 356
— Montpellier etc., Färbung durch organ. Farbstoffe	BB XXVIII		373	Belgien		
— Vogelsberg, Färbung durch organ. Farbstoffe	BB XXVIII		374	— aufrechte Stämme im Carbon	05	I 458
— Magnetismus	07	I	43	— Campine, Carbon	05	I 455
— siehe auch Laterit.				— — Untergrund	05	I 450
Baveno, Mineralien von Montorfano	07	I	39	— Carbon, Insekten	05	I 523
Bayern				— Kohlenbecken d. nördlichen	05	I 127
— Faciesentwicklung der Oligocänmolasse im südlichen	CBI 1906		576	— Kohlenkalk, Echinodermen d. schwarzen Marmors von Dinant	05	II 147
— nutzbare Mineralien u. Gesteine	CBI 1907		245. 247	— Kreide	1906	I 289. 290
— Petroleum	07	II	127	— Mosasaurier	05	II 308
Bayreuth, Muschelkalkfauna	09	I	131	— Quartär, Gliederung, Schotter etc.	05	I 477 ff.
Bayrischer Wald				— Remonchamps-Höhle, Artefakte	05	I 322
— Grundgebirge	05	I	235	— Tertiär	07	I 442
— Westrand zw. Regentstau f. u. der Bodewöhlerbucht	BB XXI		468	— Wealdenflora v. Bernissart	07	I 491
Beagle-Expedition, Gesteine	09	II	394	— u. Westfalen, Carbon	05	I 456
Beckelith, Balka Wali-Tarama, im Mariupolit	06	I	341			

- Belgrandia cf. Deydiei,
Pliocän, Cueva Rub-
bia, Spanien 1907 II 21
- Belit im Portlandzement
Belknäp Mountains, N.
Hampshire, Gesteine
1907 II 236 08 I 379
- Belledonne-Kette
— Dauphiné, Geol. der
südlichen 07 II 263
— Tektonik 05 I 283
— Zusammensetzung der
Gesteine 06 I 378
- Bellelay, bern. Jura, tek-
ton. Karte 05 II 247
- Bellerophon bicarenus,
reticulatus, textilis u.
spec., Culm, Königs-
berg b. Gießen BB XXVIII 645
- globosus u. var. acuta,
Devon, Bolivia BB XXV 504
- (Bucania) subaënsis,
Bellerophonschichten,
Bosnien 05 I 105
- Bellerophonkalk, Cadore,
Fauna u. Alter 06 I 52
- Belly river beds, Nord-
amerika, Wirbeltiere 07 I 439
- Belonorhynchus ident mit
Saurichthys CBI 1909 58
- Belonostomus, Beziehung
zu Belonorhynchus u.
Saurichthys CBI 1909 58
- Beludschistan, Tertiär d.
Kap Ormara, Mekran-
küste 06 I 118
- Beluga, Boldérien, Ant-
werpen 07 I 132
- Belvedereschotter, alter
1905 II 437 CBI 1908 386
- Belzungia Borneti, Ter-
tiär (Thanétien), Bon-
court (Oise) 08 II 406
- Benedius deneensis, Car-
bon, Denée, Belgien 05 II 481
- Benettites, Struktur d.
Blätter 07 II 504
- Benitoit
— Kalifornien, San Be-
nito River 1908 II 301. 303
— — — Kristallform
CBI 1909 293. 410. 592
- Benkovac-Novigrad, Dal-
matien, Geol. 05 I 454
- Benthem-Isterberger Sat-
tel, Querprofil 09 I 410
- Benthos, Vernichtung d.
subaquat. Rutschung 1908 II 156
- Benzoylcamphorylhydro-
xylamin, aktiv, Krist. 07 I 98
- Benzoylmethylhexanon-
oxym, opt. Isomerie CBI 1905 178
- Berardius, Boldérien, Ant-
werpen 07 I 132
- Berechnung v. Gesteins-
analysen, Molekular-
quotienten 05 I 57
- Berellaia Allixi u. Bonneti,
Eocän, Paris 07 II 303
- Bergakademie Freiberg,
Geschichte 07 I 371
- Bergkalk mit Sandstein-
gängen, Snelston
(Derbyshire) 05 II 388
- Bergkristall
— nicht homogen 07 II 20
— Umwandlung in den
amorphen Zustand
durch Schmelzen 05 II 14
— Zwettl, niederösterr.
Waldviertel CBI 1908 251
- Friedeberg (Österr.-
Schlesien), Kontakt 07 II 34
— Indien 05 II 69
— — krist. u. opt. 05 II 69
— siehe auch Quarz.
- Bergman series, Alaska,
nördl. 06 I 93
- Bergpech, Dzyschra-Berg,
Abchasien 06 I 230
— siehe auch Asphalt etc.
- Bergrutsch, Mte. di Avane
b. Pisa, altalluvial 05 I 57
- Bergschläge 1908 II 57 09 II 211
- Bergschlipfe, Volterra 06 II 349
- Bergstürze im Gefolge der
Eiszeit (Interglazial) 08 II 339
- Bergsturz, Godesberg a.
Rhein 07 I 225
- Bergzucker, Chiesonetal
(Piemont), Pomaretto 09 II 205
- Berici, Colli 06 II 244
- Berlin
— Alter der Paludinen-
schichten, Beziehung
zu ältester Vereisung
bei Rüdersdorf und
Hamburg CBI 1906 181
— Diluvium 07 II 465
- Berner Alpen, Geol.
1905 I 276 07 II 439
- Berner Jura, geol. Karte 09 I 400

Berner Voralpen, Horn- fluh, Geol.	1907	I	99	Beryll			
Bernoullia lunzensis, Lun- zer Schichten	09	I	465	— Ural, Lipowka, = Wo- robejffit	1909	II	21
Bernstein				— Val d'Antoliva u. di Cosasca, Piemont	07	I	204
— Beziehung zu Birmit	08	I	357	Beryllonit, Stoneham, Brechungskoeffizienten	08	II	143
— — Rumänit	08	II	326	Beskiden, Geologie	06	II	405
— Brechungskoeffizienten	07	I	211	Bessarabien			
— gebrannter	08	I	358	— Erdbeben	06	I	42
— Säugetierhaare	07	II	485	— Tertiär, Moldau	06	I	407
— baltischer, Käfer	07	I	323	Bessarabische Unterstufe, sarmat. Stufe, Moldau	05	I	470
— — Borkenkäfer	08	II	112	Bestimmung der Mineralien			
— Dänemark, im Tertiär- ton	06	I	347	— mikroskopische, mittels Brechungskoeffizienten	CBI 1906		551
— Nordamerika				— —	CBI 1906	246.	522. 745
1906 I 358	07	II	43	— nach äußeren Kenn- zeichen, Weisbach	CBI 1906		480
— Ostpreußen, Flora	09	I	307	Beudanti-Gruppe, Kreide- ammoniten, Krim	06	I	315
— Rumänien u. Beziehg. zu Retiniten	1908	I	357	Beuteltierknochen, Austr- alien, Cunningham-Gold- feld	07	I	458
1908 I 357	08	II	326	Bewegungen			
— Samland, Vorkommen in d. „blauen Erde“	05	II	287	— der Erdkruste	05	I	222
Berrias, Ostafrika	BB XXVIII		187	— junge, Anden und Schweiz	05	I	232
Berriasella tlachiacensis u. Xipei, unt. Kreide, Patagonien	BB XXV		623	— des Landes, New York	07	I	51
Berthelinia? elongata, Eocän, Loire inférieure	07	II	302	— siehe Bodenbewegungen.			
BERTRAND, MARCEL, Ne- krolog			419	Bewegungsgruppen, 32 endliche, bei Kristallen	07	I	2
Bertrandit				Beyrichia argentina, De- von, Bolivia	BB XXV		502
— Cornwall	CBI 1905		30	— — Jachal, Argen- tinien	06	I	303
— Sankt Gotthard (Fib- bia)=Hessenbergit	05	II	23	— cf. striatisulcata und subcylindrica, Devon, Ostthüringen	BB XXIV		303
Berwyn Hills, Wales, Eruptivgesteine	05	II	386	Biarritz			
Berycopsis major, Chalk, England	05	II	137	— Fossilien aus den blauen Mergeln von Côte des Basques	06	II	439
Beryll				— Nummulitenschichten	05	II	288
— Färbung durch Ra- dium	07	II	171	— tert. Foraminiferen	06	II	311
— Adun-Tschilon, Krist.	05	II	192	Bieberbaue, Obermiocän, Nebraska u. Wyoming, = Daemonelix	07	I	460
— Alexander Co., N. C., Rolle d. Wassers	09	II	19	Bieber, siehe auch Castor.			
— Brasilien, krist. und phys.	BB XXV		135	Bieberit, künstl., Krist., Biella, Piemont, Minera- lien in Syenitdrusen	06	II	33
— Cañyon, Col., etc.	09	I	30	Bigenerina elegans, Leon- hardi, Milchi, Suma- trana u. Wysogorskyi, Obercarbon, Sumatra	07	I	327
— Elba, Krist.	05	II	23				
— Kalifornien, Krist.	07	II	182				
— — Diego County	08	II	27				
— — u. Utah, Edelstein	07	II	42				
— Neu-Süd-Wales, Krist.	06	I	360				
— Schmiedeberg (Rie- sengeb.), im Granit	CBI 1909		771				
— Tonkerhoek, Deutsch- S.-W.-Afrika	09	I	98				

- Bildung u. Umwandlung von Mischkristallen u. Doppelsalzen in den binären Systemen d. dimorphen Sulfate von Li, Na, Ka und Ag BB XXIV 1
- Billitonit
— kosmischer Ursprung CBI 1908 737
— siehe auch Tektit, Moldawit, Australit etc.
— Brechungskoeffizient . CBI 1909 467
- Biloculina angusta, Balcombian deposits, Victoria (Austr.) 1908 I 305
— paradoxa, Clavulina
— Szaboi-Schichten, Kruhel maly bei Przemysl 06 I 472
— — unteres Oligocän, Kruhel maly b. Przemysl 1905 I 320 05 II 434
Biloculinen, fossile 07 II 340
- Bimicroporella ventricosa, Tertiär, Patagonien 05 II 141
- Bimsstein
— Ustica 09 II 72
— Westerwald, rhein. Ursprung 05 II 430
- Bimssteinsand, Westerwald, Alter u. Lagerung 07 II 61
- Binäre Schmelzen, Kristallisationsgeschwindigkeit 06 I 7
- Binnenseen, umgestaltende Vorgänge 07 I 116
- Binnental
— Beschreibung d. Steinbruchs v. Lengenbach CBI 1907 93
— Hutchinsonit, Smithit u. Trechmannit . . . CBI 1905 283
— Mineralien
1906 I 167 1906 II 15. 27. 30
1908 I 204 CBI 1905 30. 490. 752
CBI 1908 52
- Binnit, Binnental, Zwilling CBI 1908 52
- Biotit 09 I 319
— chem. Konstitution . CBI 1907 51
— — Unterschied in Granit und Gneis . . CBI 1907 613
— Einwirkung von Radiumbromid CBI 1909 69
— pleochroit. Höfe . . CBI 1909 117
— Temperatur, bei der H₂O entweicht . . . CBI 1908 518
— Canale Monterone (Rom), im Tuff 06 I 172
- Biotit
— Easton, New Jersey, chem. 1906 I 353
— Schmieberg (Riesengeb.), im Granit CBI 1909 770
— Vesuv 1906 08 I 44
— siehe auch Glimmer.
- Biotitglimmerschiefer, Pizzo Forno, Tessin BB XXVI 506
- Biotitporphyr, Kiautschou 06 II 367
- Biotitschiefer
— Enderby-Land, gedredsch 06 II 371
— Gotthardtunnel, chemisch BB XXVII 191
- Biradiolites Aguilerae, cardenasensis u. potosianus, Senon, Cardenas, Mexiko 08 I 102
— persicus, Kreide, Südpersien 06 I 443
- Birma, Jadeit CBI 1906 97
- Birmit, Beziehung z. Bernstein 08 I 357
- Bisbee, Arizona, Kupfererze 05 I 41
— Quadrangle, Arizona, Geologie u. Erzlagstätte 06 I 175
- Bischoffit, Kristallform u. Deformationen, optisch 06 I 92
- Bishop'sche Sammlung von „Jade“-Gegenständen, New York 05 I 30
- Bisilikate von Ca u. Mn, Isomorphismus und Schmelzung 09 II 343
- Bismit, Pala, Cal. 05 I 17
- Bithinia Pistati, Eocän, Paris 07 II 303
— pisum, Cenoman, Südf Frankreich 07 II 132
- Bithynische Halbinsel, Aufbau CBI 1909 653
- Bitter-root Range und Clearwater Mountains, Montana u. Idaho, Geologie 05 II 200
- Bittersalz
— Kristallform BB XXIII 315
— ozean. Steinsalzlager, ob. Existenzgrenze . . 05 I 192
— Zirkularpolarisation . . 05 II 335
- Bitterseen, Wadi Tumulat, Aegypten 07 I 427

Bitterwässer, Böhmen	1906	II	191	Bleidose f. mikrochem. Silikatanalyse	CBI 1905	247
Bitterwasserquellen, Ofen, Entstehung	06	I	404	Bleierde, Nagolnij Krjasch, Donetz-Becken	1907	II 196
Bituminöse Gesteine, Eigenwärme	06	II	48	Bleierze		
— siehe auch Asphalt u. Erdpech.				— Arkansas, Ozark-Region	05	II 36
Blaca Polje bei Spalato	05	I	452	— Concepcion del Oro, Zacatecas, Mexiko	BB XXVIII	553
Black Hills				— Lansetto (Valli del Gesso), Gänge	06	I 232
— Kreide	07	II	505	Bleierzgänge, Markirch	09	I 27
— nördl., Mineralschätze	05	II	32	Bleiglätte, Sardinien, Argentinera della Nurra, Portotorres	06	I 32
Bläherde, Schweden, Bildung	06	II	350	Bleiglanz		
Blätterserpentin, Geißpfad, Oberwallis	05	II	221	— als unipolarer Leiter	BB XXI	338
— siehe auch Antigorit.				— Elektrizitätsleitung		
Blättertone u. Overwegi-Schichten, libysche Wüste	06	I	319	— 1906 II 37	07	II 5
Blaini-Konglomerat, Verbreitung im Hindu-Kusch etc. u. Alter	05	II	415	— Kristallflächen	06	I 1
Blasenzüge im Melaphyr	06	II	200	— Altai, Grube Tschudak	09	II 368
Blastische Strukturen d. krist. Schiefer	05	I	72	— Angoni-Land, brit. Zentralafrika, Ag-haltig	07	I 237
Blastoconus Robertsoni, Kreide, Lago Musters, Patagonien	05	I	497	— Brosso u. Traversella	08	I 40
Blastogranitische, blastopphytische, blastopphyrische, blastopsammitische u. blastopsephitische Struktur der krist. Schiefer	05	I	73	— Carrara, im Marmor	07	I 215
Blattiden				— Elba, Rosseto, Ag-haltig	07	I 254
— Adern d. Flügel	07	I	321	— Freiberg, Schmelzpunkt	09	II 183
— Carbon, Nordamerika	05	I	524	— Markirch	09	I 26
Blaue Erde siehe Bernstein.				— Mazarrón, Spanien, Lagerstätte	07	II 82
Blaues Steinsalz	1909	II	186. 187	— Montorfano (Baveno)	07	I 40
Blaugrund				— Nagolnij Krjasch, Donetz-Becken	07	II 192
— Deutsch-S.-W.-Afrika	08	I	70	— Nagolny-Gebirge, Pseudom. v. Weißbleierz nach der Spaltbarkeit d. Bleiglanzes	CBI 1908	7
— Newlands-Grube	09	II	238	— Nordamerika (Illinois, Wisconsin und Kentucky)	06	II 180
— Südafrika	09	II	237	— Ontario, Central-Hastings-Land, Vorkommen	08	I 247
Blauschlick, nordatlant. Ozean	05	I	425	— Pribram, Ag- u. Sn-Gehalt	08	I 401
Blei				— Ratiboric, Böhmen	09	II 366
— abgedunstet aus einer Bleisilberlegierung	09	I	135	— Schwarzer Berg bei Türnitz, Niederösterreich (Tigererz)	06	II 174
— abgetrieben aus einer Bleigoldschmelze	09	II	135	— Spanien, Sierra de Bédar u. Coscojares etc., Vorkommen	08	I 243
— Struktur des kristallisierten	05	II	348			
Bleiberger Tal, Kärnten, Geologie	09	I	416			
Bleichromat, künstl. Kristalle	06	I	30			

- Bleiglanz
— Val Strim b. Sedrun, Schweiz CBI 1905 466
— Vesuv 1906. 1908 I 45. 173. 328. 329
- Bleiglanzgang, Argentinien, Prov. S. Luis 1905 I 259
- Bleigummi CBI 1909 330
- Bleihalogene, Silber-, Thalo- u. Cuprohalogene, Mischkristalle aus Schmelzfluß BB XXII 1
- Bleiniere CBI 1909 330
— Sardinien, Argentiera della Nurra, Portotorres 06 I 32
- Bleintrat, Isomorphismus mit Baryumnitrat 08 II 171
- Bleiphosphat-Favas, Brasilien, Diamantsand 08 I 34
- Blende, siehe Zinkblende.
- Blitz, magnetisierende Einwirkung auf Laven u. Ton 07 II 389
- Blitzröhren, sogen., im Quadersandstein, Nordböhmen BB XXV 473
- Blockkies 06 I 205
- Blödit, siehe Astrakanit.
- Blomstrandin, Norwegen, Granitpegmatitgänge d. südlichen 08 I 349
- Blue ground, siehe Blaugrund.
- Blumauer Porphyr, Bozen BB XXVII 94
- Bobierrit, Entwässerung 05 II 4
- Bocheggiano, Kupfererze 05 I 387
- Bochianites Versteeghi u. Weteringi, Suluinseln 05 I 152
- Bochnia, Salzwerke 06 II 405
- Bockkäfer, balt. Bernstein, Deutung 07 I 323
- Bodenanalyse
— chemische, Wert 08 II 186
— mechanische 05 I 59
— Westpreußen, Diskussion 06 II 202
— siehe Böden.
- Bodenbewegungen
— Nachweis durch Nivellement, Böblingen — Lustnau 08 I 213
— München 09 I 198
— Neu-Laitzen, Livland 07 II 50
— siehe Bewegungen, Bodenschwankungen.
- Bodenbildende Mineralien, Zersetzung 1907 II 401
- Bodenkunde
— MIRSCHERLICH CBI 1906 587
— RAMANN CBI 1905 596
- Bodenschwankungen, Brescia-Gegend 05 II 373
— siehe Bodenbewegungen.
- Bodenschwingungen durch Kirchenglocken, Leipzig 05 II 370
- Bodensedimente, nordatlant. Ozean 05 I 424
- Bodenseegebiet, Würmglletscher, Rückzug CBI 1907 257
- Bodensenkungen durch Entwässerung lockerer Gesteine, rhein.-westfäl. Kohlenbezirk 09 I 77
- Bodenuntersuchung, wissenschaftliche CBI 1904 150
— siehe Bodenanalyse.
- Boeckia Mobergi, Dictyonema-Schiefer, Angermanland 06 II 298
- Böden
— Feinerden 06 I 207
— in ariden u. humiden Gebieten der Verein. Staaten 08 II 188
— Kaligehalt 06 I 48
— mineralog. Analysen 06 I 208
— siehe Ackererden, Ackerboden etc.
- Böhmen
— Bitterwässer 06 II 191
— Bonebed im Turon 06 II 428
— Devon, Etage H 06 I 272
— — — Pflanzen 06 II 145
— eisenreiche Kernkonkretionen aus dem Quadersandstein des nördlichen BB XXV 467
— Eruptivgesteine von Mělník u. Měseno 07 I 58
— Gesteine des Cambriums im Westen 05 I 56
— Granitkontakt am Kalk 06 II 360
— Kartenblätter Böhm.-Leipa, Dauba, Deutschbrod, Reichenau, Tyunist, St. Poelten 08 II 59 ff.
— Kladlo - Rakonitzer Kohlenbecken 06 I 275
— Klippfacies im Cenoman 06 II 427

- Böhmen
 — Kreide 1905 II 113
 — Kreide-Inoceramen 05 I 356
 — oberste Kreide, Beziehung zu Sachsen u. Schlesien BB XXIV 676
 — Turon, Bonebed 06 II 428
 — Zweischaler d. Rotliegenden 05 I 44
 — Adersbach - Weckelsdorf, obere Kreide 06 I 288
 — Böhm.-Leipa, Kartenblatt 08 II 62
 — Franzensbad, Marienbad, Karlsbad 05 II 95
 — Lothka bei Beraun, untersilur. Fauna 06 I 300
 — Mittelgebirge, Bostonit 08 I 59
 — — Eruptivgest., vergl. mit amerik. Anden 05 II 52
 — — Geologie 07 I 102
 — — geolog. Aufnahmen (Aussig und Großpriesen) 1905 I 268. 272
 — — Gesteine d. Essexit-Gefolgschaft 08 I 59
 — — Kontakt zw. Phonolith u. Kreidemergel, Mädstein 09 II 219
 — — Kostenblatt—Milleschau 06 II 81
 — — tert. Flußpatgänge 08 II 293
 — — vulkan. Ausbrüche CBI 1909 526
 — — Zeolithe von Großpriesen CBI 1909 159
 — — von Schön-priesen CBI 1909 154
 — — östliches, Kreide 1906 I 285. 287. 289
 — — Proßnitz—Plumenau, Geologie 09 I 98
 — — Tepler Hochland, Ergußgesteine, basaltische 06 II 355
 — — — trachytische u. andesitische 06 II 353
 — — westliches, Alaun- u. Pyritschiefer 06 I 51
 — — siehe auch Basalt etc.
 Böhmisches-Leipa, Kartenblatt 08 II 62
 Böschungen, maximale, trockener Schuttmassen 07 I 380
 Bogengebirge, Ostasien 05 I 119
 Bogosloff-Insel, Beringsmeer, Eruption fester Massen 05 II 396
- Bohemura Jahni, Silur, Böhmen 1908 I 135
 Bohlweg, vorgeschichtlicher, Wittmoor (Holstein) 06 I 119
 Bohnerze
 — Süddeutschland, Säugetiere 08 I 122
 — Eocän, Schweiz, Säugetiere 06 II 282
 Bohnerztasche mit Albiens-Fossilien, Biel 08 II 407
 Bohrloch
 — Rom, Via Consilina 07 I 65
 — Paruschowitz, V., Temperatur 05 II 203
 Bohrlöcher
 — Holland, Dünen von Vogelenzang 05 II 444
 — Wels (Oesterreich) im Tertiär 05 II 290
 Bohrprofile u. -proben, Nordamerika, 1904 09 II 378
 Bokkeveld beds
 — Brachiopoden 05 II 323
 — Mollusken 06 II 120
 Bol, siehe Bolus.
 Bolcafische 05 I 341
 Boleit und Umwandlungsprodukte 07 I 339
 Bolivia
 — devon. Faunen BB XXV 493
 — Edelsteine 06 I 358
 — Mineralien 1908 II 336 CBI 1907 93
 Bolivina antiqua u. elongata, Globigerinenmergel, Bahna, rumän. Karpathen 09 II 154
 — Böttgeri, Kinkelini, minutissima u. oligocaenica, Rupelton, Mainzer Becken 09 II 324
 — lata, Tertiär, Biarritz 06 II 311
 Bolosaurus striatus, Perm, Godlin Creek, Texas, Schädel 08 I 286
 Bolosepiella de Alexandri, Cossmanni u. parisiensis, Eocän, Paris 07 II 303
 Bolus
 — Quittein, Westmähren, Eisenerzlagerstätte 05 II 243
 — Westerwald, Färbung durch organ. Säuren BB XXVIII 370

- Bomben, rhein. Schiefergebirge, Diabas . . . BB XXI 302
- Bomben, vulkanische
- Kapfenstein, Steiermark CBI 1908 297
- Katzbachgebirge . . . 1905 I 233
- Schweppenhausen am Soonwalde 09 I 58
- Vesuv, Eruption 1906 CBI 1906 497
- siehe auch Vesuv und Basalt.
- Bonanzas d. oberen Teile der Goldgänge 05 I 257
- Bonebed im Turon, östl. Böhmen 06 II 428
- Bonnetia planispira, Eocän, Paris 07 II 303
- Boothit, Campo Seco, Calaveras Co., Cal. 05 I 204
- Borate in ozean. Steinsalzablagerungen . . 1908 II 159 ff.
- Borax
- Molekularzustand in Lösung 05 II 16
- oktaedrischer, Auftreten 08 II 159
- Texas, trans-Pecos . . . 06 II 179
- Boreodon matutinus, Bely river beds, Red Deer River, Nordamerika . . 07 I 439
- Borhyaena, Santacruzeno, Patagonien 07 I 307
- Borkenkäfer, baltischer Bernstein 08 II 112
- Bormio—Tonale, Kartenblatt 08 II 65
- Borneo, Auftreten der Nummuliten 07 I 161
- Geologie d. westl. 09 II 96
- mesozoisches Land u. Meer 07 I 110
- Silat-Gruppe d. obersten Kreide 07 I 437
- Bornholm, fossile Flora
- Bornit, siehe Buntkupfererz.
- Borocalcit, ozean. Salzlagerstätten 08 II 163
- Borolanit, Cnoc-na-Sroine-Massiv, Nordschottland BB XXII 413. 424. 443
- Boronatocalcit, ozean. Steinsalzlager, Existenzgebiet u. Spaltg. . . 08 II 163
- Borsäurehaltige Suffionen, Toscana, Radioaktivität 05 II 344
- Boryslaw, Geologie, Ozokerit- u. Erdölablagerungen 1906 I 407. 409
- Bos primigenius, Belgien, Diluvium 1905 I 485
- Boskowitz Furche, Mähren 1905 II 97. 263
- Bosnien
- Geologie 05 I 105
- geologischer Führer . . 05 II 204
- Kalksinter 05 II 296
- Sarajewo, Geologie 05 I 101
- Vares, Lias 05 I 465
- Vratnica planina, Fel-sitporphyre u. Rillensteine CBI 1905 366
- u. Herzegowina, Montanindustrie 06 I 73
- — — Quartär 05 II 295
- siehe auch Herzegowina.
- Bosnites bosnensis, Han Bulog-Kalke, Hydra . BB XXV 455
- Bosnopsammia Katzeri, Eocän, Bosnien 09 I 292
- Bostonit
- Abercastle-Mathry, Wales, Kalk 06 II 211
- Ampasindava (Madagaskar) 05 I 434
- böhm. Mittelgebirge 08 I 59
- Siebengebirge, Kühltbrunnen 07 II 62
- Monzoni u. Predazzo, chem. Zusammensetzg. . . 06 I 64
- Quebec 09 I 68
- Rezbanya, Quarz 07 I 64
- Bostonitische Randfacies am Trachyt, Griounot (Cantal) 09 II 228
- Bostonitporphyr, Monzoni
- Bothrodendron u. Bothrostrobus, Carbon, Donetz 05 I 538
- Bothrolabis decedens u. Osmonti, John Day series 07 I 304
- Bottnische Porphyrgeschichte, Diluvium, Westfalen CBI 1907 146
- Bourne-Tal b. Grenoble, Geol. 05 I 277
- Bournonit 09 I 318
- Ally, Haute-Loire, Krist. 05 II 349
- Nagolnij Krjasch, Donetz-Becken 07 II 194

- Bournonit
 — Pontgibaud (Puy-de-
 Dôme), Krist. 1908 II 314
 — Sarrabus, Sardinien,
 Krist. 07 II 16
- Bouteillenstein, Kuttent-
 berg CBI 1909 462. 465 545
 — siehe Tektit, Molda-
 wit, Australit etc.
- Bovey Deposits, Tertiär,
 Devon 1909 II 465. 469
- Bowmanit
 — Binnental, Krist. 06 II 31
 — — — — — CBI 1905 30
 — — ist Hamlnit CBI 1907 601
- Bozen
 — Felsitporphyr
 1907 I 230 BB XXVII 72
 — Porphyrschild. 06 II 245
- Brachiopoden
 — Morphologie, Rippen-
 bildung 08 II 113
 — Carbon von Clarence
 Town, N.-S.-Wales 05 II 324
 — devon. Hamilton-
 Schichten, Entwick-
 lungsreihen 05 I 359
 — Tertiär, Patagonien 09 II 321
- Brachiosaurus altithorax,
 Grand River Valley,
 Westcolorado 05 II 131
- Brachycephalus-Rasse,
 neolith. Fauna, Mittel-
 europa 06 II 441
- Brachyceros, neolith. Fau-
 na v. Mitteleuropa 06 II 441
- Brachylepadidae und
 Brachylepas, Upper
 Chalk, Norwich 06 II 140
- Brachylepas cretacea CBI 1906 449
- Brachyphyllum, Kreide 09 II 153
 — Storski 07 II 504
 — yorkense 07 II 500
- Brachypodinae, Miocän,
 Nordamerika 06 II 134
- Brachypsalis pachycephala,
 Miocän, Süddakota
 — simplicidens 07 II 488
- Brachysiphon corbuliformis,
 Neu-Seeland 07 I 328
- Brachytrema Lorioli, ob.
 Jura, Pommern 06 II 102
- Bradya, Gattung u. Ver-
 breitung im Karst 05 II 486
- Bradylemur Bastardi,
 Madagaskar 06 II 447
- Bradysismen, Aetna 1905 I 48
- Branchiosaurier
 Ahnen der geschwänz-
 ten Amphibien 09 II 136
 — Nordamerika 09 II 132
- Brancoceras Lafmereri,
 Kreide, Diego Suarez 07 II 334
- Brandgruben, Neuvorpom-
 mern 07 II 477
- Brandungswelle, Einfluß
 auf Sedimentation BB XXV 383
- Branzoller Porphyr, Bo-
 zen BB XXVII 125
- Brasenia purpurea, Zeit
 des Aussterbens in
 Mitteleuropa 09 II 157
- Brasilien
 — Favas der Diamant-
 sande 08 I 32
 — Geologie der Nordost-
 küste 09 I 101
 — Knochenhöhlen v. La-
 goa Santa, Minas Ge-
 raes 07 II 134
 — Manganerze 06 II 226
 — siehe Braunit.
 — Palladium u. Platin 05 II 346
 — Turmalin, krist. und
 — phys. BB XXIII 91
- Brauneisenerz CBI 1909 327
- Grandpré, Arr. Vou-
 ziers, aus Glaukonit
 entstanden 07 II 24
 — Kertsch u. Taman,
 Versteinerungsmittel 05 II 200
 — Lipetzki, Gouv. Tam-
 bow, mit Feldspat-
 kristallen 1905 II 21. 183
 — Markireh 09 I 26
 — Oriskany 05 II 403
 — Quittein, Westmähren,
 auch Pseudom. nach
 Spateisen u. Schwer-
 spat 05 II 243
 — Shoshone, Idaho, pseu-
 dom. n. Pyrit 05 II 181
 — Sulinsky Sawod, Ural 07 I 77
 — Vogelsberg, Nordrand,
 im Basalt 07 I 77
 — siehe auch Limonit.
- Braunit
 — Brasilien CBI 1909 780
 — Minas Geraës, Kri-
 stalle 09 I 338
- Braunkohle, Beziehungen
 zu Kaolinlagern 09 II 91

- Braunkohle
 — stoffl. Beschaffenheit, vergl. mit Steinkohlen 1906 I 235
 — Anhalt und Mitteldeutschland 09 I 427
 — Baden u. Württemberg CBI 1908 153
 — Bayern (rechtsrhein.) CBI 1908 152
 — Bosnien, Zenica, oligocän 06 II 114
 — Deutschland CBI 1908 152
 — Dürkheim (Pfalz), Pflanzen 09 I 468
 — Hart b. Gloggnitz, Niederösterreich 05 I 262
 — Hessen CBI 1908 153
 — Hrastovetz, Steiermark 07 I 83
 — Norddeutschland CBI 1908 152
 — Rhein u. Niederländisch-Limburg 07 II 127
 — Rheinland, Alter 08 II 406
 — Rocky Mountains 08 II 221
 — Sörgsdorf, Schlesien, Analysen 05 I 201
 — subsudetische, Alter 1907 I 113 07 II 294
 — Wiesbaden 07 II 86
 — siehe auch Kohlen.
 Braunkohlenablagerungen, Senftenberg, Pflanzen 08 I 449
 Braunkohlenformation
 — Mecklenburg CBI 1908 261
 — Oberschlesien, Alter d. subsudetischen 1907 I 113 07 II 86
 — rheinische, Beziehung zum Mainzer Becken 08 I 268
 Braunschweig u. Ilsede, Cephalopoden d. Untersenon 07 I 482
 Braunspat, Markkirch 09 I 23
 BRAVAIS' Gesetz 09 I 313
 Bravaisit CBI 1909 332
 Breccien
 — der Quarzkeratophyre, Thüringer Wald . BB XXVII 370
 — Vesuv 1906, vergl. mit Mont-Dore 08 I 42
 Breccienbildung durch subaquat. Rutschung 08 II 153
 Brèche du Télégraphe 07 II 441
 Brechungsindizes
 — Bestimmbarkeit aus Achsenwinkel und Doppelbrechung 06 I 160
 — Bestimmung 08 II 142
 Brechungsindizes
 — Bestimmung durch Minimalablenkung. 1907 II 163. 164
 — — in Dünnschliffen . 1907 I 226
 — — nach der Prismenmethode bei —190° 08 I 165
 — einiger Mineralien 08 II 143
 — kristallisierender Lösungen 09 I 157
 — Verhalten zur Dichte 05 II 169
 — siehe auch Bestimmung etc.
 Brechungskoeffizienten, z. mikrosk. Bestimmung d. Mineralien, Tabellen CBI 1906 551
 Bredvadporphyr, Diluvialgeschiebe, Westfalen CBI 1907 152
 Bregenzer Wald
 — Flyschzone des nördlichen BB XXVII 1
 — Kreide 06 I 427
 Breggiaschlucht, Südalpen, Profil 09 I 93
 Breitenbrunn, Erzlagerstätten 06 I 79
 Bremen
 — Diluvium 07 II 464
 — Tertiär 07 II 464
 Brenets, Schweiz, Blockanhäufung 05 II 452
 Brenner
 — Geologie 1906 II 237 07 II 435
 — Tektonik 1907 II 263 09 II 420
 Breslau, Grundwasserverhältnisse 09 II 371
 Breunerit, Avigliana, Susatal 08 I 16
 Brewsterit, Strontian, Schottl., Glühverlust 06 I 22
 Briançonnais
 — Geologie 05 I 281
 — Tektonik 09 I 95
 — zone du, franz. Alpen 05 I 446
 Brilon, Fauna d. höheren Oberdevons am Enkeberg BB XXVI 568
 Brissoides Meijerei, Eocän, Aude u. Hérault 07 II 156
 — Oppenheimi, Molasse, Veuve 07 II 155
 Brixen, Granitgebiet 09 I 385
 Brixener Masse, Gesteine und Randbildungen 05 II 379
 Brochantit, Clifton-Morenci-Distrikt, Arizona 06 I 174

Brochechinus Elisae, Jura, Haute-Marne . . .	1909	II	480	Brücken, natürl., Ent-			
Brockenmassiv				stehung	1907	I	224
— Bau u. Bildungsweise	07	I	382	Brünig, Klippen von Gis-			
— devon. Eruptivgesteine				wyl	CBI	1907	487
u. Tuffe im Kontakt-				Brünn			
hof bei Harzburg . . .	06	I	209	— Geol. u. Tektonik . .	05	II	410
Broeckhina, Kreide (Cyc-				— Boskowitzer Furche .	05	II	97
lolina Dufrenoyi) . . .	05	II	154	Brünner Eruptivmasse,			
Bromcarnallit, Isotrimor-				Gauverwandschaft d.			
phismus	CBI	1908	710	Gesteine	09	II	382
Bromcitramalsäure, α u.				Bruguieria Capederi u.			
β , inaktiv, Krist. . .	07	I	95	sub-Capederi, depres-			
Brome Mountain, Monte-				sa, Fischeuri, Heil-			
regian Hill, Prov. Que-				prini, rara, Silvestrii,			
bec, Geologie	07	I	239	Taramellii und sub-			
Bromkalium u. Jodkalium,				Taramellii u. Virgilioi,			
Wachstumserscheinun-				Tertiär, Apennin . .	05	II	327
gen an Kristallen . . .	09	I	160	— Fichteli var. Vialei,			
Bromsilber				ligur.-piemont. Apen-			
— Chile, Sierra Gorda,				nin	08	II	287
Doppelbrechung durch				— libyca	05	II	159
Druck	09	I	334	Brunnen			
— Nagolnij Krjasch, Do-				— St. Kanzian-Höhle im			
netz-Becken	07	II	194	Karst, Tropfsteine, so-			
Bromür u. Chlorür v.				gen. Brunnen	06	I	376
Baryum, Isomorphis-				— artesischer, Großzö-			
mus	08	I	319	sen b. Borna (Leipzig)	06	I	403
Bromyrit, siehe Bromsilber.				— — Montreal	09	II	379
Bronzit				— — Schlock, Livland,			
— Grönland	CBI	1908	378	natürlicher	07	II	50
— Kuttenberg (Böhmen)				— siehe artesische Brunnen.			
im Serpentin	08	I	38	Brunnenbohrungen, Meck-			
Brookit				lenburg	07	II	51
— Cleveland (Grafsch.				Bryozoen	05	II	484 ff.
York) im Eisenstein	06	II	329	— Ctenostomata, Revi-			
— Freiberg i. S., im				sion d. paläozoischen	05	II	485
Gneis	CBI	1908	547	— im karnischen Fusu-			
— Ofenhorn, Binntental	CBI	1908	52	linenkalk	06	II	135
— Prägraten, Brechungs-				— obere und untere Ver-			
indizes	06	II	317	breitungsgrenze . . .	05	II	141
— Sommerville, Mass. .	07	II	381	— paläozoische, Entwicke-			
Brookitreihe, Mineralien				lung	05	II	144
der, Norwegen, Peg-				— Aegypten	05	II	484
matitgänge d. südl.	08	I	352	— Calabrien (Carrubare),			
Brora (Sutherland), In-				postpliocän	05	II	144
ferior Oolite	07	II	507	— Patagonien, u. tertiäre			
Bruchlose Umformung d.				Systematik	05	II	141
krist. Schiefer	05	I	68	— Südtunesien, Eocän	05	II	142
Bruchzonen, Verlauf . .	06	I	43	— Tunesien, Kreide . .	05	II	145
Bruцит				— Villedieu, Faunen,			
— Chynov, Böhmen . . .	09	II	366	Kreide	05	II	145
— Lysogorsk, Gouv. Je-				Bryozoenkalk, Dänemark,			
lisawetpol (faserige) .	07	II	182	Kreide	06	I	310
— Teulada (Sardinien) im				Bubalus palaeokeraban,			
Kalkstein (Predazzit)	06	II	329	Kendeng-Schichten,			
Repertorium 1905–1909.				Java	09	I	119

- Bucanella, Devon, Ostthüringen BB XXIV 298
- Bucania dorsoplana, Devon, Bolivia BB XXV 504
- subaënsis, Bellerophon-Schichten, Bosnien 1905 I 105
- Bucaniella Dereimsi, laticarinata und rectangularis, Devon, Bolivia BB XXV 505
- Buccinum (Strepsidura ?) Blanckenhorn, ?Eocän, Kamerun 06 II 123
- Choffati, ?Eocän, Kamerun 06 II 123
- Bucegi-Stock, mitteljurassische Cephalopoden 06 II 120
- Buche, interglaz. Schieferkohle, Bayern 09 I 470
- Buchensteiner Kalk und älterer Melaphyr, Seiser Alp 06 II 1
- Buchensteiner Schichten, Epidauros (Argolis), Cephalopoden Festband 9
- Buchiceratidae, Kreide 07 II 147
- Buchites Aldrovandii, Trias, H. Andreas BB XXV 462
- Emersoni, Tropiteslimestone, Byans 08 II 236
- Buda limestone, Kreide, Nordamerika, Mollusken u. Korallen 06 I 308
- Bündner Schiefer
- metamorphe Peridotite u. Gabbrogesteine 05 I 221
- Graubünden 08 I 253
- Lischannagruppe, Unterengadin 07 I 97
- Büschel, dunkle, Bestimmung in Dünnschliffen 07 I 333
- Büßerschnee
- Kilimandscharo 07 I 423
- u. Erdpyramiden, gleichart. Erosionsgebilde 07 I 379
- Bukowina, Erdölschichten im Putillatal 06 I 237
- Bukowskites Colvini, Muschelkalk, Himalaya 08 II 244
- Bulbifusus Broueti, Eocän, Paris 07 II 303
- Bulgarien
- Jura u. Trias, Kotel CBI 1905 481
- Silur, erster Fund CBI 1905 679
- Bulimina affinis var. tenuissimestriata, elegans var. gibba, und rotula, Tertiär, Wels (Oesterreich) 1905 II 291
- Buchiana und pupoides, Globigerinenmergel, Bahna, rumän. Karpathen 09 II 150
- Gregorii, Unteroolith, Westaustralien 05 II 151
- rotula, Schlier, Wels 05 II 490
- trigonula var. inornata, Kreide, Ost-Pondoland, Südafrika 05 II 152
- Bulimus arneggensis, Alttertiär, Ulm 08 II 104
- Bonnetii u. ?Guillaumei, Eocän, Paris 07 II 303
- Bulla (?) Cureti, Kreide, Oregon (Bouches-du-Rhône) 06 I 318
- Bullinella lignitarum, Eocän, Paris 07 II 303
- Bulog-Kalk
- Bosnien, Fauna 05 I 105
- Epidauros (Argolis), Cephalopoden Festband 8
- Buntkupfererz, Klei-Namaland, O'okiep, magmat. Ausscheidung 09 II 397
- Buntsandstein
- Devonshire u. Midlands, England, Gerölle 05 II 424
- Haardtgebirge (Nordvogesen), Gliederung CBI 1905 380
- Norddeutschland, Oolith u. Stromatolith 08 II 114
- Schwarzwald, Altensteig etc. 09 II 416
- Freudenstadt etc. 09 II 413
- Solling 07 I 431
- Thüringen, Verbreitung von Gervillia Murchisoni im östlichen CBI 1909 12
- siehe auch Röth.
- Buntsandsteinmeer CBI 1909 54
- Bunehólar, Vulkangruppe, Island BB XXVI 24
- Bural-bas-tau-Gebirge, Thian Schan, Bau 07 I 224
- Buru, Molukken, Ammoniten des Asphalt-schiefers der Barabai BB XXII 686

Buru		Calciumgehalt der kon-	
— Molukken, Geologie		stanten Lösungen bei	
1905 I 106 BB XXII 398		25°	1908 II 159
	BB XXIV 133	Calciumhydrokarbonate,	
— — mesozoisches Land		künstl. u. natürl.	09 II 340
und Meer	1907 I 117	Calciumoxyd, Eigenschaf-	
Buru-Kalk, Molukken	05 I 112	ten	09 I 181
Bussé Series, Rhodesia	05 II 269	Calciumsilikate	09 I 180
Bustamit, künstlich durch		Calciumsulfat	
Schmelzung	09 II 344	— kristallisiertes	CBI 1909 189
Buttermere-Ennerdale-		— künstl. ist Anhydrit	CBI 1909 25
Masse, Geologie	08 I 224	Caldera, Palma	09 II 47
Byans, Himalaya, Fauna		Caledonit	
des Tropites-limestone	08 II 235	— Irland (Wicklow)	08 II 321
Bythinia dubia, Pliocän,		— Sardinien, Argentiera	
Cueva Rubbia, Span-		della Nurra, Porto-	
nien	1907 II 22. 23	torres	06 I 31
— eocaenica, Alttertiär,		Californit	
Giengen b. Ulm	08 II 104	— Exeter, Tulare Co.,	
		Cal.	09 I 30
		— Indian Creek, Kaliforn-	
		nien	05 I 34
C.		Californites Merriami,	
Cabrerit, Kristallform	CBI 1906 198	Subbullatus-Schichten,	
Cadomella Quenstedti,		Kalifornien	06 II 306
mittl. Lias, Schwaben	06 I 468	Callibrachion Gaudryi,	
Caecum Houdasi, Eocän,		ob. Perm, Autun	
Paris u. Loire inf. 1907 II 302. 303		1908 I 292 CBI 1908 532	
Caenolestidae, Santaacru-		Calliconites Dieneri, ob.	
zeno, Patagonien	07 I 308	Trias, Sizilien	05 I 347
Calabrien, postplioc. Bryo-		Callidium, balt. Bernstein,	
zoen v. Carrubare	05 II 144	Deutung	07 I 323
Calais-Straße, Sand d.		Calliostoma massiliense,	
franz. Ufers	09 I 200	Coniacien, Frankreich	
Calamin, siehe Kieselzink-		Callipteris conferta, cur-	
erz.		retiensis, diabolica,	
Calamites distachyus, Car-		lodevensis, lyratifolia,	
bon, Vorkommen	09 II 492	Moureti u. Raymondi,	
Calamitina ohlsbachensis,		Carbon, Vorkommen	
Carbon, Hinterohls-		— Scheibei	09 II 492
bach b. Gengenbach	08 I 458	08 I 155	
Calamophyllia Guebhardi		Callodontomys, Tertiär,	
und Tomesi, Jura	07 I 487	Patagonien	07 II 328
Calcit siehe Kalkspat.		Calloneghe, Venetien,	
Calciumaluminat, künst-		Fauna d. Kreidekalks	
liches	05 I 13	Calodontotherium Palmeri	
Calciumborate in ozean.		u. varietatum, Kreide,	
Steinsalzlagerstätten	1908 II 162. 163	Lago Musters	05 I 497
Calciumcarbonat		Calycites obovatus, Krei-	
— bei höherer Tempera-		de, New York	08 I 456
tur	08 I 16	Calypptapis florissantensis,	
— wasserfreies	09 II 341	Florissant, Col.	07 I 321
— wasserhaltig, Novo-		Calyptraea sigaretina,	
Alexandria, Gouv. Lub-		? Eocän, Kamerun	06 II 123
lin	07 II 358	Camarophoria applanata,	
— u. Natriumnitrat, Poly-		globosa, Karpinskyi,	
morphismus	10 I 7	Kutorgae, mutabilis,	

Netschajewi, parvula u. pentameroides, Ob- carbon, Ural u. Timan	1905	I	533	Campodus corrugatus, Kohlenschichten, Illi- nois	1905	II	138
Camarophoria globulina, untercarb. Transgres- sionsmeer, Tian Schan	BB XXVI		241	— u. Campyloprion, Car- bon, Nordamerika . . .	05	II	133
— sp., Culm, Königsberg b. Gießen	BB XXVIII		631	Campolongo			
Camarotoechia (?) Suss- milchi, Oakey Creek, N.-S.-Wales	08	I	279	— Mineralien	05	I	201
Cambewana Range, N.- S.-Wales, Geol. u. Er- gußgesteine	07	I	398	— Minerallagerstätten .	BB XXVI		517
Cambrium				— Orthoklas im Dolomit	07	I	21
— Amerika, Brachiopoden	06	II	307	Camptonit			
— Böhmen, Gesteine d. westl.	05	II	56	— Belknap Mountains, New Hampshire	08	I	381
— Cartersville, Georgia, Eisenocker	06	II	226	— Griannot (Cantal), Randfazies v. Trachyt .	09	II	228
— New York, Schoharie- Tal	07	I	108	— Lausitzer Granitgebiet	08	I	57
— Polnisches Mittelgebir- ge, mittleres	CBI 1909		509	— Monzoni u. Predazzo, chemische Zusammen- setzung	06	I	58
— Prag	07	II	106	— Neuseeland, Otago- Halbinsel	08	I	232
— Sachsen, radiolarien- führ. Kieselschiefer .	CBI 1905		411	— Quebec	09	I	68
— Schantung, Trilobiten	06	II	139	— Red Hill, Moulton- boro, N. H.	09	II	389
— Schweden, Rotfärbung	05	II	223	Camptonitgang im Mon- zonit d. Palle rabbiöse, Berichtigung	CBI 1905		185
— Taconic Range, unteres	05	II	414	Camptonitische Gang- gesteine, Großpriesen, böhm. Mittelgebirge .	05	I	272
— Thüringen, Fossilreste im östlichen	BB XXIV		221, 314	Camptopteris spiralis . .	08	I	144
— — Porphyroide	BB XXVII		335	Camptosaurus, Beziehung zu Morosaurus agilis .	08	II	437
Campanile	CBI 1909		203	Camptovogesit, Tagil, Ural	07	I	72
— breve, curtum, Morg- ani, persicum u. ro- bustum, Senon, Süd- persien	06	I	444	Campylaea insignis var. steinheimensis, Ober- miocän, Böttingen .	CBI 1908		593
— Grossouvrei, unt. San- tonien, Frankreich . .	06	I	318	Campylognathus, Lias, Schwaben	CBI 1906		292
— rarinodum, Eocän, Loire inf.	07	II	302	— Zitteli, Hand	CBI 1906		409
Camphorylhydroxylamin, aktiv, Krist.	07	I	90	Campyloprion annectens	05	II	132
Campichia Pellati, Kreide, Orgon (Bouches-du- Rhône)	06	I	318	Canada			
Campine, Belgien				— Eruptivgesteine von Quebec	09	I	67
— Alter d. roten Schich- ten	05	I	455	— Gesteine, Rocky Moun- tains	05	II	76
— Carbon	05	I	455	— Tertiär im westlichen	05	II	429
— Tertiär	05	I	468	Canale Monterano (Prov. Rom), Mineralien des Tuffs	06	I	170
— Untergrund	05	I	450	Canaren, vulkan. Tätig- keit	09	I	363
— u. Westfalen, Carbon	05	I	456	Cancellaria meridionalis, Kreide, Pondoland . .	07	II	306
Campine-Stufe, Diluvium, Belgien	05	I	480	Cancer Bittneri, Miocän, Kalksburg b. Wien . .	06	II	138

Cancrinit-Syenit, Kuolajärvi, Finnland	1907	I	69	Carabites Kincaidi, Green River Shales	1908	II	111
Canfieldit, La Paz od. Colquechaca, Bolivien	08	II	12	Carabodites Pavesii, mitteleoc. Dysodil, Mellilli, Sizilien	05	II	152
Canide brachypus u. vaffer, Miocän, Süddakota	05	II	128	Caranx Petrodavae, olig. Fischfauna, Berg Cosla b. Piatra-Neamtz, rumän. Karpathen	06	I	153
Caninia cornu copiae, Carbon, Bau	09	I	292	— primaevus, Mte. Bolca	05	I	341
Canis, Perforation des Astragalus	07	I	467	Carbamid+Na Cl, Krist. Carbapatit, Podolien im Phosphorit	05	II	192
— neschersensis, Mauer Putiatini, Quartär, Rußland (Wisokoie)	07	II	483	Carboferrit im Eisen	CBI	1907	283
— spelaeus (Lupus), Kitzelberg bei Kauffung (Katzbachtal)	07	I	454	Carbon	05	I	125
Cannartiscus marylandicus, Tertiär, Maryland Cañon	05	I	504	— siehe auch Culm, Permo-carbon etc.			
— des Verdon (Basses Alpes)	07	II	161	— Farne a. d. Familie d. Sphenopteriden	09	I	150
— Diablo, Meteorkrater	08	I	220	— geritzte Geschiebe	08	II	76
Cañon-Bildung, Kern Basin, Cal.	09	I	357	— Korallen	09	I	292
Canonbie-Kohlenfeld, Schottland, Steinkohlenformation	05	II	102	— Natur d. Culmsedimente	BB	XXV	373
Cantharis, balt. Bernstein	06	II	462	— Pflanzenreste, Abbildungen	06	I	156
Cantharus Hantkeni, Hypersenon, Peterwardeiner Gebirge	06	II	268	— Posidonia Becheri im produktiven	CBI	1905	193. 308
— ? Tietzei, Otolithen, Tertiär, Oesterreich	07	I	481	— Stegocephalen, Wirbelsäule u. Rippen der holospondylen	08	II	269
Canyon, siehe Cañon.				— Alaska, Endicott-Kette	06	I	92
Capitosaurus stantonensis, Keuper, Stanton, Staffordshire	07	I	150	— Attendorf-Elsper Doppelmulde, Radiolarit im Culm	09	I	242
Caporcianit, Montecatini, chemisch	08	II	315	— Australien	1905	II	324. 480
Caprina schiosensis, Mte. Candaglia b. Col dei Schiosi	05	I	359	— — Victoria, Fische	05	II	480
Capromyinae, Tertiär, Patagonien	07	II	322	— Baden, Flora	08	I	457
Capuliden, Palaeogen, Aegypten	05	II	320	— bayr. Rheinpfalz, Steinkohlenformation	06	I	103
Capulus argentinus, Kimberidge—Portland, argent. Cordillere	BB	XXIII	206	— Belgien, aufrechte Stämme	05	I	458
— cf. compressus, Devon, Ostthüringen	BB	XXIV	299	— — Echinodermen des schwarzen Marmors von Dinant	05	II	147
— joharensis, tibetan. Klippen d. Zentral-Himalaya	08	II	414	— — Insekten	05	I	523
— neritoides, Culm, Königsberg b. Gießen	BB	XXVIII	646	— — Campine	05	I	455 ff.
				— — u. Westfalen	05	I	456
				— — Namur, Spongiosstromidae im Kohlenkalk	07	I	131
				— — nördliches, Kohlenablagerungen	05	I	127
				— — Visé, Chonetes comoides u. Ichthyodoruliten (Ctenacanthus tenuistriatus)	05	I	457
				— — — Tektonik etc.	05	I	456 ff.

Carbon			Carbon		
— Belgien u. nördliches Frankreich, Salzwasser	1905	I	457	— Hüggel b. Osnabrück, Sandsteine	1906 II 420
— bithynische Halbinsel	CBI 1909		655	— Japan, Fusulinenkalk mit Helicoprion	07 I 330
— Bosnien, Prača b. Sa- rajewo	05	I	104	— Joggins, N. S., Ba- trachierfährten	05 I 340
— Bristol District, Me- laphyre	05	II	388	— Kärnten, Bryozoen d. Fusulinenkalks	06 II 135
— Canada, Batrachier- fährten im östlichen	05	I	339	— Kellerwald, Culm	07 II 92
— Chemnitz, Culm	08	I	312	— Kladno-Rakonitzer Kohlenbecken	06 I 275
— China, Hua-thsiang- pu etc.	05	II	299	— Königsberg b. Gießen, Fauna d. Culms	BB XXVIII 611
— Dalmatien, Foramini- feren u. Kalkalgen	07	II	339	— Korea, Fusulinenkalk	07 I 331
— — Cattaro	05	II	94	— Kukurtuk-Tal im südl. Tian-Schan, Brachio- poden des oberen	BB XXII 266
— — Budna	07	I	93	— Letmathe, Culm	09 I 241
— Dombrowa, foss. Flora	09	I	146	— Mandschurei, Pflanzen	08 I 452
— Donetz, Sigillarien	05	I	537	— Namur, Spongiostro- midae im Kohlenkalk	07 I 131
— Donetz-Becken, Pflan- zen	1909 I		459. 460	— Neu-Schottland und Neu-Braunschweig, Be- ziehung zu Devon	05 I 289
— Elsaß, Pflanzen	08	I	460	— Neu-Süd-Wales, Cho- netes spinosa u. andere Brachiopoden v. Cla- rence Town	05 II 324
— England, Fische, Nord- Derbyshire	08	II	447	— — Fossilien	08 I 278
— — Palaeonisciden	05	II	480	— — Korallen	07 I 155
— — Pflanzen d. Wal- dershare- u. der Fred- ville series in Kent	09	I	302	— Niederschlesien—Böh- men, Teufe der Flöze in der inneren Mulde Nordamerika, Ammo- noiden	05 I 525
— Europa, floristische Dif- ferenzen (Lokalfär- bungen)	09	II	491	— — Amphibien	09 II 134
— Fichtelgebirge, Thü- ringen, östl., u. Vogt- land, Phosphoritknol- len im untersten Culm	BB XXII		48	— — Blatttiden	05 I 524
— Finnland u. benach- bartes Rußland	CBI 1906		600	— — Insekten	07 I 322
— Flöha (Sachsen), Pa- läontologie	08	I	313	— österr. Velebit	08 II 289
— Frankreich, Amphi- bien u. Reptilien	07	I	310	— Ohio, Petroleumfüh- rung	06 II 388
— — Gard, Tektonik	09	I	366	— Osnabrück, Piesberg- Sattel, oberes	09 II 251
— — Lothringen, Stein- kohle, erbohrte	07	II	283	— Pittsburgh, Penn., Sau- rier	08 II 268
— — nördliches, Archi- mylacriss Desaillyi	08	II	110	— rhein. Schiefergebirge, Grauwacke (Arkose)	09 II 217
— Gereese-Gebirge, Un- garn	CBI 1905		391	— Rheinland-Westfalen, Deckgebirge	06 II 105
— Griechenland	CBI 1909		84. 755	— Rheintal, unteres, Salz und Kohle	07 II 283
— — Argolis	CBI 1909		84	— russ.-arktisches Meeres- gebiet, Fusulinen	09 I 146
— — Attika	09	II	430	— Saar u. Nahe, Zwei- schaler	08 I 133
— Großbritannien, Flo- ren u. Pflanzen	06	II	459		
— Harz, Nautilus cul- miensis in Culmgrau- wacke	08	I	145		

Carbon

— Saarbrücker Schichten u. Pfalz, Pflanzen	1909	I	303
— Sachsen-Meiningen	06	II	410
— Schwadowitz	07	I	82
— Süd - Ussuri - Gebiet (Permocarbon)	BB XXVII		509
— Sumatra	07	II	449
— — Foraminiferen, Korallen u. Hydrokorallen	07	I	487
— — oberes	07	I	327
— — S.-W.-Djambi	CBI 1907		484
— Teutoburger Wald, oberes	09	II	247
— Tian-Schan, Fauna d. untercarb. Transgressionsmeers	BB XXVI		213
— Tonkin, Pflanzen	08	I	309
— Trient, Pflanzen im Glimmerschiefer	05	II	90
— Ural, sdl., Guberlins-kische Berge, unteres	CBI 1906		131
— — u. Timan, Brachiopoden u. Einteilung d. oberen	05	I	531
— Victoria, Australien, Fische	05	II	480
— Virginien, westliches, schwarze Hornsteinschicht (Kanahwa black flint)	06	I	277
— Vogesen, Pflanzen	1908	I	460. 461
— Westalpen	07	II	441
— Westfalen u. Campine	05	I	456

Carbonate

— Analyse	CBI 1908		48
— der Säuerlinge	1908	I	361. 362
— von Calcium, siehe Calciumcarbonat und -hydrocarbonat.			

Carbonicola palatina u. saravana, Ottweiler Schichten, Saar und Nahe	08	I	133
--	----	---	-----

Carborundum, Cañon Diablo-Meteoreisen	07	I	364
---------------------------------------	----	---	-----

Carcaro, Ligurien, Nephritlagerstätten d. südl.	08	II	210
---	----	----	-----

Carcharodon Arnoldi u. Braueri, Kalifornien	08	II	443
---	----	----	-----

— auriculatus, Eocän, Brüssel	05	II	315
-------------------------------	----	----	-----

— humilis, untermediterran, Felsösztergaly, Kom. Nógrád	06	I	125
---	----	---	-----

Cardiaster africanus, Kreide, Pondoland	1907	II	306
---	------	----	-----

Cardiocarpus acroreniformis, dubius, pachydermus u. sub-Ottonis, Rotliegendes, Oppenau	08	I	457
--	----	---	-----

— angustodumensis, nummularis u. tenuis zu Cyclocarpus	09	I	461
--	----	---	-----

— sclerotesta var. major, zu C. drupacens	09	I	461
---	----	---	-----

Cardiocephalus Sternbergi, Perm., Texas	07	I	148
---	----	---	-----

Cardioceras Dieneri u. lambertoides	07	II	443
-------------------------------------	----	----	-----

— Lorioli, Malm, Brünn	08	I	422
------------------------	----	---	-----

— vagum u. Zenaïdae, Jura, Moskau etc.	05	I	131
--	----	---	-----

Cardioconchae, Naples-Fauna, Nordamerika	CBI 1905		385
--	----------	--	-----

Cardiomorpha (?) gymnitum, Buloger Kalk, Bosnien	05	I	105
--	----	---	-----

— Haydeni, Muschelkalk, Himalaya	08	II	241
----------------------------------	----	----	-----

Cardita camerunensis, ? Eocän, Kamerun	06	II	123
--	----	----	-----

— (?) granigera, Kreide, Bregenzer Wald	BB XXVII		22
---	----------	--	----

— Guembeli, Gansingen	BB XXV		104
-----------------------	--------	--	-----

— cf. Guembeli, Trias, Corfu	BB XXI		299
------------------------------	--------	--	-----

— libyca = C. Beaumonti, Danien, libysche Wüste	06	I	320
---	----	---	-----

— longa, Paläocen, Saratow	05	II	121
----------------------------	----	----	-----

— upwarensis, untere Kreide, England	08	I	133
--------------------------------------	----	---	-----

Cardium aff. arcella und Platovi, Miocän, Novotcheskalk	07	I	114
---	----	---	-----

— budaense u. Vaughani, Buda limestone, Kreide, Nordamerika	06	I	308
---	----	---	-----

— Bullen-Newtoni, Kreide, Umkwelane Hill, Zululand	06	I	308
--	----	---	-----

— čerevičianum, pseudo-productum u. quadricristatum, Hypersenon, Peterwardeiner Gebirge	06	II	268
---	----	----	-----

— coislinense, cornutum, Dumasi, gonetense, Marchandi u. Pissarri, Eocän, Loire inférieure	06	I	468
--	----	---	-----

- Cardium Griesbachi*,
 Kreide, Pondoland . 1907 II 306
 — Lenzi, ? Eocän, Ka-
 merun 06 II 123
 — Melvilli, Tertiär, Or-
 mara-Kap, Mekran-
 Küste, Beludschistan . 06 I 118
 — Netschaewi, notatum
 u. ? punctatum, Paläo-
 cän, Saratow 05 II 121
 — productum, Kreide,
 Bregenzer Wald . BB XXVII 27
Carlosit, Kalifornien, San
 Benito River (Neptunit) . 08 II 302
Carminspat, Cornwall,
 Hingston Down mine CBI 1909 715
Carnallit
 — Isotrimorphismus . . CBI 1908 710
 — roter, farb. Substanz . 08 II 9
 — Umformung unter
 allseitigem Druck . . . 09 I 165
 — Zwillingsbildung . . BB XXIII 252
 — Beienrode, krist. und
 optisch . . 1907 I 192 Festband 121
 — Staßfurt, regelm. Ver-
 wachung mit Eisen-
 glanz CBI 1909 168
Carnallit, Deutschland,
 im Zechstein 09 II 305
Carnotit
 — nicht heliumhaltig . . 07 I 9
 — Nordamerika, radium-
 haltig 05 I 10
Caroloameghinia, *Caroloa-*
meghinidae, Kreide,
 Patagonien 05 I 167
Carolodarwinia, Kreide,
 Patagonien 05 I 168
Carolozittelia, *Carolozit-*
telidae, Kreide, Pata-
 gonien 05 I 168
Carotis interna, Foramen,
 bei Reptilien CBI 1906 336
Carpinoxylon Pfefferi,
 westl. Verein. Staaten . 09 I 149
Carpithes Judithae, Ju-
 dith river beds, Nord-
 amerika 07 I 440
Carpocanistrum conicum,
 Scaglia, Euganeen . . 06 I 475
Carpolithes globularis, Jura,
 China 07 II 342
Carpolithes allamandae-
formis und *lirioden-*
droides, Paläocän, Le-
 val (Hennegau) 09 II 491
Carpolithes Yamadei,
 Trias, Yünnan 1907 II 342
Carpolithus dubius und
juglandiformis, Mata-
 wan-Formation, New
 Jersey 07 I 495
 — *douglasensis*, *elonga-*
tus, *olallensis*, *orego-*
nensis 07 II 503
 — *evonymoides* u. *vac-*
ciniioides, Kreide, New
 York 08 I 456
 — Storrssü 07 II 501
Carposphaera minima,
 Kreide, Euganeen . . . 06 I 474
 — *miocaenica* u. *Ugo-*
linii, Miocän, Italien . 09 II 490
Carrara
 — Mineralien im Marmor
 1906 II 175. 176 . . . 07 I 214
 — Schwefel im Marmor . 06 I 9
Carstenia? tuberculata,
 Kreide 07 II 150
Caryatis abbreviata, Se-
 non, Südpersien 06 I 445
 Casale b. Busambra (Pa-
 lermo), Liasmuscheln . 06 I 319
Cassianella Dieneri, Pachy-
 cardientuffe, Seiser Alp . 07 II 336
Cassianer Schichten, *Epi-*
dauros (Argolis), *Ce-*
phalopoden Festband II. 12
Cassidulidi conoclypei-
formi u. *Conoclypeidi* . . 09 II 484
Cassidulus umbonatus,
 Kreide, Pondoland . . 07 II 306
Cassiterit, siehe Zinnstein.
Castalia Stantoni, Judith
 river beds, Nordame-
 rika 07 I 440
Castor neglectus, Unter-
 pliocän, Salmendingen
 u. Melchingen, Bohn-
 erze 1908 I 125. 127
 — *plicidens*, Quartär,
 Maspino 05 II 126
 — siehe auch Bieber.
Catamarca, Prov., Argen-
 tinien, Geologie BB XXII 568
Catastylops, Kreide, Pa-
 tagonien 05 I 168
Caturus, lith. Kalk, Nu-
 splingen 09 I 454
Caub, Geologie 07 II 88
Caulinites inquirendus,
 Kreide, Long Island . 07 I 495

- Causea formosa*, Silur., Upsala 1906 I 102
Caviidae, Tertiär, Patagonien 07 II 327
Cavolinit, Vesuv, von 1906 08 I 209
Ceanothus constrictus, Kreide, New York 08 I 456
Cebidae, amerik. Eocän 05 I 330
Cedroxylon cedroides u. *transiens*, Jura?, König-Karls-Land 09 I 301
Celastrrophyllum albaedomus 07 II 505
— *elegans*, Matawan-Formation, New Jersey 07 I 494
— *marylandicum* 07 II 506
— *saliciforme* 07 II 505
Celebes
— Geologie 09 I 243
— mesozoisches Land u. Meer 07 I 116
Celechovic, Devon, Mähren 05 I 126
Celit im Portlandzement 08 I 250
Cellaria subsetigera, Tertiär, Patagonien 05 II 141
Cellarina patagonica, Tertiär, Patagonien 05 II 141
Cellepora formosensis, Miocän, Formosa und Riu-Kiu 06 II 309
— *laevigata*, Tertiär, Patagonien 05 II 141
— *plana*, ob. Bourdigalien, Mokattam 05 II 485
Celsian
— optisch 07 I 352
— Zusammensetzung etc. — siehe auch Paracelsian. 05 II 17
Celtites Emilii, Aonoides-Schichten, Epidauros (Argolis) Festband 25
— *fortis* (Reiflingites), Han Bulog-Kalke, Hydra BB XXV 457
— Halli, mittl. Trias, Nevada 06 II 304
— *kërens*, Untertrias, Albanien 08 II 400
Cembra cembrifolia, Bernstein, Ostpreußen 09 I 308
Cementation, belt of CBl 1906 606
Cementit, siehe Zementit etc.
Cenellipsis biacutus und *microporatus*, Scaglia, Euganeen 06 I 475
Cenellipsis communis, Kreide, Euganeen 1906 I 474
— *ovoides*, Simonellii u. Ugolinii, Miocän, Italien 09 II 490
Cenoman
— Böhmen, Klippenfazies 06 II 427
— Nordwestdeutschland, Belemnites u. *Actinocamax* 06 II 426
— Ostafrika BB XXVIII 202
Cenosphaera amissa, cretacea u. euganea, Scaglia, Euganeen 06 I 475
— *De Stefanii* u. *Taramellii*, Miocän, Italien 09 II 490
— *polyedrica*, Teoli und *triquetra*, Kreide, Euganeen 06 I 474
Centroceras altisellatum?, *angustilobatum*, *curvispina*, enkebergense, *oxyacantha* u. *umbilicatum*, ob. Oberdevon, Enkeberg BB XXVI 586
Centronella Arcei, Devon, Bolivia BB XXV 555
Centropristis integer, Otolithen, Tertiär, Oesterreich 07 I 481
Ceolophysis Bauri und *longicollis* 09 I 288
Cephalaspis, paarige Körperanhänge 05 II 134
Cephalodiscus, Organisation 05 II 95
Cephalomyidae und *Cephalomys*, Kreide, Argentinien 05 I 169
Cephalopoden
— Himalaya 1905 II 319. 320
— Schwaben, Grenzdolomit BB XXV 115
Cephalopodengebisse, fossile 1908 I 301. 303
Cephalotaxopsis carolinensis 07 II 501
— *rhytidodes* 07 II 504
Cepola praerubescens u. *voeslauensis*, Otolithen, Tertiär, Oesterreich 07 I 481
Ceram, ind.-austr. Archipel, Geologie 1905 I 106 BB XXII 403
Ceramix, balt. Bernstein, Deutung 07 I 323

Ceraterpeton divaricatum u. tenuicorne, Carbon, Nordamerika	1909 II 134	Cerithienkalk, Senon, Dä- nemark	1906 I 310
Ceratina disrupta, Floris- sant, Col.	07 I 321	Cerithienschichten, Ter- tiär, Großkarben	09 II 465
Ceratites, Einteilung	08 II 242	Cerithiopsis veslensis, Eocän, Paris	07 II 303
— antecedens und Ab- stammung d. Nodosen	CBl 1907 528	Cerithium, Synonymik	08 I 444
— boljevicensis, Muschel- kalk, Montenegro	05 II 140	— argent. Cordillere, Neo- com—Aptien	BB XXIII 206
— bosnensis (Bosnites), Han Bulog-Kalke, Hy- dra	BB XXV 455	— Aguilerae, Cuauhteny- ci, potosianum u. sub- carnaticum mit var. acuticostata, Senon, Cardenas, Mexiko	08 I 102
— Devasena, Padma u. superbiformis, Muschel- kalk, Himalaya	08 II 243	— alvincense, Apulumium, Herepeyi, Kochi, Loc- zyi u. Pethöi, obere Kreide, Alvincz	05 I 302
— Kernerii var. graeca, Aonoides-Schichten, Epidauros (Argolis)	Festband 26	— anaroides, Deeckei u. pommeranum, ob. Ju- ra, Pommern	06 II 102
— labiatus (Proteites), Hallstätter Kalk, Epi- dauros (Argolis)	Festband 9	— Beyschlagi u. Zeisei, mittl. Gault, Alger- missen	05 I 317
— cf. Thuilleri, Han Bu- log-Kalke, Hydra	BB XXV 455	— cf. carnaticum, detrec- tatum, liberorum, re- gens u. trilinum, Hy- persenon, Peterwar- deiner Gebirge	06 II 267
Ceratocoenia tenuis, Jura, Frankreich	07 I 487	— cimbricum, cingulatum, exsculptum u. zigzag, Paläocän. Rugaard, Kattegat	08 II 103
Ceratodus hieroglyphus, Laramie-Stufe, Mon- tana	09 II 137	— (?) climacophorum, unt. Santonien, Frankreich	06 I 318
Ceratopsiden, Amerika	1909 I 449. 450	— couzonense, ? lugdu- nense u. ? Reboursi, Zone d. Lioc. concavum, Couzon-au-Mont-d'Or b. Lyon	05 I 464
Ceratorhinus sansaniensis u. simorreensis, Ober- miocän, Oberkiefer- bezeichnung	09 II 121	— dichachondratum = gallicum u. C. hetero- stoma = Horizostoma, Kreide, Sachsen	06 I 317
Ceratosauros nasicornis, Schädel	09 I 443	— faxense, fenestratum, globuliforme u. pseudo- telescopium, Danien, Dänemark	06 I 309
Ceratotrochus Amphitri- tes = Trochocyathus Amphitrites, Gosau	09 II 141	— Frickei, Schrammeni u. Wunstorfi	07 II 468
Cercopithecidae, amerik. Eocän	05 I 330	— hyperacrum, Conia- cien, Frankreich	06 I 318
Cereidoxylon Zirkeli, westl. Verein. Staaten	09 I 149	— Koeneni, Paläocän, Sa- ratow	05 II 121
Cerillos Hills, Neu-Mexiko, Geologie	08 I 436	— Moltkeanum, Ober- senon, Dänemark	06 I 309
Cerithella Cureti, Kreide. Orgon (Bouches-du- Rhône)	06 I 318		
Cerithien			
— besonders des älteren Tertiär	CBl 1909 203		
— Gruppe C. tricarina- tum, Tertiär, Frank- reich	06 II 452		
— Pariser Becken, Mu- tation	09 II 465		

Cerithium Ambonii, Kreide, Calloneghe	1905	I	317	Cetaceen			
— somaliense, Tertiär, Somaliland	07	II	303	— Fayum, Tertiär	1907	II	315
— strangenbergicum, Ba- thonien, Stranzenberg b. Rufach, Oberelsaß	BB XXVI		73	— Ost- u. Westpreußen, Knochen	09	I	434
— Suessi, Tithon, Sardinien	BB XXIII		464	— Tscheleken, Kasp. Meer, Delphinreste, Pliocän, Insel	09	II	118
— (?) texanum, Buda limestone, Kreide, Nordamerika	06	I	309	— siehe auch Wale.			
Ceritmineral, westl. Ruß- land, ancyllitähnlich	05	I	375	Cetaceengebiß, phylogenet. Entwicklung	06	II	294
Cerna-Gebirge, Karpa- then, Schneegrenze	05	I	407	Cetiosauridae	09	I	289
Ceromya angusticostata, Glandarienkalk, Sy- rien	06	I	279	Cetorhynchus atavus, Miocän, Antwerpen	07	I	135
— Battelii, Lias, Zentral- apennin	06	II	145	Ceylanitgesteine, Elba	08	II	211
— isocardioides, Kreide, Kieslingswalde	05	I	301	Ceylon			
Ceropalites infelix, Ter- tiär, Florissant, Col.	07	I	321	— Gesteine	06	I	182
Cerro Mercado, Mexiko, Geol. u. Eisenerze	05	II	201	— Korund bei Kandy	05	II	13
Cerussit, siehe Weißblei- erz.				— Mineralvorkommen	05	II	353 ff.
Cervantit, Calafuria, südl. Livorno, im Ma- cigno	06	I	169	— Steinzeit	08	II	255
Cervus kendengensis, li- riocerus u. palaeomend- jangan, Kendeng- Schichten, Java	09	I	118	— thorhaltige Mineralien	05	II	353 ff.
— cf. Matheroni, Pliocän, Cueva Rubbia, Span- nien	07	II	13	— verkieselte Kalke m. Hornstein, Opal und Chalcedon	05	II	392
— pliotarandoides, Plio- cän, Piemont, Geweih	06	II	132	Chabasit			
— rhenanus (Axis) und teguensis, Pliocän, Tegelen (Limburg)	06	I	141	— Kontraktionsfiguren b. Behandlung m. Säuren	08	I	336
— suevicus, Unterplio- cän, Salmendingen u. Melchingen	1908	I	125. 128	— Annerod, Oberstein u. Striegau (Fuchsberg), Glühverlust	06	I	22
Cestracionten				— Belfast	CBI 1908		176
— Carbon, Nordamerika	05	II	133	— Biella, Piemont, Dru- sen im Syenit	06	II	40
— mittl. Trias, Nord- amerika	08	II	446	— Erythraea (Sciket)	08	II	36
Cetaceen	1909	II	113 ff. 119 ff.	— Färöer	09	I	28
— Hüftbeinrudimente	09	II	113	— Fellberg in Petersdorf b. Zöptau (Mähren)	CBI 1905		610
— Stammesgeschichte	09	I	438	— Gellivara-Erzberg	06	I	350
— Urwale	09	II	119	— Grönland, Ost-, im Ba- salt	06	II	185
— Dänemark, Tertiär	06	I	445	— Montorfano (Baveno)	07	I	40
				— Osawa, Japan	09	I	193
				— Sardinien (Montresta)	1909	II	26. 195
				— Zöptau, Mähren	06	I	343
				— u. Substitutionsderi- vate	06	II	337
				Chablais, Tektonik der Alpen u. Voralpen	06	I	243
				Chablais-Breccie, Belem- niten u. Radiolarien	09	I	401
				Chablais-Stockhorn-Zone, Geologie	06	I	81
				Chaenohyus, John Day series	07	I	304
				Chaetomites intricatus, mitteleoc. Dysodil			
				Melilli, Sizilien	05	II	152

- Chaînes subalpines b. Grenoble, Geol. 1905 I 277. 278
 Chalcedon BB XXV 183
 — Verhältnis zu Quarz u. Opal CBI 1908 632
 — Ceylon, im verkieselten Kalk 05 II 392
 — Concepcion del Oro, Zacatecas, Mexiko BB XXVIII 523
 — Färöer 09 I 29
 — Hinojosa de Cordova (Andalusien) BB XXIV 214
 — Idar BB XXV 211
 — Japan (Sorobandamaisi) 09 I 179
 — Kaukasus, Schwarzmeerdistrikt 07 II 181
 — Kerguelen BB XXV 216
 — Mytilene BB XXV 215
 — Prinz-Rudolf-Insel 06 I 35
 — Sachalin, pseudom. n. ? Flußspat 08 II 334
 — San Miguel, Luzon 06 I 359
 — Tabor-Gegend, Böhmen 09 II 366
 — Trestyan BB XXV 212
 — Warstein, im Eisenkiesel BB XXI 449
 — Weitendorf (Steiermark), auf Hohlräumen im Basalt BB XXVII 249
 — und verkieseltes Holz, Martinique 05 I 373
 Chalcis praevolans, Miocän, Florissant, Col. 08 II 111
 Chalcolith, Entwässerung etc. 05 II 369
 Chalcophyllit, Wasserverlust u. Brechungsindizes 05 II 368
 Chalcopyrit, siehe Kupferkies 05 I 18
 Chalkanthit, siehe Kupfervitriol.
 Chalkostibit, s. Kupferantimonglanz.
 Chalmasia persica, Kreide, Südpersien 06 I 444
 Chalmersit
 — Morro - Velho - Grube, Brasilien, Krist. 09 I 21
 — St. John del Rey-Mine, Brasilien CBI 1906 332
 Chalybion mortuum, Miocän, Florissant, Colorado 08 II 111
 Chama Töröki (= Ch. callosa), Hyperesenon, Peterwardeiner Gebirge 1906 II 268
 — multicostata, Granulatenkreide, westl. Münsterland 08 I 428
 Chamaecyparis Casparyi, Schenkii u. Sommerfeldii, Bernstein, Ostpreußen 09 I 308
 Chamosit-Oolithe, brauner Jura, südwestl. Alb 08 II 92
 Chamossaire, schweiz. Vor-alpen, Geologie 08 II 388
 Champsodelphis, Boldérian, Antwerpen 1907 I 132. 137
 Champsosaurus ambulator u. laramiensis, Osteologie 09 I 132
 Chapmania aegyptiensis u. gassinensis 05 II 487
 — gassinensis, Ober-eocän, Gassino (Turin) 06 I 473
 — Oligocän, Toscana 05 II 158
 Charakter, optischer, Bestimmung 08 II 141
 Charitemys captans, Nordamerika 09 I 452
 Charnokit, Ceylon, mit Pyroxenit 07 I 392
 Charriage, Ursachen 07 II 49
 Charteronia costigera, Toarcien 05 II 321
 Chasmothorium, Verwandtschaftsverhältnisse 1906 II 280. 291
 — Cartieri u. minimum, Eocän, Schweiz 05 I 492 ff.
 — Stehlini, Yprésien von Cuis (Marne) 06 II 281
 Chatanga-Gebiet (Sibirien), Expedition v. Tolmatschow CBI 1905 353. 615
 Châtillon-Lachat-Kette, Savoyer Alpen, Geologie 05 II 251
 Chazy limestone, Nordamerika, Fauna 06 I 300
 Cheiloceras (Centroceras), ob. Oberdevon, Enkeberg BB XXVI 586
 — acutum?, circumflexum u. Verneuilii, ob. Oberdevon, Enkeberg BB XXVI 583

Cheiloceras-Schichten, Oberdevon, Enkeberg b. Brilon	BB XXVI 572	Chile — Salpeter	1905 I 262
Cheilostomellidae, System d. leb. u. foss.	1905 II 329	— — Entstehung 1906 I 238	07 I 88
Cheiromyoidea, amerik. Eocän	05 I 328	Chilina olivula, Cenoman, Südfrankreich	07 II 132
Chelidosauria, Beziehung zu Diadectidae, Osteo- logie	07 I 314	Chimaeriden, Zähne und Eier im Jura	05 II 134
Chelléo—Moustérien. Ar- cueil	08 I 437	China — Erzlagerstätten	09 II 79
— d. ält. Steinzeit	06 I 127	— Geologie des inneren, nach FUTTERER	09 II 260
Chelonier, Tertiär, Bel- gien	05 II 474	— Gesteine d. nordöst- lichen	07 II 73
Chemie, physikalische, u. Kristallographie	06 II 313	— paläozoische Pflanzen — u. triad. Versteine- rungen	08 I 452 05 II 298
Chemische Analyse — oder optische Bestim- mung	05 II 169	— Schmuck- u. Edel- steine	05 II 5
— und optische Bestim- mung	05 II 169	— Trias-, Jura- u. Kreide- pflanzen	07 II 342
Chemische Klassifikation d. Eruptivgesteine	05 I 412	Chinastone, Cornwall, Zinnerlagerstätten, mit Feldspat	BB XXVIII 29
Chemische Kosmographie CBI 1905	91	Chinchillidae, Tertiär, Patagonien	07 II 324
Chemische Kristallographie	05 II 174	Chione Hallii, Kergueleni u. permagna, Tertiär, Kerguelen	07 II 128
Chemisch-kristallograph. Grenzgebiet	06 I 322	Chirogaleus, amerik. Eo- cän	05 I 333
Chemische Petrographie, eine Grundfrage der	CBI 1907 2	Chiromyidae, amerik. Eocän	05 I 331
Chemisch-physikalische Mineralogie	CBI 1905 629	Chitichun-Klippe, Zentral- Himalaya, perm. Ver- steinerungen	05 II 278
Chemische Vorgänge bei Metamorphismus	CBI 1906 609	Chlamydotheriidae, Krei- de, Patagonien	05 I 170
Chemische Zusammen- setzung — Ermittlung ohne Ana- lyse	05 I 11	Chlamys Bouryi, Eocän, Paris	07 II 303
— d. Eruptivgesteine, Diagramme v. IDDINGS CBI 1905	249	— capensis, Kreide, Pon- doland	07 II 306
Chemnitzia acutissima, ob. Kreide, Alvinz	05 I 302	— Grossouvrei u. jani- roides, Bathonien, St. Gaultier (Indre)	08 I 262
— cf. Castor, Tithon, Sar- dinien	BB XXIII 464	— leptosticta, Eocän, Loire inférieure	06 I 154
— Romani, Zone d. Lioc. concavum, Couzon-au- Mont-d'Or b. Lyon	05 I 464	Chloanthit, Markirch	09 I 25
Chevalieria cylindroides, Eocän, Paris	07 II 303	Chloralsulphydrat, Krist. Chlorat u. Nitrat v. Ka- lium, Isomorphismus	07 I 104 08 I 318
Cheviot-Granit, Kontakt- metamorphose	05 I 430	Chlorcalcium, Entstehung in ozean. Steinsalz- lagerstätten	08 II 159
Cheviot Hills, Granit- kontakt	05 I 430	Chlorcitromalsäure, in- aktiv, krist.	07 I 96
Chiastolith, Korea	08 II 333		
Childrenit, Greifenstein b. Ehrenfriedersdorf	CBI 1908 333		

- Chloride, Rolle bei vulkan. Eruptionen . . . 1907 II 392
- Chlorit
- Einwirkung von Radiumbromid CBI 1909 69
 - pleochroit. Höfe . . . CBI 1909 142
 - Temperatur, bei der H₂O entweicht . . . CBI 1908 578
 - Affaccata, Elba . . . 07 II 39
 - Biella, Piemont, Drusen im Syenit 06 II 36
 - Connemara, Wales, im Marmor CBI 1909 775
 - Easton, New Jersey, Anal. (Prochlorit) . . . 06 I 354
 - Grönland CBI 1908 379
 - mährisch-schlesische Schalsteinformation . CBI 1906 293
 - Nagolnij Krjasch, Donetz-Becken 1907 II 196. 197
 - Schmiedeberg (Riesengeb.), im Granit (Orthochlorit) CBI 1909 772
 - Susa-Tal, im Prasinit d. Rocca Bianca 1906 II 105 ff.
 - siehe auch Klinochlor.
- Chloritbanatit, Zentral-Kaukasus 07 I 71
- Chloritoid
- Genf, im Euphotid d. Erraticums 05 I 244
 - Strettoia (apuan. Alpen) 07 II 38
 - Syra 09 II 224
- Chloritschiefer
- Raspenau, Böhmen, im körn. Kalke des Kalkbergs 06 I 57
 - Sterzing BB XXII 547
- Chlormanganokalit
- Vesuv 1909 II 331 CBI 1907 601
 - — mit Eisenglanz . . . CBI 1908 52
- Chlormagnesium, -Nickel u. -Kobalt mit 6 H₂O, Kristallform, Deformationen u. optisch 06 I 92
- Chlornatrium, Variation der Kristalltracht . . 08 II 158
- siehe auch Steinsalz.
- Chlornatriumhydrat, Kempdjaisksche Salzquelle im Jarkutskischen Gebiet, Bildung 09 II 12
- Chlornatrokalit
- Vesuv 07 II 15
 - — Eruption von 1906 08 I 208
 - — ein Gemenge 09 II 332
- Chloromelanit
- optisch 1905 I 378
 - Sammlung v. HEBER R. BISHOP, New York 05 I 29
 - Piemont u. Ligurien . 05 II 67
- Chloropal, Regens b. Ig-lau, mit Graphit . . . 06 II 173
- Chlorophäit, Färöer . . . 09 I 29
- Chlorophan, Ursache der Phosphoreszenz 08 II 144
- Chlorsaures Natrium, Polymorphismus 09 I 162
- Chlorsilber
- Piezopleochroismus . CBI 1908 393
 - Markirch 09 I 24
 - Nagolnij Krjasch, Donetz-Becken 07 II 194
- Chlorür u. Bromür von Baryum, Isomorphismus 08 I 319
- Choeropotamus, Bartoni-en, Castrais 05 II 303
- Choffatella decipiens, Gault, Portugal u. Isère . . . 05 II 488
- Choffaticeras, Kreide . . 07 II 148
- Cholesterin, propionsaures, flüssige Kristalle 09 I 5
- Cholesterinverbindungen, anisotropflüssig 09 I 332
- Chondroarsenit, Pajsberg, ist Sarsenit 07 II 376
- Chondrit
- Amana = Iowa 07 I 363
 - Coon Butte, Arizona 07 II 386
 - Finnland, Hvittis und Pillistfer, Livland . . . 07 I 357
 - Hendersonville, N. C. 07 I 366
 - Shelburn 07 I 365
 - St. Mark's, Transkei 07 I 369
- Chondrostroma globuliferum, intermixtum, problematicum und vermiculiferum, Kohlenkalk, Namur 07 I 137
- Chonetes Buchiana und Buchiana var. interstriata, comoides, concentrica, Dalmaniana, hardrensis und papilionacea, Culm, Königsberg b. Gießen BB XXVIII 621 ff.
- curta, Devon, Ostthüringen BB XXIV 286
 - falklandicus, Rücki Stübels, Devon, Bolivia BB XXV 545

- Chonetes Mölleri und timanica, Obercarbon, Ural und Timan . . . 1905 I 534
- papilionacea, untercarb. Transgressionsmeer, Tian Schan . . . BB XXVI 230
- spinosa, Carbon, Neu-Süd-Wales 05 II 324
- Choneziphius, Miocän, Antwerpen 07 I 135
- Choniocardia Oppenheimi, Eocän, Loire inf. 06 I 154
- Christianiagebiet, Eruptivgesteine, BRÖGGER'S Katalog 06 II 196
- Christianiagesteine, Diluvium, Westfalen . . . CBI 1907 176
- Christobalit, Mayen 05 II 356
- Chromate von Ba, Pb u. Sr, künstl. Kristalle . . . 06 I 30
- Chromatolyse BB XXVIII 344
- Chromdiopsid, Dubostica, Bosnien, im Lherzolith, bildet durch Umwandlung Chromit 05 II 388
- Chromseisen
- Meteoriten, chem. 09 I 360
- Nordamerika, Produktion 05 I 208
- Serbien, südl., kristallisiert 09 II 335
- Ural, Jekaterinburg 09 II 41
- Chromeisenerzlagerstätte, Dubostica, Bosnien, Entstehung 05 II 383
- Chromglaserit, Zwillingsbildung BB XXIII 269
- Chromgranat, Orford, Quebeck, Cr-Gehalt 06 II 323
- Chromnatriumsilikate . . . CBI 1908 519
- Chromoocker CBI 1909 333
- Chromocyclittypus des Apophyllit, chemisch . . . CBI 1906 79
- Chrysemys timida, Nordamerika 09 I 452
- Chrysis Rohweri, Miocän, Florissant, Col. 08 II 111
- Chrysoberyll
- Färbung durch Radium 07 II 171
- künstlich (Alexandrit) . . . CBI 1908 179
- Canada, County of Maskinonge, Quebec . . . 07 I 19
- Ceylon 1906 I 179. 183
- Chrysocon, Perforation d. Astragalus 07 I 467
- Chrysokoll CBI 1909 331
- Campiglia (Toskana) 1907 II 37
- Clifton-Morenci-Distrikt, Arizona 07 I 173
- Markirch 09 I 24
- Nagolnij Krjasch, Donetz-Becken 07 II 197
- siehe auch Kieselkupfer.
- Chrysolith, siehe Olivin.
- Chrysophris Döderleini, Otolithen, Tertiär, Österreich 07 I 481
- Chrysopras BB XXV 197
- Porterville, Tulare Co., Cal., etc. 09 I 30
- Chrysotil
- Darstellung d. Kieselsäure 07 I 345
- ist Amianth od. Karystian der Alten 1907 II 22 CBI 1905 491
- Bretagne 08 I 26
- Canada, Entstehung d. Adern im Serpentin . . . 07 I 405
- Nordamerika 05 II 22
- Thetford, Canada, Entstehung d. Gänge 06 II 170
- Chrysotilasbest, Nordamerika 05 I 209
- siehe auch Asbest u. Serpentin.
- Churfürsten, Geologie 06 II 393
- Cicindela-Arten, Phylogenie 07 I 323
- Cidaris Andreae und Payebieni, Jura, Macon 07 II 156
- bellefourchensis, Jura, Volack Hills 08 I 264
- Cragini, Kreide, Honduras 07 II 154
- Jeani u. problematica, Kreide, Ostfrankreich . . . 05 II 326
- Cima d'Asta, Gliederung d. Quarzporphyrdecke . . . 05 II 382
- Cima d'Asta-Region, Geologie 06 II 245
- Cimolichthys, Chalk, England 05 II 137
- Cimoliosaurus, White Cliffs, N.-S.-Wales, in edlen Opal verwandelt 07 I 145
- Cimolit CBI 1909 332
- Bilin, aus Augit 08 II 307
- Kaiserstuhl, nach Augit CBI 1909 333

Cincinnati, Interglazial, Wallensen, Hilsmulde	1905	I	144	Cladophlebis koraiensis, Jura, Korea	1907	II	343
Cincta pernummus	08	II	114	— pecterooides u. vac- censis	07	II	503
Cinctae, Rippenbildung	08	II	113	— Raciborskii, Carbon, Tonkin	08	I	310
Cingularia typica, Carbon	09	II	492	— yamanoensis, Rhät, Nagota, Japan	07	II	341
Cinnamomum africanum u. eocaenicum, Eocän, Fayum	09	I	308	Cladoselache, Cleveland Shales, gestreifte Mus- keln	05	II	478
— crassipetiolatum, Krei- de, New York	08	I	456	Cladosictis, Santacruzeno, Patagonien	07	I	307
Cinulia cannabis	07	II	469	Clanculus infraeocaenicus, Eocän, Paris	07	II	303
— danica, Oberseanon, Dänemark	06	I	309	— tschapanitanus, Pachy- cardien-Tuffe, Seiser Alp	CBI 1905		177
— incisa, Kreide, Schaum- burg-Lippe'sche Mulde	06	I	442	Clansayes-Fauna — Bettmar bei Braun- schweig	CBI 1907		266
Cionella exigua, Alter- tär, Ulm	08	II	104	— Dauphiné	06	I	312
Circe carpathica, Spasser Schiefer, Kreide, Ost- karpathen	07	I	436	Clathropteris egyptica, Aegypten	08	I	149
— crassatellaeformis und Dumasi, Eocän, Loire inférieure	07	II	302	— meniscioides	08	I	143
Circopeltis Cannati, Eo- cän, Aude u. Hérault	07	II	156	Claudetit, Szomolnok, chemisch	05	I	372
Cirripeden, tert. Riesen- form v. Neuseeland (Pollicipes ? aucklandi- cus)	05	II	317	Clausilia antiquior, Alter- tär, Giengen bei Ulm	08	II	104
Cistecephalidae, Systema- tik	07	I	480	— brevis, oligocaenica, physoides u. Wetzleri, Alttertiär, Ulm	08	II	104
Cistella arthonensis, Eo- cän, Loire inf.	07	II	302	— brueheimensis	07	II	459
Citrin, Färbung u. deren Änderung	BB XXVI		278	— grandis u. randeckia- na, Tertiär, schwäb. Alb	CBI 1908		590
Cladiseites, Rassenpersi- stanz	CBI 1909		200	Clava, Synonymik	08	I	444
— primitivus, latin. Stufe, Dobrudscha	08	I	419	Clavigerina sinensis = Sa- grina nodosa, Plio- cän, Siena	06	II	309
— striatulus, Cassianer Schichten, Epidauros (Argolis)	Festband 13			Clavijopsis Staubi, Ter- tär, Eichelskopf b. Homburg	09	I	148
Cladiseitinae, Beziehung zu Ptychitiden	CBI 1906		275	Clavilithes Lemarchandi u. Loisei, Eocän, Paris	07	II	303
Cladodontiden, paläoz., Skelett vergl. mit re- zenten Selachiern	05	II	313	Clavulina parisiensis var. multicamerata, Victo- ria, Austr.	09	I	144
Cladodus Neilsoni, Ske- lett vergl. m. Chlamy- doselachus anguinus	05	II	313	— Szaboi-Schichten, Kru- hel maly b. Przemysl, Foraminiferen u. Mol- lusken . 1905 II 434	06	I	472
Cladophlebis acuta var. angustifolia	07	II	506	Clearwater Mountains u. Bitter-root Range, Montana u. Idaho	05	II	200
— Fontainei, Jura, Tur- kestan	09	I	147				
— hirta, Rhät, Bornholm	08	I	451				

- Cleavage d. Gesteine . . . 1906 II 56
 Cleiocrinus, Untersilur, Nordamerika 05 II 145
 Clemmys morrisiae, Nordamerika 09 I 452
 Clepsydropsidae, Systematik 07 I 478
 Clepsydropsinae, Clepsydrops, Nordamerika 1908 I 290. 293
 Cliffwood, New Jersey, Kreide 07 II 132
 Clifton bei Karachi, Indien, Sandablagerungen a. d. Küste 05 II 417
 Clifton-Morenci-Distrikt, Arizona, Mineralien 06 I 172
 Clionites californicus, compressus, Fairbanksii, robustus u. rugosus, Subbullatus-Schichten, Amerika 06 II 306
 — Catharinae (Arpadites), Cassianer Schichten, Epidauros (Argolis) Festband 13
 — dobrugeensis, evolutus, Mrazeki u. promontis, ladin. Stufe, Dobrudscha 08 I 419
 — gracilis u. Stantonii, Tropites-limestone, Byans 08 II 237
 — Valentini, Trias, Argolis BB XXV 464
 Clistophaena fossilis, Scaglia, Euganeen 06 I 475
 Clyde-Bassin, Schottland, Flora 06 II 460
 Clymenia Angelini, angustiseptata, annulata, arietina, brevicosta, Buchi, costata, crassicosta, cycloptera, discoidalis, Dunkeri, enkebergensis, Frechi, Guembeli, hexagona, involuta, Kayseri, laevigata, Lotzi, Phillipsi, Pompeckji, protacta, pulcherrima, Roemeri, Sandbergeri, Steinmanni, striata, subarmata, subflexuosa, undulata und valida, ob. Oberdevon, Enkeberg BB XXVI 603
 Repertorium 1905-1909.
- Clypeaster Oppenheimi, Molasse, Veuce, Frankreich 1907 II 157
 Clypeopygus Robinaldinus, Neocom, argent. Cordillere BB XXIII 223
 Clypites tenuis, Meekoceras beds, Idaho 06 II 302
 Cnisma? microdon, Eocän, Loire inférieure 06 I 154
 Cnoc-na-Sroine-Massiv, Nordschottland, Borolanit u. and. Gesteine BB XXII 413
 Cobaltit, siehe Kobaltglanz.
 Coblenzsichten, untere, am Mittelrhein 09 I 272
 Coccoderma suevicum, lith. Kalk, Nusplingen 09 I 453
 Coccodus insignis, Kreide, Libanon 05 II 482
 Coccolithophora leptopora u. pelagica, nordatlant. Ozean 05 I 425
 Cocculus imperfectus u. inquirendus, Kreide, New York 08 I 455
 — minutus, Kreide, Long Island 07 I 495
 Cochise Mining District, Arizona 07 II 418
 Cochleosaurus bohemicus, Gattungsdiagnose 07 I 146
 Cochliodus sancti Ludovici, Carbon, Illinois 05 II 133
 Cochlops, Santa Cruz beds, Patagonien 06 I 456
 Cockburn-Insel, Geol. 1909 II 101. 102
 Codaster aff. pyramidatus, Devon, Bolivia BB XXV 565
 Codiopsis, Arten 05 II 149
 — Valotairei, Kreide, Touraine 05 II 149
 Coelastarte planoexcavata, Zone d. Lioc. concavum, Couzon-au-Mont-d'Or b. Lyon 05 I 464
 Cölestin
 — Beziehung zu Anhydrit 07 I 139
 — Herstellung künstl. Kristalle 05 II 4
 — Synthese und Aetzfiguren 09 I 348
 — Verbreitung in marinen Sedimenten 07 I 209

- Cölestin
 — und Schwerspatverbreitung in der Erdkruste 1907 II 400
 — Bessarabien, Chotinscher Kreis, im Gips 1907 II 378. 379
 — Boratella (Romagna), Kristallform 05 I 40
 — Giershagen, Einwirkg. von Radiumbromid . CBI 1909 71
 — Häring, Tirol 06 II 23
 — Kasan-Gouvernement, im Perm 05 II 191
 — Krim, Lissaja-Berg b. Feodosia 09 II 361
 — Mangischlak-Halbinsel 09 II 361
 — Maybee, Mich. 1906 II 345 07 I 33
 — Paris, Pseudomorphose (sogen. Gerstenkörner) 06 II 347
 — Pariser Becken, in Kalkknollen des Sparnacien 06 II 116
 — Poggio Orlando (Siena), Schwefelgruben 08 II 335
 — Put-in-Bay, Erie-See, Vorkommen 06 II 345
 — Saratow-Gouvernement 07 II 367
 — Sizilien, Kristallform 09 II 199
 — Südpolarländer, Versteinerungsmittel 08 II 321
 — Syrakuse, N. Y. 1905 II 192 07 II 223
 — Tunis, Krist., Pseudom. nach Schwerspat CBI 1905 33
 Cölner Dom, Verwitterung v. Bausteinen 07 II 42
 Coeloceras aegrum, asperum, Avanzatii, fallax, incertum, intermedium, laevicosta, obesum, psiloceroides, simulans, suberassum u. sublaeve, Lias, Monte di Cetona 06 II 143
 — anguinum, annulatum, commune, crassum, Desplaceti, Mortiletti, cf. pettos, subanguinum u. subarmatum, Jura, südwestl. Balkanhalbinsel BB XXI 275
 — Desplaceti u. subarmatum, Kreide, Nancy 06 I 313
 — mucronatum, ob. Lias, Larzac, Cevennen BB XXII 670
 ? Coelostylina arenacea, Keuper, Schwaben BB XXV 112
 — Zieteni, Grenzdolomit, Schwaben BB XXV 108
 Coelostylops, Kreide, Patagonien 1905 I 168
 COHEN, EMIL, Nekrolog . CBI 1905 513
 Cohenit
 — im künstl. Eisen 06 I 243
 — im Meteoreisen = Cementit 05 I 123
 Coilopoceras Colleti, ? Grossouvrei, novimexicanum und Springeri, Kreide 07 II 149
 Coilopoceratidae, Kreide 07 II 149
 Colemanit 09 I 316
 — künstl. Darstellung 08 II 163
 Coleoptera longicornia, balt. Bernstein, BERENDT'sche Sammlung 07 I 323
 Coli Huapi-Stufe, Patagonien 07 II 143
 Colli Berici
 — Geologie 07 II 159
 — Paläontologie 08 II 285
 Collonia (?) Cureti, Kreide, Orgon (Bouches-du-Rhône) 06 I 318
 — excavata, flammulata u. semirugata, Eocän, Paris 07 II 303
 — (?) Lenzi, Hypersenon, Peterwardeiner Gebirge 06 II 267
 — (?) pilula, Coniacien, Frankreich 06 I 319
 — praecursor, Bathonien, St. Gaultier (Indre). 08 I 262
 Collyrites sarcicourtensis, Jura, Haute-Marne 09 II 480
 Colombia
 — erdige und salzige Mineralien 06 I 34
 — Mineralien CBI 1908 182
 — Mittelcordillere, Geol. CBI 1907 720
 — Vulkanberge im Anschluß an STRÜBEL . CBI 1906 429
 — Zentralcordilleren, Geol. CBI 1907 545 CBI 1908 195
 Colorado, radiumhaltige Quellen 07 II 237
 Colpodon, Patagonien, Extremitäten 07 II 138
 Colpodon-Schichten, Molasse, Patagonien BB XXI 174

- Columbella subcarinata,
? Eocän, Kamerun . 1906 II 123
- Columbit
— Japan 07 I 208
— siehe Niobit.
- Columbites europaeus u.
Perrini Smithii, Unter-
trias, Albanien 08 II 399
— parisiensis, unt. Trias,
Idaho 06 II 300
- Colville series, nördliches
Alaska 06 I 93
- Comer See-Gegend, Trias
Cominella ovalina, Pa-
läocen, Saratow 05 II 121
- Composite 08 II 140
- Compositzwillinge und
Viellinge 08 II 140
- Comptonit, Kaden (Böh-
men) u. Pufler Loch
(Seiser Alp), Glüh-
verlust 06 I 25
- Concavus-Zone, Eisenerz-
formation, Lothringen
und Luxemburg 06 I 305
- Concepcion del Oro, Zaca-
tecas, Mexiko, Geo-
logie BB XXVIII 422
- Conchidium Etheridgei u.
Knighti var. stricta,
Oakey Creek, Neu-Süd-
Wales 08 I 279
- Conchit, Skelett d. Kalk-
schwämme CBI 1905 582
- Conchyliden, quartäre, Go-
tha 07 II 459
- Condor, quartär, Bolivia
Condroz, Carbon d. zen-
tralen 05 I 457
- Condylarthra, Patagonien
— Kreide, Patagonien 05 II 466
05 I 168
- Confervites dubius, Mata-
wan-Formation, Cliff-
wood, Nordamerika 07 I 494
- Congeria abchasica, cau-
casica u. mirabilis 06 I 432
- Congerienfauna, Leobers-
dorf b. Vöslau 06 I 113
- Coniferites Fritschii, De-
von, Etage H, Mittel-
böhmen 06 II 146
- Coniopteris lunzensis, Lun-
zer Schichten 09 I 465
— nitidula, Kreide,
China 07 II 342
- Coniosaurus erassidens 09 I 447
- Conites Charpentieri, Car-
bon, Tonkin 1908 I 310
- minuta, Wealden, Ber-
nissart, Belgien 07 I 492
- salzhemmendorfensis,
Jura, Norddeutschland 09 I 462
- Connecticut, Richtung d.
Still Rivers 06 I 94
- Conocardium, Devon, Ost-
thüringen BB XXIV 297
— aliforme, Culm, Kö-
nigsberg bei Gießen BB XXVIII 637
- Davidis, Oakey Creek,
Neu-Süd-Wales 08 I 279
- Conoclypeiden u. Cassi-
dulidi conoclypeiformi 09 II 484
- Conomitra eurycolpa, Eo-
cän, Paris 07 II 303
- Controller Bay, Alaska,
Petroleum u. Kohle 09 I 395
- Conularia, Bau 07 I 155
— acuta, africana, Qui-
chua u. undulata, De-
von, Bolivia BB XXV 512
— Munthei, Wesenberger
Schicht, mittelbalti-
sches Silurgebiet 06 II 298
- Conulariensichten, De-
von, Bolivia BB XXV 580
- Convexastrea Kiliani, Ju-
ra, Frankreich 07 I 487
- Cook Inlet, Alaska
— Mesozoicum 07 I 277
— Petroleum 09 I 395
- Coolgarlie-Goldfeld, nördl.,
Westaustralien 1905 II 400. 401
- Copalit, Olänești, Rumä-
nien 08 I 358
- Copiapit, Ungarn = Jano-
sit 08 II 323
- Coppaelit, Coppaeli, Bol-
sener Gebiet 05 II 224
- Coquimbite, Konstitution
und Entstehung 1908 II 324
09 I 318
- Cora-Horizont, Obercar-
bon, Ural u. Timan 05 I 536
- Coralliophaga vermiculus,
Eocän, Loire inférieure 06 I 468
- Corbicella basterotiaefor-
mis, Eocän, Loire inf.
— claxbiensis, Kreide,
England 08 I 444
— tancredia, ob. Jura,
Pommern 06 II 102

- Corbieula ? cenomanensis, Cenoman. Südfrankreich 1907 II 131
 — connauxensis, Cenoman, Südfrankreich 07 II 131
 Corbis medarum, Senon, Südpersien 06 I 445
 Corbula cercus u. praegibba, ? Eocän. Kamerun 06 II 123
 — dubia, ob. Kreide. Alvinz 05 I 302
 — louristana, Senon, Südpersien 06 I 445
 — Muschetowi, Tertiär, Guldscha, Fergana 05 II 283
 — nematophora var. Fitchi, Kreide, Los Cerillos (Neu-Mexiko) 08 I 436
 — ovoidea, Cenoman, Südfrankreich 07 II 131
 — silatensis, Silat-Gruppe, Kreide, Borneo 07 I 437
 — subvolskensis u. volskensis, Paläocen. Saratow 05 II 121
 — Vasseuri, Eocän. Loire inférieure 07 II 302
 — Zurcheri, Cenoman, Südfrankreich 07 II 131
 Cordaicarpus planus, Kohlenkalk, England 06 II 464
 Cordierit
 — Einwirkung von Radiumbromid CBI 1909 67
 — pleochroit. Höfe CBI 1909 113
 — Alpen, Lagerstätten 08 II 67
 — Brockenmassiv, in Tonschieferhornfels 09 I 55
 — Grönland CBI 1908 409
 — Japan, im Kupfererz v. Hitachi 09 I 191
 — — Pseudomorphosen 07 I 206
 — Linz a. Donau und bayr. Wald, Vorkommen 05 I 30
 — Mt. Pelée u. Soufrière 05 I 255
 — Sulitelma, im Kies 09 II 241
 — Wyoming, in durch Kohlenbrand verändertem Ton 07 I 244
 Cordieritfels
 — Laudenu. Odenwald CBI 1907 66
 — Luisenburg b. Wunsiedel, im Granitkontakt 07 II 64
 Cordieritgneis, Enderby-Land, gedredsch 1906 II 371
 Cordierithornfels, Rican b. Prag 08 I 58
 Cordilleren, siehe Anden, Cordilleren, Colombia, Vorkordillere etc.
 Cordillerites angulatus, Meekoceras beds, Idaho 06 II 303
 Cordoba, Prov., Argentinien, Geol. BB XXII 562
 Cordylodon haslachensis u. Schlosseri, Miocän, Oppeln 05 II 453
 — Schlosseri, Obermiocän, Oppeln 08 II 425
 Coresodon, Kreide, Patagonien 05 I 167
 Coretus Lincki, Alttertiär, Weilheim (Ries) 08 I 433
 Corfu, Mesozoicum BB XXI 213
 Corneit, Ardennen 09 I 111
 Cornetia reniensis, Eocän, Paris 07 II 303
 Cornutanna elegans, Miocän, Italien 09 II 490
 Cornwall
 — Erzlagerstätten 09 II 81
 — Granitgesteine d. Zinnerzlagerstätte BB XXVIII 1
 — Silbererzlagerung von Sedgman Lode der Perran Mine CBI 1907 410
 Corocalyptra euganea, Kreide, Euganeen 06 I 474
 Corocoro, Bolivia, Entstehung der Kupfererze 07 II 422
 Coronadit, Clifton-Morenci-Distrikt, Arizona 06 I 172
 Coroniceras n. sp. cf. sinemuriense, Lias, Monte di Cetona 05 I 175
 Corsica, siehe Korsika.
 Cortlandit, Maine, Penobscot, Hancock County 08 II 373
 Cortlandt Series, Connecticut 08 I 72
 Corvus moriorum, Ngapara b. Oamaru, Neuseeland 09 I 130
 Coryphodon, Zahnsystem, Beziehung zu Albertogaudrya u. Pantolambda 05 II 461

Cosina-Schichten, Nord-dalmatien	1906	I	259	Crataegus prunoidea, Braunkohle, Senftenberg	1908	I	449
Cosmoceratida, Kreide	07	II	149	Crater Lake National Park, Oregon, Geologie u. Petrographie	1905	I	251
Cosmonautilus, Trias, Amerika	06	II	307	Credneria acerifolia, arcuata, atava, elongata, Engelhardti, peltata, posthuma, subserrata var. intermedia u. Zenkeri, ob. Kreide, Quedlinburg	07	I	494
Cossyrit, Aouache-Gebiet, Ostafrika, im Pantellerit	07	II	416	Crenella Bourdoti, Eocän. Loire inférieure	06	I	154
Côte des Basques bei Biarritz. Fossilien der blauen Mergel	06	II	439	Crenilabrus simplicissimus, Otolithen, Tertiär, Oesterreich	07	I	481
Cotoneaster Göpperti, Braunkohle, Senftenberg	08	I	449	Creodonta, Tertiär, Fayum	07	II	315
Cotunnit, Vesuv, Radioaktivität	08	II	293	Creseis Fuchsi = Orygoceiras corniculum, pannon. Schichten, Ungarn	05	II	434
Cotylosaurier				Cribricella crassicollis, Eocän, Tunesien	05	II	142
— Bau	09	II	122	Crinoidenbänke d. Dogger, Liestal, Basler Jura	05	I	298
— Einteilung	1907	I	140.	Crinoidenschichten, Devon, Bolivia	BB	XXV	582
— Plauen'scher Grund, Rotliegendes	07	I	311	Crioceras Deecke und Sarasini, unt. Kreide, Patagonien	BB	XXV	636
Covellin, siehe Kupferindig.				— intercostatum, Kreide, Teutoburger Wald bei Lengerich	09	II	254
Covit, Ampasindava (Madagaskar)	05	I	436	— Joffrayi, Kreide, Diego Suarez	07	II	334
Crania Turnbulli, Untersilur, Haverfordwest-Distrikt	06	II	140	— Lahusenii, ob. Neocom, Rußland	06	II	142
Craniella cf. cassis, Devon, Ostthüringen	BB	XXIV	278	— sarta, Untersenon, Braunschweig	07	I	483
Craquelée-Glas, Kuttenberg	CBI	1909	453. 465. 545	Crioceras-Formen, russ. Neocom	06	I	465
Craquelierte Archäolithen, Tasmanien	09	I	73	Cripple Creek, Goldbergbau	09	I	233
— Feuersteine, Oligocän, Thenay u. Tasmanien	CBI	1908	748	Cristellaria arietis, Lias, Schwaben	09	II	320
Craspedites Gottschei, unt. Kreide, Helgoland	05	I	467	— baltica, colligata, flexuosa, lithuanica, mitellata u. virgata, lithauisch-kurischer Jura	06	I	471
Craspedopoma Bonnetae, Eocän, Paris	07	II	303	— costata var. compressa u. seminuda, u. Daintreei, Unteroolith, Westaustralien	05	II	151
— elegans, Alttertiär, Giengen b. Ulm	08	II	104				
Crassatella intercrenata u. umbonata, Eocän, Loire inférieure	06	I	468				
— minima u. supracretacea, ob. Kreide, Alvincz	05	I	302				
— remiensis, Eocän, Paris	07	II	303				
— slavonica, Hypersenon, Peterwardeiner Gebirge	06	II	268				
Crassatellites africanus, Kreide, Pondoland	07	II	306				
— divisiensis, Kreide, England	08	I	133				

Cristellaria granulatae- formis und Kubinyi- formis, Unteroligozän, Kruhel maly b. Prze- mysl . . . 1905 I 320	1905 II 434 06 I 472	Ctenis Nathorsti, Rhät, Bornholm 1908 I 452
— Josephina var. um- bonata, Tertiär, Wels (Oesterreich)	05 II 291	Ctenodonta (Palaeoneilo) Forbesi, globata, ma- xima, musculosa, ra- diata u. subantiqua, Devon, Bolivia
Cristellaridea, Globigeri- nenmergel, Bahna, rumän. Karpathen	09 II 148	— sladensis u. subscitula, Untersilur, Haverford- west-Distrikt
Crocodylus, Bartonien, Ca- strais	05 II 304	06 II 307 07 II 503
— ossifragus, Kendeng- Schichten, Java	09 I 120	— Wanneri
Cromyodrymus mirabilis, Scaglia, Euganeen	06 I 475	Ctenopteris Sarrani, Car- bon, Tonkin
Crosswicks Clays, Mata- wan-Formation, Nord- amerika	07 I 494	08 I 310
Crurosaurus problematicus, unt. Muschelkalk, Frey- burg a. Unstr.	CBI 1908 432	Ctenosaurus Koeneni, Buntsandstein, Göt- tingen
Crush-conglomerate, In- sel Man	06 II 210	08 I 296
Cryphaeus giganteus, Dev- on, Bolivia	BB XXV 501	Ctenostomata, paläoz. Revision
Cryptomonas Schaudinni	09 II 153	05 II 485
Cryptonella Baini, Devon, Bolivia	BB XXV 558	Ctenostreon pectiniforme (= Lima proboscidea), Westaustralien 1907 I 484
Cryptopithecus = Prony- ticebus Gaudryi	06 II 443	07 II 339
— siderolithicus, Ober- eocän, Frohnstetten, süddeutsche Bohnerze 1908 I 123.	126	Ctenothrissa signifer, Krei- de, Libanon
Cryptoplocus pyrami- dalis, Tithon, Sar- dinien	BB XXIII 466	05 II 482
Cryptoxylon forfarenensis, Old red sandstone	06 II 458	Cuba, Mineralien
Crystall Falls-Bezirk, Lake Superior-Gegend, Eisenerze	05 I 82	05 I 389
Crystosphenes, nordame- rik. Tundra	06 II 190	Cuban, Rußland, Woiz- sche Grube, Gouvern. Archangelsk
Csadron-Formation, Ter- tiär, Wyoming-Nebras- ka	06 I 268	09 II 40
Csukas-Gebirge, Karpa- then, Schneegrenze	05 I 407	Cuccoceras Yoga, Muschel- kalk, Himalaya
Ctenacanthus tenuistri- atus, Carbon, Visé	05 I 457	08 II 244
Ctenis Kancharai, Jura, China	07 II 342	Cucullaea couzonensis, Zone d. Lioc. concavum, Couzon-au-Mont-d'Or b. Lyon
		05 I 464
		— Deichmülleri, Kreide, Kieslingswalde
		05 I 301
		— Gabriellis u. securis, Kreide, argent. Cor- dillere
		BB XXIII 212
		— gradata, Kreide, Neu- Süd-Wales
		05 I 319
		— ovata u. reticularis, Paläocen, Saratow
		05 II 121
		— Scrivenori, Jura, Sing- apore
		07 I 287
		— transylvanica, obere Kreide, Alvincz
		05 I 302
		— umsinensis, Kreide, Zululand
		07 II 304
		Cuenza-Mulde, Ecuador, Gesteine
		06 I 392
		Cuisien
		— Pariser Becken
		06 II 116
		— = Yprésien u. London- ton
		06 II 115

- Cullinan-Diamant, größter
bekannter, Premier-
Mine, Transvaal
1905 II 345 1907 II 13
- Culm
— Natur der Sedimente BB XXV 373
— Elsaß, Pflanzen . . . 08 I 460
— Fichtelgebirge und
Thüringen BB XXII 48
— Harz Grauwacke mit
Nautilus culmiensis . . 08 I 145
— Königsberg b. Gießen,
Fauna BB XXVIII 611
— Oberharz, Nautilus in
der Grauwacke . . . CBI 1908 293
— Thüringen, östl. und
Vogtland, Phosphorit-
knollen im untersten BB XXII 48
Culmhölzer, Thüringen,
östl. u. Vogtland, in
Phosphorit versteinert BB XXII 77
- Cultellus rectimargo, Eo-
cän, Loire inf. . . . 07 II 302
Cummengéit, Krist. etc. 07 I 339
Cunningtonitartige Horn-
blende, Timaschewaja-
Balka, bezw. Krivoj-
Rog 07 II 360
Cuneatopteris Völkeli u.
westfalensis, Carbon . 09 I 150
Cuneolina (Dicyelina), Se-
non 05 II 153
Cunninghamites pulchel-
lus, Judith river beds,
Nordamerika 07 I 440
Cupressianthus magnus u.
polysuccus, Bern-
stein, Ostpreußen . . 09 I 308
Cupressinoxylon Barberi,
unt. Lias, Lyme Regis 07 I 490
Cupressites Conwentzii,
sambiensis, Schenkii
u. Sommerfeldii, Bern-
stein, Ostpreußen . . 09 I 308
Cuprit, siehe Rotkupfer-
erz.
- Cupro-, Thallo-, Silber-
u. Bleihalogene, Misch-
kristalle aus Schmelz-
fluß BB XXII 1
Cupularia bioculata und
punctata, Tertiär, Pa-
tagonien 05 II 141
Cursipes Dawsoni, Car-
bon, Osteanaada . . . 05 I 339
Cuselit, Pfalz 09 I 54
- Cuspidaria gouetensis,
Eocän, Loire inf. . . 1907 II 302
- Cyanit
— Kristallform 09 II 24
— Zwillinge CBI 1907 408
— Campolongo 05 I 202
— Ceylon 06 I 180
— Ekaterinburg, Ver-
wachsung mit Graphit CBI 1908 523
— Erzberg b. Hüttenberg
(Kärnten), im Gneis . . 05 II 82
— Laufenberg b. Raden-
thein, Tirol, im Granat-
glimmerschiefer, Um-
wandlung CBI 1909 215
— Mte Campione, Ein-
wirkung von Radium-
bromid CBI 1909 71
— Ottawa b. Pisek im
Goldsand 05 I 366
— St. Gotthard, Bre-
chungsindizes 06 II 317
— Tessin, Pizzo Forno BB XXVI 522
- Cyathaxonia dissimilis,
untercarb. Transgres-
sionsmeer, Tian Schan BB XXVI 229
- Cyathocerinus elongatus,
Devon, Argentinien . BB XXV 571
- Cyathophora Dechyi, Kau-
kasus 08 II 81
- Cyathophyllum cf. caespit-
tosum, Oberdevon, Ost-
thüringen BB XXIV 275
- Cycadella 1907 II 502. 504
- Cycadeoidea Clarkiana
u. Fisheræ 07 II 505
— nigra 07 II 501
— pumila, Portland, Bou-
logne-sur-Mer 09 I 459
— Stantonii 07 II 505
- Cycadeomyelon yorkense 07 II 500
- Cycadeospermum cali-
fornicum 07 II 504
— montanense 07 II 505
— oregonense u. ovatum 07 II 503
— Wanneri 07 II 500
— ? Wittei, Jura, Nord-
deutschland 09 I 462
- Cycadofilices, Zugehörig-
keit zahlreicher pa-
läoz. Pflanzen 07 I 163
- Cycadolepis corrugata u.
granulata, Carbon, Ton-
kin 08 I 310
Cycadophyten, Trias . . 08 II 448
Cycas, Grönland, Cenoman 08 I 145

Cycethra Lahillei, rezent, Südamerika, Ostküste	1907	II	154	Cymbospondylus, mittl. Trias, Star Cañon, Nevada	1906	I	149
Cyclammina, Dimorphismus (C. acutidorsata = rotundidorsata)	05	II	156	— ? natans, Trias	09	I	445
— complanata u. paupera, kainozoisch, Brown's Creek, Otway coast, Victoria	06	I	471	— petrinus, mittl. Trias, Nevada	06	I	151
— draga u. Uhligi	05	II	491	Cynodiectis pygmaeus, Obereocän, Frohnstetten, süddeutsche Böhnerze	1908	I	123. 128
Cyclocarpus angustodunensis, nummularis u. tenuis	09	I	461	Cynodontomys, amerik. Eocän	05	I	331
Cycloceras Waageni, Belerophon - Schichten, Bosnien	05	I	105	Cynognathus, Schädel	07	I	140
Cyclocypeinae	08	II	286	— crateronotus, Karruformation	08	I	75
Cyclocypeus, Einteilung	08	I	447	Cyon, Miocän, Süddakota	05	II	128
— Nederl.-Indien	07	II	498	Cypraea Malandaini und Raspaili, Eocän, Paris	07	II	303
Cyclolites Choffati, Senon, Portugal	07	I	487	— Zsigmondiana, Hyper- senon, Peterwardeiner Gebirge	06	II	268
Cyclolobus Haydeni, insignis u. Krafftii, anthracolith. System d. Perm, Zentral-Himalaya	05	II	281	Cypraedia Degrangei, blaue Mergel v. Côte des Basques b. Biarritz	06	II	439
— Walkeri, Perm, Chitichunklippe, Zentral-Himalaya	05	II	278	Cypridina antiqua, Unter- silur, Ontariosee	06	II	139
Cyclopieninseln, Einschlüsse im Basalt	07	I	389	Cyprimeria Haueri, Hyper- senon, Peterwardeiner Gebirge	06	II	268
Cyclopitys oregonensis	07	II	503	Cyprina anglica, claxbiensis, protensa u. tealbiensis, Kreide, England	08	I	444
Cyclopsina, Senon. Bau	05	II	153	— arcuata, Hyper- senon, Peterwardeiner Gebirge	06	II	268
Cyclopteris pinna, Saarbrücker Schichten	09	I	303	— Blanckenhorni, Turon, Aegypten	05	II	285
Cyclostoma elegans in Deutschland seit Diluvium	05	I	310	— Michaelis u. mondragonensis, Cenoman, Südfrankreich	07	II	131
— ulmensis, Alttertiär, Ulm	08	II	104	Cyprinen-Schichten, Oligocänmolasse, Südbayern	CBI	1906	576
Cyclotosaurus Albertyni, Trias, Aliwal North, Südafrika	07	I	316	Cypris Fraasi, Alttertiär, Weilheim (Ries)	08	I	433
Cyclus Johnsoni, coalmeasures, Dudley	06	II	140	Cyrena Cureti, ? globulosa u. proboscidea, Cenoman, Südfrankreich	07	II	131
Cyliclina fusuliniformis u. Griesbachi, Kreide, Umkwelane Hill, Zululand	06	I	308	— dacica, obere Kreide, Alvincz	05	I	302
— ornamentata, obere Kreide, Alvincz	05	I	302	— lunulata u. oblonga, Cyrenenlager, Jura, Rikuzen, Japan	05	I	464
Cylindrit, siehe Kyllindrit.				Cyrenenlager, Jura, Rikuzen, Japan	05	I	464
Cylindrogyna varians, Cenoman, Südfrankreich	07	II	131				

Cyrenemergel, Tertiär, Großkarben	1909	II	465	Cytherea anadyomene, cau- data, Eschi, latesulcata, Nachtigali, palma, perambigua u. per- striatula, ? Eocän, Kam- merun	1906	II	123
Cyrenenschichten, Oligo- cänmolasse, Süd- bayern	CBI 1906		576	— inflata, Netschaewi, Pawlowi, sublunularia u. subseparata, Pa- läocen, Saratow	05	II	121
Cyrenopsis opallites, Krei- de, Neu-Süd-Wales	05	I	318	— (?) kaffraria, Kreide, Umkwelane Hill, Zulu- land	06	I	308
Cyrthodelphis, Boldérien, Antwerpen	07	I	132	— Kochi, Hypersenon, Peterwardeiner Ge- birge	06	II	268
Cyrthophormis costata u. fossilis, Scaglia, Euganeen	06	I	475	— vasconum, blauer Mergel, Côte des Bas- ques, Biarritz	06	II	439
Cyrtocalpis globosa und ovoides, Miocän, Ita- lien	09	II	490	Cytheredeis Hedleyi, Neu- seeland	07	I	328
Cyrtocapsa inaequispina, Marinelli u. polygo- nalis, Miocän, Italien	09	II	490	Cytheridea longicaudata, Kreide, Ost-Pondoland, Südafrika	05	II	152
— Lavalli, Tripel, Con- drò (Sizilien)	08	I	140	Cytheropteron australien- se, Unteroolith, West- australien	05	II	151
— perspicua u. turris, Scaglia, Euganeen	06	I	475	— elongato-concentricum, Kreide, Ost-Pondoland, Südafrika	05	II	152
Cyrtoceras Münsteri u. ? tubulare, ob. Ober- devon, Enkeberg	BB XXVI		630	Czortkower Schichten, Obersilur, Podolien	05	II	99
Cyrtocrinus, Körperform Festband 278							
Cyrtodelphis, Miocän, Eu- ropa	07	I	136				
— sulcatus, Belluno, Bau	06	I	147				
Cyrtodonta (?) cancellata, Untersilur, Haverford- west-District	06	II	307				
Cyrtolit Bedford, N. Y. Cyrtopleurites Freshfieldi, Tropites-limestone, Byans	05	I	374				
Cyrtopora clavata und Watersi, Tertiär, Pa- tagonien	05	II	141				
Cystodictya americana u. nitida, karn. Fusu- linenkalk	06	II	138				
Cystoideen, Struktur des Hautskeletts	CBI 1907		236				
Cythere corrosa var. grosse- punctata, drupacea var. fortior u. lobu- lata, Unteroolith, West- australien	05	II	151	Dachiardit, Elba, Spe- ranza-Gang b. San Piero	08	II	35
— Schwarzii, Pleistocän, Buffalo River, East London	08	I	305	Dachs, Perforation des Astragulus	07	I	466
Cytherea (Caryatis) ab- breviata, Senon, Süd- persien	06	I	445	Dachschiefer, Kalifornien, Slatington, Eldorado County	06	II	215
				Dachsteindecke	06	II	259
				Dacit — Argentinien	BB XXII		579
				— Batakländer (Suma- tra)	BB XXVII		413, 426, 429
				— Crater Lake National Park	05	I	253
				— Ecuador	05	II	76
				— Kaukasus	06	I	390
				Dactylodiscus Cayeuxi, Scaglia, Euganeen	06	I	475
				Dactylisphaera Sylviae, Kreide, Euganeen	06	I	474

D.

Dadoxylon australe, Glossopteris-Flora	1908	I	154	Dalmatien			
— scleroticum, Deutsch- Südwestafrika	09	I	309	— nutzbare Mineralien	1909	II	82
— württembergicum, Holz, vergl. mit D. keuperianum	09	I	467	— Tertiär d. nördlichen	05	II	114
Daemonelix cretacea, unt. Angoumien, Osning- Bergketten, Teuto- burger Wald	06	II	103	Dalmatites Ropini, Mu- schelkalk, Himalaya	08	II	245
— Nebraska u. Wyoming, Nagerbaue	07	I	460	Damaraland, Südwest- afrika, Kupfererze	06	I	233
Dänemark				Dammara acicularis, Ju- dith river beds, Nord- amerika	07	I	440
— Alter d. plast. Tone	CBI	1907	58	— microlepis, Kreide	09	II	153
— Facettengeschiebe im Diluvium	CBI	1906	593	— minor, Kreide, New York	08	I	454
— Fossilien der Kreide	06	I	309	— northportensis, Krei- de, Long Island	07	I	495
— tertiäre und quartäre Säugetiere	06	I	445	Dampfdruck bei festen Lösungen	05	I	364
Dahome, Alkaligranit, mit Riebeckit	09	II	235	Dampfvolken, Vesuv 1906	08	I	43
Dakota, Süd- — Hydrographie	1905	I	229	Danaeopsis Storrsii	07	II	503
— oligocäne Säugetiere	07	I	299	Danalith			
— Säugetiere d. Miocän	05	II	128	— Gloucester, Mass., Um- wandlung in Phenakit	09	I	20
Dakotasandstein, Nord- amerika, Verbreitung	07	I	438	— Wheal Maudlin, Corn- wall	CBI	1905	190
Dalarnne-Porphyr-geschiebe, Diluvium, Westfalen	CBI	1907	151	Danburit			
Dalbergia elegans, irregu- laris u. minor, Kreide, New York	08	I	456	— Obira, Japan, Anal.	09	I	33
Dalliconcha orientalis, Hyperesenon, Peter- wardeiner Gebirge	06	II	268	— Piz Giuf, Aarmassiv	CBI	1905	377
Dalmanella, Devon, Bo- livia	BB	XXV	542	— S. Barthélemy, Aosta- Tal	05	I	380
Dalmanites Boehmi, De- von, Argentinien	BB	XXV	568	Danubites celtitoides, Mu- schelkalk, Dobrudscha	08	I	421
— Clarkei u. Maecurua, Devon, Bolivia	BB	XXV	500	— Nicolai, Trias, Tobis- inschichten, Süd- Ussuri-Gebiet	BB	XXVII	535
— Drevermanni, Devon, Jachal, Argentinien	06	I	302	— Strongi, Meekoceras beds, Kalifornien	06	II	305
Dalmatien				Daonella, Trias, Bosnien	05	I	106
— Geologie	05	I	452 ff.	— — Rotti u. Timor	CBI	1909	356
— — d. Küsten- und Inselgebiets	07	I	89 ff.	— Anastasiu u. hagighio- lensis, ladin. Stufe, Dobrudscha	08	I	419
— — des Mosor-Gebirges	06	I	257	— indica, lilintana, sty- riaca u. Wichmanni, Trias, niederl. Indien	BB	XXIV	194
— — des südlichen	05	II	93	— styriaca, Trias, Olo- noskalk, Griechenland	BB	XXI	297
— — zwischen Zemonico u. Benkovac	06	I	259	— — u. cassiana, Trias, Griechenland	06	I	30. 33
— Jura u. Kreide bei Spizza	08	II	400	Daonellen u. Halobien, Griechenland u. Asien	06	I	27
— Manganerze	05	I	98	Darstellung, künstliche			
				— d. Mineralien etc.	07	II	173
				— Alexandrit, sogen.	CBI	1908	179
				— Anglesit	09	I	348
				— Anhydrit	CBI	1909	25
				— Covellin	08	I	30

Darstellung, künstliche				Darstellung, künstliche			
— Cölestin, Kristalle				— Pyroxene und Amphibole	1908	I	19
1905 II 4	1909	I	348	— Quarz, Tridymit,			
— Colemanit	08	II	163	Kieselglas	08	I	180
— Diamant	1906	II	153	— u. Silikate, Versuche	CBI 1906		353
siehe auch Diamant.				— Rotbleierz	1906	I	30
— Domeykit	05	II	5	— Rubin	1906	I	15
— Edelsteine durch die deutsche Edelsteingesellschaft	CBI	1908	179	CBI 1908			179
siehe unten Korund, Rubin, Sapphir, Spinell.				— Sapphir	CBI	1908	179
— Eisenglanz	09	I	8	siehe oben Korund.			
— Eisenkohlenstofflegierungen	06	I	242	— Schwerspat, Cölestin u. Anglesit	09	I	348
— Enstatit	08	I	19	— Sideronatrit	07	I	35
— Epidotisierung von Granat	07	II	369	— Sillimanit	1907	II	371
— Erdöl, opt. aktives	08	II	41	CBI 1905			149
— Facettengeschiebe	06	I	405	— Sodalith, Lithiumbrom-	CBI	1905	654
— Feldspat	06	I	333	— vergl. auch	CBI	1905	138. 717
— Ferrinatrit	07	I	35	— Spinell, edler	CBI	1908	179
— Gelbbleierz	07	I	208	— — aus Schmelzflüssen	1908	II	6
— Huantajayit	08	I	22	CBI 1905			148.
— Kaliborit	05	I	192	361 BB XXII			198. 207. 245
— Kalksilikate	08	I	180	— Spodumen, durch Zusammenschmelzen	09	I	183
— Keweenawit	05	II	5	— Stibiodomeykit	05	II	5
— Korund	1908	II	6	— Syngenit, Ammonium-	08	I	37
— edler	CBI	1908	179	— Thorianit u. Uranpecherz	09	I	338
— (Rubin)	1906	I	15	— Tridymit	1908	I	180
— Krugit	05	I	192	CBI 1906			728
— Kupferindig	08	I	30	— Tychit	06	II	162
— Kupferit	08	I	20	Dasygnatus longidens,			
— Kupferlasur	08	II	305	Sandstein, Elgin, ein Pelicosaurier	CBI	1908	432
— Lithiongehlenit	CBI	1905	649	Dasytidae, Kreide, Patagonien	05	I	170
— Magnesioferrit in Magnesitsteinen	CBI	1908	306	Dasyпода			
— Magnesiumsilikate				— Deutschland u. Frankreich	07	I	462
1906 I 326	08	I	18	— Patagonien, Kreide	05	I	170
— Magneteisen	07	II	371	— Santa Cruz-Schichten	05	I	498
— Malachit	08	II	305	Dasyrus, Gelenkflächen d. Astragalus	07	I	475
— Metabolit	07	I	360	Datheosaurus macrourus, Rotligendes, Neurode	06	I	151
— Natriumferrosulfate	07	I	34	Datolith			
— Nephelin durch Zusammenschmelzen	09	I	183	— Darstellung d. Kieselsäure u. Konstitution	07	I	348
— Baryum- u. Strontiumnephelin	05	I	377	— Arendal, Bergenhill u. Bologna, Glühverlust	06	I	26
— Periklas	06	I	331	— Buffaure, Fassatal	07	I	205
— aus Mg O durch elektr. Schmelzung	CBI	1907	212	— Noborio, Japan, Anal.	09	I	33
— in Magnesitsteinen	CBI	1908	305	— Paren Cailor bei Pozoritta (Bukowina)	06	II	170
— Pinnoit	05	I	192				
— Plagioklas	06	I	334				
— Pseudomorphosen	05	II	4				
— Pyroxenarten durch Zusammenschmelzen	CBI	1906	571				

Datolith				Delphiniden			
— Pokolbin, N.-S.-Wales	1906	I	342	— Abstammung	1906	II	295
— Westfield, Massachu-				— Miocän, Halbinsel			
setts, Krist. etc. . . .	07	II	24	Tamen, Stammtypen	06	II	296
— Yamaura, Japan . . .	07	I	206	Delphinodon, Boldérien,			
Dauba, Böhmen, Karten-				Antwerpen	07	I	132
blatt	08	II	62	Delphinreste, Pliocän, In-			
Dauphiné, Kreidehorizont				sel Tscheleken, Kasp.			
von Clansaye	06	I	312	Meer	09	II	118
Dauphinéer Alpen, Geologie				Delphinula Tethys, Glandarienkalk, Syrien	06	I	279
1905 I 278. 282. 446.	1906	II	253. 256	Delphinus, Delphinidae, Boldérien, Antwerpen	07	I	133
De Beers-Grube, Granit	09	II	236	Delvauxit	CBI	1909	329
Decaconus, Kreide, Patagonien	05	I	168	Demantoid, Polewskoi Zawod, Ural, Anal.	CBI	1906	776
Decapoden d. Süßwassers, geographische Verbreitung	05	II	318	Denckmannia bredonensis, Toarcien	05	II	321
Deckdiabas				Dendracis meridionalis, Eocän, Westmadagaskar	07	II	129
Lahn u. Dill BB XXVIII 384. 391				Dendrophyucus Shoemakeri	07	II	500
— rhein. Schiefergebirge BB XXI 302				Denitrifikation im Boden	08	II	186
— Westerwaldbahn Herborn—Driedorf	BB	XXIV	404	Dentaliden, Aegypten, Paläogen	05	II	322
Decken				Dentalina Benningseni, brevissima, capitata, elegans, inermis und pauperata, Globigerinenmergel, Bahna, rumän. Karpathen 1909 II 144. 147			
— Alpen, Mechanik	06	I	252	— quadrata, Lias, Schwaben	09	II	320
— Brennergebiet	07	II	435	Dentalium cyrtoceroïdes, Pachycardien - Tuffe, Seiser Alp	CBI	1905	176
— Engadin	07	II	436	— gracile, Paläocän, Ruggard, Kattegat	08	II	103
— Hohe Tauern	07	II	437	— multiclathratum, Werfener Schichten, Bucieri, Montenegro	05	II	108
— Ortlergebiet	07	II	436	— sougraignense, Santonien, Frankreich	06	I	319
— Ostalpen	07	II	438	— splendens, mittlerer Gault, Algernissen	05	I	317
— Westalpen	1907	II	428. 429	— subnudum, Cenoman, Südfrankreich	07	II	131
— Zillertaler Alpen	07	II	432	Dent Blanche, Geologie	09	II	88
Deckenschotter, Schweiz (Genfer See etc.)	05	II	376	Dent Blanche-Decke	06	II	257
Deckenschübe, ostalpine u. Beziehung zur Vorarlberger Flyschzone	08	I	63	Dentex latior u. subnobilis, Otolithen, Tertiär, Oesterreich	07	I	481
Deformationen, Bischofit, Ni Cl ₂ . 6 H ₂ O und Co Cl ₂ . 6 H ₂ O	06	I	92	Dentilucina louristana, Senon, Südpersien	06	I	445
Deirochelys floridana, Nordamerika	09	I	452	Dentition tert. Säugetiere, Patagonien	06	I	450
Deister							
— Gebirgsbau u. Quellenverhältnisse bei Nenndorf	06	II	412				
— Transgression des oberen Jura am östlichen	06	I	277				
— Geologie des Kleinen	07	I	418				
Delessit, Weitendorf (Steiermark), auf Hohlräumen im Basalt. BB XXVII 253							
Delorenzit, Craveggia (Piemont) im Pegmatit	09	II	15				
Delphin, Leithakalk, Szentmargit, Ungarn etc.	06	II	449				

- Denudation
 — subaërische (Solifluktion) 1908 II 344
 — in der Steppe, Turkestan CBI 1908 763
 — und Erosion, Messung der Fortschritte 07 I 7
 — — — d. Baches Vrchlice b. Kuttenberg, Böhmen CBI 1907 429
- Derbya ? untercarb. Transgressionsmeer, Tian Schan BB XXVI 217. 229
- Deroceras asper, connexum, instabile, mutans, olenoptychum, perisphinctoides u. permotum, Lias, Monte di Cetona 1905 I 176 06 II 142
 — landui, Jura, Batu Berketak BB XXV 326
- Descloizit
 — Bena(d)e Padru, Ozieri, Sardinien 05 II 367
 — Rhodesia, Broken Hill-Grube 09 II 35
 — Schauinsland (Schwarzwald), (Eusynchit) 05 II 80
 Deseado-Stufe, Patagonien 07 II 142
- Desmatodon Hollandi, Carbon, Pittsburgh, Penn. 08 II 268
- Desmatophoca oregonensis, Miocän, Oregon 09 I 440
- Desmiera persica, Senon, Südpersien 06 I 444
- Desmin
 — Achsenwinkel, bestimmt aus der Doppelbrechung 07 I 188
 — Kontraktionsfiguren bei Behandlung mit Säuren 08 I 336
 — Belanitos Mine (Südamerika), Island und Striegau, Glühverlust 06 I 22
 — Biella, Piemont, Drusen im Syenit 06 II 41
 — Ceylon 06 I 181
 — Elba, Speranza-Gang b. San Piero, pulverförmig 08 II 34
 — — turmalinführende Gänge im Granit von San Piero in Campo 05 II 34
 — Färöer 09 I 28
- Desmin
 — Fellberg in Petersdorf b. Zöptau (Mähren). CBI 1905 611
 — Gellivara-Erzberg 1906 I 350
 — Grönland, im Basalt des östlichen 06 II 184
 — Island (Teigarhorn), chem. Konstitution nach TSCHERMAK 09 II 193
 — Montorfano (Baveno) 07 I 40
 — Obara, Japan 09 I 193
 — Sardinien (Montresta) 1909 II 26. 195
 — Tjovchedderen, Aardalsfjord, Saetersdalen, Norwegen 06 I 352
 — Viktoria-Fälle, Zambesi CBI 1906 772
 — Zöptau, Mähren 06 I 343
- Desmoceras, Rassenpersistenz CBI 1909 195
 — ashlandicum, colusaënse, Dilleri, Lecontei, subquadratum und Vovi, Kreide, Kalifornien 06 I 288
 — Beudanti, Kreide, Krim 06 I 315
 — clansayense u. Toucasi, Kreide, Clansayes etc., Dauphiné 06 I 312
 — Keilhacki, mittl. Gault, Algermissen 05 I 317
 — Langenhani, Kreide, Kieslingswalde 05 I 301
 — poronaicum, Kreide, Hokkaido 05 I 531
 — Zürcheri, Gault, Engelberger Tal, Schweiz 07 I 289
- Desmopteris integra und serrata 08 I 155
- Dessau, Grundwasserverhältnisse 07 I 262
- Deszendente Salze im deutschen Zechstein 09 II 304
- Deuterodiorit CBI 1905 411
- Deuterosauridae, Systematik 07 I 479
- Deutsche mineralogische Gesellschaft
 CBI 1908 471 CBI 1909 60
- Deutsche Schutzgebiete, geolog. Untersuchung und Bergbau 08 I 396
- Deutschland, altes Grundgebirge 05 I 235

- Deutschland
 — Alter der Mittelgebirge CBI 1909 270
 — Geologie des nordöstl.,
 v. LEPSIUS 1905 II 255
 — Lagerstättenkarte
 CBI 1907 569 09 II 77
 — nutzbare Mineralien u.
 Gebirgsarten CBI 1907 245
 Deutsch-Südwestafrika
 — Diamanten, Krist. . . CBI 1909 235
 — — Vorkommen . . . CBI 1909 251
 Devon
 — Intumescens-Fauna,
 Vergleich verschied.
 Gegenden CBI 1905 385
 — Alaska, Endicott-Kette 06 I 92
 — Amerika, östl. Nord-,
 Coblenzian 1908 I 413. 414
 — Argentinien, Fauna v.
 Jachal 06 I 302
 — — Fossilien BB XXV 567
 — — Vorcordillere . . . 05 II 270
 — bithynische Halbinsel CBI 1909 655
 — Böhmen, Mittel-, Eta-
 ge H 06 I 272
 — — Pflanzen der
 Etage H 06 II 145
 — — Celechovic 07 II 283
 — — Krusna-Hora-Schich-
 ten, Conularia 07 II 282
 — — Prag 07 II 106
 — Bolivia, Faunen . . . BB XXV 493
 — — Gliederung und
 Vergleich m. Argentinien,
 Amazonas u. Afrika BB XXV 574
 — Canandaigua-See, Ent-
 wicklungsreihen von
 Brachiopoden 05 I 359
 — Canandaigua and Naples
 Quadrangles, New
 York 05 I 289
 — Colorado (Elbert-Forma-
 tion) 06 II 263
 — Cornwall, vergl. m.
 Gédinnien 05 II 107
 — — Ophiuriden 08 I 135
 — — St. Minver 06 I 301
 — — Trilobiten 05 II 316
 — Deutschland, vergl. m.
 Naples-Fauna CBI 1905 391
 — Dill und Lahn, Erup-
 tivgesteine BB XXVII 261 BB XXVIII 375
 — siehe auch Diabas u.
 Deckdiabas etc.
- Devon
 — Elberfeld, Dolinen im
 mitteldevon. Kalk . . . 1906 I 202
 — Enkeberg b. Brilon,
 höheres Ober-, Fauna BB XXVI 565
 — Frankenstein, Bad
 Steben 09 II 218
 — Grand Menil, Belgien,
 Porphyroidschiefer . . 05 II 106
 — Harzburg, Eruptiv-
 gesteine und Tuffe
 im Kontakthof des
 Brockenmassivs 06 I 209
 — Hindu Kusch, Blaini-
 Konglomerat, Alter u.
 Verbreitung 05 II 415
 — Kellerwald 07 II 91
 — Kitzbühler Alpen . . . 09 I 415
 — Letmathe 09 I 241
 — Lornedistrikt (Argyle-
 shire), Andesit und
 -Tuffe im Old Red . . . 05 I 431
 — Lummaton Hill b.
 Torquay, Kalk 06 II 263
 — Mähren, Stringocephal-
 enkalk 06 I 302
 — — Brünn, Lagerung
 gegen Granit-Syenit . . 05 II 410
 — — Celechovicer Bil-
 dungen 05 I 126
 — — Hohenstadt-Mürau . . 05 II 237
 — — Mürau 05 II 239
 — — westliches 05 II 234
 — Missouri, Iowa u. Ar-
 kansas 06 I 273
 — Mittelrhein 07 II 88
 — siehe auch Rhein.
 — Nassau, Entstehung d.
 Roteisensteins 06 II 225
 — Neu-Schottland, Knoy-
 dard-Formation 05 I 289
 — — u. Neu-Braun-
 schweig, Beziehung z.
 Carbon 05 I 289
 — Neu-Süd-Wales, Ko-
 rallen 07 I 155
 — New York, Baum-
 stamm 08 II 449
 — — Fische 08 II 443
 — — Naples-Fauna im
 westlichen 05 I 148
 — — östl., Schoharie-Tal . . 07 I 108
 — Nordamerika, Naples-
 Fauna verglichen mit
 Deutschland CBI 1905 385
 — Olonez u. Finnland . . . CBI 1906 600

Devon

- Packhuis-Paß b. Clanwilliam, glaziales Konglomerat im Tafelberg-Sandstein 1906 I 274
- poln. Mittelgebirge, oberes Mitteldevon 05 I 127
- — — Skaly 05 II 106
- Rhein, Faziesverhältnisse 09 I 271
- — Fazies des unteren 09 I 272
- — Seesterne d. Grauwacke 09 II 322
- — unteres, der mittelhhein. Fazies 09 I 272
- rhein. Schiefergebirge, Deckdiabas, Diabasbomben, Schalstein u. Eisenerz BB XXI 302
- siehe Deckdiabas.
- — — Diabasgesteine 07 I 53. 55
- — — plast. Gesteine 09 II 216
- siehe oben Mittelrhein.
- Rußland, Trochilischen 08 I 450
- sächs. Granulitgebirge CBI 1905 257
- Sachsen-Meinungen 06 II 410
- Seifen b. Drieberg, Siegener Schichten 05 I 315
- Siegen, Aspidosoma Schmidt in Herdorfer Schichten 09 I 134
- Siegener Schichten 09 I 272
- Südafrika, Brachiopoden d. Bokkeveld beds 05 II 323
- — Mollusken d. Bokkeveld beds 06 II 120
- Taschkar-Berge (östl. Tien-Schan) 06 I 98
- Thüringen, mittl. und oberes d. östlichen BB XXIV 221
- Warstein, Westfalen, Eisenkiesel BB XXI 461
- Westerwaldbahn Herborn—Driedorf, Diabas BB XXIV 390
- Diabas
- Olivingehalt 08 I 236
- Ålandsinseln, Källsholm, Föglö 09 II 164
- — — magnesiumdiopsidhaltig 07 II 409
- Arktikum (Spitzbergen, König-Karls-Land etc.) 09 II 394
- Asbach, Odenwald, Variolit CBI 1907 65

Diabas

- Attika, Parnesgebirge CBI 1909 557
- Böhmen, im Cambrium 1905 II 57
- Brasilien, São Paulo, mit ged. Kupfer CBI 1906 333
- — — Mogy-guassu, mit Zeolithen (Gyrolith) CBI 1906 330
- Brünn, Uralit 09 II 384
- deutsche Mittelgebirge, Vertreter d. Essexit-Theralith-Reihe 09 I 56
- Dill u. Lahngegend BB XXVII 261
- Ecuador, Ostkordillere 06 I 394
- Eisemroth, Tunnel, glasreich BB XXVII 294
- Enderby-Land, gedredsch 06 II 371
- Epidaurus, ophitischer 06 II 212
- Fichtelgebirge, bes. Leukophyr BB XXIII 11
- Frankwald, Bad Steben 09 II 218
- Grönland, Beziehung zu Basalt 08 I 236
- Guinea, Französisch 07 II 414
- — lateritisiert 09 I 339
- Haiger, Fuß des Schlierbergs BB XXVII 291
- Harzburg, im Kontakthof d. Brockens 06 I 209
- Hohenstadt-Müräu, u. Tuffe, devonisch 05 II 237
- Holyoke, Connecticut u. Massachusetts 07 I 242
- Jenissej-Goldlager, Andesin- 05 II 248
- Jeschkengebirge und Kontaktverhältnisse 08 I 371
- Kärntner Alpen 08 II 212
- Kapkolonie, Richmond 09 II 166
- Lausitzer Granitgebiet 08 I 56
- Lenne u. Volme, untere, Gänge 07 I 55
- Magnetberg, südl. Ural 06 I 382
- Manderbacher Löhren BB XXVII 277
- Mies, Böhmen 06 II 362
- Neurode, im Gabbrozuge BB XXVI 477. 484
- Nordamerika, Korngröße 07 II 418
- Oberharz, Olivin- 07 II 402
- Odenwald CBI 1907 116

- Diabas
 — Olonez, Gouv., versch. Typen 1909 I 218
 — Onegasee, Westküste 09 II 165
 — Quebec 09 I 67
 — rhein. Schiefergebirge, nebst Eisenerz BB XXI 302
 — San Juan Mountains, Colorado, dynamometamorphosiert 06 II 219
 — Santa Cruz Mountains, San Mateo Co., Cal., miocän 06 II 372
 — Sinj, Dalmatien 08 I 65
 — Skye 06 II 69
 — Sohland a. Spree, mit Nickelerzen 05 I 94. 98
 — Spitzbergen 08 II 370
 — Sternberg—Bennischer Schalsteinzug, Mähren CBI 1907 296
 — Strumble-Head, Wales 06 II 211
 — Südafrika, im Diamantgebiet 09 II 240
 — Tasmanien 07 II 79
 — — Launceston, mit Enstatitangit CBI 1907 705
 — — North-West-Bay, Konga- 08 I 394
 — Transvaal, in den Witwaterschichten 06 I 271
 — Valley of Virginia, im Potsdam-Sandstein 09 II 391
 — Vogtland 09 I 58
 — — Aschenstruktur 05 II 212
 — Westerwaldbahn Herborn—Driedorf BB XXIV 390
 — Westfalen, Lenne- u. Volmetal, Gänge 09 I 407
 — siehe auch Deckdiabas, Proterobas etc.
 Diabasbomben, rhein. Schiefergebirge BB XXI 302
 Diabasgesteine, rhein. Schiefergebirge 07 I 53. 55
 Diabasporphyr, Sechshelden BB XXVII 290
 Diablastische Struktur d. krist. Schiefer 05 I 72
 Diablerets, Falten 09 I 88
 Diacanthocapsa euganea, Scaglia, Euganeen 06 I 475
 — rara, Kreide, Euganeen 06 I 474
 Diadectes, Restauration 08 II 269
 Diadectidae, Beziehung z. Chelidosauria, Osteologie 07 I 314
 Diadectidae, Systematik 1907 I 479
 Diademodon, Osteologie 07 I 316
 Diadiaphorus, Patagonien, Extremitäten 07 II 139
 Diadochit CBI 1909 329
 Diagnostische Färbung v. Mineralien durch organ. Farbstoffe BB XXVIII 335
 Diagramme
 — für Gesteinsanalysen von IDDINGS CBI 1905 249
 — regelmäßiger Punktsysteme CBI 1906 437
 — für die Zusammensetzung d. Eruptivgesteine u. deren Klassifikation CBI 1905 249
 Diaklasit, Aufbau 07 II 60
 Dial-Kompaß, siehe Sonnenzeigerkompaß 09 I 389
 Diallag
 — Analogie mit Mikroklin 09 II 171
 — zusammengeschmolzen mit Hedenbergit CBI 1906 577
 — Roda-Meteorit, orientiert verwachsen mit Enstatit 05 I 213
 Diallagamphibolit, Ecuador, Ostkordillere 06 I 394
 Diallagit, Geißpfad, Oberwallis 05 II 221
 Dialophus, Kreide, Patagonien 05 I 168
 Diamagnetismus, Wismut Diamant
 — Beziehung zu Graphit etc. 06 II 320
 — Cullinan, größter von 3030 Karat, siehe Diamant, Premier Mine.
 — im Eisen 05 I 123
 — Entstehung 1909 II 237. 238
 — — in der Hitze 06 II 321
 — — aus Silikatschmelzen 05 I 16
 — Excelsior, Zerlegung CBI 1905 154
 — Färbung 07 II 167
 — — durch Radium 07 II 170
 — künstl. Darstellung 1906 II 153
 — Natur 09 I 7
 — — Natur 08 II 368
 — Triakisoktaeder CBI 1905 287
 — Umwandlung in amorphen Kohlenstoff 05 I 15
 — — Arkansas 09 I 164
 — Bahia, Vorkommen 07 II 84

- Diamant
- Bolivia u. Peru . . . 1906 I 359
 - Borneo, westliches . . . 09 II 99
 - Brasilien (Minas Geraes, São Paulo und Goyaz) 08 I 169
 - Cañon Diablo, im Me-teoreisen 06 I 187
 - Deutsch-Südwestafrika CBI 1909 235. 251
 - Gascogne - Golf, im Meeresgrund 09 I 333
 - Nancy, in der Acker-erde 09 I 333
 - Nordamerika (Oroville, Cal., im Serpen-tin etc.) 09 I 31
 - Premier Mine, Trans-vaal, Cullinan
1905 II 345 07 II 13
CBI 1905 153. 283
 - Rhodesia, Somabula . . . 08 I 324
 - Südafrika 05 II 345
 - — in Granat-Pyroxenknollen der Roberts-Victor-Mine 08 II 154
 - Transvaal, Vorkommen 05 II 177
 - Diamantführender Eklogit
 - Bingera, Austr. 07 I 395
 - Südafrika 08 II 154
 - Diamantführendes Ge-stein, De Beers-Grube, Granit führend 09 II 236
 - Diamantgestein, Südafrika 08 I 70
 - Diamantgruben, Kap . . . CBI 1904 153
 - Diamantlagerstätten, Süd-afrika 09 II 236 ff.
 - Diamantseifen, Südafrika, pleistoc. Fauna 08 I 103
 - Dianthidium tertiarium, Florissant, Col. 07 I 321
 - Diapepsis 06 II 200
 - Diaphorostoma furmanianum, Devon, Bolivia BB XXV 510
 - Diaspites crenulata, mitteleoc. Dysodil, Melilli, Sizilien 05 II 152
 - Diaspor
 - Cadonighino, Tessin BB XXVI 518
 - Schemnitz, Färbung durch organ. Farb-stoffe BB XXVIII 373
 - Diastoma biarritzensis, blaue Mergel v. Côte des Basques, Biarritz 06 II 439
 - Diatexis 06 II 200
- Repertorium 1905—1909.
- Diatomeen, Atlant. Ozean, in Grundproben des nördlichen 1905 I 425
- Diceratherium aberrans, annectens, armatum, Cooki, hesperium, minutum, nanum, niobrarense, oregonense u. Schiffi, Untermio-cän, Nebraska 08 II 431
- Zitteli, ? süddeutsche Bohnerze 08 I 129
- Diceratops Hatcheri, Schädel 1909 I 131. 132
- Diceratosaurus laevis u. robustus, Carbon, Nord-amerika 09 II 133
- Dichobune Fraasi, Oligo-cän, Eselsberg, süd-deutsche Bohnerze 1908 I 123. 128
- Dichroismus, siehe Pleo-chroismus.
- Dichte
- rasche Bestimmung . . . 06 I 46
 - Apparat z. Bestimmg. v. kleinen Körpern . CBI 1905 190
 - — zur Trennung
1906 I 160 07 I 227
 - isomorpher Substanzen 09 II 11
 - Trennungsgapparat
1906 I 160 07 I 227
 - Verhältnis zu Brechungskoeffizienten . . . 05 II 169
 - — zum Atomgewicht bei Elementen 05 II 170
 - Verminderung durch Kompression 05 II 408
- Dichtigkeit der Erde u. Planeten 1907 I 373. 374
- Dicksonia montanensis . . . 07 II 505
- Obrutschewi, Jura, West-Transbaikalien . . . 09 I 463
- oregonensis 07 II 503
- pachyphylla 07 II 504
- pauciloba, Rhät, Bornholm 08 I 451
- Suessi, Jura, Mand-schurei 09 I 463
- Dicoelites CBI 1909 565
- dicoelus, Niederländ.-Indien CBI 1909 565
- Dicolocapsa ampulla, euganea u. fossilis, Kreide, Euganeen 06 I 474
- cor, Scaglia, Euganeen' 06 I 475

Dictyles, Miocän, Süddakota	1905	II	130	Dictyothyris compressa, Jura, Kutsch	1905	I	181
*Dicranites Casparyi und obtusifolius, Bernstein, Ostpreußen . .	09	I	307	Dictyozamites Hawelli, Inf.-Oolite, England . .	08	I	148
Dicranomyia rhodolitha, Green River, Wyoming	08	II	111	— Johnstrupi, Cuticula der Blätter	08	I	146
Dicranophyllum Beneckeanum u. latifolium, Rotliegendes, Oppenau . .	08	I	457	Dicyclina (Cuneolina), Senon	05	II	153
— trifurcatum, Carbon, Laach (Elsaß)	08	I	461	? Dicynodon Seeleyi, Karurformation	08	I	14
Dicrocerus furcatus, süddeutsche Bohnerze, Jungnau	08	I	128	Dicynodontidae			
Dietyastrum triacanthos u. truncatum, Scaglia, Euganeen	06	I	475	— Systematik	07	I	480
Dietyocephalus, triad. Kohlenfelder, Nordkarolina	09	II	129	— Südafrika	07	I	318
— Cayeuxi u. euganeus, Scaglia, Euganeen	06	I	475	Dicynodontier, Karurformation	08	I	1
Dietyocha, zu den Flagellaten gehörig	06	II	456	Didacna verrucosicostata, Neogen-Eisenerze, Suchum-Distrikt, SW.-Kaukasus	06	I	432
— bifenestrata, Tripel, Condò (Sizilien)	08	I	140	Didalodia, Kreide u. unt. Tertiär, Patagonien . .	05	I	498
Dietyoconites kongazensis, Muschelkalk, Dobru-dscha	08	I	421	Didelphidae, Santa Cruzeno, Patagonien	07	I	308
Dietyoconus aegyptiensis, Alttertiär, Aegypten . .	06	I	473	Didymites Kitchini, Tropites-limestone, Byans	08	II	238
— — Beziehung zu Chapmania	05	II	487	Dielasma, Carbon, Kurtuk-Tal, ob. Carbon, südliches Tian-Schan	BB XXII	359	
— — Eocän, Aegypten	07	I	326	— Devon, Ostthüringen	BB XXIV	291	
Dietyomitra aspera, crebriculata, elegans, formosa, insignis, macrocephala, ornatissima, paupera, subtilis und undata, Kreide, Euganeen	06	I	474	— untercarb. Transgressionsmeer, Tian-Schan	BB XXVI	225. 242	
— euganea, pseudomacrocephala u. pulchra	06	I	475	— ambonense, vorjurassisch, Ambon	BB XXV	302	
Dietyophyllum Bartholini, Rhät, Bornholm	08	I	452	— curvatum, dubium, giganteum, juresanense, Mölleri u. timanicum, Obercarbon, Ural u. Timan	05	I	532
— Nathorsti, Remauri u. Sarrani, Carbon, Tonkin	08	I	310	— Latouchei, Productus-Schiefer, Lissar-Tal, Johar, Zentral-Himalaya	05	II	280
— spectabile	08	I	144	— Latouchei, vergl. mit Terebratula euganeensis u. triangula	CBI 1909	229	
Dietyospyris Meneghinii, Miocän, Italien	09	II	490	Dieneria Arthaberi, Subbullatus-Schichten, Kalifornien	06	II	303
Dietyothyris bisulcata, Dogger, Neuenburger Jura	06	I	307	Differenzierung von Eruptivmagmen u. eutektische Mischungen	06	II	197
				Differenzierung von Eruptivmagmen u. eutektische Mischungen	BB XXIII	73	

- Diffugia olliformis, Quar-
tär, Schweden und
Finnland 1909 I 280
- Diffusion
— fester Metalle in Ge-
steine 08 I 54
— v. Metallen in kristal-
lin. Schiefer bei Granit-
eruptionen 05 I 419
- Digitigrada, Patagonien,
Extremitäten 07 II 137
- Dikopshof, akademisches
Gut bei Bonn, Geol. 07 II 456
- Dilestes, Kreide, Patago-
nien 05 I 169
- Dill u. Lahn, devon. Erup-
tivgesteine
BB XXVII 261 BB XXVIII 381
- Dilute Färbung, siehe
Färbung, dilute.
- Diluviale Terrassen
— Neckar-Museltal . . . CBI 1907 461
— siehe Terrassen.
- Diluvialgeschiebe
— Cambridge 06 I 121
— Gristow (Pommern),
Konglomeratgneis . . CBI 1906 625
— Holland, Groningen
etc., Basalt (Schonen) CBI 1906 18
— — Ardennengeschiebe 06 II 118
— Norddeutschland
1906 II 118 09 II 64
— Westfalen, Porphyre
CBI 1907 143. 168
- u. Glazialforschung . 06 II 435
- Diluvium
— Aachen 05 I 482
— Altmark 07 II 450
— Berlin 07 II 465
— Braunschweig, Eolithe 09 II 57
— Bremen 07 II 464
— Gafsa (Südtunesien),
prähistor. Einschlüsse 09 I 1
— Hirschberger Kessel . 07 II 462
— Lauenburg 07 II 463
— Neuwaldensleben . . 06 I 122
— Neuwieder Becken,
rechtsrheinisch . . . 09 I 239
— Niederrhein 09 I 277
— Norddeutschland, er-
rat. Basalte 09 II 64
— — Lauenburger Ton
als Leithorizont . . . 09 II 309
— Ostpreußen 07 II 463
— Rügen, Facettenge-
schiebe . . 1906 I 71 CBI 1905 655
- Diluvium
— Schleswig-Holstein . 1907 II 463
— — vergl. m. d. Klassi-
fikation d. Glazial-
bildungen v. GEIKIE 05 II 293
— Schwaben 09 II 75
— Sylt BB XXI 196
— Tasmanien, Gliederung CBI 1909 4
— Weinheim a. Bergstr.,
Rheintalspalten CBI 1906 667. 698
— siehe auch Quartär,
Facettengeschiebe etc.
- Dimeroceras Beneckeii,
burgense, bredelarensis,
Gümbeli, mamilliferum
u. padbergense, ob.
Oberdevon, Enkeberg BB XXVI 600
- Dimerostephanus, Kreide,
Patagonien 05 I 168
- Dimetrodon, Schädel . . 07 I 314
— Dolloviannus, gigan-
homogenes, gigas, in-
cisivus, longiramus,
macrospodylus, nava-
jovicus, obtusidens u.
platycentrus, Texas etc. 08 I 294
— gigas, Perm, Texas . CBI 1909 585
- Dimodosaurus polignien-
sis zu Plateosaurus . 09 I 287
- Dimorphe Sulfate von Li,
Na, K u. Ag, Bildung
u. Umwandlung von
Doppelsalzen u. Misch-
kristallen BB XXIV 1
- Dimorphin, Solfatara,
krist. u. opt. 08 II 294
- Dimorphismus
— der Fusulinen . . . 09 I 299
— Foraminiferen (Num-
muliten) 07 I 329 ff.
— rezenter Foraminiferen 09 I 135
— siehe auch Polymor-
phismus u. Tetramor-
phismus 09 I 162
- Dimorphoceras texanum,
Carbon, Nordamerika 05 I 528
- Dinariden, Grenzlinie zu
den Alpen 1907 II 435. 437
- Dinarites Bonae Vistae,
mittl. Trias, Hum-
boldt Range, Nevada 06 II 305
— Hirschii, Trias, Timor BB XXIV 211
- Dinassteine, feuerfeste
Ziegel, mikroskopisch 09 II 14
- Dineura laminarum, Mio-
cän, Florissant, Col. . 08 II 112

Dinichthys pustulosus, Devon, Illinois	1905	II	133	Diopsid			
Dinilysia patagonica, ? Kreide, Nequen, Ar- gentinien	05	II	307	— Hedenbergit, Aegirin, Spodumen u. Ensta- tit, Morphotropie	1909	II	171
Dinohyus Hollandi	07	II	486	— Alaska, Ham Island, Rolle d. Wassers	09	II	19
Dinosaurier	09	I	442	— Bisbee Quadrangle, Arizona, Gangmineral	06	I	175
— vergl. mit anderen Rep- tilien	09	I	290	— Concepcion del Oro, Zacatecas, Mexiko, im Kontakt mit Granodiorit	BB XXVIII	461.	489
— cretacische	07	II	492	— Côte St. Pierre, Cana- da, im Eozoonkalk	06	II	168
— Entwicklung	09	I	291	— Friedeberg(Oesterreich- Schlesien), Kontakt	07	II	34
— fleischfressende	09	I	443	— Källsholm, Ålands- inseln, Magnesia-	07	II	409
— sekundär quadripedal	06	II	137	— Kragerö, Pseudom. v. Strahlstein nach D.	09	II	345
— Systematik u. Stam- mesgeschichte	CBI	1909	12	— Orford, Quebec	06	II	323
— Trias	09	I	286	Dioptas			
— Deutsch-Ostafrika	09	I	448	— gibt mit H Cl Ortho- kieselsäure	07	I	24
— Madagaskar	08	II	439	— Wassergehalt	08	II	33
Dinosaurierformation, mesozoische, Pata- gonien und Pampas- region	BB XXVI	94		— Clifton-Morenci-Di- strikt, Arizona	06	I	173
Dinotheriensande, Nieder- rhein	07	II	451	Diorit			
Dinotherium, Patagonien, Extremitäten	07	II	139	— Definition	05	I	413
— bavaricum, Seegraben b. Leoben	05	II	305	— Orthodiorit, Metadio- rit, Deuterodiorit	CBI	1905	410
— giganteum, Gouverne- ment Cherson	07	II	479	— Altvatergebirge, Be- ziehung zu Goldquarz- gängen	05	I	257
Dioonites Nathorsti, Jura, Yorkshire-Küste	07	I	489	— Ampasindava, Pro- vinz, Madagaskar	05	I	435
Diopsid				— Bellongue u. Ger-Tal (Pyrenäen)	05	I	428
— gemischt mit Anorthit, Schmelzpunkte	07	II	7	— Böhmen, im Cambrium	05	II	57
— Kristallform, verschie- dene Fundorte	09	II	174	— Brocken	07	I	383
— künstlich, durch Kri- stallisationsschieferung	07	I	334	— Brünner Eruptivmasse	09	II	383
— weiß und braun	CBI	1905	751	— Campbell-Insel, südl. Neuseeland	09	II	75
— zusammengesmolzen mit Anorthit	BB XXIII	48		— Connecticut, Cort- landt Series	08	I	73
— — — u. Magnet- eisen	BB XXIII	54		— Ecuador, Ostkordillere	06	I	398
— — — Enstatit	09	II	163	— Enderby-Land, ge- dredsch	06	II	371
— — — Hedenbergit	09	II	163	— Guernsey	09	II	229
— — — resp. Ensta- tit	CBI	1906	571	— Kiautschou	06	II	368
— — — Nephelin	BB XXIII	52		— Koswinsky Kamen, Ural, Anorthit-	05	I	75
— — — Olivin	BB XXIII	50		— Lausitzer Granitgebiet	08	I	57
— — — u. Magnet- eisen	BB XXIII	56		— Magnetberg, sdl. Ural	06	I	380
— — — u. Anorthit	BB XXIII	58		— Melk (Stift)	08	II	61
— — — u. Nephelin	BB XXIII	61					
— — — u. Ortho- klas	BB XXIII	63					

- Diorit
— Molukken 1905 I 109
— Monzoni u. Predazzo, chem. Zusammensetzg. 06 I 57
— Neuseeland, Otago-Halbinsel 08 I 231
— Oak Hill-Gebiet, Cal. 09 II 386
— Ober-Brezany, Böhmen, Gabbro 06 II 361
— Odenwald, Beziehung zu Gabbro CBI 1906 689
— — genet. Beziehungen zu Gabbro 09 I 375
— Okanagen-Batholith, Cascade Mountain, Cal. 09 I 69
— Pajaro, Kalifornien, Coast Range 05 II 231
— piemont. Alpen, Valli del Gesso 05 II 66
— Pizzo Forno, Tessin BB XXVI 563
— Pustertal 09 II 220
— Pyrenäen (Bellongue u. Ger-Tal) 05 I 428
— Schriesheim, Lagerungsweise 05 I 240
— Sudbury, Kanada, u. Erze 08 I 83
— Tagil, Ural 07 I 72
— siehe auch Deuterodiorit u. Granodiorit.
Diorit-Gabbro-Gesteine, nördliches Wisconsin 09 I 227
Dioritporphyrit
— Argentinien BB XXII 606
— Piemont, im Stronau. Sesiagneis 08 II 216
— Sustenhörner, Aarmassiv 06 II 62
Diospyros Judithae, Judith river beds, Nordamerika 07 I 440
Dioxyde d. Elemente d. 4. Gruppe d. period. Systems 08 I 329
Diphyodus longirostris, Belly river beds, Red Deer river, Nordamerika 07 I 439
Diplacmoceras canaliculatum, Kreide 07 II 152
Diplocaulus Copei, magnicornis und pusillus, Perm, Texas 07 I 147
Diploctenium affine, Senon, Portugal 07 I 487
Diplodociden 09 I 289
Diplodocus, Lebensweise 1909 I 442
— Osteologie 09 I 446
Diplodonta difficilis, Eocän, Loire inférieure . 06 I 468
— Houdasi, Eocän, Paris 07 II 303
Diplopodia Martini, Jura, Macon 07 II 156
— Revili, Hauterivien, Savoyen 05 II 326
Diplopora biserialis, karn. Fusulinenkalk 06 II 157
— Mühlbergi, Schratzenkalk, Säntis 09 I 154
Diploporen, Schratzenkalk, Säntisgebiet 09 I 154
Diploporenkalke, Westalpen 07 II 442
Diplostrobos crassispina, Scaglia, Euganeen . 06 I 475
Diplotmema. siehe Rhoea.
Dipoides problematicus, Unterpliocän, Salmingen u. Melchingen, Bohnerze 1908 I 125. 127
— tortus, Miocän, Süddakota 05 II 129
Diprotodonta, Kreide, Patagonien 1905 I 158. 169
Dipyr, Concepcion del Oro, Zacatecas, Mexiko, im Kalk, im Kontakt mit Granodiorit BB XXVIII 489
Discina bosniaca, Bellerophonschichten, Bosnien 05 I 105
— cf. depressa, Devon, Ostthüringen BB XXIV 277
— Pascui, ladin. Stufe, Dobrudscha 08 I 419
Discocoenia conoidea, Jura, Frankreich 07 I 487
Discohelix Grzybowskii, Clavulina Szaboischichten, Kruhel maly bei Przemysl 06 I 472
— — unteres Oligocän. Kruhel maly b. Przemysl 05 I 320
— Pingeli, Paläocän, Ruggaard, Kattegat 08 II 103
Discophyllites Floweri, tibetan. Klippen des Zentral-Himalaya 08 II 414

- Discopteris karwinensis, Carbon, Vorkommen . 1909 II 491
 Discospirina 08 I 307
 Discostrobos argunensis, Jura, Transbaikalien . 09 I 464
 Discotropites sandlingensis, mittl. Trias, Nevada 06 II 300
 Diskordanzen, östl. Harzvorland CBI 1907 81
 Dislokationen
 — Anden und Schweiz, junge 05 I 232
 — Westfalen, im jüngsten Jura und in der Kreide 06 II 86
 — — spätjurassische u. tertiäre 08 I 407
 — siehe auch Hebungen Senkungen etc.
 Dispersion
 — Bestimmung 07 II 166
 — d. Doppelbrechung, Bestimmung 05 II 333
 — in gekreuzten Achsen-ebenen, Erklärung . . 08 I 162
 — thermochroitische der Kristalle 08 I 163
 Dispersionsformel d. Doppelbrechung im Quarz u. Verwendung im Babinet'schen Kompensator CBI 1905 23
 Dispongotripus acutispina, Scaglia, Euganeen 06 I 475
 Dissostoma Veslense, Eocän, Paris 07 II 303
 Dissoziation
 — Einfluß auf Ausscheidungsfolge aus Schmelzflüssen 08 II 30
 — bei Silikatschmelzflüssen 1909 II 184. 329 BB XXIII 83
 Distasis rhipiphora, Carbon, Belgien 05 I 523
 Distefanaster, Apikalapparat 05 II 146
 Disthen, siehe Cyanit.
 Distichites ectolciticiformis, Falconeri, Reynoldsi, Sollasi u. Younghusbandi, Tropites-limestone, Byans 08 II 238
 Distylocapsa nova und tuberculata, Kreide, Euganeen 06 I 474
 Ditaxia Derichei u. orbiculata, Santonien, Abu Roasch, Aegypten 1905 II 484
 Dithmarschen, Kreide u. Tertiär, Tektonik . . CBI 1906 275
 Ditrochosaurus capensis, Trias, Südafrika . . . 07 I 317
 Ditroit, Ampasindava (Madagaskar) 05 I 435
 Dittmarites Rawlinsonii, Trailli u. trailliformis, Tropites-limestone, Byans 08 II 237
 — Redlichi, ladin. Stufe, Dobrudscha 08 I 419
 Divaricella namnetensis (= Lucina pulchella), Eocän, Loire inférieure Dobrudscha
 — Trias der nordöstlichen 08 I 418
 — Wasserverhältnisse . . 08 II 223
 Dobrugeites tirolitiformis, Muschelkalk, Dobrudscha 08 I 421
 Dobschau, Ungarn, Montangeologie 06 I 73
 Dodekaedrischer Kalk, Entstehung CBI 1909 306
 Doedicuridae, Santa Cruz beds, Patagonien . . . 06 I 458
 Dogger
 — Griechenland 07 II 446
 — Norddeutschland, unterer BB XXVIII 286
 — Teutoburger Wald . . CBI 1909 137
 Doggerprofile, Neumarkt (Oberpfalz) 05 I 60
 Dognacskait, Dognacska, Analyse 1907 II 16. 344
 Dognacskait = Wittichenit 06 II 15
 Dolerit
 — Euganeen 08 II 204
 — Hebriden, Beziehung zu Basalt 08 I 223
 — Hessen, Schwälmer Land BB XXIII 348. 356
 — Spitzbergen 08 II 370
 Dolichosaurus longicollis 09 I 447
 Dolichosoma, Nürschan . 08 II 271
 Dolinen, Elberfeld, mitteldevon. Kalk 06 I 202
 Doliolina BB XXVII 476. 506
 — syst. Stellung 07 I 331

- Dolium Townsendi, Ter-
tiär, Ormara-Kap, Me-
kran-Küste, Beludschis-
tan 1906 I 118
- Dolomit
— Entstehung
1906 II 206 BB XXIII 529
CBI 1909 506 Festband 397
- Reaktion z. Unter-
scheidung v. Kalk-
spat 1905 I 23
CBI 1905 265
CBI 1906 550
- Verhalten zu magnesia-
reichen Kalkalgen 06 I 333
- Calafuria sdl. Livorno.
im Macigno 06 I 169
- Campolongo
1905 I 201 BB XXVI 519
- — mit Orthoklas 07 I 21
- Cannstatt, angebliche
Neubildung im Neckar
05 II 360
- Carrara, im Marmor 06 II 176
- Faxe 07 I 221
- Grönland, westliches
Nord-, archaisch 07 I 247
- Iowa, östl., Niagara-
Formation, chemisch
05 II 393
- Manhattan Island,
New York, Amphiboli-
sierung 06 I 228
- Oberschlesien, Ent-
stehung im Muschel-
kalk 06 II 76
- Ormuz-Insel 08 II 336
- Raspenau, Böhmen,
im körn. Kalk des
Kalkbergs 06 I 54
- Ratiboric etc., Böh-
men 09 II 366
- Regensburg, Analyse
07 II 65
- Schemnitz, Umwand-
lungspseudomorphose
nach Kalkspat CBI 1909 555
- Stemmas bei Markt-
Redwitz, Analyse 05 II 217
- Südtirol, Entstehung
06 II 206
- — Geologie 06 II 246
- — Kristalle mit ab-
wechselnden Lagen
von Kalkspat 06 II 207
- Tessin (Campolongo
etc.) BB XXVI 519
siehe auch Campo-
longo.
- Tessiner Alpen, Ueber-
gang in Schiefergesteine 06 II 208
- Dolomitbildung u. chem.
Ausscheidung v. Kalk
in heutigen Meeren Festband 397
- Dolomitische Kalke, Seine-
Bank, nordöstlich Ma-
deira Festband 416
- Dolomitische Kalkknollen,
Challenger- u. Argus-
Bank (Bermudas) Festband 415
- Dolomitischer Kalkstein,
Wietze, Hannover, mit
Gipskriställchen 1906 I 31
- Domeykit
— künstlich 05 II 5
- Flatschach b. Knittel-
feld (Steiermark) CBI 1908 277
- Domform des Granits,
Sierra Nevada, Nord-
amerika 06 II 215
- Domingit = Warrenit, ident
mit Jamesonit 09 I 170
- Domodossola, Geologie
des Toce-Tals 05 II 223
- Donatibruich 06 II 243
- Donauabbruch d. Schwäb.
Alb. Einwendungen CBI 1909 54
- Donautal, Regensburg,
Löß-Konchylien 05 II 449
- Donauufer, linkes, Ungarn,
Geologie 07 I 275
- Donauversinkung 1908 I
93. 94. 95
- Donax Anderssoni, Krei-
de, Umkwelane Hill.
Zululand 06 I 308
- Dumasi u. Pissaroi,
Eocän, Loire inf. 07 II 302
- Donetz, Pflanzen aus dem
Carbon 05 I 537
- Dopatische Eruptivgesteine 08 II 350
- Doppeltbrechende Kri-
stalle, Skiodromen 05 II 333
- Doppeltbrechende Kri-
stallplatten, photogr.
Abbildung d. Inter-
ferenzfiguren CBI 1904 472
- Doppeltbrechende Mine-
ralien, Bestimmung d.
opt. Charakters 06 II 148
- Doppeltbrechende Pris-
men, Minimalablenkg. 05 II 331
- Doppelbrechung
— Apparat zur Erkenn-
g. u. Messung geringster
CBI 1908 729 CBI 1909 249. 746
- Bestimmung d. Dis-
persion 05 II 333

- Doppelbrechung
 — Dispersion für versch. Farben bei einigen Mineralien 1906 II 316
 — fester u. flüssiger Kristalle, angenäherte Bestimmung 06 II 149
 — isotroper geschichteter Medien 07 I 19
 — polymorpher Mineralien 06 II 317
 — im Quarz, Dispersionsformel, Anwendung z. BABINET'schen Compensator CBI 1905 23
- Doppelbrechungsgesetz, FRESNEL'sches, bei 2-achsigen Kristallen 05 I 183
 Doppelfalte, Glarner 06 II 392
 Doppelquarzkeilplatte v. WRIGHT 09 II 161
- Doppelsalze
 — kongruente und inkongruente Schmelzen 06 I 7
 — und Mischkristalle der Sulfate von Li, Na, K und Ag, Bildung und Umwandlung BB XXIV 1
 — Verhalten bei hohem Druck 05 I 267
- Doppelspat, Krym, Karadag 09 II 340
 — siehe auch Kalkspat.
- Dopplerit CBI 1909 334
- Dorcadion, balt. Bernstein 07 I 323
- Dorcadospyrus magnipora, Miocän, Italien 09 II 490
- Doreaschema succineum, balt. Bernstein 07 I 323
- Dordogne, Höhlenfauna und Artefakte 07 II 476
- Doryconthidium longistylus u. parvistylus, Miocän, Italien 09 II 490
- Dorydruppa Bassanii u. Dainellii, Miocän, Italien 09 II 490
- Dorygnathus, Lias, Schwaben CBI 1906 292
- Dorylonchidium Fucinii u. spinosum, Miocän, Italien 09 II 490
- Dorypila cretacea, Kreide, Euganeen 06 I 474
- Dorysphaera brevispina, elegans u. euganea, Scaglia, Euganeen 1906 I 475
 — longispina, Miocän, Italien 09 II 490
 — Merchinellii, multiporata u. obtusispina, Kreide, Euganeen 06 I 474
 Dosemische Eruptivgesteine 08 II 350
- Dosinia nummimalis, Cenoman, Südfrankreich 07 II 131
- Doughty Springs, radiumhaltig, Delta Co., Col. 07 II 237
- Douvilléceras Bigoureti var. Seunesi, clausayense u. Martini var. orientalis, Kreide, Clausayes etc., Dauphiné 06 I 312
 — Buxtorfi, Gault, Engelberger Tal, Schweiz 07 I 289
 — nodosa, Kreide, Zulu-land 07 II 304
 — seminodosum, subnodocostatum u. var. pusilla u. robusta u. Tschernyschewi, oberes Neocöm, Rußland 06 II 142
- Drac-Tal
 — Aenderung durch glaz. Aufschüttung 05 II 208
 — Entstehung u. Quartär 05 II 296
 Drauzug, Geologie 06 II 240
- Drehvermögen, optisches
 — bei nicht enantiomorphen Kristallen 08 I 58
 — Messung CBI 1905 273
- Dreieckskoordinaten in der Petrographie CBI 1907 140
- Dreikantner CBI 1907 340
 — Experimente zur Entstehung 06 I 405
 — Neuseeland, Otago-Halbinsel 08 I 231
 — Zentralasien 06 I 98
 — siehe auch Facettengeschlebe u. Flächner.
- Dreissensia abchasica, areata, obliqua u. semilunaris, Neogen-Eisenerze, Suchum-Distrikt, NW.-Kaukasus 06 I 432
- Dreizählige irrationale Achsen 08 II 139

Drepanaspis gemündensis, Hunsrückschiefer, Ge- münden	1905	II	314	Dünen — äußere Form und Bau	Festband III
Drepanites Schucherti u. Eastmani, Tropites- limestone, Byans	08	II	237	— Clifton b. Karachi, Indien	1905 II 417
Drillia camerunensis, ? Eocän, Kamerun	06	II	123	Dünenbildungen, Warthe- Netze-Gebiet	08 I 98
— Morgani und persica, Senon, Südpersien	06	I	444	Dünnschliffe — Beobachtung dunkler Büschel im konverg. Licht	07 I 333
Dromiopsis Birleyae und Coplandae, oberste Kreide, Faxe	06	II	141	— Bestimmung der Bre- chungsindizes	07 I 226
Dromopus celer, Carbon, Joggins, N. S.	05	I	340	— — d. Mineralien	CBI 1907 729
Druck — erzeugt keine chem. Wirkung	08	I	168	Dumalit, Zentral-Kauka- sus	07 I 71
— ohne Einfluß auf die Löslichkeit d. Quarzes — orientierter, erzeugt Pleochroismus in blau. Steinsalz u. Sylvin	05	II	246	Dumortieria Bleicheri, Brancoi, Kochi und Nicklesi, Eisenerzfor- mation, Lothringen u. Luxemburg	06 I 305
Druckfestigkeit — der Gesteine, Bestim- mungsmethoden	07	I	45	— Dumortieri var. stric- ta u. evolutissima var. multicostata, Ungarn — evolutissima, Unter- dogger, Csernye, nord- östl. Bakony	06 II 141 05 II 426
— von Marmor, Melaphyr u. Anhydrit	09	II	121	Dumortierit — allem. Beschreibung	06 II 19
Druckfiguren, Natronsal- peter	05	I	24	— Camyon City, Col., im Pegmatit	09 II 386
Druck- u. Schlagfiguren plast. krist. Metalle	07	I	189	Dundasit, Wales 1907 II 357 CBI 1905 284	
Druckverhältnisse im In- nern d. Planeten (Erde)	07	I	373	Dunedin, Neuseeland, Süd- insel, Geol. d. Mt. Cro- nin	05 II 421
Druckwirkungen im Gran- it von Allertshofen a. Modau, Odenwald, Umwandlung in seric- cit. Quarzschiefer	CBI 1906		742	Dunitserpentin, Geiß- pfad, Oberwallis	05 II 220
Drumlinslandschaften im alten Rheingletscher	06	I	436	Duppau, Böhmen, Thera- lith	05 II 55
Druppocarpus spinosus, Miocän, Italien	09	II	490	Durchschnittszusammen- setzung der Eruptiv- gesteine	06 I 46
Drusbergdecke, Glarus	06	II	393	Duruma-Sandstein, Jura, Ostafrika	BB XXVIII 155
Dryophyllum levalense, Paläocän, Leval (Hennegau)	09	II	490	Dutenmergel, Entstehung	06 II 201
Dryopithecus rhenanus u. suevicus, süddeutsche Bohnerze, Salmen- dingen	08	I	126	Dwyka-Konglomerat, Süd- afrika	1907 II 122 CBI 1908 356
Dryptosaurus incrassatus, Edmonton series, North West Territory	05	II	131	Dwykaschichten, südl., Entstehung	CBI 1908 453
Dsungarischer Ala-tau, Ge- steine	05	II	68	Dy = Mudde	08 II 186
				Dynamometamorphose — Amerika, Ton u. Ton- schiefer	06 II 215
				— Lock Lomond-Distrikt	05 II 225
				— Pizzo Forno, Tessin	BB XXVI 539
				— Tessiner Alpen	06 II 209

- Dynamometamorphismus
u. Mineralbildung . . . 1906 I 47
- Dynamosaurus imperio-
sus 07 II 492
- Dyngjujöll, Island, vul-
kan. Erscheinungen . BB XXVI 381
- Dysanalyt
— Vesuv, Mte. Somma . 09 I 344
— Vogtsburg, Kaiserstuhl 09 I 344
- Dysodil
— Melilli, Sizilien, Mittel-
eocän, Mikrofauna u.
-flora 05 II 152
— Oberdorf b. Stockach 08 I 269
- Dystektische Gruppe
beim Eisen 05 I 141
- E.**
- Eastonia Horsti, Silat-
gruppe, Kreide, Borneo 07 I 437
- Ebenoxylon boreale und
speciosum, westl. Ver-
ein. Staaten 09 I 149
- Echinaster antonionensis
u. lepidus, rezent. Süd-
amerika 07 II 154
- Echiniden
— Faluns der Touraine 09 II 480
— Kreide, Dauphiné . . 05 II 326
— — Frayssinet-Le-Gélot
(Lot) 05 II 149
— — Madagaskar 05 II 149
— Infraalias, Vendée und
Deux Sèvres 05 II 147
— Jura, Haute-Marne . . 09 II 480
— Savoyen 05 II 325
— Venetien u. Trentino,
Revision d. tertiären 05 II 149
- Echinobrissus salevensis,
Mont Salève 07 II 154
- Echinocorys Duponti,
Kreide, Belgien 06 I 155
— Monogr. d. Arten d.
belg. etc. Kreide . . . 06 I 155
- Echinoecyamus acumina-
tus, circularis, corona-
tus, infundibuliformis,
lanceolatus, linearis,
mucronatus, polymor-
phus, pseudolanceola-
tus, pseudombonatus
u. stellatus, Mittel-
eocän, S. Gavino a
mare, Sardinien 09 II 483
- Echinoderma, Literatur
von 1903 1905 II 147
- Echinodermen
— fossile u. rezente, Lite-
ratur von 1905 07 II 153
— Kohlenkalk, schwar-
zer Marmor v. Dinant,
Belgien 05 II 147
— rezente, Patagonien
(Ostküste) und Süd-
amerika 07 II 154
- Echinolampas bredeahsen-
sis, Tertiär, Afrika . . 07 II 154
— Guebhardti u. Savini,
Molasse, Veuce 07 II 156
— inaequifos, Eocän,
Aude u. Hérault . . . 07 II 156
— montesiensis, Pigna-
tarii, plagiosomus und
Ugolini, Tertiär . . . 09 II 484
- Echmatemys aegle, are-
thusa, callopyge, cy-
ane, naomi, ocyrrhoë,
pusilla u. uintensis,
Nordamerika 09 I 452
— rivalis, Nordamerika 09 I 450
- Ectolcites arietiformis,
Duncani u. Hollandi,
Tropites-limestone,
Byans 08 II 238
- Ecuador
— Geologie u. Petrogra-
phie 05 II 76
— Ostkordillere, Gesteine
u. Alter 06 I 392
- Edaphosauridae, Organi-
sation 08 I 298
- Edaphosaurus, vergl. mit
Placodus 08 I 299
— Pagonias, Schädel . . 07 I 477
- Edelgase (Argon und He-
lium) in Thermen . . . 08 I 364
- Edelsteine
— der Chinesen 05 II 5
— Färbung durch Ra-
dium 07 II 170
— künstliche, d. deutsch.
Edelsteingesellschaft
Idar-Oberstein CBI 1908 179
— Bolivia, Peru, Nord-
amerika, Philippinen 06 I 356
— Ceylon 1906 I 178. 185. 186
— Kalifornien 07 II 41. 43
— Nordamerika, Produk-
tion 1903 06 I 356
— — — 1906 09 I 30

Edelsteine, Philippinen, Produktion	1906	I	359	Eigenwärme bituminöser Gesteine	1906	II	48
Edenit, Zusammensetzg. Edentaten	08	II	24	Einachsige Verwachungen Einbruch der Ebene von Sevran bei Paris . . .	08	II	140
— Systematik und Ab- stammung	07	I	464	Einhornhöhle, Harz, dilu- v. Feuerstelle	05	I	54
— Deutschland u. Frank- reich	07	I	462	Einschlüsse	05	I	321
— Nordamerika, Tertiär	07	I	464	— im Andesit, Léoran (Cantal)	06	I	379
— Patagonien, Kreide . .	05	I	169	— im Basalt	09	II	59
— Santa Cruz-Schich- ten, Dasyпода	05	I	498	— — — von Kalk, Wei- tendorf (Steiermark)	CBI	1908	257
Edentula Castelli, Wer- fener Schichten, Süd- tirol	CBI	1908	78	— in Eruptivgesteinen in Santorin, Folge- rungen	07	II	406
— planata, Pachycardien- tuffe, Seiser Alp . . .	07	II	337	— im Granit, Kössein (Fichtelgebirge) . . .	08	II	191
Edestiden, Bau	05	II	132	— in Lava, Martinique u. St. Vincent, basi- sische	05	I	256
Edestus minor, Carbon, Illinois	05	II	133	— — — Mayen, Mine- ralien	06	I	347
Edingtonit				— im Leucitbasalt, Gaus- berg	08	I	76
— Böhlet, Westgotland, Kristalle	07	II	184	— im Nephelinbasalt, Ja- kuben, Böhmen, enal- logene	08	I	58
— — Glühverlust	06	I	23	Einsturzbecken, Südrand des Harzes	05	II	376
Edvardotrouessartia, Kreide, Patagonien . .	05	I	168	Eis			
Eggegebirge				— Einfluß auf die Ab- flußbedingungen, Nord- amerika	05	I	407
— Dislokationen, spät- jurassische u. tertiäre, östlich vom	08	I	407	— — — Kentucky u. Virginia	05	I	407
— Kreidegräben in der Trias, östl. vom	08	I	407	— Hebung durch	05	I	56
— präcretaceische Schich- tenverschiebungen im Mesozoicum	06	II	86	— Kristalle	CBI	1909	532
Eggenhaller Porphy, Bo- zen	BB	XXVII	116	— Regelation	08	II	12
Eglestonit, Terlingua, Texas	09	I	173	— Schlüpfrigkeit	05	I	20
Ehrenbergit	CBI	1909	333	— Struktur vom Rhône- gletscher	09	II	209
Ehrenbürg b. Forchheim, Geologie	07	II	100	— siehe auch Grundeis.			
Ehringsdorf bei Weimar, paläolith. Funde . . .	CBI	1908	197	Eisberge, Gesteinseinschl.	09	I	203
Eiben, Bayern u. Island, fossil	09	I	469	Eisbildung u. Gletscher- korn	06	II	326
Eichenholz, pliocänes, Clover Creek, Idaho .	08	II	49	Eisdecken, nordamerik. Tundra	06	II	190
Eichsfeld, Salzlager des Zechsteins	09	II	424	Eisen			
Eidechsen				— Absorption v. Sauer- stoff aus Luft in der Erdruste	07	I	49
— fossile	09	I	447	— chem. Bestimmung des Ferro-	09	I	7
— siehe auch Lacertilier.				— Dehnung, Kompres- sion etc.	07	I	7
Eifel, Mineralien	CBI	1907	471				
Eifelaster Follmanni, rhein. Grauwacke . . .	09	II	322				

Eisen				Eisencarbid u. -Phosphit.			
— Druck- u. Schlagfiguren	1907	I	189	Magdeburg	1906	II	79 ff.
— Einfluß des Drucks aufUmwandlungstemperatur	05	I	17	Eisenchloriddoppelsalze der Alkalimetalle	06	I	8
— Kristall, im Meteor-eisen von Laborel	CBI 1907		411	Eisenerze			
— Kristallisation d. Roh-, Teschen	CBI 1908		545	— Phosphorgehalt, geologisch	06	I	48
— Kristallographie	1908	I	171. 172. 410	— Vanadiumgehalt	07	I	411
— Legierungen mit Kohlenstoff, künstliche	06	I	242	— Cuyuna, Zentral-minnesota	1909	I	394. 395
— — mit Nickel	08	I	10	— Diélette(Manche),Entstehung d. oolithischen	09	I	393
— — — u. Kobalt	06	II	157	— — — magnetisches	07	II	19
— — mit Platin	08	II	157	— Elba, Hut von sulfid. Erzen (Bleiglanz)	06	I	232
— mikroskop. Untersuchungen der Sorten	06	I	243	— Gellivara, Nordschweden	09	I	392
— physikal.-techn. Beschaffenheit des technischen u. meteorischen	05	I	122	— Helen Iron Mine, Michipicoten	09	I	390
— Struktur der Sorten	09	II	130	— Hüggel b. Osnabrück	09	II	250
— Volumvermehrung d. kohlenstoffreichen bei Erstarrung	06	II	154	— Hunyad-Komitat	06	I	264
— Zukunft des	06	II	222	— Iowa	05	I	439
— Zustandsänderung d. reinen	08	I	9	— Kentucky, nordöstl., Entstehung	09	I	391
— Bühl b. Cassel, im Basalt	1907	II	13	— Kiruna, Schweden	09	I	392
— Dettelbach bei Würzburg, in der Lettenkohle	CBI 1907		276	— Kohlbach a. d. Stubalpe, Kärnten	06	I	230
— Cañon Diablo-Meteor-eisen, graphitisch	08	II	183	— Lahntal, Schätzung der Menge	07	I	250
— Gruschewka im Anthrazit, aus Magnetkies entstanden	06	I	13	— Lake Superior-Region	05	I	75
— Magdeburg 1831	06	II	67	— — — Entstehung	1909	I	390. 394
— Sibirien, Fluß Onot. Nickel-	09	I	353	— Lappland, Eigenglanz BB XXIV			548
— Ufak, Grönland	CBI 1908		342	— Laramie Range, Wyoming, im Anorthosit. titanhaltige	07	I	76
— — — Beziehung zu Olivin im Basalt	08	I	235	— Lofoten, magmat. Ausscheidung aus Granit	09	I	389
— — — chemisch	05	I	366	— Mäcskamezö, Ungarn, Mangan-eisenerze	07	I	78
— Wladiwostok, Ruskys-Insel, Roheisen	09	II	184	— Neuseeland	08	I	399
— siehe auch Meteor-eisen, Puddeleisen und Roheisen.				— rhein. Schiefergebirge, mit Schalstein u. Diabas			BB XXI 302
Eisen und Kohlenstoff. Chemie	08	I	9	— Rhodesia, Nordost-	07	I	80
— u. Schwefel, Zustandsdiagramm	08	II	167	— Salesbury-Distrikt, Connecticut, New York u. Massachusetts	09	I	395
— und Silicium	08	I	9	— Schlesien, Oesterreichisch-, Anal.	05	I	199
				— Schottland	05	I	440
				— Skandinavien, Einteilung	09	I	381
				— Spanien, Sierra de Bédar u. Coscojares etc.	08	I	243
				— Stangalpe, Steiermark	09	II	403

Eisenerze

- Sternberg - Bennischer Schalsteinzug, Mähren CBI 1907 289. 321
- Wissokaja, Ural, Magnet Eisen 09 I 392
- Zips-Gömörer Erzgebirge 07 I 253
- Eisenerzformation, Deutsch-Lothringen u. Luxemburg, Fauna 06 I 303
- Eisenerzlager, Christdorf, Mähren CBI 1907 321
- Eisenerzlagerstätten
- Erschöpfung 06 II 222
- Bakal, Süd-Ural 06 II 222
- Cartersville, Georgia, Ocker 06 II 225
- Hessen 06 II 225
- Lake Superior 06 II 227
- Lappland, Geologie u. Genesis BB XXIV 548
- Ekstromsberg und Mertainen 06 I 231
- Mähren, westl., Quittein 05 II 241
- Nassau, Entstehung d. Roteisensteins 06 II 225
- Niedertiefenbach a. d. Lahn 05 I 99
- Oberschlesien 06 II 77
- Skandinavien 07 II 243
- Troitzk, Nord-Ural 06 II 223
- Ungarn, Rudobanya—Szt. Andras b. Kaschau 06 II 78
- Ural, Magnetberg 06 I 380
- Eisenglanz
- Aetzfiguren und verwandte Erscheinungen BB XXVIII 661
- Elastizitätskonstanten 08 II 14
- Elektrizitätsleitung 1906 II 24
- künstliche Kristalle 09 I 8
- magnet. Eigenschaften 07 I 62
- optische Konstanten BB XXV 344
- Reduktion zu Magnet Eisen 05 I 258
- regelmäßige Verwachsung mit Rutil 08 I 175
- Umwandlung in eine polym. Modifikation 06 II 47
- in Silikatschmelzen BB XXII 198. 207. 245
- Bimmental 08 I 14

Eisenglanz

- Carrara, im Marmor . 1907 I 216
- Cavradi, Tavetsch, Verwachsung mit Rutil 1907 I 196 09 II 188
- Cerro Mercado, Mexiko 05 II 201
- Chota Wepur, Bombay (Eisenglimmerschiefer) 07 I 79
- Diélette (Manche) 07 II 19
- Dognacska, Krist. BB XXIV 325
- Elba u. Ouro Preto, elektr. Verhalten CBI 1905 459
- Franklin Furnace, N.J. 06 II 158
- Guanajuato, auf Rhyolith 05 I 373
- Hospital Hill, Johannesburg, mit Quarz (banded jasper) CBI 1906 772
- Indien, Chota Wepur State, Bombay Presidency 07 I 79
- Kakuk-Berg, Ungarn CBI 1908 3
- Kaukasus, im Monazitsand 05 I 386
- Lappland, Erzlagerstätten BB XXIV 548
- Ormuz-Insel 08 II 336
- Pralorgnan (S. Marcel), Aosta-Tal 07 II 36
- Sardinien (Padria) 08 II 295
- Staßfurt, regelm. Verwachsung mit Carnallit 1908 II 9 CBI 1909 168
- Vesuv, mit Chlormanganokalit CBI 1908 52
- — sublimiert 09 II 332
- Eisenhydroxyde, Nagolnij Krjasch, Donetzbecken 07 II 195
- Eisenhydroxyderze, Schottland 05 I 440
- Eisenhydroxydsol, ultramikroskopische Untersuchung 08 II 171
- Eisenkalkancylit, Rußland 05 I 376
- Eisenkarbide, künstliche Eisenkiesel 06 I 242
- Quittein, Westmähren 05 II 243
- Warstein, Westfalen BB XXI 447
- Eisenlösung, Verhalten gegen Schiefer 09 II 84
- Eisenmagnesiumtitanate, Beziehung zu Geikie-lit CBI 1906 157

- Eisenmangankruste, Cap-Halbinsel, durch Windwirkung 1906 II 352
- Eisennickel im Eisen 05 I 138
- Eisenoolith
- Diélette (Manche) 09 I 393
- Grandpré (Ardennen), aus Glaukonit entstanden 09 I 394
- Schwäb. Alb u. Jura 1908 II 88. 94
- Eisenoxyderze, Entsteh. CBI 1909 472
- Eisenoxydphosphat, basisches, Kertsch und Taman 05 II 199
- Eisenrichterit, westl. Nordgrönland, im Gneis 07 I 246
- Eisenspat, siehe Spateisenstein u. Sphärosiderit.
- Eisensulfate
- natürliche 07 I 34
- — Konstitution und Entstehung 1908 II 323. 324
- Eisensulfid im Eisen 05 I 127
- künstlich, Schmelzpunkt 09 II 183
- Eisenvitriol
- Böhmen, Alaun- und Pyritschiefer d. westl. 06 I 53
- Cetine, Prov. Siena 09 II 363
- Nagolnij Krjasch, Donetz-Becken 07 II 198
- Eiszeit
- ARRHENIUS' Kohlen-säurehypothese
- CBI 1908 74. 360. 456. 553
- CBI 1909 481. 539. 660
- Auffassung v. E. GEINITZ CBI 1908 196
- Beziehung zu Erdschlipfen und Bergstürzen 08 II 339
- Einheitlichkeit 07 II 454
- Erklärung CBI 1909 449. 660
- permische 08 I 353
- — Indien etc.
- CBI 1908 449 Festband 446
- — Ursachen CBI 1908 454
- Ursache 09 II 44
- — in den Alpen CBI 1906 380
- verschiedenen Alters und klimatische Oszillationen 08 II 345
- und Vulkanismus 08 II 74
- Wesen und Verlauf der diluvialen CBI 1904 280
- Eiszeit
- wiederholte, der Erdoberfläche CBI 1904 281
- Berlin, Hamburg, Rüdgersdorf CBI 1906 181
- Europa 1906 I 129
- Karpathen, Klima 05 I 147
- Neuseeland, Bildung der Sunde, Seen und Cañons 08 II 340
- Parchim, Mecklenburg, Einheitlichkeit CBI 1905 673
- Rheinlande 05 II 447
- Thüringen CBI 1906 679
- — und östl. Harzvorland CBI 1909 389
- siehe Glazial etc.
- Eiszeitbildungen, Alpen, u. prähistor. Mensch 06 II 270
- Eiszeitliche Schneegrenze, Schwarzwald BB XXI 443
- Eiszeit Spuren, Serbien 09 I 110
- Eklogit
- Bingera-Diamantfeld, Australien, in einer Breccie 07 I 395
- Kalifornien 06 II 218
- Münchberger Gneisgebiet 09 I 377
- Oetzal 05 II 58
- Ekströmsberg, Lappland, Eisenerzlagerstätten BB XXIV 609
- Elaeocarpus globulus, Braunkohle, Senftenberg 08 I 449
- Elaeodendron strictum, Kreide, New York 08 I 456
- Eläolith
- zusammengeschmolzen mit Anorthit 08 II 5
- — mit Augit u. Magnetit BB XXII 202
- — mit Labradorit u. Aegirin CBI 1906 144
- Eläolithsyenit, siehe Nephelinsyenit
- Elasmatium, Naples-Fauna, westliches New York 05 I 150
- Elasmobranchier, geolog. Verbreitung in Europa und Amerika 05 II 477
- Elasmometer 05 II 2
- Elastizität der Gesteine 07 I 263
- Elastizitätsapparat, Interferenz- (Elasmometer) 05 II 2

Elastizitätskoeffizient der Gesteine u. Geschwindigkeit der Erdbebenwellen	1908	I	47	Elemente, Verhalten von Atomgewicht z. Dichte	1905	II	170
Elba				Elefanten-Schädel, Entwicklung	05	II	471
— Ag-haltige Bleierze, Rosseto	07	I	254	Elephas, süddeutsche Bohnerze	08	I	128
— Blei- u. Silbermineralien, Beziehung zu Eisenerzen	06	I	232	— antiquus, Belgien (Quenast), Diluvium, Molar	05	I	484
— Ceylanitgesteine	08	II	211	— hysudrindicus, Java, Kendeng-Schichten	09	I	117
— Eisenerze, eiserner Hut von sulfid. Erzen	06	I	232	— meridionalis, Dewlish (Dorset), von Menschen gejagt	07	I	460
— Mineralien	CBI	1908	252	— primigenius, Rekonstruktion	07	II	477
— Turmalin, Lagerstätten	08	II	32	— Beresowka - Ufer etc., Nordsibirien, Leiche	06	I	145
— Zeolithe des Speranzaganges bei San Piero	08	II	33	— — Unteritalien	06	I	146
Elbe, Schlickabsätze	05	II	444	— siehe auch Mammut.			
Elbert-Formation, Colorado, Devon	06	II	263	Elephas-Arten in Mexiko	07	I	127
Elbrus, fossile Mollusken	06	I	442	Elfas, Geologie	05	II	259
Elcabrosaurus Baldwini, Perm, Neu-Mexiko	08	I	292	Elfdalporphyr, Diluvialgeschiebe, Westfalen.	CBI	1907	152
Elch, England, prähistorisch	05	I	323	El Inca, Peru, Meteor-eisen		Festband	227
Eldgjá, Vulkan, Island	BB	XXVI	25	Ellipsobulimina Seguenzai, Miocän, Piemont	06	II	308
Elea meridiana, Kreide, Pondoland	07	II	306	Ellipsocephalus latus, Silur, Upsala	06	I	102
Electra sinuosa, Tertiär, Patagonien	05	II	141	Ellipsoidina u. verwandte Formen, Sizilien	CBI	1906	641
Elektrische Ladungen, Zerstreung durchThermen, Pyrenäen	07	II	53	Ellipsolingulina impressa, olig., Castel Madama	07	II	341
Elektrische Leitungsfähigkeit opaker Mineralien	07	I	11	Ellipsonodosaria	07	II	499
Elektrischer Widerstand römischer Gesteine	05	I	223	Ellipsopleurostomella pleurostomella, rostrata u. Schlichti, Miocän, Piemont	06	II	308
Elektrisches Verhalten krist. Metallsulfide u. -oxyde	CBI	1905	454	— russitanoi, mioplioc. Mergel von Bonfornello (Palermo)	06	I	473
Elektrizitätsleitung				Elonichthys-Arten, Carbon, England	05	II	480
— Eisenglanz, Zinnstein, Molybdänglanz, Pyrit, Markasit, Bleiglanz und Graphit und Erkennung polymorpher Umwandlungen	06	II	20	Elothorium Calkinsi, John Day series	07	I	304
— krist. Oxyde und Graphit	07	II	5	Elsaß			
Elemente				— geol. Uebersichtskarte	06	II	84
— chemische, Verteilung in der Erde nach dem Atomgewicht	06	I	50	CBI 1908 556. 589. 610. 651			
— Isomorphismus	08	II	148	— Kalisalze bei Wittelsheim	09	I	107
				— WeißerJura unter Tertiär im Sundgau	05	II	409
				Elsaß-Lothringen, geolog. Landesuntersuchung	09	II	207

- Elsenzkies, Weinheim . CBI 1909 659
 Emanationen, magmatische 1908 II 219
 Emarginula longiscissa,
 Granulatenkreide, westl.
 Münsterland 08 I 428
 Emarporphyr, Diluvium,
 Westfalen CBI 1907 174
 Embia florissantensis,
 Miocän, Florissant,
 Col. 08 II 111
 Embolit, Nagolnij Krjasch,
 Donetz-Becken 07 II 194
 Embolomerer Typus der
 Tetrapoden 09 II 113
 Embolophorus Dollovia-
 nus, Perm, Texas,
 Osteologie 1907 I 139. 149
 — fritillus, Peru 08 I 297
 Embrunais, franz. Alpen,
 Bau 07 I 269
 Emmonsit (?), Cripple
 Creek, Col. 06 I 165
 Emser Mineralquelle, Ana-
 lyse 05 I 444
 Enallaster Böhmii und
 Sapperi, Kreide, Hon-
 duras 07 II 154
 — aff. lepidus, Roto-
 magien, Huallanca,
 Peru BB XXIV 94
 Enantiotrope Umwandlg.,
 molekulare Drehmo-
 mente 08 I 324
 Enantiomorphie u. Zwill-
 lingsbildung BB XXIII 237
 Enargit
 — Japan, Kinkwaseki
 (Formosa), Kristall 09 I 173
 — — Kinkwaseki, Insel
 Taiwan 07 I 196
 — Santa Fé-Grube, Chia-
 pas, Mexiko 05 I 44
 — Serbien, Bor 09 I 336
 Encephalartopsis ? orego-
 nense 07 II 503
 Enchelon montium, Krei-
 de, Libanon 05 II 482
 Enchodus, Chalk, Eng-
 land 05 II 137
 Enderby-Land, gedredschtes
 Gesteinsmaterial 06 II 370
 Endmoräne
 — baltische, Beziehung
 zum Thornu-Ebers-
 walder Haupttal 06 II 435
 — Samländer Bogen 06 I 119
 Endmoräne, siehe auch
 Moränen, Glazial etc.
 Endmoränensee, Ost-
 preußen 1905 I 471
 ? Endocostea Brooksii,
 Kreide, Los Cerillos
 (Neu-Mexiko) 08 I 436
 Endomorphismus, Marti-
 nique 05 I 255
 Endothiodon bathysto-
 ma, Südafrika 07 I 317
 Endothiodontidae, Systematik
 07 I 480
 Engadin
 — Mineralquellen 07 II 87
 — oberes, Geologie 08 II 225
 — — Seen des 06 I 44
 — unteres 08 II 228
 — — Fenster 07 II 262
 — — Geologie 07 II 436
 — — Lischannagruppe,
 Geologie 07 I 96
 — — zwischen Val d'Asa
 und Piz Lad 09 I 404
 England
 — Carbon, Paläonisciden 05 II 480
 — Eruptivgesteine einiger
 Gegenden 05 II 388 ff.
 — Gault, Upper Green-
 sand und Chalk 06 II 108
 — Geologie v. Southamp-
 ton 06 I 264
 — Gesteinsumwandlung
 im westlichen CBI 1908 731
 — Jura 08 II 85 ff.
 — Jurapflanzen d. York-
 shire-Küste etc. 1907 I 488. 489
 — Kohlenvorrat 07 II 85
 — Lamellibranchier der
 Kreide 08 I 444
 — paläozoische Floren 06 II 458
 — postplioc. Land- und
 Süßwassermollusken
 des südlichen 05 II 449
 — Quartär, präglaziales,
 Northumberland und
 Durham 05 II 450
 — Seendistrikt, Geologie 08 II 53
 — Trias, Basis d. Keu-
 pers im Süd-Devon 05 II 425
 — — Gerölle im Bunt-
 sandstein, Devonshire
 und Midlands 05 II 424
 — — Zusammenstellung
 und Alter der Fossi-
 lien CBI 1908 9

- Engonoceras complicatum, gibbosum und subjectum, Kreide 1907 II 151
- Engonoceratidae, Kreide 07 II 151
- Enkeberg b. Brilon, Fauna des höheren Oberdevon BB XXVI 565
- Enochkin-Formation, Jura, Alaska u. Cook Inlet 07 I 277
- Enstatit
- Dispersion der opt. Achsen 08 I 23
- künstlich 08 I 19
- zusammengesmolzen mit Augit und Oligoklas BB XXVII 604
- — mit Diopsid 1909 II 163 CBI 1906 572
- Diopsid, Hedenbergit, Aegirin u. Spodumen, Morphotropie 09 II 171
- Kragerö, Pseudom. v. Strahlstein nach E. 09 II 345
- Roda-Meteorit, orientiert verwachsen mit Diallag 05 I 213
- Tasmanien, Launceston, im Diabas CBI 1907 705
- und Klineoestatit 09 II 176
- Enstatitaugit, monoklin 09 II 163
- Enstatitdolerit, Hessen, Schwälmer Land BB XXIII 349
- Enstatitgabbro, Ottawa, Canada 05 I 250
- Entalis multiplicans, orahovicensis u. turcica, Bellerophonschichten, Bosnien 05 I 105
- Entalium Andersoni, Kreide, Zululand 07 II 304
- Enteles hemiplicatus, Kayseri, Merzbacheri, cf. Oehlerti u. Tschernyscheffi, ob. Carbon, Kukurtuk-Tal, südl. Tian-Schan BB XXII 374
- Entelostylops, Kreide, Patagonien 05 I 169
- Entexis 06 II 200
- Entgasung bewirkt Kristallisation in Schmelzflüssen 09 II 129
- Entglasung 06 I 6
- Entoptychus rostratus u. Sperryi, John Day series 07 I 303
- Entrerios-Formation, Tertiär, Patagonien 1905 I 141 BB XXI 180
- Entstehungstemperatur der Mineralien, Bedeutung der Polymorphie und Isomerie 1906 II 45
- Entwässerung
- lockerer Gesteine, Ursache von Bodensenkungen, rhein.-westf. Kohlenbezirk 09 I 77
- wasserhaltiger Kristalle 05 II 4
- Entwicklungsreihen devon. Brachiopoden. Canandaigua-See 05 I 359
- Eocän
- Einteilung 07 II 450
- Aegypten, Säugetiere 09 I 440
- Ariège u. Haute-Garonne, unteres 07 II 452
- Balkanhalbinsel, südwestliche BB XXI 249
- Belgien, Reptilien 08 I 443
- Catania, Prov., Foraminiferen 05 II 488
- Griechenland CBI 1906 541
- Kiental, Berner Oberland 09 I 431
- Mittelmeer, vergl. mit Pariser Becken 05 II 156
- Neukaledonien 07 I 114
- Norddeutschland, unteres 07 II 453
- Paris, Katalog d. Konchylien 05 I 484
- — oberes 07 II 450
- Pariser Becken, Fischotolithen 08 I 131
- Schweiz, Säugetiere (Chasmothierium und Lophiodon) 05 I 492
- Westsizilien 07 II 496
- siehe auch Tertiär.
- Eocardia Petersoni, Tertiär, Patagonien 07 II 327
- Eocetus, Eocän, Aegypten 09 II 119
- EOchalicotherium, Kreide, Patagonien 05 I 168
- EOchelone brabantica, Bruxellien, Belgien 05 II 473
- Eodacit, Diluvium, Westfalen CBI 1907 175
- EOhegetotherium, Kreide, Patagonien 05 I 167

Eohyrax, Kreide, Patagonien	1905	I	167	Epanorthidae, Santa-cruzeno, Patagonien .	1907	I	308
Eokristalle in porphyr. Gesteinen	07	II	417	Eparchaeon Interval . .	05	II	229
Eolicaphrium, Kreide, Patagonien	05	I	167	Ephedrites ? veronensis .	07	II	505
Eolithen				Ephemera Howarthi, Miocän, Florissant, Colorado	08	II	111
— nicht Kunstprodukte	06	II	269	Ephialtes jurassicus, Kimmeridge. Sierra del Montsech, Catalonien .	05	I	525
— natürl. Entstehung im norddeutschen Diluvium	07	I	126	Epiaster cuevasensis. Kreide, Honduras . .	07	II	154
— Belgien, Tertiär	09	I	107	Epicampodon = Thecodontosaurus (?) indicus . .	09	I	289
— — Roncelles u. Tilff, oligocän	1908	I	279. 280	Epidauros (Argolis), Hallstätter Kalk, Cephalopoden			Festband I
— — Westflandern	05	I	321	Epidaurus, alpiner Muschelkalk, Ammoniten	CBI	1906	271
— Braunschweig	09	II	57	Epididymit	09	I	317
— Cantal, Kent u. Sussex, pliocän	06	I	130	Epidosit, Spitzbergen . .	08	II	370
— Freyenstein, Mark	05	I	321	Epidot	09	I	316
— Neuhaldensleben, aus Feuerstein	06	I	122	— Polysymmetrie der Gruppe	09	II	178
— nord. Geschiebemergel, Pseudo-	08	I	281	— Barrisdale, Inverness-shire, im Gneis	CBI	1905	190
— Schönebeck a. E., interglazial	06	I	130	— Biella, Piemont, Drusen im Syenit	06	II	35
— Thenay, Tertiär, und Ursprung	06	II	269	— Campaglia bei Varzo (Piemont)	CBI	1905	19
Eolithenindustrie	08	I	280	— Carrara, im Marmor . .	06	II	177
— siehe auch Archaeolithen, Pseudoeolithen, Mensch etc.				— Chiavrié, Susatal	08	I	27
Eomorphippus, Kreide, Patagonien	05	I	167	— Chiesonetal (Piemont), Pomaretto	09	II	205
Eopachyrucos, Kreide, Patagonien	05	I	167	— Coire Dhorrcail, Inverness-shire	07	I	31
Eopristis Reinachi, Säge, Obereocän, Aegypten	07	I	1	— Concepcion del Oro, Zacatecas, Mexiko, im Marmor. Kontakt mit Granodiorit	BB	XXVIII	487
Eopteryx florissantensis, Miocän, Florissant, Col.	08	II	111	— Elba	07	II	41
Eoserpeton tenuicorne, Carbon, Nordamerika	09	II	134	— Grönland	CBI	1908	403
Eosiren, Hüftbeinrudimente	09	II	114	— Susa-Tal, im Prasinit der Rocca Bianca	06	II	105 ff.
— Tertiär, Fayum	07	II	314	— Val di Via, Piemont, krist. und opt.	08	II	311
Eosphargis Lerichei, Eocän, Belgien	08	I	443	— Zöptau, Mähren	05	I	187
Eostylops, Kreide, Patagonien	05	I	169	— siehe auch Puschkinit.			
Eosuchus Lerichei, Eocän, Belgien	08	I	443	Epidotamphibolit, Ederbach, Oetzthal	CBI	1908	763
Eotherium, Hüftbeinrudimente	09	II	114	Epidotglaukophanit, Syra	09	II	226
— Tertiär, Mokattam	07	II	314	Epidotisierung, künstl., von Granat	07	II	369
Epanorthidae, Argentinien, Abstammung .	05	I	164	Epikamazit, Meteorit von Kodaikanal, Indien . .	07	II	206
				Epirus, Jura	BB	XXI	237

Epistilbit				Erdbeben			
— Färöer	1909	I	28	— Fortpflanzung der			
— Island, Glühverlust	05	I	23	— oberflächl. Wellen	1907	II	48
Epistomina porcellanea,				— Fortpflanzungsge-			
lithauisch - baltischer				— schwindigkeit	07	II	46
Jura	06	I	472	— Gesetze d. Verteilung	08	I	50
Epprechtstein im Fichtel-				— geben Hinweis auf das			
gebirge, Apatit etc.				— Erdinnere	07	II	207
im Granit	BB	XXIII	581	— makro- u. mikroseis-			
Epsomit, siehe Glaubers-				— mische	05	II	206
salz.				— Schüttergebiete	07	II	46
Equiden, Miocän, Süd-				— Seismometerbeobach-			
dakota	08	I	129	— tungen, Potsdam	07	II	48
Equisetales, Mesozoicum,				— Seismoskop mit zwei			
Schweden	09	I	150	— Horizontalpendeln	07	I	219
Equisetites broraensis	07	II	507	— Tiefe des Herdes	07	II	47
— laevis, Mobergii, Nath-				— verschiedene Länder	05	II	208
horsti, praelongus, sub-				— Anden, Westflügel der			
ulatus u. suecicus,				— südlichen	06	I	41
Mesozoicum, Schweden	09	I	151	— Brescia-Gegend	05	II	373
— Lyelli und Peruanus,				— Caernarvon, 19. Juni			
Wealden, Peru	BB	XXIV	77. 78	— 1903	05	II	371
— Nathorsti u. suecicus				— Charleston, S. C.			
(Equisetostachys), Me-				— 31. Aug. 1886	09	II	208
sozoicum, Schweden	09	I	151	— Derby, 3. Mai 1903	05	II	371
Equisetostachys Nathorsti				— — 3. Juli 1904	06	I	362
u. suecicus, Mesozoi-				— Doncaster (Lincoln-			
icum, Schweden	09	I	151	— shire), 23. April 1905	07	I	45
Equisetum ferganensis,				— Galizien 1901	05	II	208
Jura, Turkestan	09	I	147	— Jamaika, 14. Jan. 1907	09	II	208
— Sarrani, Carbon, Ton-				— Kalabrien, 8. Sept.			
kin	08	I	310	— 1905	08	I	220
— Zeilleri, ob. Kreide,				— Kangra-Tal, Himalaya,			
Quedlinburg	07	I	493	— 4. April 1905	CBl	1905	332
Equus Haasei	07	II	481	— Leicester, 4. Aug. 1893			
— Stenonis, Postpliocän,				— und 21. Juni 1904	06	I	361
Mosbach	05	II	126	— Leipzig, Pulsationen			
Erbensteine, Kugelpackg.	CBl	1909	302	— vom 1. Mai—31. Okt.			
Erdalkalien u. Magnesium-				— 1904	05	II	370
carbonat, Dissoziation				— Lissabon, Literatur	06	I	40
Erdbeben				— Neu-Madrid, Missouri			
— Anzeige durch licht-				— 1904	07	I	46
empfindliche Papier-				— Norwegen 1903	05	I	53
streifen	07	II	46	— — 1904	06	I	202
— angezeigt durch Schwan-				— — 1905	07	I	219
kungen des Erdpoten-				— österr. Pfahl, 26. Nov.			
tials	09	I	362	— 1902	05	I	50
— beeinflusst durch die				— Penzance, Cornwall,			
Festigkeit der Ge-				— 3. März 1904	06	I	42
steine	06	I	199	— Portugal 1903	06	I	40
— Fernbeben und Pul-				— — 19. Aug. 1903	05	I	53
sationen, registr. von				— Rumänien und Bess-			
WICHERT's astat. Pend-				— arabien	06	I	42
delseismometer, Leip-				— San Francisco, 18. Apr.			
zig 1. Jan.—30. Juni				— 1906, Haupterschüt-			
1903	05	I	52	— terungsgebiet	09	I	49

- Erdbeben
- Schweden 1902, 1903 1905 I 52
 - Skandinavien, 23. Okt. 1904, und Wirkung in den südbalt. Ländern 06 I 200
 - skandinavisches, 23. Okt. 1904, in den russ. Ostsee-provinzen CBI 1905 65
 - Süddeutschland, Früh-jahr 1903 09 I 49
 - Upsala, 23. Okt. 1904 06 II 188
 - Wight, Jan. und Febr. 1903 05 II 208
 - Württemberg und Hohenzollern 1901 bis 1904 06 II 187
 - siehe auch Seismologie, Erderschütterungen etc.
 - Erdbebenbeobachtung 05 II 208
 - Erdbebenforschung, Fort-schritte 09 II 208
 - Erdbebengürtel der Erde 09 I 102
 - Erdbebenkunde
 - Handbuch CBI 1904 408
 - siehe Seismologie.
 - Erdbebenschwarm, Erzgebirge und Vogtland, Febr. u. März 1903 05 I 50
 - Erdbebenserie, Masaya (Nicaragua), 1. bis 5. Januar 1906 CBI 1906 257
 - Erdbebenstation
 - Leipzig, Beobachtungen 1905 II 370 07 I 45
 - — Fernbeben etc., 1. Jan. bis 30. Juni 1903 05 I 52
 - Erdbebenverwerfung
 - Derby 05 II 373
 - Leicester, 21. Juni 1904 1906 I 362. 363
 - Erdbebenwellen
 - Fortpflanzungsge-schwindigkeit am Aetna 06 II 188
 - Geschwindigkeit und Elastizitätskoeffizient der Gesteine 08 I 47
 - Erdboden, Bedeutung der Zeolithe 07 I 353
 - Erdbrände, Karlsbad 05 I 256
 - Erde
 - Alter, Beziehung zum Salzgehalt d. Meeres 05 I 402
 - — und Kohlensäure-gehalt der Atmo-sphäre 08 I 211
 - Erde
 - Dichtigkeit unter den Kontinenten und dem Meer. 1907 I 374
 - Entstehung, Hypo-thesen 07 I 372
 - period. Verschiebung des Schwerpunkts 07 I 374
 - Starrheit, Ursache 07 I 373
 - Tetraederform 09 I 367
 - Erderschütterungen in Bergwerksbezirken, Cornwall etc. 07 I 377
 - Erdinneres
 - Beschaffenheit
 - 1905 I 222 08 I 213
 - erkannt aus Erdbeben 07 II 207
 - geschlossen aus Ge-steinanalysen 05 II 209
 - heißes, eine Wahn-vorstellung CBI 1906 51
 - hohe Temperatur, ver-ursacht durch d. Sonne CBI 1904 572. 721
 - Kontraktions- und Expansions-theorie ver-einigt 05 I 401
 - Temperatur 07 II 399
 - — und Zustand CBI 1908 43
 - Erdkern, physikal. Zu-stand CBI 1905 92
 - Erdkruste
 - Bewegungen 05 I 222
 - mittlere Zusammen-setzung 05 I 411
 - Niveaüänderungen 08 I 214
 - Erdmagnet. Elemente, Württemberg und Hohenzollern 07 I 375
 - Erdmagnetismus
 - Zusammenhang mit Schwere und geolog. Bau, Pommern und Nachbarschaft BB XXII 174
 - Sizilien 08 II 44
 - Erdoberfläche
 - Physiographie 06 II 44
 - Umgestaltung durch Verwitterung 08 II 58
 - Erdöl
 - Beschaffenheit u. Vor-kommen, H. HÖFER, 2. Aufl. CBI 1907 217. 219
 - Bildung 1908 II 41. 327
 - künstl. Darstellung des optisch aktiven 08 II 41

Erdöl				Erdschias Dagh, Klein-			
— opt. Aktivität u. Ursprung	1908	II	40	Asien, Petrographie	1909	II	231
— Polarimetrie	09	II	365	Erdschlipfe im Gefolge der Eiszeit (Interglazial)	08	II	339
— polymerisierendes, Wärmequelle im Erdboden	CBI	1908	271	Erdwachs, siehe Ozokerit und Asphalt.			
— Urmaterialien (Petrolea)	08	II	41	Erdwärme, innere, durch Sonne verursacht	CBI	1905	82
— Vorkommen u. Entstehung	07	II	86	Eremites (Trachyceras) orientale, Cassianer Schichten, Epidauros (Argolis)	Festband		12
— Alaska, pazif. Küste	09	I	395	Eremopezus eoceanus, Tertiär, Fayum	07	II	316
— Bayern, im Flysch	07	I	84	Eremopteris artemisiaefolia, Carbon, Vorkommen	09	II	492
— — Tegernsee, im Flysch	07	II	127	Erethizon Godreyi, Pleistocän, Arizona	07	I	305
— Boryslaw, Vorkommen	1906	I	407. 409	Erethizontidae, Tertiär, Patagonien	07	II	323
— Bukowina, Putilla-Tal	06	I	237	Ergußgesteine			
— Deutschland, nordwestl., Beschaffenheit	06	II	390	— mikroskop. Physiographie	CBI	1909	338. 367
— Italien (Salsomaggiore u. Ozzano), chemisch	05	I	443	— Arizona, Tucson Mountains, Pima Co.	07	II	230
— Kansas, Jola Quadrangle	08	II	376	— Böhmen, zw. Böhm.-Kamnitz u. Kreibitz, jungvulkanische	06	II	357
— Louisiana, Oelfelder	06	II	383	— — Tepler Hochland	1906	II	353. 355
— mährisch-ungarisches Grenzgebirge	07	I	84	— Cambewana Range, N.-S.-Wales	07	I	398
— malaiische Inseln	07	I	84	— Snowdon, Wales	07	I	390
— Neuseeland	08	I	399	— siehe auch Eruptivgesteine.			
— Ohio	06	II	386	Ericyna armoricensis und leptonopsis, Eocän, Loire inférieure	06	I	468
— Ostgalizien (Opaka—Schodnica—Urysz)	06	I	236	Erikrit, Julianehaab, Grönland, im Nephelinsyenit	05	II	190
— Rumänien, Vorkommen	06	II	390	Erinit, Markkirch	09	I	24
— Schottland (Lothian)	05	I	442	Eriocampa Scudderi, Miocän, Florissant, Col.	08	II	112
— Sumatra, südliches	05	II	418	Eriophyla argentina, Neocom, argent. Cordillere	BB	XXIII	216
— Texas, Trans-Pecos	06	II	179	— Grigorievi, Kaukasus	08	II	81
— Texas-Louisiana	08	II	378	— hemiornata, ob. Kreide, Alvincz	05	I	302
— — Gulf Coastal Plain	06	II	383	— (?) Rupert - Jonesi, Kreide, Umkwelane Hill, Zululand	06	I	308
— Trinidad	07	I	86	— subplanissima, Hyperesenon, Peterwardeiner Gebirge	06	II	268
— — Mayaro-Guayaguayare-Distrikt	07	I	86				
— siehe auch Oelfelder, Oelquellen, Oelschiefer.							
Erdpech							
— Ijebu-Distrikt, Lagos	07	I	87				
— Trinidad	07	I	86				
— siehe auch Asphalt.							
Erdpotential, Schwankungen zeigen Erdbeben an	09	I	362				
Erdpyramiden u. Büßerschnee, gleichart. Erosionsgebilde	07	I	379				
Erdrutsch, Tavernola am Iseosee	08	II	58				

- Eriptycha perampla, Kreide, Pondoland . 1907 II 306
- Erisiphites Melilli, mittl.-eoc. Dysodil, Melilli, Sizilien 05 II 152
- Erismacanthus formosus, Kohlenkalk, St. Louis, Flossenstachel 05 II 138
- Erlan = Kalksilikathornfels, Böhmen 06 II 360
- Erlanfels, Erla b. Schwarzenberg 06 I 78
- Ernestohaekelia, Kreide, Patagonien 05 I 168
- Ernestokokenia, Kreide, Patagonien 05 I 167
- Erosion
- Beziehung zu den „peneplains“ 05 II 375
- glaziale . 1908 I 51 CBI 1906 380
- Gletscher- und Fluß 09 I 201
- d. Meeres und Küstensenkung, Rocky Mountains 07 I 379
- durch Meeresströmungen BB XXV 403
- verschiedene Arten 07 I 46
- England, Suffolk-Küste 06 I 46
- — Wells, unterirdische, Zeitmaß 07 II 51
- des Verdon - Cañon, Schnelligkeit 08 I 220
- und Denudation des Baches Vrchlice bei Kuttenberg, Böhmen CBI 1907 429
- — Messung der Fortschritte 07 I 7
- Erosionserscheinungen, Korsika 06 I 45
- Erosionsgebilde, Erdpyramiden u. Büßersnee 07 I 379
- Erosionstätigkeit in den Canyons, Alpes-Maritimes 09 I 205
- Erquelinnesia molaria, Nordamerika 09 I 452
- Erratische Blöcke
- Basler Jura, Verbreitung 05 I 311
- Genf, Ursprung 06 II 61
- Erratische Geschiebe und Glazialforschung 06 II 435
- siehe auch Quartär etc.
- Erstarren der Silikatschmelzen, Ausdehng. 09 II 329
- Erstarrung von Magmen CBI 1905 93
- Erstarrungskurve eines binären Systems an einer Stelle, die dem Auftreten einer Verbindung entspricht . CBI 1907 329
- Erstarrungstemperatur, Einfluß auf die Ausscheidungsfolge aus Schmelzflüssen 1908 II 26
- Erstarrungs- u. Schmelzkurven bei Silikatschmelzflüssen BB XXIII 76
- Erstfeldergneis, Nordrand des Aarmassivs 07 II 69
- Eruptionen
- fester Massen 05 II 396
- posthume, Mte. Ferru, Sardinien BB XXI 44
- vulkan., mögliche Ursache durch Carbide 05 II 205
- Zweck CBI 1906 437
- Mt. Pelée CBI 1906 81
- Stromboli, Mai 1906 CBI 1906 561
- Vesuv 07 II 390
- Vesuv, April 1906 07 I 44
- — 1906, Aschen, Bomben und Laven CBI 1906 497
- — 1906 Vorgang CBI 1906 506. 529
- — Westindien, Mai 1902 05 I 404
- siehe vulkanische Eruptionen, Vulkane, Vesuv etc.
- Eruptionerscheinungen, künstl. Nachbildung 05 I 444
- Eruptivbreccie
- porphyritische, Kiautschu 06 II 369
- Neuseeland, Otago-Halbinsel 08 I 235
- Eruptive Erze CBI 1906 614
- Eruptivgänge, Schmal-kalden 08 I 91
- Eruptivgesteine
- Acidität, relative 08 II 184
- Analysen, von 1884 bis 1900 ausgeführt 06 I 203
- — der U. S. geolog. Survey 1884—1900 CBI 1905 210
- anchi-eutektische und anchi-monomineralische 07 II 56
- Anwendung der Phasenregel auf Erzführg. 07 II 56
- Beziehung zu Erz-lagerstätten 05 I 426
- chem. Klassifikation 05 I 412

Eruptivgesteine			Eruptivgesteine		
— chem. Zusammen-			— John Day Basin . . .	1905	II 232
setzung	CBI 1907	3	— Kiautschu	06	II 368
— — Bestimmung d.			— Kleinasien, nordwest-		
das Mikroskop . . .	1909	II 58	liches	07	II 70
— Darstellung der Zu-			— Kleine Antillen . . .	06	II 376
sammensetzung . . .	08	II 184	— Kristianiagebiet, Brög-		
— Diagramme der Zu-			GER's Katalog	06	II 196
sammensetzung und			— Neukaledonien . . .	05	II 273
Klassifikation von ID-			— Okanagen - Batholith,		
DINGS	CBI 1905	249	Cascade Mountain, Col.	09	I 68
— Durchschnittszusam-			— Pajaro, kalif. Coast		
menetzung	06	I 46	Range	05	II 231
— Einfluß auf Bildung			— Pembrokeshire, Wales	06	II 210
der Erzgänge	05	I 256	— Pojana-Ruszka, westl.		
— Entstehung d. Leucits	09	II 61	Ausläufer	06	I 262
— u. Silikatschmelzen	08	I 86	— Pontesford Hill, Shrop-		
— Gesetze der Kristalli-			shire	05	II 391
sationsfolge	1909	II 51. 55	— Predazzo u. Monzoni,		
— phys.-chem. Gesetze			chem. Zusammensetzg.	06	I 57
der Kristallisations-			— Pyrenäen (Bellongue		
folge	09	I 367	u. Ger-Tal)	05	I 428
— Textur	08	II 350	— Santa Cruz Mountains,		
— Veränderung durch			San Mateo Co., Cal.	06	II 374
Verwitterung u. Ther-			— Skye, tertiäre	06	II 64
malwirkung bei sauren	09	II 60	— Spring Cove b. Weston-		
nach WEINSCHENK .	CBI 1905	617	super-Mare	05	II 388
— Alaska	05	II 272	— Tirol, südl., nebst Tuf-		
— Alpen, ophiolithische	06	II 86	fen	05	II 63
— Ampasindava (Mada-			— Transvaal	07	I 394
gaskar), alkalische .	05	I 434	— Tripolis	07	I 66
— Aranyos-Gruppe, sie-			— und krist. Schiefer		
benbürg. Erzgebirge	1906	I 263. 264	liefern durch Zerstö-		
— atlant. u. pazif. Sippe	05	II 52	rung Sedimente . . .	09	II 62. 63
— Berwyn Hills, Wales	05	II 386	— siehe auch Erguß-		
— Böhmen, Melnik und			gesteine, Intrusivge-		
Mšeno	07	I 58	steine, Massengesteine		
— — westliches, im Cam-			etc.		
brium	05	II 56	Eruptivgneise, deutsches		
— Böh. Mittelgebirge			Grundgebirge	05	I 235
u. Amerik. Anden . .	05	II 52	Eruptivmagmen		
— — — (Aussig und			— Anwendung der Pha-		
Großpriesen)	1905	I 268. 272	senregel	07	II 56
— Bristol-Distrikt, im			— eutektische Mischungen		
Carbon	05	II 388	bei Differenzierungen	06	II 197
— Caernarvonshire, bas.			— siehe auch Magma.		
Gänge	05	II 389	Eruptivmasse, Beziehung		
— Euboea	05	I 245	zu Erzmasse in mag-		
— Gleichenberg, Steier-			mat. Lagerstätten . .	08	I 79
mark	06	I 408	Eruptivmechanismus, be-		
— Harzburg, und Tuffe,			einflußt durch sub-		
devonische, im Kon-			marine Infiltration . .	09	I 204
takthof des Brocken-			Erweichen der Mineralien		
massivs	06	I 209	vor dem Schmelzpunkt	06	II 10
— Highwood Mountains,			Erweichungspunkte der		
Montana	06	II 373	Gläser	08	II 25

Erycina pourcyensis, Eocän, Paris	1907 II 303	Erzgebirgischer Erdbeben-	
Erycites baconicus, eximius, intermedius, involutus, Partsch, retrorsicostatus, Scharfziki, Szontaghi und Telegdy-Rothi, Unterdogger, Csernye, nordöstl. Bakony	05 II 426	schwärm, Februar u. März 1903	1905 I 50
— Banffy und Perczeli, Oberlias, Csernye, nordöstl. Bakony	05 II 426	Erzlagerstätten	
Eryma sulcata, Kreide, Schaumburg - Lippe-sche Mulde	06 I 441	— nach SACHS	05 II 199
Eryops, rhachitome Wirbel — Schädel	09 II 138	— nach STELZNER-BERGAT	1905 II 193 CBI 1907 625
Erythraea, Zeolithe	08 II 36	— Abbauwürdigkeit	08 I 78
Erythrosuchus africanus, Skeletteile	09 I 131	— Aufsuchen durch ihre elektr. Ausstrahlung	08 I 78
Erzberg bei Hüttenberg (Kärnten), Eisenspat	05 II 80	— Auftreten des Phosphors und Vanadiums	06 I 49
Erzbergbau, Rheinlande, Geschichte	08 II 219	— Ausfällung von ged. Kupfer	09 II 398
Erze		— Bedeutung der Konzentrationsprozesse	06 I 72
— Einteilung	09 I 76	— — für polit. Stellung	08 I 78
— eruptive, sedimentäre und metamorphe	CBI 1906 614	— Beziehung zu magmatischen Emanationen	08 II 219
— sedigenetische u. igneogenetische	07 I 406	— Bildung durch Metamorphismus	CBI 1906 614
Erzföhrung der Eruptivgesteine, Anwendung der Phasenregel	07 II 56	— Entstehung 1909 II 78	CBI 1907 89
Erzgänge		— Eisen, Erschöpfung	06 II 222
— Beziehung zu Pegmatiten	08 I 80	— Erforschung	09 II 78
— Einfluß der Eruptivgesteine auf deren Bildung	1905 I 256. 426	— Erstreckung in Tiefe	07 I 405
— Wedekind, Nevada, Bildung durch hydrotherm. Vorgänge	05 I 426	— Fällung von Kupfererzen durch Silikate	07 II 421
— siehe auch Erzlagerstätten und Eruptivgesteine.		— Kokardenstruktur, sekundäre	CBI 1907 411
Erzgebirge		— Konzentrationszone	08 I 400
— altes Grundgebirge	05 I 235	— Leiterze	08 I 400
— Gesteine	06 I 366	— magmatische, Beziehung zw. Erzmasse u. Größe der Eruptivmasse	08 I 79
— Gneis und seine Kontakterscheinungen	09 I 212	— Magnetiten-, kontaktmetamorphe, u. Entstehung	1905 II 404. 405
— Kieslagerstätten	1907 II 80. 81	— Manganerze	09 I 80 ff.
— Johanngeorgenstadt, Silber-Wismutgänge	07 I 259	— Oxydationszone	08 I 400
— Rothau, im böhmischen, Geologie	BB XXIII 474	— physikal. Bedingungen der Entstehung	08 II 375
		— Probleme	09 II 77
		— See- und Sumpferze, Bildung durch Humussubstanzen	09 I 77
		— sekundäre Anreicherung der Kupfererze	07 II 419
		— syngenetische	05 II 199
		— Untersuchung u. Bewertung	CBI 1908 46
		— Verbindung mit Eruptivgesteinen	1905 I 256. 426
		— Zementationszone	08 I 400
		— Zusammenhang mit dem Metamorphismus	CBI 1906 614

Erzlagerstätten			Erzlagerstätten		
— und Politik	1908	I	78	— Arizona, Globe Copper-	
— Afrika	08	I	396	Distrikt, Kupfer und	
— — Deutsch-Ost-,Gold-				Gold 1905 I 205. 442	1907 I 259
und andere nutzbare				— Arkansas, Ozark-Re-	
Mineralien	09	I	231	gion, Blei- u. Zinkerze	05 II 36
— — Deutsch-Südwest-,				— Australien, Gold .	1905 II 399 ff.
Kupfererze 1906 I 233	07	I	74	— — Grassy Gully, Yal-	
— — Klein-Namaland,				wal - Distrikt, N.-S.-	
O'okiep, Buntkupfer-				Wales, Gold in vulk.	
erz	09	II	397	Glas	07 I 411
— — Namaqualand,				— — Lucknow, N.-S.-	
Kupfererze	06	I	233	Wales, Goldfelder . .	07 I 409
— — Otavi, sekun-				— — Lyndhurst, N.-S.-	
däre Mineralien . . .	CBI	1906	388	Wales, Goldfelder . .	07 I 410
— — Otavibezirk,				— — Northampton-Di-	
Tsumeb, Erze	09	II	400	strikt, Blei u. Kupfer	05 I 442
— siehe auch Deutsche				— — Queensland, nördl.,	
Schutzgebiete.				Silver Valley	08 I 244
— Alaska . 1908 II 376	09	II	80	— — — Zinnstein u.	
— — Gold	05	II	399	Wolfram	06 II 26
— — Goldseifen	09	I	233	— — West-, Gold	08 I 405
— — Kasaanhalsinsel,				— — — Pilbara-Goldfeld	09 I 237
Kupfer	09	II	399	— Bayern, nutzbare Mi-	
— — Kenai Peninsula .	08	II	377	neralien und Gebirgs-	
— — Klondike, Ent-				arten	CBI 1907 245
stehung d. Goldquarz-				— — Amberg, Entstehg.	05 I 258
gänge	09	I	78	— Böhmen, Kuttenberg	08 I 401
— — Goldseifen	09	I	235	— — Mies, Gesteine . .	06 II 362
— — metallführende				— — Neu-Knin u. Stecho-	
Quarzgänge	08	I	398	witz, Gold	06 II 379
— — Mt. Wrangell-Di-				— — Pribram	08 I 401
strikt, Gold u. Kupfer	05	II	399	— — Roudny, Gold . . .	06 II 380
— — Poreupine Placer-				— — u. Ungarn, Gold	1908 I 402 ff.
Distrikt	06	I	354	— — Bolivia, Zinn-	09 II 242
— — Rampart-Goldfelder	09	I	233	— — Corocoro, Entstehg.	
— — Seward-Halbinsel,				der Kupfererze	07 II 421
Zinnerze	09	II	82	— — Borneo, Brit.-Nord-,	
— — Yukon	09	II	81	Manganerze	09 I 80
— — u. Yukon-Territo-				— — westliches	09 II 96
rium	08	I	397	— — Bosnien, Dubostica,	
— Amazonas-Gebiet, Be-				Chromeisenstein . . .	05 II 383
ziehung zu Quellen .	05	I	263	— — Cevljanovic, Mangan-	
— Argentinien, Provinz				erze	09 II 403
S. Luis	05	I	259	— — und Hercegowina,	
— — Sierra de Cordoba	07	II	198	Fahlerz u. Quecksilber	09 II 405
— — Arizona, Bisbee Quad-				— — — Schwefel- u.	
rangle	06	I	175	Kupferkies	06 II 381
— — Bisbee, Kupfererze	05	I	41	— — Brasilien, Manganerze	
— — Cherry Creek-Di-				1906 II 226	09 I 81
strikt	08	I	396	— — Miquel Burnier,	
— — Clifton - Morenci,				Minas Geraes, Mangan	CBI 1905 240
Entstehung d. Kupfer-				— Brit. Columbia, Light-	
erze	07	II	419	ning Creek, Goldseifen	07 I 407
— — Cochise Mining-Di-				— — — Similkameen-	
strikt, Kupfererze . .	07	II	418	Distrikt	09 II 81

Erzlagerstätten		Erzlagerstätten	
— Canada, Ontario, Sudbury-Distrikt	1905 II 406	— Erzgebirge, Schwarzenberg (Graul, Breitenbrunn etc.)	1906 I 76
— — — Nickel und Kupfer	1906 II 181 1908 I 81. 82	— Ferghana, Tjuja-Majun, Uran u. Kupfer	09 II 37
— — Zentral-Hastingsland, Bleiglanz	08 I 247	— Frankreich mit Algier und Tunis	09 II 243
— — Quebec, Kupfer	08 I 81	— — Diélette (Manche), Magneteisen	09 I 393
— Carolina, südl. Appalachen, Gold u. Zinn	09 I 234	— — Lucette (Mayenne)	06 I 34
— China	09 II 79	— — Martigné (Bretagne), Antimonit	09 II 241
— Chota Wepur, Bombay, Eisenglimmerschiefer	07 I 79	— — Saint-Laurent-le-Minier (Gard), Blende, Entstehung	08 I 79
— Colorado, Boulder County, Gold- und Wolframerze	09 I 234	— Französisch-Laos, Zinnerze	07 II 425
— — Cripple Creek, Gold	09 I 233	— Georgia, Cartersville, Eisenocker	06 II 225
— — Plomo, San Luis Park, Gold auf Gängen von Granit	07 I 407	— Grönland	CBI 1908 375
— — San Juan Mountains	07 I 406	— Harz, Gangbilder vom oberen	CBI 1907 550
— — Sangre de Christo Range, Kupfer	09 II 400	— — (Lauterberg und Ruscheln)	05 II 398
— Cornwall	09 II 81	— — Rammelsberg, Erhaltungszustand eines Goniatiten und Entstehung	09 II 242
— — granit. Gesteine d. Zinnerz-	BB XXVIII 1	— — Hessen, Eisen und Mangan	06 II 225
— — Silbererze d. Sedymann Lode in der Peran Mine	CBI 1907 410	— — Hüggel bei Osnabrück, Eisenerze	09 II 250
— Dalmatien	09 II 82	— Idaho	09 II 81
— — Kroglje b. Dolina	05 I 98	— — Coeur d'Alene-Distrikt	09 II 408
— Deutsche Schutzgebiete, Bergbau	08 I 396	— Illinois, Blei u. Zink	09 II 241
— Deutschland, Karte	1909 II 77 CBI 1907 569	— Italien, Bocheggiano, Kupfererze	05 I 387
— Dschebel Ressas, Tunesien	07 I 41	— — Elba, Eisenerze, Hut von Sulfiden	06 I 232
— siehe auch Afrika, Deutsch-Südwest und -Ost.		— — — Ag-haltige Bleierze von Rosseto	07 I 254
— Erzberg b. Hüttenberg (Kärnten), Eisenspat	05 II 80	— — — Lansetto (Valli del Gesso), Bleierzgänge	06 I 232
— — (Steiermark), Entstehung	07 II 243	— — Massa Marittima, Entstehung der Gänge	07 I 255
— — — Mineralien	CBI 1908 281	— — Piemont, Lanza-Tal, Manganerze	07 II 359
— Erzgebirge, Böhm., Katharinaberg	07 I 251	— — Sardinien, Iglesias, Sedimentärschichten	05 II 406
— — westl., Kieslagerstätten von Klingenthal und Graßlitz	1907 II 81 08 I 84	— — Vallalta-Sagron, Zinnerz	07 I 259
— — Sächsisches, Kieslagerstätten	1907 II 80. 81	— Japan, paragenet. Verhalten der kontakt-metamorphen	09 I 32
— — Johanngeorgenstadt, Silber-Wismutgänge	07 I 259		

Erzlagerstätten		Erzlagerstätten	
— Iowa, Blei- und Zink-, sowie Eisenerze	1905 I 439	— Mansfeld u. Thüringen, Kupferschiefer, Be- ziehung der Erzfüh- rung zu Rücken	CBI 1906 243
— Kärnten, Kieslager	06 I 234	— Markirch, Elsaß	1909 I 21
— Kalifornien, Coppero- polis, Kupfer	09 II 398	— Mexiko	09 II 82
— Kansas, Independence quadrangle	09 II 408	— — Aranzazú bei Con- cepcion del Oro, Zaca- tecas	BB XXVIII 536
— Jola Quadrangle	08 II 376	— — Concepcion del Oro, Zacatecas BB XXVIII	451. 515. 553
— Kapland, Knysna und Prinz - Albert - Gold- felder	07 I 408	— — El Oro u. Tlal- pujahu, Gold	07 I 256
— Kaukasus, Abchasien, Dzyschra-Berg	06 I 230	— — Los Pilaes Mine, Nacozari, Kupfererze	07 II 418
— — Daschkessan, Mag- neteisen	07 I 78	— — Velardeña-Distrikt	09 II 82
— — Kreis Kutais, Man- gan	09 II 360	— Minnesota, Cuyuna, Eisenerze	1909 I 394. 395
— — Suchum-Distrikt, neogene Eisenerze	06 I 432	— Mississippal, Bezieh- g. zu alten Küstenlinien	08 II 219
— Kentucky, Nordost- Entstehung der Eisen- erze	09 I 391	— Mitterberg, Salzburg, Kupfer	09 II 396
— Kleinasien	08 I 395	— Montana, Belt-Forma- tion	09 II 398
— Kohlbach an der Stub- alpe, Eisenerz	06 I 230	— — Black Hills (Wolf- ramit)	05 II 32
— Korea, Tangkogae, Gold	07 I 258	— — Butte, Kupfer	09 II 399
— Lake Superior-Gegend, Eisenerze 1905 I 75	06 II 227 09 I 390	— Nagolnij Krjasch (Do- netzbecken)	07 II 191
— Lake Superior, Gru- benwasser	09 II 78	— Nassau, Entstehung des Roteisensteins	06 II 225
— — Michipicoten, Eisenerze der Helen Iron Mine	09 I 390	— — Fachingen a. Lahn, Roteisenstein	09 I 389
— Mähren, Christdorf, Eisenerze	CBI 1907 324	— — Holzappel, Fort- setzung des Gangzugs zwischen Lahn und Mosel	09 I 242
— — Gobitschau b. Stern- berg, Eisenerze	CBI 1905 195	— — Holzappeler Gang- zug, südwestl. Fort- setzung	08 I 241
— — Konic, Eisenerze	06 II 381	— — Lahntal, Eisenerze, Schätzungen	07 I 250
— — Sternberg, Mangan- erze	07 I 78	— — Niedertiefenbach a. Lahn, Eisen u. Mangan	05 I 99
— — Sternberg—Ben- nisch, Schalsteinzug, Eisenerze	CBI 1907 289. 321	— Neu-Kaledonien	07 II 249
— — westl., Blei- und Eisen- (Mührau, Quit- tein etc.)	05 II 239	— NeuMexiko, San Pedro- Distrikt	05 I 99
— malaiische Halbinsel (Kinta-Distrikt), Zinn- erze	05 I 100	— — Sierra Oscura, Kupfererze	05 I 205
— Mansfeld, Wasserein- bruch in die Kupfer- schiefergruben, Okt. 1907	09 II 372	— Neuseeland	08 I 399
		— Nevada, Tonopah	05 I 206
		— — Wedekind, Ent- stehung der Gänge durch hydrothermische Prozesse	05 I 426

Erzlagerstätten		Erzlagerstätten		
— New Jersey, Kupfer-		— Schottland, Eisenerze	1905	I 440
in der Trias	1909 II 397	— Kupfererze	05	I 99
— Nieder-Oesterreich . .	CBI 1908 743	— Schweden, Gellivare,		
— Nigeria, Nord-, Zinn-		Eisenerze	09	I 392
feld von Bautshi	07 I 79	— Grängesberg, Mag-		
— Nordamerika	1905 I 205. 440	neteisen u. Eisenglanz	05	I 258
— — (Illinois, Wiscon-		— — Kiruna, Eisenerze	09	I 392
sin u. Kentucky)	06 II 180	— — Lappland, Eisen-		
— Norwegen, Sulitelma		erze, Geologie u. Gene-		
Röros-Klingental, Ent-		sis	BB XXIV	548
stehung	09 II 240	— — Ekströmsberg u.		
— — Traag in Bamle,		Mertainen, Eisenerze	06	I 231
Gänge	09 II 79	— — Lofoten, Magnet-		
— siehe auch Skandina-		eisen als magmat. Aus-		
vien.		scheidung aus Granit	09	I 389
— Oberschlesien, im Mu-		— — Slättberg u. Kuso,		
schelkalk	06 II 74	Nickelerze	05	I 98
— siehe auch Schlesien.		— siehe auch Skandina-		
— Oriskany, Limonite . .	05 II 403	vien.		
— Ostalpen	07 I 254	— Serbien	07	I 251
— Pennsylvanien, Kit-		— — Avala-Berg, Zin-		
tanning- u. Rural Val-		nobor	08	I 246
ley quadrangle, und		— — Bor, Paragenesis		
Beaver quadrangle . . .	09 II 407	der Kupfererze	09	II 401
— — nordöstl., Kupfer-		— — — u. Krivelj, Ku-		
von Newark	09 II 400	pfer	06	I 231
— Peru, Cerro del Pasco	07 II 268	— Sérifos-Insel, Griechen-		
— — Hualgáyooc	05 II 37	land, Magneteisen etc.	08	II 76
— — Huánuco	05 I 388	— Sibirien	09	II 41
— Rabenstein im Sarn-		— — Goldlager am Je-		
tal (Südtirol)	08 I 242	nissej	05	II 247
— Radmer a. d. Hasel,		— — mittl., Eisenbahn .	07	I 255
Steiermark, Kupfer . . .	07 II 82	— — Spassky-Kupfer-		
— Raibl	05 I 259	gruben	07	II 422
— Rhodesia, Broken Hill-		— Siegen, Alter	09	II 78
Grube, Zinkphosphate	09 II 32	— Silvermines District,		
— — Nordost-	07 I 80	Co. Tipperary	CBI 1907	410
— Riesengebirge, böhm.		— Skandinavien, Eisen-		
Seite, Kupfererze, Ent-		erze . . 1907 II 243	09	I 391
stehung	07 II 423	— siehe auch Schweden		
— Salesbury-Distrikt,		und Norwegen.		
Connecticut, New York		— Sohland a. d. Spree,		
und Massachusetts,		Nickelerze	05	I 94. 98
Eisenerze	09 I 396	— Spanien	09	II 79
— St. Blasien, Schwarz-		— — Almeria-Provinz . .	08	I 243
wald, Nickelmagnet-		— — Aznalcollar (Sevil-		
kies	09 I 80	la), Entstehung	08	I 85
— Schauinsland, Schwarz-		— — Cala, Castillo de		
wald, Blei u. Zink	05 II 78	las Guardas u. Aznal-		
— Schlangenberg, Altai	07 I 255	collar, Sierra Morena	06	I 229
— Schlesien, Bodenschätze	CBI 1908 91	— — Cartagena	09	II 82
— — Schmiedeberg (Rie-		— — Huelva, Entstehg.	08	I 85
sengeb.), Magneteisen	05 I 258	— — Mazarrón, Blei . . .	07	II 82
— siehe auch Oberschle-		— — Sierra de Alma-		
sien.		grera, Spateisen	08	I 243

Erzlagertstätten				Erzlagertstätten			
— Stangalpe, Steiermark	1909	II	401	— Wyoming, Encampment District, Kupfererze	1905	II	35
— Temiskaming, Mineralien d. Kobalt-Nickel-Silbergänge	09	I	79	— — Laramie Range, titanhaltige Eisenerze	07	I	76
— Texas, Brewster County, Quecksilbererze v.	07	II	80	— siehe auch Kieslagertstätten, Eisenerzlagertstätten, Gold etc.			
— — Terlingua, Quecksilber	08	I	247	Erzvorkommen, Erzgebirge, Schlaggenwalde, Zinnerz	07	II	32
— — Trans-Pecos	06	II	178	Escarpment Grits, Rhodesia	05	II	268
— Tirpersdorf (Vogtland), Wolframit-Quarzgänge	09	II	242	Esneh-Schiefer, Theben (Aegypten), = unteres Montianum	05	II	322
— Transvaal, Murchison Range, Gold	07	I	256	Essexit			
— — Zinnstein	06	II	228	— Ampasindava (Madagaskar)	05	I	435
— Ungarn, Bihar Gebirge, Aluminiumerze	07	I	260	— Antarktis	09	II	76
— — Jasztrabje, Schwefelkies	05	I	100	— Argentinien	BB XXII		624
— — Kazanesd, Kom. Hunyad, Schwefelkies	06	I	234	— Belknap Mountains, New Hampshire	08	I	379
— — Macskamezö, Mangan-Eisenerze	07	I	78	— Böhm. Mittelgebirge, Gesteine d. Gefolgschaft	08	I	59
— — Nagyag (Siebenbürgen), Goldbergbau	06	I	74	— Brome Mountain etc., Monteregeian Hills, Quebec	07	I	240
— — Rudobanya—Szt. Andras bei Kaschau, Eisenerze	06	II	78	— Dill u. Lahn, Mitteldevon	BB XXVII		265
— — Siebenbürg. Erzgebirge, Gold	07	I	252	— GrobPriesen, Böhm. Mittelgebirge	05	I	272
— — — Goldvorkommen u. Verhalten zum Nebengestein	09	I	231	— Löwenburg, Siebengebirge	1907	II	62 BB XXIII 407
— — Zips—Gömörer Erzgebirge	07	I	253	— Monteregeian Hills, Quebec	1907	I	240
— Ural, Bakal, Süd-, Eisen	06	II	222	— Monzoni u. Predazzo	06	I	58
— — Magnetberg, südl., Eisenerze	06	I	380	— Mte. Mulatto b. Predazzo, gangförmig, chem. Zusammensetzung	06	I	65
— — Sulinsky Sawod, Brauneisenerz	07	I	77	— Neuseeland, Otago-Halbinsel	08	I	231
— — Troitsk, nördl. 1905 I 259	06	II	223	— Palma, Caldera	09	II	50
— Veitsch (Dürrsteinkogel), Kupfererze	05	I	100	— Tahiti	06	I	72
— Virginia, Kupfer	08	I	83	— Tasmanien, Regatta Point	08	I	389
— — und Nordcarolina, Virgilinea Copper District	05	I	260	Essexitporphyrit, Dill u. Lahn	BB XXVII		297
— Vogelsberg, Nordrand, Basalteisenstein	07	I	77	Essexit-Theralith-Reihe u. Diabase der deutschen Mittelgebirge	09	I	56
— Weilerthal, Elsaß	08	I	198	Eßlingen, Württemberg, Geologie	07	II	256
— Wisconsin, Zink u. Blei	09	I	79	Estheria, Lettenkohle, Württemberg	CBI 1907		50
— Wissokaja, Ural, Magnet Eisen	09	I	392				

Estheria laxitexta und minuta, Lettenkohle und Keuper, Schwaben	BB XXV 114				
Estrichgips u. hydraulischer Gips	1905	I	191		
Etoblattina brevis und obscura, Carbon, Tonkin	08	I	310		
— Steinmanni	05	I	540		
— Steinmanni (Sterzelia), Obercarbon, Hinterohlsbach b. Oppenau	1905	I	522		
Etringus scintillans, Kalifornien	08	II	443		
Etschbuchtgebirge	06	II	243		
Eubaena latifrons, Nordamerika	09	I	452		
Euboea, Eruptivgesteine	05	I	245		
Eucalyptus ? dubia, Matawan-Formation, New Jersey	07	I	495		
— latifolia, Kreide, New York	08	I	456		
— rosierianus	07	II	506		
Euceratherium, Quartär, Samwell-Höhle, Kalifornien	05	II	469		
— collinum, Knochenhöhle Potter Creek Cave, Kalifornien	06	I	126		
Euchitonia euganea, Kreide, Euganeen	06	I	474		
Eucholoeops, Santa Cruz beds, Patagonien	1906	I	462. 463		
Eucyclus extractus und tabulatus, Santonien, Frankreich	06	I	319		
Eucynepeltus, Santa Cruz beds, Patagonien	06	I	457		
— complicatus, Santa Cruz-Formation, Patagonien	05	II	126		
Eucyrtidium aculeatum, apenninicum u. Isselii, Miocän, Italien	09	II	490		
— calvertense, Tertiär, Maryland	07	II	161		
— turritum, Kreide, Euganeen	06	I	474		
Eudesia, Rippenbildung	08	II	113		
— Zitteli, Glandarienkalk, Syrien	06	I	279		
Eudialyt, Los-Inseln, im Nephelinsyenit	08	I	226		
Eudialyt-Basalt, Tasmanien, Shannon Tier b. Hobart	1908	I	393		
Eudidymit	09	I	317		
— Zwillinge	CBI	1907	406		
Euganeen					
— Geologie 1906 II	244	07	I	220	
— Kreideradiolarien	06	I	474		
Euganeengesteine, Gauverwandtschaft	08	II	202		
Eugeniocrinidae, Körperform				Festband	296
Eugeniacrinites, Körperform				Festband	299
Eugnathus microlepidotus u. Vetteri, lith. Kalk, Nusplingen	09	I	453		
— Vetteri, lith. Kalk, Nusplingen = Pholidophorus latimanus, Eichstätt	1909	I	452. 455		
Euhaspis planiceps, Obermiocän, Nebraska	07	I	461		
Euklas					
— Konstitution	07	I	349		
— Döbschütz b. Görlitz, im Pegmatit				CBI	1908 335
— Epprechtstein im Fichtelgebirge, im Granit				CBI	1908 425
— Oesterreich, Vorkommen	07	II	25		
— Ural, südl., Kristalle	05	II	183		
Eukrit, Peramiho, Deutsch-Ostafrika 1905 I	07	I	361		
Eulepidophloios, Carbon, Baden	08	I	460		
Eulima suturalis, Eocän, Paris	07	II	303		
— Wanneri, Blättermergel von Theben, Aegypten	06	II	122		
Eulonchopteris, Carbon, Vorkommen	09	II	492		
Eulophoceras natalense, Kreide, Port Natal	07	II	148		
Eulophoceratidae, Kreide	07	II	148		
Eumargarita Dumasi, Eocän, Loire inf.	07	II	302		
Euomphalus centrifuga, Devon, Ostthüringen	BB XXIV		299		
— cf. elegans, Culm, Königsberg bei Gießen	BB XXVIII		649		
— pentangulatus, untercarb. Transgressionsmeer, Tian-Schan	BB XXVI		226		
— planus, Pachycardien-Tuffe, Seiser Alp	CBI	1905	177		

- Eupelorus chorus 1909 II 129
- Euphotid, Genfer Erraticum, mit Chloritoid 05 I 244
- Euprotogonia, Kreide, Patagonien 05 I 168
- Eurhinodelphidae, Eurhinodelphis, Boldérien, Antwerpen 1907 I 136. 138
- Eurhinodelphis, Obermiocän, Antwerpen, Skelett 09 II 117
- Europa
- diluvialer Mensch und Kulturzustände d. älteren Steinzeit 06 I 127
- Eiszeiten 06 I 129
- Euryacodon (lepidus), amerik. Eocän 05 I 333
- Eurycormus speciosus, lith. Kalk, Nusplingen 09 I 455
- Eurynoticeras Zitteli 07 II 470
- — Jura, Sierra de Mazapil u. Santa Rosa, Mexiko 07 I 279
- Eurypoma grandis, lith. Kalk, Nusplingen 09 I 456
- Eurystephanodon angusticephalus, Cattanii und crassatus, Kreide, Lago Musters, Patagonien 05 I 498
- Eusigillaria, Bau d. Stamms 09 I 145
- Eustheneopteron Foordi, Flossenskelett 05 II 311
- Eusynchit, Schauinsland (Schwarzwald) = Desclozit 05 II 80
- Eusyringium curvispina, Miocän, Italien 09 II 490
- spinosum, Scaglia 06 I 475
- venetum, Kreide, Euganeen 06 I 474
- Eutektik und Porphyristruktur 06 II 197
- Eutektische Schlieren 06 II 200
- Eutektikum
- bei Silikatschmelzflüssen BB XXIII 85
- Einfluß auf Ausscheidungsfolge in Schmelzflüssen 08 II 26
- Eutektische Gemenge bei Silikatschmelzen CBl 1906 132. 149
- Eutektische Gemische bei Differenzierung von Eruptivmagmen 06 II 197
- Eutektische Mischungen und Silikatschmelzen 1906 II 5
- Eutektische Zusammensetzung in Silikatschmelzen BB XXII 234. 257
- Eutektoporphyrische Struktur 06 II 197
- Euthydesma subtextile Beyrichi, Naples-Fauna CBl 1905 390
- Eutomoceras Catharinae, Empedoclis, Euhemeri, Philippii u. Wöhrmanni, ob. Trias, Sizilien 05 I 345
- Kraffiti u. Mojsisovici, Tropites-limestone, Byans 08 II 238
- Laubei, mittl. Trias, Nevada 06 II 300
- Eutritonium biarritzense (Sassia), blaue Mergel von Côte des Basques bei Biarritz 06 II 439
- Marchandi, Eocän, Loire inférieure 07 II 302
- Eutrochus Neumayri, Hyperperonen, Peterwardeiner Gebirge 06 II 267
- Eutropische Gemenge bei Meteoriten 07 I 358
- Eutyromys Thomsoni, Oligocän, Süddakota 07 I 299
- Euxenit
- Norwegen, Granitpegmatitgänge des südlichen 08 I 347
- Transvaal, Anal. CBl 1907 249
- Evansit CBl 1909 335
- Nordamerika (Goldburg, Idaho und Columbiana, Alabama) 09 I 19
- Quittein, Westmähren, Eisenerzlagerstätte 05 II 243
- Evonymus Victoriae, Braunkohle, Senftenberg 08 I 449
- Exagonocyclina, siehe Hexagonocyclina.
- Exagonocyclinen 07 II 496
- Exelissa Duxamii, Zone d. Lioc. concavum, Couzon-au-Mont-d'Or bei Lyon 05 I 464
- Exkretionen 06 I 227
- Exogyra aff. ariana, unt. Krei, dePatagonien BB XXV 610

- Exogyra Clarki, Buda limestone, Kreide, Nordamerika 1906 I 308
- Couloni, Neocom, Sardinien BB XXIII 468
- Couloni u. subplicata, Neocom—Urgon, argent. Cordillere BB XXIII 210. 211
- Gumprechtii, ob. Jura, Pommern 06 II 102
- Exotische Blöcke
- Himalaya 05 II 417
- Ostkarpathen, im Flysch 05 II 410
- Schweizer Voralpen 06 I 256
- Exotische Gebiete, Schweizer Alpen, Nordrand 06 I 82. 84
- Expansions-theorie, Ausgleich mit der Kontraktionstheorie 05 I 401
- Experimente, geologische Exzentritätsfehler, Vermeidung bei billigen Universalgoniometern 07 II 350
- F.**
- Faba gibberosa, blauer Mergel von Côte des Basques bei Biarritz 06 II 439
- Facettengerölle, Experimente zur Entstehung 06 I 405
- Facettengeschiebe CBI 1907 105
- der perm. Eiszeit CBI 1908 353
- künstl. Darstellung durch treibenden Sand 06 I 405
- Dänemark, im Diluvium CBI 1906 593
- Holland, im Diluvium CBI 1906 15. 425
- indisches Perm CBI 1908 450
- norddeutsches Diluvium, Rügen 06 I 71
- Saßnitz, Rügen, Diluvium, 1. Fund CBI 1905 655
- siehe auch Kantengeschiebe, Dreikantner und Flächner.
- Facetten- und Kantengeschiebe
- Dänemark, im Diluvium CBI 1906 593
- Holland, im Diluvium CBI 1906 15. 425
- Fächerstruktur der franz. Alpen, Entstehung 07 II 260
- Fältelung durch subaquatische Rutschungen . 1908 II 151
- Färbung
- der Edelsteine durch Radium 07 II 170
- der Mineralien 07 II 166
- — Art u. Aenderung BB XXVI 249
- — durch Becquerelstrahlen 06 I 5
- — durch organische Farbstoffe BB XXVIII 335
- des blauen Steinsalzes 07 II 174
- dilute, der Alkali- u. Erdalkalihalogenide 06 I 324
- künstliche, der Mineralien 08 II 144
- — Phthalsäurekristalle 07 I 6
- pseudochromatische BB XXVIII 342
- Rauchquarz u. deren Aenderung BB XXVI 284
- von Silikaten CBI 1905 284
- siehe auch Radium, Radiumstrahlen etc.
- Färbungsvermögen des Achats BB XXV 225
- Fährte, siehe Fußfährten.
- Färöer
- Basalte, Zeolithe CBI 1909 778
- Geologie CBI 1908 675
- Mineralien 09 I 27
- Färöelith, Belfast CBI 1908 176
- Fahlerz
- Aranzazu, Zacatecas, Mexiko BB XXVIII 551
- Binnental, Tennantit CBI 1907 411
- Boheggiano, chem. 05 I 388
- Bolivia, Huanchaca, Kristalle 08 II 337
- — Oruro, regelm. Verwachsung mit Zinnkies 08 II 338
- Bosnien u. Hercegowina, Lagerstätten 09 II 405
- Carrara, im Marmor 07 I 215
- Concepcion del Oro, Zacatecas, Mexiko BB XXVIII 551
- Frigido bei Massa, Ni-haltig 07 II 176
- Ikuno-Grube, Japan 07 I 218
- Markirch, Kristalle 09 I 23
- Nagolnij Krjaseh, Donetz-Becken 07 II 194
- Rax bei Grossau, Niederösterreich 06 II 174
- Traversella 08 I 41

- Fahlerz, Weilerthal, Elsaß 1908 I 199
 Falklandsinseln, Geologie 07 II 120
 Falknis, Tektonik 06 I 252
 Fallaciosus-Schichten,
 Eisenerzformation,
 Lothringen u. Luxemburg 06 I 305
 Fallotia (F. Jacquoti) 05 II 154
 Faltenbildung, Alpen, in krist. Schiefen 08 II 214
 Faltung
 — der Schichten, Erklärung 09 I 82
 — durch Gletscher, Minnesota 08 II 341
 — — Verwitterung, Carbon, Arkansas 08 II 349
 Faltungsformen, mikroskopische CBI 1905 90
 Faltungszone
 — Mexiko-Tal, entstanden durch vulkanischen Druck 09 I 28
 — Verlauf 06 I 43
 Farberden, Monte Amiata 06 I 235
 Farbstoff
 — künstl. gefärbter Kristalle 07 II 4
 — siehe Färbung u. Pigmente.
 Faregh u. Uadi Natrun, Geologie 06 II 422
 Farne aus der Familie der Sphenopteriden 09 I 150
 Farnkraut im Solnhofer Schiefer CBI 1908 385
 Fasciolaria glabra, Obergeseon, Dänemark 06 I 309
 Faserkalk, Dänemark etc. 08 I 201
 Faserkiesel, Deutschbrod 08 II 63
 Faserplagioklas, Concepcion del Oro, Zacatecas, Mexiko, in der Kontaktzone am Granodiorit BB XXVIII 458
 Fasertonerde 08 II 170
 Faserung, Ursache bei versch. Körpern 05 I 266
 Fassatal, Petrographie CBI 1905 46
 Faucille-Kette, südlicher Jura, Geologie 06 I 438
 Faujasina carinata = Polystomella crispa, Pozzuoli 06 II 310
 — contraria = Anomalina ariminensis, Ischia 06 II 310
 Repertorium 1905–1909.
- Faujasit, Groß-Buseck b. Gießen, Glühverlust . 1906 I 23
 Fauna, neolith., Mittelrhein 06 II 440
 FaunusHorsti (Eastonia), ob. Kreide, Borneo 07 I 437
 — persicus, Senon, Südpersien 06 I 444
 Favas, Brasilien, im Diamantsand, Phosphat 08 I 32
 Favosites argentina, Devon, Jachal, Argentinien 06 I 303
 — versch. Spezies, Devon, Ostthüringen BB XXIV 274
 Faxe, Dolomit 07 I 221
 Faxekalk, Brachyuren 06 II 141
 Fayalit
 — in Silikatschmelzen BB XXII 231
 — zusammengesmolzen mit Anorthit CBI 1906 150
 — — mit Forsterit 09 II 163
 — — mit Magnetit BB XXII 230
 — Agramer Gebirge, Mangan 08 II 28
 — Wisconsin, weite Verbreitung im Syenit 06 II 220
 Fayalitbasalt, Hobart, Tasmanien CBI 1909 6
 Fayum, Aegypten, Säugtiere 1905 I 156 08 II 427
 Faziesentwicklung, südbayr. Oligocänmolasse CBI 1906 576
 Fazieswechsel u. abnorme Faziesfolge bei subaquat. Rutschungen 08 II 156
 Federerz, Wesen 09 I 170
 Feinerden der Ackerböden 06 I 207
 Feistmantelia virginica 07 II 505
 Feldspat
 — Baryt-, Zusammensetzung etc. 05 II 18
 — Beimischung von Calcium Kali-, und Myrmekitbildung CBI 1909 311
 — Bestimmung der Brechungsindizes 07 I 350
 — — in Dünnschliffen an Albitwillingen der Plagioklas 05 I 26
 — Bildung, Versuche CBI 1906 354
 — chemische Konstitution 05 I 24
 — Darstellung, Isomorphismus, Schmelzbarkeit, therm. Eigenschaften 06 I 333

Feldspat			Feldspatquarzaggregate,	
— eutektisch in Eruptiv-			Finkenber g b. Bonn,	
gesteinen	1909 I	371	im Basalt	CBI 1908 420
— optisch	1907 I	350. 351	Feliden, große, d. Höhlen	1907 II 317
— (Perthit-) in krist.			Felis leo fossilis u. issio-	
Schiefern	05 II	361	dorensis, Mauer	07 II 484
— Zersetzung	08 II	19	— microgale, oxygnatha	
— Biella, Piemont, Dru-			u. trinilensis, Ken-	
sen im Syenit	06 II	38	dengschichten, Java	09 I 120
— Carrara, Albit im Mar-			Felit im Portlandzement	
mor	06 II	177	1908 I 250	08 II 379
— Gellivara-Erzberg.			Felixia latiradiata, westl.	
Pseudom. nach Skap-			Verein. Staaten	09 I 149
olith	06 I	350	Felsbecken, quartäre, He-	
— Gieshübl, im Granit,			len Mine-Tal, Michi-	
kaolinisiert durch kal-			picoten, Canada	06 I 299
ten Säuerling	CBI 1909	467	Felseenseen, Canada	05 I 230
— Grönland	CBI 1908	406	Felsinotherium, Milch-	
— Lipetzk, Gouv. Tam-			molaren	06 II 60
bow, Kristalle im			— Oesterreich, Mediter-	
Brauneisenerz u. Hy-			ransschichten	05 I 505
drogoethit	1905 II	21. 183	Felsitfels-Ganggesteine,	
— Nordamerika, Schmuck-			Kiautschou	06 II 366
stein	06 I	358	Felsitische Gesteine, Snow-	
— Schmieberg (Rie-			don, Wales	07 I 390
sengeb.), im Granit .	CBI 1909	769	Felsitporphyr	
— Troitsk, Ural, Isor-			— Åland, Diluvialge-	
those	05 I	24	schiebe, Westfalen	CBI 1907 151
— siehe auch Albit, Or-			— Antarktis	09 II 76
thoklas, Sanidin, Hy-			— Ballersbach	BB XXVII 313
alophan, Barytfeld-			— Böhmen im Cambrium,	
spat, Feldspatgruppe,			am Berge Lom	05 II 57
Plagioklas, Albit etc.			— Bosnien u. Hercego-	
— u. Mischungen mit			wina, Beziehung zu	
anderen Mineralien,			Fahlerz- und Queck-	
Schmelzpunkte	07 II	5	silberlagerstätten	09 II 406
Feldspatamphibolit, Ra-			— Bozen 1907 I 230	BB XXVII 72
spenau, Böhmen, im			— — St. Ulrich	BB XXVII 108
körn. Kalke d. Kalk-			— Centralfrankreich	07 I 389
bergs	06 I	56	— Cima d'Asta, Gliede-	
Feldspatbasalt			rung der Decke	05 II 382
— Argentinien	BB XXII	602	— Colle Bracon (Valle	
— Kiautschou	06 II	370	del Gesso) (Mikrogra-	
— siehe Basalt etc.			nit), mit Gneisein-	
Feldspatgruppe			schlüssen	08 II 214
— Entmischung labiler			— Dossenheim, Grund-	
isomorpher Misch-			masse	CBI 1908 8
ungen	09 II	181	— Ecuador, Ostkordil-	
— Isomorphie	09 II	179	lere	06 I 400
— topische Zahl in Erup-			— Glen Feshie (Central	
tivgesteinen	CBI 1907	7	Highlands), sphäro-	
— verglichen mit Pyro-			lithisch	05 I 431
xenen	09 II	170	— Halle a. S. bei Brach-	
Feldspatkörner in Sedi-			witz	BB XXVIII 131
mentgesteinen, Maß			— — bei Kattau	BB XXVIII 142
d. Verwitterung	05 I	414		

- Felsitporphyr
 — Halle a. S., nördl., mit kleinen Kristalleinschlüssen BB XXVIII 50
 — — bei Petersberg . BB XXVIII 52
 — — bei Schlettau . BB XXVIII 136
 — — bei Schweizerling BB XXVIII 128
 — — bei Schwertz, Urform der hallischen Porphyre 1906 II 60
 — — bei Wettin BB XXVIII 111
 — — bei Wieskau BB XXVIII 144
 — Kiautschou 06 II 366
 — Lago Maggiore u. Vallesia 05 II 65
 — Lagorai-Gebirge, Ghederung 05 II 382
 — Llano, Texas 06 II 216
 — Monzoni u. Predazzo, chem. Zusammensetzung 06 I 59
 — Nordcarolina, sogen. Leopardit 06 II 216
 — Pfalz 09 I 54
 — Pontesford Hill, Shropshire, und Tuffe 05 II 391
 — Puente del Inca, Aconcagua BB XXIV 723
 — Schwarzwald, Freudenstadt etc. 09 II 413
 — Tien-schan und Alatau 05 II 69
 — Val Camonica, Lombardei, in Sericitschiefer umgewandelt 09 I 221
 — Vratnica planina, Bosnien CBI 1905 366
 — Westfalen, Diluvium, Ostsee- CBI 1907 169
 Felssturz, Roßbodengletscher (Simplon) 05 II 48
 Fenestella, Entwicklung — burlingtonensis, compressa, delicatula, filistriata var. nodosa, mimica, modesta, ovatipora u. plebeja, karn. Fusulinenkalk 06 II 144
 — plebeja, Culm, Königsberg bei Gießen BB XXVIII 654
 Fennoskandia, präcambr. System der östl. CBI 1907 33
 Fenster
 — Ardon, Lisernetal, Wallis 09 II 258
 — Plan de Nette 09 II 87
 — Ueberschiebung des Mosor, Dalmatien 06 I 257
 Fensterscheiben, zertrümmert beim Vesuvausbruch 1906, Ottajano 1908 I 45
 Ferghana, Kreide- und Tertiärversteinerungen 05 II 283
 Ferghana-Formation, Gultscha-Tal 06 I 97
 Ferghana-Stufe, Guldscha, Ferghana 05 II 284
 Ferghanit, Ferghana, Tjuja-Majun 09 II 38
 Fergusit, Highwood Mountains, Montana 06 II 374
 Fergusonit
 — Hoegtveit, Evje, Saetersdalen, Norwegen, Kristalle 06 I 351
 — Norwegen, Granitpegmatitgänge des südlichen 08 I 341
 Fernbeben, registriert am astatischen Pendelseismometer, Leipzig 05 I 52
 Ferriglaukophan, Asskysfluß, = Rhodusit 09 II 20
 Ferrinatrit, Synthese 07 I 35
 Ferrisulfat, saures, Beziehung zu Coquimbite und Copiapite 08 II 324
 Ferrisulfatlösung, Einwirkung auf Schiefer 09 II 84
 Ferrit im Eisen 1905 I 223 06 I 243
 Ferroeisen, chem. Bestimmung 09 I 7
 Ferronickelit im Eisen 05 I 127
 Ferru, Mte.
 — Vulkan, Sardinien BB XXI 1
 — — — Produkte 09 II 227
 Feste Lösungen
 — Dampfdruck 05 I 364
 — Schmelzkurven 07 II 22
 Festländer und Meere zur permischen Zeit Festband 521
 Festschrift, ROSENBUSCH CBI 1906 478
 Feuerland, Alter der Schieferformation CBI 1908 193
 Feuerstein BB XXV 211
 — Bessarabien 07 II 380
 — craquelierte, Tasmanien, Archaeolithen 09 I 73
 — — Thenay und Tasmanien, Oligocän CBI 1908 748
 Feuersteingebilde, Kreide, Margny (Oise) 06 II 201
 Fibroferrit, Cetine, Prov. Siena 09 II 363

- Fibrolith, Barkhamsted, Con., im Gneis . . . 1905 II 393
- Fibrolith-Andalusit-Schiefer, Monadnock Mountain, New Hampshire 06 II 215
- Fibrolithgneis, Böhmen, Deutschbrod . . . 08 II 63
- Fibularia (?) antiqua, capitata, elliptica, gastroides, gibba, miocaenica und trigona, San Gavino a mare, Portotorres (Sardinien) 09 II 483
- Lecointreae, Faluns der Touraine . . . 09 II 480
- Voeltzkowi, Eocän, Westmadagaskar . . 07 II 128
- Fibulina gracilis, Eocän, Westmadagaskar . . 07 II 128
- Fichtelgebirge
- Culm BB XXI 48
- Diabas (Leukophyr) BB XXIII 1
- Grundgebirge . . . 05 I 235
- Fichtelit, Borkovic, Böhmen, Krist. etc. 1908 II 39. 328
- Ficket series, Endicott-Kette, nördl. Alaska 06 I 92
- Ficoxylon helictoxyloides, westl. Verein. Staaten 09 I 149
- Ficula sobria, ? Eocän, Kamerun 06 II 123
- Ficus Blanckenhorni, calophylloides, crenatifolia, curvatifolia, fajumensis, leucopteroides u. Stromeri, Eocän, Fayum 09 I 308
- Fiedlerit, chemisch . . . 07 I 18
- Fierasfer boratschensis, Otolithen, Tertiär, Oesterreich 07 I 481
- Filetino-Becken, Rom, Geologie 08 II 46
- Filicudi, Staukuppen . . Festband 319
- Filtration durch Sand . . 05 I 266
- Fimmenit = Pollenschlamm 08 II 185
- Finkenberg b. Bonn, Uranscheidungen aus Basalt CBI 1908 417
- Finnland
- kristalline Schiefer . . 07 I 235
- Ostgrenze des präcambr. Systems . . . CBI 1906 600
- präcambr. System des östlichen CBI 1907 33
- Firnflecken mit äol. Aufschüttungsringen, Island CBI 1909 180
- Firngrenze, eiszeitliche, Schwarzwald BB XXI 443
- Fische
- Altersbestimmung nach den Otolithen bei Scholle und Kabeljau 1908 I 130
- fossile, Kalifornien . . 08 II 443
- Systematik nach Core etc. 08 II 444
- Carbon, Victoria, Australien 05 II 480
- Devon, New York . . . 08 II 443
- Kreide, Nordfrankreich 05 II 482
- Miocän, Sardinien, Otolithen 08 II 277
- Pliocän, Bologna, Otolithen 08 II 277
- Tertiär, Algerien und Tunis, in den Phosphoriten 05 II 479
- — Emilia (Italien), Gehörknöchelchen . . . 06 II 297
- — Oesterreich, Otolithen . 1905 II 138 07 I 480
- — Pausramer Mergel, Otolithen 08 II 277
- Trias, Idaho (Aspen Ridge) 08 II 446
- — New Jersey 08 II 442
- Untersilur, mit Knochenkörperchen . . . 05 II 137
- Fischerit CBI 1909 330. 336
- Fischotolithen
- Bestimmung des Alters bei Scholle u. Kabeljau 08 I 130
- Miocän, Sardinien . . . 08 II 277
- Pliocän, Bologna . . . 08 II 277
- Tertiär, Emilia, Italien 06 II 297
- — Oesterreich-Ungarn (Scyaeniden) 05 II 138
- — Macruriden u. Beryciden 07 I 480
- — Pausramer Mergel 08 II 277
- Tiefsee 07 I 320
- Untersilur 05 II 137
- Fishton, Kreide, Stevns Klint, Dänemark . . . 06 I 310
- Fissilunula Clarkei, Kreide, Neu-Süd-Wales . . 05 I 319
- Fissurella Cossmanni, Eocän, Paris 07 II 303
- Fissurelliden, Aegypten, Paläogen 05 II 322

Fissurina biconica, Bradyi, cucullata und Schlichti, tyrrhenisches Meer	1906 II 309	Floren, paläozoische, England	1906 II 458
Flabellothyris dichotoma, Jura, Kutsch	05 I 181	Florissant, Col., Insekten des Miocän	1908 II 110 ff.
Flächen		Flowage, zone of	CBI 1906 606
— krumme, Dampf- und Lösungstension	08 I 321	Flüsse, Abweichung nach rechts	07 I 382
— oder Zonen als Ausgang der Formenentwicklung	06 I 322	Flüssige Kristalle	
Flächenbegrenzung der Zwillinge	BB XXIII 339	1905 II 171 1908 I 3. 323	
Flächengesteine	CBI 1907 340	1909 I 2 09 II 329	
Flächenreiche Zonen, Aufeinanderfolge u. gegenseitige Beziehung der Flächen	05 II 332	CBI 1905 207 CBI 1908 311	
Flächner oder Kanter?	CBI 1907 547 CBI 1908 17	— angenäherte Bestimmung der Doppelbrechung	06 II 149
— siehe auch Facettengeschichte und Dreikantner.		— Bedeutung für die Theorie der Molekularkräfte	08 I 323
Fläming, Quartär	05 II 443	— Drehung der Polarisationsebene und der Absorptionsrichtung	06 II 149
Flagellaten, fossile	CBI 1906 229	— Erweiterung des Existenzbereichs durch Beimischungen	08 I 323
Flammenmergel, Braunschweig	06 II 428	— Farberscheinungen	08 I 322
Flammenton, Posener, Kreis Militsch, Schlesien	05 II 287	— Gestaltungskraft	08 I 323
Flandrische Stufe, Diluvium, Belgien	05 I 480	— Gleichgewichtsform	06 II 150
Flasergabbro, Sächsisches Mittelgebirge	09 II 212	— Historisches	09 I 332
Flaserstruktur, Protogyn, Reuß-Tal	06 II 209	— Kontinuität der Aggregatzustände	08 I 322
Flasertextur	05 I 73	— Natur	06 II 153
Fleckenserpentin, Geißpfad, Oberwallis	05 II 221	— Prüfung durch elektr. Kataphorese	05 I 5
Flemingites Russellii, Meekeoceras beds, Idaho	06 II 303	— scheinbar lebende	09 I 4
Flexigrada, Patagonien, Extremitäten	07 II 137	— Schmelz- u. Klärungskurven	09 I 331
Fließende Kristalle und Organismen	08 I 320	— Systembestimmung u. Achsenbilder	09 II 330
— siehe auch flüssige Kristalle.		— und Organismen	08 I 320
Fließend-kristallinische Trichter	06 II 151	— u. mechan. Technologie	09 I 5
Fließende Mischkristalle, Bildung u. Umwandlung	05 II 173	— Cholesterinverbindungen	09 I 332
Fließendweiche Kristalle, Zwillingbildung und Homöotropie	06 II 151	— Ammoniumoleat	09 I 6
		— propionsaures Cholesterin	09 I 5
		— siehe auch kristallinische Flüssigkeiten, fließende, scheinbar lebende, weiche Kristalle, u. Kristalle, flüssige.	
		Flüssigkeiten, kristallinische	05 II 172
		— Polymorphie	09 II 330
		— siehe kristallinische Flüssigkeiten.	
		— schwere, zur Trennung von Mineralien	08 II 2

- Flüssigkeitseinschlüsse d.
 Quarze alpiner Mineralklüfte CBI 1906 72
- Flugbefähigung der Wirbeltiere 1909 I 128
- Flugsaurier, Lias, Schwaben CBI 1906 290
- Flugtiere, fossile und Erwerb des Flugvermögens 08 II 108
- Fluor in Mineralwässern 09 I 205
- Fluorhaltiges Cement in künstl. Sandsteinen . CBI 1908 161
- Fluorit, siehe Flußspat.
- Fluornatrium, Los-Inseln, in Nephelinsyenit 09 I 164
- Flußerosion, Schnelligkeit, Verdon-Cañon 08 I 220
- Flußläufe
 — Geschiebeführung 08 I 221
 — Süddakota, Entwicklung 05 I 229
- Flußlauf, Ploaghe (Sardinien), durch Basaltstrom in 2 parallele Läufe getrennt 09 II 228
 — siehe Flußtäler.
- Flußsäure u. Kieselsäure, System . 1905 II 4 06 I 6
- Flußspat
 — dilute Färbung 06 I 324
 — Einwirkung von Radiumbromid CBI 1909 71
 — Färbung 1907 II 167 08 II 170
 — Kristallflächen 06 I 1
 — Radioaktivität 06 I 4
 — Ursache der Phosphoreszenz (Chlorophan) 08 II 144
 — Aussig (Böhmen), im Natrolithphonolith . CBI 1908 673
 — Biella, Piemont, Drusen im Syenit 06 II 33
 — Cadonighino, Tessin . BB XXVI 519
 — Campolongo 05 I 203
 — Carrara, im Marmor 07 I 216
 — Derbyshire, Zwillingbildung BB XXIII 332
 — Königsberg i. Pr., Zement in einem nord. Sandsteingeschiebe . CBI 1908 33
 — Llano County, Texas 07 I 42
 — Markkirch 09 I 22
 — Nordamerika, Produktion 1902 05 I 209
 — (Illinois und Kentucky) 06 II 180
- Flußspat
 — Rabenstein im Sarnatal (Südtirol), Vorkommen 1908 I 242
 — Sachalin, Pseudom. v. Chaledon nach ? F. 08 II 334
 — Schlaggenwald 05 I 198
 — Schmiedeberg (Riesengeb.), im Granit . CBI 1909 771
 — Teplitz, tert. Gänge 08 II 293
 — — Thermen, Neubildung 08 I 172
 — Topelec b. Pisek, Kristalle 05 II 178
 — Weardale, Färbung 08 II 170
- Flußtäler
 — Erhaltung 05 I 231
 — und Gletschertäler 09 I 201
- Flußterrassen
 — Rhônetal, unterhalb Lyon etc. 08 I 221
 — Westfield River, Mass., Entstehung 05 I 410
- Flußwasser
 — feste Bestandteile, geologische Schlüsse 07 I 47
 — Schweden 06 II 351
- Flußwindungen, Ursachen
- Flysch
 — Etymologie 09 I 432
 — Algäu, Kontakt mit Molasse 08 I 409
 — Alpen, Tektonik 06 I 253
 — Antirhätikon 08 I 251
 — Kalkalpen bei Wien, Entstehung 09 I 416
 — Ostkarpathen, mit exotischen Blöcken 05 II 410
 — Schweiz, errat. Blöcke 09 I 86
 — Tegernsee, und Erdöl 07 II 127
 — Wiener Becken, mit krist. Gesteinsgeröllen . CBI 1908 250
- Flyschpetroleum, Bayern
- Flyschzone
 — Algäu—Vorarlberg 09 I 97
 — Bregenzer Wald, nördliche BB XXVII 1
 — Vorarlberg u. Beziehung zu den ostalpinen Deckenschüben 08 I 63
 — Beziehung zur Tatra 09 I 421
- Flytjord, Schweden, Entstehung 06 II 350
- Foramina der Carotis interna und des Hypoglossus bei Reptilien . CBI 1906 336

Foraminiferen 1905 II 488	1908 II 283	Foraminiferen	
— älteste Formen . . .	CBI 1906 225	— rezente, Victoria, Au-	
— Bau . . . 1907 I 326	08 I 142	stralien	1909 I 144
— Dimorphismus der re-		— Rupelton, Mainzer	
zenten	09 I 135	Becken	1909 I 433 09 II 323
— Entwicklungsreihen		— Schlier von Dolnja-	
des Nodosarienhautus	05 II 155	Tuzla, Bosnien . . .	05 II 290
— Klassifikation der le-		— Tertiär, Trinidad . .	05 II 489
benden und fossilen .	05 II 327	— untercarbon. Trans-	
— lebende, Beschaffenheit		gressionsmeer, Tian-	
der Schale u. Einteil-	07 I 156	Schan	BB XXVI 215, 228
— natürliche Systematik		— Unteroolith, Westau-	
1908 I 305	BB XXV 232	stralien (Geraldton) .	05 II 151
— perforate u. imperforate	06 II 455	Forbesiceras nodosum,	
— Revision von Spezies		sculptum, Kreide, Zu-	
D'ORBIGNY'S		huland	07 II 305
1906 II 309, 457	08 I 309	Forellenstein	
— rezente, Galway . . .	08 I 309	— Gloggnitz, Oesterreich	05 II 51
— Belfast-Gegend . . .	09 I 300	— Neurode	BB XXVI 475
— Maryland	07 II 158	Forest bed, Affenknochen	08 II 426
— Tyrren. Meer	1906 II 307, 308	— Sandstone, Rhodesia .	05 II 268
— Dalmatien, Carbon . .	07 II 339	Formationskunde, geolog.	CBI 1904 304
— Globigerinenmergel,		Formenentwicklung, kri-	
Albona, Istrien, mit-		stallographische, von	
teleocäne	05 II 159	Flächen oder Zonen	
— Bahna (Rumän.		ausgehend	06 I 322
Karpathen)	09 II 140	Formensystem von Kri-	
— Rzeszow und Debica,		stallen, abgeleitet aus	
Galizien, Inoceramen-		Akzessorien	06 I 341
schichten	06 II 264	Formosa	
— Kreide, Gingin (Au-		— Foraminiferen d. mio-	
stralien)	09 I 299	cänen Orbitoidenkalks	06 II 309
— — Meudon	07 I 330	— geomorpholog. Stel-	
— — Ost-Pondoland,		lung	05 I 114
Süd-Afrika	05 II 152	Formregeneration ver-	
— — Regensburg, Mae-		letzter Kristalle . . .	05 II 332
stricht u. Celebes . .	08 II 285	Forschungsreisende, In-	
— Lias, Schwaben		strumentenkunde . .	CBI 1906 479
1905 II 151	09 II 322	Forsterit	
— Miocän, Formosa, im		— im Zement	08 II 379
Orbitoidenkalk . . .	06 II 309	— und Favalit, zusam-	
— — Monterey Shale,		mengeschmolzen . .	09 II 163
Kalifornien	08 II 283	— u. Kalkolivin, zusam-	
— miopliocäner Mergel		mengeschmolzen . .	09 II 163
von Bonfornello (Pa-		Fortunif, Spanien, For-	
lermo), Struktur und		tuna, Prov. Murcia .	07 II 407
Synonymie	06 I 472	Fortwachsungen, isomor-	
— Oligocän und Miocän.		phe, Alkalihaloide . .	CBI 1907 92
Madagaskar	09 II 487	Fossile „Regentropfen“	
— pannonische Stufe,		durch im Schlamm	
Mähren	07 I 157	aufsteigende Gasblasen	06 II 200
— Permocarbonkalk, N.-		Foyait	
S.-Wales	06 II 454	— Ampasindava (Mada-	
— rezente, Malaischer		gaskar)	05 I 435
Archipel	05 II 155	— Neuseeland, Otago-	
		Halbinsel	08 I 231

- Foyait, Red Hill, Moultonboro, N. H. 1909 II 387
- Foyaitisch-thermalitische Gesteine, Tasmanien 08 I 388
- Fracture, zone of CBI 1906 606
- Franckeit, Poopof, Bolivia, chemisch 06 I 15
- Frankenjura, Tektonik u. Basalte, bei Heiligenstadt CBI 1906 390
- Frankenwald, Geologie, bei Bad Steben 09 II 218
- Franklandit, ozean. Salzlagerstätten 08 II 163
- Frankreich
- siehe auch Alpen.
 - Amphibien und Reptilien des Carbon 07 I 310
 - Cenoman, brackisch, u. Süßwasser- des südl. 07 II 131
 - geolog. Bau CBI 1905 439
 - — u. Oberfläche CBI 1905 439
 - Höhlen mit Menschenspuren 07 I 449 ff.
 - Kreide 06 I 290
 - siehe auch Kreide.
 - Nummulitenbildungen des südwestlichen 05 I 131
 - Porphyrgesteine, im zentralen 07 I 389
 - Tertiär . 1905 II 432 ff. 07 I 441
 - siehe auch Tertiär.
 - Alpen, Bau 1905 I 446 06 II 253 ff.
 - Aude-Dep., Pyenodonten des Tertiär 05 II 483
 - Grenoble u. Gap, mittl. Jura 05 II 427
 - nördliches, Kreidefische 05 II 482
- Franzensbad, Geologie 05 II 95
- Frechiella kammerkarenensis var. gereczensis u. pannonica, Ungarn 06 II 141
- Freiberg, Bergakademie, Geschichte 07 I 371
- Freiburger Alpen, Bau 05 I 277
- Fremdkörper, Einfluß auf die Kristallisationsgeschwindigkeit in Schmelzen 06 I 7
- Fremdwörter, naturwissenschaftliche u. technische, Rechtschreibg. CBI 1907 692
- FRESNEL'sches Doppelbrechungsgesetz bei 2-achsigen Kristallen 05 I 183
- Freudenthal, Oesterr.-Schlesien, Vulkane 1907 II 394
- Friauler Alpen, Geologie 06 II 246
- Friedrichroda, Gestein d. Seebachfelsen 06 I 208
- Frigidit, Frigido b. Massa, (Fahlerz) 07 II 176
- Frohnalpstock (Schwyz), Alter 09 I 401
- Fronicularia sp., Globigerinenmergel, Bahna, rumän. Karpathen 09 II 146
- borussica, distorta u. Schellwieni, lithauisch-kurischer Jura 06 I 471
- Frontosus-Rasse, neolith. Fauna in Mitteleuropa 06 II 440
- Fruska Gora (Peterwardeiner Gebirge), Hypersenon 06 II 266
- Fuchsit
- Material einer antiken Statue 05 I 33
 - Lessachtal im Lungau (Salzburg) CBI 1908 283
- Fuldasandstein, Perm, Texas 08 I 257
- Fulgur, Bau 07 II 335
- obfilosum, obrapum u. tritonoides, Tertiär 07 II 335
- Fumarolen, Vesuv, Borsäuregehalt etc. 09 I 165
- Fumarolenminerale, Aetna 09 I 165
- Fumarolenprodukte, Santorin 07 II 406
- Funafuti-Atoll, Tiefbohrg. Festband 409
- Fungites capillaris, hirtus, macrochaetes und pullus, ostpreuß. Bernstein 09 I 307
- Furche, Boskowitz, Mähren 05 II 263
- Furchenstein, Dahomé, im Eocän 06 II 430
- Furdia, Ungarn, Geol. 07 I 274
- Fußfährten
- Batrachier, Carbon, Joggins, Neu-Schottland 05 I 340
 - — — Ostcanada 05 I 339
 - Iguanodon 05 II 310
 - — Bad Rehburg CBI 1909 700
 - Känguruh, Warnambool (Australien) CBI 1908 725 CBI 1909 495

- Fußfährten
 — menschliche, Warnamboul, Victoria, Austr. 1906 II 269 CBI 1909 495
 — siehe Menschenspur.
 — Wirbeltiere, Neocomflysch, Ybbsitz, Niederösterreich 1905 II 434
 — siehe auch Wirbeltierfährten.
- Fusulina BB XXVII 505
 — syst. Stellung 07 I 330
 — Unterabteilungen 07 I 331
 — alpina var. arctica, rossica und vetusta, Carbon, russ.-arktisch. Meeresgebiet 09 I 138
 — Anderssoni, Krotowi, Moelleri, Moelleri var. aequalis u. implicata, vulgaris etc., Carbon, russisch - arktisches Meeresgebiet 09 I 139
 — minima u. Tschernyschewi, Carbon, russ.-arkt. Meeresgebiet 09 I 138
 — secalis (centralis) var. simplex, prisca var. artiensis u. parvula u. ? obsoleta, russ.-arkt. Meeresgebiet, Australien 09 I 138
 — Lutugini, subtilis und Vernenilli var. solida, Obercarbon, russ.-arkt. Meeresgebiet 09 I 139
- Fusulinella, gemeinsame Wurzel aller Fusuliniden BB XXVII 485. 505
 — lenticularis, Fusulinenkalk, südl. Persien (Bachtijah) 06 I 443
- Fusulinen
 — Bestimmungsmethoden 09 II 488
 — Entwicklung 09 I 141
 — Schalenstruktur 08 I 140
 — Schalenverschmelzung und Dimorphismus 09 I 299
 — russ.-arkt. Meeresgebiet 09 I 137
 — Toskana, neue Bestimmung der karnischen 09 II 488
- Fusulinenkalk, Argolis, obercarbonischer CBI 1909 84
- Fusulinenkalk
 — Attika 1909 II 431
 — Indo-China 08 I 417
 — Japan, mit Helicoprion 07 I 330
 — karnischer, Bryozoen 06 II 135
 — Korea 07 I 331
 — Oberkrain 05 II 91
 Fusuliniden 08 II 286
 — Bau etc. BB XXVII 461
 — Entwicklung CBI 1908 691
 — Systematik 08 I 306
- Fusus Assailyi var. elliptica, Senon, Mittel-Peru BB XXIV 121
 — cimbricus, Paläocän, Rugaard, Kattgat 08 II 103
 — conjecturalis, delicatus u. Schlosseri, Hyperesenon, Peterwardeiner Gebirge 06 II 268
 — faxensis, Danien, Dänemark 06 I 309
 — Rosenbergi, Steenstrupi 07 II 453
 — (?) Schrammeni, mittlerer Gault 05 I 317
 — supramoerchi, Paläocän, Saratow 05 II 121
 — texanus, Buda limestone, Kreide, Nordamerika 06 I 309
- G.**
- Gabbioceras angulatum, Kreide, Kalifornien 06 I 288
- Gabbro
 — Definition 05 I 413
 — Einteilung u. Benennung CBI 1906 10
 — Ampasindava (Madagaskar) 05 I 436
 — Antillen, kleine 06 II 376
 — apuanische Alpen 08 II 214
 — Attika, Parnesgebirge CBI 1909 557
 — Böhmen, Massiv des bayr. Grenzgebirges 08 I 60
 — brit. Zentralafrika 07 I 237
 — Cerebriansky, nördl. Ural, uralitisiert 06 I 339
 — Connecticut, Cortlandt Series 08 I 72
 — Dehesa, Kalifornien, Kugel- 07 II 77
 — Enderby-Land, gedredsch 06 II 371
 — Guernsey 09 II 229

- Gabbro
- Guinea, Französisch- 1907 II 414
 - Harzburg 07 I 383
 - Hornfluhbreccie, exot. Blöcke 08 II 381
 - Kalifornien, Oak Hill-Gebiet, Olivin- 09 II 386
 - Slatington, Eldorado Co. (Grünschiefer) 06 II 215
 - Kaukasus, zentraler, Amphibolmikro- 07 I 71
 - Kiautschou 06 II 368
 - Matterhorn 05 I 243
 - Monzoni u. Predazzo, chem. Zusammensetzung. 06 I 57
 - Neurode 09 I 58
 - — Untersuchung des Gebirgszuges 1908 II 189 BB XXVI 433
 - Nordamerika, gibt durch Assimilation sauren Nebengesteins Granit 07 II 225
 - Odenwald, Beziehung zu Olivinabbro, Hypersthengabbro und Diorit CBI 1906 689
 - — Ganggesteine CBI 1907 123
 - — genetische Beziehungen zu Diorit 09 I 375
 - — Frankenstein bei Darmstadt, u. Schmirgel 09 I 178
 - Okanagen-Batholith, Cascade Mountain, Col. 09 I 68
 - Ottawa, Canada, Enstatit- 05 I 250
 - Piemont, Susa-Tal, Rocca Bianca, in Prasinit umgewandelt 06 II 105
 - — Val della Torre, Hornblende- 05 II 224
 - sächs. Mittelgebirge, Flaser- 09 II 212
 - San Juan Mountains, Colorado, dynamometamorphosiert 06 II 219
 - Schuls, Unterengadin, Saussurit-Biotit- 05 II 388
 - Skye 06 II 65
 - Strumble-Head, Wales 06 II 211
 - Syra, Saussurit- 09 II 224
 - Tahiti 06 I 72
 - Transvaal, und Norit
- Gabbro
- Ural, nördl., Uralit- . 1906 I 387
 - — Tagil 07 I 72
 - Visegrad (Bosnien), im Flysch 08 I 63
 - zentraler Kaukasus, Amphibolmikro- 07 I 71
 - Gabbroamphibolit, Ecuador, Ostkordillere 06 I 394
 - Gabbroaplit u. porphyrit, Odenwald CBI 1907 123
 - Gabbrodiorit CBI 1905 411
 - Davie County, N.-Car., kugelig 06 II 217
 - Ober-Brezany, Böhm. 06 II 361
 - Gabbroganggesteine, Odenwald CBI 1907 123
 - Gabbrogesteine
 - Einteilung und Benennung CBI 1906 10
 - zw. Visp u. Brieg, im Bündner Schiefer, metamorphe 05 II 221
 - Wisconsin, nördl. 09 I 227
 - Gabbro-Granitzone, Brocken 1907 I 383. 385
 - Gabbroide Blöcke im Granit, südl. Schwarzwald, Resorptionsercheinungen CBI 1907 77
 - Gabbropegmatit
 - Neurode BB XXVI 481
 - Schuls, Unterengadin 05 II 388
 - Gabbroschiefer CBI 1905 407
 - Gabbrozug, Neurode 08 II 189
 - 1909 I 58 BB XXVI 433
 - Gadolinit
 - Batum'sches Gebiet, Analyse 07 II 365
 - Idaho (?), chem. etc. 05 I 382
 - Llano County, Texas 07 I 42
 - Skandinavien, Anal. 07 II 361
 - Westaustralien 08 I 25
 - Ytterby, chem. 05 I 383
 - — Begleiter 09 II 355
 - — ?, beim Erhitzen. CBI 1908 36
 - — Darstellung der Kieselsäure und Konstitution 07 I 349
 - Gagat, Entstehung 09 II 365
 - Gailtaler Alpen, Geologie 06 II 240
 - Galago, amerik. Eocän . 05 I 333
 - Galathea mundoides, jüngste Kreide, Faxa und Schonen 06 II 141
 - Galenit, siehe Bleiglanz.

- Galesauridae, Systematik 1907 I 480
- Galizien
- Erdölzone Opaka—
Schodnica—Uryez 06 I 236
- Tertiär 1905 II 116 ff.
- Galle-Gruppe, Ceylon 06 I 182
- Galliaetatus Schlosseri,
Miocän, Mont Ceindre
und Solnhofen 1907 I 462. 463
- Ganbirretia Douvillei,
Kreide (unt. Damien),
Gan (östl. Pyrenäen) 06 I 156
- Gänge
- basische, Caernarvon-
shire 05 II 389
- Differentiation d. Mag-
ma 07 II 215
- gemischte Gesteins- 05 II 20
- — Vina-Tal, Oberitalien 05 II 65
- Mitte u. Salband, von
Gesteins- 05 II 19
- klastischer Gesteine,
Kalifornien 06 I 224
- turmalinführende, im
Granit, San Piero in
Campo, Mineralien 05 II 34
- Schottland, Granit,
Zusammensetzung von
Zentrum-, Rand und
Kontaktbildungen 05 I 431
- siehe auch Erz- und
Minerallagerstätten,
Eruptivgänge, Erz-
gänge 08 I 91
- Gangbilder, Oberharzer . CBI 1907 550
- Ganggesteine
- mikrosk. Physiographie CBI 1907 592
- Kiautschou 06 II 368
- Löwenburg, Sieben-
gebirge BB XXIII 418
- Monzoni u. Predazzo,
leukokrate 05 II 218
- Neurode, im Gabbro-
zuge BB XXVI 481
- Gangquarz, Salangen
(Norwegen), mit Ein-
schlüssen von Methy-
lenbisulfid 1906 I 165 06 II 363
- Ganoiden, lithogr. Kalk,
Nusplingen 09 I 452
- Ganophyllit, Harstigs-
grube, Selbständigkeit
als Mineralspezies 05 II 184
- Garbenschiefer, St. Gott-
hard, Südseite, Horn-
blende BB XXVII 161
- Garda-See, Präglazial u.
Neozoicum 1905 II 100
- Garewait, Ural, nördl. 06 I 388
- Gari diversisignata und
praecursor, Hyper-
senon, Peterwardeiner
Gebirge 06 II 268
- Garialis bengowanicus,
Kendeng-Schichten,
Java 09 I 120
- Garnierit CBI 1909 331
- Zusammensetzung 08 II 32
- Gase
- brennbare, Ohio 06 II 386
- in Mineralien, gelöste 06 I 161
- radioaktive, in ober-
flächl. Wasser 05 I 418
- Gasexplosion, natürl., bei
Waldron, Indiana 05 I 57
- Gaskohle, Nürschan, Al-
ter 08 II 266
- Gaspereau Valley, Neu-
Schottland, Geol. 05 II 104
- Gasterenlakkolith 07 II 439
- Gastranopsis Bureani,
Eocän, Loire inf. 07 II 302
- Gastraster Studeri, Süd-
amerika, Ostküste, re-
zent 07 II 154
- Gastrioceras Welleri, Car-
bon, Nordamerika 05 I 528
- Gastrochaena Moloti, Eo-
cän, Paris 07 II 302
- Gastrolithen in Sauro-
podenskeletten, Wyo-
ming und Colorado 08 II 441
- Gastropoden
- Gera, Kalktuff 07 II 461
- Gotha, Diluvium 07 II 459
- Hundsheim, Quartär 07 II 460
- Java, der tertiären u.
jüngeren Schichten 07 II 157
- Norddeutschland, Gault 07 II 468
- Seiser Alp, Pachycar-
dientuffe CBI 1905 176
- Südungarn, Quartär 07 II 460
- Weimar, Diluvialkies 07 II 459
- Wien, LÖB 07 II 460
- Württemberg, Letten-
kohle CBI 1907 48
- Gaudryceras limatum,
Yamashitai u. Yoko-
yamai, Kreide, Hok-
kaido 05 I 530
- pulchrum, Kreide, Na-
tal 07 II 305

- Gaudryina postsiphonella, Rupelton, Mainzer Becken 1909 II 324
- pupoides = Textularia gibbosa 07 I 330
- siphonella, Globigerinenmergel, Bahna, rumän. Karpathen 09 II 142
- Gault
- Bedeutung des Worts 06 II 109
- Hämelerwald und Hohenhameln (Braunschweig) 06 II 425
- Lüneburg, angeblicher CBI 1909 759
- — Bivalven u. Gastropoden 07 II 468
- Norddeutschland, Gliederung CBI 1908 211. 242
- siehe auch Kreide.
- Gausberg
- Geologie 09 I 202
- Gesteine 08 I 75
- Gauleit
- Böhmisches Mittelgebirge 08 I 59
- Highwood Mountains, Montana 06 II 374
- Gauleitähnliches Ganggestein, Monzoni und Predazzo, chem. Zusammensetzung 06 I 58. 63
- Gaylussit
- Entwässerung 05 II 4
- Paris (sogen. Gerstenkörner) 06 II 347
- Gazella Daviesii, Norwich Crag 08 II 430
- Gebirge und Meere, Anordnung 05 II 202
- Gebirgsbildung
- Ansichten von BERTRAND 09 I 366
- Experimente 06 I 405
- Grundgesetz 08 I 119
- — (der Alpenbogen) 08 II 55
- — (Vulkanismus) 08 II 32
- neue Theorien 07 I 43
- u. negative Strandverschiebung CBI 1909 285
- Gebirgsdruck in tiefen Steinsalzbergwerken 07 I 87. 416
- Gebirgserhebung, durch Sonne veranlaßt CBI 1905 82
- Gebirgsketten, kreisförmige, Ursachen 05 I 231
- Ostasien 05 I 114
- Gebirgsmodellierung, zusammengesetzte Natur 1907 I 46
- Gebiß der Ungulaten, Pa-tagonien 05 II 455
- Gedrit, Canada 09 II 344
- Gefäß-Totreflektometer in Verbindung mit BABINET's Goniometer 09 I 156
- Gegenwart und geolog. Vergangenheit 09 II 43
- Gehlenit, Lithium-, künstl. CBI 1905 649
- Geikielith
- Beziehung zu anderen Eisenmagnesium-Titanate (Menaccanit) CBI 1906 157
- Ceylon, Edelsteinsande 07 II 18
- GEIKIE's Klassifikation d. Glazialbildungen verglichen mit dem Diluvium Schleswig-Holsteins 05 II 293
- Geinitzia microcarpa, ob. Kreide, Quedlinburg 07 I 493
- triangularis, Permo-carbonkalk, Neu-Süd-Wales 06 II 455
- Gekielte Phylloceratiden, systemat. Stellung CBI 1906 237. 417
- Gelartige Körper im Mineralreich CBI 1909 324
- Gelbbleierz
- künstl. Nachbildung 07 I 208
- Symmetrie CBI 1908 712
- Annaberg etc., Nieder-österreich 06 II 174
- Bleiberg, Kärnten, Kristalle 07 I 208
- Nordamerika, Produktion 06 I 355
- Pribram, Krist. BB XXIII 311
- Gelbildung beim Erhärten des Zements 09 II 85
- Gellivare-Erzberg, Mineralien 06 I 349
- Gelivare-Malmberg, Lapp-land, Eisenerzlagere-stätte BB XXIV 622
- Gelocus Laubei, Oligocän, Veringen, süddeutsche Bohmerze 08 I 123
- Gelphosphate, Leoben CBI 1909 330
- Gels von Tonerde und Kieselerde, gemengt, Beziehung zu Allophan etc. CBI 1908 622. 661

- Gemenge, kristalline,
Schmelzpunkt . . . 1908 II 24
- Genesis der Kristalle, Ein-
fluß der Kapillarwär-
me u. elektr. Ströme . . . 07 II 352
- Genetische Klassifikation
der Mineralien . . . 09 II 330
- Genf
— altes Alluvium . . . 07 II 129
— errat. Blöcke der Um-
gegend, Ursprung . . . 06 II 61
- Genfer See, Entstehung
und Alter . . . 05 II 376
- Geniohyus, Tert., Fayum
— fajumensis, major und
mirus, Eocän, Aegypten . . . 06 I 449
- Genuclymenia Angelini,
discoidalis, Frechi,
Gümbeli u. hexagona,
ob. Oberdevon, Enke-
berg . . . BB XXVI 617
- Genyodectes serus, jung-
tertiär, Argentinien . . . 05 II 308
- Geoden, verschiedene
Formen . . . 08 II 6
- Geographie, Paläo-, Grund-
lage d. Untersuchungen CBI 1908 434
- Geoisothermen, beein-
flußt durch Wärme-
leitungsfähigkeit der
Gesteine . . . CBI 1907 200
- Geologenkongreß, inter-
nationaler, Mexiko
CBI 1906 53. 123. 220
- Geologie
— Bedeutung für Bal-
neologie . . . 06 I 403
— Beziehung zu GOETHE
1906 II 42 CBI 1906 586
— Elemente . . . CBI 1904 306
— Fortschritte der prak-
tischen . . . CBI 1904 151
— — seit SUESS . . . 06 II 42
— ökonomische . . . CBI 1906 49
— praktische (RINNE) . . . CBI 1906 115
— — Bedeutung . . . 08 I 78
— Probleme u. Entwick-
lung . . . 06 II 45
— Unterricht an Hoch-
schulen . . . 06 II 147
— Vorschule von J. WAL-
THER . . . CBI 1905 730
— Wert für Erziehung u.
Praxis . . . 06 I 37
- Geological Survey, Iowa 06 I 410
- Geologische Aufnahmen,
Karten etc.
— Belgien, nördliches . . . 1905 I 468
— Böhmen (Blätter Böh-
misch-Leipa, Dauba,
Deutschbrod, Reichen-
au, St. Pölten, Tynist) . . . 08 II 59 ff.
— — Prag, Umgegend . . . 07 II 105
— Böh. Mittelgebirge
(Bl. Aussig und Groß-
priesen) . . . 1905 I 268. 272
— — (Bl. Kosten-
blatt—Milleschau) . . . 06 II 81
— Bosnien u. Hercego-
wina, geol. Führer . . . 05 II 264
— Frankreich (Bl. Brian-
çon, Gap, Digne und
Larche, Grenoble und
Vizille und Lyon) . . . 05 I 278
— — (Blätter Briançon,
Grenoble, Lyon und
Vizille . . . 07 II 104
— Iseosee . . . CBI 1909 135
— Italien (Bl. Bormio—
Tonale) . . . 08 II 65
— Kap-Kolonie (Aliwal
North, Barkley East,
Herschel und Wode-
house) . . . 07 II 114
— — Van Rhy'n's Dorp . . . 07 II 116
— — Long Kloof . . . 07 II 118
— Oesterreich, Bl. Bud-
na, Sebenico—Trau,
Veglia u. Novi, Zara-
vecchia—Stretto . . . 07 I 89 ff.
— — Böhmen siehe oben
Böhmen.
— — Mähren . . . 05 II 261
— Ostalpen . . . 06 II 233
— Preußen (Blätter Al-
feld, Dassel, Hardeg-
sen, Lauenberg . . . 07 II 93
— — (Blätter Algenroth,
Caub, Preßberg—Rü-
desheim) . . . 07 II 88
— — (Blätter Altenbeken,
Etteln, Kleinenberg u.
Lichtenau) . . . 07 II 97
— — (Bl. Barten, Wen-
den, Rastenburg, Dreng-
furt, Rosengarten und
Groß-Stürlack) . . . CBI 1906 579
— — (Bl. Berlingerode,
Heiligenstadt, Dingel-
stadt, Kella, Lenggen-
feld, Langensalza, Lan-

- gula, Henningsleben
[Großenbehringen],
Mihla und Treffurt). 1906 II 229
- Geologische Aufnahmen,
Karten etc.
- Preußen (Bl. Kreuz-
burg, Treffurt, Mihla
[Berka vor dem Hai-
nich], Schmalkalden) 08 I 87
- — (Bl. Gorlosen, Len-
zen, Balow—Grabow.
Hilsebeck, Karstedt,
Bäk) CBI 1907 693
- — (Bl. Kellerwald,
Gilsberg, Rosenthal
und Frankenau) 07 II 90
- — (Bl. Langula, Lan-
gensalza u. Hennings-
leben) CBI 1906 581
- — (Bl. Lingen, Wiet-
marschen, Heseper-
tew) CBI 1907 694
- — (Bl. Lüneburg,
Lauenburg, Artlen-
burg, Winsen) CBI 1907 692
- — (Blätter Quaschin,
Zuckau, Prangenau,
Groß-Paglan) CBI 1906 16
- — (Blatt St. Goars-
hausen) 07 II 88
- — (Blätter Sonnen-
burg, Alt-Limmnitz,
Drossen, Danzig, Rep-
pen) CBI 1906 578
- — (Bl. Stade, Ueter-
sen, Hagen und Harse-
feld) 07 II 254
- Rußland, goldführ. Geb-
biet am Jenissej 05 II 247
- Sachsen. Uebersichts-
karte 09 I 400
- Schweiz, Berner Jura 09 I 400
- — unteres Engadin,
Lischannagruppe 07 I 96
- — Bl. Genf—Lau-
sanne, der DUFOUR-
Karte 06 II 83
- — tektonische Blät-
ter Montier u. Belle-
lay im Berner Jura 05 II 247
- — Ste. Croix im
waadtl. Jura 05 II 252
- — unt. Aare-, Reuß-
u. Limmattal
1908 I 408 09 I 434
- Geologische Aufnahmen,
Karten etc.
- Württemberg, Baden,
Elsaß etc. Uebersichts-
karte . CBI 1908 556. 589. 610. 651
CBI 1909 53
- — Bl. Baiersbronn,
Freudenstadt u. Ober-
tal—Kniebis 1909 II 410
- — Bl. Altensteig und
Simmersfeld 09 II 416
- siehe auch Karten.
- Geologische Bedeutung
der Schwereanomalien 05 I 45
- Geologische Formations-
kunde CBI 1904 304
- Geologische Forschungs-
methoden u. Probleme 07 I 372
- Geologische Grundlagen
der Abstammungs-
lehre. CBI 1908 461
- Geologische Landesanstalt
— Brasilien unter dem
Titel „Servico Geolo-
gico e Mineralogico
do Brazil“ CBI 1907 442
- Iowa 06 I 410
- Geologische Modelle, Her-
stellung 06 I 37
- Geologische Vergangen-
heit u. historische Ge-
genwart 09 II 43
- Geologische Zeitmessung 1905 I 224. 402
- Geometrische Kristallo-
graphie v. E. SOMMER-
FELDT CBI 1907 182
- Geosaurus? cynodus,
Moissey, Frankreich 08 I 297
- Geosynklinale, Piemont 09 II 90
- Geothermische Tiefen-
stufe — Beeinflussung
durch Berge, Täler etc. 08 I 211
- normale u. anormale
Werte CBI 1907 673
- Geotiphia Foxiana, Ter-
tiär, Florissant, Col. 07 I 321
- Gephyroceras superstes,
ob. Oberdevon, Enke-
berg BB XXVI 576
- Gephyrocerinus Grimaldii,
rezent, Azoren 07 II 155
- Gera, nordische Geschiebe 07 II 462
- Gerablattina elegans,
Carbon, Tonkin 08 I 310
- Gerecse-Gebirge, Ungarn,
Geologie CBI 1905 391. 555

- Gerhardtia vezeziensis, Kreide 1907 II 150
- Gerhardtit, Clifton-Morenci-Distrikt, Arizona 06 I 174
- Gerihornkette, Geologie 08 II 382
- Gerölle
- im Buntsandstein, Devonshire und Midlands, England 05 II 424
- gestreckte, in einem Konglomeratschiefer, Georgia 09 II 385
- mit länglicher Form, Entstehung 07 II 398
- zerbrochene, Dear Creek, Arizona, und Kreidekonglomerat 08 I 241
- siehe auch Geschiebe.
- Geröllsandablagerungen, Neuvorpommern und Rügen, Uckermark u. Mecklenburg 08 I 96
- Gerstenkörner
- Paris, Cölestinpseudomorphosen 06 II 347
- Sachalin 08 II 334
- Sangerhausen etc. 09 II 361
- siehe auch Pseudomorphosen.
- Geruch des Stinkkalks von Grenville, Canada, verursacht durch H₂S 07 I 21
- Gervilleia, Gattung 07 II 338
- Douvilléi, Kreide (Aptien), Portugal 07 I 448
- ferruginea, Eisenerzformation, Lothringen und Luxemburg 06 I 304
- Gervilleella Paronai, Pachycardientuffe, Seiser Alp 07 II 337
- Gervillia exporrecta, Salt-range 09 I 12
- Hanitschi, Jura, Singapur 07 I 287
- Murchisoni, Verbreitung in Ostthüringen CBI 1909 12
- orientalis (Dalliconcha), Hypersenon, Peterwardeiner Gebirge 06 II 268
- siciliana, Lias, Casale bei Busambra (Palermo) 06 I 319
- socialis, subcostata, substriata u. var. tenuicostata, Lettenkohle u. Keuper, Schwaben BB XXV 70
- Gervillia trigona, Cyrenenlager, Jura, Rikuzen, Japan 1905 I 464
- u. Avicula, Lettenkohle, Württemberg CBI 1907 27
- Geschiebe
- errat., und Glazialforschung 06 II 435
- geritzte und gestreckte, des Ocoee-Konglomerats, Ellyay, Gilmer County, Georgia 08 II 370
- siehe auch Gerölle.
- Geschiebeführung d. Flußläufe 08 I 221
- Geschiebelehm, Nordamerika, Alkaliflecken 07 I 243
- Geschiebelehmbildungen, Neuvorpommern und Rügen, Uckermark u. Mecklenburg 08 I 96
- Gestaltenlehre. Minimalproblem 06 I 321
- Gesteine
- Druckfestigkeit, Bestimmungsmethoden 07 I 45
- Elastizität und Komprimierbarkeit 07 I 263
- Festigkeit mit Beziehung auf Erdbeben 06 I 199
- Wirkung auf photogr. Platte CBI 1905 58
- zersetzte, Absorptionserscheinungen 06 I 51
- Argentinien, jungvulkanische BB XXII 555
- Bayern, nutzbare CBI 1907 247
- u. Mineralien, British Central Africa 07 I 236
- siehe auch Mineralien u. Gesteine, Eruptivgesteine etc.
- Gesteinsanalysen
- Anleitung CBI 1905 93. 94
- Diagramme von IODINGS CBI 1905 249
- Eruptivgesteine 1884 bis 1900 CBI 1905 210
- Interpretation 05 II 209
- des Laboratoriums des U. S. geol. survey, Washington 1880 bis 1903 05 I 410
- Molekularquotienten zur Berechnung 05 I 57
- Moray area 1905 I 414. 417

- Gesteinsbildende Mineralien
 — Ausscheidungsfolge, Kristallisationsvermögen u. -geschwindigkeit in Silikatschmelzen . 1906 II 5
 — Bestimmung CBI 1909 711
 Gesteinsbildung, Bedeutung der Konzentrationsprozesse 06 I 72
 Gesteinsfließen VAN HISE CBI 1906 611
 Gesteinsgemengteile
 — Molekularvolumina 05 I 62
 — Reihenfolge der Kristallisation CBI 1907 349
 Gesteinsgläser, Entstehg. Gesteinskunde
 — Grundzüge von WEINSCHEK CBI 1905 617
 — — der allgemeinen CBI 1904 242
 — praktische, RINNE CBI 1906 115
 — ROSENBUSCH CBI 1905 119. 486
 CBI 1907 551. 592 CBI 1909 338. 367
 — Tabellen von LINCK . CBI 1905 59
 Gesteinsumwandlung, westliches England CBI 1908 731
 Gesteinsvernetzungen Festband 330
 — Iberg (Schweiz) CBI 1909 631
 Gestreckte Gerölle in einem Konglomeratschiefer, Georgia 09 II 385
 Gestreckte Geschiebe, Ellyay, Gilmer County, Georgia 08 II 370
 Gewicht, spezifisches, siehe Dichte.
 Gewitsch, Mähren, Geologie 05 II 261
 Gewitterkugeln
 — Quadersandstein des nördl. Böhmens BB XXV 473
 — im Sandstein, Böhm.-Leipa 08 II 62
 Gewölbeumbiegung, Glarner Doppelfalte, Nordflügel 09 II 256
 Geysir, Atama, Japan 07 I 377
 Gibbula lucida, blaue Mergel des Côte des Basques, Biarritz 06 II 439
 — Pilari, Hypersenon, Peterwardeiner Gebirge . 06 II 267
 Gießen
 — Entwicklung des mineralog. Unterrichts an der Universität CBI 1905 557
 — Eruptivgesteine 05 II 50
 Giffre, Savoyen, Geologie 1908 II 389
 Gigantophis Garstini, Aegypten 06 I 152
 Gigantopteris nicotiaefolia, Trias, Korea 08 II 449
 Gigantosaurus africanus u. robustus, Deutschlandafrika 09 I 448
 Ginkgo digitata 07 II 507
 — Huttoni var. magnifolia 07 II 503
 — Schmidtiana form. parvifolia, Jura, Mandschurei 09 I 464
 Ginkgoales Rhät, Stabbarp (Schweden) 08 I 147
 Giobertit, Val della Torre, Piemont 06 I 333
 Giorgiosit, Santorin, Fumarolenprodukt 1906 II 13
 07 II 406
 Gips
 — Bildung von Kristallen hydraulischer u. Estrich- 05 I 40
 — Löslichkeit 05 II 31
 — mikrochemische Reaktion CBI 1908 134
 — Neubildung in Solen 06 I 347
 — plastische Umformung unter Druck 06 II 80
 — Bellisio, Kristalle 07 I 210
 — Biedermansdorf bei Wien, im Tegel CBI 1906 349
 — Boehnia, Zwillinge 09 II 362
 — Carrara, im Marmor 07 I 216
 — Cetine di Cortonaio, Prov. Siena 09 II 362
 — Christdorf, Mähren, Erzlagerstätte CBI 1907 324
 — Kertsch und Taman 05 II 200
 — Markirch 09 I 216
 — Nagolnij Krjash, Donetz-Becken 07 II 197
 — Nordamerika, Lagerstätten 05 I 207
 — Oldbury, England, Entstehung in einem Brunnenschacht CBI 1905 752
 — Poggio Orlando (Siena), Schwefelgruben 08 II 334
 — Puente del Inca, Aconcagua BB XXIV 721
 — Quittein, Westmähren, Eisenerzlagerstätte 05 II 243

- Gips
 — Terlingua, Texas, Kristalle CBI 1907 17
 — Ungarn, Igmaud, Kristalle 1908 II 322
 — Vesuv 09 I 349
 — in der Asche CBI 1906 321
 — Wietze, Hannover, Kriställchen im dolomit. Kalk 06 I 31
- Gipslager
 — Bessarabien, Chotinscher Kreis, mit Mineralien 07 II 377
 — Livland und Pleskau 06 II 229
- Gipslösungen, gesättigte, Basis für Leitfähigkeit
 Girtyina BB XXVII 506
- Girvanella, Silur, Gotland und Oesel 09 I 153
- Gismöndin Burkards im Vogelsberg, Glühverlust 06 I 23
- Gitterpolarisation, metallische, zur Deutung mikrosk. Präparate 06 I 323
- Gladkait, nördl. Ural, 07 II 410
- Glandarienkalk, Syrien, Brachiopoden u. Muscheln 06 I 278
- Glandina aquensis, Pliocän, Cueva Rubbia, Spanien 07 II 19
 — Bonneti, Eocän, Paris 07 II 303
 — elongata u. Wagneri, Alttertiär, Giengen bei Ulm 08 II 104
 — inflata var. porrecta, Obermiocän, Randeck CBI 1908 564
 — ovata, Alttertiär, Ulm 08 II 104
- Glandulina biconica, Lias, Schwaben 09 II 320
 — cf. laevigata, Globigerinenmergel, Bahna, rumän. Karpathen 09 II 148
- Glandulonodosaria 07 II 499
- Glanosuchus macrops, Knoflocks Fontein 07 I 145
- Glanzschiefer
 — ligurischer Apennin 07 II 441
 — Piemont, Alter 07 II 440
 — Westalpen 1907 II 440. 441
 — Zillertaler Alpen 07 II 432
- Glarner Decke, Glarus 06 II 394
- Glarner Doppelfalte 06 II 86
 — Bogenfalten etc. 06 I 250
- Repertorium 1905—1909.
- Glarner Doppelfalte, Gewölbeumbiegung des Nordflügels 1909 II 256
- Glarus
 — Entstehung der Alpenseen 05 I 407
 — Ueberfaltungsdecken 06 II 392
- Glas
 — grünes, Brechungskoeffizient CBI 1909 26
 — in Silikatschmelzen BB XXII 185 ff.
 — meteoritische Kugeln, Kuttenberg, Böhmen CBI 1909 452. 465. 545
 — — — Schonen 1909 I 354 CBI 1909 462
 — siehe Tektit und Moldawit etc.
 — Campell-Insel, südl. v. Neuseeland, basisches 09 II 75
- Gläser
 — Erweichungspunkte 08 II 25
 — kosmische CBI 1908 737
 — künstliche u. natürliche 07 II 216
 — natürliche, Brechungsindizes und Chemismus 1908 I 54 CBI 1905 285
 — vulkanische, Verhalten zu Wasser 09 I 82
- Glasbasalt
 — Gießen und Allendorf a. Lmda 05 II 50
 — Odenwald, Gänge CBI 1907 69
- Glaserit 05 II 29
 — Chrom-, Zwillingsbildung BB XXIII 269
 — Konstitution BB XXIV 1. 67
 — in ozean. Steinsalzlager 05 I 192
 — Vesuv, von 1906 08 I 207
- Glasplattensätze als opt. Vorrichtung 05 II 176
- Glauberit
 — Bildung in ozean. Salzlager 06 I 164
 — — in ozean. Steinsalzlager bei 25° 05 I 192
 — — — 09 I 319
- Glaubersalz
 — Bildung unter 25° in ozean. Salzlager 06 I 163
 — Pachberg beim Schneeberg (Niederösterreich) CBI 1908 280
 — Sibirien, Wartschensee, am Jenissejfluß 09 II 246
 — Glaubersalzreihe, Krist. 09 II 201

- Glauconia alternicosta,
 Coniacien, Frankreich 1906 I 319
 — Depéreti, Cenoman,
 Südfrankreich 07 II 131
 — Dumortieri, gibbosa,
 Matheroni u. Renauxi
 var. cenomana, Ceno-
 man, Südfrankreich 07 II 132
 Glaukonit
 — Challenger-Expedition,
 Analysen 09 I 394
 — Entstehung 07 I 31
 — Zusammensetzung 07 I 353
 — Grandpré, Arr. Vou-
 ziers, gibt Brauneisen
 — — zersetzt zu Eisen-
 oolith 09 I 394
 — Grodno 07 II 370
 Glaukophan
 — Einwirkung von Ra-
 diumbromid CBI 1909 71
 — pleochroit. Höfe CBI 1909 145
 — Elek-Dagh, nördliches
 Kleinasien Festband 348
 — Saint-Veran, Hochal-
 pen, im Gestein 06 I 379
 — Susa-Tal, im Prasinit
 der Rocca Bianca . 1906 II 105 ff.
 — Syra 09 II 224
 — siehe Ferriglaukophan
 = Rhodusit.
 Glaukophangesteine
 — chemische Beziehungen
 der basischen Festband 381
 — Elek-Dagh, nördliches
 Kleinasien Festband 348
 — Kalifornien, Küsten-
 gebirge 09 I 71
 — Wallis, Schweiz 08 I 67
 Glaukophanit mit Epidot,
 Syra 09 II 226
 Glaukophanschiefer
 — Australien und Neu-
 Caledonien, chem. 07 I 399
 — Birma, Jadeitlagerstätte 09 I 187
 — Oak Hill-Gebiet, Cal. 09 II 386
 Glazial
 — Eiszeit, Einheitlichkeit 07 II 454
 — — diluviale, Wesen u.
 Verlauf CBI 1904 280
 — — permische CBI 1908 353
 — — — Indien etc. Festband 446
 — Facettengeschiebe CBI 1907 105
 — siehe Facettengeschiebe.
 — Frage des Interglazial
 CBI 1905 673. 737
 Glazial
 — Vergletscherung der
 Erde CBI 1907 473
 — wiederholte Vereisun-
 gen der Erdoberfläche CBI 1904 28
 — Alaska 1905 II 272
 — Alpen, Eiszeitbildun-
 gen und prähistor.
 Mensch 06 II 270
 — — im Eiszeitalter 05 II 39
 — Avimore-Eisenbahn 05 I 312
 — Basler Jura 05 I 311
 — Berlin, Interglazial 07 II 465
 — Bregenzener Wald BB XXVII 37
 — Corsica 05 I 55
 — Dänemark, Facetten-
 geschiebe im Diluvium CBI 1906 593
 — Drac-Tal 05 II 296
 — Elmshorn, pflanzen-
 führ. Interglazial 05 II 441
 — England 1905 II 449 ff.
 — — Cotteswold Plateau 07 I 442
 — Flechtingen, Schram-
 men auf Kulmgrau-
 wacke 06 I 297
 — Gotha 07 II 459
 — Grahaminsel 09 II 102
 — Hannover, östl., Kies-
 moränenlandschaft 05 II 442
 — Hirschberger Kessel 07 II 462
 — Holland, Basaltge-
 schiebe CBI 1906 118
 — — (Groningen etc.),
 Basaltgeschiebe im
 Diluvium CBI 1906 118
 — — Facettengeschiebe
 im Diluvium CBI 1906 15. 425
 — — Geldersches Tal,
 Geschiebelehm 07 I 442
 — Hümmling 08 I 98
 — Indien etc., perm. Eis-
 zeit CBI 1908 449
 — Island CBI 1905 535. 546
 CBI 1909 647
 — — diluv. Vergletsche-
 rungen CBI 1906 232
 — — Palagonitformation
 CBI 1905 535. 546. 740
 — — Pleistocän CBI 1905 535. 546. 740
 — Kanin-Halbinsel 06 II 117
 — Kentucky u. Virginia,
 Abfluß bedingt durch
 Eis 05 I 407
 — Kern Basin, Cal., Verg-
 letscherung 05 II 103
 — Krefeld, Eiszeit Spuren 05 I 482

Glazial

— Lappland, Terrassen an moränenbedeckten Abhängen	1907	I	89
— Lauenburg, obere Grundmoräne	05	I	472
— Liestal, Basler Jura, Moränenreste	05	I	311
— Lübeck, Grundmoränen u. jungglaz. Süßwasserbildungen	05	II	440
— Lübecker Mulde und ihre Terrassen	CBI 1907		97
— Lüneburger Heide	CBI 1909		690
— Massachusetts, Cape Ann	07	II	130
— Mitteldeutschland, letzte Vereisung	07	I	116
— Moskau, Gouvernem., Interglazial	08	I	275
— Naumburg a. S., oberste Saalterrassen CBI 1906 678	CBI 1907		214
— Niagara-Fälle, Umgegend	06	I	260
— Norddeutschland	06	II	435
— — (Pommern), Inlandeis	07	I	114
— — Pflanzen (Motzen, Werthe, Ohlsdorf-Hamburg)	09	II	157
— Odertal bei St. Andreasberg, Moränen	06	I	298
— Oranje River-Kolonie	09	I	111
— Ostpreußen, Grundmoränenseen	05	I	471
— Paekhuis-Paß b. Clanwilliam, Konglomerat im Tafelberg-Sandstein	06	I	274
— Paraná, Brasilien	CBI 1909		558
— Parchim, Interglazial CBI 1905 673. 737	CBI 1906		66
— Pommern u. Rügen, Beziehung zur Entwicklung des Bodenreliefs	07	I	117
— Posen, jüngerer balt. Eisstrom	05	I	473
— — (Schönlanke)	09	I	108
— Puenta del Inca, Aconcagua	BB XXIV		728
— Rheinlande, Eiszeit	05	II	447
— Riesengebirge, Gletschertöpfe	05	II	294

Glazial

— Rüdersdorf u. Hamburg, erste Vereisung, Beziehung zum Alter der Paludinenschichten bei Berlin	CBI 1906		181
— Rügen und Hiddensö	1906	II	196
— Rußland, Kaluga-Gouv.	07	I	446
— Saaletal zw. Halle und Weiffenfels	06	II	432
— Samland, Endmoränen	06	I	119
— Säntis, Wildkirchli-Höhle	08	I	106
— Ste. Croix, waadtländischer Jura	05	II	253
— Schlesien, Hirschberger Kessel	07	I	443
— Schweiz, zw. Ketten- und Tafeljura	09	I	434
— — Lischamagruppe, Unterengadin	07	I	98
— — Thurgau, Drumlinlandschaften im alten Rheingletscher	06	I	436
— — Verrières-Tal (Neuenburger Jura)	05	II	297
— Serbien	09	I	110
— Småland, Seeterrassen	05	I	312
— Südafrika, Dwyka-Konglomerat d. Perm	07	II	122
— Sylt, BB XXII 139	CBI 1906		637
— Tasmanien	CBI 1909		9
— Thüringen	1907	II	459. 461
— — Saaleschotter	CBI 1907		60
— Vomperbach-Mündung, Grundmoränen	06	I	299
— Wallensen, Hilsmulde, Interglazial	05	I	144
— Wesergebiet, mittleres, Stillstandslagen	09	I	109
— Westpreußen, Gegend von Danzig	CBI 1906		16
— siehe auch Quartär, Diluvium, Gletscher, Moränen, Endmoränen, Eiszeit etc.			
Glazialbildungen			
— GEIKE'S Klassifikation vergl. mit dem Diluvium Schleswig-Holsteins	05	II	293
— Colorado, San Juan-Gebirge	08	II	343
— Freudenstadt, Schwarzwald	08	II	94
— Harzvorland	08	II	98

Glazial			Gletscher		
— Holland	1908	II	100	— Veränderung in ver-	
— Jena, Saaleetal	08	II	97	— verschiedenen Ländern	1906 II 190
— Rheingebiet, außeral-				— Alpen zur Eiszeit	05 II 39
— pines	08	II	95	— Norwegen u. Kau-	
— Thüringen	08	II	96 ff.	— kaskus, period. Schwan-	
— Weimar	08	II	96	— kungen	05 II 47
Glaziale Aufschüttung be-				— Arapahoe Park, Colo-	
wirkt Veränderung des				— rado 1905 I 56	06 II 189
Drac-Tales	05	II	208	— Catskills, New York	08 II 341
Glaziale Erosion 1908 I 51	CBI	1906	380	— Dauphinéer Alpen	07 II 52
— Fingersee-Tal, nord-				— Glarus, Seenbildung	05 I 408
— amerik. Seenregion	08	II	340	— Island, tertiäre und	
— siehe Gletschererosion.				— rezente, im Westen u.	
Glaziale Hydrographie,				— Norden	08 II 341
Beziehung zu Terrassen				— Minnesota, bewirken	
und Seebecken.				— Faltung	08 II 341
östl. Norddeutschland	05	I	481	— Monte Rosa, Rück-	
Glazialerscheinungen				— gang am Südabhang	05 I 56
— Catskills, New York	08	II	341	— Norwegen, Jostedalbrä	07 I 221
— Schwarzwald	BB	XXI	397	— Oregon, Simsbildung	05 I 56
— Tibet, Pangongsee	08	II	342	— Piavetal, Fadalto	07 I 222
Glazialforschung u. errat.				— Schwarzwald, eiszeit-	
Geschiebe	06	II	435	— liche	BB XXI 397
Glazialklima	08	II	345	— — Freudenstadt etc.	09 II 414
Glazialschichten, Tasma-				— Spitzbergen 1902	05 II 48
— nien, Wynyard, im				— Uebergossene Alm,	
nordwestlichen	09	II	163	— Salzburg	05 II 39
Glazialspuren, Paraná,				— Würmgletscher, nord-	
Brasilien	CBI	1909	558	— westl. Bodenseegebiet,	
Glazialzeit, Klima	05	I	407	— Rückzug	CBI 1907 257
Gleichaltrigkeit u. gleiche				— siehe Glazial etc.	
Versteinerungen,				Gletscherbewegung	
Aschenlagen u. Lava-				— 1904 und 1905	08 II 342
decken etc.	08	II	339	— und Moränen	05 II 33
Gleichenberg				Gletschereis, Struktur,	
— Steiermark, Eruptiv-				— Rhône-gletscher	09 II 209
— gebiet	06	I	408	Gletschererosion 1908 I 51	CBI 1906 380
— — Opalbreccie	CBI	1908	716	— siehe glaziale Erosion.	
Gleichenia Gilbert-Thomp-				— der Eiszeit (Inter-	
— soni	07	II	504	— glazial) erzeugen Berg-	
— Saundersii, Matawan-				— stürze u. Erdschlipfe	08 II 339
— Formation, Nordame-				Gletscherkantner	CBI 1907 105
— rika	07	I	494	— siehe Facettengeschiebe.	
Gleichgewichtsform fester				Gletscherkorn und Eis-	
u. flüssiger Kristalle	06	II	150	— bildung	06 II 326
Gleitboden, Schweden,				Gletscherkunde, Zeitschr. CBI 1906 589	
Entstehung	06	II	350	Gletschermühlen, Kali-	
Gletscher				— fornia, Sierra Ne-	
— Darstellung durch H.				— vada	08 II 342
— HESS	CBI	1905	567	Gletscherschrammen,	
— der Erde	CBI	1907	473	— Enderby-Land	06 II 372
— innere Temperatur				Gletschertäler u. Flußtäler	
durch Bohrungen	08	II	340	— Gletschertöpfe	09 I 201
— period. Veränderung	07	I	381	— Nago, Südtirol	CBI 1908 763
— Tätigkeit	08	I	51	— Riesengebirge	05 II 294

- Gletscheruntersuchungen.
Technik 1905 II 373
- Gletscherwirkungen, Kalifornien, Sierra Nevada
1908 II 343. 344
- Glimmer 09 I 319
- mit ungewöhnlichem Achsenwinkel CBl 1908 618
- Aufkristallisieren von Jodkalium 09 I 160
- Einwirkung von Radiumbromid CBl 1909 69
- mikroskop. Verhalten der gesteinsbildenden 07 II 129
- neue Arten (Hallerit u. Irvingit) 09 I 190
- pleochroit. Höfe CBl 1909 143
- siehe pleochroitische Höfe.
- Vorkommen und Gewinnung 07 II 23
- Zwillinge u. TSCHERMÄK'sches Zwillingsgesetz CBl 1907 400
- Afrika, Deutschost-, Muscovit 07 II 385
- Biella, Piemont, Drusen im Syenit 06 II 36
- Carrara, im Marmor 06 II 177
- Ceylon 1906 I 178. 180
- Finkenberg bei Bonn, Einschlüsse im Basalt CBl 1908 418
- Grönland CBl 1908 406
- Nord-Wales, Sericit CBl 1909 715
- Ottawa, Canada 05 I 249
- siehe auch Biotit, Muscovit, Fuchsit, Meroxen, Muscovit etc.
- Schmiedeberg (Riesengeb.), im Granit CBl 1909 770. 772
- Glimmerandesit, Argentinien BB XXII 582
- Glimmerdioritporphyr, Argentinien BB XXII 611
- Glimmergruppe, topische Zahl, in Eruptivgesteinen CBl 1907 14
- Glimmerkalk, Raspenau, Böhmen, am Kalkberg 06 I 55
- Glimmerporphyr
— Brest, Salband d. Kersanton 05 I 427
- Kiautschou 06 II 369
- Glimmerschiefer, Wirkung auf die photographische Platte CBl 1905 58
- Glimmerschiefer
— Barkhamsted, Conn. mit Korund, graphithalt. Granat etc. 1905 II 393
- Campolongo 05 I 201
- Ecuador, Ostkordillere 06 I 396
- Erzberg b. Hüttenberg (Kärnten) 05 II 83
- Lexen-Braune, Westmähren 1905 II 234. 235
- Mte. Ornato bei Seravezza, turmalinführ. 07 I 65
- Neuseeland, Otago-Halbinsel 08 I 230
- Ober-Möltal, Kärnten 08 II 358
- Raspenau, Böhmen 06 I 57
- St. Gotthard, Pizzo Forno, Tessin BB XXVI 506. 513
- — Südseite, phyllitische BB XXVII 183
- Sterzing BB XXII 505
- u. -quarzit, Pressanella-gruppe, nördl. Abhang 08 II 365
- siehe auch Granatglimmerschiefer.
- Glimmerzeolith = Gyrolith CBl 1906 80
- Glimmerzeolithe, Unterscheidung voneinander 08 II 36
- Glimmerzeolithgruppe CBl 1907 411
- Glires, Tertiär, Patagonien 07 II 320
- Globe Copper District, Arizona, Kupfererze u. Geologie 05 I 442
- Globigerina d'ORBIGNY 1826 06 II 310
- bilobata, bulloides u. regularis, Globigerinenmergel, Bahna, rumänische Karpathen 09 II 154
- Globigerinenkalk, Molukken 05 I 109
- Globigerinenmergel, Albona (Istrien), mittlereocän 05 II 159
- Bahna, rumän. Karpathen, Foraminiferen 09 II 140
- Globigerinenschlamm
— in Lagunen von Koralleninseln 07 II 218
- nordatlant. Ozean (grönländ. Ingolfexpedition) 1905 I 422. 425
- Globigerinidae, System d. lebenden und fossilen 05 II 329
- Globilemur, Madagaskar 06 II 446

Globulina irregularis, Globigerinenmergel, Bahna, rumän. Kar- pathen	1909 II	153	Gneis — Unterschied von Granit durch Biotit . . .	CBI 1907	613
Glockerit, Obergrund bei Zuckmantel	CBI 1909	328	— Ursprung des Wortes	1905 II	179
Glossopteris angustifolia var. taeniopteroides, Permocarbon, Vereini- ging, Südafrika	08 I	454	— Aarmassiv, Erstfelder	07 II	69
Glossopteris-Flora, Pflan- zenkatalog	08 I	152	— Bachergebirge (Schen- towetz)	CBI 1909	149
Glossozamites acumina- tus, Kreide, China	07 II	342	— Belledonne-Kette, West- alpen, Zusammen- setzung	06 I	378
Glühverlust — als mineralog. Kenn- zeichen	06 I	16	— Böhmen, Kostenblatt— Milleschau	06 II	81
— der Zeolithe	06 I	20	— — Raspenau	06 I	57
Glycimeris (Panopaea), Carteroni u. Dupiniani, Neocom, argent. Kor- dillere	BB XXIII	221	— — (Reichenau u. Ty- nist)	08 II	64
— Griesbachi, Kreide, Zululand	07 II	304	— Bormio—Tonale, Kar- tenblatt	08 II	65
— obesus, Kreide, Neu- Süd-Wales	05 I	319	— Bozen, Porphyrgbiet	BB XXVII	79
Glyphioceras Newsomi, Carbon, Nordamerika	05 I	528	— Brasilien, Madeirafuß in Matto Grosso	08 I	385
— cf. sphaericum, Culm, Königsberg b. Gießen BB XXVIII	643		— Brit. Zentralafrika	07 I	236
Glyphomitrium Cockerel- leae, Tertiär, Floris- sant, Col.	09 II	154	— Brixener Masse, Tona- lit-	05 II	380
Glyptatelus, Kreide, Pa- tagonien	05 I	169	— Brüner Eruptivgebiet	09 I	378
Glyptodontia, Kreide, Pa- tagonien	05 I	169	— Campaglia bei Varzo (Piemont), Mineral- gang	CBI 1905	15
— Santa Cruz beds, Pa- tagonien	06 I	453	— Cevadaes, Portugal, nephelinreich	07 II	109
Glyptodontiden, Skelett- bau	06 I	146	— Deutschland, Grund- gebirge	05 I	235
Glyptops caelatus, de- pressus u. pervicax, Nordamerika	09 I	452	— Ecuador, Ostkordillere	06 I	393
Gmelinit — Aci Castello	05 II	27	— Elzenbaum u. Spre- chenstein b. Sterzing	BB XXII	475
— Palagonia, Begleiter	08 II	35	— Enderby-Land, Cor- dierit-, gedreht	06 II	371
— Rußland (Krym und Comodoreinseln im Beringsmeer)	CBI 1906	573	— Erzberg bei Hütten- berg (Kärnten)	05 II	82
— Two Islands (Neu- Schottland). Glüh- verlust	06 I	23	— Erzgebirge und Kon- tacterscheinungen	09 I	212
Gneis, deutsches Grund- gebirge	05 I	235	— Georgetown, Colorado	08 I	238
			— Gloggnitz, Oesterreich. Ortho-Riebeckit-	05 II	51
			— Gristow (Pommern), Konglomerat-, als Di- luvialgeschiebe	CBI 1906	625
			— Grönland, westl. Nord-	07 I	244
			— Hochedergruppe	08 II	66
			— Kamerun	09 II	74
			— Laaser Gruppe, Tirol	09 I	381
			— Lappland, Eisenerz- lagerstätten	BB XXIV	548
			— Loch Lomond-Distrikt, Entstehung	05 II	226
			— Müglitztal, Erzgebirge	06 I	366
			— Mulda, Erzgebirge	06 I	366

Gneis				Gobi-Wüste, Geologie,			
— Odenwald	1906	II	58	Winderosion etc.	1906	I	98
— Okanagan-Batholith,				Gobius elongatus, oligoc.			
Cascade Mountain, Cal.	09	I	68	Fischfauna, Berg Cosla			
— Ottawa-Tal, Canada	05	I	248	b. Piatra-Neamtz, rumän.			
— Pennsylvania, Pied-				män. Karpathen	06	I	153
montdistrikt	07	II	221	— Telleri, Otolithen, Ter-			
— Presanellagruppe,				tiär, Oesterreich	07	I	481
Augen-	08	II	364	Gobraeus Dumasi, Eocän.			
— Pyrenäen, Entstehung	06	II	213	Loire inférieure	07	II	302
— Ridnauntal, hinteres,				Godesberg, Bergsturz	07	I	225
bei Sterzing	BB XXII		482	GOETHE			
— Rocca di Cavour, Pie-				— Beziehung zu Mineralo-			
mont	06	I	377	logie und Geognosie			
— St. Gotthard	08	I	65	1906 II 43 CBI 1906 586			
— Pizzo Forno, Tes-				— — zu K. C. v. LEON-			
sin	BB XXVI		492 ff.	HARD			
— Südseite	BB XXVII		193	Festband 169			
— St. Poelten, Karten-				Goethit			
blatt	08	II	59	CBI 1909 327			
— Schott. Hochlande,				— Horhausen, Pleochrois-			
Moine-Gneis	05	II	390	mus	BB XXIII		337
— Schwarzwald, Freun-				— Pribram	09	I	339
denstadt etc.	09	II	413	Gold			
— südlicher. Injek-				— Entstehung in den			
tionserscheinungen	CBI 1907		76	Seifen	05	I	257
— Wiesental, Ver-				— Legierungen mit Pal-			
hältnis zu Granit	09	I	55	ladium	08	II	157
— Sterzing	BB XXII		461	— — mit Platin	08	II	157
— Tuxer Kamm	BB XXII		463	— Lichtbrechung	08	I	170
— Zinslers und Jau-				— Lösung u. Niederschlag	08	II	8
fens	BB XXII		489	— Nachweis in der Phos-			
— Tessiner Alpen				phorsalzperle	08	II	156
1905 I 242	06	II	208	— Sublimation in Quarz-			
1908 I 56	1908	II	197. 200	gefäßen	05	I	17
BB XXVI 492	BB XXVII		193	— Vorkommen in der			
— Ural, Seja-Gebiet, Fos-				Welt, Gewinnung und			
silien	07	II	158	Bedeutung	CBI 1907		696
— u. Granit, Schlesien,				— Alaska, Verbreitung	05	II	272
Entstehung	06	II	198	— — Klondike, Seifen	09	I	235
Gneiseinschlüsse im Mikro-				— Altai, Fluß Petrowka	09	I	334
granit, Colle Brocan				— Arizona, Bisbee Quad-			
(Valle del Gesso)	08	II	214	rangle	06	I	175
Greisgranit, Kiautschou				— Böhmen, Vorkommen	08	I	402
(Tsingtau)	06	II	365	— — in carbon. u. perm.			
Gneisphyllit, Presanella-				Schichten	08	I	402
gruppe, nördl. Abhang				— — Otava-Fluß	09	I	334
Gnomonisches Netz für				— Borneo, westliches	09	II	99
die gnomonische Pro-				— Bosnien und Herzego-			
jektion	06	I	159	wina, in Kieslager-			
Gnomonische Projektion	CBI 1905		491	stätten	06	II	381
— Anwendung in Kri-				— Colorado, Boulder			
stallographie	06	II	314	County	09	I	234
— — beim Kristallzeich-				— — Cripple Creek, Vor-			
nen	05	II	1	kommen	09	I	233
Gobi-(Hanhai-)Formation	06	I	97	— — Plomo, San Luis			
				Park, auf Gängen im			
				Granit	07	I	407

Gold			Goldlagerstätten		
— Brusson (Aostatal), in Quarzgängen . . .	1908	II 330	— Alaska und Yukon- Territorium	1908	I 397
— Carolina, südl. Appa- lachen	09	I 234	— — Turnagain Arm Region, Kenai Penin- sula	08	II 377
— Friedeberg, Oesterr. Schlesien	07	II 34	— Arizona, Cherry Creek District	08	I 397
— Kapland, Knysna u. Prinz Albert, Vorkom- men	07	I 408	— Barkerville (British Columbia) u. Umgeb. — Böhmen, Bražna . . .	06	I 75
— — Witwatersrand, im Konglomerat	06	I 70	— — Eule	08	I 402
— Lightning Creek, Brit. Columbia, Seifen . . .	07	I 407	— — Neu-Knfn u. Stecho- witz	06	II 379
— Nagolnij Krjasch, Do- netz-Becken	07	II 192	— — Pisek	08	I 403
— Nagyág, Siebenbürgen	06	I 74	— — Roudny	1906	II 380
— Neuseeland	08	I 399	— Idaho, Coeur d'Alene District	08	I 403
— Neu-Süd-Wales, Gras- sy Gully, Yalwal Dis- trict, in vulkanischen Gläsern	07	I 411	— — Khakhadian, Ost-Su- dan	09	II 409
— — Lucknow, Vorkom- men	07	I 409	— Korea, Tangkogae . .	06	I 9
— — Lyndhurst, Vor- kommen	07	I 410	— Mexiko, El Oro und Talpujahua	07	I 258
— Ostafrika, Deutsch- . .	09	I 231	— Sibirien, am Jenissej — Siebenb. Erzgebirge .	07	I 257
— Pralorgnan (S. Mar- cel), Aosta-Tal	07	II 36	— Transvaal, Murchison Range	05	II 247
— Rußland, Analysen . .	09	II 332	— Ungarn, Karács-Czebe — Westaustralien, meta- somat. Prozesse	07	I 252
— Siebenbürg. Erzgebirge, Vorkommen und Ver- hältnis zum Neben- gestein	09	I 231	— siehe Goldfelder. Goldquarz, Rußland . .	08	I 405
— Wernyi-Goldwäsche (Lenaer Bezirk), Krist. — Westaustralien, Pil- bara-Goldfeld	07	II 353	Goldquarzgänge — Altvatergebirge, Be- ziehung zu Diorit . . .	09	II 333
— Yamagono, Japan, Kristalle	09	I 237	— Klondike, Entstehung Goldsand, Ottawa bei Pi- sek	05	I 257
Goldfelder, Westaustralien — Coolgarlie-Feld, nördl. 1905	II 400, 401		Goldseifen — Alaska, Abbau	05	I 365
— Mt. Margaret-Feld . .	05	II 402	— Amgun-Gebiet, ost- sibir. Küstenprovinz .	1909	I 233, 235
— Murchison-Feld	05	II 399	Goldtopas, Färbung und deren Aenderung . . .	08	I 404
Goldführende Konglome- rate, Rhodesia	08	I 396	Goldvorkommen, Mada- gaskar	BB XXVI	278
Goldgänge, Bonanza's der oberen Teile	05	I 257	Golf Peter des Großen, Ostasien, Geologie BB	XXVII	509
Goldkeime, mikroskop. . .	08	I 170	Gonionotites Gemmel- laroi, Tropites-lime- stone, Byans	08	II 219
Goldkupfererzlagerstätte, Globe, Arizona	07	I 259	Gomphognathidae, Syste- matik	07	I 480
Goldlagerstätten — Leiterze	08	I 400	Gomphognathus Kanne- meyeri, Schädel	07	I 140
— Alaska, Mt. Wrangell- Distrikt	05	II 399			

- Gomphostrobus Reisi, Oberrotliegendes, Pfalz 1909 I 305
- Gonatocheilus expansus, Oxfordiensis und planus, Kelloway—Gault 08 I 304
- Gondwanagesteine, Brit.-Zentralafrika 07 I 237
- Gondwana- u. Talscher-Schichten, Indien Festband 482
- Goniatit im Rammelsberger Kieslager, Erhaltungszustand 09 II 242
- Goniobasis judithensis, Kreide, Nordamerika 07 I 440
- Gonioclymenia Buchi u. subarmata, ob. Oberdevon, Enkeberg BB XXVI 622
- Gonioloboceras Welleri, Carbon, Nordamerika 02 I 528
- Goniometer
— für Brechungsindizes erkaltender Flüssigkeiten CBI 1907 350
— von BABINET in Verbindung mit Gefäß-Totalreflektometer u. Achsenwinkelapparat 09 I 156
— zur Messung an verworren blättrigen Kristallaggregaten CBI 1908 313
— Mikroskop, von SOUZA-BRANDÃO 05 II 2
— Universal-, Vermeidg. der Exzentrizitätsfehler bei billigen 07 II 350
— zweikreisiges, Positionswinkel φ u. ϱ für veränderte Aufstellung 07 II 163
— — Berechnung des triklinen Systems (Anorthit) 07 I 2
- Goniometerlampe, verbesserte 09 II 160
- Goniomya Gallischi und Vogti, Kreide, Kieslingswalde 05 I 301
- Gonionotites Diblasii, discus, Distefanii, dubius, Haugi, italicus, Mojsisovici, Maurolicoi, Recuperoi, Tornquisti und Vincentii, ob. Trias, Sizilien 05 I 346
- Goniophora alata, Devon, Ostthüringen BB XXIV 294
- Goniosthropia Pritchardi, obersilur. Lilydale-Kalk, Victoria, Austr. 1907 I 155
- Gonodon Schmidl, Lettenkohle und Keuper, Schwaben BB XXV 105
- Gonostoma subphacodes, Tertiär, Schwäb. Alb CBI 1908 592
- Goobic-Sande, nördliches Alaska 06 I 93
- Gorceixit, Brechungskoeffizienten 08 II 143
- Gorgonopsidae, Systematik 07 I 479
- Gosau, Kreide 09 I 427
- Gosauschichten
— Hippuritenhorizonte der nordöstl. Alpen CBI 1905 77 CBI 1907 417
— Tektonik 07 I 271
- Gotthardgebiet, Seen 08 II 51
- Grahamland
— Geologie 1909 II 100 CBI 1906 176
— Gesteine 08 I 77
- Grammatit, siehe Tremolit.
- Grammoceras radians u. toarcense, Jura, südwestl. Balkanhalbinsel BB XXI 268
- Grammysia oviformis, Devon, Bolivia BB XXV 528
- Grampus, Boldérien, Antwerpen 07 I 133
- Gran, Ungarn, Geologie. 07 I 276
- Granat
— Kristallflächen 06 I 2
— künstliche Epidotisierung 07 II 369
— mit Lichtschein 07 I 73
— (Mursinskit) 08 II 141
— Barkhamsted, Conn., graphithaltig, im Glimmerschiefer 05 II 393
— Biella, Piemont, Drusen im Syenit 06 II 36
— Campolongo 05 I 202
— Canale Monterano (Rom), im Tuff 06 I 170
— Ceylon 1906 I 179. 185. 186
— u. Indien, Analyse des Almandin CBI 1906 776
— Concepcion del Oro, Zacatecas, Mexiko, in der Kontaktzone am Granodiorit BB XXVIII 461
— — — mit optischen Anomalien z. T. BB XXVIII 504. 533. 551

Granat			Granatfels		
— Cornwall, kontaktmetamorphisch im Kalk	1909 II	206	— Magnetberg, südl. Ural	1906 I	382
— Daschkasan, Kaukasus	07 II	380	— Schwarzwald	07 II	68
— Easton, New Jersey, Analyse	06 I	354	Granatführende Eruptivgesteine, Borrowdale Series	05 II	227
— Etmannsdorf (Niederösterreich), im Granulit, chemisch	08 I	25	Granatführender Glimmer-Sölvbergit, Tasmanien, Regatta Point	08 I	391
— Iwangerod, Gouvern. Ljublin, Ytter-, chem.	05 I	380	Granatglimmerschiefer, Lauffenberg b. Radenthein, Tirol	CBI 1909	275
— Jamano, Analyse	07 I	218	Granatgruppe, Analysen	CBI 1906	774
— Kaltenstein b. Friedeberg (Oesterr. Schlesien), Kontakt	07 II	33	Granat-Pyroxen-Knollen		
— Kamaishi, Kalkeisen-, Analyse	09 I	33	— Südafrika, im blue ground	08 II	154
— Kristiania, Kontaktbildung	CBI 1909	405, 409	— Roberts Victor Mine, mit Diamanten	08 II	154
— Marienberg b. Aussig, Kontaktmineral	08 I	374	Granatsäure, durch Zersetzung von Grossular, Zoisit, Epidot, Prehnit	07 I	27
— Nordamerika, Edelstein	1906 I	356	Granatsalbänder an Porphyritgängen, Monzoni u. Predazzo	06 I	59
— Oravicza, rot, Einwirkung von Radiumbromid	CBI 1909	71	Granat-Tinguaitporphyr, Tasmanien, Mt. Mary	08 I	392
— Ottawa bei Pisek, im Goldsand	05 I	365	Grandidierit		
— Pihuamo-Grube, Jalisco, Mexiko	06 I	27	— Beschreibung u. Uebergang in Kryptotil	06 II	171
— Schlaggenwald	05 I	199	— Madagaskar	05 I	33
— pseudomorph nach Vesuvian	07 II	32	Granit		
— Silberbach, Münchener Gneisgebiet, im Eklogit	09 I	378	— Diffusion von Metallen in krist. Schiefer bei der Eruption	05 I	419
— Tabor-Gegend, Böhm.	09 II	366	— Unterschied von Gneis durch Biotit	CBI 1907	613
— Tolfa, z. T. Perimorphosen, im Kalkspat u. Pseudom. v. Wollastonit nach Gr.	06 I	376	— Wirkung auf photographische Platte	CBI 1905	58
— siehe auch Uwarowit, Grossular, Pyrop etc.			— Algier (Beni Toufout, El-Milia u. Collo)	05 I	246
Granat-Diopsid-Hornfels, Erzberg b. Hüttenberg, Kärnten	05 II	83	— Allertshofen a. Modau, Odenwald, durch Druckwirkungen in sericit. Quarzschiefer verwandelt	CBI 1906	742
Granatfels			— Alpen	08 I	69
— Concepcion del Oro, Zacatecas, Mexiko, umgewandelt aus Granodiorit (Granatsaum)	BB XXVIII	469	— Alter	08 II	394
— — — — — Kontakt am Granodiorit	BB XXVIII	500	— apuanische	08 II	214
— Landenau, Odenwald	CBI 1907	66	— Tessiner 1905 I	06 II	208
			— — — (Gneis)	1908 II	197, 200
			— West-, oligocän	07 II	406
			— Ampasindava (Madagaskar)	05 I	435
			— Antananarivo, Madagaskar, Hohlräume	07 I	393
			— Antillen, kleine	06 II	376

Granit

— Assuan am Nil	1907	I	424
— Baden-Baden, Kontakt- hof	CBI 1905		342
— Bellongue u. Ger-Tal (Pyrenäen)	05	I	428
— Böhmen, Kontakt mit Kalk	06	II	360
— Reichenau und Ty- nist	08	II	63
— Bormio—Tonale, Kar- tenblatt	08	II	66
— Brasilien, Madeirafuß in Matto Grosso, mit Orthit	08	I	385
— Brixen	09	I	385
— Brocken	07	I	383
— Brockenmassiv, devon. Eruptivgesteine und Tuffe im Kontakthof bei Harzburg	06	I	209
— — Resorptionserschei- nungen an Einschlüssen von Tonschieferhorn- fels	09	I	55
— Brünner Eruptivmasse	09	II	383
— Cheviot Hills, Kon- takt	05	I	430
— Cornwall, Zinnerz- lagerstätten	BB XXVIII		7
— Deutsch-Adamaua	09	II	384
— Ecuador, Ostkordillere	06	I	398
— Elba (San Piero in Campo), Mineralien d. turmalinführ. Gänge	05	II	34
— — Posto dei Cavoli bei S. Piero in Campo, Kontakt mit Kalk	06	I	373
— Enderby-Land, ge- dredsch	06	II	370
— England, westl., Kao- linbildung durch Pneu- matolyse	09	II	191
— Erlenbach (Oden- wald), Kontakt mit Schiefern	CBI 1906		763
— Foggi, Ind.-Austr. Ar- chipel	BB XXII		403
— Georgetown, Colorado	08	I	238
— Gieshübl, Kaolinbildg. durch einen kalten Säuerling	CBI 1909		467
— Graham-Insel, Antark- tik, Alkali-	09	I	225
— Grönland, westl. Nord- — Guernsey	07	I	249
	09	II	229

Granit

— Johannesburg, Trans- vaal	1907	I	394
— Kamerun	09	II	74
— Kiautschou (Cap Ya- tau), Kontaktmeta- morphose	06	II	366
— — Tsingtau	06	II	364
— Köseim (Fichtelgebir- ge) und Einschlüsse	08	II	191
— Laaser Gruppe, Tirol	09	I	384
— La Helle, pyritreich	07	II	69
— Lake Superior, Nord- küste, Intrusion im Huron	08	II	374
— Lappland, Eisenerz- lagerstätten	BB XXIV		548
— Lausitz, bas. Gesteins- gänge	08	I	56
— Lofoten, magmat. Aus- scheidung von Eisenerz	09	I	389
— Madagaskar, Aegirin- und Riebeckit-	05	I	248
— — Alkaligranit von Ampasindava	05	I	434
— Magnetberg, südl. Ural	06	I	381
— Maine	09	II	392
— Melibokus, Einschlüsse CBI 1906 737	CBI 1907		125
— Molukken	05	I	109
— Mt. Sorrel, Einschlüsse	05	II	387
— Nordamerika, ent- standen durch Assi- milation sauren Neben- gesteins in Gabbro	07	II	225
— Nordkarolina, Abarten	06	II	219
— Ober-Mölltal, Kärnten	08	II	358
— Okanagen-Batholith, Cascade Mountain, Cal.	09	I	69
— Oklahoma, Aegirin u. Riebeckit führend	09	II	385
— Predazzo, chem. Zu- sammensetzung	06	I	64
— Presanellagruppe, ndl. Abhang	08	II	365
— Pyrenäen, Alter der Kreide	05	II	383
— — Entstehung	06	II	214
— — (Bellongue u. Ger- Tal)	05	I	428
— — (Reynès u. Latour), tertiär	05	I	429
— Quebec	09	I	68
— Rhode Island, u. Kon- takt	09	II	392

Granit					
— Riesengebirge, Ganggesteine	1906	II	57	Graniteinschluß, Katzenbuckel, im Shonkinit	1908 II 358
— — Kugel-				Granitgänge, Schottland, Zusammensetzung des Zentrums, des Randes u. der Kontaktbildungen	05 I 431
— — Spaltungsvorgänge	CBI 1905 236	CBI 1908	137	Granitgneis, Brit.-Zentralafrika	07 I 236
— Rothau, Böhm. Erzgebirge	BB	XXIII	479	Granitische Injektion in Schiefer, Odenwald	06 II 58
— Sachsen, Granulitgebirge				Granitische Magmen, Spaltungsvorgänge, Riesengebirge	07 II 212
— S. Fedelino am Comer See, Mineralien	07	II	34	Granitit, Brixener Masse	05 II 379
— St. Gotthard	08	I	65	Granitlager (Konglomerat) Apennin von Parma	08 II 215
— Schlesien, bas. Schlieren	06	II	198	Granitmassiv, Sachsen, vogtl.-westerzgebirgisches, Quarzinjektionen	CBI 1907 716
— Schmalkalden	08	I	90	Granito-dioritische Gesteine, Argentinien	BB XXII 573
— Schmiedeberg (Riesengebirge), kalkspatführend	CBI 1907 203	CBI 1909	767	Granitpegmatitgänge, Südnorwegen, Niobate, Tantalate, Titanate u. Titanoniobate	08 I 336
— Schwäb. Alb, im Basalttuff	07	I	387	Granitporphyry	
— Schwarzwald, Altensteig etc.	09	II	416	— Aland, Diluvialgeschiebe, Westfalen	CBI 1907 150
— — Freudenstadt etc.	09	II	413	— Maine, Somerset County	08 II 374
— — südlicher, Resorptionerscheinungen	CBI 1907	76		— Odenwald	CBI 1906 739
— — Wiesental, Verhältnis zu Gneis	09	I	55	— Rödö, Schweden, Diluvialgeschiebe, Westfalen	CBI 1907 148
— Sierra Nevada, Kalifornien	09	I	66	— Roßdorf, Odenwald, Gang	CBI 1906 739
— — Amerika, Domform	06	II	214	— Sustenhörner, Aarmassiv	06 II 62
— Skye	06	II	67	Granitquarz, Temperatur bei der Entstehung	05 I 420
— Spitzbergen	08	II	369	Granoblastische Struktur der krist. Schiefer	05 I 72
— — Kugel-	06	II	363	Granocardium budaense, Buda limestone, Kreide, Nordamerika	06 I 308
— Sudbury, und Erze, Canada	1908	I	81. 82	Granodiorit	
— Sustenhörner, Aarmassiv	06	II	62	— Concepcion del Oro, Zacatecas, Mexiko	BB XXVIII 421. 431
— Tasmanien	07	II	80	— Connecticut, Cortlandt Series	08 I 73
— Tian Schan, Musarttal	09	I	224	Granodioritaplit, Concepcion del Oro, Zacatecas, Mexiko	BB XXVIII 448
— — u. Ala-tau	05	II	68	Granophyr, Buttermere-Ennerdale-Masse, England	08 I 224
— Viktorialand, Antarktikum	09	II	75		
— Virginia	09	I	66		
— Wausau, Wisconsin, Anal. verschied. Arten	06	II	220		
— Weilertal, Vogesen	05	II	51		
— Winden (Niederösterreich), Amphibol-	08	I	63		
— Zinder, Afrika, Aegirin-, Riebeckit-	07	II	413		
— siehe auch Protogyn.					
— u. Gneis, Schlesien. Entstehung	06	II	198		
Granit-Syenit-Gesteine, nördl. Wisconsin	09	I	227		

- Granophyro-Liparose-
Alaskose, Llano, Texas 1906 II 216
- Granulatenkreide, westl.
Münsterland 08 I 427
- Granulation d. Gesteine,
VAN HISE CBI 1906 609
- Granulit
— Ceylon 06 I 181
— deutsches Grundgebirge 05 I 237
— Grönland, westl. Nord- 07 I 247
— Pöchlarn, mit Graphit 08 I 62
— St. Poelten, Kartenblatt 08 II 60
— Schwarzwald, Freuden-
stadt etc. 09 II 414
- Granulitgebirge
— Sachsen. Genesis
1908 I 56 CBI 1907 513
— — kontaktmetamor-
phes Paläozoicum der
SO.-Flanke CBI 1905 257
— — Phyllitformation
der Südostflügels . . CBI 1905 109
- Graphimys, Tertiär, Pa-
tagonien 07 II 326
- Graphische Darstellung
der Zusammensetzung
der Eruptivgesteine . CBI 1905 249
- Graphische Methoden der
Petrographie CBI 1907 134
- Graphit
— Beziehung zu Diamant
etc. 06 II 320
— Bildung 05 I 261
— Elektrizitätsleitung
1906 II 39 07 II 5
— Geologie 07 II 240
— Natur 08 II 368
— spez. Gewicht des rei-
nen 09 I 333
— im Meteoreisen . . . 05 I 123
— Barkhamshire, Conn.,
im Granat des Glim-
merschiefers 05 II 393
— Böhmerwald, Ostrand 05 II 177
— Campolongo 05 I 203
— Canada 05 I 251
— Cañon Diablo, im Me-
teoreisen . 1906 I 187 08 II 9
— Carolina, South Moun-
tains, chemisch 09 II 369
— Ceylon 1906 I 178. 183
— — elektr. Verhalten. CBI 1905 468
— Concepcion del Oro,
Zacatecas, Mexiko,
Kontaktbildung am
Granodiorit BB XXVIII 582
- Graphit
— Dunkelsteiner Wald . CBI 1909 715
— Ekaterinberg, Ver-
wachsung mit Cyanit CBI 1908 523
— Grönland CBI 1908 341
— Indien, Chatisgarh
District der Zentral-
provinzen 1907 I 82
— Kataura, Japan 07 I 191
— Lessachtal im Lungau
(Salzburg) CBI 1908 282
— Lexen-Braune, West-
mähren, im Glimmer-
schiefer 05 II 235
— Markirch 09 I 26
— Piemontes, Alpen . . . 06 I 329
— Pöchlarn, im Granulit 08 I 62
— Regens b. Iglau, Lager-
stätte 06 II 173
— Rhein, Einschluß im
Basalt CBI 1908 97
— Schwarzbach, Böhmen,
Entstehung 07 I 81
— Schweine in West-
mähren 05 II 235
— Svappavara, Lapp-
land, unorganisch . . CBI 1907 433
— siehe Schungit.
- Graphitit = Graphit . . . 08 II 368
Graphitoid, Natur 08 II 368
Graphitquarzit, Ecuador,
Ostkordillere 06 I 396
- Graphitschiefer
— Bozen, Porphyrgebiet BB XXVII 80
— Brit.-Zentralafrika . . 07 I 236
— Odenwald CBI 1907 116
— Tessin, Alp Crozlina. BB XXVI 507
- Graptolithen, Stellung im
zool. System 05 II 79
- Graptolithenschiefer, Si-
hur, Ostthüringen . . . BB XXIV 248
- Graubünden, Marmor . . . 07 II 69
Graul, Erzlagerstätten . 06 I 78
- Grauspießglanz, siehe An-
timonglanz.
- Grauwacke, rhein. Schie-
fergebirge 09 II 216
- Gravigrada, Kreide, Pa-
tagonien 05 I 169
— Santa Cruz beds, Pa-
tagonien 1906 I 453. 458
- Gravitationskonstante
— Sizilien 07 I 43
— Aci Castello, Sizilien. 05 I 50
- Gravitationslehre — ein
Irrtum CBI 1905 439

- Grazer Bucht, Geologie. 1906 II 240
- Green Mountain Region, N. Y., Geologie 05 II 413
- Greenockit
- künstlich. Sublimation 09 II 183
- Dschebel Ressas, Tunesien 07 I 42
- Otavi, SW.-Afrika CBI 1906 389
- Gregoriura Spryi, Silur, Victoria (Austr.) 08 I 447
- Greisen, Cornwall, Zinnerzlagertstätten
BB XXVIII 12. 18. 23 ff. 38
- Grenoble
- Geologie 1905 I 277. 278
- Typen der paläontologischen Sammlung 05 I 148
- Grenzdolomit, Schwaben, Gastropoden BB XXV 107
- Grenzkurven der Totalreflexion, Polarisation 05 I 184
- Gresslyosaurus Plieningeri u. robustus, ob. Keuper 09 I 287
- Griechenland
- Daonellen u. Halobien 06 I 27
- Dogger 07 II 446
- Geologie, Marmor und andere nutzbare Gesteine 1905 II 267 08 II 217
- Kreide und Eocän CBI 1906 541
- Lias von Leukas und Akarnanien CBI 1905 259
- mesozoische Formationen BB XXI 213
- Trias von Hydra und Argolis BB XXV 443
- Griesbachites pseudomedleyanus, tibetan. Klippen des Zentral-Himalaya 08 II 414
- Stracheyi, Jura, Himalaya 05 II 320
- Griffithides seminifer, Culm, Königsberg bei Gießen BB XXVIII 652
- Grödener Sandstein, Bozener Porphyrgbiet BB XXVII 145
- Grönland
- Cyas im Cenoman 08 I 145
- Grundproben des Meeres gegen Island (Ingolfexpedition) 05 I 421
- Mineralien CBI 1908 338. 375. 403
- im Basalt des östl. 06 II 182
- Petrographie des westlichen Nord- 1907 I 244. 249
- Gromidae, System der lebenden u. fossilen 1905 II 328
- Groningen
- Basaltgeschiebe im Diluvium CBI 1906 118
- mineralog.-geolog. Universitätsinstitut CBI 1906 120
- Großbritannien, Durchschnittszusammensetzung der Eruptivgesteine 06 I 46
- pleistocäne Säugetiere 06 II 442
- Grossouvréit (Opalmehl), Entstehung 05 I 445
- Großpriesen, Böhm. Mittelgebirge, geol. Aufnahme 05 I 272
- Grossular
- Bisbee Quadrangle, Arizona, Gangmineral 06 I 175
- Xalostoc, Mexiko, Anal. CBI 1906 776
- Grottes de Mentone, Alter Grubenwasser, Lake Superior, Kupfer- und Eisengruben 08 II 422 09 II 78
- Grünschiefer
- Böhmen (Reichenau und Tynist) 08 II 64
- Ecuador, Ostkordillere 06 I 401
- Großarl- und Gasteintal 09 II 222
- Kalifornien, Slatington, Eldorado Co., im Dachschiefer (Gabbro) 06 II 215
- Simplongebiet, im Jura und Trias 09 I 59
- Susa-Tal, Rocca Bianca, aus Gabbro entstanden 06 II 105
- Westalpen, Entstehg. 07 I 228
- zwischen Visp u. Brig, in den Bündner Schiefern 05 II 221
- Grünsteinschiefer, San Juan Mountains, Colorado, aus Gabbro und Diabas 06 II 219
- Grundeis, Ladogasee, Bildung 08 II 168
- Grundgebirge
- keine umgewandelten Sedimente 07 I 391
- Deutschland 05 I 235
- Finnland 07 I 235
- Rothau, Böhm. Erzgebirge BB XXIII 478
- St. Poelten bei Melk 08 II 59

Grundgesetz der Kristalle	CBI 1905	225	Grypothorium-Höhle, Ul-		
— — — Ableitung durch			tima Esperanza, Pata-		
Viola	CBI 1905	553	gonien, Deutung der		
Grundmasse des Dossen-			Funde	1906	I 130
heimer Quarzporphyrs	CBI 1908	9	Guaranitische Sandsteine,		
Grundmoränen			Kreide, Patagonien .	BB XXI	133
— Entstehung	1906	II 437	Guaranitische Stufe, Pa-		
— Lauenburg, obere . . .	05	I 472	tagonien, Fossilien .	07	II 142
Grundmoräneulandschaft			Guatemala, Erdbeben		
— Neuvorpommern und			19. April 1902, Wellen	07	II 47
Rügen, Uckermark u.			Gutteria cretacea, Krei-		
Mecklenburg	08	I 96	de, New York	08	I 456
— Pommern und Rügen	07	I 117	Guembelia Douvillei und		
Grundmoränenseen, Ost-			sub-Douvillei, Gentilei		
preußen	05	I 471	u. sub-Gentilei, lucana,		
Grundproben			Oosteri, Paronai und		
— seltenere Bestandteile	09	I 204	sub-Paronai u. parva,		
— Antarktik	09	I 203	Tertiär, Apennin . . .	05	II 327
— Kanal	09	II 210	— Nicolosi	05	II 156
— Madagaskar etc. . . .	09	I 201	— operculiniformis var.		
— nordatlant. Ozean, der			granulata, ligur.-pie-		
dän. Ingolfexpedition	05	I 421	mont. Apennin	08	II 287
Grundwasser			— sub-Montis-Fraetii u.		
— Mecklenburg, Schwan-			sub-Oosterii	05	II 159
kungen . 1906 II 195	07	II 51	Gümbelit	CBI 1909	332
— Oberschlesien	06	II 76	— Nagolnij Krjasch, Do-		
Grundwasserforschungen,			netz-Becken	07	II 197
Nordamerika	08	I 371	Günching (Oberpfalz),		
Grundwasserstrom, unt.			Doggerprofile	05	I 80
Ohretal	09	II 373	Guernsev, Gesteine des		
Grundwasserverhältnisse			nördlichen	09	II 229
— Bregenz am Boden-			Guilemofloweria, Kreide,		
see	08	I 370	Patagonien	05	I 168
— Breslau	09	II 371	Guilemoscottia, Kreide,		
— südlich von Dessau .	07	I 262	Patagonien	05	I 167
Gryphaea cereviciana u.			Guinea, Franz.-, bas. Erup-		
semicoronata, Hyper-			tivgesteine	07	II 414
senon, Peterwardeiner			Gulf Coastal Plain, Oel-		
Gebirge	06	II 268	felder	06	II 384
— concors etc., Pyro-			Gultscha-Tal, Ferghana-		
therium-Schichten, Ar-			Formation	06	I 97
gentinien	05	I 358	Gummierz, Llano County,		
— Gregorvi, Tertiär, So-			Texas	07	I 42
maliland	07	II 303	Gunung Ringgit (Java),		
— pyrotheriorum-Schich-			Ausbruch 1593	05	I 224
ten, Kreide, Patago-			Guren	CBI 1909	325
nien	BB XXI	135	Gurolith, siehe Gyrolith.		
— Romanowskii, Kreide,			Guttulina, Globigerinen-		
Irkeschtam, Fergana	05	II 284	mergel, Bahna, rumän.		
vesicularis, Kreide,			Karpathen	09	II 152
Bregener Wald	BB XXVII	25	Gyminda primordialis,		
— aff. vesiculosa, untere			Kreide, New York . . .	08	I 456
Kreide, Patagonien . .	BB XXV	609	Gymnit	CBI 1909	331
Grypoceras suessiforme,			— Kuttenberg (Böhm.),		
tibetan. Klippen des			chemisch	08	I 38
Zentral-Himalaya . . .	08	II 414			

- Gymnit, Predazzo, Darstellung d. Kieselsäure u. Konstitution . . . 1907 I 350
- Gymnites Agamemnonis, Trinodosus-Kalke, Epidaurus (Argolis) . . . Festband 6
- anomalus, Dieneri, neoslavonicus u. Stefanii, Muschelkalk, Montenegro 05 II 140
- Brunneri var. baccinica u. Ecki, Wengener Kalk, Argolis BB XXV 459
- depauperatus, Mandina und religiosus, Muschelkalk, Himalaya 08 II 245
- Gymnocrinus, Körperform Festband 288
- Gymnospermen, Entwicklung der Kenntnisse 09 I 145
- Gymnotropites americanus, Trias, Amerika 06 II 300
- Gypsina 08 I 308
- Gyrignophus, Tertiär, Patagonien 07 II 326
- Gyroceras ? Halli, oberes Oberdevon, Enkeberg BB XXVI 626
- Gyroides Kochi, Hyperesenon, Peterwardeiner Gebirge 06 II 267
- siskiyouensis, Kreide, Kalifornien 06 I 288
- Gyrodus circularis, lith. Kalk, Nusplingen 09 I 453
- Gyroedrie, Sylvin CBI 1906 259
- Gyrolith CBI 1907 411
- (Glimmerzeolith) zum Zeophyllit CBI 1906 80
- Unterscheidung von den andern Glimmerzeolithen 08 II 37
- Hebriden, Fundorte 06 II 343
- Mogy-guassù, Sao Paulo, Brasilien, im Diabas CBI 1906 330
- Gyrolophodon imperfectus, Morenoi u. tuberculatus, Kreide, Lago Musters, Patagonien 05 I 497
- Gyromys spectabilis, Nordamerika 09 I 452
- Gyroporellen in d. Trias des Rubly-Massivs, mittlere Voralpen 08 II 400
- Gyrorbis Mariae, Phocän, Cueva Rubbia, Spanien 07 II 16
- Gytje = Teichschlamm 08 II 185
- H.**
- Haardtgebirge (Nordvogesen), Gliederung des Buntsandsteins CBI 1905 380
- Haarkies, siehe Millerit.
- Hadrianus tumidus, Nordamerika 1909 I 452
- Hadrocheilus britannicus, convexus, costatus, depressus, exsecatus, Favrei, gibber, gibberiformis, gibberoides, hamatus, hercynicus, Kiliani, latus, longohasta, oblongus, Oosteri, proceriformis, procerus, quinquecarinatus, robustus, rugosus, Schlosseri, Theodosiae und valanginiensis, Lias—Gault 08 I 304
- Hadropithecus stenognathus, Madagaskar 06 II 448
- Hällefinta, Småland, im Diluvium Westfalens CBI 1907 173
- Hämatit, siehe Eisenglanz.
- Härtebestimmung 07 I 190
- neue Methode 09 I 155
- Hagiastrium venetum, Kreide, Euganeen 06 I 474
- Haidesand, Sylt, quartär BB XXI 204
- Haifische
- geologische Verbreitung in Europa u. Amerika 05 II 477
- mit quergestreifter Muskulatur, Cleveland Shales 05 II 478
- Tertiär, Unteritalien 05 II 479
- siehe auch Elasmobranchier.
- Haifischzähne
- Felsőesztergály, Kom. Nógrád, untermediterrane 06 I 125
- Stiller Ozean 05 II 477
- Tarnóc, Kom. Nógrád, Tertiär 05 II 479
- Hainich, hydrolog. Verhältnisse des Nordostabhangs 05 II 448
- Hainosaurus lonzeensis, Kreide, Loncée (Belgien) 05 II 309
- Halbschattenanalysator 07 I 188

- Halbschattenapparat,
Quarz-, neuer CBI 1905 267
- Halec, Chalk, England . 1905 II 137
- Halicapsa crebripora, ob-
tusispina, parvula und
tenuis, Kreide, Eu-
ganeen 06 I 474
- gutta, maxima und
Vinassai, Scaglia, Eu-
ganeen 06 I 475
- Halicore, Hüftbeinrud-
imente 09 II 114
- tabernaculi, Milch-
molaren 06 II 60
- Halictus florissantellus u.
scuderiellus, Tertiär,
Florissant, Col. 07 I 321
- Halilucites planilaterato,
Muschelkalk, Himalaya . 08 II 243
- Haliomma serratipora,
Miocän, Italien 09 II 490
- Haliotis lomaënsis, Krei-
de, Kalifornien 06 I 288
- Halitherium, Anatomie . CBI 1905 21
- Hüftbeinfragmente . . 09 II 114
- bellunense, Miocän,
Carvazana b. Belluno . 06 II 448
- Schinzi, Milchmolaren . 06 II 60
- Oesterreich, ob. Eozän
und unteres Miocän . . 05 I 504
- Halle a. S., Felsitporphyr
mit kleinen Einschlüs-
sen BB XXVIII 50
- Hallerit, Mesvres bei Autun . 09 I 190
- Hallopus - beds, Trias,
Cañon City, Colorado . 08 I 134
- Halloysit
— Beziehung zu Gemenge
von Tonerde- u. Kiesel-
säuregel CBI 1908 622. 662
- Pala, S. Diego C., Cal. . 05 I 204
- Hallstätter Kalk
— Lückenhaftigkeit . . BB XXV 416
- Epidaurus (Argolis),
Cephalopoden Festband I
- Hallstätter Kalk-Decke . . 06 II 259
- Halmariphus, Santaer-
zeno, Patagonien 07 I 309
- Halobia, Trias, Bosnien
(H. aff. sicula) 05 I 106
- Trias, Rotti u. Timor . CBI 1909 356
- Halobia austriaca, super-
ba, cf. Mojsisovicsi, cf.
celtica, lineata und
Hoernesii, Trias, Grie-
chenland 06 I 34 ff.
- Halobia molukkana, ta-
lauana u. Verbeeki,
Trias, Niederl.-Indien . BB XXIV 206
- Halobia-slates, ob. Trias,
Kalifornien 1906 II 99
- Halobien und Daonellen,
Griechenland u. Asien . 06 I 27
- Halogenide der Alkali-
metalle, Isomorphis-
mus 06 I 8
- Halogenverbindungen, or-
ganische, Kristallfor-
men 06 I 8
- Haloide
— Alkali-, isomorphe Fort-
wachsungen CBI 1907 92
- von Pb, Ag, Tl u. Cu,
Mischkristalle aus
Schmelzfluß BB XXII 1
- Halorella amphitoma, pli-
catifrons u. rectifrons,
Trias, Niederländ.-In-
dien BB XXIV 187
- Halorites americanus,
Pseudomonotis beds,
Amerika 06 II 299
- (Jovites) dacus, ? Tropi-
pites-Schichten, Epi-
dauros (Argolis) Festband 31
- Halter americana, Floris-
sant, Col. 08 II 110
- Halticosaurus longotar-
sus, Stubensandstein . . 09 I 288
- Halysites australis, Neu-
Süd-Wales 07 I 156
- Hamburg, älteste Verei-
sigung, Beziehung zum
Alter der Berliner Pa-
ludenschichten CBI 1906 181
- Hamites armatus, ellipti-
cus, phoenixensis und
solanoënsis, Kreide,
Kalifornien 06 I 288
- Raynaudi, Kreide,
Diego Suarez 07 II 334
- Hamilit
— Binmental (=Bowma-
nit) CBI 1907 601
- Diamantina, Brasilien,
Kristalle 09 I 344
- Serra de Congonhas bei
Diamantina, Brasilien,
aus Diamantsanden . . 06 I 27
- Hammatoceras angu-
stoumbilicatum, Ha-
lavatsi, Kochi u. Mar-

- gocsii, Unterdogger, Csernye, nordöstl. Bakony 1905 II 426
- Hammatoceras dispansum, Dogger, Csernye (Bakony) und Salzgitter . CBI 1906 113
- lotharingicum, Eisen- erzformation, Loth- ringen u. Luxemburg . 06 I 305
- Jura, südwestl. Bal- kanhalbinsel BB XXI 287
- Hampshire, Alttertiär . . 07 II 425
- Hannover
- Geologie des südlichen 1907 II 93 . 08 II 78 ff.
- Kiesmoränenlandschaft im östlichen 05 II 442
- Quartär des südlichen 1905 I 144. 310
- Transgressionen im südlichen 08 II 78
- Hannoverscher Typus der Salzlager im deutschen Zechstein 09 II 308
- Handtkenia = Paronaea . 05 II 155
- adriatica, Airaghii u. sub-Airaghii, Bassanii, Bonarellii, Borellonii, crispa var. granulata, eocenica, Fornasini, sub-Fornasini, Guet- tardi var. prima, La Harpei, latispira var. antiqua, Marianii u. sub-Marianii, Rzehaki, Szaboi, Tchihatcheffi var. praecursor, Tel- linii, sub-Tellinii und sub-Tellinii var. meri- dionalis, Tertiär, Apen- nin 05 II 327
- louristana var. de- pauperata u. laevis, proboscidea u. striata, Senon, Südpersien . 06 I 444
- Munieri, Cenoman, Südfrankreich . . . 07 II 131
- subovoidea, Cenoman, Südfrankreich . . . 07 II 132
- Hapalops longiceps, platy- cephalus, ponderosus, vulpiceps etc., Santa Cruz beds, Patagonien 06 I 461
- Haploceras cornutum . . 07 II 470
- costatum 07 II 470
- Felixi 07 II 470
- Haploceras mexicanum . 1907 II 470
- transatlanticum . . . 07 II 470
- zacatecanum 07 II 470
- cf. tenuifalcatum, Kim- meridge, argent. Cor- dillere BB XXIII 201
- Haplodontidae u. Haplo- dontia, Miocän, Süd- dakota 05 II 129
- Haplophragmium meri- dionale, Kreide, Ost- pondoland, Südafrika 05 II 152
- Haploporella Kinkelini, Rupelton, Mainzer Becken 09 II 325
- HARADA'S Trennungsap- parat, Verbesserung . CBI 1905 152
- Hard Blue-Gestein, Kim- berley-Grube 09 II 238
- Harmotom, Andreasberg, Kongsberg u. Ober- stein, Glühverlust . . 06 I 23
- Harpagodes Oceani, Port- land, Argent. Kordil- lere BB XXIII 204
- Harpes radians, Devon, Ostthüringen BB XXIV 308
- Harpoceras aalense, dis- coides, Eseri und sub- planatum, Jura, süd- westliche Balkanhal- binsel BB XXI 271
- exiguum, falcicosta- tum, Marianii, pseudo- falcatum, pseudofiel- dingi u. Ugolinii, Lias, Monte di Cetona . . 06 II 143
- Grandjeani und Hins- bergi, Eisenerzforma- tion, Lothringen und Luxemburg 06 I 305
- Ikianum, Jura, Ri- kuzen, Japan 05 I 465
- landui, Jura, Batu Berketak BB XXV 328
- (Grammoceras) rad- ians und toarcense, Jura, südwestl. Bal- kanhalbinsel BB XXI 268
- Harrisit, Osaruzawa-Gr- ube, Japan 07 I 218
- Hartling = Monadnock . CBI 1908 746
- Hartmannia Moloti, Eo- cän, Paris 07 II 303
- Hartsalzbildung, Tempe- ratur 05 I 192

- Harz
 — Alter CBI 1909 274
 — Diskordanzen im östlichen Vorland . . . CBI 1907 81
 — devon. Eruptivgesteine u. Tuffe im Kontakthof des Brockenmassivs bei Harzburg . . 1906 I 209
 — Einsturzbecken am Südrand 05 II 376
 — Entstehung der Rutscheln 05 II 398
 — Gangbilder vom oberen Glazialbildungen des Vorlandes 08 II 98
 — Keratophyr, system. Stellung CBI 1909 33
 — Perm und Tektonik am westl. Rand . . . 09 I 409
 — Quartär des nördlichen Randes, Gliederung . CBI 1909 94
 — Quartärfaunen und NEHRING's Steppenhypothese im nördl. Vorlande . . CBI 1909 87. 317. 385
 — Vergletscherung bei St. Andreasberg . . 06 I 298
 Harzlösungen zur Nachahmung mikrosk. Faltungsformen . . . CBI 1905 90
 Hatchericeras cf. pueyrydonense und Stantonienense, untere Kreide, Patagonien . . . BB XXV 631
 Hathlyacynidae, Kreide, Patagonien 05 I 169
 Hauericeras angustum, Kreide, Hokkaido . . 05 I 531
 — Buszi, Granulatenkreide, westl. Münsterland 08 I 428
 Hauerit
 — Raddusa, Einwirkung von chlorsaurem Kali — Kristalle 09 II 334
 — — Kristalle 09 II 14
 Hauerites Ashleyi, Subbullatus - Schichten, Kalifornien 06 II 303
 Hauptsalz im deutschen Zechstein 09 II 305
 Hauptstrukturarten der Kristalle
 — Beweis des zur Bestimmung dienenden Satzes 07 I 182
 — des kubischen Systems 07 I 183
 Hausmannia? californica 1907 II 504
 — Forchhammeri var. acutidens, dentata u. laciniata, Rhät, Bornholm 08 I 452
 — gracillima, Sewardi, spuria und Zeileri, untere Kreide, Quedlinburg 07 II 344
 Hausmannit, Brasilien . CBI 1909 780
 Hauterivien
 — Norddeutschland . . CBI 1908 140
 — Westschweiz, Jura-gebirge 06 II 143
 Hauynsyenitporphyr, melanitreicher, Tasmanien, Mt. Livingstone 08 I 390
 Hawaii
 — Insel, Trachyt vom Hualalai-Berg 06 II 221
 — siehe auch Sandwichsinseln.
 Haydenites Hatscheki, Muschelkalk, Himalaya 08 II 244
 Heard-Insel, Antarktik, Geologie 09 I 202
 Hebriden, tert. Eruptivgesteine 08 I 222
 Hebung
 — des Festlandes, Beweise 06 II 194
 — der Küste, Aci Reale, Sizilien 07 I 220
 — des Landes bei Aci Castello 06 II 349
 — — und der Küsten, Beweis für Gleichaltrigkeit der Schichten 08 II 339
 — durch Eis 05 I 56
 — oder Senkung des Meeresspiegels . . BB XXVIII 574
 Hebungen
 — jüngere, Anden . . . 05 I 232
 — trennen volle Seebecken vom Meer . . 06 II 194
 — Alaska, Yakutat-Bai . 08 II 342
 — oder Senkungen in Massengebirgen . . CBI 1907 489
 — und Senkungen, kontinentale 05 I 222
 — siehe auch Dislokationen.
 Hecticoeras evolutum u. sub-Matheyi, Callovien, Faucille-Kette . . . 06 I 439

Hecticoceras Haugi, Jura, Bucegi-Stock	1906	II	121	Helicoprion im Fusulinen- kalk, Japan	1907	I	330
— Michalskii, ob. Callo- vien, Checinj, Polen	08	II	90	Helicotoma Johnstoni, Untersilur, West-Tas- manien	07	I	155
Hedenbergit				Helictites Canningi, Tropi- pites-limestone, Byans	08	II	236
— Einwirkung von Ra- diumbromid	CBI	1909	71	Heliodiscus acutispina, Kreide, Euganeen	06	I	474
— zusammengeschnitten mit Anorthit u. Olivin	CBI	1906	134	Heliosphära Isseli, Scag- lia, Euganeen	06	I	475
— — mit Diallag	CBI	1906	571	Helium in Thermen			
— — mit Diopsid	09	II	163	1907 II 53	1908	I	364. 365
— Diopsid, Enstatit, Aegirin u. Spodumen, Morphotropie	09	II	171	Helix Alixi und Diarti, Eocän, Paris	07	II	303
— Japan, Obira etc., Analyse	09	I	33	— blaviana, Leubii und praeosculina, Alttertiär, Ulm	08	II	104
— — Okurajiki in Obira, Kristalle	09	II	175	— cenomanensis und H. (Xerophila?) petro- corienis, Cenoman, Süd- frankreich	07	II	131
Hedenströmia Kossmati, Meekoceras beds, Ame- rika	06	II	302	— coarctata, insignis var. Steinheimensis, invo- luta, pachystoma, pla- tychelodes, subphaco- des und sylvana, Ter- tiär, Schwäb. Alb.	CBI	1908	590
Hedera simplex, Kreide, New York	08	I	456	— constrictelabiata und Joossi, Alttertiär, Giengen bei Ulm	08	II	104
Hedralophus, Kreide, Pa- tagonien	05	I	168	— (Vallonia) saxonica, quartär, Halle a. S.	07	I	444
Hegau				Helizitische Struktur- form im Schiefer, Ster- zing	BB	XXII	522
— vulkan. Erscheinungen	07	I	375	Hellandit, Kragerö (Lind- vikskollen), im Peg- matit 1905 I 381	1908	I	193. 250
— — — Alter	CBI	1908	613	Helopanoplia distincta, Nordamerika	09	I	452
Hegetotheriidae, Kreide, Patagonien	05	I	167	Hemicacodon gracilis, na- nus u. pygmäus, ame- rikanisches Eocän 1905 I 333.	334		
Heilsberg, Ostpreußen, Kimmeridge	05	I	129	Hemiasperma Fourneli, Se- non, Peru	BB	XXIV	99
Heinrichshöhle bei Sund- wig, Säugetierknochen	06	I	129	— gallegosensis, rezent, Südamerika	07	II	154
Heinzia hispanica, ma- tura und pulchelli- formis, Kreide	07	II	150	— Lamberti, Kreide, Dauphiné	05	II	326
Heinziidae, Kreide	07	II	150	— Steinmanni, Rotoma- gien, Huallanca, Peru	BB	XXIV	95
Heizmikroskop mit elek- trischer Heizung	CBI	1909	567	— sudanensis, Eocän, Zentralafrika	07	II	265
Helgoland				— vancouverensis, Krei- de, Vancouver	07	II	289
— Ammonitiden der unt. Kreide	05	I	466				
— Verhinderung der Ab- bröckelung	05	II	375				
Helicoceras scalare und venustum, Kreide, Hokkaido	05	I	530				
— Stevensoni mit Wohn- kammer, Nebraska	05	I	355				
Helicelophodon giganteus, Kreide, Lago Musters, Patagonien	05	I	497				
Helicoprion, Deutung u. Vorkommen im Pro- ductuskalk, Salt Range	05	II	132				

Hemibranchii des brit. Museums	1905	II	135	Hercegowina			
Hemicidarid djermaensis, ? Bathonien, Algerien	06	I	156	— Karstgebirge d. westlichen	1906	II	195
— Lesserteuri, Jura, Haute-Marne	09	II	480	— Quartär	05	II	295
Hemiedrische Formen des regulären Systems	07	I	181	Hercegowina—Bosnien, Montanindustrie	06	I	73
Hemifusulina	BB XXVII		506	Hercoceratinae, Lias und Dogger	07	I	325
Hemimorphe Kristalle, spezifische optische Eigenschaften	06	I	3	Herderit			
Hemimorphit, siehe Kieselzinkerz				— Epprechtstein, Fichtelgebirge CBI 1908	294		CBI 1909 552
Heminajas, Diagnose	07	II	337	— — Zwilling			CBI 1909 121
— Geyeri u. Wöhrmanni, Pachycardientuffe, Seiser Alp	07	II	336	Heriades Bowditchi, halictinus u. laminarum, Florissant, Col.	07	I	321
Hemipedina Lorioli, Jura, Macon	07	II	156	Herionia Sicardi, Eocän, Aude und Hérault	07	II	156
Hemipleurotoma vasconum, blaue Mergel von Côte des Basques bei Biarritz	06	II	439	Herschelit, Palagonia, Begleiter	08	II	35
Hemipogonius florissantensis und Scudderi, Tertiär, Florissant, Col.	07	I	321	Hesbaye-Stufe, Diluvium, Belgien	05	I	480
Hemipristis chiconis, Kalifornien	08	II	443	Hessen			
Hemiptychina orientalis, Obercarbon, Ural und Timan	05	I	532	— Basalt, Schwälmer Land	BB XXIII		345
Hemisinus ornatus und pulchellus, ob. Kreide, Alvinz	05	I	302	— Eisen und Mangan	06	II	225
Hemitrypa oculata, Culm, Königsberg b. Gießen				— Steine und Erden im Großherzogtum	05	I	438
	BB XXVIII		654	Hessenbergit = Bertrandit	05	II	23
Hemmingstedt-Heide, Dithmarschen, Kreidehorst, Dislokationen	CBI 1906		282	Hessit, Botes, Kristalle	09	I	337
Hénisien = Tongrien supérieur	07	II	296	Heterastridien, Karakorumpaß (Kleintibet)			CBI 1907 722
Henricofilholia, Kreide, Patagonien	05	I	168	Heterillina carinata und guespellensis, Mittel-eocän	07	I	158
Henricosbornia, Henricosbornidae, Kreide, Patagonien	05	I	167	Heteroceras ceratopse, Kreide, Kalifornien	06	I	288
Hepatimerz	CBI 1909		327	— japonicum, orientale, Oshimai und Otsukai, Kreide, Hokkaidō	05	I	530
Heptranchias Andersoni, Kalifornien	08	II	443	— simplicostatum, Kreide, Black Hills, Süddakota	05	I	355
Heraklea, Kleinasien, Steinkohlen	05	I	261	Heteroclypeus	BB XXV		259
Hercegowina, geologischer Führer	05	II	264	— Sizilien			CBI 1906 640
				Heterodelphis leiodontus, Miocän, Komitat Sopron, Ungarn	06	II	449
				Heterolophodon ampliatus, Kreide, Lago Musters, Patagonien	05	I	497
				Heteromeryx dispar, Oligocän, Süddakota	07	I	300
				Heteronema, paläozoisch — capillare, carbonarium und ? contextum	05	II	486

- Heteropora Dollfusi und Pachundakii, Santonien, Abu Roasch, Aegypten 1905 II 484
- Heteropygia (Trilobiten) CBI 1907 130
- Heterosalenia Paquieri, Kreide, Ostfrankreich 05 II 326
- Heterostegina, Priabona 08 I 139
- depressa, Umfang 08 I 447
- var. cycloclypeus und spiroclypeus 08 I 448
- glabra, Eocän, Celebes 08 II 286
- Heterozwillinge 08 II 140
- Heulandit, Brechungskoeffizienten 08 II 143
- Darstellung d. Kieselsäure, und Konstitution 07 I 346
- Eigenschaften beim Erhitzen 05 I 38
- Kontraktionsfiguren bei Behandlung mit Säuren 08 I 336
- Biella, Piemont, Drusen im Syenit 06 II 41
- Chichijima-Insel 09 I 193
- Färöer 09 I 29
- Fellberg in Petersdorf bei Zöptau (Mähren) CBI 1905 612
- Grönland, Ost-, im Basalt 06 II 185
- Island, Berufjord, Glühverlust 06 I 24
- — Teigarhorn, chem. Konstitution nach TSCHERMAK 09 II 193
- — — Rolle des Wassers 06 II 337
- Montecchio Maggiore, Rolle des Wassers 06 II 342
- Sardinien (Montresta), Analyse 1909 II 26. 195
- Zöptau, Mähren 06 I 344
- Heuscheuergebirge, Kreide 1906 I 286. 288
- Hexagonocyclina Schopeni und Steinmanni, Vallone Tre Pietre 09 I 296
- Hexalonche euganea und ongariana, Kreide, Euganeen 06 I 474
- Hexaprotodon siva javanicus, Kendeng-Schichten 09 I 119
- Hexapyramis Pantanellii, Scaglia, Euganeen 06 I 475
- Hexastylus euganeus, grandiporus, macrospina, microporus und Ombonii, Scaglia, Euganeen 1906 I 475
- Gortanii, Miocän, Italien 09 II 490
- Hiantopora patagonica, Tertiär, Patagonien 05 II 141
- Hibschit
- Aubenas (Vivarais) 08 I 31
- Mädstein, Böhmisches Mittelgebirge 09 II 219
- Marienberg b. Aussig 1908 I 30. 374
- Hiddenit
- Kalifornien 09 I 32
- Nordamerika, Edelstein 06 I 356
- Hiddensö
- Landverluste an der Küste u. Standfestigkeit des Leuchtturms und Rügen, Landverluste an der Küste 06 II 196
- 08 I 97
- Hildesheim
- Geologie 08 II 79
- — Galgenberg und Vorholz 07 I 419
- Hildoceras Bastianii, dubiosum, falcipicatum, rimotum u. Targionii, Lias, Monte di Cetona bifrons, comense (mit var. Bayani, evoluta und multicostata), erbaense, Levisoni, Mercati (mit var. helenica) u. quadratum, Jura, südwestl. Balkanhalbinsel BB XXI 255
- inaequiplicatum, Mitellias, Roccheta, Apennin 09 II 140
- nodosum, Teryi, tirolense mut. panonica und Volzi, Oberlias, Csernye, nordöstl. Bakony 05 II 426
- Hilfstafeln zur Mineralogie CBI 1904 572
- Himalaya
- Erdbeben im Kangra-Tal, 5. April 1905 CBI 1905 332
- exotische Blöcke 05 II 417
- Fauna des Tropiteslimestone von Byans 08 II 235

- Himalaya
— Juraammoniten . . . 1905 II 319. 320
— Otoceras beds, stratigraph. Stellung . . . CBI 1905 36
— — — vergl. mit Ussurifauna CBI 1905 43
— Otoceras- und Meekoceras beds, stratigr. Stellung CBI 1905 1
— perm. Fossilien des zentralen 1905 II 278
— Trias 06 I 412
— zentraler, Untertrias- und Lias-Fauna der tibetan. Klippen . . . 08 II 412
Himalayites Nederburghi u. Treubi, Sulainseln 05 I 152
Himavatites Watsoni, Tropites-limestone, Byans 08 II 237
Hindiella Bourdoti, Eocän, Loire inférieure . 06 I 468
Hindu-Kusch, Geologie, Verbreitung des Blaini-Konglomerats 05 II 415
Hipparion 05 II 468
— cf. gracile, Pliocän, Cueva Rubbia, Spanien 07 II 6
Hipparion-Fauna, Perrier 06 I 143
Hipparionyx, Devon, Bolivia BB XXV 542
Hippoidea, Patagonien . 05 II 466
Hipponiciden, Paläogen, Aegypten 05 II 320
Hippoporina radificera, Tertiär, Patagonien . 05 II 141
Hippuriten, Entwicklung 06 II 453
Hippuritenhorizonte der Gosauschichten, nordöstliche Alpen
CBI 1905 77 CBI 1907 417
Hippurites inferus, var. calloneghensis, Kreide, Calloneghe 05 I 317
Hippuritiden, bilden nicht durch Knospung Kolonien 09 I 93
Hirmaneura melanderi u. vulcanica, Miocän, Florissant, Col. 08 II 111
Hirschberger Kessel, Diluvium 07 II 462
Hirschgeweihe, Pliocän, Piemont 06 II 132
HIRTORF'scher Phosphor, Kristallform CBI 1908 296
Hochedergruppe (Kuchetaier Berge), Geologie 1908 II 66
Hocheppaner Porphyry, Bozen BB XXVII 131
Hochgebiete, tektonische CBI 1909 277
Hochschulen, Unterricht in Mineralogie u. Geologie 06 II 147
Höfe, pleochroitische, Entstehung 1908 II 144 CBI 1907 397
CBI 1909 65. 113. 142
Höhenberg (Oberpfalz), Doggerprofil 05 I 64
Höhlen
— große Katzen 07 II 317
— mit Menschenspuren 1907 I 449 ff.
— Rentierzeit mit Artefakten 06 I 132
— Brasilien 07 II 134
— Brescianer Alpen . . . 05 II 123
— Castro in Ottranto, Menschen- u. Tierreste 07 I 296
— England, Brassington, Derbyshire, Knochen 07 I 453
— — Goughcavern, Cheddar, Menschen- etc. Knochen 06 I 133
— — Longcliffe Station, Derbyshire, mit quart. Tieren 07 I 449
— Frankreich, Baoussés Roussés, menschl. Skelette etc. 07 I 449
— — Dordogne, mit Artefakten 07 II 476
— — — Font-de-Gaume, Alter 05 I 55
— — La Calvitie (Dordogne), mit Menschenspuren 07 I 453
— — Lacave (Lot), Tiere und Artefakte 07 I 450
— — Noailles (Corrèze), mit Menschenspuren . 07 I 453
— Gola von Pioraco, Potenzatal 06 I 134
— Grotta Romanelli bei Castro (Terra d'Ottranto), Interglazialfauna etc. 06 I 131
— Heinrichshöhle bei Sundwig, mit Knochen 06 I 129
— Kalifornien, Bärenhöhle 07 II 317
— — Potter Creek Cave, mit Säugetierknochen 06 I 125

Höhlen					
— Kalifornien, quartäre Säugetiere	Potter Creek Cave	1907	I	298	
— Samwel-Höhle, Preptoceras Sinclairi		07	I	458	
— Keßlerloch bei Thayingen, Menschen- und Tierreste 1905 II 124		07	I	294	
— Ludomirow, Menschenreste		07	I	452	
— Mähren (Mladeč), Menschenreste		07	I	452	
— Nartuby-Tal bei Draguignan (Vaucluse), diluv. Mensch		06	I	134	
— Potenza-Tal, oberes, diluv. Säugetiere		06	I	134	
— Potter Creek Cave, Kalifornien, mit Säugetierknochen		06	I	125	
— Pyrenäen, Wandmalereien	1906 I 132	07	I	451	
— Rotes Feld (Podkalem oder Pokala), bearbeitete Knochen		06	I	132	
— S. Teodoro, Taormina etc. (Messina), diluv. Säugetiere u. Mensch		06	I	142	
— Sántis, Wildkirchli		08	I	106	
— Upliz-Tsike, westlich Gori, Transkaukasien, im mioc. Sandstein		06	I	44	
— siehe auch Knochenhöhlen und Mensch.					
Höhlenbär, England		08	I	438	
Höhlenlöwe		07	II	317	
Höhlentiger		07	II	317	
Hörnesit, Entwässerung		05	II	4	
Hörnli bei Grenzach (Basel), Profil		06	II	260	
HOFF, KARL ERNST ADOLF von, Bahnbrecher der Geologie		CBI 1905		438	
Hohenzollern					
— Erdbeben 1901—1904		06	II	187	
— erdmagnet. Elemente		07	I	375	
Hohe Tauern, Geologie		07	I	267	
Hohlräume im Granit, Antananarivo, Madagaskar		07	I	393	
Hohofenschlacke, Menyhaza, mit Manganspinell		08	II	168	
Hokkaido, Japan, Kreidecephalopoden		05	I	529	
Holaster ananchytoides, planus var. inferior u. var. quadrangula, unt. Angoumien, Osning-Bergketten, Teutoburger Wald		1906	II	103	
Holasteropsis Credneriana, Credneriana var. subconica, unt. Angoumien, Osning-Bergkette, Teutoburger Wald		06	II	103	
Holcostephanus, Astieria-Formen		09	I	77	
— Guebhardi, Unterkreide, Escragnolles		05	II	322	
— hobler hillensis, unt. Kreide, Patagonien		BB XXV		633	
— madagascariensis, Kreide, nördliches Madagaskar		07	I	428	
Holactypus, Neocom, argent. Kordillere		BB XXIII		223	
— Paulcke, Kreide, Peru (Yauli e Bol)		08	I	437	
Holland					
— Glazialbildungen		08	II	100	
— Quartär		05	II	444 ff.	
— — und Glazial		07	I	443	
Hollandites Moorei und Roxburghii, Muschelkalk, Himalaya		08	II	243	
Hologlyptus Douvilléi, ob. Jura, Tunis		07	II	156	
Holopea cf. subconica, Devon, Bolivia		BB XXV		510	
— wellingtonensis, Silurodevon, Wellington Caves, N.-S.-Wales		07	I	155	
Holopella multitorquata, Grenz dolomit, Schwaben		BB XXV		108	
Holopoceriten, Körperform				Festband 272	
Holopodidae, Körperform				Festband 276	
Holopus, Körperform				Festband 293	
Holosaurus abruptus, ob. Kreide, westl. Nordamerika		08	II	447	
Holz					
— der Keuperpflanzen, vergl. mit dem der Liaspflanzen, Bayern		09	I	467	
— fossiles, Westen der Verein. Staaten		09	I	149	
— verkieseltes und Chalcedon, Martinique		05	I	373	

- Holz
 — verkieselt, Prinz-Rudolfs-Insel 1906 I 35
 — — Steinheim 07 I 229
 — versteinertes, Copaz, nördl. Manila 06 I 359
- Holzappeler Gangzug
 — Fortsetzung zwischen Lahn und Mosel 09 I 242
 — südwestl. Fortsetzung 08 I 241
- Homalodonthorium, Patagonien, Extremitäten 1907 II 138. 140
- Homalodontotheriidae.
 Kreide, Patagonien
 1905 I 168 05 II 467
- Homalonotus Barratti, Devon, Cornwall 05 II 316
 — Kayseri, Devon, Bolivia BB XXV 502
- Homalostylops, Kreide, Patagonien 05 I 168
- Homburgwald, Geologie 05 II 259
- Homerites semiglobosus, ob. Hosselkus limestone, Trias, Amerika 06 II 299
- Homilit, Konstitution 07 I 349
- Hominidae, amerik. Eocän 05 I 331
- Homo heidelbergensis, Mauer bei Heidelberg. Unterkiefer 08 II 415
 — primigenius, Beziehg. zu H. sapiens 08 II 422
 — — Neandertaler 1905 II 300 ff.
 — — und sapiens, Krappina, Neandertal und Spy etc. 1906 II 273. 277
 siehe auch Mensch, Höhlen, Artefakten, Eolithen etc.
- Homöotropie fließend-weicher Kristalle 06 II 151
- Homolopsis transiens, jüngste Kreide, Faxe und Schonen 06 II 141
- Homomya austinensis u. vulgaris, Buda limestone, Kreide, Nordamerika 06 I 308
- Honeyea, Naples-Fauna, systemat. Stellung CBI 1905 386
 — — westl. New York 05 I 150
- Hopeit
 — Rhodesia CBI 1908 51
 — — Broken Hill mines 1909 II 31 CBI 1907 602
- Hoplisidia Kohliana, Tertiär, Florissant, Col. 1907 I 321
- Hoplus sepultus, Tertiär, Florissant 07 I 321
- Hoplites, untere Kreide, Patagonien BB XXV 612
 — Asseni u. Roozeboom, Suluinseln 05 I 152
 — bernensis, donanensis, dubiensis, obliquecostatus, Rollieri, Schardti u. syncostatus, untere Kreide, Schweizer Jura 1907 I 483. 484
 — biassalensis, desmoceroides, Inostranzewi u. Leopoldi, Kreide, Krim 06 I 315
 — douannensis, dubiensis, obliquecostatus, Rollieri u. syncostatus, unt. Kreide, Westschweiz, Jura 06 II 144
 — Köllikeri, Ober-Tithon, Argent. Kordillere BB XXIII 201
 — Leopoldinus, Neocom, Sardinien BB XXIII 468
- Hoplitoides Koeneni, Mungokalk, Kamerun 05 I 153
- Hoplochelys caelata, Nordamerika 09 I 450
 — paludosa und saliens, Nordamerika 09 I 452
- Hoploparia aspera, Kreide, Schaumburg-Lippesche Mulde 06 I 441
 — Browni, Kreide, Montana 08 I 443
 — Triboleti, unt. Kreide, Balaklava (Krim) 08 I 443
- Hoplophorus, Santa Cruz beds, Patagonien 06 I 454
- Hoplosthetus levis und praemediterraneus, Otolithen. Tertiär, Oesterreich 07 I 480
- Horizontalpendelstationen, Leipzig, Beobachtungen vom 1. Januar bis 30. Juni 1903 05 I 52
 — siehe auch Erdbebenstation.
- Horizontalschübe in den Gebirgen (Alpen) 08 II 231
- Horizostoma = Cerithium heterostoma, Kreide, Sachsen 06 I 317

- Hornblende
 — Einwirkung von Radiumbromid CBI 1909 70
 — pleochroit. Höfe CBI 1909 144
 — Zusammensetzung 1908 II 22
 — Bodenmais (Barkevikit) 05 II 193
 — Ecuador, braune, Zerfall im Eruptivgestein 05 II 76
 — Finkenberg bei Bonn, im Basalt CBI 1908 418
 — Koswinsky Kamen (Ural), im Diorit, sogen. Soretit 05 I 30
 — Kuttenberg (Böhmen) 08 I 39
 — Mayen, Mineralien der Einschlüsse 06 I 347
 — Sächs. Mittelgebirge, im Amphibolschiefer 09 II 214
 — siehe auch Amphibol, Kaersutit etc.
- Hornblendeandesit
 — Argentinien BB XXII 589
 — Gleichenberg (Steiermark) CBI 1908 721
 — Grahamsland 08 I 77
- Hornblendedioritporphyr, Argentinien BB XXII 610
- Hornblendegabbro
 — Odenwald 09 I 376
 — Sächs. Mittelgebirge 09 II 215
- Hornblendegarbenschiefer, St. Gotthard (Südseite) BB XXVII 161
- Hornblendegestein, Paragas, Finnland 07 I 68
- Hornblendegranit, Erlenbach (Odenwald), Kontakt mit Schiefer CBI 1906 763
- Hornblendeperidotit, Schriesheim, Absorptionserscheinungen 06 I 51
- Hornblendeschiefer
 — Birma, Jadeitlagerstätte 09 I 187
 — Raspenau, Böhmen, im körnigen Kalk des Kalkbergs 06 I 56
 — siehe auch Amphibolit.
- Hornblendit CBI 1905 410
- Pyrenäen (Bellongue und Ger-Tal) 05 I 428
 — Schöllschitz bei Brünn 09 II 383
- Hornfels
 — Airolo, chemisch BB XXVII 190
 — Baden-Baden 09 II 65
- Hornfels
 — Biegelsberg b. Eberstadt, Biotitschiefer 1906 II 58
 — Concepcion del Oro, Zacatecas, Mexiko, Kontakt mit Granodiorit BB XXVIII 493
 — Harzburg, im Kontakthof des Brockens, Diabas- 06 I 212
 — Kap Yatau (Kiautschou), am Granit 06 II 366
 — Luisenburg bei Wunsiedel 07 II 63
 — Lydenburg, Transvaal 07 I 236
 — Odenwald CBI 1907 116
 — Presanellagruppe, nördlicher Abhang 08 II 367
 — Rican bei Prag, Cordierit- 08 I 58
 — siehe auch Kalksilikat-hornfels.
- Hornfelsgneis, Brüner Eruptivmasse 09 I 378
- Hornfelsstruktur u. kristalloblast. Reihen CBI 1909 501
- Hornfluh, Berner Vor-alpen, Geologie 07 I 99
- Hornfluhbreccie, exot. Blöcke etc. 1908 II 381. 396
- Hornstein
 — Bessarabien 07 II 380
 — Ceylon 06 I 180
 — — im verkieselten Kalk 05 II 392
 — Cornwall, im Basalt 05 II 387
- Hornsteinknollen, Scaglia, Euganeen, Radiolarien 06 I 474
 — Hortalotarsus, Südafrika 08 I 442
- Hosselkus-Kalk, Shasta Mountains, Trias, Ichthyopterygier 1906 I 147. 150
- Hosselkus limestone, ob. Trias, Kalifornien 06 II 99
- Hostimella hostimensis, Devon, Etage H, Mittelböhmen 06 II 145
- Howesia, Browni, Cynognathus-Schichten, Kapkolonie 08 II 438
- Hrastiste-Kalk, Bosnien, Fauna 05 I 106
- Huantajayit, Synthese 08 I 22
- Huanuco, Peru, Erzlagerstätten 05 I 388

- Hübnerit, Nordamerika, Produktion 1906 I 355
- Hüftbeinrudimente, Ceta-
taceen 09 II 113
- Hügel, natürliche (Mounds),
Kalifornien und Ar-
kansas, Entstehung 08 II 349
- Hüggel
— südl. Osnabrück, Alter
der Sandsteinschichten 06 II 420
— — Eisenerze 09 II 250
- Huftiere
— Patagonien, Extremitäten 07 II 136
— Südamerika 1905 I 167. 172
— siehe auch Ungulaten.
- Hulsit, Alaska 09 II 342
- Humboldt Range, Nord-
amerika, Geologie 06 II 95
- Humus, Roh-, Bildung
auf dem Trockenen u.
Begrenzung 05 II 78
- Humusarten, norddeutsche
Moore 08 II 409
- Humusstoffe u. Bildung
von See- und Sumpfer-
zen 09 I 77
- Hund, wilder, quartär,
Rußland 07 I 454
- Hundsheim
— Diluvialfauna 08 II 106
— quartäre Gastropoden 07 II 460
- Hungarites (Judicarites)
arietiformis, Hallstät-
ter Kalk, Epidaurus
(Argolis) Festband 10
— costatus u. cf. Mojsi-
soviesi, Han Bulog-
Kalke, Hydra BB XXV 456
— Danubii, Muschelkalk,
Dobrudscha 08 I 421
— Yatesi, mittl. Trias,
Ingo Range 06 II 304
- Hunsrücksschiefer am
Mittelrhein 09 I 272
- Hunyad-Komitat, Geolo-
gie 06 I 264
- Hupperablagerungen,
Basler Jura 09 I 388
- Huron, Lake Superior-
Region 07 I 107
- Hussakit = Xenotim, Zu-
sammensetzung CBI 1907 533
— Carolina, South Moun-
tains, im Graphit,
chemisch 09 II 369
- Hutchinsonit, Binnental
1909 I 171 CBI 1905 490. 283
— — Kristallform 1906 II 30
- HUYGHENS, Abhandlung
über das Licht CBI 1904 441
- Hyacinth, Ceylon, photo-
graphische Wirkung CBI 1909 147
— siehe auch Zirkon.
- Hyaemoschus, Seegraben
bei Leoben 05 II 305
- Hyaena arvernensis, Mos-
bach 07 II 484
— bathygnatha, Kendeng-
Schichten, Java 09 I 120
— crocuta, Pleistocän,
Großbritannien 06 II 442
— spelaea, Märk. Diluvium 05 II 443
- Hyaenasuchus Whaiti,
unt. Karoo beds, Süd-
afrika 09 II 127
- Hyänen, Diluvium, Mark
Hyänodon, Verhältnis zu
Simopa 07 I 127
- Hyaenodontidae, Tertiär,
Fayum 07 II 315
- Hyalina orbicularis, Ober-
miocän, Randeck CBI 1908 593
- Hyalinia applanata und
imperforata, Alttertiär,
Ulm 08 II 104
— globosa, Alttertiär,
Giengen bei Ulm 08 II 104
- Hyalit
— Böhm. Mittelgebirge,
in Erdbrandgesteinen 08 I 175
— Mähren, Lukov 05 II 179
- Hyalophan
— optisch 07 I 352
— Binnental, grüner CBI 1905 752
— — Kristallform 06 I 168
— — Zusammensetzung
etc. 05 II 18
— siehe Barytfeldspat,
Celsian etc.
- Hybodus Hauffianus 09 I 456
— nevadensis u. shasten-
sis, Trias, Nordamerika 08 II 446
- Hydnophyllia Zuberi,
Kreide, Ostgalizien 09 I 294
- Hydra, Trias BB XXV 443
- Hydrargillit
— Zwillinge CBI 1907 407
— Capao lungo bei Ouro
Preto, Brasilien, Fär-
bung durch organ.
Farbstoffe BB XXVIII 373

- Hydrargillit
— Ceylon, im Laterit . 1906 I 183
— Kriwoj-Rog 07 II 191
- Hydrobia (Belgrandia)
cf. Deydieri, Pliocän,
Cueva Rubbia, Span. 07 II 21
— Moureti, Cenoman,
Südfrankreich 07 II 132
- Hydrogoethit, Lipetzki,
mit Einschlüssen von
Feldspatkristallen 1905 II 21. 181
- Hydrographie
— glaziale, Beziehung zu
Terrassen und See-
becken, östl. Nord-
deutschland 05 I 481
— Süd-Dakota 05 I 229
- Hydrohämätit, Schott-
land 05 I 441
- Hydrolith, Palagonia, Be-
gleiter 08 II 35
- Hydrologie
— Antarcticum, Expedi-
tion der Belgica 06 II 97
— westlicher Kaukasus 05 I 55
- Hydrostatische Schnell-
wage 09 II 327
- Hydrotachylit, Roßberg
bei Darmstadt 06 I 369
- Hydrothermische Vor-
gänge, Wedekind, Ne-
vada, Bildung von
Erzgängen 05 I 426
- Hydroxydgel CBI 1909 326
- Hydrozinkit CBI 1909 328
- Dschebel Ressay, Tu-
nesien 07 I 41
— Rhodesia, Broken Hill-
Grube 09 II 36
- Hydrozoen
— Mesozoicum, Sardinien 06 I 61
— Silur, Gotland und
Oesel . . . 1909 I 153 09 II 326
- Hygrophilit CBI 1909 332
- Hylastites Schellwieni,
balt. Bernstein 08 II 113
- Hylesinites anceps, balt.
Bernstein 08 II 113
- Hymenocephalus? austriac-
us u. labiatus, Oto-
lithen, Tertiär, Oester-
reich 07 I 480
- Hymenoptera, Florissant,
Colorado 07 I 321
— Miocän, Nordamerika 08 II 112
- Hyalithen, syst. Stellung CBI 1908 362
- Hyalithes (Theca), De-
von, Ostthüringen . . BB XXIV 300
— Schencki, Devon, Bo-
livia BB XXV 517
- Hyposodiden, Wyoming 1907 II 133
- Hyposodus Browni, Jack-
soni, lemoianus, lac-
ticuensus, minor, miti-
culus, powellianus,
simplex und Wortmani,
Wyoming 07 II 133
- Hyotherium Sömmeringi,
Seegraben bei Leoben 05 II 305
- Hyperammia Zinndorfi,
Rupelton, Mainzer
Becken 09 II 324
- Hyperleptus, Santa Cruz
beds, Patagonien 06 I 462
- Hyperoodon, Boldérien,
Antwerpen 07 I 132
- Hypersenon, Peterwar-
deiner Gebirge (Fruska
Gora) 06 II 266
- Hypersthen
— Disposition der opt.
Achsen 08 I 23
— Morphotropie 09 II 173
— Corsica, Osani, im
Trachyt und Andesit 07 II 405
— Grönland CBI 1908 378
— Sibirien, am Anabara.
im Gneis 09 II 16
- Hypersthenandesit u. -dac-
it, Crater Lake, Na-
tional Park 05 I 253
- Hypersthengabbro, Oden-
wald, Beziehung zu
Gabbro und Diorit CBI 1906 689
- Hypertragulus, John Day
Series 07 I 303
- Hypocetus, Boldérien,
Antwerpen 07 I 134
- Hypocladiscites, Rassen-
persistenz CBI 1909 202
- Hypodiadema Menuthias,
unt. Jura, Madagaskar 09 II 482
- Hypoglossus, Foramen,
bei Reptilien CBI 1906 336
- Hypohippus 05 II 468
- Hypsoclypus zu Echino-
lampas 09 II 484
- Hypsocormus macrodon
u. insignis, lith. Kalk,
Nasplingen 09 I 454
- Hypsometer mit elektr.
Temperaturmessung 06 II 46

- Hyracoidea, Zahnsystem 1905 II 461
 — Patagonien 05 II 466
 Hyracotheriidae, Kreide, Patagonien 05 I 167
 Hyracotherium, Verwandtschaft 06 II 291
 Hystricomorpha, Argentinien 05 I 160
 Hystricrinus Schwedii, Ober-Koblenz, Laubach 05 I 181
- I.**
- Iberger Klippen, Deckenbau CBI 1906 461
 Ichthyerpeton squamosum, Carbon, Linton, Ohio 09 II 134
 Ichthyoidichnites acadensis, Knoydartformation, Neu-Schottland 05 I 340
 Ichthyopterygia, Trias, Kalifornien u. Nevada 1906 I 147. 150
 Ichthyosauria
 — Ohr 08 I 440
 — Obertrias, Arizona 06 I 150
 — Trias, Literatur 06 I 150
 — — Amerika 09 I 445
 Ichthyosaurierreste, Kreide BB XXV 422
 Ichthyosaurus, Embryonen 09 I 448
 — australis, Kreide, Queensland, präcaudale Wirbel 07 I 145
 — Kokeni, Grodischter Schichten BB XXV 433
 — cf. trigonus, untere Kreide, Patagonien BB XXV 640
 Ictidosaurus angustidens, Beaufort West, Südafrika, Schnauze 07 I 143
 Ictidosuchidae, Systematik 07 I 479
 Idaho, unt. marine Trias 06 II 98
 Idalina Berthelini 07 I 158
 Ideodidelphys, Kreide, Patagonien 05 I 169
 Idoceras 07 II 471
 — cajense 07 II 469
 — Figueroae 07 II 469
 — inflatum 07 II 469
 — mexicanum 07 II 469
 — santarosatum 07 II 469
 — Sotoloi 07 II 469
 Idoceras subdedalum 1907 II 469
 — submalleti 07 II 469
 — Viverosi 07 II 469
 — zacatecanum 07 II 469
 Idokras, siehe Vesuvian.
 Igneogenetische Erze 07 I 406
 Iguanodon, Fußfährten 05 II 310
 Iguanodonfährten, Bad Rehbürg CBI 1909 700
 Ihleit, Böhmen, Alaun- u. Pyritschiefer des westlichen 06 I 53
 Ijolith
 — Ampasindava (Madagaskar) 05 I 436
 — Kilimandscharo 07 II 412
 Ilx lusatica, Braunkohle, Senftenberg 08 I 449
 Ilmenit
 — Binntal, Kristalle 1908 I 204 CBI 1905 752
 — Brasilien CBI 1907 93
 — — Jacupiranga 09 I 175
 — Craveggia, Piemont 08 II 14
 — Norwegen, Granitpegmatitgänge des südl. 08 I 342
 — Ottawa bei Pisek im Goldsand 05 I 365
 — siehe auch Titaneisen.
 Ilmenitgruppe
 — Beziehungen CBI 1906 157
 — — zu Geikiolith etc. 06 II 157
 — Ceylon, Edelsteinsande 07 II 18
 Ilmenorutil, Beziehung zu Strüverit 1909 I 175 CBI 1908 176
 Ilmkiese u. -Schotter, quartäre von 07 II 461
 Ilsemannit CBI 1909 328. 329
 Ilvait = Lievrit.
 Imperforate Foraminiferen CBI 1906 225
 Imperforatenkalk, Tertiär, Norddalmatien 06 I 259
 Impfung beim Schmelzpunkt von Silikatemengen 06 II 4
 Inaktive Kristalle
 — Reflexion des Lichts an durchsichtigen BB XXVI 296
 Inaktive Kristallplatte, Interferenzerscheinung. BB XXI 543
 Indiana, Geologie der Niagara Domes, im nördlichen 05 II 415
 Indien, Juraammoniten 1905 II 319. 320

- Indien
 — Orthophragma und Lepidocyclina in den Nummulitenschichten 1909 I 141
 — permische Eiszeit
 CBI 1908 449 Festband 446
 — Schweremessungen 07 II 388
 — Tertiär des westlichen Sind CBI 1905 129. 161
 — Trias 06 I 411
 — siehe auch Karachi.
 Indien, Niederländisch, Geologie CBI 1909 563
 — — — des östlichen 09 I 243
 — — — der Sula-Inseln 05 I 151
 — siehe auch Java etc.
 Indisch-Australischer Archipel
 — Geologie CBI 1908 503 CBI 1909 563
 BB XXII 385 BB XXV 293
 — — von West-Buru BB XXIV 133
 — Inseln BB XXIV 116
 — Macrocephalites CBI 1909 174
 — Trias der Molukken u. von Timor BB XXIV 161
 Indischer Archipel, mesozoisches Land und Meer 07 I 107
 Indischer Ozean u. Madagaskar, Geologie 07 I 427
 Indizes, Bestimmung mittels eines Transporteurs 05 I 4
 Indoceras baluchistanense, Ontogenie 05 I 7
 Induzierte Kristallformen 08 II 140
 Infiltration, submarine, beim Fluß- u. Eruptivmechanismus 09 I 204
 Influenzierte Kristallformen 08 II 140
 Infracretacé, Argolis 05 I 298
 Infralias
 — Provençhères-sur-Meuse 08 II 438
 — Vendée u. Deux Sèvres, Echiniden 05 II 147
 Infrapithecus, Kreide, Argentiniem 05 I 167
 Inga holzhausensis, Tertiär, Eichelskopf bei Homberg 09 I 148
 Ingolf-Expedition, dänische, Meeresgrundproben zw. Island und Grönland 05 I 421
 Inia, Boldérien, Antwerpen 07 I 132
- Injektion
 — Einfluß der, auf Nebengestein CBI 1906 608
 — von Eruptivmaterial, Klassifikation 1907 I 51
 Injektionserscheinungen
 — Harz u. Schwarzwald 09 I 55
 — südl. Odenwald CBI 1907 76
 Injektionsgestein, Pizzo Forno, Tessin BB XXVI 502
 Inkretionen 06 I 227
 Inlandeis
 — Beziehung zur Reliefgestaltung des Landes 06 II 437
 — Norddeutschland (Pommern) 07 I 114
 Inlandeistheorie, L. v. BUCH und TORRELL 05 II 445
 Inntal bei Nauders, Geol. 08 I 255
 Inoceramenschichten
 — Karpathen, Alter 07 I 435
 — Rzeszow u. Debica, Foraminiferen 06 II 264
 Inoceramus ?, Kreide, Bregener Wald BB XXVII 23
 — adunca u. klamathensis, Kreide, Kalifornien 06 I 288
 — Brancoi, cycloides u. nasutus, Granulatenkreide, westl. Münsterland 08 I 427
 — confusus und praedigitatus, Scaglia, Venetien 05 I 357
 — eracoviensis und robustus, Untersenon, Bonarka 08 I 431
 — crassus, Kreide, Sachsen und Böhmen 05 I 357
 — aff. Cripsi, unt. Kreide, Patagonien BB XXV 608
 — galoi 07 II 447
 — giganteus, Emscher, Siebenbürgen 07 I 485
 — irregularis, FortPierre-Schichten, Los Cerillos (Neu-Mexiko) 08 I 436
 — labiatus, Schichten, Dithmarschen CBI 1906 275
 — Langi, Kreide, Angola 06 II 112
 — sularum 07 II 447
 — taliabuticus 07 II 447
 — volviumbonatus, Kreide, Zululand 07 II 304
 Insectivora, Tertiär, Patagonien 07 II 320

Insekten		Interglazial	
— Carbon und Perm,		— Lüneburger Heide . . .	1908 II 99
— Amerika	1907 I 322	— Moskau, Gouvernem. . .	08 I 275
— fossile	07 I 320	— Neuhaldensleben . . .	06 I 122
— — Handbuch	07 I 151	— Parchim	
— — und Phylogenie der		— CBI 1905 673, 737	CBI 1906 66
rezenten	08 II 278	— Saaletal zw. Halle und	
— Carbon, Belgien	05 I 523	— Weibefels	06 II 432
— Perm. Rußland	05 I 523	— Vorpommern	07 II 462
— Quartär, Karpathen . .	08 II 113	— Wallensen, Hilsmulde,	
— Tertiär, Florissant,		— Hannover	05 I 144
Bernstein etc.	1908 II 110 ff.	Interglaziale Konchylien-	
Inselberge im Rheintal,		fauna, Ismaning bei	
Schweiz	09 I 400	— München	06 II 434
Instrumentenkunde für		Interglazialzeiten	CBI 1906 381
Forschungsreisende . . .	CBI 1906 479	— Beziehung zu Berg-	
Interferenzbilder, Ablei-		— stürzen u. Erdschlip-	
tung durch die Skio-		— fen	08 II 339
dromen	07 II 165	— Thüringen	CBI 1906 679
Interferenz-Elastizitäts-		Interhippus, Kreide, Pa-	
apparat (Elasmometer)	05 II 2	— tagonien	05 I 167
Interferenzerscheinungen		Interlaken, Geologie . . .	09 I 88
— aktiver Kristallplatten		Intrusionen	
im polarisierten Licht	BB XXI 540	— Mexiko, junge, Be-	
— doppeltbrechender Kri-		— zehung zu Tektonik	CBI 1907 449
— stallplatten, photogr.		— Skye	06 II 68
Abbildung	CBI 1904 472	Intrusivformen, Klassi-	
— ein- und zweiseitiger		— fikation	07 I 51
Kristalle im Konoskop		Intrusivgesteine, Susten-	
nicht senkrecht zu		— hörner, Aarmassiv, im	
einer Achse oder Mit-		— Schiefermantel	06 II 62
tellinie	09 II 328	Intumescens-Fauna, Eu-	
— inaktiver durchsichti-		— ropa, Asien u. Amerika	CBI 1905 385
ger Kristallplatten . . .	BB XXI 543	Inyoites Oweni, Meeko-	
— Muscovit	CBI 1907 577	— ceras beds, Kalifornien	06 II 304
Interferenzfiguren, Ver-		Iowa	
besserung der LA-		— Bericht des Geological	
SAULX'schen Methode	07 II 3	— Survey für 1901	05 I 439
Interglazial		— Geological Survey für	
— Auffassung	CBI 1906 381	— 1903	06 I 410
— Frage des	CBI 1905 673	— geologische Unter-	
— Berlin	07 II 465	— suchung und Tone . . .	06 I 410
— Elmshorn, pflanzen-		— Mineralproduktion 1901	05 I 439
— führend	05 II 441	— — 1902	07 I 251
— Fläming	05 II 443	— Tone	1906 I 240, 410
— Godenstadt b. Zeven	08 II 408	Irania granulata u. per-	
— Gräfenhainichen—		— sica, Senon, Südper-	
Schmiedeberger Pla-		— sien	06 I 444
teau, Kiesströme		Irinosaawa-Schiefer, Jura,	
1909 I 110	09 II 108	— Rikuzen, Japan	05 I 465
— Grotta Romanelli bei		Iroquois-Ufer, Geologie . .	07 I 378
Castro (Terra d'O-		Irving-Grünsteine, San	
tranto), Fauna	06 I 131	— Juan Mountains, Co-	
— Holland	08 II 100	— lorado	06 II 219
— Ismaning (München),		Irvingit, Wausau, Wis-	
— Konchylienfauna	06 II 434	— consin, im Pegmatit . .	09 I 190

- Isastraea grandiflora, Trias, Kotel, Bulgarien CBI 1905 482
 Ischyodus aalensis und ferrugineus 1905 II 134
 Ischyrocyon hyaenodus, Miocän, Süd-Dakota 05 II 127
 Isculites Smithii, Tropites-limestone, Byans 08 II 238
 Iseosee, geolog. Karte . CBI 1909 135
 Island
 — äolische Aufschüttungsringe an Firnflecken CBI 1909 180
 — Aufbau CBI 1909 622. 646
 — diluviale Vergletscherungen CBI 1906 232
 — Geologie CBI 1906 566
 — Glazial CBI 1905 535. 546
 — Grundproben d. Meeres gegen Grönland 05 I 421
 — Lavaergüsse 08 I 216
 — muschelführender Geschiebelehm in der Palagonitformation 05 II 294
 — Pleistocän und Palagonitformation CBI 1905 740
 — schildförmige Lavavulkane 09 I 47
 — tertiäre und rezente Gletschererscheinungen des Westens u. Nordens 08 II 341
 — verkieselte Holzstämme an der Ostküste . CBI 1908 66
 — vulkanische Erscheinungen im östlichen zentralen BB XXVI 381
 — Vulkanspalten u. Vulkanreihen BB XXVI 1
 Ismaning (München), interglaziale Konchylienfauna 06 II 434
 Isoarca Faucheroni, Zone des Lioc. concavum, Couzon-au-Mont-d'Or bei Lyon 05 I 464
 Isoaxiale einfache Formen des reg. Systems 05 II 331
 Isobrommetacrylsäure, Kristalle 07 I 103
 Isocardia cliffwoodensis, Kreide, Cliffwood (N. J.), Clays 07 II 132
 — eljasensis, Glandarienkalk, Syrien 06 I 279
 Isocardia Thomasi, Turon, Aegypten 1905 II 285
 Isochilina gregaria var. Ulrichiana, Hamilton (Ontario) 05 II 317
 Isoerinus holsaticus, Quaderatenschichten, Lägerdorf 07 II 154
 Isodectes Copei od. punctulatus, ältestes Reptil 09 II 123
 Isodimorphismus, bes. der Alkalinitrate 06 II 318
 Isodulcit, Zirkularpolarisation 05 II 335
 Isogyren und Skiodromen 09 I 156
 Isolophodon cingulosus u. aplanatus, unt. Tert., Cañadón Blanco, Patagonien 05 I 497
 Isomerie
 — chemische, Unterschied von Polymorphismus 05 I 11
 — optische, des Benzoylmethylhexanonoxims . CBI 1905 178
 — und Polymorphie, Bedeutung für Entstehungstemperatur der Mineralien 06 II 45
 Isomonobromäpfelsäure, inaktiv, Kristalle 07 I 93
 Isomorphe Fortwachsung, Alkalihaloide CBI 1907 92
 Isomorphe Körper, Nomenklatur 09 II 179
 Isomorphe Kristalle, eindeutige Aufstellung 05 I 3
 Isomorphe Mischung
 — Beziehung zu Parallelverwachsung CBI 1908 51
 — Blei-, Silber-, Thallo- und Cuprohalogene aus Schmelzfluß BB XXII 1
 — Entmischung labiler in der Feldspatgruppe 09 II 181
 — optische Eigenschaften 1908 II 149. 150
 — polymorpher Körper 09 I 163
 — Schmelzkurven 07 II 22
 — weinsaures Thallium und Kalium 07 I 4
 Isomorphe Silikate
 — experimentelle Untersuchungen CBI 1906 571
 — Kristallisationsgeschwindigkeit aus Schmelzen 06 II 5
 — Zusammenschmelzen 09 II 163

- Isomorphe Substanzen,
Lücken in der Mi-
schungsreihe 1905 I 364
- Isomorphie
— Geschichte, Systematik, Mischungen 09 II 8
— u. kristallochemisches Gleichgewicht 09 II 177
- Isomorphismus
— der Alkalinitrate 06 II 164
— Beispiele 08 I 318
— besondere Fälle (Silikomolybdate) 07 I 333
— Bisilikate von Ca und Mn 09 II 343
— Elemente 08 II 148
— Kadmiumhalogene, Mischbarkeit CBI 1907 301
— der Kalium- und Natriumverbindungen 08 II 149
— Kritik der Arbeit von BARLOW und POPE 09 II 328
— Magneteisen CBI 1907 350
— NaCO_3 und KClO_3 08 I 317
— Plagioklase 06 I 334
— regelmäßige Verwachsung 1909 I 322. 324
— spezifisches Gewicht 09 II 11
- Isonzolinie, Geologie 06 II 247
- Isopygia (Trilobiten) CBI 1907 130
- Isorthose (Isorthoklas), Troitsk, Ural 05 I 24
- Isospondyli
— britisches Museum 05 II 135
— englischer Chalk 05 II 137
- Isostylops, Kreide, Patagonien 05 I 168
- Isotemnidae und Isotemnus, Kreide, Patagonien 05 I 168
- Isurus Smithii, Kalifornien 08 II 443
- Italien
— Erdölvorkommen 05 I 443
— Geologie u. Geographie des südlichen CBI 1904 407
— geologischer Bau und Schweremessungen Festband 129
— tertiäre Haifische des südlichen 05 II 479
- Ithaka, Jura BB XXI 237
- Itieria Cabanetiana, Clymene, Moreana und Stascycii, Tithon, Sardinien BB XXIII 465
- (Campichia) Pellati, Kreide, Orgon (Bouches-du-Rhône) 06 I 318
- Repertorium 1905–1909.
- Ivrea
— Geologie der Zone 1907 II 49 1909 II 88
— Grünschiefer, Serpentin etc., Entstehung 07 I 228
- J.**
- Jacupirangitische Fazies des Eläolithsyenits, Tasmanien, Regatta Point 08 I 390
- Jacutinga, Brasilien 05 II 346
- Jade (Jadeit u. Nephrit), Werk von HEBER R. BISHOP CBI 1906 249
- Jadeit
— Sammlung von HEBER R. BISHOP, New York 05 I 29
— Oberbirma 1909 I 185 CBI 1906 97
— Syra 09 II 225
— Ta-li-fu, Yünnan CBI 1906 111
- Jadeitgesteine, Piemont und Ligurien 05 II 67
- Jadeitgruben, Tammav, Oberbirma CBI 1906 97
- Jahrbuch, Neues, für Mineralogie etc., Geschichte von 1807 bis 1907 Festband VII
- Jakhmari-Kette, Sind, Tertiär CBI 1905 164
- Jamesonit
— ident mit Domingit = Warrenit 09 I 170
— Bolivia, Cerro de Ubina, chemisch 08 II 336
— Walchen bei Oeblarn (Ennstal) CBI 1908 281
- Janeia ? fallax, Devon, Bolivia BB XXV 530
- Janosit = Copiapit 08 II 323
- Japan
— Jurafossilien von Rikuzen 05 I 464
— Meteoriten 07 I 367
— Mineralien 05 I 210
— Mineralogie CBI 1905 280
— mineralog. Zeitschrift CBI 1905 280
— paragenet. Verhalten der kontaktmetamorphen Erzlagertstätten 09 I 32
— Rhät- und Keuperpflanzen 07 II 341
— Schwere, verglichen mit Europa 08 II 43
- 23

- Japan, Seiches in den Seen 1907 I 381
- Japanischer Bogen, Gebirgskettungen Ostasiens 05 I 114
- Japonites argivus, Wenigener Kalk, Argolis . BB XXV 457
- Jarosit
- Schlaggenwald 05 I 198
- Süd-Dakota, Kristalle 07 I 210
- Jatulische Abteilung, Finnland CBI 1906 600
- Jatulisches System, Prä-cambrium, Gouvern. Olonez CBI 1907 37
- Java
- Gastropoden aus tertiären und jüngeren Schichten 07 II 151
- Trinil etc., Pithecanthropus erectus etc. 1909 I 111 ff.
- Vulkane CBI 1909 609
- siehe auch Indien, Niederländisch.
- Javanische Waffen mit Meteorisenpamor . . CBI 1909 715
- Jellinekites Barnardi, Hoveyi u. Saundersi, Tropites-limestone, Byans 1908 II 236. 237
- Jena, Tertiär u. Tektonik der Umgegend BB XXI 63
- Jenisseisk'scher Bergbezirk, Mineralien 07 II 189
- Jerusalem, Geologie 07 I 422
- Joachimsthal, Radioaktivität der Quellen 09 II 373
- Joannina Joannae, Pachycardientuffe, Seiser Alp 07 II 336
- Joannites, Rassenpersistenz CBI 1909 195
- Alimanestianoï u. Stefanescui, ladin. Stufe, Dobrudscha 1908 I 419 420
- cymbiformis, diffissus u. var. argolica, Joannis Austriae und mut. compressa, Klipsteini und Salteri, Aonoides-Schichten, Epidauros (Argolis) Festband 21
- loxohelix, Trias, Argolis BB XXV 463
- nevadanus, ob. Muschelkalk, Nevada 06 II 301
- Jodkalium
- Freimachen von Jod durch gewisse Mineralien 1909 I 330
- Kristallisieren auf Glimmer 09 I 160
- und Brombaryum, Wachstumserscheinungen an Kristallen 09 I 160
- Jodmethylat des Pyrazols, Kristalle 07 I 89
- Jodobromit, Globe, Pinal Co., Arizona 06 II 15
- Johannesburg, Transvaal, Geologie 07 II 118
- John Day Basin, Gesteine und Geologie 05 II 232
- John Day series, Säugtiere 07 I 303
- Johnstonit, Tasmanien, Regatta Point, im Glimmersölsbergit 08 I 391
- Joplin-Distrikt, Geologie 07 II 52
- Jotnische Abteilung, Finnland CBI 1906 600
- Jotnisches System, prä-cambrisch, Gouv. Alonez CBI 1907 37
- Jouannetia gouetensis, Eocän, Loire inférieure 07 II 302
- Joufia 08 I 445
- Jovites daciformis und spectabilis, Tropites-limestone, Byans 08 II 238
- dacus, ? Tropites-Schichten, Epidauros (Argolis) Festband 37
- euxinus, ladin. Stufe, Dobrudscha 08 I 419
- Judicarienlinie 06 II 237
- Judicarische Faltungszone 06 II 243
- Judicarites (Hungarites) arietiformis, Hallstätter Kalk, Epidauros (Argolis) Festband 10
- costatus, Han Bulog-Kalke, Hydra BB XXV 457
- Judith river beds, Nordamerika, Wirbeltiere und Pflanzen 07 I 439
- Jütland
- Oligocän und Miocän CBI 1906 465
- Tertiär 07 II 452
- Juglans elongata, Kreide, New York 08 I 455

Jujuy, Prov., Argentinien, Geologie	BB XXII 571	Jura	— Dakota, Black Hills, Fossilien	1908 I 264
Julianehaab		— Ecuador, Ostkordillere		06 I 402
— Grönland, Mineralliste	CBI 1908 411	— Kalifornien, Flora . . .		07 II 501
— — Schizolith u. Eri- kit, im Nephelinsyenit		— Mexiko, Lias		08 II 176
	1905 II 185. 190	— — Concepcion del Oro, Zacatecas	BB XXVIII	427
Julische Alpen, Geologie	1906 II 247	— — Mazapil		07 II 469
Julus florissantellus, Mio- cän, Florissant, Col. . .	08 II 111	— — Sierra de Mazapil und Santa Rosa		07 I 279
Juniperus major und mi- nor, Bernstein, Ost- preußen	09 I 308	— Peru, Lias	CBI 1909	3
Jura		— Texas, Malone beds . . .		07 I 285
— Ammoniten d. oberen, Oxforder Sammlung . . .	05 I 348	— westliches		08 I 260
— Baptonodon, Osteologie	06 I 311	— Wyoming, oberer, Or- nitholestes Hermanni	06 I	152
— Chimärden, Zähne u. Eier	05 II 134	Arcticum und Antarcticum.		
— Nautiliden des Lias und Dogger	07 I 324	— Grahamland, Hope Bai, Pflanzen	09 II	154
— Opeelia, Abstammung der Gattung	CBI 1909 642	— König - Karls - Land, fossile Hölzer	09 I	301
— Peltoceras Toucasi u. transversarium	06 I 81	Asien,		
— Phylloceratiden, gekielte, systemat. Darstellung	CBI 1906 237. 417	— China, Pflanzen und Kohle	07 II	342
Afrika.		— T'ao-chia-T'un, Pflanzen	09 II	156
— Madagaskar, Dino- saurier	08 II 438	— Indien, Ammoniten	1905 II	319. 320
— — Seeigel	09 II 482	— — Beziehung zu ost- afrikanischem	06 I	279
— — Analalava	06 I 284	— — Himalaya, tibetan. Klippen, Fauna des Lias	08 II	412
— — nördliches und In- discher Ozean	07 I 428	— — Kutsch, Trigonias und Brachiopoda	1905 I	178. 180
— Marokko, westliches . . .	07 I 434	— — Niederländisch	07 II	447
— Ostafrika		— Indischer Archipel, Land und Meer	07 I	170
	CBI 1908 641 BB	— Indo-Australischer Archipel, Macrocephalites	CBI 1909	174
— Somaliländer, oberer . . .	06 I 281	— — Babar, Buru, Rotti und Timor	BB XXV	293
— Tanga, Deutsch-Ost- afrika, Kelloway	06 I 283	— — Mangoli u. Ta- liabu	BB XXII	385
— Tunis, Echiniden des oberen	07 II 156	— — — Sulainsehn, Gren- ze gegen Kreide	05 I	151
— — südliches	06 I 283	— Japan (Rikuzen), Fos- silien	05 I	464
Amerika.		— Korea, Pflanzen	07 II	343
— Morrisonformation	07 I 286	— Persien (Demavend) . . .	06 I	442
— Alaska, pazifische Küste	09 I 398	— Singapur	07 I	287
— — und Cook Inlet	07 I 277	— Syrien, Glandarien- kalk, Brachiopoden u. Mollusken	06 I	278
— Argentinien, Haupt- kordillere, Pflanzen	05 II 271	— Timor, portugiesisch . . .	BB XXIV	465
— — Kordillere, oberer Malm	BB XXIII 187	— Turfan und Turatschi, östlicher, Tien-Schan	06 I	98

Jura

Australien.

- Neuseeland, Kohlen . 1905 II 277
 — — Nordinsel 05 II 418
 — — Südinsel, Maitai-
 Schichten 05 II 275
 — Niederländisch-Neu-
 Guinea BB XXII 394
 — Victoria, Pflanzen . . 08 I 149
 — West-, Foraminiferen
 und Ostrakoden des
 Unteroolith 05 II 151

Europa.

Balkanhalbinsel.

- südwestliche BB XXI 229
 — Albanien (südl.) und
 Argolis 09 II 105
 — Bulgarien (Kotel) . . CBI 1905 481
 — Griechenland 09 II 432
 — — Dogger 07 II 446
 — — Akarnanien und
 Leukas, Lias CBI 1905 259
 — — Argolis . 1909 II 105. 427. 429
 — — — oberer, u. Infracretacé 05 I 298
 — — Kalamos BB XXI 242
 — Montenegro, Dogger,
 Brachiopoden 07 I 433
 — — Tithon 07 II 107
 — Rumänien, Bucegi-
 Stock 06 II 120
 — — Dobrudscha 07 II 445

Deutschland.

- Baden, Wehratal,
 Schwarzwald, brauner,
 in der Versenkung . CBI 1906 40
 — Bayern, Liasholz, ver-
 glichen mit Keuper-
 holz 09 I 467
 — — Ehrenbürg bei
 Forchheim 07 II 100
 — — Heiligenstadt, Ober-
 franken, Tektonik und
 Basalte CBI 1906 397
 — — Kehlheim, Paraphyllites distinctus, im
 lithograph. Schiefer . 06 II 90
 — — Neumarkt (Ober-
 pfalz), Doggerprofile . 05 I 60
 — — Solnhofen, Farn-
 kraut im lithograph.
 Schiefer CBI 1908 385
 — — Fauna der Plat-
 tenkalke 05 I 459

Jura

- Bayrischer Wald,
 Westrand zw. Regen-
 stauf und der Boden-
 wöhrer Bucht BB XXI 468
 — Braunschweig, Gall-
 berg bei Salzgitter,
 Lias CBI 1906 113
 — Deister, kleiner, Nessel-
 berg und Osterwald . 1907 I 418
 — — Nenndorf, Malm . . 06 II 413
 — — östlicher, Trans-
 gression des oberen . . 06 I 277
 — Deutsch-Lothringen u.
 Luxemburg, Fauna
 der Eisenerzformation . 06 I 303
 — Elsaß, Malm im Unter- CBI 1908 609
 — — Stufe des Am. (Ste-
 phanoceras) Blagdeni CBI 1909 733
 — — Strangenberg bei
 Rufach BB XXVI 72
 — — Sundgau, weißer,
 unter Tertiär 05 II 409
 — Hannover, Strandver-
 schiebung im oberen . 07 I 281
 — — Bentheim—Ister-
 berger Sattel 09 I 410
 — — Falkenhagen, Lias-
 graben 08 II 80
 — — Hildesheim (Gal-
 genberg und Vorholz) . 07 I 419
 — — Lutter am Baren-
 berg und Lichtenberg
 in Braunschweig . . . 05 II 260
 — — südliches 07 II 95. 98
 — — — Transgressionen . 08 II 78
 — Niederrhein 07 I 414
 — Norddeutschland,
 Pflanzen 09 I 462
 — — oberer Lias und
 unterer Dogger BB XXVIII 286
 — Ostpreußen, Heilsberg,
 Kimmeridge 05 I 129
 — — Lithauisch-Kuri-
 scher, Foraminiferen . . 06 I 471
 — Pommern, oberer . . . 06 II 100
 — Schwaben, Brachi-
 opoden des mittl. Lias . 06 I 468
 — — Flugsaurier im
 Lias CBI 1906 290
 — — Mikrofauna des
 Lias . . 1905 II 151 . 09 II 320
 — — Oolithe 08 II 87
 — — oolithbildende Oph-
 thalmidien im Dogger
 1909 I 297 CBI 1908 584

Jura			Jura			
— Schwaben, Eßlingen	1907	II 257	— Haute-Marne, Echini-			
— — Nusplingen, Ganoi-			den	1909	II 480	
den und Teleostier	09	I 452	— Macon, Echiniden	07	II 156	
— Südwestdeutschland,			— Mont d'Or Lyonnais,			
Landpflanzen	08	I 151	Zone des Lioceras con-			
— Teutoburger Wald			cavum	05	I 462	
1905	II 258	1906	— St. Gaultier (Indre),			
			Bathonien	08	I 261	
			— — Korallen	09	I 293	
— — südl. Bielefeld,			— St. Vallier-de-Thiey,			
Lias und Dogger	CBI	1909	Korallen	07	I 486	
— Westfalen, Dislokatio-			— Savoyen, Haut-Giffre	08	II 390	
nen	08	I 407	— Seevoralpen	06	I 108	
— — — etc. im jüngsten	06	II 86	— Vendée u. Deux Sèvres,			
			Echiniden des In-			
England u. Schottland.			fralias	05	II 147	
— England	08	II 85 ff.	— Westalpen, Lias und			
— Bath-Douling-Distrikt,			oberer	07	II 441	
Inferior Oolite etc. 1908	II 85.	86	— Yonne-Département,			
— Brachiopoden der			Nerineen	06	I 317	
Fuller's Earth	08	II 87				
— Bredon Hill, Toarcien	05	II 283	Iberische Halbinsel.			
— Brill, Buckingham,			— Portugal, Lias und			
Kimmeridge Clay und			Dogger der Thomar-			
Corallian Rocks	08	II 88	Region	09	II 104	
— Brora (Sutherland),			— Spanien, Montsech,			
Inferior Oolith	07	II 507	Katalonien, Kimme-			
— Peterborough, Kroko-			ridge	07	II 287	
dile	09	I 451	— — — Hymenopte-			
— Schottland, Flora	07	II 507	ren im Kimmeridge	05	I 525	
— Stonesfield, Megalo-			— — Santa Maria de			
saurus Bucklandi des			Meya, Pflanzen	09	I 458	
Dogger, Hinterhaupt	06	I 1				
— Upland District, In-			Italien.			
ferior Oolite etc.	08	II 87	— Apennin, zentraler,			
— Yorkshire-Küste etc.,			Mollusken des unteren			
Pflanzen	1907	I 488. 489	und mittleren Lias	06	II 144	
			— — Roccheta, Ammo-			
Frankreich.			niten des mittl. Lias	09	II 139	
— Echiniden des Infra-			— Casale bei Busambra			
lias	05	II 147	(Palermo), Muscheln			
— Alpen, französische	06	I 424	des Lias	06	I 319	
— Baume-les-Dames			— Colealto di Solagna			
(Doubs), Callovien	07	I 282	(Bassano), Fauna des			
— Boulogne-sur-Mer,			oberen	06	I 316	
Pflanzen des Portland	09	I 459	— Monte di Cetona, Lias-			
— Dauphiné, Ausbildung			cephalopoden			
in der südlichen Belle-			1905	I 175	06	II 142
donnekette	07	II 263	— Sardinien (Nurra) BB	XXIII	448	
— Grenoble, Ausbildung			— Siena (gelber Marmor)			
des oberen	07	I 281	etc.	09	II 105	
— Zone des Phyllo-			— Spezia, Unterlias	07	I 282	
ceras Loryi in den			— Tranze di Sospirolo			
Westalpen	07	II 286	bei Belluno, Brachio-			
— zw. Grenoble u. Gap,			poden des Lias	08	I 424	
mttlerer	05	II 427				

Jura

Oesterreich-Ungarn.	
— Alpen, Lückenheftigkeit der Sedimente	BB XXV 416
— Bosnien, Vareš, Lias	1905 I 465
— — und Herzegowina	05 II 265
— Bregenzer Wald	BB XXVII 12
— Dalmatien, Spizza	08 II 400
— Karpathen, Cephalopoden der südlichen	06 II 120
— Krain zw. Bača-Tal u. Wocheiner Save	05 I 449
— Mähren	05 I 295
— — Tithon	07 II 286
— — Brünn, Malm der Schwedenschanze	08 I 421
— — Cetechowitz, Oxford der Klippenkalke	07 II 443
— Niederösterreich, Niederfellabrunn, Tithonklippen	06 I 439
— — Wiener Becken, Rand bei Gießhübl, Acanthicus-Schichten	08 I 263
— österreichische Vor-alpen, Pflanzen des Lias	08 II 448
— Ostalpen	06 II 235
— Tirol, Lienzer Dolomiten	05 I 288
— — Monte Zovo bei Trient, Korallenformation, Großoolith	CBI 1908 104
— Ungarn, Alsórákos, unterliassische Fauna	09 II 138
— — Csernye, nordöstl. Bakony, älterer	05 II 426
— — Gerecse-Gebirge	CBI 1905 392
— — Nagyag-Tal	07 I 105
— — Ofener Gebirge	CBI 1908 391
— — — Richtigstellung	CBI 1909 182
— — Siebenbürgen, Kielbildung der Phyllocerataiden	05 II 483
R u ß l a n d.	
— Kaukasus, Petrefakten	08 II 81
— — und Turkestan, Pflanzen	09 I 147
— Kotelny-Insel, Pflanzen	08 I 146
— Lithauisch-Kurischer, Foraminiferen	06 I 471
— Moskau und Riazan, Oxford u. Sequanien	05 I 130

Jura

— nordwestl. Grenzgebiet, Kreis Isjum, des Donetzrückens	1907 I 283
— Polen, Oxford u. mittlerer Jura des Swietry Krzyr bei Checiny	08 II 89
— — Sulejowkette	08 I 262
— — bei Wielun	08 I 260
— — südöstliches	07 I 283
— Süd-Ussuri-Gebiet	BB XXVII 526
— Transbaikalien, Mongolei und Mandchurei, Pflanzen	09 I 463
— Ural, nördlicher, oberer	07 II 449
— Wladiwostok	09 I 1
S c h w e i z .	
— Alpen, zw. Hinter-rhein und Saffiental	CBI 1908 723
— Antirhätikon	08 I 251
— Hornfluh, Berner Vor-alpen	07 I 100
— Juragebirge, Dogger im zentralen und südlichen	06 I 277
— — Stromatorhiza	06 I 13
— — Basler, Hupper-ablagerungen	09 I 388
— — — Tafellandschaft, frühere Anwesenheit der Nattheimer-Schichten	05 II 428
— — — Berner	05 II 247
— — — Gorges de l'Areuse	1905 II 87
— — — Liestal, Crinoidenbänke des Dogger	05 I 298
— — — Faucillekette	06 I 438
— — — Neuenburger, Dogger	06 I 307
— — — Tour Saillère—Pic de Tanneverge	09 I 83
— — — Waadtlandt, Ste. Croix	05 II 252
— — — Lauenental	1908 II 380. 382
— — — Lischannagruppe, Unterengadin	07 I 97
— — — Rhätikon, östlicher	09 I 89
— — zw. Sanetsch u. Kander	09 I 405
— — Simplongebiet, Grünschiefer	09 I 59
— — Weißensteintunnel	1908 I 254. 255
S k a n d i n a v i e n .	
— — Andö, Norwegen	06 I 427
— — Bornholm, fossile Flora	08 I 451

Juragebirge			Känguruflußspuren,	
— geologische Profile . . .	1907	II 431	Warrnambool (Australien) CBI 1908 725	CBI 1909 495
— Quartär und Glazial zwischen Ketten- und Tafeljura	09	I 434	Kahlengebirge bei Wien, Abrasionsfläche am Rande	1905 I 451
— Basler, frühere Anwesenheit der Nattweimer Schichten . . .	05	II 428	Kainit	09 I 316
— Bern, geolog. Karte . . .	09	I 400	— obere Existenzgrenze	05 I 192
— tekt. Blätter Moutier und Bellelay . . .	05	II 247	— Asse bei Wolfenbüttel, blaue Kristalle . . .	CBI 1905 449
— Blauen, Oligocän, am Südabhang	06	I 112	— Staßfurt, Krist. etc. . .	07 I 192
— zentrales u. südliches, Dogger	06	I 277	— — krist. und opt. . . .	Festband 115
— Genf—Lausanne—Chablais	06	II 83	Kainitit im deutschen Zechstein	09 II 305
— Gorges de l'Areuse, Tektonik	05	II 87	Kakoxen, St. Benigna, Böhmen	05 I 190
— La Serre-Massiv, Bau Lägernkette	05	I 283	Kalamin, siehe Kieselzinkerz.	
— Liestal, Crinoidenbänke des Dogger . . .	05	I 298	Kalamos, Jura	BB XXI 242
— Solothurn—Gänsbrunnen, Tunnelgebiet .	1908	I 254. 255	Kalevische Abteilung, Finnland	CBI 1906 603
— Tafeljura, vulkanische Erscheinungen	07	I 375	Kalevisches System, Präcambrium, Gouvern. Olonez	CBI 1907 37
— Tour Saillère—Pic de Tanneverge	09	I 83	Kali- u. Steinsalz, Lagerung, Verbreitung und Verwendung	CBI 1905 310
— Waadtland, Kreide von Ste. Croix	05	II 253	Kalialaun	
— Westschweiz, Ammonitidae der unteren Kreide . 1906 II 143	07	I 483	— Kristallisation	CBI 1905 751
— Fauna der unteren Kreide	05	I 155	— Vesuv	09 I 349
Juraversenkung, unteres Wehratal, Schwarzwald	CBI 1906	40	Kaliborit, künstliche Darstellung	05 I 192
Juvavites Dogranus und Krafftii, tibetan. Klippen des Zentral-Himalaya	08	II 414	Kalifeldspat, Beimischung von Ca u. Myrmekitbildung	CBI 1909 311
— expansus u. Stracheyi, Jura, Himalaya	05	II 320	— siehe auch Feldspat, Mikroklin, Orthoklas etc.	
Juvenile Quellen	05	I 263	Kalifornien	
			— Edelsteine	07 II 41
			— Eklogite	06 II 218
			— Foraminiferen der miocänen Monterey Shale	08 II 283
			— Glaukophangesteine der Küstengebirge . . .	09 I 71
			— klastische Gänge . . .	06 I 224
			— marine Trias	06 II 98
			— Mineralien	05 I 204
			— Quartär	05 I 145
			— quartäre Höhlensäugetiere, bes. von Potter Creek	07 I 298
			Kaligehalt der Ackerböden	06 I 48
			Kaligramma Haeckeli, Solnhoferplattenkalke	05 I 459

K.

Kaba-Vulkan, Sumatra, Gesteine	06	I 218
Kadmiumhalogene, Mischbarkeit	CBI 1907	301
Kaersutit, Linosa und Grönland, chemisch . . .	09	I 342

- Kalilager, geologische und chemische Bildungsverhältnisse 1907 I 88
- Kalisalze
- Verbreitung und Verwendung CBI 1905 310
 - Eichsfeld 09 II 425
 - Wolkramshausen am Südharz, Rinneitvorkommen 1909 II 19 CBI 1909 74
- Kalisalzlager
- Ausbildung und Ausdehnung in Deutschland 08 I 242
 - Deutschland, im Zechstein 09 II 304
 - Hannover 06 II 416
 - Lübthen, Mecklenburg, Bergwerk Friedrich Franz 09 II 187
- Kalisalzlagerstätten
- Ammoniak- und Nitratgehalt 09 II 186
 - Nordhausen—Wolkramshausen 1909 II 19 CBI 1909 74
- Kalisalzwerk Asse bei Wolfenbüttel, blaue Kaimitkristalle CBI 1905 449
- Kalisalze u. Lagerstätten, siehe auch Salzlagerstätten.
- Kalisyenit, Piz Giuf, östl. Aarmassiv, u. Gefolgschaft 06 I 371
- Kalium, Bestimmung in Silikaten CBI 1908 513
- Kaliumaluminiumsilikate, chemisch 05 I 377
- Kaliumbichromat, Krist. 09 I 328
- Kaliumchlorat u. -nitrat, Isomorphismus 08 I 318
- Kaliummagnesiumborat, Entstehung in ozean. Salzlagern 06 I 162
- Kalium-Natrium-Sulfat 05 II 30
- Kaliumpentacalciumsulfat, Entstehung in ozeanischen Salzlagern 1906 I 161. 164
- Kaliumquecksilberjodid, Darstellung CBI 1909 554
- Kaliumsulfat 05 II 29
- Mischkristalle mit K_2CrO_4 07 I 209
 - Tribolumineszenz 07 I 32
- Kaliumverbindungen, isomorph mit Natriumverbindungen 1908 II 148
- Kalk (siehe auch Kalkstein)
- chemische Abscheidg. aus heutigen Meeren, Dolomitbildung Festband 397
 - kohlenaurer, chemisches Verhalten zu gewissen Lösungen, Alkalicarbonaten, Kobaltlösungen etc. 05 II 357
 - pelagischer, Mächtighkeitsreduktion BB XXV 418
 - des Tiefseeschlammes 08 I 361
 - Bodmin u. Camelford areas, metamorpher, Mineralien CBI 1908 312
 - Böhmen, Granitkontakt 06 II 360
 - Concepcion del Oro, Zacatecas, Mexiko, mit Epidot, Dipyrit, Diopsid, Wollastonit, Granat, Vesuvian, im Kontakt mit Granodiorit BB XXVIII 487 ff.
 - Puente del Inca, Aconcagua BB XXIV 718
 - Raspenau, Böhmen, körniger, des Kalkbergs 06 I 54
 - Regensburg, dolomitischer, Analyse 07 II 65
 - Rothau, Böhm. Erzgebirge, körniger BB XXIII 483
 - Seine-Bank, ostnordöstlich Madeira, dolomitischer Festband 416
 - siehe auch Kalkstein und Marmor.
- Kalkalgen
- Carbon, Dalmatien 07 II 339
 - magnesiareiche, Einwirkung CO_2 -gesättigten Wassers 06 I 333
- Kalkaluminiumsilikate, künstliche 06 I 326
- Kalkbostonit, Abercastle —Mathry, Wales 06 II 211
- Kalkeinschluß im Basalt, Weitendorf (Steiermark) CBI 1908 257
- Kalkglimmerschiefer, Tesin, ob. Piemogna BB XXVI 507

Kalkkieselreihe der Mineralien	1909	I	180	Kalkspat			
Kalkknollen, dolomitische, Challenger- u. Argusbank (Bermudas) . .	Festband		415	— Verhalten beim Glühen	1908	I	178
Kalkolivin				— Verhalten gegen gewisse Lösungen (Alkaliborate, Kobaltlösungen etc.) . . .	05	II	356
— im Zement	08	II	379	— Zeichnen von Zwillingen	1909	I	179 CBI 1908 177
— und Forsterit, zusammengeschmolzen . .	09	II	163	— Zwillingbildung BB XXIII	330.		337
Kalkphylite, Zillertaler Alpen	07	II	432	— Bessarabien, Chotinscher Kreis, im Gips	07	II	378
Kalksalze der Steinsalzablagerungen, Bildung	06	II	321	— Biella, Piemont, Drusen im Syenit . . .	06	II	34
Kalkschalen der Tiefseeablagerungen	05	I	425	— Bindin (Sommerset), Zwillinge	05	I	23
Kalkschwämme				— Brevig, Zwilling	09	II	190
— Skelettnadeln	CBI 1906		12	— Cadonighino, Tessin . BB XXVI	519		
— Skeletteile	CBI 1905		581	— Carrara, im Marmor	1906	II	175. 176
Kalksilikate				— Chiesonetal (Piemont), Pomaretto	09	II	205
— künstliche	06	I	326	— Cumberland, Krist. . .	07	I	199
— Zustandsdiagramm . .	08	I	180	— Dänemark, fasriger, sogen. Aragonit . . .	08	I	201
Kalksilikatfels				— Färöer	09	I	29
St. Poelten, Kartenblatt	08	II	61	— Giglio-Insel bei Palermo	07	II	37
— Schwarzwald, im Rench- und Kinziggneis und bei Neustadt	07	II	67	— Grenville, Canada, Stinkkalk, Ursache des Geruchs (H ₂ S) . . .	07	I	21
Kalksilikathornfels				— Grönland	CBI 1908		346
— Böhmen	06	II	360	— — östl. im Basalt . . .	06	II	183
— Piz Giuf, östliches Aarmassiv	06	I	372	— Guanajuato (Mexiko), Zwillinge	09	II	190
— Tessiner Alpen	08	II	200	— Heidelberg, Pseudomorphose von Sandstein nach K.	08	II	304
Kalksinter, Bosnien . .	05	II	296	— Joplin Mining District, Kansas, neuer Typus	05	II	182
Kalkspat				— Kertsch und Taman .	05	II	200
— Ausbildung der Kristallform bei Zwillingen	08	I	176	— Krebshöhe bei Schönpriesen, Böhm. Mittelgebirge	CBI 1909		156
— Brechungsindizes bei —190°	08	I	165	— Krym, Kara-Dag, Doppelspat	09	II	340
— Dissoziationsdruck . .	09	I	339	— Simferopol, Pseudomorphose von Palygorskit nach der Spaltbarkeit des K.	CBI 1908		7
— entstanden aus Aragonit, paläozoische Korallen	BB XXIV		252	— Lymans Crossing, Cäment des Tuffes . . .	05	II	397
— Härte	07	I	190	— Marienberg bei Aussig, pseudomorph nach Hibschit	08	I	31
— Kristallstruktur . . .	07	I	22	— Markirch	09	I	21
— plastische Umformung unter Druck	06	II	80	— Mizusawa u. Furokura, Japan, Kristalle . . .	07	I	199
— Reaktion zur Unterscheidung von Dolomit	CBI 1905		265				
— Reduktion durch Mg	08	I	178				
— Schalen der Foraminiferen	06	II	455				
— Skelett der Kalkschwämme	CBI 1905		582				
— Unterscheidung von Dolomit	1905	I	23 CBI 1906				550

- | | | | | | | | |
|-------------------------------------|------|-------|----------|--------------------------------------|------|--------|-----|
| Kalkspat | | | | Kalkspat | | | |
| — Nagolnij Krijasch, Do- | | | | — u. Aragonit, Vergleich | | | |
| netz-Becken | 1907 | II | 195 | der Lichtbrechung | 1906 | II | 317 |
| — New York, Staat, | | | | — u. Kalkstein, Thermo- | | | |
| große Kristalle | 08 | II | 16 | metamorphose | 09 | II | 160 |
| — Nordamerika, Fort | | | | Kalkspatkugeln, Aetzen | 05 | I | 10 |
| Collins, Col., u. Joplin, | | | | Kalkstein (siehe auch Kalk) | | | |
| phosphoreszierend | 07 | I | 343 | — Entstehung 1905 I 420 | 06 | I | 238 |
| — Nowo Alexandria (Lu- | | | | — Korallenriffe, chemisch | | | |
| blinit) | 1909 | II | 340. 341 | und mikroskopisch | 07 | II | 217 |
| — Oberscheld b. Dillen- | | | | — Aarmassiv, mechan. | | | |
| burg, Kristallform BB XXVIII | | | 233 | Umwandlung in Mar- | | | |
| — Poggio Orlando (Sie- | | | | mor | 05 | I | 427 |
| na), Schwefelgruben | 08 | II | 335 | — Ceylon, Verkiezelung, | | | |
| — Potter Creek-Höhle, | | | | Hornstein und Opal- | | | |
| Kalifornien, stalakti- | | | | gehalt | 05 | II | 392 |
| tisch | 08 | II | 15 | — Concepcion del Oro, | | | |
| — Prausnitz, Schlesien, | | | | Zacatecas, Mexiko, | | | |
| Osteolithpseudom. | CBI | 1905 | 641 | Analysen | BB | XXVIII | 483 |
| — Raspenau, Böhmen, | | | | — Göpfersgrün, umge- | | | |
| im körnigen Kalk des | | | | wandelt in Steatit | 05 | II | 214 |
| Kalkbergs | 06 | I | 54 | — Grenville, Canada, | | | |
| — Riesengebirge, imGran- | | | | Stinkkalk, Ursache d. | | | |
| nit | CBI | 1907 | 203 | Geruchs (H ₂ O) | 07 | I | 21 |
| — — Schmiedeberg, pri- | | | | — Grönland, westl. Nord-, | | | |
| mär im Granit | CBI | 1909 | 767. 773 | archaisch | 07 | I | 247 |
| — Sachalin | 08 | II | 334 | — High Teesdale, Ersatz | | | |
| — San Fedelino am Co- | | | | durch Sand und Ton | 05 | I | 420 |
| mer See, im Granit | 07 | II | 35 | — Oesterreichisch Schle- | | | |
| — Terlingua, Texas, Kri- | | | | sien, Analysen | 05 | I | 200 |
| stalle | 1908 | II | 15 | — Pennsylvanien, westl., | | | |
| — Tirol, Dolomitgebiet, | | | | Vorkommen | 07 | II | 84 |
| lagenweise Abwechs- | | | | — Schelingen, Kaiser- | | | |
| lung mit Dolomit in | | | | stuhl, mit Koppit, Fär- | | | |
| Kristallen | 06 | II | 207 | bung durch organische | | | |
| — Traversella, Einschlüsse | | | | Farbstoffe | BB | XXVIII | 372 |
| flüssiger CO ₂ | 08 | I | 179 | — Wietze, Hannover, mit | | | |
| — Ungarn, Kristalle | 08 | II | 304 | Gipskriställchen | 06 | I | 31 |
| — — Bojca | 09 | I | 336 | — Zentralafrika, Brit., | | | |
| — — Gran, Kleiner Wacht- | | | | archaisch | 07 | I | 236 |
| berg, Kristalle | 08 | II | 303 | Kalktuffe | | | |
| — — Salgótarián und | | | | — Elm und Lappwald | 07 | II | 461 |
| „Kühles Tal“ b. Ofen- | | | | — Gera | 07 | II | 461 |
| Pest | 09 | I | 340 | — Jemtland | 05 | I | 313 |
| — — Schemnitz, Um- | | | | Kalktufflager, quartäres, | | | |
| wandlungspseudomor- | | | | Alfeld a. Leine | 06 | II | 432 |
| phose von Dolomit | | | | Kallistira, Nordamerika | 09 | I | 452 |
| nach K. | CBI | 1909 | 555 | Kalomel | | | |
| — — Szentandras | 07 | I | 218 | — Avala und Terlingua, | | | |
| — — Weitendorf (Steier- | | | | Kristalle | 09 | I | 335 |
| mark), auf Hohlräu- | | | | — Terlingua, Texas | 09 | I | 173 |
| men im Basalt | BB | XXVII | 252 | — Kamazit-Hexaedrite und | | | |
| — West Paterson, N. J., | | | | -Oktaedrite beim Me- | | | |
| Kristalle | 09 | I | 9 | teoreisen | 05 | I | 146 |
| — siehe auch Marmor, Kalk- | | | | Kamazit-Plessit-Siderite | | | |
| stein, Calciumcarbonat. | | | | beim Meteoreisen | 05 | I | 146 |

- Kamazit-Siderite = Sublacunite 1905 I 145
- Kamazitophyr beim Meteoreisen 05 I 146
- Kamele, Oligocän, Nordamerika 07 I 301
- Kamerun
- Gesteine 09 II 73
- Kreide BB XXVIII 214
- Mungo-Kalke der ob. Kreide 05 I 153
- Tertiär, ? Eocän 06 II 122
- Kampthal, Wiener Wald, Mineralien CBI 1908 251
- Kanahwa black flint, Alter und Carbon, Westvirginien 06 I 277
- Kanal, Wasser u. Meeresgrund 1909 II 209. 210
- Kander- und Sanetschgebiet, Bern, Geol. 05 I 276
- Kandersteg, Bergsturz v. 07 II 439
- Kangra-Tal, Himalaya, Erdbeben am 4. April 1905 CBI 1905 332
- Kanin
- Halbinsel, Geologie 06 I 410
- — rezente u. pleistocäne Bildungen 06 II 117
- Kansas-Kohlenformation, Fossilien, vergl. mit Höherem Red-Wall-Kalkstein CBI 1907 609
- KANT-LAPLACE'sche Hypothese 1907 I 372. 373
- Kantengerölle CBI 1907 340
- Kantengeschiebe = Kantengerölle 06 II 437
- Dänemark, im Diluvium CBI 1906 593
- Holland, im Diluvium CBI 1906 15. 425
- Kantengeschiebefrage CBI 1907 105
- Kanter oder Flächner? CBI 1907 547 CBI 1908 17
- siehe auch Facettengeschiebe.
- Kaolin
- Einwirkung von Ba Cl₂ und Sr Cl₂ CBI 1905 138
- — von K Br u. K Cl, Li Cl und Li₂ SO₄ bei hoher Temperatur 05 I 377
- gefärbt durch organ. Farbstoffe BB XXVIII 360
- physikalische Eigenschaften CBI 1906 36
- Kaolin
- Bautzen, Adolphshütte, Beziehung zu Braunkohle 1909 II 94
- Ceylon 06 I 181
- Georgia, Macon, Dry-Branch-Region 09 II 244
- Halle a. S., Beziehung zu Braunkohlen 09 II 111
- Karlsbad, Beziehung zu Braunkohlen 09 II 99
- Kreisau, Schlesien, roter, Anal. 05 II 23
- Kriwoj Rog, hellkirschrot 07 II 191
- Meißen (Lothain und Schletta), Beziehung zu Braunkohlen 09 II 106
- Muldenstein b. Bitterfeld, Beziehung zu Braunkohlen 09 II 113
- St. Vincent, chemisch 07 I 79
- St. Yrieix, Entstehung 07 II 240
- Schneeberg, Analyse. CBI 1905 650
- West-Nyassa-Distrikt, Brit. Zentralafrika 07 I 237
- Kaolinbildung 09 II 245
- im Granit durch einen kalten Säuerling, Gießhübel bei Karlsbad CBI 1909 427. 467
- Kaolinerden, Halle a. S., Entstehung 08 II 190
- Kaolingesteine, Cornwall, Zinnerzlagertstätten BB XXVIII 45
- Kaolinisation, Westengland, versch. Gesteine 1909 II 191 CBI 1908 731
- Kaolinit CBI 1909 333
- Anglesey, optisch 1909 II 191 CBI 1908 312
- National Belle Mine bei Silverton, Col. CBI 1908 I
- Quittein, Westmähren, Eisenerzlagertstätte 05 II 243
- Schwaben, Sandsteine des mittleren Keupers CBI 1909 596
- Kaolinitfels, Cornwall, Zinnerzlagertstätten BB XXVIII 32
- Kaolinlager
- Aufsuchen und Bewerten CBI 1904 410
- Beziehungen zu Braunkohle 09 II 91
- Aue etc., Entstehung 06 II 202
- Kapfenstein, vulkanische Bomben CBI 1908 297

- Kapkolonie
 — Geologie 1907 II 114—118
 — Küstenterrassen 1908 II 46
 — Pflanzen 08 I 148
 — siehe auch Karruformation.
- Kapland, Diamantgruben CBI 1904 153
 — Diamantgestein 08 I 70
- Karachi, Sandablagerung an der Küste bei Clifton etc. 05 II 417
- Karakorumpaß (Kleintibet), Heterastridien CBI 1907 722
- Karakuwa-Schiefer, Jura, Rikuzen, Japan 05 I 465
- Karawanken, Geologie 06 II 241
- Karbidie, Ursachen von vulkan. Eruptionen 05 II 205
- Karbonatgele CBI 1909 328
- Karbonatgesteine, St. Gotthard (Südseite), silikatführende BB XXVII 203
- Karborund, Cañon Diablo, im Meteoreisen 06 I 187
- Kare
 — Schwarzwald 1909 II 412 ff.
 — — Freudenstadt 08 II 94
- Karlsbad
 — Erdbrände 05 I 256
 — Geologie 05 II 95
 — Thermen, Radioaktivität 05 II 343
- Karnische Schichten, Epidaurus (Argolis), Cephalopoden Festband 15
- Karnische Stufe
 — Argolis CBI 1909 81
 — westl. Amerika 08 I 260
- Karolinen, alte Gesteine und Laterit 05 II 71
- Karoomys Browni, Arival North, Südafrika 05 II 306
- Karpathen
 — Analogie mit Alpen 09 I 418
 — Bau und Bild 06 II 395
 — exot. Blöcke im Flysch der Ost- 05 II 410
 — Geologie 09 I 418 ff.
 — Jura der südlichen. Cephalopoden 06 II 120
 — kleine, Geologie 05 I 446
 — Klima zur Eiszeit 05 I 407
 — Klippen, Entstehung 09 I 419
 — Kreide 07 I 435 ff.
 — Rumänische, oligocäne Fischfauna des Bergs Cosla bei Piatra-Neamtz 06 I 153
- Karpathen
 — Tertiär 1905 II 116 ff.
 — Verrucano, Moldau 06 I 407
 — westliche u. mittlere, Geologie 05 II 91
- Karpholith, Anhalt und Prov. Sachsen, in Quarzgeröllen des Diluviums CBI 1906 77
- Karruformation
 — Dicynodontier 08 I 1
 — Kapkolonie 07 II 114
 — Reptilien 07 I 140 ff.
 — untere, Kapkolonie, Anomodontier (Tamboeria Maraisi), mit pneumatisiertem Wirbel 06 I 310
- Karru-Sandstein, Ostafrika BB XXVIII 153
- Karst
 — Bau 06 II 233
 — Verbreitung der Gattung Bradya 05 II 486
 — und Julische Alpen, Geologie 09 I 416
- Karstgebirge, West-Herzegowina 06 II 195
- Karstsystem, Geologie 06 II 248
- Karten, geologische
 — siehe geologische Aufnahmen, Karten, etc.
 — Württemberg, Baden, Elsaß, Pfalz etc., Uebersichtskarte 06 II 84
 — paläogeographische CBI 1908 457
- Karwendelgebirge
 — Geologie 09 I 412
 — Wandbildung 06 I 406
- Karystian der Alten ist Amianth 07 II 22
- Kaschmir
 — Pflanzen des Permocarbon 08 I 453
 — — und Wirbeltiere des Permocarbon 08 I 416
- Kascholong
 — chemisch CBI 1908 635
 — Färöer 09 I 29
- Kastelruther Porphyry, Bozen BB XXVII 134
- Kataklaste
 — kristallinische Schiefer 05 I 70
 — Presanellagruppe, im Tonalit 08 II 363

- Katalonien
 — Vulkane von Olot . . . 1906 II 50
 — — — u. Girona . . . 09 I 222
 Katamorphismus . . . CBI 1906 606
 Katapleit, Los-Inseln, im Nephelinsyenit . . . 08 I 226
 Katarchäische Bildungen, östl. Fennoskandia . . . CBI 1907 37
 Katarchäischer Komplex, Finnland und benachbartes Rußland . . . CBI 1906 600
 Katzen, große, der Höhlen . . . 07 II 317
 Katzenbuckel, Geologie und Petrographie . . . 08 II 350
 Kaukasus
 — Versteinerungen aus Jura, Kreide und Alttertiär . . . 08 II 81
 — nördlicher, Alter des Tertiär . . . 05 I 469
 — westlicher, Geologie u. unterird. Wasser . . . 05 I 55
 — zentraler (Digorien u. Balkalien), Gesteine . . . 07 I 71
 Kaukasusländer, Petrographie . . . 06 I 389
 Kazanesd, Komitat Hunyad, Kieslagerstätte . . . 06 I 234
 Keenia platyschismoides, Permo-Carbon, N.-S.-Wales . . . 07 I 154
 Kehdinger Moor, Geologie . . . 05 II 121
 Kellerwald, Geologie . . . 07 II 90
 Kelloway, Tanga, Deutsch-Ostafrika . . . 06 I 283
 Kelyphitamphibolit, Oetztal . . . 05 II 60
 Kelyphitstruktur . . . 05 I 72
 — der kristallinen Schiefer . . . 05 I 72
 Kendengfauna, Trinil, Java, Alter . . . 09 I 114
 Kendenschichten
 — Java, Altersbestimmg. CBI 1909 513
 — Pithecanthropus erectus . . . BB XXV 648
 Kenit, Antarktis . . . 09 II 76
 Kent, Steinkohlenpflanzen der Waldershare- und der Fredville-Series . . . 09 I 302
 Kentrolith, Bena (dje Padru bei Ozieri (Sardinien), Zusammensetzung . . . 06 II 336
 Keramische Industrie, Rohmaterial . . . CBI 1904 410
 Keramohalit
 — Miseno, Schwefelgrotte 1908 II 333
 — Vesuv . . . 09 I 349
 Keratophyr
 — Deutsche Mittelgebirge, Beziehung zu Diabas . . . 09 I 56
 — Dill und Lahn . . . BB XXVII 301
 — Ecuador, Ostkordillere . . . 06 I 398
 — Grand-Coo, Belgien . . . 07 II 69
 — Harz, systematische Stellung . . . CBI 1909 33
 — Lappland, Eisenerzlagerstätte . . . BB XXIV 548
 — Magnetberg, südlicher Ural . . . 06 I 382
 — Parnesgebirge, Attika CBI 1909 557
 — Thüringer Wald . . . BB XXVII 346
 — Wales, Breidden und Berwyn Hills . . . 05 II 385
 Kerguelen
 — Moorbildungen . . . 06 II 51
 — Windwirkung u. Vulkanismus . . . 06 II 352
 Kern Basin, Kalifornien, Geologie . . . 05 II 101
 Kernkonkretionen, eisenreiche, aus dem Quadersandstein des nördlichen Böhmens . . . BB XXV 467
 Kerolith . . . CBI 1909 331
 Kersantit
 — Heppenheim (Bergstraße) . . . CBI 1906 766
 — Kiautschou . . . 06 II 368
 — Monzoni, Gänge . . . 06 I 62
 — Piz Giuf, östl. Aarmassiv . . . 06 I 372
 — Pyrenäen (Bellongue und Ger-Tal) . . . 05 I 428
 Kersanton, Rade de Brest 05 I 427
 Kerson'sche Unterstufe, Sarmatische Stufe, Moldau . . . 05 I 470
 Kertsch
 — Alter des Tertiär . . . 05 I 469
 — und Taman, Mineralien der Erzschieften . . . 05 II 199
 Kertschenit, Kertsch-Straße . . . CBI 1906 113
 Kerunia cornuta, Eocän, Aegypten . . . CBI 1907 751
 Keßlerloch, Thaingen . . . 08 II 261

- Keuper
 — Bitschu, Japan, Pflanzen 1907 II 342
 — England, Basis in Süddevon 05 II 425
 — Hannover, südliches 08 II 82
 — Neuwelt bei Basel, Alter der pflanzenführenden Schichten . CBI 1906 1
 — Schwaben BB XXV 1
 — — Kaolinit im Sandstein des mittleren . CBI 1909 596
 — — Lagerung und Entstehung im südlichen CBI 1909 41
 — — Phytosaurusschädel CBI 1909 583
 — — Stubensandstein verwendet zum Cölner Dom, Verwitterung . 07 II 42
 — — und Lettenkohle CBI 1907 19. 42
 — Teutoburger Wald (Neuenheerse), Kohlen 07 I 417
 Keuper- und Liasholz, Bayern 09 I 467
 Keuperflora, Neuwelt, Basel 07 I 492
 Keweenawan, Lake Superior-Region 07 I 107
 Keweenawan-Trapp
 — Beziehung zum Sandstein, Wisconsin 06 I 93
 — verbunden mit Lake superior-Sandstein 05 I 231
 Keweenawit, künstlich 05 II 5
 Keyserlingina Schellwieni, Obercarbon, Ural und Timan 05 I 533
 Keyserlingites Dieneri, pagoda und Pahari, Muschelkalk, Himalaya 08 II 244
 Khondalit, Ceylon 06 I 186
 Kiautschou-Gebiet
 — Gesteine 06 II 364
 — Kohlen, anthrazitische 06 II 370
 Kiese
 — Einwirkung von Lösungen 09 II 247
 — Klassifikation 06 I 205
 — Oxydation 09 II 246
 Kieselglas = Quarzglas 08 I 181
 Kieselgur, Mte. Amiata 06 I 235
 Kieselholz
 — Island, Ostküste CBI 1908 66
 — Prinz-Rudolfs-Insel 06 I 35
 Kieselholz und Chalcedon, Martinique 1905 I 373
 Kieselkonkretionen, Kreide, Margny (Oise) 06 II 201
 Kieselkupfer, siehe Chryso-koll.
 Kieseloolith, Sankyo, Japan 07 I 197
 Kieseloolith-Quarzschotter, Rheintal 09 I 240
 Kieseloolithschotter, pliocän, Niederrhein 07 II 292
 Kieselsäure
 — α - u. β -, in Lösung 07 I 22
 — amorphe, Einwirkung von HF 05 I 20
 — Darstellung CBI 1908 225
 — — durch Zersetzung von natürlichen Silikaten 1907 I 23 ff. 344
 — — nach der TSCHERMAK'schen Methode CBI 1908 129.325
 — — fasrige und Verhältnis zu Opal und Quarz . BB XXV 182
 — geschmolzen, Wirkung auf TiO_2 , ZrO_2 etc. 09 I 184
 — mehligte, wasserhaltige (Grossouvréit) 05 I 445
 — Molekularanordnung in den versch. Modifikationen 08 I 330
 — Schmelzung 1909 I 181. 182
 — tetragonale Elementarform etc. 08 I 329
 — wasserhaltige, mehligte, Entstehung 05 I 445
 — u. Flußsäure, System 1905 II 4 06 I 6
 Kieselsäuregel CBI 1909 331
 — gemengt mit Tonerde-gel, Beziehung zu Al-lophan etc. CBI 1908 622. 661
 Kieselsäureminerale auf Hohlräumen im Basalt, Weitendorf, Steiermark BB XXVII 242
 Kieselschiefer, radiolarien-führend, Cambrium (Silur), Sachsen CBI 1905 411
 Kieselwolframsaure Cerit-erden, Kristallisation 07 I 4
 Kieselzinkerz
 — Brechungskoeffizienten bei -190^0 08 I 166
 — gibt durch HCl Ortho-kieselsäure 07 I 25

- Kieselzinkerz
 — Altai, Syrjanow'sche Grube 1909 II 368
 — CliftonMorenci-Distrikt, Arizona 06 I 173
 — Markirch 09 I 25
 — Nagolnij Krjasch, Donetz-Becken 07 II 196
 — Perwoblagodatny-Grube, Ural 06 I 27
 — Polen 09 II 346
 — Rhodesia Broken Hill mines 1909 II 36 CBI 1907 602
 Kieserit 09 I 316
 — Bildung unter 25° in ozean. Salzlagern 06 I 163
 Kieslagerstätten
 — Einfluß der Metamorphose auf die mineral. Zusammensetzung 05 II 406
 — Aznalcollar (Sevilla), Entstehung 08 I 85
 — Bosnien u. Hercegowina 06 II 381
 — Cala und Castillo de las Guardas, Sierra Morena 06 I 229
 — Erzgebirge, sächs. 07 II 80
 — — westliches, Klingental und Gräblitz 07 II 81
 — Huelva, Entstehung 08 I 85
 — Kärnten 06 I 234
 — Sulitelma Roeros-Klingental 09 II 240
 Kieslingswalde, Kreide 05 I 300
 Kiesmoränenlandschaft, Osthannover 05 II 442
 Kiesströme, Gräfenhainichen—Schmiedeberger Plateau, interglazial 1909 I 110 09 II 108
 Kighuaik Series, Alaska 05 II 272
 Kilimandscharo
 — Geologie 07 I 423
 — Gesteine 07 II 411
 Kimberley-Grube, Hard blue-Gestein 09 II 238
 Kimberlit
 — Kapland, in Gängen u. Vulkanschloten 08 I 70
 — Südafrika, in Gängen und Vulkanembryonen 09 II 239
 Kimberlitgang, Newlands-Grube, Südafrika 09 II 237
 Kinderhook-Fauna, Missouri etc., Alter 06 I 274
 Kingena latifrons und triangularis, Glandarienkalk, Syrien 1906 I 279
 Kinnekulle, Geologie 06 I 272
 Kinzigit, Laudenu, Odenwald CBI 1907 66
 Kirchenglocken erzeugen Bodenschwingungen, Leipzig 05 II 370
 Kirgisensteppen, Geologie CBI 1908 765
 Kiruna, Lappland, Eisenerzlagerstätte BB XXIV 557
 Kladsno—Rakonitzer Kohlenbecken, Böhmen 06 I 275
 Klamath Mountain, Kalifornien, Geologie 1905 II 105. 411
 Klassifikation
 — chemische, der Eruptivgesteine 05 I 412
 — Eruptivgesteine auf Grund der Zusammensetzung CBI 1905 249
 — genetische, der Mineralien 09 II 330
 — der Intrusivformen 07 I 51
 — petrographische, Amphibolgesteine der kristallinen Schiefer CBI 1905 407
 — — siehe petrographische Klassifikation 05 II 52
 — Sedimentgesteine 06 I 47
 Klastische Gesteine
 — gangförmig, Kalifornien 06 I 224
 — Paläozoicum, rhein. Schiefergebirge 09 II 216
 Klausschichten, Südkarpathen, Cephalopoden 06 II 120
 KLEIN, CARL, Nekrolog . CBI 1907 641
 Kleinasien
 — Bodenschätze u. Bergbau 08 I 395
 — Eruptivgesteine des nordwestlichen 07 II 70
 Kleinit
 — Terlingua, Texas 1907 I 194 09 I 173
 — — — Zusammensetzung CBI 1906 200
 Klerksdorp-Distrikt, Transvaal, Geologie 07 I 111
 Klima
 — der geologischen Perioden 08 II 74
 — Karpathen zur Eiszeit 05 I 407

- Klimaänderungen u. Eiszeit, Kohlensäurehypothese von ARRHENIUS CBI 1909 481. 539. 660
- siehe auch Kohlen-säurehypothese.
- Klimatische Oszillationen u. Eiszeiten verschiedenen Alters 1908 II 345
- Klimaunterschiede in den geologischen Zeiten 09 II 43
- Klinkermineral (Felith) im Zement 08 II 379
- Klinochlor
- Affaccata, Elba 07 II 39
- Zwillinge CBI 1907 403
- Klinoedrit, Franklin, N.J., Kristalle BB XXIII 301
- Klinoenstatit u. Enstatit 09 II 176
- Klinozöisit, Hardegg, Niederösterreich CBI 1909 397
- Prägraten, Gößlerwand 08 I 27
- Susa-Tal, im Prasinit der Rocca Bianca 1906 II 105 ff.
- Klippe des Annes, Savoyer Alpen, Geologie 1905 II 250. 251
- Klippen
- Giswyl am Brünig . CBI 1907 481
- Schweizer Alpen und Chablais 06 I 248
- Westalpen 07 II 428
- Klippenfazies im Cenoman, Böhmen 06 II 427
- Klippenkalk, Cetechowitz
- Klippenzone, pieninische, Westkarpathen, Geologie 05 II 91
- Klippenzug Korlat—Smilčić, Dalmatien, Entstehung 07 I 105
- Klondike-Distrikt
- Bildung des Golds der Quarzgänge 09 I 78
- Goldvorkommen 09 I 235
- metallführende Quarzgänge 08 I 398
- Klüftung kristallinischer Schiefer 05 I 74
- Knebel-Caldera, Island . BB XXVI 420
- Knemiceras compressum, Kreide 07 II 151
- Knemiceratidae, Kreide 07 II 151
- Knochenhöhlen, Renntierzeit, Artefakten 06 I 130
- Knochenhöhlen
- Alb, schwäbische . . . 1908 I 105
- Altamira, Pyrenäen, Malereien 06 I 132
- Belgien, Kanibalismus 08 I 119
- Bouffia de la Chapelle-aux-Saints, Sourdore-Tal (Corrèze), Mensch 1909 I 124. 125
- Gola von Pioraco, ob. Potenza-Tal, Mensch und diluviale Säugetiere 06 I 134
- Gougheavern, Cheddar, Menschen- und Säugetierreste 06 I 133
- Grimaldi (Grottes de Mentone), Alter 1908 I 109. 115 08 II 422
- Grotta Romanelli bei Castro (Terra d'Otranto), Interglazialfauna 06 I 131
- Heinrichshöhle bei Sundwig, Säugetiere 06 I 129
- Lacave (Lot) mit Menschenspuren 06 I 445
- Lagoa Santa, Minas Geraes, Brasilien, Ungulaten 07 II 134
- Potenza-Tal, oberes, diluviale Säugetiere 06 I 133
- Potter Creek Cave, Kalifornien 06 I 125
- Rotesfeld (Podkalem, Pokala), bearbeitete Knochen 06 I 132
- S. Teodoro, Taormina etc. (Messina), diluv. Säugetiere u. Mensch 06 I 142
- Spanien (Santander), Säugetiere 09 I 130
- Thaining, Keßlerloch 08 II 261
- Wildkirchli-Ebenalp, Säntis 08 I 106
- siehe auch Höhlen.
- Knodyart-Formation, Neuschottland 05 I 289
- Knollengrube, Lauterberg, Harz 05 II 398
- Knollenschiefer, Devon, Ostthüringen . BB XXIV 248. 309
- Kobalt, Legierungen mit Eisen 06 II 157
- Kobaltblüte
- Brechungskoeffizienten 08 II 143
- Markirch 09 I 25

- Kobaltchlorid, Kristallform, Deformationen und optisch 1906 I 92
- Kobalterzgänge, Chile, San Juan, turmalinführend 09 I 79
- Kobaltglanz
— Markirch 09 I 25
— Ontario, nördl., Canada 07 I 195
- Kobaltlösungen, Einwirkung auf kohlensauren Kalk 05 II 358
- Kobaltnickelkies, siehe Linneit.
- Kobaltsulfid, künstlich, Schmelzpunkt 09 II 183
- Kochites, systematische Stellung CBI 1906 420
— aulonotus CBI 1906 239
— = Schistophylloceras 09 II 139
- Kodru-Gebirge, Ungarn, Geologie 06 II 94
- Köln, siehe Cöln.
- König-Karls-Land, fossile Hölzer 09 I 301
- Köbener Schichten, Nothosauride CBI 1907 337
- Kogia, Boldérien, Antwerpen 07 I 134
- Kohlen
— Selbstentzündung CBI 1906 772
— stoffliche Beschaffenheit 06 I 235
— Umwandlung aus Torf 08 I 86
— Alaska, Bering River 09 I 396
— — Cape Lisburne Region 08 II 378
— — Kachemak Bai Region, Kenai Peninsula 08 II 377
— — Yukon 06 I 237
— Andö, Norwegen, Jura 06 I 426
— China 09 II 79
— England, Vorrat 07 II 85
— Kiautschou, anthrazitische 06 II 370
— Neuseeland 08 I 399
— Rheintal, unteres 07 II 283
— Texas, Trans-Pecos 06 II 179
— Trinidad 07 I 85
— Turatschi, östlicher Tien-Schan, im Jura 06 I 98
— Ungarische Länder CBI 1904 52
— Ungarn 06 I 236
— Westgotland, uranhaltig (Kolm) 05 I 367
- Kohlen
— Yukon, Alaska 1906 I 237
— siehe auch Steinkohlen und Braunkohlen.
- Kohlenbecken
— Gard, Frankreich, Tektonik 09 I 366
— Kladno—Rakonitz 06 I 275
— Limburg u. Westfalen 05 I 456
- Kohlenbrände, Wyoming, veränderte Tone 07 I 244
Kohlenfelder, Neuseeland 05 II 277
- Kohlenflöze, Niederschlesien—Böhmen, Teufe in der inneren Mulde 09 II 301
- Kohlenführendes Gebirge, Temperatur 05 II 203
- Kohlenkalk
— Dinant (Belgien), Echinodermen des schwarzen Marmors 05 II 147
— Man, Amphoreopsis paucicamerata 07 I 482
— Namur, Spongiostromidae 07 I 131
— Visé, Tektonik 05 I 456
- Kohlenlager, Alaska, Bering River 09 I 396
— siehe auch Kohlen, Alaska.
- Kohlenoxyd und Wasserdampf in Glühhitze 08 I 212
- Kohlensäure
— juvenile und vadose 07 II 61
— kaolinbildendes Agens im Granit, Gießhübl. CBI 1909 471
— im Meer, Spannung 07 II 54
— und Wasserstoff in Glühhitze 08 I 212
- Kohlensäuregasvorkommen, Württemberg 08 I 95
- Kohlensäuregehalt
— der Luft, Abnahme 08 I 210
— des Meerwassers 08 I 53
- Kohlensäurehypothese
— von ARRHENIUS, betr. Eiszeit CBI 1909 481. 539. 660
— — u. FRECH, Ursache der permischen Eiszeit CBI 1908 360. 456. 553
- Kohlensaurer Kalk, chemisches Verhalten zu gewissen Lösungen (Alkalikarbonaten, Kobaltlösungen etc.) 1905 II 357 ff.
— siehe Kalk, Kalkstein etc.

Kohlenstoff					
— Entstehung von schwarzen, aus Diamant . . .	1905	I	15		
— von Glühlampen. Zustand	05	I	16		
— Modifikationen	06	II	320		
— Natur	08	II	368		
— siehe Diamant, Graphit etc. u. Schungit.					
Kohlenstoffeisen, Cañon Diablo, im Meteor-eisen	08	II	183		
Kohlenstoffmineraleien, besonderer Wissenszweig	09	II	36		
Kohlenvorrat Englands	07	II	85		
Kokardenstruktur, sekundäre	CBI	1907	411		
Kokkolithen					
— Island, Meer gegen Grönland (Ingolixpedition)	05	I	424		
— nordatlant. Ozean, in Grundproben	05	I	425		
Kokkolithischer Zerfall beim Basalt	CBI	1909	311		
Kok-schaal-Tal, südlicher Tian-Schan, Geologie	BB	XXII	270		
Kok-schaal-Tau, südlicher Tian-Schan, Geologie	BB	XXII	307		
Kolloidale Goldlösungen, opt. Eigenschaften	05	II	152		
Kolloidchemie	CBI	1907	471		
Kolloide Aufflockung	08	II	151		
Kolloid- und Kristalloid-zustand	08	II	5		
Kolm					
— Schweden, Rohprodukt für Radium	06	I	326		
— Westgotland	05	I	367		
Komarom-Komitat, Ungarn	07	I	276		
Kombinationsstreuung d. Kristallflächen	09	II	3		
Komjat, Ungarn, Geologie	07	I	276		
Kompensator, Quarzkeil, am Mikroskop-Okular	CBI	1906	745		
Komplikationsregel, Erweiterung	CBI	1905	427		
Kompression, Ursache der Dichteverminderung	05	II	408		
Komprimierbarkeit, Gesteine	07	I	263		
Konchit, Skelett der Kalkschwämme	CBI	1905	582		
Kondensor, Verbesserung	07	II	3		
Konga-Diabas, Tasma-nien, North-West-Bay	1908	I	394		
Konglomeratblöcke, Pilsen, miocäne, im Quar-tär	06	II	353		
Konglomerat					
— Dear Creek, Arizona, mit zerbrochenen Geröllern	08	I	241		
— Eagle Rock-Tal, Kalifornien, Struktur	09	II	64		
— Ellyay, Gilmer County, Georgia	08	II	370		
— Lake Superior, Nord-küste, mit Granitgeröllern	08	II	374		
Konglomeratgneis, Gristow (Pommern), als Diluvialgeschiebe	CBI	1906	625		
Kongo-Freistaat, Geologie	07	I	237		
Koninckina alfurica, Trias, Timor	BB	XXIV	186		
— (Koninckodonta)Geyeri, Mittellias, Corfu	BB	XXI	295		
— productiformis, ladi-nische Stufe, Dobru-dscha	08	I	419		
Koninckites Mushbachanus, Trias, Amerika	06	II	304		
Konjesko-Polje bei Spalato, Geologie	05	I	453		
Konkretionen	06	I	226		
— eisenreiche, aus dem Quadersandstein des nördlichen Böhmens	BB	XXV	467		
— eisenschüssige, Red-banksande, Monmouth County, New York	08	II	375		
— neue Formen	08	II	6		
Konoskop, Untersuchung ein- und zweiachsiger Kristalle	09	II	328		
Konstante, MALLARD'sche, des Mikroskoposkops	09	II	327		
Konstitutions- und Kri-stallwasser, Lichtab-sorption im Ultrarot	07	I	12		
Kontaktbildungen					
— Baden-Baden, amGranit	CBI	1905	343		
— Böhmen, Granit am Kalk	06	II	360		
— Böhm. Erzgebirge, Rothau, Granit	BB	XXIII	479		
— Brixener Masse	05	II	381		

- Kontaktbildungen
 — Concepcion del Oro, Zacatecas, Mexiko, am Granodiorit BB XXVIII 431. 455. 457. 480
 — Gloggnitz, Oesterreich, Phyllit am Forellenstein 1905 II 52
 — Marienberg bei Aussig (Turonmergel u. Phonolith, Hibschit) 08 I 374
 — Marysville-Distrikt, Montana 09 I 74
 — Musarttal, Tian-Schan 09 I 224
 — Pojána-Ruszka, Ungarn 06 I 262
 — Rhode Island, am Granit 09 II 391
 — Tessiner Alpen, am Granit (Gneis) 08 II 200
- Kontakterscheinungen
 — Erzgebirge, am Gneis 09 I 212
 — Highwood Mountains, Montana 06 II 373
 — Luisenburg bei Wunsiedel, am Granit 07 II 62
 — Ober-Mölltal, Kärnten 08 II 360
 — Olonez-Gouv., am Diabas 09 I 220
 — Red Hill, Moultonboro N. H. 09 II 389
- Kontaktgesteine
 — Enderby-Land, gedredschit 06 II 371
 — Presanellagruppe, nördlicher Abhang 08 II 366
 — Tolfa, mit Granat 06 I 376
- Kontaktthof, Brockenmassiv, devon. Eruptivgesteine und Tuffe bei Harzburg 06 I 209
- Kontaktlagerstätten, Concepcion del Oro, Zacatecas, Mexiko BB XXVIII 516
- Kontaktmetamorphe Bildungen, Pfalz 09 I 54
- Kontaktmetamorphe Erzlagerstätten, Japan, paragenetische Verhältnisse 09 I 32
- Kontaktmetamorphe Magnetitlagerstätten 05 II 404
- Kontaktmetamorphe Schiefer, innerer Odenwald CBI 1907 116
- Kontaktmetamorphes Paläozoicum der SO-Flanke des Sächsischen Granulitgebirges CBI 1905 257
- Kontaktmetamorphismus CBI 1906 607
 — Vorgänge 1908 I 80
 — Ampasindava (Madagaskar), am Granit 05 I 438
 — Cheviot Hills, am Granit 05 I 430
 — Madagaskar, am Granit 05 I 248
 — Posto dei Cavoli bei S. Piero in Campo, Elba, Granit u. Kalk 06 I 373
 — Pyrenäen, am Granit von Reynès u. Latour 05 I 430
 — Schottland, am Ganggranit, Zusammensetzung vergl. mit Gangrand u. Zentrum 05 I 431
- Kontaktmetamorphose
 — bei Kalkstein 09 II 160
 — Ursache CBI 1905 93
 — Alaska, am Granit, Bormineralien im Kalk 09 II 342
 — Baden-Baden 1908 I 92
 — Bayr.-Böhm. Grenzgebirge 08 I 61
 — Birma, Jadeitlagerstätte 09 I 186
 — Brixen, am Granit 09 I 387
 — Erlenbach (Odenwald), Hornblendegranit und Schiefer, exogene und endogene CBI 1906 763
 — Kap Yatau (Kiautschou), am Granit 06 II 366
 — Kristiania CBI 1909 405
 — Odenwald, Gabbro, endogene 09 I 376
 — am Granit 06 II 58
 — Piatigorsk (Kaukasus), Lakkolith 07 I 235
 — Pizzo Forno, Tessin BB XXVI 535
 — Raspenau, Böhmen, am Kalkberg 06 I 57
 — Rican bei Prag 08 I 58
 — Sachsen, Granulitgebirge CBI 1907 521
 — Scawt Hill, Antrim, Irland, Kalk und Diabas 09 II 230
 — Sérifos-Insel, Griechenland, Magnetit 08 II 78

- Kontaktmetamorphose
 — Sternberg—Bennisch, Mähren, Schalsteinzug, am Diabas CBI 1907 289. 296. 321
 — Transvaal, Lakkolith des mittleren 1907 I 236
 — Troitzk, Nord-Ural, Magneteisen, am Granitporphyr 06 II 223
 Kontaktminerale
 — Cornwall, Bodmin- u. Camelford-Area, am Granit 09 II 205
 — Friedeberg (Oesterr.-Schlesien) 07 II 33
 — Schlaggenwalde 07 II 32
 Kontaktverhältnisse, Jeschkegebirge, am Diabas 08 I 371
 Kontaktwirkungen
 VAN HISE CBI 1906 607
 — schwäb. Alb, am Basalt 06 II 205
 — Skye, am Granit 06 II 67
 — — tertiäre Intrusivgesteine 06 II 65
 Kontinentale Hebungen und Senkungen 05 I 222
 Kontinente, Größe der alten 07 I 32
 Kontinuierliche Reihe von Kristallformen in einer Zone 05 II 332
 Kontraktionsfalten, Entstehung 08 I 248
 Kontraktionsfiguren und -risse bei Zeolithen nach Behandlung mit Säuren 08 I 336
 Kontraktionsrisse im Kersanton, Brest 05 I 428
 Kontraktionstheorie (Erdinneres, Ausgleich mit der Expansionstheorie) 05 I 401
 Konzentrationsprozesse, Bedeutung für Lagerstättenlehre u. Lithogenese 06 I 72
 Konzentrationszone der Erzlagerstätten 08 I 400
 Koordinatentransformation der Indizes von Kristallflächen 07 I 182
 Kootanie-Formation, Flora 07 II 505
 Kopalborkenkäfer, balt. Bernstein 08 II 112
 Koprolithen, Perm, Texas 1907 I 319
 Korallen
 — Bedeutung für Altersbestimmung 09 II 484
 — Phylogenie 09 II 142
 — Carbon 09 I 292
 — Cenoman, Griechenland 09 II 484
 — Dogger, St. Gaultier (Indre) 09 I 293
 — Kreide, Ostgalizien 09 I 294
 — paläozoische 09 I 293
 — — Bau 09 II 140
 — — Ostthüringen, Kalkspat und Aragonit . BB XXIV 252
 — Phiocän, Niederl.-Indien 09 II 141
 — Trias, Griechenland 09 II 483
 — untercarbon. Transgressionsmeer, Tianschan BB XXVI 215. 228
 — unt. Tertiär, Barcelona 09 II 485
 Korallenformation, Mte. Zovo bei Mori (Trient), Alter CBI 1908 104
 Koralleninseln, Pteropoden- und Globigerinenschlamm in den Lagunen 07 II 218
 Korallenkalk, chemisch u. mikroskopisch 07 II 217
 Korallenknollenschiefer, Devon, Ostthüringen BB XXIV 309
 Kordillere
 — Argentinien, oberer Malm u. untere Kreide BB XXIII 187
 — Columbia, mittlere, Geologie CBI 1907 720
 — — Zentral-, Geologie CBI 1907 545 CBI 1908 195
 — Ecuador, Gesteine 05 II 76
 — — östliche, Alter und Gesteine 06 I 392
 — Peru, mittlere, Geologie 07 II 265
 — siehe auch Anden und Vorkordillere.
 Korea
 — Fusulinenkalk 07 I 331
 — Goldvorkommen von Tangkogae 07 I 258
 — mesozoische Pflanzen 07 II 343
 — Mineralien 08 II 333
 Koriogene Sphärolithe 06 I 204

- Korngröße
— und Löslichkeit . . . 1906 I 6
— von nordamerikanischen Diabasen . . . 07 II 418
- Korsika
— Erosionserscheinungen 06 I 45
— Gebirgsbau 09 I 99
— Gesteine 07 II 404 ff.
— Glazial 05 I 55
- Korund
— ausgetrennt aus Silikatschmelzen . . . CBI 1905 361
— edler, künstlich . . . CBI 1908 179
— Färbung durch Radium 07 II 170
— siehe auch Färbung.
— Neubildung in Schmelzflüssen 08 II 6
— Synthese CBI 1905 148
— synthetische, edle, Brechungskoeffizienten CBI 1909 673
— Afrika, Deutsch-Ost- . . 07 II 384
— Australien, Sapphir . CBI 1905 588
— — — mit Lichtschein 07 I 17
— — und Ceylon, Sapphir, Kristallform, Aetzfiguren und Brechungskoeffizienten . . 06 I 41
— Barkhamsted, Connecticut, im Glimmerschiefer 05 II 393
— Birma, große Kristalle von Sapphir u. Rubin CBI 1905 588
— Brockenmassiv, in Ton- schieferhornfels . . . 09 I 56
— Cadonighino, Tessin . BB XXVI 519
— Canyon City, Col., im Pegmatit 09 II 386
— Ceylon 1906 I 179. 183. 185. 186
— — Vorkommen bei Kandy 05 II 13
— Kalifornien, Spanish Peak, im Plumasit . . 07 II 76
— Karolina, South Mountains, im Graphit, chemisch 09 II 369
— Leoran (Cantal), Einschluß im Andesit . . 06 I 379
— Malaienstaaten (Perak), technische Nutzg. 07 I 80
— Nordamerika, Produktion 1902 05 I 208
— Perth, Ontario, Pseudomorphose nach K. 07 II 13
— Rhein, Einschluß im Basalt CBI 1908 102
- Korund
— Rhein, Finkenbergr bei Bonn, im Basalt, Sapphir CBI 1908 419
— Sohland a. d. Spree, im Diabas 1905 I 94
— Yogo-Gang bei Yogo Gulch, Montana, Sapphir 07 II 42
— siehe auch Rubin, Sapphir, Schmirgel.
- Korundgestein (Plumasit), Mosso (Piemont) 05 I 372
- Kosmische Natur der Moldawite etc. CBI 1908 737
- Kosmographie, chemische CBI 1905 91
- Kossmatia 07 II 470
- Kostak-Berg b. Spalato, Geologie 05 I 452
- Koyukuk series, Alaska, nördliches 06 I 93
- Krafftoceras Haydeni u. Krafftii, anthracolith. System, Perm, Zentral-Himalaya 05 II 281
- Krakatindur-Vulkanspalte, Island BB XXVI 41
- Krakau, Geologie 05 II 98
- Krambergeria lanceolata, oligocäne Fischfauna, Berg Cosla b. Piatra-Neamtz, Rumän. Karpathen 06 I 153
- Krapina, Homo primigenius etc. 1906 II 273. 277 07 II 474
. CBI 1909 329
- Kraurit CBI 1909 329
- Krebse, macrure, Oligocän, Wight 05 II 317
- Krebshöhe bei Schönpriesen, Böhm. Mittelgebirge, Zeolithe . . CBI 1909 154
- Kreide
Allgemeines.
— Ammoniten, Stammesgeschichte CBI 1909 420
— Austern des Senon, Systematik BB XXII 657
— Dammara u. Brachyphyllum 09 II 153
— Echinodermen 07 II 153
— Hippuriten, Entwicklung 06 II 453
— Ichthyosaurierreste . BB XXV 422
— Lepidorbitoides 08 II 290

- Kreide
- Orbitoiden zur Gliederung des Senon unbrauchbar 1907 I 159
 - Palinosphären der Mucronatenschichten CBI 1905 402
 - Pseudoceratites 07 II 147
 - senone Korallen 07 I 487
 - Tiefennatur der Sedimente BB XXV 382
 - Wirbellose der Sammlung der Academy of Nat. Sciences, Philadelphia 06 II 439
- Afrika.**
- Aegypten, Blättermergel von Theben 06 II 122
 - — Fauna 05 II 284
 - — Abu-Roasch 06 I 294
 - — zwischen Kairo u. Suez 09 I 100
 - — Libysche Wüste, oberste 07 I 437
 - — — Overwegischichten und Blättertone 06 I 319
 - — Ober-, nubischer Sandstein CBI 1905 115
 - — Angola, Küstenzone 06 II 111
 - — Kamerun BB XXVIII 274
 - — Mungo, obere 05 I 153
 - — Madagaskar, Echiniden 05 II 149
 - — Diego Suarez, Cephalopoden 07 II 333
 - — nördliches, u. Indischer Ozean 07 I 429
 - — nordöstliches, Albanien 06 I 294
 - — Ostküste, Fanivelona, Senon 06 II 113
 - — Westküste, Unter-senon 06 I 100
 - — Marokko, Atlas 1908 I 265, 266
 - — westliches 06 I 293
 - — Natal, Petrefakten der Umkwelane Hill deposits, Zululand 06 I 307
 - — Umsinene Riverschichten, Zululand 07 II 304
 - — und Zululand 07 II 289
 - — Ostafrika
BB XXVIII 150 CBI 1908 651
 - — Pondoland 07 II 306
 - — Ost-, Foraminiferen und Ostrakoden 05 II 152
- Kreide
- Somaliländer, untere 1906 I 280
 - Tunesien, Bryozoen 05 II 145
- Amerika.**
- Nord- u. Mittelamerika.**
- — Alaska, nördliches 06 I 92
 - — u. Cook Inlet 07 I 278
 - — Antillen, kleine, Eruptivgesteine 06 II 376
 - — Colorado 07 II 125
 - — Kalifornien, Santa Clara Valley 08 I 432
 - — u. Oregon-Becken 06 I 287
 - — Kansas, Fische 05 II 131
 - — Mexiko, Cardenas, San Luis Potosi, Senon-Mollusken 08 I 102
 - — Concepcion del Oro, Zacatecas BB XXVIII 426
 - — Mazapil, untere 07 II 469
 - — Rancho de San Pablo 08 II 178
 - — Sierra de Mazapil und Santa Rosa 07 I 280
 - — Montana, Hell Creek beds 08 I 431
 - — Hoploparia 08 I 443
 - — Unio-Spezies der Laramie-Gruppe 08 I 445
 - — Südzentral- 06 II 423
 - — New Jersey, Cliffwood 05 I 302
 - — — Fauna 07 II 132
 - — — Matawan-Formation, Pflanzen 07 I 494
 - — — obere 07 II 125
 - — New Mexiko, Lagerg. 05 I 302
 - — Los Cerillos 08 I 436
 - — New York, Flora d. südlichen 08 I 454
 - — Long Island, Pflanzen 07 I 495
 - — Nordamerika, Budalimestone, Mollusken und Korallen 06 I 308
 - — Dakotasandstein, Verbreitung 07 I 438
 - — Flora 07 II 504
 - — Laramie, Bezeichnung 08 I 432
 - — Morrisonformation 07 I 286
 - — Säugetiere 07 I 456
 - — Wirbeltiere der Belly river series 07 I 439

Kreide

- Texas, Ammoniten 1906 I 313
- Vancouver 07 II 289
- Vereinigte Staaten, Black Hills, Flora der Dakota-Formation 07 II 505
- — Kohlen der Rocky mountains 08 II 221
- — Maryland, Delaware u. New Jersey, Matawan-Formation 05 I 303
- Wyoming, Laramie-Schichten, Wirbeltiere 07 I 438
- Wyoming-Nebraska, Laramie 06 I 268

S ü d a m e r i k a .

- Argentinien, Säuge-
tiere 05 I 132
- — Reptilreste, Chubut 05 II 307
- — Ungulaten 05 I 167
- — Wirbeltiere 06 II 124
- — untere, Kordillere BB XXIII 187
- Brasilien, Bahia, Fische 08 II 447
- — NO-Küste 09 I 103
- Chile, Aconcagua (Cuchilla de los Erizos) BB XXIV 727
- Ecuador, Ostkordillere 1906 I 392. 399
- Feuerland CBI 1908 193
- Patagonien 05 I 137
- — Ammoniten der unteren BB XXV 601
- — Fossilien 07 II 142
- — marine BB XXI 98. 128
- — obere 07 II 108
- — Säugetiere 1905 I 497
- — Ungulaten 05 I 167
- Peru, mittleres BB XXIV 69
- — Yauli 08 I 437

A n t a r k t i k u m .

- Grahamsland etc. 09 II 101

A s i e n .

- Bara-Bai (Buru), Mollusken, Ammoniten d. Asphalt-schiefer BB XXII 686
- Bithynische Halbinsel CBI 1909 656
- Borneo, Silatgruppe 07 I 437
- China, Pflanzen 07 II 342
- Indien, Orbitoiden 09 I 142
- — Beludschistan, Salrange und Sind CBI 1905 171

Kreide

- Indischer Archipel, Land und Meer 1907 I 112
- Japan, Hokkaidō, Cephalopoden 05 I 529
- Jerusalem 07 I 422
- Libanon, Fische 05 II 481
- — Pyknodonten von Hakel CBI 1907 360
- Persien 06 I 442
- Sulu-Inseln, Grenze gegen Jura 05 I 151
- Sumatra, Unterneocom 07 II 449
- — SW-Djambi CBI 1907 484
- Syrien, Korallen des Cenoman 09 II 484

A u s t r a l i e n .

- Neu-Caledonien, unt. 06 I 294
- Neu-Guinea 07 I 129
- — Niederländisch- BB XXII 395
- Neuseeland, Kohlen d. Waipara series 05 II 278
- N.-S.-Wales, Invertebraten 05 I 318
- Queensland, untere 07 II 289

E u r o p a .

B a l k a n h a l b i n s e l .

- Balkanhalbinsel, südwestliche BB XXI 249
- Griechenland CBI 1906 541
- — Argolis, Infracretacé 05 I 298
- Montenegro 07 II 107

B e l g i e n .

- Echinocorys 06 I 155
- Mosasaurier 05 II 308
- Bernissart, Wealdenflora 07 I 491
- nördliches 06 I 289

D ä n e m a r k .

- Dänemark 08 I 430
- — Petrefakten 06 I 309
- Faxe, Dolomit 07 I 221
- — u. Schonen, Brachyuren 06 II 141

D e u t s c h l a n d .

- Bayern, Regensburg, Mikrofauna 08 II 284
- Bayrischer Wald, Westrand BB XXI 472 ff.

Kreide			Kreide	
— Braunschweig, Algermissen, mittl. Gault	1905	I 317	— Hannover, südliches Transgressionen	1907 II 96. 98 1908 II 78
— — Bettmar b. Braunschweig, Aequivalent der Clansayes-Fauna	CBI 1907	266	— — Vöhrum, Fossilien des Albien	08 I 278
— — Biewende, Groß- u. Klein-, Unterseenon	06	I 285	— Helgoland, Ammonitiden der unteren	05 I 466
— — Braunschweig, Cephalopoden d. unteren	05	I 176	— Norddeutschland	07 II 468
— — — Flammenmergel, Varians-Pläner u. Turon	06	II 428	— — Ammonitiden der einzelnen Zonen	08 I 265
— — — östlich von, Brunsvicensis-Ton	06	I 284	— — Gliederung der unteren CBI 1908	107. 162. 140. 221. 242. 289. 753
— — — Broitzem, Granulatenkreide	06	II 427	— — Plesiosaurus aus Wealden	CBI 1905 681
— — — Eckerkrug, Ilsenburgmergel	06	II 427	— Nordwestdeutschland, Belemnites und Actinocamax im Cenoman	06 II 426
— — — Hämelerwald und Hohenhameln, Gault, Fauna	06	II 425	— Ostpreußen	07 II 463
— — — Königsutter, Mucronatensenon	06	I 285	— Pommern	08 I 428
— — — Volzum, Turtia	06	II 426	— — Greifswalder Oie	07 II 99
— — — und Hannover, unt.	07	I 288	— Rheinland-Westfalen, Deckgebirge des Carbons	06 II 105
— — — und Ilsede, Cephalopoden des Unterseenon	07	I 482	— — Ruhrkohlenrevier	1907 I 413. 416
— — — Deister, kleiner, Nesselberg u. Osterwald	07	I 418	— Sachsen, oberste	06 I 286
— — — Nenndorf a. Deister, Wealden	06	II 413	— — Ammoniten	05 I 353
— — — Hannover, Bentheim-Isterberger Sattel	09	I 410	— — Gastropoden	06 I 317
— — — Emsgegend, westl., untere, u. Transgression d. Wealden	07	I 434	— Sachsen, Schlesien u. Böhmen, oberste	BB XXIV 676
— — — Hildesheim (Galgenberg u. Vorholz)	07	I 420	— Sachsen, Prov., Quedlinburg, Pflanzen der oberen	07 I 492
— — — Lüneburg	1906	II 427	— — — Hausmannia u. andere Pflanzen	07 II 343
— — — — angebl. Gault und Transgression	CBI 1907	692	— Schaumburg-Lippesche Mulde, Fauna	06 I 441
— — — — Mortoniceras pseudotexanum, im Emscher	CBI 1906	379	— Schlesien, Cephalopoden (Rhyncholithen) des Neocom	08 I 301
— — — — oberer Gault	CBI 1909	619	— — Kieslingswalde	05 I 300
— — — Misburg bei Hannover, Belemnites ultimus etc.	06	I 316	— Schleswig-Holstein, Dithmarschen, Schichten mit Inoceramus labiatus u. Belemnites ultimus	CBI 1906 275
— — — Nettlingen, Puzosia Mülleri, im Scaphiten-Pläner	CBI 1905	452	— Teutoburger Wald	1905 II 258 1906 II 418. 419 CBI 1909 76
— — — Stederdorf u. Horst, Kr. Peine, untere	06	II 104	— — Muschelkalkgerölle im Serpult	06 II 86
			— — bei Lengerich	09 II 253
			— — unteres Angoumien in den Osning-Bergketten	06 II 102

Kreide		
— TeutoburgerWald, südlich Osnabrück . . .	1909 II	248
— Uckermark, Grimme . . .	07 II	123
— Westfalen	CBI 1909	284
— — und Rheinland, Deckgebirge des Carbons	06 II	105
— — Dislokationen etc.	06 II	86
— — Faziesverhältnisse	BB XXV	379
— — Eggegebirge, östlich vom, Gräben in der Trias	08 I	407
— — Paderborn bis Eggegebirge	07 II	97
— — — Pläner mit Actinocamax plenus	06 I	316
— — — Ursprung der Paderquellen	06 II	414
— — südliches, Fazies in den Scaphitenschichten	06 II	105
— — westl. Münsterland, Granulatschichten	08 I	427
— Westpreußen, Unter- senon	07 I	435
England.		
— Fische des Chalk	05 II	136
— Gault, Upper Greensand und Chalk	06 II	108
— Lamellibranchiaten	1906 I 466 1908 I 133.	444
— Black Ven, Charmouth, Zone d. Hoplites interruptus	06 II	264
— Haldon Hills, Marsupites	06 II	107
— Lincolnshire, Upper Chalk	06 II	106
— Mupe Bay, Dorset	06 II	264
— Wiltshire, Upper Greensand u. Chloritic Marl	06 II	107
Frankreich.		
— Echiniden des östlichen	05 II	326
— Fische des nördlichen	05 II	482
— Petrefakten	06 I	318
— Pseudoeolithen im Senon	08 I	283
— Aquitanien, Grenze gegen Eocän	07 I	112
— Arvis-Kette, Savoyer Alpen	05 II	250
— Dauphiné	07 II	124

Kreide		
— Dauphiné, Clansayes etc.	1906 I	312
— Escragnolles, Ammoniten	05 II	321
— Feydey-Leysin, couches rouges	09 I	429
— Frayssinet-Le-Gélat (Lot), Echiniden	05 II	149
— — — obere, mit ver- kieselten Versteinerungen	06 I	290
— Grenoble, Ausbildung der unteren	07 I	281
— — Bourne-Tal, untere	05 I	277
— Languedoc u. rechtes Rhône-Ufer, Neocom	06 I	110
— Lure-Berg, franz. Alpen	05 I	277
— Margny, Oise, Kieselkonkretionen	06 II	201
— Meudon, Foraminiferen	07 I	330
— Nancy, Coeloceras Desplacei und subarmatum	06 I	313
— Orgon (Bouches-du-Rhône), Fauna	06 I	318
— Pariser Becken, Aptien des östlichen	06 I	291
— Savoyen, Giffre	08 II	389
— südliches, Cenoman	07 II	131
— südöstliches, untere	08 II	402
— Villedieu, Bryozoenfauna	05 II	145
— Yonne-Département, Seesterne des Senon	06 I	320
— — Senon	06 I	290
Italien.		
— Anghiari, Orbitoiden	05 II	487
— Euganeen, Radiolarien	06 I	474
— Sardinien (Nurra). BB	XXIII	455
— Sizilien, Orbitoiden im oberen Senon	07 II	339
— — Calcasacco, Orbitoidenkalk	08 I	448
— — Termini-Imerese (Calcasacco), Fauna	09 II	149
— Venetien, Calloneghe	05 I	317
Oesterreich-Ungarn.		
— Böhmen	1905 I 301	05 II 113
— — Bonebed im Turon	06 II	428
— — Klippenfazies im Cenoman	06 II	427

Kreide			Kreide		
— Böhmen, eisenreiche Kernkonkretionen aus dem Quadersandstein	BB XXV 467		— Gosauschichten, Hippuritenhorizonte der nordöstlichen Alpen	CBI 1905 77	CBI 1907 417
— — Adersbach-Weckelsdorf, obere	1906 I	288	— — Tektonik	1907 I	271
— — Caslau und Chrudim	06 II	111	— Kaltenleutgeben, Neocom	05 II	429
— — Chotebor, Malnitzer Schichten	06 I	289	— Karst, Verbreitung d. Gattung <i>Bradya</i>	05 II	486
— — Heuscheuergebirge	06 I	286	— Krain, zwischen Bača-Tal u. Wocheimer Save	05 I	449
— — Mittelgebirge, Kontakt oberturon. Mergels mit Phonolith	09 II	219	— Mähren, Budigsdorf	07 II	123
— — — Kostenblatt—Milleschau	06 II	81	— — Klogsdorf b. Freiberg	07 II	288
— — — östliches	1906 I 285. 287. 289		— Niederösterreich, Wirbeltierfährten im Neocomflysch von Ybbsitz	05 II	434
— — — Prag, Umgegend	07 II	106	— Ostalpen	06 II	234
— — — u. Sachsen, Inoceramen	05 I	356	— Ungarn, Alvincz, obere	05 I	301
— — — Bosnien u. Herzegowina	05 II	265	— — Aranyos-Gruppe, Siebenbürgisches Erzgebirge	06 I	263
— — — Bregenzer Wald	1906 I 427	BB XXVII 1	— — Gerecs-Gebirge	CBI 1905 394	
— — — Dalmatien, Benkovac-Novigrad, Tektonik	05 I	454	— — Nagyag-Tal, nördliches Siebenbürgen	07 I	105
— — — Budna	07 I	93	— — Peterwardeiner Gebirge (Frusca Gora), Hypersenon	06 II	266
— — — Cattaro	05 II	93	— — Siebenbürgen, Inoceramen	07 I	485
— — — Insel- u. Küstengebiet	07 I	89 ff.	Pyrenäenhalbinsel.		
— — — nördliches	06 I	259	— Portugal, Petrefakten	07 I	448
— — — Sebenico—Trau	07 I	89	— Pyrenäen, Granit	05 II	385
— — — Spizza	08 II	400	Rußland.		
— — — Veglia und Novi	07 I	91	— Rußland	08 I	430
— — — Zaravecchia—Stretto	07 I	90	— Douvilléiceras - Arten des oberen Neocom	06 II	141
— — — Galizien, Bonarka, Cephalopoden und Inoceramen des Untersenson	08 I	431	— evolute Ammonitenformen des Neocom	06 I	465
— — — Karpathen, Alter der Inoceramenschichten	07 I	435	— Ostreen der oberen	08 I	446
— — — — östliche, Fauna d. Spasser Schiefer u. massigen Sandsteine	07 I	436	— Baskuntschak, Astrachaner Steppe	07 II	124
— — — — Lemberg	05 II	95	— Ferghana (Irkeschtam), Versteinerungen	05 II	283
— — — — Leszczyny bei Dobromil, obersenone Flyschfauna	08 I	429	— Gultscha-Tal, Ferghana-Formation	06 I	97
— — — — östliches, Erdölzone	06 I	236	— Kaukasus, untere	CBI 1908 327	
— — — — Korallen	09 I	294	— — Versteinerungen	08 II	81
— — — — Rzeszow und Debica, Foraminiferen d. Inoceramenschichten	06 II	264	— Krim, Ammoniten	06 I	315
— — — — Gosau	09 I	427	— — (Balaklava), Aucellen	08 I	445
— — — — Korallen	09 II	141	— — — Krebse der untern	08 I	443

- Kreide
 — Polen, obere 1906 II 110
 — zentrales Nord-, Ammoniten der unteren 05 I 350
- S c h w e i z.
- Berner, Freiburger u. Waadtländer Alpen . 09 II 93
 — Churfürsten—Mattstockgebiet, Valangien—Hauterivien-Grenze . 08 I 425
 — Engelberger Tal, Gault und Aptien 07 I 288
 — Frohnalpstock 09 I 402
 — Helvetische Kalkalpen, Transgression in der unteren BB XXV 367
 — Hornfluh, Berner Voralpen 07 I 100
 — Jura, Ammonitidae der unteren 07 I 483
 — Berner, Gorges de l'Areuse 05 II 88
 — LaChaux-de-Fonds, Dislokation im Valangien 05 II 409
 — Ste.Croix, Waadtland . 05 II 253
 — westlicher, Fauna der unteren 05 I 155
 — Westschweiz, Ammoniten der unteren 06 II 143
 — Rhätikon, östliches . 09 I 90
 — Säntis, Diploporen des Schrattenkalks 09 I 154
 — Seelisberg, Berrias . . 09 I 84
 Krens, Lößlandschaft . 05 II 295
 Kreta, pleist. Säugetiere 07 I 298
 Kreuznacher Meeressand, Fauna 07 I 111
- Kristallaggregate, verworren blättrige, Winkelmessung CBI 1908 313
- Kristallberechnung, triklinisches System (Anorthit) 07 I 2
- Kristallbildung in flüssigem Magma 07 II 11
- Kristalle
 — Ableitung des Grundgesetzes nach VIOLA. CBI 1905 553
 — Aufstellung 05 II 167
 — Aussendung von N- u. N₂-Strahlen 06 I 325
 — Eigenschaft v. Standpunkt der Thermodynamik 1907 I 183. 184
- Kristalle
 — ein- und zweiachsige, im Konoskop 1909 II 328
 — flüssige . 1905 II 171 08 I 321
 1909 I 2. 331 CBI 1905 207
 — — und Plastizität . . . CBI 1905 207
 — — Polymorphie 09 II 330
 — — Prüfung durch elektrische Kataphorese . 05 I 5
 — — und scheinbar lebende . . . 1909 I 4 09 II 329
 — siehe auch flüssige Kristalle u. kristallinische Flüssigkeiten.
 — Grundgesetz CBI 1905 225
 — hemimorphe, spezif. optische Eigenschaften 06 I 3
 — kinetische Theorie . . 08 I 332
 — künstlich gefärbt, Zustand des Farbstoffs . 07 II 4
 — Messung mikroskopischer 07 I 187
 — optisch-aktive, Lichttheorie 06 I 3
 — — monoklin-hemiedrische Struktur . . 07 II 351
 — optische Eigenschaften im konvergenten Licht 07 I 187
 — optische Untersuchung mit dem Mikroskop . 09 II 7
 — Reflexion des Lichts an durchsichtigen inaktiven BB XXVI 296
 — scheinbar lebende 1909 I 4 09 II 329
 — Symmetrie 08 I 332
 — — durch Spiegelung . 09 II 159
 — thermodynamische Theorie 1905 II 169 CBI 1907 711. 737
 — Umformung unter Druck 06 II 80
 — verletzte, Regeneration 05 II 332
 — Wachstum und Auflösung CBI 1906 664
- Kristalleigenschaften, thermodynamische . 05 II 169
- Kristallfasern, Torsion 1908 I 315. 316
- Kristallflächen
 — Bestimmung der Indizes durch einen Transporteur 05 I 4
 — Entstehung 06 I 1
 — Entwicklung im Zonenverbände 05 I 1
 — Kombinationsstreifg. . 09 II 3

Kristallflächen, krumme	1909	I	17	Kristallinische Schiefer		
Kristallformen				— Brit.-Zentralafrika . . .	1907	I 236
— Abhängigkeit vom Zu-				— deutsches Grundgebirge	05	I 235
stande der Lösung . . .	07	I	184	— Enderby-Land, ge-		
— anomale (Pikrinsäure)	05	II	333	— dredtsch	06	II 371
— induzierte, influenzierte				— Erzberg bei Hütten-		
und vikariierende . . .	08	II	140	— berg (Kärnten)	05	II 82
— des Mineralreichs, kri-				— Finnland	07	I 235
tische Revision	07	II	347	— Grönland, westl. Nord-	07	I 244
— in flächenreichen Zonen,				— Hunyad-Komitat	06	I 264
Aufeinanderfolge und				— Kamerun	09	II 74
gegenseitige Beziehgn.	05	II	332	— Korsika	07	II 405
Kristallgenese, Einfluß d.				— Kykladen (Syra und		
Kapillar-, Wärme- u.				— Siphnos)	09	II 223
elektrischen Ströme . . .	07	II	352	— Ligurien	08	II 215
Kristallgestalten, Ablei-				— Molukken	05	I 108
tung aus dem allgemei-				— Ottawa-Tal, Canada	05	I 248
nen Gesetz der Krist-				— Pojána-Ruszka, westl.		
stallbildung	CBI	1904	154	— Ausläufer, Phyllit	06	I 262
Kristallhabitus, Beziehg.				— Tessiner Alpen		
zur Spaltbarkeit	05	II	176	— 1905 I 242	1908	II 197. 200
Kristallinische Flüssigkeiten	05	II	172	— Tuxer Kamm	BB	XXII 519
— Beschaffenheit	06	II	150	— Yap, Karolinen	05	II 72
— Entstehung durch Mi-				— und Eruptivgesteine		
schung mehrerer Sub-				— liefern durch Zerstörg.		
stanzen	09	I	3	— Sedimente	09	II 62. 63
— klare	09	I	330	— siehe auch metamorphi-		
— Natur	06	II	153	— sche Schiefer, Gneis etc.		
— siehe flüssige Kristalle.				Kristallinisch-fließende		
Kristallinische Gemenge,				Trichiten	06	II 151
Schmelzpunkt	08	II	24	Kristallinisch-flüssige Sub-		
Kristallinische Schiefer				stanzen	1908	I 3 CBI 1908 311
— allgem. Eigenschaften	CBI	1905	430	Kristallinisch-flüssiger Zu-		
— Amphibolgesteine,				stand, beeinflußt durch		
Klassifikation und				die molekulare Gestalt	09	I 3
Nomenklatur	CBI	1905	407	Kristallisation		
— chem. Kennzeichen	05	I	416	— Bedeutung d. Knoten-		
— Diffusion von Metallen				— punkte der stehenden		
bei Graniteruptionen	05	I	419	— Wellen	08	I 332
— Entstehung	1905	I 417	06	— Kahialaun	CBI	1905 751
— Kataklaste	05	I	70	— in Schmelzflüssen durch		
— Mineralbestand und				— Entgasung	09	II 129
Struktur	1905	I 59	09	— schwer kristallisier-		
— nach GRUBENMANN	CBI	1905	430	— barer Körper, Methode	05	II 4
— nach WEINSCHENK	CBI	1905	617. 625	— spontane	09	I 327
— Perthitfeldspate	05	II	361	— Uebergänge beim Na-		
— Alpen, Faltenbildung	08	II	214	— tronsalpeter	CBI	1905 491
— — St. Gotthard (Süd-				Kristallisationserschei-		
— seite)	BB	XXVII	157	— nungen, kinematogra-		
— — Tessiner, siehe un-				— phische Mikrophoto-		
— ten Tessiner Alpen.				— graphien	08	II 145
— Aranyos-Gruppe, Sie-				Kristallisationsfolge		
— benbürg. Erzgebirge	1906	I 262.	263	— in Eruptivgesteinen,		
— Belledonnekette, West-				— Gesetze	09	II 51. 55
— alpen, chem. Zusam-				— — phys.-chem. Ges-		
— mensetzung	06	I	378	— setze	09	I 367

Kristallisationsgeschwindigkeit				Kristallographie			
— Abhängigkeit v. Temperatur	1905	I	363	— Beziehung zur Zahlenlehre	1907	I	181
— binärer Schmelzen				— BRAVAIS' Gesetz	09	I	313
1905 II 174	06	I	7	— chemische	05	II	174
— isomorpher Silikate aus Schmelzen	06	II	5	— Diagramme regelmäßiger Punktsysteme	CBI	1906	468
— in übersättigten Lösungen	07	I	3	— experimentelle Grundlage der Raumgitterhypothese	06	II	1
Kristallisationsgesetz				— Formeln u. graphische Methoden zur Bestimmung von Kristallen	05	II	331
— allgemeines	05	II	167	— Formenentwicklung v. Flächen oder Zonen ausgehend	06	I	322
— darauf fußende eindeutige Aufstellung d. Kristalle	05	I	2	— Fortschritte, Hilfsmittel und Ziele	05	I	1
Kristallisations- u. Zwillingengesetze, einheitliche Ableitung	05	II	332	— geometrische von E. SOMMERFELDT	CBI	1907	182
Kristallisations-schieferung	05	I	67	— — Genauigkeitsgrenzen der Gesetze	05	II	1
— künstlich	07	I	334	— gnomonische Projektion auf 2 Ebenen	07	II	1
— u. Piezokristallisation	09	I	375	— Grundgesetz nach VIOLA	CBI	1905	225
Kristallisationsvermögen gesteinsbildender Mineralien in Silikatschmelzen	06	II	5	— — Ableitung v. VIOLA	CBI	1905	553
Kristallisieren				— Grundzüge von VIOLA	CBI	1905	559
— dreifaches	09	I	1	— in der Enzyklopädie der mathematischen Wissenschaften	CBI	1906	552
— Erscheinungen	09	I	1	— Kantenwinkel, Messg. mittels Vertikalilluminators am Reflexionsgoniometer	09	I	313
— Kombination von einfachem u. doppeltem	09	I	1	— Koordinatentransformation	07	I	182
— und Schmelzen	CBI	1904	51	— Minimalproblem der Gestaltenlehre	06	I	321
Kristallisierende Lösungen, Brechungskoeffizienten	09	I	157	— neue Rechenmethode	05	I	361
Kristallisierte Substanzen, Konstitution (Ammoniumnitrat)	07	I	3	— neuere Aufgaben	08	I	1
Kristallklassen				— neuere Entwicklung	CBI	1905	598
— abkürzende Symbole	09	I	155	— physikalische von E. SOMMERFELDT	CBI	1907	472
— tabellar. Anordnung der 32	CBI	1907	349	— quadratisches System, tetraedrisch-tetartoedrische Klasse bei $2\text{CaO} \cdot \text{Al}_2\text{O}_3 \cdot \text{SiO}_2$	08	I	161
Kristalloblastische Reihen und Hornfelsstruktur	CBI	1909	501	— Stereometrie der einfachen isoaxialen Formen des regulären Systems	05	II	331
Kristalloblastische Struktur der kristallinen Schiefer	05	I	72	— Syngonieellipsoid	07	I	1 ff.
Kristallochemisches Gleichgewicht u. Isomorphie	09	II	177	— Transporteur f. stereographische und gnomonische Projektion	CBI	1908	312
Kristallographie	1907	II	345				
1908 II 139 ff.	1908	II	139 ff.				
— Anschauungen von HAÜY und BRAVAIS	06	II	448				
— Anwendung der gnomonischen Projektion zum Kristallzeichnen	05	II	1				
— Anwendung der Phasenlehre	07	II	172				

- Kristallographie
- Vielecke des regulären Kristallsystems, dualistisch entsprechend den Vielflächen . . . 1907 II 1
 - von KRAUS CBI 1907 154
 - Zonensätze 06 I 321
 - 32 endliche Bewegungsgruppen 07 I 2
 - u. physikal. Chemie 06 II 313
 - Kristallographisch-chemisches Grenzgebiet 06 I 322
 - Kristallographische Projektionen, Konstruktion 06 II 314
 - Kristallographische Übungen CBI 1906 554
 - Kristallographisches Limitgesetz, Erprobung 07 I 183
 - Kristalloid- und Kolloidzustand 08 II 5
 - Kristalloptik, Lehrbuch von PÖCKELS CBI 1906 681
 - Kristallplatten
 - aktive, Interferenzerscheinungen im polarisierten Licht BB XXI 540
 - doppeltbrechende, photographische Abbildung der Interferenzfiguren CBI 1904 472
 - im konvergenten Licht 08 I 3. 4
 - inaktive, Interferenzerscheinungen BB XXI 543
 - Kristallrefraktometer
 - von ABBE-PULFRICH, Justierung 09 II 159
 - von HERBERT SMITH CBI 1907 350
 - von LEISS, kleines 09 II 159
 - siehe auch Refraktometer.
 - Kristallstruktur 05 II 161
 - Grundlage einer neuen Theorie (NOLD) 1906 II 315. 316
 - Theorie 07 I 183
 - Kristalltafeln, SCHWARZMANN CBI 1908 90
 - Kristalltracht
 - beeinflußt durch fremde Substanzen beim salpetersaur. Harnstoff 09 I 329
 - von Doppelsulfaten, Veränderung durch Lösungsgenossen 07 I 184
 - Chlornatrium, Variation 08 II 158
 - Kristalltracht
 - Kalkspat, bei Zwillingen 1908 I 176
 - Orthoklas 08 I 17
 - Kristallumformung unter Druck 07 II 351
 - Kristallzeichnen, Anwendung der gnomonischen Projektion 05 II 1
 - Kristallzwillinge
 - physikalische Theorie etc. 09 II 5. 6
 - Zusammenhang mit anderen Erscheinungen BB XXIII 237
 - Kristall- u. Konstitutionswasser, Lichtabsorption im Ultrarot 07 I 12
 - Kristiania, siehe Christiania.
 - Kröhnkit, Chile, Chuquicamate, Prov. Antofagasta, Krist. 09 II 203
 - Krokoit, siehe Rotbleierz.
 - Krokydolith
 - Lydenburg, Transvaal 07 I 236
 - Sibirien, Minusinsk-scher Kreis 1909 II 21 CBI 1907 435
 - Krugit
 - bei 83° 08 II 159
 - künstliche Darstellung 05 I 192
 - Kruhel maly b. Przemysl, Foraminiferen u. Mollusken der Clavulina Szaboi-Schichten 1905 I 319 05 II 434
 - Krusten, Eisenmangan-, Cap-Halbinsel, durch Windwirkung 06 II 352
 - Krustenerze, Oberschlesien, im Muschelkalk 06 II 74
 - Kryolith
 - Ivigtut, Grönland, Begleiter CBI 1908 411
 - — Einwirkung von Radiumbromid CBI 1909 71
 - — Schmelzversuche CBI 1908 35. 38
 - — umkehrbare Umwandlung CBI 1908 35. 38. 546
 - Kryolithionit
 - Beziehung zu Kryolith CBI 1908 546
 - Ivigtut, im Kryolith 06 I 10
 - Kryptoperthit, Analysen 09 I 372
 - Kryptotil, entstanden aus Grandidierit 06 II 171

Kubikinhalt von Erz, Beziehung zu spezifischem Gewicht, Porosität u. Feuchtigkeit	1909	I	389	Kupfer		
Kubisches System, Hauptstrukturarten	07	I	183	— ausgefällt aus Chloridlösungen durch Eisenchlorid	1909	II 398
Kuchetaier Berge (Hochedergruppe), Geologie	08	II	66	— Legierungen mit Pt	08	II 157
Kükenur-Gebiet, Geologie nach FUTTERER	09	II	261	— Lichtbrechung	08	I 170
Künstliche Darstellung, siehe Darstellung, künstliche.				— Lösung und Niederschlag	08	II 8
Künstliche Edelsteine	CBI	1908	179	— Sublimation in Quarzgefäßen	05	I 17
Künstlich gefärbte Kristalle, Zustand des Farbstoffs	07	II	4	— Bisbee Quadrangle, Arizona	06	I 175
— siehe auch Färbung.				— Böhmen, Alaun- und Pyritschiefer d. westlichen	06	I 53
Künstlicher Metabolit	07	I	360	— Färör, im Basalt, gediegen	1909	I 29 09 II 396
Küstenlinien				— Fiatschach b. Knittelfeld (Steiermark)	CBI	1908 279
— gehobene, England	05	II	450	— S. Paulo, Brasilien, im Diabas	CBI	1906 333
— Veränderung der Insel Nantucket	07	I	379	— siehe auch Cupro.		
— siehe auch Strandlinien.				— u. Kupferverbindungen in Basalteinschlüssen, Niederrhein	CBI	1908 705
Küstensenkung u. Meereserosion, Rocky Mountains	07	I	379	Kupferalloyphän, Concepcion del Oro, Zacatecas, Mexiko	BB	XXVIII 554
Küstenterrassen, Kapkolonie	08	II	46	Kupferantimonat	CBI	1909 330
— siehe auch Terrassen.				Kupferantimonglanz, Bolivia, Oruro	08	II 337
Küstenversetzung, siehe Strandversetzung.				Kupferblüte, Niederrhein, in Basalteinschlüssen	CBI	1908 708
Kugelgranit				Kupferchlorür, Neubildg. im Pariser Boden	05	I 369
— Riesengebirge				Kupfererze		
— Spitzbergen	06	II	263	— Aranzazu, Zacatecas, Mexiko	BB	XXVIII 551
Kugelpackung in Erbsen- und Rogensteinen	CBI	1909	302	— Boheggiano	05	I 387
Kukurtuk-Tal, südliches Tian-Schan, obercarbonische Brachiopoden	BB	XXII	266	— Bor, Serbien, Paragenesis	09	II 401
Kum-Aryk, südlicher Tian-Schan, Geologie	BB	XXII	339	— Clifton-Morenci, Arizona, Entstehung	07	II 419
Kum-bulung, südlicher Tian-Schan, Geologie	BB	XXII	297	— Cochise Mining District, Arizona	07	II 418
Kunzit				— Concepcion del Oro, Zacatecas, Mexiko, Gang im Granodiorit etc.	BB	XXVIII 451. 455. 551
— Analyse	05	II	183	— Corocoro, Bolivia, Entstehung	07	II 421
— optische Eigenschaften	05	II	22	— Cuba	05	I 389
— Andover, Oxford County, Maine	09	I	32	— Encampment District, Wyoming	05	II 35
— Nordamerika, Edelstein	06	I	356	— Ferghana, Tjuja-Majun	09	II 39
— Pala, Kalifornien	07	II	44			

Kupfererze			Kupferglanz		
— Globe Copper District, Arizona	1905	I 442	— Elektrizitätsleitung	1907	II 5
— Los Pilares Mine, Nazcozari, Mexiko	07	II 418	— Bisbee Quadrangle, Arizona	06	I 175
— Mitterberg, Salzburg	09	II 396	— Bor u. Krivelj, östl. Serbien, Erz	06	I 231
— Neuseeland	08	I 399	— Butte, Montana, Entstehung	06	I 241
— Nordamerika, Entstehung	1907	II 420. 421	— Clifton-Morenci-Distrikt, Arizona	06	I 173
— Quebec	08	I 81	— Globe Copper District, Arizona, Versteinerungsmittel v. Pflanzen	05	I 205
— Riesengebirge, böhm. Seite, Entstehung	07	II 423	— Grab in Kostunici (Serbien), Pseudomorphose u. Kristallform	09	II 13
— Rußland, Woiz'sche Grube, Gouvernement Archangelsk	09	II 40	— Markkirch	09	I 24
— Schottland	05	I 99	— Nagolnij Krjasch, Donetz-Becken	07	II 193
— Serbien, Bor u. Krivelj, im östlichen	06	I 231	— Sinclairgrube bei Lüderitzbucht, SW.-Afrika	06	I 233
— Spanien, Sierra Bedar und Coscojares	08	I 243	Kupferindig		
— Spassky-Gruben, SW-Sibirien	07	II 422	— Synthese	08	I 30
— Sudbury, Beziehung zu Nickelerzen	08	I 81	— Bor, Serbien	09	II 336
— Südwestafrika	1906	I 233	— Japan, Kosaka mine	09	I 167
— Virgilina-Distrikt, Virginia u. Nord-Karolina	05	I 260	Kupfercarbonate		
Kupfererzgänge, Markkirch	09	I 26	— Entstehung	08	II 16
Kupfererzlagerstätten			— künstliche Darstellung	08	II 305
— Ausfällung von ged. Kupfer	09	II 398	Kupferkies		
— Leiterze	08	I 400	— thermodynamisches Verhalten	05	II 169
— sekundäre Anreicherung	07	II 419	— Arakawa, Japan	08	II 168
— Alaska, Kasaan-Halbinsel	09	II 399	— — — Kristalle	08	I 173
— Arizona, Bisbee	05	I 41	— — — Zwilling	07	I 195
— — Cherry Creek District	08	I 396	— Bisbee Quadrangle, Arizona	06	I 175
— Colorado, Sangre de Christo Range	09	II 400	— Bosnien u. Hercegowina, Lagerstätten	06	II 381
— Kalifornien, Copperopolis	09	II 398	— Frigido bei Massa, mit Fahlerz	07	II 177
— Montana, Belt-Formation	09	II 398	— Horky bei Tabor, Böhmen	09	II 366
— — Butte	09	II 399	— Nagolnij Krjasch, Donetz-Becken	07	II 193
— New Jersey, in der Trias	09	II 397	— Niederösterreich	CBI 1908	742
— Pennsylvania, nordöstl., Newark	09	II 370	— niederöstr. Waldviertel, Zwettl	CBI 1908	251
— Veitsch (Dürrsteinkogel)	05	I 100	— Niederrhein, in Basalt-einschlüssen	CBI 1908	706
Kupferglanz	09	I 318	— Pulacayo, Ungarn, Kristalle	1905	II 11
— unipolarer Leiter	BB XXI	338	— Riparbella (Cecina), Toscana, Lagerstätte	09	II 397

Kupferkies				Kupfervitriol			
— Rußland, Woiz'sche Grube, Gouvernement Archangelsk	1909	II	40	— Bor, Serbien, Krist.	1909	I	350
— Schmiedeberg (Riesengebirge), im Granit	CBI 1909		772	— Frigido bei Massa, mit Fahlerz	07	II	177
— Sommerville, Mass., Kristalle	1905	I	18	— Markkirch	09	I	24
— Sudbury-Distrikt, Canada	06	II	182	Kupfferit			
— Traversella	08	I	40	— künstlich	08	I	20
— Ungarn (Kapnik und Schemnitz), Kristallformen	06	II	325	— Rolle des Wassers	09	II	18
— Vesuv, von 1906	08	I	207	— Baikalsee, krist. und optisch	05	II	192
— Weiltal, Elsaß	08	I	199	Kurische Nehrung, Moostorfschichten des Steilufers bei Sarkau	08	II	408
Kupferlasur				Kurkurstufe, Gebel Garra, Libysche Wüste = Suessonien I	05	II	322
— künstlich	08	II	305	Kurland, Foraminiferen des Jura	06	I	471
— Australien (Broken Hill und Moonta)	08	II	17	Kutsch, Jura, Trigonien und Brachiopoden 1905	I	178.	180
— Carrara, im Marmor	06	II	176	Kuttenberg, Moldawit, kosm. Ursprung	CBI 1908		737
— Chessy u. Broken Hill, Kristalle	07	I	201	Kyffhäuser, Oberflächen-gestaltung der Umgebung als Folge der Auslaugung der Zechsteinsalze	09	II	427
— Damaraland	08	II	18	Kykladen, Einlagerungen im kristallin. Gebirge, Syra und Syphnos	09	II	223
— Lagonegro, Timpone Rosso	1908	II	306. 307	Kylindrit, Poopo, Bolivia, chemisch	06	I	15
— Markkirch	09	I	24				
— Nadabula, Ungarn	07	I	207	L.			
— Nagolnij Krjasch, Donetz-Becken	07	II	196	Laaser Gruppe, Tirol, Geologie	09	I	380
— Otavi, SW.-Afrika	CBI 1906		388	Labidosaurus hamatus, Perm, Texas	07	I	148
— Sardinien, Castello di Bonvei	08	II	16	— — — montiertes Skelett	08	II	266
— Valle Sacca bei Kimpolung (Bukowina), scheibenförmig	06	II	164	— incisivus	1909	II	123. 125
— siehe Kupfercarbonate.				Labillea mira, rezent, Südamerika	07	II	154
Kupfernickel, Markkirch	09	I	25	Labradorit			
Kupferpecherz	CBI 1909		327	— zusammengeschmolzen mit Aegirin u. Eläolith	CBI 1906		144
— Clifton - Morenci - Distrikt, Arizona	06	I	173	— — mit Augit u. Magnetiteisen	08	II	16
— Niederrhein, in Basalteinschlüssen	CBI 1908		706	— — mit Augit u. Olivin	08	II	8
Kupferschaum, Markkirch	09	I	24	— Färöer	09	I	29
Kupferschiefer				— Labrador, chemische Konstitution	05	I	25
— Beziehung zu Rücken	CBI 1906		243	— — opt. Orientierung	08	I	334
— Anhalt	09	II	401	Labradorporphyr, Aouache, Ostafrika	07	II	415
Kupferschieferücken, Mansfeld u. Thüringen, Beziehung zur Erzführung des Kupferschiefers	CBI 1906		243				
Kupfersulfür, elektrisches Verhalten des künstlichen	CBI 1905		467				
Kupferuranit	09	I	318				
Repertorium 1905—1909.							

Labradorporphyr, Grahamsland	1908	I	77	Lagomys, Quartär, westl. Mittelmeergebiet	1907	I	458
Labrodon multidens, Miocän, Albugnano bei Turin	05	II	139	Lagorai-Gebirge, Gliederung der Quarzporphyrdecke	05	II	382
Labyrinthodonten				Laharpeia basilica, Benoisti, sub-Defrancei u. Molli, Tertiär, Apennin	05	II	327
— Amerika, Bau und Beziehungen	09	II	128	— gassinensis	05	II	156
— upper Karoo beds, Kiefer	08	II	276	Lahillea mira, rezent, Südamerika	07	II	154
Lacave (Lot), Höhle mit Menschenspuren	06	I	445	— Luisa-Schichten, Kreide, Patagonien	BB XXI		143
Lacazinenkalk, Groß-Keil	07	I	130	Lahn u. Dill, devonische Eruptivgesteine	BB XXVII		261
Lacertilier, Sacrum	09	I	441	Lahnmulde, östl., Tektonik	09	II	85
— siehe auch Eidechsen.				Lahnporphyr			
La Chaux-de-Fonds, Dislokation im Valangien	05	II	409	— Dill und Lahn	BB XXVII		299
Lacuna Staadti, Eocän, Paris	07	II	303	— Langenaubach	BB XXVII		309
Lacunistische Gruppe, beim Eisen	05	I	141	— Ruppbachtal, Ausgang	BB XXVII		302
Lägern, Schweiz, Geologie	08	I	408	Lake superior			
Länderkunde, Museum in Leipzig, Führer	CBI	1905	281	— Beziehung von Sandstein und Trapp, Wisconsin	06	I	93
Lättler	06	I	205	— Wisconsin, Geologie	05	I	231
Lagena acuticosta var. ramulosa, Victoria, Australien	09	I	144	Lake superior - Region, Geologie nach dem Bericht des Komitee	07	I	107
— marginulinoides, montagni u. sphaerula, Tyrrenisches Meer	06	II	309	Laki, Vulkan, Island	BB XXVI		5
— reticulata, Globigerinenmergel, Bahna, Rumän. Karpathen	09	II	142	Lakki-Kette bei Station Bagatora (Sind), Tertiär	CBI	1905	161
— ventricosa, Miocän, Piemont	06	II	308	Lakkolith			
Lagenidae, System der lebenden u. fossilen	05	II	329	— Ajnácskö, Gömörer Komitat, Basalt-	05	II	383
Lageninae, Tyrrenisches Meer	06	II	308	— Brome Mountain, Monteregian Hills, Quebec	07	I	240
Lagenonodosaria	07	II	499	— Highwood Mountains, Montana	06	II	374
— pseudoscalaris, Italien	06	II	308	— Piatigorsk (Kaukasus)	07	I	233
Lagenostoma Kidstonii, Paläozoicum	09	I	312	— Weitendorf, Steiermark, Basalt-	CBI	1905	397
Lagentexturen, kristalline Schiefer	05	I	73	Lakkolithenhypothese	09	I	53
Lagerstätten				Lakota-Formation, Black Hills, Flora	07	II	505
— und Politik	08	I	78	Lakunistische Gruppe beim Eisen	05	I	141
— siehe Erzlagerstätten, Minerallagerstätten, Eisenerze, Kupfererze etc.				Lambdaconus elegans, Kreide, Lago Musters, Patagonien	05	I	498
Lagerstättenkarte, Deutschland	CBI	1907	569	Lamellaria inopinata, Eocän, Paris	07	II	303
Lagomeryx, Bayrisch-Schwäbische Hochebene, Obermiocän	06	I	124	Lamellen, dodekaedrische, im Oktaedrit v. Narraburra oder Yeo Yeo-Creek, Australien	07	I	357

- Lamia, balt. Bernstein,
Deutung 1907 I 323
- Laminifera arneggensis,
Alttertiär, Ulm 08 II 104
- Lamna (Odontaspis) ma-
crota, var. hungarica,
untermediterrän. Fel-
söesztergály, Komitat
Nograd 06 I 125
- obliqua (Algier) und
Vincenti (Moglia,
Apennin) 05 II 139
- tarnocensis, unter-
mediterräner Sand-
stein, Tarnocz, Kom.
Nógrád 05 II 479
- Lamprophyr, Cambewana
Range, N.-S.-Wales 07 I 398
- Lamprophyrische Gang-
gesteine, Neurode, im
Gabbrozuge BB XXVI 483
- Lamprophyrisches Ge-
stein, Valletta del'
Alpe di Rodi, Tessin BB XXVI 503
- Lanceolites compactus,
Meccoceras beds, Ame-
rika 06 II 303
- Land- u. Küstenhebungen,
Beweise für Gleich-
altrigkeit der Schich-
ten 08 II 339
- Landénien u. Thanétien,
Bedeutung 06 I 116
- Landmanna-Afrjettur,
Vulkan, Island BB XXVI 35
- Landschaftenkalk, Ent-
stehung etc.
1906 II 201 08 II 117
- Landskron, Mähren, Geo-
logie 05 II 261
- Landstaffeln, Ostasien 05 I 114
- Langbeinit
— bei Erstarrung aus
Schmelzfluß 08 II 167
- Solvayhall bei Bern-
burg, Zwillingbildung
BB XXIII 308
- Langenaubach
— Lahnporphyr BB XXVII 309
- oberdevon. Tuffbreccie
BB XXVIII 386
- Languedoc
— tertiäre Süßwasser-
bildungen 05 I 305
- und rechtes Rhône-
Ufer, Neocom 06 I 110
- Lansfordit, Kristalle 1909 II 24
- Lapland
— Eisenerzlagerstätten,
Geologie und Genesis BB XXIV 548
- Ekströmsberg- und
Mertainen-Eisensteins-
felder 06 I 231
- Laramie, Bezeichnung 08 I 432
- Laramie beds, Wyoming,
Wirbeltiere 07 I 439
- Laramie-Gruppe, Mon-
tana, Unio-Spezies 08 I 445
- Laramie-Kreide, Wyo-
ming-Nebraska 06 I 268
- Laramie-Stufe, Kohlen-
ablagerungen in den
Rocky Mountains 08 II 221
- Laricopsis longifolia var.
longifolia 07 II 505
- Larix (?) serrata, Bern-
stein, Ostpreußen 09 I 308
- Larvaria cranifera, Ter-
tiär (Thanétien), Bon-
court (Oise) 08 II 406
- LASAULX'sche Methode
der Interferenzfiguren
im Mikroskop, Ver-
besserung 07 II 3
- La Serre-Massif, Jura-
gebirge, Bau 05 I 283
- Lassalit, Can Pey (Py-
rénéen orientales), Frank-
reich 09 I 192
- Lassalit = Palygorskite 09 II 347
- Laterit, chem. Unter-
suchung 09 I 347
- Verwitterungsprodukt
von Silikaten 06 I 23
- Amani, Ost-Usambara
1906 II 55 421
- Brasilien CBI 1909 361
- Ceylon 1906 I 183. 185
- Deutsch-Adamaua 09 II 384
- Guinea, Bildung aus
Diabas 09 I 339
- — Französisch- 07 II 414
- Indien, Entstehung 05 I 374
- — u. Zusammen-
setzung 06 II 330
- — Zusammensetzung
05 II 15
- Karolinen, aus Am-
phibolit 05 II 73
- Madagaskar, Indien,
Ceylon, Surinam, Au-
stralien, Karolinen u.
Afrika Festband 33

- Laterit
 — Ostafrika, Färbung durch organische Farbstoffe BB XXVIII 375
 — Surinam 1905 II 69 Festband 33
 — Vogelsberg (Bauxit), Magnetismus 1907 I 43
 Lateritähnliche Bildungen,
 Kuckstein bei Oberkassel und Solling 06 II 53
 Lateritbildung, Bombay, vergl. mit Verwitterung des Dolomits von Rowley Regis (Staffordshire) 07 I 391
 Lateritische Verwitterung, Amani, Ost-Usambara 1906 II 55. 421
 Latidorsella, Rassenpersistenz CBI 1909 197
 Latirus incompletus, ?Eocän, Kamerun 06 II 123
 Latit
 — Cambewana Range, N.-S.-Wales 07 I 398
 — Highwood Mountains, Montana 06 II 374
 Lauenburg, obere Grundmoräne 05 I 472
 Lauenburger Ton, Leithorizont im norddeutschen Diluvium 09 II 309
 Lauenen-Tal, oberes, Berner Alpen, Geologie 1905 I 276 1908 II 380. 382
 Laumontit
 — Kontraktionsfiguren bei Behandlung mit Säuren 08 I 336
 — Baveno, Montorfano 07 I 40
 — — u. Fassatal, Glühverlust 06 I 24
 — Biella, Piemont, Drusen im Syenit 06 II 41
 — Binnental, Kristalle 06 I 168
 — Färöer 09 I 29
 — Flaatzgrube, Evje, Saetersdalen, Norwegen 06 I 352
 — Grönland, Ost-, im Basalt 06 II 186
 — Landvaerk, Evje, Saetersdalen, Norwegen, Pseudom. von Albit nach L. 06 I 351
 — Mogy-guassù, São Paulo, Brasilien, im Diabas CBI 1906 331
 Laumontit
 — Montecatini (Caporicianit), chemisch 1908 II 315
 — S. Fedelino am Comer See, im Granit 07 II 35
 — Templeton, Quebec, Pseudomorphose von Orthoklas nach L. 07 II 12
 Laurionit, krist. u. opt. 07 I 194
 Laurophyllum elegans u. nervillosum, Kreide, New York 08 I 456
 Laurvikit, Ampasindava (Madagaskar) 05 I 437
 Lausitz, basische Gesteinsgänge des Granitgebiets 08 I 56
 Lauterberg, Knollengrube 05 II 398
 Lautit, Rauental b. Markkirch 09 I 8
 Lava
 — Mayen, Mineralien der Einschlüsse 06 I 347
 — Vesuv, Eruption 1906 CBI 1906 497
 — — 1906, Ursprung des Ammoniakgehalts 1909 I 7. 53 CBI 1907 161
 — siehe auch Vesuv, Ammoniak und Salmiak.
 Lavadecken, Beweis für Gleichaltrigkeit der Schichten 08 II 339
 Lavaergüsse, Island 08 I 216
 Lavakuppel, Vesuv, Entstehung 05 I 46
 Laven
 — durch Blitz magnetisiert 07 II 389
 — Ursprung des Ammoniakgehalts 1909 I 7. 53 CBI 1907 161
 — siehe auch Ammoniak.
 — vulkanische 07 I 53
 — Snowdon, Wales 07 I 390
 Lavignon Marcouti, Senon, Mittel-Peru BB XXIV 115
 Lawsonit
 — chemisch u. kristallin. 05 I 186
 — italienische Fundorte, Analysen 06 I 340
 — Kalifornien 08 II 29
 — Saint-Véran. Hochalpen, im Gestein 06 I 379
 — Susa-Tal, im Prasinit der Rocca Bianca 06 II 129
 Laxispira distincta, Hypersenon, Peterwardeiner Gebirge 06 II 267

- Lazulith, Pretulalpe . . . CBI 1907 412
 Leadhillit 1909 I 319
 — Dschebel Ressas, Tun-
 esien 07 II 42
 — Sardinien, Argentiera
 della Nurra, Porto-
 torres 06 I 31
 Lebende Kristalle . . . 1908 I 321. 323
 Lebende flüssige Kristalle,
 scheinbar 09 I 4
 — siehe auch flüssige
 Kristalle.
 Lebertorf 08 II 186
 Lecanites discus, Unter-
 trias, Albanien 08 II 399
 — Knechti, Meecoceras
 beds, Inyo Range . . . 06 II 304
 — Vogdesi, mittl. Trias,
 Nevada 06 II 304
 Leconteia u. L. californi-
 ca, Trias, Amerika . . . 06 II 299
 Leda complanata u. supra-
 cretacea, ob. Kreide,
 Alvincz 05 I 302
 — crispata var. ukrainica,
 Tertiär, Mandrikowka . 06 I 468
 — Futtereri, Tertiär, Gul-
 dscha, Ferghana 05 II 283
 — inopinata, Eocän, Loire
 inférieure 07 II 302
 — inornata cf. obscura,
 Devon, Bolivia BB XXV 525
 — Levini, mittl. Gault,
 Algermissen 05 I 317
 — navicula, Kreide,
 Schaumburg - Lippe-
 sche Mulde 06 I 441
 — substriatula, ? Eocän,
 Kamerun 06 II 123
 — volgensis, Paläocen,
 Saratow 05 II 121
 Leesbergit 1909 II 212. 342
 Legierungen
 — Nickel u. Kobalt, mit
 Eisen 06 II 157
 — Struktur durch Po-
 lieren erkannt 06 I 8
 Leguminosites cassiae-
 folius und leptolobii-
 folius, Paleocän, Le-
 val (Hennegau) 09 II 491
 Lehmager, Aufsuchen u.
 Bewerten CBI 1904 410
 Leidyosuchus canadensis,
 Judith River-Forma-
 tion, Alberta 09 I 450
 Leinetal
 — diluviale Konchylien-
 fauna 1905 I 310
 — Geologie nach Boh-
 rungen 06 II 416
 — — bei Alfeld u. Elze . . 08 II 80
 Leiopteria hirundo, Culm,
 Königsberg b. Gießen BB XXVIII 635
 Leipzig
 — Erdbebenstation, 1. Mai
 bis 31. Okt. 1904 05 II 370
 — — 1. Nov. 1904 bis
 31. Dez. 1905 07 I 45
 — Pulsationen der Erd-
 beben u. Erdschwin-
 gungen durch Kirchen-
 glocken 05 II 370
 Leiter, feste, unipolare . BB XXI 325
 Leiterze 08 I 400
 — verschiedener Teufen . 09 I 76
 Leitschicht, geologische . 06 I 43
 Lemberg, Geologie 05 II 95
 Lemisinus Pistati, Eocän,
 Paris 07 II 303
 Lemudeus angustidens u.
 proportionalis, Kreide,
 Lago Musters, Pata-
 gonien 05 I 497
 Lemur insignis = Palaeo-
 schirogaleus, Mada-
 gaskar 06 II 446
 Lemuren, Madagaskar u.
 Europa 06 II 443
 Lemuroidea, amerikan.
 Eocän 05 I 328
 — Systematik Festband 222
 — Patagonien 05 II 466
 Lengenbach, Steinbruch,
 im Binnental CBI 1907 93
 Lengenbachit
 — Binnental 1909 I 172 CBI 1905 30. 490
 — — Kristalle 06 II 31
 Lenhofdaporphy, Dilu-
 vium, Westfalen CBI 1907 174
 LEONHARD, K. C. v., Be-
 ziehungen zu GOETHE Festband 169
 Leonit
 — Bildung unter 25⁰ in
 ozean. Salzlager 06 I 163
 — obere Existenzgrenze . 05 I 192
 Leontinia u. Leontinidae,
 Kreide, Patagonien
 1905 I 168 05 II 467
 Leopardit, Nord-Karolina . 06 II 216
 Leopoldi-Gruppe, Kreide-
 ammoniten, Krim 06 I 315

Leopoldia Baumbergeri, belgramensis, Haut- thali u. paynensis, unt. Kreide, Patagonien	BB XXV 627				
— untere Kreide des Schweizer Jura	1907	I	483		
— Buxtorfi, hoplitoides, incerta, Lorioli, mu- cronata, neocomensis u. Renevieri, untere Kreide, Jura der West- schweiz	06	II	143		
Lepacyclotes	07	II	502		
Lepidoblastische Struktur der kristallinen Schie- fer	05	I	72		
Lepidocyclina, Einteilung der Gattung	05	II	489		
— angularis, Miocän, Formosa u. Riu Kiu	06	II	309		
— bayhariensis u. seno- niana, ob. Senon, Pa- lermo	07	II	340		
— Canellei, Chaperi, Gal- lienii, Joffrei, Morgani, Munieri, Raulini, Schlum- bergeri u. Tournoueri	05	II	490		
— Cottreai u. Giraudi	08	I	308		
— elephantina, Verbrei- tung im Vicentinischen	09	II	487		
— ferreroi, Borneo	09	II	489		
— inflexa u. Preveri, Val- lone Tre Pietre	09	I	296		
— (Orbitoides) Mantelli marginata, Tertiär	05	II	152		
— Umfang der Spezies . messapica u. salentina, Mitteleocän, Apulien und Sizilien	07	I	329		
— Morgani, Miocän, Zu- sammenvorkommen mit Nummuliten	07	I	159		
— planulata, Vallone Tre Pietre	09	I	297		
— u. himerensis zu L. dilatata	09	II	486		
— Provalei, Eocän, Cele- bes	08	II	286		
— selinuntina, Eocän, Marchesa bei Sciacca, Sizilien	06	II	455		
— Tournoueri-Schichten, Italien	06	I	473		
— u. Orthophragma in Nummulitenschichten, Indien	09	I	141		
Lepidocyclinae, Gattung Silvestrina	1905	II	487		
Lepidocyclinen — Eocän, zweifelhaft	07	II	341		
— — Sizilien	1906	II	455. 456		
— geologisches Alter	07	II	339		
— Variationen	08	II	284		
— Verbreitung im ita- lienischen Tertiär	07	I	328		
— Verhältnis zu Orbitoi- den etc.	09	I	139		
— Aniene-Tal	08	II	287		
— Groß-Kei-Insel, Mo- lukken	09	II	145		
— Madagaskar, oligocäne und miocäne	09	II	487		
— Niederl.-Indien	07	II	498		
— Sausset (B. du Rhône) — Sizilien, ? Eocän	09	I	135		
— — u. Apulien, nicht Eocän	08	I	141		
— Eocän	08	II	283		
— Turin	08	II	288		
— Umbrien	07	II	498		
Lepidocyclinenfaunen, Piemont	1907	II	159. 160		
Lepidocyclinenfrage	BB XXV		254		
Lepidocyclinenkalke, Apu- lien, Alter	08	II	291		
Lepidocyclinenschichten — Aquitanien u. Venetien	09	I	135		
— Provence, Miocän	09	I	297		
— Westsizilien	1907	II	496. 497		
Lepidodendron	08	I	154		
— mit Lingula gregaria, N.-S.-Wales	07	I	485		
— Nomenklatur u. Art- kritik	08	I	156		
— Feistmanteli, Grigo- riewi, Kidstoni und Zelleri, Carbon, Do- netz	05	I	538		
— Potoniéi u. rimosum f. sarana	08	I	156		
— primaevum, Mittel- devon, New York	08	II	450		
— Tonderae, Carbon, Dombrowa	09	I	146		
— vereenigingense, Permo- carbon, Vereeniging, Südafrika	08	I	454		
— Wortheni, Carbon, Vor- kommen	09	II	492		
Lepidolith, Elba, turmalin- führende Gänge im Granit, San Piero in Campo	05	II	34		

- Lepidolith
 — Ramon, San Diego Co., Cal., Kristalle 1906 II 18
 — siehe auch Lithionit, Lithionglimmer und Zinnwaldit.
- Lepidophyllum (?) dubium, Carbon, Offen-
 burg 08 I 459
- Lepidorbitoides, Kreide 08 II 290
- Lepidostrobos Bertrandi,
 Carbon, Donetz-Becken 09 I 459
 — Brownii 09 I 459
- Lepidotus maximus, Port-
 land, argent. Kordil-
 lere BB XXIII 188
 — Souza, Kreide, Bahia
 (Brasilien) 08 II 447
- Lepilemur, Schädel 06 II 445
- Lepospondyli, Wirbel-
 säule und Rippen 08 II 269
- Leptaena rhomboidalis,
 Culm, Königsberg bei
 Gießen BB XXVIII 626
- Leptaenenbett, Wilfingen,
 Schwäbische Alb 06 I 470
- Leptobos dependicornus
 und Groeneveldtii,
 Kendeng - Schichten,
 Java 09 I 118
- Leptobunus atavus, Mio-
 cän, Florissant, Col. 08 II 111
- Leptocheilus excavatus,
 Geyeri, tenuiformis u.
 tenuis, Jura — Tithon 08 I 304
- Leptocheirus Zitteli, ob.
 Trias, Winthrop, Sha-
 sta Co., Cal. 06 I 150
- Leptochlorite, mährisch-
 schlesische Schalestein-
 formation CBI 1906 293
- Leptochondria Albertii
 var. virgalensis 09 I 8
- Leptocoelia acutiplicata
 u. flabellites, Devon,
 Bolivia BB XXV 553
- Leptomussa costellata,
 unt. Tertiär, Barce-
 lona 09 II 485
- Lepton Dumasi, Eocän,
 Loire inférieure 06 I 468
- Leptophoca lenis, Mio-
 cän, Maryland 09 I 439
- Leptoplesictis Filholi und
 minor, Mittelmiocän,
 La Grive St. Alban 05 II 307
- Leptopoma Morleti, Eo-
 cän, Paris 1907 II 303
- Leptostrobos mariponen-
 sis 07 II 501
 — ovalis 07 II 506
- Leptostyrax, Kreide, Kansas 05 II 132
- Leptotrachelus serpenti-
 nus, Kreide, Libanon 05 II 482
- Leptura, balt. Bernstein,
 Deutung 07 I 323
- Lepus primaevus, süd-
 deutsche Bohnerze 08 I 127
- Ler 06 I 206
- Les Annes, Klippe, Sa-
 voyer Alpen, Geologie
 1905 II 250. 251
- Lettenkohle
 — Nordschweiz BB XXV 5
 — Westfalen, östliches 08 II 82
 — Württemberg BB XXV 1
 — und Keuper, Württem-
 berg CBI 1907 19. 42
- Leuchtenbergit, Ural, Berg
 Schischi 09 II 23
- Leucit
 — Bildung in Eruptiv-
 gesteinen 09 II 61
 — Doppelbrechung beim
 Erhitzen CBI 1908 35
 — Rohstoff für Kali- und
 Aluminiumgewinnung 07 I 262
 — Stabilitätsfeld 07 II 162
 — durch Zusammenschmel-
 zen 09 I 183
 — zusammengeschmolzen
 mit Olivin u. Akmit CBI 1906 140
 — Pompeji, im Tuff 06 I 377
 — Valognopiccino, Wert
 als Düngemittel 06 I 377
 — Vesuv 1906 08 I 44
 — — chem. Konstitution 05 I 25
 — Yukon-Territorium, .
 umgewandelt in Phol-
 nolith 08 I 236
 — siehe Natronleucit und
 Pseudoleucit.
- Leucitbasalt
 — Leucit elektromagne-
 tisch isoliert 07 I 262
 — Gauß-Berg, Antarkti-
 cum 1906 II 51
 — 08 I 75
- Leucitbasanit, Wätzen-
 born bei Gießen 05 II 50
- Leucitbasanituff, Lukow
 in Böhmen, Mandel-
 bildung CBI 1907 209

Leucitborolanit, Cnoc-na-Sroine, Nord-Schottland	BB XXII 424		
Leucite Hills, Wyoming, Geologie	1906 I 225		
Leucitergußgesteine, Tepler Hochland	09 II 222		
Leucitgesteine			
— Düngewert	08 II 212		
— Jumilla, mit Apatit	07 II 409		
— Mte. Ferru, Sardinien	09 II 227		
— Vesuv 1906	08 II 211		
— — und Somma	09 I 221		
Leucitrhombenporphyr, Kilimandscharo	07 II 411		
Leucitsyenit, Highwood Mountains, Montana	06 II 373		
Leucittephrit			
— Tiefenform (Sommit)	07 II 404		
— phlegräische Felder, ausgeworfene Massen	07 I 66		
— S. Maria del Pianto bei Neapel, Blöcke im Tuff	07 I 66		
Leucituranolith			
— Schaafstedt	05 I 213		
— — nicht meteorisch	CBI 1909 289		
Leucocyclittypus d. Apophyllit, chemisch	CBI 1906 79		
Leukas, Griechenland			
— Lias	CBI 1905 261		
— Jura	BB XXI 241		
Leukophan, Kristalle	BB XXIII 315		
Leukophyr, Fichtelgebirge	BB XXIII 1		
Leukoxen, Zusammensetzung	CBI 1906 158		
Levantinische Ablagerungen, Südrußland	CBI 1906 413		
Levesquei-Schichten, Eisen- erzformation, Loth- ringen u. Luxemburg	06 I 305		
Leviconcha zu Myophoria	07 II 338		
Levifusus? Harrisi, Tertiär	07 II 335		
Levyn			
— Belfast	CBI 1908 176		
— Färöer	09 I 29		
— Grönland, Ost-, im Basalt	06 II 186		
Lewis und Livingston Ranges, Montana, Geologie	06 I 88		
Lherzolith			
— Beziehung zu Oligosiderit	CBI 1905 92		
— Dubostica, Bosnien, mit Chromit	05 II 388		
Lherzolith			
— Piemont, Val della Torre, Umwandlung	1907 I 68		
— Pyrenäen (Bellongue)	05 I 428		
Lias			
— Alsórákos, Kom. Nagy- küküllő, Fauna des unteren	09 II 138		
— Apennin, Roccheta, Ammoniten des mittleren	09 II 139		
— Argolis	09 II 429		
— Gallberg bei Salzgitter	CBI 1906 113		
— Leukas u. Akarnanien	CBI 1905 259		
— Monte di Cetona, Cephalopoden	05 I 175		
— Norddeutschland, ob.	BB XXVIII 286		
— Oesterreichische Vor- alpen, Pflanzen	08 II 448		
— Schwaben, Brachiopoden des mittleren	06 I 468		
— — Flugsaurier	CBI 1906 290		
— — Mikrofauna	1905 II 151	09 II 320	
— Teutoburger Wald	CBI 1909 137		
— Tranze di Sospirolo bei Belluno, Brachiopoden	08 I 424		
— Vares (Bosnien)	05 I 465		
Lias- und Keuperholz, Bayern	09 I 467		
Liasgraben, Falkenhagen (Hannover)	08 II 80		
Libanon			
— Kreidefische	05 II 481		
— Pyknodonten d. Kreide, Hakel	CBI 1907 360		
Libellulapis antiquorum, Tertiär, Florissant, Colorado	07 I 321		
Libethenit			
— Kristalle	05 II 28		
— Viel-Salm, Kristalle	07 I 208		
— Clifton - Morenci - Distrikt, Arizona	06 I 174		
Librocedrus subdecurrens, Bernstein, Ostpreußen	09 I 307		
Libysche Wüste			
— oberste Kreide	07 I 437		
— Overwegi-Schichten u. Blättertone	06 I 319		
— Tertiär	05 II 322		
Lichas hirsuta var. tuberculata u. Woodwardi, Wenlock, England	05 II 316		

- Lichtenberg in Braunschweig, Geologie . . . 1905 II 260
 Lichtfiguren, Zeichnen . CBl 1908 732
 Lichtschein am Granat, Zirkon u. Sapphir . . . 07 I 13
 Lienzer Dolomiten, Geologie 05 I 287
 Liesing und Mödlingtal bei Wien, Geologie . . . 09 I 414
 Lievrit
 — chem. Konstitution 1908 II 310. 311
 — Elba, Darstellung der Kieselsäure und Konstitution 07 I 347
 — Japan 09 I 33
 — Kalifornien, Potter Creek, Shasta Co. 09 II 346
 — Sérifos-Insel, Griechenland 08 II 78
 Ligurien
 — Gesteine 08 II 214
 — Nephrit im südlichen Lilinthisceras, Perm, Lilinthis, Zentral-Himalaya 05 II 280
 Lillia Lilli (mit var. Baylei) und narbonensis, Jura, südwestl. Balkanhalbinsel BB XXI 271
 Lima, Kreide, England 06 I 466
 — acutirostris, densistriata, informis, libanensis, sublaeviuscula u. Zenobiae, Glandarienkalk, Syrien 06 I 279
 — azteca u. cardenasensis, Senon, Cardenas, Mexiko 08 I 102
 — britannica (Mantelum), Meyeri (Plagiostoma), scabrissima, vectensis u. wintonensis (Limatula), Kreide, England 06 I 466
 — Brusinai, selectissima u. szilyana, Hyperesenon, Peterwardeiner Gebirge 06 II 268
 — Bureaui, Dumasi, gouetensis, hyphanta und oxytomaeformis, Eocän, Loire inférieure
 — Canavarii, Lias, Zentralalpennin 06 II 145
 — Delanouei, Blättermergel von Theben 06 II 122
 Lima Delaunayi u. panygymna, Bathonien, St. Gaultier (Indre) . 1908 I 262
 — ferruginea, Eisenerzformation, Lothringen und Luxemburg 06 I 304
 — Gemellaroi, Lias, Casale bei Busambra (Palermo) 06 I 319
 — Harronis, oberer Jura, Somaliland 06 I 282
 — insolita, Campanien, Aegypten 05 II 285
 — rimosa, Granulatenkreide, westl. Münsterland 08 I 428
 — Shumardi, Buda limestone, Nordamerika 06 I 308
 — striata, Grenzdolomit, Schwaben BB XXV 68
 — testis, Paläocän, Ruggaard, Kattegat 08 II 103
 — aff. tumida, Jura, Buru BB XXV 325
 Limatula wintonensis, Kreide, England 06 I 466
 Limburg, Alter der roten Schichten 05 I 455
 Limburgit
 — in Silikatgeschmelzen . BB XXII 227
 — Argentinien BB XXII 618
 — Buru, Ind.-austral. Archipel BB XXII 402
 — Gießen 05 II 50
 — Paraguay, Cerro Tacumbú, chemisch 06 II 376
 — Tasmanien, Burnie 08 I 394
 — Taunus 07 I 228
 — siehe auch Magma-basalt.
 Limiden, Kreide, England 06 I 466
 Limitgesetz
 — kristallographisches, Erprobung 07 I 183
 — am Mursinkit 08 II 141
 Limmatquelle, Baden 09 I 83
 Limnaea conica etc., Südf frankreich 07 II 131
 Limnaeus Brancai und truncatuliformis, Alttertiär, Weilheim (Ries) 08 I 433
 — conicus u. eocaenicus, Alttertiär, Giengen bei Ulm 08 II 104
 — cucuronensis u. heriacensis, Pliocän, Cueva Rubbia, Spanien 07 II 17

- Limnocardium moquicum*,
 Neogen, Suchum-Di-
 strikt 1906 I 432
Limonit CBI 1909 326. 329
 — Carrara, im Marmor 07 I 216
 — Kalwang, pseudomorph
 nach Quarz 05 I 13
 — Nagolnij Krjasch, Do-
 netz-Becken 07 II 195
 — Nagolny-Gebirge,
 pseudomorph nach der
 Spaltbarkeit des Anke-
 rit (Parankerit) CBI 1908 7
 — siehe auch Brauneisen-
 erz.
Limonitgeoden u. -sand-
 konkretionen 08 II 7
Limopsis aequalis und
subaltera, Eocän, Loire
inférieure 06 I 155
 — *costulata* var. *crassi-*
costa, Tertiär, Mandri-
 kowka 06 I 468
 — *homala* = *lentiformis*,
 Eocän, Loire *inférieure*
 — *minima*, Paläocän, Ru-
 gaard, Kattegat 08 II 103
 — *nummiformis* u. *Vil-*
mae, Hypersenon, Pe-
 terwardeiner Gebirge 06 II 268
Limoptera carbonifera,
 Permocarbone, N.-S.-
 Wales 07 I 485
Linarit
 — Arakawa, Japan 07 I 210
 — Cumberland, Krist. 07 I 209
 — Irland (Wicklow) 08 II 321
 — Otavi, SW-Afrika CBI 1906 388
 — Sardinien, Argentiera
 della Nurra, Portor-
 torres 06 I 31
Linderina 08 I 308
 — Paronai, Eocän, Cele-
 bes 08 II 286
Lindigia ? *nodosum*, Krei-
 de, Kalifornien 06 I 288
Lingula, Lettenkohle,
 Württemberg CBI 1907 47
 — Coheni, ovoides, sub-
 ovata u. subpunctata,
 Devon, Bolivia BB XXV 535
 — *gregaria* mit *Lepido-*
dendron (Knorria),
 N.-S.-Wales 07 I 485
 — *tenuissima* und Zen-
 kerii, Keuper, Schwaben BB XXV 113
Lingulonodosaria 1907 II 499
 Linneit, Santa Fé-Mine,
 Chiapas, Mexiko, gold-
 haltig (Siegenit) 05 I 43
Linopteris Mayeri, Car-
 bon, Hinterohlsbach
 bei Gengenbach 08 I 458
Linthia ataecica, Eocän,
 Aude und Hérault 07 II 192
Lioceras concavum-Zone,
 Couzon-au-Mont-d'Or
 bei Lyon 05 I 464
Liopistha corrugata, Krei-
 de, Pondoland 07 II 306
Liorhynchus antiensis,
 Devon, Bolivia BB XXV 555
Liotina somaliensis, Ter-
 tiär, Somaliland 07 II 303
 Liparische Inseln
 — Gesteine verglichen m.
 Ustica 09 II 68
 — Stau-Kuppen Festband 325
 Liparit
 — Argentinien BB XXII 573
 — Asoday, Zentralafrika,
 mit Riebeckit u. Aegi-
 rin 09 II 235
 — Batakländer (Suma-
 tra) BB XXVII 433
 — John Day Basin, An-
 telope Valley 05 II 234
 — Kaukasus 06 I 389
 — Kirnik bei Verespatak 07 I 64
 — Piatigorsk, Kaukasus 07 I 235
 — Somaliwüste 05 I 247
 — siehe auch Rhyolith
 und Quarztrachyt.
 Liparittuffbreccie, Suma-
 tra, Färbung durch
 organ. Farbstoffe BB XXVIII 370
Liriodendron attenuatum,
 Kreide, New York 08 I 456
 — Schwarzii, ob. Kreide,
 Quedlinburg 07 I 493
Liriodendropsis spectabilis,
 Kreide, New York 08 I 456
 Lisburne-Formation, En-
 dicott-Kette, nördl.
 Alaska 06 I 92
 Lischannagruppe, Unter-
 engadin, Geologie 07 I 96
 Lissabon, Erdbeben, Li-
 teratur 06 I 40
 Lissar-Tal (Johar, Zent-
 ral-Himalaya), Pro-
 ductus-Schiefer 05 II 280

- Listriodon splendens, sarmat. Schichten, Steiermark 1908 II 430
- Lithandrena saxorum, Tertiär, Florissant, Colorado 07 I 321
- Lithapium acutispina, Miocän, Italien 09 II 490
- ellipticum u. incrassatum, Scaglia, Euganeen 06 I 475
- Litharaea distans, Kreide, Ostgalizien 09 I 294
- Lithatractus miocaenica, Miocän, Italien 09 II 490
- Lithauen, Foraminiferen des Jura 06 I 471
- Lithiongehlenit, künstl. CBl 1905 649
- Lithionglimmer
- pleochroit. Höfe CBl 1909 143
- siehe auch Zinnwaldit, Lepidolith u. Lithionit.
- Lithionit, Schmiedeberg (Riesengeb.), im Granit CBl 1909 772
- siehe auch Lepidolith und Zinnwaldit.
- Lithiotiden, Stellung CBl 1906 208, 209
- Lithiotis
- Muskeleindruck CBl 1906 458
- Stellung CBl 1905 470 CBl 1906 161
- Lithiumalumosilikate, künstlich CBl 1905 646
- Lithiumbromsodalith, künstlich CBl 1905 655
- Lithocampe euganea, Kreide, Euganeen 06 I 474
- marylandica, Tertiär, Maryland 07 II 161
- obesa u. veneta, Scaglia, Euganeen 06 I 475
- Lithocardium dilatatum, Eocän, Loire inférieure 06 I 468
- Lithodorus Lorioli und Zumoffeni, Glandarienkalk, Syrien 06 I 279
- Lithogenesis, siehe Gesteinsbildung.
- Lithomespilus coronatus und ovoideus, Kreide, Euganeen 06 I 474
- Lithomitra laevigata, Miocän, Italien 09 II 490
- Lithosiderite, Struktur u. Zusammensetzung 06 I 196
- Lithostrobos communis, incrassatus u. pagoda, Kreide, Euganeen 06 I 474
- Lithostrobos duodecimcostatus und elegans, Scaglia, Euganeen 1906 I 475
- Lithostrotion irregulare, untercarb. Transgressionsmeer, Tian-Schan BB XXVI 228
- Lithotiphia Scudderi, Tertiär, Florissant, Col. 07 I 321
- Litiopa alnensis, Eocän, Paris 07 II 303
- Litopterna, Kreide, Patagonien 05 I 171
- Litorina-Bildungen, Lübeck 06 I 119
- Litorina-Meer u. Ancylus-See, westl. Ostseebecken 07 I 118
- Litorina-Senkung, Vorpommern, Zusammenhang mit alten Stromtälern 1905 I 473 06 II 434
- Littorina anceps, Morgani, percostata und persica, Senon, Südpersien 06 I 444
- couzonensis, Zone d. Lioceras concavum, Couzon-au-Mont-d'Or bei Lyon 05 I 464
- ? lubrica, mittl. Gault, Algermissen 05 I 317
- Mausseneti, Eocän, Paris 07 II 303
- pectinata = gracilis, Kreide, Sachsen 06 I 317
- Lituola simplex, Brown's Creek, Otway coast, Victoria, kainozoisch 06 I 471
- Lituolidae, Systematik 08 I 307
- System der lebenden und fossilen 05 II 328
- Lituonella Roberti, Eocän, Aegypten 07 I 326
- Llangynog (Wales), Geologie 08 I 225
- Lobenlinien von Indoceras baluchistanense 05 I 1
- Lobites aberrans, Weniger Schichten, Epidaurus (Argolis) Festband 11
- ellipticus und pisum, Trias, H. ANDREAS BB XXV 460
- Lobolithen, Vorkommen in Cornwall 09 I 134
- Lösliche Salze, Zusammenkristallisieren 09 I 161

- Löslichkeit
 — des Quarzes, nicht beeinflusst durch Druck 1905 II 246
 — und Korngröße 06 I 6
 — schwerlöslicher Salze . CBI 1904 441
 — von Schwermetallsulfiden in Wasser 08 I 168
 Löslichkeitsbestimmung, ultramikroskopische 08 II 5
 Löslichkeitsgesetz von NERNST bei Silikatschmelzflüssen BB XXIII 79
- Löß
 — Apolda 09 I 279
 — Frankreich und Belgien 08 I 270
 — Köthen 09 I 109
 — — u. Schwarzerden 09 II 107
 — Niederrhein 09 I 278
 — Rodderberg bei Bonn 07 II 455
 — Schwaben, jüngerer, Beziehung zum Diluvium 09 II 75
 — Thiede, Mollusken 05 I 309
 — Weißenfels und Zeitz 09 II 109
 — Wien, Konchylien 07 II 460
- Lößablagerungen, Thüringen und östliches Harzvorland, Altersbestimmung u. Gliederung CBI 1909 385
- Lösungen
 — konstante, Maximaltension u. Zusammensetzung bei 83° 05 I 193
 — kristallisierende, Brechkoeffizienten 09 I 157
 — schwere, Trennungsapparat CBI 1906 475
 — Transport u. Niederschlag von Au, Ag u. Cu 08 II 8
 — übersättigte, Kristallisationsgeschwindigkeit 07 I 3
- Lösungsgenossen verändern die Kristalltracht von Doppelsulfaten 07 I 184
 Lösungsgeschwindigkeit der Kristalle 07 I 184
 Lösungsprozeß, Mechanik 05 I 10
 Lösungszustand, Einfluß auf Kristallform 07 I 184
- Lötöhranalyse (LANDAUER) CBI 1908 183
- Löwenburg, Siebengebirge, Essexit BB XXIII 407
- Loftusia Morgani, Senon, Südpersien 1906 I 445
 Loire inférieure, Eocän-Mollusken 1906 I 154. 467
 Lomaphorelus, Kreide, Patagonien 05 I 169
 Lomomys, Tertiär, Patagonien 07 II 325
 Loncherinae, Tertiär, Patagonien 07 II 326
 Lonchoconus, Kreide, Patagonien 05 I 168
 Lonchocrinus, Körperform Festband 297
 Lonchopteris, Eulonchopteris und Lonchopteridium, Carbon, Vorkommen 09 II 492
 Londinianum, Aegypten, Einteilung 05 II 323
 London Clay, Analysen 08 II 406
 Long Island, Nordamerika, Kreidepflanzen 07 I 495
 Londonton = Yprésien u. Cuisien 06 II 115
 Longobardites nevadanus, mittl. Trias, Nevada 06 II 304
 Lonsdaleia Fennemai und Frechi, Obercarbon, Sumatra 1907 I 327. 478
 Lophacristatula, Morgani und persica, Kreide, Südpersien 06 I 444
 Lophiodon, Beziehung zu Chasmotherium etc. 1906 II 281. 291
 — Tertiär, Carcassonne 09 II 469
 — buxovillanum, Cuvieri, isselense Lartetii, leptorhynchum, occitanicum, parisiense, rhinoceros, sardum, subpyrenaicum und tapiroides, Eocän, Schweiz 05 I 493
 — lautricense, Bartonien, Castrais 05 II 302
 — Thomasi 07 II 451
 Lophiodonticulus, Lophiodontidae, Kreide, Patagonien 05 I 168
 Lophiolemur Edwardsi, Madagaskar 06 II 446
 Lophiotherium, Bartonien, Castrais 05 II 302
 — Eocän, Schweiz 06 II 287
 Lorandit, Alchar, chem. 05 I 371
 Lorbeerholz, Flyschsandstein, Algäu 09 I 468

Lothringen, Deutsch- u. Luxemburg, Fauna d. Eisenerzformation . . .	1906	I	303	Lübecker Mulde und ihre Terrassen	CBI 1907	97
Louisiana, Oelfelder . . .	06	II	383	Lücken in der Mischungsreihe isomorpher Substanzen	1905	I 368
Loxococoncha elongata und Jurassica, Unteroolith, Westaustralien . . .	05	II	151	Lüderitzbucht, Diamanten	CBI 1909	235, 251
Loxonema acuminatum, cf. acutum, rugiferum u. sulcatula, Culm, Königsberg bei Gießen	BB	XXVIII	644	Lüneburger Heide — Kreide	CBI 1909	619, 759
— attenuata, gregaria u. aff. postremum, Devon, Bolivia	BB	XXV	509	— Verwitterungserscheinungen und Glazial .	CBI 1909	690
— babbindoonensis, Carbon, N.-S.-Wales . . .	08	I	278	Luisa-Schichten, Kreide, Patagonien	BB XXI	143
— triadicum, Werfener Schichten, Bucieri, Montenegro	05	II	108	Lujaurit, Los-Inseln . . .	08	I 227
Loxopteria, Naples-Fauna	CBI	1905	389	Lumineszenzerscheinungen	1907	II 169, 170
Loxoptyx biarritzensis, blaue Mergel von Côte des Basques bei Biarritz	06	II	439	Lummaton-Kalk, Devon, Torquay	06	II 263
Lublinit, Nowo Alexandria	1909	II	340, 341	Lunulicardium, Naples-Fauna, systemat. Stellung	CBI 1905	386
Lucette (Mayene), Erzlagerstätte	06	I	34	Lunulites parvula, Tertiär, Patagonien . . .	05	II 141
Lucina argentina, cf. corbisoides u. neuquensis, Neocom, Argent. Kordillere	BB	XXIII	217	Lunzer Schichten — die von D. STUR unterschiedenen Marattiacenarten	09	I 464
— Barronii, Campanien, Aegypten	05	II	285	— zwischen Göstling und Wildalpen	09	I 415
— camerunensis, ?Eocän, Kamerun	06	II	123	Lupus spelaeus, Kitzelberg bei Kauffung, Katzbachtal	05	I 504
— dilatata, Netschaewi, proava, rara u. subincerta, Paläocen, Saratow	05	II	121	Lure-Berg, französ. Alpen, Geologie	05	I 277
— Downesi, Kreide, England	08	I	444	Lussatit	BB XXV	185
— Gaudryi, Cenoman, Südfrankreich	07	II	131	Lutecin	BB XXV	185
— (Dentilucina) louristana, Senon, Südpersien	06	I	445	Lutra palaeoleptonyx, Kendeng - Schichten, Java	09	I 120
— praedespecta, Zone d. Lioc. concavum, Couzon-au-Mont-d'Or bei Lyon	05	I	464	— pristina, Miocän, Süddakota	05	II 129
Lübeck				Lutricis lycopotamicum, Miocän, Dakota	05	II 128
— Grundmoräne und jungglaz. Süßwasserbildungen	05	II	440	Lutter am Barenberg, Geologie	05	II 260
— Litorina-Bildungen . . .	06	I	119	Luxemburg u. Deutsch-Lothringen, Fauna der Eisenerzformation . .	06	I 303
				Luxullian, Cornwall, Apatit etc. im Granit	BB	XXIII 581
				Luzonit, Mancayan (Luzon), Kristalle	06	II 157
				Lychnocanium crassispina und elegans, Scaglia, Euganeen . . .	06	I 475

Lychnocanium euganeum und parvulum, Kreide, Euganeen	1906	I	474	Lytoceras Orsinii, Jura, Seevorralpen	1906	I	110
— parvum, Miocän, Ita- lien	09	II	490	— taeniatum u. Wrighti, Dogger, Unterelsaß	09	I	134
Lycopodiaceen, fossile, Bau	09	I	145	Lytoloma Wielandi, Nord- amerika	09	I	452
Lycopodites hostimensis, Devon, Etage H, Mit- telböhmen	06	II	146	M.			
— montanensis	07	II	505	Maare	CBI 1908	238	
— Victoriae, Trias—Jura, Victoria (Australien)	08	I	150	— Form und Bau	Festband	171	
Lycosauridae, Systematik	07	I	480	— Taunus, basaltische	07	I	449
Lycostrobos, Schweden	09	I	152	Maas-Stufe, Diluvium, Belgien	05	I	480
Lycosuchus Mackayi, East London, Süd- afrika	07	I	143	Maastal, quart. Terrassen unterhalb Lüttich	08	II	409
— Vanderietii, Ecca beds, Groot Vlakte	07	I	144	Machaeracanthus bohe- micus, Devon, Ost- thüringen	BB XXIV	308	
Lydenburg, Transvaal, Gesteine	07	I	235	Machaerodus in Höhlen	07	II	317
Lymnaea conica, scarla- tenis (= acuta) und subphysoides (= Mu- nieri), Cenoman, Süd- frankreich	07	II	131	— cultridens, süddeutsche Bohnerze	08	I	127
Lyon (Couzon-au-Mont- d'Or, Zone d. Lioceras concavum	05	I	462	Machlydotherium, Kreide, Patagonien	05	I	170
Lyopora gigantea, Devon, Bolivia	BB XXV	563		Macigno, Calafuria, südl. Livorno, Mineralien 1906 I 168	07	I	67
Lysorophus, Bau	09	II	125	Mâcon, Juraechiniden	07	II	156
— Perm, Texas	09	II	124	Macquarrie, Island, Ge- steine	07	II	79
— tricarinatus, Perm, Texas	07	I	149	Macraucheniden, Zahn- system	05	II	463
— — Schädel	08	II	269	Macrerpeton Huxleyi, Carbon, Linton, Ohio	09	II	134
Lystrosauridae, Systema- tik	07	I	480	Macrocephalites, Indo- Austral. Archipel, Länge der letzten Wohnkam- mer	CBI 1909	174	
Lystrosaurus, Schulter- gürtel	07	I	142	— alfuricus	07	II	447
Lytoceras angulatum, ar- gonautarum u. jack- sonense, Kreide, Kali- fornien	06	I	288	— bambusae	07	II	447
— cf. cornucopia, Lias, Epirus	BB XXI	287		— batavindicus	07	II	447
— crenulatum, Kreide, Natal	07	II	305	— cocosi	07	II	447
— evolutum, Oberlias, Piszke	09	II	138	— epigonus, Jura, Sierra de Mazapil und Santa Rosa, Mexiko 1907 I 279	07	II	469
— ezoëense u. imperiale, Kreide, Hokkaido	05	I	529	— macrocephalus, Buch- berg b. Achdorf (Wut- achgebiet), Wohnkam- mer	CBI 1908	40	
— fasciculatum, Jura, Bucegi-Stock	06	II	121	— cf. macrocephalus com- pressus, Jura, Hotu Bebolan	BB XXV	331	
— incertum, Kaukasus	08	II	81	— metroxyleni	07	II	447
				— palmarum	07	II	447
				— rotangi	07	II	447

- Macrochelys floridana*, Nordamerika 1909 I 452
Macrodon Beyrichi, Grenz- dolomit, Schwaben . BB XXV 86
 — *Hohmanni*, Devon, Bolivia BB XXV 530
 — *parallelum*, Jura, Moskau etc. 05 I 131
 — *Rufae*, oberer Jura, Somaliland 06 I 281
 — *scaber*, Pachycardien- tuffe, Seiser Alp 07 II 337
Macroodus cf. bistriatus, *expansus*, *multilineus*, *obtusus*, *cf. reticulatus*, *squamosus* und *undatus*, Culm, Königsberg bei Gießen BB XXVIII 638 ff.
Macromerion Gumbeli, Rotliegendes, Pfalz 09 II 137
Macropetalichthys pel- mensis, Devon, Pelm. CBI 1907 584
Macrophyta pervetusta, Miocän, Florissant, Colorado 08 II 112
Macropneustes Bertrandi, Eocän, Aude und Hé- rault 07 II 156
Macropygia (Trilobiten). CBI 1907 130
Macrotaeniopteris angu- stior, *Haidingeri*, *latior*, *lunzensis* und *simplex*, Lunzer Schich- ten 09 I 465
Macruriden, Otolithen im Tertiär, Oesterreich 07 I 480
Macrurus angustus, *Artha- beri*, *crassus*, *ellipti- cus*, *elongatus*, *excisus*, *gracilis*, *Hans- fuchsi*, *praetrachy- rhynchus*, *rotundatus*, *Toulai* u. *Trolli*, Oto- lithen, Tertiär, Oester- reich 07 I 480
Mactra gabbiana, Kreide, Kalifornien 06 I 288
 — *mekranensis*, Tertiär, Ormara-Kap, Mekran- Küste, Beludschistan 06 I 118
 — ? *rhomboidea*, ? *Eocän*, Kamerun 06 II 123
 — *Zulu (?)*, Kreide, Um- kwelane Hill, Zulu- land 06 I 308
Mactromya cf. Couloni, *Neocom*, Argent. Kor- dillere BB XXIII 220
Macularia pachystoma, *platychelodes* u. *syl- vana*, Tertiär, Schwäb. Alb CBI 1908 590
 Madagaskar
 — *Aegirin-* u. *Riebeckit- granit* und Kontakte 1905 I 248
 — *Albien*, im nordöst- lichen 06 I 294
 — *Alkal. Gesteine* von d. Prov. *Ampasindava* 05 I 434
 — *Dinosaurier* 08 II 439
 — *eocäne Fauna*, West- küste 07 II 128
 — *fossile Wirbeltiere* 06 II 443
 — *Gesteine* von Maha- faly 09 I 71
 — *Goldvorkommen* 08 II 219
 — *Höhlungen* im *Granit*, *Antananarivo* 07 I 393
 — *Jura* und *Kreide* BB XXVIII 164 ff.
 — *Kreideechiniden* 05 II 149
 — *Laterit* Festband 33
 — *Oligocän* 06 I 101
 — *oligocäne* und *miocäne* *Foraminiferen* 09 II 487
 — *Senon*, *Fanivelona*, *Ostküste* 06 II 113
 — *Untersenon*, *Westküste* u. *Indischer Ozean*, *Geologie* des nörd- lichen 07 I 427
Madupit, *Leucite Hills*, *Wyoming* 06 I 225
Maeandrospina (M. char- tacea) 05 II 154
 Mähren
 — *Minerallagerstätten* d. westl., im *Archaikum* und *Devon* 05 II 234
 — *mineralog. u. geolog. Literatur* 06 I 348
 — *Jura* 05 I 295
 — *Stringocephalenkalk* 06 I 302
 Mährisch-schlesische Schal- steinformation, *Lepto- chlorite (Thuringit, Moravit)* CBI 1906 293
Maesa Zitteli, *Eocän*, *Fa- yum* 09 I 308
 Magazinthermometer, Ver- besserung zu Schwere- messungen 06 II 46

- Magdalénien der älteren
Steinzeit 1906 I 128
— Abri Mège 07 II 476
— Munzingen 07 II 471
Magellanian beds, Ter-
tiär, Patagonien BB XXI 165
Magellanische Stufe, Pa-
tagonien 07 II 142
Magensteine, siehe Gastro-
lithen 08 II 441
Magilus grandis, Eocän,
Westmadagaskar 07 II 129
Magma, flüssiges, Kri-
stallbildung 07 II 11
Magmabasalt
— Böhmen, zw. Böhm.-
Kamnitz u. Kreibitz 06 II 359
— — Tepler Hochland 06 II 356
— siehe auch Limburgit.
Magmanähe Kontakt-
lagerstätten, Concep-
cion del Oro, Zaca-
tecas, Mexiko BB XXVIII 565
Magmatische Ausscheidung
— von Buntkupfererz,
O'okiep, Klein-Nama-
land 09 II 397
— von Magnetisen aus
Granit, Lofoten 09 I 389
Magmatische Differentia-
tion, Eruptivgesteine 05 I 60
Magmatische Emanation-
en 08 II 219
Magmatische Resorption
u. porphyr. Struktur 05 II 1
Magmen, siehe Eruptiv-
magmen.
Magnesiumsulfate, Bildung
unter 25° in ozean.
Salzlagern 06 I 163
Magnesioferrit in künstl.
Magnesitsteinen CBI 1908 306
Magnesit
— Verhalten zu magne-
siareichen Kalkalgen 06 I 333
— Eichbergkogel am Sem-
mering, mit Jamesonit CBI 1908 281
— Euboea, Färbung durch
organ. Farbstoffe BB XXVIII 370. 372
— Kärnten 07 I 200
— Nieder-Oesterreich CBI 1908 742
— Ostalpen, Genesis CBI 1909 714
Magnesitsteine, künst-
liche, Einschlüsse, bes.
Periklas CBI 1908 305
- Magnesium
— rechtsweinsaures, Kri-
stalle 1907 I 104. 105
— saures, rechtswein-
saures, Kristalle 1907 I 105
Magnesiumcarbonat und
Erdalkalien, Dissozia-
tion 07 I 13
Magnesiumdiopsid 09 II 169
— Kallsholm, Ålands-
inseln, im Diabas 07 II 409
Magnesiumpektolith, Burg
bei Perborn, im Dia-
bas CBI 1907 739
Magnesiumsilikat
— Mg Si O₃ tetramorph,
u. natürl. Vorkommen 08 I 18
— künstliche 06 I 326
Magnesiumsulfathepta- u.
-hexahydrat, in ozean.
Steinsalzlagern, obere
Existenzgrenze 05 I 192
Magnetberg, südl. Ural,
Eisenerze u. Gesteine 06 I 380
Magnetisen
— Ausscheidung aus
Schmelzflüssen 08 II 22
— in Bogenlampen 08 II 13
— in Silikatschmelzen
BB XXII 199. 207. 219. 228. 231. 242
— Isomorphismus
1908 II 169 CBI 1907 350
— künstl., Entstehung 07 II 371
— zusammengeschnitten
mit Albit u. Augit BB XXII 194
— — — — und Olivin
BB XXII 233 BB XXV 265
— — mit Diopsid und
Anorthit BB XXIII 54
— — — — und Olivin BB XXIII 56
— — mit Eläolith und
Augit BB XXII 202
— — mit Fayalit BB XXII 230
— — mit Labrador und
Augit 08 II 16
— — mit Olivin BB XXII 224
— — — — und Augit BB XXII 211
— — mit Orthoklas und
Olivin BB XXV 273
— Biella, Piemont, Dru-
sen im Syenit 06 II 34
— Cala, Sierra Morena,
Erzlager 06 I 229
— Campolongo 05 I 203
— Canale Monterano
(Rom), im Tuff 06 I 170

- Magneteisen
— Carrara, im Marmor . 1907 I 217
— CerroMercado, Mexiko . 05 II 201
— Daschkessan, Kaukasus . . . 1907 I 78 07 II 380
— Diélette (Manche) . . . 07 II 19
— — — Entstehung . . . 09 I 393
— Georgetown, im Pegmatit 08 I 239
— Gobitschau, Mähren . CBI 1906 306
— Grängesberg, Schweden, aus Eisenglanz durch Reduktion . . . 05 I 258
— Lappland BB XXIV 548
— Laramie Range, Wyoming, titanhalt., im Anorthosit 07 I 76
— Magnetberg, südlicher Ural 06 I 382
— Nordost-Rhodesien . . . 07 I 80
— Ottawa bei Pisek, im Goldsand 05 I 365
— Schmiedeberg (Riesengeb.), Lager 05 I 257
— — — im Granit . . . CBI 1909 771
— Sérifos-Insel, Griechenland 08 II 76
— Troitzk, Nord-Ural . . . 06 II 223
— Ural, Pseudom. von Asbest nach M. 09 II 346
— — — Wissokaja 09 I 392
- Magneteisenlagerstätten
— Entstehung 1905 II 404. 405
— kontaktmetamorphe . . . 05 II 404
- Magnetische Aufnahmen, Instrumente 09 I 389
- Magnetische Deklination u. Inklination bei verschiedenen Höhen, Montblanc 09 I 44
- Magnetisierende Einwirkung des Blitzes auf Lava und Ton 07 II 389
- Magnetisierung der dem THOMSON'schen Gesetz nicht unterworfenen Mineralien . . . 07 II 352
- Magnetismus
— der Gesteine, Vogelsberg, bes. Bauxit 07 I 43
— permanenter, in einem durch Basalt veränderten Ton 07 II 389
— vulkan. Gesteine 06 I 37. 38
— siehe auch Diamagnetismus.
- Magnetit-Thuringitlager, Christdorf, Mähren . CBI 1907 321
- Magnetkies
— gleichzeitiger Para- u. Diamagnetismus . . . 1907 II 15
— Kristallform . . . CBI 1906 261. 338
— magnet. Eigenschaften . 07 I 63
— Neubildung auf einer Kohlenhalde 08 I 28
— nickelhaltiger, mikroskopische Struktur . . . 09 I 79
— Ajudagh, Krim 09 II 367
— Blantyre-Distrikt, Brit. Zentralafrika, Ni-halt. . 07 I 237
— Brest, Ni-haltig, im Kersanton 05 I 427
— Frigido bei Massa 07 II 177
— Gruschewka, im Anthrazit, Umwandlung (ged. Eisen und Limonit) 06 I 13
— Niederrhein, in Basalteinschlüssen . . . CBI 1908 708
— Nordamerika, Produktion 1905 06 I 329
— St. Blasien, Schwarzwald, Lagerst. des Ni-haltigen 09 I 80
— St. Lorenzen, Steierm., Pseudom. von Quarz nach 05 I 13
— Schmiedeberg (Riesengeb.), im Granit . CBI 1909 772
— Schottland 05 I 441
— Solhand a. Spree, Ni-haltig, im Diabas 05 I 96. 98
— Sudbury, Ontario, Beziehung zu Norit 08 I 82
— — — Nickelgehalt 05 II 406
— — — -Distrikt, Canada . . . 06 II 182
— Tirol 08 II 295
— siehe auch Eisensulfid.
- Magnetometer bei magnet. Aufnahmen 09 I 389
- Mainzer Becken
— Kreuznacher Meeresand 07 I 111
— Ostrakoden d. Tertiär . . . 06 II 138
— Rupelton, Foraminiferen 09 I 433
— Säugetiere des Oligocän und Untermiocän 06 II 131
— Tertiär, Grorother Mühle 06 II 113
- Maitai-Schichten, Neuseeland, Südinsel, Jura . 05 II 275

Makroseismische Erdbeben	1905	II	206	Mandelausfüllung im Anamesit, Oberwiddersheim	CBI 1905	142
Malachit				Mandelbildung im Leucitbasanituff, Lukow in Böhmen	CBI 1907	209
— künstlich	08	II	305	Manganeisenerze, Mackamezö, Ungarn	1907	I 78
— Carrara, im Marmor	06	II	176	Manganeisenkruste, Cap-Halbinsel, durch Windwirkung	06	II 352
— Copper Queen Mine, Arizona	06	I	175	Manganerze		
— Färöer	09	I	29	— Alsósajó, Ungarn	07	I 207
— Katanga und Pleochroismus	07	I	202	— Brasilien	06	II 226
— Lagonegro	08	II	307	— Brit. Nord-Borneo	09	I 80
— Markirch	09	I	24	— Cuba	05	I 389
— Nagolnij Krjasch, Donetz-Becken	07	II	196	— Hessen	06	II 225
— Otavi, SW-Afrika	CBI 1906		388	— Huelva, Entstehung	08	I 85
— Piemont, im Stronau. Sesia-Gneis	08	II	215	— Nordamerika, Produktion 1902	05	I 209
Malacostroma concentricum, plumosum und undulosum, Kohlenkalk, Namur	07	I	138	— Ostafrika, Deutsch	09	I 232
Malaischer Archipel, rezente Foraminiferen	05	II	155	— Piemont, Lanza-Tal	07	II 359
Malakolithfels, Raspenau. Böhmen, im körnigen Kalk des Kalkbergs	06	I	56	— Sternberg, Mähren	1906	I 332
Malakon, Mukden, Mandchurei	09	II	340	Manganerzgrube Miguel Burnier, Minas Gerais, Atopit	CBI 1905	240
Malla Sangcha, Perm der Umgebuug, Zentral-Himalaya	05	II	279	Manganerzindustrie, Brasilien	06	II 226
MALLARD'sche Konstante des Mikrokonoskops	09	II	327	Manganerzlagertstätten		
Malmsbury - Schichten, Kap-Kolonie, Van Rhyn's Dorp	07	II	116	— Bildung	09	I 80
Malone beds, Jura, Texas	07	I	285	— Brasilien	09	I 81
— Sands, Belfast, Foraminiferen	09	I	300	— Cevljanovich, Bosnien	09	II 403
Malthazit	CBI 1909		333	— Kaukasus, Kreis Kuttais	09	II 360
Mamanit = Polyhalit	06	I	161	— Kroglje bei Dolina, Dalmatien	05	I 99
Mammites binicostatus, Labiatius-Plänen, Sachsen	05	I	354	— Niedertiefenbach an der Lahn	05	I 99
Mammitida, Kreide	07	II	147	Manganfayalit, Agramer Gebirge	08	II 28
Mammut				Mangangranat, Kärarfvat, Y-haltig	08	I 187
— Illinois und Iowa	1907	I	305. 306	Manganit, Vallicella (Toskana)	07	II 37
— Unteritalien	06	I	146	Mangankalkancyilit, westliches Rußland	05	I 376
— Wilsdorf b. Bodenbach (Böhmen)	09	I	128	Manganophyll, Lichtabsorption	06	I 27
Mammutleiche				Manganspat		
— Beresowka-Ufer, Nord-sibirien und andere	06	I	145	— Markirch	09	I 26
— siehe auch Elephas.				— S. Barthélemy, Aostatal	07	II 36
Man, Insel, crush-agglomerate (Reibungsbreccie)	06	II	210	— Sternberg, Mähren	06	I 332
				Manganspinell in Hohofenschlacken, Menyhaza	08	II 168

- Manganwiesenerz 1909 I 80
Mangoli, Indoaustr. Archipel, Geologie BB XXII 385
Manhattan Island, New York, Entstehung d. Amphibolschiefer und Serpentine 06 I 227
Manindjau-Vulkan, Sumatra, Gesteine 06 I 218
Manis palaeojavanica, Kendeng-Schichten, Java 09 I 120
Manjak (Asphalt), Trinidad 07 I 86
Mansfeld, Kupferschiefer, Beziehung der Erzführung zu Rücken CBl 1906 243
Mansfelder Kupferschiefergruben, Wassereintrich, Oktober 1907 09 II 372
Mantelliceras Picteti, Kreide 07 II 149
Mantelliceratida, Mantelliceratidae, Kreide 07 II 149
Mantellum britannicum, Kreide, England 06 I 466
Manticoceras cf. primordiale, Devon, Ostthüringen BB XXIV 301
Manx slates, Insel Man 06 II 210
Maoriland, Vulkane 07 I 220
Marattiaceae von D. STUR, der Lunzer Schichten 09 I 464
Marburg (Hessen), Quellen 08 II 346
MARCEL BERTRAND, Nekrolog CBl 1909 499
Marchantites erectus, Jura, Yorkshire-Küste 07 I 489
Maretia Guehardi, Molasse, Veuce 07 II 155
Margarit, Zwillinge CBl 1907 403
Margarita plicatilis 07 II 468
Margarites Adaelae, inermis, Marii, ornatissimus, Ugdulenai und Waageni, oberer Trias, Sizilien 05 I 346
— Devasena u. Sushena, Tropites-limestone, Byans 08 II 238
— irregularicostatus, tibetan, Klippen des Zentral-Himalaya 08 II 414
Marginella (Faba) gibberosa u. M. portus, blaue Mergel von Côte des Basques b. Biarritz 06 II 439
Marginella Vaquezi, Eocän, Loire inférieure 1907 II 302
Marginifera Clarkei, involuta, juresanensis, Lebedevi, Schellwieni, timanica u. typica var. septentrionalis, Obercarbon, Ural und Timan 05 I 534
— — — und cf. involuta, pusilla u. typica var. septentrionalis, oberes Carbon, Kukuruk-Tal, südl. Tian-Schan BB XXII 371
Marginopora, rezent (M. vertebralis) 05 II 154
Marginulina pediformis u. transverse-sulcata, Globigerinenmergel, Bahna, Rumän. Karpathen 09 II 148
— quadrilineata, Lias, Schwaben 09 II 320
Marginulinopsis, mioplioc. Mergel von Bonfornello (Palermo) 06 I 472
Marianen, Petrographie 05 II 74
Marienbad, Geologie 05 II 95
Marnacit, Wausau, Wis. 08 II 177
Marine Abrasion, Rocky Mountains 07 I 379
Markasit
— Einwirkung v. chloresaurem Kali 09 II 334
— — von Lösungen 09 II 247
— Elektrizitätsleitung 1906 II 36 07 II 5
— Patina auf Pfahlbaunephrit 06 II 334
— Umwandlung in Pyrit etc. 06 II 45
— Calafuria, südl. Livorno, im Macigno 06 I 169
— Dänemark, im Kreidemergel, ist Schwefelkies 08 I 202
— Markkirch 09 I 26
— Modriach, Steiermark, Pseudom. nach Rutil 05 I 13
— Nagolnij Krjasch, Donetz-Becken 07 II 194
— Schauinsland, Schwarzwald, Pb- u. Zn-Erzlagerstätte 05 II 79
Markkirch, Mineralien der Erzgänge 09 I 21

Marmatit, Sardinien, Zusammensetzung	1906 II	323	Martinia applanata, Gemellaroi, incerta, parvula, semiglobosa, simensis und var. substriata, timanica, uralica und var. longa, Obercarbon, Ural und Timan	1905 I	533
Marmor			— corculum u. glabra, oberes Carbon, Kukurtuk-Tal, südliches Tian-Schan	BB XXII	387
— Aarmassiv, Entstehg. aus Kalkstein durch mechanische Umwandlung	05 I	427	— decora und triquetra var. pentagona, untercarb. Transgressionsmeer, Tian-Schan	BB XXVI	239
— Auerbach a. Bergstr., Einschluß	05 II	48	Martiniopsis aschensis, baschkirica, convexa, Latugini, orientalis u. uralica, Obercarbon, Ural und Timan	05 I	533
— Carrara, Druckfestigkeit	09 II	121	Martinique		
— Concepcion del Oro, Zacatecas, Mexiko, epidotführend	BB XXVIII	487	— Endomorphismus	05 I	255
— Cookeville, Maryland	07 II	222	— Eruptionen des Montagne Pelée	CBI 1906	81
— Deutschland	08 II	218	— — u. Aschenfall 1902	1905 I	224. 404
— Graubünden	07 II	69	— Kieselholz u. Chalcedon	05 I	373
— Griechenland	1905 II	267	— Zink durch vulkan. Hitze umkristallisiert	05 I	368
— Italien, Färbung durch organ. Farbstoffe		372	— Zusammensetzung der Asche des Montagne Pelée 1902	05 I	227
— Sumatra, Kontaktgestein im westlichen, Färbung durch organ. Farbstoffe	BB XXVIII	371. 372	— Montagne Pelée, andesit. Auswürfling	06 I	229
— versch. Fundorte, als Baumaterial	05 II	267	— — — Felsnadel etc.	06 I	38
— siehe auch Kalk, körniger.			— siehe auch Montagne Pelée.		
Marokko			— und St. Vincent, bas. Einschlüsse	05 I	256
— Geologie des südlichen	06 II	423	— — — cordieritführender Gesteine	05 I	255
— Jura im westlichen	07 I	434	Martit, Cerro Mercado, Mexiko, im Eisenerz	05 II	201
— Kreide des westlichen	06 I	293	Marysville-Distrikt, Montana, Gesteine	09 I	74
Marquette-Bezirk, Lake Superior-Gegend, Eisenerze	05 I	81	Mascall beds, Edentaten	07 II	491
Marrit, Binnental	1906 II	30	Massengebirge, Hebungen oder Senkungen	CBI 1907	489
	CBI 1905	30.	Massengesteine		
Marschböden, Elbe	05 II	444	— chem. Kennzeichen	05 I	417
Marscoit, Skye	06 II	67	— siehe auch Eruptivgesteine etc.		
Marsilia Andersoni, Kreide, Long Island	07 I	495	Mastodon, Illinois und Iowa	1907 I	305. 306
Marsupialier					
— Entwicklung	07 II	491			
— Santacruzeno, Patagonien	07 I	306			
Marsupites, Kreide, Haldon Hills, England	06 II	107			
Martensit					
— im Eisen	05 I	123			
— im Stahl	06 I	243			
Martesia coislinensis und Dumasi, Eocän, Loire inférieure	07 II	302			

Mastodon			Mecklenburg		
— Neogen, Teltzsch, Mähren	1905	II	471	— Küste beeinflusst durch die Sylvestersturmflut 1904	1906 II 196
— Obertiefenbach bei Fehring, Steiermark, Schädel etc.	CBl	1908	765	— Quartärbildungen	08 I 96 ff.
— americanus, Schädel, Chester, N. Y.	09	I	129	— Schwankungen des Grundwassers	06 II 195
— — Skelett	09	I	131	Mecynoptera splendida, Carbon, Belgien	05 I 523
— andium, Tarija-Tal, Südamerika	05	I	336	Mediterran Aequator d. Erde	05 II 202
— — bolivianus, chilensis u. Humboldtii, Bolivia, interandines Hochland	07	I	128	Mediterranengebiet, Trias, nach der Lethaea	06 I 416
— — angustidens, Seegraben bei Leoben	05	II	305	Medlicottia Copei, Perm, Texas	CBl 1908 689
— — arvernensis, Oberpliocän, Ostheim v. d. Rhön	07	II	291	Meekella, oberes Carbon. Kukurtuk-Tal, südl. Tian-Schan	BB XXII 382
— — Temerest, Komitat Krassö-Szörény	05	II	470	— — baschkirica, timanica, ufensis, uncitoides u. uralica, Obercarbon, Ural und Timan	05 I 533
— cf. longirostris Pliocän, Cueva Rubbia, Spanien	07	II	2	Meekoceras Baldaccii, Muschelkalk, Montenegro	05 II 140
— Steiermark	1909	II	122	— marginale, Untertrias, Albanien	08 II 400
Mataura-Formation, Neuseeland, Jura	05	II	276	— pilatum, unterer Trias, Amerika	06 II 304
Matawan-Formation, Cliffwood, Nordamerika, Pflanzen	07	I	494	— — beds, Himalaya	CBl 1905 7
— Delaware, Maryland und New Jersey	05	I	303	— — Idaho	06 II 98
Mathildia ? fenestrata, Palaeocän, Rugaard, Kattegat	08	II	103	Meer	
Matobola beds, Rhodesia	05	II	268	— allgemeines	07 I 223
Matreier Ueberschiebung	06	II	239	— Salzgehalt, Beziehung zum Alter der Erde	05 I 402
Matto Grosso, Madeirafluß u. Nachargebiete d. Beni und Mamore, Petrographie	08	I	384	— und Festländer zur permischen Zeit	Festband 527
Mauer, Fauna und Sande	07	II	483	— u. Gebirge, Anordnung	05 II 202
Mawsonia minor, Kreide, Bahia (Brasilien)	08	II	447	Meeresboden	
Maximalböschungen trockener Schuttmassen	07	I	380	— Mineralien	08 I 53
Maximaltension konstanter Lösungen bei 83°	05	I	193	— Sedimentbildung	05 I 424
Mayen, Mineralien der Einschlüsse in der Lava	06	I	347	Meereserosion u. Küstensenkung, RockyMountains	07 I 379
Mazapil, Jura und Kreide	07	II	469	Meeresgrund, Madagaskar	09 I 201
Mechanische Bodenanalyse	05	I	59	Meeresgrundprobe	
Mechanische Vorgänge b. Metamorphismus	CBl	1906	609	— Kanal	09 II 210
				— zwischen Island und Grönland (Ingolfexpedition)	05 I 421
				Meeressäugetierte, Stammesgeschichte	09 I 438
				Meeressand, mittelolig., Vilbel (Hessen)	CBl 1905 531
				Meeressedimentation, Ursachen u. Bedeutung	BB XXV 366

Meeresspiegel, Hebung oder Senkung	BB XXVIII 574		
Meeresströmungen	1908 I 452		
— Einfluß auf Sedimentation	BB XXV 397		
Meerschäum			
— Easton, New Jersey, Analyse	06 I 354		
— Kleinasien, Darstellg. d. Kieselsäure u. Konstitution	07 I 349		
Meerwasser			
— chemisch	08 I 360		
— CO ₂ -Gehalt	08 I 53		
— Dichte, Antarkticum, Expedition der Belgica	06 II 97		
— Farbe und Durchsichtigkeit im Kanal	09 II 209		
— feste Bestandteile, geologische Schlüsse	07 I 46		
— Zirkulation	08 I 52		
Megachile praedicta, Miocän, Florissant, Col.	08 II 112		
Megaladapis, Madagaskar, Beschreibung	06 II 445		
Megalohyrax, Tertiär, Fayum	07 II 310		
— eocaenus, Eocän, Fayum	05 I 156		
— minor, Eocän, Aegypten	06 I 449		
Megalomastoma Dietleni u. fasciatum, Alttertiär, Ulm	08 II 104		
Megalonychidae, Santa Cruz beds, Patagonien	06 I 460		
Megalonychotherium atavus, Santa Cruz beds, Patagonien	06 I 462		
Megalonyx sierrensis, Diluvium, Mercer-Höhle, Kalifornien	07 I 299		
Megalophodon dilatatus u. Thompsoni, Patagonien	05 I 497		
Megalosaurus, Lias, Warwickshire, Tibia	09 I 441		
— vereinigt mit Streptospondylus	09 I 289		
— Bucklandi, Stonesfield, Hinterhaupt	06 I 1		
Megapezia Pineoi, Carbon, Ost-Canada	05 I 339		
Megaphyllites angustus u. umbonatus, Muschelkalk, Dobrudscha	08 I 421		
Megaphyllites Jarbas, Aonoides - Schichten, Epidaurus (Argolis)	Festband 16. 19		
Megaraphidia elegans, Miocän, Florissant, Colorado	1908 II 111		
Megascyela petrefacta, Miocän, Florissant, Colorado	08 II 112		
Megatherium, Santa Cruz beds, Patagonien	06 I 464		
Mège, Magdalénienstation	07 II 476		
Meiningen, Sachsen-, Geologie	06 II 409		
Meiringen, Aareschlucht, Strudellöcher	05 I 409		
Melakonit			
— Bisbee Quadrangle, Arizona	06 I 175		
— Nagolnij Krjasch, Donetz-Becken	07 II 195		
Melania abchasisca, Andrusovi und picta, neogene Eisenerze, Suchum-Distrikt	06 I 433		
— Cossmanni (= nitida), costulata, quadricostata u. tricostata, Cenoman, Südfrankreich	07 II 132		
— Krausei, ob. Kreide, Borneo	07 I 437		
— Pavlowi, Palaeocän, Rugaard, Kattgat	08 II 103		
— suevica, Alttertiär, Giengen bei Ulm	08 II 104		
— ? Whiteavesi, Kreide, Nordamerika	07 I 440		
Melanit			
— Canale Monterano (Rom), im Tuff	06 I 170		
— Marienberg b. Aussig	08 I 374		
Melanitreicher Hauynsyenit-Porphyr, Tasmanien, Mt. Livingstone	08 I 390		
Melanochalzit, Bisbee Quadrangle, Arizona	06 I 175		
Melanophlogit, optisch	07 I 20		
Melanopsis acuminata, graciosa, nobilis, petasata, spinigera, unguiculata, neogene Eisenerze, Suchum-Distrikt	06 I 433		
— calamistrata u. semirugosa, Congerienfauna, Leobersdorf	06 I 114		

Melanopsis cf. galloprovincialis var. transsylvaniensis, ob. Kreide, Alvincz	1905	I	302	Melaphyr		
— costellata, Senon, Südpersien	06	I	444	— Südtirol, Seiser Alp, älterer, und Buchensteiner Kalk	1906	II 1
— Franciscæ, Hazayi var. bifilosa, carinata, elongata, megalotyla und unifilosa; Sikorai var. bifilosa, siminina und unifilosa; Staubi var. costulata; Themaki var. bifilosa, carinata, megalostoma, trifilosa und unifilosa; Tothi var. bicingulata, bifilosa, multifilosa, quadrifilosa, trifilosa, unicingulata u. unifilosa u. Vidoviéi var. plicatula, Quartär, Bischofsbad und Großwardein, Ungarn	07	II	152	— Wonsheim, Rheinhessen, effusiv	06	II 59
— poureyensis, Eocän, Paris	07	II	303	Melaphyrgang im Monzonit d. Palle rabbiose, Berichtigung	CBI	1905 185
Melanosporites Stefani, mitteleocänes Dysodil, Melilli, Sizilien	05	II	152	Melaphyrmandelstein, Puente del Inca, Aconcagua	BB	XXIV 727
Melanterit, siehe Eisenvitriol.				Meles taxus, Perforation d. Astragalus	07	I 466
Melaphyr				Melibocusgranit, Einschl. CBI 1906	CBI	1906 737
— Blasenzüge	06	II	210	Melilith		
— Böhmen, im Cambrium, von der Studená Hora.	05	II	57	— chem. Zusammensetzg.	07	I 28
— Bozen (Trostburg) BB	XXVII		81	— Kosel bei Böhm.-Leipa, im Basalt	07	I 63
— Bristol District, im Carbon	05	II	388	— Steiger Hütte, Kristalle in Schlacke	07	I 28
— Enderby-Land, gedredsch	06	II	371	— Vesuv, in den Laven etc. von 1906	CBI	1906 502
— Fassatal, vergl. mit Monzonit	CBI		1905 48	Melilithbasalt		
— — Cadinbrut	CBI		1905 47	— Haßgau	08	II 369
— — Palle rabbiose	CBI		1905 51. 135	— Schwäb. Alb	06	II 205
— Kirn, Druckfestigkeit	09	II	121	— West-Buru, Indoaustral. Archipel	BB	XXIV 149
— Messel bei Darmstadt, Letteneinschluß	05	II	49	Melilith-Nephelin-Basalt, Shannon Tier bei Hobart	08	I 392
— Monzoni u. Predazzo, chem. Zusammensetzg.	06	I	59	Melilithpyroxenit, Coppaeli, Bolsener Gebiet	05	II 225
— Pfalz, basaltischer	09	I	54	Melina Anderssoni, Kreide, Umkwelane Hill, Zululand	06	I 308
— Pontesford Hill, Shropshire, und Tuffe	05	II	391	Membranipora Artini, Kom esch Schellul, Aegypten	05	II 485
— Spring Cove b. Weston-super-Mare	05	II	388	— bioculata, excavata, Flicki, quadrata, rotundicella u. varians, Eocän, Tunesien	05	II 142
— Südtirol	05	II	63	— flabellata u. laevigata, Tertiär, Patagonien	05	II 141
— Durongebiet	06	II	8	— Gentili, Pervinquieri und subovalis, obere Kreide, Tunesien	05	II 145
				— ? wilsonensis, Kreide, N.-S.-Wales	05	I 319
				Menaccanit, Beziehung zu Geikielith	CBI	1906 157
				Menado (Celebes), Geologie	09	I 246
				Meneghinit, Frigidó bei Massa	07	II 178

- Menina Planina, Geologie 1906 II 247
- Meniscomys, Miocän, Süddakota 05 II 129
- Meniscotheriidae, Kreide, Patagonien 05 I 168
- Menispermites californicus 07 II 505
- Menominee-Bezirk, Lake Superior-Gegend, Eisen-
erze 05 I 86
- Mensch 1907 II 471 ff.
1908 I 104 ff. 279 ff. 1908 II 415 ff.
1909 I 123 ff. 283 ff.
- Abstammung 1909 II 470. 479
- Becken, vergl. mit
Anthropoidenbecken . CBI 1906 312
- Moustérien u. Aurignacien 09 I 126
- Stellung zum Pithecanthropus Festband 270
- Ueberreste u. Werkzeuge (Eolithen etc.)
1906 II 269 ff. 1907 I 120 ff. 291. 449
- Vorgeschichte 05 II 300
- Alpen, prähistorischer
und Eiszeitbildung 06 II 270
- — Australien, Krapina,
Neandertal, Spy etc., Ueberreste und
Werkzeuge 1906 II 269 ff.
- Altamira-Höhle (Pyrenäen), Malereien 06 I 132
- Belgien, Kannibalismus 08 I 119
- — oligocän. Eolithe 1908 I 279. 280
- — Engihoul, neue
Funde 05 I 322
- — Remonchamps-
Höhle, Artefakte 05 I 322
- — Eolithen 05 I 320
- Bologoje (Rußland),
Station der Steinzeit 06 I 133
- Bouffia de la Chapelle-
aux-Saints (Corrèze),
Moustérien-Skelett 1909 I 124. 125
- Braunschweig, Eolithe 09 II 57
- Bruniquel (Tarn), Arte-
fakte 05 I 321
- Cantal, Kent u. Sussex,
pliocäner, Eolithen 06 I 130
- Ceylon, Steinzeit 08 II 255
- Dewlish (Dorset), jagt
El. meridionalis 07 I 460
- Einhornhöhle, Harz,
diluv. Feuerstelle 05 I 321
- Mensch
- Europa, diluvialer u.
Kulturstufen der älteren
Steinzeit 1906 I 127
- — neolith. Fauna bes.
am Mittelrhein 06 II 440
- Frankreich, Verbreitung
der Strépyien etc.
1908 I 283. 284
- — Arcueil, Chellio-
Moustérien 08 I 437
- — Baoussés Roussés-
Höhle, quartäre Ske-
lette 07 I 450
- — Bau de l'Aubesier
(Vaucluse), diluvial 06 I 134
- — Bruyères (Seine) 08 I 285
- — Châteaudouble
(Var.), diluv. 06 I 134
- — Franche Comté,
Artefakte 05 I 323
- — Lacave (Lot), Station
. 06 I 445
- — La Calvitie, Dordogne,
Höhlenwandmalereien 07 I 453
- — La Micoque, Moustérien 08 I 284
- — Noailles-Höhle, Corrèze,
Spuren 07 I 453
- — nördliches, im
Pliopleistocän 08 I 270
- — Pyrenäen, Wandmalereien
etc. in Höhlen 07 I 451
- — St. Acheul 09 I 283
- — Seine-Département,
Artefakten 08 I 435
- Freyenstein (Mark),
Eolithen 05 I 321
- Gafsa (Südtunesien),
prähistor. Einschlüsse
im Diluvium 09 II 1
- Gola von Pioraco, ob.
Potenza-Tal, Diluv. 06 I 134
- Gough Cavern, Cheddar,
Knochen etc.
1906 I 133 06 II 280
- Griechenland 08 I 120
- Grimaldi-Höhlen (Grottes
de Mentone)
1908 I 109. 115 08 II 422
- Grotta Romanelli bei
Castro (terra d'Otranto),
Knochen etc. 06 I 131
- Holland, Diluvium 10 I 454

Mensch			Menschenreste		
— Ipswich, paläolith. Steingeräte	1907	I 295	— Gough Cavern b. Cheddar	1906	II 280
— Keßlerloch bei Thalingen	1907	I 294	— Krapina, quartäre	07	II 474
— Ludomirow, in Höhle	07	I 452	— westfälisches Becken, quartär	05	I 475
— Mitteleuropa, quartär, Fundstätten von Ueberresten	07	I 120	Merapi-Vulkan, Sumatra. Gesteine	06	I 218
— Munzingen bei Freiburg, gleichzeitig mit Thalingen u. Schweizerbild	06	I 131	Meretrix arthonensis, coislinensis, Dumasi, semiarata und undulifera, Eocän, Loire inférieure	07	II 302
— Neandertal	1905	II 301, 302	— euglypha und umzambiensis, Kreide, Pondonland	07	II 306
— norddeutsches Diluvium, Steinwerkzeuge	07	I 126	Mergel, prismat. Absonderung durch Torsion, Dambovitza	06	II 202
— Norddeutschland, Alter	07	I 291	Mergeliger Untergrund, wasserdurchlässig	08	I 221
— Pößneck, paläolith. Geräte	05	I 320	Meridian des Aetna, Anordnung der Gebirge	05	II 203
— Rotes Feld — Höhle (Podkalem, Pokala), bearbeit. Knochen	06	I 132	Meristella Riskowskii, Devon, Bolivia	BB XXV	551
— Rußland (Wisokoié), Spuren	07	I 454	Meroxen, Assos (Troas), aus Glimmerhypersthenandesit, Achsenwinkel	CBI 1908	620
— San Teodoro-Höhle (Messina), Artefakten	06	I 142	Merriamella doryssa, Kalifornien	08	II 443
— Schönebeck a. Elbe, unterglazial, Eolithe	06	I 130	Meru, Ostafrika, Geologie	07	I 423
— Seeland (Vimose), Artefakte	07	I 452	Merychippus	05	II 468
— Smiritz (Böhmen), im Löß	06	I 132	Merychys harrisonensis	07	II 488
— Spanien (Santander), Höhlen	09	I 129	— minimus	07	II 490
— Syrien u. Palästina, Feuersteinwerkzeuge	07	I 291	Mesa Central, Mexiko, Entstehung	1908	II 114, 125
— Tasmanien, craquelierte Archäolithen	09	I 73	Mesabi-Bezirk, Lake Superior-Gegend, Eisenerze	05	I 82
— Taubach	09	I 285	Mesalia Artini, Campanien, Aegypten	05	II 285
— Travetal, neo- und mesolith. Steingeräte	07	I 119	Mesityloxydoxalsäuremethylester, opt. Drehvermögen	08	I 58
— Ukraine, Artefakten	05	I 322	Mesocetus hungaricus, ob. Mediterran, Borbolya, Kom. Sopron	1905	II 306
— Ultima Esperanza, Patagonien, Grypotherium-Höhle	06	I 130	— Schweinfurthi, Eocän, Aegypten	05	I 491
— Warnambool, Victoria, Australien, Fußspuren	06	II 269	Mesodon spinosum, Kreide, Hakel, Libanon	CBI 1907	364
		CBI 1909 495	Mesodonta, Systematik	Festband	222
— Weimar, paläolith. Funde der Gegend	CBI 1908	197	Meshippus acutidens, John Day series	07	I 305
— Wildscheuerhöhle bei Steeden a. Lahn	07	I 292			
— siehe auch Homo, Artefakten, Archäolithen, Eolithen, Pseudeolithen, Höhlen etc.					

- Mesolith
— krist. und optisch . . . CBI 1909 779
— Färöer 1909 I 29
— Grönland, Ost-, im Balsalt 06 II 183
— Hauenstein (Böhmen), Glühverlust 06 I 24
— Sardinien (Montresta), Analyse 1909 II 26. 195
Mesoplonon, Boldérien, Antwerpen 07 I 132
Mesoreodon megalodon 07 II 487
Mesorhytis crenata, Morناسien, Frankreich 06 I 319
— distensa, unt. Santonien, Frankreich 06 I 318
Mesosaurus 09 II 128
— Buschmannland, Südafrika 07 I 316
— agilis, Verhältnis zu Camptosaurus 08 II 437
— brasiliensis, Perm, Brasilien 09 I 444
— tenuidens, Schuppenbedeckung 08 II 269
Mesosiren Dolloi, Milchmolaren 06 II 53
Mesotyp, siehe Natrolith.
Mesozoicum
— Entwicklung d. Kenntnisse von den Pflanzen 09 I 145
— Lückenhaftigkeit der alpinen Sedimente BB XXV 416
— Säugetiere 07 I 455
— Alaska u. Cook Inlet 07 I 277
— Balkanhalbinsel, südwestliche BB XXI 213
— Buru, Indoaustr. Archipel BB XXII 398
— Egge-Gebirge, präcretaeische Schichtenverschiebungen 06 II 86
— Indischer Archipel, Land und Meer 07 I 107
— Neuseeland, Nordinsel (Nelson etc.) 05 II 418
— Niederländisch - Neuguinea BB XXII 393
— Patagonien und Pampasregion BB XXVI 93
— Sardinien BB XXIII 435
— Tabulaten u. Hydrozoen 06 I 61
— Schweden, Equisetales 09 I 150
Mesozoische Pflanzenreste, Abbildungen 06 I 156
Messenien, Trias BB XXI 223
Metabolit, künstlicher 1907 I 360
Metabolit-Gruppe 05 I 394
Metacheiromyidae, amerikanisches Eocän 05 I 331
Metacheiromys dasypus und tatusia, Bridger Eocän, Nordamerika 05 II 126
Metadiorit CBI 1905 411
Metagabbro, Pennsylvanien, Piedmontdistrikt 07 II 221
Metakieselsäure durch Zersetzung natürl. Silikate 07 I 25
Metaklasse der Gesteine 06 II 56
Metakristalle in metamorphen Gesteinen 07 II 417
Metalle
— feste, Diffusion in Gesteinen 08 I 54
— Kornvergrößerung d. Thermometamorphose 09 II 160
— kristalline Struktur 05 I 18
— krist. plast., Druck- und Schlagfiguren 07 I 189
— Lösung u. Ausscheidg. 08 I 248
— schwere, in Sandsteinen, Moray-Firth Basin 05 I 417
Metallographie, Erkenng. d. Anisotropie undurchsichtiger Substanzen CBI 1908 565. 597
Metalloxydkieselsäuregele CBI 1909 331. 334
Metallrhodanide, krist. Vergleichung mit den entsprechenden Metallhaloiden von Chinolin und Pyridin CBI 1905 289. 321
Metallsulfide
— geschmolzene, Eindringen in Silikatgesteine 09 II 83
— u. -oxyde, krist., elektr. Verhalten CBI 1905 454
Metallurgische Untersuchungen 06 I 241
Metamorphe Erze CBI 1906 614
Metamorphe Gebiete der Ardennen, Erklärung 09 I 110
Metamorphe Peridotite u. Gabbrogesteine im Bündner Schiefer 05 II 221
Metamorphe Schiefer, Tessiner Alpen 06 II 208
— siehe auch kristallinschiefer, Gneis etc.

- Metamorphismus**
— sekundärer, Christdorf, Mähren CBI 1907 321
— System des, nach VAN HISE CBI 1906 605
— thermaler, hydrothermaler etc., Loch Lomond-Distrikt 1905 II 225
— siehe auch Dynamometamorphismus, Kontaktmetamorphismus etc.
- Metamorphose**
— Einfluß auf die mineral. Zusammensetzung der Kieslager 05 II 406
— des Grundgebirges 06 I 47
— der krist. Schiefer CBI 1905 431
- Metamosaurus fossatus**, Perm, Texas 08 I 297
- Metanhydrit** 07 I 140
— ident mit Anhydrit CBI 1909 25
- Metapotherium**, Santa Cruz beds, Patagonien 06 I 462
- Metasibirites** Philippin, Tropites-limestone, Byans 08 II 238
- Metasigaloceras**, Kreide 07 II 149
- Metasilikate** nach TSCHERMAK (Olivin, Anorthit, Wollastonit, Pektolith) 07 I 25
- Metasomatische Prozesse**, westaustralische Goldlagerstätten 08 I 405
- Metasomatismus**, VAN HISE CBI 1906 608
- Metatissotia**, Kreide 07 II 148
- Metavoltin**
— Miseno, Schwefelgrotte 08 II 333
— neue Fundorte 09 I 194
— Vesuv 09 I 349
— von 1906 08 I 208
- Metaxit**, Bretagne 08 I 26
- Metaxytherium**, Hüftbeinrudimente 09 II 114
- Oesterreich, unteres Miocän und Pliocän 05 I 505
— Petersi, Leithakalk, Hainburg 05 I 507
- Metengonoceras acutum**, ambiguum u. inscriptum, Kreide 07 II 151
- Meteoreisen**
— Kristallisationsfolge 07 I 359
— künstl. Metabolit 07 I 360
- Meteoreisen**
— magnetische Umwandlung von Eisen und Nickel 1905 I 215
— Metabolit-Gruppe 05 I 394
— physikal.-chem. Beschaffenheit 1905 I 122. 143
— Plessit, ein eutrop. Gemenge 07 I 358
— Struktur u. Zusammensetzung, erläutert durch Photographien von Schlißflächen 06 I 188
— Verzeichnis u. Klassifikation 09 I 353
— Ainsworth, Nebraska 09 I 359
— Algoma, Wisconsin 05 I 391
— Bacubirito (Sinaloa, Mexiko) 05 I 217
— Bethanien, SW.-Afrika, Zwilling 05 I 217
— Billings, SW.-Missouri, Oktaedrit 07 I 366
— Boogaldi, Australien 05 I 395
— Cañon City, Oktaedrit 07 I 366
— Cañon Diablo 1906 I 187 1909 I 43. 354. 357
— — — Bestandteile 07 I 364
— — — Graphit 08 II 9. 183
— — — mikrosk. Untersuchung 07 II 201
— — — Moissanit CBI 1905 154
— — Siliciumcarbid 07 II 202
— Caperr, Patagonien 05 I 392
— Columbien (Rasgata, Santa Rosa, Tocavita) 09 I 40
— Coon Mountain (Canyon Diablo), Eisenschalen, Analyse 09 I 43
— De Sotoville 05 I 397
— El Inca, Peru 1909 II 160 Festband 227
— Estacado, Texas, Mesosiderit 07 II 201
— Großer Fischfuß 05 I 392
— Groß-Namaqua-Land 05 I 392
— Guatemala, chemisch 05 I 217
— Hacienda de Moenvalle, Mexiko 07 I 363
— Iquique (Inca-Eisen), Thermometamorphose und Sammelkristallisation 1909 II 160 Festband 227
— Kap d. guten Hoffnung 05 I 392
— Kodaikanal 05 I 213

- Meteoreisen
- Kodaikanal, Palni Hills, Madras Gov., Indien, Silikatausscheidungen (Weinbergerit) . . . 1907 II 204
 - Laborel, Eisenkristall CBI 1907 411
 - Magdeburg ? 1831 . . . 06 II 67
 - Marjalahti am Ladogasee, Pallasit 05 I 393
 - Millers Run b. Pitsburg 05 I 398
 - Mount Vernon, Christian Co., Ky., Pallasit 07 II 203
 - Mukerop, Bez. Gibeon, SW.-Afrika, Zwilling 05 I 217
 - Narraburra Creek, Austr., Dodekaeder-Lamellen im Oktaedrit 07 I 357
 - Nemtmannsdorf bei Pirna 05 I 216
 - Nuleri-Distrikt, Westaustralien 09 I 360
 - Persimmon Creek, Cherokee Co., N. Car. 1905 I 215. 216. 395
 - Rittersgrün 05 I 148
 - Rodeo, Durango, Mexiko, Oktaedrit 07 I 362
 - Smithville 07 I 366
 - South Bend, Indien, Pallasit 07 I 365
 - Temera, chemisch 05 I 213
 - Tombigbee River 05 I 397
 - Weaver Mountain, Arizona 05 I 395
 - Werchne Dnjeprrowsk, Nickelsmaragd 05 I 398
 - Williamstown, Kentucky 09 I 359
 - Yeo Yeo-Creek, Austr., dodekaedr. Lamellen im Oktaedrit 07 I 357
 - Youndegin, Nickel-eisen Fe_3Ni_3 1909 II 185 CBI 1908 731
 - und Stahl 09 I 352
 - siehe auch Eisen.
- Meteoreisenpamor an japan. Waffen CBI 1909 715
- Meteoriten 1907 I 357 1908 II 178 ff. 1909 I 350 ff.
- Chromeisen, chem. 09 I 360
 - Einleitung in das Studium 05 I 211
 - Eintreffen gleichartiger 09 I 350
 - Gläser (Moldawit, Bilitonit, Australit) . . . CBI 1908 737
- Meteoriten
- in moderner Reproduktionstechnik . . . 1907 I 361
 - monokline Pyroxene . . . 09 II 167
 - Piezogypten u. Regmaglypten 09 I 353
 - Temperaturverhältnisse . . . 07 II 199
 - Tracht 09 I 352
 - Untersuchungsmethode CBI 1908 601
 - Wert 05 I 391
 - Australien 05 I 395
 - belgische Sammlungen . . . 07 I 361
 - Berliner Sammlung 07 II 385
 - Colombien 09 I 40
 - El Perdito, Argentinien CBI 1906 716
 - Halle a. S. 05 I 398
 - Indien 09 I 38
 - Japan 07 I 367
 - Kopenhagener Sammlungen 07 I 362
 - Kuttenberg, angeblicher glasier CBI 1909 452. 465. 545
 - Rhode Island, 1809 ins Meer gefallen 08 II 183
 - siehe Meteoritensammlung.
- Meteoritenkunde, COHEN, 3. Heft CBI 1906 498. 519
- Meteoritensammlung
- Anordnung 05 I 211
 - Belgien 07 I 361
 - Berlin 07 II 385
 - 21. Jan. 1904 05 I 213
 - 23. Juni 1904 05 I 395
 - British Museum, 1. Jan. 1904, und Einleitung zum Studium 05 I 211
 - Field Columbian Museum, Chicago, 1. Mai 1903 1905 I 214. 389
 - Greifswald, 1. Mai 1904 05 I 212
 - Kopenhagen 07 I 362
 - Prag, Böhm. Museum, Ende Juni 1904 05 I 214
 - Ward-Coonley-Collection 1904 05 I 214
- Meteoritischer Staub, Australien, chem. 05 I 220
- Meteorstein
- Allegan. Oldhamit, chemisch 09 I 361
 - Amana, Iowa Co., Iowa, Chondrit 1907 I 363 07 II 200

Meteorstein

— Baratta, Australien . 1905	I	395
— Bath Furnace, Chupaderos, Iron Creek, Lampa (Chile), Mejillones, Modoc, Ponca Creek, Saline, Weston, Krusten	09	I 41
— Chandakapur, Chondrit	CBI 1909	716
— Coon Butte, Arizona	07	II 386
— Crumlin, Antrim, Co.	05	I 398
— Eli Elwa, Australien	05	I 396
— Elm Creek, Kansas, Ormansit	08	II 183
— Estacado, Texas	09	I 39
— Gilgoin, Australien	05	I 396
— Hendersonville, N. C., Chondrit 1907	I 366	08 II 181
— Hvittis, Finnland, Chondrit . 1905	I 393	07 I 357
— Indien (Andhara, Bhagur, Bholghati, Delhi, Daccadistrikt, Haraiya, Jamkhair, Kalambi, Karkh, Pirganj)	09	I 38
— Kuttenberg, angeblicher glasiger CBI 1908	737	CBI 1909 452. 465. 545
— Linum, chemisch	05	I 213
— Modoc, Scott C., Kansas, Chondrit	07	II 200
— Pawlowka, chemisch	05	I 213
— Peramiho, Eukrit 1905	I 218	07 I 361
— Pillistfer, Livland, Chondrit	07	I 357
— Roda 1871	05	I 213
— Saint-Christophe-la-Chartreuse (Vendée), grauer Chondrit	08	II 178
— St. Mark's Transkey, Chondrit	07	I 370
— Schafstädt 1861 (Leucituranolith)	05	I 213
— Schonen, glasiger 1909	I 354	CBI 1909 462
— siehe auch Tektit und Moldawit.		
— Selma, Dallas County, Alabama, Kügelchenchondrit	08	II 181
— Shelburne, Chondrit	07	I 365
— Toke-uchi-mura, chem.	05	I 395
— Uberaba (Minas, Bras.), Chondrit	05	I 219

Meteorstein

— Zomba, Brit. Zentralafrika, 25. Jan. 1899, chem. etc	1905	I 219
— Zomba, Nickellegierung Ni_3Fe_2 1909	II 185	CBI 1908 731
Meteorsteinfall, Indien, Dacca-Distrikt, Bengalen	09	I 39
Meteutatus, Kreide, Patagonien	05	I 170
Methyläpfelsäure, α - u. β -, inaktiv, Krist.	07	I 102
Methylbisulfid als Einschluß im Gangquarz, Salangen, Norwegen	06	I 165
Methylenbisulfid, eingeschlossen im Gangquarz	06	II 363
Metoicoceras acceleratum, gibbosum u. Whitei, Coloradostufe, Texas	07	II 150
Metoicoceratidae, Kreide	07	II 150
Metoposaurus Fraasi, Trias, Amerika	09	II 129
Metopotoxus anceps und laevatus, Santa Cruz beds, Patagonien	06	I 458
Metriorhynchus, Anpassungstypus	CBI 1907	225. 385
— Extremitäten	CBI 1907	536
— Hinterextremität	CBI 1907	502
— Organisation und Anpassungserscheinungen	08	II 439
— Oxfordton, Fletton	CBI 1907	353
— brachyrhynchus Oxford clay, Peterborough	09	I 442
— Jaeckeli, Rekonstruktion	CBI 1907	228
— — superciliosus	08	II 439
Metula biarrizensis, blaue Mergel von Côte des Basques bei Biarritz	06	II 439
Metz, Gesteinsarten des röm. Amphitheaters	05	II 77
Mexikanischer Onyx, Pueblo, Mexiko	09	I 32
Mexikanisches Zentralplateau, Entstehung	08	II 114
Mexiko		
— Erzlagerstätten	09	II 82
— fossile Säugetierfauna	07	I 126
— Geologenkongreß	CBI 1906	220
— Geologie des westlichen	05	II 201

Mexiko					Micropylgia (Trilobiten) .	CBI 1907 130
— junge Intrusionen, Beziehung zur Tektonik	CBI 1907	449			Microsalenia, contorta, Jura, Frankreich . . .	1907 I 487
— Sierra Madre, Bau der westlichen	1908	I	74		Microsauria	08 II 271
— Sierra de Mazapil und Santa Rosa, Geologie	07	I	279		Microsaurier, Nordamerika	09 II 133
Mexiko-Tal, Faltungszone durch vulkan. Druck entstanden . .	09	I	28		Microschiza litoranea, Werfener Schichten, Bucieri, Montenegro . .	05 II 108
Meyeria rapax, Kreide, Schaumburg-Lippe'sche Mulde	06	I	441		Microsqualodon, Boldérien, Antwerpen . . .	07 I 131
Meymacit, Brit. Columbien, Salmo	09	II	335		Microstagon Dumasi und pernitidum (= Geodallia obliqua), Eocän, Loire inférieure . . .	06 I 467
— Sardinien, Genna Gurese	08	II	319		Microstylops, Kreide, Patagonien	05 I 169
Michaletia semigranulata, Coniacien, Frankreich	06	I	319		Microsyps annectens, elegans, gracilis und Schlosseri, amerikan. Eocän	05 I 331
Michelinia spec., Culm. Königsberg b. Gießen	BB	XXVIII	655		Microsyospidae, amerik. Eocän	05 I 331
— transitoria, Devon, Bolivia	BB	XXV	561		Microthyrites disodilis, mitteleoc. Dysodil, Melilli, Sizilien . . .	05 II 152
Michigan, Portlandcement	06	I	238		Microzeuglodon, Eocän, Aegypten	05 I 487
Micraster, Kreide, Untergliederung	05	II	149		Mid-Cretaceous, Nordamerika, Wirbeltiere . .	07 I 438
— breviporus var. brevis, longa u. oblonga, unteres Angoumien, Teutoburger Wald, Osning-Bergketten . .	06	II	103		Mieminger Gebirge, Tirol, Geologie	09 I 411
— cortestudinarium var. inferior und superior, unt. Angoumien, Teutoburger Wald, Osning-Bergketten	06	II	103		Mies, Schwerspat und Anglesit	06 II 24
— tercensis, Schichten d.	07	II	452		Mikrochemische Analyse	08 II 5
Micrerpeton caudatum, Carbon, Nordamerika	09	II	132		Mikrochemische Silikat-analyse, Bleidose . .	CBI 1905 247
Microbiotheriidae, Kreide, Patagonien	05	I	169		Mikrodichroskop	05 II 176
— Santacruzeno, Patagonien	07	I	308		Mikrodiorit, Mugodjaren (Süd-Ural)	07 I 74
Microbrachidae	08	II	272		Mikrogranit	
Microbrachis, Nürschan . .	08	II	272		— Colle Brocan (Valle del Gesso), mit Gneiseinschlüssen	08 II 214
Microcoelia Dayi, Kreide, Libanon	05	II	481		— Gennis (Corrèze), albithaltig	09 II 229
Micromelissa ventricosa, Scaglia, Euganeen . .	06	I	475		— Grahamsland (Insel Wandel)	08 I 77
Micropora crassopora, ob. Bourdigalien, Mokattam	05	II	485		Mikroklin, Analogie mit Diallag	09 II 178
Microphorella divaricata u. fallax, Tertiär, Patagonien	05	II	141		— Konstitution	09 II 181
					— Lipetz, Gouv. Tambow, im Brauneisenerz und Hydrogoethit 1905 II 21.	183
					— Schmiedeberg (Riesengeb.), im Granit .	CBI 1909 770

- Mikroklin und Orthoklas,
chem. Unterschiede . 1909 I 185
- Mikrokonoskop, MAL-
LARD'sche Konstante 09 II 327
- Mikrolith, Norwegen, Gra-
nitpegmatitgänge des
südlichen 08 I 354
- Mikropegmatit, eutekt.
Mischung 09 II 182
- Mikroperthit, kristalline
Schiefer 05 II 362
- Mikroporen in Gesteinen
bewirken Wasserauf-
saugung 07 I 377
- Mikroseismische Bewe-
gungen, Ursachen . . 07 II 48
- Mikroseismische Erdbeben 05 II 206
- Mikroskop
— mit elektr. Heizung . CBl 1909 567
— mineralog., für hohe
Temperaturen 06 I 2
— — FUESS, neues Modell 08 II 146
— — LEITZ (Wetzlar),
Modell A BB XXIII 163
— mit Polarisation, Ver-
wendung CBl 1904 507
— mit Polarisation, Ver-
wendung nach WEIN-
SCHENK CBl 1906 522
— — mit Quarzkeilkom-
pensatorokular CBl 1906 745
— Sammlungs- CBl 1907 615
- Mikroskopgoniometer v.
SOUZA-BRANDÃO . . 05 II 2
- Mikroskopische Bestim-
mung von Mineralien
nach dem Brechungs-
index CBl 1906 551
- Mikroskopische Faltung-
formen CBl 1905 90
- Mikroskopische Physio-
graphie
— der Ergußgesteine,
ROSENBUSCH, 3. Aufl.
CBl 1909 338. 367
— der Mineralien, ROSEN-
BUSCH, 3. Aufl. CBl 1905 119. 486
— — — WÜLFING, Kor-
rektur zu den Plagio-
klasen CBl 1905 745
— der Tiefengesteine und
Ganggesteine, ROSEN-
BUSCH, 3. Aufl. . . . CBl 1907 592
- Mikroskopische Präparate,
Deutung mittelst met-
tall. Gitterpolarisation 06 I 323
- Mikroskopische Unter-
suchung der Minera-
lien CBl 1906 246. 522. 551. 745
- Mikroskopokular m. Quarz-
keil-Kompensator . . CBl 1906 745
- Mikroskoppolymeter, Po-
larisations- CBl 1905 593
- Mikrosommit, Vesuv, von
1906 1908 I 209
- Milchmolaren, Sirenen . 06 II 50
- Miliolidae, nach D'OR-
BIGNY 05 II 489
— Systematik der leben-
den und fossilen . . 05 II 328
- Milioliden
— Abbildung von D'OR-
BIGNY'schen Arten . 06 I 472
— Systematik 08 I 307
— trematophore 07 I 158
— — Tertiär, Ottranto. 09 I 140
- Miliolina magna (Quin-
queloculina), unteres
Oligocän, Kruhel Maly
bei Przemysl 05 I 320
1905 II 434 06 I 472
- Miliolinen, Blattstellung
und Schalenbau . . . 08 I 141
- Milleporella sardoa, Sen-
non, südl. Nurra, Sardi-
nien 06 I 67
- Millerierimus, Trias, To-
bisinschichten, Süd-
Ussuri-Gebiet BB XXVII 536
- Millerit
— Brompton-See, Orford
township, Quebec,
Kristallformen 06 I 12
— Orford, Quebec, Kri-
stallographie 06 II 323
— siehe auch Nickel-
sulfid.
- Miloschin CBl 1909 333
- Mimetesit
— Brechungskoeffizienten 05 I 39
— Bena(d)je Padru bei
Ozieri, Sardinien . . 05 II 367
- Mineralbestimmung
— nach äußeren Kenn-
zeichen 09 II 1
— Tabellen von WEISBACH CBl 1907 154
- Mineralbildung
— durch Druck (Dyna-
mometamorphose) . . 06 I 47
— auf Hohlräumen im
Basalt von Weiten-
dorf (Steiermark) . . BB XXVII 234

Mineralbildung			Mineralkombination von		
— in Silikatschmelz-			25°—83° in ozean.		
lösungen	1906 II	10	Steinsalzlagern	1905 I	197
— siehe auch Kontakt etc.			Minerallagerstätten		
Mineralchemie im Jahre			— Graphit	07 II	240
1906	07 II	172	— Opalmehl, Entstehung	05 I	445
Mineralfarben			— Titan-	07 II	240
— Art und Verände-			— Aegypten und Chile,		
— — Stabilität der durch	BB XXVI	249	Salpeter	05 I	262
Radium erhaltenen .	CBI 1909	232	— Afrika, Deutschost-	07 II	385
— siehe auch Farben etc.			— Aosta-Tal, Piemont .	07 II	35
Mineralgang im Gneis,			— Argentinien, Sierra de		
Campaglia bei Varzo,			Cordoba	07 II	198
Piemont	CBI 1905	15	— Australien	06 I	359
Mineralien			— Baveno (Montorfano),		
— Absorptionsvermögen			Mineralien	07 I	39
für Gase	06 I	161	— Bayern, nutzbare . .	CBI 1907	247
— der Basalte, Grönland	CBI 1908	344	— Bayrischer Wald . .	08 II	330
— gefärbt durch organ.			— Bessarabien, Chotin-		
Farbstoffe	BB XXVIII	335	scher Kreis, im Gips	07 II	377
— genetische Klassifika-			— Biella, Piemont, Dru-		
— — — — —	09 II	330	sen im Syenit	06 II	33
— gesteinsbildende . . .	CBI 1907	470	— Binmental		
— — — — —	CBI 1909	711	1906 I 167 1906 II 15. 27. 30.		
— — — — —	CBI 1907	729	1908 I 204. 601 CBI 1908 52		
— der kristallinischen			— — Beschreibung des		
Schiefer, Grönland .	CBI 1908	377	Steinbruchs v. Lengens-		
— künstl. Darstellung .	07 II	173	bach	CBI 1907	93
— siehe Darstellung,			— — Mineralien	CBI 1905	30
künstliche.			— Bodmin und Camel-		
— mikrosk. Physiographie			ford areas, im Kon-		
CBI 1905 119. 486. 745			taktkalk	CBI 1908	312
— opt. Untersuchung			— Bolivia	08 II	336
unter dem Mikroskop			— Brasilien, Favas der		
CBI 1906 246. 522. 551. 745			Diamantsande	08 I	32
— Sammeln und Bestim-			— Brosso und Traver-		
— — — — —	CBI 1904	507	sella	08 I 35.	39
— Verhalten gegen Ra-			— Brusson (Aostatal),		
dium-, Röntgen- und			Goldquarzgänge . . .	08 II	330
ultraviolette Strahlen	05 I	8	— Calafuria, südl. Livor-		
— Alaska, Kenai-Halb-			no, im Macigno		
insel, nutzbare	08 II	377	1906 I 168	07 I	67
— Japan	CBI 1905	280	— Campaglia bei Varzo		
— Kansas, Jola Qua-			(Piemont)	CBI 1905	15
— — — — —	08 II	376	— Campolongo	05 I	201
— Korea und Sachalin .	08 II	333	— Canale Monterone		
— Mississippi, nutzbare .	08 II	378	(Prov. Rom), im Tuff	06 I	170
— Rhodesia und Britisch-			— Carrara, im Marmor		
Zentral-Afrika	07 I	80	1906 II 175. 176	07 I	214
— Tirol und Vorarlberg	CBI 1905	218	— Centralasien	07 II	247
— und Gesteine, Britisch-			— Ceylon	1906 I 178.	182
Zentral-Afrika	07 I	236	— China, nutzbare . . .	09 II	79
Mineralklüfte, alpine,			— Clifton - Morenci - Di-		
Flüssigkeitseinschlüsse			strikt, Arizona	06 I	172
der Quarze	CBI 1906	72	— Columbia, Erden und		
			Salze	06 I	34

Minerallagerstätten

— Concepcion del Oro, Zacatecas, Mexiko, im Granodiorit BB XXVIII 450 ff.	556
— Cuba	1905 I 389
— Dalmatien, nutzbare	09 II 83
— Deutschland, Karte der nutzbaren	1909 II 77 CBI 1907 569
— Easton, New Jersey	06 I 353
— Eifel	CBI 1907 471
— Elba	CBI 1908 252
— — turmalinführende Gänge im Granit von San Piero in Campo	05 II 34
— Evje, Saetersdalen, Norwegen	06 I 351
— Färöer	CBI 1908 681
— — Zeolithe im Basalt	09 I 27
— Frankreich (Dep. du Rhône et de la Loire)	07 I 40
— Friedeberg (Oesterr.-Schlesien), Kontakt	07 II 33
— Gellivara-Erzberg	06 I 349
— Grönland CBI 1908 338. 375. 403. 411	
— — Julianehaab (Kangerdluarsuk u. Narsarsuk), Mineralliste	CBI 1908 411
— Hessen-Darmstadt, techn.	05 I 429
— Illinois	06 II 180
— Iowa, Produktion 1901	02 I 439
— Irland, Silver mine district, Tipperary	08 II 336
— Jenisseisk'scher Bergbezirk, südlicher	07 II 189
— Kalifornien, Edelsteine	07 II 41
— Kamptal, Wiener Wald	CBI 1908 251
— Kleinasien, Schmirgel	08 II 297
— Korea und Sachalin	08 II 333
— Kragerö (Lindvikskollen)	08 I 193
— Krebshöhe b. Schönriesen, Böhm. Mittelgebirge	CBI 1909 154
— Krim, Ajudagh, im Quarzdiorit	09 II 367
— — Simferopol	09 II 367
— Kuttenberg (Böhmen), im Serpentin	08 I 38
— Lausetto, Valli del Gesso, Piemont	06 I 349
— Ligurien, Nephrit	08 I 189
— Llano County, Texas	07 I 42

Repertorium 1905—1909.

Minerallagerstätten

— Los-Inseln, im Nephelinsyenit	1908 I 226
— Mähren, westl., im Archaicum u. Devon	05 II 234
— Markkirch, Gänge	09 I 21
— Mayen, Mineralien der Einschlüsse	06 I 347
— Meeresboden	08 I 53
— Mies, Schwerspat und Anglesit	06 II 24
— Miseno, Schwefelgrotte	08 II 332
— Moore Station, New Jersey, Zeolithe	06 I 352
— Nanya-zeik, Birma, Rubin	08 II 296
— Neuseeland	08 I 399
— Niederösterreich	06 II 174
CBI 1908 742 CBI 1909 397. 439. 689. 710	
— Niederösterr. Waldviertel	CBI 1908 251
— Nordamerika, nutzbare	05 I 440
— — verschiedene	05 I 440
— Norwegen, südl., Niobate, Tantalate, Titanate u. Titanoniobate der Granitpegmatitgänge	08 I 336
— Oberösterreich	05 I 40
— Oberpfälzer Waldgebirge	08 II 330
— Olgiasca (Comer See), im Pegmatit	05 I 203
— Ormuz-Insel	08 II 336
— Ostalpen	CBI 1908 277
— — Pinolitmagnesit, Spateisenstein u. Ankerit, Genesis	CBI 1909 714
— Pitztal, Tirol	08 I 205
— Poggio Orlando (Siena), Schwefelgruben	08 II 334
— Pokolbin, N.-S.-Wales, im Hypersthenandesit	06 I 342
— Prinz-Rudolfs-Insel	06 I 35
— Raspenau, Böhmen, im körn. Kalk des Kalkbergs	06 I 54
— Regens bei Iglau, Graphit	06 II 173
— Rhein, Einschlüsse im Basalt	CBI 1908 97. 422. 705
— Rhodesia, Broken Hill-Grube, Zinkphosphate	09 II 31
— Rußland, (Ferghana und Archangel)	09 II 37

27

- Minerallagerstätten
 — S. Fedelino, Comer
 See, im Granit . . . 1907 II 34
 — St. Yrieix, Kaolin . . 07 II 240
 — Sardinien, Argentiera
 della Nurra, Portotorres 06 I 31
 — — Genna Gurese, Wolf-
 ramminerale . . . 08 II 319
 — Schlaggenwald
 1905 I 198 07 II 32
 — — Kalk, im Stein-
 bachtal 08 II 330
 — Sibirien 09 II 41
 — Solfatara bei Neapel 07 II 198
 — Spanien, nutzbare, u.
 Gesteine 09 II 79
 — Staßfurt, regelm. Ver-
 wachung von Carnal-
 lit und Eisenglanz . CBI 1909 168
 — Steiermark 08 I 38
 — Sternberg—Bennisch,
 Mähren, Schalsteinzug
 CBI 1907 289. 321
 — Südafrika 05 II 38
 — — nutzbare 09 II 83
 — Tabor, Böhmen 09 II 366
 — Tahiti 06 I 71
 — Tennessee, Phosphate 05 I 260
 — Tessin, am PizzoForno
 BB XXVI 488
 — — im Dolomit (Cam-
 polongo etc.) BB XXVI 517
 — Tirol CBI 1905 218
 — Toskana 07 II 37
 — Tunesien (Dschebel-
 Ressay), Blei- u. Zink-
 mineralien 07 I 41
 — Ural, mittlerer 09 II 41
 — Vesuv 09 I 349
 — — (1906) 1908 I 207. 327
 — — Asche von 1906, in
 Triest 08 I 44
 — — Neubildungen von
 1906 1908 I 45. 173. 206. 328. 329. 601
 — siehe auch Vesuv.
 — Weitendorf (Steier-
 mark), in Hohlräumen
 des Basalts BB XXVII 219
 — Westmähren 06 II 174
 — Zöptau, im Amphibolit-
 gebiet 08 I 202
 — — Mähren, Zeolithe
 im Amphibolit 06 I 343
 — siehe auch Erzlager-
 stätten und Mineral-
 vorkommen.
- Mineralnamen, neue . . 1905 I 1
 Mineralogie
 — beschreibende, VER-
 NADSKY, Elemente . . 09 II 2
 — KLOCKMANN, 4. Aufl. CBI 1907 216
 — neuere Aufgaben . . 08 I 1
 — NIES und DÜLL . . . CBI 1905 728
 — physikal.-chemische v.
 DÖELTER CBI 1905 629
 — systematische, Ge-
 schichte CBI 1907 245. 247
 Mineralogische Gesell-
 schaft, Deutsche
 CBI 1908 471 CBI 1909 60
 Mineralogische Termino-
 logie CBI 1909 661
 Mineralogischer Unterricht
 — Entwicklung an der
 Universität Gießen . CBI 1905 557
 — an Hochschulen . . . 06 II 147
 Mineralogisches Mikro-
 skop, Modell A. LEITZ
 in Wetzlar BB XXIII 163
 siehe Mikroskop.
 Mineralquellen
 — chem.-phys. Beschaf-
 fenheit 05 I 264
 — Fortschritte der Er-
 forschung 09 II 372
 — Zustand des Schwefel-
 wasserstoffs 06 I 327
 — Amazonasgebiet, Be-
 ziehung zu Erzlager-
 stätten 05 I 263
 — Bayen bei Bognères-
 de-Luchon 05 I 263
 — Ems, Analyse 05 I 444
 — Engadin, oberes (Cha-
 sellas bei Campfèr),
 Analyse 07 II 87
 — — unteres, Analysen 07 II 87
 — Latium, Radioaktivi-
 tät 07 I 228
 — rhein. Schiefergebirge,
 Entstehung 08 I 368
 — S. Orsola bei Pergine,
 Südtirol 09 II 373
 — Schweiz, Radioaktivi-
 tät 08 I 167
 — siehe auch Quellen,
 Thermen u. Mineral-
 wasser.
 Mineralreich von R.
 BRAUNS CBI 1905 187
 Mineralschaustellungen,
 Farbe des Hintergrunds 08 I 1

- Mineralsynthese
 — unzulässige Methoden CBI 1905 148
 — siehe Darstellung, künstliche.
- Mineralvorkommen
 — Columbia CBI 1908 182
 — Japan 1905 I 210
 — Kalifornien 05 I 204
 — Nordamerika, verschiedene 05 I 205
 — siehe Minerallagerstätten.
- Mineralwasser
 — Bayern CBI 1907 247
 — Agnano (Apollowasser) 06 II 79
 — siehe Mineralquellen.
- Minerogenese 07 II 162
 — und Stabilitätsfelder der Minerale 07 II 10
- Minette
 — Deutsch-Lothringen u. Luxemburg, Fauna 06 I 303
 — Dielette (Manche), Eisenerz 09 I 393
 — Highwood Mountains, Montana 06 II 373
 — Kiautschou 06 II 368
 — Sustenhörner, Aarmassiv 06 II 62
 — Tien-schan und Alatau 05 II 69
- Minimalablenkung
 — in Prismen 1907 II 163. 164
 — durch anisotrope Prismen 08 II 142
 — symmetrische, durch anisotrope Prismen 08 I 162
- Minimalproblem der Gestaltenlehre 06 I 321
- Miocän
 — Grenze gegen Pliocän 07 II 1
 — Frankreich, Perforation d. Astragalus bei Säugetieren 07 I 467
 — Italien, Radiolarien 09 II 490
 — Jütland 07 II 452
 — Nebraska, Säuger 1907 II 485. 486
 — — und Wyoming 07 II 486
 — Niederschlesien, petrograph. Entwicklung 06 II 430
 — Oppeln, Säugetiere 05 II 453
 — Oregon, Säuger 07 II 485
 — Sardinien, Fischotolithen 08 II 277
 — Sinai, östlicher 07 I 424
 — Süddakota, Säugetiere 08 I 129
- Miogypsina, Tertiär, Piemont 1907 II 160
- Miolania argentina, ? Kreide, Chubut, Argentinien 05 II 307
- Miopliocän, Süd-Ussuri-Gebiet BB XXVII 531
- Mioziphius, Boldérien, Antwerpen 07 I 132
 — belgicus, Miocän, Antwerpen 07 I 135
- Mirabilit, siehe Glaubersalz CBI 1908 280
- Mischkristalle
 — in Eruptivgesteinen 07 II 57
 — fließende, Bildung und Umwandlung 05 II 173
 — von K_2SO_4 u. K_2CrO_4 07 I 209
 — der Nitrate von Am, Tl und Cs 09 I 163
 — von Pyroxenarten durch Zusammenschmelzen CBI 1906 571
 — aus Schmelzfluß, Silber-, Blei-, Thallo- u. Cuprohalogene BB XXII 1
 — wasserhaltige, Spaltung 1905 I 13 06 I 7
 — und Doppelsalze der Sulfate von Li, Na, K u. Ag, Bildung u. Umwandlung BB XXIV I. 67
- Mischungen, isomorphe, siehe isomorphe Mischungen.
- Mischungsreihe isom. Substanzen, Lücken 05 I 368
- Misenit 05 II 31
 — Miseno, Schwefelgrotte 08 II 333
- Mississippi, nutzbare Mineralien 08 II 378
- Missourit, Highwood Mountains, Montana, Shonkin-Stock 06 II 373
- Mitra chaussyensis und Pezanti, Eocän, Paris 07 II 303
 — Degrangei und vasconum, blauer Mergel von Côte des Basques bei Biarritz 06 II 439
- Mittelamerika
 — Ausbruch des Momotombo in Nicaragua, 16. Jan. 1905 CBI 1905 172
 — Vulkane CBI 1906 243
 — Vulkangebiet u. Ausbrüche 1902 u. 1903 CBI 1906 243

- Mittelgebirge
 — böhmisches, vulkan. Ausbrüche CBI 1909 526
 — deutsche, Alter CBI 1909 270
- Mittelmeergebiet, westl., titanreiche Basalte u. magmat. Provinz . . 1909 I 64
- Mixodectes, amerikan. Eocän 05 I 331
- Mixoneura neuropteroides, Carbon, Donetzbecken 09 I 460
- Mizzia, Carbon, Dalmatien 07 II 339
- Mo = feiner Sand 06 I 206
- Modelle, geologische, Herstellung 06 I 37
- Modena, artes. Brunnen 05 I 54
- Moderne Zitate CBI 1909 353, 536
- Modiola Amphitrite, Glandarienkalk, Syrien . 06 I 279
- coelomorpha, laticosta, namnetensis und notorine, Eocän, Loire inférieure 06 I 154
- dunloppensis, Kreide, N.-S.-Wales 05 I 318
- flagellata, ob. Kreide, Alvincz 05 I 302
- jurassica, Jura, Black Hills 08 I 264
- kaffraria, Kreide, Pondoland 07 II 306
- Kochi, Eisenerzformation, Lothringen und Luxemburg 06 I 305
- subangustissima, ob. Jura, Somaliland . . 06 I 281
- Modiolarca jurassica, Jura, Black Hills 08 I 264
- Modiolopsis Martini und subgradata, Untersilur, Haverfordwest-Distrikt 06 II 307
- Modiomorpha cf. Pimentana, Devon, Bolivia BB XXV 527
- Moellerina BB XXVII 506
- Moencopie beds 07 II 502
- Moerriophis Schweinfurthi, Aegypten 06 I 153
- Moeritheriidae, Tertiär, Fayum 07 II 310
- Moeritherium Lyonsi und trigonodum, Eocän, Aegypten 06 I 446
- Mohawkit, künstl. 05 II 5
- MoHR'sche Linien und Druckfestigkeit beim Anhydrit 1909 II 121
- Moine-Gneis, schott. Hochlande 05 II 390
- Moiné-Mendia b. Hélette (Basses Pyrénées), Reibungsbrecce zu Granit u. Marmor . . 06 II 212
- Moirä Guebhardi, Molasse, Veuce 07 II 157
- Moissanit im Diablo Cañon-Meteoriten . 1905 I 7 CBI 1905 154
- Mojsisovicidae, Mojsisoviczia, Kreide 07 II 147
- Mojsisovicites crasse-costatus, obsoletus, orethensis, involutus u. tenuicostatus, obere Trias, Sizilien 05 I 345
- Mojsvaroceräs Kagae und nivicola, Muschelkalk, Himalaya 08 II 241
- Mokattamstufe = Parisianum, Gliederung 05 II 323
- Molasse
 — Aarwangen (Schweiz), Süßwasser- 08 I 433
 — Algäu, Kontakt mit Flysch 08 I 409
 — Bayern, Faziesentwicklung des oligocänen im südlichen . CBI 1906 576
 — Bregenzer Wald BB XXVII 34
 — Gätinais, Frankreich . 09 II 467
 — patagonische BB XXI 155
- Moldau, Geologie 06 I 406
- Moldavit
 — chemisch 05 I 299
 — Brechungskoeffizienten CBI 1909 26, 781
 — Kutteneberg, angeblicher CBI 1909 452, 465, 545
 — Schonen, siehe Meteorsteine.
 — — kosmische Natur . CBI 1908 737
 — siehe auch Tektit.
- Molekulare Gestalt, Einfluß auf den kristallinisch-flüssigen Zustand 09 I 3
- Molekularquotienten zur Berechnung von Gesteinsanalysen 05 I 57
- Molekularvolumen, Beziehung zu Viskositätskurven bei Silikaten. CBI 1906 289

Molekularvolumina d. Ge- steinsgemengteile	1905	I	62	Monazit			
Molgophidae, Wirbel und Rippen	08	II	270	— Erden	1906	I	5
Molgophis, Carbon, Lin- ton	08	II	270	— Thorerdegehalt	05	I	189
Moll-Tal, oberes, Kärnten, Geologie	08	II	358	— Nil-Saint-Vincent, Bra- bant	06	I	345
Molorehus, balt. Bern- stein, Deutung	07	I	323	— Nordamerika, Produk- tion 1903	05	II	29
Molukken				— Ottawa bei Pisek, im Goldsand 1905 I 366	08	I	332
— Geologie	1905	I	106	— Richmond River, N.- S.-Wales, im Sand, Analyse	07	I	411
— — Berichtigungen	CBI	1909	476	— Soendeled (Risoer), Norwegen	06	I	352
— obertriadische Fauna	CBI	1909	561	— Transvaal, Analyse	CBI	1907	248
— Triaspetrefakte	BB	XXIV	161	Monazitsand			
Molybdänerze, Argen- tinien, Prov. S. Louis	05	I	259	— Bahia	06	II	343
Molybdänglanz				— Kaukasus	05	I	385
— Elektrizitätsleitung				— Queensland	07	I	81
1906 II 32	07	II	5	Monchiquit			
— Kristallform	05	II	8	— Ampasindava (Mada- gaskar)	05	I	436
— Alpen	CBI	1905	12	— Böhmen, zw. Böhm.- Kamnitz u. Kreibitz	06	II	359
— Biella, Piemont, Dru- sen im Syenit	06	II	33	— Löwenburg, Sieben- gebirge	1907	II	62
— Crown Point, Washing- ton	06	I	164	— N.-S.-Wales, chem.	07	I	403
— Nordamerika, Pro- duktion	06	I	355	— nördl. Odenwald	09	II	380
— Ofenhorn, Binnental	CBI	1908	52	Monchiquitischer Nephe- linit, Tasmanien, Re- gatta Point	08	I	392
— Okanogan County, Washington, elektr. Verhalten	CBI	1905	464	Mond			
— Rhein, Einschluß im Basalt	CBI	1908	97	— Abstammung von der Erde	09	II	46
— — Finkenberg bei Bonn, im Basalt	CBI	1908	422	— Oberflächengebilde	CBI	1905	91
— Rußland, chemisch	09	II	333	Mondstein			
Molybdänocker, Zusam- mensetzung etc.	1908	II	300. 301	— Ceylon	1906	I	179. 181. 186
Molybdatsgele	CBI	1909	329	— Nordamerika	06	I	358
Molybdit				Mongoli, Jura	07	II	447
— Hortense, Colorado	09	I	195	Monilites albida, mittel- eocäner Dysodil, Me- lilli, Sizilien	05	II	152
— Ilmengebirge, Pseudo- morphosen nach Mo- lybdänglanz	09	II	15	Monmouthit, Monmouth bei Dungannon, Ost- Ontario	05	II	395
Momotombo-Vulkan, Ni- caragua, Ausbruch 16. Januar 1905	CBI	1905	172	Mono Lake, Kalifornien, Eruption fester Massen	05	II	396
Monacha coarctata, Ober- miocän, Randeck	CBI	1908	593	Monobromäpfelsäure, in- aktiv, Kristallform	07	I	92
Monadnock = Härtling	CBI	1908	746	Monobromstrychnin, Kristallform	07	I	100
Monadnock Mountain, New Hampshire, Geo- logie	06	II	215	Monoclonius Belli, cana- densis und Dawsoni, Belly river series, Red Deer river, Nordame- rika	07	I	439

Monochloräpfelsäure, inaktiv, Kristalle . . .	1907	I	94	Montagne Pelée, Martinique, Zusammensetzung des Dôme . . .	1908	I	46
Monodon, Boldérien, Antwerpen . . .	07	I	132	Montana, zentrales, Gesteine . . .	07	II	231
Monodonta Staadti, Eocän, Paris . . .	07	II	303	— Süd-Zentral-, Geologie	06	II	423
Monofurfurylhydrophenantrenchinon, Krist. . .	07	I	90	Montanit, Nanina Bismuth Mine, N.-S.-Wales, Analyse . . .	07	I	411
Monogenerina pyramidis, Permocarbonskalk, N.-S.-Wales . . .	06	II	455	Montblanc			
Monograptus priodon, Organisation . . .	05	II	82	— Geologie in Südosten	09	II	88
Monoklin-hemiedrische, opt.-aktive Kristalle, Struktur . . .	07	II	351	— magnet. Deklination und Inklination bei versch. Höhen . . .	09	I	44
Monolophodon minutus, Kreide, Chubut, Patagonien . . .	05	I	497	Mont d'Or Lyonnais, Zone d. Lioceras concavum	05	I	462
Monophyllites Dieneri u. Nopcsai, Untertrias, Albanien . . .	08	II	400	Monte Cavo, Bau u. Alter	08	I	46
— gymnitiformis und transversus, Muschelkalk, Dobrudscha . . .	08	I	421	Monte Ferru, Vulkan, Sardinien . . .	BB	XXI	1
Monotis salinaria, Rotti und Timor . . .	CBI	1909	356	Monte Mary—Monte Emilius-Decke, Piemont . . .	06	II	257
— — Trias, Serang, Niederl. Indien . . .	BB	XXIV	190	Monte Rosa, Rückgang d. Gletscher am Südabhang . . .	05	I	56
Monotrypa Favrei, Urgon, Massif des Avoudruz (Savoyen) . . .	06	I	64	Monte Rosa—Gran Paradiso-Decke, Piemont . . .	06	II	257
— limitata, multitabulata und sardoa, Tithon, Baunèi, östl. Sardinien	06	I	62	Monte Zovo bei Trient, Alter der Korallenformation . . .	CBI	1908	104
— pontica, Oxfordien, östl. Krim . . .	06	I	63	Montenegro			
— raritabulata, Devon, Bolivia . . .	BB	XXV	560	— Dogger, Brachiopoden	07	I	433
Monoxyde u. Monosulfide d. Elemente d. 2. Klasse etc.	08	II	148	— Geologie des östl. und südlichen . . .	07	II	107
Montagne Pelée, Martinique, andesit. Auswürfling . . .	06	I	229	— Muschelkalkcephalopoden von Boljevici bei Vir . . .	05	II	139
— — Eruptionen . . .	CBI	1906	81	— oberer Muschelkalk . . .	07	I	431
— — u. Aschenfall 1902 . . .	1905	I	224. 404	— Werfener Schichten im südl. (Bucieri) . . .	05	II	108
— — Gesteine, Einschlüsse etc. . .	CBI	1906	81	— u. Albanien, Obertrias	06	I	108
— — Felsnadel etc. . .	06	I	38	Monteregian Hills, Quebec, Brome Mountain, Geologie . . .	07	I	239
— — Gesteine . . .	09	I	71	— Eruptivgesteine . . .	09	I	68
— — vulkanische Erscheinungen . . .	07	I	376	Monticellit			
— — vulkanischer Staub 1902 . . .	05	I	404	— gibt mit HCl Orthokieselsäure . . .	07	I	25
				— im Zement . . .	08	II	379
				Montlivaultia molukkana, Trias, Serang, Niederl. Indien . . .	BB	XXIV	182
				— Szechenyi, Kaukasus	08	II	81
				Montmorillonit, Beziehg. zu Gemenge von Tonerde- und Kieselsäuregel . . .	CBI	1908	622. 662

- Montorfano, Mineralien . 1907 I 39
 Montroydit, Terlingua, Texas 09 I 173
 Monzoni
 — Eruptivgesteine, chem. Zusammensetzung 06 I 57
 — leukokrate Ganggesteine 05 II 218
 Monzonit
 — Ampasindava (Madagaskar) 05 I 436
 — Fassatal, vergl. mit Melaphyr CBI 1905 48
 — — Toal malinverno, gangförmig, mit Spinell CBI 1905 53
 — Highwood Mountains, Montana 06 II 373
 — Monzoni u. Predazzo, chem. Zusammensetzung 06 I 60
 Moorbildungen, Kerguelen 06 II 51
 Moore
 — Bildung vieler pflanzenschädlich. Schwefelverbindungen 06 I 327
 — Norddeutschland, Humus- und Torfarten 08 II 409
 Moortorfbildung 09 II 45
 Moostorf, älterer u. jüngerer, Wittmoor (Holstein) 06 I 119
 Moostorfschichten, Steilufer der kurischen Nehrung 08 II 408
 Moränen 07 I 117
 — Alpen und Vorland 05 II 39
 — Bregenzer Wald BB XXVII 37
 — Gausberg, Antarktik, des Inlandeises 09 I 203
 — Hamburg u. Rüdersdorf CBI 1906 185
 — Lübeck, Grund- und jungglaziale Süßwasserablagerungen 05 II 440
 — Schwarzwald, eiszeitl. BB XXI 397
 — Sylt . BB XXI 198 BB XXII 139
 — Vomperbach-Mündg., Grund- 06 I 299
 — siehe Grundmoränen, Randmoränen, Endmoränen etc., Quartär etc.
 — und Gletscherbewegg. 05 II 33
 Moränenbedeckte Abhänge, Bildungen von Terrassen, Lappland 07 I 88
 Moränenlandschaft
 — Odertal bei St. Andreasberg 1906 I 298
 — Pommern u. Rügen 07 I 117
 Moränenseen, Ostpreußen 05 I 471
 Moravit
 — Gobitschau, Mähren . CBI 1907 296
 — Mährisch-Schlesische Schalsteinformation . CBI 1906 293
 Moray area, Gesteinsanalysen und Verwitterung 1905 I 414. 417
 — Firth Basin, schwere Metalle in den Sandsteinen 05 I 417
 Morencit, Clifton-Morenci-Distrikt, Arizona 06 I 174
 Moriogramm, Konstruktion und Verwendung 06 I 1
 Morosaurus agilis, Skelett 08 II 437
 Morhippus, Kreide, Patagonien 05 I 167
 Morphotropie bei Enstatit, Diopsid, Hedenbergit, Aegirin u. Spodumen 09 II 171
 Morrisonformation, vergl. mit Comanche series u. Dakotafornation 07 I 286
 Morsumkliff, Sylt, Miecän 1906 I 429 BB XXII 139. 177
 Mortoniceras crenulatum, Kreide, Kalifornien 06 I 288
 — Micheli = M. texanum u. Amm. texanus und quinquenodosus, Gargano, St. Marco in Lamis 08 I 132
 — oliveti u. Sandreckkii, Untersenon, Jerusalem 07 I 422
 — pseudotexanum, Em-scher, Lüneburg CBI 1906 379
 — umkwelanense, Kreide, Natal 07 II 305
 Mosasauridae 09 I 289
 Mosasaurier, Belgien 05 II 308
 Mosasaurus lonzeensis, Kreide, Loncée (Belgien) 05 II 309
 Mosbacher Sand
 — Fauna 07 II 483
 — Wirbeltierfauna 05 I 485
 — Weinheim a. Bergstr. CBI 1906 674
 Moséen, système, Belgien 06 I 436
 Moskau, Oxford und Sequanien 05 I 129
 Mosor bei Spalato, Geol. der Südseite 05 I 451

- Mosorgebirge, Dalmatien, Geologie 1906 I 257
- Motta S. Anastasia, Aetna, Neck. 08 II 45
- Mounds, Kalifornien und Arkansas, Entstehung 08 II 349
- Mount Brown-Schichten, Tertiär, Neuseeland 06 I 434
- Mount Margaret-Goldfeld, Westaustralien 05 II 402
- Mourlonia Duni, Silurodevon, Wellington caves, N.-S.-Wales 07 I 155
- hunica, Perm, Malla Sangcha, Zentral-Himalaya 05 II 279
- Moustérien, geolog. Stellung 08 II 424
- Moustérien-Skelett, Bouffia de la Chapelle-aux-Saints, Sourdore-Tal (Corrèze) 09 I 124
- Moustérien und Aurignacien 09 I 126
- Moutier, Berner Jura, tekton. Karte 05 II 247
- Mucronella coronata und expectans, Kreide, Patagonien 05 II 141
- Mudde 08 II 186
- Mühlhausen i. Els., Wasserversorgung 09 I 205
- Müllerornis, Madagaskar 06 II 444
- München, Schwereänderungen und Bodenbewegungen 09 I 198
- Mürtschendecke, Glarus 06 II 393
- Mufflon, frühere Verbreitung 05 I 323
- Mugearit, Skye 06 II 69
- Mugil? dissimilior und similis, Otolithen, Tertiär, Oesterreich 07 I 481
- Mugodjaren (Süd-Ural), Gesteine 07 I 72
- Muhrenphänomen CBI 1908 46
- Mungo-Kalke, Kamerun 05 I 153
- Munida primaeva, jüngste Kreide, Faxe u. Schonen 06 II 141
- Munierceras dresdense, Strehlemer Pläner, Sachsen 05 I 354
- Munzingen, Magdalenienstation 07 II 471
- Murawjew-Amursky-Halbinsel, Ostasien, Geol. BB XXVII 514
- Murchison-Goldfeld, Westaustralien 1905 II 399
- Murchison Range, Transvaal, Geologie und Goldlagerstätten 07 I 257
- Murchisonia cf. bilineata, Devon, Ostthüringen BB XXIV 298
- Murex camerunensis, Eocän, Kamerun 06 II 123
- Plateaui, Eocän, Paris 07 II 303
- Murgtal, oberes, Schwarzwald, Glazialerscheinungen BB XXI 421
- Mursinskit = Eisenkalkgranat, Limitgesetz 08 II 141
- Musart-Fluß, südl. Tian-Schan, Geologie BB XXII 339
- Musart-Tal, Tian-Schan, Gesteine 09 I 224
- Muschelkalk
- Amerika, westliches 08 I 260
- Epidauros, alpiner, Ammoniten CBI 1906 271
- Himalaya, Fauna 08 II 240
- Montenegro, oberer 07 I 431
- Oberschlesien 06 II 74
- Rhön 09 I 424
- Rüdersdorf, Kiefer v. Saurichthys CBI 1909 54
- Schwaben BB XXV 20
- Pinna CBI 1906 114
- Schwarzwald, unterer 1909 II 417 418
- Muschelkalkcephalopoden, Boljevici b. Vir (Montenegro) 05 II 139
- Muschelkalkgerölle im Serpult, nördl. Teutoburger Wald 06 II 86
- Muscheln
- Muskelleiste CBI 1906 168
- des Rotliegenden, Niederschlesien u. Böhmen 05 I 44
- Muscites Hauchecorni u. totifolius, Bernstein, Ostpreußen 09 I 307
- Muscovit
- Interferenzerscheinungen CBI 1907 577
- pleochroit. Höfe CBI 1909 143
- radialstrahlige gruppierte Kristalle CBI 1908 504
- Fichtelgebirge aus Eklogit, Achsenwinkel CBI 1908 620
- Japan, Analyse 07 I 218
- Nordost-Rhodesia 07 I 80

- Museum für Länderkunde,
Leipzig, Führer . . . CBI 1905 281
- Muskelleiste bei Zwei-
schalern CBI 1906 168
- Muskulatur, quergestreif-
te, bei Cladoselache,
Cleveland Shales . . . 1905 II 478
- Mustela Jaegeri, Unter-
pliocän, Salmendingen
und Melchingen, Bohner-
erze 1908 I 125. 127
- Muttersalze im deutschen
Zechstein 09 II 304
- Myacites compressus,
elongatus u. muscu-
loides, Lettenkohle u.
Keuper, Schwaben
CBI 1907 43 BB XXV 84
- Myalina permiana, Perm,
Texas CBI 1908 686
- Myelophilites dubius, balt.
Bernstein 08 II 113
- Myodontidae, Santa
Cruz-Schichten, Pata-
gonien . . . 1905 I 498 06 I 464
- Myolohys, Miocän, Süd-
Dakota 05 II 130
- Mylonit, Brünner Erup-
tivmasse 09 I 378
- Myoconcha Broilii und
Wöhrmanni, Pachy-
cardientuffe, Seiser Alp
— transatlantica, Aptien,
Argent. Kordillere. BB XXIII 211
- Myogypsina (M. irregu-
laris) 05 II 152
- Myophoria, Beziehung zu
Schizodus etc. 07 II 338
- Devon, Bolivia . . . BB XXV 527
- Unterabteilungen . . . 07 II 338
- elegans, Goldfussi,
intermedia, laevigata,
raibliana, transversa
u. vestita, Letten-
kohle, Württemberg . CBI 1907 44
- elegans, Goldfussi, in-
termedia, Kefersteini,
laevigata, raibliana,
Sandbergeri, Struck-
manni, transversa (mit
var. acuticostata, do-
lomitica, finalis, Struck-
manni u. subkeuperi-
na), vestita und vul-
garis, Lettenkohle u.
Keuper, Schwaben . BB XXV 86
- Myophoria Kefersteini,
Pachycardientuffe,
Seiser Alp 1907 II 336
- laevigata, Werfener
Schichten, Südtirol . CBI 1908 77
- Myophoriopsis keuperina,
Schwaben CBI 1907 45 BB XXV 95
- (?) Kraffti, anthra-
colith. System, Perm,
Zentral-Himalaya . . . 05 II 281
- Myopsis africana, Kreide,
Zululand 07 II 304
- Myrica Heeri, Matawan-
Formation, Nordame-
rika 07 I 494
- Myriopora Verbeeki, Ober-
carbon, Sumatra . . . 1907 I 328. 488
- Myrmekit 1909 II 180. 182
- Bildung CBI 1909 317
- Brixener Masse 05 II 381
- Mysidia cf. orientalis,
Trias, Corfu BB XXI 299
- Mysidioptera carinata,
Pachycardientuffe, Sei-
ser Alp 07 II 337
- Mystriosuchus 09 I 445
- Keuper, Schwaben . CBI 1909 591
- Mytilops ravensfieldensis,
Permocarbon, N.-S.-
Wales 07 I 485
- Mytilus alatus, Glandar-
ienkalk, Syrien 06 I 279
- (?) Alisonis, Granu-
latenkreide, westliches
Münsterland 08 I 428
- casalensis var. cur-
vata, Lias, Casale bei
Busambra (Palermo) . . . 06 I 319
- deformis, Eocän, Loire
inférieure 06 I 154
- Diepenheimi, Sula-
inseln 05 I 151
- eduliformis CBI 1905 705
- u. subdimidiatus,
Lettenkohle, Württem-
berg CBI 1907 27
- — — — u. Keuper,
Schwaben BB XXV 68
- nikitiniensis, Jura,
Moskau etc. 05 I 131

N.

- N- u. N₁-Strahlen, Emis-
sion durch Kristalle . . . 06 I 325
- Nachrumpf CBI 1908 746

- Nachschubgranit, Brocken
(Ilsestein) 1907 I 384
- Nadeldiorit, Lindenfels,
Odenwald CBI 1906 693
- Nadelerz, Rußland 09 II 333
- Nadrag, Ungarn, Geol. 07 I 274
- Naëgit, Naëgi, Prov. Mino,
Japan . 1905 I 189 07 I 199
- Nageiopsis anglica, Jura,
Yorkshire-Küste 07 I 489
- montanensis 07 II 505
- Nagelfluhe, subalpine 09 I 86
- Nager
- Ursprung 05 I 157
- Kreide, Patagonien 05 I 167
- Quartär, westliches
Mittelmeergebiet 07 I 458
- Tertiär, Nebraska u.
Wyoming 07 I 460
- Tertiär, Patagonien 07 II 320
- Nagerhöhlen, Daemone-
lix, Obermiocän, Ne-
braska u. Wyoming 07 I 460
- Nagyag, Goldvorkommen 06 I 74
- Nagyag-Tal, Geol. zw.
Berezná u. Vucskmezö 07 I 105
- Nahegebiet, Morphogra-
phie und Siedelungs-
kunde 09 I 199
- Nakerivara, Lappland,
Eisenerzlagerstätten BB XXIV 666
- Nakrit
- gefärbt durch organ.
Farbstoffe BB XXVIII 362
- Nagolnij Krjasch,
Donetz-Becken 07 II 197
- Namaqua-Land, Kupfer-
erze 06 I 233
- Namnetia discoides, Eo-
cän, Loire inférieure 06 I 468
- Nannites Dieneri, Meeko-
ceras beds, Amerika 06 II 301
- Nanosaurus agilis, Hallo-
pusbed, Trias, Colo-
rado, Beschreibung
des Originals 08 I 134
- Nantucket, Veränderung
der Küstenlinien 07 I 378
- Nanushuk series, Alaska,
nördl. 06 I 93
- Naomichelys speciosa,
Nordamerika 09 I 452
- Naosaurinae, Nordamerika
1908 I 290, 296
- Naosaurus mirabilis, Gas-
kohle, Böhmen 08 I 297
- Naosaurus, Perm, Texas,
montiertes Skelett . 1907 II 329
- Naphtha, siehe Erdöl u.
Petrolea.
- Naphthalen, kristallisiert
mit β -Naphthol 09 I 327
- Naphthol, β -, kristalli-
siert mit Naphthalen 09 I 327
- Naples-Fauna
- Nordamerika, vergl.
mit deutsch. Ober-
devon CBI 1905 385
- West-New York 05 I 148
- Nardoa? Fourtaui, San-
tonien, Aegypten 07 II 154
- Narenta, Flußgebiet der
unteren 06 II 195
- Narica ous 07 II 468
- Nassa cimbrica 07 II 453
- prisca, blaue Mergel
von Côte des Basques
bei Biarritz 06 II 439
- ? supracretacea, Dan-
nien, Dänemark 06 I 309
- Nassau, devon. Eruptiv-
gesteine BB XXVII 326
- Natal
- Kreide der Umkeve-
lane Hill Deposits,
Zululand 06 I 307
- Kreidefossilien vom
Zululand 07 II 304
- Nathorstia latifolia, Ce-
noman, Grönland 09 I 153
- Natica, Keuper, Gan-
singen BB XXV 110
- alkenyeriensis und
transylvanica, obere
Kreide, Alvincz 05 I 302
- altilirata (Ampullina),
Senon, Cardenas,
Mexico 08 I 102
- Dido u. Mylitta, Glandarienkalk,
Syrien 06 I 279
- Gaillardoti, Grenz-
dolomit, Schwaben BB XXV 107
- Gervaisi, Senon, Mit-
tel-Peru BB XXIV 120
- gracilis, Palaeocen,
Saratow 05 II 121
- osculum, ? Eocän,
Kamerun 06 II 123
- Peroni, Santonien,
Frankreich 06 I 319
- plauensis - Gentii,
Kreide, Sachsen 06 I 317

- Natica plesio-lyrata*, provi-
deata u. uberiformis,
Hyperesenon, Peter-
wardeiner Gebirge . 1906 II 267
- *servorum*, ? Eocän,
Kamerun 06 II 123
- *sudetica*, Kreide, Ries-
lingswalde 05 I 301
- *Tremarici*, Tertiär,
Kerguelen 07 II 128
- Naticopsis costulata* u.
planispira, Culm, Kö-
nigsberg bei Gießen
BB XXVIII 647
- *remex*, Perm, Texas CBI 1908 686
- Natriumcarbonat,
Tschad-See 07 I 41
- Natriumchromsilikate . CBI 1908 519
- Natriumferrosulfate,
Synthese 07 I 34
- Natriumsulfat 05 II 29
- *Montagne Pelée* (Mar-
tinique) 07 I 32
- Natriumverbindungen,
isomorph mit Kalium-
verbindungen 08 II 149
- Natrochalcit, Chile . . . 09 II 203
- Natrolith
— gibt mit HCl Ortho-
kieselsäure 07 I 24
- Glühverlust 06 I 24
- Kontraktionsfiguren
bei Behandlung mit
Säuren 08 I 336
- Wassergehalt CBI 1909 678
- Böhmen, in Phono-
lithen, Verwitterung . 08 II 316
- Christdorf, Mähren,
Eisenerzlager CBI 1907 323
- Färöer 09 I 29
- Grönland, Ost-, im
Basalt 06 II 183
- *Krebshöhe* b. Schön-
priesen, böhm. Mittel-
gebirge CBI 1909 159
- *Montecatini*, Tos-
kana 07 II 40
- — chem. Konstitu-
tion 08 II 315
- *Moore Station*, New
Jersey 06 I 353
- *Pokolbin*, N.-S.-Wales . 06 I 342
- *Sachalin* 08 II 334
- *Weitendorf* (Steier-
mark), auf Hohl-
räumen im Basalt BB XXVII 253
- Natrolithphonolith,
Aussig (Böhmen), mit
Flußspat CBI 1908 673
- Natronaugit in Silikat-
schmelzen BB XXII 198. 245
- Natronkalisimonyit in
ozeanischen Stein-
salzablagerungen . . 1905 I 192
- Natronleucit
— *Umwandlung* 07 I 203
- siehe auch Pseudo-
leucit.
- Natronrichterit, Grön-
land, westl. Nord-, im
Amphibolit 07 I 246
- Natronsalpeter
— *Kristallisation* CBI 1905 491
- — *aus Lösungen* CBI 1906 157
- *Plastizität* 05 I 24
- siehe auch Salpeter
und Nitrate.
- Natron-Salzsee, Aegypten,
Steinsalz CBI 1906 772
- Natrontal, Aegypten,
Geologie 06 II 422
- Naturbrücken. Entstehung . 07 I 224
- Naturerscheinungen,
Zweck CBI 1906 189
- NAUDERS, Geologie des
Inntals 08 I 255
- Naumburg a. S., oberste
Saaleterrasse CBI 1906 678
- Nauroditschiefer (Nauro-
dit), Taunus 07 I 229
- Nautiliden, Lias und
Dogger 07 I 324
- Nautilinae, Lias und
Dogger 07 I 325
- Nautilites, Lias und
Dogger 07 I 324
- Nautiloidea, Trias, Ame-
rika 06 II 307
- Nautilus, Grenzdolomit,
Schwaben BB XXV 115
- *jüngeres Paläozoicum* BB XXV 321
- *bisulcatus* u. *Ennia-*
nus. ob. Jura, Somali-
land 06 I 281
- *broitzemensis*, Unter-
esenon, Braunschweig . 07 I 483
- *culmiensis*, Oberkulm-
grauwacke, Adlers-
berg b. Wildemann,
Oberharz 08 I 145
- *Gabbi*, Kreide, Kali-
fornien 06 I 288

- Nautilus Hilli*, Buda limestone, Kreide, Nordamerika 1906 I 309
 — *hunicus*, Chitichun-Klippe, Zentail Himalaya, Perm 05 II 278
 — *imbricatus, ocellus, ovoideus* und *striatocostatus*, Kreide, Zulu-land 07 II 305
 — cf. *inflatus*, Kimmeridge, argent. Kordillere BB XXIII 188
 — *manuanensis*, Kreide, Natal 07 II 305
 — *occidentalis* u. *Winslowi*, Perm, Texas CBI 1908 687
 — *Pavlowi*, Palaeocen, Saratow 05 II 121
 — *primoriensis*, Muschelkalk, Boljevici b. Vir, Montenegro 05 II 140
 — *pseudoelegans*, Neocom, Sardinien BB XXIII 468
Nautilus-Schnäbel 1908 I 301 303
Nayadochelys ingravata, Nordamerika 09 I 452
Neaera aegyptiaca, Blättermergel v. Theben 06 II 122
Neandertal Mensch 1905 II 301, 302 06 II 273
Neanites californicus, Subbullatus - Schichten, Amerika 06 II 306
Nebraska-Wyoming siehe Wyoming-Nebraska.
Necrocarcinus bispinosus und *insignis*, oberste Kreide, Schonen 06 II 141
Necrodasyus Galliae, Eocän, Phosphorite v. Quercy 07 I 462
Necrolemur, Beschreibung 06 II 443
 — *Osteologie* u. systematische Stellung Festband 197
 — *amerik. Eocän* 05 I 335
Necrolestes patagonensis, Tertiär, Patagonien 07 II 320
Necromanis Quercyi, Eocän, Quercy 07 I 463
Nectandra imperfecta, Kreide, New York 08 I 456
Nectosaurus, Osteologie 09 I 448
Nehdener Schiefer, Enkeberg b. Brilon BB XXVI 574
 NEHRING's Steppenhypothese und Quartärfaunen des nördl. Harzvorlands CBI 1909 87, 317, 385
Neithea almusana und *Böckhi*, Hypersenon, Peterwardeiner Gebirge 1906 II 268
 Nekrolog, KARL KLEIN CBI 1907 641
Nelumbium palaeocenicum, unt. Eocän, Paris 09 II 157
Nelumbo-primaeva, Matawan-Formation, New Jersey 07 I 494
Nemalith, Lysogorsk, Gouv. Jelisawetstol 07 II 182
Nematherium, Santa Cruz beds, Patagonien 06 I 464
Német-Gladna, Ungarn, Geologie 07 I 274
Nemolestes, Kreide, Patagonien 05 I 169
Nenndorf a. Deister, Gebirgsbau u. Quellenverhältnisse 06 II 412
Neocalamites (*Schizoneura*) *Carrerei, hoerensis* und *Meriani*, Mesozoicum, Schweden 09 I 150
Neocom, Norddeutschland, Gliederung CBI 1908 107, 140, 162, 753
 — *Kaltenleutgeben* 05 II 429
 — *Languedoc* u. *rechtes Rhône-Ufer* 06 I 110
 — *nördl. Ural* 07 II 449
 — siehe auch *Kreide*.
Neocomites americanus, ovalis, patagoniensis, Steinmanni u. *Wilkeni*, untere Kreide, Patagonien BB XXV 613
Neogen, Suchum-Distr., SW.-Kaukasus 06 I 432
Neohipparion dolichops, gratum und *niobrarense*, Miocän, Süddakota 08 I 130
 — *lenticularis*, Obermiocän, NW.-Texas 05 II 440
 — *Whitneyi*, Obermiocän, Little White River, Süddakota 05 II 468

- Neolith. Fauna, Mittelrhein 1906 II 440
- Neolobites Choffati und Peroni, Kreide 07 II 151
- Peroni, Cenoman, Aegypten 05 II 285
- Neon in Thermen 08 I 365
- Neopithecini, amerik. Eocän 05 I 329
- Neoptychites crassus u. teliogaeformis, Mungokalk, Kamerun 05 I 153
- Neoreomys, Tertiär, Patagonien 1907 II 322 325
- Neoschwagerina BB XXVII 506
- syst. Stellung und N. craticulifera 07 I 331
- Neosqualodon, Gebiß 06 II 294
- assenzae, Mittelmiocän, Scicli b. Modica, Sicilien 07 I 138
- Nephacodus, Kreide, Patagonien 05 I 168
- Nephelin
- Baryum- u. Strontium 05 I 377
- — künstlich 05 I 377
- chem. Konstitution 09 I 9
- Schmelzpunkt 07 II 172
- in Silikatschmelzen BB XXII 207
- durch Zusammenschmelzen 09 I 183
- zusammengeschnitten mit Albit BB XXV 268
- — mit Albit u. Olivin BB XXV 267
- — mit Diopsid BB XXI 52
- — mit Diopsid und Olivin BB XXIII 61
- Katzenbuckel, Pseudom. von Analcim nach Nephelin 08 II 351
- Skritin, Ausscheidung im Tinguaitporphyr 08 I 187
- Vesuv, Kristall. BB XXIII 313
- siehe auch Eläolith.
- Nephelinaugitpegmatit, Coulmore, Grafsch. Ross, Nord-Schottland BB XXII 423
- Nephelinaugitporphyr, Katzenbuckel 08 II 352
- Nephelinbasalt
- Argentinien BB XXII 618
- bad. Oberland 06 II 61
- Eisenrüttel, schwäb. Alb 06 II 205
- Nephelinbasalt
- Karolinen 1905 II 74
- Neu-Süd-Wales 1907 I 396, 401
- Schwarzbrunn, östl. Gablonza a. N., Salbandbildung a. Gang 08 II 190
- Tasmanien, Sandy-Bay b. Hobart 08 I 394
- — Shannon Tier b. Hobart, mit Eudyalit — siehe auch Basalt. 08 I 393
- Nephelinborolanit, Camas Eilean Ghlais, Ross-shire, Nord-Schottland BB XXII 443
- Nephelindolerit, Katzenbuckel (Michelsberg) 08 II 353
- Nephelinerußgesteine, Tepler Hochland 09 II 222
- Nephelin - Endialyt - Basalt, Tasmanien, Shannon Tier bei Hobart 08 I 393
- Nephelingsimmerporphyr, Katzenbuckel 1908 II 353, 354
- Nephelingsneis, Cevadaes, Portugal 07 II 109
- Nephelinit
- Tasmanien, Regatta Point. monchiquitischer 08 I 392
- Tepler Hochland 06 II 356
- Nephelinporphyr, Kuolajärvi, Finnland 07 II 69
- Nephelinrhombenporphyr, Kilimandscharo 07 II 411
- Nephelinsyenit
- Angola 05 II 76
- Buschveldin, Transvaal 06 I 68
- Cuoc-na-Sroine, Nord-Schottland BB XXII 421
- Dungannon, Ost-Ontario 05 II 395
- Julianehaab, Grönl., Erikit u. Schizolith 1905 II 185, 190
- Los-Archipel, Guinea 1907 II 414 08 I 226
- Tasmanien, Regatta Point 08 I 389
- Wisconsin, nördl. 09 I 227
- u. Monzonit, Tahiti 06 I 71
- Nephelinsyenitporphyr Monzoni u. Predazzo, chem. Zusammensetzung 06 I 65

- Nephelinsyenitporphyr
Red Hill, Moulton-
boro, N.H. 1909 II 388
- Nephrit
— Heber R. BISHOP,
großes Werk CBI 1906 249
— — New York, Samm-
lung 05 I 29
— Pfahlbauten, Marka-
sit-Patina 06 II 334
— Australien, Brasilien,
Celebes, Neuguinea
u. Südtirol 05 I 28
— Baytinga, Bahia, Bra-
silien 06 I 25
— Bodensee, Pfahlbauten 08 I 188
— Graz, großes Ge-
schiebe im Mur-
schotter CBI 1909 686
— Gulbachen, geologi-
sche Deutung F.B. 159
— Ligurien, Entstehung 09 I 188
— — Vorkommen
1908 I 189 08 II 204
Nepouit, Nepoui 08 II 313
- Neptunea Burrowsii,
Tertiär, Ormara Kap,
Mekran-Küste, Be-
ludschistan 06 I 118
- Neptunit
— Kalifornien, San Be-
nito River (Carlosit) 08 II 302
— — Kristalle 09 II 24
— Narsarsuk, Grönland,
Kristallformen 06 I 167
- Neptunus arabicus, ?Plio-
cän, Arabische Küste 06 II 139
- Nereitenschichten, Mittel-
devon, Ostthüringen BB XXIV 255
- Nerinea aivaruensis, Ba-
thonien, Sardinien BB XXIII 462
- Burckhardti (Plesio-
ptygmatis), Senon,
Cardenas, Mexiko 08 I 102
— Doncieuxi, Cenoman,
Südfrankreich 07 II 132
— dorgalensis, gymno-
cheila, pseudospeciosa
und quinqueplicata,
Tithon, Sardinien BB XXIII 464
— kubanensis, Kaukasus 08 II 81
— Maroni, pauciplicata
und Sesostri, Glandarienkalk, Syrien 06 I 279
- Nerineen des Jura,
Yonne-Département 06 I 317
- Nerinella, Jura, Yonne-
Département 1906 I 318
- Nerita costellata
= grossa = sulcosa,
schwäbische Meeres-
molasse CBI 1905 720
— cyriensis u. Grossou-
vrei, Santonien, Frank-
reich 06 I 319
— gemmata, Hypersenon,
Peterwardeiner Ge-
birge 06 II 267
— granulata u. spinosa,
ob. Kreide, Alvincz 05 I 302
— kaffraria u. umzam-
biensis, Kreide, Pon-
doland 07 II 306
— litoralis, Glandarien-
kalk, Syrien 06 I 279
— Sadebecki, ob. Jura,
Pommern 06 II 102
- Neritaria pulla, Grenz-
dolomit, Schwaben . BB XXV 107
- Neritiden, Grenzdolomit,
Schwaben BB XXV 110
- Neritina (Theodosius)
Adelae mit var. candi-
da, rosea, violacea u.
Gizelae mit var. candi-
da, rosea, violacea,
Quartär, Bischofs-
bad bei Großwardein,
Quartär 07 II 153
— bizonata, extensa,
glaucescens und
leobersdorfensis, Con-
gerienfauna, Leobers-
dorf 06 I 113
— cenomanensis, Ceno-
man, Südfrankreich 07 II 131
— Lóczyana, Hyper-
senon, Peterwardei-
ner Gebirge 06 II 267
— petasata und ungui-
culata, neog. Eisen-
erze, Suchum-Distr.,
NW.-Kaukasus 06 I 433
— primordialis, Ceno-
man, Südfrankreich 07 II 132
- Neritoma (?) occiden-
talis, Jura, Black
Hills 08 I 264
- Neritopsis Abbatei, Cam-
panien, Aegypten 05 II 285
— Pellati, Kreide, Orgon
(Bouches-du-Rhône) 06 I 318

- NEERNST'sches Löslichkeitsgesetz b. Silikatschmelzflüssen . . .** BB XXIII 79
Nesodon
 — Patagonien, Extremitäten 1907 II 138
 — Zahnsystem 05 II 454
Nesodonschichten, Tertiär, Patagonien . . BB XXI 174
Nesopithecus australis u. Robertsi, Madagaskar 06 II 446
Nesselberg am Deister, Geologie 07 I 418
Netz der Nummuliten . . 08 I 139
Neu-Bamberg, Pfalz, Geologie 07 I 266
Neu-England, Geologie des südwestlichen . . 05 II 105
Neuwelt b. Basel, Alter d. pflanzenführenden Schichten im Keuper CBI 1906 1
Neuffen, Wärmezunahme im Bohrloch 1906 II 47. 48
Neu-Guinea, Kreide . . . 07 I 129
Neu-Guinea, Niederl., Geologie BB XXII 393
Neu-Hebriden, Geologie 07 II 271
Neu-Kaledonien
 — Eocän 07 I 114
 — Erzlagerstätten . . . 07 II 249
 — Geologie 05 II 273
 — untere Kreide 06 I 294
NEUMANN, FRANZ, Lebensbild CBI 1904 410
Neumarkt (Oberpfalz), Doggerprofile 05 I 60
Neumayria, Bedeutung 06 I 316
 — Ordoñezi u. profulgens 07 II 469
 — — profulgens u. subbrasilis, Jura, Sierra de Mazapil u. Santa Rosa 07 I 279
 — pseudoolithica und Zitteli, Kimmeridge-Portland, argent. Kor-dillere BB XXIII 199
 — subbrasilis 07 II 470
Neumayr's Stellung in der Paläontologie . . CBI 1907 464
Neurankylus eximius, Belly river series, Red Deer river, Nordamerika 07 I 439
Neurode, Gabbrozug . . . 08 II 189
 1909 I 58 BB XXVI 433
Neurodontopteris Kosmanni und obliqua, Carbon, Vorkommen 1909 II 492
Neuropteris, Oberdevon, Ostthüringen BB XXIV 272
 — heterophylla u. tenuifolia, Carbon, Vorkommen 09 II 492
Neuseeland
 — Formationen 06 I 436
 — Fossilien v. Wharekuri, Nord-Otago . . 09 I 104
 — Geologie nach HEM . . 06 II 424
 — — von Dunedin (Sü-dinsel) 08 I 229
 — — v. Dunedin, North Head, Waikuaui Inlet — u. Gesteine der Otago-Halbinsel . . . 08 I 229
 — geolog. Landesanstalt — paläontolog. und petrograph. Literatur b. z. Jahr 1907 . 1909 II 265. 433
 — Gesteine 07 I 395
 — jurassische Maitai-Schichten d. Südsinsel — Kohlenfelder 05 II 275
 — Kohlenfelder 05 II 277
 — marines Tertiär, Otago u. Canterbury — Mesozoicum von Nelson etc. (Nordinsel) . . 05 II 418
 — nutzbare Mineralien . . 08 I 399
 — Permocarbon, Mount Mary, Otago, Südsinsel — Staubfälle 1902 . . . 05 I 406
 — Sunde, Seenu. Cañons, Produkte der Eiszeit — Überreste ausgestorbener Vögel 09 I 130
 — Vulkane d. Nordinsel 07 I 220
Neusiedler See, Geologie und Wasser, event. Trockenlegung 05 II 122
Neu-Süd-Wales
 — Geologie u. Gesteine 07 I 397 ff.
 — — von Neuengland . . 07 I 402
 — Kreide, Invertebraten 05 I 318
Neuvorpommern u. Rügen, Uckermark u. Mecklenburg, Quartärbildungen 08 I 96 ff.
Nevada, marine Trias . . 06 II 99
Nevado di Toluca, Stauekuppen Festband 321
Newark-System, Ausdehnung 06 I 268

- Newtoniella diplophy-
mata, Eocän, Paris . 1907 II 303
- Newtonit CBI 1909 332
- New York
- Bewegungen des
Landes 07 I 51
- Devon 05 I 289
- Geol. d. östlichen 05 II 413
- — d. Schoharie-Tales 07 I 108
- Naples Fauna im
westlichen 05 I 148
- Niagara-Dolomite, In-
diana, Jakbrink 05 II 104
- Niagara-Domes, Nord-
Indiana, Geologie 05 II 475
- Niagarafall
- Geol. der Umgegend 06 I 259
- Rückschreiten 09 II 210
- Niagara-Fluß, Bildung 06 I 260
- Nicaragua, Erdbeben-
serie von Masaya, 1.—5
Januar 1906 CCI 1906 257
- Nickelblüte
- Kristallform CBI 1906 198
- Markirch 09 I 25
- Nickelchlorid, Kristall-
form, Deformationen
u optisch 06 I 92
- Nickeleisen
- Fraser, Britisch-Co-
lumbia (Sonesit) 06 II 155
- Josephine Co. Oregon
u. South Fork, Smith
River, Del Norte Co,
Kalifornien (Awaruit) 06 II 155
- im Meteoreisen 05 I 123
- Meteoreisen v. Youn-
degin u. Meteorstein
v. Zomba, Fe_5Ni_3 09 II 185
- Orot-Fluß, Sibirien 09 I 353
- Nickeleisenlegierungen 06 II 157
- Fe_5Ni_3 in Meteoriten,
Youndegin u. Zomba CBI 1908 731
- Nickelferrit im Eisen 05 I 127
- Nickelerze
- Sudbury-Distrikt, Ca-
nada . 1906 II 181; 09 II 387
- Sudbury, Beziehg. zu
Kupfererz 08 I 81
- Nickelerzlagerstätte
- Schweden (Slättberg
u. Kuso) 05 I 98
- Sohland a. Spree . 1905 I 94. 98
- Nickelglanz, s. Millerit.
- Nickelgymnit CBI 1909 331
- Zusammensetzung 08 II 32
- Nickelhaltige Sulfidlager,
Sudbury, Kanada . . . 1909 II 387
- Nickelit-Siderite=Super-
lacunite 05 I 148
- Nickelsmaragd, Werchne
Dnjeprowsk auf Me-
teoreisen 05 I 398
- Nickelstahl, Struktur 06 II 157
- Nickelsulfid, künstlich,
Schmelzpunkt 09 II 183
- Nicklesia alcantensis u.
lenticulata, Kreide 07 II 150
- Nicol, Justierung am
Mikroskop 08 II 145
- Niederfellabrunn, Tithon-
klippen 06 I 439
- Niedergebiete, tektoni-
sche CBI 1909 277
- Niederländisch-Indien
- Geologie CBI 1909 356. 563
- — des östlichen 09 I 243
- Jura 07 II 447
- Niederösterreich, Mine-
ralien CBI 1909 397. 439. 689. 710
- Niederrhein, Lias u Rhät
Niederschlag von Au, Ag
u. Cu aus Lösungen 08 II 8
- Niesenketten, Schweiz,
Alter 09 I 401
- Nilkatarakt bei Assuan,
Strudellöcher 05 I 409
- Nilssonia, Schweden 09 II 154
- fallax und pumila,
Schweden 09 II 155
- Inouyei, Rhät, Nagato,
Japan 07 II 341
- nigracollensis, Da-
kota-Formation, Black-
hills 07 II 505
- orientalis var. minor 07 II 503
- sambucensis u. Stan-
toni, Kreide, Queen
Charlotte Islands 07 II 504
- Sturi = Pterophyl-
lum irregulare, Lun-
zer Schichten 09 II 156
- Niobate, Südnorwegen,
Granitpegmatitgänge 08 I 336
- Niobit
- Little Tree Mine,
Kalifornien 08 II 38
- Norwegen, Granit-
pegmatitgänge des
südlichen 08 I 343
- Nipponites, Kreide, Hok-
kaidō, Japan 05 I 531

- Nisopsis fluviatilis, Cenoman, Südfrankreich 1907 II 131
- Niti, Cephalopoden 1905 II 319. 320
- Nitrat
- Vorkommen in Kalisalzlagerstätten . . . 09 II 186
- u. Chlorat v. Kalium, Isomorphismus . . . 08 I 318
- Nitrate
- der Alkalien, Isomorphismus u. Polymorphismus . . . 06 II 164
- — Modifikationen u. Isodimorphismus . . . 06 II 318
- von Am, Tl u Cs, Mischkristalle beim Schmelzen . . . 09 I 163
- von Pb u. Ba, Isomorphismus . . . 08 II 171
- Polymorphismus . . . 05 I 12
- Nitratgehalt der Kalisalzlagerstätten . . . 09 II 186
- Nitrifikation im Boden . . . 08 II 186
- Niveauänderungen bei Acicastello . . . 06 II 349
- Niveauschwankungen
- positive od. negative an den Küsten BB XXVIII 574
- Algerien . . . 07 II 396
- Neu-Seeland u. Australien, des Meeres . . . 07 II 45
- Nordseeküste siehe Nordseeküste.
- Niveauveränderungen d. Meeresbodens . . . BB XXV 387
- Nizza, Pliocän, marin. Quartär u. Strandlinien . . . 05 II 289
- Nodosaria, Revision von D'ORBIGNY's Spezies 08 I 309
- ambigua, calomorpha, inarticulata u. proxima var. non-costata, Globigerinenmergel, Bahna, rumän. Karpathen . . . 09 II 143
- Kinkelini, Rupelton, Mainzer Becken . . . 09 II 324
- Nodosariden, Tertiär, Trinidad, Phylogenie 05 II 489
- Nodosarien-Habitus, Entwicklungsreihen 05 II 155
- Nodosen, Abstammung u. Ceratites antecedens CBI 1907 528
- Nokutusvara, Eisenerzlagerstätte, Lappland BB XXIV 548
- Nomadisierende Schubmassen, Ostalpen . . . 1908 II 395
- Nomenklatur, petrograph. der Amphibolgesteine der krist. Schiefer . CBI 1905 407
- trinomiale, bei Petrofakten . . . 09 II 312
- Nomismoceras Smithii, Perm, Lililinthi, Central-Himalaya . . . 05 II 280
- Nonionina, Globigerinenmergel, Bahna, rumän. Karpathen . . . 09 II 150
- polystomelliformis, Rupelton, Mainzer Becken . . . 09 II 325
- Nontronit, Concepcion del Oro, Mexiko, aus Wollastonit durch Einwirkung v. Eisensulfatlösung . . . CBI 1909 161
- Nordamerika
- Bohrproben u. -Profile 1904 . . . 09 II 378
- foss. Säugetiere, Fortschritte . . . 07 I 454
- Hölzer d. westlichen Verein. Staaten . . . 09 I 149
- Humboldt Range u. Nachbargebirge, Geol. 06 II 96
- Jurapflanzen . . . 07 II 501
- Kreide, Buda limestone 06 I 308
- Kreidepflanzen des nordöstlichen . . . 08 I 454
- marine Trias i. westlichen . . . 06 II 98
- Mineralproduktion 1903 1905 II 22. 29. 32. 35. 36
- miocene Pferde . . . 05 II 468
- Molybdän- u. Wolframhalt. Mineralien, Produktion . . . 06 I 355
- Nordkarolina, Gesteine . . . 1906 II 216. 218
- praktische Geologie. 08 II 376
- Quecksilber, Produktion 1903 . . . 06 I 356
- Schieferindustrie . . . 08 II 377
- Schwefel, Schwefelkies u. Magnetkies, Produktion 1903 . . . 06 I 328
- Strukturlinien d. atlant. Küstenregion . . . 07 I 378
- Tertiär v. Wyoming, Montana u. Canada, verglichen . . . 05 II 429

Nordamerika		Norit, Ural, nördlicher	1906	I	387
— Tone der Vereinigten Staaten	1906	I	239.	240	
— Triasflora	1907	II	499.	502	
— Wirbeltiere, Uebersicht	1905	II	298		
— u. Pflanzen, Belly river series u. Judith river beds, im westlichen	07	I	440		
Nordatlant. Ocean, Sedimente, Tier- und Pflanzenwelt	05	I	424		
Nordcarolina, Gesteine	1906	II	216.	218	
Norddeutschland					
— Braunkohle	CBI	1908	152		
— Facettengeschiebe im Diluvium von Rügen	06	I	71		
— Gliederung d. unteren Kreide					
CBI 1908 107. 140. 162. 211. 753					
— Jura, ob. Lias u. unt. Dogger	BB	XXVIII	286		
Nordfriesische Tuuls, Entstehung	05	I	15		
Nordmarkit					
— Ampasindava (Madagascar)	05	I	435		
— Brome Mountain, Montereyan Hills, Quebec	07	I	240		
— Kristiania, Kontaktbildung	CBI	1909	405		
— Montereyan Hills, Quebec	1907	I	240		
— Red Hill, Moultonboro, N H.	09	II	388		
Nordmarkitporphyr, Diluvium, Westfalen .	CBI	1907	177		
Nordseeküste, Senkungserscheinungen					
1908 II 99;	09	I	109		
Norische Stufe, westl. Amerika	08	I	260		
Norit					
— Connecticut, Cortlandt Series	08	I	72		
— Lausitzer Granitgebiet	08	I	56		
— Penmaenmawr (Wales), Quarz-, u. seine Schlierenbildung . .	05	I	93		
— St. David's Head, Wales	06	II	211		
— Skye	06	II	65		
— Sudbury, Beziehg. zu Magnetkies	08	I	81		
Norhampton, Austr., Blei- und Kupfererz-lagerstätten	05	I	442		
Northupit					
— Beziehg. zu Tychit .	06	II	162		
— Isomorphismus mit Tychit	08	II	172		
Norwegen					
— Erdbeben 1903	04	I	53		
— — 1904	06	I	202		
Nosean-Melilithbasalt, Grabenstetten	06	II	205		
Noseantrachyt, Sudan .	06	I	391		
Notamynus Dicksoni u. Holdichi, Kreide, Lago Musters, Patagonien	05	I	497		
Nothosauride, Kössener Schichten	CBI	1907	337		
Nothothyris uralica, Obercarbon, Ural und Timan	05	I	533		
Nothrotherium? shastense, Kohlen-Diluvium von Potter Creek, Kalifornien	07	I	299		
Notidanus diffusidens u. paucidens, untermediterr. Sandstein, Tarnóc, Kom. Nógrád .	05	II	479		
— griseus, Pliocän . . .	05	II	315		
— subrecurvus, Malan, Brünn	08	I	422		
Notocyon annectens . . .	07	II	489		
Notohippidae, Kreide, Patagonien	05	I	167		
Notohippus-Schichten, Tertiär, Patagonien	BB	XXI	174		
Notohyrax, Kreide, Patagonien	05	I	167		
Notopithecidae, Kreide, Patagonien	05	I	167		
Notorrhina granulicollis, balt. Bernstein . . .	07	I	323		
Notorhinus denticulatus und Haroldi, Kreide, Lago Musters, Patagonien	05	I	497		
Notostylopidae, Notostylops, Kreide, Patagonien	05	I	168		
Notostylops-Fauna, Patagonien	05	I	138		
Notostylopsschichten, Kreide, Patagonien					
1905 I 170	07	II	142		

- Notothyris nucleolus*, ob. Carbon, Kukurtuk-Tal, sdl. Tian-Schan BB XXII 359
 — *Walkeri*, Perm, Chitichun-Klippe, Central-Himalaya 1905 II 278
Notoungulata, Patagonien, Kreide u. unt. Tertiär 05 I 497
 — Südamerika 05 I 172
Novanglian, Belknap Mts., New Hampshire 08 I 384
Novigrad-Benkovac, Dalmatien, Geologie 05 I 454
Nubecularia caespitosa, stockbildend, sarmat. Stufe, Wolfsthal bei Preßburg 06 II 310
Nubischer Sandstein CBI 1905 359
 — — Oberägypten CBI 1905 115
 — — Ostafrika BB XXVIII 153
Nucinella Pissaroi, Eocän, Loire inférieure 06 I 154
Nucula appenninica und *simplex*, Lias, Zentralapennin 06 II 145
 — *cillebergensis* 07 II 453
 — *coislinensis*, Eocän, Loire inférieure 06 I 154
 — *gibbosa*, Culm, Königsberg b. Gießen BB XXVIII 638
 — *indica*, Saltrange 09 I 12
 — *inflata*, Koeneni, Krischtafowitschi u. *triangula*, Palaeocen, Saratow 05 II 121
 — *Michalskii*, Tertiär, Mandrikowka 06 I 468
 — *Perkeo*, ? Eocän, Kamerun 06 II 123
 — *Ristorii*, Werfener Schichten, Bucieri, Montenegro 05 II 108
 — *securicula*, Eocän, Loire inférieure 06 I 155
 — *subcancellata*, Kreide, Schaumburg-Lippe 06 I 441
 — *subcornuta*, Devon, Ostthüringen BB XXIV 293
 — cf. *taliabutica*, Suluinseln 05 I 151
Nuculana securis, Unterdevon, Dalhousie 08 I 414
Nuculites Branneri und *capensis*, Devon, Bolivia BB XXV 525
Nürschan, Alter der Gaskohle 1908 II 266
Numeit
 — in Form eines Insekts 05 I 365
 — Neu-Caledonien, Körner im eocänen Sandstein 07 I 32
Nummulina pristina = *Nummulites variolaris* 08 I 140
Nummulinidae, System 05 II 329
Nummuliten
 — abnorme Erscheinungen 09 I 136
 — Abstammung BB XXV 250
 — Auftreten in Westeuropa 07 I 159
 — Dimorphismus 07 I 329
 — Einteilung 08 II 286
 — genetzte 08 I 139
 — neue Skala 05 II 156
 — Verbesserung der Nomenklatur 09 II 486
 — Zusammenvorkommen mit miocän. *Lepidocyclinen* (L. *Morgani*) 07 I 159
 — Aniene-Tal 08 II 287
 — Apennin, Forca di Presta und Potenza, Einteilung 05 II 326
 — Apennin, liguro-piemontesischer 08 II 286
 — Appennino Pavese 06 I 156
 — Biarritz, Tertiär 06 II 311
 — Borneo . 1907 I 161
 — Colli Berici 07 II 159
 — England, Dimorphismus etc. 07 I 329
 — Indien, Vorkommen 08 II 291
 — Oesterreich 05 II 156
 — Osteuropa 09 II 486
 — Piemont 1907 II 159, 160
 — Piemont, Turin 08 II 288
 — Termini-Imerese, Casasco 09 II 144
 — Vernitza am Golf von Xeros, Eocän 05 II 489
 — Westeuropa 07 II 158
Nummulitenbildungen, südwestl. Frankreich 05 I 131
Nummulitenfauna, Scaglia, Zentralapennin 06 I 156
Nummulitenfaunen, Biarritz, Aufeinanderfolge 08 II 405

- Nummulitenhorizonte,
belgisch-französisches
Becken 1906 I 114
- Nummulitenkalk
— Balkanhalbinsel, süd-
westliche BB XXI 249
— Florenz 09 I 137
— Provinz Palermo 07 II 496
- Nummulitenschichten
— Alpen 09 I 108
— Apulien 08 I 448
— Biarritz und Senegal
— — und Vicentin 08 I 434
— franz. Südalpen 08 I 433
— Termini-Imerese 09 I 295
- Nummulitenzonen, öster-
reichisches Küsten-
gebiet 06 I 258
- Nummulites aturica, per-
forata u. spissa 05 II 155
— Baldaccii, Carapazzai
u. Dollfusi, Vallone
Tre Pietre 09 I 296
— curvispira, Unterein-
teilung 05 II 159
— Douvilléi, Kachh, In-
dien 08 II 291
— Fabianii, Priabona 08 I 138
— Hantkenia = Paro-
naea 05 II 155
— laevigatus, strati-
graph. Bedeutung 08 II 91
— — Frankreich, strati-
graph. Bedeutung 09 II 485
— Ramondi = N. Guet-
tardi 09 II 486
— sub-Formai, Osimoi
u. sub-Osimoi, Pre-
veri u. sub-Preveri,
Borneo 08 II 288
— subsicula, Eocän, Ca-
casacco 09 II 144
— Tchihatscheffi = la-
tispira 05 II 155
— Vredenburgi, Kachh
09 I 142
- Nummulitidae D'ORBIGNY
1826 06 II 310
— Systematik 08 I 307
Nummulitinae 08 II 286
Nummulitinen, Borneo 09 II 489
Nummulostegina BB XXV 252
— Carbon, Dalmatien 07 II 339
— velebitana, österreich.
Velebit 08 II 289
- Nurra, Sardinien, Meso-
zoicum BB XXIII 445. 453. 457
- Nusplingen, Ganoiden u.
Teleostier des lith.
Kalkes 1909 I 452
- Nyctodactylus (Nycto-
saurus), ob. Kreide,
Nordamerika 1905 I 518. 520
- Nyctosaurinae u. Nycto-
saurus, Nordamerika
1905 I 518. 520
- Nyctosaurus, Hand CBI 1906 411
- Nymälaporphyr, Dilu-
vium, Westfalen CBI 1907 173
- Nymphaea, Marini, unt.
Eocän, Paris 09 II 157
- Nymphaeites nupharoi-
des, Sparnacien, Paris 09 II 157
- O.
- Oak Hill-Gebiet, Kali-
fornien, krist. Ge-
steine 09 II 386
- Oamaru- und Pareora-
series, Tertiär, Neu-
seeland 06 I 433
- Ober-Buchfeld (Oberpfalz),
Doggerprofil 05 I 74
- Oberer See, siehe Lake
Superior.
- Oberflächenwasser, New
Haven, radioaktives
Gas 05 I 418
- Oberharz, Gangbilder CBI 1907 550
- Oberleinleiter, vulkan.
Erscheinungen 07 I 375
- Ober-Mölltal, Kärnten,
Geologie 08 II 358
- Oberösterreich, Minera-
lien 05 I 40
- Oberschlesien, Erzlager-
stätten im Muschel-
kalk 06 II 74
- Oberschwaben, Tertiär 05 I 304
- Obsidian
— Chemismus u. Brech-
ungskoeffizient 08 I 54
— Kaukasus 06 I 389
— Lipari, Entglasung 09 I 366
— Marianen, Angitan-
desit 05 II 75
- Obsidianstrom, Pauline
Lake, Oregon 05 II 396
- Ocean Island, Südsee,
Geol., Phosphate etc. 05 II 425
- Ochetoceras canalicula-
toide, Jura, Moskau etc. 05 I 131

- Ockerkalk
 — Kemberg b. Wittenberg, quartär . . . 1909 II 107
 — Ostthüringen, Silur BB XXIV 248
- Ocotea nassauensis,
 Kreide, New York . . . 08 I 456
- Ocotoxylon algovicum,
 Flyschsandstein, Algäu 09 I 468
- Ocstocephalus, Linton . . . 08 II 272
- Octodontidae, Tertiär,
 Patagonien 07 II 322
- Odenwald
 — Gesteine CBl 1906 689, 737, 761
 CBl 1907 65, 116
- granitische Injektion
 in Schiefer 06 II 58
- Oberflächengestaltung 09 I 199
- Trachyte d. nördlichsten 07 I 57
- Oderbank nördl. Swinemünde 1905 II 293 1907 II 50
- Odinit, Odenwald . . . CBl 1907 123
- Odontaspis macrota, siehe
 Lamna macrota.
- Odontoceten, Boldérien,
 Antwerpen 07 I 130
- Odontochile, Devon, Ostthüringen BB XXIV 307
- Odontomyopidae, Notostylops Schichten, Argentinien 05 I 157
- und Odontomyops,
 Kreide, Patagonien . . . 05 I 169
- Odontopteris Brownii,
 Rhät, Südafrika 08 I 454
- minor, Carbon, Vorkommen 09 II 492
- thinnfeldioides, Saarbrücker Schichten . . . 09 I 303
- Odontostoma Kocksi u.
 Koeneni, mittelolig.
 Meeressand, Waldböckelheim u. Kreuznach 07 II 335
- namnetensis, Eocän,
 Loire inférieure 07 II 302
- undiferum var. laevior, Palaeocän, Ruggaard, Kattegat 08 II 103
- Odontostomia microscopica, Eocän, Paris 07 II 303
- Odynerus palaeophilus u.
 praesepultus, Tertiär,
 Florissant, Col. 07 I 321
- Oecoptychius refractus,
 Kelloway, Macon 06 I 315
- Oecotraustes binodosus,
 Jura, Bucegi-Stock . 1906 II 121
- Ödemmetamorphose und
 Nephritbildung, Liguren 09 I 189
- Oedischia ingbertensis,
 Hauptflözgruppe der
 Steinkohlenformation,
 St. Ingbert, Pfalz 06 I 104
- Ögmundarhraun, Vulkan,
 Island BB XXVI 2
- Oehrnit, Daschkessan,
 Kaukasus 07 II 183
- Oelfelder
 — Lothian-Grafschaft 05 I 443
- Texas u. Louisiana,
 Gulf Coastal Plain 06 II 383
- siehe auch Erdöl.
 — u. -quellen, siehe auch
 Erdöl.
- Oelquellen, radioaktive
 Emanation 05 II 343
- Oelsaures Ammonium,
 flüssige Kristalle 09 I 6
- Oelschiefer
 — Vanadiumgehalt 07 I 411
- Lothian (Schottland) 05 I 442
- Natal 07 I 85
- Oenoscopus, lith. Kalk,
 Nusplingen 09 I 455
- Oesterreich
 — Bau der Ostalpen u.
 des Karsts 06 II 233
- Insel- und Küstengebiet, Geologie 07 I 89 ff.
- Otolithen von Macruriden u. Beryciden.
 Tertiär 07 I 480
- Tertiär 05 II 434 ff.
- Ofen, Bitterwasserquellen,
 Entstehung 06 I 404
- Ofener Gebirge
 — Jura u. Tektonik . . CBl 1908 391
- Jura etc., Richtigstellung CBl 1909 182
- Ogallala-Formation, Tertiär,
 Wyoming-Nebraska 06 I 268
- Ohio
 — Petroleum u. Brenngase 06 II 386
- Zementfabrikation 06 II 72
- Okenit
 — Albinisierung . . . CBl 1906 80
- Färöer 09 I 29
- Großpriesen u. Albinisierung CBl 1905 80

- Okenit, Krebshöhe bei
Schönpriesen, Böhm.
Mittelgebirge . . . CBI 1909 157
- Oктаедрит
— Struktur u. Zusam-
mensetzung (Meteor-
eisen) 1906 I 197
- Billings, SW.-Missouri 07 I 366
- Cañon City, Cal. . . 07 I 366
- Narraburra- od. Yeo
Yeo-Creek, Austr.,
dodekaedr. Lamellen 07 I 357
- Rodeo, Durango, Mex. 07 I 362
siehe auch Meteor Eisen.
- Okular, Mikroskop- mit
Quarzkeil - Kompen-
sator CBI 1906 745
- Olcostephanus clementi-
nus, expansus, lejanus,
mokschenensis, ribki-
nianus u. subtzikwianus,
Neocom, Zent-
ral-Rußland 05 I 350
- malonianus, Malone
beds, Jura, Texas . . . 07 I 285
- Michalskii, neritzen-
sis, petschorensis, rect-
angulatus u. simplex,
Neocom, Petschora-
u. Dwina-Becken . . . 05 I 350
- unicus. Kreide, Hok-
kaidō 05 I 531
- Oldfieldthomasia, Kreide,
Patagonien 05 I 167
- Oldhamit, Alleganmeteo-
rit, chem. 09 I 361
- Oldobotes, amerik. Eocän
Oleacina ovulina, Alt-
tertiär, Giengen b. Ulm 08 II 104
- Olenekschichten, Sibirien,
Alter CBI 1908 233
- Olenopsis, Tertiär, Pata-
gonien 07 II 326
- Olgiasca (Comer See),
Mineralien des Peg-
matit 05 I 203
- Oligocän
— Bayern, Faziesent-
wicklung d. Molasse
im südlichen CBI 1906 576
- Belgien, Mensch, Eo-
lith 1908 I 279. 280
- Jütland 07 II 452
- Sainte-Croix-du-Mont 07 II 452
- Strangenberg b. Ru-
fach, Oberelsaß . . . BB XXVI 53
- Oligocänmolasse, Fazies-
entwicklung in Süd-
bayern CBI 1906 576
- siehe auch Tertiär.
- Oligocarpia coriacea,
Lunzer Schichten . 1909 I 465
- Oligoklas
— Biella, Piemont, Dru-
sen im Syenit 06 II 38
- zusammengesmolzen
mit Enstatit u. Augit BB XXVII 604
- Oligoklasalbit, Piona
(Comer See), im Peg-
matit 05 I 203
- Oligomeria (Trilobiten) CBI 1907 131
- Oligosiderit, Beziehg. zu
Lherzololith CBI 1905 92
- Olivella Zintgrafi, ? Eo-
cän, Kamerun 06 II 123
- Olivinit, Otavi, Südwest-
Afrika CBI 1906 389
- Olivin
— Achsenwinkel bestimmt
aus der Doppelbrechg. 07 I 188
- als Metasilikat 07 I 25
- im Cement (Kalk-) . . 08 II 379
- gemischt mit Anorthit
u. Orthoklas, Schmelz-
punkte 07 II 7
- isomorphe Gruppe,
Zusammenschmelzen 09 II 163
- Neubildung in Schmelz-
flüssen 08 II 13
- Schmelzpunkte 07 II 172
- in Silikatschmelzen
BB XXII 219. 224. 231. 242
- Verteilung d. Fe-Ge-
halts 08 I 63
- verwachsen mit mo-
noklin. Augit im Basalt 07 II 59
- zusammengesmolzen
mit Albit BB XXV 264
- — — u. Eläolith BB XXV 267
- — — u. Magnet-
eisen BB XXII 238 BB XXV 265
- — — Anorthit . . . CBI 1906 151
- — — u. Heden-
bergit CBI 1906 134
- — — Augit u. Mag-
neteisen BB XXII 211
- — — Diopsid BB XXIII 50
- — — u. Anorthit BB XXIII 58
- — — u. Nephelin BB XXIII 61
- — — u. Ortho-
klas BB XXIII 63

- Olivin
 — zusammengesmolzen mit Diopsid u. Magnet Eisen BB XXIII 56
 — — Labrador und Augit 1908 II 8
 — — — Leucit u. Akmit CBI 1906 140
 — — — Magnet Eisen BB XXII 224
 — — — Orthoklas und Magnet Eisen BB XXV 273
 — — — — und Anorthit BB XXV 277
 — Canale Monterano (Rom), im Tuff 06 I 170
 — Chiesa, Val Malenco, Titan 05 II 25
 — Färöer 09 I 29
 — Grönland, Beziehung zu Eisen im Basalt 08 I 235
 — Hessen, rote Olivinverwitterung in Basalt CBI 1907 372
 — Kalifornien und Arizona, Edelstein 07 II 42
 — Massachusetts, Chester u. Middlefield, im Serpentin 09 I 15
 — Montefiascone, Krist. 06 II 17
 — Rotes Meer, Insel St. Johns (Seberget) 1908 I 196. 197
 — siehe auch Kalkolivin, Forsterit etc.
 Olivinbasalt, Neu-Süd-Wales, Sydney 07 I 400 ff.
 Olivinbomben und -einschlüsse, Kapfenstein, Steiermark CBI 1908 297
 Olivindiabas, Oberharz 07 II 402
 — siehe Diabas.
 Olivinfels, siehe Peridotit.
 Olivingabbro, Neurode BB XXVI 467
 Olivingestein, Koswinsky Kamen (Ural) 05 I 75
 — siehe auch Peridotit.
 Olivinkersantit, Kiautschou 06 II 368
 Olivinknollen
 — Böhmisches-Leipa, im Basalt 08 II 62
 — Finkenbergr. b. Bonn. im Basalt CBI 1908 418
 — Gausberg 08 I 76
 Olonez, praecambr. System etc. 1909 I 218 CBI 1906 600
 Olonosgebirge, Messenien, Trias BB XXI 220
 Olonoskalk, Trias, südwestl. Balkanhalbinsel BB XXI 218
 Ommatodiscus multipora und pseudospiralis, Miocän, Italien 1909 II 490
 Omomyinae, amerikan. Eocän 05 I 333
 Omomys Ameghinoi, Carteri, pusillus u. uin-tensis, amerik. Eocän 05 I 333
 Omphacit, Bingera, Austr., im Eklogit 07 I 396
 Omphalocyclus 08 I 308
 — macropora, Kreide, Termini-Imerese (Palermo) 08 I 448
 Omphaloptycha pusilla, Grenzdolomit, Schwaben BB XXV 109
 — Smithii, Muschelkalk, Himalaya 08 II 241
 Omphalotrochus-Horizont, Obercarbon, Ural u. Timan 05 I 536
 Onegische Abteilung, Präcambrium, Gouv. Olonez CBI 1907 37
 Ontaria, Naples-Fauna . CBI 1905 389
 — — westl. New York 05 I 150
 Onychocella Boulei, Turon, Abu Roasch, Aegypten 05 II 484
 Onyx, mexikanischer, Pueblo, Mexiko 09 I 32
 Ooide
 — norddeutscher Buntsandstein 08 II 120
 — Rheinpfalz, Permo-carbon 08 II 114
 Oolith
 — niederrheinisches Tertiär, verkieselter 08 I 268
 — Norddeutschland, Buntsandstein 08 II 144
 — Sankyo, Japan, Kiesel 07 I 197
 — Schwäb. Alb, Jura 08 II 87
 Oolithbildende Ophthalmidien, Dogger der Schwäb. Alb 1909 I 297 CBI 1908 584
 Oolithische Eisenerze, Diélette, Entstehung 09 I 393
 Oolopygus Saveni, Kreide, Ostfrankreich 05 II 326
 Oonia minima, Grenzdolomit, Schwaben BB XXV 110

- Opake Mineralien
 — elektrische Leitungsfähigkeit 1907 I 11
 — mikroskopische Untersuchung 07 II 351
- Opal
 — Einwirkung v. Flußsäure 05 I 20
 — erdig (Opalmehl, Gros-souvreit), Entstehung als Gel CBI 1909 327
 — Verhältnis zu faserigen Kieselsäuren BB XXV 182
 — — zu Quarz u. Chalcédon CBI 1908 632
 — Böhm. Mittelgebirge, Hyalit in Erdbrandgesteinen 08 I 175
 — Ceylon 06 I 180
 — — im verkieselten Kalk 05 II 392
 — Färöer 09 I 29
 — Lessachtal i. Lungau (Salzburg), grün CBI 1908 282
 — Neu-Mexiko 09 I 32
 — Prinz-Rudolfs-Insel 06 I 35
 — Rhodesia, Broken Hill-Grube, Zn-haltig 09 II 36
 — Tabor-Gegend, Böhmen 09 II 366
 — White Cliffs, Neu-Süd-Wales, Cimoliosaurus-wirbel in edlen O. verwandelt 07 I 145
 — siehe auch Hyalith etc.
- Opalbreccie, Gleichenberg (Steiermark)
 CBI 1908 716 CBI 1909 76
- Operculina complanata u. var. Zitteli, Umfang
 — Formai u. Preveri typ. mit var. elegans, ligur.-piemontesischer Apennin 08 II 287
 — Paronai, Vallone Tre Pietre 09 I 295
 — var. heterostegina 08 I 448
- Ophiceras Dieneri und Spencei, Meekocerasbeds, Kalifornien 06 II 303
- Ophiderpeton, Nürschan 08 II 270
- Ophiderpetontidae, Wirbelsäule u. Rippen 08 II 270
- Ophiocten (?) bellefourchensis, Jura, Black Hills 08 I 264
- Ophiolithische Massengesteine
 — Alpen, geolog. Bedeutung 1909 II 86
 — Westalpen 07 II 442
- Ophiopsis tenuiserrata, lith. Kalk, Nusplingen 09 I 453
- Ophit
 — Pyrenäen (Bellongue u. Ger-Tal) 05 I 428
 — — (Reynès u. Latour) 05 I 430
- Ophiuriden
 — Devon, St. Minver, Nord-Cornwall 06 I 301
 — Silur, Australien 08 I 138
- Ophthalmidien, oolithbildende, im Dogger, Schwaben
 1909 I 297 CBI. 1908 584
- Ophthalmidium in Oolithen, Jura, Schwäb. Alb. 08 II 93
 — oolithicum, Dogger, Schwaben 09 I 297
- Opis Canavarii, Lias, Casale bei Busambra (Palermo) 06 I 319
 — triptycha, Buloger Kalk, Bosnien 05 I 106
 — upwarensis, Kreide, England 08 I 133
- Opissaster almerai, Molasse, Veuce 07 II 157
- Opisthoctenodon brachyops, Südafrika 07 I 318
- Opisthoparia (Trilobiten) CBI 1907 129
- Oppelia, Abstammung der Gattung CBI 1909 641
 — aspidoides, ob. Dogger, Niort u. Krakau CBI 1909 643
 — Bösei, Jura, Sierra de Mazapil u. Santa Rosa, Mexiko 07 I 279
 — Colleti, Callovien. Fancille-Kette 06 I 439
 — galoi 07 II 447
 — glabra, ob. Malm, Juragebirge 09 I 84
 — gracilis (Taramelliaceras), Malm, Brünn 08 I 422
 — Lorioli, ob. Oxford, Cheziny, Polen 08 II 90
 — Mariorae u. Redlichi, Jura, Bucegi-Stock 06 II 121
 — patagoniense, untere Kreide, Patagonien BB XXV 634

- Oppeln, Säugetiere des
Miocän 1905 II 453 1908 II 425
- Oppites Melilli, mittel-
eocän. Disodil, Melilli,
Sizilien 05 II 152
- Optischer Achsenwinkel
siehe Achsenwinkel,
optischer.
- Optisch-aktive monoklin-
hemiedrische Kri-
stalle, Struktur . . . 07 II 351
- Optische Anomalien reg-
ulärer Kristalle . . . 07 I 182
- Optische Bestimmung u.
chem. Analyse 05 II 169
- Optischer Charakter
— doppelbrechender
Mineralien 1906 II 148 08 II 141
- zweiachsiger Mine-
ralien 07 I 226
- Optische Eigenschaften
— Aenderung mit der
Temperatur 08 I 163
- der Doppelsalze von
Ammoniak und Cer-
erden 08 II 1
- der Kristalle im kon-
vergenten Licht . . . 07 I 187
- Optische Isomerie d. Ben-
zoylmethylhexanon-
oxyms CBI 1905 178
- Optische Untersuchung
von Mineralien unter
dem Mikroskop
CBI 1906 246, 522, 551, 745
- Optische Untersuchungs-
methoden von BECKE . . 05 II 333
- Orangit, Kaukasus, im
Monazitsand 05 I 386
- Orbicella texana, Buda
limestone, Kreide,
Nordamerika 06 I 309
- Orbiculina 05 II 154
- Orbiculoidea Bains, De-
von, Bolivia BB XXV 537
- Orbitoclypeus himerensis,
Obereocän, Calca-
sacco, Sizilien 07 II 341
- Tellinii 07 II 499
- Orbitoiden 05 II 488 ff.
- Einteilung etc. 05 II 152
- geol. Vorkommen . . . BB XXV 260
- Verteilung im Senon . . 07 I 159
- Aniene-Tal 08 II 287
- Biarritz, Tertiär 06 II 311
- Borneo 08 II 288
- Orbitoiden
— Indien, Kreide 1909 I 142
- ligurisch-piemonte-
sischer Apennin 08 II 286
- Oesterreich 05 II 156
- Sizilien, Eocän 06 II 455
- — ob. Senon 07 II 339
- Orbitoidenkalk
— Calcasacco (Sizilien),
Kreide 08 I 448
- Formosa u. Riu Kiu . . . 06 II 309
- Orbitoides (O. Media) . . 05 II 152
- Adelis, euraciensis,
panormitana und si-
cula, oberes Senon,
Palermo 07 II 340
- apiculata, media und
minor, Dordonien 05 II 152
- dalmatina, Spalato . . . 06 I 258
- Guembeli 06 I 473
- Hollandi u. minima,
Kreide, Indien 09 I 143
- mamillata u. Tissoti,
Kreide 05 II 153
- Richthofeni, Binan-
gonan, Luzon 09 II 151
- Schuberti, Eocän, Ca-
casacco 09 II 144
- socialis 08 II 289
- Vidali, Aptien, Bel
(Spanien) 05 II 158
- Orbitoidinae 08 II 286
- Abstammung 08 II 291
- Orbitoidinen, Borneo . . . 09 II 489
- Orbitolina, Einteilung . . 05 II 158
- Schaltexur 07 I 159
- systemat. Stellung . . . 07 I 327
- Choffati, concava, co-
noidea, discoidea,
Douvillei, intermedia,
mamillata, Paronai,
plana u. polymorpha . . . 05 II 157
- Orbitolinen, Verteilung
in den Formationen . . . 05 II 158
- Orbitoliten, Einteilung . . 05 II 154
- Orbitolites (O. complanata)
— complanatus 05 II 154
- complanatus 08 II 290
- Orbitolitiden, Systematik
Orbulina bituminosa,
Rupelton, Mainzer
Becken 09 II 324
- universa, Globige-
rinenmergel, Bahna,
Rumän. Karpathen 09 II 155
- Orca gladiator, Kurische
Nehrung 09 I 437

- Oregische Abteilung,
Finnland CBI 1906 600
- Oregon, Simsbildung an
Gletschern 1905 I 56
- Orendit, Leucite Hills,
Wyoming 06 I 225
- Organische Gele CBI 1909 334
- Orgon (Bouches - du-
Rhône), Kreidefauna 06 I 318
- Oriokristalle in porphyr.
Gesteinen 07 II 417
- Oriskany Limonites, Ent-
stehung 05 II 403
- Ormondsbreccie, Alter 09 I 406
- Ornithischia CBI 1909 16
- ältester Vertreter,
Trias, Nanosaurus
agilis 08 I 134
- Ornithocephalus Kochi,
Originalplatte CBI 1909 189
- Ornithocheiridae, Ornitho-
cheirinae u. Ornitho-
cheirus, Nordamerika 05 I 520
- Ornithodesmus, Nord-
amerika 05 I 520
- Ornithoides trifidus, Car-
bon, Ost-Canada 05 I 339
- Ornitholestes Hermanni,
ob. Jura, Bone Cabin
Quarry, Wyoming 06 I 152
- Ornithologie u. antarkt.
Schöpfungszentrum 05 I 338
- Ornithopoda CBI 1909 16
- Ornithostoma (Pterano-
don) ingens 05 I 516
- Orthis eifeliensis, De-
von, Ostthüringen BB XXIV 280
- aff. Enryone, lenti-
cularis, lepida, pecti-
nata u. subcarinata,
Devon, Bolivia BB XXV 542
- Michelini, resupinata
u. spec., Culm, Königs-
berg b. Gießen BB XXVIII 624 ff.
- porcata var. sladensis
(Plesiomys), Unter-
silur, Haverfordwest
District 06 II 140
- resupinata, unter-
carb. Transgressions-
meer, Tian Schan BB XXVI 238
- striatula (Schizo-
phoria), Devon, Ost-
thüringen BB XXIV 279
- Orthit, Bastnäs-Grube,
photograph. Wirkung CBI 1909 148
- Orthit
— Erzberg bei Hütten-
berg (Kärnten), im
Gneis 1905 II 82
- Fahlun, chemisch 09 II 353
- Grönland CBI 1908 408
- Ilméngebirge (Ural-
orthit), photograph.
Wirkung CBI 1909 148
- Kragerö (Lindriks-
kollen) 08 I 193
- Kristiania, im Aplit CBI 1909 405
- Madeira-Fluß in Matto
Grosso, Zwilling im
Granitit 08 I 387
- Rhodesia, im Granit 05 II 38
- Sterzing, in krist.
Schiefern BB XXII 542
- Ytterby 09 II 355
- siehe auch Allanit.
- Orthobromit, Nagolnij
Krjasch, Donetz-
Becken 07 II 194
- Orthoceras, Anfangskam-
mer CBI 1907 527
- Devon, Ostthüringen BB XXIV 301
- acuarium, conicum,
cf. ellipticum, enke-
bergense, magnum,
Polyphemi, pseudo-
regulare u. venustum,
ob Oberdevon, Enke-
berg BB XXVI 623
- bokkeveldensis, De-
von, Bolivia BB XXV 502
- increscens, ladin. Stufe,
Dobrukscha 08 I 419
- rushensis, Perm,
Texas CBI 1908 687
- scalare u. spec., Culm,
Königsberg b. Gießen
BB XXVIII 643
- spitiense, Muschel-
kalk, Himalaya 08 II 241
- Waageni (Cycloceras),
Bellerophonschichten,
Bosnien 05 I 105
- Orthochetus mapulensis,
Senon, Süd-Persien 06 I 444
- Orthochlorphenolpara-
sulfosaures Kalium,
Krist. 07 I 99
- Orthoclymenia Dunkeri,
laevigata und Sand-
bergeri, ob. Ober-
devon, Enkeberg BB XXVI 619

- Orthodesma semiradiata,
Untersilur, Haverford-
west District . . . 1906 II 307
- Orthodiorit CBI 1905 410
- Orthogonalsystem bei der
Anordnung der Ge-
birge u. Meere . . . 05 II 202
- Orthokieselsäure durch
Zersetzung, natürl. Sili-
kate (Dioplas, Natro-
lith, Skolezit, Kiesel-
zinkerz, Willemmit u.
Monticellit) 07 I 24. 25
- Orthoklas
— chem. Unterschiede
von Mikroklin . . . 09 I 185
- Entstehg. b. Schmel-
zen u. Stabilitätsfeld . . . 07 II 162
- Kristalltracht b. ein-
fachen u. Karlsbader
Zwillingen 08 I 17
- Stabilitätsfeld . . . 07 II 11
- zusammengeschmolzen
mit Diopsid u. Olivin BB XXIII 63
- — Olivin BB XXV 270
- — — u. Magnet-
eisen BB XXV 273
- Biella, Piemont, Drusen
im Apatit 06 II 38
- Campolongo, im Dolom-
it 07 I 21
- Chisonetal (Piemont),
Pomaretto Kristalle . . . 09 II 204
- Concepcion del Oro,
Zacatecas, Mexiko,
auf Drusen im Gran-
natfels BB XXVIII 535
- Easton, New Jersey,
chemisch 06 I 353
- Epprechtstein, im
Granit, Zersetzung . . . 08 II 173
- Euba, aus dem Quarz-
porphyr des „Roten
Steins“ 1908 II 172 CBI 1908 670
- Fichtelgebirge, Krist.
des im Granit ein-
gewachsenen 09 I 341
- Lipetz, Gouv. Tarn-
bow, im Brauneisen-
erz u. Hydrogoethit 1905 II 21. 183
- Llano County, Texas . . . 07 I 42
- Montana, West Armell
Creek, ungewöhnliche
Zwillinge 09 II 16
- Schmiedeberg (Riesen-
gebirge), im Granit CBI 1909 769
- Orthoklas
— Templeton, Quebec,
Pseudom. nach Lau-
montit 1907 II 12
- Troitsk, Ural, var.
Isorthose 05 I 24
- u. die bas. Glieder der
Plagioklasreihe . . . CBI 1909 663
- siehe auch Kalifeld-
spat, Feldspat, Sani-
din etc.
- Orthoklasporphyr
— Kiautschou 06 II 367
- Kilimandscharo (Rhom-
benporphyr) 07 II 411
- Tirol, südliches . . . 05 II 63
- Orthophragma, große,
Eocän, Montricher-
en-Maurienne 09 I 299
- große, Tertiär, Du-
rance-Becken etc. . . . 06 I 115
- Typus Orbitoides Pratii . . 05 II 152
- aprutina, Chelussii,
circumvallata, illyri-
ca, rugosa, samnitica,
Schlumbergeri u. Vi-
nassai, Obereocän . . . 05 II 159
- Archiaci, Bartholomei,
Chudeaui, Douvillei,
Marthae u. scalaris,
Eocän 05 II 153
- Bayani, decorata,
Gümbeli, lanceolata,
Munieri u. Taramellii,
Eocän 05 II 153
- Canavarii, Di-Stefa-
noi, dubia, Portisi u.
Saccoi, Valone Tre
Pietre 09 I 296
- Colcanapi, Tertiär,
Madagaskar 08 I 141
- pentagonalis, umbili-
cata u. umbilicata var.
Fournieri, Eocän,
Neukaledonien 07 I 114
- pulcra (pulchra), Eo-
cän, Cacasacco 09 II 145
- trigonalis u. Zitteli,
Vallone Tre Pietre . . . 09 I 297
- varians typ. u. var.
selliformis, Borneo . . . 08 II 288
- u. Lepidocyclina i den
Nummulitenschichten,
Indien 09 I 141
- Orthophragminen, Ap-
pennino, Pavese . . . 06 I 156

- Orthophyr
 — Harzburg, im Kontakthof d. Brockens, u. Tuffe 1906 I 213
 — Magnetberg, südl. Ural 06 I 382
 Orthopoda CBI 1909 17
 Orthopoden, Verhältnis zu Theropoden 09 I 290
 Ortho-Ri becktgneis = Forellenstein, Gloggnitz, Oesterreich 05 II 51
 Orthosilikate, Schmelzversuche 08 II 379
 — siehe auch Orthokieselsäure.
 Orthotheca Steinmanni, Devon, Bolivia BB XXV 518
 Orthothetes chemungensis, Devon, Bolivia BB XXV 541
 — crenistria, fascifera und radialis, Culm, Königsberg b. Gießen BB XXVIII 627 ff.
 — Krafftii, Perm, Malla Sancha, Zentral-Himalaya 05 II 279
 — simensis, Obercarbon, Ural u. Timan 05 I 534
 — Stearsbyi, Wargeila, Neu-süd-Wales 08 I 279
 — umbraculum, Devon, Ostthüringen BB XXIV 281
 Orthotichia cfr. morganiana, ob. Carbon, Kukurtnk-Tal, südl. Tian-Schan BB XXII 373
 Orthotoma margaritati, solidorostris und spinati, mittlerer Lias, Schwaben 06 I 469
 Ortler
 — Geologie des 07 II 436
 — Tektonik 07 II 262
 Ortlergruppe, Geologie 09 I 379
 Ortstein CBI 1909 326
 — Hasselt, Belgien, Entstehung 05 I 426
 — Freudenstadt etc., Schwarzwald 09 II 414
 Orycteropus, Perforation des Astragalus 07 I 467
 Oryctomya splendida, Eocän, Loire inférieure 06 I 448
 Orygoceras corniculum = Creseis Fuchsi, Ungarn, pannon. Schichten 05 II 434
 Osannit, Cevadaes (Portugal) 1908 I 24
 Oser, siehe Äsar.
 Osmeroides ornatus und pontivagus, Kreide, Libanon 05 II 481
 Osmunda montanensis, Judith river beds, Nordamerika 07 I 440
 Osmundites Dunlopi und Gibbiana, Jura, Neuseeland 08 I 157
 — Kolbei, Uitenhage series, Kapkolonie 08 I 149
 Osnabrück, Geologie 09 II 247 ff.
 Osning, Geologie 05 II 258
 Ostafrika
 — Jura CBI 1908 641
 — — und Kreide BB XXVIII 150
 Ostafrika u. Abessynien, Petrographie 09 I 225
 Ostalpen, Tektonik 1906 II 233. 252
 1907 II 438 09 II 254
 — siehe auch Alpen.
 Ostariophysi des brit. Museums 05 II 135
 Ostasiatischer Typus von Bogengebirgen (Zerrungsbogen) 05 I 120
 Ostasien
 — Geomorphologie und Gebirgskettungen 05 I 114
 — Golf Peters des Großen, Geologie BB XXVII 509
 — paläozoische u. triadische Fossilien 05 II 298
 Ostatlantisch - arktische Formen, gruppiert nach Isochronie und Homotomie CBI 1908 436
 Osteolith, Prausnitz, Schlesien, Pseudom. n Kalkspat, u. Wesen CBI 1905 641
 Osteopygis robustus, Nordamerika 09 I 452
 Osterwald (Hannover), Geologie 07 I 418
 Ostkordillere, equadorianische, Geologie und Petrographie 06 I 392
 Ostpreußen
 — Alttertiär 07 II 463
 — Diluvium 07 II 463
 — Kreide 07 II 463
 — Kimmeridge v. Heilsberg 05 I 129

- Ostpreußen, Seen . . . 1905 I 471
- Ostracoden
- Kreide, Ost-Pondoland, Südafrika . . . 05 II 152
- Lias, Schwaben . . . 05 II 151
- Tertiär, Mainzer Becken 06 II 138
- Tertiär und Quartär, Württemberg 06 II 138
- Unteroolith, Westaustralien (Geraldton) 05 II 151
- Ostracodermen, Bau . . . 05 II 133
- Ostrea. Apicalhöhlung . CBI 1906 458
- Aguilerae und subarmata, Senon, Cardenas, Mexico 08 I 102
- akhabensis und kahurensis, Glandarienkalk, Syrien 06 I 279
- Ameghinoi etc., Pyrotherien-Schichten, Argentinien 05 I 358
- armata, Kreide, Brengener Wald . . . BB XXVII 25
- cf. auricularis, biskarensis, larviformis und Nicaisi, Senon, Peru BB XXIV 101
- Choffati, ? Eocän, Kamerun 06 II 123
- crassissima und loppiana, Tertiär . . . CBI 1906 164
- curvirostris, minus und aff. Roemeri, argent. Kordillere BB XXIII 208
- Friryi, Lutétien, Senegal 05 II 289
- guaranítica, guaranitische Formation, Par-aik am Rio Sehuén, Patagonien . . . 06 I 155
- heteroclitia, sables de Bracheux 06 I 155
- Nikitini, praesinzowi und Sinzowi, obere Kreide, Rußland . . . 08 I 446
- pseudo-Malungi, ob. Kreide, Alvincz . . . 05 I 302
- Stolleyi 07 II 468
- subarcotensis, Hyper-sonen, Peterwardeiner Gebirge 06 II 268
- subelongata = mutabilis, Eocän, Loire inférieure 06 I 155
- Ostrea (Gryphaea) pyrotheriorum-Schichten, Kreide, Patagonien . BB XXI 135
- Ostreen, Senon, Systematik BB XXII 657
- Ostseebecken, westl., Ancyclus-See und Litorina-Meer 1907 I 118
- Ostseegesteine, Diluvium, Westfalen CBI 1907 168
- Ostseeprovinzen, russ., Wirkung des skand. Erdbebens v. 23. Okt. 1905 CBI 1905 65
- Ostthüringen, Palaeozoicum BB XXIV 221
- Otaga, Südinsel von Neuseeland, Geologie 1905 II 421. 423
08 I 229
- Otavi-Minen, Deutsch-Südwestafrika
- Erze 09 II 400
- sekundäre Mineralien der Erzlagerstätte . CBI 1906 388
- Otavit, Otavi, Südwestafrika CBI 1906 389
- Othnielmarshia, Kreide, Patagonien 05 I 167
- Otoceras beds, Himalaya
- stratigr. Stellung CBI 1905 1.36
- verglichen m. Ussurifauna CBI 1905 43
- Otocoelidae, Osteologie 07 I 315
- Otolithen
- Altersbestimmung bei Scholle und Kabeljau 08 I 130
- Miocän, Birma 09 I 142
- — Sardinien 08 II 277
- Pliocän, Bologna . . . 08 II 277
- Tiefseefische 07 I 320
- Tertiär, Oesterreich 07 I 480
- — Pausramer Mergel 08 II 277
- Otolithes arcuatus, minutulus, occultoides, splendens, sulcatoides u. voeslaunensis, Tertiär, Oesterreich . . . 07 I 481
- austriacus, fragilis, Kokeni, major, mediterraneus, pulcher, splendidus u. tenuis, Tertär, Oesterreich. 07 I 480
- approximatooides, catulus, Mariae, Matoschi, moravicus, pausramensis, Polzi,

- subdenudatus u. subrostratus, Tertiär, Pausramer Mergel . 1908 II 278
- Otolithes coffea (Sparidarum?), mittl. Gault, Algermissen 05 I 317
- Otozamites Bartholini u. tenissimus, Rhät, Bornholm 08 I 452
- Goeppertianus, Wealden, Peru BB XXIV 82
- indosinensis, Carbon, Tonkin 08 I 310
- oregonensis 07 II 503
- Otranto, Alter der Lepidocyclinen 08 II 283
- Ottawa-Tal, Canada, krist. Schiefer 05 I 249
- Ottrelit, pleochroitische Höfe CBI 1909 143
- Ottrelitgesteine, Ardennen 09 I 111
- Ottrelitschiefer, Ecuador, Ostkordillere 06 I 396
- Ovactaeonina corbaricensis, unt. Santonien, Frankreich 06 I 318
- Ovardit im Bündner Schiefer, zwischen Visp und Brig 05 II 222
- Overwegi-Schichten und Blättertone, lybische Wüste 06 I 319
- Ovibos, Thayngen, Keßlerloch 05 II 124
- moschatus, Pleistocän, südl. England 07 I 301
- siehe auch Praeovibos.
- Ovifak, siehe Uifak.
- Ovis Mannhardi, Eggenburg (Niederösterr.), Schädel 05 I 324
- Ovopteridium, Carbon, — Schumanni, Carbon, Vorkommen 09 II 491
- Ovopteris Goldbergi, karwinensis u. Schwerini, Carbon, Verbreitung 09 II 491
- pectoeroides 08 I 155
- Owenites Koeneni, Meekoceras beds, Inyo County 06 II 301
- Oxford
- Cetechowitz 07 II 443
- Dobrudscha 07 II 445
- Taliabu 07 II 447
- Oxycitraconsäure, Krist. 1907 I 95
- Oxyclymenia striata und undulata, ob. Oberdevon, Enkeberg . BB XXVI 621
- Oxydactylus brachynotus und spec., Loup Fork, Nebraska, unt. Miocän 06 I 144
- Oxydationszone der Erz-lagerstätten 08 I 400
- Oxyde
- Einwirkung von Schwefelwasserstoff 08 I 212
- Elektrizitätsleitung 07 II 5
- Oxynotoceras, Entwicklung 07 II 494
- Choffati 07 II 494
- compressum, Eisen-erzformation, Lothringen und Luxemburg 06 I 305
- Oxyodon britannicus, Perm, England CBI 1908 431
- Oxyphile Färbung von Mineralien durch organ. Farbstoffe . BB XXVIII 342
- Oxypteria = Aviculopecten Bittneri, Pachycardientuffe, Seiser Alp 07 II 336
- Oxyrhina neogradensis, untermediterraner Sandstein, Tarnocz, Kom. Nögrád 05 II 479
- Oxytoma Wähneri, Bellerophon-Schichten, Bosnien 05 I 105
- Ozean Island siehe Paanopa.
- Ozeanische Salzlager, Entstehung 06 I 161
- Ozeanische Steinsalzlager, Bildungsverhältnisse 05 I 192
- Ozokerit, Boryslaw, Vorkommen 1906 I 407. 409

P.

- Paanopa = Ozean Island, Geologie 05 II 424
- Pachycardientuffe
- Seiser Alp, Alter 06 I 12
- — Brachiopoden 05 I 179
- — Gastropoden CBI 1905 176
- — Lamellibranchia-ten 07 II 335

- Pachycynodon neglectus*,
 Oligocän, Veringen,
 südd. Bohnerze . 1908 I 123, 128
Pachydiscus, Rassen-
 persistenz CBI 1909 201
 — *henleyensis*, Merriami
 und *sacramenticus*,
 Kreide, Kalifornien . 1906 I 288
 — *supremus*, Hyper-
 senon, Peterwardeiner
 Gebirge 06 II 267
Pachyerisma Blancken-
 horni, Glandarien-
 kalk, Syrien 06 I 279
Pachygira Sanctae Cruci-
cis, Kreide, Callo-
 neghe 05 I 317
Pachypora intabulata,
 Trias, Serang, niederl.
 Indien BB XXIV 184
Pachysaurus ajax und
magnus, ob. Keuper
Pachytesta attenuata,
 Rotliegendes, Op-
 penau 08 I 457
 Packhuis - Konglomerat
 im Tafelberg - Sand-
 stein, glazial 06 I 274
 Paderborn
 — geol.-hydrol. Verhält-
 nisse des Ursprungs-
 gebiets der Pader-
 quellen 06 II 414
 — Pläner mit *Actino-*
camax plenus 06 I 316
 Paderquellen, Paderborn,
 geol.-hydrol. Verhält-
 nisse des Ursprungs-
 gebiets 06 II 414
Paginula, Kreide, Pata-
 gonien 05 I 168
Pagiophyllum densifol-
ium, Jura, Nord-
 deutschland 09 I 462
 — *Newberryi* 07 II 501
Paigeit, Alaska 09 II 342
Painirova, Lappland,
 Eisenerzlagerstätte BB XXIV 662
 Painted Desert Beds . 07 II 502
Paisanit, Red Hill, Moul-
 tonboro, N. H. 09 II 389
Pajaro, kalif. Coast Range,
 Eruptivgesteine 05 II 231
Palacrodon, systemati-
 sche Stellung . . . CBI 1907 526
 — *Browni*, Trias, Afrika 08 I 441
Palaeonodonta bicari-
nata, Castor, Ernae,
 faba, parallela, Petra-
 scheckii, Pošepnyi,
 Sophiae u. Verneuili,
 Rotliegendes, Nieder-
 schlesien u. Böhmen 1905 I 48
 — *sphenoides*, Oberrot-
 liegendes, Heiligen-
 moschel 08 I 133
 — und *Anthracosia* CBI 1908 65, 239
Palaearca Turnbulli,
 Untersilur, Haver-
 fordwest District 06 II 307
Palaeatractus harpula-
rius, unt. Santonien,
 Frankreich 06 I 318
Palaeobalium, Kreide,
 Hakel, Libanon . . . CBI 1907 360
Palaeobatrachus Gaudryi,
 ob. Jura, Montsech.
 Prov. Lerida, Spanien 07 II 287
 Paläobotanik, Entwick-
 lung 09 I 144
 Paläocän
 — Dänemark 08 II 103
 — Jütland 07 II 452
 — Norddeutschland 07 II 453
Palaeocoma, Obersilur,
 Bowning, Neu-Süd-
 Wales 07 II 157
 Paläoconchen, Naples-
 Fauna, Nordamerika CBI 1905 385
 Paläocretacium, südöst-
 liches Frankreich 08 II 402
 Paläodictyopteren, Ober-
 carbon 07 I 152
Palaeodictyota ramulosa,
 Niagara-shales 05 II 329
 Paläogen
 — Oase Siwah 05 II 323
 — Saratow - Gouverne-
 ment 05 II 121
 Paläogeograph. Karten CBI 1908 457
 Paläographie, Grund-
 lage der Untersuch-
 ungen CBI 1908 434
Palaeohemiptera, Perm,
 Rußland, von der
 Kama 05 I 522
 Paläohippidenstämme,
 phylogenet. Zusam-
 menhang 06 II 289
 Paläolithische Funde .
 — Europa, Diluvium 06 I 127
 — Taubach 09 I 285

- Paläolithische Fund-
schichten, Gegend
von Weimar CBI 1908 197
- Palaeomantis Schmidti,
Perm., Rußland, an
der Kama 1905 I 522
- Palaeomastax carbonis,
Carbon, Belgien 05 I 523
- Palaeomastodon, Eocän,
Aegypten 06 I 447
- parvus, Oligocän, Fa-
yum, Aegypten 07 I 459
- Palaeomastodontidae,
Tertiär, Fayum 07 II 311
- Palaeomeryx (?) annectens,
Mittelmiocän,
Solnhofen, Bohnerze 08 I 124
- Mayeri, Seegraben b.
Leoben 05 II 305
- Palaeomunida, Eocän,
Kis - Svábhegy bei
Pesth 05 II 317
- Palaeoneilo, Devon, Bo-
livia, siehe Cteno-
donta BB XXV 520
- Palaeonisciden, Carbon,
England 05 II 480
- Palaeontina Vidali, Kim-
meridge, Sierra del
Montsech, Catalonien 05 I 524
- Paläontologie
— Einführung CBI 1904 303
— Fortschritte seit
Suess 06 II 42
- Palaeopalara gracilis,
Carbon, Belgien 05 I 523
- Palaeopeltidae und Pa-
laeopeltis tesseratus,
Kreide, Patagonien 05 I 169
- Paläophiden, Entwick-
lung 08 II 440
- Palaeophocaena, Ver-
wandtschaft 06 II 295
- Andrusowi, II, Medi-
terran-Stufe, Halb-
insel Taman 06 II 296
- Paläopikrit, siehe Pikrit.
- Palaeopropithecus in-
gens, Madagaskar 06 II 446
- Palaeorbis, Keuper,
Schwaben BB XXV 113
- Palaeorhinus Bransoni,
Schädel 08 II 440
- Palaeorycteropus Quer-
cyi, Eocän, Quercy 07 I 463
- Palaeoscincidae 09 I 290
- Palaeosciurus asper, Belly
river series, Red Deer
river, Nordamerika 1907 I 439
- Palaeostachya Etting-
hausen, Middle coal
measures, Canonbie,
England 06 II 463
- Palaeotaxonus typicus,
Miocän, Florissant,
Colorado 08 II 112
- Palaeothentinae, Santa-
cruzeno, Patagonien 07 I 308
- Palaeotherium
— Bartonien, Castrais 05 II 302
— Buseri, castrense,
curtum, eocaenum,
girondicum, Heimi,
magnum, Mörschi,
Mühlbergi (medium
u. latum), Renevieri
u. Rüttimeyeri, Eocän,
Schweiz 06 II 282
- Palaeotheutis, Jura 08 I 302
- Palaeovespa florissantia,
Gilletti und Scudderi,
Tertiär, Florissant,
Colorado 07 I 321
- Scudderi, Miocän,
Florissant, Colorado 08 II 111
- Palaeoziphius, Gebiß 06 II 295
- Boldérien, Antwerpen 07 I 132
- scaldensis, Miocän,
Antwerpen 07 I 135
- Paläozoicum
— Ctenostomata, Revi-
sion 05 II 485
— Pflanzen 09 I 144
— Porenstellung der
Seesterne CBI 1907 741
- Aranyo-Gruppe, sie-
benbürg. Erzgebirge,
Quarzkonglomerate 06 I 263
— Baden-Baden 08 I 91
— Deutschland-Seesterne 09 II 322
— England, Floren 06 II 448
— England, Seengebiet 08 II 53
— Hindukusch, Blaini-
Konglomerat, Alter
und Verbreitung 05 II 415
— Indiana, Niagara Do-
mes des nördl., Geol. 05 II 415
— Kanada, Quotient
Na:Cl des Meerwassers 08 II 345
— Kurlja, Zentralasien 06 I 98
— Lake Superior-Gegend 05 I 75
— Mandschurei, Pflanzen 08 I 452

- Paläozoicum
 — Ostalpen (Arlberg etc.) 1906 II 237
 — Ostthüringen. BB XXIV 221
 — Piedmont Plateau, Maryland 05 II 414
 — Pyrenäen, Verbreitung des Kalks 06 II 214
 — Sachsen-Meiningen 06 II 409
 — sächsisches Granulitgebirge, kontaktmetamorphisches der SO.-Flanke CBI 1905 257
 — Schwarzwald, Nordrand 09 II 65
 — Taconic Range, Nordende 05 II 413
 — Timor, jüngerer BB XXV 293
 — — portugiesisch BB XXIV 465
 — Turkestan, russisch 05 II 298
 Paläozoische Korallen
 1909 I 293 09 II 140
 Paläozoische Pflanzenreste, Abbildungen 06 I 157
 Paläozoische Phyllite, Zillertaler Alpen 07 II 433
 Palästina und Syrien, Feuersteinartefakte des Steinzeitalters 07 I 291
 Palagonit, Connecticut und Massachusetts, mit Holyoke-Diabas 07 I 242
 Palagonit-Formation, Island 1905 II 294 CBI 1906 232
 Palagonittuff, Aci Castello-Gegend 05 I 48
 Paleschara, Entwicklung 05 II 144
 Palicites Mojsisovicsi, ob. Trias, Sizilien 05 I 345
 Palimpseststruktur 05 I 73
 Palinosphären der Mucronaten-Kreide CBI 1905 402
 Palissya pugio, Lias, österr. Voralpen 08 II 448
 Palladium
 — Legierungen mit Gold 08 II 157
 — Schmelzpunkt 08 I 9
 — Brasilien 1905 II 346 07 I 335
 Palladiumgold, Brasilien 1905 II 346 07 I 339
 Pallasit
 — Struktur und Zusammensetzung 06 I 196
 — South Bend, Ind. 09 I 365
 siehe Meteoreisen.
 Palma, Grundgebirge, und Caldera 07 II 47
 Repertorium 1905—1909.
- Palmierit, Vesuv 1906 1908 I 326 ff.
 Paleoestrus oligocaenus, Florissant, Col. 08 II 110
 Paloplotherium, siehe Plagiolophus. 06 II 284
 Palorhopteron melas, Carbon, Belgien 05 I 523
 Paludina, Grenzdolomit, Schwaben. BB XXV 108 ff.
 — dordonensis, Cenoman, Südfrankreich 07 II 132
 — planiuscula, Alttertiär, Giengen b. Ulm 08 II 104
 Paludinenschichten, Berlin, Alter, Beziehung zu ältester Vereisung bei Rüdersdorf und Hamburg CBI 1906 181
 Paludinopsis ngeriensis und silatiensis, obere Kreide, Borneo 07 I 437
 Palygorskit, Simferopol, Pseudom. n. d. Spaltbarkeit des Kalkspats CBI 1908 7
 Palygorskitgruppe, Rußland 09 II 347
 Palyssia manchurica, Jura, China 07 II 342
 Pampasformation
 — Säugetiere 1907 II 479, 481
 — Patagonien 05 I 142
 07 II 113 BB XXVI 129
 Pampasregion, Gliederung der Sedimentablagerungen BB XXVI 92
 Pampas-Säugetiere CBI 1908 186
 Pampas-Stufe, Patagonien 07 II 144
 Pampine Sierras, Argentinien, Geologie 05 II 271
 Panamakanal, Geologie 09 II 393
 Panderkliff, Sylt, quart. Austerbank
 BB XXI 205 BB XXII 173
 Pandermit, künstl. Darstellung 08 II 163
 Pangong-See, Tibet, Glazialerscheinungen. 08 II 342
 Panopaea Carteroni (Glycimeris) u. Dupiniani, Neocom, Argent. Kordillere BB XXIII 221
 — claviformis, Kreide, Kieslingswalde 05 I 301
 — mermera, Hypersenon, Peterwardeiner Gebirge 06 II 268

- Panopaea tricypha, Granulatenkreide, westliches Münsterland . 1908 I 428
- Panopeus incertus und subellipticus, oberste Kreide, Schonen . . . 06 II 141
- Panorpa arctiiformis, Miocän, Florissant, Col. 08 II 110
- Pantelleria, vulkan. Bildungen, Staukuppen Festbd. 374
- Pantellerit, Auouache, Ostafrika 07 II 416
- Pantolambda, Brasilien, Knochenhöhle, Zahnformel 07 II 134
- Zahnsystem, vergl. mit Albertogaudrya und Coryphodon . . . 05 II 461
- Pantolambdidae, Kreide, Patagonien 05 I 168
- Pantostylopidae, Patagonien 05 II 467
- Pantostylops, Kreide, Patagonien 05 I 169
- Papandajan, Vulkan, Java CBI 1909 609
- Paraamphibolgneis, Schwarzwald 07 II 67
- Parabderites, Kreide, Patagonien 05 I 169
- Paracallipteris Potoniéi, ob. Kreide, Quedlinburg 07 I 493
- Paracelsian, Candoglia im Calciphyr. 08 II 174
- Parachaetetes Tornquisti, Bathonien, Mte. Zirra, Nurra, Sardinien . . . 06 I 65
- Paracredneria Fritschii, ob. Kreide, Quedlinburg 07 I 493
- Paracynodon musteloides u. Wortmani, Oligocän, Veringen, süddeutsche Bohnerze 1908 I 123. 128
- vulpinus, Oligocän, Eselsberg, süddeutsche Bohnerze 08 I 123
- Wortmani, süddeutsche Bohnerze 08 I 128
- Paradiorit CBI 1905 408
- Paradoxides jemtlandicus, Oelandicus-Zone, Jemtland 06 II 298
- Paradoxorhyncha foveolata, Unteroolith, West-Australien . . . 1905 II 151
- Paraganides californicus, Subbullatus-Schichten, Kalifornien . . . 06 II 301
- Paragelocus Scotti, Oligocän, Veringen, süddeutsche Bohnerze 1908 I 123. 128
- Paragenesis zw. 25° u. 83° in ozean. Steinsalzlagern 05 I 197
- Paragonit, St. Gotthard, Achsenwinkel . . . CBI 1998 678
- Paragonitschiefer, Tes-sin, Pizzo Forno . BB XXVI 521
- Parahippus 05 II 468
- nebrascensis 07 II 489
- Parahopeit, Rhodesia, Broken Hill-Grube . . . 1909 II 34 CBI 1908 51
- Parahoplites Dechyi, Kaukasus 08 II 81
- Grossouvrei u. Milleti var. Peroni, Kreide, Clansayes etc., Dauphiné 06 I 312
- hanovrensis, Jacobi u. Sarasini, Albien, Vöhrum (Hannover) . . . 08 I 278
- Schmidti u. Tobleri, Gault, Engelberger Tal, Schweiz 07 I 289
- Parajuvavites Beresfordi und speciosus, Tropites-limestone, Byans 08 II 238
- Paralecanites Arnoldi, Meekoceras beds, Idaho 06 II 304
- Paralegoceras Newsomi, Carbon, Nordamerika . . . 05 I 528
- Parallelverwachsung 1909 I 322. 324
- Amethyst u. Rauchquarz, Korea 08 II 333
- Beziehung zu isomorpher Mischung 1909 I 324 CBI 1908 51
- Paramelakonit, Bisbee Quadrangle, Arizona . . . 06 I 176
- Paramontmorillonit, Rußland, am Palygorskit . . . 09 II 348
- Paramylodon nebrascensis, Pleistocän, Nebraska 05 II 471
- Parana-Stufe, Patagonien, u. Pampas-Region . BB XXVI 129

- Parana-Stufe, Tertiär,
Patagonien BB XXI 180
- Paranannites aspenensis,
Meekoceras beds, Idaho 1906 II 301
- Parankerit, Nagolnij,
Krasch, Donetz-
Becken 1907 II 195 CBI 1908 7
(siehe Ankerit)
- Parapholas Tatei, Kreide,
Zululand 07 II 304
- Paraphyllites distinctus,
lithogr. Schiefer, Kehl-
heim 06 II 90
- Parapopanoceras Kokeni,
Untertrias, Albanien 08 II 400
- Parapsonema crypto-
physa, Portland beds,
New York, Stellung
im System CBI 1905 357
- Paraptyx, Naples-Fauna,
westl. New York 05 I 150
- Pararcestes subdimitia-
tus und trilabiatus,
ladin. Stufe, Dobru-
dscha 08 I 420
- Parasmilia texana, Buda
limestone, Kreide,
Nordamerika 06 I 309
- Paratakamit
— Chile, San Cristobal,
Bolaco-Grube 07 II 355
— Sierra Gorda CBI 1905 283
- Parathinnfeldia dubia,
ob. Kreide, Quedlin-
burg 07 I 493
- Parathisbites nodiger u.
Windhami, Tropites-
limestone, Byans 08 II 236
- Paratibetites Wheeleri,
Tropites-limestone,
Byans 08 II 237
- Paratissotia regularis,
Kreide 07 II 148
- Paratropites, Subbullatus-
Schichten, Kalifornien
— (?) lilinthicus, Tropi-
tes-limestone, Byans 08 II 238
— subfalciferus, obere
Trias, Sizilien 05 I 346
- Paravivianit, Kertsch-
Straße CBI 1906 112
- Parchim, Interglazial
CBI 1905 673. 737 CBI 1906 66
- Pardosuchus Whaitisi,
unt. Karoo beds, Süd-
afrika 09 II 127
- Pareiasauria, Pareiasau-
ridae, Systematik . 1907 I 479
- Pareiasaurus serridens,
fast vollständiges
Skelett 07 I 141
- Paremphytus ostentus,
Miocän, Florissant,
Colorado 08 II 112
- Pareora- und Oamuru
series, Tertiär, Neu-
seeland 06 I 433
- Pareutatus distans, Santa
Cruz-Schichten 05 I 501
- Pargas, Finnland, Ge-
steine 07 I 68
- Pargasit
— Zusammensetzung . 08 II 24
— Greenville (Canada)
und Pargas, opt. CBI 1907 78
- Pariostegus myops, tria-
dische Kohlenfelder,
Nordkarolina 09 II 129
- Pariotichidae, Systematik
Pariotichus? isolomus,
Perm, Texas, Schädel
und Wirbel 07 I 149
- Paris
— Eocänkonchylien,
Katalog 05 I 184
— Radiumgehalt der
Quellen 09 II 211
- Pariser Becken
— Aptien des östlichen 06 I 291
— Tertiär 06 II 115
siehe auch Tertiär.
- Parisiella veneriformis,
Eocän, Paris 07 II 303
- Parisit
— Montorfano (Baveno)
im Granit 07 I 39
— Mukden, Mandschurei,
chemisch 09 II 336
- Parnesgebirge, Attika,
eruptive Bildungen . CBI 1909 557
- Paronaea, Tertiär, Apen-
nin, siehe Hantkenia 05 II 327
— Chelussii, Tertiär,
Italien 07 I 162
— complanata-latispira
(= Hantkenia). 1905 II 155. 156
— curvispira 05 II 159
— Guidi und sub-Guidi.
Linæ u. sub-Linæ,
typ. u. var. Mariae,
sub-miocontorta,
Tchihatcheffi var. Ro-

- veretoi, Rosai var.
 obesa, Bouillei var.
 latispira und vasca
 var. italica, ligur-
 piemontes, Apennin 1908 II 287
 Paronaster cupuliformis,
 Scaglia, Valdagno
 (Vicentin) 09 II 483
 Partula Dautzenbergi,
 Eocän, Paris 07 II 303
 Paruschowitz, Bohrloch V,
 Temperatur 05 II 203
 Parvisipho infraeocäni-
 cus, Eocän, Paris 07 II 303
 Paryphostoma Morgani,
 Senon, Süd-Persien 06 I 444
 Paskallavikporphy, Di-
 luvium, Westfalen . CBl 1907 171
 Passalococcus Scudderi,
 Tertiär, Florissant,
 Colorado 07 I 321
 Patagonien
 -- Gattungen, Unter-
 schied v. nördl. Halb-
 kugel 07 II 144
 -- Geologie
 1905 I 132, 136, 143, 144, 307
 -- Gliederung der Sedi-
 mentablagerungen . BB XXVI 92
 -- jüngere Ablagerungen 07 II 141
 -- Kreide und Tertiär . 07 II 108
 -- -- marine BB XXI 98
 -- Pampasformation
 1907 II 108, 144
 siehe Pampasforma-
 tion, Pampasstufe.
 -- Ammoniten, untere
 Kreide BB XXV 601
 -- Brachiopoden, Tertiär 09 II 321
 -- Bryozoen, tertiäre . 05 II 141
 -- Fossilien 1907 II 141 09 I 439
 -- Glyptodontia und
 Gravigrada der Santa
 Cruz beds 06 I 453
 -- Marsupialier des
 Santacruzeno 07 I 306
 -- Säugetiere
 1907 II 136, 141, 479, 481
 -- -- Kreide und unt.
 Tertiär 05 I 497
 -- -- System 05 II 466
 -- -- tertiäre, Dentition 06 I 450
 -- Säugetier-Faunen,
 Kreide und Tertiär 07 II 272
 -- Ungulaten, Kreide . 05 I 167
 -- -- Zahnsystem . . 05 II 454
 Patagonische Formation
 = Eocän 1905 I 139
 Patagonische Molasse . BB XXI 155
 Patagonische Sandstein-
 formation BB XXVI 118
 Patagonische Stufe,
 Patagonien 07 II 142
 Patagonische Tuff-Form-
 ation BB XXVI 103
 Patella magna und rad-
 ians, Pachycardien-
 Tuffe, Seiser Alp . . CBl 1905 176
 -- vulgata var. Santuo-
 lai, Quartär, Knochen-
 höhle von Altamira,
 Spanien 09 I 130
 Patronit, Minas ragra,
 Peru 09 I 167
 Patallophyllia dilatata,
 unt. Tertiär, Barce-
 lona 09 II 485
 Patula antiqua, Alt-
 tertiär, Giengen bei
 Ulm 08 II 104
 -- globosa, Alttertiär,
 Ulm 08 II 104
 Paucituberculata, Kreide,
 Patagonien 05 I 169
 Pauline Lake, Oregon,
 Eruption fester Mas-
 sen, turmartig, und
 Obsidianstrom 05 II 396
 Paulogervaisia, Kreide,
 Patagonien 05 I 168
 Paxoskalk, Eocän, süd-
 westl. Balkanhalb-
 insel BB XXI 218, 249
 Pazifischer Meridian der
 Erde 05 II 202
 Pazifische Sippe d. Erup-
 tivgesteine 05 II 52
 Pechblende siehe Uran-
 pecherz.
 Pechstein
 -- Hebriden 08 I 224
 -- Neuseeland, Nordinsel 07 I 395
 -- Neu-Süd-Wales, Mt.
 Lindsay, perlitisch . 07 I 402
 Pecopteris adumbrata,
 Carbon, Tonkin 08 I 309
 -- aspera, Carbon, Vor-
 kommen 09 II 491
 -- attenuata, Saarbrücker
 Schichten 09 I 303
 -- Cottoni (Asterotheca),
 Carbon, Tonkin 08 I 309

- Pecopteris Davreuxi*, Carbon, Vorkommen 1909 II 492
 — *latepinnata*, *recticulata* u. *Steinmülleri*, Keuper, Neue Welt bei Basel . . . 07 I 492
 — *pseuderosa*, Carbon, Offenburg . . . 08 I 459
Pecten Albertii var. *virgalensis* (*Leptochondria*), Saltrange . . . 09 I 8
 — — (*Velopecten*), Grenz-dolomit, Schwaben . BB XXV 67
 — — u. *discites*, Lettenkohle, Württemberg CBI 1907 26
 — *Behrensi* 07 II 468
 — — *Minimus-Ton*, Groß-Biewende (Braunschw.) 06 II 428
 — *bellicostatus* var. *orientalis* u. *Radkiewiczzi*, Tertiär, Mandrikowka 06 I 468
 — *Berciglii*, Werfener Schichten, Bucieri, Montenegro 05 II 108
 — *bisculptus* u. *sericeus*, Paläocän, Rugaard, Kattegat 08 II 103
 — *Blanckenhorni* u. *vedasensis*, Neogen, Europa 06 I 467
 — *capensis* u. *Kossmati*, Kreide, Pondoland . . . 07 II 306
 — cf. *crassitesta*, Neocom, Sardinien . . BB XXIII 469
 — *discites* u. *laevigatus*, Lettenkohle, Schwaben BB XXV 68
 — *Erlangeri*, ob. Jura, Somaliland 06 I 281
 — *eurasiaticus*, *tirolicus* und *völseckhofensis*, Werfener Schichten, Südtirol CBI 1908 72
 — *Huttoni* (*Pseudamusium*), Oamaru series, Neuseeland 06 I 467
 — *Kokeni*, Saltrange . . . 09 I 7
 — *longauris*, *microtis*, *subtilis* u. *tirolicus*, Werfener Schichten, Südtirol 08 I 17ff.
 — *lykosensis* u. *palmyrensis*, Glandarienkalk, Syrien 06 I 279
 — aff. *orbicularis*, unt. Kreide, Patagonien BB XXV 609
Pecten pseudopriscus, Lias, Freistadt in Mähren 1905 I 296
 — *szeremensis* u. *vertebratus*, Hypersenon, Peterwardeiner Gebirge 06 II 268
 — *virgatus*, Kreide, Brengener Wald . . . BB XXVII 24
Pecten-Konglomerat, Cockburn-Insel . . . 09 II 102
Pectiniden des Neogen, Europa u. Nachbargebiete 06 I 467
Pectunculus diastictus, Eocän, Loire inférieure 06 I 154
 — *hungaricus*, Hypersenon, Peterwardeiner Gebirge 06 II 268
 — *pacificus*, Kreide, Kalifornien 06 I 288
 — *triangulus*, Paläocen, Saratow 05 II 121
 — *Williamsi*, Tertiär, Mandrikowka 06 I 468
Pedimana, Kreide, Patagonien 05 I 169
Pediocerotidae, Kreide . . . 07 II 149
Pegmatit
 — Beziehg. zu Erzgängen 08 I 80
 — *Cnoc-na-Sroine*, Nord-Schottland BB XXII 418
 — *Erzberg* bei Hüttenberg, Kärnten 05 II 84
 — *Foxdale*, Isle of Man, Uebergang in Quarzgänge 05 I 434
 — *Kiautschou* 06 II 366
 — *Lappland*, Eisenerzlagerstätten BB XXIV 548
 — *Odenwald*, innerer, *Turmalin* führend . CBI 1907 73
 — *Olgiasco*, Comer See, Mineralien 1905 I 203 06 I 376
 — *Pajaro*, Kalifornien, *Coast Range* 05 II 231
 — *Piz Cotschen*, *Unterengadin*, *Turmalin* . . . 05 II 384
 — *Piz Giuf*, östl. *Aarmassiv* 06 I 372
 — *Schweden*, südl., *Adern* im *Granit* 05 II 386
 — *Sterzing*, Umgegend BB XXII 501
 — *Sustenhörner*, *Aarmassiv* 06 II 63
 — *Ural*, nördl. 06 I 388

- Pegmatit
 — Wisconsin, nördl. . 1909 I 228
 — u. Pneumatolyse . . 05 II 384
- Pegmatitanhydrit
 — Eichsfeld, im Zechstein 09 II 425
 — Norddeutschland, jüngerer Zechsteinsalz 09 I 424
- Pegmatitgänge, siehe Granitpegmatitgänge 08 I 336
- Pehuena insigna und magna, Kreide, Lago Musters 05 I 497
- Peissenberg, Lagerung der Flöze CBI 1906 577
- Pektolith
 — Burg bei Herborn, Magnesia-, im Diabas CBI 1907 739
 — Mte. Castelli, Toscana 07 II 40
 — Patterson, N. J., Glühverlust 06 I 26
- Pelagische Kalke, Mächtighkeitsreduktion . . BB XXV 418
- Pelagosit, Capri CBI 1909 667
- Pelecyodon, Santa Cruz beds, Patagonien . . 06 I 463
- Pelée, Montagne, siehe Mt. Pelée.
- Pellatispira Douvillei, Priabona 08 I 139
- Peltateloidea, Kreide, Patagonien 05 I 170
- Peltephilidae, Patagonien, Kreide 05 I 170
 — Santa Cruz-Schichten 05 I 502
- Peltephilus clarazianus = ferox, giganteus = grandis, nanus, pumilus, rarus und strepens, Santa Cruz-Schichten 05 I 503
- Peltoceras Uhligi, Malm, Brünn 08 I 422
 — bicristatum = bimammatum 06 I 109
 — interruptum u. trigeminum 07 II 444
 — tjapalului 07 II 447
 — Toucasi u. transversarium 06 I 81
- Pelvoux-Massiv, Geologie 05 I 281
- Pelycosauria
 — Nordamerika, Revision 08 I 288
 — Texas 08 I 285
- Pelycosaurier
 — Systematik 1907 I 478
 — Texas, Schädel . . . 07 I 313
- Pelycosaurierreste, Perm, Europa CBI 1908 431
- Pembrokeshire, Wales, Eruptivgesteine . . . 06 II 210
- Pendelseismometer, astatisches, Leipzig, registr. Fernbeben etc. 1. Jan.—30. Juni 1903 05 I 52
 — siehe Erdbebenstation Leipzig.
- Peneplains, Beziehg. zur Erosion 05 II 375
- Peneroplis pertusus . . 09 II 151
- Penmaenmawr (Wales), Quarzporit u. seine Schlierenbildung . . 05 I 93
- Pennin
 — Affaccata, Elba . . . 07 II 39
 — Connewara (England) in Marmor CBI 1909 715
- Penokee-Gogebik-Bezirk, Lake Superior-Gegend, Eisenerze 05 I 80
- Pentaceros senonensis, Senon, Yonne-Département 06 I 320
- Pentacrinus dentato-granulatus, mittl. Gault, Algermissen 05 I 317
 — Gevreyi, lissajouensis, mallevallensis u. peyroulensis, Neocom, Isère-Département . . 07 II 154
 — Wiesbauri, Lias, Freistadt in Mähren . . . 05 I 296
- Pentagonaster Browni, Kreide, Wyoming . . 07 II 157
- Pentahydrocalcit, Nowo-Alexandria 09 II 341
- Pentamerus (Conchidium) Etheridgei, Oakey Creek, Neu-Süd-Wales 08 I 279
- Pentasalz bei 83° 08 II 159
- Pentasphaera longispina, Kreide, Euganeen . . 06 I 474
- Pentellina Chalmasi, Douvillei u. Héberti, Senon 07 I 158
- Pentlandit
 — Sudbury - Distrikt, Canada 06 II 182
 — — Ontario, im Magnet Eisen 05 II 406

- Penzance, Erdbeben,
3. März 1904 1906 I 42
- Peperin, Säugetiere 05 I 144
- Peperinbildung, Albaner-
gebirge 08 I 46
- Percesoces d. brit. Mu-
seums 05 II 135
- Perforate Foraminife-
ren CBI 1903 225
- Perga coloradensis, Flo-
rissant, Colorado 08 II 110
- Pericosmus timorensis,
quart. Korallenkalk
v. Koupang (Timor)
Peridot, siehe Olivin.
- Peridotit
— mikroskopisch 06 II 56
— Antillen, kleine 06 II 376
— Arkansas, Prairie
Creek 09 II 393
— brit. Zentralafrika 07 I 237
— Connecticut, Cortlandt
Series 08 I 73
— Ithaca, N.Y., Gänge
1907 I 242 07 II 233
— Koswinsky Kamen,
Ural 05 I 75
— Matterhorn 05 I 243
— Molukken 05 I 109
— Mongoni u. Predazzo,
Gänge, chem. Zusam-
mensetzung 06 I 63
— Nischne Tagil, und
Platinvorkommen 07 I 260
— Schriesheim, Lage-
rungsweise 05 I 240
— — Hornblende-, Ab-
sorptionserscheinung
— Skye (Dunit etc.) 06 II 65
— zwisch. Visp u. Brig
im Bündner Schiefer,
metamorphe 05 II 221
— siehe auch Olivin-
knollen.
- Perihepsesis 06 II 200
- Periklas
— künstlich 06 I 331
— künstlich aus MgO
durch elektr. Schmel-
zung CBI 1907 212
— in künstl. Magnesit-
steinen CBI 1908 305
— Schweden, Pseudo-
morphosen 05 II 185
— Teulada, Sardinien,
im Predazzit 06 II 330
- Periloculina Raincourtii,
Mitteleocän 1907 I 158
- Perimagnetische Kontakt-
lagerstätten, Concep-
cion del Oro, Zaca-
tecas, Mexiko BB XXVIII 565
- Perimorphosen, Tolfa,
Granat und Kalk-
spat 06 I 376
- Perimys Ameghinoi, Ter-
tiär, Patagonien 07 II 324
- Perioden, Klima d. geol.
Peripantostylops, Pata-
gonien 05 II 467
- Periphragmis cristatus,
Kreide, Lago Musters,
Patagonien 05 I 497
- Peripleurocyclus Smithia-
nus, Muschelkalk, Hi-
malaya 08 II 243
- Periploca cretacea, Kreide,
New York 08 I 456
- Peripristis benniei und
semicircularis (Pri-
stodus) 05 II 137
- Perisphinctes Abeli, bru-
nensis, correlatus,
divergens, Guebhardi,
lateinensis, latum-
bonatus, latus, pila,
procedens, Siemi-
radzkii, vanae, varia-
rians, Malm, Brünn 08 I 422
— Aguilera 07 II 470
— — Clarki u. Schucherti,
Jura, Malone beds,
Texas 07 I 285
— argentinus, aff. bifur-
catus, Erinoides, aff.
Erinus, mangaensis,
Nikitini, proximus,
aff. pseudolictos und
cfr. striolatus, Jura,
argent. Kordillere BB XXIII 192
- Arussiorum, Choffati
u. Gallarum, ob. Jura,
Somaliland 06 I 281
— Burkarti, santarosanus
u. Victoris 07 II 470
— burui u. timorensis,
Jura, Timor u. Mefá BB XXV 332
- cameratus, Catulloi,
familiaris, Kiliani,
subalpinus, valens u.
validus, Acanthicus-
Schichten, Gießhübl 08 I 264

- Perisphinctes cetechovius,
Cyrilli, gyrus, Hedleyi, lothariformis, Methodii, Uhligi, wartoides 1907 II 444
- Colleti, pro-Lothari, Schardti, sub-Schilli u. vermicularis, Calloviens, Fauville-Kette 06 I 439
- daghestanicus und Loczyi, Kaukasus 08 II 81
- Frischlini (= trifurcatus), inconditus u. Ribeiroi, Jura, Seevorpalpen 06 I 110
- galoi, indonesianus, moluccanus, sularum, taliabuticus, ternatanus 07 II 447
- intercedens, Jura, Moskau etc. 05 I 131
- mombasanus, Malm, Ostafrika CBI 1908 646
- reniformis u. scruposus, Tithonklippen, Niederfellabrunn 06 I 440
- Siemiradzki u. Lewinskii, ob. Oxford, Checiny, Polen 08 II 90
- subplanus, subtiliformis u. transsylvanicus, Jura, Bucegi-Stock 06 II 121
- Perisporites hirsutus u. setosus, mitteleocän. Dysodil. Melilli, Sizilien 05 II 152
- Perissodactyla, Patagonien 05 II 466
- Kreide 05 I 167
- Perissodactylengebiß 06 II 291
- Perlit im Eisen 1905 I 128
- Perlspat, Markkirch 09 I 23
- Perm
- Eiszeit CBI 1908 353
- siehe auch Perm, Indien u. Südafrika.
- Festländer u. Meere Festband 521
- Grenze gegen Trias 06 I 52
- Stammreptilien 07 I 313
- Stegocephalen, Wirbelsäule und Rippen der holospondylen 08 II 269
- Baden, Flora d. Rotliegenden 08 I 457
- Perm
- Bithynische Halbinsel CBI 1909 655
- Bosnien, Fauna der Bellerophonschichten 1905 I 105
- Bozen, Felsitporphyre 1907 I 230 BB XXVII 72
- China, Semenow-Gebirge, Nordabhang 05 II 299
- Deutschland, Salzlager im Zechstein 09 II 304
- Eichsfeld, Salzlager im Zechstein 09 II 424
- Elsaß, Pflanzen des Rotliegenden 08 I 457
- England, Pelycosaurierreste CBI 1908 431
- Forst bei Münsterkappel, Flora d. Rotliegenden 09 I 468
- Frankenberg u. Kellerwald, Zechstein 07 II 92
- Frohburg—Köhren (Sachsen), Pflanzen der Plattendolomite des Zechsteins 05 I 539
- Hannover, südl. 1907 II 95. 97
- Harzrand, westl. 09 I 409
- Himalaya, Centr., Fossilien 05 II 278
- — Otoceras beds CBI 1905 1. 36
- Hohenstein-Limbach (Erzgebirge), Pflanzen des Rotliegenden 05 I 539
- Illinois, Vermilion County, Vertebraten (Reptilien) 07 I 315
- Indien etc., Eiszeit CBI 1908 449
- — u. permische Eiszeit Festband 446
- Indochina, Fusulinenkalk 08 I 417
- Kapland, Dicynodontier der Karruformation 08 I 1
- Kaschmir, Productus Purdoni CBI 1906 129
- Kyffhäuser, Auslaugung der Zechsteinsalze u. Oberflächen-gestaltung der Um-gend 09 II 427
- Lüneburg CBI 1907 692
- Mähren, ripplemarks bei Zbejsov 08 II 56
- Neurode, Datheosaurus macrourus i. Rotliegenden 06 I 151

- Perm
- Niederschlesien und Böhmen, Zweischaler des Rotliegenden . . . 1905 I 44
 - Nordamerika, Ammonoiden 05 I 525
 - — Insekten 07 I 322
 - Norddeutschland, Salzlager 09 I 422 ff.
 - Nürschan, Alter der Gaskohle 08 II 266
 - Pfalz, Pflanzen des Oberrotliegenden . . . 09 I 305
 - Plauen'scher Grund, Reptilien des Rotliegenden 07 I 311
 - Ruhrkohlenrevier 1907 I 412. 414
 - Rußland, Insekten von der Kama 05 I 522
 - Saar u. Nahe, Zweischaler 08 I 133
 - Sachsen-Meinungen . . . 06 II 411
 - Schwarzwald, Freudenstadt etc., Rotliegendes 09 II 413
 - Südafrika, Glacial (Dwyka)-Konglomerat . 07 II 122
 - — Kohlenflöz b. Vereeniging (Transvaal) . 07 II 122
 - Süd-Ussuri-Gebiet BB XXVII 509
 - Texas, Invertebraten CBI 1908 684
 - — kleine Reptilien . . . 07 I 138
 - — Koprolithen 07 I 319
 - — Saurier 08 I 285 ff.
 - — Stegocephalen u. Reptilien 07 I 147
 - — Wichita u. Clear Fork Divisions 08 I 256
 - Weser-Leine-Gebiet u. Beziehung zu südhannover. Zechsteinsalzlagern 09 I 426
 - siehe auch Zechstein u. Rotliegendes.
- Permische Eiszeit Festband 446
- siehe Perm u. Eiszeit.
- Permocarbon
- Glossopteris-Flora 1908 I 152. 454
 - Ooide u. Stromatolithen 08 II 114
 - Argentinien, Vorkordillere 05 II 270
 - Australien, Pelecypoden 07 I 484
 - Kaschmir, Pflanzen . . . 08 I 453
 - — u. Wirbeltiere 08 I 416
 - Krain, Fusulinenkalk . . 05 II 91
- Permocarbon
- Neuseeland, Mt. Mary, Otago, Südinsel . . . 1905 II 423
 - Neu-Süd-Wales, Foraminiferen 06 II 454
 - — Fossilien 07 I 154
 - Persien (Soh) 06 I 442
 - Südafrika, Vereeniging, Pflanzen 08 I 454
 - Tasmanien, Wynyard . . . 09 II 163
 - Zululand, Pflanzen 08 I 149
- Permotrias
- Los Cerillos (Neu-Mexiko) 08 I 436
 - Neuseeland, Nordinsel . . 05 II 418
- Perna aff. americana u. cf. Bayani, argent. Kordillere BB XXIII 207
- čerevičiana, Hyperesenon, Peterwardeiner Gebirge 06 II 268
 - incavata, Eocän, Loire inférieure 06 I 154
 - rikuzenica, Cyrenenlager, Jura, Rikuzen, Japan 05 I 464
 - Staadti, Eocän, Paris . . . 07 II 304
- Pernidae, Kreide, England 06 I 466
- Peromyscus parvus. John Day series 07 I 303
- Peronosporites miocenicus u. siculus, mittlereocäner Dysodil von Melilli in Sizilien . . . 05 II 152
- Perowskit
- Achmatowsk, beim Erhitzen CBI 1908 36
 - Pfitschtal, Burgumer Alp. Struktur CBI 1908 178
 - Vogtsburg (Kaiserstuhl) u. Mte. Somma (Dysanalit) 1909 I 344. 345
- Perpatische Eruptivgesteine 08 II 350
- Persea valida, Kreide, New York 08 I 456
- Persemische Eruptivgesteine 08 II 350
- Perseoxylon californicum u. Eberi, westl. Vereinigte Staaten 09 I 149
- Persien, fossile Mollusken . . 06 I 442
- Perthit
- als Entmischung 09 II 181
 - Entstehung CBI 1909 315
 - Strukturen 09 II 170

- Perthitfeldspate in krist.
Schiefern 1905 II 361
- Peru
— Edelsteine 06 I 358
— Erzlagerstätten von
Hualgáyo 05 II 37
— Kreide des mittleren BB XXIV 69
— marine Trias . . . CBI 1909 616
— mittl. Kordillere, Geol. 07 II 265
- Perugia, Säugetiere der
Canali'schen Sammlg. 06 I 143
- Peter der Große - Golf,
Ostasien, Geologie BB XXVII 509
- Petersia Lamarmorae,
Tithon, Sardinien . BB XXIII 463
- Peterwardeiner Gebirge
(Fruska Gora), Hyper-
senon 06 II 266
- Petricola hippuritarum,
Hypersenon, Peter-
wardeiner Gebirge . 06 II 268
- Petris, Ungarn, Geologie 07 I 273
- Petrogenesis, DOELTER . CBI 1907 216
- Petrographie
— Beziehung zu angren-
zenden Wissenschaften 06 II 52
— chemische 05 I 57
— — Analysen d. Erup-
tivgesteine von 1884
bis 1900 06 I 203
— graphische Methoden CBI 1907 134
— Grundfrage der che-
mischen CBI 1907 2
— Grundzüge d. Gesteins-
kunde, WEINSCHENK CBI 1905 617
— makroskopische von
LOUIS V. PIRSSON . CBI 1909 411
— mikroskopische Phy-
siographie, ROSEN-
BUSCH, siehe mikro-
skop. Physiographie.
— praktische v. RINNE . CBI 1906 115
— Tabellen von LUNCK CBI 1905 59
CBI 1906 248 CBI 1907 91
- Petrographische Klassi-
fikation, atlant. u.
pazif. Sippe d. Erup-
tivgesteine 05 II 52
- Petrographische Metho-
den 07 I 226
- Petrographisches Prakti-
kum 05 I 58
- Petrographische Wand-
tafeln mikrosk. Struk-
turbilder CBI 1906 747
- Petrolea, Urmaterialien 08 II 41
- Petroleum, siehe Erdöl,
Oel etc.
- Petromantis rossica,
Perm, Rußland an
der Kama 1905 I 522
- Pfalz
— Eruptivgesteine und
kontaktmetamorphe
Sedimente 09 I 54
— geolog. Uebersichts-
karte 06 II 84
— Steinkohlenformation,
der bayrischen 06 I 103
- Pferde
— Miocän, Nordamerika
— neolithische Fauna,
Mittelrhein 06 II 441
— Zahnsystem 05 II 455
- Pflanzen
— Einschlüsse in Basalt-
schlacke, Mexiko . . . 09 II 393
— Entwicklung der
Kenntnisse 09 I 144
- Pflanzenführendes Inter-
glazial, Elmsborn . . 05 II 441
- Pflanzenführende Schich-
ten im Keuper, Neue
Welt b. Basel CBI 1906 1
- Pflanzenreste, Abbil-
dungen paläozoischer
und mesozoischer . . . 06 I 157
- Pflockstruktur, roter ver-
witterter Olivin im
Basalt, Hessen CBI 1907 374
- Phacoceras Dumbli, Perm,
Texas CBI 1908 688
- Phacodiscus calvertanus,
Tertiär, Maryland . . 07 II 161
- Phacoides coislinensis,
crenatulatus, Dumasi
u. naviculus, Eocän,
Loire inférieure . . . 06 I 468
- Phacopidae, Klassifikation 06 II 139
- Phacops, Devon, Bolivia BB XXV 501
— Robertsi, Untersilur,
Haverfordwest District 05 I 174
- Phacostylus rarus, Kreide,
Euganeen 06 I 474
- Phacotus, Tertiär und
Quartär 05 II 330
- Phanerosaurus pugnax,
Rotliegendes, Plauen-
scher Grund 07 I 311
- Phanerotinus intermedius,
Culm, Königsberg b.
Gießen BB XXVIII 648

- Phanomys, Tertiär, Patagonien 1907 II 328
- Pharmakolith
— Markirch 09 I 25
— Schladming (Steiermark) CBI 1908 279
- Pharmakosiderit
— Calafuria, südl. Livorno, im Macigno 06 I 169
— Cornwall, Brechungskoeffizient 08 II 143
— Schlaggenwald 05 I 199
- Phasen, mehrere feste u. flüssige, bei einer Substanz 09 I 1, 2
- Phasenlehre
— u. deren Anwendung CBI 1907 691
— Anwendung auf Kristallographie 07 II 172
- Phasenregel, Anwendung auf Eruptivmagmen u. deren Erzführung 07 II 56
- Phaseolites manhasse-tensis, Kreide, Long Island 07 I 495
- Phaseolyse BB XXVIII 344
- Phasianella Provençali, Kreide, Orgon (Bouches-du-Rhône) 06 I 318
— sericata, Hypersenon, Peterwardeiner Gebirge 06 II 267
- Phenacocoelus typus 07 II 487
- Phenacodontidae, Kreide, Patagonien 05 I 168
- Phenacolestes mirandus u. parallelus, Miocän, Florissant, Colorado 08 II 111
- Phenakit
— Zwillingsbildung BB XXIII 331
— Afrika, Deutsch-Ost- 07 II 384
— — Usagaragegend CBI 1905 283
— Brasilien, Goldmine S. Miguel de Piracicaba CBI 1909 264, 268
— Cornwall CBI 1905 191
— Ehrenfriedersdorf, in Zinnerzgängen CBI 1908 365
— Gloucester, Mass., Umwandlg. aus Danolith, Kristalle 09 I 20
— Schlesien (Dobschütz b. Reichenbach und Tschirnitz b. Jauer) CBI 1908 551
— Tangen b. Kragerö, Analyse CBI 1907 247
- Phenylsulfid, Brechungsindex, niedrig CBI 1909 396
- Philippiella 1907 II 338
- Philippites jolinkanus, Muschelkalk, Himalaya 08 II 243
- Phillipsastraea, Devon, Ostthüringen BB XXIV 275
- Phillipsia, jüngerer Paläozoicum BB XXV 323
— Eichwaldi u. gemmulifera, Culm, Königsberg b. Gießen BB XXVIII 652
- Phillipsit
— Bürgenheim (Wetterau), Kaiserstuhl, Nidda (Vogelsberg), Stempel bei Marburg, Glühverlust 06 I 25
— Färöer 09 I 29
— Palagonia, Begleiter 08 II 35
- Phiomia, Eocän, Aegypten 06 I 447
- Phlegetontia, Carbon, Linton 08 II 271
- Phlegetontiidae, Wirbel u. Rippen 08 II 271
- Phlegräische Felder, vulkanische Tätigkeit 1905 II 206 06 I 198
- Phlocosinites Brunni, Rehi u. regimontanus, balt. Bernstein 08 II 113
- Phlogopit
— Cadonighino, Tessin BB XXVI 519
— Ceylon 06 I 180
- Phlyctenodes Steinmanni, Eocän, Pesth 05 II 318
- Phocaena, Boldérien, Antwerpen 07 I 133
- Phociden, Tertiär, Dänemark 06 I 445
- Phoenicopsis Potoniéi, Jura, Zentralasien 09 I 464
— Yamadei, Trias, Yunnan 07 II 342
- Pholadomya anaëna, Kreide, Kalifornien 06 I 288
— cf. connectans u. Quinuana, Senon, Mittel-Peru BB XXIV 115
— elongata, Neocom, argent. Kordillere BB XXIII 221
— obscura, Jura, Black Hills 08 I 264
— Roebberae 07 II 468

- Pholadomya Roemeri, Buda
limestone, Kreide,
Nordamerika 1906 I 308
- terra-reginae, Kreide,
Queensland 07 II 289
- Pholas, Kreide, Bregen-
zer Wald BB XXVII 20
- pseudoustjurtensis u.
scrinium, Miocän,
Novotschekalk 07 I 114
- Pholidophorus latimanus,
Eichstätt = Eugna-
thus Vetteri, Nus-
plingen 09 I 452
- macrocephalus, lith.
Kalk, Nusplingen 09 I 454
- Phonolith
- Adjellela, Zentral-
afrika, mit Aegirin 09 II 235
- Ampasindava (Mada-
gaskar) 05 I 435
- Beagle-Expedition 09 II 394
- Böhmen, Aussig, Fluß-
spat im Natrolith- . CBI 1908 673
- — zw. Böhm.-Kam-
nitz u. Kreibitz 06 II 357
- — Mittelgebirge,
Kostenblatt-Milleschau 06 II 83
- Böhm. Mittelgebirge,
Mädstein, Kontakt
mit turon. Kreide-
mergel 09 II 219
- Neuseeland, Otago-
Halbinsel 08 I 233
- Paraguay, Sabucay
(Distr. Ibitimi), chem.
São Thomé 05 II 76
- Phonolithtrachyt, Ant-
arktis 09 II 76
- Phormocampe elegans,
Kreide, Euganeen 06 I 474
- Phormocytis veneta,
Scaglia, Euganeen 06 I 475
- Phosgenit, Altai, Syrja-
nowsche Grube 09 II 368
- Phosphate
- Algier u. Tunis, Fische 05 II 479
- Kertsch 09 II 30
- Ocean Island, Südsee 05 II 424
- Tennessee 05 I 260
- Phosphat-Favas, Brasi-
lien, im Diamantsand 08 I 32
- Phosphatgele CBI 1909 329
- Phosphatlagerstätten,
Frankreich, Algier
u. Tunis 09 II 243
- Phosphor
- Auftreten in Erzlager-
stätten 1906 I 49
- Hittorf'scher, Kristall-
form CBI 1908 296
- Phosphor-Arsen-Gruppe,
heteromorphe Modi-
fikationen 08 II 155
- Phosphoreszenz, Elemente,
die sie erzeugen 08 II 144
- Phosphorferrit im Eisen 05 I 127
- Phosphorgehalt d. Eisen-
erze, geologisch 06 I 48
- Phosphorit
- Podolien, chem. 09 II 357
- — Knollen mit Po-
dolit CBI 1907 279
- Thüringen, östl. u.
Vogtland, Konkretion-
en im Untersten
Culm BB XXII 48
- — — — Pflanzen-
versteinerungsmittel BB XXII 77
- Phosphorosaurus Ortliebi
= Plioplatecarpus
Houzeau, Kreide,
Belgien 05 II 308
- Photoelektrische Ströme
des Selen BB XXI 382
- Photographische Platte,
Wirkung d. Gesteine CBI 1905 58
- Photographische Repro-
duktion von Ammo-
nitensuturen u. Am-
bulakren v. Seeigeln,
Apparat CBI 1907 422
- Photographische Wirk-
ungen radioaktiver
Mineralien CBI 1909 145
- Phryganoiden, Miocän,
Florissant, Colorado 08 II 111
- Phrynorhombus Bassoli,
Otolithen, Tertiär,
Oesterreich 07 I 481
- Phtalsäure
- Aetzfiguren 08 I 315
- künstl. gefärbte Kri-
stalle 07 I 6
- Phylactella (?) orbiculata
u. ventricosa, Eocän,
Tunesien 05 II 142
- Phyllit
- Böhmen (Reichenau
u. Tynist) 08 II 64
- Bormio-Tonale, Kar-
tenblatt 08 II 65

- Phyllit
 — Bozen, Porphyrgbiet BBXXVII 80
 — Brixen 1909 I 386
 — Ecuador, Ostkordil-
 lere 06 I 398
 — Göpfersgrün, umge-
 wandelt in Speckstein 05 II 214
 — Hochedergruppe . . . 08 II 67
 — Laaser Gruppe, Tirol
 1909 I 381, 383
 — Mies, Böhmen 06 II 362
 — Rothau, Böhm. Erz-
 gebirge BB XXIII 478
 — Sterzing BB XXII 532
 Phyllitformation, Sächs.
 Granulitgebirge, Süd-
 ostflügel CBI 1905 109
 Phyllites cissiformis, Pal-
 eocän, Leval (Henne-
 gau) 09 II 491
 — denticulatus u. intri-
 cata, Judith river
 beds, Nordamerika . . 07 I 440
 Phyllitische Glimmer-
 schiefer, St. Gotthard
 (Südseite) BB XXVII 183
 Phyllobrissus Jourdyi,
 ob. Jura, Tunis 07 II 156
 Phylloceras, Abstammung
 — baonicum, Frechi,
 Hintzei, Loczyi, Lö-
 rentheyi, perplanum,
 Semseyi, Szaboi und
 trilabiatum, Unter-
 dogger, Csernye, nord-
 östl. Bakony 05 II 426
 — Böckhi, Borni u. Ga-
 jarii, Oberlias, Cser-
 nyne, nordöstl. Bakony 05 II 426
 — Borni, heterophyllum,
 Nilssoni u. cf. zetes,
 Jura, südwestl. Bal-
 kanhalbinsel BB XXI 287
 — Caldwellii, Horse-
 fieldii, Montgomeryi
 u. Sclateri, Lias, ti-
 betan, Klippen des
 Central-Himalaya . . . 08 II 414
 — Diegoi, Kreide, Diego
 Suarez 07 II 334
 — galoi, insalindae, ma-
 layanum, monsuni,
 passati 07 II 447
 — giganteum u. sub-
 alpinum, Acanthicus-
 Schichten b. Gießhübl 08 I 264
- Phylloceras Hantkeni,
 Mittelias, Csernye,
 nordöstlich Bakony . 1905 II 426
 — hungaricum, infra-
 liasicum, Lipoldi var.
 primitiva, oenotrium
 var. complanata,
 Prinzi u. Szadeczkyi,
 Unterlias, Alsórákos 09 II 139
 — malayanus, Jura, Buru BBXXV 325
 — mazapilense, Jura,
 Sierra de Mazapil u.
 Santa Rosa, Mexiko 07 I 279
 — shastalense, Kreide,
 Kalifornien 06 I 288
 Phylloceratidae, gekielte,
 systemat. Darstellg.
 CBI 1906 237, 417
 — Kielbildung 05 II 483
 Phyllocoenia transiens,
 Senon, Portugal 07 I 487
 Phyllocrinidae, Körper-
 form Festband 303
 Phyllocrinus, Körperform Festband 304
 Phyllopoden d. Untersilur
 (Ribeiria u. Ribeirella) 05 II 316
 Phyllospodyler Typus
 der Tetrapoden 09 II 113
 Phyllotenia longifolia,
 Korallenoolith, Nord-
 deutschland 09 I 462
 Phyllothea Etheridgei,
 Glossopteris-Flora . . . 08 I 153
 — Whaitsi, Uitenhage
 series, Kapkolonie . . . 08 I 149
 Phymechinus Lambertii,
 Valanginien, Savoyen 05 II 325
 Phymosoma Revili, Haute-
 rivien, Savoyen 05 II 326
 Physa cenomanensis, mi-
 nima, nucleus, simey-
 rolsensis u. subcylind-
 rica, Cenoman, Süd-
 frankreich 07 II 132
 Physematopitys Goepperti,
 westl. Verein. Staaten 09 I 149
 Physeteridae, Boldérien,
 Antwerpen 07 I 133
 Physeteriden, systemat.
 Stellung 06 II 294
 Physeterula, Boldérien,
 Antwerpen 1907 I 131, 134
 Physikalische Chemie, An-
 wendung auf Minera-
 logie u. Geologie 09 II 182
 — u. Kristallographie 06 II 313

- Physikal.-chemische Beschaffenheit des technischen und Meteor-eisens. 1905 I 122
- Physikal.-chemische Mineralogie v. DOELTER CBI 1905 629
- Physikalische Kristallographie v. E. SOMMERFELDT. CBI 1907 472
- Physiographie
— der Erdoberfläche. . . 06 II 44
— mikroskopische, ROSEN-
BUSCH, siehe mikro-
skop. Physiographie.
- Physostoma elegans u.
Kidstonii, Paläozoi-
cum 09 I 309
- Phytophtirites disodilis,
mitteleocän. Dysodil,
Melilli, Sizilien . . . 05 II 152
- Phytosauria 09 I 445
- Phytosaurusschädel, Keu-
per, Schwaben CBI 1909 583
- Piatigorsk (Kaukasus),
Lakkolith 07 I 233
- Piavegletscher 07 I 222
- Pic de Teyde, vulkan.
Tätigkeit 09 I 363
- Picea excelsa, quartär,
Eberbach a. Neckar . . 06 II 434
- Piceites Schenkii, Bern-
stein, Ostpreußen . . . 09 I 308
- Picentini, Monti (Salerni-
tano), Geologie. 09 I 98
- Picotit im Basalt CBI 1906 206
- Picotitbasalt CBI 1906 207
- Picrodon Herweyi zu
Gresslyosaurus ingens . 09 I 287
- Pictetia Astieriana, Neo-
com, Mangyschlak . . . 06 I 465
- Piedmont Distrikt, Pen-
sylvanien und Mary-
land, Geologie 07 II 220
- Piedmont Plateau, Mary-
land, Geologie 05 II 414
- Piemont
— Bau der Alpen . 1906 II 256. 258
— Geosynklinale 09 II 90
— Schweremessungen . . . 05 I 224
- Pieninische Klippenzone,
West-Karpathen, Geo-
logie 05 II 91
- Piesberg-Sattel, Osnab-
rück, Geologie 1909 II 251. 253
- Piezoglypten u. Regma-
glypten bei Meteoriten . 09 I 353
- Piezokristallisation und
Kristallisationsschie-
ferung 1909 I 375
- Piezopleochroismus an
Silberhaloiden CBI 1908 393
- Pigmente
— der Mineralien 07 II 166
— siehe auch Färbung
und Farbstoffe.
- Pikrinsäure, anomale
Kristallformen 05 II 333
- Pikrit
— Lahn- u. Dill, Ober-
devon BB XXVIII 382
— Pyrenäen (Bellongue
u. Ger-Tal) 05 I 428
— rhein. Schiefergebirge . 07 I 55
— Sechshelden, Amphihol-
pikrit BB XXVII 285
— Skye 06 II 65
— Steinperf m. Gesteins-
gängen BB XXVIII 395
— Westerwaldbahn Her-
born—Driedorf BB XXIV 393
- Pikritporphyr
— Birma, mit Jadeit . . . 09 I 185
— Jenissey, Goldlager . . 05 II 249
- Pikroilmenit, Ceylon,
Edelsteinsande 07 II 18
- Pikrothomsonit, Monte-
catini, Toskana 07 II 40
- Pilarit, Chile CBI 1909 331
- Pilbara-Goldfeld, West-
australien 09 I 237
- Pileolus semiplicatus =
plicatus, Kreide, Sachs. . 06 I 317
- Pilocrinus, Körperform Festband 290
- Pilolit, Can Pey (Pyr.
orient.), Frankreich
(Lassalit) 09 I 192
- Pilolit-Palygorskite, siehe
diesen.
- Pinacoceras aspidoides,
Trinodosus-Schichten,
Schieflingshöhe CBI 1909 642
- Beecheri, Tropites-
limestone, Byans 08 II 239
- Loomisi und Rajah,
Muschelkalk, Hima-
laya 08 II 245
- Suessi, ob. Trias, Si-
zilien 05 I 347
- Pinacodendron Maccoc-
nochiei, Upper coal
measures, Canonbie,
England 06 II 463

- Pindoskalk, Trias . . . BB XXI 226
- Pinguit
— Quittein, Westmähren, Eisenerzlagersstätte 1905 II 243
- Sternberg—Bennischer Schalteinzug . . . CBI 1907 294
- Pinites Solmsi, Wealden, Bernissart, Belgien . 07 I 492
- strobiformis, Portland, Boulogne-sur-Mer 09 I 459
- thiohoensis (Pityophyllum), Jura, Mandschurei 09 I 464
- Pinitoid CBI 1909 332
- Pinna, schwäb. Muschelkalk CBI 1906 114
- jurassica, Jura, Black Hills 08 I 264
- patagoniensis, unt. Kreide, Patagonien BB XXV 608
- raricosta, Kreide, Schaumburg-Lippesche Mulde 06 I 441
- Robinaldina, Valanginien—Aptien, argent. Kordillere BB XXIII 207
- Pinnatopora flexicarinata, karn. Fusulinenkalk 06 II 155
- Pinnidae, Kreide, England 06 I 466
- Pinnoit, künstl. Darstellung 05 I 192
- Pinolitmagnetit, Ostalpen, Genesis CBI 1909 714
- Pinonate bei Lima, Peru, Wealden BB XXIV 74
- Pinoxylon dacotense . . 07 II 501
- Pinus cembraefolia, dolychophylla, Künowii, multicellularis, Schieferdeckeri und Schumanni 09 I 308
- Laricio, Braunkohlen, Dürkheim, Pfalz . . 09 I 468
- matawanensis, Matawan-Formation, Nordamerika 07 I 494
- montana, nicht in interglaz. Schieferkohle, Bayern 09 I 470
- Sauvagei, Portland, Boulogne-sur-Mer . . 09 I 459
- shastensis 07 II 504
- Pinus schista 1907 II 506
- serrata (Larix?), Bernstein, Ostpreußen . . 09 I 308
- veronensis 07 II 505
- Pinzgauer Mittelgebirge . 06 II 238
- Pirena robusta, Senon, Süd-Persien 06 I 444
- Pironaea slavonica, ob. Kreide, Cserevitz-Graben 05 I 359
- Pirssonit, Entwässerung . 05 II 4
- Pisa, Quartär 05 I 146
- Pisanit, Gonsalez, Monterey Co., Cal. 05 I 204
- Pissophan CBI 1909 329
- Reichenbach i. Vogtl. . 05 I 191
- Pithanodelphis cornutus, Boldérien, Antwerpen . 07 I 137
- Pithecanthropus erectus, Alter (quartär) 1909 I 111, 114
- — Altersbestimmung der Kendengschichten CBI 1909 513
- — in den Kendengschichten, Java, diluvial BB XXV 648
- — Stellung zu Mensch 1905 II 301 Festbd. 270
- Pithecanthropus-Schichten, Trinil (Ost-Java), Alter Festbd. 256
- Pitheodon Sikorae, Madagaskar 06 II 448
- Pittizit CBI 1909 330
- Schlaggenwald 05 I 199
- Sibirien, Grube „Sechstes Berikulskifeld“, Kreis Mariinsk, Gouv. Tomsk 09 II 357
- Pityophyllum alpinum, Lias, österr. Voralpen . 08 II 448
- flexile, Santa Maria de Meya, Spanien . . 09 I 458
- thiohoense, Jura, Mandschurei 09 I 464
- Pityoxylon annulatum, westl. Verein, Staaten . 09 I 149
- Holicki, Kreide, Clifford, N. J. 05 I 303
- Piz Lad-Gruppe, Unterengadin, Geologie . . 08 II 228
- Placenticerias, Sutur . . 05 I 177
- californicum, Kreide, Kalifornien 06 I 288
- crassatum, depressum, incisum, Newberryi, planum, pseudo-Or-

- bignyanum, pseudo-placenta, sancarlense, Schlüter, Spielmani, Stantoni und Whitfieldi, Kreide . 1907 II 157
- Placenticerus ? intermedium und rotundatum, Kreide, Los Cerillos (Neu-Mexiko) 08 I 437
- kaffrarium und umkwelanense, Kreide, Umkwelane Hill, Zululand 06 I 308
- syrtale var. Gabbi, Senon, Mittel-Peru. BB XXIV 125
- Placenticeratidae, Kreide 07 II 151
- Placites Humboldtensis, norische Stufe, Nevada 06 II 303
- Placochelys placodonta, Obertrias, Bakony . 07 II 329
- Placodus verglichen mit Edaphosaurus 08 I 299
- Placosmilia flabelliformis, Kreide, Calloneghe . 05 I 317
- Placoziphius, Boldérien, Antwerpen 07 I 134
- Placunopsis orbica, Lettenkohle—Keuper, Schwaben BB XXV 65
- (= gracilis) und ostracina, Lettenkohle, Württemberg CBI 1907 26
- Plagiaplit, Koswinsky Kamen, Ural 05 I 75
- Plagiaulacoidea, Argentinien 05 I 157
- Plagiaulax cordatus, Argentinien 05 I 158
- Plagiocidaris pseudocervicalis, Jura, Haute-Marne 09 II 480
- Revili, Barrémien, Savoyen 05 II 326
- Plagioklas
- Achsenwinkel bestimmt aus d. Doppelbrechung 07 I 189
- Ausscheidung aus Schmelzflüssen . . 1908 II 15. 23
- Bestimmung in Dünnschliffen durch Albitzwillinge 05 I 26
- Darstellung, Isomorphismus, Schmelzpunkt, therm. Eigenschaften 06 I 334
- Plagioklas
- Molekularprozente u. spez. Gewicht, Verbesserung von WÜLFRING, mikrosk. Physiographie CBI 1905 745
- optische Eigenschaften 1907 I 351
- Schmelzkurven 07 II 22
- in Silikatschmelzen
- BB XXII 198. 245
- Japan, Analyse 07 I 218
- Schmiedeburg (Riesengebirge), im Granit CBI 1909 770
- Vesuv 1906 08 I 44
- siehe auch Albit, Anorthit etc., Faserplagioklas.
- Plagioklasaugitporphyrit, Monzoni u. Predazzo, chem. Zusammensetzung 06 I 59
- Plagioklasporphyrit
- Kiautschou 06 II 369
- Le Selle-Pass, Fassatal CBI 1905 53
- Plagioklasreihe, basische Glieder, und Orthoklas CBI 1909 663
- Plagiolophus annectens, Cartieri, Fraasi, minor etc., Eocän, Schweiz 06 II 284
- Cartailhaci und Noutleti, Bartonien, Castrais 05 II 303
- Plagiophthalmus pentagonalis, jüngste Kreide, Schonen 06 II 141
- Plagiopygus daradensis, Lutétien, Senegal . . 05 II 289
- Plagiostoma azteca, Senon, Cardenas, Mexiko
- Meyeri, Kreide, England 06 I 466
- planicosta, Kreide, Schaumburg-Lippe . . 06 I 441
- Planaxis breviculus, Eocän, Paris 07 II 303
- Planchéit, Mindouli, Französisch-Kongo . . 09 I 191
- Plan de Nette, Fenster Pläner, Varians-, Braunschweig 06 II 428
- Planera betuloides, Kreide, New York 08 I 455

- Planetensystem
 — Entstehung . . . 1907 I 372. 373
 — innere Dichtigkeit, Druck- u. Trägheitsmomente der Hauptkörper 1907 I 373
 Planopsimal-Hypothese 07 I 372
 Planops magnus etc., Santa Cruz beds, Patagonien 06 I 463
 Planopsidae, Santa Cruz beds, Patagonien 06 I 463
 Planorbis cretaceus, Cenoman, Südfrankreich 07 II 132
 — Lincki (Coretus), Alttertiär, Weilheim (Ries) 08 I 433
 — Mariae (Gyorbis), Pliocän, Cueva Rubbia, Spanien 07 II 16
 — spissus, Bathonien, St. Gaultier (Indre) 08 I 262
 — Thiollieri, Pliocän, Cueva Rubbia, Spanien 07 II 13
 Plantaginopsis und Pl. marylandica 07 II 506
 Plantigrada, Patagonien, Extremitäten . 1907 II 138. 140
 Plastische Umformung von Kristallen unter Druck 06 II 80
 Plastischer Ton, Dänemark, Alter CBI 1907 58
 Plastizität v. Kristallen — u. flüssige Kristalle . CBI 1905 207
 — Zunahme mit der Temperatur (Steinsalz) 09 I 60
 Plastizität des Tonen, Erklärung 08 II 217
 Plastomenus tantillus und visendus, Nordamerika 09 I 452
 Plataninium crystalliphilum, Haydeni, Knowltoni u. pacificum, westl. Verein. Staaten 09 I 149
 Platanista, Platanistidae, Bölderien, Antwerpen 07 I 132
 Plateosauridae, Trias, Europa 09 I 287
 Plateosaurus, Gattung . CBI 1905 10
 — Elizaе, Infraalias, Provenchères-sur-Meuse 08 II 438
 Repertorium 1905—1909.
- Plateosaurus Engelhardti = Zanclodon bavari-cus 1909 I 287
 — erlenbergiensis, Quenstedti und Reinigeri, ob Keuper 09 I 287
 — Reinigeri 09 I 287
 Platin
 — Legierungen mit Au und Cu 08 II 157
 — — mit Fe 08 II 157
 — Lichtbrechung 08 I 170
 — Produktion 1903 06 I 356
 — Schmelzpunkt 1906 II 321 08 I 9
 — Brasilien 1905 II 346 07 I 335
 — Neuseeland 08 I 399
 — Ural, im Schwefelkies 07 II 354
 — — Nische Tagil, Wäschereien 07 I 260
 Platinmetalle
 — Nachweis in der P-Salzperle 08 II 156
 — Zerstäubung u. Rekrystallisation 05 I 17
 Platodiäthylaminchlorid — u. -bromid, Krist. 07 I 97
 — (-Hydrat) u. Anhydrid, Kristallform 07 I 97
 Platodiäthylaminnitrat, Kristallform 07 I 98
 Plattendolomit, Frohburg—Kohren (Sachsen), im Zechstein, Pflanzen 05 I 539
 Plattenkalke, Solnhofen, Fauna 05 I 458
 Platyceras, Devon, Ostthüringen BB XXIV 299
 — Bistrami, laevicostatum u. aff. robustum Devon, Bolivia BB XXV 511
 — Clarkei, Devon, Jachal, Argentinien 06 I 303
 Platygonus compressus der Michigan-Universität 06 I 147
 — texanus, Pliocän, Texas 05 II 469
 Platypedia primigenia, Miocän, Florissant, Col. 08 II 111
 Platypeltis extensa und postera, Nordamerika 09 I 452
 Platyphylax (Eopteryx) florissantensis, Miocän, Florissant, Col. 08 II 111

- Platystrophia, Entwicklungsgeschichte . . . 1905 II 324
 Plectambonites papillosa, Untersilur, Haverfordwest District . . . 06 II 140
 Plegiocidaris gourdonensis, mittl. Barrémien, Gourdau, Alpes maritimes 09 II 481
 Pleistocän, Island
 CBI 1905 535, 546, 740
 Pleistocän-Fauna, Rumänien 05 I 320
 Pleochroismus
 — der mit bas. Teerfarben angefärbten Silikate 08 I 161
 — durch Druck an Silberhaloiden CBI 1908 393
 — durch orient. Druck, blau Steinsalz und Sylvin CBI 1907 166
 — Erklärung mittels metall. Gitterpolarisation 06 I 323
 — künstlicher 06 II 3
 — Anhydrit, Staßfurt 08 II 320
 — am blauen Steinsalz, künstl. 08 II 157
 — Schwerspat v. Teplitz CBI 1908 393
 Pleochroitische Höfe
 — Entstehung 08 II 144
 — erzeugt durch Radioaktivität
 CBI 1907 397 CBI 1909 65, 113, 142
 Pleonast, siehe Ceylanit.
 Plesiofelis cretaceus u. Schlosseri, Kreide v. Lago Musters, Patagonien 05 I 498
 Plesiolampas Paquieri, ? Paleocän, Zentralafrika 09 II 482
 — Saharæ, Eocän, Zentralafrika 07 II 265
 Plesiomys porcata var. sladensis Untersilur, Haverfordwest District 06 II 140
 Plesiophyllia calloviensis, Jura, Frankreich
 Plesioptygmatis Burckhardti, Senon, Cardenas, Mexiko 08 I 102
 Plesiorcyteropus, Tertiär, Madagaskar 07 I 464
 Plesiosaurier, Beziehung zu Schildkröten . . . 1909 I 442
 Plesiosaurus Degenhardti, Kanzleri, limnophilus und valdensis, Wälderton, Gronau CBI 1905 681
 Plessit. eutekt. Gemenge v. Taenit und Kama-zit 07 I 358
 Plessit-Siderite = Eutrope Lacunite, im Meteoreisen 05 I 147
 siehe Meteoreisen.
 Plessurgebirge, zentrales, Geologie 08 II 230
 Pleuriston brachycoelus, Perm, Oklahoma 08 I 292
 Pleurocora Angelisi, Kreide, Ostgalizien 09 I 294
 Pleurodictyum Dechnianum u. spec., Culm, Königsberg b. Gießen
 BB XXVIII 654
 — cfr. problematicum, Devon, Bolivia BB XXV 563
 — Selcanum, Styliolinschiefer, Ostthüringen
 BB XXIV 273
 Pleuromeia?, Makrosporen im Buntsandstein, Halle a. S. 09 I 461
 Pleuromya (?) concentrica, Jura, Black Hills 08 I 264
 — cfr. impressa, Trias, Tobisinschichten, Süd-Ussuri-Gebiet BB XXVII 536
 Pleuronectes sectoroides, Otolithen, Tertiär, Oesterreich 07 I 481
 Pleuronectites Aubryi = Velopecten abjectus, Jura, Ostafrika BB XXVIII 164
 Pleurophorus gregarius, Permocarbon, Neu-Süd-Wales 07 I 485
 — Perm, Texas CBI 1908 686
 Pleurostomella antiqua, Permocarbonkalk, Neu-Süd-Wales 06 II 455
 Pleurostylodon, Kreide, Patagonien 05 I 168
 Pleurostylops, Kreide, Patagonien 05 I 168
 Pleurotoma camerunensis u. wuriana, ? Eocän, Kamerun 06 II 123

Pleurotoma cerithiorum u. Steenstrupi, Ober- senon, Dänemark	1906 I 309	Plicatula Bonneti, Eocän, Loire inférieure	1906 I 154
— deperdita, hyper- senonica und orba, Hyperesenon, Peter- wardeiner Gebirge	06 II 268	— lugdunensis, Zone d. Lioc. concavum, Cou- zon-au-Mont-d'Or b. Lyon	05 I 464
— faxensis, Danien, Dänemark	06 I 309	— pustulosa, Eocän, Paris	07 II 303
— Koeneni, Ludmilae u. subcrassa, Paläocen, Saratow	05 II 121	Plicatulopecten Böhm, Senon, Peru	BB XXIV 104
— vasconum (Hemi- pleurotoma), blaue Mergel v. Côte des Basques b. Biarritz	06 II 439	Pliocän — Grenze gegen Miocän	07 II 1
Pleurotomaria araris, Depereti, sub-geo- metrica, sub-Grasi, sub-rhodanica u. Vaf- feri, Zone d. Lioc. concavum, Couzon- au-Mont-d'Or bei Lyon	05 I 464	— Alpes-Maritimes, Küste	07 II 451
— Arnoldi, Fingal, fos- sata u. timmerniana	07 II 468	— Bologna, Fischoto- lithen	08 II 277
— blanda, fastuosa, pi- sum, subgranosa, sub- laevis u. subvittata, Culm, Königsberg b. Gießen	BB XXVIII 650	— Mainzer Becken, Zu- sammenhang mit dem am Niederrhein	08 I 268
— Fakhryi, Campanien, Aegypten	05 II 285	— Niederrhein	07 II 451
— hunica (Mourlonia), Perm, Malla Sangha, Zentral-Himalaya	05 II 279	— Spanien, Cueva Rub- bia, Säugetiere und Süßwassergastropo- den	07 II 1
— indica, Muschelkalk, Himalaya	08 II 241	Pliodolops, Kreide, Pata- gonien	1905 I 159, 169
— Kayseri, Devon, Bo- livia	BB XXV 508	Pliohippus	05 II 468
— linthorstiensis, Kreide, Schaumbg.-Lippesche Mulde	06 I 442	— pernix, Miocän, Süd- dakota	08 I 129
— Loczyi, Carbon, Sin- ho-yi am Nan Schan, China	05 II 299	Pliomeria (Trilobiten)	CBI 1907 131
— neosolodurina, oberer Jura, Somaliland	06 I 281	Pliopithecus antiquus, Obermiocän, Oppeln	08 II 425
— Stantoni, Buda lime- stone, Kreide, Nord- amerika	06 I 308	Plioplatecarpus Hou/eau = Phosphorosaurus Ortliebi, Kreide, Bel- gien	05 II 308
— thebensis, Blätter- mergel von Theben, Aegypten	06 II 122	— Marshi, Kreide, Bel- gien	05 II 308
— Weissermeli, mittl. Gault, Algermissen	05 I 317	Pliosaurus sp., Ornaten- ton, fränk. Jura	CBI 1907 667
		Pliostylops, Kreide, Pata- gonien	05 I 168
		Plombierit	CBI 1909 331, 332
		Plumasit — Kalifornien, Spanish Peak	07 II 76
		— Mosso (Piemont), Ko- rundgestein	05 I 372
		Plumbogummit	CBI 1909 330
		Plusinglanz, siehe Argy- rodit. Pneumatisierter Wirbel eines Anomodontiers (Tamboeria Maraisi), untere Karruforma- tion, Kapkolonie	06 I 310

- Pneumatolyse
 — England, westl., Kaolinbildung 1909 II 191
 — und Pegmatite 05 II 384
 Pneumatolyt. Veränderung saurer Eruptivgesteine vergl. mit Verwitterung 09 II 60
 Podocampe Eifeliana, Scaglia, Euganeen 06 I 475
 Podocarpites Kowalewskii 09 I 308
 — — Bernstein, Ostpreußen 09 I 308
 Podolien, Geologie 05 II 99
 Podolit, Podolien CBl 1907 279
 Podozamites caroliensis 07 II 500
 — pachynervis u. pachyphyllus 07 II 503
 — stonesfeldensis, Jura, England 07 I 490
 — taylorsvillensis 07 II 500
 Poessneck, bearbeitete Knochen 05 I 320
 Poikiloplastische Struktur 05 I 72
 Pojana-Ruszka, Geologie der westl. Ausläufer 06 I 262
 Polarer Seentypus, Baikalsee 05 I 408
 Polargebiete, Expedition der Fram 1808—1902 06 II 96
 Polarisation der Grenzkurven der Totalreflexion 05 I 184
 Polarisationsebene
 — Drehung in flüssigen Kristallen 06 II 149
 — gedreht durch die Linsen der Instrumente 08 I 3
 Polarisationsmikroskop
 — Gebrauch nach WEINSCHEK CBl 1906 522
 — Prüfung durch feinste Quarzspindeln von Bramsche bei Osnabrück CBl 1907 275
 siehe auch Mikroskop.
 Polarisations-Mikroskoppolymeter CBl 1905 593
 Polarisierendes Mikroskop CBl 1904 507
 Polarität und Zwillingsbildung BB XXIII 237
 Polarländer, südliche, Geologie CBl 1906 173
- Polen
 — Jura 1908 I 261, 262
 — obere Kreide 1906 II 110
 Poliargit, Weißes Meer u. Poliargitisierung 07 II 370
 Polieren, gegenseitiges, versch. Substanzen 06 I 8
 Poliosauridae, Poliosaurus, Nordamerika 08 I 290
 Poljen v. Blaca u. Konjesko b. Spalato, Geol. 05 I 452
 Pollicipes (?) aucklandicus, Tertiär, Neuseeland 05 II 317
 Polnisches Mittelgebirge, Devon von Skaly 05 II 107
 — ob. Mitteldevon 05 I 127
 Polycyclus nodifer, Subbullatus-Schichten, Kalifornien 06 II 306
 Polydolopidae u. Polydolops, Kreide, Patagonien 05 I 169
 Polygonocarpus Czarnockii, Carbon, Dombrowa 09 I 146
 Polyhalit
 — Auftreten in ozean. Steinsalzlagern bei 25° 05 I 192
 — bei 83° 08 II 159
 — Maman (= Mamanit) 06 I 161
 Polykras, Norwegen, Granitpegmatitgänge des südlichen 08 I 347
 Polymastodontidae, Argentinien, Entwicklung 05 I 159
 Polymorphastrea, Dogger, St. Gaultier (Indre) 09 I 294
 Polymorphe Doppelbrechung 06 II 317
 Polymorphe Körper 08 II 146
 Polymorphe Mineralien, Stabilitätsfelder 07 II 10
 Polymorphie
 — der Alkalinitrate 06 II 164
 — der Flüssigkeiten 09 II 330
 — des NaClO₅ 09 I 162
 — der Nitrate 05 I 12
 — Unterschied v. chem. Isomerie 05 I 11
 — u. Isomerie, Bedeutung f. Entstehungstemperatur der Mineralien 06 II 45

- Polymorphie
— u. Pseudosymmetrie. 1908 II 3
— siehe auch Dimorphismus und Polysymmetrie.
- Polymorphina, einige Spezies v. D'ORBIGNY 1826 06 II 309
- Polymorphinidea, Globigerinenmergel, Bahna, Rumän. Karpathen 09 II 150
- Polypodium oregonense 07 II 503
- Polypora, Entwicklung. 05 II 144
- karn. Fusulinenkalk 06 II 150
- Polyptychus Morgani, Kreide, Südpersien 1906 I 443. 444
- Polystoechotes piperatus, Miocän, Florissant, Col. 08 II 111
- Polystomella crispa = Faujatina carinata, Pozzuoli 06 II 309
- macella var. limbata, Victoria, Austr. 09 I 144
- subumbilicata var. centronondpressa, Globigerinenmergel, Bahna, Rumän. Karpathen 09 II 158
- Polystomellinae 08 II 286
- Polysymmetrie 09 II 178
- Pomatiás antiquus und dubius, Alttertiär, Giengen b. Ulm 08 II 104
- Pommern
— alte Stromtäler 06 II 434
— oberer Jura 06 II 100
— und Nachbarschaft, Zusammenhang von Erdmagnetismus, Schwere und geolog. Bau BB XXII 114
- u. Rügen, Entwicklung des Bodenreliefs siehe Vorpommern. 07 I 117
- Pompeji, Leucit im Tuff 06 I 377
- Pondoland, Kreide 07 II 306
- Ponera Hendersoni, Tertiär, Florissant, Col. 07 I 322
- Pontoleon magnus 07 II 485
- Pontoplanodes argentinus u. obliquus, Pliocän, Argentinien 09 II 118
- Pontoporia, Bolderien, Antwerpen 07 I 132
- Ponzainseln, Sedimentär-
gesteine v. Zannone 1905 II 411
- Popanoceras Ganti, Carbon, Nordamerika 05 I 528
- Haugi, mittl. Trias, Inyo County 06 II 301
- Poponochaerus Jaeckeli, balt. Bernstein 07 I 323
- Populites amplus u. Hatcheri, Judith river beds, Nordamerika 07 I 440
- tenuifolius, Matawan-
Formation, Cliffwood,
New Jersey 07 I 494
- Populophyllum menispermoides u. minutum 07 II 505
- Populus cretacea, Judith river beds, Nordamerika 07 I 440
- Ricei 07 II 505
- Porcellia primordialis, Devon, Ostthüringen BB XXIV 298
- Porenstellung paläoz. Seesterne CBI 1907 741
- Poricella maçonica, Eocän, Tunesien 05 II 142
- Porocidaris prior, Blättermergel v. Theben, Ägypten 06 II 122
- ruinae, Untereocän, Spilecco-Tuffe 05 II 150
- Porodine Mineralien CBI 1909 325
- Porodiscus Bassanii, laevigatus, parvus, spiraliformis u. Vinasai, Miocän, Italien. 09 II 490
- crebriporus, Kreide, Euganeen 06 I 474
- Porotemnus, Kreide, Patagonien 05 I 168
- Porphyr
— Antillen, kleine 06 II 376
- Kiautschou 06 II 366
- Lappland, Eisenerz-
lagerstätten BB XXIV 548
- westfäl. Diluvium
CBI 1907 143. 168
- Zentralfrankreich. 07 I 389
- Porphyr, quarzfreier
— Lago Maggiore und Valsesina 05 II 65
- Nugget Point, Otago, Neuseeland 09 II 75
- Porphyrgebiet, Lago Maggiore u. Valsesina 05 II 64

- Porphyrische Struktur . 1907 II 416
 -- Erklärung 05 II 27
 -- und Eutektik 06 II 197
 -- und magmatische Resorption 05 II 1
 Porphyrit
 -- Bozen, enstatitführend 07 I 230
 -- Bruneck, Pustertal 09 II 220
 -- Ecuador, Ostkordillere 06 I 40
 -- Kärntner Alpen 08 II 213
 -- Kiautschou 06 II 367
 -- Lago Maggiore und Valsesina 05 II 64
 -- Le Selle-Paß, Fassatal, Plagioklas- CBI 1905 53
 -- Monzoni und Predazzo, chem. Zusammensetzung 06 I 59
 -- Ortlergruppe, Alter 09 I 380
 -- Pontesford Hill, Shropshire, und Tuffe 05 II 391
 -- Puente del Inca, Aconcagua BB XXIV 724
 -- Quebec 09 I 67
 Porphyritgänge mit Granatsalbändern, Monzoni und Predazzo 06 I 59
 Porphyrische Eruptivbreccien 06 II 369
 Porphyrkonglomerat, Elfdal (Dalarne), Schweden. Diluvialgeschiebe, Westfalen CBI 1907 153
 Porphyroblastische Struktur d. krist. Schiefer 05 I 72
 Porphyroide, Thüringen BB XXVII 326
 Porphyroidschiefer, Grand Menil, Belgien, Devon 05 II 106
 Porphyrschild, Bozen 06 II 245
 Porphyrtuffe, Lago Maggiore und Valsesina 05 II 66
 Porpitella Douxieuxi, Eocän, Aude u. Hérault 07 II 156
 Portlandzement
 -- Gelbbildung beim Erhärten 09 II 85
 -- petrographisch und chemisch 08 I 248
 -- Cement Belt, Pennsylvania 09 II 244
 -- Michigan, Industrie 06 I 238
 Portugal
 -- Erdbeben in 1903 06 I 40
 -- Kreidepetrefakten 1907 I 448, 487
 Portunus arabicus, Tertiär, Ormara—Kap, Mekran-Küste, Beludschistan 1906 I 118
 Porzellan, chem. u. phys. Natur 09 II 84
 Porzellanjaspis, Wyoming 07 I 244
 Posen, baltischer Eisstrom, jüngerer 05 I 473
 Posidonia Becheri, prod. Carbon CBI 1905 193
 -- -- Dortmund u. Essen CBI 1905 308
 Posidonienschiefer, Lias, südwestliche Balkanhalbinsel BB XXI 243
 Posidonomya, Trias, Bosnien 05 I 106
 -- Bronni, Lias, südwestl. Balkanhalbinsel BB XXI 291
 Positionswinkel φ und ρ für veränderte Aufstellung des Kristalls 07 II 163
 Postarchaicum und Archaicum, Seenregion, Nordamerika 07 I 74
 Postglaziale Talrinnen und Verkehrswege 07 II 477
 Posthume Salzbildungen im deutschen Zechstein 09 II 304
 Postpampas-Formation, Patagonien 05 I 142
 Postpithecius, Kreide, Patagonien 05 I 167
 Posttataetus, Kreide, Patagonien 05 I 170
 Postvulkanische Prozesse, Ursache CBI 1905 93
 Potamacformation, Flora 07 II 504
 Potamides crispoides, Senon, Südpersien 06 I 444
 -- malviensis (= ? lignitarum), ? revestensis, telonensis u. tenuigranulatus, Cenoman, Südf frankreich 07 II 132
 -- Semseyanus, Hyperesenon, Peterwardeiner Gebirge 06 II 267
 Potamobius antiquus, Kreide, Schaumburg-Lippe'sche Mulde 06 I 441
 Potamogetophyllum 07 II 505
 -- veronese 07 II 506

- Potamotherium franco-
nicum, süddeutsche
Bohnerze 1908 I 127
— lacota u. lycopotami-
cum (Lutricitis) 05 II 128
Potenza-Tal, oberes, di-
luviale Säugetiere 06 I 134
Poterioceras angustum,
? campylum, compac-
tum, latum u sub-
fusiforme, ob Ober-
devon, Enkeberg BB XXVI 627
Poteriocrinus geometri-
cus, Devon, Ostthü-
ringen BB XXIV 276
Potomac-Formation, Flora 07 II 504
Powellit
— Rußland 09 II 333
— Texas u. Nevada 09 I 194
Pozzolane, Rom, Radio-
aktivität 05 I 418
Pozzuoli
— Serapis-Tempel
1906 I 202 CBI 1906 218
— Solfatara 07 II 65
PräCambrium
— kalkfreier Ozean u.
Fehlen von Organis-
men 09 I 50
— Böhmen, Alaun- und
Pyritschiefer des
westlichen 06 I 52
— Fennoskandia, östl.
Teil CBI 1907 33
— Finnland u. benach-
bartes Rußland CBI 1906 600
— Georgetown, Colorado 08 I 238
— Lake Superior-Region 07 I 108
— Neualedonien 05 II 273
— Wisconsin, nördl. 09 I 226
Präcarbon, Timor, por-
tugiesisch BB XXIV 465
Praecardium angula-
tum, Devon, Ost-
thüringen BB XXIV 295
Praeglyphioceras pseudo-
sphaericum, ob Ober-
devon, Enkeberg BB XXVI 599
Prähistorie 1908 I 104 ff.
— siehe Artefakten,
Eolithen, Höhlen,
Mensch etc.
— und Geologie 07 II 471
Pracovibos priscus, Plei-
stocän, Süßenborn u.
Taubach CBI 1908 481
Praesorites (P. Moureti),
Oberkreide 1905 II 154
Praeuphractus limus u.
nanus, Santa Cruz-
Schichten 05 I 503
Prag, Geologie der Um-
gegend 07 II 105
Praktische Geologie, Fort-
schritte CBI 1904 151
Prasinit
— Susa-Tal, Rocca Bian-
ca, aus Gabbro um-
gewandelt 06 II 105
— Westalpen, Entste-
hung 07 I 229
— 06 II 247
Pražberg, Senkungsfeld
Predazzit, Teulada, Sar-
dinien 06 II 329
Predazzo
— Eruptivgesteine, chem.
Zusammensetzung 06 I 57
— leukokrate Gang-
gesteine 05 II 218
Prenhit
— Ajudagh, Krim 09 II 367
— Biella, Piemont, Dru-
sen im Syenit 06 II 40
— Fassatal, Glühverlust 06 I 26
— Horn, Niederöster-
reich CBI 1909 397
— Lyman's Crossing,
Holyoke Range, Caem-
ent des Tuffes 05 II 397
— Mongolei, Ulanska-
dyk-Gipfel 05 II 183
— Moore Station, New
Jersey 06 I 353
— Sachalin 08 II 334
— S. Fedelino am Comer
See, im Granit 07 II 35
— Schlaggenwalde 07 II 33
— Sibirien, Minussinsk-
scher Kreis 09 II 368
— Zöptau, Mähren 06 I 344
— 07 II 67
Prenhitfels, Schwaizwald
Premier Mine b. Pretoria,
grüßter Diamant (Cul-
linan-Diamant) 05 II 345
Prepotheriidae, Santa
Cruz beds, Patago-
gonien 06 I 463
Prepothorium, Santa Cruz
beds, Patagonien 06 I 463
Preptoceras Sinclairi,
Kalifornien, Samwel-
Höhle 07 I 458

- Presanellagruppe, Geologie des nördlichen Abhangs 1908 II 361
 Prestwichia signata, Perm, Kansas 06 II 298
 Primaten
 — Stammesgeschichte u. Systematik . Festband 197. 222
 — Eocän, Amerika 05 I 324
 — Kreide, Patagonien 05 I 167
 Primigenius-Rasse der neolith. Fauna in Mitteleuropa 06 II 443
 Priodontes, Perforation des Astragalus 07 I 467
 Prionolepis, Chalk, England 05 II 137
 Prionolobus Jacksoni u. Waageni, Trias, Amerika 06 II 304
 Prionotropis Alluandi, Diego Suarez 07 II 334
 — Branneri, Kreide, Kalifornien 06 I 288
 Priorit, Norwegen, Granitpegmatitganges des südlichen 08 I 349
 Prismen
 — anisotrope, Minimalablenkung 08 II 142
 — — symmetr. Minimalablenkung 08 I 162
 Pristerognathus Bains, Südafrika 07 I 145
 Proadiantus, Kreide, Patagonien 05 I 167
 Proarcestes ausseanus u. Gaytani, Aonoides-Schichten, Epidaurus (Argolis) Festband 20
 — pacificus, Subbullatus-Schichten, Kalifornien 06 II 301
 Proasmodeus, Kreide, Patagonien 05 I 168
 Proboscidea Kutorgae u. lata (Productus), Obercarbon, Ural u. Timan 05 I 534
 — cf. lata, ob. Carbon, Kukurtuk-Tal, sdl. Tian-Schan BB XXII 370
 Proboscidier
 — Kreide, Patagonien 05 I 168
 — Tertiär, Fayum 07 II 310
 — Schädel, Entwicklung 05 II 471
 Proboscina microstoma, Tertiär Patagonien 1905 II 141
 Procerithium duplex, lulum, Morgani u. persicum, Senon, Süd-Persien 06 I 444
 Prochlorit, Easton, New Jersey, chem. 06 I 354
 Procladosictis, Kreide, Patagonien 05 I 169
 Procladiscites Pascuicladin. Stufe, Dobrukscha 08 I 419
 Proclydonautilus buddaicus, tibetan, Klippen d. Zentral-Himalaya 08 II 414
 — griesbachiformis, Tropites-beds, Byans 08 II 236
 Procolophon, Procolophonidae, Systematik 07 I 478
 Procolpochelys, Nordamerika 09 I 452
 Procopoblatta Schusteri, Oberrotliegendes, Pfalz 09 I 305
 Procyon simus, Mc Cloud River, Cal., Bärenhöhle 07 II 317
 Prodomites ornatus, Untercarbon, Nordamerika 05 I 527
 Productus aculeatus, cancriniformis, cora, curvirostris, elegans, fasciatus, graciosus, Gruenewaldti, inflatus, lineatus und cf. lineatus, mammatus, punctatus, pustulatus, simensis, subcostatus, tenuistriatus und uralicus, ob. Carbon, Kukurtuk-Tal im südl. Tian-Schan BB XXII 360
 — barringtonensis, Carbon, New-Süd-Wales 05 II 325
 — Cora var. kok-dscharenensis, giganteus var. edelburgensis, longispinus, margaritaceus u. striatus, untercarb. Transgressionsmeer, Tian-Schan BB XXVI 230
 — Cora u. var. simensis u. tenuistriatus, lineatus u. longispi-

- nus, untercarb. Transgressionsmeer, Tian-Schan BB XXVI 217
- Productus corrugatus, costatus, fimbriatus, giganteus, hemisphaericus, margaritaceus, mesolobus, plicatilis, punctatus, pustulosus, scabriculus, semireticulatus u. undatus Culm, Königsberg b. Gießen BB XXVIII 614 ff.
- ischmensis, Jakoslevi, juresanensis, Kurtorgae, lata, pseudo-medusa, simensis, tartaricus, tastubensis und uralicus, Obercarbon, Ural und Timan 1905 I 534
- Purdoni, Perm. Kaschmir CBI 1906 129
siehe auch Probosciddella.
- Productuskalk
- Zentral-Himalaya, Kuling-Schichten, Chideru- und Vingal-Gruppe, Perm 05 II 281
- Indien, Gliederung Festband 468
- Saltrange 1905 II 282 CBI 1906 129
- Productusschiefer, Zentral-Himalaya 05 II 280
- Proetus dormitans, Devon, Ostthüringen BB XXIV 308
- Proëutatus carinatus, Deleo, lagena, oenophorus und robustus, Santa Cruz-Schichten 05 I 501
- Progenetta certa, Mittelmiocän, La Grive St. Alban 05 II 306
- Prognathosaurus giganteus und Solvayi, Kreide, Belgien 05 II 309
- Progonopteryx belgica, Carbon, Belgien 05 I 523
- Proholopus, Körperform Festband 292
- Prohyracotherium, Kreide, Patagonien 05 I 167
- Projektion
- gnomonische CBI 1905 491
- — Anwendung beim Kristallzeichnen 05 II 1
- Projektion
- gnomonische, Anwendung in Kristallographie 1906 II 314
- — auf 2 Ebenen 07 II 1
- stereographische, Anwendung 07 I 2
- Projektionen, kristallographische, Konstruktion 06 II 314
- Prolagostomus, Tertiär, Patagonien 07 II 325
- obliquidens, Tertiär, Patagonien 07 II 326
- Prolagus, Quartär, westl. Mittelmeergebiet 07 I 459
- Prolecanites Gurleyi, Carbon, Nordamerika 05 I 527
- Prolobites delphinus u. var. atava und var. elliptica, und mirus, ob. Oberdevon, Enkeberg BB XXVI 590
- Promathildia, Grenzdolomit, Schwaben BB XXV 107
- (?) permiana, Bellero-phonschichten, Bosnien 05 I 105
- Theodori, Keuper, Schwaben BB XXV 112
- Promephitis Gaudryi, Unterpliocän, Salmendingen u. Melchingen, Bohnerze 1908 I 125. 127
- Promerycochoerus Carrieri 07 II 487
- vantarselensis 07 II 488
- Promina-Schichten, Novigrad-Benkovac, Norddalmatien 07 I 103
- Promyalina Hindi, Bellerophonschichten, Bosnien 05 I 105
- Promysopidae u. Promysops, Kreide, Patagonien 1905 I 157. 169
- Pronoella lotharingica u. Spanieri, Eisenerzformation, Lothringen u. Luxemburg 06 I 305
- Pronorites triadicus, Untertrias, Albanien 08 II 400
- Pronycticebus Gaudryi (= Cryptopithecus, Frohnstetten) 06 II 443
- Propachyrucos, Kreide, Patagonien 05 I 167

Propalaeon minor und osborniensis, Osborne beds, Wight	1905	I	309	Protactoclymenia cyclo- ptera, involuta, Lotzi, Phillipsi, pulcherrima, subfluosa u. valida, ob. Oberdevon, Enke- berg	BB XXVI 608
Propalaeophloporidae, Kreide, Patagonien	05	I	169	Protoaephyllum californi- cum	1907 II 505
Propalaeophloporus, Santa Cruz beds, Pa- tagonien	06	I	454	— Uhleri	07 II 506
Propalaeotherium, Bar- tonien, Castrais	05	II	302	Proteites (Ceratites) la- biatus, Hallstädter Kalk, Epidauros (Ar- golis)	Festband 9
— argenticum u. isse- lanum, Eocän, Schweiz	06	II	287	Proterix Loomisi, Oreod- on bed, Süd-Dakota	05 II 472
Propappus omocratus, Graaff Reinet	09	II	126	Proterobas	
Proparia (Trilobiten)	CBI	1907	130	— Ampasindava (Mada- gaskar)	05 I 438
Prophilanthus destructus, Tertiär, Florissant, Colorado	07	I	321	— Sohland a. Spree, mit Ni-Erzen	05 I 97
Prophyser, Boldérien, Antwerpen	07	I	131	Proterosuchia, Protero- suchus	08 II 438
— Dolloi, Boldérien, Ant- werpen	07	I	134	Proterosuchus Fergusi, Kariu-Schichten, Tar- kastad	07 I 144
Propitella Doucieuxi, Eocän, Aude und Hérault	07	II	156	Protheroheriidae	
Proplanodus, Kreide, Pa- tagonien	05	I	168	— Zahnsystem	05 II 464
Propristis Schweinfurthi, Säge, Obereocän, Aegypten	07	I	1	— Kreide, Patagonien	05 II 167
Proptychites Walcotti, Meekoceras beds, Ingo County	06	II	302	Protheroherium, Patago- nien, Extremitäten	07 II 138
Propylit, Batakländer (Sumatra)	BB	XXVII	422	Prothylacynus, Zahnsys- tem	05 II 455
Propyrotherium, Kreide, Patagonien	05	I	168	— Santacruzeno, Pata- gonien	07 I 307
Prosbole hirsuta, Perm, Rußland, ander Kama	05	I	522	Protobradys u. Proto- bradys, Kreide, Pata- gonien	05 I 169
Prosimiae				Protocalamariaceae Po- tonié 1899	CBI 1906 241
— Systematik	06	II	448	Protocardium cinctutum, Kreide, Zululand	07 II 304
— Kreide, Patagonien	05	I	167	— hillanum var. umkwe- lanensis, Kreide, Umkwelane Hill, Zu- luland	06 I 308
Prosodacna longiuscula, neogen. Eisenerz, Kaukasus	06	I	432	— Vaughani, Buda lime- stone, Kreide, Nord- amerika	06 I 308
Prosotherium, Kreide, Patagonien	05	I	167	Protocetus, Eocän, Aegyp- ten	09 II 119
Prospingites Austini, Meekoceras beds, unt. Trias, Inyo County	06	II	301	— atavus und Zittelli, Eocän, Mokattam	05 I 489
Prostegotherium, Kreide, Patagonien	05	I	170	Protodammara speziosa, Kreide	09 II 153
Prosthennops crassigenis, Miocän, Süd-Dakota	05	II	130	Protogin, Korsika, Ent- stehung	07 II 404
Prostylops, Kreide, Pa- tagonien	05	I	168		

Protogin				Protrachyceras orientale, Werfener Schichten, Bucieri, Montenegro	1905 II 108
— Mieselen (Lauteraar- gletscher), aplitische Randfacies	1905 I 427			— sirenitoides, latin. Stufe, Dobrudscha	08 I 419
— Reußtal, Protoklase	06 II 209			Protiriton Fayoli, Carbon, Frankreich	07 I 310
— St. Gotthard, Beziehg. zu metamorph. Schiefer	06 II 208			Protungulata, Kreide, Patagonien	05 I 167
Protocippus	05 II 468			Proustite	
— mirabilis, pernix, placidus, sinus u. supremus, Miocän, Süd- dakota	08 I 129			— Alt-Vosic bei Tabor, Böhmen	09 II 366
Protoindris globiceps, Madagaskar	06 II 446			— Binnental	CBI 1905 752
Protoklase				— Colorado, Gletscher- berg b. Montezuma, Summit Co.	09 II 335
— der Gesteine	06 II 56			— Markirch	09 I 24
— Protogin, Reußtal	06 II 209			— s. auch Rotgiltigerz.	
Protokristalle in por- phyrischen Gesteinen	07 II 417			Provençalische Alpen	05 I 278
Protolepidodendron Karl- steini u. Scharyanum, Devon, Etage H, Mittelböhmen	06 II 145			— — Bau	1906 II 253. 256
Protophocaena minima, Boldérien, Antwerpen	07 I 137			Provence, Jura	06 I 424
Protophyllum Launayi, Kreide, Balkan	06 I 428			Prowersose	
Protopicoxylon extinc- tum, Jura?, König- Karls-Land	09 I 301			— Colorado, Two Buttes	08 II 371
Protopsis, Buloger Kalk, Bosnien	05 I 106			— Maine, Knox County	08 II 372
Protorhipis acutidens, Rhät, Bornholm	08 I 452			Prozaëdius exilis und proximus, Santa Cruz- Schichten	05 I 501
Protosiren Fraasi, Eo- cän, Mokattam	09 I 440			Prozeuglodon, Eocän, Aegypten	09 II 119
Protospiralis, Naples Fauna, westl. New York	05 I 150			— atrox, Schädelbildung	09 I 435
Protostega advena und potens, Nordamerika	09 I 452			— Tertiär, Fayum	07 II 315
Protostephanus Ashme- adi, Tertiär, Floris- sant, Col.	07 I 321			Pruneeit, Färöer	09 I 29
Protozoen	CBI 1906 225			Pruninium gunmosum, westl. Verein. Staaten	09 I 149
Protrachyceras Ansoni, Tropites-limestone, Byans	08 II 237			Prunulum hexagonatum, Miocän, Italien	09 II 490
— Cautleyi, Muschel- kalk, Himalaya	08 II 245			Prunus marchica u. sam- bucifolia, Braunkohle, Senftenberg	08 I 449
— furcatum, Aonoides- Schichten, Epidaurus (Argolis)	Festband 29			Psammobia valangiensis, Valangien, argentin. Kordillere	BB XXIII 220
— Lecontei, Trias, Ame- rika	06 II 305			Psammolingulina, mio- plioc. Mergel v. Bon- fornello (Palermo)	06 I 472
				Psephechinus Quoniami, ?Bathonien, Algerien	06 I 156
				Psephophorus eocaenus, Aegypten	06 I 153
				Pseudacesta Dieneri, Pachycardientuffe, Seiser Alp	07 II 337
				Pseudodiantus, Kreide, Patagonien	05 I 167
				Pseudamaura terrazulen- sis, Kreide, Zululand	07 II 304

- Pseudamphicyon lupinus*,
 Oligocän, Vevingen,
 süddeutsche Bohnerze 1908 I 123
Pseud-mussium Huttoni,
 Oamaru series, Neu-
 seeland 06 I 467
Pseudarcella Rhumbleri,
 Rupelton, Mainzer
 Becken 09 II 324
Pseudaspidoceras deci-
dium, Kreide 07 II 149
Pseudavicula africana,
 Kreide, Zululand 07 II 304
Pseudemys caelata u. *ext-*
incta, Nordamerika 09 I 452
Pseudoasterophyllites
Vidali, Santa Maria
 de Meya, Spanien 09 I 458
Pseudobelus Rodoi, Ma-
 dagaskar 07 I 431
Pseudoboleit, Verwach-
 sung mit Boleit und
 Cummengit 07 I 341
Pseudobradypus ungui-
fer, Carbon, Ost-
 Canada 05 I 339
Pseudoceratites, Kreide 07 II 147
Pseudochromat, Färbung
 von Mineralien durch
 organische Farbstoffe
 (Pseudofärbungen,
 Pseudochromasie) BB XXVIII 342
Pseudocladosictis, Kreide,
 Patagonien 05 I 169
Pseudocorbula keupe-
rina, Schwaben BB XXV 95
 — — Lettenkohle, Würt-
 temberg CBI 1907 45
Pseudocorunnit, Vesuv,
 von 1906 08 I 207
Pseudocycas insignis u.
pumilo, Lias, Hör
 (Schweden) 08 I 145
Pseudodanubites, Muschel-
 kalk, Himalaya 08 II 244
Pseudodiadema Gries-
bachi, Kreide, Pondo-
 land 07 II 306
 — *lingonense*, Jura,
 Haute-Marne 09 II 480
 — *primaevum*, Infra-
 lias, Vendée 05 II 147
Pseudoeolithen
 — Frankreich, Senon u.
 Untereocän 08 I 282
 — nord, Geschiebemergel 08 I 281
Pseudogelocus suevicus,
 Oligocän, Oerlinger
 Tal, süddeutsche
 Bohnerze 1908 I 123, 128
Pseudoheligmus Morgani,
 Kreide, Süd-Persien . 1906 I 444
Pseudohyrax, Kreide,
 Patagonien 05 I 167
Pseudolabis dakotensis,
 Oligocän Nordamerika 07 I 301
Pseudolestodon = *Mylo-*
don 05 II 471
 — *hexaspondylus* 07 II 479
Pseudoleucit
 — Cnoc-na-Sroine, Nord-
 Schottland, im Boro-
 lanit BB XXII 424, 439
 — Yukon-Territorium 07 I 202
 — — im Phonolith 08 I 236
 — siehe auch Natron-
 leucit.
Pseudoliva coniformis,
 Eschi und Schwein-
 furthi, ?Eocän, Kam-
 merun 06 II 123
 — Krischtafowitschi,
 Paläocen, Saratow 05 II 121
 — *praecursor* u. *Zitteli*,
 Hyperesenon, Peter-
 wardeiner Gebirge 06 II 268
Pseudolops, Kreide, Pata-
 gonien 05 I 169
Pseudomelania Dumor-
tieri, Zone des Lioc.
concaum, Couzon-
 au-Mont-d'Or b. Lyon 05 I 464
 — *leptomorpha* u. *urgo-*
nensis, Kreide, Orgon
 (Bouches-du-Rhône). 06 I 318
Pseudomonotis Aueri,
 Kokeni, leptopleura
 u. *spicicosta*, Wer-
 fener Schichten, Süd-
 tirol CBI 1908 75
 — *Dieneri*, punjabiensis,
 saxorum u. Waageni,
 Saltrange 09 I 9
 — *Iwanowi*, Trias, To-
 bisinschichten, Süd-
 Ussuri-Gebiet BB XXVII 534
 — *ochotica*, Trias, Rotti
 u. Timor CBI 1909 357
 — var. *densistriata*,
 Trias, Timor BB XXIV 190
 — — — u. *salinaria*,
 Trias, Griechenland 06 I 39

Pseudomorphosen			Pseudomorphosen		
— Bildung	1909	II 182	— Manganmineral nach		
— Markirch	09	I 26	Kalkspat od. Dolomit,		
— Simferopol, verschie-			Brasilien	CBI 1909	781
dene	09	II 367	— Markasit nach Rutil,		
— Albit nach Laumont-			Modriach, Steiermark	1905	I 13
tit, Landvaerk, Eyje,			— Molybdit nach Mo-		
Saetersdalen, Nor-			lybdänglanz, Ilmén-		
wegen	06	I 351	Gebirge	09	II 15
— Analcim nach Nephe-			— Nontronit nach Wol-		
lin, Katzenbuckel . .	08	II 351	lastonit, Concepcion		
— Asbest nach Magnet-			del Oro, Mexiko . .	CBI 1909	163
eisen	09	II 346	— Numeit nach einem		
— Brauneisenerz nach			Insekt	05	I 365
Eisenspat, Erzberg			— Orthoklas nach Lau-		
b. Hüttenberg, Kärn-			montit, Templeton,		
ten	05	II 84	Quebec	07	II 12
— — nach Schwefelkies,			— Osteolith n. Kalkspat,		
Shoshone, Idaho . .	05	II 181	Prausnitz, Schlesien	CBI 1905	641
— Chalcedon nach? Fluß-			— Palygorskit nach der		
spat, Sachalin . . .	08	II 334	Spaltbarkeit, Sim-		
— Cimolit nach Augit,			feropol	CBI 1908	7
Kaiserstuhl	CBI 1909	333	— Quarz nach Apophyl-		
— Cölestin nach Schwer-			lit, Fort Point, San		
spat, Tunis	CBI 1905	33	Francisco. Cal. . .	05	I 205
— nach Cölestin (sogen.			— — nach Magnetkies,		
Gerstenkörner), Paris	06	II 347	St. Lorenzen, Steierm.	05	I 13
— nach Cordierit, Japan	07	I 206	— — nach der Spaltbar-		
— Dolomit nach Kalk-			keit der Zinkblende,		
spat, Schemnitz, Um-			Nagolnij Krjasch,		
wandlung	CBI 1909	555	Donetz-Becken . . .	07	II 195
— Feldspat(?) nach Ska-			— Roteisenstein nach		
polith, Gellivara-Erz-			Schwefelkies, Campo-		
berg	06	I 350	longo	05	I 203
— Gerstenkörner, Sanger-			— Sandstein nach Kalk-		
hausen etc.	09	II 361	spat, Heidelberg,		
— — Paris, nach Cö-			Buntsandstein . . .	08	II 304
lestin	06	II 347	— Schwefelblei nach ho-		
— nach Gips, im roten			mogenzinsurem		
Salzton des jüngeren			Blei, künstlich . . .	05	II 4
Zechsteinsalzes, Nord-			— Schwefelkies nach		
deutschland	09	I 424	Quarz, New York . .	06	I 334
— Granat nach Vesuvian,			— Sillimanit nach An-		
Schlaggenwalde . .	07	II 32	dalusit, Niederösterr.		
— Kalkspat nach Hib-			Waldviertel	CBI 1908	251
schit, Marienberg b.			— nach der Spaltbarkeit	CBI 1908	6
Aussig	1908	I 31, 375	— — — — — der Zinkblende	07	II 195
— nach Korund	07	II 13	— Stilpnomelan nach		
— Kupferglanz, Grab in			Pyrit	CBI 1907	294
Kostunici (Serbien) .	09	II 13	— Strahlstein nach En-		
— Limonit nach Quarz,			statit oder Diopsid,		
Kalwang	05	I 13	Kragerö	09	II 345
— — nach Spateisen u.			— Tarbuttitt nach Zink-		
Schwerspat, Quittein,			spat und Descloizit,		
Westmähren, Eisen-			Broken Hill-Grube,		
erzlagerstätte . . .	05	II 245	Rhodesia	09	II 35

- Pseudomorphen
 — Thuringit nach Kalkspat, Gobitschau, Mähren CBI 1906 304
 — von Zinnstein, Bolivia 1908 II 300
 — siehe auch Paramorphen und Perimorphen.
- Pseudomurchisonia Kokeni, unt. Campiler Schichten, Col di Rodella 08 I 16
 — Schmidt, Werfener Schichten, Südtirol . CBI 1908 79
- Pseudopachyrucos, Kreide, Patagonien 05 I 167
- Pseudophit, Strehlerberg bei Markt-Redwitz, Fichtelgeb., Bildung im Kalkstein 05 II 217
- Pseudoptera gaultina u. haldonensis, Kreide, England 06 I 467
- Pseudosageceras intermontanum, Meekoceras beds, Idaho u. Kalifornien 06 II 302
- Pseudoscalites collaratus u. paucistriatus, Pachycardien-Tuffe, Seiser Alp CBI 1905 177
- Pseudosiobla megoura, Miocän, Florissant, Colorado 08 II 111
- Pseudosporochnus Krejčii, Devon, Etage H, Mittelböhmen 06 II 145
- Pseudostegotherium, Kreide, Patagonien 05 I 170
- Pseudostylops, Kreide, Patagonien 05 I 168
- Pseudosymmetrie u. Polymorphismus 08 II 3
- Pseudotaphrus Moloti, Eocän, Paris 07 II 303
- Pseudotissotia Philippii, Mungokalke, Kamerun — segnis, Oberkreide, arab. Wüste 05 I 177
 — tunisiensis, Kreide 07 II 148
- Pseudotissotidae, Kreide 07 II 148
- Pseudowollastonit und Wollastonit 07 I 29
- Psilomelan CBI 1909 328
 — als unipolarer Leiter BB XXI 338
 — Cevljanovich, Bosnien 09 II 404
- Psilomelan, Sternberg, Mähren 1906 I 332
- Psilophyton bohemicum u. spinosum, Devon, Etage H, Mittelböhmen 06 II 146
- Psygmyphyllum Hollandi, Permocarbons, Kaschmir 08 I 453
- Pteranodon ingens, Hand CBI 1906 411
 — (Ornithostoma)ingens 1905 I 516. 517. 520
- Pteraspis Crouchi, Liévin, Pas-de-Calais 05 I 340
- Pteria (Pseudopteria) gaultina u. haldonensis, Kreide, England 06 I 467
- Pterichthys Rhenanus = Asterolepis Rhenanus CBI 1909 491
- Pteridophyta 09 II 325
- Pteridospermeae, Zugehörigkeit vieler paläoz. Pflanzen 07 I 163
- Pteriidae, Kreide, England 06 I 466
- Pterinea, Devon, Bolivia BB XXV 535
 — concentrica, Devon, Ostthüringen BB XXIV 293
- Pterocarpus aegyptiacus und orbicularifolius, Eocän, Fayum 09 I 308
- Pterochaenia, Naples-Fauna, systematische Stellung CBI 1905 386
 — westl. New York 05 I 150
- Pterocorys euganea, Scaglia, Euganeen 06 I 475
- Pterodactylus, Finger 05 I 520
 — Lias, Schwaben CBI 1906 291
 — antiquus und Kochi, Hand CBI 1906 409
 — Kochi, Ornithocephalus, Originalplatte . CBI 1909 189
 — suevicus, Hand CBI 1906 410
 — siehe auch Pterosaurier u. Ramphorhynchus.
- Pterodon, Tertiär, Fayum 07 II 315
 — Zahnsystem 05 II 455
 — africanus, Eocän, Fayum 05 I 157
 — macrognathus, Eocän, Aegypten 06 I 449
- Pteronaulinae, Lias und Dogger 07 I 325
- Pteronites naviformis, Culm, Königsberg bei Gießen BB XXVIII 636

Pteronites (?) tanipteroides, Carbon, Neu-Süd-Wales	1908	I	278	Ptychoceras solanoëne, Kreide, Kalifornien	1906	I	288
Pteronurus prodiguus, Miocan, Florissant, Col.	08	II	112	Ptychocladia, paläozoisch	05	II	486
Pteropelyx altidens, marginatus u. Selwyni, Belly river series, Red Deer river, Nordamerika	07	I	439	— agellus	05	II	486
Pterophyllum, Trias	08	II	449	Ptychogyra canalifera, Kreide, Schaumburg-Lippesche Mulde	06	I	442
— alaskense	07	II	504	Ptychomphalus gracilis, Pachycardien-Tuffe, Seisser Alp	CBI	1905	177
— Bavieri und Portali, Carbon, Tonkin	08	I	310	Ptychomya elegans, Kreide, Schaumburg-Lippesche Mulde	06	I	441
— irregulare = Nilssonina Sturi, Louper Schichten	09	II	156	— Germani, Valanginien, Argent. Kordillere	BB	XXIII	219
— lowryanum	07	II	504	— Stantoni, Malone beds, Jura, Texas	07	I	285
Pteropoden, Rupelton, Mainzer Becken	09	II	325	Ptychosiagum orientale, Karruformation	08	I	1
Pteropodenmergel, Pest. alttertiär	05	II	433	Ptychosphenodon, upper Karoo beds, Aliwal North und Middelberg	08	II	277
Pteropodenschlamm in Lagunen u. Koralleninseln	07	II	218	Ptyonidae	08	II	271
Pterosaurier				Ptyonius, Nürschan u. Linton	08	II	271
— amerikanische	05	I	508	Pucherit, Schneeberg (Sachsen), optisch	07	I	207
— Handknochen	CBI	1906	399	Puddeleisen, Struktur	09	II	130
— siehe auch Pterodactylus u. Ramphorhynchus.				Puddelprozeß, mikroskopisch verfolgt	09	II	130
Pterosphenus Schweinfurthi, ob. Mokattam, Fayum	08	II	440	Puente del Inca, Aconcagua, Geologie	BB	XXIV	716
Ptilodus primaevus, Belly river beds, Red Deer river, Nordamerika	07	I	439	Pugnax granum u. Kayseri, Obercarbon, Ural u. Timan	05	I	533
Ptilolith, Elba, Speranzagang bei San Piero, Zusammensetzung	08	II	34	Pugnellus auriculatus, Kreide, Pondoland	07	II	306
Ptolemaia Lyonsi, Oligocän, Fayum	08	II	428	— sindensis, Tertiär, westl. Sind, Indien	CBI	1905	137
Ptychites Durandi und Everesti, Muschelkalk, Himalaya	08	II	245	Pulaskit			
— Hasserti, Haueri u. Tietzei, Muschelkalk, Montenegro	05	II	141	— Belknap Mountains, New Hampshire	08	I	379
— Kokeni, Trias, Tobisinsichten, Süd-Ussuri Gebiet	BB	XXVII	533	— Highwood Mountains, Montana	06	II	374
— Meeki, ladinische Stufe, Humboldt Range, Nevada	06	II	302	— Monteregean Hills, Quebec	09	I	68
— seroplicatus, Hallstatter Kalk, Epidaurus (Argolis)	Festband	9		— Red Hill, Moultonboro, N. H.	09	II	388
				— Schefford Mountains, Monteregean Hills, Quebec	07	I	241
				Pulchellia Nicklesi, Kreide	07	II	150
				Pulchellidae, Kreide	07	II	150

- Pullenia* (*Nonionina*),
 Globigerinenmergel,
 Bahna, Rumän. Kar-
 pathen 1909 II 150
Pulsationen, Erdbeben-
 — Leipzig, Mai—Okto-
 ber 1904 05 II 370
 — registriert am asta-
 tischen Pendelseis-
 mometer, Leipzig,
 1. Jan.—30. Juni 1903 05 I 52
Pulsellum infraocaeeni-
cum, Eocän, Paris 07 II 303
Pulvinulina pondensis,
 Kreide, Ost-Pondo-
 land, Südafrika 05 II 152
 — *pygmaea*, Globigeri-
 nenmergel, Bahna,
 Rumän. Karpathen 09 II 157
 Punktsysteme, regel-
 mässige, Diagramme
 CBI 1906 437, 468
Pupa Bonneti, Eocän,
 Paris 07 II 303
 — *bythiniformis*, Alt-
 tertiär, Giengen bei
 Ulm 08 II 104
Purpurina Broilii, *Pachy-*
cardien-Tuffe, Seiser
 Alp CBI 1905 177
Purpurit
 Faires Mine b. Kings
 Mountain, Gaston Co.,
 N. Car., im Pegmatit 06 II 172
 — Nordamerika (Branch-
 ville, Mass., u. Hill
 City, Süd-Dakota 09 I 18
Purpuroidea trinodosa,
Pachycardien-Tuffe,
 Seiser Alp CBI 1905 177
Puschkinit, Werch-
 Isetzkaja Datscha,
 krist. u. chem. 07 II 368
 Pustertal, Störungszone 06 II 237
 Puy-Kette, Arten der
 vulkan. Tätigkeit 09 I 46
Puzosia, Rassenpersi-
 stenz CBI 1909 198
 — *concinna*, Kreide, Nat-
 tal 07 II 305
 — *Mülleri*, Scaphiten-
 Pläner, Nettlein CBI 1905 452
 — *pinguis*, *planulata*
 var. *natalensis*, sub-
 compressa u. *subtilis*,
 Kreide, Zululand 07 II 305
Pycnodonten
 — Kreide, Kansas 1905 II 132
 — — Hakelim Libanon CBI 1907 360
 — Tertiär, Aude-De-
 partement 05 II 483
Pycnodus, Blockberg bei
 Ofen, unterolig. 06 I 153
 — *Pellei*, Phosphate,
 Algier und Tunis 05 II 479
Pycnosterinx levispino-
sus, Kreide, Libanon 05 II 482
Pycnostroma spongilli-
ferum, Kohlenkalk,
 Namur 07 I 137
Pygaeus Agassizi, Mte.
 Bolca 05 I 341
Pygurus Perreti, oberer
 Jura, Tunis 07 II 156
Pyralophodon, Patago-
 nien 05 II 467
Pyrrargyrit
 — Hiendelaencina 09 I 336
 — Markirch 09 I 24
 — Tabor-Gegend 09 II 366
 — Ural, Perwoblago-
 datnji-Grube 09 II 14
 — siehe auch Rotgiltig-
 erz.
Pyrazus elongatus, Sen-
 non, Süd-Persien 06 I 444
Pyrenäen
 — Eruptivgesteine, Bel-
 longue u. Ger-Tal 05 I 428
 — Geologie 07 II 264
 — Gneis u. andere Ge-
 steine 06 II 213 ff.
 — Granite vom Alter
 der Kreide 05 II 385
 — — tertiären Alters 05 I 429
Pyrgoma cretacea, Upper
 Chalk, Norwich 06 II 140
Pyrgulifera Böckhi und
decussata, obere
 Kreide, Alvincz 05 I 302
 — gradata, Eocän, Lá-
 batlan bei Gran,
 Ungarn, viele Exem-
 plare 05 II 434
 — *inopinata*, Eocän,
 Paris 07 II 303
Pyrifusus Bailyi, Kreide,
 Pondoland 07 II 306
Pyrina ovulum, Kreide,
 Azay-le-Rideau, Mon-
 strosität 05 II 148
Pyrit, siehe Schwefelkies.

- Pyritschiefer, Westböhmen 1906 I 51
- Pyrochlor
- Sundsvale (Schweden), im Syenit, chem. etc. 05 I 383
- Wausau, Wisc., (Magnacit) 05 II 177
- Pyrochroit, Långban, Schweden 06 I 166
- Pyroelektrizität
- Untersuchungsmethode 05 II 333
- Quarz 05 II 52
- Pyrolusit, Nagolnij Krjasch. Donetz-Becken 07 II 195
- Pyromorphit
- Brechungsexponenten 05 I 39
- Issy l'Évêque (Saône-et-Loire), radioaktiv 1907 I 10. 356
- Lausetto (Valli del Gesso, Piemont) 06 I 349
- Otavi, SW.-Afrika CBI 1906 388
- Rheinbreitbach CBI 1909 257
- Rhodesia, Broken Hill-Grube 09 II 36
- Ural, westlicher, im Beresit 07 II 188
- Pyrop, Meronitz u. Colorado River, Anal. CBI 1906 776
- Pyrophyllit CBI 1909 332
- Nagolnij Krjasch, Donetz-Becken 07 II 197
- Norrö, Kirchspiel Utö 06 I 340
- Pyropissit, Wito (Ostafrika) am Tawa-Fluß 06 II 347
- Pyropsis africana, Kreide, Pondoland 07 II 306
- Pyrotheria u. Pyrotheriidae, Kreide, Patagonien 05 I 168
- Pyrotherium, Patagonien, Extremitäten 07 II 136
- Pyrotherium-Fauna
- Patagonien 05 I 138
- — Uebergänge mit der Dinosaurierformation u. Pampasregion BB XXVI 99
- Pyrotherium-Schichten, Kreide, Patagonien 1905 I 170 BB XXI 135
- Pyroxen, gesteinsbildend 09 II 17
- Pyroxen
- isomorphe, Zusammenschmelzen 1909 II 163
- Isomorphie d. Gruppe 09 II 179
- künstlich, Magnesia- 08 I 19
- — vergl. mit denen der Meteoriten 09 II 168
- rhombischer, Dispersion d. opt. Achsen 08 I 22
- — Verteilung d. Fe-Gehalts 08 I 63
- Schmelzpunkte der Varietäten 07 II 172
- topische Zahl der Gruppe in Eruptivgesteinen CBI 1907 9
- Uralitisierung 1909 I 342
- Vergleich der Gruppe mit den Feldspaten 09 II 170
- Biella, Piemont, Drusen im Syenit 06 II 36
- Cornwall, kontakt-metamorphisch im Kalk 09 II 206
- Japan, Kamaisch-Grube etc., Analyse 09 I 33
- Sibirien, an der Anabara, rhombisch im „Hypersthengneis“ 09 II 16
- Vesuv 1906 08 I 44
- siehe auch Augit.
- Pyroxenandesit, Argentinien BB XXII 599
- Pyroxenaplit, Böhmen 06 II 361
- Pyroxenit
- Ceylon, im Charnokit 07 I 393
- Connecticut, Cortlandt Series 08 I 73
- Ledmore Lodge, Nord-Schottland BB XXII 450
- Monzoni und Predazzo, Gänge 06 I 63
- Ottawa, Canada 05 I 250
- — County, Canada, in den Grenville Series 06 II 217
- Spitzbergen 08 II 370
- Südafrika, porphyrischer = Blaugrund 09 II 239
- Ural, uördlicher 06 I 386
- Pyroxenitisches Gestein, Monzoni u. Predazzo, gangförmig im roten Syenit 06 I 58
- Pyroxenkalk, Raspenau, Böhmen, am Kalkberg 06 I 55

- Pyroxenmikroperthit . . . 1909 II 171
 Pyrrhit, Norwegen
 Granitpegmatitgänge
 d. südlichen 08 I 354
 Pyrrhotin, siehe Magnet-
 kies.
- Q.**
- Quadratische Kristalle,
 Zirkularpolarisation 05 II 336
 Quadratisches System,
 tetraedisch-tetarto-
 edrische Abteilung bei
 $2 \text{CaO} \cdot \text{Al}_2\text{O}_3 \cdot \text{SiO}_2$ 08 I 161
 Quadrula subglobosa,
 Quartär, Schweden
 u. Finnland 09 I 280
- Quartär
 — Abschnitt, vergli-
 chen mit archaeolog.
 Abschnitten 08 II 424
 — Cyclostoma elegans
 seit der Diluvialzeit
 — diluviale Eiszeit,
 Wesen u. Verlauf . CBI 1904 280
 — Frage des Intergla-
 zials CBI 1905 673
 — Mensch, Ueberreste
 u. Werkzeuge 06 II 269
 — Menschenreste und
 -spuren 07 I 449 ff.
 — verschiedenalterige
 Diluvialtone 10 I 123
 — Zeit des Aussterbens
 von Brasia pura
 purea 09 II 157
- Afrika.**
- Amani, Ost-Usambara 06 II 422
 — Gafsa (Südtunesien)
 und prähistor. Ein-
 schlüsse im Diluvium 09 II 1
 — Südafrika, pleistocäne
 Fauna der Diamant-
 seifen 08 I 103
- Amerika.**
- Nordamerika.
- Säugetiere 07 I 456
 — Alaska 1905 II 272
 — Buffalo River, East
 London, Mikrofauna 08 I 305
 — Canada, Helen Mine-
 Tal, Michipicoten,
 Felsbecken 06 I 299
- Quartär
 — Illinois u. Iowa, Pro-
 boscidier 1907 I 306
 — Kalifornien 05 I 145
 — — Höhlensäugetiere 07 I 298
 — — Samwel-Höhle,
 Preptoceras Sinclairi 07 I 458
 — Massachusetts, Cape
 Ann, Post- u. Inter-
 glazial 07 II 130
 — Niagara-Fluß, Kiese
 u. Sand 06 I 261
 — Texas, Pleistocän des
 nordwestlichen 05 II 439
- Südamerika.
- Argentinien, Wirbel-
 tiere 06 II 124
 — Bolivia, Tarijatal,
 Condor 08 II 435
 — Ecuador, Punin, plei-
 stocäne Säugetiere 08 I 103
 — Patagonien BB XXI 185
- Asien.**
- Bithynische Halbinsel CBI 1909 657
 — Java, Kendengschich-
 ten, Alter CBI 1909 513
 — — Kendengschichten
 mit Pithecanthropus
 erectus BB XXV 648
 — — Trinil, mit Pithe-
 canthropus erectus
 1909 I 111 ff. Festband 270
 — — Uebersicht der
 Gastropoden 07 II 151
 — Jerusalem 07 I 423
 — Kaschgar gegen Kur-
 lja, Schuttmassen 06 I 97
- Australien.**
- Neuseeland, Südin-
 sel, glaz. Relief 07 II 298
 — Tasmanien, Glazial
 der Westseite 07 II 299
 — — Glazialschichten
 von Wynyard 09 II 163
 — — Gliederung des
 Diluviums CBI 1909 4
- Europa.**
- diluvialer Mensch 06 I 127
 — siehe Mensch.
 — Eiszeiten 06 I 129

Quartär

- Balkanhalbinsel und
östliche Mittelmeerländer.
- Kreta, pleist. Säuge-
tiere 1907 I 298
 - Rumänien, Pleisto-
cän-Fauna CBI 1905 I 320
- Belgien.
- Beziehung der Schot-
ter zu den anderen
Ablagerungen 05 I 477
 - Campine 08 II 101
 - Gliederung des Dilu-
viums 1905 I 478, 480
 - Molar von Eleph. an-
tiquus im Campinien
und Bos primigenius
im Moséen (Quenast) 05 I 484
 - système Moséen 06 I 436
 - Terrassen im Maas-
tale 08 II 409
 - siehe auch Quartär,
Frankreich, gallobel-
gische Zone.
- Deutschland.
- Norddeutschland.
- norddeutsche Tief-
ebene CBI 1905 97
 - errat. Basalte im Dilu-
vium 09 I 64
 - Geschiebe 06 II 118
 - Terrassen und See-
becken im östlichen,
Beziehung zu gla-
zialer Hydrographie 05 I 481
 - nordischer Geschiebe-
mergel, Pseudoeoli-
then 08 I 281
 - Brandenburg (Prov.) CBI 1906 578
 - — Altmark, Dilu-
vium 07 II 450
 - — Kreis Garde-
legen 08 I 435
 - — Berlin, Diluvium 07 II 465
 - — Hamburg, Rü-
dersdorf, Paludinen-
schichten und Gla-
zialbildungen CBI 1906 181
 - — Fläming 05 II 443
 - — Niederlehme bei
Königswusterhausen,
Hyänen etc. 05 II 472
 - — Westprienitz CBI 1907 693

Quartär

- Braunschweig 1907 II 457
- — Eolithen im Dilu-
vium 09 II 57
- — Elm und Lapp-
wald, Kalktuffe 07 II 461
- — Thiede, Diluvium
des Gipsbruches 09 II 70
- — — Mollusken des
Löb 05 I 309
- — Wesertalzwischen
Holzminden u. Hameln 06 I 121
- — Elbe, Schlickabsätze 05 II 444
- — Hannover, Alfeld a.
Leine, Kalktufflager 06 II 432
- — Emsgegend, un-
tere CBI 1907 695
- — Godenstadt bei
Zeven, Interglazial 08 II 408
- — Gronau, Leinetal,
jungdiluv. Konchy-
lienfauna im Kies 06 I 297
- — Hümmling, Gla-
zialbildung 08 I 98
- — Keldinger Moor 05 II 121
- — Leinetal, mittl.
jungdiluv. Konchy-
lienfauna 05 I 310
- — Lüneburger Hei-
de, Interglazial 08 II 99
- — — Terrasse und
Klima der Postwürm-
zeit CBI 1909 599
- — Motzen, Werlte,
Ohlsdorf—Hamburg,
Pflanzen 09 II 157
- — Nordfriesland,
Tuuls 05 I 15
- — östliches, Kiesmo-
ränenlandschaft 05 II 442
- — Stade 07 II 255
- — südliches
1905 I 144. 310 1907 II 98, 457
- — Wesertal zw. Holz-
minden u. Hameln 06 I 121
- Harz, nördl., Harzrand
Gliederung CBI 1909 94
- — Harzvorland, Fau-
nen des nördl., u. Neh-
ringsche Steppenhypo-
these CBI 1909 87, 317, 385
- — — Glazialbildungen 08 II 98
- — — östl., u. Thü-
ringen, Alter und
Gliederung der Löb-
ablagerungen CBI 1909 385

Quartär		Quartär	
— Harz, Odertal bei		— Pommern, Rügen,	
St. Andreasberg, Mo-		Facettengeschiebe im	
ränenlandschaft . . .	1906 I 298	Diluvium 1906 I 71	CBI 1905 655
— Hessen-Nassau, Frank-		— — — 1. Fund von	
furt a. M.	05 I 311	Facettengeschieben	
— — Mainzer Becken . .	07 II 458	bei Saßnitz	CBI 1905 655
— — Mosbacher Sande,		— — — u. Hiddensö,	
Wirbeltierfauna . .	05 I 485	Landverluste der	
siehe auch Mauer bei		Küste	1908 I 97
Heidelberg		— — — Entwicklung	
— — Wildscheuerhöhle,		des Bodenreliefs . .	07 I 117
Steden a. Lahn, Men-		— — Swinemünde, Oder-	
schen- und Tierreste	07 I 292	bank	05 II 293
— Lauenburg etc. . . .	CBI 1907 692	— — Vorpommern, alte	
— — Diluvium	07 II 463	Stromtäler, Zusam-	
— — obere Grundmoräne	05 I 472	menhang mit Lito-	
— Lauenburger Ton als		rina-Senkung	05 I 473
Leithorizont	09 II 309	— — — Interglazial . .	07 II 462
— Lübeck	1909 II 106	— — Posen, jüngerer balt.	
— — Grundmoränen u.		Eisstrom	05 I 473
jungglaz. Süßwasser-		— — Nakel, Yoldia . .	06 I 298
bildungen	05 II 440	— — Oser, Schönlanke	09 I 108
— — Litorina-Bildungen	06 I 119	— — Warthe-Netze-Ge-	
— Lübecker Mulde und		biet, Dünenbildungen	08 I 98
ihre Terrassen	CBI 1907 97	— Rheinland, Aachen,	
— Mecklenburg, Boizen-		Diluvium	05 I 482
burg, Foraminiferen	07 I 163	— — Krefeld, Eiszeit-	
— — Parchim, Interglazial		spuren	05 I 482
CBI 1905 673, 737	CBI 1906 66	— — Neandertal, Ablage-	
— Ostpreußen, Diluvium		gerungen mit Men-	
1907 II 465	CBI 1906 578	schenresten	05 II 302
— — Seen	05 I 471	— — Neuwieder Becken,	
— — Kurische Nehrung,		rechtsrheinisch. Dilu-	
Moostorfschichten . .	03 II 408	vium	09 I 239
— — masur. Seenplatte	CBI 1906 579	— — Niederrhein . . .	07 II 455
— — Samland, Endmo-		— — — Diluvium . . .	09 I 277
räne	06 I 119	— — — Radiolarien-	
— Pommern, diluv. u.		hornsteine im Dilu-	
alluv. Säugetiere . . .	06 I 140	vium	07 II 458
— — Inlandeis	07 I 114	— — — Urstromtäler	05 I 482
— — Topographie und		— — Rodderberg bei	
Geologie der Städte	05 II 441	Bonn, Diluvium . . .	07 II 455
— — Wealdengeschiebe	05 II 443	siehe auch Rheinge-	
— — Hollenberg b. Köslin	05 II 121	biet, außeralpines, Di-	
— — Gristow, Konglo-		luvium	08 II 95
meratgneis als Dilu-		— Sachsen-Thüringen.	
vialgeschiebe	CBI 1906 625	Apolda, Diluvium . .	09 I 278
— — Neuvorpommern,		— — Arnstadt, Schot-	
postglaziale Talrin-		terlager	08 II 96
nen u. Verkehrswege	07 II 477	— — Dessau, Grund-	
— — — und Rügen,		wasserverhältnisse . .	07 I 262
Uckermark u. Meck-		— — Erfurt, Diluvium	08 II 96
lenburg, Reliefgestal-		— — Flechtingen, Gla-	
tung während der		zialschrammen auf	
letzten Vereisung . .	08 I 96	Kulmgrauwacke . . .	06 I 297

Quartär

- Sachsen - Thüringen.
Gera, Geschiebe . . . 1907 II 462
- — — Kalktuff und
Geschiebe 1907 II 461, 462
- — — Gotha 1907 II 458, 459
- — Gräfenhainichen-
Schmiedeberger Pla-
teau, interglaz. Kies-
ströme . 1909 I 110 09 II 108
- — Großzössen bei
Borna (Leipzig) 06 I 403
- — Halberstadt, Holt-
emmeschotter 08 I 444
- — Halle a. S., Helix
(Vallonia) saxonica 07 I 445
- — — u. Weissenfels,
Gliederung 06 II 432
- — — Ilmkiese 07 II 461
- — — Ilm- und Saale-
schotter, präglaziale 08 I 434
- — — Jena, präglaziale
Fauna etc. 09 II 108
- — — Kemberg b. Wit-
tenberg, Ockerkalke 09 II 107
- — — Kösen 08 II 97
- — — Köthen, Löß und
Schwarzerde 1909 I 109 09 II 107
- — — Neuhaldensleben,
diluv. Flußschotter 06 I 122
- — — Saalekiese 07 II 461
- — — Saaleschotter und
Vereisung 1906 II 432 CBI 1907 59
- — — Saaletal, mittl., Di-
luvium 05 II 445
- — — Saaleterrasse, ober-
ste, Naumburg 06 II 431
CBI 1906 678 CBI 1907 214
- — — Schönebeck a. Elbe,
Eolith, Mensch 06 I 130
- — — Seweckenberg b.
Quedlinburg, Säuge-
tiere 06 I 140
- — — Thüringen 1906 II 231
- — — — Glazial 1907 II 459, 461
- — — — Langensalza etc. CBI 1906 584
- — — — nordwestliches,
Diluvium 05 II 447
- — — — u. östl. Harz-
vorland, Altersbe-
stimmung und Glie-
derung der Lößab-
lagerungen CBI 1909 385
- — — — Unstrutgebiet, fos-
silführ. Flußablage-
rungen 05 II 473

Quartär

- Sachsen - Thüringen.
Weidatal bei Schrap-
lau, fossilführ. Mer-
gel 1907 I 445
- — — Weimar, Konchy-
lien aus den Kiesen 07 II 459
- — — — paläolithische
Funde CBI 1908 197
- — — — Glazialbil-
dungen 08 II 96
- — — — Ehringshausen,
ob. Travertin mit
Rhinoc. Merckii CCI 1909 23
- — — — Taubach und
Süßenborn, Prae-
ovibos priscus CBI 1908 481
- — — — Weissenfels und
Zeitz, 2 Löße 09 II 109
- — — — Schlesien 06 I 123
- — — — Hirschberger Kessel
1907 I 443 07 II 462
- — — — Ingramsdorf,
Schneckenmergel 06 I 123
- — — — Schleswig-Holstein 09 II 107
- — — — Diluvium 07 II 463
- — — — vergl. mit GEIKIE'S
Klassifikation der
europäischen Glazial-
bildungen 05 II 293
- — — — Elmshorn, pflan-
zenführendes Inter-
glazial im Bohrloch 05 II 441
- — — — Oldesloe 08 II 97
- — — — Sylt BB XXI 185
BB XXII 139 CBI 1906 631
- — — — Uetersen-Schulau,
marine u. Süßwasser-
ablagerungen im Di-
luvium . 1906 I 120 08 I 100
- — — — Wittmoor (Hol-
stein) vorgeschichtl.
Bohlweg 06 I 119
- — — — Westfalen, Porphy-
r im Diluvium . CBI 1907 143, 168
- — — — Teutoburger Wald,
Diluvium 09 II 249
- — — — Wesergebiet, glaz.
Stillstandsanlagen im
mittleren 09 I 109
- — — — westl. Münster-
land, Diluvium 08 I 428
- — — — westfäl. Becken.
Alter von Menschen-
resten, Randmoränen
und Gliederung 05 I 475

Quartär		Quartär	
— Westpreussen, Danzig, Umgegend . . .	CBL 1906 16	Frankreich.	
— — Leba-Rheda-Tal	1908 I 98	— Coquelles, Geröllager	08 II 411
Süddeutschland.		— gallo-belgische Zone	08 I 270
— Baden, Eberbach		— Garonne-Tal	05 I 312
a. Neckar, Picea excelsa	06 II 434	— Hautes Bouyères (Seine), Spermophilus superciliosus . . .	08 I 285
— Mauer b. Heidelberg, menschl. Unterkiefer im unt. Diluvialsande	08 II 415	— Lacave (Lot), Höhle mit Tieren u. Artefakten	07 I 450
— Mauer u. Mosbach, Fauna d. Sande . . .	07 II 483	— Martigues, unt. Rhône	06 I 117
siehe auch Mosbach bei Quartär, Hessen-Nassau.		— Nizza, marin	05 II 289
— Weinheim a. d. Bergstraße, Rheintal, Spalten aus diluv. Zeit 1906 II 431 CBL.	1906 667 698	— Seine-Département, mit Artefakten	08 I 435
— Bayern, interglaz. Schieferkohle, Flora		— St. Acheul, mit Artefakten	09 I 283
— Freinsheim, Pflanzen des Tones . . .	09 I 468	Großbritannien und Irland.	
— München (Ismaning), interglaz. Konchylienfauna	06 II 434	— Großbritannien, pleistocäne Säugetiere	1906 II 442
— Regensburg, altalluviale Konchylienfauna, Pürklgut . .	06 I 123	— England, pleistocäne Bären	08 I 438
— — Konchylien des Tufflagers, Tal d. Schwarzen Laaber .	06 II 431	— Biggleswade, Gaultscholle im Geschiebemergel	05 II 295
— — Lößkonchylien	06 I 123	— Cambridge, Diluvialgeschiebe	06 I 121
— — Lößkonchylien im Donautal	05 II 449	— Cotteswold-Plateau, Glazialton . .	07 I 442
— Elsaß, Strangenberg bei Rufach, Ober-Diluvium u. Alluvium	BB XXVI 46	— Great Crosby, postglazial	09 I 281
— Rheingebiet, außer-alpines, Diluvium .	08 II 95	— Longcliffe Station, Derbyshire, Höhle, Tierreste	07 I 448
— Württemberg, Diluvium u. jüngerer Löß	09 II 75	— Northumberland u. Durham, präglazial	05 II 450
— — Cannstatt, Ostracoden des Mammutfelds	06 II 138	— Plumstead an der Themse, Ovibos moschatus	07 I 301
— — Neckar-Museltal, diluv. Terrassen . .	CBL 1907 461	— Süd-, Land- u. Süßwassermollusken	05 II 449
— — Schwarzwald	08 II 94	— — Themse-Alluvium	05 I 481
— — — 1909 II 417. 419 ff.		Holland.	
— — — Freudenstadt, Glazialbildungen . .	08 II 94	— Facettengeschiebe im Diluvium	CBL 1906 15 425
— — — Glazialbildungen süddeutsche Bohnerze	BB XXI 397	— Facetten- u. Kantengeschiebe	CBL 1906 425
— — — — 08 I 125		— Geschiebe von Ardennengesteinen . .	06 II 118
		— Groningen	08 II 102
		— Groningen etc., Basaltgeschiebe im Diluvium	CBL 1906 118
		— Limburg	08 II 101

Quartär	
— Rhein- u. Ruhr-Ufer, Terrassen	1908 II 100
— Vogelenzang, Bohrlöcher in den Dünen	05 II 444
Italien.	
— Calabrien (Carrubare), Bryozoen . . .	05 II 144
— Grimaldi-Höhlen (Grottes de Mentone)	08 II 422
— Messina, Säugetiere	06 I 141
— Mte. Amiata, Kieselerde und Farberden mit Feuersteinpfeilspitzen	06 I 235
— Potenza-Tal, Säugetiere	06 II 132
— Villafranca und Monaco	07 II 451
Oesterreich-Ungarn.	
— Oesterreich, Sirenen	05 I 514
— Bregenzer Wald	BB XXVII 37
— Böhmen, Aussig	05 I 268
— — Pilsen, miotänes, Quarzit- u. Konglomeratblöcke	06 II 353
— — Smiritz, Menschenreste im Löß	06 I 132
— — Wilsdorf b. Bodenbach, Mammut	09 I 128
— Bosnien u. Herzegowina	05 II 295
— Dalmatien, Budna	07 I 93
— — Insel- u. Küstengebiet	07 I 89 ff.
— — Sebenico—Trau	07 I 89
— — Veglia und Novi Zaravecchia—	07 I 91
— Stretto	07 I 90
— Galizien, Lemberg	05 II 95
— Istrien, Pola, Zahn von Rh. Mercki	CBI. 1908 765
— Karpathen, Insekten	08 II 113
— Krapina, Mensch	1906 II 272 277
— Mähren (Mladeč), Höhle mit Menschenresten u. Glazial	07 I 452
— Niederösterreich, Hundsheim, Diluvialfauna . 1907 II 460	08 II 106
— — Krems u. Wachautal	95 II 295
— Vomperbach-Mündung, Grundmoränen	06 I 299

Quartär	
— Ungarn, Bischofsbad u. Großwardein, Melanopsis- u. Neritinaarten	1907 II 152
— — Neusiedler See, diluv. Neritinen	07 II 446
— — Nyitra- u. Komárom-Komitat	06 I 264
— — südl., Konchylien	07 II 460
— — Szabadzällás	06 I 265
— — westl., Molluskenfauna	07 I 445
Rußland.	
— posttertiäre Selenodonten	07 II 299
— Kanin-Halbinsel, rezente u. pleistocäne Bildungen	06 II 117
— Neusibirien etc., Säugetiere der v. d. Toll'schen Expedition	07 II 301
— Süd-Ussuri-Gebiet BB XXVII 531	
— Tiraspol, Gouv. Cherson, Wiederkäuer etc.	07 II 299
— Wissokoie, wilder Hund	07 I 454
Schweiz.	
— Bieler See, Alluvium	09 I 436
— Genf, alte Flußalluvien	07 II 129
— — Ursprung d. errat. Blöcke	06 II 61
— Liestal (Basel), Mammutzahn	05 I 311
— Tessin, Diluvium bei Chiasso	08 I 267
— Thurgau, Drummlandschaften im alten Rheingletscher	06 I 436
— zw. Ketten- u. Tafeljura	09 I 434
Skandinavien.	
— Dänemark, Facettengeschiebe im Diluvium	CBI 1906 593
— — Säugetiere	06 I 445
— — Island	CBI 1909 622
— — muschelführ. Geschiebelehm in der Palagonitformation	05 II 294
— — Pleistocän u. Palagonitformation	CBI 1905 535. 546. 740

- Quartär
- Dänemark, Stevns Klint, Geschiebemergel . . . 1905 II 294
 - Schweden, Jemtland, Kalktuff 05 I 313
 - — Schonen, „writing chalk“ 05 II 294
 - — u. Finnland, lakustrines, Protozoen . . . 09 I 280
- Westliches Mittelmeer.
- Spanien, Santander, Säugetiere 09 I 129
 - westliche Mittelmeerregion, Nager 07 I 458
 - siehe auch Mensch, Prähistorie, Knochenhöhlen, Eiszeit, Glazial, Interglazial, Geschiebelehm, Moränen, Diluvium, Alluvium.
- Quarz
- Bergkristall nicht homogen 07 II 20
 - Bildung 08 I 181
 - — in Silikatschmelzen CBI 1906 657
 - — Versuche CBI 1906 339, 353
 - Brechungsindizes bei — 190° 08 I 166
 - Dispersionsformel d. Doppelbrechung. Babinet'scher Kompensator CBI 1905 23
 - Einwirkung v. Flußsäure 05 I 20
 - — von Radiumbromid CBI 1909 71
 - — von Radiumstrahlen auf Färbung . . . CBI 1909 721
 - Färbung 07 II 168
 - — durch Radium . . . 06 I 5
 - 1906 II 158 07 II 171
 - geschmolzen, Dichte u. Lichtbrechung . . . 05 II 14
 - in Granit u. Quarzadern, Entstehungstemperatur 05 I 420
 - Kristallflächen 06 I 2
 - Kristallogeneses . . . 1906 II 80, 159
 - kristallographisch u. physikalisch-optisch . . . 05 II 43
 - künstl. Darstellung . . . 08 I 180
 - Löslichkeit in Wasser bei hoher Temperatur CBI 1906 370
 - Löslichkeit nicht beeinflusst durch Druck 05 II 246
- Quarz
- Massenverteilung . . . 1907 II 180
 - optische Aktivität . . . 06 I 3
 - Reaktion mit Alkalilaugen 06 II 13
 - Schmelzen und Umwandlung 09 I 182
 - Umwandlg. d. Bergkrystalls in den amorphen Zustand durch Schmelzen . . . 05 II 14
 - Ursprung des Worts . . . 05 II 179
 - Veränderung b. hoher Temperatur 09 II 14
 - Verhältnis zu Chalcidon u. Opal . . . CBI 1908 632
 - — zu faserigen Kieselsäuren BB XXV 182
 - — zu Tridymit 08 I 176
 - Verhalten beim Erhitzen 1908 I 331 CBI 1908 37
 - Zersetzungsgeschwindigkeit mit Flußsäure 07 II 178
 - Zirkularpolarisation bei der Temperatur der flüssigen Luft . . . 08 I 167
 - Zustandsänderung b. 570° Festband 181
 - Zwillingbildung BB XXIII 312
 - Zwillingsgesetze 1906 II 327, 328
 - Ajudagh, Krim 09 II 367
 - Alpen, Mineralklüfte, Flüssigkeitseinschlüsse CBI 1906 72
 - Biella, Piemont, Drusen in Syenit 06 II 34
 - Bramsche bei Osna-brück, feinste Nädelchen zur Prüfung des Mikroskops . . . CBI 1907 275
 - Brasilien, krist. und phys.-optisch 05 II 43
 - Brusson (Aostatal), in Goldquarzgängen, Kristallform u. Zwillinge 08 II 330
 - Cadonighino, Tessin BB XXVI 519
 - Chiesonetal (Piemont) Pomaretto, Krist. 09 II 204
 - Dauphiné, Zwillinge . . . 08 II 13
 - De Aar, Kapkolonie . . . 05 I 21
 - Derbyshire, auf Kalkspat, in basischen Eruptivgesteinen . . . 01 I 70
 - Diego County, Kalifornien, Kristalle . . . 07 I 19

- Quarz
- Färöer 1909 I 29
 - Fort Point, San Francisco, Cal., pseudom. n. Apophyllit 05 I 205
 - Frigido b. Massa, mit Fablerz 07 II 177
 - Gletsch am Rhône-gletscher, Kristalle CBI 1906 754
 - Grenville, Canada. Einschlüsse von H_2S 07 I 21
 - Griesental, Zwilling nach R (10I1) 06 II 327
 - Grönland, östl., im Basalt 06 II 183
 - Indien (Bergkristall), krist. u. phys. 05 II 68
 - Island, verkieselte Holzstämme an der Ostküste CBI 1908 66
 - Kalwang, Pseudom. von Limonit n. Q. 05 I 13
 - Kasbek, eigentüml. Zwillingbildung 07 II 356
 - Korea 08 II 333
 - Markirch 09 I 22
 - Meylan (Isère), Krist. 08 II 13
 - Montorfano (Baveno) 07 I 40
 - Nagolnij Krjasch, Donetzbecken 07 II 194
 - — Pseudomor- phose nach der Spalt- barkeit d. Zinkblende 07 II 195
 - New-York, ersetzt durch Schwefelkies 06 I 331
 - Nordamerika, Edel- stein 06 I 357
 - Palombaja, Elba 05 I 20
 - Pelée, Montagne 09 I 71
 - Prinz-Rudolfs-Insel 06 I 35
 - Sachalin, auf Schwer- spat 08 II 334
 - Salangen, Norwegen, Einschluß v. Methyl- bisulfid 06 I 165
 - San Fedelino am Comer See, im Granit 07 II 35
 - Sankt Lorenzen, Steiermark, pseudom. n. Magnetkies 05 I 13
 - Sankyo, Japan, Kiesel- oolith 07 I 197
 - Schmiedeberg (Rie- sengeb), im Granit CBI 1909 770
 - Schunga, „kubischer“ 09 II 335
 - Ural, Mokruschaberg 09 II 40
- Quarz
- Uruguay, mit Ein- schlüssen von Quarz, Rutil u. Eisenspat . 1908 II 143
 - Warstein, Eisenkiesel BB XXI 447
 - Weitendorf (Steier- mark), auf Hohl- räumen im Basalt BB XXVII 251
 - Zwettl, Niederösterr. Waldviertel, Berg- kristall CBI 1908 251
- Quarz und Tridymit
- Bildung in Silikat- schmelzen CBI 1906 728
 - Umwandlung 06 II 45
- Quarzfeldspataggregate.
- Finkenberg b. Bonn, im Basalt CBI 1908 420
- Quarzfeldspatgestein
- Pargas, Finnland 07 I 69
 - Schweden, Regional- metamorphosegebiet 06 I 379
- Quarzgänge
- Foxdale, Isle of Man, eruptiv 05 I 434
 - Klondike-Distrikt, metallführende 08 I 398
 - Sterzing, in kristall. Schiefer BB XXII 504
- Quarzgerölle, New York, Oneida-Konglomerat, korrodiert 06 I 332
- Quarzglas = Kieselglas 08 I 181
- getriebtes, tridymit- haltig 07 I 20
 - mikroskopisch CBI 1908 37
 - optisch 08 I 185
- Quarzhalschattenappa- rat, neuer CBI 1905 267
- Quarzin BB XXV 184
- Kaukasus, Schwarz- meerdistrikt 07 II 181
- Quarzinjektionen, Um- gebung des voigt- ländisch - westerzge- birgischen Granit- massivs CBI 1997 716
- Quarzit
- Bithynische Halb- insel CBI 1909 653
 - Lappland, Eisenerz- lagerstätten BB XXIV 548
 - Presanellagruppe, nördl. Abhang 08 II 365
 - Rothau, Böhm. Erz- gebirge BB XXIII 483

- Quarzit, Sankt Gotthard
 (Südseite) . . . BB XXVII 201
 Quarzitblöcke, Pilsen,
 miocäne, im Quartär 1906 II 353
 Quarzitin, Ardennen . . 09 I 111
 Quarzitschiefer
 — Ecuador, Ostkordillere 06 I 396
 — Odenwald, sericitische,
 entstanden aus Granit CBI 1906 744
 Quarzkeil
 — Abänderung 08 I 162
 — Anwendung 06 II 32
 — Doppelplatte v. Wright,
 Modifikation CBI 1908 313
 Quarzkeilkompensator am
 Mikroskop-Okular . CBI 1906 745
 Quarzkeratophyr, Thü-
 ringer Wald BB XXVII 346
 Quarzkeratophyrbreccien,
 Thüringer Wald BB XXVII 370
 Quarzkeratophyrtuffe,
 Thüringer Wald BB XXVII 376
 Quarzlagenphyllit, Pre-
 sanellagruppe, nördl.
 Abhang 08 II 364
 Quarznorit
 — Penberry Hill, Wales 06 II 211
 — Penmaenmawr, Wa-
 les, u. dessen Schlie-
 renbildung 05 I 93
 Quarzphyllit, Bozen, Por-
 phyrgebiet BB XXVII 79
 Quarzporphyr, siehe Fel-
 sitporphyr.
 Quarzporphyrit, Monzoni
 und Predazzo 06 I 59
 Quarzschotter, pliocän,
 zwisch. niederrhein.
 Bucht und Mosel . . 07 II 292
 Quarztrachyt, siehe Li-
 parit und Rhyolith.
 Quebec, Eruptivgesteine 09 I 67
 Quebeck, Provinz, paläoz.
 Fossilien 05 I 314
 Quecksilber
 — Erzberg (Steiermark) CBI 1908 280
 — Nagolnij Krjasch, Do-
 netzbecken 07 II 192
 — Terlingua, Texas . . 09 I 175
 Quecksilbererze, Texas . 07 II 80
 siehe Zinnober.
 Quecksilberlagerstätten,
 Bosnien und Her-
 zegowina 09 II 405
 Quecksilberminerale,
 Terlingua, Texas . . 09 I 173
 Quecksilberproduktion
 1903 1906 I 356
 Quedlinburg, Pflanzen
 der oberen Kreide . . 07 I 493
 Quellabsatz, Sankyo, Ja-
 pan, Kieseloolith . . 07 I 197
 Quelle La Doux (Areuse)
 und Noiraigue, Jura 08 II 348
 Quellen
 — artesische, Theorie . . 06 II 192
 — — Montreal 09 II 378
 — aus kalkigen Sammel-
 gebieten, hygien. Be-
 wertung 08 II 347
 — heiße 05 I 263
 — juvenile 05 I 263
 — kohlenäureführende,
 Entstehung 05 I 265
 — radioaktive Emanation
 05 II 343
 — Radioaktivität, Jo-
 achimsthal etc. . . . 09 II 373
 — — Paris 09 II 211
 — thermale, selt. Gase 08 I 364
 — Hainich, Thüringen 05 II 448
 — Marburg (Hessen) . . 08 II 346
 — Nenndorf a. Deister,
 Schwefelgehalt . . . 06 II 413
 — Ofen, Bitterwasser . . 06 I 404
 — Pariser Trinkwasser,
 Mineralien im tonigen
 Rückstand 07 II 427
 — Seine-Becken, Ab-
 sätze 07 II 426
 — Thermopolis, Wyo-
 ming, heiße 08 II 349
 — siehe auch Mineral-
 quellen, Thermen,
 Radioaktivität etc.
 Quellwasser, gelöste Mi-
 neralien, CO₂-Gehalt 08 I 363
 — Schweden 06 II 351
 Queluzit, Queluz, Brasi-
 lien CBI 1905 244
 Quenstedtia planulata,
 Jura, Black Hills . . 08 I 264
 Quercinium Abromeiti,
 anomalum, Lesque-
 reuxi, Solerederi und
 Wardi, westl. Verein.
 Staaten 09 I 149
 — pliocenicum, Pliocän,
 Clover Creek, Idaho 08 II 49
 Quercit, triklin 07 I 22
 Quercophyllum chinka-
 pinense 07 II 506

Quercus Hollicki, Matawan-Formation, New Jersey	1907	I	494	Radioaktivität					
— Judithae u. montana, Judith river beds, Nordamerika	07	I	440	— Nivenit, Mackintoshit, Thorogummit, Yttrilith					
Quinqueloculina magna, Unterolig., Krubel maly b. Przemysl	1905 II	434	06	I	472	— Quelle von Fugggi bei Anticoli	08	I	53
— saxorum LAM. et ORB.	07	I	158	— Quellen von Hot Springs, Arkansas	07	I	250		
— Sprattii, Pliocän—Gegenwart, Italien	06	II	308	— Quellen v. Joachimsthal etc.	09	II	373		
Quisqueit, Minasragra, Peru	09	I	167	— Quellen von Paris	09	II	211		
Quitte-in, Westmähren. Eisenerzlager	05	II	243	— schwed. u. norweg. Mineralien	06	I	325		
				— schweizer Mineralquellen	08	I	167		
				— Schwerspat d. Teplitz-Schönauer Quellen	09	I	347		
				— Uran- u. thorhaltiger Mineralien	1906	I	3. 4. 5		
				— Ursache der pleochroit, Höfe CBI 1907 397 1900 65. 113. 142					
				— und Vulkane	09	I	47. 48		
				Radiobaryt, Karlsbader Thermen	CBI	1905	286		
				— siehe auch Radium.					
				Radiolarien					
Radioaktive Cinnabarite	05	I	5	— Chablais-Breccie	09	I	401		
Radioaktive Gase				— Kreide, Euganeen	06	I	474		
— in oberflächl. Wasser	05	I	418	— Miocän, Italien	09	II	490		
— Neu Haven, im Oberflächenwasser	05	I	418	— Tertiär, Maryland	07	II	161		
Radioaktive Imanation von Wasser- u. Oelquellen	05	II	343	— Tiefsee	09	I	298		
Radioaktive Mineralien	1905	II	336. 337	— Trias etc., Niederländisch Indien	09	II	146		
— Verhältnis zwischen Radium u. Uranium	07	II	30	— Turin, im Tripel, u. genetische Beziehungen	05	II	156		
— photographische Wirkungen	CBI	1909	145	Radiolarienführende Kie-selschiefer, Cambrium (Silur), Sachsen	CBI	1905	411		
— relative Menge von Radium und Uranium	07	I	8	Radiolariengesteine, Sizilien	06	II	456		
Radioaktive Pozzolane, Rom	05	I	418	Radiolarienhornsteine, rheinisches Diluvium	07	II	458		
Radioaktivität (siehe auch Radium)				Radiolarit					
— Aetnagesteine	07	I	11	— alpin, Mesozoicum	BB	XXV	376		
— Aetnaprodukte	07	I	227	— Attendorn-Elspers Doppelmulde, Culm	09	I	242		
— der Bodenluft, abhängig von geolog. Faktoren	07	II	55	— Westalpen	07	II	442		
— borsäurehaltige Sulfionen, Toscana	05	II	344	— u. Radiolaritkalk, Alpen	06	II	86		
— Cotunnit, Vesuv	08	II	293	Radiolites Morgani, Kreide, Süd-Persien	06	I	443		
— Flußspat	06	I	4	— Mülleri, Granulatenkreide, westl. Münsterland	08	I	428		
— Hilfsmittel zur mineralog. Untersuchung	09	I	157						
— Karlsbader Thermen	05	II	343						
— Mineralien 1907 I 7 ff.	07	II	399						
— australischer	07	I	10						
— Mineralquellen, Latium	07	I	228						

- Radium
 — Darstellung aus Kolm 1906 I 326
 — Färbung von Mineralien 07 II 171
 — siehe Radiumstrahlen.
 — im Carnotit 05 I 10
 — Stabilität der durch R. erhaltenen Mineralfarbe CBI 1909 232
 — Ursache der Temp. des Erdinnern 07 II 399
 — Verbreitung in der Erdkruste 07 II 398
 — Delta County, Col. Quellen 07 II 237
 — Joachimsthal etc., Quellen 09 II 211
 — Paris, in Quellen 09 II 211
 — Schlaggenwalde 05 I 7
 — Schweden 06 I 326
 — Simplongesteine 09 II 211
 — siehe Radioaktivität.
- Radiumbromid, Einwirkung auf gesteinsbildende Mineralien
 CBI 1909 66, 113, 142
- Radiumemanation
 — Einwirkung auf Mineralien und Edelsteine 07 I 9
 — v. Thermen 07 II 53
- Radiumstrahlen,
 — Aenderung der Farbe des Saphirs 09 I 178
 — Einfluß auf Färbung von Sanidin, Zirkon und Quarz . CBI 1909 721
 — Einwirkung auf Mineralfarben BB XXVI 249
 — färben Quarz 06 II 158
 — Verhalten von Mineralien 05 I 8
 Rädertendecke, Glarus . 06 II 393
- Ragusa, Sizilien, Asphalt 05 I 261
- Raibl
 — Geologie 07 I 273
 — Karten der Erzlagertstätten 05 I 259
- Ralligenstöcke, Geologie 08 II 382
- Rammelsberg, Kieslager, Erhaltungszustand eines Goniatiten u. Entstehung 09 II 242
- Rammelsbergit, Brompton-See, Orford Co., Quebec, Kristallisation 06 I 13
- Rammelsbergit
 — Markirch 1909 I 25
 — Orford, Quebec, Kristallform 06 II 325
- Randbildungen der Gesteine der Brixener Masse 05 II 379
- Randen, Molasse und Grobkalk 09 I 432
- Randfiguren beim Ätzen der Kristalle 05 I 10
- Randmoränen, westfäl. Becken 05 I 475
- Ranina Bittneri, Eocän., Pest 05 II 317
- Raninella baltica, jüngste Kreide, Schonen 06 II 141
- Rapana gracillima, mittl. Gault, Algermissen . 05 I 317
- Raseneisenstein CBI 1909 326
- Raspenau, Böhmen, körn. Kalk des Kalkbergs 06 I 54
- Raspit
 — Brokenhill, Krist. 08 II 38
 — Sumidouro, Minas Gerães, Bras., Krist. CBI 1905 422
- Rassenpersistenz bei Ammoniten . CBI 1909 193 225 417
- Rauchquarz
 — Färbung und deren Aenderung BB XXVI 284
 — Korea, Parallelverwachsung mit Amethyst 08 II 333
- Rauchtopas, Brasilien, krist. u. phys. 05 II 66
- Raugitter, experimentelle Grundlagen 06 II 1
- Razumoffskin CBI 1909 333
- Reaktionsgeschwindigkeit in Silikatschmelzen . 07 II 9
- Realgar
 — Alchar, Kristalle 1905 I 369 09 I 316
 — Carrara, im Marmor 07 I 215
 — Markirch 09 I 25
 — Sheljesny, Kertsch . 05 II 200
 — Stanz im Mürtal (Steiermark) CBI 1908 281
 — Vesuv, von 1906 08 I 206
- Rechtschreibungsnaturw. u. techn. Fremdwörter CBI 1907 692
- Rechtswensaures Magnesium 07 I 104
- Recoaro, Aufbruch 06 II 244

- Rectigrada, Patagonien, Extremitäten . . . 1907 II 138
- Rectoclymenia annulata, arietina, crassicosta, Kayseri, protacta, Roemeri, und Steinmanni, ob. Oberdevon, Enkeberg . . . BB XXVI 613
- Redbanksande, Monmouth County, N. Y., mit eisenh. Konkretionen . . . 08 II 375
- Red Hill, Moultonboro, N. H., Geologie . . . 09 II 387
- Red Mountain, Arizona, vulkan. Tuffkegel . . . 09 I 45
- Redontit, Martinique, mit Guano . . . 06 II 171
- Red-Wall-Kalkstein, höherer, Fossilien, vergl. mit Kansasformation . . . CBI 1907 609
- Reflexion des Lichts an durchsichtigen inaktiven Kristallen . BB XXVI 296
- Refraktometer
— einfaches . . . 05 I 5
— von HERBERT SMITH 1906 II 32 CBI 1907 350
— neues Modell von HERB. SMITH . . . 08 II 146
— siehe auch Kristallrefraktometer.
- Regelmäßige Punktsysteme, Diagramme CBI 1906 437
- Regeneration verletzter Kristalle . . . 05 II 332
- Regensburg, LÖB des Donautals, Konchylien . . . 05 II 449
— Konchylien des LÖB u. Altalluviums . . . 06 I 123
- Regenstau, Jura . . BB XXI 468
- Regentropfen, fossile durch im Schlamm aufsteigende Gasblasen . . . 06 II 200
- Regina, Devon, Ostthüringen . . . BB XXIV 296
— semiramis, Kreide, Süd-Persien . . . 06 I 442
- Regionalmetamorphose, kleine Antillen . . . 06 II 376
- Regionalmetamorphosegebiet, Schweden, Quarzfeldspatgesteine 06 I 379
- Regmaglypten und Piezoglypten bei Meteoriten . . . 1909 I 353
- Reguläres System
— Hauptstrukturarten 07 I 183
— hemiedrische Formen 07 I 181
— Stereometrie der einfachen isoaxialen Formen . . . 05 II 331
- Reibungsbreccie
— Insel Man . . . 06 II 210
— Moiné-Mendia b. Hélette (Basses-Pyrénées), zw. Granit u. Marmor . . . 06 II 212
- Reichardt, Kristall . BB XXIII 317
- Reichenbach'sche Lamellen (Troilit) . . . 05 I 155
- Reifkurven an Doppelsalzen und Mischkristallen . . . 06 I 6
- Reifingites fortis, Han Bulog-Kalke, Hydra BB XXV 457
- Reinhardswald b. Kassel, Tertiär . . . 05 II 286
- Rekristallisation VAN HISE . . . CBI 1906 609
- Reliefgestaltung d. Landes, beeinflußt durch Inlandeis . . . 06 II 437
- Rembang, altmiocäne Gastropoden . . . 07 II 498
- Rensselaeria diania, Unterdevon, Dalhousie . 08 I 414
— ovoïdes, Devon, Bolivia . . . BB XXV 557
- Rentier, Oberlaibach, Krain . . . 07 II 476
- Reptil, ältestes (Isodectes Copei oder punctulatus) 09 II 123
- Reptilien
— Epiphysen . . . 09 I 442
— Foramina der Carotis interna u. des Hypoglossus . . . CBI 1906 336
— Carbon, älteste, Pittsburgh, Penn. . . 08 II 268
— Tertiär, Fayum . . . 07 II 316
- Reptilientypus der Tetrapoden . . . 09 II 113
- Resorption, magmatische u. porphyrische Struktur . . . 05 II 1
- Resorptionserscheinungen, Ecuador, in vulkan. Gesteinen . . . 05 II 76

- Resorptionserscheinungen.
 — südl. Schwarzwald . CBI 1907 76
 — Schwarzwald und Harz, im Granit . . . 1909 I 55
- Retepora quadripunctata, Tertiär, Patagonien 05 II 141
- Reticularia cf. Dieneri, lineata u. rostrata, ob. Carbon, Kukurtuktal, südl. Tian-Schan BB XXII 381
 — cf. lineata, jüngeres Paläozoicum, Timor BB XXV 319
- Retinit
 — Beziehung zu Bernstein 08 I 358
 — Dänemark, im miocänen Ton 06 I 347
- Retusa tenuistriata = Tornatina Peroni, Kreide, Orgon (Bouches-du-Rhône) 06 I 318
- Reussia patagonica, Tertiär, Patagonien 05 II 141
- Revigliano, Sarnomündung 06 I 86
- Reyerit CBI 1907 411
 — Unterscheidung von den anderen Glimmerzeolithen 08 II 37
- Rhabdit im Meteoreisen 05 I 123
- Rhabdocarpus curvatus, Kohlenkalk, England 06 II 464
- Rhabdoceras Russeli, Pseudomonotis-Schiefer d. norischen Stufe, Amerika 06 II 306
 — Suessii, Jugendentwicklung CBI 1906 710
- Rhabdocidaris Delgadoi, Jura, Portugal 07 II 154
 — Gevreyi u. Petitclerci, Kreide, Ostfrankreich 05 II 326
 — helicoides. ? Bathonien, Algerien 06 I 156
 — Lafayi, Jura, Mâcon 07 II 156
- Rhabdogonium pericardium, lithauisch-kurischer Jura 06 I 472
- Rhabdoidea, Globigerinenmergel, Bahna, Rumänische Karpathen 09 II 143
- Rhabdolithen, nordatlant. Ozean 05 I 425
- Rhabdopleura Normanni, Organisation 05 II 84
- Rhabdosphaera silicea, Rupelton, Mainzer Becken 1909 II 325
- Rhachitomer Typus der Tetrapoden 09 II 113
- Rhacophyllites, systemat. Stellung CBI 1906 420
 — firmöensis CBI 1906 239
 — gigas var. intermedia, Unterlias, Alsórákos 09 II 139
 — schofariformis, Lias, tibetan. Klippen des Zentral-Himalaya 08 II 414
 — Semenowi, Kaukasus 08 II 81
 — ürmöensis CBI 1906 239
- Rhacopteris asplenites, Carbon, Vorkommen 09 II 491
- Rhät
 — Argentinien, Vorkordillere 05 II 271
 — Bornholm, foss. Flora 08 I 451
 — Deutschland, Nord-, Pflanzen 09 I 462
 — — Südwest-, Landpflanzen 08 I 151
 — England, Flora 07 I 489
 — Nagato, Japan, Pflanzen 07 II 341
 — Stabbarp (Schweden), Ginkgoales 08 I 147
 — Südafrika, Pflanzen 08 I 454
- Rhätikon
 — Geologie d. östlichen 09 I 88
 — Tektonik 06 I 252
- Rhagamys orthodon, Quartär, westliches Mittelmeergebiet 07 I 459
- Rhagatherium aegypticum, Tertiär, Fayum 07 II 314
- Rhamnose, Zirkularpolarisation 05 II 335
- Rhamnus Novae-Caesareae, Matawan-Formation, New Jersey 07 I 495
- Rhamphorhynchus Gemmingi u. longiceps, Solnhofen, Schädel 05 I 521
 — — mit Flughaut 1909 I 131 132
 — siehe auch Pterodactylus u. Pterosaurier.
- Rhamphostomella perforata, Tertiär, Patagonien 05 II 141
- Rheingebiet, ausseralpines, Diluvium 08 II 95

- Rheingletscher, alter.
Drumlinslandschaften 1906 I 436
- Rheinessen, Septarien-
ton von Wonsheim,
Foraminiferen etc. . CBI 1905 656
- Rheinisches Schiefer-
gebirge
— Alter CBI 1909 278
— Diabasgesteine . . . 1907 I 53. 55
— klast. Gesteine aus
dem Paläozoicum . . . 09 II 216
- Rheinisch-westfäl. Stein-
kohlenbecken, Trias
und Dyas . . . 1907 I 412. 414
- Rheinlande, Eiszeit . . . 05 II 447
- Rheinpfalz, bayr. Stein-
kohlenformation . . . 06 I 103
- Rheintal
— Entstehung 09 I 239
— pliocänes 06 I 141
— Schweiz, Inselberg . . 09 I 400
- Rheintalspalte, tertiäre
u. diluviale, Wein-
heim a. Bergstr. . . . 06 II 431
CBI 1909 659
- Rhenania, zu Myophoria
Rhenaster Schwerdi,
rhein. Grauwacke . . . 09 II 322
- Rhetechelys, Nordamerika
Rhinellus delicatus,
Kreide, Libanon . . . 05 II 481
- Rhinesuchus Whaitsi,
Perm, Südafrika . . . 09 II 137
- Rhinoceros, Arten, Mio-
cän, Nordamerika
— Zahnformel 07 II 134
- etruscus u. Mercki,
Mosbacher Sande . . . 05 I 486
— hundsheimensis . . . 07 II 482
— kendengindicus und
sivasondaicus, Ken-
deng-Schichten, Java . . 09 I 117
— Merckii, Ehrings-
hausen bei Weimar,
ob. Travertin CBI 1909 23
— — var. hundshei-
mensis und vindo-
bonensis, Oesterreich . . 08 II 104
— — Pola, Zahn CBI 1908 765
— pachygnathus und
Schleiermacheri, Ter-
tiär, Samos 06 II 450
— Schleiermacheri, Gouv.
Cherson 07 II 478
— tichorhinus im schwei-
zer Quartär 07 II 478
- Rhinocerotiden
Obermiocän, Ober-
kieferbezahlung . . . 1909 II 121
— Samos u. Maragha in
Persien CBI 1907 29
— Tertiär, Samos 06 II 450
— Untermiocän, Amerika . 08 II 431
- Rhinoclavus Staadti, Eo-
cän, Paris 07 II 303
- Rhipidogyra calloneg-
hensis, Kreide, Callo-
neghe 05 I 317
- Rhipidomella Pecosii, ob.
Carbon, Kukurtuktal,
südl. Tian-Schan . . . BB XXII 372
- uralica, Obercarbon,
Ural und Timan 05 I 534
- Rhizomopteris cruciata . 08 I 143
— Etheridgei, Trias—
Jura, Victoria (Au-
stralien) 08 I 150
- Rhodanide, vergl. Metall-
rhodanide CBI 1905 289. 321
- Rhodea (Diplotmema)
dissecta forma offen-
burgensis, Carbon,
Offenburg 08 I 459
— (?) hostimensis, Devon,
Etage H., Mittel-
böhmen 06 II 145
— (?) sublanceolata,
Carbon, Offenburg . . . 06 I 459
- Rhodesia
— Eisenerze v. Nordost- . 07 I 80
— Sedimentärablage-
rungen 05 II 268
- Rhodochrosit, siehe Man-
ganspat.
- Rhodonit
— isomorph mit Wolla-
stonit 09 II 344
— Piemont, Lanza-Tal . . 07 II 359
— St. Marcel, krist. u.
chem. 06 I 24
- Rhodonitähnl. Schlacke
— Kristalle 1908 II 21. 308
— (Vogtit) 08 II 308
- Rhodusit
— Asskys-Fluß 09 II 19
— Sibirien, Minus-
sinsk'scher Kreis . . . 09 II 21
- Rhön
— Basalt von Roth 05 II 212
— Geologie (Ostheim), . . 07 I 421
— Zechstein u. Muschel-
kalk 09 I 424

Rhönit in Basalt . . .	BB XXIV 475	Rhynchonella asymetrica	
Rhombenporphyr, Kili-		brevicostata, concin-	
mandscharo	1907 II 411	na, var. cutchensis,	
Rhombocladia delicata,		fornix, pauciplicata,	
karn, Fusulinenkalk	06 II 158	pseudo-inconstans,	
Rhombopora Nicklesi u.		pulcherrima, recti-	
Schellwieni, karn.		cardinalis, rugosa,	
Fusulinenkalk . . .	06 II 141	subplicatella u. versa-	
Rhombus minor, Otolith,		bilis, Jura, Kutsch .	1905 I 181
Tertiär, Oesterreich	07 I 481	— eupentagona, ladin.	
Rhônegletscher, Struktur		Stufe, Dobrudscha .	08 I 419
des Eises	09 II 209	— densleonis u. Whiteana.	
Rhône-Tal, Terrassen		Kreide, Kalifornien .	06 I 288
unterhalb Lyon . . .	08 I 221	— dotis, Devon, Bolivia	BB XXV 552
Rhône-Ufer, rechtes, und		— Drusorum, Glandar-	
Languedoc, Neocom	06 I 110	rienkalk, Syrien . .	06 I 279
Rhopalastrum clavatum,		— Fraasi var. pauci-	
irregulare u. Neviani,		costata u. pseudo-	
Scaglia, Euganeen .	06 I 475	palmata, Lias, Tranze	08 I 424
— speciosum, Kreide,		— galoi, moluccarum,	
Euganeen	06 I 474	sularum, taliabutica	07 II 447
Rhopalodictyum calver-		— krajinensis u. scuta-	
tense u. marylandi-		rina, Dogger, Monte-	
cum, Tertiär, Mary-		negro	07 I 433
land	07 II 161	— Krammi, Eisenerz-	
Rhopalonaria attenuata,		formation, Lothringen	
keokukensis, medialis,		u. Luxemburg . . .	06 I 304
robusta u. tenuis . .	05 II 486	— Krotovi, Obercarbon,	
Rhus salicifolia, Braun-		Ural u. Timan . . .	05 I 533
kohle, Senftenberg .	08 I 449	— cf. lacunosa arolica.	
Rhynchippus, Kreide,		Jura, Burn	BB XXV 324
Patagonien	05 I 167	— miatchkoviensis, Jura,	
Rhynchocephalenäbnl.		Moskau etc.	05 I 131
Ordgn. d. Theriodon-		— aff. multiformis, Neo-	
tier	07 I 478	com, S. Lorenzo, Peru	BB XXIV 88
Rhynchogoniopsis neocom-		— Pallas, Bathonien,	
miensis, Wealden,		Sardinien	BB XXIII 463
Peru	BB XXIV 86. 87	— parvirostris, Neocom,	
Rhyncholithen des schles-		Sardinien	BB XXIII 469
sischen Neocoms . .	08 I 301	— peregrina, Kreide,	
Rhyncholithes bathonien-		Freiberg, Mähren	
sis, curtus, curvatus,		1905 I 181	06 I 428
Foordi, grayensis,		— persinuata, mittl. Lias,	
ignotus, lineatus,		Schwaben	06 I 469
mediterraneus, Paro-		— plateia, voluta und	
nae, punctatus, rectus		Walkeri, Fuller's	
u. Suessi	08 I 303	Earth, England . .	08 II 87
— bohemicus u. Cassia-		— pleurodon, Culm, Kö-	
nus, Neocom, Schlesien	08 I 301	nigsberg b. Gießen	BB XXVIII 630
— cordiformis, ob. Jura	08 I 302	— cf. pleurodon, unter-	
— Hoheneggeri, Lorioli,		carb. Transgressions-	
neocomensis, silesia-		meer, Tian-Schan .	BB XXVI 221
cus, striatus, sulcatus		— Rothpletzi, ob. Jura,	
u. Uhligi, unt. Kreide	08 I 302	Somaliland	06 I 281
— obtusus	1908 I 302. 303	— selliformis, ob. Oxford,	
— sella, Carbon	08 I 302	Checiny, Polen . . .	08 II 90

- Rhynchonella variabilis
u. Zitteli, Mittellias,
Corfu BB XXI 296
- zermnitiensis, Werfer-
ner Schichten, Bucieri,
Montenegro 1905 II 108
- Rhynchopora ambonensis,
vorjurassisch, Ambon BB XXV 301
- Rhynchosaurus articeps,
Keuper, England 08 II 441
- Rhynchotheutis, Neocom,
Schlesien 08 I 301
- Rhyokristalle in porphyr.
Gesteinen 07 II 417
- Rhyolith
— Ampasindava (Mada-
gaskar) 05 I 438
— Euganeen 08 II 203
— Skye, Tuff u. Lava
— Wisconsin, nördl. 09 I 227
— siehe auch Liparit.
- Rhytidon 09 I 445
— Branson zu Phyto-
saurus CBI 1909 592
- Riazan, Oxford und Se-
quanien 05 I 130
- Ribeirella und Ribeiria,
Untersilur 05 II 316
— und Riberia, Unter-
silur 05 II 316
- Ricardolydekkeria,
Kreide, Patagonien 05 I 168
- Ricardowenia, Kreide,
Patagonien 05 I 168
- Richterit, Grönland,
westl. Nord-, im Am-
phibolit 07 I 246
- Riebeckit
— Alter-Pedroso, Portu-
gal, massenhaftes
Vorkommen im Granit 05 I 378
— Asoday, Zentral-
afrika, im Liparit 09 II 235
— Dahomé, im Granit 09 II 235
— Saint-Véran, Hoch-
alpen, im Gestein 06 I 379
— siehe Krokydolith.
— u. Riebeckitgesteine,
Entstehung 07 II 224
- Riebeckitgesteine
— Evisa, Korsika 08 I 69
— Oklahoma 09 II 384
- Riebeckitgneis, Ortho-
Forellenstein, Glogg-
nitz, Oesterreich 05 II 51
- Riebeckitgranit
— Alter-Pedroso, Por-
tugal 1905 I 378
— Madagaskar 05 I 248
- Ries
— alttertiäre Konchy-
lien 07 II 451
— alttert. Land- u. Süß-
wasserfossilien der
Bunten Breccie bei
Weilheim 08 I 433
— vulkanische Erschei-
nungen 07 I 375
— — Tuffe und Aus-
würflinge 06 II 203
- Riesengebirge
— Kugelgranit
CBI 1905 236 CBI 1908 137
— Spaltungsvorgänge
in granit. Magmen 07 II 212
- Riesengebirgsgranit,
Ganggesteine 06 II 57
- Riffkalke, chem. u. petr. Festband 404
- Rikuzen (Japan), Jura-
fossilien 05 I 464
— Rillensteine, Vrat-
nica planina, Bosnien,
in einem alten Berg-
werk CBI 1905 366
- Rillyia Bonneti, Eocän,
Paris 07 II 303
- Rimini, Foraminiferen
des Lido 06 II 310
- Rimula Bonneti und
Nincki, Eocän, Paris 07 II 303
- Rinder, neolith. Fauna
von Mitteleuropa 06 II 440
- Ringicula Grossouvrei
(Ringiculella), unt.
Santonien, Frank-
reich 06 I 318
— Michaleti (Ringicu-
lella), Mornasien,
Frankreich 06 I 319
— Morgani u. reducta,
Senon. Süd-Persien 06 I 444
- Rinneit
— Wolkramshausen bei
Nordhausen, Kali-
werk 1909 II 19 CBI 1909 72
— — — Kristallform . CBI 1909 503
- Rinnenseen, Ostpreußen 05 I 471
- Rioja, Prov., Argentinien,
Geologie BB XXII 567
- Ripidolith, Toskana (Calci
u. Verruca) 07 II 38

- Ripplemarks
 — am Sandstrand . . . CBI 1906 727
 — siehe auch Wellenfurchen.
- Rissoa Houdasi u. vespertilis, Eocän, Paris 1907 II 303
- Ritom-See b. Airolo . . . 07 II 53
- Ritzfiguren, Natronsalpeter 05 I 24
- Riu-Kiu-Inseln
 — Foraminiferend. mic. Orbitoidenkalks . . . 06 II 309
 — geomorpholog. Stellung 05 I 114
- Rizzonit, Fassatal . . . CBI 1905 51
- Robergia micropthalma, Ceratopygehorizont, Jemtland 06 II 298
- Robulina cultrata, depauperata u. radiata, Globigerinenmergel, Bahna, Rumän. Karpathen 09 II 148
- Roca-Schichten, Kreide, Patagonien BB XXI 143
- Rock flowage van Hise CBI 1906 610
- Rocky Montains
 — marine Abrasion . . . 07 I 379
 — Querschnitt in Nord-Alaska 06 I 91
- Stein- und Braunkohlen 08 II 221
- Rodderberg, Diluvium . . 07 II 455
- Rodedoren, Argentinien 05 I 157
- Rodentia, Kreide, Patagonien 05 I 169
- Rödö-Porphyr geschiebe, Diluvium, Westfalen CBI 1907 148
- Roemerit, Entstehung . . 08 II 326
- Roemeroceras Gabbi und subplanatum, obere Kreide, Peru 07 II 147
- Röntgenstrahlen
 — Anwendung in der Paläontologie 07 II 467
 — Echiniden 07 II 157
 — Verhalten von Mineralien 05 I 8
- Röt, Hannover, fossilführende Kalke 08 II 85
- Rogenio solitudinis, Kalifornien 08 II 443
- Rogenstein
 — Buntsandstein, Norddeutschland 08 II 126
 — Kugelpackung . . . CBI 1909 302
- Rogersia angustifolia var. parva 1907 II 506
- Roheisen
 — Puddeleisen, Struktur 09 II 130
 — weißes 09 II 133
 — Teschen, Krist. . . . CBI 1908 545
 — Wladiwostok, russische Insel 09 II 184
- Rohhumus, Bildung auf dem Trockenem und Bekämpfung 05 II 78
- Rohrzucker
 — opt. Aktivität 06 I 3
 — Zirkularpolarisation 05 II 335
- Romángladna, östl. von Temesvar, Geologie, 05 II 99
- Romanites Simionescui, ladin. Stufe, Dobrukscha 08 I 419
- Romingeria commutata, Jacksoni u. minor, 07 I 486
- Rosellinites Schusteri, interglaz. Schieferkohle, Bayern 09 I 468
- ROSENBUSCH
 — Festschrift CBI 1906 478
 — mikroskopische Physiographie siehe mikroskopische Physiographie.
- Rosenquarz, Nordamerika 09 I 32
- Roßberg b. Darmstadt, Basalt 06 I 367
- Roßbodengletscher (Simpson), Felssturz 05 II 48
- Roß-Insel-Formation . . . 09 II 102
- Rostellaria Munieri, Eocän, Paris 07 II 303
 — subtilis, Hypersenon, Peterwardeiner Gebirge 06 II 268
- Rostellites capensis, Kreide, Pondoland . . . 07 II 306
 — Dalli var. Wellsi, Fort Benton-Schichten, Los Cerillos (Neu-Mexiko) 08 I 436
- Rotalia, Revision von Spezies von D'ORBIGNY 08 I 309
 — offenbachensis, Rupelton, Mainzer Becken 09 II 325
- Rotalideen, Systematik 08 I 307
- Rotaliidae, System der lebenden u. fossilen 05 II 329

- Rotalina Dutemplei, cfr. punctulata u. Soldanii, Globigerinenmergel, Bahna, Rumänische Karpathen 1909 II 157
- Rotationssklerometer . 07 I 190
- Rotbleierz
— künstl. Kristalle . . 06 I 30
— — Nachbildung . . 07 I 208
— Dundas (Tasmanien), Kristallform 05 I 191
- Roteisen-Sandsteinplatten, Quadersandstein d. nördl. Böhmen . BB XXV 479
- Rotenstein
— Campolongo, Pseudomorph. nach Schwefelkies 05 I 203
— Fachingen a. Lahn . 09 I 389
— Nassau, Entstehung 06 II 225
- Rotellorbis Nincki, Eocän, Paris 07 II 303
- Rote Schichten, Luxemburg, Belgien, Alter 05 I 455
- Roter Salzton, jüngeres Zechsteinsalz, Norddeutschland 09 I 424
- Rotgiltigerz
— Binnental 08 I 205
— — lichtetes CBI 1905 752
— Colorado, Gletscherberg bei Montezuma, Summit Co. 09 II 335
— Markkirch 09 I 24
— Tabor, Böhmen . . . 09 II 366
— Ural, Perwoblagodatschni-Grube 09 II 14
— siehe auch Proustit u. Pyrargyrit.
- Rothau, Böhm. Erzgebirge, Geologie . BB XXIII 474
- Rotkupfererz
— aus FEHLING'scher Lösung 08 II 295
— Bisbee Quadrangle, Arizona 06 I 175
— Färöer 09 I 29
— Nagolnij Krjasch, Donetz-Becken 07 II 195
— siehe auch Kupferblüte.
- Rotlehm, Amani, Ostusambara 06 II 421
- Rotliegendes
— Baden, Flora 08 I 457
— — und Elsaß, Flora 08 I 457
- Rotliegendes
— Chemnitz, verkieselter Baumstamm . . 1908 I 311
— Flöha (Sachsen), Paläontologie 08 I 313
— Freudenstadt etc., Schwarzwald 09 II 413
— Harzvorland, östl., Diskordanzen . . . CBI 1907 85
— Hohenstein-Limbach (Erzgeb.), Pflanzen . 05 I 539
— Neu-Bamberg (Pfalz) 07 I 266
— Niederschlesien und Böhmen, Zweischaler 05 I 44
— Sachsen-Meinigen . 06 II 411
- Rotnickelkies, siehe Kupfernichel.
- Rotti (Roté), Ind. Arch., mesozoisches Land u. Meer 07 I 109
- Roxania biconica, Eocän, Paris 07 II 303
- Rubin
— Brechungskoeffizient des synthetischen . CBI 1909 675
— Färbung durch Radium 07 II 171
— künstlich 06 I 15
— — — — — CBI 1907 412 CBI 1908 179
— Spektrum 08 II 296
— Birma, große Kristalle CBI 1905 588
— — Nanya-zeik, Lagerstätte 08 II 296
— Cowee Valley, N. Car. 09 I 32
- Rudloff-Caldera, Island BB XXVI 413
- Rücken, Mansfeld und Thüringen, Beziehung zur Erzführung des Kupferschiefers CBI 1906 243
- Rüdersdorf, älteste Vereisung u. Beziehung zum Alter d. Berliner Paludinenschichten . CBI 1906 181
- Rüdesheim, Geologie . 07 II 88
- Rügen
— Facettengeschiebe im Diluvium 06 I 71
— Landverluste an der Küste 06 II 196
— Quartärbildungen . 08 I 96 ff.
— und Hiddensö, Landverluste a. d. Küste 08 I 97
— und Neuvorpommern, Entwicklung d. Bodenreliefs 07 I 117

- Rüttimeyeria, Kreide, Patagonien 1905 I 168
- Rugosen. Bau 09 II 140
- Ruhrkohlenbecken, Deckgebirgsschichten und Wasserführung 07 I 414
- Ruhrkohlenrevier, Trias und Dyas 1907 I 412. 414
- Rumänien
- Erdbeben 06 I 42
- Petroleum 06 II 390
- Pleistocän-Fauna 05 I 320
- sarmat. Schichten der Moldau 1905 I 469 06 I 295
- Rumänische Karpathen, oligocäne Fischfauna d. Berges Cosla bei Piatra-Neamtz 06 I 153
- Rumänit, Beziehung zu Bernstein (Succinit) 1908 I 357 08 II 326
- Rundhöcker 08 I 51
- Rupelton
- Mainzer Becken, Foraminiferen 1909 I 433 09 II 323
- Weinheim a. Bergstr. 09 II 465
- siehe auch Septarienton 05 II 287
- Rupertia elongata und Uhligi, Eocän, Turin (S. Genesisio) 07 I 328
- Ruscheln
- faule, Harz 09 I 77
- — — Entstehung 05 II 398
- Rußland
- Ammoniten d. unt. Kreide von Zentral-u. Nord-Rußland 05 I 350
- Jura 07 I 283
- levantinische Ablagerungen im südlichen CBI 1906 413
- Ostgrenze des präcambr. Systems in Finnland CBI 1906 600
- Tertiär 05 I 469
- Rußschiefer, Lognitztal unterhalb Probstzella, Thüringen, mit Phosphoritknollen, Culm BB XXI 98
- Rutherfordin (Uranyl-Carbonat), Lukwengule, Morogoro, Deutsch-Ostafrika . CBI 1906 761
- Rutil
- mimet. trigonal, Verwachsung mit der entsprechend. Kieselsäure 1908 I 330
- regelm. Verwachsung mit Eisenglanz 08 I 175
- Campolongo 05 I 203
- Carrara, im Fahl- erz 07 I 216
- Cavradi, Tavetsch, Verwachsung mit Eisenglanz 1907 I 196 09 II 188
- Chynov bei Tabor, Böhmen 09 II 366
- Elba, turmalinführ. Gänge in Granit v. San Piero in Campo 05 II 34
- Lauffenberg bei Radenthein, Tirol, im Granatglimmerschiefer, Kristallform . . CBI 1909 216
- Modriach, Steiermark. Pseudomorphose von Quarz nach Rutil 05 I 13
- Montafon, Vorarlberg CBI 1906 349
- Olgiasca, im Pegmatit 05 I 203
- Ottawa b. Pisek, im Goldsand 05 I 365
- Söndeled, Norwegen, Brechungsindizes . . 06 II 317
- Susa-Tal, im Prasinit der Rocca Bianca 1906 II 105 ff.
- Uruguay, Einschluß im Quarz 08 II 143
- Veglia, Alpe, Piemont 06 I 18
- Virginia, Vorkommen 08 II 13
- Rutilreihe
- Beziehung zw. Atomgewicht u. Achsenlänge 08 I 331
- Mineralien, Norwegen. Granitpegmatitgänge d. südl. 08 I 352
- Rutschboden, Schweden, Entstehung 06 II 350
- Rutschungen, subaquatische, rezente und fossile 08 II 136

S.

Saalekiese, quartäre . . .	1907 II 461
Saalesschotter	
— präglaziale etc.	06 II 432
— und Vereisung, Thüringen	CBI 1907 59
Saaletal, Diluvium des mittleren	05 II 446
Saaleterrasse, oberste, Naumburg a. Saale	06 II 431
	CBI 1906 678 CBI 1907 214
Saccamina grandistoma u. minutissima, Rupelton, Mainzer Becken	09 II 324
Saccocoma Schwertschlaggeri, Solnhofer Plattenkalke	05 I 459
Sachalin, Mineralien	08 II 333
Sachsen	
— geologische Uebersichtskarte	09 I 400
— Granulitgebirge, Genesis	1908 I 56 CBI 1907 513
— — Kontaktmetamorphose der Südostflanke	CBI 1905 257
— — Phyllitformation des Südost-Flügels	CBI 1905 109
— Kreide	06 I 286
— — Ammoniten	05 I 353
— — Beziehung der obersten zu Böhmen u. Schlesien	BB XXIV 676
— — Gastropoden	06 I 317
— — Inoceramen	05 I 356
— Steinkohlen, mögliche neue Funde	06 I 235
Sachsen-Meiningen, Geologie	06 II 409
Sackberge, Geologie	08 II 80
Säntis, Geologie	1906 II 392. 394
Säuerlinge, Carbonate	1908 I 361. 362
Säugetiere	
— American Museum of Natural History	06 II 442
— arboreale Vorläufer	06 I 139
— Astragalus	1907 I 466. 475
— CANALF'sche Sammlung, Perugia	06 I 143
— Geschichte, Bedeutg. der tertiären Fossilfunde in Aegypten (Arsinoitherium)	09 I 438
— Perforation des Astragalus	07 I 466

Säugetiere

— terrestrische Anpassung an eine andere Lebensweise	1906 I 134—140
— Aegypten, Eocän	1906 I 446
— Amerika, Eocän	05 I 324
— Argentinien, Kreide u. Tertiär	05 I 132
— siehe auch Patagonien, — Castrais, Bartonien	05 II 302
— Dänemark, Tertiär u. Quartär	06 I 445
— Großbritannien, Pleistocän	06 II 442
— La Grive St. Alban, Mittelmiocän	05 II 307
— Leoben	05 II 305
— Madagaskar	06 II 443
— Messina, tertiäre und quartäre	1906 I 141. 142
— Neusibirien etc., v. D. TOLL'sche Expedition	07 II 301
— Nordamerika, Fortschritte der Kenntnisse	07 I 454
— Patagonien, System — — Verbreitung und Aufeinanderfolge der Säugetiere enthaltenden Schichten	05 I 307
— — Kreide, Ungulaten	05 I 167
— — Kreide u. Tertiär	07 II 272
— — — u. unt. Tertiär	05 I 497
— — Santacruzeno. Marsupialier	07 I 306
— — Santa Cruz-Schichten, Dasyпода	05 I 498
— — Tertiär, Dentition	06 I 450
— — — Verbreitung	05 I 307
— siehe auch Argentinien, — Perrier, Hipparion-Fauna	06 I 143
— Pommern, diluviale und alluviale	06 I 140
— Schweiz, Eocän, Chasmothorium u. Lophiodon	05 I 492
— Seweckenberg bei Quedlinburg, diluviale	06 I 140
— siehe auch Tertiär, Wirbeltiere, Mensch etc.	
Säulenförmige Absonderung im Sandstein durch Basalt, Sydney, N.-S.-Wales	07 I 402

- Sageceras albanicum, Untertrias, Albanien. 1908 II 400
- Sagenodus pertenuis, Perm., Texas 05 II 477
- Sagenopteris alaskensis 07 II 504
- bilobata, Jura, Korea 07 II 343
- Emmonsii u. magnifolia 07 II 500
- grandifolia 07 II 503
- nervosa 07 II 504
- Phillipsi, var. major und cuneata, Jura, Yorkshire-Küste 07 I 489
- Saghatierium, Tertiär, Fayum 07 II 310
- magnum, Eocän, Aegypten 06 I 449
- Sago-Vulkan, Sumatra, Gesteine 06 I 218
- Sagrina Branneri, californiensis und elongata, Monterey shale, Kalifornien 08 II 283
- dimorpha var. ornata, Tertiär, Wels (Oesterreich) 05 II 291
- nodosa = Clavigerina senensis, Pliocän, Siena 06 II 309
- spinosa, Miocän, Maryland 07 II 158
- Sahara, Salpeter 05 I 444
- Sahlit = eisenreicher Diopsid 09 II 175
- Salamanca-Stufe, Kreide, Patagonien BB XXI 135
- Salbandbildung am Gang von Nephelinbasalt, Schwarzbrunn, östlich Gablonza a. N. 08 II 190
- Salernitaner Apennin, Trias-Mollusken, bei Giffoni 06 I 108
- Salesius-Sandstein, Tertiär, Ossegg, Böhmen 05 II 438
- Saley, Geologie 09 I 243
- Saliciphyllum californicum, pachyphyllum 07 II 505
- Salit, Japan, Sannotake, Analyse 09 I 33
- siehe auch Sahlit.
- Salix matawanensis, Matawan-Formation, Cliffwood, Nordamerika 07 I 494
- Salmiak
- bei vulkan. Eruptionen, Entstehung CBI 1907 662
- der Laven, Ursprung 1909 I 7. 52
- Salmiak
- Zwillingsbildung BB XXIII 311
- Hänichen-Grube bei Burgk (Dresden), Kristalle 1909 II 11
- Vesuv, Kristalle 09 II 12
- auf Vesuvlava 1906 CBI 1906 325
- in Vesuvprodukten 1906 1908 I 12. 326 CBI 1907 161
- Vulkane, siehe auch Ammoniak.
- Salpeter
- der Alkalien, Isomorphie und Polymorphie 06 II 164
- Kristallisation des Natriumsalpers aus Lösungen CBI 1906 157
- versch. Zusammensetzung, Modifikationen u. Isodimorphismus 06 II 318
- Aegypten und Chile 05 I 262
- Chile, Entstehung 06 I 238
- Sahara 05 I 444
- siehe auch Chilesalpeter, Natriumsalpeter, Nitrate etc.
- Salpeterbildende Bakterien im Boden 08 II 186
- Salpetersaures Ammonium, Polymorphismus 05 I 12
- Salpetersaures Natron, Kristallisation CBI 1905 491
- Salta, Prov., Argentinien, Geologie BB XXII 570
- Salteraster 07 II 157
- Salterites Oberhammeri, Muschelkalk, Himalaya 08 II 243
- Saltrange
- Helicoprion, im Productus-Kalk 05 II 132
- Lamellibranchiaten u. Vergleich mit Südussurigebiet 09 I 6
- Productus-Kalk CBI 1906 129
- Salz, Rheintal, unteres 07 II 283
- Salzablagerungen
- Bildung CBI 1905 750
- Bildungsverhältnisse der ozeanischen 05 I 192
- siehe auch Steinsalz, Kalisalze etc.
- Salzbergwerke, Wirkung des Gebirgsdrucks auf tiefe 1907 I 87. 416

- Salzbergwerke
 — Lüththeen (Friedrich Franz-Grube), Meckl. 1909 II 187
 — Wieliczka 05 II 117
 Salzbildungen, deszendente u. posthume im deutschen Zechstein 09 II 304
 Salzburger Ebene u. Untersberg 09 I 415
 Salze
 — lösliche, Zusammenkristallisieren 09 I 161
 — schwerlösliche, Löslichkeit CBI 1904 441
 Salzgebirge, Leinital 06 II 416
 Salzgehalt des Meers, Beziehung zum Alter der Erde 05 I 402
 Salzindustrie, Ohio 08 I 247
 Salzkammergut, Geologie 05 I 284
 Salzlager
 — Entstehung ozeanischer 06 I 161
 — Deutschland, im Zechstein 09 II 304
 — Eichsfeld, im Zechstein 09 II 424
 — Staßfurt, regelmäßige Verwachsung v. Eisenglanz mit Carnallit CBI 1909 168
 Salzlagerstätten
 — Verbreitung und Verwendung CBI 1905 310
 — Vorkommen von Ammoniak und Nitrat 09 II 186
 — Jessenitz, Mecklenburg 07 I 87
 — Norddeutschland 09 I 422
 — — Entstehung 09 I 423
 — siehe auch Kalisalz-lagerstätten.
 Salzton, roter, jüngeres Zechsteinsalz, Norddeutschland 09 I 424
 Samaropsis oregonensis 07 II 503
 Samarskit
 — Kaukasus, im Monazitsand 05 I 386
 — Norwegen, Granitpegmatitgänge des südlichen 08 I 354
 Samenpflanzen, Ursprung 07 I 167
 Samland, Endmoränen 06 I 119
 Sammelkristallisation u. Thermometamorphose 09 II 160
 Sammeln und Bestimmen von Mineralien CBI 1904 507
 Sammlungsmikroskop CBI 1907 615
 Samoa, Petrographie 1905 II 75
 Samos, tertiäre Rhinocerotiden 06 II 450
 San Gabriel Mountains, Kalifornien, Gesteine 07 II 222
 San Jorge-Stufe, Kreide, Patagonien BB XXI 135
 San Juan, Prov. Argentinien, Geologie BB XXII 566
 San Lorenzo-Insel, Peru, Wealden von Caleta de los Presos BB XXIV 74
 San Luis, Prov., Argentinien, Geologie BB XXII 564
 Sand, Durchdringbarkeit durch Wasser 1905 I 266. 267
 Sandablagerung an der Küste von Karachi (Clifton), Indien 05 II 417
 Sandbaryt-Kristalle, Oklahoma 08 II 6
 Sanddiluvium, altes, Sylt BB XXI 199
 Sande
 — Klassifikation 06 I 205
 — französisches Ufer der Straße von Calais 09 I 200
 Sandhügel
 — Literatur u. Entstehung 09 I 49
 — am Waag-Fluß, Ungarn, Feuchtigkeit 05 II 379
 Sandlingites Andersoni, Subbullatus-Schichten, Amerika 06 II 306
 — Pearsoni u. Tuckeri, Tropites limestone, Byans 08 II 237
 Sandsteine
 — künstliche, mit fluorhaltigem Zement CBI 1908 161
 — Verwitterung am Kölner Dom 07 II 42
 — Wetterbeständigkeitsprobe 08 II 218
 — Antarktis 09 II 76
 — Böhmisches-Leipa, mit Röhren, Gewitterkugeln etc. 08 II 62
 — Enderby-Land, gedredsch 06 II 372
 — Frankreich, Tertiär 07 II 297
 — Heidelberg, kristallisierter 08 II 304
 — Königsberg i. Pr., nordische Geschiebe, mit Flußspat gemengt CBI 1908 33

- Sandsteine
 — Moray area, chemisch 1905 I 414
 — — Firth Basin, schwere Metalle 05 I 417
 — Paraguay, chemisch 06 II 377
 — Sydney, NS.-Wales, säulig abgesondert durch Basalt 07 I 402
 Sandsteinformation, patagonische BB XXVI 118
 Sandsteingänge im Bergkalk, Snelston (Derbyshire) 05 II 388
 Sandsteinhöhle, Upliz-Tsike, westl. Gori, Transkaukasien 06 I 44
 Sandstrand, Verhalten unter verschiedenen Umständen CBI 1906 721
 Sandwichsinseln, siehe Hawaii.
 Sanguinolites discors, Culm, Königsberg bei Gießen BB XXVIII 641
 — Bellerophonitium, Bellerophon-schichten, Bosnien 05 I 105
 Sanidin
 — Einwirkung auf Farbe durch Radiumstrahlen CBI 1909 721
 — Canale Monterone (Rom), im Tuff 06 I 171
 — Leilenkopf b. Niederlützingen, Laacher See 09 I 43
 — Lévrans (Cantal), Einschlüsse im Andesit 06 I 379
 — Mordloh, Tepler Hochland, im Trachyt, optisch 06 II 354
 St. Acheul, Diluvium und Artefakte 09 I 283
 St. Bernhard, großer, Decke, Piemont 06 II 257
 St. Gotthard, kristalliner Schiefer der Südseite (Tremolaserie) BB XXVII 157
 St. Helena, Gesteine 05 II 76
 St. Poelten, Grundgebirge 08 II 59
 Santa Cruz beds, Patagonien, Glyptodontia und Gravigrada 06 I 453
 Santa Cruz-Formation, Patagonien
 1905 I 140 BB XXI 155. 174
 Santa Cruz-Schichten, Dasy-poda 1905 I 498
 Santacruzeno, Patagonien, Marsupialier 07 I 306
 Santorin
 — Bomben, Zusammensetzung 05 I 247
 — Einschlüsse in Eruptivgesteinen, Folgerungen 07 II 406
 — Fumarolenprodukte 07 II 406
 — Interpretation von Gesteinsanalysen 05 II 210
 — Staukuppen Festband 371
 Sao Thomé, Gesteine 05 II 76
 Saperda, baltischer Bernstein, Deutung 07 I 323
 Sapindopsis oregonensis 07 II 505
 Sapindus imperfectus, Kreide, Long Island 07 I 495
 — inexpectans, Judith river beds, Nordamerika 07 I 440
 Saponit CBI 1909 331
 — Färöer 09 I 29
 — Kuttenberg (Böhmen), chemisch 08 I 39
 — siehe auch Seifenstein.
 Saphir
 — Färbung durch Radium 07 II 170
 — Farbenänderung durch Radiumstrahlen 09 I 178
 — künstlich CBI 1908 179
 — Australien, mit Lichtschein 07 I 17
 — — und Birma CBI 1905 588
 — — u. Ceylon, Krist. Aetzfiguren und Brechungskoeffizient 06 I 41
 — Finkenberg b. Bonn, im Basalt CBI 1908 419
 — Idaho 09 I 32
 — Washington County, Idaho 09 I 30
 — Yogo-Gang bei Yogo Gulch, Montana 07 II 42
 Sarajewo, Geologie 05 I 101
 Sarcobora, Kreide, Patagonien 05 I 169
 Sarcolemur, Wyoming 07 II 133
 Sarcorhamphus patruus, quartär, Tarija-Tal, Süd-Bolivia 08 II 435
 Sardinien, Erzlagerstätten von Iglesias, Sedimentschichten 05 II 406

Sardinien			Sauropoleura longidentata,		
— Gebirgsbau	1909	I 99	Carbon, Nordamerika	1909	II 134
— mesozoische Formationen	BB XXIII	435	Sauropoda	CBI 1909	14. 19
— mesozoische Tabulaten und Hydrozoen	06	I 61	Sauropoden, Verhältnis zu Theropoden und Systematik	09	I 289
— Mineralien, Argentiera della Nurra, Portotortres	06	I 31	Saussurit, Piemont, Val della Torre	05	II 224
— posthelvetische Vulkaneruptionen	09	II 227	Saussuritbiotitgabbro, Schuls, Unterengadin	05	II 388
— Trias, Gliederung und Fauna	05	I 128	Savoyen		
— Vulkane von Lugodoro u. Campo d'Ozieri	09	I 47	— Echiniden	05	II 325
— Vulkanberg Mte. Ferru	BB XXI	1	— Geologie	08	II 389
Sardinoides illustrum, Chalk, England	05	II 137	Savoyer Alpen, Geologie	05	I 282
Sarkolith, mikroskop. Charakterisierung	CBI 1906	267	Savu, Ind. Archipel, mesozoisches Land und Meer	07	I 109
Sarmatische Schichten, Moldau	06	I 295	Scabellia, Kreide, Patagonien	05	I 168
Sartorit, Binnental, Krist.	09	I 172	Scaglia		
Sassafras angustilobum, Kreide, New York	08	I 456	— Abruzzen, Nummulitenfauna	06	I 156
Sassia biarritzense, blaue Mergel von Côte des Basques bei Biarritz	06	II 439	— Euganeen, Radiolarien der Hornsteinknollen	06	I 474
Sassolin, Vesuv	09	I 350	— Venetien, Inoceramen	05	I 357
Saturnalis brustolensis u. ellipticus, Scaglia, Euganeen	06	I 475	Scala persica u. proxima, Senon, Süd-Persien	06	I 444
Saure u. alkal. Reaktion der Mineralien, bes. Silikate	08	I 5	Scalaria elegans, Danien, Dänemark	06	I 309
Sauerstoff, Absorption aus Luft durch Eisen der Erdrinde	07	I 49	— Mörchi, Paläocän, Ruggaard, Kattegat	08	II 103
Sauravus Costei, Ober-Carbon, Blanz (Saône-et-Loire)	07	I 310	Scaldia globosa, Culm, Königsberg b. Gießen		
Saurerpeton latithorax, Carbon, Nordamerika	09	II 134		BB XXVIII	637
Saures rechtsweinsaures Magnesium, Kristalle	07	I 105	Scaldicetus, Boldérien, Antwerpen	07	I 134
Saurichthys			Scaliola joncheryensis, Eocän, Paris	07	II 303
— ident mit Belonorhynchus	CBI 1909	58	Scaphiocoelia boliviensis, Devon, Bolivia	BB XXV	555
— Kiefer, im Muschelkalk, Rüdersdorf	CBI 1909	54	Scaphioerinus caudatus, Kohlenkalk, Dinant (Belgien)	05	II 147
Saurischia	CBI 1909	13	Scaphitenschichten, Westfalen, Fazies im südöstlichen	06	II 105
Saurodelphis, Saurodelphidae, Boldérien, Antwerpen	07	I 132	Scaphites Condoni und Condoni var. appressa, Gillisi, inermis, klamathensis, Perrini und roguensis, Kreide, Kalifornien	06	I 288
— argentinus, Pliocän, Argentinien	09	II 118	— constrictus, schles. Karpathen	05	I 355
			— nodosus, Entwicklung der Lobenlinien	08	I 132

- Scaphonyx Fischeri, Trias, Rio Grande do Sul . 1909 I 444
- Scaptorhynchus, Tertiär . 08 I 302
- miocenicus, Tertiär . 08 I 304
- Scelidotherium, Santa Cruz beds, Patagonien . 06 I 464
- Schädel der Proboscider, Entwicklung 05 II 471
- Schaf, neolith. Fauna in Mitteleuropa 06 II 440
- Schalstein
- Ecuador, Ostkordillere . 06 I 394
- Lahn u. Dill, Oberdevon BB XXVIII 384
- Rhein. Schiefergebirge . 07 I 54
- — und Eisenerz . BB XXI 302
- Westerwaldbahn Herborn—Driedorf BB XXIV 421
- Schalsteinformation, mährisch-schlesische, Lep- tochlorite CBI 1906 293
- Schalsteinzug, Sternberg—Bennisch, Erze und Mineralien CBI 1907 289. 321
- Schauinsland, Schwarzwald, Blei- u. Zinkerze . 05 II 78
- Schaumburg - Lippe'sche Kreidemulde, Fauna . 06 I 441
- Scheelit
- vergl. mit $SrWO_4$ und $BaWO_4$ 06 II 344
- Zwillingsbildung BB XXIII 331
- Barkerville, B. C. 07 II 32
- Black Hills, Montana . 05 II 33
- Příbram 1908 I 37. 401 . 09 I 345
- Sardinien, Genna Gurrese 08 II 319
- Traversella 1907 I 36. 38
- Scheinbar lebende flüssige Kristalle . . 1909 I 4 . 09 II 329
- Scheinbar lebende weiche Kristalle 06 II 151
- Schichtenabtragungen, Westfalen, im jüngsten Jura und in der Kreide . 06 II 86
- Schichtenverschiebungen, präcretaceische, im Eggegebirge, im Mesozoicum 06 II 86
- Schichtung
- überzählige, im Aufschüttungsgebiet, subaquatische Rutschung . 08 II 154
- unterzählige, im Ab- rutschungsgebiet, subaquatische Rutschung . 08 II 154
- Schiebungen, einfache u. Zwillingsbildung . . BB XXIII 339
- Schiefer
- Verhalten gegen Ferri- sulfatföschung 1909 II 84
- Antarktis 09 II 76
- St. Gotthard (Süd- seite), kristallinische . BB XXVII 157
- Odenwald, innerer, kontaktmetamorphe . CBI 1907 116
- kristalline, nach GRU- BENMANN CBI 1905 430
- — Mineralbestand u. Struktur 09 I 207
- — nach WEINSCHENK CBI 1905 617. 625
- — Perthitfeldspate . . 05 II 361
- — Brit. Zentralafrika . 07 I 236
- — Grönland, westl. Nord- 07 I 244
- — Sachsen, Granulit- gebirge CBI 1907 513
- — Tessiner Alpen 1908 II 197. 200. 214
- kristallinische, Ent- stehung 06 II 199
- Tessiner Alpen, meta- morphische 06 II 208
- siehe auch kristallini- sche Schiefer, Gneis etc.
- Schieferformation, Feuer- land, Alter CBI 1908 193
- Schiefergebirge, Rheini- sches, Alter CBI 1909 278
- — klast. Gesteine des Paläozoicums 09 II 216
- Schieferhülle, Zillertaler Alpen 07 II 432
- Schieferindustrie, Nord- amerika 08 II 377
- Schieferkohle, präalpine, Bayern, Flora 09 I 469
- Schieferung
- Entstehung 09 I 53
- transversale, Arden- neu 09 I 112
- Ursache bei verschie- denen Körpern 05 I 266
- Versuche 05 II 408
- Schiefrige Texturen . . . 05 I 73
- Schiefrigkeit der Gesteine . 06 II 56
- Schildkröten
- Beziehung zu Plesio- sauriern 09 I 442
- Belgien, Tertiär 05 II 473
- Nordamerika 09 I 451

Schildkröten, Nordamerika, tertiäre u. obercretaceische	1909	I	450	Schizotheca serratimargo = Schizoporella sulcata und serratimargo	1905	II	143
Schiolinie	06	II	244	Schlacke			
Schismotherium, Santa Cruz beds, Patagonien	1906	I	462. 463	— rhodonitähnliche, Kristalle	08	II	21
Schistoceras Hyatti, Carbon, Nordamerika . .	05	I	528	— — (Vogtit)	08	II	308
Schistomys Rollinsi, Tertiär, Patagonien . .	07	II	328	— Schmelzkurven	06	I	241
Schistophylloceras = Kochites	09	II	139	— Steiger Hütte, Kristalle der melilithführenden	07	I	28
— systemat. Darstellung	CBI	1906	478	Schlagfiguren, Natronsalpeter	05	I	24
— mongolicum, Lias, tibetan. Klippen des Zentral-Himalaya . .	08	II	414	Schlag- u. Druckfiguren plast. krist. Metalle .	07	I	189
Schizaster howa, Eocän, Westaustralien . . .	07	II	128	Schlaggenwald, Mineralien	1905	I	198
— Jeani, Eocän, Aude u. Hérault	07	II	156	Schlammablagerungen, Einteilung und Benennung	08	II	185
— ventiensis, Molasse, Vence	07	II	157	Schlammströme, Vesuv 1906	08	I	43
Schizoblastus	BB	XXV	303	Schlammvulkane			
— delta u. timorensis, jüngeres Paläozoicum, Timor	BB	XXV	304	— Literatur u. Entstehung	09	I	49
Schizoblattina = Dietyomylacris	05	I	524	— Malaiische Inseln . .	07	I	85
Schizolepis Moelleri, Jura, Turkestan . .	09	I	147	Schlern, Entstehung . .	06	I	16
Schizolith, Julianehaab, Grönland, im Nephelinsyenit	05	II	185	Schlesien			
Schizoneura Carrerei, Carbon, südl. China	1908	I	310. 311	— Bodenschätze	CBI	1907	91
— (Neocalamites) Carrerei, hoerensis und Meriani, Mesozoicum, Schweden	09	I	150	— oberste Kreide, Beziehung zu Böhmen u. Sachsen	BB	XXIV	676
Schizoneuropsis posthuma, untere Kreide, Quedlinburg	07	II	344	— Quartär	06	I	123
Schizophoria juresanensis und supracarbonica, Obercarbon, Ural und Timan	05	I	534	— Zweischaler des Rotliegenden	05	I	44
— resupinata u. supracarbonica, ob. Carbon, Kukurtuk-Tal, südl. Tian-Schan	BB	XXII	373	— Oesterreichisch, mineralogische und geologische Literatur . .	06	I	348
— striatula, Devon, Ostthüringen	BB	XXIV	279	Schleswig-Holstein, Geologie	09	II	107
Schizoporella serratimargo und sulcata = Schizotheca serratimargo . .	05	II	143	Schlick, blauer, nordatlant. Ozean	05	I	425
				Schlickböden, Elbe . . .	05	II	444
				Schlier			
				— Bosnien, Dolnja-Tuzla, Foraminiferen	1905	II	290. 490
				— Wels	05	II	490
				Schlieren			
				— basische, im Granit, Schlesien	06	II	198
				— eutektische	06	II	200
				Schlierenbildung, Quarznorit von Penmaenmawr (Wales)	05	I	93
				Schlönbachia sp., Asphalt-schiefer, Bara - Bai (Buru), Molukken . .	BB	XXII	690

- Schlönbachia austinensis
 var. minima, Bourgeoisii
 var. americana, Evae,
 Frechi, Frechi var. cur-
 vata, Kiliani, leonen-
 sis var. maxima, quat-
 tuornodosa und var.
 planata, Roemeri und
 var. elegantior und
 Roemeri var. harpa,
 Emscher, Texas . . . 1906 I 314
- Bakeri, buttensis,
 Gabbi, Knighteni,
 multicosta, oregonen-
 sis u. siskyouensis,
 Kreide, Kalifornien . . . 06 I 288
- Dieneri, Untersenon,
 Jerusalem 07 I 422
- Gaudryi u. Schneebli,
 Kreide, Diego Suarez
 — Kitteli, Hauterivien,
 Kaltenleutgeben . . . 05 II 429
- Neuparthi u. simplex,
 Kreide, Angola 06 II 112
- Quaasi, Cenoman,
 Aegypten 05 II 285
- Schlotheimia Dumortieri,
 Lias, Monte di Cetona
 1905 I 176 06 II 142
- Jimboi, Jura, Riku-
 zen, Japan 05 I 465
- Schlüteria Bodei, Unter-
 senon, Braunschweig . . . 07 I 483
- diabloënsis, Kreide,
 Kalifornien 06 I 288
- Schluetericeras Laubei,
 Kreide 07 II 149
- Schmelz- u. Erstarrungs-
 kurven bei Silikat-
 schmelzflüssen BB XXIII 76
- Schmelzbarkeit von Gem-
 ischen von Ag_2S
 und Bi_2S_3 05 I 12
- Schmelzen
 — binäre, Kristallisa-
 tionsgeschwindigkeit . . . 05 II 174
- bei Doppelsalzen, kong-
 ruente u. inkongruente
 — dreifaches 09 I 1
- einiger Sulfide 09 II 182
- Erscheinungen 09 I 1
- Kristallisationsge-
 schwindigkeit binärer . . . 06 I 7
- von Pyroxenarten . . . CBI 1906 571
- und Kristallisieren . . . CBI 1904 51
- siehe auch Silikatschmelzen.
- Schmelzflüsse
 — von Augit, Enstatit u.
 Oligoklas BB XXVII 604
- Ausscheidungsfolge v.
 Mineralien 1908 II 1
- Kristallisation durch
 Entgasung 09 II 129
- Schmelzflüssige Massen,
 Einwirkung auf Ne-
 bengestein CBI 1906 610
- Schmelzfluß, Sammel-
 kristallisation bei Aus-
 scheidungen 09 II 160
- Schmelzintervalle 06 II 4
- Schmelzkurven
 — bei festen Lösungen
 (isomorphen Ge-
 mischen) 07 II 22
- Schlacken 06 I 241
- Schmelzlösungen von Sil-
 ikaten
 — Theorie 06 II 8
- Schmelzpunkternied-
 rigung und Mineral-
 bildung 06 II 10
- Schmelzpunkte
 — Einfluß auf Ausschei-
 dungsfolge aus Schmelz-
 flüssen 08 II 29
- Feldspate 06 I 334
- — und Mischungen . . . 07 II 5
- kristalliner Gemenge . . . 08 II 24
- der Mineralien, vor-
 heriges Erweichen . . . 06 II 10
- der Silikate 07 II 171
- von Silikatgemengen
 und Impfung 06 II 4
- Untersuchungsmetho-
 den CBI 1907 1
- und Viskosität in Sil-
 ikatschmelzen 06 II 5
- Schmelzpunktsbestim-
 mungen von Minera-
 lien 1906 II 10. 12
- Schmelzpunkterniedrig-
 bei Silikatschmelz-
 lösungen 06 II 10
- Schmelzung der Bisili-
 kate von Ca und Mn
 Schmelzversuche, Ortho-
 silikate 08 II 379
- Schmiedeberg (Riesen-
 gebirge), Magneteisen-
 lager ? 05 I 258
- Schmirgel, Campolungo,
 Tessin BB XXVI 520

- Schmirgel
— Frankenstein b. Darmstadt, Beziehung zu Gabbro 1909 I 178
- Kleinasien, Lagerstätten 08 II 297
- Nordamerika, Produktion 1902 05 I 208
- Schmucksteine der Chinesen 05 II 5
- Schnee, Dichte 05 II 374
- Schneegrenze
— Karpathen, sinkt 05 I 407
- Schwarzwald, eiszeitliche BB XXI 443
- Schneekugeln, Michigansee 08 II 341
- Schnellwage, hydrostatische . 1908 II 141 09 II 327
- Schönit, in ozean. Steinsalzlagern, obere Existenzgrenze 05 I 192
- Schoharie-Tal, Ost-, New York, Geologie 07 I 108
- Schollengebirge, norddeutsches, Lagerung 06 II 416
- Schollenkrater Festband 375
- Schonen
— Basalt, mikroskopische Bilder CBl 1906 117
- Brachyuren der jüngsten Kreide 06 II 141
- Schörlfels, Cornwall, St. Ives BB XXVIII 14
- Schottland
— carbonische Floren 06 II 460
- Eisenerze 05 I 440
- Erdölfelder v. Lothian 05 I 442
- Schrammung, nichtglaziale, Altenhayn in Sachsen CBl 1909 521
- Schrattenkalk, Säntis, Diploporen 09 I 154
- Schraufit, Beziehung zu Bernstein 08 I 358
- Schreibersit
— im Meteoreisen 1905 I 123 06 I 191
- Verhalten beim Anlassen 06 II 85
- Schriesheimit, Schriesheim, Lagerungsform 05 I 240
- Schriftez
— Cripple Creek, Col., Kristalle 06 II 158
- Nagvag, Morphologie 09 I 169
- Schriftgranit, Cornwall, Zinnergrube, Carnbrae BB XXVIII 17
- Schubmassen, nomadisierende, Ostalpen 1908 II 395
- Schuls, Unterengadin, Gesteine aus dem Stollen des Elektrizitätswerks 05 II 388
- Schungit = amorpher Kohlenstoff 08 II 368
- Schuttmassen, trockene, Maximalböschungen 07 I 380
- Schutzgebiete, deutsche, geol. Untersuchung u. Bergbau 08 I 396
- Schutzrinden, Assuan am Nil, auf Granit 07 I 426
- Schutzrindenbildung, Surinam 05 II 69
- Schwäbische Alb
— Aufbau und nutzbare Gesteine 08 II 217
- Auswürflinge kristall. Schiefer und Tiefengesteine im Basaltuff 07 I 387
- Basalte und Tuffe 06 II 205
- Donaudurchbruch, Einwendungen CBl 1909 54
- oolithbildende Ophthalmiden im Dogger CBl 1908 584
- Schwälmer Land, Hessen, Basalt BB XXIII 345
- Schwagerina BB XXVII 506
- Abstammung BB XXVII 484
- system. Stellung 07 I 331
- fusiformis und fusulinoides BB XXVII 502
- Yabei, Sesiokalk BB XXVII 463
- Schwagerinen, Septenbau BB XXVII 469
- Schwagerinen-Horizont, Obercarbon, Ural und Timan 05 I 536
- Schwankungen d. Meeresspiegels
— Algerische Küste 07 II 396
- siehe Niveauschwankungen.
- Schwarzenberg, Erzgebirge, Erzlagerstätten 06 I 76
- Schwarzenbergit, San Rafael, Chile CBl 1908 732
- Schwarzerde
— Köthen 09 I 109
- — und LöB 09 II 107

- Schwarzerde
 — Legienien, Rittergut, Ostpreußen 1906 I 207
 — siehe auch Tschernosem.
- Schwarzwald
 — altes Grundgebirge 05 I 235
 — geol. Aufnahme der württemberg. Blätter Baiersbronn, Freudenstadt, Obertal—Kniebis, Simmersfeld und Altensteig 1909 II 410 ff.
 — geologische Profile 07 II 431
 — Glazialerscheinungen BB XXI 397
 — — bei Freudenstadt 08 II 94
 — Granit u. Gneis im Wiesental 09 I 55
 — Kalksilikatfelsen im Rench- und Kinzigtal und bei Neustadt 07 II 67
 — Paläozoicum des Nordrands 09 II 65
 — Resorptions- und Injektionserscheinungen im südlichen CBI 1907 76
 — siehe auch Schauinsland.
- Schweden
 — Bläherde und Gleit- oder Rutschboden 06 II 350
 — Erdbeben 1902, 1903 05 I 52
 — Fluß- und Quellwasser 06 II 351
 — fossile Pflanzen 09 I 152
 — Geologie der Hochgebirge (Torneträsk). 05 II 100
 — jährliche Temperaturschwankungen d. Seen 06 II 49
 — mesozoische Equisetales 09 I 150
 — Nickelerzlagertstätten 05 I 98
 — Quarzfeldspatgesteine des Regionalmetamorphosengebiets 06 I 379
 — Radium 06 I 326
 — rote Farbe mancher cambr. und silurischer Schichten 05 II 223
 — siehe auch Quartär, Erzlagertstätten etc.
- Schwefel
 — Kristalle 1909 I 315 BB XXIII 313
 — kristallisierte Modifikationen 06 II 13
 — lange Beständigkeit d. monoklinen CBI 1905 678
- Schwefel
 — Oberflächenspannung des geschmolzenen 1908 I 169
 — unipolarer Leiter BB XXI 338
 — Vorkommen und Bildung aus Schwefelwasserstoff 05 I 14
 — Bessarabien, Choťinscher Kreis, im Gips 07 II 377
 — Bruchsal, im oberen Muschelkalk CBI 1906 202
 — Carrara, im Marmor 1906 I 9 1907 I 214. 215
 — Japan 09 I 163
 — Kostajnik, Serbien, auf Antimonglanz 09 I 166
 — Mähren, Lhota bei Kunstadt 05 II 176
 — Maybee, Michigan, mit Cölestin 1906 II 345 07 I 33
 — Nordamerika, Produktion 1903 06 I 328
 — Paris, im Gips 06 II 347
 — Poggio Orlando (Siena), Schwefelgruben 08 II 334
 — Sardinien, Argentiera della Nurra, Portotorres 06 I 32
 — Texas, Trans-Pecos 06 II 179
 — Vesuv, von 1906 08 I 206
 — und Eisen, Zustandsdiagramm 08 II 167
 Schwefeldissoziation bei 448°, Isotherme 05 I 365
 Schwefeleisen, Modifikationsänderung 08 II 168
 Schwefelkies
 — Einwirkung v. chlor-saurem Kali 09 II 334
 — — von Lösungen 09 II 247
 — Elektrizitätsleitung 1906 II 34 07 II 5
 — Neubildung in der Ostsee CBI 1905 715
 — Oxydation 09 II 246
 — Umwandlung aus Markasit 06 II 45
 — Verwachsungen, Berechnung 08 I 14
 — Zersetzung durch Wasserstoffsperoxyd 05 II 11
 — Ajudagh, Krim 09 II 367
 — Aranzazu, Zacatecas, Mexiko BB XXVIII 551
 — Biella, Piemont, Drusen im Syenit 06 II 34

Schwefelkies				Schwefelkieslager, Jaszt-			
— Bisbee Quadrangle,				rabje (Ungarn) . . .	1905	I	100
— Arizona	1906	I	176	Schwefelsaures Ammo-			
— Bosnien u. Herzego-				— nium, Eigenschaften .	05	I	184
— wina, Lagerstätten				Schwefelsaures Kalium,			
z. T. goldhaltig	06	II	381	— Mischkristalle mit			
— Campolongo, in Fe ₂ O ₃				— K ₂ CrO ₄	07	I	209
— verwandelt	05	I	203	Schwefelverbindungen			
— Carrara, im Marmor .	07	I	215	— pflanzenschädliche,			
— Concepcion del Oro,				— Vorkommen im Moor	06	I	327
— Zacatecas, Mexiko,				— schwerer Metalle, Lös-			
Krist. BB XXVIII 447.	520.	521.	531	— lichkeit in reinem Was-			
— Cornwall, Lebanon				— ser	1908	II	10
— Co., Pa.	08	II	11	Schwefelwasser, Nenn-			
— Dänemark, im Kreide-				— dorf a. Deister . . .	06	II	413
— mergel, sog. Strahlkies				Schwefelwasserstoff			
— Elba, turmalinführ.				— Einwirkung auf Oxyde	08	I	212
— Gänge im Granit von				— Ursache des Geruchs,			
— San Piero in Campo	05	II	34	— im Stinkkalk von Gren-			
— Frigido bei Massa . .	07	II	177	— ville, Canada	07	I	21
— Gobitschau, Mähren,				— Zustand in Mineral-			
— Pseudom. von Stilp-				— quellen	06	I	327
— nomelan nach Schw.	CBI	1907	294	Schweine			
— Japan, Sagi	09	I	169	— Miocän, Oregon . . .	07	I	302
— Kazanesd, Kom. Hun-				— neolith. Fauna, Mittel-			
— vad, Erz	06	I	234	— europa	06	II	440
— Kötterbach, Ungarn,				— siehe auch Sus.			
— Kristalle	05	II	10	Schweinfurthplateau,			
— La Helle, belg.-preuß.				— Aegypten, Tertiär . .	05	II	323
— Grenze	07	II	69	Schweiz			
— Lausetto (Valli del				— Ammonitidae der un-			
— Gesso), Piemont . . .	06	I	348	— teren Kreide, Jura . .	07	I	483
— Markirch	09	I	26	— Eocän, Säugetiere			
— Minarragra, Peru, Ni-				— (Chasmotherium und			
— haltig	09	I	168	— Lophiodon)	05	I	492
— Nadabula, Ungarn . .	07	I	217	— Fauna der unteren			
— Nagolnij Krjasch, Do-				— Kreide des westl. Jura	05	I	155
— netz-Becken	07	II	193	— Geologie der unteren			
— New York, ersetzt				— Aare-, Reuß- u. Lim-			
— Quarz	06	I	331	— mattales	08	I	408
— Nordamerika, Pro-				— Keuperflora, Neue			
— duktion 1903	06	I	328	— Welt, Basel	07	I	492
— Ormuz-Insel	08	II	336	— revue géologique 1902			
— Porkura (Ungarn),				— bis 1906	08	II	233
— Kristalle	05	II	9	— subaquatische Rut-			
— Rudobanya, Ungarn				— schungen, rezente und			
— 1909 I 168	CBI	1907	412	— fossile	08	II	136
— Sestri levante, Krist.				— Tektonik der Alpen u.			
— Shoshone, Idaho, Braun-				— Voralpen	06	I	243
— eisenerz, pseudom. n.				— siehe auch Alpen und			
— Pyrit	05	II	181	— Juragebirge.			
— Val Giuf, Graubünden,				Schweizer Alpen			
— elektr. Verhalten . .	CBI	1905	465	— geologische Profile . .	07	II	431
— Weitendorf (Steier-				— verglichen mit fran-			
— mark), auf Hohlräu-				— zösischen	06	II	254
— men im Basalt	BB	XXVII	253	— siehe Alpen, Schweizer.			

Schwellungsmetamorphose und Nephritbildung, Ligurien	1909	I	188	Schwerspat				
Schwere				— Altai Krjukow'sche u. Sokolny-Grube	1909	II	368	
— im Zusammenhang mit Erdmagnetismus und geolog. Bau, Pommern und Nachbarschaft	BB XXII		174	— Binnental, Krist. (Barytocölestin)	1909	I	345. 346	
— Europa verglichen mit Japan	08	II	43	— Böhmen, Kristalle	08	I	35	
Schwereänderungen, München	09	I	198	— Brosso u. Traversella, Kristalle	08	I	35	
Schwereanomalien				— Calafuria, südl. Livorno, im Macigno	06	I	169	
— Aetna	05	I	48	— Carrara, im Marmor	06	II	176	
— geologische Bedeutung	05	I	45	— Frostburg, Maryland, Kristalle	07	II	30	
Schwere Flüssigkeiten				— Italien, Bocheggiano, Prov. Grosseto	09	II	359	
— Trennung von Mineralien	08	II	2	— Karlsbader Thermen, radioaktiv	CBI 1905		286	
— Trennungsapparat	CBI 1906		475	— Kaukasus, Tschiatursische Mangangruben, Gov. Kutais	09	II	360	
Schweremessungen				— Kertsch und Taman, Versteinerungsmittel	05	II	200	
— Indien	08	I	215	— Kostroma-Gouv.	07	II	376	
— Italien, Beziehungen zum geologischen Bau	Festband 129			— Kreuznach, im tert. Meeressand	07	I	112	
— Piemont	05	I	224	— Krim, Simferopol-Gegend	09	II	360	
— Sizilien	1907 I 43	08	II 43. 44	— Laprugne-Grube (Alhier), Kristalle	08	II	38	
— Württemberg	06	II	46	— Lausetto (Valli del Gesso, Piemont)	06	I	349	
Schwerkraft				— Lozère-Departement	06	I	346	
— Bad. Oberland	07	II	45	— Markirch	09	I	22	
— Indien, Intensität und Richtung	07	II	388	— Mies, Kristalle	06	II	24	
Schwerlösliche Salze, Löslichkeit	CBI 1904		441	— Nordamerika, Produktion 1902	05	I	208	
Schwermetallsulfide				— Norwegen, verschiedene Funde, Kristalle	09	II	196	
— Löslichkeit in reinem Wasser	1908 II 10	09	I	7	— Ober-Mölltal, Kärnten	08	II	361
— Verhalten in wässriger Lösung	08	I	168	— Oklahoma (Kristalle), mit Sand	08	II	6	
Schwerpunkt, periodische Verschiebung in der Erde	07	I	374	— Patagonien	06	I	346	
Schwerspat				— Pine Hill Mine, Kalifornien	08	II	39	
— Beziehung zu Anhydrit	07	I	139	— Quittein, Westmähren, Eisenerzlagerstätte, auch Pseudom. von Limonit	05	II	243	
— Herstellung künstl. Kristalle	05	II	4	— Rako, Ungarn	07	I	217	
— opt. Achsenwinkel aus der Doppelbrechung bestimmt	07	I	188	— Ratiboric, Böhmen	09	II	366	
— — — in einer sich abkühlenden Flüssigkeit	08	I	166	— Rosenhof bei Claustal, mit Lamellen	CBI 1908		230	
— Synthese und Ätzfiguren	09	I	348	— Sachalin, mit Quarz überwachsen	08	II	334	
— Verbreitung in marinen Sedimenten	07	I	209	— Saratoga, Texas, pisolithisch	07	II	31	
— Verhalten in höheren Temperaturen	08	II	321					

- Schwerspat
— Sillweg (Steiermark). CBI 1908 280
— Teplitz, Pleochroismus CBI 1907 468
— Teplitz-Schönauer
Quellen, Radioaktivität 1909 I 347
— Teplitzer Thermen, Dichroismus CBI 1908 393
— Tunis, Pseudomorphose von Cölestin nach Schwerspat CBI 1905 33
— Ungarn (Dernö und Alsósayó), Kristalle 08 II 320
— Villefort, Chandelette-Gang 06 I 346
— Weinheim a. Bergstr., Gänge, z. T. verkieselt CBI 1906 668
— Westfalen, Entstehg. aus Spaltenwässern 06 II 73
— siehe auch Barytocölestin.
— und Cölestin, Verbreitung in der Erdkruste
Schwerspatbildung und Baryumgehalt der Spaltenwässer, Westfalen 06 II 73
Sciadiocapsa euganea, Kreide, Euganeen 06 I 474
Sciamys latidens u. rostratus, Tertiär, Patagonien 07 II 323
Scincosaurus, Nürschan 08 II 272
Scintilla gonetensis, Eocän, Loire inférieure 06 I 468
Sciuroides Quereyi, Oligocän, Eselsberg, süddeutsche Bohnerze 08 I 123
Sciuromorphen, Argentinien 05 I 159
Sclerocephalus, Nürschan, Gaskohle 08 II 266
Sclerocrinus, Körperform Festband 276
Scleromochlus Taylori, Trias, Lossiemouth, Elgin 09 I 443
Scleromys, Tertiär, Patagonien 07 II 325
Scleropteris oregonensis 07 II 503
Scolioneura vexabilis, Miocän, Florissant, Colorado 08 II 112
Scombroclupea scutata, Kreide, Bahia (Brasilien) 08 II 447
Scopelus, Otolithen, Tertiär, Oesterreich 1907 I 480
Scotaeomys, Tertiär, Patagonien 07 II 326
Scotaeops = Stegotherium, Santa Cruz-Schichten 05 I 500
? Scurria conformis, Fort Benton-Schichten, Los Cerillos (Neu-Mexiko) 08 I 436
— striata, Pachycardien-Tuffe, Seiser Alp CBI 1905 176
Scyaeniden, Otolithen des österr.-ungar. Tertiärs 05 II 138
Scylacosauridae, Systematik 07 I 479
Scylacosaurus Sclateri, Schädel, Südafrika 07 I 142
Scymnosaurus ferox, Schnauze, Südafrika 07 I 143
Scytinoptera Kokeni, Perm, Rußland, an der Kama 05 I 522
Securidaca tertiaria, Eocän, Fayum 09 I 308
Sedgwickia topekaënsis, Perm, Texas CBI 1908 686
Sedigenetische Erze 07 I 406
Sedimentärgesteine, siehe Sedimentgesteine etc.
Sedimentation
— des Meeres, Ursachen und Bedeutung BB XXV 366
— Störung durch Auflösung des Kalks in der Meerestiefe BB XXV 411
Sedimente
— entstanden durch Zerstörung der Eruptivgesteine u. der krist. Schiefer 1909 II 62. 63
— geben durch Metamorphose kristallinische Gesteine 09 II 63
— größter Meerestiefe 05 I 425
— nordatlantischer Ozean 05 I 424
— Tessiner Alpen, metamorphische 06 II 208
Sedimenterze CBI 1906 614
Sedimentgesteine
— Klassifikation 06 I 47
— nach WEINSCHENK CBI 1905 623
— ursprüngliche Form der Ablagerungen 05 I 419
— Kiautschou 06 II 370
Sedimentgneis, deutsches Grundgebirge 05 I 235

Seebachsfelsen bei Friedrichrode, Gestein . . .	1906	I	208	Segengottes bei Brünn, Boskowitz Furche . . .	1905	II	97
Seebecken				Segregationsgänge, tertiäre Eruptivgesteine, Skye	06	II	66
— volle, durch Hebungen vom Meer getrennt . . .	06	II	194	Seiches, japanische Seen	07	I	381
— und Terrassen, östl. Norddeutschland, Beziehung zur glazialen Hydrographie	05	I	481	Seichtwasserablagerungen, Island und Grönland	05	I	421
Seen				Seifengold, Entstehung	05	I	257
— umgestaltende Vorgänge	07	I	117	Seifenstein, Kutahia bei Angora	05	I	188
— Canada, in Felsenbecken	05	I	230	Seiser Alp			
— Glarner Alpen, Entstehung	05	I	407	— Brachiopoden der Pachycardientuffe	05	I	179
— Gotthardgebiet und Tessin	08	II	51	— Buchensteiner Kalk u. älterer Melaphyr	06	II	7
— Grimsel u. St. Gotthard	07	II	52	— Zeolithe	07	II	28
— Neuvorpommern und Rügen	08	I	98	Seismologie			
— Oberengadin	06	I	44	— Fortschritte	09	II	208
— Ostpreußen	05	I	471	— neuere Fortschritte	08	I	48
— polare (Baikalsee)	05	I	408	— siehe auch Erdbeben.			
— Schweden, jährl. Temperaturschwankung	06	II	49	Seismometer, astatiches Pendel-, Leipzig, registriert Fernbeben etc., 1. Januar bis 30. Juni 1903	05	I	52
— Småland, Terrassen	05	I	313	Seismometerbeobachtungen, Potsdam	07	II	48
Seengebiet, England, Geol.	08	II	53	Seismometerdiagramme	07	II	46
Seentypus, polarer (Baikalsee)	05	I	408	Seismometrische Beobachtungen	05	II	208
Seerze				Seismoskop mit zwei Horizontalpendeln	07	I	219
— Bildung durch Humusstoffe	09	I	77	Seitlicher Zusammenschub im Buntsandstein, Sulzmatz	CBI 1907		489
— Verhältnis von Fe und Mn	09	I	80	Selachier, siehe Haifische und Elasmobranchier.			
Seefelder Gebirge, Tirol, Geologie	09	I	410	Seladonit, Färöer	09	I	29
Seehunde, Kurische Nehrung	09	I	437	— Krebshöhe bei Schön-priesen, Böhm. Mittelgebirge	CBI 1909		159
Seehundsknochen, Miocän, Maryland	09	I	439	Selaginella marylandica	07	II	506
Seeigel, photographische Reproduktion v. Ambulakren	CBI 1907		422	Selen			
Seelisberg, Schweiz, Geologie	09	I	84	— amorphes, als unipolarer Leiter	BB XXI		338
Seesterne				— kristallines, als unipolarer Leiter	BB XXI		341
— Organisation u. Systematik der Sphäriten	08	I	137	— — Lichtempfindlichkeit	BB XXI		373
— paläozoische, Porenstellung	CBI 1907		741	— — photoelektr. Ströme	BB XXI		382
— rheinische Grauwacke	09	II	322	— Verhalten geg. Licht etc.	1908 I 8	08	II 156
Seewasser				— auf Vesuvlava 1906	CBI 1907		611
— chemisch	08	I	360				
— feste Bestandteile, geologische Schlüsse	07	I	46				

Selenoconidae, Selenoconus, Kreide, Patagonien	1905	I	168	Septarienton			
Selenodonten, posttertiäre, Rußland	07	II	299	— Wonsheim in Rheinhessen	CBI	1905	65 6
Seligmannit				— siehe auch Tertiär u. Rupelton.			
— Binnental				Septifer cyrtomorphus, Eocän, Loire inférieure	1906	I	154
— chemisch	CBI	1908	732	— sturgisensis, Jura, Black Hills	08	I	264
— Kristalle 1905 I 19	08	I	204	— variabilis, Hypersenon, Peterwardeiner Gebirge	06	II	268
— Zwillingsbildung	CBI	1905	30	Septiola dreysensiformis, Pachycardientuffe, Seiser Alp	07	II	336
Sellosaurus Fraasi und gracilis, Stubensandstein	09	I	287	Septopora triangularis, karn. Fusulinenkalk	06	II	157
Seltene Erden, Vorkommen im Mineralreich	CBI	1904	218	Sequoia Fairbanksi	07	II	504
Semeroe, Vulkan, Java	CBI	1909	613	— inferna	07	II	506
Semipatische Eruptivgesteine	08	II	350	— intermedia, ob. Kreide, Quedlinburg	07	I	493
Semplicatula Pissaroi, Eocän, Loire inférieure	06	I	154	— portlandica, Portland, Boulogne-sur-Mer	09	I	459
Semseyit, Bolivia, Oruro, chemisch	08	II	337	Seran (Serang), Molukken			
Sénarmontit, heteromorph mit Valentinit	08	II	148	— Geologie	05	I	106
Senegal				— mesozoisches Land u. Meer	07	I	117
— Nummulitenschichten von St. Louis	05	II	288	Serang u. Portugiesisch-Timor, Molukken, Geologie	BB	XXII	403
— Tertiär	05	II	289	Serapis-Tempel			
Senftenberg, Pflanzen der Braunkohlenablagerungen	08	I	449	— Pozzuoli	CBI	1906	218
Senkung, sekundäre, Nordseeküste	09	I	109	— — Wasserstände	06	I	202
Senkungen oder Hebungen				Serbien			
— in Massengebirgen	CBI	1907	489	— Bergbau	06	I	74
— des Meeresspiegels	BB	XXVIII	574	— Eiszeit Spuren	09	I	110
— siehe auch Dislokationen, Niveauschwankungen etc.				— Kupfererzlagerstätten bei Bor und Krivelj im östlichen	06	I	231
Senkungen u. Hebungen, kontinentale	05	I	222	— nutzbare Lagerstätten	07	I	251
Senkungserscheinungen, Nordseeküste	08	II	99	Serendibit, Ceylon	06	I	181
Senon				Sericit			
— Austern, Systematik	BB	XXII	657	— Nord-Wales	CBI	1909	715
— Braunschweig und Ilse, Cephalopoden d. unteren	07	I	482	— Schwerz b. Halle a. S.	05	I	380
— Madagaskar	BB	XXVIII	211	Sericitgesteine, Taunus	09	II	219
— Pondoland	BB	XXVIII	212	Sericitschiefer			
— siehe auch Kreide.				— Schlüsseljoch v. Sterzing	BB	XIX	523
Septarienton, Verbreitung und Transgression an der mittleren Elbe	05	II	287	— Sterzing, Tirol	BB	XXII	523
				— Tian-Schan, Musartal	09	I	224
				— Val Camonica, Lombardei, Entstehung aus Felsitporphyr	09	I	221
				Sérifos-Insel, Griechenland, Geologie u. Erzlagerstätten	08	II	76

- Serpentin
 — Darstellung der Kieselsäure und Konstitution 1907 I 344. 347
 — Struktur und Entstehung 1906 II 56
 — Belvidere Mountain, Vermont 07 II 218
 — Birma, mit Jadeit 09 I 185
 — Canada, Entstehung der Chrysotiladern 07 I 404
 — Easton, New Jersey, Analyse 06 I 354
 — Frankreich, Aveyron u. Gard, geologisch 08 I 70
 — — Bretagne (Belle-Isle-en-Terre) 08 I 26
 — Geißpfad, Oberwallis, Dunit 05 II 220
 — Kuttenberg (Böhmen), chemisch und Mineralien 08 I 38
 — Lessachtal im Lungau (Salzburg) CBI 1908 282
 — Lischannagruppe, Untere Engadin 07 I 97
 — Manhattan Island, New York, Entstehg. 06 I 227
 — Massachusetts, Chester und Middlefield, mit Olivin 09 I 15
 — Neucaledonien 05 II 273
 — Neurode, im Gabbrozuge BB XXVI 476
 — Ober-Mölltal, Kärnten 08 II 359
 — Raspenau, Böhmen, im körn. Kalk des Kalkbergs 06 I 55
 — Quebec 09 I 67
 — Spitzbergen 08 II 370
 — Sterzing BB XXII 552
 — Tarntaler Köpfe, Tirol 1908 II 309 CBI 1907 349
 — Teulada, Sardinien, im Predazzit 06 II 330
 — Thetford, Canada, Entstehung des fasrigen 06 II 170
 — Tirol, Tarntaler Köpfe 1908 II 309 CBI 1907 349
 — Visp, im Bündner Schiefer 05 II 222
 — West-Sumatra, mit nephritischen Teilchen, Färbung durch organische Farbstoffe BB XXVIII 372
 — siehe auch Antigorit etc.
- Serpentinasbest, Ural, Lagerstätte 1909 II 346
 Serpula antiquata, Neocom-Aptien, Argent. Kordillere BB XXIII 222
 — carinata, Granulatenkreide, westl. Münsterland 08 I 427
 — pinchiniana var. uminenensis, Kreide, Zululand 07 II 304
 — subtrachinus u. tongowokensis, Kreide, N.-S.-Wales 05 I 319
 Serranus steinabrunnensis, Otolithen, Tertiär, Oesterreich 07 I 481
 Sesiagneis, Piemont, Malchit und Vintlit 08 II 215
 Sethamphora pulchra, Kreide, Euganeen 06 I 474
 Sethocapsa fossilis, hispida, megacephala u. mucronata, Kreide, Euganeen 06 I 474
 — microacanthos u. pomum, Scaglia, Euganeen 06 I 475
 Sethocephalus Haeckeli, Scaglia, Euganeen 06 I 475
 Sethoconus gracilis, pulcher und speciosus, Scaglia, Euganeen 06 I 475
 Sethocyrtis Coletti und parvus, Miocän, Italien 09 II 490
 — communis, hirsuta u. perspicua, Kreide, Euganeen 06 I 474
 Sethophormis radiata, Scaglia, Euganeen 06 I 475
 Sethopyramis acuticephala, Kreide, Euganeen 06 I 474
 Sevrans-Ebene bei Paris, Einbruch 05 I 54
 Seward Peninsula, Alaska, Geologie 05 II 271
 Seymouria Baylorensis, Perm, Texas 07 I 149
 Seymourinsel-Schichten, Grahamland 09 II 101
 Sharpeiceras Schlüteri, Kreide 07 II 149
 Shastaformation, Flora 07 II 504

Shastasaurus Alexandrae, altispinus, Careyi, Osmenti, pacificus und Perrini, ob. Trias, Shasta Mountains, Kalifornien	1906	I	147	Siderit, siehe Spateisenstein.			
Shastites compressus, Subbullatus-Schichten, Amerika	06	II	306	Sideritporphyr beim Meteoriten	1905	I	146
Shehuen-Stufe, Kreide, Patagonien	BB XXI		135	Siderolites denticulatus und Vidali	08	I	307
Shinarump-Formation	07	II	502	Siderolithes nummulitospira, Preveri, rhomboidalis und Van den Broeck, Kreide von Maestricht	08	II	285
Shoal creek limestone = Buda limestone	06	I	308	Sideronatrit, Synthese	07	I	35
Shonkinit				Siderophyre, Struktur u. Zusammensetzung	06	I	196
— Highwood Mountains, Montana, Shonkin-Stock	06	II	373	Sideroxen (Hessenbergit) = Bertrandit	05	II	23
— Katzenbuckel, (Michelsberg)	08	II	353	Siebenbürgisches Erzgebirge, Ostrand, Geologie	07	I	105
— Ottawa, Canada	05	I	250	Siebengebirge, Essexit der Löwenburg etc. BB XXIII			407
Shonkinitpegmatit, Katzenbuckel	08	II	357	Siebstruktur, kristallinischer Schiefer	05	I	72
Shonkinitporphyr, Katzenbuckel	08	II	355	Siegen, Alter der Erzlagerstätten	09	II	78
Shuchertites Grahams, Upper Coal Measures, Texas	05	I	527	Siegener Schichten			
Shumardia bottnica, Silur, Upsala	06	I	102	— Gliederung etc.	09	I	272
Shumardites Sismondi, Carbon, Nordamerika	05	I	528	— Seifen bei Driedorf	05	I	315
Sibirien				Siegenit, siehe Linneit.			
— Alter der Oloneksschichten	CBI 1908		233	Sierra Madre, Mexiko, Bau der westlichen	08	I	74
— Erzlagerstätten	09	II	41	Sierren, pampine, Argentinien, Geologie	05	II	271
— an der mittleren Bahn	07	I	255	Sigillaria	08	I	155
— Goldlager am Jenissej	05	II	247	— Antoninae, depressa, limbata, Lutugini und Schmalhausen, Carbon, Donetz	05	I	538
— Mammutleichen, Beresowka-Ufer	06	I	145	— Brardii, Coal Measures, Staffordshire	06	II	459
— Trias	06	I	414	— Canobiana, Carbon, Canonbie, England	06	II	463
Sibirites Noetlingi, oberer Ceratitenkalk, Amerika	06	II	300	— scutellata, Bau	09	I	145
— Philippii (Metasibirites), Tropites-limestone, Byans	08	II	238	Sigillarien, Abbildungen	06	I	157
Sibyllites Louderbacki, mittl. Trias, Nevada	06	II	300	Sigillarienstämme	08	I	157
Sichtbarkeitsgrenze, ultramikroskopische Erweiterung	08	II	145	Sigillariostrobus piceaeformis, Unterrotliegenden, Forst bei Münsterkappel	09	I	468
Siculites affinis, dolomiticus, Fazelloi, Scinai und turgidus, obere Trias, Sizilien	05	I	344	Sigmoilina Schlumbergeri, miopliocäne Mergel von Bonfornello (Palermo)	06	I	473
				Sigmundskroner Porphy, Bozen	BB XXVII		103
				Sijarira Series, Rhodesia	05	II	269

- Silber
- Lichtbrechung 1908 I 170
 - Lösung und Niederschlag 08 II 8
 - Nachweis in der Phosphorsalzperle 08 II 156
 - Sublimation in Quarzgefäßen 05 I 17
 - Markkirch 09 I 24
 - Nagolnij Krjasch, Donetzbecken 07 II 192
 - Schlaggenwald 05 I 198
- Silber-, Blei-, Thallo- und Cuprohalogene, Mischkristalle aus Schmelzfluß BB XXII 1
- Silbererzlagerstätten
- Leiterze 08 I 400
 - siehe auch Erzlagerstätten.
- Silberglanz
- Markkirch 09 I 24
 - Tabor-Gegend, Böhmen 09 II 366
 - als unipolarer Leiter BB XXI 338
- Silberhaloide, Piezopleochroismus CBI 1908 393
- Silberminerale, rote, Binnental 09 I 171
- Siliciumcarbid (Moissanit), Diablo Cañon-Meteorit 1907 II 202 CBI 1905 154
- Silicomagnesiofluorit, Finnland (Luppiko) 08 I 28. 29
- Silicomolybdate, Isomorphismus 07 I 333
- Silikat $\text{Na}_2\text{Fe}_2\text{Si}_4\text{O}_{12}$ CBI 1905 717
- Silikate
- von Al_2O_3 und Ca O, Schmelzpunkte 08 II 151
 - der alkal. Erden von Zn, Mn und Fe durch Schmelzen 09 I 182
 - amorphe wasserhaltige, chemisch CBI 1908 622. 662
 - Analyse. CBI 1905 247 CBI 1908 48
 - Bestimmung des Kalium CBI 1908 513
 - chem. Natur u. Darstellung 1907 I 343 ff.
 - Darstellung 09 I 182
 - d. Kieselsäure nach TSCHERMAK'S Methode CBI 1908 129. 225. 325
 - Färben CBI 1905 284
 - gefärbt durch organische Farbstoffe BB XXVIII 358
- Silikate
- isomorphe, experimentelle Untersuchungen CBI 1906 571
 - — Zusammenschmelzen 1909 II 163
 - Konstitution geschlossenen aus der daraus dargestellten Kieselsäure CBI 1908 129. 225. 325
 - natürliche, Bestimmg. d. Kieselsäure durch Zersetzung 1907 I 23. 344. 347 CBI 1908 129. 225. 325
 - siehe auch Kieselsäure.
 - Pleochroismus der mit basischen Teerfarben angefärbten 08 I 161
 - saure und alkalische Reaktion 08 I 6
 - Schmelzpunkte 07 II 171
 - Versuche über Bildung CBI 1906 339. 353
 - Verwitterung zu Ton und Laterit 06 I 23
- Silikatanalyse, mikrochemische, Bleidose . CBI 1905 247
- Silikatführende Carbonatgesteine, St. Gotthard, Südseite BB XXVII 203
- Silikatgele CBI 1909 331
- Silikatgesteine, Eindringen geschmolzener Sulfide 09 II 83
- Silikatgläser und Silikat-schmelzen, Schmelz- und Erstarrungspunkte 09 II 184
- Silikation bei Metamorphismus nach VAN HISE CBI 1906 609
- Silikatische Einlagerungen im körnigen Kalk des Kalkbergs, Raspenau, Böhmen 06 I 55
- Silikatminerale
- Ausscheidungsfolge in Schmelzflüssen 08 II 1
 - kleinstzählige chemische Formeln CBI 1907 2
 - Silikatschmelzen 06 II 4 ff. 1907 II 5 BB XXII 133
 - Ausdehnung beim Erstarren 1909 I 51 09 II 329
 - Ausscheidung aus CBI 1905 361 CBI 1906 132
 - Ausscheidungsfolge v. Silikaten bei 2 und 3 Komponenten BB XXIII 43

- Silikatschmelzen**
 — Beziehung zwischen Viskositätskurven u. Molekularvolumen . . . CBI 1906 289
 — Bildung von Quarz u. Tridymit CBI 1906 728
 — Dissoziation 1909 II 329
 — — Leitfähigkeit und Kristallstruktur 09 II 184
 — experimentelle Untersuchungen BB XXV 261
 — Leitfähigkeit CBI 1909 779
 — mit neugebildetem Quarz CBI 1906 657
 — Reaktionsgeschwindigkeit 07 II 9
 — Theorie und Anwendg. auf Gesteine 07 II 8
 — Untersuchungsmethoden 1907 II 7 CBI 1907 1
 — Viskosität CBI 1906 193. 289
 — — und chemische Zusammensetzung 08 II 152
 — und Entstehung der Gesteine 08 I 86
 — und eutektische Mischungen 06 II 5
 — und Silikatgläser, Schmelz- und Erstarrungspunkte 09 II 184
- Silikatschmelzflüsse, Differentiationserscheinungen, Schmelz- und Erstarrungskurven, Unterkühlung, NERNST'sches Löslichkeitsgesetz, Dissoziation, Eutektikum, Formeln v. RAOULT u. VAN'T HOFF**
 BB XXIII 73 ff.
 Silikatschmelzlösungen . CBI 1905 144
 — Theorie 06 II 8
 — Mineralbildung und Schmelzpunktserniedrigung 06 II 10
- Siliqua aequilatera, Kreide, Schaumburg-Lippesche Mulde** 06 I 441
- Siljansko polje-Kalk, Bosnien, Fauna** 05 I 106
- Sillimanit**
 — künstliche Entstehung 07 II 371
 — Neubildung in Schmelzflüssen 08 II 7
 — Synthese CBI 1905 149
 — Ceylon 1906 I 179. 184. 186
- Sillimanit**
 — Chester Conn., Achsenverhältnis CBI 1906 372
 — — — Brechungsindizes 1906 II 317
 — niederösterr. Waldviertel, pseudom. nach Andalusit CBI 1908 251
 — Rhein, Einschluß im Basalt CBI 1908 102
 — — Finkenberg bei Bonn, im Basalt . . . CBI 1908 420
 — Sohländ a. Spree, im Diabas 05 I 94
 Sillimanit-Biotit-Schiefer, Enderby-Land, gedreht 06 II 371
 Sills der großen Gruppen, Skye 06 II 68
- Silur**
 — Asteriden und Ophiuriden 1908 I 134. 138
 — Phyllopoden d. unteren (Ribeiria und Ribeirella) 05 II 316
 — Alaska 05 II 272
 — — Endicott-Kette 06 I 92
 — Argentinien, Vorkordilleren 05 II 270
 — Balticum, nördliches (Upsala) 06 I 102
 — Böhmen, Asteriden u. Ophiuriden 08 I 134
 — Böhmen, Hyolithen . CBI 1908 364
 — — Radotin u. Großkuchel, unteres 07 II 282
 — — Lhotka bei Bebraun, unteres 06 I 300
 — — Prag 07 II 106
 — Brandenburg, Mark . CBI 1907 193
 — Bulgarien, I. Fund . CBI 1905 679
 — Canyon City, Col., Fische mit Knochenkörperchen im unteren 05 II 137
 — Cape George, Antigonish Co., N. S. 05 I 314
 — Chatanga-Gebiet (Sibirien), oberes . . . CBI 1905 615
 — Cincinnati-Falte 06 II 262
 — Cornwall, Ludlow 05 II 106
 — England, Lichasarten des Wenlock 05 II 316
 — — Lobolithen in Cornwall 09 I 134
 — Frankenstein, Bad Steben 09 II 218

Silur									
— Gotland und Oesel, Algen und Hydrozoen	1909 I 153	1909 II	326						
— Haverfordwest District, Fossilien des unteren	1906 II	138.	140						
— Kalstad bei Drontheim	06 I	271							
— Kellerwald	07 II	91							
— Kinnekulle	06 I	272							
— Kitzbühler Alpen	09 I	415							
— N.-S.-Wales, Columnaria pauciseptata	07 I	155							
— New York, Schoharie-Tal	07 I	108							
— Niagara-Gebiet, Fossilien	06 I	261							
— Nordamerika, Chazy limestone	06 I	300							
— Ohio, Petroleumführung	06 II	387							
— Podolien, oberes	05 II	99							
— Rhein, Schiefergebirge, klast. Gesteine	09 II	216							
— Sachsen, Granulitgebirge	CBI 1905	257							
— — radiolarienführender Kieselschiefer	CBI 1905	411							
— Sachsen-Meiningen	06 II	410							
— Schweden (Upsala)	06 I	102							
— — Rotfärbung	05 II	223							
— Taconic Range, unteres	05 II	414							
— Tasmanien, Westküste	07 II	270							
— Thüringen, Fossilreste des tiefsten, in Ost-	BB XXIV	221.	314						
— Wales, Graptolithenzonen in den Arenig-Schichten	06 II	263							
— — (Llangynog), unt.	08 I	226							
Siluraster, perfectus, Untersilur, Böhmen	08 I	135							
Silurodevon, Wellington caves, N.-S.-Wales	07 I	155							
Silver Valley, Nord-Queensland, Geologie und Erze	08 I	244							
Silvestrina, Gattung	05 II	487							
— — nicht haltbar	07 I	157							
Simarubinium crystallorum und Engelhardti, westl. Verein. Staaten	09 I	149							
Simbirskites Beyrichi, carinatus, coronula, crassisculptus, paucilobatus, Pavlovi (= S. Decheni), rugosa und triplicatus, unt. Kreide, Helgoland	1905 I	467							
Simetit, Beziehung zu Bernstein	08 I	358							
Simidae, amerikanisches Eocän	05 I	330							
Similkameen - Distrikt, Brit. Columbien	09 II	81							
Simoceras admirandum-benianum, ? robustocostatum u. variabile, Acanthicus-Schichten, Gießhübl	08 I	264							
— Aguilerae	07 II	469							
— Aguilerae, Jura, Sierra de Mazapil u. Santa Rosa, Mexiko	07 I	279							
— Cafisii, cf. Malletianum und Sautieri, Jura, Seeveralpen	06 I	110							
Simonyit, Hallstatt, optisch	08 II	322							
— Natronkali-, in ozean. Steinsalzlageren	05 I	192							
Simplon									
— Geologie 1906 II 260	07 II	100							
— Wassereinbruch im S.-Tunnel	07 II	440							
Simplongebiet									
— Geologie	1909 I	59.	87						
— — bei Domodossola	05 II	223							
Simplongesteine, Radiumgehalt	09 II	211							
Simplontunnel									
— Anhydritkristalle	05 I	33							
— geologische Voraussetzung	06 II	93							
— Temperatur	07 I	219							
Simsbildung, Gletscher, Oregon	05 I	56							
Simultane Schreibweise der chemischen Formeln von Silikaten	CBI 1907	6							
Sinai, Miocän des östl.	07 I	424							
Sind, westl. (Indien), Tertiär	CBI 1905	129.	161						
Sinopa, Skelett, Eocän, Fort Bridger, Beziehung zu Hyänodon etc.	07 I	127							
— aethiopia, Tertiär, Fayum	07 II	315							

- Sinterbildung
— Christdorf, Mähren, Eisenerzlager CBI 1907 323
— thermale, vergl. mit Oolithen u. Stromatolithen 1908 II 116
Sinterterrassen, heiße Quellen von Thermopolis, Wyoming . . . 08 II 349
Siphonalia Fortini, Eocän, Paris 07 II 303
Siphonaria paucidigitata, Eocän, Paris 07 II 303
Siphonospaera minima var. laevigata, Miocän, Italien 09 II 490
Sirenen
— Milchmolaren 06 II 50
— Oesterreich, mediterran. Tertiär 05 I 504
Sirenites Aesculapii und Junonis, Aonoides-Schichten, Epidauros (Argolis) Festband 30
— Alixis, argonautaeformis, trachyceratoides und Vredenburgi, Tropites-limestone, Byans 08 II 237
— Lawsoni, Subbullatus-Schichten, Amerika 06 II 306
Sivatherium giganteum, Adrianopel 05 II 470
Siwah-Oase, Paläogen 05 II 323
Sizilien
— Geologie verglichen mit Tunis 09 II 95
— Lepidocyclinen von C. Implastro, Alter 08 II 283
— Niveauschwankungen bei Aci Castello 06 II 349
— Schweremessungen u. Erdmagnetismus 1908 II 43. 44
— Tertiär, Alveolinen 06 I 471
— tertiäre u. diluviale Säugetiere, Messina 06 I 141
— triadische Deckenschollen 09 II 94
— westliches, Cephalopoden der oberen Trias 05 I 342
Skajit-Formation, Endicott-Kette, nördliches Alaska 06 I 92
Skaly, polnisches Mittelgebirge, Devon 05 II 106
Skandinavien, Eisenerzlagerstätten 07 II 243
Skandinavisches Erdbeben
— 23. Okt. 1904 1906 I 200. 201
— 23. Okt. 1904, in den russ. Ostseeprovinzen CBI 1905 65
Skandinavischer Schild, genet. Zusammenhang mit südbaltischen Sedimenten CBI 1905 97
Skandium, Verbreitung in Mineralien 1909 II 328
Skapolith
— Carrara, im Marmor 06 II 178
— Gellivara - Erzberg, pseudom. von Feldspat (?) nach Sk. 06 I 350
— Kristiania, Kontaktbildung CBI 1909 405
— Ural 09 II 41
Skelettbildung der Kalkschwämme CBI 1905 581
Skelettnadeln der Kalkschwämme CBI 1906 12
Skiodromen
— doppeltbrechender Kristalle 05 II 334
— und Ableitung der Interferenzbilder 07 II 165
— und Isogyren 09 I 156
Sklerometer, Rotations-. 07 I 190
Skolezit
— gibt durch H Cl Orthokieselsäure 07 I 24
— Färöer 09 I 29
— — Suderö CBI 1908 525
— Grönland, Ost-, im Basalt 06 II 184
— Island, Glühverlust 06 I 25
— — Zwillingbildung BB XXIII 300
Skolithen am Sandstrand CBI 1906 726
Skorodit
— Nadabula, Ungarn 07 I 217
— Schlaggenwald 05 I 199
Skye, tertiäre Eruptivgesteine 06 II 64
Skythische Stufe, Westamerika 08 I 259
Sloanit, Montecatini, Toskana 07 II 40
Smålandgesteine, Diluvium, Westfalen CBI 1907 171
Smaragd
— Bolivia u. Peru, fehlt 06 I 359
— Ural, Jekaterinburg 09 II 41
Smegmatit CBI 1909 332
Smerdis cf. macrurus, obermedit. Dacit-Tuff, Dés, Siebenbürgen 06 I 153

- Smilodectes gracilis, ame-
 rikanisches Eocän . . . 1905 I 332
- Smilodon, Gelenkflächen
 des Astragalus . . . 07 I 475
- Smirgel siehe Schmirgel.
- Smithit
- Binnental 1909 I 171 CBI 1905 283
- — Kristalle . . . 06 II 30
- Smithoceras Drumondi,
 Muschelkalk, Himalaya 08 II 245
- Smittia coronata und ex-
 pectans (Mucronella),
 patagonica (Reussia),
 und incisa und sub-
 torquata, Tertiär, Pa-
 tagonien . . . 05 II 141
- Snake River Plains, Idaho,
 Geologie und Hydro-
 graphie . . . 06 I 86
- Snowdon, Wales, vulkan.
 Gesteine . . . 07 I 390
- Snow Hill-Schichten, Gra-
 hamland . . . 09 II 101
- Soda
- Aegypten, pflanzen-
 schädlich im Boden . 07 I 427
- Ostafrika, Deutsch- . 09 I 232
- Sodahaltiger Boden, Sza-
 badszállás, Ungarn . 06 I 265
- Sodalith
- chromsaurer . . . 05 I 377
- Lithiumbrom-, künstl. CBI 1905 654
- des Syenits, Ursprung CBI 1905 86
- Cnoc-na-Sroine, Nord-
 Schottland, und Um-
 wandlungsprodukte
 BB XXII 429. 447
- Radschputana . . . 08 I 18
- Vesuv, von 1906 . . 08 I 208
- siehe auch Lithion-
 bromsodalith, künstl. 06 I 474
- Sodalithähnliche Substan-
 zen, künstl. CBI 1905 138. 653. 717
- Sodalithgruppe, Mayen,
 in den Einschlüssen . 06 I 348
- Sodalithsyenit, Groß-
 priesen, böhm. Mittel-
 gebirge . . . 05 I 272
- Sodalithtrachyt, Pico de
 Teyde (Teneriffa) . . CBI 1909 393
- Sölvbergit
- Highwood Mountains,
 Montana . . . 06 II 374
- Tasmanien, Regatta
 Point, granatführen-
 der Glimmer- . . . 08 I 391
- Sohland a. Spree, Nickel-
 erzlagerstätte . . . 1905 I 94. 98
- Sohnke's regelmäßige
 Punktsysteme, Dia-
 gramme CBI 1906 437
- Solariella Pellati, Kreide,
 Orgon (Bouches-du-
 Rhône) 06 I 318
- Solarium cyclospirum,
 Hypersenon, Peter-
 wardeiner Gebirge . . 06 II 267
- Hedleyi, Kreide, Zulu-
 land 07 II 304
- seelandicum, Ober-
 senon, Dänemark . . 06 I 309
- Staadti, Eocän, Paris 07 II 303
- Solea Kokeni, latior, sub-
 glaber, subvulgaris u.
 tenuis, Otolithen, Ter-
 tiär, Oesterreich . . 07 I 481
- Solecurtus longovatus,
 Kreide, Schaumburg-
 Lippe'sche Mulde . . 06 I 441
- (?) Pavlowi, Paläocen,
 Saratow 05 II 121
- Solenomya neocomiensis,
 Neocom, Argent. Kor-
 dillere BB XXIII 222
- Solenoporella gotlandica,
 Silur, Gotland u. Oesel 09 I 154
- Solenopsis, Culm. Königs-
 berg bei Gießen . . BB XXVIII 642
- Solfatara, Pozzuoli . . . 07 II 65
- — Entstehung einer
 neuen Bocca CBI 1908 762
- — gegenwärtige Tä-
 tigkeit 08 II 44
- — Mineralien 07 II 198
- Solgeria
- Bedeutung des Namens 06 II 143
- Kreide, Krim 06 I 315
- Solifluktion 08 II 344
- Solling
- Buutsandstein . . . 07 I 431
- tertiäre Dislokationen
 und Transgressionen . 09 I 407
- Solnhofer Plattenkalke,
 Fauna 05 I 458
- Solnhofer Schiefer, Farn-
 kraut CBI 1908 355
- Solutréen der älteren Stein-
 zeit 06 I 127
- Somaliland, oberer Jura
 und untere Kreide . . 06 I 280
- Somma und Vesuv, petro-
 graphischer Bestand . 09 I 221

Sommaït, Tiefenform des			Spalten	
Leucitephrits	1907	II 404	— Abhängigkeit vulkan.	
Sonne			Ausbrüche von	CBl 1909 526
— Temperatur	08	I 211	— Beziehung zu Basalt,	
— Ursache der inneren			Heiligenstadt, Fran-	
Erdwärme	CBl 1905	82	kenjura	CBl 1906 390
— — der hohen Tem-			— u. Verwerfungen, Ein-	
peratur im Erdinnern,			fluß auf Stromsysteme,	
Gebirgsbildung und			Yellowstone Park . . .	1906 II 188
vulkanische Erschei-			Spaltenfrage der Vulkane	
nungen	CBl 1904	572		CBl 1909 97. 129. 321
Sonnenzeigerkompaß und			Spaltenwässer, Zusam-	
Inklinationsnadel bei			mensetzung u. Schwer-	
Aufnahme magnet.			spatbildung	06 II 73
Gebiete	09	I 389	Spaltung wasserhaltiger	
Sonneratia cereviciana,			Mischkristalle	06 I 7
Hypersenon, Peter-			Spaltungskurven wasser-	
wardeiner Gebirge . .	06	II 267	haltiger Mischkristalle	05 I 13
— Daubrèei, Kreide,			Spaltungstheorie, geprüft	
Eisensteinlager von			durch Gesteinsana-	
Groß-Bülten b. Ilse	05	I 176	lysen	05 II 211
— Stantoni, Kreide, Ka-			Spaltungsvorgänge in	
lifornien	06	I 288	granitischen Magmen,	
— Supani, Cenoman,			Riesengebirge	07 II 212
Texas	06	I 314	Spangolith, Clifton-Mo-	
Sonninia alsatica, unterer			renci-Distrikt, Arizona	06 I 174
Dogger, Baseler Tafel-			Spaniaster laticutatus,	
jura	05	I 176	Spiriferensandstein,	
Sorbit im künstl. Eisen	06	I 243	Unkel	08 I 138
Sorbus alnoidea, Braun-			Spanien	
kohle, Senftenberg . .	08	I 449	— Alkaligesteine	07 II 407
Soretit, Koswinsky Ka-			— Erzlagerstätten der	
men (Ural), im Diorit	05	I 30	Sierra Morena	06 I 229
Sorites, Tertiär u. rezent	05	II 154	— nutzbare Mineralien	
Sorobandama-ishi, Japan	09	I 179	und Gesteine	09 II 79
Soswa, Jura und Neo-			— Säugetiere und Süß-	
com	07	II 449	wassergastropoden d.	
Sotalia, Boldérien, Ant-			Pliocän, Cueva Rub-	
werpen	07	I 133	bia	07 II 1
Souesit, Fraser, Britisch			Spaniomys, Tertiär, Pa-	
Columbia	06	II 155	tagonien	07 II 326
Southampton, Geologie .	06	I 267	Spannung in Gesteinen .	CBl 1906 609
Spalacotheriidae, Kreide,			Sparassodonta, Kreide u.	
Patagonien	05	I 169	unteres Tertiär, Pata-	
Spalato			gonien	1905 I 169. 498
— Geologie	06	I 258	Sparnacien	
— Mosor, Geologie der			— Epernay	05 II 119
Südseite	05	I 451	— Pariser Becken	06 II 116
— Poljen von Blaca und			— Saratow	05 II 121
Konjesko, Geologie . .	05	I 452	Spateisenstein	
Spaltbarkeit			— Bottino (Toskana),	
— Beziehung zum Kri-			Mg-haltig	07 $\frac{1}{4}$ II 37
stallhabitus	05	II 176	— Cornwall, Kristalle . .	08 II 305
— der Gesteine	06	II 56	— Dobschau, Ungarn . . .	06 I 73
— Pseudomorphosen nach			— Eisenberg b. Hütten-	
der	CBl 1908	6	berg (Kärnten)	05 II 80

- Spateisenstein
 — Erzberg (Steiermark), Begleitmineralien . . . CBI 1908 287
 — — — Entstehung . . . 1907 II 242
 — Frigido bei Massa . . . 07 II 176
 — Frostburg, Maryland, Kristalle etc. 07 II 20
 — Gobitschau, Mähren CBI 1907 295. 328
 — Markirch 09 I 23
 — Nieder-Oesterreich . . . CBI 1908 742
 — Ostalpen, Genesis CBI 1909 714
 — Quittein, Westmähren, Eisenerzlagerstätte, auch Pseudom. von Limonit 05 II 243
 — Schädlegg u. Edlach, Niederösterreich, sekundäre Kokardenstruktur CBI 1907 411
 — Schottland, Erz 05 I 441
 — Spanien, Sierra de Almagrera 08 I 243
 — Traversella 08 I 40
 — Ungarn, Zips-Gömörer Grenzgebirge 07 I 253
 — Uruguay, Einschluß im Quarz 08 II 143
 — siehe auch Sphärosiderit.
 Speckstein, Göpfersgrün-Thiersheim, Bildung . . . 05 II 214
 Speirocarpus auriculatus und Neuberi, Lunzer Schichten 09 I 464
 Speiskobalt, Markirch . . . 09 I 25
 Spektropolarisator mit Glasplattensatz 05 II 176
 Spelaearetos arctoideus . . 07 II 484
 Spermophilus superciliosus, Quartär, Bruyères (Seine) 08 I 285
 Spessartit
 — Belknap Mountains, New Hampshire 08 I 381
 — Piz Giuf, östliches Aarmassiv 06 I 372
 — Tessin, Alp Mancucco BB XXVI 507
 Speziesbestimmung, systematische BB XXII 639
 Spezifisches Gewicht, siehe Dichte.
 Sphaeraster, Beziehung zu rezenten Seesternen . . 08 I 136
 — molassicus, Meeresmolasse, Rammingen CBI 1907 313
 Sphaerasteridae 1908 I 136
 Sphärische Dreiecke, Auflösung durch Fedorow's Universalgoniometer 05 I 4
 Sphäriten, Organisation und Systematik 08 I 137
 Sphaerites carbonarius, Saarbrücker Schichten — pustulatus, Meeresmolasse, Oberschwaben CBI 1907 313
 Sphaerium risgovienne, Alttertiär, Weilheim (Ries) 08 I 433
 — (Clessinella) Sturanyi . . . 06 I 154
 Sphaeroceras Uhligi, Jura, Bucegi-Stock 06 II 121
 Sphaerococcites dyadicus, Plattenkalke d. Zechsteins, Frohburg-Kohren, Sachsen 1905 I 540 08 I 313
 Sphaerocodium gotlandicum, Silur, Gotland und Oesel 09 I 153
 Sphaerocrinus cf. geometricus, Devon, Ostthüringen BB XXIV 276
 Sphaerodus gigas, Portland, Argent. Kor-dillere BB XXIII 188
 Sphärolithe aus gewundenen Kristallfasern 1908 I 315. 316
 Sphärolithische Bildungen, zentrogene u. korio-gene 06 I 204
 Sphärolithische Gesteine, Mugodjaren (Süd-Ural) . . . 07 I 73
 Sphärolithischer Felsit, central Highlands 05 I 431
 Shärolithporphyr, Kiautschou 06 II 366
 Sphärosiderit
 — Färöer 09 I 29
 — Rammelsberg, Kieslager CBI 1909 577
 Sphärotrigonometer 09 II 7
 Sphaerulites solutus, Hypersenon, Peterwardener Gebirge 06 II 268
 Sphen
 — Ceylon 06 I 181
 — siehe Titanit.
 Sphenacodon ferox, Neu-Mexiko 08 I 297

- Sphenasterophyllites* diersburgensis, Carbon, Offenburg 1908 I 459
- Sphenia* haudradiata, Eocän, Loire inférieure 07 II 302
- Sphenodiscidae*, Kreide 07 II 148
- Sphenodiscus* Beecheri, Konincki u. Stantonii, Kreide 07 II 148
- *lenticularis*, Jugendentwicklung etc. 05 I 177
- *Menuthias*, Kreide, Diego Suarez 07 II 334
- Sphenolepidium* oregonense 07 II 503
- Sphenophyllum* Costae (Trizygia), Obercarbon, Paçal (Portugal) 1905 I 540 08 I 312
- *elongatum*, Rotliegendes, Hohenstein—Limbach (Erzgebirge) 05 I 539
- *myriophyllum* und *tenerrimum*, Carbon, Vorkommen 09 II 492
- Sphenopteriden* des Carbons 09 I 150
- Sphenopteris* acutidens, Rhät, Bornholm 08 I 541
- *Ascheroni*, Frenzli, germanica, Hoeninghausi, Laurenti, Schiehani u. Stangeri, Carbon, Vorkommen 09 II 491
- *Bäumleri*, Carbon, Verbreitung 09 II 491
- *Bohdanowiczii*, Carbon, Dombrowa 09 I 146
- *communis*, Coal Measures, England 06 II 458
- *naktongensis*, Jura, Korea 07 II 343
- *subdivaricata*, *subelegans*, *sublanceolata* u. *zunsweierensis*, Carbon, Offenburg 08 I 459
- *trigonophylla*, Carbon 09 I 150
- Sphenotrochus* Bouveti, *cicatricosus* und *tonsuratus*, Tertiär, St. Clement, Anjou 09 I 276
- Sphenotus* Bodenbenderi, Devon, Bolivia BB XXV 529
- Sphenozamites* Belli, Jura, England 07 I 490
- Sphingites*, Rassenpersistenz CBI 1909 198
- Sphodromys*, Tertiär, Patagonien 1907 II 327
- Sphyraena* Hansfuchsi, Otolithen, Tertiär, Oesterreich 07 I 481
- Sphyraenodus* cf. *priscus*, mitteleocäner Grobkalk, Klausenburg 06 I 153
- Spilite*, Westalpen 07 II 442
- Spinell**
- ausgeschieden aus Silikatschmelzen CBI 1905 361
- edler, künstlich CBI 1908 179
- Neubildung in Schmelzflüssen 08 II 6
- in Silikatschmelzen BB XXII 198. 207. 245
- Synthese CBI 1905 148
- Biella, Piemont, Kontakt am Syenit 06 II 33
- Ceylon 1906 I 179. 183
- Ober-Brezany, Böhmen, im Gabbrodiorit 06 II 361
- Ottawa bei Pisek, im Goldsand 05 I 366.
- Rhein, Einschluß im Basalt CBI 1908 101
- Sohland a. Spree, im Diabas 05 I 95
- siehe auch Mangan-spinell etc.
- Spinellähnliche Verbindungen** in Schmelzflüssen CBI 1906 645
- Spinellgesteine**, Elba 08 II 211
- Spiraea* crataegifolia, Braunkohle, Senftenberg 08 I 449
- Spirifer* arrectus und var. *acuticostata*, var. *antarectica*, var. *Ceres* und var. *Hawkinsii*, planoconvexus u. *undiferus*, Devon, Bolivia BB XXV 548
- *bambadhurensis*, *Productus-Schiefer*, Lissartal, Johar, Zentral-Himalaya 05 II 280
- *bisulcatus*, untercarbonisches Transgressionsmeer, Tian-Schan BB XXVI 222. 239
- *bisulcatus*, *integricosta*, *ovalis*, *striatus*, *trigonalis* u. *triangularis*, Culm, Königsberg bei Gießen BB XXVIII 631

Spirifer Curzoni, Anthracolith-Schiefer des Perm, Zentral-Himalaya	1905 II 281	Spiroclypeus granuloseus, Priabona	1908 I 139
— Enderlei, interplicatus var. baschkirica, Nikitini, postventricosus, Schellwien, Sokolowi, supracarbonicus, tastubensis, ufenensis u. uralicus, Obercarbon, Ural und Timan	05 I 533	— var. orbitoclypeus	08 I 448
— cf. fasciger, lyra u. cf. lyra, supramosquensis u. tibetanus, oberes Carbon, Kukurtuk-Tal, südl. Tian-Schan	BB XXII 378	— orbitoideus, Tertiär, Borneo	07 I 162
— cf. lineatus (Reticularia), jüngeres Paläozoicum, Timor	BB XXV 319	— ? tudertis	07 II 499
— cf. Nereides, Verneuil und andere Spezies, Devon, Ostthüringen	BB XXIV 290	Spirocyclina, Senon, Bau Spiroloculinen, Italien, fossil und rezent	05 II 153
— primaevus var. atlantica, Unterdevon, Dalhousie	08 I 414	Spiroplecta intermedia, Rupelton, Mainzer Becken	06 I 472
Spiriferina alpina u. cf. Haueri, Mittelias, südwestliche Balkanhalbinsel	BB XXI 295	Spiropteris hostimensis, Devon, Etage H, Mittelböhmen	09 II 324
— ambonensis, malayana und molukkana, vorjurassisch, Ambon	BB XXV 299	Spirorbis midfordensis, Upper coral bed, Midford, Somerset	06 II 145
— cristata, ob. Carbon, Kukurtuk-Tal, südl. Tian-Schan	BB XXII 377	Spirulirosta Szainochae, Clavulina Szaboi-Schichten, Kruhel maly bei Przemysl	08 II 87
— Di Stefanoi, Lias, Tranze	08 I 424	1905 II 434	05 I 320
— expansa, Holzapfeli, pyramidata, Salteri u. simensis, Obercarbon, Ural und Timan	05 I 533	06 I 472	07 II 448
— insculpta, Culm, Königsberg bei Gießen	BB XXVIII 634	Spiti-Shales	
— primarialis, ladinische Stufe, Dobrudscha	08 I 419	Spitzbergen	
Spirigera montenegrina, Werfener Schichten, Bucieri, Montenegro	05 II 108	— Gletscher	05 II 48
— quadruplecta, var. bicostata (Anisactinella), Pachycardientuffe der Seiser Alp	05 I 179	— Kugelgranit	06 II 363
Spirillina denticulogranelata, Victoria, Austr.	09 I 144	— Petrographie	08 II 369
		Spodumen mit Kunzit	
		— Aegirin, Enstatit, Diopsid u. Hedenbergit, Morphotropie	09 II 171
		— Analyse des Kunzits	05 II 183
		— Kristalle	09 II 176
		— opt. Eigenschaften des Kunzit	05 II 22
		— durch Zusammenschmelzen	09 I 183
		— Nordamerika, Edelstein (Hiddenit, Kunzit)	06 I 356
		— — edler	09 I 32
		— Pala, Kalifornien (Kunzit)	07 II 44
		Spondylus somaliensis, Tertiär, Somaliland	07 II 303
		— spinosus var. hungarica, Hypersenon, Peterwardeiner Gebirge	06 II 268
		— subseratus, Kreide, Süd-Persien	06 I 444
		Spongasteriscus marylandicus, Tertiär, Maryland	07 II 161
		Spongien, verkieselte, Kreide, Margny (Oise)	06 II 201

Spongienfauna, miocäne, Algier	CBI 1909 317	Stabilitätsfelder	
Spongiomorpha acyclica, Zlambach-Schichten, Hydra	BB XXV 464	— der Mineralien	1907 II 162
Spongiostroma bacilliferum, granulosum, maeandrinum u. oculiferum, Kohlenkalk, Namur	1907 I 137	— polymorpher Mineralien	07 II 10
Spongiostromaceae, Spongiostromidae, Kohlenkalk, Namur	07 I 131	— und Mineralogenese der Mineralien	07 II 10
Spongiostromiden, Untercarbon, Belgien	08 II 118	Stacheites Webbianus, Muschelkalk, Himalaya	08 II 244
Spongoacanthus horridus, Scaglia, Euganeen	06 I 475	Stämme, aufrechte, Carbon, Belgien	05 I 458
Spongodiscus dubius und maximus, Kreide, Euganeen	06 I 474	Staffelit, kristallisierter, Wesen	CBI 1905 641
Spongolonche diversispina, Kreide, Euganeen	06 I 474	Stahl, mikroskop. Untersuchung	06 I 243
Spongoprimum diversispina, Kreide, Euganeen	06 I 474	Stalaktiten, siehe Tropfsteine.	
— macroacanthos und minimum, Scaglia, Euganeen	06 I 475	Stammesgeschichte, paläontologische	CBI 1909 706
Spongotripus communis, Scaglia, Euganeen	06 I 475	Stammreptilien, Perm	07 I 313
— compressus, Kreide, Euganeen	06 I 474	Stantonia cretacea, obere Kreide, Willow Creek, Montana	07 I 322
Spongotrochus Bergiglii, Miocän, Italien	09 II 490	Stantonoceras pseudocostatum, Kreide, Waldo (Neu-Mexiko)	08 I 437
Sporadoceras angustisellatum, biferum, Clarkei, contiguum, discoidale, inflexum, Münsteri, rotundum, Sedgwicki u. varicatum, oberes Oberdevon, Enkeberg	BB XXVI 593	Star Peak Range, Nordamerika, Geologie	06 II 96
Sporen, Buntsandstein, Halle a. S.	09 I 461	Starrheit der Erde, Ursache	07 I 373
Sportella namnetensis, Eocän, Loire inférieure	06 I 468	Staßfurt, Entstehung des Salzlagers	06 I 161
Spy, Mensch	06 II 273	Staßfurter Typus der Salzlager im deutschen Zechstein	09 II 307
Squalodon, Squalodontidae, Boldérien, Antwerpen	1907 I 131. 133	Staub	
Squalodontiden, Bezieg. zu Ziphüiden	06 II 295	— Australien, meteorischer, chemisch	05 I 221
Stabilität der durch Radium erhaltenen Mineralfarben	CBI 1909 232	— Mt. Pelée etc., vulkan.	1905 I 404. 405
		Staubfälle	
		— Bayham Abbey (Lamberhurst) und Taormina, chemisch	05 I 406
		— Neuseeland 1902	05 I 406
		— Norddeutschland, 6. Januar 1908	09 I 55
		— Schweiz, Mai bis Aug. 1902	05 II 370
		Staukuppen, Pantelleria, Filicudi, Nevado de Toluca, lipar. Inseln, Santorin	Festband 310
		Stauralastrum euganeum, Scaglia, Euganeen	06 I 475
		— patavinum, Kreide, Euganeen	06 I 474

- Staurolith
 — Campolongo 1905 I 202
 — Strettoia, appuanische Alpen 07 II 38
 — Tessin, Pizzo Forno BB XXVI 523
 Staurolonche Capellinii, Miocän, Italien 09 II 490
 Staurosphaera Canavarii, Miocän, Italien 09 II 490
 — euganea und longispina, Scaglia, Euganeen 06 I 475
 — Hindei, magnifica und veneta, Kreide, Euganeen 06 I 474
 Stauungsbogen (Alpentypus) 05 I 119
 Steatit
 — im Kalkstein, Göpfersgrün, Entstehung 05 II 214
 — siehe Speckstein.
 Steben, Frankenwald, Geologie 09 II 218
 Stegocephalen
 — Einteilung 09 II 136
 — holospondyle, Wirbelsäule und Rippen 08 II 269
 — Karruformation, Alwal North, Südafrika 07 I 313
 — ob. Raibler Schichten, Kampenwand b. Aschau CBI 1906 568
 — rhachitome Wirbel 09 II 138
 — Seitenlinien 09 II 135
 Stegodon ganesa var. javanica, Kendeng-Schichten, Indien 09 I 117
 Stegopidae, Carbon, Nordamerika 09 II 134
 Stegops divaricata, Carbon, Nordamerika 09 II 134
 Stegotheriidae, Kreide, Patagonien 05 I 170
 Stegotherium simplex u. tessellatum, Santa Cruz-Schichten 05 I 500
 Stehende Wellen, japan. Seen 07 I 381
 Steiermark, Mineralvorkommen 08 I 38
 Steinatal, Schwarzwald, Glazialerscheinungen BB XXI 437
 Steiner Alpen, Geologie 06 II 247
 Steinheim, vulkan. Erscheinungen 07 I 375
 Steinkies 06 I 205
 Steinkohlen
 — Entstehung 1909 II 45
 — stoffliche Beschaffenheit vergl. mit Braunkohlen 06 I 235
 — England, Vorrat 07 II 85
 — Heraklea, Kleinasien 05 I 261
 — Nordamerika, Probieren 08 II 379
 — Oberlaibach, in den Raibler Schichten 07 II 122
 — Sachsen, mögliche neue Funde 06 I 235
 — Schwadowitz, Bohrungen 07 I 82
 — Südafrika, bei Vereeniging (Transvaal) 07 II 122
 — Teutoburger Wald (Neuenheerse), im Keuper 07 I 417
 — siehe auch Kohlen.
 Steinkohlenformation
 — Bayr. Rheinpfalz 06 I 103
 — siehe Carbon.
 Steinsalz
 — blaues 1907 II 174 1908 I 32. 10 1909 II 187. 188 CBI 1909 336. 398
 — — Pleochroismus durch orientierten Druck 1908 II 157 CBI 1907 166
 — dilute Färbung 06 I 324
 — Einwirkung von Radiumbromid CBI 1909 66
 — Expansivkraft 09 II 245
 — Farbe, ultramikroskopische Untersuchung 07 II 14
 — Härte 07 I 191
 — künstl. Dichroismus des blauen 1908 II 157 CBI 1907 166
 — plastische Umformung unter Druck 06 II 80
 — Ursache der blauen Farbe nicht Na-Metall 1907 II 174 CBI 1909 398
 — Variation der Kristalltracht 08 II 158
 — Verbreitung und Verwendung CBI 1905 310
 — Zunahme der Plastizität mit der Temperatur 09 I 60
 — und Kalisalz, Ablagerung, Verbreitung und Verwendung CBI 1905 310
 — Aegypten, Natron-Tal CBI 1906 772

Steinsalz				Stenarcestes Hermocratis,			
— Bernburg (Solvaywerke), weißes und blaues	1909	II	187	modanensis und rotulaeformis, ob. Trias, Sizilien	1905	I	347
— Cardona, Katalonien, Lagerstätte etc.	09	I	14	Steneofiber Barbouri und fossor, Obermiocän, Nebraska u. Wyoming	07	I	460
— Koblenz (Schweiz), Bohrungen	09	I	105	— pansus, Miocän, Süd-Dakota	05	II	129
— Lübtheen (Mecklenburg), Salzbergwerk Friedrich Franz	09	II	187	Steneofiber-Arten, Tertiär, Nordamerika	07	I	461
— Mt. Pelée, Kristalle in der vulkanischen Asche	06	II	157	Steneosaurus Larteti var. Kokeni u. teleosauroides, Oxford Clay, Peterborough	09	I	450
— Ohio, Industrie	08	I	247	Stenogale robusta, Miocän, Süd-Dakota	05	II	128
— Sibirien, Wartschy-See am Jenissej	09	II	246	Stenogenium, Kreide, Patagonien	05	I	168
— Texas, Trans-Pecos	06	II	179	Stenomylus gracilis	07	II	488
— Tschad-See	07	I	41	Stenoplesictis (?) Grimmi, Mittelmioicän, Solnhofen, Böhmerze	1908	I	124. 127
— siehe auch Salz, Kalisalz, Chlornatrium etc.				Stenoprotome hamata, Kreide, Libanon	05	II	481
Steinsalzablagerungen, Bildung der Kalksalze	06	II	321	Stenotatus hesternus und patagonicus, Santa Cruz-Schichten	05	I	502
Steinsalzbergwerke, tiefe, Gebirgsdruck	1907	I	87. 416	Stenothyra Bonneti, Eocän, Paris	07	II	303
Steinsalzlager				Stephanit	09	I	317
— Hannover, südliches	09	I	426	— Arispe, Sonora, Mexiko, Kristalle	09	I	170
— Norddeutschland	09	I	422	Stephanoceras aff. Braikenridgei u. cf. Humphriesi, Jura, Hotu Bebolan und Babar	BB	XXV	329
Steinsalzlagerstätten, Bildungsweise der ozeanischen	1908	II	159 ff.	— Chocsinskiy u. Wysohorskii, Unterdogger, Csernye, nordöstl. Bakony	05	II	426
Steintöpfe (Strudellöcher), Entstehung	05	II	294	— Lichtensteinii, Kaukasus	08	II	81
Steinwerkzeuge, Westpreußen, petrographische Zusammensetzung	06	II	202	— cf. longalvum, Jura, südwestl. Balkanhalbinsel	BB	XXI	285
Steinzeit				Stephanoceras Blagdeni-Stufe, Elsaß	CBI	1909	733
— Kulturzustände der älteren	06	I	127	Stephanocoenia oolithica, Jura, Frankreich	07	I	487
— und Mensch, Feuersteinartefakte in Syrien und Palästina	07	I	291	Stephanospondylus, Rotliegendes, Plauen'scher Grund	07	I	311
— Ceylon	08	II	255	Steppe			
Steinzeitfunde				— Kirgisen-, Geologie	CBI	1908	765
— Frankreich, Verbreitung des Strépvien	08	I	283	— Turkestan, Denudation	CBI	1908	763
— Niedernau u. Schwäb. Alb	08	I	104				
— Säntis, Wildkirchli-Ebenalp-Höhle	08	I	106				
— siehe Mensch, Artefakte etc.							
Steirischer Gebirgsbogen, nördlicher und südl.	06	II	239				
Steirische Thermallinie	06	II	243				
Steiromys intermedius, Tertiär, Patagonien	07	II	323				

Steppenfauna, Westerwald	1905	II	430	Stigmatodendron dubium, Rhät, Südafrika	1908	I	454
Steppenhypothese NEHRING's und Quartärfauunen des nördlichen Harzvorlandes . CBI	1909	87.	317	Stilbit			
Sterculia cliffwoodensis u. Snowii var. bilobata, Matawan-Formation, New Jersey	07	I	495	— Elba, Speranza-Gang bei San Piero, pulverförmig	08	II	34
— prelabrusca, Kreide, New York	08	I	456	— Moore Station, New Jersey, chemisch	06	I	352
Stereocephalus tutus. Belly river series, Red Deer river, Nordamerika	07	I	439	— Sardinien (Montresta)	09	II	195
Stereogenys Cromeri, Aegypten	06	I	153	— Serbien, Dewaika Kamen	08	I	197
Stereographische Projektion, Anwendung	07	I	2	— u. Substitutionsderivate	06	II	337
Stereographisches Lineal	07	II	163	Still Rivers, Connecticut, Stromrichtung			
Stereorhachis dominans, Ignoray, Frankreich	08	I	293	1905 I 228	06	I	94
Stereospondyler Typus der Tetrapoden	09	II	113	Stillstandslagen, glaziale, mittlere Weser	09	I	109
Sternberg — Bennisch, Mähren, Schalsteinzug, Erze u. Mineralien CBI	1907	289.	321	Stilpnochloran			
Sterzing, Tirol, Gesteine	BB XXII		454	— Gobitschau b. Sternberg (Mähren)	05	I	203
Stibiodomeykit, künstl.	05	II	5	— Sternberg—Bennisch, Mähren, Schalsteinzug CBI	1907	289.	292
Stibiotantalit, Kalifornien	07	II	185	Stilpnomelan			
Stichocapsa euganea, Scaglia, Euganeen	06	I	475	— Gobitschau, Mähren, pseudom. nach Pyrit	CBI 1907	294	
Stichocorys aemiliana, Bonarellii u. Martellii, Miocän, Italien	09	II	490	— Sternberg—Bennisch, Mähren, Schalsteinzug CBI	1907	289	
— pulchra, Kreide, Euganeen	06	I	474	Stilpnosiderit . CBI	1909	326.	329.
Stichomitra communis, Scaglia, Euganeen	06	I	475	336			
— magna, Kreide, Euganeen	06	I	474	Stinkkalk, Grenville, Canada, Ursache des Geruchs (H ₂ S)	07	I	21
Stichomys, Tertiär, Patagonien	07	II	326	Stockhorn-Chablais-Zone, Geologie	06	I	81
Sticocapsa brevicauda u. cylindroides, Miocän, Italien	09	II	490	Stoffwanderung, siehe Sammelkristallisation	09	II	160
Sticophormis costata, macropora u. Montis Serei, Scaglia, Euganeen	06	I	475	Stoliczkaia n. sp. ex aff. dispar, Cenoman, Texas	06	I	314
Stigmaria (?Stigmariopsis) rimosiformis, Kohlenkalk, England	06	II	463	— Grandidieri, Kreide, Diego Suarez	07	II	324
				Stolidoma Pistati, Eocän, Paris	07	II	303
				Stolleya, Carbon, Dalmatien	07	II	339
				Stolpenit, Nordheim (Rhön)	09	II	23
				Stolzit, Bena(de) Padru bei Ozieri (Sard.)	05	II	367
				Stomechinus (Psephechinus) Quoniam, ?Bathonien, Algerien	06	I	156
				Stormbergsschichten, Kapkolonie	07	II	114
				Strahlerz, Markireh	09	I	24

- Strahlstein
 — Einwirkung von Radiumbromid CBI 1909 70
 — Zusammensetzung 1908 II 23
 — Easton, New Jersey, Analyse 06 I 354
 — Grönland CBI 1908 377
 — Kragerö, pseudomorph nach Enstatit oder Diopsid 09 II 345
 — Susa-Tal, im Prasinit der Rocca Bianca . 1906 II 105 ff.
- Strahlsteinschiefer
 — Grönland, westl. Nord- 07 I 247
 — Karolinen 05 II 72
 — Sterzing BB XXII 539
- Strandlinien
 — Nizza 05 II 289
 — siehe auch Küstenlinien.
- Strandterrassen
 — Kapkolonie 08 II 46
 — Taltal, Chile 09 I 200
- Strandverschiebungen 05 I 222
 — negative, und Gebirgsbildung CBI 1909 285
 — Molukken 05 I 109
- Strandversetzung
 — Pas-de-Calais 08 II 57
 — siehe auch Hebungen und Senkungen etc.
- Strangalia Berendtiana, balt. Bernstein 07 I 323
- Strangenberg bei Rufach, Ober-Elsaß, Geologie BB XXVI 44
- Straparollus ammonitiformis, Permocarbon, N.-S.-Wales 07 I 154
 — Pellati, Kreide, Orgon (Bouches-du-Rhône) . 06 I 318
- Stratifikation äolischer Bildungen, Turkestan CBI 1908 764
- Strauß, Osteologie 08 I 441
- Streblites Nouhuysi, Suluinseln 05 I 152
- Streblotrypa Nicklesi und striatopora, karn. Fusulinenkalk 06 II 139
- Streckung kristallinischer Schiefer 05 I 74
- Streifung, Kombinations-, der Kristallflächen 09 II 3
- Strepsidura? Blanckenhorni, ?Eocän, Kamerun 06 II 123
- Streptelasma rectum, Bau Streptochetus pulveris. blaue Mergel v. Côte des Basques bei Biarritz 1906 II 439
- Streptorhynchus, untercarb. Transgressionsmeer, Tian-Schan BB XXVI 229
 — ? cf. distortus, Devon, Ostthüringen BB XXIV 283
- Streptospondylus, Skelett 08 II 437
 — vereinigt mit Megalosaurus 09 I 289
- Strobilites laxus, Rhät. Südafrika 08 I 454
 — perplexus, Kreide, New York 08 I 456
- Strobilodus giganteus = Hypsocoormus macrodon, lithograph. Kalk. Nusplingen 09 I 454
- Strépyien, Verbreitung in Frankreich 08 I 283
- Strömungen
 — des Meerwassers 08 I 53
 — im tiefen Ozean, Erkennung und Messung 06 I 43
- Stromatoide, norddeutscher Buntsandstein . 08 II 120
- Stromatolithe
 — Buntsandstein, Norddeutschland 08 II 114
 — Permocarbon, Rheinpfalz 08 II 114
- Stromatopora japonica, Kalk von Torinosu . 07 I 488
 — Tornquisti, Bathonien. Mte. Zirra, nordw. Sardinien 06 I 67
- Stromatoporiden, Jura, Schweizer Jura 06 I 13
- Stromatorhiza, Rauracien, Schweizer Jura 06 I 13
- Stromboli
 — Mai 1906 CBI 1906 561
 — Paroxysmen 09 I 363
 — Tätigkeit seit 1891 . 08 II 44
- Strombus Choffati = Str. Fortisi von DombeGrande 06 II 123
- Stromlinien, Algier. alte Stromsysteme, Einfluß v. Spalten und Verwerfungen, Yellowstone Park 06 II 188

- Stromtäler, alte
 — Niederrhein 1905 I 482
 — Vorpommern und Li-
 torina-Senkung 06 II 434
 Strona, Geologie der Zone
 Stronagneis, Piemont,
 Malchit und Vintlit 08 II 215
 Strontianit, Albot Leigh
 bei Bristol, im Trias-
 mergel 09 II 230
 Strontium-Aluminium-
 Sulfatophosphate, Bra-
 silien, Diamantsand 08 I 33
 Strontiumchromat, künst-
 liche Kristalle 06 I 30
 Strontium und Baryum,
 Verbreitung in der
 Erdkruste 07 II 400
 Strophalosia productoides,
 Devon, Ostthüringen BB XXIV 287
 Stropheodonta Arcei,
 Katzeri und perplana,
 Devon, Bolivia BB XXV 538
 — argentina, Devon, Ja-
 chal, Argentinien 06 I 303
 — interstitialis, Devon,
 Ostthüringen BB XXIV 281
 Strophomena interstria-
 lis, Devon Ostthü-
 ringen BB XXIV 281
 — (?) mediocostalis, Un-
 tersilur, Haverford-
 west District 06 II 140
 — minor, Devon, Ost-
 thüringen BB XXIV 283
 — — Mitteldevon, Rei-
 chenbach, sächsisches
 Vogtland BB XXV 261
 — cf. rariuscula, Devon,
 Ostthüringen BB XXIV 281
 Strudel und Wirbel in
 fließendem Wasser,
 geologische Wichtig-
 keit 07 I 382
 Strudelbewegung des
 Wassers u. Talvertief-
 ung durch Strudel-
 löcher 05 I 409
 Strudelkessel, Kandern,
 im Renggeri-Ton 07 I 223
 Strudellöcher (Stein-
 töpfe), Riesengebirge,
 Entstehung 05 II 294
 Strüverit, Craveggia, Pie-
 mont 1908 II 14
 CBI 1907 411 CBI 1908 176
 Strukturarten, siehe
 Hauptstrukturarten . 1907 I 182
 Strukturbilder von Ge-
 steinen, mikroskopi-
 sche Wandtafeln CBI 1906 747
 Strukturen, kristallinische
 Schiefer 05 I 67
 Strukturlinien, atlant.
 Küstenregion, Nord-
 amerika 07 I 378
 Strukturtheorie zur Er-
 klärung anomaler
 Aetzfiguren CBI 1907 111
 Struvit, Löslichkeit von
 Zwillingen etc. BB XXIII 289, 332
 Stubensandstein, Würt-
 temberg, verwendet z.
 Kölner Dom, Verwit-
 terung 07 II 42
 Stübelmuseum für Län-
 derkunde, Leipzig
 — Einrichtung CBI 1905 281
 — Führer CBI 1905 280
 STÜBEL'sche Vulkantheorie 05 I 223
 STÜBEL's Vulkantheorie
 und die Vulkane von
 Colombia CBI 1906 429
 Stürtzaster 07 II 157
 Sturia Mohamedi u. San-
 sovin, alpin. Muschel-
 kalk, Epidauros CBI 1906 273
 Sturmflut, Sylvester 1904,
 Einfluß auf mecklen-
 burgische Küste 06 II 196
 Sturtzura leptosomoides,
 Silur, Flemmington,
 Victoria (Austr.) 08 I 446
 Stutchburia farleyensis
 und obliqua, Permo-
 carbon, N.-S.-Wales 07 I 484
 Stuver series, Endicott-
 Kette, nördl. Alaska 06 I 92
 Stylartus longispina,
 Kreide, Euganeen 06 I 474
 Stylemys capax und con-
 specta, Nordamerika 09 I 452
 Styliola laevis, Devon,
 Ostthüringen BB XXIV 300
 Styliolinenschichten, Mit-
 teldevon, Ostthüringen BB XXIV 267
 Stylocapsa hexagonata,
 Miocän, Italien 09 II 490
 Stylocoenia epithecata,
 Eocän, Bosnien 09 I 292
 Stylodichtya Ciccionii,
 Miocän, Italien 09 II 490

Styrolithen, Entstehung	1906	II	201	Succinylhydroxylamin, Kristalle	1907	I	101
Stylophyllopsis sp., Mittelias, Corfu und Epirus	BB XXI		297	Suchumia gracilis und multicostata (= Galisia Weberi), neogene Eisenerze, Suchum-Distrikt, NW.-Kaukasus			
Stylosmilia flexuosa, Jura, Frankreich	07	I	487	Sudan			
— Fromenteli, Jura, Frankreich	07	I	487	— franz., Geologie	07	II	265
Stylosphaera Haeckeliana, Miocän, Italien	09	II	490	— Goldlagerstätten des östlichen (Khakhdian)	06	I	9
Stylotrachus euganeus u. longispina, Kreide, Euganeen	06	I	474	Sudbury, Canada, nickel-führende Sulfidlager	09	II	387
— helios, Scaglia, Euganeen	06	I	475	Sudbury-Distrikt, Nickel- und Kobalterze	06	II	181
Styracoceras Balduri, Kreide	07	II	152	Succinea primaeva, Pliocän, Cueva Rubbia, Spanien	07	II	20
Styracoteuthis orientalis, Eocän, Oman, Arabien	07	I	324	Südafrika			
Styrites castronovens, disciformis, Haugi, Pompeckji, Richthofeni, siculus u. tropitoides, obere Trias, Sizilien	05	I	344	— Diamanten 1905 II 177. 345	08	I	70
Subaquatische Rutschungen, rezente u. fossile	08	II	136	— Diamantgruben	CBI 1904		153
Sublacunische Gruppe beim Eisen	05	I	141	— Diamantlagerstätten	1909	II	236 ff.
Sublepidophloios, Carbon, Baden	08	I	460	— durchschnittliche Zusammensetzung der Eruptivgesteine	06	I	46
— hagenbachensis und lepidodendroides, Carbon, Offenburg	08	I	459	— Dwyka - Konglomerat und Steinkohlen	07	II	122
Sublimation von Metallen in Quarzgefäßen	05	I	17	— Reptilien	07	I	140 ff.
Sublimieren einiger Sulfide	09	II	182	— keine marine Trias	CBI 1909		I
Submarine Rutschungen, Schweiz	08	II	147	Südbaltische Sedimente, genet. Zusammenhang mit dem skandinavischen Schild	CBI 1905		97
Subpulchellia castellanensis, Kreide	07	II	150	Süd-Dakota, Hydrographie	05	I	229
Subsigillaria Brardi forma Steinmanni, Carbon, Hinterohlsbach bei Gengenbach	08	I	458	Südharztypus der Salz- lager im deutschen Zechstein	09	II	307
Substanzen mit mehreren festen und flüssigen Phasen	09	I	1. 2	Süd-Orkneys, Geologie	09	II	101
Subtissotia Peroni, Kreide Succinit	07	II	148	Südpolarländer, Geologie	CBI 1906		173
— Beziehung zu Rumänit	08	II	326	Südpolexpedition, deutsche, Geologie	09	I	202
— siehe Bernstein, Sime- tit etc.				Südsee-Inseln, deutsche, Petrographie und Geologie	05	II	71
				Süd-Shetland-Inseln, Geologie	09	II	101
				Süd-Ussuri-Gebiet, Geologie	BB XXVII		509
				Südwestafrika, Deutsch-, siehe Deutsch-Südwestafrika.			
				Süßwasserbildungen, tertiäre, Languedoc	05	I	305

- Süßwasserdecapoden,
geogr. Verbreitung . 1905 II 318
- Suffionen, borsäurehaltige,
Toskana, Radioaktivität 05 II 344
- Suffolk-Küste, Erosion 06 I 46
- Sugana-Tal, Geologie 06 II 244
- Suidae, Bartonien, Castrais 05 II 303
- Sula-Inseln, Südküste, Grenzschr. zw. Jura u. Kreide 05 I 151
- Sulcoactaeon Cossmanni u. lugdunensis, Zone d. Lioc. concavum, Couzon-au-Mont-d'Or bei Lyon 05 I 464
- viadrinus, oberer Jura, Pommern 06 II 102
- Sulfate
- dimorphe, von Li, Na, K und Ag, Bildung und Umwandlung von Mischkristallen und Doppelsalzen BB XXIV 1
- und Selenate, Alkalien, top. Achsen und Parameter 07 I 5
- — Ammonium-Magnesium, resp. -Zink, krist., phys. etc. 07 I 13
- Sulfatgele CBI 1909 328
- Sulfide
- Schmelzen und Sublimieren 09 II 182
- der schweren Metalle, Löslichkeit in reinem Wasser . . 1908 II 10 09 I 7
- von Schwermetallen, Verhalten in wässriger Lösung 08 I 168
- Sumatra
- Ergußgesteine der Batakländer BB XXVII 401
- Geologie des Bataklandes und des Tobasees CBI 1906 43
- — des südlichen 05 II 417
- Gesteine verschiedener Vulkane 06 I 218
- Kreide und Carbon 07 II 449
- — — in SW.-Djambi CBI 1907 484
- mesozoisches Land u. Meer 07 I 108
- Ober-Carbon 07 I 327
- Sumatra
- Obercarbon, Foraminiferen, Korallen und Hydrokorallen 1907 I 487
- Vulkane des nördlichen 06 II 49
- Sumatrana BB XXVII 506
- Annae, Carbon, Sumatra 1907 I 327. 487
- Sumperze
- Bildung durch Humusstoffe 09 I 77
- Verhältnis von Fe und Mn 09 I 80
- Superlakunistische Gruppe beim Eisen 05 I 141
- Suprapatagonische Stufe, Kreide, Patagonien BB XXI 155
- Surinam, Laterit- und Schutzrindenbildung 05 II 69
- Sus, Zahnformel 07 II 134
- siehe auch Schweine.
- Susa-Tal, Gabbro in Prasinitit umgewandelt, Rocca Bianca 06 II 105
- Sustenhörner, Intrusivgesteine im Schiefer 06 II 62
- Suturen von Ammoniten, photographische Reproduktion CBI 1907 422
- Svappavara, Lappland, Eisenerzlagerstätte BB XXIV 646
- Swearinger slates, obere Trias, Kalifornien 06 II 99
- Swirtypus des Diabases, Olonez-Gouv. 09 I 218
- Sycidium Volborthi, Devon, Rußland 08 I 450
- Sycum Tournoueri, blaue Mergel von Côte des Basques bei Biarritz 06 II 439
- Syenit
- Ursprung des Sodaliths CBI 1905 86
- Ampasindava (Madagaskar), Alkali- 05 I 436
- Angola, Biotit- 05 II 76
- Belknap Mountains, New Hampshire, Hornblende- 08 I 379
- Biella, Piemont, Mineralien in Drusen 06 II 33
- Cnoc-na-Sroine, Nord-Schottland, quarzhaltig etc. BB XXII 416. 445
- Colorado, Two Buttes, lamprophyrischer 08 II 371

- Syenit
- Großpriesen, Böhm. Mittelgebirge, Sodolith- 1905 I 272
 - Highwood Mountains, Montana (Leucit-, Nosean-, Sodolith-Syenit, Syenitporphyr) 06 II 373
 - Lappland, Eisenerzlagerstätten BB XXIV 548
 - Magnetberg, südlicher Ural 06 I 381
 - Maine, Penobscot-Bai, Albit-Pyroxen- 08 II 373
 - Monzoni u. Predazzo, chem. Zusammensetzg. 06 I 64
 - Okanagan-Batholith, Cascade Mountain, Kalifornien 09 I 69
 - Palle Rabbiose, Fassatal, quarzföhrnd CBI 1905 52
 - Piz Giuf, östl. Aarmassiv, Kali-, und Gefolgschaft 06 I 371
 - Plauen'scher Grund, Analyse 08 II 189
 - Tagil, Ural 07 I 71
 - Tasmanien, quarzfreier Augit- 08 I 388
 - Tien-schan u. Ala-tau 05 II 69
 - Wausau, Wisconsin, Analyse versch. Arten 06 II 220
 - Wisconsin, nördliches Syenitlamprophyr, Colorado, Two Buttes 08 II 371
- Syenitporphyr
- Red Hill, Moultonboro, N. H., bostonitischer 09 II 389
 - Rödö, Schweden, Di-luvialgeschiebe, Westfalen CBI 1907 148
- Sylt
- Miocänprofil vom Mor-sumkliff . 1906 I 429 CBI 1905 577
 - Quartär CBI 1906 631 BB XXI 196
 - Tertiär u. Quartär BB XXII 139
 - Tuuls, Entstehung 05 I 15
- Sylvanit, siehe Schriftez.
- Sylvin
- blauer, Pleochroismus durch orientierten Druck CBI 1907 166
 - Gyroedrie CBI 1906 259
 - Staßfurt, Zwillingsbildung BB XXIII 310
- Sylvin
- Vesuv 1909 II 332
 - — von 1906 1908 I 208. 326
 - Symballophlebia latipennis, Carbon, Belgien 05 I 523
 - Symmetrie durch Spiegelung, Darstellung an Kristallen 09 II 159
 - Symme rieklassen, abkürzende Symbole 09 I 155
 - Symmorium reniforme, Skelett, vergl. mit Chlamydoselachus anguinus 05 II 313
 - Sympterura Minveri, Devon, Epplaven (Cornwall) 08 I 135
 - — — St. Minver, Nord-Cornwall 06 I 301
 - Synapis Henshawi, Oligocän, Rott 08 II 112
 - Syndyceras Cooki 07 II 485
 - Syngenetische Erzlagerstätten 05 II 199
- Syngenit
- Auftreten in ozean. Steinsalzlagern bei 25° 05 I 192
 - Ammonium, künstlich- 08 I 37
 - bei 83° 08 II 159
 - Brechungskoeffizienten 08 II 143
- Syngnathus Cosmovicii, olig. Fischfauna, Berg Cosla bei Piatra-Neamtz 06 I 153
- Syngonieellipsoid ist Trägheitsellipsoid der kristallisierten Substanzen 07 I 1
- Syngonieellipsoidgesetze, Folgerungen 07 I 1
- Syngonielehre 07 II 349
- Synkinetische Linien und Streifen bei Erdbeben 06 I 364
- Synthese, siehe Darstellung, künstliche.
- Syphnos, siehe Kykladen.
- Syra, siehe Kykladen.
- Syrien
- Glandarienkalk, Brachiopoden u. Mollusken 06 I 278
 - u. Palästina, Feuersteinartefakte des Steinzeitalters 07 I 291
- Syringium Vinassai, Miocän, Italien 09 II 490

- Syringoceras carolinum
u. Renzi, Trinodosus-
Kalke, Epidauros (Ar-
golis) Festband 7
- SyringodendronTscherny-
schewi, Carbon, Do-
netz 1905 I 538
- Syrnola africana, ?Eocän,
Kamerun 06 II 123
- asthenopyxis und
Houdasi, Eocän, Paris
— biarritzensis (Loxo-
ptyxis), blaue Mergel
von Côte des Basques,
Biarritz 07 II 303
- siehe auch Klassifika-
tion.
- System K₂SO₄-KF,
thermische Analyse . CBI 1909 728
- Systematik
- Eruptivgesteine, che-
misch 05 I 412
- der Intrusivformen 07 I 51
- siehe auch Klassifika-
tion.
- Systematische Spezies-
bestimmung BB XXII 639
- Syväjärvi, Lappland,
Eisenerzlagerstätte . BB XXIV 608
- Szászváros, Ungarn, Geo-
logie 07 I 274
- T.**
- Tabaschir, Doppelbrechg. 07 I 19
- Tabellen
- zur Bestimmung der
Mineralien, v. WEIS-
BACH CBI 1906 480 CBI 1907 154
- zur Gesteinskunde von
G. LINCK CBI 1905 59
- Table Mountain Range,
Nordamerika, Geologie 06 II 96
- Tabulaten, Mesozoicum,
Sardinien 06 I 61
- Tachhydrit
- Existenzbedingungen
bei 83° und Entstehen 08 II 159
- Existenzgrenze in
ozean. Salzlagern 06 I 163
- Tachylit, Roßberg bei
Darmstadt 06 I 369
- Taconic Range, Geologie
des Nordendes 05 II 413
- Taeda dolichophylla, Kü-
nowii und Schieffer-
deckeri, Bernstein,
Ostpreußen 09 I 308
- Taeniaster (?) Fournieri,
Kohlenkalk, Dinant,
Belgien 1905 II 148
- Taeniopteris hildesienensis,
Jura, Hildesheim 09 I 462
- Leclerei, Carbon, südl.
China 08 I 311
- Nilsonioides und vir-
gulata, Carbon, Ton-
kin 08 I 310
- oregonensis 07 II 503
- yorkensis 07 II 500
- Taenit als Fülleisen in
Meteoriten 05 I 149
- Tafelbergsandstein mit
glazialen Konglome-
rat, Packhuis-Paß bei
Clanwilliam 06 I 274
- Tafeljura, vulkanische Er-
scheinungen 07 I 375
- Tagassu, Miocän, Süd-
Dakota 05 II 130
- Tagil, Ural, Gesteine 07 I 71
- Tahiti, Mineralien 06 I 71
- Täler
- Gletscher- u. Fluß 09 I 201
- Vertiefung durch Bil-
dung von Strudel-
löchern 05 I 409
- Talbildung durch Glet-
schererosion CBI 1906 380
- Talcosit CBI 1909 332
- Taliabu, Indo-Austr. Ar-
chipel, Geologie BB XXII 385
- Jura 07 II 447
- Taligrada
- Kreide, Patagonien 05 I 168
- Zahnsystem 05 II 462
- Talk
- Ceylon 1906 I 178. 181
- Lessachtal im Lungau
(Salzburg) CBI 1908 282
- Nordamerika, Pro-
duktion 1903 05 II 22
- Scherz bei Halle
a. Saale 05 I 380
- Ural, Kossoi-Brod 09 II 345
- Talpa minuta, Obermio-
cän, Oppeln 08 II 425
- Talscher- und Gondwana-
Schichten, Indien Festband 482
- Taman u. Kertsch, Mine-
ralien der Erzschiech-
ten 05 II 199
- Tamarugit, Miseno,
Schwefelgrotte 08 II 332

- Tamboeria Maraisi, pneumatisierter Wirbel, untere Karurformation, Kapkolonie 1906 I 310
- Tancredia incurva, Eisen- erzformation, Loth- ringen u. Luxemburg — transversa, Jura, Black Hills 06 I 305
08 I 264
- Tantalate, Südnorwegen, Granitpegmatitgänge 08 I 336
- Tanystrophaeus, unterer Muschelkalk 09 I 287
- antiquus und post- humus, ob. Muschel- kalk u. Stubensand- stein 09 I 288
- Tapes flagellifera u. tran- serta, Hypersenon. Peterwardeiner Gebir- ge 06 II 268
- secundus, Miocän, No- votcheskalk 07 I 114
- Tapirus cristellatus, Kno- chenhöhle von Lagoa Santa, Minas Geraes, Brasilien 07 II 134
- pandanicus, Kendeng- Schichten, Java 09 I 119
- Taramelliceras = Taramel- lia 06 I 316
- gracilis, Malm, Brünn — Szajnochai, ob. Ox- ford, Checiny, Polen 08 II 90
- Taramellit, Candoglia, im Calciphyr CBI 1908 506
- Tarantaise, Geologie 09 II 87
- Tarbuttit, Rhodesia, Bro- ken Hill-Grube 09 II 34
CBI 1907 602 CBI 1908 51
- Tardeceras parvum, Sub- bullatus-Schichten, Kalifornien 06 II 300
- Tarnócz, Kom. Nógrád. tertiäre Haifischzähne 05 II 479
- Tarsius, amerik. Eocän 05 I 329
- Tartrate, Alkali-, Isomor- phismus 08 I 318
- Tasmanien
- craquelierte Archäo- lithen 09 I 73
- Eruptionsachsen 07 II 79
- foyaitisch-thermalitische Gesteine 08 I 388
- Geologie der West- küste 07 II 270
- Tasmanien
- Glazialschichten von Wynyard 1909 II 163
- Jungtertiär und Dilu- vium, Gliederung CBI 1909 4
- Tatra
- Tektonik 05 I 448
- siehe auch Karpathen.
- Tatragebirge, Geologie 05 II 91
1906 II 401 1909 I 418. 419
- Taubach bei Weimar, pa- läolithische Funde 1909 I 285 CBI 1908 197
- Tauern, hohe, Geologie 1907 I 267 1907 II 433. 437
- Tauerngraben 06 II 238
- Taunus
- Basaltmaare 07 I 228
- Wasserstollen 06 I 404
- Taunusgesteine, fossil- freie 09 II 219
- Tawmawit, Birma, Ja- deitlagerstätte 09 I 187
- Taxites? subzamioides, Rhät, Bornholm 08 I 452
- Taxodioxyton Credneri, westl. Verein. Staaten 09 I 149
- Taxodii, Braunkohle, Senftenberg 08 I 450
- Taxus baccata, Miocän, Cantal 09 I 466
- Teallit
- Bolivia, Beziehung zu Franckheit und Kylind- rit 06 I 14
- Bolivia, Santa Rosa CBI 1905 287
- Technische Hochschulen, Unterricht in Mine- ralogie und Geologie 06 II 147
- Tectospira gracilis, Mu- schelkalk, Himalaya 08 II 241
- Tectus Michaleti, Conia- cien, Frankreich 06 I 319
- sougraignensis, San- tonien, Frankreich 06 I 319
- Tegoceras, Kreide 07 II 148
- Tegulifera (?) uralica, Obercarbon, Ural und Timan 05 I 534
- Tehuelche-Formation, Pa- tagonien 1905 I 142
BB XXI 180
- Teichosperma spadiciflo- rum, Unteroligocän, Fayum 09 I 308
- Teign-Tal, Entstehung 05 II 378

- Tekosphäre 1906 II 199
- Tektit
- Igast bei Walk, Livland, gefall. 17. Mai 1855 05 I 399
- Kuttenberg, angeblicher CBI 1909 452. 465
- Schonen CBI 1909 462
- von beobachtetem Fall 05 I 399
- siehe auch Moldavit, Billitonit, Meteorstein etc.
- Tektonik
- Fortschritte seit SUSS 06 II 42
- Erzgebirge, präcreta-ceische Schichtenver-schiebungen im Meso-zoicum 06 II 86
- Mexiko, Beziehung zu jungen Intrusionen . CBI 1907 449
- Westfalen, Dislokatio-nen etc. im jüngsten Jura und in der Kreide 06 II 86
- siehe auch Alpen, Ta-tragebirge etc.
- Teleoceras brachypus, süddeutsche Bohnerze, Jungnau 08 I 128
- Teleostier, lithogr. Kalk, Nusplingen 09 I 452
- Telerpeton elginense, Verwandtschaftsbezie-hungen 07 I 139
- Tellimya antiqua, Paläo-cän, Rugaard, Kattegat 08 II 103
- Tellina coislinensis und exceptiuncula, Eocän, Loire inférieure 07 II 302
- Murchisonae, ovata, Pavlowi und sarato-vensis, Paläocen, Sara-tow 05 II 121
- ovalis, Kreide, Schaum-burg-Lippe'sche Mulde 06 I 441
- cf. refanensis u. scitu-lina, Senon, Mittel-Peru BB XXIV 114
- cf. strigata, Kreide, Bregener Wald BB XXV II 20
- Tellurwismut
- Friedeberg (Oesterr. Schlesien) 07 II 34
- Riddarhyttan, ist Wis-mutglanz 07 II 356
- Telphusograpsus laevis, Eocän, Pest 1905 II 318
- Temesvar, Geologie 05 II 99
- Temnocheilus conchiferus und depressus, Perm, Texas CBI 1908 687. 688
- Temnoocyon, Miocän, Süd-Dakota 05 II 128
- Temnotrionyx mandu-cans, Nordamerika 09 I 452
- Temperatur
- bis 1400 m Tiefe, Bas-sin der Straße von Ca-lais 09 I 44
- des Erdinneren 07 II 399
- im kohleführenden Ge-birge 05 II 205
- Temperaturgradienten d. Erde bei Annahme radioaktiver u. che-mischer Prozesse 07 II 399
- Temperaturschwankungen schwedischer Seen, jährliche 06 II 49
- Temperaturverhältnisse des Bohrlochs von Paruschowitz V 05 II 203
- Tennantit
- Binnental, Zn-haltig . CBI 1907 411
- siehe auch Fahlerz.
- Tennessee, Phosphate 05 I 260
- Tentaculites bellulus und Stübeli, Devon, Bolivia BB XXV 559
- elegans, Geinitzianus und infundibulum, De- von, Ostthüringen BB XXIV 300
- Tentakulitenkalk, Devon, Ostthüringen BB XXIV 249
- Tenthredo avia, infossa u. misera, Miocän, Flo-rissant, Colorado 08 II 112
- submersa, Miocän, Flo-rissant, Colorado 08 II 111
- Teonoma spelaea, Kali-fornien, Kohlendilu-vium 07 I 299
- Tephrit
- Argentinien BB XXII 614
- Böhmen, zw. Böhm.-Kamnitz u. Kreibitz 06 II 359
- — Tepler Hochland 06 II 355
- Tepler Hochland
- basaltische Erguß-gesteine 06 II 355
- trachyt. und andesit. Ergußgesteine 06 II 353

Teratosaurus minor und trossingensis, Stuben- sandstein, Keuper	1909	I	287	Terlinguait, Terlingua. Texas	1909	I	173
Terebella ? Delheid, Ru- pélien, Boom	08	I	134	Terminologie, mineralo- gische	CBI 1909		661
Terebratula acutiplicata, aurata, breviplicata. dhosaënsis, beurypty- cha, hypsogonia, in- gluviosa, jooaënsis, jumarensis, katome- topa, longicarinata, planiconvexa, propin- qua u. pyroidea. Jura, Kutsch	05	I	181	Ternate (Celebes), Geologie	09	I	246
— asiatica, beirutiana, curtirostris, longisi- nuata, phoenicia u. sannina, Glandarien- kalk, Syrien	06	I	279	Terra rossa — Entstehung	05	I	244
— cernagorensis, Dogger, Montenegro	07	I	433	— Krain, Analyse	08	I	378
— doultingensis u. len- thayensis. Fuller's Earth, England	08	II	87	Terra de Siena, Monte Amiata	06	I	235
— euganeensis u. triang- ulus, Tithon, Trient, vergl. mit Dielasma Latouchei, Perm, Him- malaya	CBI 1909		229	Terrapene longinsulae, Nordamerika	09	I	450
— Margaritowi, Trias, Tobisinschichten, Süd- Ussuri-Gebiet	BB XXVII		535	Terrassen — Apolda	09	I	279
— Moutoniana, Neocom, Sardinien	BB XXIII		469	— Kapkolonie, Küsten- — Lapptal, an morä- nenbedeckten Ab- hängen, Entstehung	07	I	88
— Ribeiroi, Sinémurien, Portugal	06	I	320	— Lübecker Mulde	CBI 1907		97
— subsella, Jura, Harro Rufa, Gallaland, For- menreihe	BB XXII		671	— Maastal	08	II	409
— synophrys var. poly- ptycha, Lias, Tranze — undosa, oberer Jura, Pommern	08	I	424	— Neckar-Museltal, dilu- viale	CBI 1907		461
— Zieteni var. quadrata, Malm, Brünn	08	I	422	— Neuwieder Becken, rechtsrheinisch	09	I	240
Terebratuloidea inflata, Obercarbon, Ural und Timan	05	I	533	— nördl. Frankreich	08	I	270
Teredo Pissaroi, Eocän. Loire inférieure	07	II	302	— Rhein- und Ruhrfer, Holland	08	II	100
— rugaardensis, Paläo- cän, Rugaard, Katteg- gat	08	II	103	— Saale, oberste	CBI 1907		214
Teriodontia, Systematik .	07	I	479	— Schwarzwaldtäler, glaziale	BB XXI		397
				— Småland, Seen	05	I	312
				— Thermopolis, Wyo- ming, Sinter-, der heißen Quellen	08	II	349
				— Westfield, River, Mass., stufenförmige, Ent- stehung	05	I	410
				— siehe Flußterrassen u. Strandterrassen. — und Seebecken, östl. Norddeutschland, Be- ziehungen zu glaz. Hydrographie	05	I	481
				— u. Uferlinien, Michi- gansee, relat. Alter	08	II	346
				Tertiär Allgemeines. — älteres, Cerithien etc. CBI 1909			203
				— Braunkohlen, Beziehg. zu Kaolinlagern	09	II	91
				— Bryozoen, obere und untere Verbreitungs- grenze	1905	II	141. 143
				— Cetaceen, Hüftbein- fragmente	09	II	114

Tertiär

- Conoclypeidi und Cas-
sidulidi conoclypei-
formi 1909 II 484
- Einteilung des Eocän 07 II 450
- Grenze zwischen Mio-
cän und Pliocän 07 II 1
- Nummuliten 1909 II 485 ff.
- Nummulitenskala, neue 05 II 156
- Nummulites laevigatus,
stratigr. Bedeutg. 08 II 91
- Orbitolinen, Einteilg.
05 II 157
- siehe auch Nummu-
liten, Orbitoiden,
Braunkohlen etc.
- siehe auch Nummu-
liten, Orbitoiden,
Braunkohlen etc.
- Micraster
tercensis 07 II 452
- Tiefennatur der Sedi-
mente BB XXV 382

Afrika.

- Aegypten, Arsinoithe-
rium, Bedeutung für
Geschichte der Säuge-
tiere 09 I 438
- — eocäne Säugetiere
1906 I 446 09 I 440
- — — Turritelliden 06 II 453
- — — nummulitische Den-
taliden, Fissurelliden,
Capuliden und Hippo-
niciden des Paläogen 05 II 322
- — — Zeuglodonten 05 I 492
- — — Fayum, Eocän 09 I 308
- — — Säugetiere des
Eocän 05 I 156
- — — — des Oligocän 08 I 427
- — — — Wirbeltiere 07 II 307
- — — Gebel Ahmar-Sand
und versteinertes Wald 07 I 393
- — — zwischen Kairo u.
Suez 09 I 100
- — — Sinai, östl., Miocän 07 I 424
- — — Suez-Kanal, mioc.
Fischzähne 05 II 138
- — — Uadi Natrân 06 II 422
- — — u. Faregh,
Wirbeltiere 07 I 296
- Algerien, Beziehung d.
Süßwassergastropoden
zu denen von Cueva
Rubbia, Spanien 07 II 25
- — — miocäne Spongien-
fauna CBI 1907 317
- — — und Tunis, Fische
der Phosphate 05 II 479

Tertiär

- Dahome, Eocän 1906 II 117, 430
- Kamerun, ?Eocän 1906 II 122
- Madagaskar, Eocän,
der Westküste 07 II 128
- — nördl., und Ind.
Ozean 07 I 429
- — — Nummuliten 08 I 141
- — — Oligocän 06 I 101
- — — oligocäne u. mio-
cäne Foraminiferen 09 II 487
- Senegal, Lutétien 05 II 289
- — — Nummulitenschich-
ten von St. Louis 05 II 288
- Somaliland, Fossilien 07 II 303
- Tunesien, eoc. Bryo-
zoen des südlichen 05 II 142
- Zentralafrika, Eocän 07 II 265

Amerika.

- eocäne Primaten des
Peabody-Museums 05 I 324
- Rhinocerotiden des
unteren Miocän 08 II 431
- westliches 08 I 260

Nordamerika.

- Kamele des Oligocän 07 I 301
- Nagetiere und Ungu-
lata der John Day
Series 07 I 303
- Pferde 05 II 468
- Rhinocerotiden-Arten,
Miocän 06 II 133
- Säugetiere 07 I 454
- Alabama, Beckengürtel
von Alabamornis gi-
gantea, Eocän CBI 1906 450
- Alaska, nördliches 06 I 93
- — pazifische Küste 09 I 396
- Colorado, Florissant,
Hymenoptera 07 I 321
- — — etc., Insekten 08 II 110
- — — Moose 09 II 154
- Kalifornien, Forami-
niferen der Monterey
Shales 08 II 283
- — und Oregon, Klamath
Mountains 05 II 411
- Maryland, Forami-
niferen, Miocän 07 II 158
- — Radiolarien 07 II 161
- Montana, südzentrales 06 II 423
- Nebraska, Pferde 08 II 429
- — Säuger des Miocän
1907 II 485, 486

Tertiär

- Nebraska u. Wyoming, Nager (Steneofiber) u. Daemonelex 1907 I 460
- Neu-Mexiko, Los Cerillos 08 I 436
- Oregon, Säuger des Miocän 07 II 485
- Rocky Mountains, Braunkohlen 08 II 221
- Süd-Dakota, Säugtiere des Miocän 1905 II 127 08 I 129
- — — des Oligocän 07 I 299
- Texas, Süßwasserbildungen des nordwestlichen 05 II 438
- u. Louisiana, Erdölgebiet der Gulf Coastal Plain 06 II 385
- westliche Vereinigte Staaten, Hölzer 09 I 149
- Wyoming, Leucite Hills 06 I 225
- — Montana und Canada, verglichen 05 II 429
- Wyoming-Nebraska 06 I 267

Mittel- und Südamerika.

- Argentinien CBI 1908 185
- — Säugtiere 05 I 132
- — Vorkordilleren 05 II 270
- — Wirbeltiere 06 II 124
- Panamakanal 09 II 393
- Patagonien 1905 I 138. 307 1907 II 108. 142
- — marines BB XXI 98. 147
- — Brachiopoden 09 II 321
- — Bryozoen 05 II 141
- — Glires 07 II 321
- — Glyptodontia und Gravigrada der Santa Cruz-Schichten 06 I 453
- — Marsupialier der Santa Cruz-Schichten 07 I 307
- — Säugtiere, Dentition 06 I 450
- — — des unteren 05 I 497
- — Säuge-, bes. Huftiere 05 II 454
- — Säugtierfaunen 07 II 272
- Trinidad, Foraminiferen, Naparima 05 II 489

Antarktikum.

- Grahaminsel etc. 09 II 103
- Kerguelen 07 II 128

Tertiär

Asien.

- Beludschistan, Sind, Jakhmari-Kette CBI 1905 164
- — — Lakkikette, Nordende bei Station Bagatora CBI 1905 161
- — — Ormara-Kap, Mekran-Küste, Kalkknollen 1906 I 117
- — — Saltrange u. Sind CBI 1905 171
- — — Sind CBI 1905 129. 161
- Birma, Otolithen im Miocän 09 I 142
- Bithynische Halbinsel CBI 1909 657

Asien und Australien.

- Borneo, Nummuliten 07 I 161
- — — und Orbitoiden 1908 II 288 09 II 489
- Celebes, eocäne Foraminiferen 08 II 285
- Gobi-(Hanhai-)Formation 06 I 97
- Indien, Orthophragmina u. Lepidocyclus in den Nummulitenschichten 09 I 141
- — Vorkommen der Nummuliten 08 II 291
- Indien, Niederländ. 1907 II 498 09 I 243
- — — pliocäne Korallen 09 II 141
- Indisch-austral. Archipel, Mangoli und Taliabu BB XXII 390
- Java, Liegendes der Kendeng-Schichten mit Pithecanthropus erectus BB XXV 648
- — Sondé und Trinil, Mollusken etc. 1909 I 112 ff.
- — Uebersicht der Gastropoden 07 II 151
- Luzon, Binanganon 09 II 150
- Molukken, Insel Grand-Kei, Lepidocyclus 09 II 145
- Persien 06 I 443
- Sumatra, Petroleum im südlichen 05 II 418

Australien.

- Gingin, Foraminiferen 09 I 299
- Neukaledonien 08 I 140
- — — Eocän 07 I 114

Tertiär			Tertiär		
— Neuseeland, Kohlenfelder	1905	II 277	Belgien.		
— — Oamaru series =			— Belgien 1905 I 467 ff.	1907	I 442
— — Oligocän	05	II 277		07	II 296
— — Otago-Halbinsel	08	I 230	— Alter der Sandsteinblöcke	05	I 467
— — Otago u. Canterbury	06	I 433	— Bedeutung von Landénien u. Thanétien	06	I 116
— — Südinsel, Mt. Cronin	05	II 421	— paläocäne Pflanzen des Trieu de Leval (Hennegau)	09	II 490
— — Wharekuri, Nord-Otago	09	I 104	— Reptilien des Eocän	08	I 443
— Tasmanien, Gliederung des jüngeren	CBI 1909	4	— Schildkröten	05	II 473
— — Wynyard	09	II 163	— unteres	06	II 115
— Victoria, Brown's Creek, Otway coast, Tiefseeforaminiferenfauna	06	I 471	— und Norddeutschland	08	II 92
— — Port Phillip, Foraminiferen	08	I 305	— Antwerpen, Bartonien supérieur	07	II 297
Europa.			— — Zahnwale d. Bolderien	07	I 130
— und Nachbargebiete, Pectiniden des Neogen	06	I 467	— Belgisch-französisches Becken, Nummulitenhorizonte	06	I 114
— Foraminiferen in den versch. Becken des westlichen	07	I 159	— Bonnelles	09	I 275
— — Alpes maritimes, Küste, Phiocän	07	II 451	— Brüssel . . 1905 I 305	08	II 93
— — Alpen, Nummulitenschichten der franz. Süd-	08	I 433	— — Tongrien	05	II 431
— — Nummulitenkalk der südlichen	07	I 441	— — Transgression	06	II 428
— — Nummulitenschichten	09	I 108	— — verschiedenes . . 1906 II 428.	429	
— — Ostalpen	06	II 234	— Campine . . 1905 I 468	09	I 274
— — Westalpen, Granit	07	II 406	— La Courte und Leval-Trahegnies, Sparnacien-Fazies des oberen Landénien	06	I 117
Balkanhalbinsel u. Inseln.			— Leval-Trahegnies	1908	I 269
— Griechenland, Eocän CBI 1906	541		— Limburg	06	I 116
— Rumänien, Cosla-Berg bei Piatra-Neamtz, Rumän. Karpathen, oligocäne Fischfauna	06	I 153	— — Tegelen, pliocänes Rheintal u. Säugetiere	06	I 141
— — Karpathen, Bahna, Foraminiferen des Globigerinenmergels	09	II 140	— Löwen, Obereocän	06	II 430
— — Moldau	06	I 406	— Maas-Gegend mit verkiesselten Oolithen	08	I 268
— — — sarmat. Schichten 1905 I 469	06	I 295	— Mecheln, in Bohrlöchern	07	I 442
— — Samos, Rhinocerotiden	06	II 450	— Moll und Campine	09	I 274
— — Serbien, Foraminiferen der II. Mediterranschichten	09	II 147	— Ronnelles (und Tilff), oligocäner Mensch, Eolithe 1908 I 279.	280	
— — Vernetza am Golf von Xeros, Foraminiferen	05	II 489	— Trieu de Leval	06	I 116
			— Waterloo	09	I 275
			— Wavre-Notre-Dame, in Bohrlöchern	07	I 442
			Dänemark.		
			— Phociden u. Cetaceen	06	I 445
			— baltisches, ältestes Geschiebe	06	I 112
			— Jütland	07	II 452

Tertiär		Tertiär	
— Jütland, Alter der plastischen Tone . . .	CBI 1907 58	— Hessen, Großkarben, Cerithienschichten u. Cyrenenmergel . . .	1909 II 465
— — Oligocän und Mio- cän	CBI 1906 465	— — Lich im Vogelsberg	07 II 291
— Rugaard, Paläocän . . .	1908 II 103	— — Offenbach a. M., Bohrloch im Schlacht- hof	09 I 432
— Island, Crag	07 I 113	— — Rheinnardswald b. Cassel	05 II 286
— — Gletscher im Westen und Norden	08 II 341	— — Schwälmer Land, Basalt	BB XXIII 345
D e u t s c h l a n d .		— — Vilbel, mittelolig. Meeressand	CBI 1905 531
— u. Frankreich, Eden- taten	07 I 463	— Hildesheim	07 II 290
— Allgäu, Kontakt zw. Flysch und Molasse . . .	08 I 409	— Holstein, Oldesioe . . .	08 II 97
— Altmark	07 II 450	— Jena, zw. Bürgel und Kamburg	BB XXI 63
— — Gardelegen 1907 II 450	08 I 434	— Lauenburg	07 II 463
— Anhalt, Braunkohle . . .	09 I 429	— M.-Gladbach	09 I 274
— Balticum, eocäne Tuif- (Asche-)Schichten im westlichen	CBI 1907 680	— Magdeburger Ufer- rand	09 I 430
— Bayern, Faziesent- wicklung der Oligocän- molasse im südlichen	CBI 1906 576	— Mainzer Becken, Ostra- coden	06 II 138
— — Peißenberg, ober- oligocäne Wellenfur- chen	05 II 431	— — — Rupelton, Fo- raminiferen etc. 1909 I 433	09 II 323
— — Tegernsee, Flysch und Erdöl	07 II 127	— — — Säugetiere des Oligocän und Miocän	06 II 131
— Bayrisch-Schwäbische Hochebene, Wirbel- tiere des Obermiocän	06 I 124	— — — GrothortherMühle	06 II 113
— Bremen	07 II 464	— — — Kreuznacher Meeressand	07 I 111
— und Frankreich, Eden- taten	07 I 462	— — — Rheinhessen (Wonsheim), Septa- riention mit Foraminif- eren etc.	CBI 1905 656
— Dithmarschen	CBI 1906 275	— — — u. Niederrhein, Zusammenhang der Braunkohlenformation und des Pliocän . . .	08 I 268
— Elbgegend, mittlere, Septarienton	05 II 287	— Mecklenburg, Braun- kohlenformation . . .	CBI 1908 261
— Elfas, Homburgwald und Vogler	05 II 259	— Mittelrhein	07 II 89
— Elsaß, Oligocän, Strangenberg bei Ruf- ach	BB XXVI 53	— Newwieder Becken, rechtsrheinisch	09 I 239
— — Sundgau, über Weiß-Jura	05 II 409	— Niederrhein, Pliocän undDinotheriumsande	07 II 451
— — Wittelsheim, Kali- salze	09 I 107	— Niederrhein, Bucht, plioc. Quarzschotter .	07 II 292
— Emsgegend, untere . . .	CBI 1907 695	— Niederschlesien, pe- trogr. Entwicklung d. Miocän	06 II 430
— Gotha, nördlich von . .	07 II 458	— Norddeutschland . . .	07 II 453
— Hegau, Tafeljura, Al- ter der vulkanischen Erscheinungen	CBI 1908 613	— — Braunkohle	CBI 1908 152
— Hessen, Cassel	07 II 291	— — untereocäne Tuife	07 II 453
— — Eichelskopf bei Homberg, Flora	09 I 147	— — und Belgien	08 II 92

Tertiär			Tertiär		
—	Schleslesien, Alter	1907 II 126	—	Schleswig-Holstein	1907 II 463
—	— Miocän	07 II 294	—	Schwarzenbeck, Eocän	07 II 293
—	— subsudet. Braunkohlenformation	06 I 112	—	Senftenberg, Pflanzen der Braunkohlenablagerungen	08 I 449
—	— Lorenzdorf bei Kujau, obermioc. Fauna und Alter der subsudet. Braunkohlenformation 1907 I 113. 289	07 II 294	—	Solling, Dislokationen und Transgressionen	09 I 407
—	— Oppeln, Säugetiere des Miocän 1905 II 453	08 II 425	—	Stockach, Molasse	08 I 269
—	Osnabrück, Piesberg-sattel	09 II 252	—	Süddeutschland, Säuge-tiere der Bohnerze	08 I 122
—	Ostpreußen, altes	07 II 463	—	Sylt	BB XXII 139
—	— Borkenkäfer im Bernstein	08 II 112	—	— Morsumkliff, Mio-cän	1906 I 429 CBI 1905 577
—	— Flora des Bernsteins und anderer fossiler Harze	09 I 307	—	Tessenow bei Parchim, Septarienton	06 I 430
—	— Samland, bernsteinführ. „blaue Erde“	05 II 287	—	Teutoburger Wald	CBI 1909 76
—	Ostheim v. d. Rhön, Oberpliocän mit Mastodon arvernensis	07 II 291	—	Uckermark und Vorpommern, Eocän (Londonton)	07 II 293
—	Pfalz, Dürkheim, Braunkohlen	09 I 468	—	Uetersen-Schulau	08 I 100
—	— Neu-Bamberg	07 I 266	—	Weenzen (Braunschweig), junges	07 II 457
—	Pommern	08 I 428	—	Weinheim a. Bergstr., Rheintalspalten	CBI 1906 667. 698
—	— Belgard	07 II 294	—	— Rupelton	09 II 465
—	— Greifswalder Oie, Paleocän	07 II 99	—	Wendisch-Wehningen bei Dömitz	06 I 430
—	Priegnitz, West-	CBI 1907 693	—	Westerwald, Bimssteinsande	05 II 430
—	Randen, Molasse und Grobkalk	09 I 432	—	Westfalen, Dislokationen	08 I 407
—	Rhein u. Niederl.-Limburg, Braunkohlen	07 II 127	—	Wiesbaden, Braunkohle	07 II 86
—	— rheinische Braunkohlenformation, Beziehung zum Mainzer Becken	08 I 268	—	Württemberg, Oberschwaben	05 I 304
—	Rheinisches Schiefergebirge	09 I 240	—	— Schwäb. Alb etc.	CBI 1908 557. 589. 610. 651
—	Rheinland, Alter der Braunkohlen	08 II 406	—	Steinheimer Becken, Ostracoden	06 II 138
—	Ries, altes, Konchylien	07 II 451	—	— Ulm, Land- und Süßwasserschnecken des alten	08 II 103
—	— Fossilien der Bunten Breccie bei Weilheim	08 I 433	E n g l a n d.		
—	Rostock, Paläocän im Untergrund	CBI 1909 678	—	Analyse d. London Clay	08 II 406
—	Sachsen-Meiningen	06 II 412	—	Parallelisierung mit dem Pariser Becken	09 II 466
—	Schlesien, Posener Flammenton	05 II 287	—	unteres, Parallelisierung mit dem Pariser Becken	06 II 115
			—	Bovey-Deposits	1909 II 465. 469
			—	Bracklesham	08 II 91
			—	Devonshire, Bovey-Deposits	09 II 465

Tertiär

— Hampshire, Alter . . .	1907	II	452
— u. Wight, Grenze des Eocän u. Oligocän . . .	08	II	92
— Hebriden, Eruptivgesteine	08	I	222
— Kent, Sussex u. Cantal, Mensch (Eolithe), im Pliocän	06	I	130
— Skye, Eruptivgesteine	06	II	64
— Wight . . . 1905 I 304	05	II	431
— macrure Krebse	05	II	317

Frankreich.

— Frankreich	07	I	441
— Cerithien, Gruppe des <i>C. tricarinarum</i>	06	II	452
— Echiniden der Molasse	07	II	156
— Gliederung	05	II	431
— Pseudoolithen im Untereocän	08	I	283
— stratigraph. Bedeut. von <i>Nummulites laevigatus</i>	09	II	485
— Struktur der Sandsteine	07	II	296
— und Deutschland, Edentaten	07	I	462
— Anjou, Faluns . . . 1909 I 276. 277	1909	I	276. 277
— Aquitanien	08	II	407
— Grenze gegen Kreide	07	I	112
— Entre-deux-mers	05	II	433
— u. Venetien, Lepidocyclinen	09	I	135
— Ariège und Haute-Garonne, unteres Eocän	07	II	452
— Aude, Pycnodonten	05	II	483
— und Hérault, Echiniden des Eocän	07	II	156
— Biarritz	05	II	118
— — Aufeinanderfolge der Nummulitenfaunen	08	II	405
— — Foraminiferen	06	II	311
— — große Nummuliten	07	II	297
— — Adour-Becken, Nummulitenschichten	05	II	288
— — Côte des Basques, Fossilien des blauen Mergels	06	II	439
— — und Gassin, Foraminiferen	07	II	161
— — u. Vicentin, Nummulitenschichten	1907	II	298
— Biot, Alter der Labradorite	06	I	115

Repertorium 1905—1909.

Tertiär

— Bordeaux, zweifelhaftes Arten	1909	II	466
— Bourges, Blatt	05	II	432
— Bresse, Süßwasserablagerung des jungen	07	II	30
— Cantal, Flora	09	I	466
— — Kent und Sussex, Mensch (Eolithe), pliocän	06	I	130
— Carcassonne, mit Lophiodon	09	II	469
— Castrais, Säugetiere d. Bartonien	05	II	302
— Corbières, Eocän	1906	II	429
— Corsica (Pta. del Fornello)	09	I	275
— Cugny (Aisne), Landénien	07	I	290
— Darvault (Seine-et-Marne)	09	I	106
— Egravats bei Mont Dore, mit Diatomeen	05	II	432
— Epernay, Sparnacien	05	II	119
— — und Reims	08	II	91
— Französisch-belgisches Becken, Nummuliten-Horizonte	06	I	114
— Fronsadai, Wirbeltiere in der Molasse von	08	I	267
— Gaas	07	II	297
— Gard, Asphaltkalke	08	II	222
— Garonne-Tal, Pliocän	05	I	312
— Gâtinais, Molasse	09	II	467
— Hérault, miocäne Korallen	07	I	487
— Issy (Seine), Sande der plastischen Tone	06	I	116
— La Grive St. Alban (Isère), Säugetiere des mittleren Miocän	05	II	306
— Languedoc, Süßwasserbildungen	05	I	305
— Limagne, Eruptivgesteine	08	II	93
— Loire inférieure, Eocänmollusken	1906	I	154. 467
— Loire-Becken, Pelecypoden . . . 1905 I 319	1905	I	319
— Marnetal zw. Lagny u. Chalifert (S. et M.)	09	II	468
— — zw. Meaux und Chateau-Thierry, Sables Moyens	09	II	468

35

Tertiär

— Martigues, Rhône-Unterlauf	1906	I	117
— Massiac (Cantal), Alter der Basalte	08	II	406
— Massif Central, vulk. Eruptionen	08	II	93
— Mittelmeer, Eocän, verglichen mit Pariser Becken	05	II	156
— Montricher-en-Maurienne, große Orthophragminen im Eocän	1906	I	115
— Moulins, Wirbeltiere des Mittelmiocän	08	I	267
— Nizza, Pliocän	05	II	289
— Orléanais	09	II	468
— Orléanais-Sande	08	II	407
— Paris, Katalog der Konchylien des Eocän	05	I	484
— — Einteilung des Eocän	07	II	302
— — oberes Eocän	07	II	450
— — Nymphaeaceen	09	II	156
— — u. Loire inférieure	07	II	302
— Pariser Becken, Eocän-konchylien	07	II	302
— — — Fischotolithen des Eocän	08	I	131
— — — Grenze des Eocän und Oligocän	08	II	92
— — — Mutation der Cerithien	09	II	465
— — — Paläocän und Eocän	06	II	115
— — — Parallelisierung mit dem englischen	09	II	466
— — — Sande von Auteuil	06	II	115
— — — Sparnacien	06	II	116
— — — Thanétien, siehe Thanétien.			
— — — Transgression des Ludien	08	II	92
— — — unteres Eocän	06	II	115
— — — verglichen mit Mittelmeergegenden	05	II	118
— — — Yprésien = Cuisse-Sande und London-ton	06	II	115
— Perrier, Hipparion-Fauna	06	I	143
— Provence, Stellung der Lepidocyclinenschichten im Miocän	09	I	297

Tertiär

— Puech d'Alzon bei de Borouls, Oligocän	1906	I	432
— Pyrenäen, Granit von Reynès und Latour	05	I	429
— Quercy, Adapis parisiensis-Gehirn, im Eocän	06	II	100
— Saint-Michel-Monthléry	05	II	119
— Sausset (B.-du-Rhône)	09	I	136
— Savoische Alpen, Pflanzen der Molasse von Bonneville	09	I	467
— Seealpen, Pliocän der Küste	07	II	451
— Seine-Département, Pliocän, mit El. meridionalis	08	I	435
— Seine- u. Loirebecken, Land- und Süßwassermollusken	07	I	441
— Soumailles bei Pardailhan	08	I	266
— Südalpen, Nummulitenschichten	08	I	433
— südöstliches, Nummulitenbildungen	05	I	131
— Thenay, Eolithen im Oligocän	06	II	269
— — und Tasmanien, craquelierte Feuersteine im Oligocän	CBI 1908		748
— Thorigny-Dampnard, (Seine et Marne)	09	II	468
— Touraine, Echiniden der Faluns	09	II	480
— Trélon-Chain (Avesnois), Lutétien	05	II	432
— Vence, pliocäne Ufer	06	I	117
— Vitry, Gips	05	I	304
I t a l i e n.			
— Foraminiferen	07	I	162
— Lepidocyclinen, Alter	08	II	283
— Lepidocyclinenkalk	06	I	473
— Radiolarien d. Miocän	09	II	490
— Textularien des Miocän	05	II	156
— Apennin, Nummuliten, Einteilung	05	II	326
— — zentraler, Nummulitenfauna der Scaglia	06	I	156
— — liguro-piemontes., Nummuliten und Orbitoiden	08	II	286

Tertiär

— Appennino Pavese, Nummuliten und Orthophragminea . . .	1906	I	156
— Apulien, Lepidocyclinenkalke, Alter . . .	08	II	291
— Nummulitenschichten	08	I	448
— Emilia, Gehörknochen von Fischen	06	II	297
— Bologna, Fischotolithen im Pliocän	08	II	277
— Gassino, Foraminiferen	07	II	161
— Oberitalien und Südtirol, oligocäne Textularien	05	II	156
— Otranto, Eocän der Terra d'Otranto . .	06	II	116
— trematophore Miololithen	09	I	140
— Piemont, Foraminiferen des Miocän	06	II	308
— Hirschgeweihe im Pliocän	06	II	132
— Lepidocyclinenfaunen	1907	II	159. 160
— Turin	08	II	288
— (S. Genesio), Foraminiferen	07	I	328
— Varazze (Ligurien), Lepidocyclinen	09	II	148
— Lepidocyclinen im Stampien	09	II	489
— Rom, Aniene-Tal, Nummuliten und Orbitoiden	08	II	287
— Castel Madama u. Vicovaro, Foraminiferen	06	I	473
— Farnesina, Foraminiferen	07	II	161
— Via Consilina, im Bohrloch	07	I	65
— Sardinien, Fibulariden des Mitteleocän von S. Gavino a mare . .	09	II	483
— Fischotolithen im Miocän	08	II	277
— vulkan. Ergüsse	09	II	227
— Sizilien, eocäne Alveolinen	06	I	471
— Foraminiferen CBI	1906		640 ff.
— Lepidocyclinen d. Eocän	1906	II	455. 456
— Aci Castello	05	I	49

Tertiär

— Sizilien, Bonfornello (Palermo), Foraminiferen des miopliocänen Mergels	1906	I	472
— Capo S. Andrea bei Taormina, Nummulitenkalk	07	I	290
— Catania (Provinz), Foraminiferen	05	II	488
— Melilli, Mikroflora und -Fauna des mitteleocänen Dysodils	05	II	152
— Messina (Provinz), pont. Säugetiere . . .	06	I	141
— Palermo, Nummulitenkalk	07	II	496
— Termini-Imerese, Nummulitenschichten	09	I	295
— Nummuliten d. Regione Cacasacco . .	09	II	144
— westliches, Eocän . .	07	II	496
— südliches, Haifische .	05	II	479
— Toscana, Calafuria s.d. Livorno, Mineralien d. Macigno	06	I	168
— Florenz, Nummulitenkalk	09	I	137
— Umbrien, Lepidocyclinen	07	II	498
— Venetien, Mte. Bolca, Fische	05	I	341
— und Frankreich, Lepidocyclinen	09	I	135
— und Trentino, Revision der Echiniden	05	II	149
— Vicentin, Eocän, vergl. mit Biarritz	06	I	431
— Lepidocyclina elephantina	09	II	487
— Colli Berici, Geologie	02	II	159
— Priabona, Foraminiferen	08	I	138
— und Frankreich, Nummulitenschichten	1907	II	298
08	I	434	
Oesterreich-Ungarn.			
— Fischotolithen (Macruriden und Beryciden)	07	I	480
— (Scaeniden)	05	II	138
— Böhmen, Basalte und Trachyte von Melnik und Mšeno	07	I	61
— Bittersalzmergel	06	II	191

Tertiär			Tertiär		
— Böhmen, Gutwasser im Budweiser Becken	1906 II	113	— Galizien, Przecislaw, obermiocäne Fauna	1907 II	295
— — Ossegg, Sandstein der Salesiushöhe . . .	05 II	438	— — Rzeszow, Miocän . . .	05 II	436
— — Teplitz, Flußspat- gänge	08 II	293	— — Wieliczka, Salz- berg	05 II	117
— — Wolin, Miocän . . .	07 II	295	— Istrien, Albona, mit- teleocäne Globigerinen- mergel	05 II	159
— — und Mähren, mio- cäne Quarzite und Konglomeratblöcke . . .	06 II	353	— Mähren, Eocän	05 II	436
— Böh. Mittelgebirge, Aussig	05 I	268	— — Foraminiferen der pannon. Schichten . . .	07 I	157
— — Großpriesen	05 I	272	— — Neutitschein, Eo- cän	07 II	295
— — — Kostenblatt— Milleschau	06 II	82	— — Pausramer Mergel, Fischotolithen	08 II	277
— Bosnien, Dolnja-Turfa, Foraminiferen des Schlier	1905 II	290. 490	— — Pausram-Auerschitz, Karpthen, Alttertiär . . .	05 II	116
— — Sarajewo	05 I	103	— — Proßnitz, miocäne Foraminiferen	07 I	162
— — Zenica, oligocäne Braunkohlen	06 II	114	— — Rittberg bei Proß- nitz	07 II	296
— — u. Herzegowina	1905 II	117. 265	— Nieder-Oesterreich, Belvederefauna und Arsenalterrasse	05 II	437
— — — Eocän	09 I	292	— — Eggenburg	1905 II	115. 436
— Bukowina, Putilla- Tal, miocäne Erdöl- schichten	06 I	237	— — Ingersdorf am Wie- ner Berg	05 II	114
— Dalmatien, mitteleoc. Foraminiferen	05 II	491	— — Leobersdorf bei Vöslau, Kongerien- fauna	06 I	113
— — Promina-Schichten	07 I	103	— — Tullner Becken 1905 II	292	06 I 296
— — Budna	07 I	93	— — Voitsberg	05 II	113
— — Cattaro	05 II	94	— — Wels, Foraminifi- feren aus Bohrlöchern 1905 II	290. 490	05 II 434
— — nördliches	05 II	114	— — Wien, Stadt	05 II	115
— — Sebenico—Trau . . .	07 I	89	— — Wiener Becken	05 II	115
— — Velebit, österr., Nummuliten	08 II	289	— — — — Alter der Belvedereschotter	CBI 1908	386
— — Zaravecchia—Stretto dalmatin. Insel- und Küstengebiet	07 I	90	— — Wiener Wald, krist- allin. Gesteinsgerölle im Flysch	CBI 1908	250
— Galizien, Boryslaw, Ozokerit- und Erdöl- vorkommen	1906 I	407. 409	— — Ybbsitz, Wirbel- tierfährten im Neo- comflysch	05 II	434
— — Groznyj, Naphtha- gebiet	07 I	113	— Sirenen des mediterr. Tertiär	05 I	504
— — Kruhel maly bei Przemysl, Foraminifi- feren und Mollusken des Unteroligocän 1905 I 319 1905 II 434	06 I	472	— Steiermark, Oisnitz, Grazer Bucht	05 II	114
— — Lemberg	05 II	95	— — Radeldorf u. Stra- nitzen	05 II	436
— — östliches, Erdöl- zone	06 I	236	— — Wie, Säugetiere der obermioc. Braun- kohlen	07 I	300
— — Karpathen	05 II	118			
— — Pruthal	05 II	116			
— — Przeciszw, östl. Oswiecim, Bohrloch	1907 I	113. 290			

Tertiär

— Tirol, südliches, und Oberitalien	1905	II	156
— — Trient u. Venetien, Revision der Echiniden	05	II	149
— Ungarn	05	II	434
— — eocäne Decapoden	05	II	317
— — Bevciner Zementmergel	07	II	128
— — Borbolya, Kom. Sopron, Balaenopteriden des ob. Mediterran	05	II	305
— — Felsöesztergaly, Kom. Nograd, untermediter. Haifischzähne	06	I	125
— — Gerecse-Gebirge	CBI 1905		394
— — Hunyad-Komitat	06	I	262
— — Koparom- und Nyitra-Komitat	06	I	266
— — Látatlan bei Gran, viele Pyrgulifera gradata im Eocän	05	II	434
— — Pest, Pteropodenmergel im alten	05	II	433
— — Rákosszentmihály bei Pest, Alter der Schotter	05	II	435
— — Sashalomb. Rákosszentmihály (unweit Pest), Alter des Schotter	05	I	470
— — Siebenbürgisches Erzgebirge, Aranyos-Gruppe	06	I	264
— — Szócón, Komitat Krassó-Szörény, Uebergang zwischen sarmat. u. pannon. Schichten	05	II	435
— — Talabor-Tal	06	I	259
— — Tarnocz, Kom. Nógrád, Haifischzähne im untermediterranen Sandstein	05	II	479
— — versch. Gegenden	05	II	434
— — Vertésgebirge, altes Vorarlberg, Flyschzone und Beziehung zu ostalpinen Deckenschüben	08	I	63
— — Bregenzer Wald, nördliche Flyschzone	BB XXVII		1
Rußland (europ. u. asiat.)			
— Rußland	05	I	469
— levantinische Ablagerungen im südlichen	CBI 1906		413

Tertiär

— Ostreen des Paläocän	1908	I	446
— Gultscha, Ferghana, Versteinerungen	05	II	283
— Gultscha-Tal, Ferghana-Formation	06	I	97
— Kaukasus, Versteinerungen des älteren	08	II	81
— — nördlicher und Kertsch, Alter	05	I	469
— — Suchum - Distrikt, Neogen	06	I	432
— Krivoi Rog, Cherson	05	II	120
— Mandrikowka, Pelecypoden	06	I	468
— Novotcheskalk, Miocänmollusken	07	I	114
— Saratow, Wolgagegend, Paläocän	05	II	120
— Stavropol, Miocän	05	I	469
— Süd-Ussuri-Gebiet	BB XXVII		531
Schweiz.			
— Säugetiere des Eocän (Chasmothorium und Lophiodon)	05	I	492
— — — Palaeotherium, Propalaeotherium, Plagiolophus, Lophiotherium, Anchilophus und Pachynolophus)	06	II	282
— Aarwangen, Süßwassermolasse	08	I	433
— Antirhätikon	08	I	251
— Berner Jura, Bohnerztasche von Verrerie de Roche	09	I	432
— Berner Oberland, Kiental, Eocän	09	I	431
— Berner Voralpen, Hornfluh, Flysch	07	I	100
— Biel, Bohnerztasche mit Albi-Fossilien	08	II	407
— Juragebirge (Blauen), Oligocän	06	I	112
— Loch-Amden, submarine Rutschung des Nummulitenkalks	08	II	147
— Oberdorf bei Solothurn, Dysodil	08	I	269
— Oehningen, miocäne sublacustre Rutschung	08	II	144
— Sainte Croix, waadtl. Jura	05	II	253
— Sainte-Croix-du-Mont, Oligocän	07	II	452

- Tertiär
 — Tessin, Alpen, Granit 1906 II 208
 — — Pliocän b. Chiasso 08 I 267
 — Weißensteintunnel. 1908 I 254. 255
- S p a n i e n.
- Barcelona, Korallen d. unteren 09 II 485
 — Cueva Rubbia, Beziehung der Süßwassergastropoden zu denen von Algier 07 II 25
 — — — Säugetiere und Süßwassergastropoden des Pliocän 07 II 1
 Tessin, Seen im Gotthardgebiet 08 II 51
 Tessiner Alpen, kristalline Schiefer 05 I 242
 Tessinergneis BB XXVI 492. 509
 Tessinermassiv, Tektonik BB XXVI 561
 Testudo Beadnelli u. Isis, Tertiär, Fayum 07 II 316
 — campester, Emiliae, Farri, impensa, pansa, Thomsoni und vaga, Nordamerika 09 I 452
 — exornata, Oligocän, Canada 06 II 137
 Tetracanthellipsis euganeus, Scaglia, Euganeen 06 I 475
 Tetracarcinus subquadratus, Kreide, Cliffwood, N. J. 07 II 132
 Tetraceratops, Perm, Texas 08 I 285
 Tetracerus Kroesenii, Kendeng-Schichten, Java 09 I 118
 Tetracha carolina, balt. Bernstein 07 I 323
 Tetradymit, Rußland, Goldlagerstätten, chem. 09 II 332
 Tetraederform der Erde 09 I 367
 Tetraedrit, siehe Fahlerz.
 Tetragonal-bisphenoidische Kristallisation bei $2 \text{CaO} \cdot \text{Al}_2\text{O}_3 \cdot \text{SiO}_2$ 08 I 161
 Tetragonites jacksonense, Kreide, Kalifornien 06 I 288
 — popetensis, Kreide, Hokkaido 05 I 530
 Tetramorphismus und natürliches Vorkommen von MgSiO_3 08 I 18
- Tetranthera lybica, Eocän, Fayum 1909 I 308
 Tetraphenylbernsteinsäuremethylester, Kristalle 07 I 103
 Tetrapoden, Wirbelsäule 09 II 110
 Teutoburger Wald
 — Alter CBI 1909 76. 270
 — Geologie 05 II 258
 — Profil 09 II 254
 — Geologie zw. Borgholzhausen u. Hilter 06 II 417
 — — bei Iburg 06 II 419
 — Muschelkalkgerölle im Serpulit 06 II 86
 — Kreide bei Lengerich 09 II 253
 — südl. Osnabrück, Geologie 1909 II 247. 249
 — Osning-Bergketten, unteres Angoumien 06 II 102
 Teutomans Quenstedti, Tertiär, Solnhofen 07 I 463
 Texas
 — Koproolithen d. Perm 07 I 319
 — Kreide, Ammoniten 06 I 313
 — — Mollusken u. Korallen etc. des Buda limestone 06 I 308
 — Oelfelder 06 II 383
 — Perm 08 I 257
 — — Invertebraten CBI 1908 684
 — — Quecksilbererze 07 II 80
 — Tertiär, Süßwasserbildungen im Nordwest 05 II 438
 Textivenus Hupfeldi, ? Eocän, Dahome 06 II 117
 Textularia crater, Unteroolith, West-Australien 05 II 151
 — gibbosa, Dimorphismus 07 I 330
 — intermedia (Spiroplecta), Rupelton, Mainzer Becken 09 II 324
 Textulariidea, Textularia, Globigerinenmergel, Bahna, Rumän. Karpathen 09 II 153
 Textulariden, Systematik BB XXV 233
 Textularien
 — Miocän, Italien 05 II 156
 — Oligocän, Oberitalien und Südtirol 05 II 156
 Textulariidae, System d. lebenden und fossilen 05 II 328

Textur, Eruptivgesteine	1908	II	350	Themse-Alluvium	1905	I	481
Texturen kristallinischer Schiefer	05	I	67	Thenardit, Tschad-See	07	I	41
Thaba Sinduna Series, Rhodesia	05	II	268	Thenaropus (?) McNaughtoni, Carbon, Joggins, N. S.	05	I	340
Thaingen, Knochenreste im Keßlerloch	05	II	124	Theocampe subtilis, Scaglia, Euganeen	06	I	475
Thalamophoren	09	II	151	Theocapsa costata, minima, naticoides und regularis, Kreide, Euganeen	06	I	474
Thalassocetus antwerpensis, Boldérien, Antwerpen	07	I	134	Theoconus coronatus, macroporus und simplex, Kreide, Euganeen	06	I	474
Thalassochelys libyca, Aegypten	06	I	153	— cretaceus, Scaglia, Euganeen	06	I	475
Thalattosaurus Alexandrae, Trias, Kalifornien	06	I	150	Theocorys antiqua, euganea u. fossilis, Scaglia, Euganeen	06	I	475
Thalenit, Åskagen, Werm-land	07	II	26	— brevicornis, De Stefanii u. italica, Mio-cän, Italien	09	II	490
Thalliumformiat z. Trennung von Mineralien	08	II	2	— spinosa, Kreide, Euganeen	06	I	474
Thallo-, Cupro-, Blei- und Silberhalogene, Mischkristalle aus Schmelzfluß	BB XXII	I		Theocystis parvula, Kreide, Euganeen	06	I	474
Thamnastraea grassa und profunda, Trias, Kotel, Bulgarien	CBI 1905	482		Theodiscus horridus, minimus, Paronai und parvus, Scaglia, Euganeen	06	I	475
— sp., Mittellias, Epirus	BB XXI	297		— triangularis, Kreide, Euganeen	06	I	474
Thamniscus poritidus, sevellensis und tenuiramus, karn. Fusulinenkalk	06	II	150	Theodolithgoniometer, dreikreisige	06	I	159
Thanétien	06	II	116	Theodosius, siehe Neritina.			
— Pariser Becken	06	II	116	Theosodon, Patagonien, Extremitäten	07	II	139
— und Landénien, Bedeutung	06	I	116	Theosyringium pulchrum, Kreide, Euganeen	06	I	474
Thaphroophys dares, Nordamerika	09	I	452	Theralith			
Thaunopteris Schenki, mittl. Rhät, Schweden	08	I	147	— Ampasindava (Madagaskar)	05	I	436
Theca, Devon, Ostthüringen	BB XXIV	300		— Duppau, Böhmen	05	II	55
Thecidea parca, mittl. Lias, Schwaben	06	I	468	— Katzenbuckel	08	II	355
Thecodontosaurus antiquus und cylindrodon	09	I	287	Theralith-Essexit-Reihe und Diabase der deutschen Mittelgebirge	09	I	56
— Elizae, Infralias, Provençhères-sur-Meuse	08	II	438	Theralitisch - foyaitische Gesteine, Tasmanien	08	I	388
— primus, latespinatus, Hermannianus und ? subcylindrodon, Muschelkalk bis Keuper	09	I	288	Theralitische Gesteine, Argentinien	BB XXII	614	
Thecosmilias sp., Mittellias, Epirus	BB XXI	297		Thereodontierschädel	07	I	140
Thecosphaera Saccoci, Mio-cän, Italien	09	II	490	Theridomys siderolithicus, Frohnstetten, Bohn-erze	08	I	127

Theriodontia, Unterschiede von Therocephalia	1907	I	143	Therocephalus-ähnl. Reptilien, unt. Karu beds, Südafrika	1909	II	126
— Südafrika	07	I	142	Theromere Ordnungen d. Theriodontier	07	I	479
— u. Verwandte, Klassifikation	07	I	478	Theropleura, Texas	08	I	291
Thermalquellen				Theropoden			
— Beziehung zum Vulkanismus	08	II	69	— Ursprung	09	I	291
— Frankreich, oberflächliche	08	II	68	— Verhältnis zu Orthopoden	09	I	290
Thermalwirkung, postvulkanische, Skye	06	II	65	— zu Sauropoden	09	I	289
Thermen				Thescelus insiliens und rapiens, Nordamerika	09	I	452
— Radiumemanation	07	II	53	Thetis schauburgensis, Kreide, Schaumburg-Lippe'sche Mulde	06	I	441
— seltene Gase	08	I	364	Tian-Schan, Bau	07	I	224
— Baden bei Zürich	09	I	83	Thibetites bhotensis, tibetan. Klippen des Zentral-Himalaya	08	II	414
— Cauterets, Pyrenäen, Zerstreuung elektr. Ladungen	07	II	53	Thiede bei Wolfenbüttel. Mollusken des Löß	05	I	309
— Gleichenberg, Steiermark	06	I	408	Thinnfeldia Mc Coyi, Trias—Jura, Victoria (Australien)	08	I	150
— Mitterndorf im steir. Salzkammergut	05	II	398	— marylandica	07	II	506
— Radein	08	I	366	— reticulata	07	II	500
— Tor (Sinai)	07	II	426	— sphenopteroides, Rhät, Südafrika	08	I	454
— Torrite di Garfagnana	05	I	53	Thimohyus decedens und Osmondi (Bothrolabis), John Day series	07	I	304
— Vöslau	08	I	368	— siouxensis, Miocän, Oregon	07	I	302
— siehe Quellen, Mineralquellen etc.				Thinolithähnliche Pseudomorphosen, Sachalin	08	II	334
Thermische Tiefenstufe				Thisbites Campbells und Ronaldshayi, Tropites-limestone, Byans	08	II	236
— beeinflusst durch polymerisierendes Erdöl	CBI	1908	271	Thoatherium, Patagonien, Extremitäten	07	II	139
— Bassin der Straße von Calais	09	I	44	Thomashuxleya, Kreide, Patagonien	05	I	168
Thermochroitische Dispersion der Kristalle	08	I	163	Thomsonit			
Thermodynamik, Eigenschaften der Kristalle vom Standpunkt der	1907	I	183, 184	— Kontraktionsfiguren bei Behandlung mit Säuren	08	I	336
Thermodynamische Kristalleigenschaften	05	II	169	— Erythraea (Seiket)	08	II	36
Thermodynamische Theorie der Kristalle	CBI	1907	711, 737	— Färöer	09	I	29
Thermometamorphose				— Fellberg in Petersdorf bei Zöptau (Mähren)	CBI	1905	613
— der Gesteine	06	I	47	— Grönland, Ost-, im Basalt	06	II	183
— u. Sammelkristallisation	09	II	160	— Kaden (Böhmen) und Pufler Loch (Seiser Alp), Glühverlust	06	I	25
Thermonatrit, Vesuv, von 1906	08	I	209				
Therocephalia							
— Beziehungen der Gattungen und Phylogenie	09	II	127				
— Systematik	07	I	479				
— Unterschiede von Theriodontia	07	I	143				

- Thomsonit
 — Krebshöhe b. Schön-
 priesen, Böhm. Mittel-
 gebirge CBl 1909 159
 — Montecatini, Toscana 1907 II 40
 — Table Mount bei Gol-
 den, Col., Rolle des
 Wassers 06 II 338
 — u. Substitutionsderi-
 vate 06 II 337
- Thor-haltige Mineralien,
 Ceylon 1905 II 353 ff.
- Thoracotherium, Santa
 Cruz-Schichten = Pro-
 tötatus 05 I 500
- Thorianit
 — chem. und Synthese. 09 I 338
 — photographische Wir-
 kung CBl 1909 148
 — =Uraninit, Balango-
 da-Distrikt, Ceylon 06 I 165
 — Ceylon 05 II 353
 — Galle, Ceylon 07 I 198
- Thorit
 — Arendal, photograph.
 Wirkung CBl 1909 148
 — Ceylon 05 II 355
 — Kragerö (Lindviks-
 kollen) 08 I 193
- Thorn—Eberswalder
 Haupttal, Beziehung
 zur baltischen End-
 moräne 06 II 435
- Thoro-Gummit, Llano
 County, Texas 07 I 42
- Thracia wuriana, ?Eocän.
 Kamerun 06 II 123
 — Zitteli, Cenoman.
 Aegypten 05 II 285
- Thüringen
 — Glazialbildungen . 1908 II 96 ff.
 — Kupferschiefer, Be-
 ziehung der Erzführg.
 zu Rücken CBl 1906 243
 — Porphyroide BB XXVII 326
 — Vereisung und Saale-
 schotter CBl 1907 59
 — Naumburg, oberste
 Saaleterrasse CBl 1907 214
 — nordwestliches, Trias
 und Diluvium 05 II 447
 — östliches, Paläozoicum BB XXIV 221
 — — Phosphoritknollen
 im untersten Culm . BB XXII 48
 — — Verbreitung von
 Gervillia Murchisoni . CBl 1909 12
- Thüringen
 — Saaleschotter und Ver-
 eisung CBl 1907 59
 — siehe auch Mansfeld,
 Quartär etc.
 Thuites borealis, carina-
 tus, lamelliformis u.
 succineus, Bernstein,
 Ostpreußen 1909 I 307
- Thuringit
 — Gobitschau b. Stern-
 berg (Mähren) CBl 1905 196
 — mährisch-schlesische
 Schalsteinformation,
 z. T. pseudom. nach
 Kalkspat CBl 1906 297
- Thuringit-Magnetitlager,
 Christdorf, Mähren . CBl 1907 321
- Thylacynidae, Thylacynus,
 Santacruzeno, Pata-
 gonien 07 I 306
- Thyrsidium, Carbon. Lin-
 ton 08 II 270
- Thyrsopteris Ahnerti,
 Jura, Mandschurei . . 09 I 463
- Tian-Schan
 — Fauna des untercarb.
 Transgressionsmeers . BB XXVI 213
 — Geologie, Berichtigun-
 gen CBl 1907 271
 — — des östlichen 06 I 97
 — — des südlichen BB XXII 266
 — Gesteine 05 II 68
 — — des Musarttals 09 I 224
- Tibet
 — Glazialerscheinungen
 am Pangong-See 08 II 342
 — und Thao-Tal, Geo-
 logie nach FUTTERER 09 II 260
- Tibetanische Klippen des
 Zentral-Himalaya,
 Fauna von Untertrias
 und Lias 08 II 412
- Tiefengesteine
 — Auftreten 07 II 49
 — mikrosk. Physiogra-
 phie CBl 1907 592
 — Argentinien BB XXII 605. 624
- Tiefenstufe, geothermische
 — beeinflusst durch Berge,
 Täler etc. 08 I 211
 — normale und anomale
 Werte CBl 1907 673
 — Bassin der Straße von
 Calais 09 I 44
 — siehe auch Geoisothermen.

- Tiefsee, Zeit der ersten Anlage BB XXV 391
- Tiefseeablagerungen
- Definition BB XXV 367
 - Kalkschalen 1905 I 425
- Tiefseeabsätze, Alpen, geologische Bedeutung 06 II 86
- Tiefseeforschung
- dänische Ingolfexpedition, nordatlant. Ozean 05 I 421
 - Sedimentbildung am heutigen Meeresboden 05 I 424
- Tiefseeproben, grönländ. Ingolfexpedition . . . 05 I 421
- Tiefseeradiolarien . . . 09 I 298
- Tiefseeschlamm, chemisch 08 I 361
- Tiefseeton
- grauer, Island gegen Grönland 05 I 421
 - oligocäner, Südbayern CBI 1906 576
 - roter, der Challenger-Expedition, Analyse. 09 II 209
- Tierwelt, Umbildung . . 09 II 311
- Tigererz, Schwarzer Berg bei Türitz, Niederösterreich 06 II 174
- Tigerschädel 07 I 301
- Tilait, Ural, nördlicher . 06 I 386
- Tillodontia, Zahnsystem . 05 II 463
- Patagonien 05 II 467
- Timan und Ural, Obercarbon, Brachiopoden und Einteilung 05 I 531
- Timanfaya (Lanzarote), Tätigkeit 09 I 363
- Timor
- Geologie 09 I 251
 - jüngeres Paläozoicum und Jura BB XXV 293
 - mesozoisches Land u. Meer 07 I 109
 - Portugiesisch-, Geologie BB XXII 403 BB XXIV 161. 460
 - siehe auch Indien, Niederländisch.
- Timor-Archipel, Geologie, Triasablagerungen . . BB XXIV 161
- Timorella permica, Perm, Timor CBI 1909 695
- Tinguait
- Ampasindava (Madagaskar) 05 I 438
 - Brome Mountain, Monterey Hills, Quebec 07 I 241
- Tinguait
- Kamerun 1909 II 74
 - Katzenbuckel 08 II 356
 - Kuolajärvi, Finnland 07 I 69
 - Monterey Hills, Quebec 09 I 68
 - Neuseeland, Otago-Halbinsel 08 I 231
 - Tasmanien 08 I 392
- Tinguaitporphyr
- Highwood Mountains, Montana 06 II 373
 - Monzoni u. Predazzo, chemische Zusammensetzung 06 I 65
- Tinkal, Auftreten . . . 08 II 159
- Tirol
- Dolomite, Entstehung 06 II 206
 - — des südlichen . . 06 II 246
 - Eruptivgesteine und Tuffe des südlichen . 05 II 63
 - Geologie der Ortler u. Laaser Gruppe . . 1909 I 379. 380
 - — des südlichen . . 06 II 7
 - Mineralien CBI 1905 218
 - siehe auch Alpen, Tertiär etc.
- Tirolit, Markirch 09 I 24
- Tirolites pacificus, mittl. Trias, Inyo Range . . 06 II 305
- Tissotia Fourneli, Senon, Mittel-Peru BB XXIV 123
- globosa, Kreide 07 II 148
 - latelobata und polygona, Mungokalk, Kamerun 05 I 153
 - Weteringi, Asphalt-schiefer Bara-Bai (Burru), Molukken BB XXII 687
- Titan
- Bestimmung in Gesteinen 06 I 5
 - Rolle in der Geologie 07 II 240
 - Verdampfung und Sonnentemperatur . 08 I 211
- Titanate u. Titanonibate, Südnorwegen, Granitpegmatitgänge 08 I 336
- Titaneisen
- Beziehung zu Geikie-lith CBI 1906 157
 - Zusammensetzung u. Achenverhältnis . . 06 I 17
 - Kaukasus, im Monazitsand 05 I 386
 - Nordost-Rhodesia . . 07 I 80

Titaneisen			Tobermorit, Färöer	1909	I	29	
— Sundsvale (Schweden), im Syenit	1905	I	384	Toce-Tal, oberhalb Domo- dossola, Geologie	05	II	223
— siehe auch Ilmenit, Menaccanit u. Titan- magneteisen.				Tochi River-Tal, ind.- afghan. Grenze, Neo- com	05	I	349
Titaneisengruppe, Ceylon, Edelsteinsande	07	II	18	Tolfa, Kontaktgesteine mit Granat	06	I	375
Titanit				Tolypeceras, Kreide	07	II	149
— Konstitution	07	II	28	Tomicosaurus, Perm	08	I	297
— Kristallform	09	II	24	Tomistoma africanum, Aegypten	06	I	153
— Belknap Mountains, New Hampshire, Ent- stehung aus Horn- blende	08	I	381	Ton			
— Biella, Piemont, im Syenit	06	II	37	— Aenderung des Ge- füges durch Hitze	08	II	30
— Campolongo	05	I	202	— durch Blitz magneti- siert	07	II	389
— Ceylon, Sphe	06	I	181	— Durchdringbarkeit d. Wasser	05	I	265
— Finkenberg b. Bonn, im Basalt	CBI 1908		422	— gefärbt durch organ. Farbstoffe	BB XXVIII		375
— Kragerö, Kristalle	05	II	182	— kolloidaler	CBI 1909		332. 336
— Lindvikskollen	08	I	193	— Mittel zur Klärung von Wasser	08	II	177
— Ottawa bei Pisek, im Goldsand	05	I	366	— physikalische Eigen- schaften	CBI 1906		33
— S. Fedelino am Comer See, im Granit	07	II	35	— Plastizität	08	II	217
— Skaatö bei Kragerö	05	I	188	— des Tiefseeschlammes	08	I	361
— Somerville, Mass.	07	II	381	— Atlant. Ozean, nördl., Grundproben von grauem, rotem und schwarzem von der Ingolfexpedition	1905	I	421. 425
Titanmagneteisen				— Cantal, Frankreich, permanenter Magnetis- mus in einem durch Basalt veränderten	07	II	389
— Laramie Range, Wyo- ming, im Anorthosit	07	I	76	— England, Analyse des London Clay	08	II	406
— siehe Titaneisen und Magneteisen.				— Iowa	06	I	240
Titanolivin, Chiesa, Val Malenco	05	II	25	— Oesterr.-Schlesien, Anal.	05	I	200
Titanosuchidae, Systema- tik	07	I	479	— Vereinigte Staaten	06	I	239
Titanosuchus (?) ferox, Südafrika	07	I	318	— Wyoming, durch Koh- lenbrände verändert	07	I	244
Tithon				— u. Tonschiefer, Ame- rika, Zusammensetzg. und Dynamometamor- phose	06	II	215
— Aranyos-Gruppe, Sie- benbürg. Erzgebirge	06	I	263	Tonale—Bormio, Karten- blatt	08	II	65
— Mähren	07	II	286	Tonalit			
— Montenegro	07	II	107	— Adamello, Geologie	06	II	237
Tithonklippen, Nieder- fellabrunn	06	I	439	— Ecuador, Ostkordillere	06	I	398
Tjabrak, Lappland, Eisen- erzlagertätte	BB XXIV		549	— Presanellagruppe	08	II	362
Tjavelk, Lappland, Eisen- erzlagertätten	BB XXIV		665	Tonalitgneis, Brixener Masse	05	II	380
Tmetoceras Katzeri, Lias, Vareš (Bosnien)	05	I	465				
— (?) Sutneri var. epirotica, Jura, Viglās- kalke, Epirus	BB XXI		290				

- Tonerde, fasrige 1908 II 170
 Tonerdedoppelsilikate
 durch Schmelzen 09 I 183
 Tonerdegel, gemengt mit
 Kieselsäuregel, Be-
 ziehung zu Allophan
 etc. CBI 1908 622. 661
 Tonerdekieselsäuregele
 CBI 1909 331. 332. 333
 Tonerdephosphat, aus vul-
 kan. Gesteinen um-
 gewandelt 08 I 228
 Tonga-Steine, spez. Ge-
 wicht 08 I 8
 Tonlager
 — Aufsuchen und Be-
 werten CBI 1904 410
 — Nord-Dakota 09 II 244
 — Ober-Elsaß 09 II 244
 — Westerwald 09 II 244
 Tonostylops, Kreide, Pa-
 tagonien 05 I 168
 Tonschiefer
 — Ecuador, Ostkordil-
 lere 06 I 398
 — Nordamerika 08 II 377
 — siehe auch Dachschie-
 fer.
 Tonschieferhornfels, Re-
 sorptionserscheinungen
 an Einschlüssen im
 Brockengranit 09 I 55
 Topas
 — Ableitung des Form-
 systems aus Akzes-
 sorien 06 I 341
 — chem. Konstitution 05 I 37
 — Färbung durch Ra-
 dium 07 II 171
 — — und deren Ver-
 änderung BB XXVI 291
 — Kristallflächen 06 I 2
 — Adum-Tschilon, Krist. . . . 05 II 192
 — Colorado 07 II 355
 — Emmaville u. Oban,
 N.-S.-Wales, kristallo-
 graphisch u. optisch. . . . 06 I 359
 — Epprechtstein (Fich-
 telgebirge) CBI 1908 370
 — Greifenstein b. Ehren-
 friedersdorf CBI 1908 367
 — Kalifornien, S. Diego
 County, Edelstein 07 II 42
 — Mursinka, mit Ein-
 schlüssen CBI 1906 349
 — Pobershau b. Zöblitz CBI 1908 370
 Topas
 — Schlaggenwald 1905 I 199
 — Schmiedeberg (Rie-
 sengeb.), im Granit . CBI 1909 771
 — Striegau CBI 1909 438
 — Tanokamiyama, Ja-
 pan, natürliche Aetz-
 figuren 07 I 207
 Topfstein, Syra 09 II 225
 Topische Achsen
 — historisch 08 II 146
 — und Parameter der
 Alkalisulfate u. -selenate 07 I 5
 Topische Zahl
 — Bedeutung CBI 1907 438
 — bei Eruptivgesteinen CBI 1907 5
 Torcula bicorrolata und
 sulcatocarinata, Hyper-
 senon, Peterwardeiner
 Gebirge 06 II 267
 — Morgani, Senon, Süd-
 Persien 06 I 444
 Toretoenemus californi-
 cus, ob. Trias, Win-
 throp, Shasta Co., Cal. . . . 06 I 150
 Torf
 — Arten der norddeut-
 schen Moore 08 II 409
 — Umwandlung in Kohle 08 I 86
 — Nordfriesland, unter-
 meerische 05 I 15
 Torfajökull, Vulkane östl.
 von, Island BB XXVI 4
 Torfschwein, neolithische
 Fauna bes. am Mittel-
 rhein 06 II 440
 Tornatina Peroni = Retusa
 tenuistriata, Kreide,
 Orgon (Bouches-du-
 Rhône) 06 I 318
 Torneträsk, Schweden,
 Geologie 05 II 100
 Tornoceras bilobatum,
 dorsatum, Kochi,
 planidorsatum, Sand-
 bergeri u. var. dillen-
 sis, undulatum und
 Weissi, ob. Oberdevon,
 Enkeberg BB XXVI 577
 Tornquistites evolutus,
 Subbullatus-Schichten,
 Kalifornien 1906 06 II 300
 Torrite di Garfagnana,
 Thermalwasser 05 I 53
 Torsion bei Kristallfasern
 1908 I 315. 316

- Tortisipho Huftieri, Lutétién, Avesnois . . . 1905 II 119
- Torynocrinus, Körperform Festband 281
- Toscana, Minerallagerstätten 07 II 37
- Totalreflektometer, Gefäß-, in Verbindung mit BABINET'schem Goniometer 09 I 156
- Totalreflexion, Polarisation der Grenzkurven 05 I 184
- Totmeyer, Ungarn, Geol. 07 I 276
- Totsen series, Endicott-Kette, nördl. Alaska 06 I 92
- Tourtia, Lüneburg . . . CBI 1909 759
- Toxaster amplus (retusus), Jura 05 II 149
- ribamarensis, Kreide, Portugal 07 II 154
- Toxocheilus elkader, Nordamerika 09 I 452
- Toxodon, Zahnformel . . 07 II 134
- Toxodontia, Zahnsystem 05 II 460
- Tracheliodes mortuellus, Tertiär, Florissant, Colorado 07 I 321
- Trachemys Jarmani, sculpta und trulla, Nordamerika 09 I 452
- Trachodon (Pteropelyx) altidens, marginatus und Selwyni, Belly river series, Red Deer river, Nordamerika . . 07 I 439
- Trachyceras, Trias, Amerika 06 II 305
- acutocostatum, Aon u. orientale (Eremites), Cassianer Schichten, Epidauros (Argolis) Festband 11. 13
- aonoides var. fissinodosa, furcatum (Protrachyceras) u. Heubachae, Aonoides-Schichten, Epidauros (Argolis) Festband 27
- Trachydiabas, Dill und Lahn BB XXVII 297
- Trachydolerit
- Dunedin, Südinsel v. Neu-Seeland 07 II 78
- Löwenburg, Siebengebirge BB XXIII 427
- Trachynautilus minuens, ladin. Stufe, Dobrudscha 08 I 419
- TrachypleuraspiditesGriffithi u. Massoni, Tropites-limestone, Byans 1908 II 237
- Trachyt
- Antarktis, Phonolith- 09 II 76
- Argentinien BB XXII 577
- Batakländer (Sumatra) BB XXVII 433
- Böhmen, zw. Böhm.-Kamnitz u. Kreibitz 06 II 357
- — Mšeno 07 I 61
- — Tepler Hochland . 06 II 353
- Cabras-Insel, in Aluminiumphosphat umgewandelt 08 I 227
- Corsica, Osani, Hypersthen- 07 II 405
- Euganeen 08 II 203
- Gleichenberg, Steiermark 06 I 408
- Grimonot (Cantal), Randfazies 09 II 228
- Hawaii-Insel, Hualalai-Berg, und Trachytobsidian 06 II 221
- Neuseeland, Otago-Halbinsel 08 I 232
- Odenwald, nördlichster 1907 I 57 08 II 194
- Skye, Lava und Tuff 06 II 65
- Spanien, Fortuna, Provinz Marcia 07 II 407
- Sudan, Nousean- 06 I 391
- Teneriffa, Pico de Teyde, Sodalith- CBI 1909 393
- Trachyt-Andesit, Highwood Mountains, Montana 06 II 374
- Trachytbreccien, MontDore, vergl. mit Vesuv 1906 08 I 42
- Trachyt-Liparit, Piatigorsk, Kaukasus 07 I 235
- Trachytobsidian, Hawaii 06 II 221
- Trachytoide Gesteine, Monte Ferru, Sardinien 09 II 227
- Trachyt-Tephrit, Argentinien BB XXII 614
- Trachyttuffe, Monte Ferru, Sardinien BB XXI 29
- Trachytvulkan, Monte Ferru, Sardinien BB XXI 16
- Trägheitsellipsoid d. krist. Substanzen ist das Syngonieellipsoid 07 I 1

- Transgressionen
 — ob. Devon und Culm. varisk. Faltenhorste Deutschlands und der unt. Kreide der helvet. Kalkalpen . . . BB XXV 409
 — der Meere BB XXV 366
 — scheinbare und wirkliche, südl. Hannover 1908 II 78
 — Brüssel, im Tertiär . . . 06 II 428
 — westlich der Ems, im Wealden 07 I 434
 — Westfalen, im jüngsten Jura und in der Kreide 06 II 86
 Transpithecus, Kreide, Argentinien 05 I 167
 Transporteur
 — zur Bestimmung der Indizes 05 I 4
 — für stereogr. u. gnomon. Projektionen . CBI 1908 312
 Transsylvanites Semseyi, ob. Kreide, Alvincz . 05 I 302
 Transvaal
 — älteste Sedimente im nördlichen, Swazi-Schichten 06 I 269
 — Eruptivgesteine . . . 07 I 394
 — Geologie des Vrededorf Mountain-Landes . 06 I 99
 — u. Goldlagerstätten d. Murchison Range . 07 I 257
 — Gesteine bei Lydenburg 07 I 235
 — Nephelinsyenit im Buschveld 06 I 68
 — Witwatersrand-Schichten, Beziehung zum „alten Granit“ u. Ausdehnung 06 I 269
 Traskites robustus, Trias, Amerika 06 II 306
 Travertin, Weimar . . . CBI 1908 197
 — siehe Tuff und Kalktuff.
 Trechmannit, Binnental 1906 II 30 08 I 205
 1909 I 172 CBI 1905 283. 752
 Trematis multistriata, Untersilur, Haverfordwest District 06 II 140
 Trematophore Milioliden 07 I 158
 Tremolaserie der krist. Schiefer, St. Gotthard (Südseite) BB XXVII 157
 Tremolit
 — Rolle des Wassers . . 1909 II 17
 — Zusammensetzung . . 08 II 22
 — Aranzazu, Zacatecas, Mexiko BB XXVIII 551
 — Bisbee Quadrangle, Arizona, Gangmineral 06 I 175
 — Campolongo, Tessin 1905 I 202 BB XXVI 559
 — Hrobý bei Tabor, Böhmen 09 II 366
 — Korea 08 II 333
 — Lessachtal im Lungau (Steiermark) CBI 1908 282
 — Slatoust 09 II 17
 Tremolitasbest, Nordamerika 05 I 209
 Tremolitgestein, Spitzbergen 08 II 370
 Trennung von Mineralien
 — schwere Flüssigkeiten 08 II 2
 — nach spezif. Gewicht, Apparat 06 I 160
 Trennungsapparat
 — HARADA'S und Verbesserung CBI 1905 152
 — mittels spez. Gewicht 07 I 227
 — für schwere Lösungen CBI 1906 475
 Triarthrus Beckii u. jemtlandicus, Jemtland . 06 II 298
 Trias
 — Buntsandsteinmeer . CBI 1909 54
 — Coniferen 08 I 150
 — Cycadophyten 08 II 448
 — Dinosaurier 09 I 286
 — Glossopteris-Flora 1908 I 152. 454
 — Grenze gegen Perm . 06 I 52
 — Ichthyosauria, Literatur 06 I 150
 — in der Lethaea geognostica 05 I 290
 — Mytilus eduliformis . CBI 1905 705
 — Adulagebirge, nordöstliches CBI 1907 342
 — Alaska, pazif. Küste . 09 I 398
 — und Cook Inlet . . . 07 I 277
 — Albanien, untere . . . 08 II 399
 — Alpen, Lückenhaftigkeit des Hallstätter Kalks BB XXV 416
 — Lunzer Schichten, Marattiaceenarten nach D. STUR 09 I 464
 — — Antirhätikon 08 I 251
 — — Gaisberg bei Kirchberg, Tirol 09 I 97

Trias		Trias	
— Alpen, Göstling u. Wildalpen, Lunzer Schichten	1909 I 415	— Arizona	1907 II 502
— — zw. Hinterrhein u. Saffiental	CBI 1908 723	— — Ichthyosaurier der oberen	06 I 150
— — Hornfluh, Berner Voralpen	07 I 100	— Asien, in der Lethaea	06 I 410
— — Kärnten, Forni di Sopra, Korallen	07 I 486	— Balkanhalbinsel, südwestliche	BB XXI 220
— — Raibl	07 I 273	— Bäreninsel, Fauna der oberen	05 II 110
— — Kampenwand bei Aschau, Stegocephale aus den ob. Raibler Schichten	CBI 1906 568	— Basel, Neue Welt, Keuperflora	07 I 492
— — Krain, zw. Bačata Tal u. Wocheiner Save	05 I 449	— Bayern, Keuperholz, vergl. mit Liasholz	09 I 467
— — Lienzer Dolomiten	05 I 287	— — Bayreuth, Muschelkalkfauna	09 I 131
— — Lischannagruppe, Engadin	07 I 96	— Bayerischer Wald, Westrand	BB XXI 472 ff.
— — Oberengadin	08 II 226	— Bentheim—Isterberger Sattel	09 I 410
— — Oberlaibach, kohlenführende Raibler Schichten	07 II 122	— Bithynische Halbinsel	CBI 1909 656
— — österreichische	09 I 411 ff.	— Bosnien u. Herzegowina	05 II 265
— — Ost-	06 II 233	— Bulgarien (Kotel)	CBI 1905 481
— — Rhätikon, östl.	09 I 89	— China	05 II 298
— — Rubly-Massiv, Gyroporellen	08 II 400	— — Yün-nan etc., Pflanzen	07 II 342
— — Schwez, Rhätdecke der Berner, Freiburger u. Waadtländer	09 II 92	— Colorado, Cañon City, Hallopus beds	08 I 134
— — Seiser Alp, Brachiopoden der Pachycardiantuffe	05 I 179	— Comer See	06 I 423
— — — Gastropoden der Pachycardiantuffe	CBI 1905 176	— Dalmatien, Budna	07 I 93
— — — Lamellibr. der Pachycardiantuffe	07 II 335	— — Cattaro	05 II 94
— — Simplongebiet, Grünschiefer	09 I 59	— Dobrudscha, nördliche	08 I 418
— — Südtirol, Werfener Schichten, vergl. mit den Schichten von Wladiwostok	CBI 1908 67	— — Werfener Schiefer	08 II 399
— — Tirol, Werfener Schichten d. südlichen, Fossilien	08 I 16	— Ecuador, Ostkordillere	06 I 402
— — West-	07 II 441	— Eggegebirge, östl. v., mit Kreidegräben	08 I 407
— — Zillertaler	07 II 432	— Elfas, Homburgwald und Vogler	05 II 259
— Amerika, Cephalopoden	06 II 298	— England, Basis des Keupers in Süd-, Devon	05 II 425
— — Ichthyosaurier	09 I 445	— — Rhätpflanzen	07 I 489
— — westliches	1907 II 285	— — Zusammenstellung und Alter der Fossilien	CBI 1908 9
— Argentinien, Vorkordillere, Rhät	05 II 271	— — Devonshire und Midlands, Gerölle im Buntsandstein	05 II 424
		— Europa, Dinosaurier	09 I 286
		— Gerecse-Gebirge, Ungarn	CBI 1905 392
		— Giffoni, Salernitaner Apennin, Mollusken	06 I 108
		— Griechenland	09 II 432
		— — Daonellen u. Halobien	06 I 27
		— — Korallen	09 II 484

- Trias
- Griechenland, Hydra und Argolis BB XXV 443
 - — Argolis 1909 II 427 CBI 1906 270
CBI 1909 79. 84 BB XXV 443
 - — Ammoniten des alpin. Muschelkalks in Epidaurus CBI 1906 271
 - — — Cephalopoden des Hallstätter Kalks in Epidaurus Festband I
 - — — Trinodosuskalk CBI 1909 79
 - — Asklepieiontal CBI 1909 605
 - — Attika 1909 II 430
 - — Parnaßgebiet 09 II 429
 - Haardtgebirge (Nordvogesen), Gliederung des Buntsandsteins . CBI 1905 380
 - Halle a. S., Sporen im Buntsandstein (Makrosporen v. Pleuromeia?) 09 I 461
 - Hannover, Keuper des südlichen 08 II 82
 - — Röt 08 II 85
 - — Osnabrück, Piesbergssattel 09 II 251
 - — südliches 1907 II 95. 97
 - — u. Braunschweig, Wellenkalk 08 II 84
 - — Hildesheim 08 II 79
 - — (Galgenberg u. Vorholz) 07 I 419
 - Himalaya, Faunen der tibetischen Klippen 08 II 412
 - — Fauna d. Tropiteslimestone von Byans 08 II 275
 - — Muschelkalkfauna 08 II 240
 - — Otoceras beds CBI 1905 I. 36
 - Idaho, Fische v. Aspen Ridge 08 II 446
 - Indischer Archipel, Land und Meer 07 I 108
 - Kalifornien, Thalassosaurus Alexandrae 06 I 150
 - — Nevada und Arizona, Ichthyoperugia 1906 I 147. 150
 - Kapland, Dicynodontier der Karruformation 08 I I
 - Karakorumpfaß (Kleintibet), Heterastridien CBI 1907 722
 - Kaukasus, nördlicher, obere 07 II 284
 - Kellerwald und Umgebung 07 II 92
 - Kotelnj-Insel, Pflanzen 08 I 146
- Trias
- Lutter am Barenberg und Lichtenberg in Braunschweig 1905 II 260
 - Mediterrangebiet nach der Lethaea 06 I 416
 - Molukken, obere CBI 1909 561. 562
 - — u. Timorarchipel BB XXIV 161. 460
siehe auch Timor.
 - Montenegro 07 II 107
 - — oberer Muschelkalk 07 I 431
 - — Boljevic bei Vir, Cephalopoden des Muschelkalks 05 II 139
 - — südliches, Werfener Schichten 05 II 108
 - — u. Albanien, obere 06 I 108
 - Nagato, Japan, Rhät- und Keuperpflanzen . 07 II 341
 - Neuceledonien 1905 II 273 09 I 105
 - Neue Welt bei Basel, pflanzenführ. Schichten CBI 1906 I
 - Neuseeland, Nordinsel (Nelson etc.) 05 II 418
 - — (Nelson), Gerölle in Konglomeraten 09 I 104
 - — Südinsel (Mt. Mary, Otago) 05 II 424
 - — Wairoa 05 II 276
 - Nevada, Cymbospondylus petrinus 06 I 151
 - New Jersey, Fische . 08 II 442
 - — Kupfererzlagertstätten 09 II 397
 - Niederländisch-Indien, Radiolarien 09 II 146
 - Niederrhein, Rhät . . 07 I 414
 - Nordamerika, Ausdehnung des Newark-Systems 06 I 268
 - — Flora 1907 II 499. 502
 - — marine Trias im westlichen 06 II 98
 - Norddeutschland, Oolith und Stromatolith im Buntsandstein 08 II 114
 - Oberschlesien, Erzlagertstätten im Muschelkalk 06 II 74
 - Peru, marine CBI 1909 616
 - Porto Valtravaglia u. Mte. San Salvatore . 06 I 423
 - Rhön, Muschelkalk . . 09 I 424
 - — Ostheim 07 I 421

- Trias
- Rotti u. Timor, ostind. Archipel CBI 1909 355
 - Rüdersdorf, Saurichthyskiefer im Muschelkalk CBI 1909 54
 - Ruhrkohlenrevier . . . 1907 I 412
 - Sarajewo 05 I 101
 - Sardinien, Gliederung und Fauna 05 I 128
 - Nurra BB XXIII 437
 - Schwaben, Lagerung und Entstehung des Keupers im südlichen CBI 1909 41
 - Lettenkohle und Keuper CBI 1907 19. 42 BB XXV 1
 - Phytosaurusschädel CBI 1909 583
 - Pinna im Muschelkalk CBI 1906 114
 - — Zancloodonten . . . CBI 1905 10
 - — Eßlingen 07 II 256
 - Schwarzwald, Buntsandstein u. Muschelkalk 1909 II 410 ff.
 - — Cer. antecedens u. die Abstammung der Nodosen CBI 1907 528
 - — Freudenstadt, Wellengebirge 09 I 105
 - Schweiz, Koblenz, Steinsalzbohrung . . . 09 I 105
 - Sezza, Distrikt Tolmezzo 06 I 424
 - Sibirien, Alter der Olenekschichten . . . CBI 1908 233
 - Sizilien, Lagerung . . . 09 II 94
 - — westl., Cephalopoden der oberen . . . 05 I 342
 - Solling, Buntsandstein . . 07 I 431
 - Stabbarp (Schweden), Ginkgoales des Rhät . . 08 I 147
 - Strangenberg bei Rufach, Oberelsaß . . . BB XXVI 83
 - Südamerika, keine marine CBI 1909 1
 - Süd-Ussuri-Gebiet . BB XXVII 523
 - Südwestdeutschland, Landpflanzen 08 I 151
 - Teutoburger Wald 05 II 258
 - — — (Neuenheerse), 1906 II 418 09 II 248
 - — — Kohlen im Keuper . . . 07 I 417
 - Thüringen 06 II 230
 - — Creuzburg, Schmalkalden etc. 08 I 88
 - — Jena, Tektonik . . . BB XXI 92
- Repertorium 1905—1909.
- Trias
- Thüringen, Langensalza etc. CBI 1906 581
 - — nordwestliches . . . 1905 II 447
 - — östliches, Verbreitung von Gervillia Murchisoni CBI 1909 12
 - — Sachsen-Meiningen . . 06 II 411
 - Timor, Portugiesisch-BB XXIV 464
 - Toskana, karnische Fusulinen 09 II 488
 - Victoria (Australien), Pflanzen 08 I 150
 - Westfalen, Kohlenkeuper des östlichen . . 08 II 82
 - Wladiwostok 09 I 1
 - Zannone, Ponna 05 II 411
 - siehe auch Permotrias.
 - Tribolumineszenz der arsenigen Säure 07 I 18
 - Tribulaun, Geologie . . . 07 II 435
 - Tricalciumpentaborat, Existenzgebiet u. Spaltung 08 II 163
 - Tricalcytis major, Kreide, Long Island 07 I 495
 - Triceratops, montiertes Skelett . 1906 II 136 . . . 09 I 131
 - Osteologie 08 I 442
 - brevicornis, Schädel . . . 09 I 132
 - calicornis, Schädel 09 I 131
 - prorsus, aufgestelltes Skelett 09 I 131
 - Trichiosomites obliviosus, Miocän, Florissant, Colorado 08 II 112
 - Trichiten, fließend-kristallinische 06 II 151
 - Trichites suprajurensis, Glandarienkalk, Syrien . . 06 I 279
 - Tricolocampe obtusicephala, Kreide, Euganeen 06 I 474
 - Tricolocapsa inflata, Scaglia, Euganeen 06 I 475
 - minima, oblonga, ovata und veneta, Kreide, Euganeen 06 I 474
 - Triconodon, Zahnsystem . . 05 II 455
 - Triconodonta, Kreide, Patagonien 05 I 169
 - Tridymit
 - in Chalcedon u. Opal BB XXV 190
 - in feuerfesten Ziegeln aus Quarz 09 II 14
 - im getrübbten Quarzglas . . 07 I 20

- Tridymit
 — künstl. Darstellung . 1908 I 180
 — optisch 08 I 185
 — Silikatschmelzen CBI 1906 662, 728
 — Umwandlung aus Quarz 08 I 181
 — Verhältnis zu Quarz . 08 I 176
 — und Quarz, Bildung in
 Silikatschmelzen . . . CBI 1906 728
 — — — Umwandlung . . 06 II 45
 — Ecuador, Bildung in
 vulkan. Gesteinen . . 05 II 76
 — Kodaikanal-Meteorit . 05 I 213
 — Montagne Pelée, in
 den vulk. Gesteinen . 06 II 160
 Trient und Venetien, tert.
 Echiniden, Revision . 05 II 149
 Triforis Staadti, Eocän.
 Paris 07 II 303
 Trigla asperoides u. rhombica,
 Otolithen, Tertiär, Oesterreich . . 07 I 481
 Trigonale Hemiedrie (Benitoit
 und Disilberorthophosphat) . . . CBI 1909 636
 Trigonarca Szaboi, Hyper-
 senon, Peterwardeiner
 Gebirge 06 II 268
 Trigonellina pectunculus 08 II 114
 Trigonina acuta, brevicostata,
 cardiniiformis, chariensis,
 crassa, dho-saënsis, distincta,
 dubia, exortiva, gracilis,
 hispida, jumarensis, kutschensis,
 mamillata, nitida, parva,
 propinqua, prora, pulchra,
 recurva, remota, retrorsa,
 spissicostata?, tenuis, trapeziformis,
 tumida, ventricosa, v-scripta,
 Jura, Kutsch 05 I 178
 — area-furcata, Tithonklippen,
 Niederfellabrunn 06 I 440
 — carinata, Erycina, cf. eximia,
 longa (= Lajo-yei), cf. monilifera
 u. transitoria, Argentin. Kordillere BB XXIII 214
 — couzonensis, Reboursi
 u. substriata, Zone des Lioc.
 concavum, Couzon-au-Mont-d'Or
 bei Lyon 05 I 464
 Trigonina Engeli und Terquemi,
 Eisenerzformation, Lothringen
 und Luxemburg 1906 I 305
 — glaciana, Kreide, Kieselingswalde 05 I 300
 — Hauecorni, oberer Jura,
 Pommern 06 II 102
 — hosourensis, Cyrenenlager,
 Jura, Rikuzen, Japan 05 I 464
 — libanensis, Glandarienkalk,
 Syrien 06 I 279
 — Lorentii, Neocom, S. Lorenzo,
 Peru BB XXIV 88
 — poststriata u. sturgisensis,
 Jura, Black Hills 08 I 264
 — cf. scabra, Kreide, Bregenzer
 Wald BB XXVII 22
 — spinuloso-costata, Hypersenon,
 Peterwardeiner Gebirge 06 II 268
 — transitoria, unt. Kreide,
 Patagonien BB XXV 610
 — umkwelanensis, Kreide,
 Umkwelane Hill, Zuhland 06 I 308
 Trigonina-Lager, Jura, Rikuzen,
 Japan 05 I 465
 Trigonoarca cf. trichinopolitensis,
 Kreide, Bregenzer Wald BB XXVII 22
 Trigonocarpus naumburgensis
 u. parkinsoniformis, Rotliegendes,
 Oppenau 08 I 457
 — Noeggerathi var. affinis,
 Saarbrücker Schichten 09 I 304
 — subhexagonus, Carbon, Offen-
 burg 08 I 459
 Trigonodontie entstanden aus
 Tetragonodontie bei Huftieren 05 II 456
 Trigonodus, Verwandt mit
 Unio 07 II 337
 — Bittneri, brevidens, carniolicus,
 Dieneri u. Vaceki, Pachycardien-
 tuffe, Seiser Alp 07 II 336
 — Sandbergeri, Schwaben BB XXV 102
 Trigonolophodon elegans,
 inflatus und magna, Kreide,
 Lago Musters 05 I 497

Trigonopsis subsimilis, Zone d. Lioc. concavum, Couzon-au-Mont-d'Or bei Lyon	1905	I	464	Trinodosus-Kalke — Argolis	CBl 1909	79
Trigonostoma involuta var. scabiosa (?), Tertiär, Schwäb. Alb.	CBl 1908		593	— Epidaurus (Argolis), Cephalopoden		Festband 6
Trigonostylopidae, Patagonien	05	II	467	Trinomiale Nomenklatur bei Petrefakten	1909	II 312
— — Kreide	05	I	168	Trionyx-Panzer, Belgien, Landenien	05	I 484
Trihydrocalcit, Novorod Alexandria	09	II	341	Trioolepis Leclerei, Carbon, Tonkin	08	I 310
Triklines System, Kristall- berechnung (Anorthit)	07	I	2	Tripel, Bessarabien, Chotin- scher Kreis, im Gips	07	II 380
Trilobiten — Neueinteilung	CBl 1907		129	Tripilidium dendroacanthos, Scaglia, Euganeen	06	I 475
— Phacopidae, Klassifikation	06	II	139	Triplit, Godegård-Kirchspiel, Ostgotland	05	II 189
— Obercarbium, Schantung	06	II	139	Tripolis, Eruptivgesteine	07	I 66
— Untersilur, Haverfordwest District, England	06	II	138	Tripyleen der Tiefsee	09	I 298
Triloculina rotunda, Oberpliocän, Catania, neue Form	07	I	330	Trirhachodon Kanne-meyeri, Schädel	07	I 140
Trimeraster parvulus, rhein. Grauwacke	09	II	322	Trisphaera superba, Kreide, Euganeen	06	I 474
Trimercephalus micromma (cyclophthalmus), Devon, Ostthüringen	BB XXIV		303, 317	Tristan d'Acunha, Südatlantium, Geologie	07	II 119
Trimerorachis, Perm, Texas	07	I	147	Tristomanthus Lecointreae, Falun der Touraine	09	II 480
Trimerostephanus, Kreide, Patagonien	05	I	168	— Lorioli, Molasse, Vence	07	II 157
Trinacria Dumasi u. sinuosa, Eocän, Loire inférieure	06	I	154	Tristylospyris raripora, Miocän, Italien	09	II 490
Trinacromerum, Osteologie, u. Tr. latimanus, Fort Bentonschichten, Kansas und Wyoming	09	I	441	Tristylotus auf Platystoma lineata, Devon, Hudsons bay	07	I 156
Trinil-Fauna, Java	09	I	114	Triticites = Fusulina BB XXVII 494. 506	07	I 331
Trinity-Formation, Flora Trinity Mountains, Nordamerika, Geologie	06	II	96	— Fusulinenkalk, Korea	07	I 331
Trinkwasser — Verbesserung durch Aluminatsilikate oder künstl. Zeolithe	09	II	371	Tritonium biplicatum, fenestratum und subglabrum, Danien, Dänemark	06	I 309
— Paris, Mineralien im Filterrückstand	07	II	427	Tritylodon, Stellung im System	07	I 317
				Trivia recta, Tertiär, St. Clement, Anjou	09	I 276
				Trizygia Costae, Obercarbon. Paçal (Portugal)	1905	I 540
				Trochactaeon acutissima, brevis, coniformis, in crustans, irregularis, occidentalis, planilateris, potosiana und variabilis, Senon, Cardenas, Mexiko	08	I 102
				Trocharion albanense, Mittelmiocän, La Grive St. Alban	05	II 307

Trochietis Depéreti und pusilla, Mittelmiocän, La Grive St. Alban	1905	II	307	Tropiphora, zu Myophoria	1907	II	338
Trochiliscus bulbiformis und ingricus, Devon, Rußland	08	I	451	Tropites Aloysii, Brancoi, Carapezzai, Josephillae, laestrygonus, obsoletus, Paronai u. triquetrus, ob. Trias, Sizilien	05	I	346
Trochiliscus	08	I	450	— Jalandhara und Manasa, Tropites-limestone, Byans	08	II	238
Trochoyathus Amphitrites = Ceratotrochus Amphitrites, Gosau	09	II	141	Tropites-Schichten, Epidaurus (Argolis), Cephalopoden	Festband 37		
Trochodiscus maximus, Scaglia, Euganeen	06	I	475	Trou-de-Souci, Côte-d'Or	1907	II	51. 397
Trochomorpha arneggenensis, Alttertiär, Ulm	08	II	104	Truncatulina Dutemplei u. lobatula, Globigerinenmergel, Bahna, Rumän. Karpathen	09	II	156
Trochosuchus acutus, unt. Karru beds, Südafrika	09	II	127	— globigeriniformis, Ruppelton, Mainzer Becken	09	II	325
Trochus Clementinus, Tertiär, St. Clément, Anjou	09	I	276	Tschadsee			
— coelotropis, ob. Jura, Pommern	06	II	102	— ausgeschiedene Salze	07	I	41
— (?) Delaunayi, Bathonien, St. Gaultier (Indre)	08	I	262	— Gesteine	07	II	410
— guelferbytanus	07	II	468	TSCHERMAK'sche Kieselsäuren siehe Kieselsäure.			
— Michalefi (Tectus), Coniacien, Frankreich	06	I	319	TSCHERMAK'sche Zwillingstheorie u. Gesetz der Glimmerzwillinge	CBl	1907	400
— Provençali, Kreide, Orgon (Bouches-du-Rhône)	06	I	318	Tschermigit			
— quadricoronatus, Kreide, Schaumburg-Lippe'sche Mulde	06	I	442	— Brüx, Böhmen	CBl	1907	465
— sougraignensis (Tectus), Santonien, Frankreich	06	I	319	— Dux, Böhmen	CBl	1907	467
Troilit				Tschernosem, Rittergut Legienen, Ostpreußen	06	I	207
— im Meteoreisen	1905	I	123	Tschernyschewit, Wichera (Ural)	08	II	176
— siehe Eisensulfid.	07	I	359	Tschukschenhalbinsel, Geologie	08	I	409
Trombolith	CBl	1909	330	Tsingtau, Gesteine	06	II	364
Trona, Vesuv, Eruption von 1906	08	I	209	Tsingtauit, Kiautschou	06	II	366
Troostit, im künstlichen Eisen	06	I	243	Tuba elatopsira, Eocän, Paris	07	II	303
Tropstein, Sardinien, Grotta di Nettuno am Kap Caecia und St. Kanzian-Höhle im Karst	06	I	376	Tubocorallier, Phylogenie Tucuman, Prov., Argentinien, Geologie	09	II	142
Torpicelites arietitoides, Tropites-limestone, Byans	08	II	238	Tudiela subcarinata, Kreide, Kieslingswalde	05	I	301
— Frechi, Subbullatus-Schichten, Kalifornien	06	II	300	Tuditanus minimus, sculptilis u. tabulatus, Carbon, Nordamerika	09	II	133
				Tudora conica, Tertiär, Randeck	CBl	1908	539
				Tübingen, Neuaufstellung der Sammlungen des Instituts	CBl	1909	123

- Türkis, Nordamerika
1906 I 358 1907 II 43
- Tuff
— andesitischer, im Old Red, Lorne-Distrikt in Argyleshire . . . 05 I 431
— basaltischer u. Basalte, Schwäb. Alb . . . 06 II 205
— der Quarzkeratophyre, Thüringer Wald . . BB XXVII 376
— trachytischer, Monte Ferru, Sardinien . . BB XXI 29
— vulkanischer, Böhmen, zw. Böh.-Kamnitz und Kreibitz . . . 06 II 359
— — Lago Maggiore u. Valsesina, Porphyry . . 05 II 66
— — Lyman's Crossing, Holyoke Range, mit Kalkspat- u. Prehnit-Cäment . . . 05 II 397
— — Red Mountain, Arizona . . . 09 I 45
— — Ries . . . 06 II 203
— — Tirol, südliches . . 05 II 63
— Harzburg, devonischer, im Kontakthof des Brockens . . . 06 I 209
— Norddeutschland, untereocäner . . . 07 II 453
— Pontesford Hill, Shroshire, archaischer . . 05 II 391
- Tuffbreccie
— Langenaubach, Nassau, Oberdevon . . BB XXVIII 386
— Metzinger Weinberg, Schwäb. Alb, in einer Spalte . . . 07 II 394
- Tuffformation, patagonische . . . BB XXVI 103
- Tuffit, Buru, Ind.-austral. Archipel . . . BB XXII 399
- Tufflager, pleistocänes, Schwarze Laaber bei Regensburg, Konchylien . . . 06 II 431
- Tuffröhren
— Entstehung . . . 07 II 121
— Kap-Kolonie . . . 07 II 114
- Tuff-(Asche-)Schichten, eocäne, westbaltische CBI 1907 680
- Tugurium mekranense, Tertiär, Ormara-Kap, Mekranküste, Beludschistan . . . 06 I 118
- Tullner Becken, Tertiär . 1905 II 292
- Tundra, nordamerikan., Eisdecken (Crystophenes) . . . 06 II 190
- Tunesien
— Bryozoen, Eocän des südlichen . . . 05 II 142
— — Kreide . . . 05 II 145
— Fische der tert. Phosphate . . . 05 II 479
— Geologie, verglichen mit Sardinien . . . 09 II 95
— Jura, im südlichen . . 06 I 283
— Juraechiniden . . . 07 II 156
- Tungstit, Britisch-Columbien, Salmo . . . 09 II 335
- Turbo Antonini, Glandarienkalk, Syrien . . 06 I 279
— Cureti, Cenoman, Südfrankreich . . . 07 II 132
— Fourneti, Zone des Lioc. concavum, Couzon-au-Mont-d'Or bei Lyon . . . 05 I 464
— ? gronensis und Lemkei, Werfener Schichten, Südtirol . . . CBI 1908 78
- Innesi und Schweinfurthi, Campanien, Aegypten . . . 05 II 285
— Johnstrupi, Paläocän, Rugaard, Kattegat . . 08 II 103
— Lenzi (? Collonia), Hypersenson, Peterwardeiner Gebirge . . . 06 II 267
— (?) volgensis, Paläocän, Saratow . . . 05 II 121
- Turbonellina cf. conica, Culm, Königsberg bei Gießen . . . BB XXVIII 649
- Turbonilla gansingensis, Keuper, Schwaben . . BB XXV 111
— Harderi, Paläocän, Rugaard, Kattegat . . 08 II 103
- Turbonitella biserialis, Culm, Königsberg b. Gießen . . . BB XXVIII 648
— inflata, Devon, Ostthüringen . . . BB XXIV 299
- Turgit
— Nagolnij Krjasch, Donetz-Becken . . . 07 II 195
— Schottland . . . 05 I 441
— siehe auch Hydrohämatit.

- Turkestan
 — Denudation in der Steppe und Stratifikation äolischer Bildungen CBI 1908 763. 764
 — paläoz. Schichten des russischen 1905 II 298
- Turkestanischer Volborthit, siehe Volborthit.
- Turmalin
 — Begleiter von Zimmerz 05 I 101
 — Einwirkung von Radiumbromid CBI 1909 71
 — Färbung durch Radium 07 II 171
 — — und deren Aenderung BB XXVI 287
 — Kristallform 09 I 315
 — Afrika, Deutsch-Ost- 07 II 384
 — Ajudagh, Krim 09 II 367
 — Biella, Piemont, Drusen im Syenit 06 II 39
 — Brasilien, krist. und physikalisch BB XXIII 91
 — — Minas Geraes, Kristalle 08 I 28
 — Cadonighino, Tessin BB XXVI 519
 — Campolongo 05 I 201
 — Canyon, Col., edler 09 I 30
 — Ceylon 06 I 185
 — Concepcion del Oro, Zacatecas, Mexiko, Gänge im Granodiorit BB XXVIII 450. 455
 — Crown Point, Essex Co., N. Y. 09 I 192
 — Easton, New Jersey, chemisch 06 I 353
 — Elba 07 II 41
 — — Anal. d. blaßroten 09 I 19
 — — Vorkommen 1905 II 34 08 II 32
 — Godegård-Kirchspiel, Ostgotland, große Kristalle 05 II 189
 — Grönland CBI 1908 404
 — Hammer-Kirchspiel, Oerebro, im Feldspat 05 II 189
 — Kalifornien, edler, mit Beryll 07 II 183
 — — San Diego Co., Cal. 05 II 26
 — Kragerö (Lindvikskollen), Kristalle 08 I 193
 — Lipetz, Gouv. Tambow, im Brauneisenerz, u. Hydrogoethit 05 II 183
- Turmalin
 — Mähren, Cyrillhof bei Groß-Meseritsch 1905 II 188
 — Mte. Ornato b. Serevezza, im Glimmerschiefer 07 I 65
 — Nordamerika, Edelstein 1906 I 356
 — — edler 09 I 32
 — Ottawa bei Pisek, im Goldsand 05 I 366
 — Sardinien, Asinara, chemisch 08 II 313
 — Schmiedeberg (Riesengeb.), im Granit CBI 1909 771
 — Südaustralien, Krist. 06 I 360
 — Ural 09 II 41
- Turmalinfels, Cornwall, St. Ives BB XXVIII 14
- Turmalinführende Gänge im Granit, San Piero in Campo, Elba, Mineralien 1905 II 34 08 II 32
- Turmalinführende Kobalterzgänge, San Juan, Chile 09 I 79
- Turmalingranit u. -greisen, Cornwall, Zinnerz-lagerstätten BB XXVIII 20. 21. 26 ff. 41
- Turmalinpegmatit, Piz Cotschen, Unterengadin 05 II 384
- Turmartige Eruptivmasse, Pauline Lake-Vulkan, Oregon 05 II 397
- Turon
 — Braunschweig 06 II 428
 — Madagaskar BB XXVIII 210
 — siehe Kreide.
- Turricula monilifera, Hypersenon, Peterwardeiner Gebirge 06 II 268
- Turritiles Komotai, Kreide, Hokkaido 05 I 530
- nodiferus, Kreide, Zulu-land 07 II 305
- peramplus u. Wyso-gorskii, Emscher, Texas 06 I 314
- Turrispira fallax, Hyper-senon, Peterwardeiner Gebirge 06 II 267
- Turritella atamanica, Miocän, Novotcheskalk 07 I 114

<i>Turritella bicostata</i> u. <i>divisa</i> , Jura, Moskau etc.	1905	I	131	Tychit		
— <i>budaensis</i> , Buda limestone, Kreide, Nordamerika	06	I	309	— Isomorphismus mit Northupit	1908	II 172
— <i>cardenasensis</i> , potosiana u. Waitzi, Senon, Cardenas, Mexiko	08	I	102	— Borax Lake, Kalifornien, Darstellung und Beziehung zu Northupit	06	II 162
— Depéreti, Grangei und Sayni, Zone d. Lioc. concavum, Couzon-au-Mont-d'Or bei Lyon	05	I	464	Tychostylops, Patagonien	05	II 467
— <i>elegantissima</i> , Cenoman, Südfrankreich	07	II	131	— — Kreide	05	I 168
— Eschi, ?Eocän, Kamerun	06	II	123	Tylosaurus dyspelor, ob. Kreide, Kansas	CBI	1909 586
— Fournieri u. septemcostata, Cenoman, Südfrankreich	07	II	132	Tylostoma cf. <i>aequiaxis</i> , Senon, Mittel-Peru	BB XXIV	178
— <i>galistonensis</i> , Kreide, Los Cerillos (Neu-Mexiko)	08	I	436	— <i>ampullariaeforme</i> , Danien, Dänemark	06	I 309
— Geinitzi = <i>subalternans</i> , Kreide, Sachsen	06	I	317	Tympanotomus Vasseurii, Cenoman, Süd-Frankreich	07	II 131
— Halli, Tertiär, Kerguelen	07	II	128	Typhis Vaquezi, Eocän, Loire inférieure	07	II 302
— <i>interposita</i> , <i>szereimensis</i> und <i>Telegdiana</i> , Hypersenon, Peterwardeiner Gebirge	06	II	267	Typotheria, Kreide, Patagonien	05	I 167
— Kochi, obere Kreide, Alvincz	05	I	302	Typotherium, Perforation des Astragalus	07	I 467
— <i>Michaleti</i> und <i>varusensis</i> , Coniacien, Frankreich	06	I	319	Tyrannosaurus	07	II 492
— Morgani (<i>Torcula</i>) u. <i>praecarinata</i> , Senon, Süd-Persien	06	I	444	Tyroglyphites miocenicus, mitteleocäner Dysodil, Melilli, Sizilien	05	II 152
— <i>proteiformis</i> u. (?) <i>Peroni</i> , unt. Santonien, Frankreich	06	I	318	Tyrrhenicola Henseli, Quartär, westl. Mittelmeergebiet	07	I 459
— <i>Provençali</i> , Kreide, Orgon (Bouches-du-Rhône)	06	I	318			
— <i>sexlineata</i> , Untersenon, Bregenzer Wald	BB XXVII		20			
— <i>Wanneri</i> , Campanien, Aegypten	05	II	285			
<i>Turritellen</i> , Eocän, Aegypten	06	II	453			
<i>Tustica</i> , Dalmatien, Geol. Tuul	05	I	454			
— <i>nordfries.</i> , Entstehung	05	I	15			
— <i>Sylt</i> , Interglazial	BB XXII		147			
— <i>Westküste</i> , Quartär	BB XXI		207			
<i>Twingonia</i> , Miocän, Birma	09	I	142			

U.

Uadi Natrun u. Faregh, Aegypten, Geologie	06	II	422
Uckermark, Quartärbildungen	08	I	96 ff.
Ueberfaltungsdecken			
— Glarus	06	II	392
— westl. d. Urner Sees, Fortsetzung	06	II	394
Ueberfaltungstheorie, Alpen	06	II	86
Uebergangsgebirge, Baden-Baden 1908 I 91	09	II	65
Uebergangston, Meeres-sediment zwischen Island und Grönland	05	I	421
Ueberkühlung des Eisens	05	I	150
Ueberlagerung älterer Schichten auf jüngeren bei subaquat. Rutschungen	08	II	155

Uebersättigte Lösungen, Kristallisationsge- schwindigkeit	1907	I	3	Umptekit	
Ueberschiebung des Mo- sor, Dalmatien, Fenster	06	I	257	— Ampasindava (Mada- gaskar)	1905 I 435
Ueberschiebungen				— Red Hill, Moulton- boro, N. H.	09 II 388
— Experiment zur Ent- stehung	06	I	405	Umsetzungen der Meere	BB XXV 366
— Natur	07	I	270	Umwandlung	
— Schweizer Alpen	05	II	86	— enantiotrope, mole- kulare Drehmomente	08 I 324
siehe Alpen.				— kristallinische	07 II 350
Uebertiefung der Alpen- täler	05	I	228	— des Lherzoliths, Val della Torre, Piemont	07 I 68
Uferlinien u. Terrassen.				— der Mineralien der ozeanischen Stein- salzlager	05 I 197
Michigansee, relative Höhe	08	II	346	— versch. polym. Mine- ralien ineinander, er- kannt an Elektrizitäts- leitung	06 II 45
siehe Terrassen.				— u. Bildung von Misch- kristallen u. Doppel- salzen in den binären Systemen der di- morphen Sulfate von Li, Ka, Na u. Ag	BB XXIV 1
Uferrutschungen, Schweiz	08	II	139	Unakit, Grayson county, Virginia	08 I 240
Uifak, Grönland				Uncinulina polymorpha, Lias, Schwaben	09 II 320
— Eisen	CBI	1908	342	Uncinulites Baccarinii, mitteleocäner Dyso- dil, Melilli, Sizilien	05 II 152
— — Beziehung zum Olivin im Basalt	08	I	235	Undina acutidens, lith. Kalk, Nusplingen	09 I 453
— — chemisch	05	I	366	Undurchsichtige Mine- ralien, elektr. Lei- tungsfähigkeit	07 I 11
Uitenhage-Formation,				Undurchsichtige Sub- stanzen, Erkennung der Anisotropie	CBI 1908 565. 597
Kreide, Ostafrika	BB	XXVIII	187	Ungarisches Mittelgebirge (Gerecse-Gebirge)	CBI 1905 391. 555
Uliasser, Geologie	05	I	106	Ungarn	
Ulmium Simrothi, west- liche Verein. Staaten	09	I	149	— Geologie	07 I 273
Ulodendron (?) hostimense, Devon, Etage H, Mittelböhmen	06	II	146	— Kupferkiese, Kristall- form	06 II 323
Ulrichit, Neuseeland, Otagohalbinsel	08	I	232	— Melanopsis- u. Palu- dinaarten v. Bischofs- bad u. Großwardein	07 II 152
Ultramikroskopische Lös- lichkeitsbestimmung	08	II	5	— Tertiär	1905 II 433 ff.
Ultramikroskopische Sichtbarkeitsgrenze, Erweiterung	08	II	145	— tert. (eoc.) Decapoden	05 II 317
Ultrapithecus, Kreide, Patagonien	05	I	167	— Aranyos-Tal zw. Te- pánfalva und Offen- banya, Geologie	06 I 260
Ultraviolette Strahlen, Verhalten von Mine- ralien	05	I	8	— Borszékfürdő u. Gyer- gyóbelbör, Geologie	06 II 94
Ulvopteris Ammonis, Saarbrücker Schichten	09	I	303		
Umbonium umbilicus, Pachycardien - Tuffe, Seiser Alp	CBI	1905	177		
Umbra, Mte. Amiata	06	I	235		
Umformung v. Kristallen unter Druck	06	II	80		
1907 II 351	09	I	165		
Umkristallisieren beim Erhärten des Zements	09	II	85		
Umkwelane Hill depo- sits, Zululand, Kreide	06	I	307		

- Ungarn
 — Csernye, älterer Jura des nordöstl. Bakony 1905 II 426
 — Hunyad-Komitat, Umgegend von Kitid
 — Ruß—Alsó—Telek, Geologie 06 I 262
 — Kodru-Gebirge, Geol. 06 II 94
 — Komárom- u. Nyitra-Komitat, Geologie 06 I 264
 — Muntýele Mare-Gebirgsstock, Geologie 06 I 260
 — Nagy Surany, Geol. 06 I 263
 — Pojána Ruzska, Geol. der westl. Ausläufer 06 I 262
 — Szabadszállás, Geol. 06 I 263
 — Talabor-Tal zw. Szi-never u. Kövesliget, Geologie 06 I 259
 — Vertésgebirge, Alt-tertiär CBI 1905 417
 — Waag-Fluß 05 II 378
 — u. Siebenbürgen, Erz-lagerstätten 07 I 252
 Ungeria solnhofensis, lithogr. Schiefer, Solnhofen . CBI 1908 385
 Ungulaten
 — Abstammung 07 I 475
 — Hinterhaupt, Süd-amerika 05 I 172
 — Zahnsystem 05 II 454
 — Argentinien, Kreide 05 I 167
 — Brasilien, Lagoa Santa, Minas Geraes, in Höhlen, u. Systematik 07 II 134
 — Patagonien, Kreide 05 I 167
 — siehe Huftiere.
 Unicardium claxbiense, Kreide, England 08 I 444
 — Schmid, Lettenkohle u. Keuper BB XXV 105
 — subglobosum, Glandarienkalk, Syrien 06 I 279
 Unio, Verwandtschaft mit Trigonodus 07 II 337
 — aesopiformis, biesopoides, Browni, corbiculoide, cylindri- coides, gibbosoides, Letsoni, percorrugata, postbiplicata, pyramidatoides, pyra- midellus, retusoides, subtrigonalis u. ver- rucosiformis, Laramie-Gruppe, Montana 08 I 445
 Unio Dumasi, Cenoman, Südfrankreich 1907 II 131
 — Kinkelini, Mosbach 09 I 279
 — priscus var. abbreviata und supena- wensis, Kreide, Nord- amerika 07 I 440
 — trinilensis, Kendeng- Schichten, Java 09 I 116
 Unipolare Leiter, feste BB XXI 325
 Unitypa, Entwicklung 05 II 144
 Universalgonimeter
 — Anwendung zur Auf- lösung sphär. Drei- ecke nach FEDOROW 05 I 4
 — Vermeidung der Ex- zentrizitätsfehler bei billigen 07 II 350
 Universalinstrumente, russische, und Beob- achtungsmethoden . CBI 1909 715
 Universitäten, Unterricht in Mineralogie u. Geo- logie 06 II 148
 Unstrutgebiet, fossilfüh- rende pleistoc. Fluß- ablagerungen 05 I 473
 Unter-Engadin zw. Val d'Assa u. Piz Lad 09 I 404
 Untereocäne Tuffe in Norddeutschland 07 II 453
 Unterkühlung
 — Einfluß auf Ausschei- dungsfolge aus Schmelz- flüssen 08 II 29
 — bei Silikatschmelz- flüssen BB XXIII 79
 Unterneocom, Sumatra 07 II 449
 Unterricht in Minera- logie u. Geologie an Universitäten u. tech- nischen Hochschulen 1906 II 146. 147
 Untersuchungsmethoden, Silikatschmelzen . . CBI 1907 1
 Upsala
 — Erdbeben 23. Okt. 1904 06 II 188
 — Silur 06 I 102
 Urach
 — Tuffbreccie in einer Spalte 07 II 394
 — vulkan. Erscheinungen 07 I 375
 Ural
 — Eisenerzlagerstätten 06 II 223
 — Ganggesteine im Kos- winsky Kamen 05 I 75

- Ural
 — Geologie . . . 1906 I 380. 386
 — Guberlinski'sche Berge, im südl., Untercarbon CBI 1906 131
 — nördlicher, Geologie u. Petrographie . . 1906 I 386
 — Platinwäschereien v. Nischne-Tagil . . . 07 I 260
 — u. Timan, Brachiopoden u. Einteilung des Ober-Carbons . . 05 I 531
 Uralische Transgression 05 II 282
 Uralit, Ardennen, im Sandstein 09 I 111
 Uralitgabbro, nördl. Ural Uralitisation 06 I 387
 — neue Theorie 06 I 339
 — d. Proxens 1909 I 342 09 II 231
 Uralorthit, Ilmengebirge, photograph. Wirkung CBI 1909 148
 Uranate, amorphe . . . CBI 1909 329
 Uranerze
 — Ferghana, Tjuja-Majun 09 II 37
 — Lukwengule, Morogoro, Deutsch-Ostafrika CBI 1906 761
 Uranglimmer
 — Entwässerung, orientierte Anlagerung von Ba Cl₂ etc. 05 II 368
 — Ambert (Puy-de-Dôme), im Pegmatit 07 I 32
 Uraninit, siehe Uranpecherz.
 Uranmineralien
 — Vork. in Schlaggenwald etc. 05 I 6
 — Deutsch-Ostafrika 08 II 13
 — Ferghana, Tjuja-Majun 09 II 37
 Uranocircit, Entwässerung, Aetzung und orientierte Anlagerung von Ba Cl₂ . . . 05 II 368
 Uranokyrstus, Santa Cruz beds, Patagonien . . . 06 I 463
 Uranpecherz
 — chem. u. Synthese . . . 09 I 338
 — macht J frei aus K J 09 I 330
 — Verhältnis von Radium zu Uran 07 II 31
 — Ceylon (= Thorianit) 06 I 165
 — Eyje, Saetersdalen, Norwegen 06 I 351
 — Joachimsthal 05 II 350
 — — photogr. Wirkung CBI 1909 748
 — — u. Schlaggenwald 05 I 7. 8
- Uranpecherz
 — Lukwengule, Morogoro, Deutsch-Ostafrika CBI 1906 761
 — Sachsen . 1905 I 8 1906 I 76
 Urausscheidungen im Basalte des Finkenbergs b. Bonn CBI 1908 417
 Urenchelys, Chalk, England 1905 II 137. 138
 — germanus, Kreide, Libanon 05 II 481
 Urnatopteris tenella, Carbon, Vorkommen . . . 09 II 491
 Urner See, Ueberfaltungsdecken 06 II 395
 Urocordylus, Nürschan 08 II 271
 Urodelentypus der Tetrapoden 09 II 113
 Ursavus Depéreti, süd-deutsche Bohnerze . . 08 I 128
 Ursus arvernensis, Mauer u. Mosbach 07 II 483
 — Demingeri 1905 I 485. 504
 — — Mosbacher Sande 1907 II 483 08 I 438
 — — 1905 I 485. 504
 — — ferox, horribilis etc., Pleistocän, England 08 I 438
 — piscator, Taubach . . . 07 II 484
 Urtit, Dungannon, Ost-Ontario 05 II 396
 Urwale (Archaeoceti), Eocän, Aegypten . . . 09 II 119
 siehe Wale und Cetacea.
 Usambara, Ost-, geolog.-agronom. Untersuchg. bei Amani 06 II 421
 Usaramo-Sandstein, Jura BB XXVIII 156
 Ussuria compressa und Waageni, Meekoceras beds, Idaho 06 II 302
 Ussurifauna, vergl mit Otoceras beds, Himalaya CBI 1905 43
 Ussurigebiet, Süd-, Geologie BB XXVII 509
 Ustica, Gesteine, vergl. mit Liparen 09 II 68
 Utaetus, Kreide, Patagonien 05 I 170
 Utah, Geologie 09 I 422
 Utahlith, Utah, Edelstein 07 II 43

- Utsch u. Utsch-Turfan, südlich Tian-Schan, Geologie BB XXII 297
- Uvigerina pygmaea u. urnula, Globigerinenmergel, Bahna, Rumänische Karpathen 1909 II 151
- sagriniformis, Rupelton, Mainzer Becken 09 II 324
- Uwarowit
- Rösos, Norwegen, Analysen CBI 1907 250
- Ural, neue Fundorte 09 II 40
- V.
- Vaal-System, Klerksdorp-Distrikt, Transvaal . . . 07 I 111
- südl. Transvaal . . . 06 I 99
- Vadose Quellen 05 I 263
- Väg-Fluß, siehe Waag-Fluß, Ungarn.
- Vaginulina badensis u. brevissima, Globigerinenmergel 09 II 147
- recta var. tyrrhena, Italien 06 II 308
- Schlönbach var. interrupta, Unteroolith, West-Australien . . . 05 II 151
- Valsugana, Geologie . . . 06 II 244
- Valangien, Norddeutschland CBI 1908 113
- Valentinit
- heteromorph mit Sénaromontit 08 II 148
- Argentiera della Nurra, Portotorres, Sardinien 06 I 31
- Bolivia, Tatasi, Achsenverhältnis 08 II 338
- Procchio (Elba) . . . 06 II 158
- Vallendarer Schichten, Tertiär, Rhein 09 I 241
- Vallonia saxonica, quartär, Halle a. S. 07 I 444
- Valvata, Hilsmulde, Interglazial bei Wallensen
- Arnaudi, Cenoman, Südfrankreich . 1907 II 131, 132
- Delaunayi, Bathonien, St. Gaultier (Indre) 08 I 262
- cf. vallestris, Pliocän, Cueva Rubbia, Spanien 07 II 24
- Valvulinella BB XXV 248
- Carbon, Dalmatien . . 07 II 339
- Valvulinella Bukowskii, Tertiär, österr. Velebit 1908 II 289
- Vanadinate, natürliche, Natur u. Entstehung 06 I 327
- Vanadinbleierz s. Vanadinit.
- Vanadinerze, Argentinien, Prov. S. Luis 05 I 259
- Vanadinit, Brechungskoeffizienten 05 I 39
- Bena(d)e Padru bei Ozieri, Sardinien . . . 05 II 367
- Gsenger b. Annaberg, Niederösterreich . . . 06 II 174
- Rhodesia, Broken Hill-Grube 09 II 35
- Vanadium, Auftreten in Erzlagerstätten . . . 06 I 50
- in Mineralien u. Gesteinen 07 I 411
- Vanadiumsulfid (Patronit), Minasragra (Peru) 09 I 167
- Vanikoro? serangensis, Trias, Serang, Niederländ.-Indien BB XXIV 210
- Vanoise-Massiv, Geologie des Nordrandes . . . 09 II 87
- Vanthoffit in ozean. Steinsalzlagern, Bildung bei 46° 05 I 192
- Varanosaurus acutirostris, Perm, Texas 1907 I 149 08 I 291
- Variaus-Pläner, Braunschweig 06 II 428
- Varioclymenia angustiseptata, brevicosta, costata, enkebergensis u. Pompeckji, ob. Oberdevon, Enkeberg BB XXVI 605
- Variolit, Asbach, Odenwald CBI 1907 65
- Harzburg, im Kontakthof d. Brockens 06 I 211
- Variscit CBI 1989 329
- Regens bei Iglau, mit Graphit 06 II 173
- Utah (Utahlit), Edelstein 07 II 43
- Veglia, Insel, Geologie des Besca-Tales . . . 06 I 259
- Velopecten abjectus = Pleuronectites Aubyi, Jura, Ostafrika . BB XXVIII 164
- Albertii, Grenzdolomit, Schwaben BB XXV 67

- Velopecten Arthaberi,
 Pachycardientuffe,
 Seiser Alp 1907 II 337
 Veltri, Glanzschiefer 07 II 441
 Venedig, Untergrund 05 II 123
 Venericardia imbrica-
 toides, Senon, Süd-
 Persien 06 I 445
 — nodosa, Eocän, Loire
 inférieure 06 I 155
 — stagonopsis, Eocän,
 Loire inférieure 06 I 154
 Venerupis (?) cammi-
 nensis, ob. Jura,
 Pommern 06 II 102
 Venetien u. Trient, Re-
 vision d. tert. Echi-
 niden 05 II 149
 Venezianische Faltungs-
 zone 06 II 243
 Veniella sanctae-lucien-
 sis, Kreide, Zululand 07 II 304
 Venilicardia protensa,
 Kreide, England 08 I 444
 Venus (Textivenus) Hup-
 feldi, ? Eocän, Da-
 home 1906 II 117. 430
 Venus sudetica, Kreide,
 Kieslingswalde 05 I 301
 Verbeekiella permica,
 Perm, Timor 09 II 141
 Verbeekina BB XXVII 506
 — Verbecki BB XXVII 472. 476
 Vercors-Massiv b. Gre-
 noble, Geol. 07 II 105
 Verdon, Cañon (Basses-
 Alpes) 08 I 220
 Vereisung, letzte, Mittel-
 deutschland 04 I 116
 Vergletscherung
 — der Erde CBI 1907 473
 — Harz bei St. Andreas-
 berg 06 I 298
 — Island, diluviale 06 I 232
 Verkieseltes Holz
 — Prinz Rudolfs-Insel 06 I 35
 — Steinheim b. Hanau 07 I 229
 Verkieselte Kalke mit
 Hornstein, Opal und
 Chalcedon, Ceylon 05 II 392
 Verkieselte Versteine-
 rungen der oberen
 Kreide, Frayssinet-
 Le-Gélat (Lot), Ent-
 stehung 06 I 291
 Verkittung, VAN HISE . CBI 1906 609
 Verkittungsgürtel, VAN
 HISE CBI 1906 606. 607
 Verknüchtungen von Ge-
 steinen Festband 330
 Verletzte Kristalle, Re-
 generation 1905 II 332
 Vermetus Staadti, Eocän,
 Paris 07 II 303
 — (? Vermiculus) tricari-
 natus, Hyperesenon,
 Peterwardeiner Ge-
 birge 06 II 267
 Vermiceras affine, de-
 missum, formosum,
 perspicuum, secerni-
 tum, tenue u. ultra-
 spiratum, Lias, Monte
 di Cetona 05 I 175
 Vermiculus (?) tricari-
 natus, Hyperesenon,
 Peterwardeiner Ge-
 birge 06 II 267
 Vermillion-Bezirk, Lake
 Superior-Gegend, Ei-
 senerze 05 I 89
 Vernagtferner, Aende-
 rung der Geschwin-
 digkeit 06 II 190
 Veronesisch-vicentinische
 Mittelgebirge 06 II 244
 — Verrières-Tal, Neu-
 châteler Jura, Glazial
 05 II 296
 Verrucano
 — Lischanna-Gruppe,
 Unterengadin 07 I 96
 — moldausche Kar-
 pathen 06 I 07
 — Oberengadin 08 II 226
 Verschweißung von Ge-
 steinen, VAN HISE . CBI 1906 609
 Versteinerter Wald,
 Kairo, Entstehung 07 I 393
 Versteinerungen, Prä-
 parieren mit Aetzkali CBI 1907 305
 Vertebraten, siehe Wir-
 beltiere.
 Vertésgebirge, Ungarn,
 Alttertiär CBI 1905 417
 Verwachsung, orientierte,
 mehrerer Mineralien CBI 1905 190
 — Carnallit u. Eisen-
 glanz, Staßfurt CBI 1909 168
 — Diallag mit Enstatit,
 Roda-Meteorit 05 I 213
 — Eisenglanz u. Rutil,
 Cavradi? 1908 I 175 09 II 188

- Verwachsung, Rutil mit Eisenglanz, Cavradi (Tavetseh) 1907 I 196
- Verwachsungen, einachsige 08 II 140
- regelmäßige 1909 I 321, 322, 324
- (siehe auch bei Verwachsung).
- Verwachsungsfläche der Zwillinge BB XXIII 330
- Verwerfungen
- durch Erdbeben, Leicester, 21. Juni 1904 1906 I 362, 363
- neue Nomenklatur 08 I 221
- u. Spalten, Einfluß auf Stromsysteme, Yellowstone Park 06 II 188
- Verwitterung
- an Bausteinen, Kölner Dom 07 II 42
- Einfluß auf Erdoberfläche 08 II 58
- d. Olivins im Basalt, rote, Hessen CBI 1907 372
- d. Silikate zu Laterit u. Ton 06 I 23
- erzeugt Faltung, Carbon, Arkansas 08 II 349
- in ariden u. humiden Gebieten 08 II 188
- Moray area, beurteilt nach den Feldspatkörnern u. Sedimenten und nach der Analyse 05 I 415
- saurer Eruptivgesteine, vergl. mit Thermalwirkung 09 II 60
- VAN HISE CBI 1906 606
- Verwitterungserscheinungen, Lüneburger Heide CBI 1909 690
- Verwitterungsgürtel CBI 1906 606
- Verwitterungsprozesse, Gelbbildung CBI 1909 335
- Vesuv
- neue Mineralien 09 I 349
- Radioaktivität des Cotunnit etc. 08 II 293
- Tätigkeitsformen 06 I 198
- ungewöhnl. Auswürflinge 05 I 46
- Verhalten i. Jahr 1904 05 I 47
- während d. Mittelalters 07 II 390
- u. Somma, petrograph. Bestand 09 I 221
- Vesuv 1906, Asche CBI 1906 385
- CBI 1907 412 1909 I 46
- — gipshaltig CBI 1906 321
- — bei Cattaro (Dalmatien) 08 II 204
- — im nordöstl. Adriagebiet 09 I 362
- — Ostsee, Capri u. Ischia CBI 1906 321
- — Bomben u. Laven CBI 1906 497
- — Dampf Wolken 08 I 43
- — Eruption im April 07 I 44
- — 1907 II 390, 392 1908 I 42 ff. 218
- — 1909 I 45 CBI 1906 506, 529
- — Eruptionsprodukte 08 II 211
- — Fumarolen mit Borsäure etc. 09 I 165
- — Fumarolenmineralien 1906 08 I 327
- — Lava CBI 1906 327
- — mit Salmiakkruste CBI 1906 325
- — mit Selen CBI 1907 611
- — Mineralien 1908 I 207, 327
- — Ursprung d. Ammoniaks 1906 08 I 12
- — CBI 1907 161, 662
- Vesuvian
- opt. Eigenschaften u. Zusammensetzung 05 I 35
- Canale Monterano (Rom), im Tuff 06 I 170
- Concepcion del Oro, Zacatecas, Mexiko, Kristalle BB XXVIII 512
- Cornwall, kontaktmetamorphisch im Kalk 09 II 206
- Exeter, Tulare Co., Cal. (Californit) 09 I 30
- Friedeberg (Oesterr.-Schlesien) Kontakt 07 II 34
- Indian Creek, Cal. (Californit) 05 I 34
- — Kristiania, Kontaktbildung CBI 1909 405
- — Neu-Süd-Wales 06 I 360
- — Santa Fé-Grube, Chiapas, Mex. 05 I 44
- — Sardinien 09 II 26
- — Schlaggenwalde, Granatpseudom. nach V. Susatal, Piemont, Krist. 09 II 24
- Vesuvianfels, Concepcion del Oro, Zacatecas, Mexiko BB XXVIII 500

Vetelia australis, puncta u. pygmaea, Santa Cruz-Schichten . . .	1905	I	503	Viskositätskurven, Beziehg. zu Molekularvolumen b. Silikaten	CBI 1906 289
Viburnites tinifolius, Paleocän, Hennegau	09	II	491	Vitriolblei, siehe Anglesit.	
Viburnum Hollickii, Matawan-Formation, Nordamerika . . .	07	I	494	Vitriolletten, Oberschlesien, im Muschelkalk	1906 II 75
Vicentinisch-veronesisches Mittelgebirge . . .	06	II	244	Vitriolocker	CBI 1909 329
Victoria Nyanza, durch Hebung vom Meer getrenntes Seebecken	06	II	195	Vitulina pustulosa, Devon, Bolivia	BB XXV 554
Victorlemoineia, Kreide, Asphalt	05	I	168	Vivianit	
Viglaskalk, Jura, südwestl. Balkanhalbinsel	BB XXI		218	— Kristalle aus Knochen entstanden	06 I 30
Vikariierende Kristallformen	08	II	140	— Böhmen, Kostalov	09 II 358
Villarsit, Traversella	08	I	39	— Bolivia, Tatasi, Krist.	08 II 337
Villiaumit, Los-Inseln, in Nephelinsyenit	09	I	164	— Kertsch u. Taman	05 II 199
Vindelizisches Gebirge, Einwürfe	CBI 1909		53	— Noranco b. Lugano, im Ton	07 II 189
Vinella? multiradiata	05	II	486	— Stanz im Mürztal (Steiermark)	CBI 1908 281
Vinellidae, paläozoisch	05	II	486	Vivipara diluviana, nicht lebend	07 I 445
Viniella sanctae-lucien-sis, Kreide, Zululand	07	II	304	— — u. clactonensis, ident	05 I 309
Vintlit, Piemont, im Strona- u. Sesiagneis	08	II	215	— mandarinica, neogene Eisenerze, Suchum-Distrikt, NW.-Kaukasus	06 I 432
Virgatites cf. aff. aper-tus und scythicus, Tithon, argent. Kor-dillere	BB XXIII		197	Viviparus alba-scopularis, Kreide, Neu-Süd-Wales	05 I 319
— mexicanus	07	II	470	Vizinallflächen, Ent-stehung	06 I 1
Virgelbreccie, Bozener Porphyrgebiet	BB XXVII		117	Vögel	
Virgilina, Copper Dis-strict, Virginia und Nordcarolina	05	I	260	— Ursprung	08 I 441
— frondicularoides, Rupelton, Mainzer Becken	09	II	324	— Montsech, Prov. Lerida, Spanien, ob. Jura	07 II 287
— Mustoni, Globigerinen-mergel, Bahna, Rumän. Karpathen	09	II	152	— Neuseeland, Reste ausgestorbener	09 I 130
— Schreibersiana, Miocän	05	II	155	Vogelsberg	
Visé, Tektonik d. Kohlenkalks	05	I	456	— Bahn Grebenhain—Gedern	06 II 59
Viskosität				— geolog. Führer	CBI 1906 121
— bei Silikatschmelzen	CBI 1906		193	— Magnetismus der Ge-steine, bes. Bauxit	07 II 43
— Einfluß auf Aus-scheidungsfolge in Schmelzflüssen	08	II	27	Vogesen	
— u. Schmelzpunkt in Silikatschmelzen	06	II	5	— Alter	CBI 1909 281
				— altes Grundgebirge	05 I 235
				— Gliederung d. Bunt-sandsteins d. nördl. (Haardtgebirge)	CBI 1905 380
				Vogesenvorberge, seitl. Zusammenschub im Buntsandstein, Sulzmat	CBI 1907 489
				Vogesit, Belknap Moun-tains, New Hampshire	08 I 381

Vogesit. Tien-schan und Ala-tau	1905 II 68		Voralpen	
Vogler, Geologie	05 II 259		— Geologie	1906 I 81
Vogtit (rhodontähnliche Schlacke)	08 II 308		— Berner, kristallin. Blöcke der Horn- fluh	06 I 256
Vogtländischer Erdbeben- schwarm, Februar u. März 1903	05 I 50		— Schweiz, Tektonik	06 I 246
Vogtland, Phosphorit- knollen im untersten Culm	BB XXII 49		Vorarlberg. Mineralien . CBI	1905 218
Vola interstriatocostata und quinquecostata, Kreide, Bregenzer Wald	BB XXVII 24		Vorarlberg-Algäu, Flysch- zone	09 I 97
— Neumanni. Neocom, Somaliland	06 I 281		Vorkordillere, Argenti- nien, Geologie	05 II 269
Vola-limestone = Buda limestone	06 I 308		Vorpommern	
Volborthit Ferghana, Tjuja-Majun, turke- stanischer	09 II 39		— alte Stromtäler, Zu- sammenhang mit der Litorina-Senkung	05 I 473
Volhynien, Tertiär, Mol- dau	06 I 407		— Brandgruben in Neu- — Interglacial	07 II 477
Volhynische Unterstufe, sarmatische Stufe, Moldau	05 I 470		— Verkehrswege	07 II 477
Voltait, Vesuv	09 I 350		Vorrumpf	CBI 1908 746
Volterra, Bergschlipfe	06 II 349		Vrededefort-Montain-Land, südl. Transvaal, Geo- logie	06 I 99
Voltzia E. Fraasi, Koeneni u. renckerslebensis, Trias	08 I 150		Vue des Alpes bei La Chaux de Fonds, Ver- werfung	05 II 255
Volungesetz bei kristal- linischen Schiefern	05 I 65		Vulkan Colima, vulkan. Tätigkeit	10 I 368
Voluta exornata u. oc- culte-plicata. Hyper- senon, Peterwardei- ner Gebirge	06 II 268		— Kaba, Sumatra, Ge- steine	06 I 218
— faxensis, Danien, Dänemark	06 I 309		— Monte Ferru. Sardi- nien, Produkte	09 II 227
— subsemiplicata, Unter- senon, Bregenzer Wald	BB XXVII 19		Vulkanausbruch	
Volutilithes fanivelo- nensis, Senon, Fani- velona, Ostküste von Madagaskar	06 II 113		— Java 1593 (Gunung Ringgit)	05 I 224
— occulte-plicata, Hyper- senon, Peterwardei- ner Gebirge	06 II 268		— Martinique 1902	05 I 224
Volutocorbis exornata, Hypersenon, Peter- wardeiner Gebirge	06 II 268		— Momotombo, Nicara- gua, 16. Jan. 1905 . CBI	1905 172
Volutomitra quinquepli- cata, Danien, Däne- mark	06 I 309		Vulkanausbrüche	
			— Mittelamerika, 1902 und 1903	CBI 1906 243
			— Westindien, 1902	05 I 404 ff.
			Vulkanberge, Columbia, im Anschluß an STÜBEL	CBI 1906 429
			Vulkane	
			— äußere Form u. Bau	Festband 91
			— Spaltenfrage	
				CBI 1909 97. 129. 321. 526
			— Staukuppen	Festband 310
			siehe Staukuppen.	
			— Albaner Gebirge	06 I 375
			— Basutoland, alte	09 II 234
			— Freudenthal, Oesterr.- Schesien	07 II 394
			— Gleichenberg, Steier- mark	06 I 408

- Vulkane
- Island, schildförmige Lava- 1909 I 47
 - — tertiäre CBI 1909 625
 - Italien (Aetna, Rom, Solfatara, Stromboli) 1908 II 44. 45. 46
 - Java CBI 1909 609
 - Kapkolonie, Tuffröhren 07 II 115
 - Logudoro u. Campo d'Ozieri, Sardinien 09 I 47
 - Mittelamerika u. Westindien CBI 1906 243
 - Olot, Katalonien 06 II 50
 - phlegmatische Felder, vulkan. Tätigkeit 06 I 198
 - Schwäb. Alb, Metzinger Weinberg 07 II 394
 - Sumatra, Gesteine 06 I 218
 - — nördliches 06 II 49
 - Vesuv, April 1906 08 I 42 ff.
 - siehe Vesuv 1906.
 - — Tätigkeitsformen 06 I 71
 - und Radioaktivität 1909 I 47. 48
 - Vulkanembryone, Schwäb. Alb, Auswürflinge krist. Schiefer und Tiefengesteine 07 I 387
 - Vulkaneruptionen, mögl. Ursache durch Karbide 05 II 205
 - Vulkangebiete Mittelamerikas CBI 1906 243
 - Vulkan-Gesteine, Snowdon, Wales 07 I 390
 - Vulkanische Asche
 - Balticum, westliches, im Eocän CBI 1907 680
 - Moler, Jütland 07 I 220
 - Mt. Pélée, Martinique 05 I 227
 - Vesuv 1906, siehe Vesuv 1906 und Asche. - Vulkanische Ausbrüche
 - Abhängigkeit von Spalten, siehe Vulkane, Spaltenfrage.
 - Experimentelle Nachbildung 05 I 444 - Vulkanische Auswürflinge, lose, Entstehung 07 II 394
 - Vulkanische Bildungen, Dunedin, Südsinsel v. Neuseeland 05 II 421
 - Vulkanische Bomben
 - Kapfenstein, Steiermark CBI 1908 297
 - Katzbachgebirge 1905 I 233
 - siehe Bomben, vulkanische. - Vulkanischer Druck bildet Faltungszonen im Mexiko-Tal 09 I 28
 - Vulkanische Erscheinungen
 - durch Sonne verursacht CBI 1904 572 CBI 1905 82
 - künstl. Nachahmung 05 I 444
 - Hegau u. Tafeljura, Alter CBI 1908 613
 - Island, Lavaergüsse etc. 08 I 216
 - — östl. zentrales BB XXVI 381
 - Sydney, Australien 07 I 402
 - Tafeljura 07 I 375
 - Urach 1907 I 375. 387
 - Vesuv 1906 08 I 218
 - siehe auch Vesuv.
 - Westindien, Mai 1902 1905 I 224. 404 1907 I 376 - Vulkanische Eruptionen
 - Entstehung des Salmiaks 1908 I 12 CBI 1907 161. 662
 - Zweck CBI 1906 437
 - Sardinien, posthelvetische 09 II 227
 - Vesuv 1906 09 I 45
 - siehe Vesuv.
 - siehe Eruptionen. - Vulkanische Gesteine
 - in Aluminiumphosphat umgewandelt 08 I 227
 - Magnetismus 1906 I 37. 38
 - Argentinien, junge BB XXII 555
 - Cap Vert (Senegal) 08 I 228
 - Skye, tertiäre 06 II 64 - Vulkanisches Glas, Grassy Gully, Yalwal District, N.-S.-Wales, goldführend 07 I 411
 - Vulkanische Laven 07 I 53
 - Vulkanische Magmen, physikal. Verhalten 08 I 219
 - Vulkanischer Staub, Mt. Pélée etc. 1902 1905 I 227. 404. 405
 - siehe Vesuv.
 - Vulkanische Tätigkeit
 - Erklärung 09 I 82
 - Kette der Puys 09 I 46
 - phlegm. Felder 05 II 206

- Vulkanische Tuffe und Auswürflinge, Ries 1906 II 203
- Vulkanismus
- Beziehung zu Thermalquellen 08 II 70
 - verschiedene Erscheinungen 07 II 391
 - u. Eiszeiten 08 II 74
 - u. Gebirgsbildung 08 II 32
 - Geschichte u. Theorie CBI 1908 526
 - Kerguelen 06 II 352
 - Afrika, tätiger 07 II 395
- Vulkanmassen. Eruption im festen Zustand 05 II 397
- Vulkanspalten u. Vulkanreihen, Island BB XXVI 1
- Vulkantheorie STÜBEL's 05 I 223
- von STÜBEL und Vulkane von Columbia CBI 1906 429
- Vultur, Basis 08 I 46
- W.**
- Waag-Fluß, Feuchtigkeit der Sandhügel 05 II 378
- Wagenoceras Hilli. Carbon, Nordamerika 05 I 528
- Wachautal, ein Durchbruchstal 05 II 295
- Wachstum
- der Zwillinge BB XXIII 323
 - u. Auflösung d. Kristalle CBI 1906 664
- Wachstums- und Auflösungs-geschwindigkeit d. Kristalle 1908 II 150, 151
- Wachstumserscheinungen an Kristallen von KJ u. K Br 09 I 160
- Wad, Markirch 09 I 26
- Wadi Tumilat, Aegypten, Geologie 07 I 426
- siehe auch Uadi.
- Wärmeleitfähigkeit von Gesteinen. Einfluß auf die Geoisothermen . CBI 1907 200
- Wärmequelle in der Erde durch polymerisierendes Erdöl . . CBI 1908, 271
- Wärmeezunahme im Bohrloch bei Neuffen 1906 II 47, 48
- Waihao-Kakahu-Schichten, Tertiär, Neuseeland 06 I 435
- Waipara series, Neuseeland, Kreide 05 II 278
- Repertorium 1905—1909.
- Waitaki-Stein, Tertiär, Neuseeland 1906 I 434
- Wälder, versunkene, quar-tär, England 05 II 451
- Wald, versteinertes, Kairo, Entstehung 07 I 393
- Waldheimia appenninica, Mittelias, Corfu BB XXI 295
- bellunensis u. meridionalis. Lias, Tranze 08 I 424
 - conocollis, mittl. Lias, Schwaben 06 I 469
 - pseudojurenensis, Neocom, Sardinien BB XXIII 469
 - Schlosseri, ob. Jura, Somaliland 06 I 281
 - vorjurassisch, Ambon BB XXV 302
- Wale
- phylogenet. Entwick-lung d. Gebisses 06 II 294
 - Stammesgeschichte der Wältiere 09 I 438
 - Antwerpen, Boldérien 07 I 130
 - Fayum, Tertiär 07 II 315
 - Ost- u. Westpreußen, Knochen 09 I 437
 - siehe Urwale, Ceta-cean, Delphine etc.
- Wallensen, Hilsmulde, Interglacial 05 I 144
- Wallis, Geol. zw. Grug-nay u. Chamosen 08 II 232
- Wandbildung, Karwen-delgebirge 06 I 406
- Wandmalereien etc., quart., Höhlenmale-reien etc. 1907 I 451, 453
- Wandtafeln, petrograph.; mikroskop Struktur-bilder CBI 1906 747
- Wapplerit 09 I 318
- Warrenit = Domingit, ident. mit Jamesonit 09 I 170
- Warnambool, Victoria, Austral., Fußspuren CBI 1907 498 CBI 1909 495
- Wartenberg b. Geisingen, Baden. Bau 07 II 403
- Waschgold, Entstehung 05 I 257
- Washakius insignis, ame-rikan. Eocän 05 I 335
- Wasser
- Durchsichtigkeit und Farbe im Kanal 09 II 209
 - Friertemperatur in geschlossenen Röhren 09 I 329

Wasser		Wasserstoff u. Kohlen-	
— oberflächliches, mit		säure in Glühhitze . . .	1908 I 212
radioakt. Gasen . . .	1905 I 418	Wasserhältnisse, Do-	
— in Spalten, Westfalen,		brudscha	08 II 223
Zusammensetzung u.		Wasserversorgung	
Schwerspatbildung . .	06 II 73	— Gesichtspunkte . . .	05 II 407
— Rolle in den Zeolithen		— Mülhausen i. Els. . .	09 I 205
und deren Konstitu-		Wattentuhl, Nordfries-	
tion	06 II 337	land, Entstehung . .	05 I 19
— unterirdische, gelöste		Wawellit	
Mineralien	08 I 363	— sphärolith. Bildung .	06 I 205
— — plötzl. Verschwin-		— Regens b. Iglau, mit	
den	05 I 55	Graphit	06 II 173
— Verbesserung durch		— Schlaggenwald . . .	05 I 198
Aluminatsilikate od.		Wealden	
künstl. Zeolithe . . .	09 II 371	— Belgien, Bernissart,	
— New Haven, radio-		Flora	07 I 491
aktives Gas im ober-		— Deister, Kleiner, Nes-	
flächlichen	05 I 418	selberg u. Osterwald	07 I 418
— Schweden. Fluß- u.		— Emsgegend, westl.,	
Quell-	06 II 351	Transgression . . .	07 I 434
Wasseranalyse, bakterio-		— Hannover	07 I 281
logische	08 I 371	— Nenndorf a. Deister	06 II 413
Wasseraufsaugung in Ge-		— Norddeutschland, Ple-	
steinen durch Mikro-		siosaurus	CBI 1905 681
poren	07 I 377	— Teutoburger Wald .	09 II 248
Wasserbewegung		Wealdengeschiebe im	
— Einfluß auf Sedimen-		Quartär, Pommern . .	05 II 443
tation	BB XXV 383	Weathering, belt of . .	CBI 1906 606
— unterirdische, Trou-		Webskyit	CBI 1909 332
de-Souci, Côte-d'Or . .	07 II 51	Wedekind, Nevada, Erz-	
— — Joplin-Distrikt . .	07 II 52	gänge u. hydrother-	
— — Wells, England . .	07 II 51	mische Vorgänge . .	05 I 426
Wasserdampf		Wehratal u. Seitentäler,	
— Rolle bei vulk. Erup-		Schwarzwald, Glacial-	
tionen	1907 II 392. 393	erscheinungen	BB XXI 416
— und Kohlenoxyd in		Wehrlit, Koswinsky Ka-	
Glühhitze	08 I 213	men, Ural	05 I 75
Wassereinbruch, Mans-		Weiche, scheinbar lebende	
felder Kupferschiefer-		Kristalle	06 II 151
gruben, Okt. 1907 . .	09 II 372	Weichselia Mantelli,	
Wasserführung u. -Stol-		Wealden, Peru	BB XXIV 74
len, Taunus	06 I 404	Weimar	
Wassergehalt der Zeo-		— Gastropoden aus den	
lithe. Fehlerquellen		Kiesen	07 II 459
bei Bestimmung . . .	CBI 1909 677	-- Ehringshausen, ob.	
Wasserhaltige Kristalle,		Travertin mit Rhin.	
Entwässerung	05 II 4	Merckii	CBI 1909 23
Wasserhaltige Misch-		— paläolith. Funde der	
kristalle, Spaltung . .	06 I 7	Gegend	CBI 1908 197
Wasserstandsänderung		Weinbergerit, Meteor-	
d. Atlant. Ozeans bei		eisen von Kodaikanal,	
New York	07 I 51	Indien	07 II 204
Wasserstandsmarken am		Weinheim a. Bergstr.,	
Meere, Neu-Seeland		Rheintalspalten aus	
u. Australien	07 II 45	tert. u. diluv. Zeit CBI 1906 667. 698	

- Weinsäure
 -- Löslichkeit von Zwillingen etc. . BB XXIII 294, 332
 -- rektifizierte, Zirkularpolarisation . . . 1905 II 335
- Weinsaures Thallium u. Kalium, isomorphe Mischungen 07 I 4
- Weißbleierz
 -- Dschebel Ressas, Tunesien 07 I 42
 -- Lausetto (Valli del Gesso, Piemont), Kristalle 1906 I 232, 349
 -- Nagolnij-Gebirge, Donetzbecken, Pseudom. n. d. Spaltbarkeit der Zinkblende u. d. Bleiglanzes CBI 1908 7
 -- Nagolny Krjasch, Donetzbecken 07 II 196
 -- Otavi, Südwestafrika CBI 1906 388
 -- Rhodesia, Broken Hill-Grube . . 1909 II 36 CBI 1907 602
 -- Sardinien, Viellinge 08 I 333
 -- -- Argentiera della Nurra, Portotorres . 06 I 33
 -- Siegerland, krist. u. optisch BB XXVII 541
 -- Traversella 08 I 41
- Weißensteintunnel
 -- Schweizer Jura, bei Solothurn . . . 1908 I 254, 255
 -- Dysodil 08 I 269
- Weißerdelager, Aue etc., Entstehung 06 II 202
- Weißnickelkies, Markkirch 09 I 25
- Weitendorf, Steiermark, Basalt-Lakkolith . . CBI 1905 397
 -- siehe auch Basalt.
- Welding (Verschweißung von Gesteinen) . . . CBI 1906 609
- Wellen, stehende (seiches), japan. Seen 07 I 381
- Wellenfurchen
 -- am Sandstrand . . . CBI 1906 727
 -- Zbejsov, Mähren, im Perm 08 II 56
- Wellengebirge, Schwarzwald 1909 II 417 ff. 418
- Wellenkalk, Braunschweig u. südl. Hannover . 08 II 84
- Weltentod nach J. Plassmann CBI 1906 51
- Weltkörper, Abkühlung CBI 1905 92
- Weltprobleme (Gravitationslehre ein Irrtum) CBI 1905 439
- Wengener Schichten, Epidauros (Argolis), Cephalopoden Festband 11
- Werfener Schichten
 -- Montenegro (Bucieri) 1905 II 108
 -- Südtirol, Fossilien . 08 I 16
 -- -- vergl. mit den Schichten von Wladivostok CBI 1908 67
- Werfener Schiefer, Dobrudscha 08 II 399
- Werratypus der Salzlager im deutschen Zechstein 09 II 307
- Wesergebirge, Alter CB 1909 76
- Wesertal zw. Holzminnen u. Hameln, Entstehung 06 I 121
- Wespen, Tertiär, Nordamerika 08 II 112
- Westalpen
 -- Decken u. Deckfallen der 07 II 429
 -- Geologie der 07 II 441
 -- siehe Alpen.
- West-Australien
 -- Coolgarlie-Goldfeld, nördliches . . . 1905 II 400, 401
 -- Mount Margaret-Goldfeld 05 II 202
 -- Murchison-Goldfeld . 05 II 399
- Westerwald
 -- Bimssand, Alter u. Lagerung 07 II 61
 -- -- rhein. Ursprung u. Steppenfauna . . 05 II 430
- Westfalen
 -- Granulatenkreide d. westl. Münsterlandes 08 I 427
 -- Kreide 06 II 105
 -- Kreidemulde CBI 1909 284
 -- Porphyrgeschiebe im Diluvium CBI 1907 143, 168
 -- spätjurassische und tertiäre Dislokationen 08 I 407
 -- Spaltenwässer, Zusammensetzung und Beziehung zu Schwer-spatbildung 06 II 73
 -- Steinkohlenbecken, Trias u. Dyas . 1907 I 412, 414
 -- u. Campine, Carbon 05 I 456
- Westfield River, Entstehung d. Flußterrassen 05 I 410

- Westindien
 — Ausbrüche auf Martinique Mai 1902 1905 I 224, 404
 — Vulkane CBI 1906 243
 — vulkan. Erscheinungen 1907 I 376
 — vulkan. Staub 1902
 1904 I 227, 404, 405
 siehe auch Montagne Pelée etc.
- Wesikliff, Sylt, Diluvium BB XXII 139
- Westpreußen
 — Bodenanalysen, Diskussion 06 II 202
 — Steinwaffen, petrogr. Zusammensetzung 06 II 202
 — Unterseno 07 I 435
- Wetterau, mitteloligozäner Meeressand b. Vilbel CBI 1905 531
- Wetterbeständigkeit der Bausteine (Sandsteine) 08 II 218
- Wettersteingebirge, Geologie 09 I 411
- Whewellit
 — Böhmen, Brüx 09 I 15, 17
 — — Schlan etc., u. Eigenschaften 1909 I 195, 196
 — Elaß, Urbeis, Grube St. Sylvester CBI 1909 553
 — Sachsen (Burgk und Freib. rg), Krist. CBI 1908 659
- Whitella (?) mutilis, Haverfordwest District 06 II 307
- Wichita-Konglomerat, Perm. Texas 08 I 258
- Widdingtonia Lisbethiae, Korallenoolith. Norddeutschland 09 I 462
- Widdringonites fasciculatus, Kreide, New York 08 I 454
 — oblongifolius var. lanceolata, Bernstein, Ostpreußen 09 I 307
- Widmannstädtensche Struktur, Entstehung 05 I 158
- Wiederkäuer, posttertiär, Rußland 07 II 299
- Wieliczka, Salzberg u. Salzwerke 1905 II 117 06 II 405
- Wien, Quartär, Konchylien des Löß. 07 II 460
- Wiesenerz, Mangan. 09 I 80
- Wiesental und Seitentäler, Schwarzwald, Glazialerscheinungen BB XXI 401
- Willemit
 — gibt mit HCl Orthokieselsäure 1907 I 25
 — Clifton-Morenci-Distrikt, Arizona 06 I 173
 — Concepcion del Oro, Zacatecas, Mexiko BB XXVIII 553
 — Franklin Furnace, Breckungskoeffizienten 08 II 148
 — Stirling Hill, N. J., Kristallform 08 II 28
 — Williamsonia Bibbinsi, gallinacea u. oregonensis 07 II 503 ff.
- Winderosion, Zentralasien, Gobi, Dreikantner 06 I 98
- Windward-Inseln, Westindien, Entstehung 07 I 376
- Windwirkungen, Antarktis etc. 06 II 352
- Wirbel u. Strudel im fließ. Wasser, Wichtigkeit 07 I 382
 — pneumatisierter, eines Anomodontiers (Tambora Maraisi), unt. Karformation, Kapkolonie 06 I 310
- Wirbeltiere
 — Entstehung 05 II 133
 — Flugbegabung 09 I 128
 — schwimmende, wichtigste Anpassungstypen CBI 1907 225
 — Aegypten 06 I 152
 — American Museum of Natural history 06 II 442
 — Argentinien 06 II 124
 — bayr.-schwäb. Hochebene, Obermiocän 06 I 124
 — Madagaskar 06 II 443
 — Mosbacher Sande 05 I 485
 — Nordamerika, Uebersicht 05 II 298
- Wirbeltierfährten, Neocomflysch, Ybbsitz (Niederösterreich) 05 II 434
 siehe auch Fußfährten.
- Wisconsin
 — Beziehung zw. Keeweenaw-Trapp und Sandstein am Lake Superior 06 I 93
 — Geologie von Nord-Lake Superior, Geol. 09 I 226
 — Lake Superior, Geol. 05 I 231

- Wismut
 — Diamagnetismus . . . 1906 II 154
 — heteromorphe Modifikation 08 II 155
 — Pala, Cal. 05 I 17
 Wismutaurit, Rußland . . . 09 II 332
 Wismutglanz, Riddarhyttan 07 II 356
 Wismuthocker, Pala, Cal. . . 05 I 17
 Witherit
 — Dissoziation b. höherer Temperatur . . . 08 I 16. 17
 — Settlingstone (Northumberland), Lagerstätte 08 I 180
 Wittichenit
 — vergl. m. Dognackait . . . 07 II 16
 — Dognaczka = Dognackait 06 II 15
 Witwatersrand, goldhalt. Konglomerate 06 I 70
 Witwatersrand-Schichten
 — Beziehung z. „Alten Granit“ u. Ausdehnung 06 I 269
 — Klerksdorp-Distrikt, Transvaal 07 I 111
 Witwatersrand-Schiefer, Südafrika, Entstehung . . . 05 II 392
 Wladiwostok, Trias u. Jura 09 I 1
 Wladiwostok-Schichten, vergl. mit Werfener Schichten, Südtirol . . . CBI 1908 67
 Wocheiner Save u. Bača-Tal, Geologie 05 I 448
 Wolframate von Sr, Ba u. Ca, Kristallform . . . 06 II 344
 Wolframerze, Boulder County, Colorado . . . 09 I 234
 Wolframit
 — Black Hills, Montana . . . 05 II 32
 — Boulder Co., Cal., Krist. 06 II 157
 — Luitré, Ille-et-Villaine . . . 05 II 369
 — Neu-Süd-Wales, Krist. . . . 06 I 360
 — Nordamerika, Produktion 06 I 355
 — Queensland, nördl. 06 II 26
 Wolframit-Quarzgänge, Tirpersdorf (Vogtland) 09 II 242
 Wolframminerale, Sardinien, Genna Gurese . . . 08 II 319
 Wolken, vulkanische, Vesuv 1906 08 I 43
 Wollastonit
 — Bildung 1907 II 11
 — isomorph mit Rhodinit 09 II 344
 — künstlich, durch Kristallisationsschieferung 07 I 334
 — Aranzazu, Zacatecas, Mexiko BB XXVIII 547
 — Biella, Piemont, Drusen im Syenit 06 II 36
 — Concepcion del Oro, Mexiko, Bildung von Nontronit durch Einwirkung von Eisensulfatlösung CBI 1909 161
 — — Zacatecas, Mexiko, im Kontakt mit Granodiorit BB XXVIII 49.2. 547
 — Finkenbergl. Bonn, im Basalt CBI 1908 419
 — Mte. Castelli, Toscana . . . 07 II 40
 — Schlaggenwalde 07 II 33
 — Tolfa, pseudom. nach Granat 06 I 376
 — u. Pseudowollastonit 07 I 29
 Wollastonitgestein, Santa Fé-Grube, Chiapas, Mexiko 05 I 42
 Worobieffit, Ural, Lipowka 09 II 21
 Worthenia cfr. Albertiana, Grenzdolomit, Schwaben BB XXV 108
 — (?) canaliculata, Carbon, Neu-Süd-Wales . . . 08 I 278
 — dharmiensis u. Dieneri. Muschelkalk, Himalaya . . . 08 II 241
 — dyadica, Bellerophon-schichten, Bosnien 05 I 105
 WRIGHT'scher Quarzkeil, Modifikation CBI 1908 313
 Würfelzer, siehe Pharmakosiderit.
 Würmgletscher im nordwestl. Bodenseegebiet CBI 1907 257
 Württemberg
 — Erdbeben 1901—1904 06 II 187
 — erdmagnet. Elemente 07 I 375
 — geognost. Wegweiser 08 II 233
 — geolog. Uebersichtskarte 06 II 84
 CBI 1908 556. 589. 610. 651
 — Lettenkohle und Keuper CBI 1907 19. 42
 — Schweremessungen 06 II 46

Würtzit	
— heteromorph mit Zinkblende	1908 II 147
— Sublimation	09 II 183
Wüstenkantner	CBI 1907 105
Wulfenit, siehe Gelbbleierz.	
Wynyard, N.W.-Tasmanien, Glazialschichten	09 II 163
Wyoming-Nebraska, Geologie und Hydrographie des Patrik and Goshen Hole quadrangle	06 I 267
Wyomingit, Leucite Hills, Wyoming	06 I 225

X.

Xanthidium, Natur	CBI 1905 340
Xanthokon, Markirch	09 I 24
Xanthophyllit, Zwillinge	CBI 1907 403
Xenaspis Marcoui, Meekeoceras beds, Amerika	06 II 303
— mediterranea, Untertrias, Albanien	08 II 399
Xenaster = Archaeasterias	CBI 1907 750
— dispar und elegans, rhein. Grauwacke	09 II 322
Xenesthes velox, Kalifornien	08 II 443
Xenodiscus Bittneri, mittl. Trias, Inyo Range	06 II 304
Xenolithen im Basalt	09 II 59
— siehe auch Einschlüsse.	
Xenolithische Struktur, tert. Eruptivgesteine, Skye	06 II 65
Xenophora Falsani und Hudlestoni, Zone d. Lioc. concavum, Couzon-au-Mont d'Or b. Lyon	05 I 464
Xenophyophoren, foss. Erhaltung	06 II 456
Xenotim	
— Spektrum im magnet. Feld	07 II 29
— Zusammensetzung	05 I 384
— Karolina, South Mountains, im Graphit, chemisch	09 II 369
— Nil-Saint-Vincent, Brabant	06 I 345
— Ottawa b. Pisek, im Goldsand	05 I 366

Xerophila ? petrocorientis, Cenoman, Südf frankreich	1907 II 131
Xiphodon, Bartonien, Castrais	05 II 303
Xylophomya laramiensis, Laramie-Gruppe, Wyoming	05 I 359
Xylotil, Elba	CBI 1909 334
Xyphosphaera antiqua, rara u. spinosissima	06 I 474
— appenninica var. longistylus. Miocän, Italien	09 II 490
— euganea, fossilis und longispina, Scaglia, Euganeen	06 I 475
Xyphostylus amissus und communis, Scaglia, Euganeen	06 I 475
— Perner, Kreide, Euganeen	06 I 474

Y.

Yellowstone Park, Einfluß der Spalten u. Verwerfungen auf Flußsysteme	06 II 188
Yoldia, Posen (Nakel)	06 I 298
Yorkia gramineoides	07 II 501
You Yangs, Victoria, Australien, Geologie	09 I 231
Yprésien = Cuisien u. Londonton	06 II 115
Yttergranat, Iwangorod, Gouv. Ljublin. chem. — Kärarvet	05 I 380 08 I 187
Yttrialit Llano County, Texas	07 I 42
Yttrocalcit, Finbo	07 II 175
Yttrocerit, Colorado, Anal.	07 II 354
Yttrokrasit, Barringer Hill, Llano Co.	08 I 197
Yttrotantalit	
— Norwegen, Granitpegmatitgänge d. südl. — Ytterby	08 I 356 09 II 356
Yttrotitanit, Kragerö (Lindvikskollen)	08 I 193
Yuccites vogesiacus, Verwandtschaftsverhältnisse	09 I 151
Yukon, Alaska	
— Kohlen	06 I 237
— nutzb. Mineralien	09 II 81
Yukon-Territorium, Erzlagerstätten	08 I 397

Z.

- Zahl, topische, Bedeutung CBI 1907 438
- Zahlenlehre, Beziehung zu Kristallographie 1907 I 181
- Zahnsystem der Huftiere, Patagonien 05 II 454
- Zahnwale, Boldérien, Antwerpen 07 I 130
- Zaitha vulcanica, Miocän, Florissant, Col. 08 II 111
- Zamiophyllum sambiense, Bernstein, Ostpreußen 09 I 307
- Zamiopsis brevipennis, ob. Kreide, Quedlinburg 07 I 493
- Zamiostrobus crassus u. aff. index, Wealden, Peru BB XXIV 83. 84
- Zamites Buchianus, Wealden, Nordwestdeutschland 08 I 151
- grandis, Trias 08 II 449
- pennsylvanicus 07 II 500
- truncatus, Carbon, Tonkin 08 I 310
- Weberi, Jura, Kaukasus 09 I 147
- yorkensis 07 II 500
- Zanclodon, Nomenklatur CBI 1905 10
- bavarius = Plateosaurus Engelhardti 09 I 287
- Zanclodonten, Familie . CBI 1905 12
- Zannone (Ponza), Sedimentärgesteine 05 II 411
- Zanthopsis cretacea, Kreide, Brasilien 09 I 103
- Zaphrentis Delanouei, Koninckii u. Omaliosi, Carbon, Bau 09 I 292
- Ludwigii, Devon, Ostthüringen BB XXIV 276
- spec., Culm, Königberg b. Gießen . BB XXVIII 655
- untercarbonisches Transgressionsmeer, Tian-Schan BB XXVI 228
- Zatrachis, Perm, Texas 08 I 287
- crucifer, Perm, Texas 07 I 139
- Zechstein
- Anhalt, Kupferschiefer 09 II 401
- Deutschland, Salzlager 09 II 304
- Zechstein
- Eichsfeld, Salzlager 1909 II 424
- Frankenberg u. Kellerwald 07 II 92
- Frohburg-Kohren, (Sachsen), Pflanzen der Plattendolomite 05 I 539
- Kyffhäuser, Auslaugung der Salze und Oberflächengestaltung der Umgegend 09 II 427
- Lüneburg CBI 1907 692
- Osnabrück, Eisenerze des Hüggel 09 II 250
- — Piesbergsattel 09 II 251
- Raberthausen, Vogelsberg 07 I 266
- Rhön 09 I 424
- Ruhrkohlenrevier 07 I 414
- Sachsen-Meiningen 06 II 411
- Teutoburger Wald 09 II 247
- Thüringen (Mihla u. Creuzburg) 08 I 87
- Weser-Leine-Gebiet u. südhannov. Salzlager 09 I 426
- siehe auch Perm, Salzlager, Kupferschiefer etc.
- Zeilleria avellana, ob. Jura, Pommern 06 II 102
- rostellata, Jura, Kutsch 05 I 181
- Zeitmessung, geologische 05 I 224
- Zement
- Bestandteile 08 II 379
- gefärbt durch organ. Farbstoffe etc. . BB XXVIII 375
- Umkristallisieren u. Gelbildung beim Erhärten 09 II 85
- Virginia, westl., Materialien 09 II 246
- Zementfabrikation, Ohio etc. 06 II 72
- Zementindustrie, Nordamerika 08 II 376
- Zementationszone der Erzlagerstätten 08 I 400
- siehe auch Cementation.
- Zementit
- im Eisen = Cohentit des Meteoreisens 05 I 123
- — künstlich 06 I 243
- Zentralafrika, Britische, Gesteine u. Mineralien 07 I 236

- Zentralkordillere
 — columbianische, Geol. CBI 1908 195
 — columbische CBI 1907 545
 — siehe auch Anden u. Kordilleren.
- Zentrogene Sphärolithe 1906 I 204
- Zeolithe
 — Albinisierung . . . CBI 1906 80
 — basische Substitutionen 06 II 336
 — chem. Konstitution . 08 II 314
 — — — nach TSCHERMAK'S Methode . . . 09 II 193
 — Färbung durch organ. Farbstoffe BBXXVIII 363
 — Fehlerquellen bei Bestimmung d. Wassergehalts CBI 1909 677
 — Glimmerzeolithgruppe CBI 1907 411
 — Glühverlust als mineralog. Kennzeichen . . 06 I 20
 — Konstitution u. prakt. Bedeutung im Erdboden 07 I 353
 — Kontraktionsfiguren u. -risse bei Behandlung mit Säuren . . 08 I 335
 — künstliche, zur Verbesserung des Gebrauchswassers . . 09 II 371
 — Rolle des Wassers . 06 II 337
 — Unterscheidung der Glimmerzeolithe . . 08 II 36
 — Wassergehalt, Fehlerquellen bei Bestimmung CBI 1909 677
 — Zusammensetzung . 08 II 32
 — Belfast, Irland, im Basalt CBI 1908 176
 — — u. Cornwall . . . CBI 1908 52
 — Biella, Piemont, Drusen im Syenit . . . 06 II 41
 — Christdorf, Mähren, Eisenerzlager . . . CBI 1907 322
 — Easton, New Jersey, Analyse 06 I 354
 — Elba, Speranza-Gang b. S. Piero 1908 II 33. 35
 — erythraische Kolonie 08 II 36
 — Färöer 09 I 27
 CBI 1908 681 CBI 1909 778
 — Fellberg, in Petersdorf b. Zöptau (Mähren) CBI 1905 609
 — Grönland, im Basalt CBI 1908 344
 — — — des östlichen 06 II 182
- Zeolithe
 — Hainburg (Niederösterreich) 1908 I 32
 — Japan 09 I 193
 — Krebshöhe b. Schönriesen, Böhm. Mittelgebirge CBI 1909 154
 — Mogy-Guassù, São Paulo, Brasilien, im Diabas CBI 1906 330
 — Monzoni u. Predazzo 06 I 59
 — Moore Station, New Jersey 06 I 352
 — Sachalin 08 II 334
 — San Piero in Campo, Elba, wahrsch. neu 06 I 344
 — Sardinien (Montresta), chemisch 1909 II 26. 195
 — Schmiedeberg (Riesengeb.), im Granit . . CBI 1909 772
 — Seiser Alp 07 II 28
 — Zöptau, Mähren, im Amphibolit 06 I 343
 Zeophyllit CBI 1907 411
 — Albinisierung . . . CBI 1906 80
 — Kontraktionsfiguren bei Behandlung mit Säuren 08 I 336
 — umfaßt Gyrolith z. T. u. Albinisierung . . CBI 1906 80
 — Unterscheidung v. d. anderen Glimmerzeolithen 08 II 37
 — Böhmen, neue Fundorte CBI 1906 80
 — Böhm. Mittelgebirge, Krebshöhe b. Schönriesen CBI 1909 154
 — Radzein, Böhm. Mittelgebirge 1906 II 18 CBI 1905 245
 Zeosphäre 06 II 200
 Zerbrochene Gerölle, Dear Creek, Arizona, im Kreidekonglomerat . 08 I 241
 Zerknitterung durch subaquat. Rutschung . 08 II 151
 Zerrungsbogen (ostasiat. Typus der Bogengebirge) 05 I 120
 Zersetzte Gesteine, Absorptionserscheinungen 06 I 51
 Zeuglodon, Beckengürtel eines scheinbaren, Eocän, Alabama . . CBI 1906 450
 — Gehirn 06 I 147

- Zeuglodon, Bolderien,
Antwerpen 1907 I 130
— Eocän, Aegypten 09 II 119
— Tertiär, Fayum 07 II 315
— caucasicus, Harwoodi,
Osiris, Paulsonii,
Puschl, Vredense u.
Wanklyni, Eocän,
Aegypten (z. T.) 05 I 486
— Isis, Mitteleocän,
Aegypten 06 I 450
Zeuglodonten, Bau 05 I 487
Ziegel, feuerfeste (Dina-
steine), mikrosk. 09 II 14
Ziehharmonikastruktur,
Moine-Gneis, schott.
Hochlande 05 II 390
Zinder, Afrika, Alkali-
granite 07 II 413
Zink
— facettierte Kugelchen CBI 1907 601
— unkristallisiert durch
vulk. Hitze, Martinique 05 I 368
Zinkblende
— heteromorph mit
Würtzit 08 II 146
— krist. u. phys. BB XXVI 151
— Ajudagh, Krim 09 II 367
— Binnental, Krist. 06 II 31
— Ueberzug CBI 1905 30
— Bisbee Quadrangle,
Arizona 06 I 175
— Calafuria sdl. Livorno,
im Macigno 06 I 169
— Carrara, im Marmor 07 I 215
— Markirch 09 I 25
— Nagolnij-Gebirge,
Donetz-Becken, Pseu-
dom, v. Weißbleierz
nach der Spaltbarkeit
der Z. 1907 II 195 CBI 1908 7
— Nagolnij Krjasch, Do-
netz-Becken 07 II 193
— Nordamerika (Illinois,
Wisconsin u. Ken-
tucky) 06 II 180
— Saint-Laurent-le-Mi-
nier (Gard), Ent-
stehung des Lagers 08 I 79
— Santander, Sublimation 09 II 183
— Sardinien, spektrosk.
Untersuchung 09 II 321
— Schmiedeberg (Rie-
sengeb.), im Granit CBI 1909 771
— Traversella 08 I 40
— Ungarn, Bojeza, Krist. 09 I 336
Zinkblüte, siehe Hydro-
zinkit.
Zinkerze
— Arkansas, Ozark
Region 1905 II 36
— Concepcion del Oro,
Zacatecas, Mexiko BB XXVIII 553
Zinkopal, Rhodesia,
Broken Hill-Grube 09 II 36
Zinkoxyd
— künstl., Kristalle CBI 1905 205
— Falvahütte, Ober-
schlesien, krist. u.
chemisch CBI 1905 54
Zinkphosphate
— Rhodesia CBI 1908 51
— — Broken Hill-Grube 09 II 31
Zinkspat
— Dschebel Ressay, Tu-
nesien 07 I 41
— Otavi, SW.-Afrika CBI 1906 389
— San Aniceto (Alma-
den, Spanien) 08 I 333
Zinnerz, begleitet v. Tur-
malin 05 I 101
Zinnerze, Franz. Laos 07 II 425
Zinnerzlagertstätten
— Alaska, York Region 05 II 179
— — Seward-Halbinsel 09 II 80
— Bolivia 09 II 242
— Carolina, sdl. Appa-
lachen 09 I 234
— Cornwall, granit. Ge-
steine BB XXVIII 1
— Malaiische Halbinsel,
bs. Kinta-Distrikt 05 I 100
— Schlaggenwalde, Mi-
neralien 07 II 32
— siehe auch Zinnstein.
Zinnkies, Bolivia, Oruro,
regelm. Verwachsung
mit Fahlerz 08 II 338
Zinnober
— Sublimation 09 II 183
— Avala u. Bare (Serbien)
und Idria, radioaktiv 05 I 5
— Avala-Berg, Serbien,
Vorkommen 08 I 246
— Borneo, westliches 09 II 99
— Bosnien u. Hercego-
wina, Lagerstätten 09 II 405
— Gratwein b. Graz CBI 1908 279
— Kalifornien, Sonoma
County, Kristalle CBI 1907 17
— Kara-Barun, Klein-
asien 06 I 331

- Zinnober
 — Maltern u. Hochneukirchen (Niederösterreich) CBI 1908 382
 — Nagolnij Krjasch, Donetz-Becken 1907 II 193
 — Nikitowka, Zwillingsbildung BB XXIII 312
 — Terlingna, Texas, Vorkommen 08 I 247
 — Texas, Lagerstätten 1907 II 80 08 I 247
 — — Produktion 1903 06 I 356
 — Vallalta-Sagron, Lagerstätten 07 I 259
- Zinnstein
 Elektrizitätsleitung . 1906 II 29 07 II 5
 — Afrika, Lagerstätten im südlichen 08 I 396
 — Barjac, Lozère-Departement 06 I 332
 — Bautshi-Zinnfeld, Nordnigeria 07 I 79
 — Bolivia, Potosi, Sechslinge 08 II 338
 — — Pseudomorphose 08 II 300
 — Ceylon 06 I 166
 — Luitré, Ille-et-Vilaine 05 II 369
 — Madagaskar, Anal. . 07 I 81
 — Malakka, mit sekundären Zwillingslamellen CBI 1908 427
 — Nigeria, Nord-, Bautshi 07 I 79
 — Nordamerika 06 II 160
 — Pitkäranta, Kristallformen 06 I 22
 — Queensland, nördl. . 1906 II 27 08 I 244
 — Transvaal, Buschveld-Vorkommen 06 II 228
 — siehe auch Zinnerz u. Zinnerzlagerstätten.
- Zinnsulfid, künstlich, Schmelzpunkt 09 II 183
- Zinnwaldit, Alaska, Anal. 09 I 19
- Ziphiidae
 — Beziehung zu Squalodonten 06 II 295
 — Boldérien, Antwerpen 07 I 135
 Ziphus, Boldérien, Antwerpen 07 I 132
- Zirkon, Bestimmung in Gesteinen 06 I 5
- Zirkon
 — Einwirkung von Radiumstrahlen auf Färbung CBI 1909 721
 — Färbung und deren Aenderung BB XXVI 257
 — Kristallstruktur 1907 I 183
 — mit Lichtschein 07 I 16
 — photograph. Wirkung CBI 1909 147
 — Alter-Pedroso, Portugal, im Granulit 05 I 373
 — Ceylon 1906 I 179. 185
 — — unregelmäßige Kristalle G. = 4,0 06 I 21
 — Finkenberg b. Bonn, im Basalt CBI 1908 419
 — Grönland CBI 1908 408
 — Ilm-engebirge 06 I 22
 — Laacher See, im Sandidinit, Kristallform CBI-1909 721
 — Montorfano, Baveno 07 I 39
 — Nordamerika, Produktion 1903 05 II 29
 — Olgiasca, Comer-See, im Pegmatit 1905 I 203 06 I 376
 — Ottawa b. Pisek, im Goldsand 05 I 366
 — Pisek, Böhmen 08 I 332
 — Sundsvale, Schweden, im Syenit 05 I 384
 — Tasmanien CBI 1905 483
 — siehe auch Hyacinth.
- Zirkularpolarisation
 — quadrat. Kristalle 05 II 336
 — zweiseitiger Krist. 05 II 335
- Zirkulation des Meerwassers 08 I 52
- Zitate, moderne CBI 1909 353. 536
- Zizyphus Faucheroni u. Thiollieri, Zone d. Lioc. concavum, Couzon - au - Mont - d'Or b. Lyon 05 I 464
 — Schafhäutli, Hyperesenon, Peterwardeiner Gebirge 06 II 267
- Zizyphus oblongus, Kreide, New York 08 I 456
- Zoa Alixi, Eocän, Paris 07 II 303
- Zöptau, Mähren
 — Mineralien d. Amphibolitgebiets 08 I 202
 — Zeolithe im Amphibolit 06 I 343
 — — vom Fellberge in Petersdorf CBI 1905 609

- Zoisit 1909 I 317
 — Chester, Mass., Krist. 09 I 20
 — Mte. Corchia, Toscana 07 II 37
 — Susa-Tal, im Prasinit
 der Rocca Bianca 1906 II 105 ff.
 — Trace Mine, Unter-
 Kalifornien 08 II 31
 Zonen, flächenreiche,
 Aufeinanderfolge u.
 gegenseitige Bezie-
 hungen der Flächen 05 II 332
 Zonen oder Flächen als
 Ausgang der Formen-
 entwicklung 06 I 322
 Zonengesetz, elemen-
 tarer Beweis CBI 1909 27
 Zonenlehre, Sätze 06 I 321
 Zonenstruktur kristallin.
 Schiefer 05 I 71
 Zonenverband, Entwick-
 lung der Kristall-
 flächen 05 I 1
 Zucker
 — Löslichkeit bei Zwill-
 lingen etc. BB XXIII 291. 332
 — optische Aktivität
 des Rohr- 06 I 3
 — Zirkularpolarisation
 des Rohrzuckers 05 II 335
 Züricher See, Entstehung
 und Alter 05 II 378
 Zuni-Salzsee, Neu-Mexiko,
 Entstehung 07 I 48
 Zusammendrückbarkeit
 der Gesteine 07 I 263
 Zusammenkristallisieren
 von löslichen Salzen 09 I 161
 Zusammenschub, seit-
 licher, im Buntsand-
 stein, Sulzmat CBI 1907 489
 Zusammensetzung kon-
 stanter Lösungen bei
 83° 05 I 193
 — durchschnittl., der
 Eruptivgesteine 06 I 46
 Zweck der Eruptionen . CBI 1906 437
 — der Naturerschein-
 ungen CBI 1906 189
 Zweiachsige Kristalle
 — Zirkularpolarisation 05 II 335
 — optischer Charakter 07 I 226
 Zweikreisiges Gonio-
 meter, Berechnung
 für triklin. System
 (Anorthit) 1907 I 2
 siehe auch Goniometer.
 Zweischaliger, siehe Mu-
 scheln.
 Zwillinge
 — Ausbildung und Ent-
 stehung BB XXIII 237
 — Berechnung 08 I 2, 14
 — — in den schiefwink-
 ligen Achsensystemen 08 II 1
 — Composit- 08 II 140
 — Hetero- 08 II 140
 — Kristallstruktur 05 II 161
 — oktaedrische, doppelt-
 brechende 07 I 184
 — physik. Theorie etc. 09 II 5. 6
 — Zeichen
 CBI 1908 177 09 I 179
 — Zusammenhang mit
 anderen Erscheinungen
 BB XXIII 237
 Zwillingsbeben 06 I 363
 — Leicester 4. Aug 1893 06 I 361
 Zwillingsbildung
 — fließend-weicher Kri-
 stalle 06 II 151
 — zahlreicher künst-
 licher Substanzen BB XXIII 237
 — Enantiomorphie und
 Polarität BB XXIII 237
 Zwillingsgesetz v. HAÜY 06 II 148
 Zwillingsgesetze, Tabelle
 der bekannten BB XXIII 344
 Zwillings- und Kristalli-
 sationsgesetze, ein-
 heitliche Ableitung 05 II 332
 Zwillingsstruktur CBI 1908 177
 Zwillingsstheorie TSCHER-
 MAK's und Glimmer-
 zwillinge CBI 1907 400
 Zygopleura (?) Benoisti,
 Bathonien, St. Gaultier
 (Indre) 08 I 262
 — gansingensis, Keu-
 per, Gansingen BB XXV 111
 Zygospira Hicksi, Unter-
 silur, Haverfordwest
 District 06 II 140



Smithson

REPERTORIUM

zum

Neuen Jahrbuch für Mineralogie Geologie und Paläontologie

für die

Jahrgänge 1905—1909, das Centralblatt für Mineralogie,
Geologie und Paläontologie Jahrgänge 1905—1909 und
die Beilage-Bände XXI—XXVIII.

Ein Personen-, Sach- und Orts-Verzeichnis

für die darin enthaltenen Originalabhandlungen und Referate.

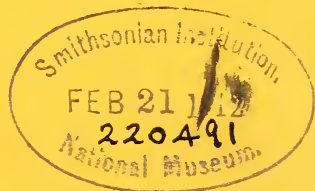


Stuttgart.

E. Schweizerbart'sche Verlagsbuchhandlung

Nägele & Dr. Sproesser.

1911.





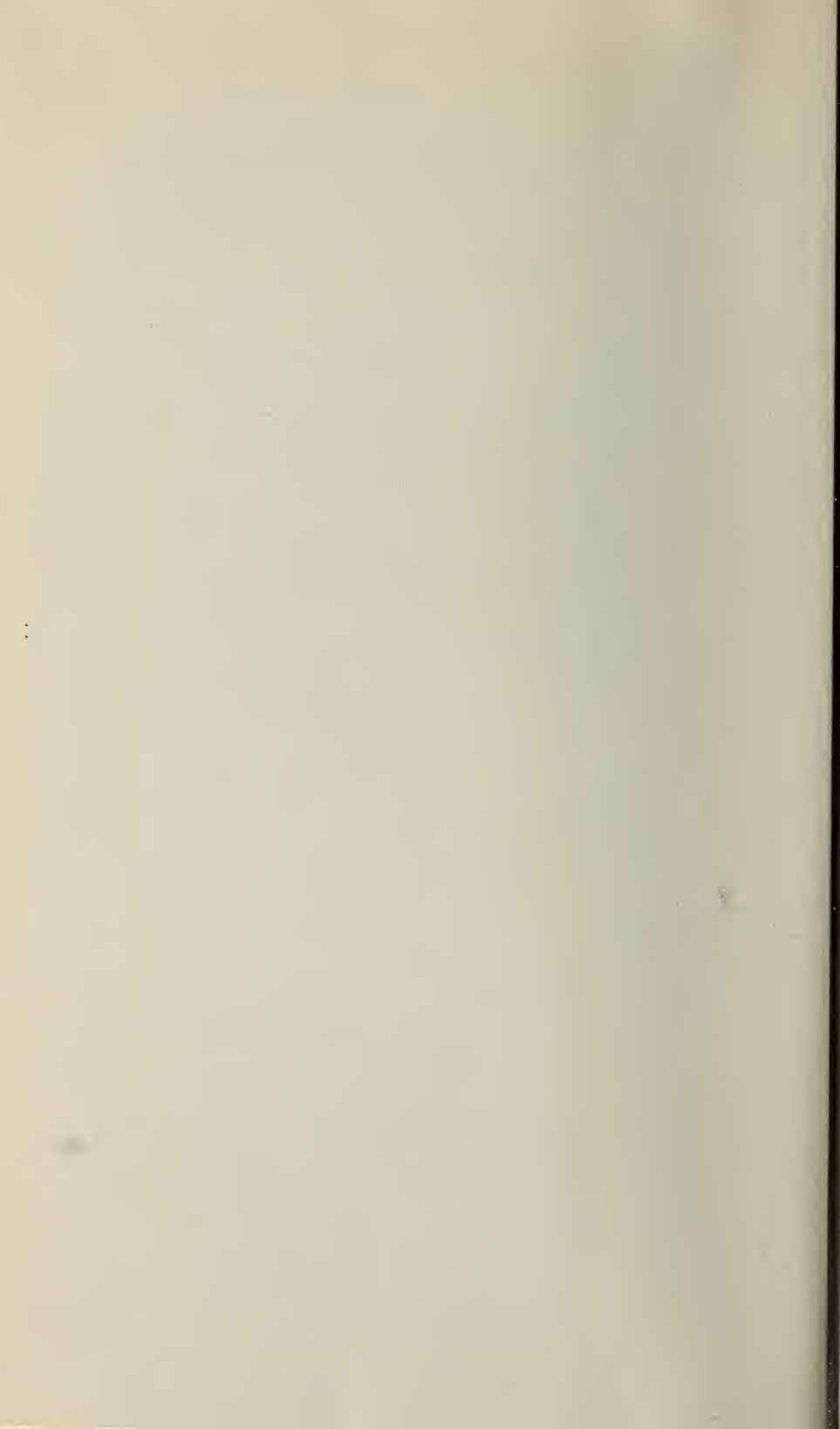
Handwritten text, possibly a signature or name, in the top right corner.

Druck von Carl Grüniger, Stuttgart.

1891 (11)









SMITHSONIAN INSTITUTION LIBRARIES



3 9088 01369 0656